

# МЕХАНИЗМ ВА МАШИНАЛАР НАЗАРИЯСИ



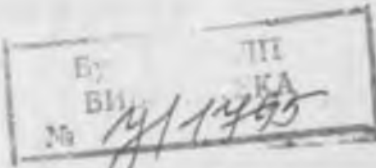
ОЛДЫ ЖАҢА  
ЖОРДАРН ҮЧҮН  
ДАРСЛӨР

621.01  
11-45

# МЕХАНИЗМ ВА МАШИНАЛАР НАЗАРИЯСИ

Халық таълими Давлат комитети олий техника үқуға юртасы  
студентлары учун дарслык сифатида рухсат етган

*Русча нашридан таржима*



ТОШКЕНТ «ЎҚИТУВЧИ» 1990

К. В. Фролов, С. А. Попов, Б. К. Мусатов, Д. М. Лукичев, Н. А. Скворцова,  
В. А. Никоноров, А. А. Савелова, Г. Н. Петров, М. Е. Ремезова, В. М. Акопян

Дарслік иккі бұлымдан иборат. Бұлымлардан олдин мазкур фан олдидағи мұаммолярга бағышланған I-бөб берілтән. I бұлымда (2 — 10-бөблар) механизмдар, машиналар қамда машиналар системаларының кинематик ва динамик хасусияттарының аниқлашының умумий усуллари, бүғендегі эластичлігінің ҳисобтаған жағдайда механизмдардың ҳисоблаш, кинематик жүйелердегі ишқаланыш ва ейнлиш, төбәрәниш активитиги ва төбәрәниш қарши қимоя бән этилтән; II бұлымда (11 — 18-бөблар) механизмдар асосынан түрларының схемаларының лойиҳалаш, механизмдар системасы ҳаракатының бошқарылыштырылған. Ушбу бәйнелар механизмдар параметрлеринің график ва графоаналитик, шуннингдек ЭХМ дан fойдаланған ҳолда аналитик усулда аниқлаш асосында берилтән.

Таржимонлар — т. Ф. и. С. Мусаев ва Р. Рустамхұјаев

## M 45

Механизм ва машиналар назарияси: Олий техника үқуғын жөндеуде. студ. учун дарслік/(К. В. Фролов, С. А. Попов, Б. К. Мусатов ва бошқ.). — Т.: Үқитуви, 1990. — 496 б.

I. Фролов К. В. ва бошқ.

Теория механизмов и машин: Для студентов технических вузов.

ББК 34.41я73

\* 2702000000 — 251 185 — 90  
353 (04) — 90

ISBN 5 — 845 — 00736 — 0

© Издательство «Высшая школа»,  
1987.

© «Үқитуви» нашриети, русчадан  
таржима, 1990.

## СҮЗ БОШИ

Мәзкур китоб слив техника ўкув юртлари талабалари учун дарслык сифатида мұлжалланған. Дарслықта бейн этилган машина ва механиздар назариясы курси Н. Э. Бауман номидаги Москва олім техника ғылым юртіда күп ғыллар давомында ушбу фанни үқитиши тажрибесі асосыда шаклланған булиб, унда физ-техника революциясы дағыда инженерлік таълимнде юз берганды, анықтавый курсни ҳам мазмун жиһатидан, ҳам үқитиш методикасі жиһатидан жиддій қайға ишлаб чиқышын талаб қылувчи сиғат үзгаришлари ўз ифодасини топди.

«Механизм ва машинадар назариясы» ўкув фаниниң үқишидан олдин талабалар «Олім математика», «Назарий механика», «Алгоритмик тиллар ва программалаштырыш» ўкув курслариниң тұрғанын, механик-математик тағжігерлік күрган булишлары көрек.

Тармоқ ақамиятига ега бұлған машинадарни лойиҳалашша донир махсус курслар учун илмий ассоциацияның ўкув фанининг визифалари құйыдагылардан иборат:

талабаларға механиздар, машинадар ва асбобларни тәдқиқ этиш ва лойиҳалашнинг умумий усуспарларын үргатады. Галабаларни механиздар ғұрдамыда ҳаракатта көлтиришнинг умумий принциптерини, механик системаның кинематикасынан динамикасынан белгіловчы, машина гаркининг күрүвчі механиздарнинг үзаро тағысири-ни үшүннештегі үргатады;

талабаларға машина ва механиздарнин лойиҳалашша, механиздарнинг маңызды параметрлерини берилған ишлеш шаронтига күра аниқлашша мұайян изчинникда әнда-шишин үргатады;

талабаларда параметрлерини ЭХМ ғұрдамыда қысметшеш учун алгоритм ва программа-лар ишлаб чиқып, мұайян қысметларни бежарып күнікмаларнин қосыл қылады;

машина ва механиздарнинг кинематикасынан динамика параметрлерини аниқлаш учун үлчөп аппаратларданғы ғылдаланған күнікмаларнин қосыл қылады.

Дарслык Н. Э. Бауман номидаги Москва олім техника білім юртінинг «Машина ва механиздар назариясы» кафедрасының колективиғінен, академик К. В. Фролов, раҳбарлығыда ҳамда уннинг таҳаррири билан яратылды. 1, 10-бобларни К. В. Фролов, 3, 12, 16, 17, 18-боблар ва 2.6, 2.7, 7.1, 14.1-параграфларни С. А. Попов, 4, 9-боблар ва 7.2 — 7.4-параграфларни А. К. Мусатов, 8, 11-боблар ва 2.1, 2.5-параграфларни Д. М. Лукичев, 14.2-параграфни Н. Е. Ремезова, 15.1 — 15.4-параграфларни В. А. Никоноров, 15.5-параграфни Н. А. Скворцова, 6-бобни А. К. Мусатов, 13-бобни Н. А. Акопян, 6-бобни А. К. Мусатов, А. А. Савелова да Г. Н. Петров, 13-бобни Н. А. Скворцова да А. К. Мусатов, кириш ва үлесанын К. В. Фролов да Д. М. Лукичев әндиштегін.

Муаллифлар шу ғылым юртінинг «Машина ва механиздар назариясы» кафедрасындағы ғылымдарнинн бүтүн колективиге күрсөтгөн ғұрдамлары ҳамда қынматтың маслағаттарын учун, шүннегдек рецензентларға құлесманы құрып чиққанлыклары да танқидиди мұлохазаларын учун чуқур миннатдорчылук иззор өтадылар.

Муаллифлар

Атифоқи  
Стиясининг қарорла-  
рида мамлакат ишлаб чиқарувчи күчларининг ривожланниши машина-  
созлик етакчи роль йўнайтида алоҳида уқтириб ўтилади.  
Съездид тасдиқлагаси. Иккисидой ва социал ривожлантиришнинг  
1986 — 1990 йилларга ҳамда 2000 йилгача бўлган даврга мўлжаллан-  
ган Асосий йўналишларида ишлаб чиқаришни тезлик билан янгилаш  
ва реконструкция қилиш, механизациялаш ва автоматлаштириш дара-  
жасини ошириш мақсадларида машинасозликни жадал ривожлантириш,  
унинг техник савиясини юксалтириш вазифаси қўйилган. Самародорлик,  
аниқлик, ишончлилик ва тежамкорлик бўйича ҳозирги замон таалларни  
жаюб бера оладиган янги машиналар, ассоблар, установкалар, авто-  
матик қурилмалар ва комилтекслар асосий (фундаментал) ҳамда амалий  
фенлар ютуқлари асосида яратилади.

Машина ва механизмлар назарияси — турли механизмлар, машиналар  
механикасини структура ва динамика жиҳатдан таҳдил қилиш ҳам-  
да сингез қилиш усулларини ўрганувчи фан. Шу нарсанн уқтириш му-  
ҳимки, машина ва механизмлар назариясида баён этиладиган усуллар  
ҳар қандай механизмни лойиҳалаш учун яроқли бўлиб, улар машина тех-  
никанинг қайси соҳасида қўлланилишига, шунингдек машинада содир  
бўлувчи иш жараёнининг физик табиатига боғлиқ эмас.

Аслини олганда машина ва механизмлар назарияси бўлгуси инже-  
нер мутахассислигига муқаддимадир, шу сабабли у инженертик йўна-  
лишига эга, унда замонавий математик аппарат кенг қўлланилади  
ҳамда механизмларнинг таҳлили ва синтезига тааллуқли долзарб ма-  
салаларни график, графоаналитик ва ЭҲМ ёрдамида аналитик усолда  
ечишнинг амалий йўллари ўрганилади.

Машина инсоннинг жисмоний ва ақлий меҳнатини бутунлай ўз  
зиммасига олиш ёки енгиллаштириш мақсадида энергияни, материалларни  
ва ахборотларни бир турдан бошқа турга ўзгартириш учун механик  
ҳаракатлар қилувчи қурилмадир. Технологик машиналарда (металлга  
ишлив берувчи дастгоҳлар (станоклар) ва комплекслар, темирчилтк-  
преслаш ускуналари, прокат станлари, қўймакорлик ускуналари ва ҳо-  
казо) дастлабки материал ҳамда хом ашёлар (заготовкалар) ишинг шак-  
ли, ўлчамлари, хоссалари, ҳолати ўзгаради. Ташувчи машиналар ва  
қурилмалар ёрдамида юклар, ассоб-ускуналар, кишилар ҳамда бошқа  
объектлар маконда жойдан жойга кўчирилади. Энергетик машиналарда  
бир турдаги энергия бошқасига ўзгартирилади. Ахборот машиналарида

ҳаракатни текшириш, созлаш ва бошқариш мақсадида киритилувчи ах-  
борот ўзгартирилади.

Машина ўзининг иш жараёнини қонуний механик ҳаракатларни бажариш орқали амалга оширади. Бундай ҳаракатлар ташувчиси механизmdir. Бинобарин, меканизм қаттиқ жисмлар системаси бўлиб, улар бир-бирига тегиб туради ва улардан бири (ҳаракатланувчиси) нисбатан муайян, талаб қилинган тарзда ҳаракатланади. Жуда кўплаб механизмлар қаттиқ жисмларининг меканик ҳаракатини ўзгартирниб бериш каби вазифани бажараади.

Кискача тарихий очерк. (пиншангли, тищчи ваджоказо) қадим замонлардан маълум; ини енги тлаштириш, меҳнат унумдорлигини ошириш мақсадида улар гадқиқ этилган, такомиллаштирилган, тажрибада синааб курилган.

Маълумки, Уйрониш даврининг атоқли ағбоби ҳамда олимни Леонардо да Винчи (1452 — 1519) тикув дастгоҳлари, босма ва ёғочга ишлов бериш машиналари механизмларн конструкцияси лойиҳасини ишлаб чиқкан, ишқаланиш коэффициентини тажриба йули билан аниқлашга уриниб курган. Италиялик врач ва математик Д. Кардан (1501 — 1576) соат ва тегирмон механизмларининг ҳаракатини ўрганди. Француз олимлари Г. Амонтон (1663 — 1705) ва Ш. Кулон (1736 — 1806) биринчи бўлиб тинч ҳолатдаги ва сирпанишдаги ишқаланиш кучларини аниқлаш формуулаларини таклиф қилдилар.

Үттис йыл Россияда яшаган ва ишлаган, сунгра Петербург фанлар Академиясыннинг ҳақиқий аъзоси булган, 850 та илмий иш муаллифи, атоқли математик ва механик, швейцариялик профессор Л. Эйлер (1707 — 1783) қаттиқ жисм кинематикаси ва динамикасига онд масалаларни ечди, эгилувчан жисмларнинг тебраниши ва устиворлигини тадқиқ этди, амалий механика масалалари билан, чунончи, тишли фидирлар профиллари билан шуғулланди ва буларнинг ичидаги энг истиқболлиси эвольвентасимон профилдир, деган холосага келди.

Таниқли рус механиги ва ихтиориси И. И. Ползунов (1728 — 1766) биринчи булиб икки цилиндрли бүгдвигателининг лойиҳасини ишлаб чиқди (афсуски, лойиҳани амалга ошириш унга насиб этмади), қозонини сув билан таъминлайдиган автоматик ростлагич, сув ва бур берувчи курилмалар ва бошқа механизмларни яратди. Атоқли механик И. И. Кулибин (1735 — 1818) тухум шаклидаги машҳур соатни яратди. Бу соат ўша давр учун автоматик ишловчи жуда мураккаб механизм эди.

Саноат тармоғын бұлған машинасозликнинг ривожланиши машиналар таркибында кириүчі механизмларни тадқиқ этиш ва лойиҳалашнинг умумий усууларини ишлаб чиқышни тақозо қилди. Бу усуулар талаб қилип-пайызынан мудиби мұаият вазифаларни энг яхши тарзда бажарадиган, үз замонасны учун энг мүкаммал машиналар яратышга имкон түфдирди. Маълумки, машинасозлик саноат тармоғын сифатида XVIII асрдағы пайдо була бошлаган бұлса, XIX асрдан тез ривожлана бошлади (айникса Англияда АКШда).

Россияда дастлабки машинасозлик заводлари XVIII асрда пайдо бўла бошлади; 1861 йилда уларнинг сони юзтадан ошиб кетди, 1900 йилда эса тахминан 1417 тага етди. Бироқ Улур Өктябрь социалистик

революциясига қадар бизнинг машинасозлигимиз ривожланиш даражаси жиҳатидан ҳам, ишлаб чиқариш кўлами жиҳатидан ҳам ривожланган мамлакатлардан орқада эди, машиналарнинг ярми чет элдан келтирилади. Фақат Совет ҳокимияти давридагина бизнинг мамлакатимизда қудратли машинасозлик тармоғи ривожлантирилиб, у жаҳоннинг энг яхши намуналаридан қолишмайдиган, баъзи ҳолларда эса улардан устунлик қилиувчи турли машина ва механизмларни муваффақиятли яратмоқда.

Юқори даражада такомиллашган ватанимиз машинасозлиги Улур Ватан урушида ғалаба қилишимизни таъминлаган омиллардан бирин бўлди; ҳозирги вақтда машинасозлик ҳалқ хўжалигининг бошқа тармоқлари қаторида мамлакатимизнинг фан-техника тараққиётини жадаллаштириш масалаларини муваффақиятли ҳал этмоқда.

Машина ва механизмлар назарияси «Амалий механика» номи билан XIX аср бошида шаклана бошлади; у вақтда асосан механизмларни структура, кинематика ва динамика нуқтаи назаридан таҳлил қилиш усусларни ишлаб чиқилар эди. Фақат XIX аср ўрталаридан эътиборан машина ва механизмлар назариясида механизмларни синтез қилишининг умумий усуслари ривожлантирила бошланди. Чунончи, атоқли рус олимни, математик ва механик, академик П. Л. Чебышев (1821 — 1894) пишангли (ричагли) механизмларнинг структураси ва синтезига онд 15 та илмий ишини эълон қилди, бунда у ишлаб чиқилган усуслар асосида берилган траекторияни амалга оширадиган, бошқа бўғинлар ишлаб турганида баъзи бўғинларни тўхтатиб қўядиган 40 дан ортиқ механизми яратди ва ясади. Ҳозирги вақтда текис механизмларнинг тузилниш формуласи Чебышев формуласи дейилади.

Немис олими Ф. Грасгоф (1826 — 1893) синтез қилиш учун зарур бўлган ясси пишангли механизм бўғинининг бурниш шарт-шароитларни математик тарзда таърифлаб берди. Инглиз математиклари Д. Сильвестр (1814 — 1897) ва С. Роберте (1827 — 1913) эгри чизиқлар (пантографлар) ни ўзгартирувчи пишангли механизмлар назариясини ишлаб чиқдилар.

Автоматик ростлаш назариясининг асосчиларидан бирин сифатида танилган Петербург технология институтининг профессори И. А. Вишневеградский (1831 — 1895) қатор машина ва механизмлар (автоматик пресс, юк кўтариш машиналари, насос ростлагичи) ишлаб чиқди ва машиналар лойиҳалашнинг илмий мактабини яратди.

Турли машиналарда кўплаб кўлланиладиган тишли механизмларни синтез қилиш усуслари маълум даражада мураккаблиги билан ажralиб туради. Француз геометри Т. Оливье (1793 — 1858) текис ва фазовий плашмалардаги ўзаро уринувчи сиртларни ҳосил қилиувчи юзалар ёрдамда синтез қилиш усусларни асослаб берди. Инглиз олими Р. Виллис (1800 — 1875) текис плашманинг асосий назариясини исботлади ва планетар тишли механизмларни тадқиқ этишининг аналитик усулини таклиф этди. Немис машинашуноси Ф. Рело (1829 — 1905) ҳозирги вақтда «нормаллар усули» сифатида маълум бўлган ўзаро уринувчи сиртларни синтез қилишининг график усулини ишлаб чиқди. Рело механизмларнинг структураси (тузилниши) ва кинематикасига онд ишларнинг муаллифи ҳамдир. Рус олими Х. И. Гохман (1851 — 1916) биринчилар

қаторида илашманинг аналитик назарияси бўйича илмий ишини эълон қўлди.

«Рус авиациясининг отаси» Н. Е. Жуковский (1847 — 1921) машиналар динамикасига салмоқли ҳисса қўшди. У ҳозирги замон аэродинамикасининг асосчиси булибгина қолмай, балки амалий механикага ҳамда машиналар ҳаракатини ростлаш назариясига доир қатор илмий ишларниг муаллифи ҳамdir.

Мойлашнинг гидродинамик назарияси асосларини яратган Н. П. Петров (1836 — 1920), қишлоқ хўжалик машиналарини ҳисоблаш ва қуришнинг назарий асосларини яратган (қишлоқ хўжалик машиналарини ҳисоблашнинг бутун муракаблиги шундан иборатки, уларнинг ижрои механизмлари инсон қўллариdek ҳаракатлар қилиши зарур) В. П. Горячkin (1868 — 1935) машиналар механикасининг ривожланишига ҳисса қўшдилар.

Рус олим Л. В. Ассур (1878 — 1920) ҳозирги вақтда ҳам механизмларни таҳлил ва синтез қилишда татбиқ этилаётган кўп бўғинли механизмлар тузилишининг умумий қонуниятини очиб берди. У муракаб пишангли механизмларни кинематик таҳлил қилишда «алоҳида нуқталар»дан фойдаланиш усулини ҳам ишлаб чиқкан. А. П. Малишев (1879 — 1962) мураккаб текис ва фазовий механизмлар структурасини таҳлил ва синтез қилиш назариясини таклиф этди.

Машиналар механикасининг яхлит машинасозлик назариясига айланнишида Н. И. Артоболевский (1905 — 1977) салмоқли ҳисса қўшди. У машина ва механизмлар назарияси билан шуғулланувчи совет мактабининг ташкилотчисидир; у механизмларнинг структураси, кинематикиси ва синтезига, машиналар динамикаси ва машина-автоматлар назариясига оид кўплаб илмий ишлар, шунингдек кўпчиллик маъқул келган дарслклар езди.

И. И. Артоболевскийнинг шогирдлари ва издошларн — А. П. Бессонов, Вяч. А. Зиновьев (1899 — 1975), Н. И. Левитский, Н. В. Умнов, С. А. Черкудинов ва кўргина бошқалар машиналар динамикаси (шу жумладан, акустик ва ноголоном динамика), механизмларни оптималь синтез қилиш, машина-автоматлар назарияси ҳамда машина ва механизмлар назариясига бошқа соҳаларида уни янада ривожлантиришга ҳисса қўшдилар.

Механизмлар аниқлиги назариясни яратувчиларида бири булган Н. Г. Бруевич, фазовий механизмлар кинематикасига оид ишлар муаллифи Г. Г. Баранов (1899 — 1968), эластик бўғинли механизмлар ва оғир юкланган машиналар механизмларини динамик таҳлил қилишининг умумий усусларини ишлаб чиқкан С. Н. Кожевников 30 ва ундан кейинги йилларда машина ва механизмлар назариясига ўз тадқиқотлари билан катта ҳисса қўшдилар.

Мамлакатимизнинг энг қадимий кафедраларидан бири — Н. Э. Баumannомын Москва олий техника билим юритидаги машина ва механизмлар назарияси кафедраси олимларининг илмий ишларини алоҳида таъкидлаб утиш лозим. Бу ерда Ф. Е. Орлов (1843 — 1892) амалий механика курсини яратди ва 1872 йилдан шу курсдан дарс бера бошлади. Сунгра курс ҳам методика, ҳам назария жиҳатидан ривожлантирилди ва чукурлаштирилди. Д. С. Зернов (1860 — 1922) узатмалар назариясини кен-

гайтириди Н. И. Мерцалов (1866 — 1948) текис механизмлар кинематикасини текширишни фазовий механизмлар назарияси билан тұлдырди ҳамда маҳовикини ҳисоблашнинг содда ва ишончлы усулини ишлаб чиқди; Л. П. Смирнов (1877 — 1954) механизмлар кинематикасини ҳамда машиналар динамикасини тадқиқ этишнинг график усулларини анық ягона системага келтирди; В. А. Гавриленко (1899 — 1977) эволюентасимон тишли узатмалар назариясини ишлаб чиқди; Л. Н. Решетов муштли механизмлар назариясини ривожлантириди ва үзи ўрнашувчи механизмлар назариясига асос солди.

Хозирги вақтда кафедра колективи машина ва механизмлар назариясын үкүв курсини тәкомиляштириш устида ишламоқда. Яңғы техниканың жаңдал ривожланиши олий таълим соҳасында олдига ҳам яңғы муаммоларни қўймоқда. Шу сабабли машина ва механизмлар назарияси курсига ейилишга, бўгинлар эластиклнгининг механизм ҳаракатига таъсирига, титраш жиҳатидан активлик ва титрашдан ҳимоялашга, манипуляторни лойиҳалашга, механизмлар системаларини бошқарнишга онд бўлимлар киритилди. Бу бўлимларниң мазмуни дарсленинг тегишли бобларида баён этилган.

## 1-60

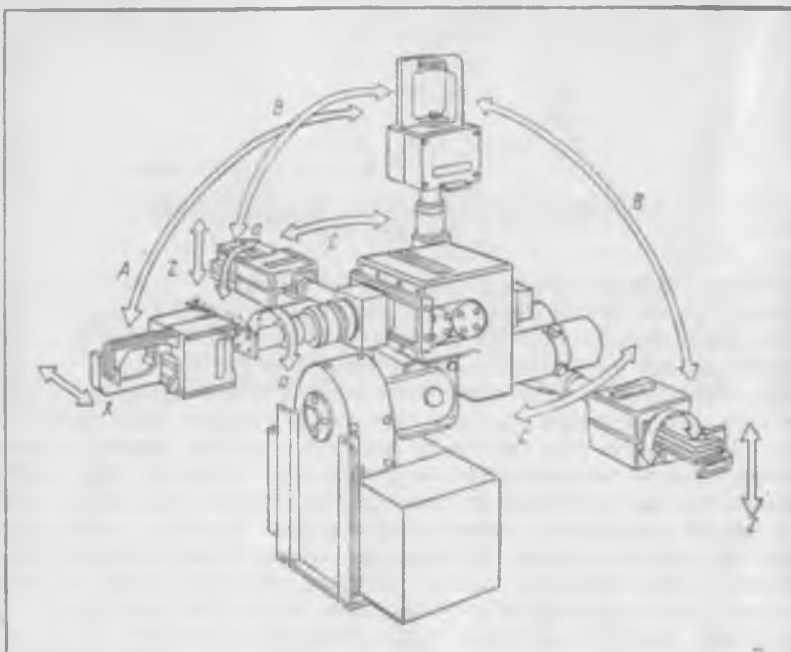
### МЕХАНИЗМ ВА МАШИНАЛАР НАЗАРИЯСИННИГ МУАММОЛАРИ

Техник асримизни қандай ном билан атамалык — космос ёки автоматика асрими, атом ёки электроника асрими — техник тараққиёттинг асоси машина бўлиб келган я ва яна шундай бўлиб қолаверади. Машинасозлик халқ хўжалигининг етакчи тармоғи бўлиб, кўп таб бошқа тармоқларга машиналар, механизмлар, асбоб-ускуналар етказиб берувчи моддий-техник базадир. Ижтимоий меҳнат унумдорлиги ва халқ фаровонлиги кўп жиҳатдан машинасозликнинг ривожланганлик, машиналарнинг такомиллашганилик даражасига боғлиқдир. Шу сабабли мамлакатимизни иқтисодий ва социал ривожлантириш планларида машинасозликни илгарилатма ривожлантириш кўзда тутилган; унинг олдида энергия ва материалларни кўп миқдорда тежашга имкон берувчи технологиядан фойдаланишга шароит яратувчи машина ҳамда механизмларнинг, автоматлаштириш воситаларининг янги конструкцияларини ўзлаштириш, халқ хўжалигининг турли тармоқларин учун зарур бўлган машина ва механизмларнинг ишончлилиги ҳамда чидамлилигини таъминлаш, уларнинг иқтисодий самарадорлиги ва иш унумини ошириш вазифалари турибди.

Машинасозлик олдига жуда мураккаб вазифалар қўйилган. Машина мустаҳкам бўлиши, ишончли ва юқори даражада унумли ишлаши, шу билан бирга у енгил, материал сигими ва энергия сарфи мумкин қадар кам бўлиши, атроф-муҳитни иғлослантирумаслиги, техник эстетика ва эргономика талабларига жавоб берадиган бўлиши керак. Ана шу вазифаларни муваффақиятни ҳал этиш, ҳозирги замон талабларига жавоб берадиган яхши машиналар яратиш учун машинасозлик соҳасидаги мутахассислар қатор фанлар, шу жумладан, механизм ва машиналар назарияси асосларидан билимга эга бўлишлари зарур.

Кинематик схема реал машина конструкциясининг «скелети» дир. Механизм схемасини танлаш ва лойиҳалаш машинани лойиҳалашнинг дастлабки ва асосий босқичидир. Бўлғуси машина деталларининг ўлчамларини ва материалини танлаш конструкция лойиҳасининг кейинги босқичи бўлади. Лойиҳалаш у ёки бу конструкцияни ясаш усуслари ва воситаларини танлаш билан якунланади. Ана шу оддий мулоҳазалардан ҳам кўриниб турибдики, лойиҳалашнинг охириги икки босқичи дастлабки, белгиловчи босқичга таянади. Шунинг учун ҳам машиналарни лойиҳалашнинг назарий асоси бўлмиш машина ва механизмлар назариясининг роли ниҳоятда катта эканлигини тушуниш қийин эмас.

Машина ва механизмлар назарияси ўзининг ҳозирги кўринишида

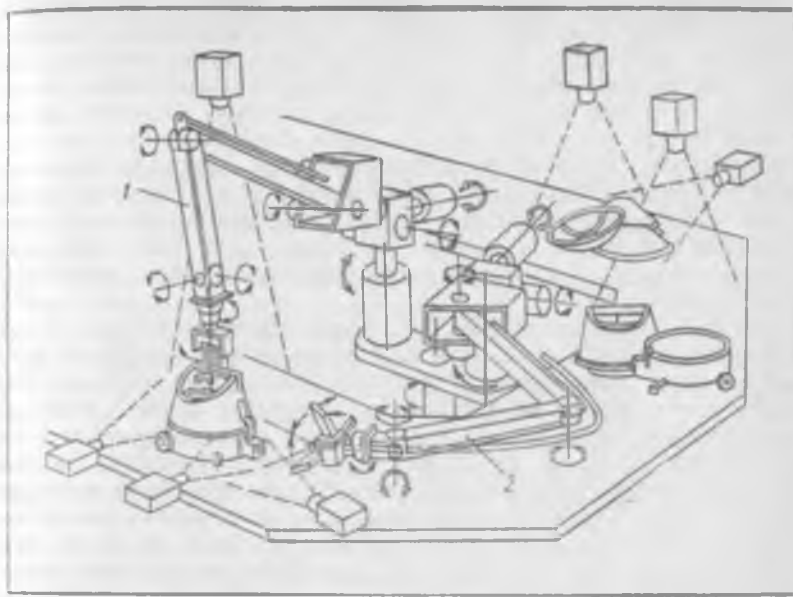


1.1-расм

комплекс фан бўлиб, унда машинанинг структураси, кинематикаси ва динамикаси ҳамда уни таҳтил ва синтез қилиш муаммолари энг қўйлай тарзда лойиҳалаш ва бошқарниш муаммоларни билан чамбарчас боғланиб кетган.

Замонавий техника тараққиётининг асосий йўналишларидан бири, шилаб чиқаришнинг ҳамма турларини автоматлаштиришидир. Бу вазифани ҳал этишда робототехника системалари катта ҳисса қўшади. Илмий фантастика асарлари саҳифаларида пайдо бўлган «робот» сўзи ҳамма томонидан қабул қилинган илмий атама (термин)га айланди, у турли-туман механик операцияларни бажара олиши билан бир қаторда вужудга келувчи мантиқий масалаларнинг маълум бир мажмумини мустақил равишда еча оладиган юқори даражадаги техник системани билдиради.

Хозирнинг ўзидаёқ робототехника системасининг кўпгина турлари саноатда юклаш, жойлаштириш, содда қисмларни йигиши каби ишларни бажармоқда (1.1-расм). Агар робот манипуляторлар 1 ва 2 билан, ташкин мұхитининг ҳолати ҳамда ўзи ишлаётган обьектларнинг хусусиятлари тўғрисидаги ахборотни қабул қилувчи ва уни қайта ишловчи система билан жиҳозланган бўлса (1.2-расм), у ҳолда тўпланган ахборотдан кейинчалик топширилган программани амалга ошириш жараёнда фойдаланилади.



1.2-расм

Технологик жараён, мұхиттіннің ҳолаты, манипуляция обьектиннің ғазода нисбий жойлашуви ҳақида катта ҳажмда ахбороттнинг мавжуд бўлиши турли-туман ишларни, хусусан, мураккаб шаклдаги элементларни пайвандлаш, деталлари ихчам жойлашган қисмларни йигиш каби нозик ишларни кенг даражада автоматлаштиришга имконият туғдиради. Бунда робототехника системаси иш позициясига келтирилаётган бутун деталлар комплектидан кераклигини танлаб олади, транспорт оқимларини ростлаб туради. Пировард оқибатда худди ана шундай робототехника системаюари алоҳида технологик операцияларни буткул автоматлаштирилган ишлаб чиқарышнинг яғона занжирига бирлаштирувчи элементлари бўлиб қолади. Бунда сиз ишлаб чиқарышни автоматлаштириш түғрисида гапирганимизда, муайян турдаги маҳсулот ишлаб чиқарувчи тор ихтисослаштирилган машина-автоматларни назарда тутаётганимиз йўқ. Гап қайта созланиши иш программасини ўзgartиринишдангина иборат бўлган, сонли программа билан бошқарилувчи универсал ускуналардан кенг кўламда фойдаланиш түғрисида бормоқда.

Бундай ишлаб чиқариш тўхтовсиз ва яхши ишлаши учун элекгроҳ ҳисоблаш техникаси негизида қурилган кўп босқичли бошқарувчи сис-темаси ташкил қўлниниши шарт. Машина ва бошқарувчи ЭҲМнино бирегаликда ишлайини ўрганиши, керакли алгоритм ҳамда програм-маларни ишлаб чиқши ҳам машина ва механизмлар назарияси вазифаларидан биридир.

Программа билан бошқарылувчи автоматтік манипуляторлар ердамнан ишланыптаған обьектларни ташып, уларнан ишловчы машиналарда маңқамлашпа бүшатыш, үраб-ёпиш па ечиб-очиши, текшириш-ұлчаш каби күпгина ишларни амалта ошириш мүмкін. Бундағы автоматтік машиналар па системалар фәқат илмій-таджықот ишларнан, көннөтідә, деңгиз па океан тубида, ер остида түрлі ишларни бажарыладығына эмас, балки инсоннан оғир жисмоний мәхнатдан озод қылиш мақсадыда құлланилмоқда па бундан кейин ҳам құлланилады. Ишни бажариш чөнди инсонға бошқарышининг нжодий па актілік функцияларнан па зарур маңлумотларнан киришти каби ишларни қолдирған ҳолла уннанға оғир ва толиқтирадыган томонларнан робот зиямасында юклаш жуда катта социал ахамияттаға эга.

Одатда, автоматтік машина па системаларнанға иш органлары үз структурасында күра күпгина эркінлік даражаларында эга бүлгап фазовий кинематик занжирлардан иборат (1.2-расм). Шу сабаблы қозирғы замон машина па механизмлар назариясын олдиде роботлар, манипуляторлар, одимловчы машина па бошқа машина ҳамда системалар механизмларнанға схемасында структура, кинематика па динамика жиҳатидан таҳтасында синтез қылишга онд янги масалалар юзага келмоқда. Иш органлары қаралатынанға түрғун түркімнен масалалары ҳал қылышы, улар қаралатынанға вүзүдегі келадын тәбранма жарайндар үрганилышы, иш органлары қаралатынға энг мақбул қоюнлары билан бөлгөн масалалар күриб чиқылышы, ана шу органларнанға қаралат алгоритмлары ишлаб чиқылышы лозим.

Механикага доир масалаларни ечишда юртмаларнанға асосий параметрлернан, юртмаларни бошқарувлы меканиздар динамикасында ана шу параметрлер таъсиринде қаралатынады. Юртмаларни ишлаб чиқып мұаммосы, роботлар, манипуляторлар, одимловчы машиналарни бошқарып системаларни ишлаб чиқып мұаммосы шунда үшшаш машиналар яратылады энг мұхым мұаммольардан бири қаралатынады. Ана шу мұаммольарни ҳал қылышда ишончлироқ иштайдын, ташқы ұлтамлары құлай, инерционнегі камроқ, тезлик доирасы кенгроқ бүлгап системаларни яратып масалалары пайдо бўлади.

Одам-оператор ёки программали қурилма бошқарадын саноат роботлары па манипуляторларнан биринчи авлод роботларында мансуб дейиши мүмкін. Қозирғы даврда инсонға хос сезгіларға эга бүлгап, чунончи, сезиш, күриш, эшитиш, ҳын билиш органларында, шуннанға жатто инсон сеза олмайдын ахборотни, масалан, ультратовуш, титраш, электромагнит па иссиқлик майдонлары па қоқазоларни қабул қылыш органларында эга бүлгап кейинги авлод роботларнан яратып ишлары тез ривож топиши лозим. Бундан юқори авлод роботларында мансуб қурилмалар сунъий ақл-идрекка эга бўладилар. Инсоннанға робот билан алқада бўлиш усуулларни ишлаб чиқышда, «инсон — робот» системасында одам-оператор қарастырыларнан үрганишда, шуннанға жатто түрлі дара жадаги мустақиллікка эга бүлгап роботлар па инсон үргасында вазифаларнанға тақсимланишини таджик қылышда мұраккаб масалаларни ҳал қылыш лозим бўлади. Бунда робот-санитарлар, робот-хирурглар па шу кабилалар яратышга истиқбол очилади.

**ЭХМ**нинг пайдо бўлиши ишлаб чиқарышни автоматлаштиришини бошқариши системаларида инқилобий аҳамият касб этди. ЭХМ ёрдамида кўп бўғинли, бир неча эркинлик даражасонга эга бўлган механизмларни таҳтил қилиш, алоҳида меканизмларни ҳам, автоматик ишловчи мураккаб машиналарни ҳам қулай тарзда синтез қилиш масалаларини ҳал этиш, кўп мезонлни ва кўп параметрни машина қурилмаларини лойиҳалаш масалаларини ҳал қилиш, кўпгина замонавий машиналарни программа асосида бошқариш, манипуляторлар, роботлар, одимловчи ва бошқа машиналар типидаги биомеханик қурилмали янги машиналарни бошқариш мумкин бўлиб қолди.

Янги яратиладиган машина-автоматлар топширилган технологик жаражонни юксак самарадорлик билан бажарадиган ва инсонни машинанинг ишнини назорат қилишдан имкони борича кўпроқ озод этиш учун автоматик бошқариладиган бўлиши керак.

Меҳнат унумдорлигини ошириш, маҳсулот миқдорини кўпайтиш, ишлаб чиқаришнинг иқтисодий кўрсаткичларини яхшилаш мақсадида фақат машина-автоматларгина эмас, балки аста-секин ҳатто одам иштирокисиз ишлайдиган завод-автоматларга ўтувчи турли автоматик поток линиялар кўриннишидаги автоматик ишловчи машиналар системалари ҳам яратилади. Бундай линияларда асосий технологик жаражонлар маҳсулотни ташиш, текшириш, ўраб-жойлаш, чиқарилётган маҳсулотни хиоблаш каби жараёнлар билан янона умумий системага узвий боғланган бўлади. Булар оддий линия типидаги поток линиялар, ротор линиялари, саноат роботлари қўлланиладиган ҳалқасимон линиялар бўлиши мумкин.

Яқин келажакда яратиладиган машина-автоматлар ва автоматик ишловчи системалар уларни ҳар хил параметрлари, мезонлари, курсаткичлари бўйича бошқариш даражасини юқорилиги билан ажralиб туради. Бошқариш системалари бошқарилувчи объектга ва у ишлайдиган шартшаронитга нисбатан қўйиладиган таълаб кура электрон, пневматик, гидравлик ва механик типдаги мантиқий элементларга эга бўлиши мумкин. Бошқариш системасин үзгариб турувчи ташки шаронитларда таълаб қўтинувчи технологик жараённинг сифатли бажарилишини таъминлашга имкон берадиган бошқарилувчи объектларнинг мослашувини ҳамда автоматик созланшини таъминлайтирилган блокларни ва хотирия блокини ўз ичига олиши мумкин.

Механизмларни синтез қилиш масалаларини ечишда биз кўпинча кўп мезонлни системалар билан иш кўрганимиз сабабли синтез қилиш масаласи одатда энг мақбул вариантларни қидириш билан боғлиқ бўлади. Энг мақбул вариантларни ёки улар мавжуд бўлган соҳаларни топиш учун механизмларнинг энг мақбул синтези назариясини ривожлантириши таълаб қўлиниади. Бундай масалаларни ЭХМ ёрдамидағина ечиш мумкин, бу эса керакли алгоритм ва программалар ишлаб чиқишини таълаб қўлади.

Узатиш механизмларининг таҳлили ва синтези соҳасида катта вазифалар турибди. Бунда, даставвал, тишли, айниқса, фазовий тишли илашмалар синтезини янада ривожлантириш зарурлигини айтиб ўтиш лозим. Планетар ва дифференциал схемага эга бўлган мураккаб тишли редукторларни лойиҳалаш назарияси ва усуулларни ҳам яшада ривож-

лантириш зарур. Түлкінсім он узатмалар синтези назарияси ва усууллары тез риекшерлендірілгенде. Саноатнинг деярли барча тармоқларыда узатыш функциялары босқытсыз ғана жарылғанда ишончлы механизмларга әхтірілген көзінде орналасада. Тұхтаб-тұхтаб ҳаракатларының амалға оширувчи мальта, храповиктер, пишанглар да башқа типтердегі механизмдер назарияси ривожданып келеді.

Машина ва механизмлар назариясининг асосий масалаларидан бирі бүлгап юритма — етакланувчи механизм системасининг синтези масаласы янгича құйилиши ҳамда замонавий ҳисоблаш алгоритмлари ва ҳисоблаш техникасы ёрдамида ҳал қилиниши даркор. Бу гап, биринчи навбатда, чизиқлы ёки айланма ҳаракатыннеги гидравлик ва пневматик юритмалары құлланыладыган, жуда кең тарқалған системаларға тааллуқтайдыр. Системанинг эң мақбул түзилішини танлаш масаласыга келганды эса, дастлабки босқычтарда лойиҳаловчининг билими ва тажрибасынга таяниш лозым, чунки инсоннинг ЭХМ билан диалогидан кең фойдаланыладыган, турли-туман оптималлаштирилған (бироқ ихтиёрий тарзда танланмаган) параметрли структуралар таққосланыладыган, у ёки бу вариантнинг имконият чегаралары ҳақидағы ахборот күпайиб бораётган ҳозирғи шароитта лойиҳаловчининг билими ва тажрибаси тез үсіб боромақда.

Кейинги үн йил ичидә машиналарнинг ишлаш тезлиги аңчагина ортди, бу эса механизмларнинг бүғиларига ва машиналарнинг иш органларига тушадиган динамик юкларнинг ошишігагина эмас, титраш даражасининг ва титрашдаги шовқынлар даражасининг аңчагина ортишга сабаб бўлди. Ҳар қандай машина ишлаетганда титрайди, шу сабабли кейинги йилларда машиналарни титрашдан ҳимоялаши ва улардаги шовқин даражасини пасайтириши мұаммоси ҳам машина ва механизмлар назарияси курсида ўрганила бошланди. Бунда шуни таъкидлаш лозимки, «кисон — машина — мұхит» системасини үрганиш ҳам машина ва механизмлар назариясининг предметига айланмоқда. Бу масала замонавий тезюар транспорт воситаларини ва учиш аппаратларини, шунингдеги титраб ишлайдиган машиналарни бошқарувчи одам-операторни титрашдан ҳимоялашине самаралы воситаларини ишлаб чиқишида айниқса долзарбидир. Бундай машиналарда резонанс ва титрашнинг фойдалы таъсири қаттиқ тоғ жиынтарини қазиб оладиган, титратиш усули билан майдалайдиган, титратиш усули билан аралаштирадиган, титратиш усули билан ажратиб тозалайдиган, титратиш усули билан ташийдиган, титратиш усулида темир-бетон буюмлар тайёрлайдиган, титратиш усулида прокатлайдиган ва бошқа ишларни бажарадиган юқори даражада тежамли ва серунум машиналар яратишга имкон беради.

Автоматик ишлайдиган машиналарнинг энергетик, куч ва тезлик хусусиятларининг ўсиши, уларнинг аниқлиги ва ишончлигига нисбатан юқори талаблар қўйиладиганда машиналарни барқарор (стационар) ва барқарор бўлмаган тартибларда (режимларда) динамик тадқиқ этиш ва ҳисоблаш усулларини ривожлантиришин талаб қиласиди. Барқарор бўлмаган тартибларни ўрганиш транспорт машиналари, юк кўтариш машиналари, титраб ишловчи машиналар ва шу кабилар учун алоҳида аҳамиятга эга.

*Бўғинларининг массаси ўзгарувчан бўлган машиналар динамикасини ривожлантириш техника учун, масалан, ишланадиган буюмнинг массаси ўзгарувчан бўлган технологик машиналар: конвейерлар, ортувчи-тушшувчи, босма, ўровчи машиналарни тадқиқ этишда катта аҳамиятга эга. Бунда факат буюмнинг массаси эмас, балки баъзи ҳолларда механизмнинг структураси ҳам ўзгариши мумкин.*

*Машиналар динамикасининг ривожланишида тебраниш масалалари алоҳида роль ўйнаиди. Бир томондан, бу — машина ва механизмларнинг титрашга чидамли конструкцияларини бунёд этиш йўли билан титрашга қарши кураш масалалари бўлса, бошқа томондан, бу — турли технологик жараёнларни бошқариш мақсадида титрашнинг резонанс таъсиридан фойдаланиш ва талаб қилинувчи кинематик хусусиятларга эга бўлган янги титраб ишловчи механизмлар яратишдир.*

Айтиб ўтганимиздек, ҳамма машиналар ишлатётганида титраиди ва бу титраш кўпинча у ёки бу соҳада техниканинг янада ривожланишига тўсқинлик қилади. Масалан, роторнинг ва таянч подшипникларининг титрашга чидамлилиги пастлиги катта тезлик билан ишловчи роторли машиналарнинг тезкорлигини янада оширишга, охириги босқичлар куракларининг титрашини буғ ва газ турбиналарининг қувватини оширишга, иш куракчаларининг тебраниши қувватни вертолётлар яратишга, қирқувчи асбоб ва станиннинг титраши металл қирқувчи дастгоҳларнинг аниқлик даражасини оширишга, алоҳида элементларининг титраши эса юқори даражада аниқ ва ишончли автоматик бошқариш системаларини яратишга имкон бермайди.

Титраш конструкцияларда катта зўриқиш вужудга келтиради, оқибатда улар толиқиши натижасида синади, баъзан эса жиддий фалокатлар рўй беради.

Титраш зарарли шовқин манбаидир: шовқин инсон физиологиясига зарарли таъсири этибигина қолмай, шунингдек материалнинг акустик толиқишига ҳам олиб келади. Титраш машиналар, механизмлар ва бошқарниш системаларининг беғиланган кинематик қонунларга бўйсунувчи асосий ҳаракатини, берилган ҳаракат қонунининг барқарорлигини бузади ва кўпинча бутун системанинг ишдан чиқишига сабаб бўлади.

Машиналарнинг титраши инсон физиологиясига тўғридан-тўғри таъсири қилади, унинг функционал фаолиятини ва ишлаш қобилиятини пасайтиради, тирик организмнинг айрим системаларига шикаст етказади.

Шу билан бирга, чекланган жадалликдаги ва вақт бўйича меъёр доирасидаги титраш тирик организмга ижобий таъсири этиши ҳам мумкин. Даволаш мақсадида маҳсус титратиш механизмлари ва курилмаларидан фойдаланган ҳолда титратишнинг самарали физиологик таъсири титратиб қўзгатиши, титратиб уқалаш усуслари сизларга мъалум. Ушбу йўналишда янгидан-янги тадқиқотлар учун истиқболлар очилмоқда.

Титратиш фойдали роль ўйнайдиган янги типдаги машиналар титраш принципида ишлайдиган машиналар дейилади. Улар резонанснинг фойдали таъсири туфайли кейинги йилларда техниканинг турли соҳаларида кенг ишлатила бошланди. Титраш принципида ишловчи машиналар, асбоблар, ускуналар ва стендлар турли-туман технологик жараёнларни амалга оширади.

Титраш ҳақидаги фан уни аниқлаш, ўлчаш ва унинг шиддатини им-

Коният даражасида камайтириш усулларини ўрганади. Шу билан бирга бу фан титрашии бутунлай йўқотиш мумкин бўлмаганда титраш оқибатларини аниқлаш усулларини ҳам ишлаб чиқади. Масалан, матерналнинг толиққанлиги тўғрисидаги маълумотлар асосида машиналарнинг узоққа чидамлилигини аниқлаш мақсадида титраш амплитудаларини ҳисоблаш, шовқинни пасайтириш, шунингдек динамик зўриқишининг рухсат этилган миқдорларини аниқлаш усуллари шулар жумласига киради. У ёки бу агрегат машиналарининг аҳволи тўғрисида маълумот олиш учун титраш энг ишочли диагностика воситаси ролини ўйнаайди, фалокатнинг олдини олишга имкон беради.

Машиналарнинг ишлаш имкониятини, яъни уларнинг хизмат муддатини улар бундан кейин фойдаланишга яроқсиз ҳолга келмасидан олдин (махсус аломатлардан билиб олиш мумкин) ўрганиши ва прогноз қилиши муҳим аҳамиятга эга. Мустаҳкамлик аломатига кўра машинанинг хизмат муддати одийгина емириш йўли билан (машинасозликда — асосан толиқтириб емириш йўли билан), шовқиннинг ёки титрашии шартни аломатига кўра эса — рухсат этилган амплитудалар меъберига биноан аниқланади ва ҳоқао. Титраш фалокатнинг олдини олган ҳолда машинанинг хизмат муддатига олдиндан ва ишончли баҳо беришга имкон берувчи бирдан-бир ягона восита ҳисобланади.

Муҳим социал масалани ҳал қиладиган машина динамикасининг бошқа бир муаммоси машиналарнинг акустик динамикаси муаммоси, яъни машиналардаги шовқин ҳодисаси манбалари ва сабабларини ўрганиш ҳамда маълум даражадаги шовқинни тұла ёки қисман йўқотиш билан боғлиқ бўлган машиналар динамикаси масалаларини ишлаб чиқиши муаммоондир.

Замонавий математик усуллар ва электрон ҳисоблаш техникасининг ривожланиши юқорида кўрсатиб ўтилган қатор муаммоларни ҳал этишга имкон берди, бир ж усулларни янада такомиллаштириш, замонавий математикани машина ва механизмлар назариясига янада яқинлаштириш йўлида янада жуда кўп ишлар қилинниси зарур.

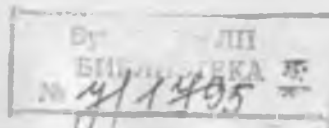
Машиналардаги бўғинлар эластиклигини ҳисобга олиш мураккаб кинематик занжирлардаги тебраниш ҳодисаларини, бўғинлар ва кинематик жуфтликларга тушувчи юкларни аниқлашга, резонансдан сақлапиш, вужудга келувчи тебраништарни тинчлантириш юзасидан тавсиялар беришга, механизмнинг берилган ҳаракат қонунларини аниқлаш масалаларини ечишга имкон берди. Тезорар машиналарининг яратилиши муносабати билан автоматик мувозанатлаш усуллари янада ривожлантирилади.

Кейинги ўн йил ичидаги фазовий механизмлар назариясига, жумладан, уларнинг динамикасига қизиқиш ортди, чунки бундай механизмлар, хусусан, робот ва манипуляторларни жорий этишга, космик обьектларни туташтиришга доир масалаларда тобора кўп қўлланилаётти. Ушбу соҳада бир неча эркинлик даражасига эга бўлган фазовий механизмлар ҳаракатини тавсифлаш, уларни кучга текшириш усуллари ишлаб чиқилди, бу системаларнинг мувозанатланиши ва тебранишга доир масалалар ҳал қилинди.

Одатдагидек, машина ва механизмлар назариясинг мухим вазифаси турли машина ҳамда механизмлар хусусиятларини тадқиқ этишишинг тажриба усулларини ривожлантириши бўлади. Бунда ав-

томатик ишлайдиган машиналар системаларини корхонанинг шароитида тажриба йўли билан текшириш алоҳида аҳамият касб этади. Бунда тажриба натижасида олинган маълумотлар автоматик қайд этилади ва ЭХМ да қайта ишланади. Динамик тадқиқотларга мўлжалланган аппаратлар келгусида албатта янада такомиллаштирилади, чунки автоматлаштириш вазифалари ва тадқиқот обьектлари ҳисобланган замонавий машиналарда қисқа вақтда содир бўладиган жараёнларнинг ўзига хос томонлари шуни тақозо этади. Замонавий динамик тадқиқотларнинг ўзига хос ҳусусияти уларнинг комплекс тарздалигидир. Улар обьектларнинг ўзидаги ҳам (лаборатория, ишлаб чиқариш ва фойдаланиш шароитларида), ЭХМдан фойдаланган ҳолда математик моделлаш усуллари ёрдамида ҳам ўтилизаверади. Тажрибаларни олинадиган маълумотларнинг талаб қилинадиган дараҷада аниқ бўлишини таъминлаштирган планлаштириш усуллари ривож топди.

Тажрибавий динамиканинг ривожлантирилиши саноатда ишлатиладиган автоматик ускуналарни назорат қилиш ва уларга диагноз қўйиш усулларини ишлаб чиқиш ва такомиллаштириш учун шароит ҳозирлади. Машина-автоматлар, саноат роботларини манипуляторлари, двигателлар, учниш аппаратларига техник диагноз қўйиш усулларини ишлаб чиқиш механизмнинг ишга яроқилигини ва айни вақтда унинг носозлиги автоматларни аниқлайдиган холис сифат курсаткичларини ажратиб кўрсатишга асосланган.



## БИРИНЧИ БЎЛИМ

### МЕХАНИЗМЛАР, МАШИНАЛарНИНГ ВА МАШИНАЛАР СИСТЕМАСИННИГ КИНЕМАТИК ВА ДИНАМИК ХУСУСИЯТЛАРИНИ АНИҚЛАШНИНГ УМУМИЙ УСУЛЛАРИ

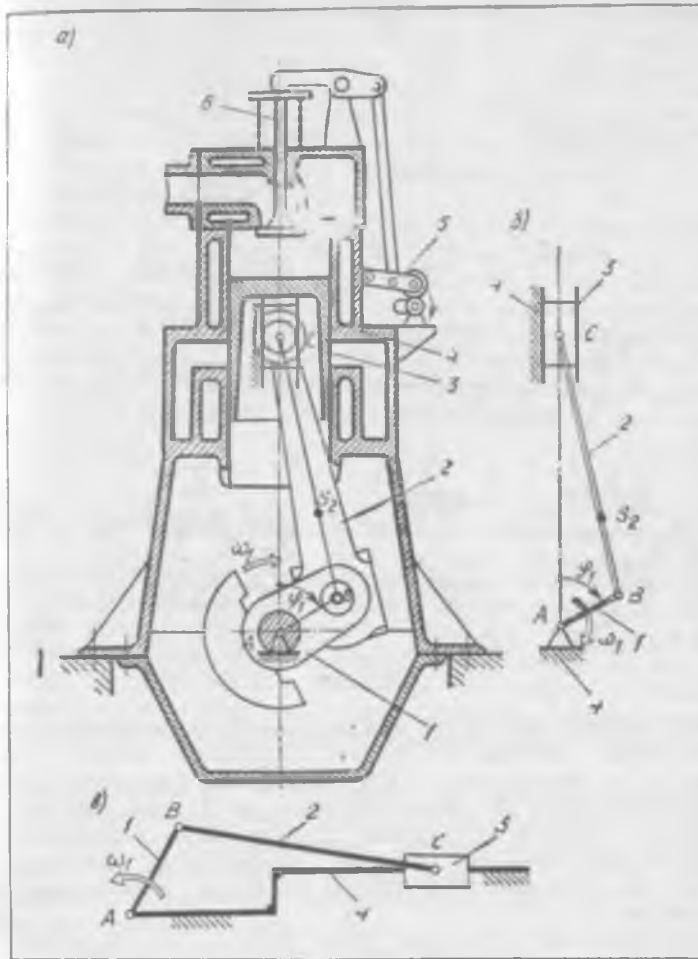
#### 2- боб

#### МЕХАНИЗМЛАРНИНГ ТУЗИЛИШИ

Механизм қаттиқ жисмлар системасидир. Шу сабабли механизмлар энг солда кўринищдан тортиб анчагина мураккаб ва ҳар хил тузилишга (структурага) эга бўлади. Механизмларниң амалга оширадиган ҳаракат турлари, уларни ўзгариринц усууллари, ёркинлик дарражаларининг сони каби асосий хусусиятлари уларнинг тузилиши билан белгиланади. Механизмни ҳосил қилиш, яъни унинг влоҳида қисмларини ягона системага бирлаштириш учун боғламалар (сириттирувчи қисмлар) қўлланнилади. Механизм тузишида бу боғламаларнинг тўғри тақсимланиши унинг ишончили ишлашига катта таъсир қиласди. Шу сабабли, лойхалашда кўргина турли-гуман механизмлардан энг мосини танлаш ва унинг асосий таркибий элементларини тўғри танлаш зарур. Буниш учун эса, даставал, замонавий механизмларниң асосий турларини, уларнинг тузилиш хусусиятларини ҳамда тузилиш қонуниятларини билиш зарур.

#### 2.1- §. Асосий таърифлар

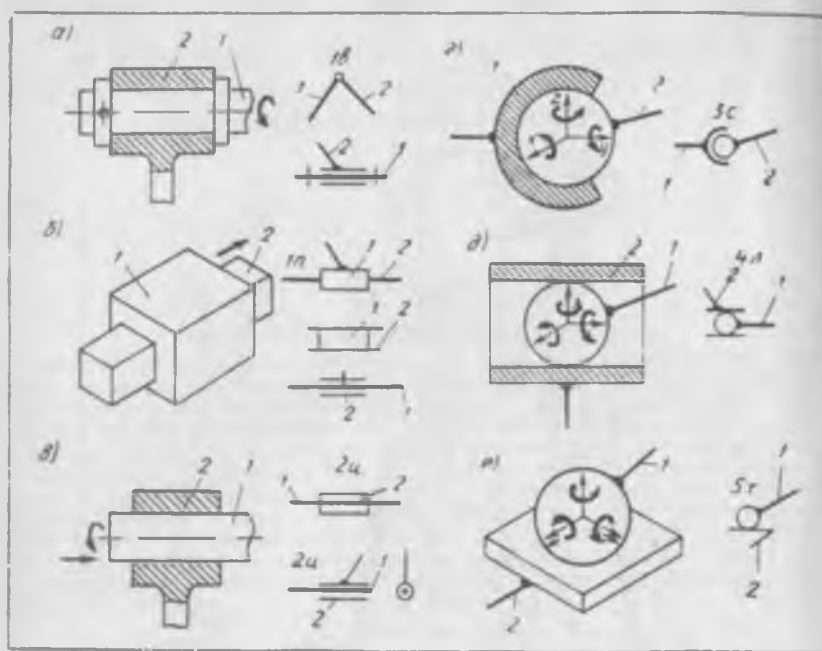
Механизмни ташкил қиласидиган қаттиқ жисмлар бўғинлар (звено) олар) дейилади. Бунда мутлақо қаттиқ жисмлар ҳам, деформацияланадиган ҳамда эгилувчан жисмлар ҳам назэрда тутилади. Механизмлар назариясида суюқлик ва газлар бўғинлар ҳисобланмайди. Бўғин ё ягона деталдан, ёки битта кинематик ўзгартмас системага бирлаштирилган бир қанча деталлардан иборат бўлиши мумкин. Бўғинлар конструктив аломатларига кўра (тираскли вал, шатун, поршень, тищли фидирек ва ҳоказо) ҳамда ҳаракатланиш турига кўра фарқ қиласди. Масалан, қўзгалмас ўқ атрофида тўла айланадиган бўғин кривошип деб, тўла айланмайдигани коромисло деб, тўғри чизиқли илгарилама ҳаракатланадигани эса ползун деб аталади ва ҳоказо. Механизмниң ҳаракатланмайдиган бўғини қисқа қилиб стойка дейилади. Транспорт машиналари, хусусан, учиш аппаратлари учун стойканинг қўзғалмаслиги тушунчаси шартлидир, негаки во ҳолларда стойканинг ўзи ҳаракатда бўлади. Масалан, 2.1-расм, а да энергетик машина — ички ёнувдвигатели (ИЕД) тасвирланган бўлиб, унда поршень 3 (ҳаракатланиш хусусиятига кўра — ползун) нинг цилиндр 4 ичидаги газ босими таъсирида илгарилама ҳаракати (қўзгалмас бўғин — стойка) шатун 2 ёрдамида маълум юк (қаршилик кучлари моменти) тушаётган тираскли вал (кривошип) 1 нинг айланма ҳаракатига ўзгартирилади. 2.1-расм, б да ИЕД нинг тузилиш схемаси тасвирланган.



2.1. pacm

Кинематик жүфтлик (қисқа — жүфтлик) деб, иккита ұзаро уринувчи бүгіннинг құзғалуынан бирикмасында айтилады (2.2-расм). Ҳар иккі бүгіннинг ұзаро уринувчи юзалари, қизықтары ва нұқталары бир-галиқда жуфтликнинг элементтери деңгелеседі. Жуфтликнинг элементтери дөнім ұзаро уринган қолатда бұлиши учун жуфтлик геометрик тарзда (бүгіннің шекаралық қисебиге) екін күч (օғирлік күчи, пружина, суюқлик екі газнинг босым күчи ва ұқақоз) таъсирида ту-таштырылған бұлиши керак.

Кинематик жүйхтік машиналарнинг ишга яроқтап келгінің тәсілдерін сипаттауда да оның мөнде анықталған болып көрек.



2.2- расм

тик жуфтликларда ишқаланиш вужудга келади, жуфтликнинг элементлари зўриқиши ҳолатида ва ейилиш жараёнида бўлади. Масалан, 2.1-расм, а да тасвирланган ИЕД механизми ишлаганида цилиндр гильзаси ва поршень ҳалқалари, тирсакли вал 1 нинг ўзак бўйни A ҳамда шатун B ва бошқалар ейлади. Шу сабабли кинематик жуфтлик турини, геометрик шаклини, ўлчамларини, конструкцион ва майловчи материалларни тўғри танлаш машинани лойинҳалашда катта аҳамиятга эга.

Ўзаро кинематик жуфтликни ҳосил қўйувчи бўғинлар системаси кинематик занжир дейиллади. Кинематик занжирлар ёпиқ ва очиқ куринишида бўлади. Ёпиқ кинематик занжирда ҳар бир бўғин камида иккита кинематик жуфтликка киради, очиқ кинематик занжирда эса фақат битта кинематик жуфтликка кирувчи бўғинлар бўлади. «Кинематик занжир» атамасидан фойдаланган ҳолда механизимга шундай тарьиф бериш мумкин: механизм — таркибига қўзғалмас бўғин (стойка) кирувчи ва эркинлик даражалари сони занжирнинг стойкага нисбатан ҳолатини белгилайдиган умумлашган координаталар сонига teng бўлган кинематик занжирдир. Масалан, эркинлик даражаси бирга teng бўлган ( $W = 1$ ) ИЕД кривошип-ползунали механизмининг схемасида (2.1-расм, б) механизминг бўғин 1 нинг бурчак координатаси  $\Phi_1$  кўринишидаги битта умумлашган координатаси тасвирланган; ҳосила  $\Phi_1 = \omega_1$  — бўғин 1 бурчак тезлиги.

Құралмас бүгін схемада штрихлар билан тасвирланади. Механизмдерде чиқыш ва кириш бүгінлары бўлади. Механизм мўлжалланган ҳаракатни содир қилувчи бүгін чиқиш бўғини дейилади. Кириш бўғини шуңдай бўғинки, унга бериладиган ҳаракатни механизм чиқиш бўғинининг талаб қилинган ҳаракатига айлантиради. Кириш бўғинларининг сони олтта механизмнинг эркинлик даражалари сонига, яъни унинг умумлашган координаталари сонига тенг бўлади; бироқ тенг бўлмаслиги ҳам мумкин.

Механизмни чизмада тасвирлашда унинг тузилиш (принципиал) схемаси ва кинематик схемаси фарқ қилинади. Тузилиш (структуря) схемасида бүгін ва жуфтликларнинг шартли белгилари қўлланилади (бўғинлар улчамлари кўрсатилмайди); кинематик схемада кинематик ҳисоблаш учун зарур бўладиган улчамлар кўрсатилади. Схемаларда бўғинлар рақамлар билан, жуфтликлар ва бўғинларнинг турли нуқталари эса ҳарфлар билан белгиланади; масалан, 2.1-расм, б да айланма бўғин I-4 A билан, шатун 2 нинг нуқтаси (массалар маркази)  $S_2$  билан белгиланган.

## 2.2- §. Кинематик жуфтликлар таснифи (класификацияси)

Кинематик жуфтликлар бўғинларининг ўзаро уриниш тарзи бўйича (Реле бўйича) фарқ қиласи. Агар бўғинлар элементлари фақат юзалари орқали ўзаро уринса, қуйи жуфтлик деб, фақат чизик ёки нуқта бўйича уринса, олий жуфтлик дейилади. Бунда чизик ёки нуқта орқали уриниш дастлабки уриниш (бўғинлар куч таъсирига уринганда) деб тушунилади. Олий жуфтликни ҳосил қилувчи бўғинлар эса куч таъсирида уриниш изи деб аталувчи қандайдир ҳақиқий юзаси орқали уринади.

Кинематик жуфтликлар бўғинларининг нисбий ҳаракатидаги (жуфтликнинг қўзғалувчанлиги) эркинлик даражалари сони  $H$  бўйича ҳамда бир бўғиннинг иккинчи бўғинга нисбатан ҳаракатида жуфтлик вужудга келтирадиган боғланиш (чеклаш) шартларн сони  $S$  бўйича (И. И. Артоболевский бўйича) тасвифланади [1]. Бунда ҳамма боғламалар кинематик жуфтликка кирувчи бўғин нуқталарининг координаталаригагина чеклашни (жуфтликнинг нисбий ҳаракатида) вужудга келтирувчи геометрик боғламалар деб фарақ қилинади.

Фазодаги эркин жисм учун эркинлик даражалари сони олтига бўлганлигин учун  $H$  ва  $S$  катталиклар ўзаро қўйидаги муносабат орқали боғланади:  $H = 6 - S$ , бунда  $S = 1, 2, 3, 4$  ёки 5 булиши мумкин.  $S = 0$  да жуфтлик бўлмайди, яъни иккита жисм бир-биридан мустақил ҳаракатланади;  $S = 6$  бўлганда кинематик жуфтлик деталларининг бикр бирикмасига, яъни битта бўғинга айланади.  $S$  нийғе қийматига кўра кинематик жуфтликнинг қайси синфа мансублиги аниқланади: қўзғалувчанлиги битта (V синф,  $H = 1, S = 5$ ), иккита (IV синф,  $H = 2, S = 4$ ), учта (III синф,  $H = 3, S = 3$ ), тўртта (II синф,  $H = 4, S = 2$ ), бешта бўлган (I синф,  $H = 5, S = 1$ ) жуфтликлар фарқ қилинади. Қўйида кинематик жуфтликларга, уларнинг тузилиш схемаларида шартли гасвирланиши ва белгиланишига бир неча мисол келтирилган.

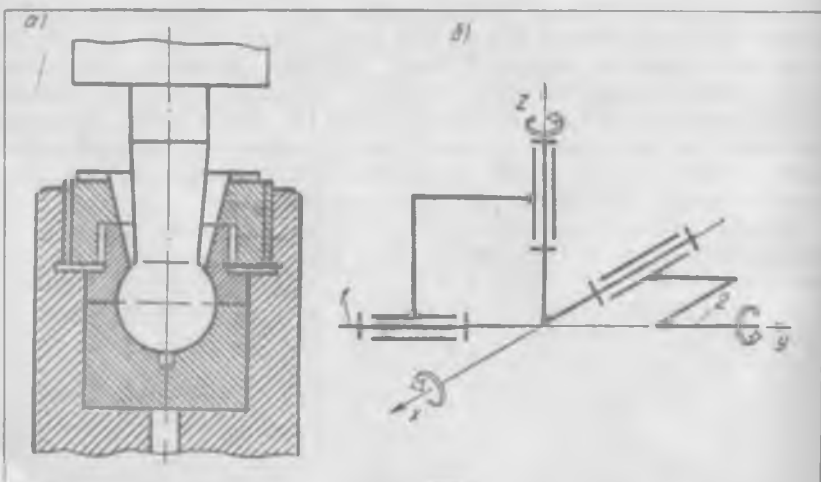
Айланма жүфтлик (2.2-расм, а) — құзғалуышында біттә бұлған жүфтлик (шартлы белгиланғанша 1 ө); бүғинлари үз үқи атрофидә сақат нисбій айланма ҳаракат қылады (стрелка билан күрсатылған); бүғинлар 1, 2 цилиндрик мөзжаның орталық үзаро уринады; демек, бұ геометрик ёпиқ тарздаги құйи жүфтліктерdir. Мұрақкаброқ конструкция — шарыкли подшипник ҳам ана шундай кинематик жүфтлик ролини үйнайды.

Илгарилама жүфтлик (2.2-расм, б) — құзғалуышында біттә бұлған (шартлы белгиланғанша 1 ң), бүғинлари фәқат түғри чизикелі нисбій илгарилама ҳаракат қыладын геометрик ёпиқ тарздаги құйи кинематик жүфтлік.

Цилиндрсім он жүфтлик (2.2-расм, в) — құзғалуышында иккита бұлған (2 ң), бүғинлари мустақыл равишда айланма ва түғри чизикелі илгарилама нисбій ҳаракаттар қыладын, геометрик ёпиқ тарздаги құйи кинематик жүфтлік.

Сферик жүфтлик (2.2-расм, г) — құзғалуышында учта бұлған (3 ң), бүғинлари  $x$ ,  $y$ ,  $z$  үкілары атрофидә мустақыл равишда уч марта нисбій айланы оладын, геометрик ёпиқ тарздаги құйи жүфтлік. 2.3-расм, а да прессларда құлланиладын сферик жүфтлік конструкциясына мисол көлтирилған. Баъзи механизмларда (саноат роботлари ва манипуляторларда) бүғинлар 1 ва 2 орасынан шарсімон шарнир үрнінде иккита құшимчы бүғинли ва учта айланма жүфтліктердің кинематик боғланыш құлланилады (2.3-расм, ғ).

Құзғалуышында түрттә ва бешта бұлған жүфтліктер ҳамда уларнинг шартлы белгиланышында (4 1 ва 5 1) мисоллар 2.2-расм, д, е да көлтирилған. Бүғинларнинг мустақыл нисбій ҳаракаттары (айланма ва илгарилама) стрелкалар билан күрсатылған. Булар олни жүфтліктерdir, чунки бүғинларнинг элементтерінде чизик бүйінча (цилиндр ичидағы



2.3- расм

шар) ва нүқта бүйіч (текисликдаги шар) үзаро уринади. 4 жуфтлиги геометрик ёпиқ жуфтлик бўлса, 5 т жуфтлиги куч таъсирида туашувчи жуфтликдир.

Қуйи кинематик жуфтликларнинг олий кинематик жуфтликларга нисбатан афзалликларидан бири уларнинг катта кучларни узатиш имкониятига эгалигидир, чунки қуйи жуфтликларда уринувчи бўғинларнинг тегин юзаси жуда катта бўлиши мумкин. Олий жуфтликлар қўлланилганда машиналардаги ишқаланиш камаяди (шарикли подшипник бунга мисол бўлади) ва олий жуфтликни ташкил қилувчи бўғинларга аниқ бир шакл бериш йўли билан механизм чиқиш бўғинининг ҳар хил зарур ҳаракат қонунларини ҳосил қилиш мумкин.

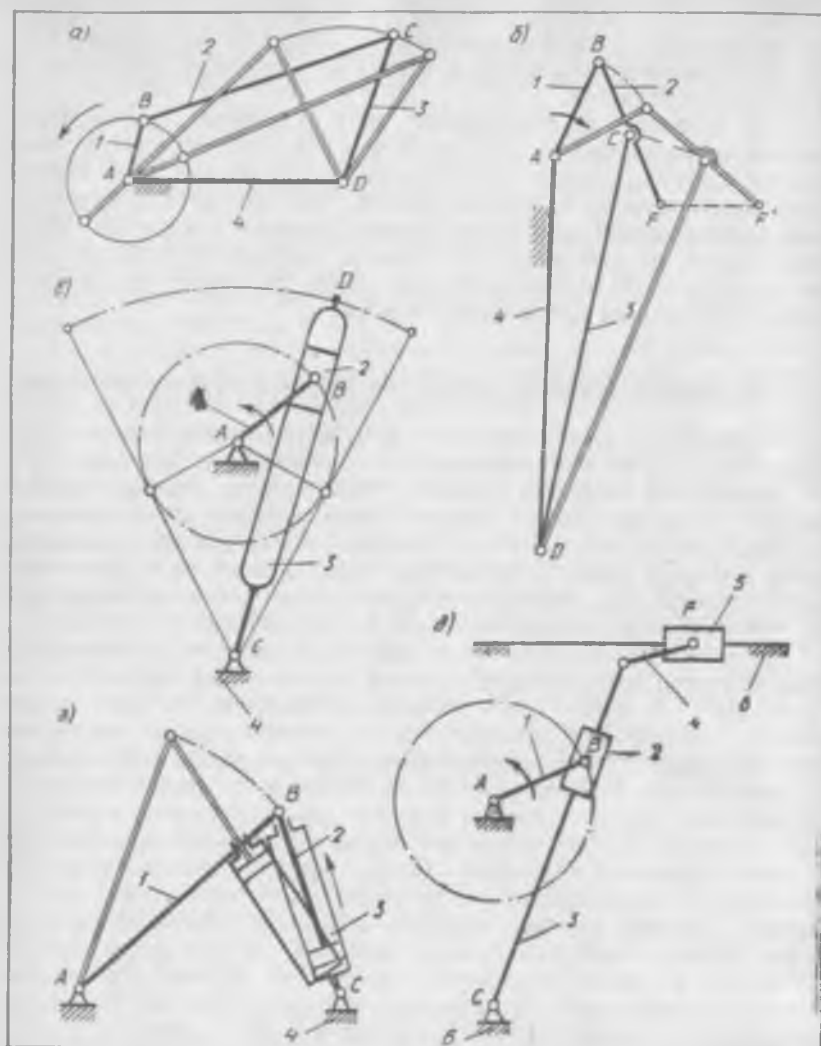
### 2.3- §. Механизмларнинг турлари ва уларнинг тузилиш схемалари

Механизмлар турли аломатларига кўра таснифланади. Биринчи навбатда улар қуи ва олий жуфтликли механизмларга бўлинади; бундай механизмлар текис ёки фазовий бўлиши мумкин. Ҳамма ҳаракатланувчи нүқталарни үзаро параллел текисликларда ҳаракатланадиган механизм текис механизм дейилади. Бўғинларнинг ҳаракатланувчи нүқталари текис бўлмаган траекториялар чизиб ёки үзаро кесишувчи текисликларда жойлашувчи траекториялар чизиб ҳаракатланадиган механизмлар фазовий механизmlар дейилади.

Энг кўп тарқалган қуйи жуфтликли механизмларга пишанги, понали ва винтли механизмларни кўрсатиш мумкин; олий жуфтликли механизмларга кулачокли, тишли ғилдиракли, фрикцион, малта ва храповикили механизмлар киради. Баъзи механизмларнинг номларида уларнинг конструктив аломатлари ҳамда кириш ва чиқиш бўғинларининг ҳаракат тарзлари үз ифодасини топган. Масалан, «кривошип-коромислонли механизми» атамаси (термини) механизм кириш бўғинининг (кривошиппинг) узлусиз айланма ҳаракатини чиқиш бўғинининг (коромислонинг) тебранма ҳаракатига айлантириб беради, деган маънени билдиради. Номларда баъзан механизмнинг эркинлик даражалари сони ҳисобга олинади. Масалан, «тишли редуктор» дейилганда эркинлик даражаси битта бўлган тишли ғилдиракли механизм, «тишли дифференциал» дейилганда эса эркинлик даражаси иккита (ёки бундан кўп) бўлган механизм тушунилади\*. Механизмлар вазифасига қараб ҳам таснифланади, масалан, «поршенили компрессорнинг кривошип-ползунили механизми», «двигателнинг муштли механизми» ва ҳоказо. Қуйида турли машиналарда қўлланиладиган механизмларга мисоллар келтирилади.

Қуйи жуфтликли текис механизмларга мисоллар. Кривошип-ползунили механизм (2.1-расм ада механизмнинг конструкцияси, б да механизмнинг схемаси тасвирланган) энг кўп тарқалган механизмлардан бўлиб, у поршенили машиналарда (ички ёнув двигателлари, компрессорлар, насосларда), болғаловчи машиналар, пресслар ва ҳоказоларда асо-

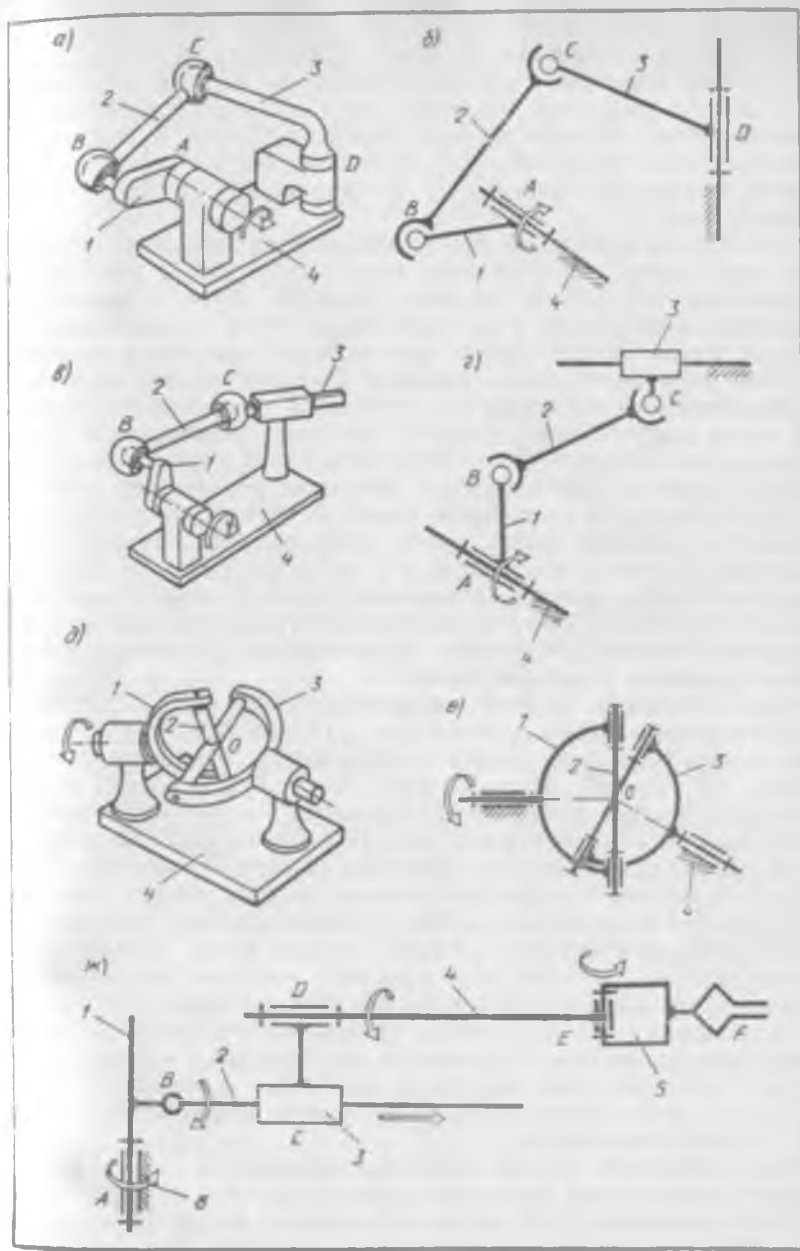
\* «Механизмнинг эркинлик даражалари сони» атамаси йўнига «механизмнинг қўзғалувчалик даражаси» [1] ва «механизмнинг қўзғалувчалиги» [7] атамалари ҳам ишлатилади.



2.4-расм

сий механизм ҳисобланади. 2.1-расм, да ўқда жойлашмаган (дезак-  
снал) кривошип-ползунли механизм схемаси тасвириланган.

Шарнирлы түрт бүгинали механизм (2.4-расм, а) бир тур-  
даги айланма ҳаракатни бошқа турдагисига айлантириб бериш учун хиз-  
мат қиласи ва бүгиларининг ўлчамларига кўра кривошип-коромисоли,  
икки кривошипли ҳамда икки коромисоли булиши мумкин; пресслар  
ва болғаловчи машиналар, тебранувчи конвейерлар, прокат станлари,  
илашиш муфталари, асбоблар ва ҳоказоларда қўлланилади. 2.4-расм, а



2.5. - рисм

да: бүгін 1 — кривошип, 2 — шатун, 3 — коромисло, 4 — стойка. Шарнирлы тұрт бүгінли механизмдан ундағы бирор нұқта берилген траектория буйича ҳаракатланиши лозим бўлганда ҳам фойдаланилади; масалан, 2.4-расм, б да порталлы крандаги иккى коромислоли механизмининг тузилиш схемаси тасвирланган. Кран стрелкаси 2 нинг F нуқтаси ўз траекториясининг иш қисмиди  $FF'$  тұғри чизик бўйлаб ҳаракатланади. Ҳаракат тарзига кўра бўғишлар 1, 3 — коромисло, 2 — шатун, 4 — стойка бўлади.

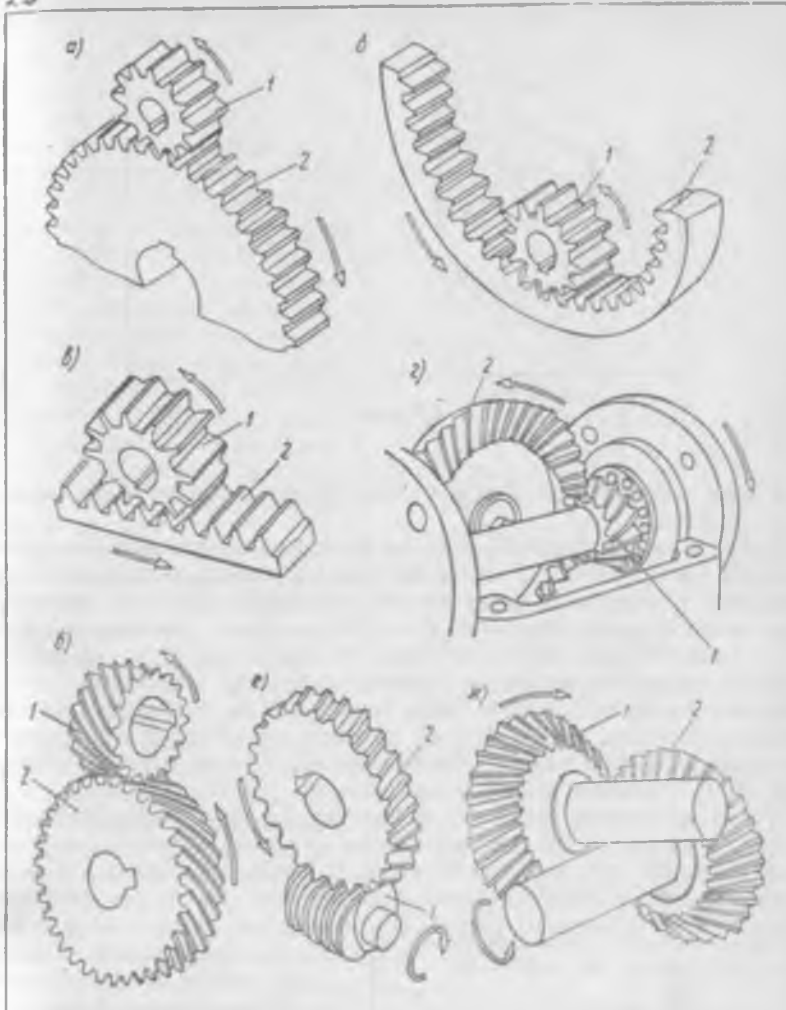
Кулисалари механизм бир турдаги айланма ҳаракатни (бүгін 1 ҳаракатини) бошқа турдаги айланма ҳаракатга (2.4-расм, в даги бүгін 3 ҳаракатига) ёки узлуксиз айланма ҳаракатни (бүгін 1 ҳаракатини) илгарилама-қайтма ҳаракатга (2.4-расм, д даги бўғин 5 ҳаракатига) ўзgartириб беради. Бундай тұрт ва олти кулисалари механизмлар рандалаш ва тешик ўйиш дастгоҳларда, поршельли насослар ва компрессорларда, гидроюритмалар ва асбобларда ва ҳожазоларда қўлланилади. Кулиса деб, одатда ползун 2 нинг (кулиса ўшининг) ҳаракатланиши учун мулжалланган ариқаси бўлган бўғинга айтилади. Кулиса 3 төбранувчи, айланма ҳаракатланувчи, илгарилама ҳаракатлашувчи бўлиши мумкин.

Гидроюритмаларда кулисалари механизмининг бошқа тури кенг қулланилади. Бу механизmdа тошли кулиса ўрнига поршень 2 ли цилиндр 3 ишлатылади (2.4-расм, г). 2.4-расм, д да кундаланг рандалаш дастгоҳидаги олти бўғинли кулисалари механизмининг тузилиш схемаси келтирілган. Бу механизmdа кириш бўғини (кривошип 1) нинг узлуксиз айланма ҳаракатини бўғинлар 2, 3, 4 чиқиш бўғини (ползун 5) нинг илгарилама-қайтма ҳаракатига ўзgartириб беради.

Қуйи жуфтликли фазовий механизmlарга мисоллар. 2.5-расмда қуйидагилар келтирілган: а, б — тұрт бўғинли ABCD механизмининг нусхаси (модели) ва схемаси (1 — кривошип, 2 — шатун, 3 — коромисло, 4 — стойка); в, г — кривошип-ползунли ABC механизмининг нусхаси ва схемаси (1 — кривошип, 2 — шатун, 3 — ползун, 4 — стойка); д, е — универсал шарнир (Гук шарнири ёки карданли узатма) механизмининг нусхаси ва схемаси; бу механизм ўқларни ўзаро кесишувчи валлар орасында айланма ҳаракат узатыш учун хизмат қилади ва автомобиллар, дастгоҳлар, асбобларда кенг қўлланилади (кириш ва чиқиш бўғинлари 1, 3 вилка тарзда, бўғин 2 крестовина тарзда ясалған; 4 — стойка; О — ўқларнинг кесишиш нуқтаси); ж — саноатда қўлланиладиган роботлардан бир түрдеги асосий пишангли механизмининг тузилиш схемаси; бу механизм очиқ ABCDEF кинематик занжирга ега (1 — 5 — ҳаракатланувчи бўғинлар, 6 — стойка, F — чангал). Саноат роботлари ҳозирги вақтда йиғиши, пайвандлаш, буюш, юклаш каби турли-туман технологик ва ёрдамчи операцияларни бажарища кенг қўлланилмоқда.

Олий жуфтликли текис ва фазовий механизmlарга мисоллар. Булардан тишли, муштли, фрикцион, малта ва храповикли механизmlар энг кўп қўлланилади. Тишли узатмаларда ташки (2.6-расм, а), ичкі (2.6-расм, б) ва рейкали (2.6-расм, в) илашмалар фарқ қилинади: 1 — шестеря, 2 — гильдирак (ёки гильдиракнинг хусусий ҳоли — рейка). Гильдираклар ўқларининг жойлашувига кўра тишли механизmlар ўқлари параллел жойлашган — цилиндрсиз (2.6-расм, а, б), ўқларни кесишувчи-

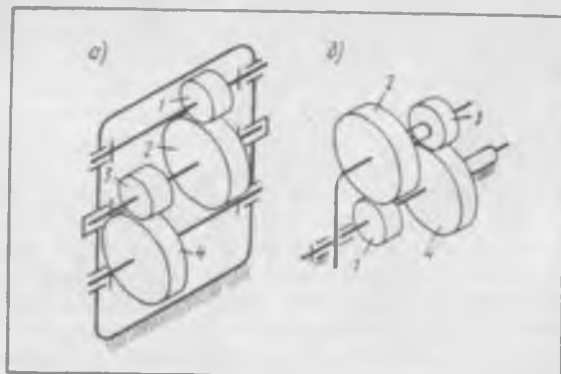
2.6



2.6- расм

конуссимон (2.6-расм, г), ўқлари айқаш ёки гиперболоид узатмалар бўлиши мумкин. Гиперболоид узатмаларнинг вариантларига винтли (2.6-расм, д), червякли (2.6-расм, е), гипоид (2.6-расм, ж) узатмалар киради [2]. Винтли узатмада бўғинлар 1, 2 — қия тишли цилиндрисимон фидираклар; червякли узатмада бўғин 1 — червяк, 2 — червяк фидираги; гипоид узатмада бўғинлар 1, 2 — конуссимон фидираклар.

Кўп бўғинли тишли узатмалар — редукторлар (2.7-расм, а), планетар тишли механизмлар (2.7-расм, б) кенг қўлланилади. Планетар редуктор таркибига ўқлари қўзғалмао бўлган фидираклар 1 ва 4

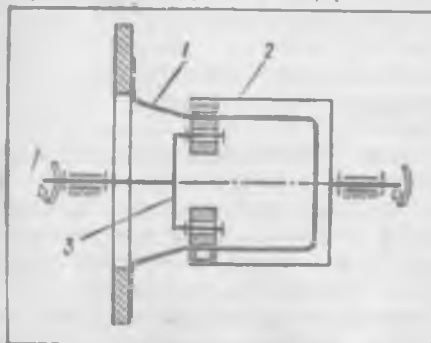


2.7- расм

гина эмас, балки ўқлари айлана бўйича ҳаракатланадиган ғилдираклар 2, 3 ҳам киради.

Кейинги вақтларда асбобларнинг ва бошқариш системаларининг қурилмаларида катта узатишлар нисбатини ҳосил қилишга, юқори кинематик аниқлнкни таъминлашга ҳамда механик ҳаракатни герметик девор орқали узатишга имкон берадиган тулқинларни тишли узатмалар тобора кенг қўлланилмоқда; бунда (2.8-расм) эгилувчан ғилдирак 1 деворга герметик тарзда маҳкамланади; ҳаракат тулқинлар генератори 3 дан эгилувчан ғилдирак 1 орқали бикр ғилдирак 2 га узатнади. Бундай узатмани космосда, электрон, атом ва химия саноатларида агрегатларни бошқаришда қўллаш мақсадга мувофиқдир (қ: Куклин В. Б., Шувалова Л. С. Волновые зубчатые передачи. М., 1971).

Турли машиналар, станоклар ва асбобларда кенг қўлланиладиган муштли текис ва фазовий механизmlарда олий жуфтликни мушт ва итаргич деб аталувчи бўғинлар (2.9-расмдаги бўғинлар 1 ва 2) ҳосил қиласди. Олий жуфтликнинг туташуби куч таъсирида (масалан, 2.9-расм, б да пружина 5 орқали) ёки геометрик тарзда (2.9-расмда



2.8- расм

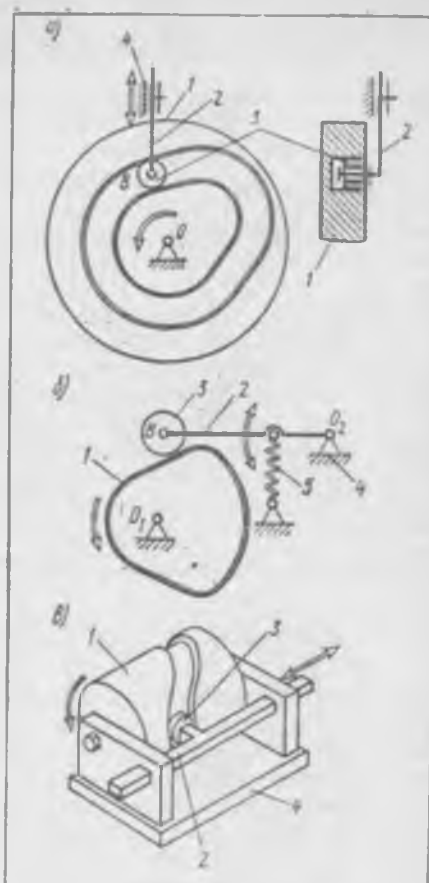
мушт 1 ариқчасидаги итаргич 2 нинг ролиги 3 орқали) амалга ошиши мумкин. Кириш бўғинн—муштнинг шакли чиқиши бўғини — итаргичнинг ҳаракат қонунини белгилайди; ролик олий жуфтликдаги сирланиб ишқаланишин юмалаб ишқаланишин камайтириш учун хизмат қиласди. 2.9-расм, а да кириш бўғини (мушт 1) нинг айланма ҳаракати чиқиш бўғини (итаргич 2)

нинг илгарилама ҳаракатига айлантириб берилади. 2.9-расм, б да тасвирланган механизmdа итаргич 2 ўқ  $O_1$  атрофида қайтма-айланма ҳаракат қиласди. 2.9-расм, в да айланувчи цилиндрическим мушти 1 ва илгарилама ҳаракатланувчи роликли итаргичи 2 бўлган муштли фазовий механизм нусхаси тасвирланган; олий жуфтлик геометрик тарзда туташади. 2.1-расм, а да чиқариш клапанини ҳаракатга келтирувчи коромислоли (тебранувчи) роликли итаргич 5 билан жиҳозланган муштли механизминг қўлланишишига мисол келтирилган; клапан 6 орқали дизель двигателининг цилинтри ёниш маҳсулларидан тозаланди.

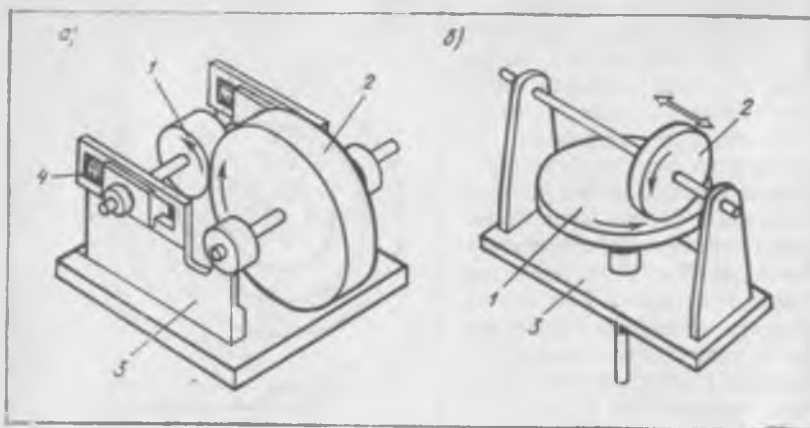
Фрикцион механизmlарда айланма ҳаракат олий жуфтликни ҳосил қилувчи бўғинлар орасида вужудга келувчи ишқаланиш орқали узатилади. Сода фрикцион механизм (2.10-расм, а) иккита айланувчи думалоқ цилиндр 1 ва 2 ҳамда стойка 3 дан ташкил топади. Олий жуфтлик пружиналар 4 кучи таъсирида туташади. Фрикцион механизmlар босқичсиз узатмаларда ҳам қўлланилади (2.10-расм, б). Диск 1 ўзгармас бурчак теззик билан айланадиганида филдирак 2 ни ўз ўқи бўйлаб силжитиш орқали унинг бурчак теззигини ва ҳатто айланиш йўналишини бир текис ўзгартириш мумкин.

Мальта механизми (2.11-расм) кириш бўғини — кривошип 1 нинг узлуксиз ҳаракатини чиқиш бўғини — хоч (крест) 2 нинг узлукли (тўхтаб-тўхтаб айланувчи) ҳаракатига ўзгартириб беради. Механизм стойка 3 дан ҳамда кривошип тиши В ва хоч ариқчаси ҳосил қилувчин олий жуфтликдан тузилган.

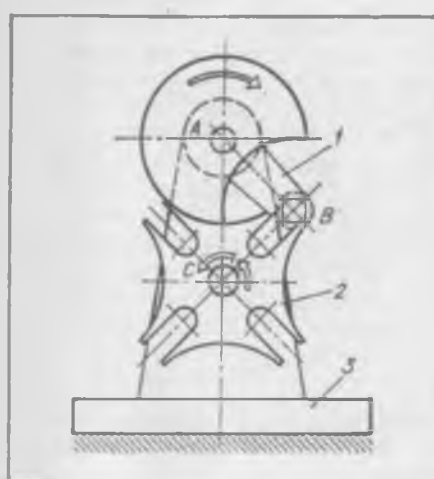
Етакчи собачкали ва стойка 4 ли храповикли (тўсқичли) механиз (2.12-расм) собачка 2 билан жиҳозланган коромисло 1 нинг қайтма-айланма ҳаракатини храповик филдираги 3 нинг узлукли айланма (фақат бир йўналишдаги) ҳаракатига ўзгартиради. Пружина били собачка 5 филдиракнинг тескари томонга айланishiшига йўл қўймайди. Бунда олий жуфтликни собачка ва храповик филдираги ҳосил қиласди.



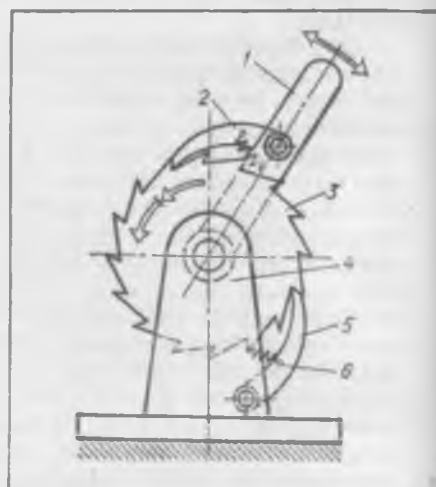
2.9-расм



2.10- расм



2.11- расм



2.12- расм

Механизмнинг кириш бўғини қайтма-илгарнлама ҳаракатланувчи бўлиши ҳам мумкин. Малта ва храповикли механизмлар станоклар ва асбобларда кенг қўлланилади.

Юқорида кўриб чиқилган механизмлар энг кўп учрайдиганларидир. Кўпгина механизмларнинг тавсифи маҳсуз справочникларда келтириллади (қ: Артоболевский И. И. Механизмы. 4 томли. М., 1947 — 1951; Кожевников С. Н. ва бошқалар. Механизмы. Справочник қўлланма. М., 1976).

## 2.4- §. Механизмларнинг тузилиш формулалари

Турли-туман механизмлар тузилишида (структурасида) механизмнинг ёрқинлик даражалари сони  $W$  ни ундаги бўғинлар сони ва кинематик жуфтликлар сони ҳамда турлари билан боргайтидан умумий қонуниятлар мавжуд. Ушбу қонуниятлар механизмларнинг тузилиш формулалари деб юритилади.

Хозирги вақтда фазовий механизмларнинг тузилишини (структурасини) текширишда Малишев формуласи энг кўп қўлланилади. Унинг хуносаси қўйидагича чиқарилади.

$t$  та бўғиндан таркиб топган (бу ҳисобга стойка ҳам киради) механизмда  $p_1, p_2, p_3, p_4, p_5$  — қўзғалувчанлиги бир, икки, уч, тўрт, бешта бўғин кинематик жуфтликлар сони бўлсин. Қўзғалувчан бўғинлар сонини  $n = t - 1$  билан белгилаймиз. Агар ҳамма қўзғалувчан бўғинлар ёрқин жисмлар бўлганида эди, ёрқинлик даражаларининг умумий сони бўл га тенг бўларди. Бироқ битта қўзғалувчанликка эга бўлган V синфдаги ҳар бир жуфтлик жуфтликни ҳосил қилуичи бўғинларнинг нисбий ҳаракатига 5 та боғлама, икки қўзғалувчанликка эга бўлган IV синфдаги ҳар бир жуфтлик эса 4 та боғлама қўяди ва ҳоказо. Бинобарин, 6 тага тенг бўлган ёрқинлик даражаларининг умумий сони қўйидаги қийматга камайди:

$$\sum_{i=1}^{t-1} (6-i)p_i = 5p_1 + 4p_2 + 3p_3 + 2p_4 + p_5,$$

бунда:  $t = H$  — кинематик жуфтликнинг қўзғалувчанлиги;  $p_i$  — қўзғалувчанлиги  $i$  га тенг бўлган жуфтликлар сони. Қўйилган боғламаларнинг умумий сонига қандайдир ортиқча (такрорланувчи) боғламалар сони  $q$  ҳам кириши мумкин. Ортиқча боғламалар бошқа боғламаларнинг ўринини босади, бунда улар механизмнинг қўзғалувчанлигини камайтирамайди, фақат уни статик ноаниқ системага айлантиради [7]. Шу сабабли фазовий механизмнинг ёрқинлик даражалари сони ҳаракатланувчи кинематик занжирининг стойкага нисбатан ёрқинлик даражалари сонига тенг бўлиб, Малишевнинг қўйидаги формуласига асосан аниқланади:

$$W = 6n - (5p_1 + 4p_2 + 3p_3 + 2p_4 + p_5 - q),$$

ёки қисқача ифодаланганда

$$W = 6n - \left[ \sum_{i=1}^{t-1} (6-i)p_i - q \right]; \quad (2.1)$$

$q = 0$  бўлганда механизм статик аниқ система,  $q > 0$  бўлганда эса статик ноаниқ система бўлади\*.

Умумий ҳолда (2.1) тенгламанинг ечими қийин, чунки  $W$  ва  $q$  но маълум; масалани ечишнинг мавжуд усуллари мураккаб бўлиб, ушбу дарсликда кўриб чиқилмайди. Бироқ  $W$  механизмнинг умумлашган координаталари сонига тенг бўлган хусусий ҳолда  $W$  геометрик мурлоҳа-

\* (2.1) формуланинг кинематик жуфтликлар синфи қўлланиб тузилган варнанти дам бор:  $S = 6 - H$  [3, 7].

затарга күра аниқланған бұлса, ушбу формуладан ортиқча боғламалар сонини топиши мүмкін (қ.: Решетов Л. Н. Конструирование рациональных механизмов. М., 1972):

$$q = W - 6n + \sum_{i=1}^{n-5} (6 - i) p_i \quad (2.2)$$

Хамда механизмнің статик аниқтілген масаласини ечиш мүмкін екін механизмнің статик аниқтілген маълум бұлса,  $W$  ни топиш (екін текшириш) мүмкін.

Шунини айтып үтиш муҳимки, тузылиш формулаларында бүріншілар үлчамлары кирмайды, шу сабаблы механизмлар тузылишини таҳлил қылғанда уларнің үлчамларнның истаганча (маълум чегара доирасыда) олиш мүмкін. Агар ортиқча боғламалар бұлмаса ( $q=0$ ), механизмні йиғишида бүғинлар деформацияланмайды, улар гүё ўз-ўзидан ұнашаады. Шунинг учун бундан механизмлар ўз-ўзидан ұнашувчи механизмлар дейиллады [7]. Агар ортиқча боғламалар бұлса ( $q>0$ ), у ҳолда механизмні йиғиши ва бүғинларнның қаралатта деформацияланады.

Ортиқча боғламаларға зәға бұлмаган текис механизмларға мұлжалланған түзилиш формуласи П. Л. Чебишел формуласи деб юритилади. У бу формуланы әркінлік даражасы битта бұлган хамда айттанма кинематик жуфтліктер бұлган пішанғылғы механизмлар учун бириңчы марта 1869 йылда тақлиф этганды. Қозырғы даврда Чебишел формуласи ҳар қандай текис механизмға табиқ қылғанады ва ортиқча боғламаларни ҳисобға олған ҳолда құйындағы көлтириб чиқарылады.

$m$  та бүғинга зәға бұлған (стойка ҳам шу ҳисобда) механизмдә  $n = m - 1$  — құзғалуучан бүғинлар сони,  $p_k$  — құйын жуфтліктер сони,  $p_o$  — олий жуфтліктер сони бұлсиян. Ҳамма қаралатланувчи бүғинлар текис қаралат қылғанған әркін жисмілер бұлғаннанда зәди, әркінлік даражаларниннг умумий сони  $3l$  га теңг бұларды. Аммо ҳар бир құйын жуфтлік жуфтліктернің қосыл қылувчи бүғинларниннг нисбеттің қаралатында иккита боғлама құйиб, битта әркінлік даражасын қолдирады, ҳар бир олий жуфтлік зәға битта боғлама құйиб, иккита әркінлік даражасын қолдирады.

Қейінгінде боғламалар сонига қандайдир ортиқча (такрорланувчи) боғламалар сони  $q_t$  кириши мүмкін. Бу ортиқча боғламалар йүқотилганиң біланс механизмнің құзғалуучанлығы ошмайды. Бинобарин, текис механизмыннің әркінлік даражалары сони, янын үндегі қаралатланувчи кинематик занжирнинг стойкага нисбатан әркінлік даражалары сони құйидаги Чебишел формуласындағы асосан аниқланады:

$$W_t = 3l - (2p_k + p_o - q_t). \quad (2.3)$$

Агар  $W_t$  маълум бұлса, бу формуладан ортиқча боғламалар сонини аниқлаш мүмкін:

$$q_t = W_t - 3l + 2p_k + p_o. \quad (2.4)$$

« $t$ » индекси, гап идеал текис механизм устида, түріроғи, уннинг текис схемасы устида бораётгандығынан билдирады, чунки текис механизмын тайёрлаш жараённанда йұл құйылған хатолар әвазига у маълум даражада фазовий механизм бұлиб қолады.

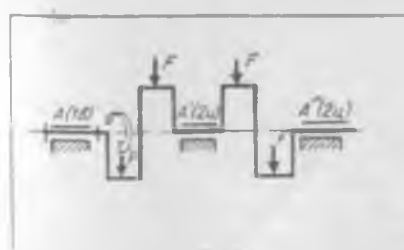
(2.1) — (2.4) формулалар ёрдамида мавжуд механизмларнинг тузилиши таҳлил қилинади ҳамда янги механизмларнинг тузилиш схемалари синтез қилинади.

### 2.5- §. Механизмларнинг тузилишини таҳлил ва синтез қилиш. Машиналарнинг ишга яроқлилигига ва ишончлилиги; а ортиқча богламаларнинг таъсири

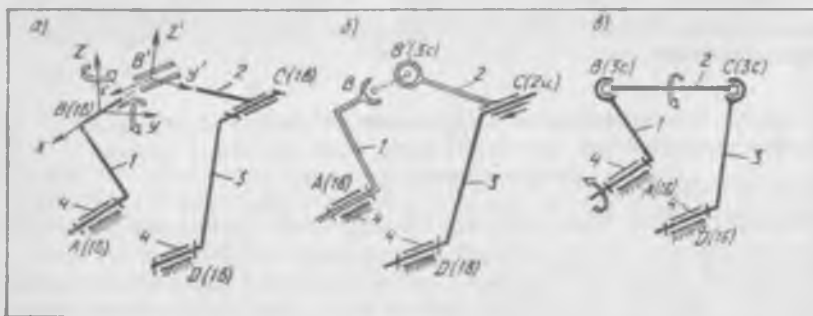
Юқорида айтиб ўтилганидек, бўғинларининг ўлчамлари иктиёрий бўлганда ортиқча боғламали механизми ( $q > C$ ) бўғинларни деформацияламасдан йигиб бўлмайди. Шу сабабли бундай механизмлар юқори даражада аниқлик билан тайёрланиши шарт. Акс ҳолда йигиш жараённада механизм бўғинлари деформацияланади, бу эса кинематик жуфтликлар ва бўғинларнинг анча катта қўшимча кучлар (механизм узатиши лозим бўлган асосий ташки кучларга қўшимча равишда) таъсирида эўриқишига сабаб бўлади. Ортиқча боғламали механизм етарли аниқликда тайёрланган бўлмаса, кинематик жуфтликлардаги ишқаланиш жуда ортиб кетиши ва бўғинлари қадалиб қолиши мумкин. Шу нуқтаи назардан механизмларда ортиқча боғламалар бўлиши номақбулдири.

Бироқ, баъзи ҳолларда, айниқса, катта күчларни узатишида, система нинг зарур мустаҳкамлиги ва бикрлигини таъминлаш мақсадида статик ноаниқ механизмларни атайлаб ортиқча боғланишли қилиб лойиҳалаш ва тайёрлашга тўғри келади. Механизмнинг кинематик жуфтликларидаги ҳамда кинематик занжирларидаги ортиқча ёки қўшимча боғламаларни фарқ қила билиш лозим. Масалан (2.13-расм), тўрт цилиндрли двигателнинг тирсакли вали подшипник  $A$  билан биргэ қўзғалувчанилиги битта бўлган айланма жуфтликини ҳосил қиласди, бу эса битта эркинлик даражаси бўлган ( $W = 1$ ) ушбу механизм кинематикаси нуқтан назаридан мутлақо етарлидир. Бироқ валнинг анча узунлигини ҳамда тирсакли валига таъсир этадиган кучларнинг анча катталигини ҳисобга олган ҳолда яна иккита:  $A'$  ва  $A''$  подшипниклар қўшишга тўғри келади, акс ҳолда мустаҳкамлиги ҳамда бикрлиги етарли бўлмаглиги натижасида система ишга яроқсан бўлиши мумкин. «Агар ушбу айланма жуфтликлар цилиндрсизмон, иккни қўзғалувчаниликка эга бўлса, у ҳолда бешта асосий боғламалардан ташқари,  $4 \cdot 2 = 8$  та қўшимча (такрорла-нувчи) боғлама ( $q = 8$ ) қўйилади; бунда учала таянчнинг ўқдош бўлишини таъминлаш учун улар юқори даражада аниқ қилиб тайёрланиши зарур, акс ҳолда вал кучти деформацияланади ва вал ҳамда подшипник материалларида йўл қўйиб бўлмайдиган даражада катта зўриқишилар вужудга келиши мумкин.

Механизмнинг кинематик занжирларидаги ортиқча боғламалар тўғрисида шуни айтиш лозимки, машинани лойиҳалашда уларни



2.13- расм



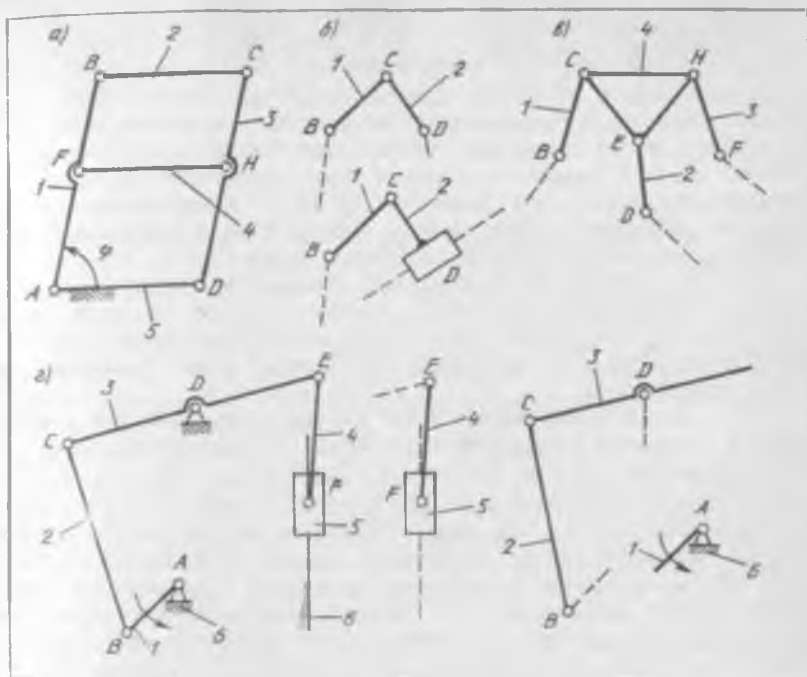
2.14-расм.

йўқотишга интилиш зарур. Агар ортиқча боғламаларни батамом йўқотиш конструкциянинг мураккаблашуви ёки бошқа бирор мулодаза туфайли мақсадга мувофиқ бўлмаса, у ҳолда уларни имкони борича камайтириш керак. Умуман олганда, энг мақбул ечимини зарур технологик ускуналарнинг борлигини, тайёрлаш нархини, машинанинг талаб этилган хизмат муддати, ишончлилигини ҳисобга олган ҳолда излаш лозим. Бинобарин, бу ҳар бир муайян ҳол учун оптималлаш бўйича жуда мураккаб вазифадир.

Механизмнинг кинематик занжирларидағи ортиқча боғламаларни аниқлаш ва уларни йўқотиш усуаларини мисолларда кўриб чиқамиз.

Тўргта бир қўзғалувчаниликдаги айланма жуфтликли, тўрт бўғинли текис механизм ( $W = 1$ ,  $n = 3$ ,  $p_1 = 4$ ; 2.14-расм, a) ноаниқ тайёрланниши (масалан, A ва D ўқлари параллел эмаслиги) натижасида фазовий бўлиб қолган бўлсин. Кинематик занжирлар 4, 3, 2 ни ва алоҳида занжирлар 4, 1 ни йигиш қийинчилик туғдирмайди ва B, B' нуқталарни x ўқида жойлаштириш мумкин. Бироқ бўғинлар 1 ва 2 дан ташкил топувчи айланма жуфтлик B ни йигиши учун  $Bxuz$  ҳамда  $B'x'y'z'$  координата системаларини устма-уст тушнириш лозим. Бунинг учун бўғин 2 нинг B' нуқтасини x ўқи бўйлаб чизиқ бўйича силжитиш (деформациялаш) ҳамда бўғин 2 нинг ўзини y ва z ўқлари атрофида бураб деформациялаш (стрелка билан кўрсатилгандек) зарур. Бу эса механизмда учта ортиқча боғлама борлигини билдиради ва (2.2) формула ҳам шуни тасдиқлади:  $q = 1 - 6 \cdot 3 + 5 \cdot 4 = 3$ . Ушбу фазовий механизм статик аниқ бўлиши учун унинг тузилиш схемаси бошқача, масалан, 2.14-расм, б да тасвирланганидек бўлиши керак. Бу схемада  $W = 1$ ,  $p_1 = 2$ ,  $p_2 = 1$ ,  $p_3 = 1$ . Бундай механизм тараангланмасдан йигилади, чунки цилиндрсизмон жуфтликдаги С нуқтанинг силжиши натижасида B ва B' нуқталарнинг устма-уст тушниши мумкин бўлиб қолади.

Механизминг иккита сферик жуфтликли ( $p_1 = 2$ ,  $p_3 = 2$ ) варианти ҳам бўлиши мумкин (2.14-расм, в); бу ҳолда механизмнинг  $W_s = 1$  асосий қўзғалувчанилигидан ташқари, маҳаллий қўзғалувчанилиги  $W_m = 1$ , яъни шатун 2 нинг ўз BC ўқи атрофида айланishi имконияти пайдо бўлади; ушбу қўзғалувчаник механизмнинг асосий ҳаракат қонунига таъсири этмайди ва ҳатто у шарнирларининг бир текис



2.15-расм

еңилиши нүктәи назаридан фойдалы бўлиши ҳам мумкин: механизим ишләётгандан ўзгарувчан динамик зўриқишилар ва титраш ҳисобига шатун 2 ўз ўки атрофида ўз-ўзидан айланishi мумкин. Бинобарин,  $W = W_s + W_u = 2$  ва Малишев формуласи бундай механизимнинг статик аниқ эканлигини тасдиқлайди:  $q = 2 - 6 \cdot 3 + 5 \cdot 2 + 3 \cdot 2 = 0$ .

Баъзан бўғинларнинг групавий қўзғалувчанилиги деб аталаувчи ҳодисани ҳам ҳисобга олишга тўғри келади; масалан, гидроюритма механизимидаи (2.4-расм, 2) *B* ва *C* жуфтликлар сферик бўлса, бўғинлар 2 ва 3 *BC* атрофида бирга айланиш қўшимча умумий (групавий) ҳаракатланиш имкониятига эга бўлади.

Епиқ бўлмаган кинематик занжирли механизимлар тарангланмасдан йигилади, шу сабабли улар ортиқча боғламаларсиз ( $q = 0$ ) ва статик аниқ бўлади. Бундай механизимлар учун (2.1) формуладан эркинлик дарожалари сонини аниқлаш осон; масалан, саноат роботи механизми учун (2.5-расм, ж ға қаранг)  $n = 5$ ,  $p_1 = 5$ ,  $W = 6 \cdot 5 - 5 \cdot 5 = 5$ ; ушбу қўзғалувчанилар (бир-биридан мустақил ҳаракатлар) схемада стрелкалар билан кўрсатилган.

Текис схемадан аниқланадиган ортиқча боғламалар текис механизимнинг статик иоаниқлигини ( $q_1 > 0$  бўлганда) билдиради. Буни тасаввур этиш учун қўш параллелограммли беш бўғинли механизимни мисол тарвидага кўриб чиқамиз (2.15-расм, а). Бу ҳолда  $W_t = 1$  (умумлашган  $\Phi$

координата битта),  $n = 4$ ,  $p_k = 6$ ,  $p_o = 0$ . Демак, Чебишев формуласига көрье  $q_r = 1 - 3 \cdot 4 + 6 \cdot 2 = 1$ , янын механизм битта ортиқча боғланышга эга бўлиб, статик ноаникдир. Дарҳақиқат, тўрт бўғинли  $ABCD$  механизми бўғинларни деформацияламаган ҳолда исталган узунликдаги (қандайдир чегара доирасида) бўғинлардан йиғиш мумкин. Аммо қўшишча тарэда қўйиладиган бўғин 4 нинг узунлигини ихтиёрий олиш мумкин эмас, йиғиш учун параллел бўғинлар узунлигининг тенглиги шартини бажаришга тўғри келади, бунинг учун эса бўғинлар юқори даражада аниқликда тайёрланган бўлиши зарур.

Шундай ҳолни айтиб ўтиш лозимки, кинематик жуфтликлардаги тирқишилар (зазорлар) жуфтликлар тузилишини таҳлил қилишда ҳисобга олингани йўқ, ваҳоланки улар кинематик жуфтликларнинг қўзғалувчалигини оширади ва ортиқча боғламаларнинг зиёни таъсириннинг бирмунча камайтиради.

Л. В. Ассур ишлаб чиққан текис пишангли механизмларни тузултишин бўйича таснифлаш мавжуд механизмларни тадқиқ қилишини ҳамда янги текис схемасида ортиқча боғламалар бўлмаган ( $q_r = 0$ ) янги механизмлар яратишини енгиллаштиради. Унинг асосий принципи шундан иборатки, механизм бир ёки бир нечта бошланғич бўғинга ҳамда стойкага группа биректириладиган бўғинларга нисбатан қўзғалувчалиги нолга тенг бўлган кинематик занжирларни (структуря группаларини) бирлаштириш орқали ҳосил қилинади. Шундай қилиб, структура групласи шундай кинематик занжирки, унинг қўшилиши натижасида механизмнинг эркинлик даражалари сони узгармайди. Қисқалик учун бундан сўнг бирламчи механизм (И. И. Артоболевский бўйича I синф механизми) деган шартли атамани қабул қиласиз. Бу механизм иккни бўғинли содда механизм бўлиб, қўзғалувчан бўғин ва стойкадан ташкил топади; механизмнинг бирламчи механизмлари сони унинг эркинлик даражалари сонига тенг. Ассур ишлаб чиққан структура группалари учун Чебишев таърифига ва формуласига мувофиқ ( $p_{o,r} = 0$ ,  $n = n_{r,r}$  ва  $q_r = 0$  бўлганда) қўйидаги тенглик ўринилидир:

$$W_{n,r} = 3n_{n,r} - 2p_{k,r} = 0, \quad (2.5)$$

бунда  $W_{n,r}$  — структура (поводокли) группаларнинг ўзи биректириладиган бўғинларга нисбатан эркинлик даражалари сони:  $n_{n,r}$ ,  $p_{k,r}$  — Ассур ишлаб чиққан структура группаларнинг бўғинлари ва қуни жуфтликлари сони.

(2.5) тенгликдан уларнинг қўйидаги қийматларини оламиз:  $n_{n,r} = 2, 4, 6$  ва ҳоказо;  $p_{k,r} = 3, 6, 9$  ва ҳоказо.

Структура группалариннинг тартиби бўғинларнинг мавжуд механизма боғланадиган элементлари сонига кўра бўлгиланади; биринчи группа бирламчи механизма боғланади, ҳар бир кейингиси эса ҳосил бўлган механизма боғланади, бунда группани биттагина бўғинга боғлаш мумкин эмас.

Структура группасининг синфи (И. И. Артоболевский бўйнча) группанинг энг мураккаб ёпиқ контурини ҳосил қилювчи кинематик жуфтликлар сонига кўра аниқланади; масалан, 2.15-расм, *в* да шундай ёпиқ СЕН учбуручак-контур учта айланма жуфтликдан ташкил топган, 2.15-расм, *б* да эса ёпиқ контурининг хусусий кўриниши — иккита жуфтликдан ташкил топган тўғрн чизиқ кесмаси кўрсатилган.

Энг содда структура группаси ( $n_{n,r} = 2$ ,  $p_n = 3$ ) иккита бўғин ва учта жуфтликдан ташкил топади (икки поводокли группа ёки 2-тартибли II синф группаси); ташкил этувчи айланма ва илгарилама жуфтликларига кўра бундай группанинг 5 хил тури (модификацияси) бўлиши мумкин. Улардан иккитаси 2.15-расм, *б* да кетирилган. Ушбу кинематик занжир боғланниши лозим бўлган бўғинлар расмда штрих чизиқ билан кўрсатилган; улар бирламчи механизмининг ҳаракатланувчи бўғинни ва стойка булиши ёки боғлашиб бўлган бошқа структура группалари-нинг бўғинлари булиши мумкин.

Навбатдаги мураккаброқ структура группаси ( $n_{n,r} = 4$ ,  $p_n = 6$ ) 3-тартибли III синф группаси ёки бўғин 4 га эга бўлган уч поводокли (тизгишли) группадир; бўғин 4 учта кинематик жуфтликка киради; бундай бўғин базис бўғин дейилади. Бундай группанинг энг содаси (фақат айланма жуфтликиси) 2.15-расм, *в* да тасвирланган. Хусусий ҳолда базис бўғин 4 тўғри чизиқли булиши, баъзи кинематик жуфтликлар эса илгарилама булиши мумкин.

Янада мураккаб бўлган 4-тартибли группа ( $n_{n,r} = 6$ ,  $p_n = 9$ ) кам ишлатилгани учун бу ерда кўриб чиқилмайди.

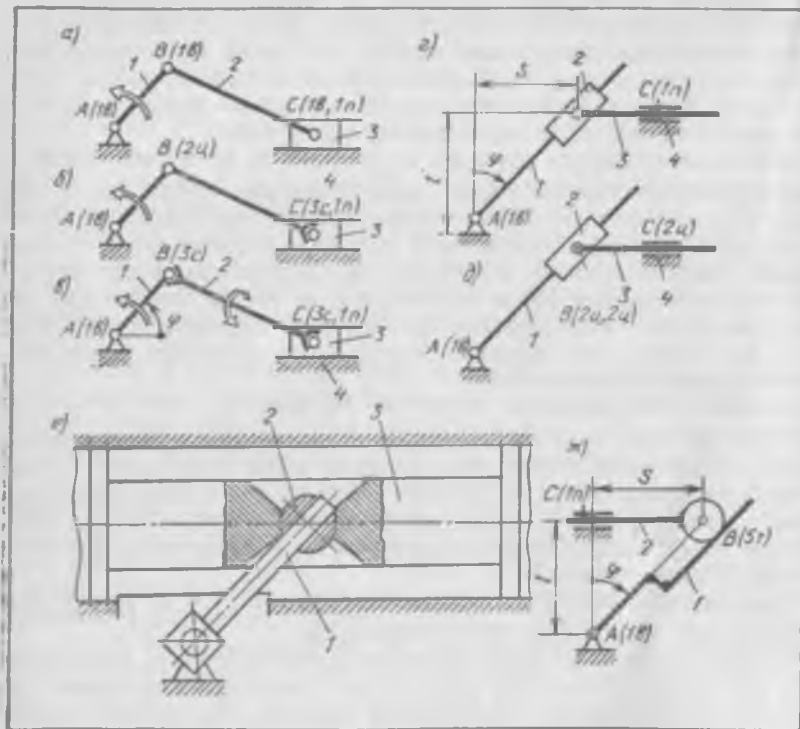
Механизмнинг синфи унинг таркибига киравчи структура группалари-нинг энг южори синфига кўра беътиланади; берилган механизмининг тузилишини таҳлил қилишда унинг синфи бирламчи механизмининг танлашишига ҳам боғлиқ бўлади.

Механизмнинг синфига ҳамда Ассур структура группаларининг турига кўра кинематик ва кучга таҳлил қилишининг турли усуслари қўлланилади.

Берилган механизмнинг тузилишини таҳлил қилишни механизмини ҳосил қилиш тартибига тескари тартибда уни структура группаларига ва бирламчи механизмларга ажратиш йўли билан амалга ошириш лозим. 2.15-расм, *г* да 2-тартибли, 6 бўғинли II синф механизмининг (поршени насос механизми,  $n=5$ ,  $p_n=7$ ) тузилишини таҳлил қилишга мисол келтирилган. Бунда кетма-кет иккита икки поводокли группа (бўғинлар 4, 5 ва 3, 2) ажратиб олинган, натижада битта бирламчи механизм (бўғинлар 1, 6) қолган, бинобарин,  $W_t = 1$ , буни Чебишев формуласи ҳам тасдиқлайди ( $q_r = 0$  бўлганда):

$$W_t = 3 \cdot 5 - 2 \cdot 7 = 1.$$

Текис механизмлар тузилишини таҳлил қилишни механизмининг текис схемаси статик аниқ булишини ( $q_r = 0$ ) таъминлагандиган Ассур усулини ва Малишев формуласини қўллаган ҳолда амалга ошириш лозим, чунки тайёрлашдаги нозиқликлар натижасида текис механизм маълум дара-жада фазовий бўлиб қолади. Масалан (2.16-расм, *а*), кривошил-ползуни



2.16-расм

механизмни лойиҳалашда икки поводокли ғруппа 2, 3 ва бирламчи механизм 1, 4 дан иборат тузилиш схемаси олинди, демак,  $W_t = 1$  ва  $q_1 = 0$ . Бироқ механизм тайёрлашдаги ноанқулликтар ҳисобга олинса ҳамда механизмни фазовий деб ҳисобланса, Малишев формуласига биноан,  $W = 1$  ва  $n = 3$  бўлганда схеманинг биринчн варианти учун ( $p_1 = 4$ , 2.16-расм, а) учта ортиқча боғламани ҳосил қиласигиз ( $q = 1 - 6 \cdot 3 + 5 \times 4 = 3$ ). Уларни баъзи жуфтликларнинг қўзгалувчанлигини ошириш, яъни уларнинг синфиини пасайтириш орқали йўқотиш мумкин. Иккинчи схемада ( $p_1 = 2$ ,  $p_2 = 1$ ,  $p_3 = 1$ , 2.16-расм, б) ортиқча боғламалар энди йўқ, шу бенс механизм статик аниқдир ( $q = 1 - 6 \cdot 3 + 5 \cdot 2 + 4 \cdot 1 + 3 \times 1 = 0$ ). Учинчи схемада ( $p_1 = 2$ ,  $p_2 = 2$ , 2.16-расм, в) қўзгалувчанлик даражаси  $W = W_t + W_u = 2$ , чунки умумлашган координата  $\Phi$  га кўра аниқланадиган асосий қўзгалувчанликдан ташқари, шатун 2 нинг BC ўқатрофида мустақил равнишда айланышнга имкон берувчи маҳаллий қўзгалувчанлик ҳам бор; бу ерда ҳам ортиқча боғламалар йўқ ( $q = 2 - 6 \times 3 + 5 \cdot 2 + 3 \cdot 2 = 0$ ).

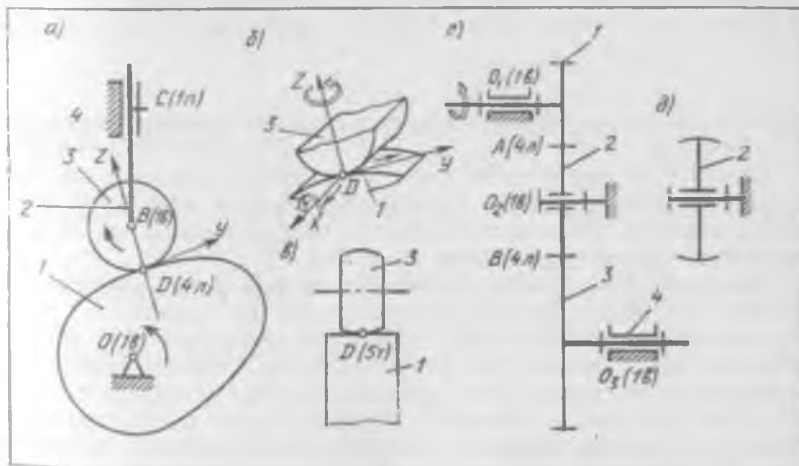
2.16-расм, г да  $S = l \lg \Phi$  функцияянн амалга ошириш учун мўлжалланган, жуфтликлари битта қўзгалувчанликка эга бўлган тўрт бўғинли кулисалн текис механизмининг тузилиш схемаси кўрсатилган. Механизм

Иккى тизгилли (поводокли) группа 2, 3 ва бирламчи механизм 1, 4 дан ташкил топган, биобарин,  $W_t = 1$ ,  $q_t = 0$ . Агар тайёрлашдаги ноанықликтар эътиборга олинса ва механизмни фазовий деб қаралса, у ҳолда Малишев формуласига кўра механизм учта ортиқча боғламага эга бўлган статик ноанық механизм бўлиб чиқади ( $n = 3$ ,  $W = 1$ ,  $p_1 = 4$ ,  $q = 3$ ). Иккинчи схемада (2.16-расм,  $\delta$ ) бир қўзғалувчанликдаги учта жуфтлик ўрнига учта цилиндрсизмон (қўзғалувчанилиги иккита) жуфтлик қўллангани учун ортиқча боғламалар йўқ ( $n = 3$ ,  $W = 1$ ,  $p_1 = 1$ ,  $p_2 = 3$ ,  $q = 1 - 6 \cdot 3 + 5 \cdot 1 + 4 \cdot 3 = 0$ ). Реверсорлар юритмаларида, кучланиш переключателларида ва яна бошқа қурилмаларда қўлланиладиган бундай статик аниқ механизмнинг конструктив схемаси 2.16-расм,  $e$  да тасвирланган [7].

Асобоблар механизмларида ортиқча боғламаларни йўқотишнинг энг содда ва самарали усули иккита қўйи жуфтликли бўғин ўрнига нуқта бўйича уринувчи олий жуфтликни қўллашдир; бу ҳолда текис механизмнинг қўзғалувчанилиги даражаси ўзгартмайди, чунки Чебишев формуласига асосан ( $q_t = 0$  бўлганда)  $W_t = 3n - 2p_1 - p_0 = 3(n-1) - 2(p_1 - 2) - (p_0 + 1)$ .

2.16-расм,  $\varepsilon$  да яна ўша тангенссимон механизм тасвирланган, бироқ унда иккита қўйи жуфтликка кирувчи кулиса тоши йўқ; у олий жуфтлик  $B$  билан алмаштирилган; бу ҳол механизмнинг аниқлик даражасини ошириб, ишқаланишини камайтиради. Нуқта бўйича уринувчи олий жуфтликни қўллаш энг тўғри ҳисобланади (сфера—текислик), бу ҳолда  $n = 2$ ,  $W = 1$ ,  $p_1 = 2$ ,  $p_0 = 1$  ва Малишев формуласига асосан ортиқча боғламалар сони  $q = 1 - 6 \cdot 2 + 5 \cdot 2 + 1 = 0$ ; демак, механизм статик аниқдир.

2.17-расм,  $a$ ,  $b$ ,  $c$  да илгарилама ҳаракатланувчи ролики итаргичи бўлган муштли механизмдаги ортиқча боғламаларни йўқотишга мисол келтирилган. Механизм (2.17-расм,  $a$ ) тўрт бўғинли ( $n = 3$ ) бўлиб, асосий қўзғалувчанликдан ташқари (мушт 1 нинг айланиси), маҳаллий қўзғалувчанликка (думалоқ цилиндрсизмон ролик 3 нинг ўз ўқи атрофида



2.17-расм

мустақил айланиши) ҳам эга; демак,  $W_r = W = W_s + W_m = 2$ . Текис схемада ортиқча боғлама ішін йүйк (механизм тарангламасдан әркін йигілади,  $q_r = W_r - 3n + 2p_{\text{ж}} + p_o = 2 - 3 \cdot 3 + 2 \cdot 3 + 1 = 0$ ). Агар тайёрланишдаги номокникліклар туфайты механизм фазовий деб ҳисобланса, у ҳолда ролик 3 нинг мушт 1 билан чизік бүйінча уринишида ( $p_1 = 3$  бұлғанды) Малишев формуласында біноан  $q = 1$  ни ҳосыл қиласын, лекин бунынг үчүн муайян шароит бұлиши керак. Бүғандар 1, 3 нинг 2 үкі атрофида бурилиш имконияти бұлмаганда цилиндрдан иборат кинематик жуфтлик уч құзғалуучанлықта эга жуфтлик бұлар зең (2.17-расм, б). Агар тайёрлашдаги хатоликлар натижасыда шундай бурилиш ҳар ҳолда озгина бұлса ҳам іуз берса ва чизік бүйінча уриниш амалда сақланиб қосса (юкланиш натижасыда уриниш изи түрғын түртбүрчак шаклиға яқын болады), у ҳолда бу кинематик жуфтлик түрттә құзғалуучанлыққа эга бұлады, бинобарын,  $p_1 = 1$  ва  $q = 2 - 6 \cdot 3 + 5 \cdot 3 + 2 \cdot 1 = 1$ .

Бочкасімов роликни құллаб олий жуфтлік синінің пасайтириш йүлі билан (нұқта бүйіча уринувчи беш құзгалувчанлықдаги жуфтлік, 2.17-расм, ө)  $\rho_1=3$  ва  $\rho_5=1$ ,  $q=2-6\cdot3+5\cdot3+1=0$  бұлғанда статик аниқ механизмні ҳосил құламыз. Бироқ шунн эсда тутиш лозимки,  $q>0$  бұлғанда бүғинларнинг чизік бүйіча уриниши юқори аниқлик билан тайёрлашни талаб қылса-да, нұқта бүйіча уринишга қараганда каттароқ күннің узатишига имкон беради.

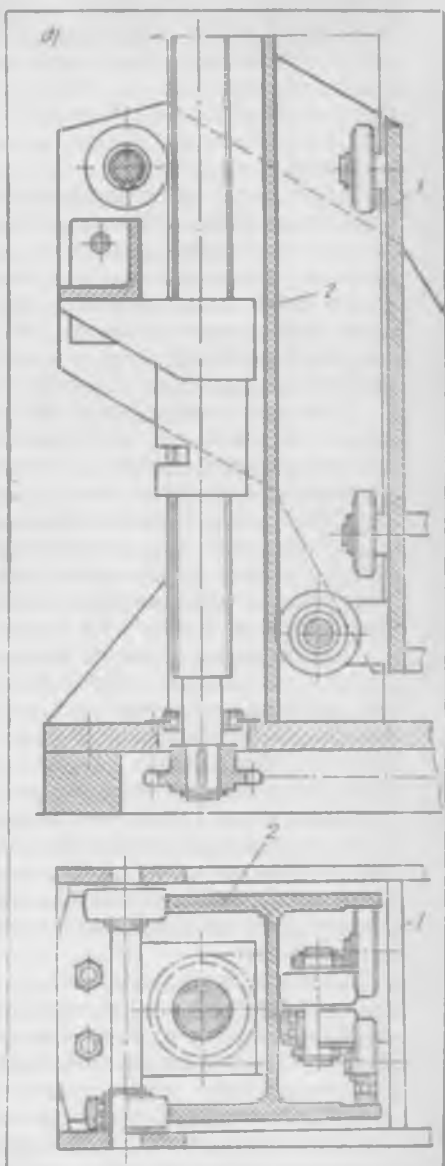
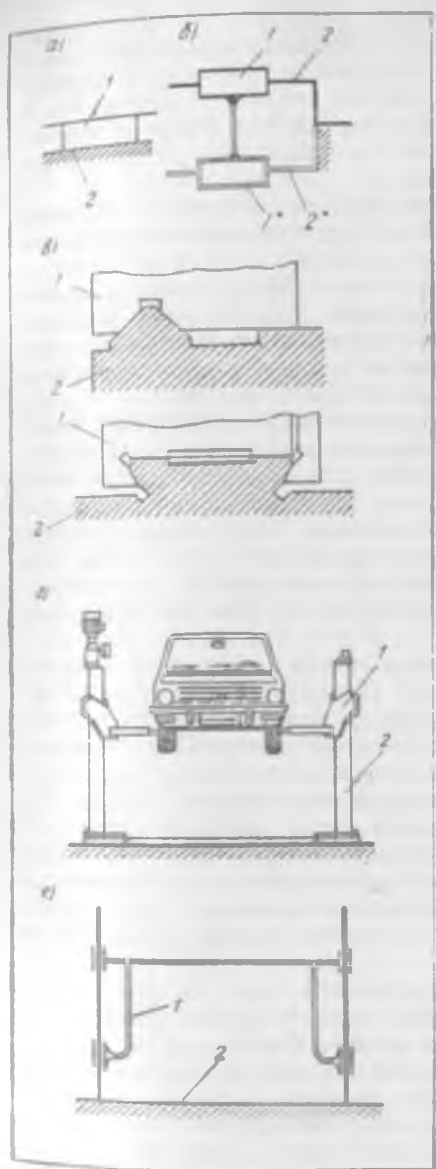
2.17-расм, 2, ә) да тұрт бүғинли, тишли узатмада ортиқча боғламаларни йүкотишиңа доир башқа мисол көлтирилганды (  $W = 1$ ,  $n = 3$ ,  $p_1 = 3$ ,  $p_4 = 2$ , ғилдирактар 1, 2 ва 2, 3 нинең тишилари чизиқ бүйічка уринады). Бу ҳолда Чебишев формуласига асосан  $q_r = 1 - 3 \cdot 3 + 2 \cdot 3 + 2 = 0$  — текис схемада ортиқча боғламалар йүк; Малишев формуласига биноан  $q = 1 - 6 \cdot 3 + 5 \cdot 3 + 2 \cdot 2 = 2$  — механизм статик ноаның булиб, хусусан, учалағылдырылған геометрик үқаларының параллеллігі таъминланғанда учун тай-ерлаш аниқтап көрүү үшін зарур.

Оралық ғилдирак 2 нинг тишиларни бочкасімоп қилиб (2.17-расм, а) механизмнің статик аниқ бұлишига әришамиз:  $q = 1 - 6 \cdot 3 + 5 \cdot 3 + 1 \cdot 2 = 0$ .

## 2.6- §. Кинематик жүфтликлардаги маңаллар құшимчадағы бөгламалар

Кинематик жуфтлик элементлари бүгінларнинг үзаро таъсири шартшароитини: уларнинг нисбий құзғалтувчанлыгыни ва бүгін нүкталарига фазода иктиерий ҳолатни әгаллашга ва иктиерий тезликка эга булишга имкон бермайдыган чеклашларни белгілайды.

Механизм бүгінлари нұқтадарыннан қолатлари ва тезликтердегі құйи-  
ладиган чеклашлар (боғламалар) механизмге ұар қандай күч таъсир  
эттеге ұам бажарылыш керак. Құйилған боғламаларға күра механизм  
бүгінлари нұқтадарыннан координатадарыннан үзінде үзінде үзінде  
қаноатлантириши лозим болған тенгламалар боғламалар тенглама-  
лардың дейилади. Геометрик боғламалар механик система нұқта-  
дарыннан координатадарыннан үзінде үзінде үзінде үзінде үзінде  
орқали ифодаланади. Ушбу тенгламалар кинематик жуфтликтердегі турига  
да үзінде үзінде үзінде үзінде үзінде үзінде үзінде үзінде үзінде  
конструктив ижросига мөс келувчи боғламаларни ифодалайди.



2.18- расм

Мавжуд механизмлардаги кинематик жүфтіліклар элементтерінің конструкциясы түрли-тұмандыр. Масалан, кинематик схемаларда шартты равнішда тасвирланадыган ұмда бүғінлар 1 ва 2 ни бирлаштирувчи бир

Құзғалувланылғындағы илгариlama кинематик жуфтлік (2.18-расм, а) мегталл қырқувчи дастрохдар конструкциясыда күндаланг кесимининг шаклы турлаға бұлған текис йұналтирувчилар күринишида (2.18-расм, в), кутарғыч конструкциясыда эса (2.18-расм, г) шаклдор профилли йұналтирувчи 2 күринишида (2.18-расм, д) бұлади; йұналтирувчи 2 да үқлари кутарғыч-нинг ҳаракатланувчи бүғини 1 билан бикр бөгләнган подшипниклар системасы думалайди.

Келтирилған мисоллардан мағлұм буладики, кинематик жуфтлік элементлари бұлған бүғинлар 1 ва 2 нинг уринувчи юзалари, чизиқларш ва нұқталари оддий (2.18-расм, а) ва мураккаб (2.18-расм б, е) кинематик жуфтлікларни ҳосил қилиши мүмкін. Оддий кинематик жуфтлікда ғақат иккита элемент үзаро уринади, үлар болганиш деякциялары ташқыл етүвчиларнинг мос равишдаги солини белгилаб беради. Мураккаб жуфтлікда зарур геометрик бөгламалар вазифасын құшимча бөгламалар (масалан, 2.18-расм, б даги 1<sup>°</sup> ва 2<sup>°</sup> лар) утайды.

Агар лойиҳалашда, зарурый геометрик бөгламалар шартыда келиб чиқадиган кинематик жуфтлікнинг керакты элементлардан ташқары, құшимча элементлардан ҳам фойдаланылса, у ҳолда бундай мураккаб кинематик жуфтлікда ортиқча мағаллій бөгламалар юзага келишин мүмкін. Ортиқча мағаллій бөгламалар бор бұлғандан бүғинлар ё нисбін ҳаракатлана олмайды (элементлар қадалыб, қисишиб қолады), ёки бу ҳаракат бүғинларнинг деформацияланиши ҳисобига, элементларнинг мавжуд юзалары орасыда тиркышларнинг катталашиши ёкуд үларнинг ейнлиши ҳисобига юз беради.

Кинематик жуфтлікнинг конструкциясы ишга яроқлы ҳамда ишончлы булиши учун үзінш элементларнинг ұлчамлары<sup>4</sup> шаклиға ва нисбий ҳолатына нисбатан мағлұм талаблар құйылади. Одатда юзалар, үқлар ёки нұқталарнинг берилған ёки талаб қилинадиган геометрик шакл ва жойлашувдан қанчалик четта чиқиши мүмкінліги курсатылади. Масалан, кинематик жуфтлікнинг текис элементлари учун (2.18-расм, б) текисликдан ва түғри чизиқликдан четта чиқиши: чизиқнинг текисликде түғри чизиқликдан четта чиқиши, чизиқнинг фазода түғри чизиқтікден четта чиқиши ва чизиқнинг берилған йұналиш бүйіча түғри чизиқтікден четта чиқиши мейәрлары (нормалары) белгилаб құйылади. Түғри чизиқтікден ва түғри текисликден четта чиқишининг турлары қавариқтік ва өгриликтір.

Сиртлар цилиндриксимонликдан, доиралықдан четта чиқиши (тухумсімон, қыррадор бұлыб қолиши), бүйлама кесими профили бүйіча четта чиқиши (конуссімон, бочкасімон, эгарсімон бұлыб қолиши) мүмкін. Кинематик жуфтліклар элементларнинг юзалары ва үқларнинг жойлашувидаги четта чиқиши турлари құйыдагилардир: параллелликдан, перпендикулярлықдан, үқдошлиқдан ва симметрикликдан четта чиқиши. Бурчакларни нормалаш учун қиялдықтан четта чиқиши, үқларнинг иоминал ҳолатдан сипжишини нормалаш учун эса позицион четта чиқиши қабул қилинади.

Айрим конструкцияларда шакл ва ҳолатдан четта чиқишиннинг йығындиси бағоланади (масалан, радиал тепиши ва бүйлама тепиши).

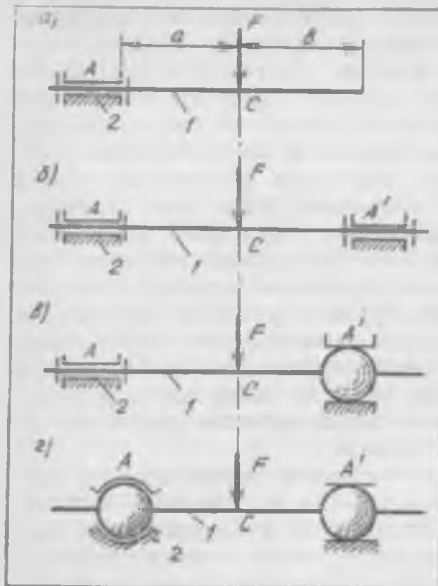
Механизм ва машинанинг вазифасига қараб сиртларнинг шакл ҳамда жиблашувдаги мумкин бўлган четга чиқиш қийматлари тегишли стандартларда назарда тутилган рухсат этишлар (допусклар) билан чеклаб қўйилади. Ишлов беришнинг рухсат этилган қийматлари қанча кичик бўлса, тайёрлаш технологияси шунча мураккаб ва сарф-харажатлар шунча кўп бўлади. Бундай ҳолларда аниқроқ ва қимматбаҳо ускуналар ва технологик жиҳозлар, текшириш воситалари қўлланилади, ишлаб чиқаришга технологик таҳёргартик синковлик билан олиб борилади, юқори малакали ишчи кучндан фойдаланилади. Шу сабабли конструктор механизм, машина ва қурилманинг белгиланган даражада ишлашини таъминлаш учун зарур бўладиган мураккаб кинематик жуфтлик конструкциясини асосли равишда ташлаш керак. Мураккаб кинематик жуфтликларнинг конструкцияси машинанинг бинклиги ва аниқлигини ошириш билан бир қаторда, узеллар ҳамда йигиш бирликларининг бематол йигилишини ҳамда ташки кучлар таъсирида валлар, ўқлар ва бошқа деталлар деформацияланганда ҳам механизмининг белгиланган эркинлик даражалари сонини сақлаб қолишини таъминланомоги даркор.

Конструкцияларни ишлаб чиқиша кинематик жуфтликларнинг қўшимча элементлари уринувчи юзалардаги босим ва ейилишини камайтириш учун киритилади. Бундай камайиш реактив кучларнинг қайта тақсимланиши ва кинематик жуфтликлар элементлари ўлчамларининг катталашини эвазига бўлади (2.18-расм, 2). Берилган кучлар таъсирида деформацияланинши қўшимча подшиппниклар қўйиш йўли билан камайтиришга алоҳида эътибор берилади.

Буни стойка 2 билан бирга айланма жуфтликни ҳосил қилувчи вал 1 мисолида кўрсатиш мумкин (2.16-расм, а). Агар конструкцияга қўшимча элементлар киритган ҳолда оддий айланма жуфтлик ўрнига вални иккита таянчда ўрнатсан (2.19-расм, а), у ҳолда  $F$  куч таъсирида валнинг  $C$  нуқтада эгалиши камайинши мумкин. Масалан, 2.19-расм, в да тасвирланган вал бу ҳолда  $C$  нуқтада ( $a=b$  бўлганда) консолли қилиб ўрнатилган валга (2.19-расм, а) қараганда 8 марта кам эгилади. Кинематик жуфтликдаги ортиқча маҳаллий боғламалар сони конструкциянинг юмшоқлилигини камайтиради, лекин айни чорда ишнинг температура тартиби ўзгарганда, стойка деформацияланганда, кинематик жуфтлик элементлари сиртларининг ўлчамлари, шакли ва жойлашувида четга чиқиш бўлганда зарарли бўлиши мумкин. Статик ноаниқ системаларда ортиқча маҳаллий боғламалар қўшимча куч ва силжишларни вужудга кеттириши мумкин. Шу сабабли ортиқча маҳаллий боғламаларни камайтиришга тўғри келади. Масалан, агар валнинг ўнг подшиппники сферик тарзда ясалиб, эркин қилиб ўрнатилса, у ҳолда боғламалар сони камаяди (2.19-расм, в).

Агар иккала подшиппник сферик элементли қилиб ишланса (2.19-расм, в) ва чап подшиппник ўқ йўналишида қўзгалмас, ўнг подшиппник эса ўқ йўналишида қўзгалувчан (эркин) бўлса, у ҳолда валнинг  $F$  куч таъсирида  $C$  нуқтада ( $a=b$  бўлганда) энг кўп эгалиши фақат чап томонидан консолли таянчга ўрнатилган валнигига қараганда икки марта камаяди (2.19-расм, а), бироқ вал статик аниқ бўлади.

Механизмга иисбатан қўйиладиган талаблар — берилган функцияни сажариш ва берилган параметрларни бутун ишлаш жараёнда белгли-



2.19-расм

жаси дейилади; 219-расм, б да көлтирилгандар құзғалу вчанлық даги айланма кинематик жуфтлик учун у бешінші, 2-19-расм, в дагиси учун иккиге, 2.19-расм, а, г дагилар учун у нолга тен.

Валнинг үки түрі чизиқлайдан четта чиқиши натижасыда маҳаллий ортиқа боғламалар пайдо болады, жуфтлик конструкциясы статик ноаның бұлғып қолады ва подшипник деталдары орасыда құшымча құзғалу вчанлықтар бұлғандагына вал айланыла олади.

Таянчлардагы ана шундай құшымча құзғалу вчанлықтар 2.20-расмда стрелкалар билан күрсатылған. Бундай құзғалу вчанлықтарни шарикли подшипник ташқы қалқасыннан сферик ташқы юзаси ва корпус деталнинг юзаси таъминлайды. Бундай юзаларнинг бұлиши вал үки үқдошликдан (2.20-расм, а) ва түрін чизиқлайдан (2.20-расм, б, в) четта чиққан ҳолларда роторнинг айланышы имкон беради.

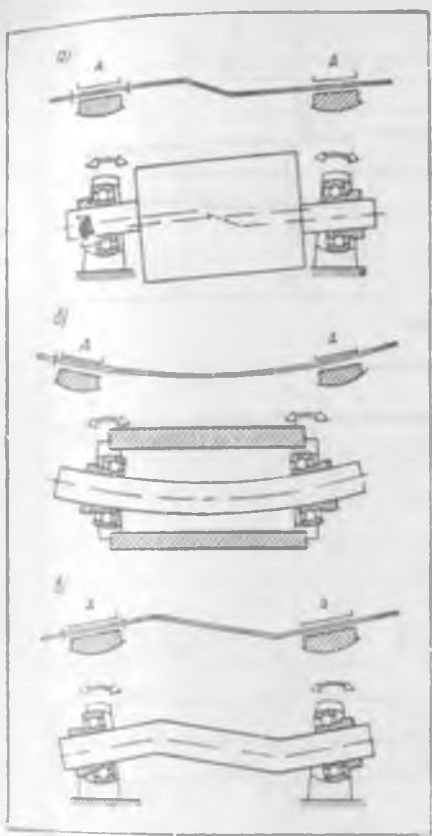
Вал иккита таянчада үрнатылғанда подшипникларнинг сферик юзалари таянчлар база сиртларининг жойлашувидан четта чиқиши таъсирини камайтиради (2.21-расм). Юзалар база таянчларнинг силжиши (2.21-расм, а), уларнинг қиялиги (2.21-расм, б), ротор күндаланған кесимні юзаларнинг перпендикуляр эмаслығы (2.21-расм, в) шарикли подшипник ташқы қалқасыннан база юзаси сферик шаклда вал үқининг түрін чизиқли ва жуфтликнинг статик бұлишини таъминлайды.

Агар вални сферик юзали подшипникларда үрнатыш мүмкін болмаса, у ҳолда талаб қылнуvчи аниқтлік даражасын таъминлаш учун деталлар юзаларнинг шакли ва жойлашувиға тегишлича рухсат этишлар белгиланади. Масалан, 2.22-расмда иккита таянчы вал чизмаси кел-

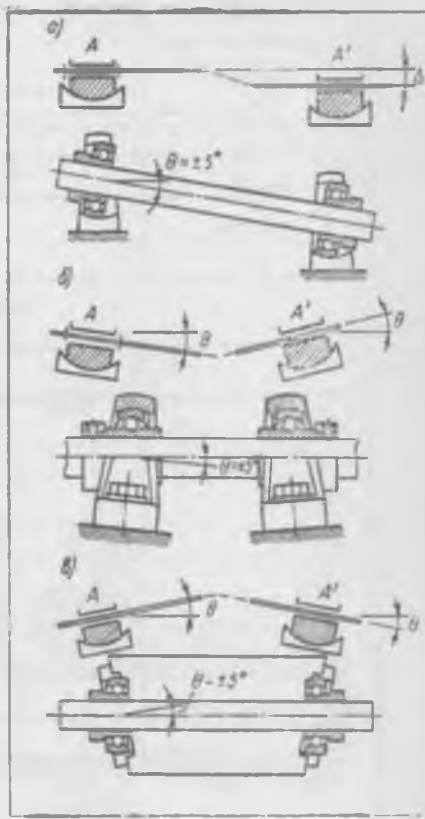
ланған чегагаларда сақлаб қолиши каби талабларн әнг мақбул структуралы механизмларни лойиҳалаш вазифасыни олдинга суради.

Кинематик жуфтликнинг турига мос келдиган фақат керакли геометрик боғламаларны акс эттирадиган схемаси (2.19-расм, а) асосынан схемаси дейилади. Кинематик жуфтликнинг ҳам керакли, ҳам ортиқча маҳаллий (құшымча) боғламаларны акс эттирадиган схемаси ҳақиқий схемаси дейилади (2.19-расм, в, г). Ортиқча маҳаллий боғламалар статик ноанықтік көлтириб чиқаради, яғын таянчлардагы реакцияларни статика усуллари билан аниқлаб бұлмайды ва эластиклік назариясын усулларидан фойдаланишга түрі келади.

Жуфтликнинг мавжуд конструкциясидеги құшымча боғламалар сони кинематик жуфтликнинг статик ноанықтігі дара-

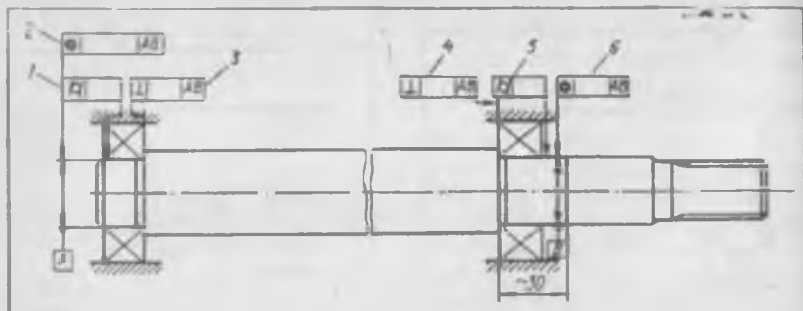


2.20-расм

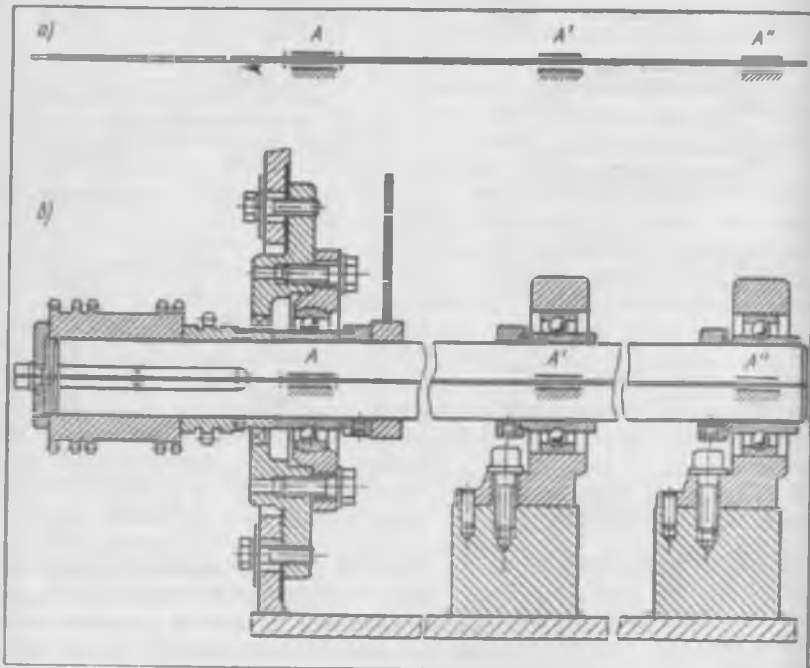


2.21-расм

тирилганды бўлиб, унда  $A$  ва  $B$  бўйинлар учун роторнинг чекли четга чиқишиларигина эмас, шу билан бирга цилиндрическимонликдан ( $1, 5$ ), перпендикулярикдан ( $3$ ) ва ўқдошликтан ( $2, 6$ ) рухсат этилган четга чиқишилар ҳам кўрсатилган. Ортиқча маҳаллий боғламалар валлар ва ўқлар бир неча таянчга ўрнатилганда вужудга келади (2.23-расм,  $a$ ). Бундай конструкцияларни йиғиш ва улардан фойдаланиш мумкин бўлиши учун подшипниклар  $A, A', A''$  (2.23-расм,  $b$ ) битта чизиқда жойлашган бўлиши шарт. Мумкин бўлган тўғри чизиқликдан четга чиқишилар кинематик жуфтлик элементлари сиртлари орасидаги тирқишилар, кинематик жуфтликлар бўғинлари ёки элементлари (масалан, резина ва резина-металл деталлар) нинг деформацияланиши, йиғиш, чиниқтириш ёки ишлатиш вақтида кинематик жуфтликлар элементларининг ейилиши ҳисобига компенсация қилинади. Жуфтликларнинг мавжуд конструкцияларидаги ушбу омилларнинг бир вақтда содир бўлиши билан боғлиқ бўлган ҳодисалар юз беради.

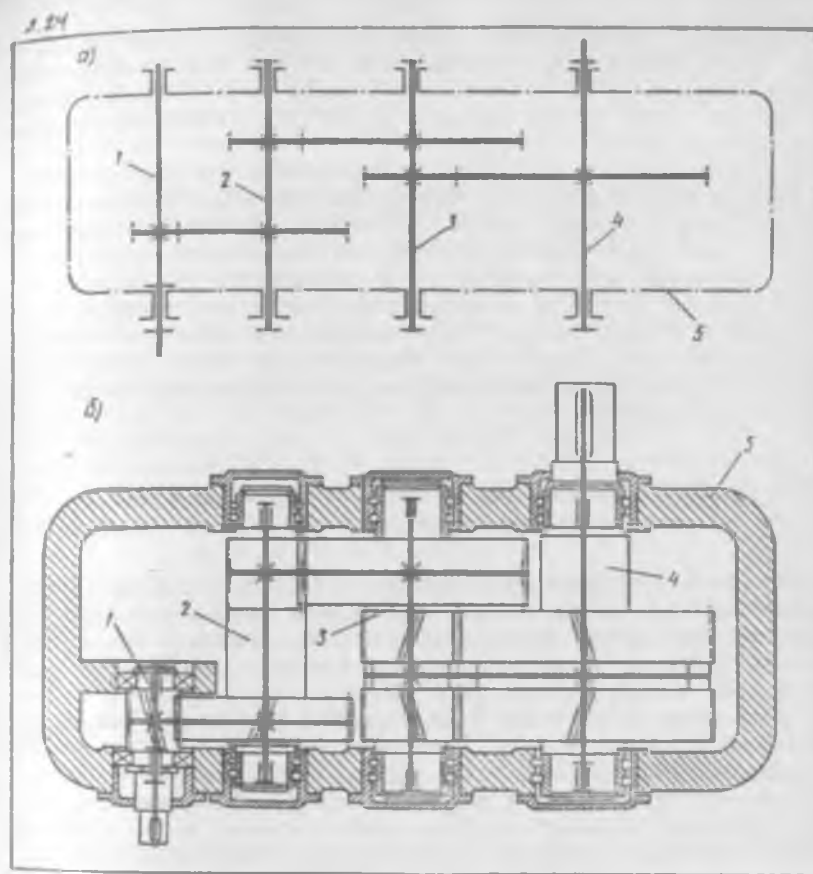


2.22- расм



2.23- расм

Нички ёнув двигателларининг тирсакли валлари бешта подшипинка өзга, бу эса 16 ... 20 та құшымча боғлама пайдо бўлишига олиб келади (2.13-расмга қаранг). Бироқ бу құшымча боғламалар ўзларининг функционал вазифаларига өга: улар валнинг қўйилган  $F$  кучлар таъсирида эгилиш деформациясини камайтиришга, подшипинклар ва шатун-поршень группасидаги бошқа деталларининг ишлашини яхшилаш ҳисобига двигателининг хизмат муддати ва ишончлилигини оширишга имкон беради. Бундай конструкцияларниң тузилишини таҳлил қилишда ушбу құшымча



2.24· рәсм

Боғламаларни ажратиб күрсатиш, механизмнинг ҳисоблаш схемасини тузишда ва деталлар тайёрлаш технологиясини ишлаб чиқишида уларни ҳисобга олиш зарур. Кинематик жуфтлик элементларини талаб қилинадиган даражада аниқ тайёрлаш учун катта сарф-харажатлар қилинса да, бу харажатлар машинани ишлатиш вақтида сарфларнинг камайинши ва унинг ҳизмат муддати узайиши ҳисобига қопланади.

Бўғинлар, айниқса стойка (корпус, станина, раманини) етарти даражада бикр бўлгандагина кинематик жуфтлик элементлари орасида қўшимча боғламалар бўлган конструкцияларни қўллаш мумкин. Кучлар таъсирида бўғинларнинг деформацияланиши кинематик жуфтликлар элементларининг қадалиб қолишига ёки уларнинг ортиқча ейилишига олиб келмаслиги керак. Бўғинларнинг деформацияланишга мослашувчаликкига, конструкциясининг ишончлилиги, ҳизмат муддатига ва технологияболлигига нисбатан қўйиладиган талабларга жавоб берадиган меҳанизмларнинг тузилиши ёнг мақсадга мувофиқ ҳисобланади.

Масалан, уч погонали тишли редуктор (2.24-расм, б) схемаси (2.24-расм, а) күп миқдорда ортиқча маҳаллій боғламаларга әга бұлса ҳам муайян шароитта (чунончы, юртманинг қуввати катта бұлғанда) фойдаланышга әнг қулай бұлади (расмда: 1, 2, 3, 4 — тишли гидриаклар маҳкамланған валлар, 5 — корпус).

Кинематик жуфтлик элементлари жойлашувининг қулай схемаси нисбий түшнүчадыр: бир хил шароит учун қулай бұлған конструкция бошқа шароитта яроқсız бұлмоғи мүмкін. Күпшінча бу — машинани ясаш, уни ишлатиш ҳамда тузатишининг қабул қыллингандарда мәжнат, воситаілар, материаллар ва вақтнинг әнг түғри сарфланишида ифодаланадыган, конструкциянинг хоссалари мажмуди ҳисобланған технология болыптың би-лан боғланған бұлади. Битталаб ишлаб чиқарыш учун анча технология болып бұлған конструкция күплаб ишлаб чиқарышта кам яраши, поток усулида автоматлаштырылған ишлаб чиқарыш учун әса мутлақо ярамаслығы (ёки аксинча) мүмкін.

## 2.7-§. Ортиқча контур боғламалари ҳамда әнг қулай түзилиші механизмларни синтез қилиш

Әнг қулай түзилиші механизмларни синтез қилишда одатда құзгалмас бикр бүғин деб қараладын стойка реал машиналарда құнилған күчлар таъсирида деформацияға учраши ҳисобға олинады. Ушбу деформациялар 2.6 § да күриб чиқылғандык кинематик жуфтликтер элементларининг нисбий ҳолатига ғақат битта кинематик жуфтлик доирасидә эмас, балки механизмнинг әпиқ кинематик занжирлары доирасидә ҳам таъсир күрсатыши мүмкін. Түзилиш схемаси нотұғри танланғанда (масалан, бүғинлар ҳарапати текис механизм схемаси бүйіча бұлади, деб фараз қыллинганды) ишлеш жарағенді бүғинларнинг құйшайниши, әгелиши, өзүлиши, кинематик жуфтлик элементларининг ҳаддан ташқары ейилиши өкінбатыда кинематик жуфтліктарнинг баъзи элементлари қадалып («қисылба») қолиши, конструкциянинг ишончлілігі камайниши ва төз-тез ишдан чиқиши, кattагина құшымча юкланишлар пайдо булиши мүмкін. Бундай ҳодисалар, масалан, ускуналар (пресслар, прокат станлари, қуйиш машиналари ва қоказо) нинг оғир юкланған технология меканиздарыда, қишлоқ хұжалик ва транспорт машиналарыда юз беріши мүмкін.

Ортиқча контур боғламалар исиз механизмларнинг түзилиш схемасини лойиҳалашнинг асосий қоидасини меканизмнинг әпиқ кинематик занжирларини (контурларини) үйгіш шартлари, деб таърифлаш мүмкін; механизмнинг әпиқ контури (ёки контурлары) ни ҳосиүл қытувчи кинематик занжир ҳатто бүғинлар үлчамларидан четга чиқиши ҳамда кинематик жуфтлик элементларининг сиүтлары ва үқілары жойлашувидан четга чиқиши бұлғанда ҳам таранғламасдан үйніліши керак.

Реал механизмлар учун деталларнинг тайёрланиш анықтілгидан ёки стойка ва бошқа бүғинларнинг деформацияланышидан қатыназар, бүғинлар контури шаклининг үзгариши ҳисобнан кинематик жуфтлікке құшымча юкланишлар пайдо булиш әхтимолини йүктелгенде түзилиш

схемасини ишлаб чиқишга ҳаракат қилинади. Энг қулай түзилши меканизмлар яхши ишлайди. Ортиқча контур боғламаларининг йўқолиши деталлар ишончлилигини оширишига, ейилишини камайтиришига, машинанинг фойдали иш коэффициентини оширишига, ишлаш жараёнидаги сарф-харажатни камайтиришига кўплаб мисоллар бор [7].

Агар меканизм бўғинлари ёпиқ контур ҳосил қиласа, у ҳолда энг охириг кинематик жуфтликни (у назарий жиҳатдан исталган жуфтлик бўлиши мумкин, амалий жиҳатдан эса шундай жуфтликки, у йигиши энг технолоѓибоп иш ҳисобланган жуфтлик бўлади) йигиши ва белгиланган эркинлик даражалари сони  $W$  ни ҳосил қилиш учун кинематик жуфтлик элементларининг учала координата ўқлари бўйича яқинлашувини ҳамда ўша учала ўқ атрофида бурчак остида бурилишини таъминлаш зарур. Демак, ортиқча боғламалари бўлмаган ёпиқ контур учун кинематик жуфтликларни йигиши шартини контур кинематик жуфтликларидаги қўзғалувчанликлар йигиндишини меканизмнинг эркинлик даражалари сони  $W$  ҳамда фазовий контурнинг охириг кинематик жуфтликгини йигиши учун зарур бўладиган олтида чизиқли ва бурчкли силжишлар йигиндиши билан тенглиги кўринишида ёзиш мумкин:

$$p_1 + 2p_2 + 3p_3 + 4p_4 + 5p_5 = W + 6. \quad (2.6)$$

Агар йигиши  $K$  миқдордаги мустақил контурлар учун амалга оширилса, у ҳолда ортиқча боғламалари бўлмаган кўп контурли меканизмнинг кинематик запжирларини йигиши шартини қўйидаги кўринишида ёзиш мумкин:

$$\begin{aligned} p_1 + 2p_2 + 3p_3 + 4p_4 + 5p_5 &= W + 6K, \\ \text{ёки} \end{aligned}$$

$$\sum_{i=1}^5 ip_i = W + 6K. \quad (2.7)$$

Энг қулай түзилши меканизмнинг түзилшини таҳлил қилинда меканизмнинг эркинлик даражалари сони аниқланади:

$$W = \sum_{i=1}^5 ip_i - 6K. \quad (2.8)$$

Агар  $W$  талаб қилинадиган эркинлик даражалари сонига тенг бўлмаса, у ҳолда меканизмнинг түзилиш схемаси ортиқча контур боғламалари  $q$  га ёки меканизм учун белгиланган эркинлик даражалари сони  $W$  дан кўпроқ ортиқча қўзғалувчанликлар  $W_0$  га эга бўлади:

$$q = W + W_0 + 6K - \sum_{i=1}^5 ip_i. \quad (2.9)$$

Меканизмдаги бўғинлар контурлари мустақил бўлиши, яъни бир-бирдан бўғинлар ва кинематик жуфтликлар тўплами билан фарқланниши лозим. Контурда камидан учта бўғин бўлади, бунда уч бўғинли меканизмнинг бўғинларидан биттаси бошлангич бўғин бўлиб, иккинчиси стойка бўлади. Кўп контурли меканизмда контур бўғинлари меканизм стойкаси билан бевосита боғланган бўлмаслиги ҳам мумкин.

Мустақил контурлар сони  $K$  Гохман формуласидан анықланады (қаранг: *Гохман Х. И. Основы познавания и созидания пар и механизмов. Кинетика машин. Одесса, 1890, I т.*):

$$K = \sum_{i=1}^5 p_i - n = p_{\Sigma} - n, \quad (2.10)$$

бунда:  $p_{\Sigma} = \sum_{i=1}^5 p_i$  — механизмдеги кинематик жуфтликларнинг умумий сони;  $n$  — құзғалувчан бүғинлар сони.

(2.10) мұносабатни (2.9) мұносабаттаң құйынб құйидагини ҳосил қиласыз:

$$q = W - 6n + \sum_{i=1}^5 (6 - i)p_i.$$

Мисол тариқасыда 2.19-расм, ә да көлтирилгандай олты бүғинли механизмнинг тузилиш схемасы құйидаги параметрларга әга: құзғалувчан бүғинлар сони  $n = 5$ , битта құзғалувчанлықка әга жуфтликлар сони  $p_1 = 7$ . Бинобарн, (2.10) мұносабаттаң күра мустақил контурлар сони:

$$K = p_{\Sigma} - n = 7 - 5 = 2.$$

$W = 1$  ва  $W_o = 0$  бүлгандай (2.9) мұносабаттаң күра ортиқча контур боғламалары сони:  $q = W + 6K - \sum_{i=1}^5 ip_i + W_o = 1 + 6 \cdot 2 - 1 \cdot 7 + 0 =$

= 6. Үшбу боғламаларни йүқтотын учун ҳар бир мустақил контурдаги құзғалувчанлықлар йығындисини камыда уч бирлікка ошириш зарур: *ABCD* контурда (бүғинлар 1, 2, 3, 6):  $q_{k1} = 1 + 6 \cdot 1 - 1 \cdot 4 = 3$ ; *DEF* контурда (бүғинлар 3, 4, 5, 6):  $q_{k2} = 1 + 6 \cdot 1 - 1 \cdot 4 = 3$ . Агар контурлардаги шатунлар 2 ва 4 құшни бүғинлар билан (иккита бир құзғалувчанлықдаги жуфтликлар ўрннан иккі құзғалувчанлықдаги цилиндр-симон ва уч құзғалувчанлықдаги сферик жуфтликлар билан) алмаштирилса, у ҳолда ҳар бир контур  $K_1$  ва  $K_2$  лардаги ҳамда механизмдеги ортиқча контур боғламалары йүқтөлади (2.25-расм):  $q = q_{k2} = 1 + 6 \cdot 1 - (1 \cdot 2 + 2 \cdot 1 + 3 \cdot 1) = 0$ ;  $q = 1 + 6 \cdot 2 - (1 \cdot 3 + 2 \cdot 2 + 3 \cdot 2) = 0$ .

Хусусий ҳолда битта әркінлік даражасына әга бүлган ( $W = 1$ ) ва ортиқча боғламалардың битта контурга әга бүлгандай ( $q = 0$ ) механизмдердегі епік кинематик заңжыры кинематик жуфтликларнинг шундай тұпламаға әга булиши керакки, бунда фазовий механизмлар учун уларнинг құзғалувчанлықлары йығындиси еттігі, текіс механизмлар учун тұртқа тенг бүлсін. Бүйіларнаның бириктирилгенінан сүнг епік контур ҳосил құладынан кейінгі групталары таркибида кинематик жуфтликларнинг шундай тұплами булиши керакки, бунда фазовий механизмлар учун уларнинг құзғалувчанлықлары йығындиси олтігі, текіс механизмлар учун утка тенг бүлсін. Реал механизмларда стойка екінші бүғинлар деформацияланиши мүмкінligини өткізбек болып, әңг құлай тузылыштың қандай механизм фазовий деб қаралади.

Ортиқча контур боғламалары бүлмаганда берилған әркінлік даражалары сони  $W = W_o$  ни таъминлаш учун бүғинларнинг фақат кераклы құзғалувчанлықлары мавжудлігін ифодалайдын механизм схемасы

механизмнинг асосий схемаси ёки энг мақбул түзилши схемаси де-  
йилди.

Асосий түзилши схемаси учун  $q = 0$  булади ҳамда (2.1) түзилши формуласи қўйидаги хусусий кўринишни олади:

$$W_0 = 6n - \sum_{i=1}^5 (6 - i) p_i. \quad (2.11)$$

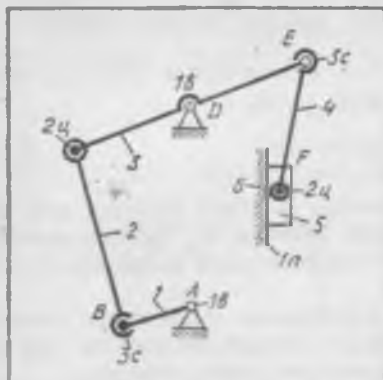
Механизмнинг асосий түзилши схемаси қўйидаги хусусиятларга эга: кинематик жуфтликлар элементлари бўғинларни деформацияланасдан ҳамда кинематик жуфтликларни тарангламасдан механизмнинг ёпнқ контурини йиғишга имкон беради;

стойкада жойлашган кинематик жуфтликлар элементлари ҳолатининг ўзгарувчанлиги стойка ва бўғинлар деформацияланганда ҳам кинематик жуфтликлардаги кучларга сезиларли таъсири этмайди;

кириш бўғинларининг берилган актив юкланишларида, ҳолатларнда, тезликлари ва тезланишларида ҳамма қолган бўғинлар нуқталарининг ҳолатларини, тезликлари ва тезланишларини топиш ҳамда кинематик жуфтликлардаги реакцияларни аниқлаш мумкин, чунки боғлама шартларининг сони ва кинематик жуфтликларнинг қўзалувчанликлари сони ва характеристи механизмнинг статик аниқлилигига ҳамда ҳар бир кинематик жуфтликнинг статик аниқлилигига мос келади. Шу сабабли механизмнинг асосий схемасига кўра кинематик жуфтликлардаги ҳамма кучларнинг қийматлари, йўналишлари ва қўйилиш нуқталарини механизм бўғинларининг берилган кучлар таъсири натижасида ҳаракатланиши шартига (статик ёки кинетостатик мувозанатлаш) асосан бир хилда аниқлаш мумкин.

Мавжуд конструкциялар ва уларнинг кинематик схемаларини таҳлил қилинша берилган эркинлик даражалари сони  $W_0$  га эга бўлган механизмнинг асосий схемасига кўра ё унинг қўшимча қўзгалувчанликлари  $W_1$ , ёки унинг ортиқа боғламалари  $q$  аниқланади. Қўшимча қўзгалувчанликлардан бўғиннинг маҳаллий қўзгалувчанликлари  $W_2$  ва бўғинлар группасининг маҳаллий қўзгалувчанликлари  $W_3$  ажратиб кўрсатилиди. Баъзи типдаги подшипниклардаги эркин ўрнатилган ўқулар, втулкалар, бармоқлар, ҳалқалар, муштли механизмлардаги блоклар, шкивлар, роликлар ва ҳоказолар маҳаллий қўзгалувчанликка эга. Бўғин маҳаллий қўзгалувчанлигининг хусусияти шундан иборатки (2.11-расм, а га қаранг), унинг содир бўлиши механизмнинг қолган бўғинлари ҳаракатланишига сабаб бўлмайди. Бўғиннинг маҳаллий қўзгалувчанилигидан маълум мақсадда фойдаланилди, чунки у, масалан, кинематик жуфтлик элементларининг ейлинишини камайтиради, мояйланиш шароити яхшилайди, машина қисмларининг фойдали иш коэффициенти ( $\Phi_{II}$ ) ни, ишончли ишлашини, хизмат муддатини оширади. Кинематик занжирдаги бўғинларнинг маҳаллий қўзгалувчанликларининг умумий сони  $W_m$  ни механизм тузилшини таҳлил ва синтез қилишининг дастлабки босқичида аниқлаб олиш зарур.

Қўшимча қўзгалувчанликларининг иккинчи тури кинематик занжирлардаги бўғинлар бир қисмининг груп павий қўзгалувчанлиги бўлиб, у механизмдаги қолган бўғишларнинг суръилишига сабаб бўл-



2.25-расм

майды. Баъзи механизмларда бўғинларнинг группавий қўзғалувчанлигига йўл қўйиб бўлмайди, чунки у чиқиши бўғиннинг ҳаракати ноаниқ бўлишига олиб келади. Масалан, агар  $ABCD$  тўрт бўринли механизмдаги (2.25-расмга қаранг) бўғинлар 2 ва 3 нинг икки поводокли группасидаги  $B$  ва  $D$  шарнирлар сферик қилиб ясалса, у ҳолда группавий қўзғалувчанлик пайдо бўлиши натижасида бўғинлар 2 ва 3 иккита сферик жуфтлик  $B$  ва  $D$  нинг марказларини туаштирувчи  $BD$  чизиқка нисбатан айланниш имконига эга бўлади. Одатда ёпиқ контурли механизмларда бундай қўзғалувчанликка йўл қўйиб бўлмайди, аммо очиқ кинематик занжирли механизмлар учун у фойдалан бўлиши мумкин. Робот механизмларида бўғинлар группасининг қўзғалувчанлиги ижро чи бўғин (масалан, панжа) нинг ҳаракатчанлигини ошириши мумкин. Баъзи ҳолларда битта контур бўғинлари группасининг қўзғалувчанлигидан механизмнинг бошқа контур бўғинлари (Берилган эркинлик даражалари сонини ўзгартирган ҳолда) фойдаланиши мумкин. Муайян механизмлар учун эркинлик даражаларининг умумий сони  $W$  ни ҳар хил мақсадлар учун мўлжалланган қўзғалувчанликлар: асосий қўзғалувчанлик  $W_a$ , группавий  $W_r$  ва маҳаллий  $W_m$  қўзғалувчанликлар ийғиндиси кўринишида ифодалаш мақсадга мувофиқдир:

$$W = W_a + W_r + W_m. \quad (2.12)$$

Механизмнинг тузилиш схемасини синтез қилишда талаб қилинувчи эркинлик даражалари сони  $W$  бошлангич бўғиннинг (бўғинларнинг) ҳаракати тарзида амалга оширилиши ҳисобга олиниши лозим. Бинобарин, ортиқча контур боғламалари бўлмаган механизмни синтез қилишда бошлангич бўғин ва стойкага бўғинлар ҳамда кинематик жуфтликларнинг шундай комбинацияларини биректириш керакки, улар учун эркинлик даражалари сони  $W_r$ , нолга teng бўлсин. Тузилишни синтез қилишини бундай усули статик аниқ структура группаларини биректириш усулни дейилади. Бу усулининг текис механизмларга тааллуқли роясини Л. В. Ассур ишлаб чиқкан. Умумий кўринишидаги фазовий механизмлар учун бу талаб қўйидаги муносабат кўринишида ёзилади

$$W = W_r = \sum (W_{rj} = 0) \quad (2.13)$$

ёки

$$W_r = 6p_r - 5(p_1 + 4p_2 + 3p_3 + 2p_4 + p_5) = 0, \quad (2.14)$$

бунда:  $W_r$  — бошлангич бўғинларнинг эркинлик даражалари сони;  $W_r$  — биректирилувчи бўғинлар группасининг эркинлик даражалари сони.

(2.13), (2.14) муносабатлар механизмининг асосий түзилиши схемаси ни синтез қылыш шарти дейилади.  $\sum_{j=1}^K W_{rj}$  ифода йигиндини топиш бошланғич бүғинларга бириктириладиган ёки илгарироқ бүғинларнинг структура группаларига бириктирилган ҳамма мустақил бүғинлар группаси  $K$  бүйіча үтказилиши кераклигини билдиради.

(2.14) муносабат кинематик жуфтликлар элементларининг үзаро нисбій жойлашуви га чеклашлар бұлмаслыгини таъминлаган ҳолда, бириктирилувша бүғинларнинг структура группасини тараңгламасдан ылғышынинг (әркін ҳолда ылғышынинг) шарти ҳисобланади.

Бириктирилувчи бүғинларнинг әнг кам миқдори бирга тенг:  $(p_r)_{\text{макс}} = 1$ . Бу ҳолда (2.14) муносабат хусусий қыйматта эга:

$$6 - (5p_1 + 4p_2 + 3p_3 + 2p_4 + p_5) = 0. \quad (2.15)$$

Кинематик жуфтликлар сонларининг йигиндиси иккиге тенг, яғни  $\sum_{i=1}^5 p_i = p_1 + p_2 + p_3 + p_4 + p_5 = 2$  бұлғанлығы сабабли (бұтта кинематик жуфтлик — стойкалы, иккінчісі — бошланғич бүғинлідір) (2.15) муносабаттың ғақат құйидагы уч хил жойлашув қаноатлантиради:

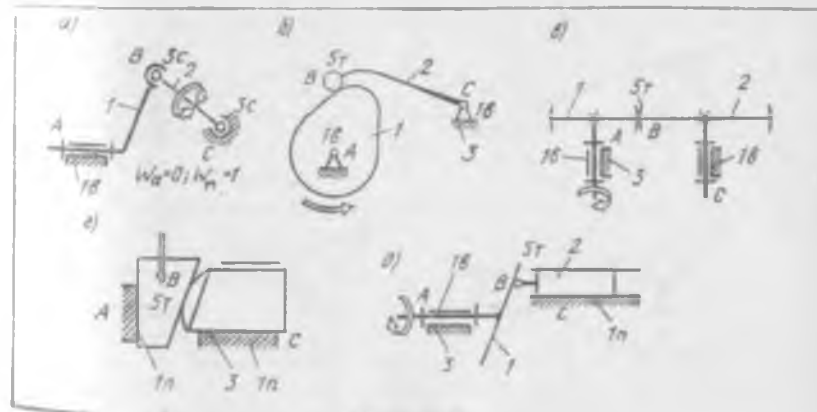
а)  $p_3 = 2$ , чунки  $6 - 3 \cdot 2 = 0$ ;

б)  $p_4 = 1$ ;  $p_5 = 1$ , чунки  $6 - 2 \cdot 1 - 4 \cdot 1 = 0$ ;

в)  $p_1 = 1$ ;  $p_5 = 1$ , чунки  $6 - 1 \cdot 1 - 5 \cdot 1 = 0$  ёки  $6 = 3 \cdot 2 = 2 \cdot 1 + 4 \cdot 1 = 1 \cdot 1 + 5 \cdot 1$ .

(а) жойлашувда бүғин 2 да уч құзғалуучанликка эга иккита  $B$  ва  $C$  кинематик жуфтликлар (масалан, иккита 3с сферик жуфтликлар) бор, улар бүғиннинг маҳаллій құзғалуучанлыгын таъминлайды, яғни бүғин 2 сфералар марказлары орқали үтүвчи  $BC$  чизік атрофіда айлана олады (2.26-расм, а). Бундай жойлашув бүғин 1 га бошланғич бүғин бүлишига имкон бермайды, чунки  $W_0 = 0$ ,  $W_u = 1$ .

(б) жойлашувда бөгланувчи бүғин бұтта бир құзғалуучанлықдагы (2.26-расм, б, а дагы 1n ёки 2.26-расм, б, в дагы 1e) ва бұтта беш



2.26-расм

Құзғалувчанликдаги (5т) кинематик жүфтлікка әга. Бундаі жойлашув итаргичи ўтқир учылған сферик бошмоққа әга бұлган механизмларда (2.26-расм, б), тишилариннг ён сирти нүктада уринувчи («бочкасамон тишилар») тишли узатмаларда (2.26-расм, в), плунжерли гидродвигатель механизмида (2.26-расм, д) кеңгір құлланилады.

Иккита бириктирилған бүғинни бұлған  $n_r = 2$  механизмнинг асосий түзилиш схемасини синтез қилишда (2.14) мұносабаттың құйидаги ху-сусий құйматлары топилиши керак:

$$\sum_{i=1}^5 p_i = p_1 + p_2 + p_3 + p_4 + p_5 = 3; \\ 12 - (5p_1 + 4p_2 + 3p_3 + 2p_4 + p_5) = 0. \quad (2.16)$$

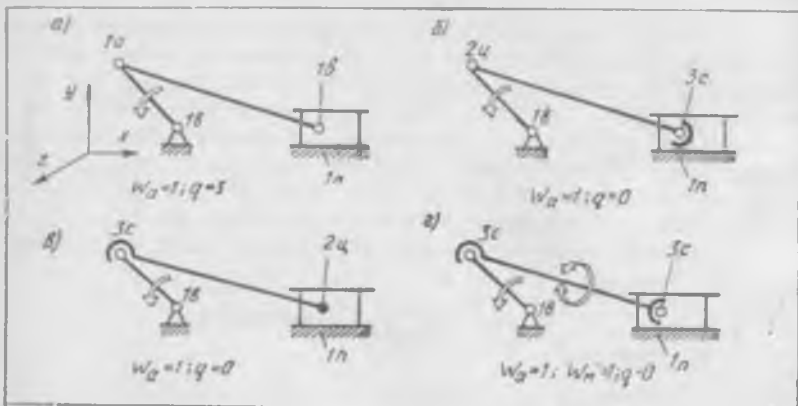
(2.16) мұносабатлар кинематик жүфтліктернинг құйидаги жойлашувлари учун бажарилады:

- a)  $p_1 = 1; p_2 = 1; p_3 = 1$ , чунки  $12 - 3 \cdot 1 - 4 \cdot 1 - 5 \cdot 1 = 0$ ;
- б)  $p_2 = 3$ , чунки  $12 - 4 \cdot 3 = 0$ ;
- в)  $p_1 = 2; p_4 = 1$ , чунки  $12 - 2 \cdot 1 - 5 \cdot 2 = 0$  еки  $12 = 3 \cdot 1 + 4 \cdot 1 + 5 \cdot 1 = 4 \cdot 3 = 2 \cdot 1 + 5 \cdot 2$ .

Хар хил құзғалувчанликка әга бұлған кинематик жүфтліктернинг бошланғыч бүғини, иккита бириктирилған бүғин ва стойка орасыда жойлашувининг хилма-хил күрнишлари юқоридаги жойлашувлар талабларига жавоб беради.

Иккита бириктирилдеган бүғинли механизмларнинг баъзи түзилиш схемалари 2.27-расмда кривошип-ползунылы механизм мисолида көлтирилді.

Тұртта бир құзғалувчанликдаги 1в ва 1n жүфтліктерге әга бұлған механизмнинг текис схемасыда (2.27-расм, а) битта асосий құзғалувчанликдаги ( $W_a = 1$ ) учта ортиқча контур боғламалари ( $q = 3$ ) бұлады.



2.27- расм

2.27-расм, б ва в даги түзилиш схемалари (2.26) муносабатнинг бир қўзғалувчанликдаги ( $1_n$ ), икки қўзғалувчанликдаги ( $2_n$ ) ва уч қўзғалувчанликдаги ( $3_c$ ) кинематик жуфтликлари «а» жойлашувига тўғри келади.

Агар битта икки қўзғалувчанликдаги ( $2_n$ ) жуфтлики уч қўзғалувчанликдагиси ( $3_c$ ) билан алмаштирилса (2.27-расм, г), у ҳолда шатун маҳаллий қўзғалувчаникка ( $W_u = 1$ ) эга бўлиб, ўз ўчи атрофида айланна олади.

Механизмларнинг асосий схемалари түзилишини синтез қилишнинг баён этилган усулни 2.1-жадвалда умумлаштирилган ҳолда келтирилган. Жадвалда бўғинлари сони I дан 5 тагача ўзгарувчи группалар учун турли қўзғалувчанликка эга бўлган кинематик жуфтликларнинг турлича жойлаувлари кўрсатилган.

Агар қўлай түзилишли механизмни синтез қилишда фақат бир қўзғалувчанликдаги кинематик жуфтликларни қўллаш лозим бўлса, у ҳолда биринтирилдиган группадаги бўғинларнинг энг кам миқдори бешта ( $n_r = 5$ ), кинематик жуфтликларнинг сони олтига ( $p_S = p_1 = 6$ ) бўлиши керак. Бу ҳолда (2.14) муносабат қўйидаги хусусий ифода кўриннишини олади:  $W_r = 6 \cdot 5 - 5 \cdot 6 = 0$ . Бундай механизм шарнирили, етти бўғинли механизм дейнлади ва у стойка, бошлангич бўғиндан ва биринтирилувчи группанинг бешта бўғинидан ташкил топади.

#### 2.1-жадвал

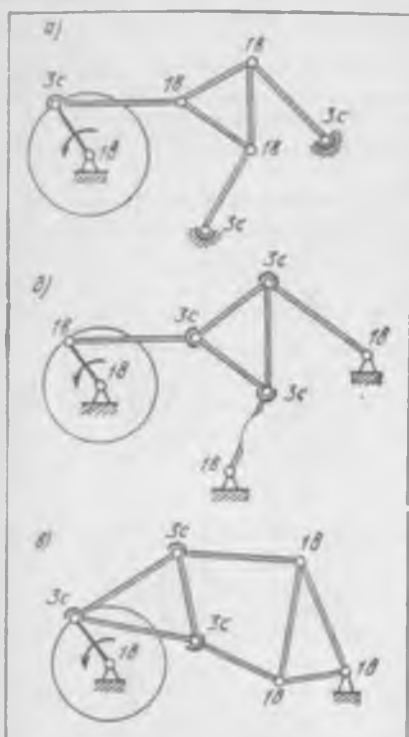
Бўғинлар сони $n_r$	Группадаги кинематик жуфтликлар сони $P_S = \sum p_i$	Бўғинларнинг мумкин бўлган қўзғалувчаникка-лари сони бўлг	Биринтирилган бўғинлар группасидаги турли қўзғалувчаникка эга бўлган кинематик жуфтликлар сони				
			$p_1$	$p_2$	$p_3$	$p_4$	$p_5$
1	2	6	1	—	—	—	1
2	3	12	2	—	—	1	—
3	4	18	3	—	1	—	—
4	5	24	4	1	—	—	—
4	6	24	3	—	3	—	—
5	6	30	6	—	—	—	—

2.28-расм, а — в да бириктириладыган группаси түрттә бүгін ва олтита (учта айланма ва учта сферик) жуфтликка эга бўлган механизмларнинг тузилиш схемалари көлтирилган. Бўгинларда ортиқча контур боғламалари йўқ ( $n = 5$ ;  $p_1 = 4$ ;  $p_3 = 3$ ;  $W = 1$ );  $q = 6n + W - \sum (6 - i)p_i = 6 \cdot 5 + 1 - (5 \cdot 4 + 3 \cdot 3) = 0$ .

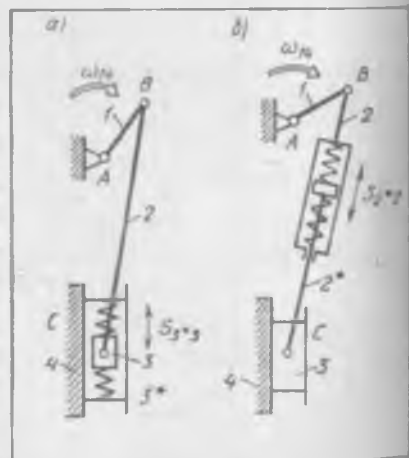
Механизмнинг асосий тузилиш схемасини синтез қилишнинг (2.14) шарти зарур шартдир, бироқ у бўгинлар контурини тарапгламасда йиғиш учун етарли бўлмаслнги мумкин.

Тузилиш схемасида кинематик жуфтликларнинг бирикмаси шундай бўлиши мумкини, натижада маҳаллий ёки групавий боғламалар пайдо бўлади. Механизм схемасида аниша шу боғламалар билан бир қаторда битта ёки бир нечта ортиқча боғламалар ҳам бўлади. Улар, месалан, бошлангич бўгиннинг айланishi текислигига перпендикуляр бўлган ўқ йўналишида ҳаракат йўқлиги туфайли охириги кинематик жуфтликни йиғишга имкон бермайди.

Ортиқча боғламалар мавжудлигини ва уларнинг характеристикини ушбу усул билан аниқлаган маъқул. Усулининг можияти ёпиқ контурининг ҳар бир кинематик жуфтлигидаги қўзғалувчанликни таҳлил қилишдан ҳамда зарур миқдорда чизиқли га бурчак сиљишиларни амалга оширган ҳолда бўгинлар контурининг охириги жуфтлигини йиғиш мумкинлигини аниқлашдан иборат. Бунда шу нарсани назарда тутиш лозимки, баъзан бўгинларни маълум бурчакка буриш эвазига жуфтлик элементларининг чизиқли яқинлашувига эришиш мумкин.



2.28-расм



2.29-расм

Механизмларда геометрик боғламалар имкон берадиган бүғинлірнің нисбий силжишлардан ташқари, бүғинларнің эластиклигі туғайлы силжишлар ҳам бұлади. Бірінчі ҳолда бүғинларнің асосий ҳаракатини ифодалайдын түзилишдеги әркинлік даражалари тұғрысдаға ғап боради. Иккінчі ҳолда эса механизмнің конструктив параметрлари (массасы, бикрлиғи) ва ҳаракат тартибига (хусусан, үйготиш частотасынға) боғылған параметрдеги әркинлік даражалари тұғрысдаға ғап боради. Параметрдеги әркинлік даражаларига боғылған бүғиннің нисбий ҳаракати баъзан бүғиннің асосий ҳаракатига фон тарзда құшынлық кетади. Бу фон абсолют силжишларга нисбатан кичик бүған силжишлар ҳамма катта тезлик ва тезланишлар билан ифодаланади. Титраш ва зарб беріш асосида ишлайдын механизмларни таҳыл қылыш ва лойихалашда, хавфли тебранишлар вужудға келіши мүмкін бүған ҳолларда титрашдан ҳимояловчы қурилмаларини лойихалашда, технологик ва ташиш ишларини жадаллаштырадын ва самарадорлығын оширадын ускуналарни лойихалашда параметрдеги әркинлік даражалари тушунчасын киритиш зарур.

2.29-расм, а да титраб зарб берувчи машиналарда (титрама болға, титрама пресс ва ҳоказо) ишлатыладын ва ҳаракатнің маълум бір босқычларда пружина ёрдамида энергияни ростлашға (тұплаш ва қайтарышта) имкон берувчи кривошип-ползуны механизмнің иккита схемасы көлтирилген.

2.29-расм, а да  $S_{3 \times 3}$  параметрик әркинлік даражасында эга бүған муҳра  $8^*$  ва ползун 3 дан ташкил топувчи бүғаш 3 эластик бүғин ҳисобланади.

2.29-расм, б да деталлар  $2^*$  ва шатун 2 нинг мүмкін бүған  $S_{2 \times 2}$  силжиш тарзидеги параметрик әркинлік даражасында эга бүған шатун 2 эластик бүғиндер. Иккала механизмда ҳам түзилишдеги әркинлік даражалары сони битта бўлиб, у кириш бўғини I нинг  $\omega_{14}$  бурчак тезлиги билан айланышы тарзда намоён бўлади.

### 3 - 6 0 6

## МЕХАНИЗМЛARНИНГ КИНЕМАТИК ХУСУСИЯТЛАРИ

Механизмнің асосий вазифасы уннің кинематик хусусиятлары билав тавсифлашып зарур ҳаракатларни бажарышдан иборат. Бу хусусиятларга механизм нұқталараппннің траекториялары, нұқталары ва бүғинларнің координаталары ҳамда аввало үчиннің умумлашған координаталары, нұқта ва бүғинларнің ҳаракаілары, уларннің тезлик ва тезланишлары киради. Кинематик хусусиятларга бoshланғыч бүғинларнің ҳарқат қонунига боғылған ғықат механизмнің түзилишидан, бүғинларнің үлчамларидан келиб чықадын ва умумий ҳолда умумлашған координаталарга боғылған параметрлар ҳам киради. Булар ҳолат функциялары, тезлик аналоглары, үзатып функциялары, механизм нұқталары ва бүғинларнің тезланиш аналогларидир. Кинематик хусусиятларни билниш динамик хисоблашлар учун ҳам мүхимдір.

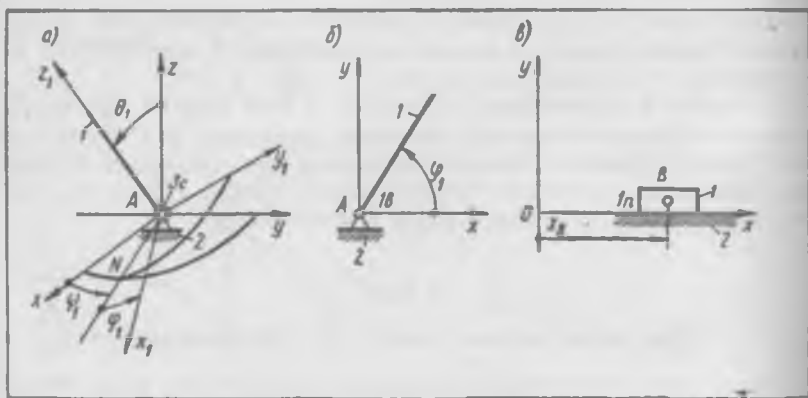
Кинематик хусусиятларға күра конструктор механизмнің лойихалашыннан асосий масалаларидан бири бүған механизмнің түзилиш схемасын танлашы ва бүғинлардың үлчамларынан анықлаша масаласы қапчалық мұваффақияттың қыллингандығы тұғрысында хулоса чиқарады. Біннебарин, құйылған талабларға әнші тарзда жавоб береді. Анықтадын механизм яратыш учун механизмнің кинематик хусусиятларын анықлай үсулларынан бишиш лозим,

### 3.1-§. Кириш ва чиқиши бүғинларининг кинематикаси ва механизминг узатиш вазифалари

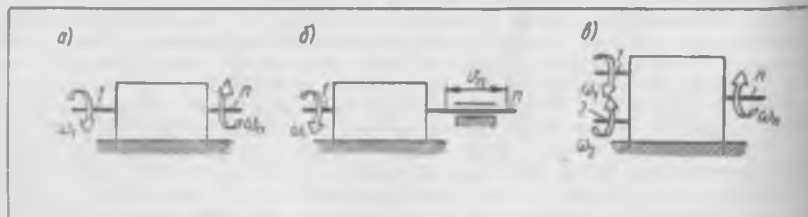
Берилган тузилиш схемасига ва берилган ўлчамларга эга бўлган механизминг бир-бирига боғлиқ бўлмаган кинематик параметрлари сони механизминг эркинлик даражалари сонига ёки механизминг умумлашган координаталари сонига тенгдир.

Бир ёки бир қанча умумлашган координатага эга бўлган бўғин бошланғич бўйин дейилади. Масалан, қўзғалмас нуқта атрофиди айланувчи, яъни стойка 2 билан бирга сферик (юмолок) жуфтлик ҳосил қўлувчи бўғин 1 (3.1-расм, а) учта эркинлик даражасига эга бўлиб, унинг ҳолати учта параметр билан — учта Эйлер бурчаклари  $\varphi_1$ ,  $\psi_1$  билан аниқланади. Қўзғалмас ўқ атрофиди айланувчи, яъни стойка 2 билан бирга айланма кинематик жуфтлик ҳосил қўлувчи бўғин 1 (3.1 расм, б) битта эркинлик даражасига эга ва унинг ҳолати битта параметр билан, масалан, бурчак координатаси  $\varphi_1$  билан аниқланади. Стойкага нисбатан илгарилама ҳаракатланувчи бўғин ҳам битта эркинлик даражасига эга бўлиб, унинг ҳолати битта параметр —  $x_B$  координатаси билан аниқланади.

Ҳар қандай механизм кириш бўғини 1 (3.2-расм, а, б) ёки кириш бўғинлари (3.2-шакл, в) ҳаракатини ана шу механизм бажариши лозим



3.1-расм



3.2-расм

бўлган бошқа бўғинларнинг талаб қилинган ҳаракатига айлантириб беради. Эркинлик даражаси битта бўлган механизминг кириш бўғини 1 тартиб номери билан, чиқиш бўғини п номер бўлган, оралиқ бўғинлар 2, 3, ..., i, ... п — 1 тартиб номерлари билан белгиланади.

Машина ва механизмларни лойинчалашда кўп ҳолларда вақт функциясида умумлашган координаталарнинг ўзгариш қонуни лойинчалашнинг кейинги босқичларида, одатда, агрегатни динамик тадқиқ этиб бўлингандан сўнг механизм бўғинларига қўйилган кучлар хусусиятларини, бўғинларнинг массаси ва инерция моментларини ҳисобга олган ҳолда аниқланади. Бундай ҳолларда чиқиш бўғинлари ва оралиқ бўғинларнинг ҳаракати иккита босқичда аниқланади: биринчи босқичда бўғин ва нуқталар параметрларининг умумлашган координатага боғлиқлиги, яъни нисбий функциялар (механизминг ҳолат функциялари ва узатиш функциялари) аниқланади, иккинчи босқичда эса умумлашган координатанинг вақтга кўра ўзгариш қонуни ва чиқиш бўғинлари кинематик параметрларининг вақтга боғлиқлиги аниқланади.

Мисол тариқасида  $n$ -чиқиш бўғини  $\omega_n$  бурчак тезлиги билан айланма ҳаракат қилувчи (3.3-расм;  $n = 6$ ), эркинлик даражаси иккита бўлган текис механизми кўриб чиқамиз. Ушбу бўғиннинг танланган координаталар системасидаги  $Ox$  ўқининг мусбат йўналишига нисбатан ҳолати  $\varphi_n$  бурчак билан аниқланади.  $\varphi_n$  нинг ўзи эса ҳаракатланиш вақти  $t$  га боғлиқ бўлган умумлашган координаталар  $\varphi_1$  ва  $\varphi_2$  нинг функциясиdir:  $\varphi_n = \varphi_n(\varphi_1, \varphi_2)$ .  $n$ -бўғиннинг бурчак тезлигини аниқлаш учун мураккаб функция бўлган  $\varphi_n$  нинг вақт бўйича ҳосиласини топиш зарур:

$$\omega_n = \frac{d\varphi_n}{dt} = \frac{\partial \varphi_n}{\partial \varphi_1} \frac{d\varphi_1}{dt} + \frac{\partial \varphi_n}{\partial \varphi_2} \frac{d\varphi_2}{dt} = \frac{\partial \varphi_n}{\partial \varphi_1} \dot{\varphi}_1 + \frac{\partial \varphi_n}{\partial \varphi_2} \dot{\varphi}_2,$$

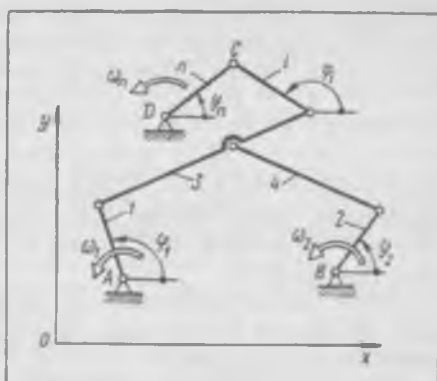
ёки

$$\omega_n = \frac{d\varphi_n}{dt} = \frac{\partial \varphi_n}{\partial \varphi_1} \omega_1 = \frac{\partial \varphi_n}{\partial \varphi_2} \omega_2 = u_{n1}^{(2)} \omega_1 + u_{n2}^{(1)} \omega_2, \quad (3.1)$$

бунда:  $\omega_1$ ,  $\omega_2$ ,  $\omega_n$  — мос равиша бўғинлар 1, 2 ва  $n$  нинг бурчак тезликлари;  $u_{n1}^{(2)}$ ,  $u_{n2}^{(1)}$  — хусусий узатиш нисбатлари.

Эркинлик даражаси битта бўлган механизм учун қўйидаги кўринишдаги хусусий ҳол ўринилдири:

$$\omega_n = \frac{d\varphi_n}{d\varphi_1} \frac{d\varphi_1}{dt} = u_{n1} \omega_1, \quad (3.2)$$



3.3-расм

бунда  $u_{n1} = d\varphi_n/d\varphi_1 = \omega_n/\omega_1$  — бүгіннларнинг бурчак тезліклари нисбати бўлиб, узатиш нисбати деб аталади. Узатиш нисбати  $u_{n1}$  ўлчамга эга бўлмаган катталиқдир. (3.1) формуладаги хусусий узатиш нисбатлари  $u_{n1}^{(2)}$  ва  $u_{n2}^{(1)}$  нинг физик маъноси қўйидагича:  $u_{n1}^{(2)}$  — иккинчи умумлашган координата  $\varphi_2$  мансуб бўлган бўғин 2 нинг қўзғалмаслиги шартига кўра ( $\omega_2 = 0$ ) бўғинлар  $n$  ва 1 бурчак тезліклари  $\omega_n^{(2)}$  ва  $\omega_1^{(2)}$  нинг нисбатини билдиради. Шунга ўхашаш  $u_{n2}^{(1)}$  — биринчи умумлашган координата  $\varphi_1$  мансуб бўлган бўғин 1 нинг қўзғалмаслиги шартига кўра ( $\omega_1 = 0$ ) бўғинлар  $n$  ва 2 бурчак тезліклари  $\omega_n^{(1)}$  ва  $\omega_2^{(1)}$  нинг нисбатини билдиради.

Хусусий узатиш нисбатлари  $u_{n1}^{(2)}$  ва  $u_{n2}^{(1)}$  нинг ҳар бирни иккала бошланғич бўғинлар 1 ва 2 га таалуқли умумлашган координаталар  $\varphi_1$  ва  $\varphi_2$  нинг функциялариидир:

$$u_{n1}^{(2)} = u_{n1}^{(2)}(\varphi_1, \varphi_2), \quad u_{n2}^{(1)} = u_{n2}^{(1)}(\varphi_1, \varphi_2).$$

Хусусий узатиш нисбатлари  $u_{n1}^{(2)}$  ва  $u_{n2}^{(1)}$ , шуннингдек  $n$  бўғиннинг бурчак тезліклари аналоглари деб ҳам аталади. Ушбу атама (термин) нинг маъноси қўйидагича мулоҳазадан келиб чиқади: агар  $\omega_2 = 0$ ,  $\omega_1 = 1$  рад/с бўлса, у ҳолда  $u_{n1}^{(2)}$  ни 2-бўғин тўхтагандаги  $n$  бўғиннинг бурчак тезлиги деб қараш мумкин.

Шунга ўхашаш, агар  $\omega_1 = 0$ ,  $\omega_2 = 1$  рад/с бўлса, у ҳолда  $u_{n2}^{(1)}$  ни бўғин 1 тўхтагандаги, бошқача айтганда, эркинлик даражаси битта бўлган механизмдаги  $n$  бўғиннинг бурчак тезлиги деб қараш мумкин.

Ҳолати радиус-вектор  $r_C = r_C(\varphi_1, \varphi_2)$  га кўра аниқланадиган  $C$  нуқтанинг тезлиги хусусида ҳам юқоридағыдек мулоҳаза юртиш мумкин.

$C$  нуқтанинг тезлиги қўйидаги нисбатдан аниқланади:

$$v_C \frac{d\bar{r}_C}{dt} = \frac{\partial \bar{r}_C}{\partial \varphi_1} \frac{d\varphi_1}{dt} + \frac{\partial \bar{r}_C}{\partial \varphi_2} \frac{d\varphi_2}{dt} = \frac{\bar{v}_C}{\partial \varphi_1} \dot{\varphi}_1 + \frac{\bar{v}_C}{\partial \varphi_2} \dot{\varphi}_2, \quad (3.3)$$

ёки

$$\bar{v}_C = \frac{\partial \bar{r}_C}{\partial \varphi_1} \omega_1 + \frac{\partial \bar{r}_C}{\partial \varphi_2} \omega_2 = \bar{p}_{q1C} \omega_1 + \bar{p}_{q2C} \omega_2,$$

бунда  $\bar{p}_{q1C} = \partial \bar{r}_C / \partial \varphi_1$  ва  $\bar{p}_{q2C} = \partial \bar{r}_C / \partial \varphi_2$  —  $C$  нуқтанинг тезлигини умумлашган координаталар таалуқли бўлган бошланғич бўғинлар 1 ва 2 га келтириш радиуслари.

Баъзан  $\bar{p}_{q1C}$  ва  $\bar{p}_{q2C}$  қийматлари  $C$  нуқтанинг тезлик аналоглари дейилади ва улар қўйида келтириладиган нисбатларни инобатга олган ҳолда  $v_{q1C}$ ,  $v_{q2C}$  билан белгиланади:

$$\begin{aligned} \bar{v}_{q1C} &= \bar{p}_{q1C} = \frac{\partial \bar{r}_C}{\partial \varphi_1} = \frac{\bar{v}_C^{(2)}}{\omega_1}, \\ \bar{v}_{q2C} &= \bar{p}_{q2C} = \frac{\partial \bar{r}_C}{\partial \varphi_2} = \frac{\bar{v}_C^{(1)}}{\omega_2}. \end{aligned} \quad (3.4)$$

Ушбу тезлик узатиш функцияларининг физик маъноси қуидагича:  $v_{q1C} - \omega_2 = 0$  (бошлангич бўғин 2 қўзғалмас, механизминг ёркинлик даражаси битта),  $\omega_1 = 1$  рад/с бўлганда  $C$  нуқтанинг тезлиги. Шунга ўхаш  $v_{q2C} - \omega_1 = 0$ ,  $\omega_1 = 1$  рад/с бўлганда  $C$  нуқтанинг тезлиги.

Ушбу узатиш функцияларини  $C$  нуқтанинг тезликларини бошлангич бўғинлар 1 ва 2 га келтириш радиуслари  $r_{q1C}$  ва  $r_{q2C}$  деб аталганда қуидаги геометрик маъно назарда тутилади:  $|r_{q1C}|$  бошлангич бўғин 1 даги шундай  $C^*$  нуқта траекториясининг эгрилик радиуси, бу нуқтанинг тезлиги  $\omega_2 = 0$  (бошлангич бўғин 2 қўзғалмас) бўлган ҳолдаги  $C$  нуқтанинг тезлиги  $v_C$  га тенг бўлади;  $|r_{q2C}|$ , юқорида айтилганда дик,  $\omega_1 = 0$  бўлганда бошлангич бўғин 2 даги  $C^{**}$  нуқта траекториясининг эгрилик радиусига тенг. Эркинлик даражаси битта бўлган механизмлар учун қуидаги белгилашлар ва нисбатлар қўлланилади:

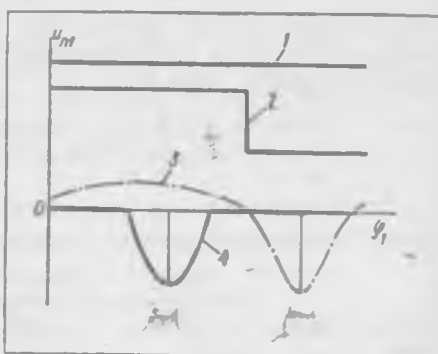
$$v_{qC} = \frac{dr_C}{d\varphi_1} = \frac{v_C}{\omega_1}. \quad (3.5)$$

Умумлашган координата  $\varphi_1$  бўлганда нуқта тезлигини узатиш функциясининг СИ даги бирлиги эгрилик радиуси бирлигига мос келади  $[v_{qC}] = \text{м/рад}^*$ .

Кинематик узатиш функциялари вақтга боғлиқ бўлмайди, улар механизминг фақат кинематик схемасига ва бўғинларининг ҳолатига боғлиқ равишда аниқланади, яъни улар, умумлашган координаталарнинг ўзгариш қонунидан қатъи назар, механизминг кинематик параметларини белгилаб беради.

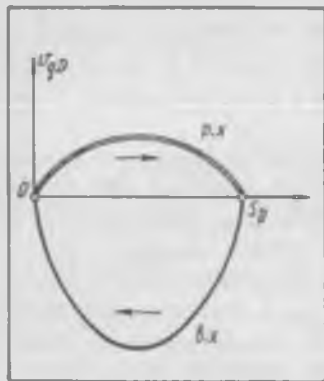
3.4-расмда баъзи механизмлар (1 — цилиндрический тишти узатма; 2 — цилиндрический тишти гидравлический бўлган узатиш қутиси; 3 — пиншанги кулисали механизим; 4 — мальта механизми) учун умумлашган  $\varphi_1$  координатага функциясида узатиш нисбатининг ўзгариш графиклари келтирилган.

Баъзи механизмларни лойиҳалашда, масалан, чиқиш бўғинининг ҳолат функцияси тарзида ясалган узатиш функциялари графикларидан фойдаланишга тўғри келади; 3.5-расмда чиқиш бўғини  $D$  нуқтаси гезлигини узатиш функцияси  $v_{qD} = v_D/\omega_1$  нинг графикни ўша нуқтанинг, масалан, ползуннинг илгарилама ҳаракати  $S_D$  нинг функцияси тарзида ясалган; 3.6-расмда эса айланма ҳаракат қи-

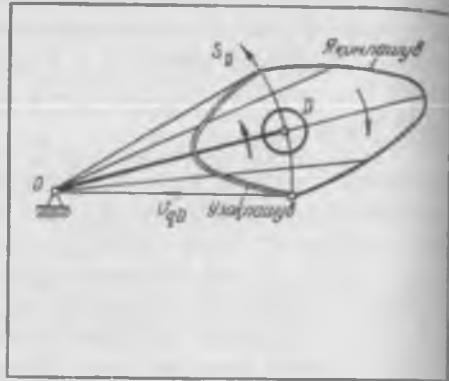


3.4-расм

\* Бу ерда ва бундан кейин физик катталикининг СИ даги бирлиги кятта қувестар салан белгиланади.



3.5- расм



3.6- расм

лувчи бўғиннинг, масалан, муштли механизмдаги итаргичнинг бурилиш бурчак  $\Phi_1$  нинг функцияси тарзида ясалган.

Механизмдаги бўғинларнинг бурчак тезланишлари мос бўғиннинг иккинчи ҳосила ҳолат функцияси ёрдамида аниқланади. Эркинлик дарражаси  $W = 1$  бўлган механизмнинг  $i$  индексли ( $i = 1, \dots, n$ ) бўғин учун қўйидагича ёзилади:

$$\begin{aligned} e_i &= \frac{d^2 \Phi_i}{dt^2} = \frac{d \omega_i}{dt} = \frac{d}{dt} \left( \frac{d \Phi_i}{d \varphi_1} \dot{\varphi}_1 \right) = \\ &= \frac{d^2 \Phi_i}{d \varphi_1^2} \cdot \frac{d \varphi_1}{dt} \cdot \ddot{\varphi}_1 + \frac{d \Phi_i}{d \varphi_1} \cdot \frac{d \dot{\varphi}_1}{dt} = \frac{d^2 \Phi_i}{d \varphi_1^2} \left( \ddot{\varphi}_1 \right)^2 + \frac{d \Phi_i}{d \varphi_1} \left( \ddot{\varphi}_1 \right). \end{aligned}$$

Умумлашган бурчак координата  $\varphi_1$  бўлганда ҳосилалар қўйидагича ифодаланади:  $\dot{\varphi}_1 = \omega_1$ ,  $\ddot{\varphi}_1 = e_1$ . СИ бирликлари:  $[\omega_1] = \text{рад/с}^2$ ;  $[e_1] = \text{рад/с}^3$ . Бу ҳолда  $i$  бўғиннинг бурчак тезланиши қўйидаги иисбатга кўра аниқланиши мумкин:

$$e_i = \frac{d^2 \Phi_i}{d \varphi_1^2} \omega_1^2 + \frac{d \Phi_i}{d \varphi_1} e_1 = e_{qC} \omega_1^2 + \omega_{qC} e_1. \quad (3.6)$$

$C$  нуқтанинг иккинчи ҳосила ҳолат функцияси  $S_C$  ёрдамида механизм  $C$  нуқтасининг уринма тезланиши аниқланади:

$$a_C^x = \frac{d S_C}{d \varphi_1} e_1 + \frac{d^2 S_C}{d \varphi_1^2} \omega_1^2 + a_{qC} \omega_1^2 + v_{qC} e_1, \quad (3.7)$$

ёки

$$\frac{a_C^x}{\omega_1^2} = a_{qC} + v_{qC} (e_1 / \omega_1^2). \quad (3.7')$$

$d^2 S_i / d \varphi_i^2 = a_{\varphi C}$  умумлашган координата бүйінча олинган иккінші С нұқта ҳаракатининг ҳосиласи С нұқта тезланишининг узатыш функциясы еки С нұқтанинг тезланиш аналоги дейнлади.

Агар механизмни лойиҳалашда еки тадқиқ этишда механизмнинг ҳолат функциясы еки узатыш функцияларининг бирортаси берилған болса, у қолда қолған боғланишлар дифференциаллаш ҳамда интеграллаш усуллари билан анықланиши мүмкін.

### 3.2-§. Пишанғли текис механизмларнинг ҳолатлари, тезліклари ва тезланишлари планлари

Бүгінлар ҳолатини, нұқталар ҳамда бүгінлар тезліклари ва тезланишларини анықлашга имкон берувчи механизмларни тадқиқ этишининг график усуллари көнг тарқалған. Бу ҳол лойиҳалашнинг амалий масалалариниң ечишдаги тезкорлық, құлайлық ва яққоллық билан боғлиқдір. Яққоллық график усулларға хос бўлиб, текширишга құлайлиги билан бошқа усуллардан фарқ қиласи. График усулда ҳисоблаш геометрик ясалға асосланған бўлади ва кўпинча у аналитик ва рақамли ҳисоблашдаги натижаларга бирмунча яқин бўлган натижаларни беради. Энг содда ечимни берганлиги сабабли график усул ягона мақбул усул ҳисобланishiغا кўплаб мисоллар бор.

График усулларнинг аниқлиги 0,3 ... 0,5% ни ташкил этиб, кўпгина амалий масалаларни ечиш учун етарлидир.

Бир-бирига ўхшаш кўплаб ясашларни амалга оширишда график усуллардан фойдаланиш қийин бўлади, юқори аниқлик билан бажаришини талаб қилувчи ҳисоблашларда эса улардан умуман бевосита фойдаланиб бўлмайди.

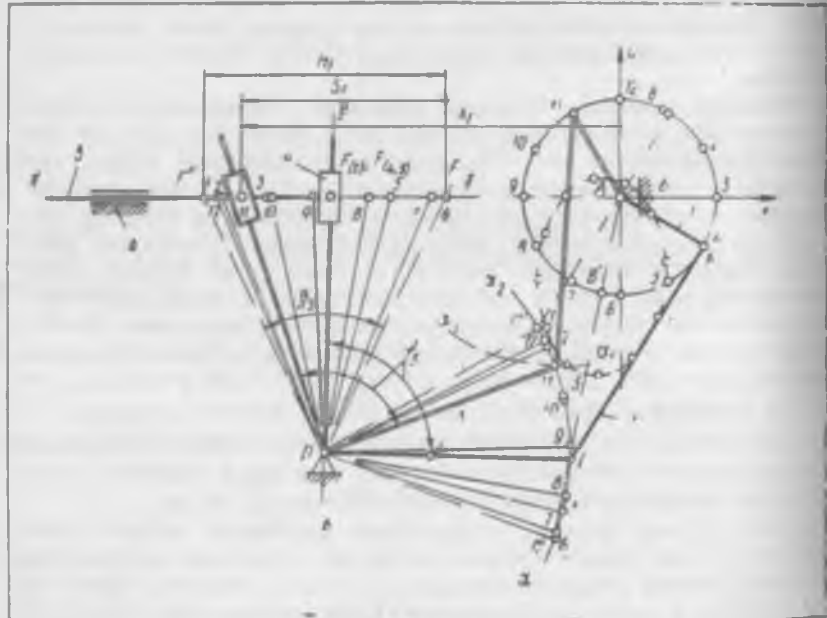
**Механизм планлари.** Механизм кинематик схемасининг бошланғич бүгіннинг (ёки эркінлик даражаси бир нечта бўлган механизмлар сошланғич бүгінларининг) аниқ бир ҳолатига мос келадиган тарзда, белгиланған масштабда берилған тасвири м е х а н и з м п л а н и дейнлади. Механизм планининг масштаби бүгінлар узунлигини ва бўгінлар нұқталарининг координаталарини ифодаловчи кесмалар ўлчамларини аниқлайди. Механизм планининг масштаби  $\mu$ , билан (ўлчов бирлиги, мм/м) белгиланади, яъни узунлик масштаби дейнлганда, пландаги миллиметрда ифодаланган кесманинг тасвириланаётган бўгин узунлигининг СИ бирлигидаги, яъни м билан ўлчанувчи сон қийматига нисбати тушунилади. Масалан,  $\mu_1 = AB/l_{AB}$ ,  $\mu_1 = BC/l_{BC}$ , бунда  $|AB| = |BC| = \text{мм}$ ;  $|l_{AB}| = |l_{BC}| = \text{м}; |\mu_1| = \text{мм}/\text{м}$ .

Кесмаларнинг сон қийматини аниқлаш учун тегишли бўгінларнинг м да ифодаланувчи ўлчамларини механизм планининг танланған масштаби  $\mu$ , га кўпайтириш лозим: масалан,  $BC = \mu_1 l_{BC}$ .

График усулни, масалан, тұплагындағы деталларни тасмали транспортёрга узлукли узатыб турадиган автоматикал қурилмада құлланилади-  
тан олти бўгінли, пишанғли механизм (3.7-расм) мисолинда кўриб чи-  
каймыз. Бўгин  $l$  ҳар сафар 2л бурчакка бурланидан сунг тұхтаб-тұх-  
таб нотекис айланади. Шунга қарамай, механизм планини ясашда  
бўгин  $l$  нинг умумлашган координата ҳисобланувчи бурилиш бурчагини

ұзаро тенг бұлған қатор бурчак қадамларыга (масалан, ҳар бири  $30^\circ$  га тенг бұлған 12 та бурчак қадамлары) ажратыш мүмкін. Киріш бұғини  $I$  нинг исталған нүктесі айланана чизади ва  $l_{BA}$  радиуслы айланада бир текис жойлашған қолатларни кетма-кет әгаллады. 3.7-расмда кетма-кет қолатлары араб рақамлары  $1, 2, 3, \dots, 12$  орқали белгиланған,  $B$  нүкта чизгандай айланап тасвирланған. Бұғинлар 2 ва 3 қолатларни аниқлаш учун ушбу бұғинларни ұзаро шарнир ёрдамида бөгловчы  $C$  кинематик жүйеге қолатын аниқлаш кифоя.

$C$  нүкта  $D$  нүкта атрофидада иисбий ҳаракатланғанда  $l_{CD}$  радиуслы әйсімонар  $\alpha_2 - \alpha_1$  траекторияны,  $B$  нүкта атрофидада иисбий ҳаракатланғанда эса  $l_{CB}$  радиуслы әйсімонар шаклдаги  $\alpha_1 - \alpha_2$  траекторияны чизади.  $C$  нүктесінің иисбий ҳаракатынға иисбатан ушбу иккала траектория  $\alpha_1 - \alpha_2$  ва  $\alpha_2 - \alpha_1$  ларнинг ұзаро кесишүүн нүктесі (3.7-расмда улар қолат  $11$  учун күрсатылған) циркуль ёрдамида аниқланади. Бундай усулда ясаш бөззан қалыптырылған. Бүгінлар 2 ва 3 нүктесінде айланада бир текис жойлашмаган кетма-кет қолатлары аниқланади.  $C$  нүктесінде қолатлары ҳам бошланғич бүрін  $I$  нинг белгиланишига мөс тарзда арабча рақамлар билан белгиланади. Бұғинлар 2 ва 3 нүктесінде қолатларнан аниқлаш учун мөс нүктесінің ұзаро туташтириш кифоя (расмдагы вазият  $11$  да құш чизиқтар билан күрсатылған).



3.7-расм

Бүғинлар 4 ва 5 қолатларини аниқлаш учун  $F$  нүктанинг қолатиянан аниқлаш кифоя.  $F$  нүктанинг стойка 6 га нисбатан траекториясы  $\gamma - \gamma$  түғри чизик бұлади. Үшбу нүктанинг бүғин 3 га нисбатан траекториясы  $FD$  билан устма-уст тушадыган  $\beta - \beta$  түғри чизик бұлади. Бүғин 3 нинг  $FDC = \psi$ , бурчаги үзгармас бұлғанлығы сабабы  $\beta - \beta$  түғри чизиктіңнің ( $\epsilon$ кі  $FD$  нинг) қолатларини конструктив бурчак  $\psi$ , ни үзгартырмаган қолда одатдаги геометрик ясашлар усулы билан аниқлаш мүмкін.

$F$  нүктанинг нисбий ҳаракат траекториялари  $\gamma - \gamma$  ҳамда  $\beta - \beta$  нинг үзаро кесишув нүктасы үшінгі мос равншадаги қолатларини белгілайды  $F$  нүктанинг үшбу қолатлары ҳам боштанғыч бүғин 1 нинг қолатлары белгіларига мос равншада араб рақамлары билан белгиланади.

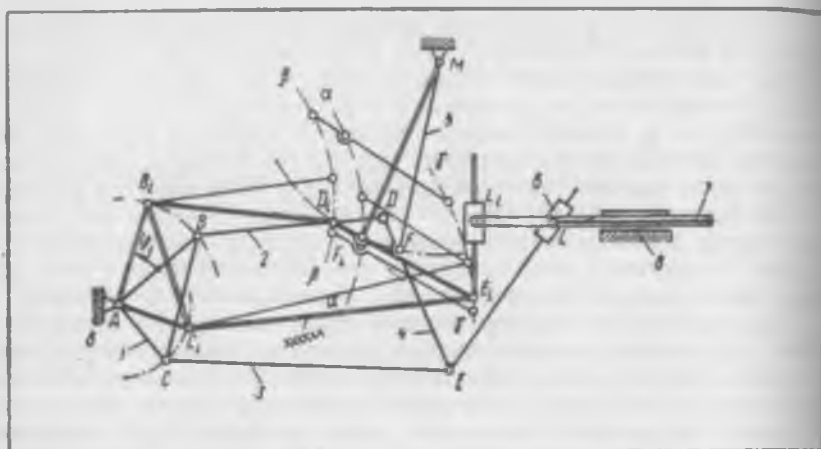
Зарур бұлғанда механизм планида қолатлары аниқлаб бұлғанған у екінші бүғиннинг исталған нүктасы чизадыған траекторияларни ясаш мүмкін. Масалан, 3.7-расмда шатун 2 дагы  $S$  нүктанинг кетма-кет қолатлары күрсатылған. Белгіланған қолатлардан равон эгер чизик үтказып  $S$  нүктанинг траекториясын ҳосил қылғынади. Текис параллел ҳаракатлар қылувчи бүғинларда жойлашған нүкталарнинг бундай траекториялары шатун эгер чизиклары дейіләди. Бу эгер чизиклар аналитик мусосабаттар орқали ҳам күрсатылыш мүмкін. Масалан, шарнирли, түрт бүғинли  $ABCD$  механизм учун  $S$  нүкта траекториясы (3.7-расм) олтынч тартибли алгебраик эгер чизик орқали тасвирланади. Нүкталарнинг үз траекторияларидаги чекка қолатлары  $C'$ ,  $C''$ ,  $F'$ ,  $F''$  ҳарфлары билан белгіланған. Улар четки «турниш» қолатларынға мос келади ва уларни ҳам ясашлар усулы билан аниқлаш мүмкін булиб,  $C'$  взят —  $\alpha_1 - \alpha_2$  траекторияниннегін  $A$  нүктадагы марказ билан  $l_{AC'} = l_1 + l_2$  радиуслы ёй воситасыда кесишуви;  $C''$  взят — үша  $\alpha_1 - \alpha_2$  траекторияниннегін яна үша  $A$  нүктадагы марказ билан  $l_{AC''} = l_2 - l_1$  радиуслы ёй воситасыда кесишуви;  $F'$  ва  $F''$  қолатлар  $C'$  ва  $C''$  ҳамда  $B'$  ва  $B''$  нүқталарга мос келади.

$F'F''$  масофа чизма масштабида стойка 6 га нисбатан чиқып бүғин 5 нинг Ыұли  $H_F$  ни билдіреді.  $\beta_0 = \angle F'DF''$  бурчак кулиса 3 нинг бурчак йўли ёкі бурилиш бурчаги дейіләди.

Таржыбда уч поводоклы группалар бұлған механизмларнинг планларини тузишда нисбий ҳаракатнанға иккита траекториясини кесишириш усулыдан (чалиштириш усулыдан) фойдаланылади, бунда траекторияларнинг биттасы етакчи бүтін билан бөгланған системага нисбатан шатун эгер чизиги булиши мүмкін. Баъзан бу усул сохта қолатлар усулы деб ҳам аталади. Бу усулнинг хусусиятлары 3.8-расмда көлтирилған саккиз бүғинли кулисалы механизм планини тузиш мисолида күрсатылды.

Әркінлик даражасын битта бұлған үшбу механизмда бүғин 1 бошланғыч бүғин булиб, унга  $B$  ва  $C$  нүкталарда бүғинлар 2 ва 3 бириктирилған. Бұ бүғинлар базис бүғини 4 бұлған уч тизгинли (поводоклы) группаларнан тизгинларынан. Бүғин 5 эса үшбу группаларнан учнан тизгиннан. Бүғинлар 6 ва 7 иккі тизгинли группалар ҳосил қылады.

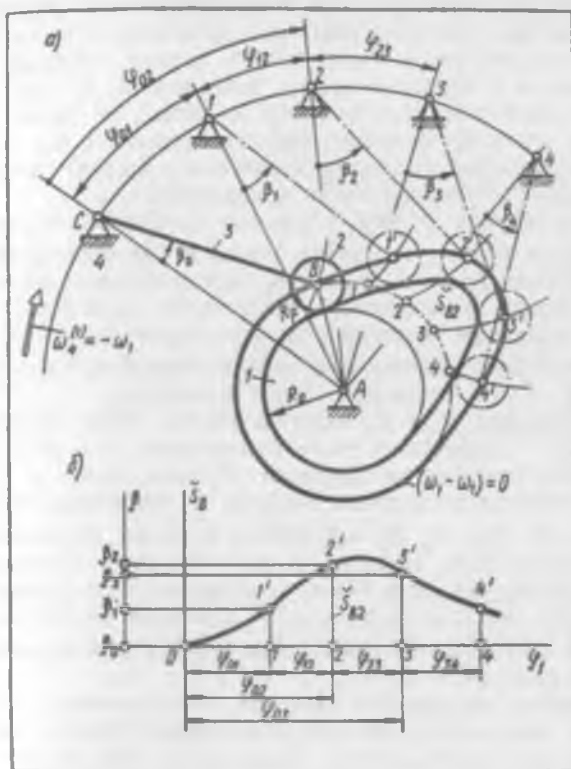
Тизгинли группа бүғинларини аниқлаш учун күйнеге дагы усульдан фойдаланылади.



3.8- расм

Бошланғич бүгін  $I$  ни қандайдыр  $\phi$ , бурчакка буриб,  $B_1$  ва  $C_1$  нүкталарнинг  $A$  нүкта атрофида айланиши натижасыда ҳосил бұладыған ёйсімен траекториядаги шу нүкталарнинг үрни аниқланады. Тизгин  $5$  билан базис бүгін  $4$  нинг  $F$  бөгләнеш нүктаси  $M$  нүктега нисбатан  $r_{PM}$  радиуслы ёйсімен траектория ҳосил қиласы. Бироқ  $F$  нүктаның ушбу ёйсімен траекториядаги қолатини бөвөсита қалыштириш усули билан аниқлаб бұлмайды. Бунинг учун бүгін  $I$  нинг белгиланған қолатига («қотирилған» қолатига) нисбатан  $F$  нүктаның траекториясын аниқлауды билан бөглиқ бұлган құшымча ясашни амалға ошириш лозим. Ушбу нисбий қарқатада  $D$  нүкта  $D_{DE}$  радиуслы ёйсімен  $\beta - \beta$  траекториядаги,  $E$  нүкта эса  $E_{ECl}$  радиуслы ёйсімен  $\gamma - \gamma$  траекторияни чизады.

$\beta - \beta$  траекториядаги  $D$ , нүктаның қатор қолатларини қабул қилған қолда  $r_{DE}$  радиуслы кесма билан қалыштириш усулидан фойдаланыб  $\gamma - \gamma$  траекторияда  $E$ , нүктаның мөс қолатлари аниқланады ҳамда белгиланған («қотирилған») қолатдаги бошланғич бүгін  $I$  га нисбатан бүгін  $4$  нинг нисбий қарқатада  $F$  нүкта чизадыған  $\alpha - \alpha$  траектория ясалады. Нисбий қарқатдаги  $F$  нүкта  $\alpha - \alpha$  траекториясынин  $(«\text{éлон траектория}»$  нинг)  $F$  нүктаның  $r_{FM}$  радиуслы айлана ёйн бүйіча мүмкін бұлған траекторияси билан кесишуві нүктаси изланаёттан  $F_1$ , нүктаның қолатини ҳамда кирш бүріннининг күрсатылған қолатидаги бүгін  $4$  нинг изланаёттан қолатини аниқтайды. Расмда бүріншілар 2, 3 ва 4 қолати құш чизиклар билан күрсатылған. Бириктирилған иккі тизгінде группа бүріншілари 6 ва 7 нинг қолатларн юқорида айтылған усульда аниқланады. Механизмнинг қолған қолатлари планларини тузиш учун юқоридағы амаллар бошланғич бүгін  $I$  нинг талаб этилған қолатлар миқдорicha тақрорланиши даркор.



3.9-расм

Олий жуфтлекли (масалан, муштли) механизмларнинг кинематик хусусиятларини аниқлашда профилларининг биттаси ёки ҳаммаси мураккаб шаклда бўлишигини ҳисобга олиш лозим бўлади (3.9-расм). Профиль нуқталарининг координаталари одатда график тарзда ёки жадвал шаклида берилади. Бундай профилларнинг қатор ҳолатларини чизиш қийинчилик туғдиради. Бунда ҳаракатни ўзгартириши усулидан фойдаланиш ёнг мақсадга мувофиқдир. Бу усулнинг моҳияти шундаки, механизмга унинг қўжалмайдиган қилиб қўйилиши зарур бўлган бўғинининг бурчак тезлигига тенг бўлган, аммо йўналиши унга қарама-қарши бўлган айланма ҳаракат берилади. Бинобарин, мураккаб шаклни ҳаракатланувчи бошланғич бўғин I шартли равишда қўжалмас деб ҳисобланади, стойка 4 эса қарама-қарши томонга  $\omega_4^{(1)} = -\omega_1$  бурчак тезлик билан айлантирилади (3.9-расм). Механизмнинг бундай ҳаракати бўғинларнинг бошланғич бўғин I га нисбатан ўзгартирилган ҳаракати дейилади.

Ўзгартирилган ҳаракатда ҳамма бўғинларнинг, шу жумладан, кириш ва чиқиш бўғинларининг ҳам нисбий ҳолатлари ўзгармайди. Механизмнинг ҳолат планини тузишда ҳаракатни ўзгартириш усулидан фойдала-

нишга миссөл дісксімон мушти ва айланувчи роликли итаргичи бұлғац муштли механизм үчүн (3.9-расм, а) күрсатылған. Стойка  $AC$  (бұғын 4) га ( $-\omega$ ) бурчак тезлік билан нисбий ҳаракат берилади ва  $AC$  радиуслы айланада С нүктаның қатор ҳолатлари:  $0, 1, 2, 3, \dots$ , яғни итаргичнинг айланыш үқлары белгилаб қойылади; бу үқлар  $AC$  стойка нынг құшны ҳолатлари орасидаги бурилиш бурчаклари  $\varphi_0, \varphi_{12}, \varphi_{23}, \dots$ , билан ёки стойканың бошланғич вазиятидан бошлаб ҳисобланады  $\varphi_0, \varphi_0, \varphi_0, \dots$  бурчаклар билан ифодаланади.

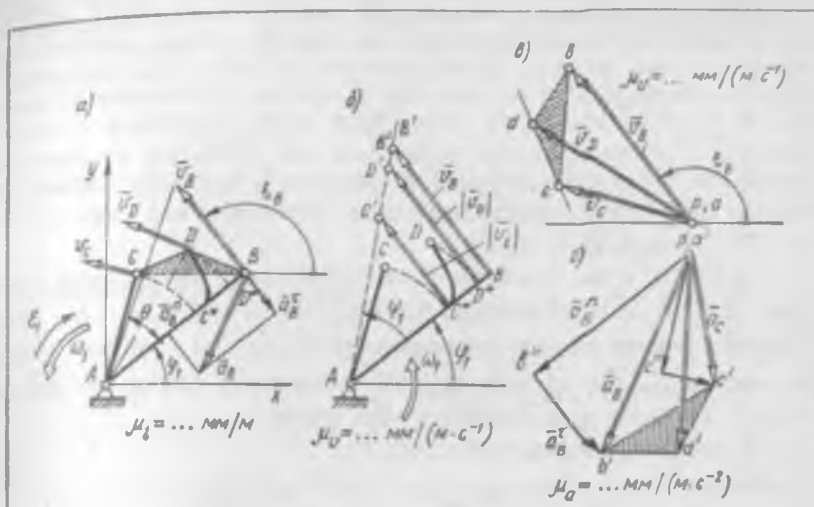
$R_p$  радиуслы ролик 2 нисбий ҳаракат жараёнида муштнинг конструктив профили бүйіча ғилдирайди, уннинг  $B$  үқи (айланы марказы) эса расмда құш чизиқ билан күрсатылған, марказий профиль деб аталуға әзгір чизиқ чизади. Механизмнинг белгиланған ҳолатлари үчүн ролик үқларининг ҳолатлари марказий профилде итаргич узунлігі  $l_{bc}$  га тенг радиуслы ёйлар билан чалиштириш усулида аниқланади ва улар индекси  $1', 2', 3', 4', \dots$  рақамлари орқали белгиланади.

Ушбу ёйларнинг  $R_o + R_p$  радиуслы айланы билан кесишиш нүкталары  $1, 2, 3, \dots$  рақамлары билан белгиланади.  $11', 22', 33', \dots$  рақамлары билан белгиланған ёйларнинг узунлігі ролик  $B$  үқнининг механизмининг бошланғич ҳолатига нисбатан  $S_B$  силжишига тенг ва итаргичнинг  $\beta_1 - \beta_0, \beta_2 - \beta_0, \beta_3 - \beta_0$  нисбий бурилиш бурчаклари қыйматтарыга мутаносибdir. Итаргич 2 нынг бурилиш бурчакларын ёки роликнинг  $B$  үқи чизадыган ёйлар узунлігини үлчаш ҳолаттар функциялары  $S_B(\varphi_i)$  ёки  $\beta(\varphi_i)$  ни бошланғич бұғыннинг бурчак координатасы  $\varphi_i$  га боялуқ равища үзгаришиниң тасвирловчи графиклар ясашға имкон беради (3.9-расм, б).

**Тезліклар ва тезланишлар планлари.** Механизмнинг тезліклар планы деб, айни пайтда модули ва йұналиши бүйіча механизм бұғынлары ҳар хил нүкталарининг тезлікларынша тенг бұлған кесмалар тарзидаги векторлар тасвирланған чизмага айтылади. Механизм үчүн тезліклар планы алоқида-алоқида бұғынлар учун ясалған бир қанча тезліклар планларининг мажмуди бўлиб, барча бұғынлар учун  $\rho$  қутб умумий қутб бўлади ва у механизм тезліклар планининг қутби деб аталаади.

Айни вақтда модули ва йұналиши бүйіча механизм бұғынлары ҳар хил нүкталарининг тезланишларынша тенг бұлған кесмалар тарзидаги векторлар тасвирланған чизма механизмнинг тезланишлар планы дейиллади.

**Бошланғич бұғыннинг тезліклари ва тезланишлари планлари.** Агар механизмнинг бошланғич бұғынн айланма ҳаракат қилса, у ҳолда уннинг бурчак координатасы  $\varphi_1$  умумлашған координата бўлади (3.10-расм, а). Ушбу бұғын нүктасининг, айталик,  $B$  нүктаның тезлігі  $v_B$  бұғыннинг айланыш үқи  $A$  дан үтүчви  $AB$  чизиққа перпендикуляр бўлиб, механизм планида (3.10-расм, б)  $BB' = \mu_v v_B$  вектор билан ёки тезліклар планида (3.10-расм, в)  $pb = \mu_v v_B$  вектор билан тасвирланаши мумкин. С нүкта тезліги  $v_C$  ёки  $D$  нүкта тезліги  $v_D$  хусусидам юқоридагидек мулоҳаза юритиш мумкин, яғни  $pc = \mu_v v_C; pd = \mu_v v_D$  (3.10-расм, б ва в).



3.10- расм

Агар тезликлар планинаги  $c$ ,  $b$ ,  $d$  ва  $a$  ларни ҳамда бошланғыч бүгін I дагы  $C$ ,  $B$ ,  $D$  ва  $A$  ларни ұзаро тұғри чизиқтар орқали туташтырасқ, у ҳолда мос учбұрчаклар үхашаш бўлади:  $\Delta bcp \rightleftharpoons \Delta BCA$ ;  $\Delta bcd \rightleftharpoons \Delta BCD$ ;  $\Delta cdः \rightleftharpoons \Delta CDA$ . Ўлар бир-бирига нисбатан  $\omega_1$  йўналишда тұғри бурчакка бурилган бўлади. Үхашашлик нисбати масштаблар  $\mu_v$  ва  $\mu$ , ҳамда бурчак тезлик  $\omega_1$ га кўра аниқланади:

$$\frac{pb}{BA} = \frac{\mu_v v_B}{\mu_1 l_{BA}} = \frac{\mu_v}{\mu_1} \omega_1; \quad \frac{pc}{AC} = \frac{\mu_v}{\mu_1} \omega_1 \text{ ва ҳоказо.}$$

Тишили ғилдираклы механизмларни кинематик текширишда план құтби умумий қылыш ясалған тезликлар планига кўра тезликлар учбұрчаклари деб аталувчи планлар қулайроқдир, чунки улар кўриб чиқладиган бўгін I нинг  $BA$  тұғри чизигига  $B$ ,  $D^*$ ,  $C^*$  нуқталарда чиқарылған тезликлар векторларининг үзгариш манзарасини тасвирлайди (3.10- расм, б).

Бундай тасвирлашда қуйидаги муносабатлар ўринишлидір:

$$BB' = \mu_v \bar{v}_B; \quad D^*D' = \mu_v v_{D^*}; \quad C^*C' = \mu_v \bar{v}_{C^*}.$$

Чизиқлы тезликлар векторларининг охирлари  $B'$ ,  $D'$ ,  $C'$  ни туташтирувчи тұғри чизиқ  $BA$  чизиқ нуқталары тезликларининг тақсимланаши графиги дейиллади. Бундай тақсимланишининг тұғри чизиги билан бўгіндаги чизиқ орасындағы бурчак қуйидаги нисбатда н аниқланади:

$$\operatorname{tg} \psi_1 = \frac{BB'}{BA} = \frac{\mu_v v_B}{\mu_1 l_{BA}} = \frac{\mu_v}{\mu_1} \omega_1. \quad (3.8)$$

Исталган нуқтанинг, масалан,  $BD$  чизиқда ётмайдиган  $C$  нуқтанинг (3.10-расм, б) тезлиги график усулда ясаш йўли билан осонгина аниқланади; бунинг учун  $C$  нуқта циркуль ёрдамида  $BA$  чизиқдаги  $C$  нуқтага кўчирилди ва бу нуқтадан  $C'$  нуқтада тезликларнинг тақсимланиш түгри чизиги билан кесишгунга қадар перпендикуляр чиқарилади.  $\overline{C^*C'}$  кесма  $C^*$  нуқта тезлигининг сон қийматига мутаносиб бўлади:  $|C^*C' C'| = \mu_a |v_{C^*}|$ . Бўғин I схемасида  $C$  нуқтанинг тезлиги вектори  $v_C$   $CA$  чизиқка перпендикулярдир. Кесмалар ўзаро тенг:  $|CC'| = |C^*C'|$ , чунки  $|v_C| = |\bar{v}_{C^*}|$ .

3.10-расм, г да тезланишлар плани бошланғич бўғин учун қурильган  $B$ ,  $C$  ва  $D$  нуқталарнинг тезланиш векторлари  $\bar{a}_B$ ,  $\bar{a}_C$ ,  $\bar{a}_D$  ҳамда уларнинг нормал ташкил этувчилари  $\bar{a}_B^n$ ,  $\bar{a}_C^n$ ,  $\bar{a}_D^n$  ва уринма ташкил этувчилари  $\bar{a}_B^t$ ,  $\bar{a}_C^t$ ,  $\bar{a}_D^t$  тасвирланган. Тезланишлар планидаги мос векторлар қуйидаги муносабатларга кўра ясалган:

$B$  нуқтанинг нормал тезланиши  $\bar{a}_B^n$ :

$$\bar{a}_B^n = \omega_1 l_{BA}; \quad \bar{p}' \bar{b}'' = \mu_a \bar{a}_B^n;$$

$B$  нуқтанинг уринма тезланиши  $\bar{a}_B^t$ :

$$\bar{a}_B^t = \varepsilon_1 l_{BA}; \quad \bar{b}'' \bar{b}' = \mu_a \bar{a}_B^t;$$

$B$  нуқтанинг тезланиши  $\bar{a}_B$ :

$$\bar{a}_B = \bar{a}_B^n + \bar{a}_B^t; \quad \bar{p}' \bar{b}' = \bar{p}' \bar{b}'' + \bar{b}'' \bar{b}' = \mu_a \bar{a}_B.$$

$D$  ва  $C$  нуқталарнинг тезланиши учун ҳам шунга ўхшашиб муносабатлар ўринлидир (3.10-расм, б, г):

$$\bar{a}_C^n = \omega_1 l_{CA}; \quad \bar{p}' \bar{c}'' = \mu_a \bar{a}_C^n;$$

$$\bar{a}_C^t = \varepsilon_1 l_{CA}; \quad \bar{c}'' \bar{c}' = \mu_a \bar{a}_C^t;$$

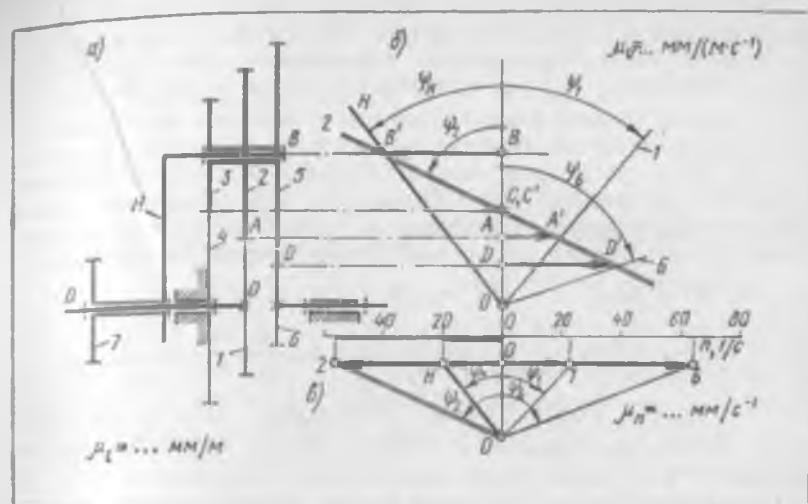
$$a_C = \bar{a}_C^n + \bar{a}_C^t; \quad \bar{p}' \bar{c}' = \bar{p}' \bar{c}'' + \bar{c}'' \bar{c}' = \mu_a \bar{a}_C.$$

Нормал тезланишлар векторлари  $B$ ,  $C$  нуқталарнинг айланиш радиуси бўйлаб траекторияларнинг эгрилик маркази  $A$  га томон йўналиш булиб, тезликнинг йўналиш бўйича ўзгаришини ифодалайди:  $\bar{p}' \bar{b}'' \parallel BA$ ;  $\bar{p}' \bar{C}' \parallel CA$ .

Уринма тезланишлар векторлари тезликнинг модуль жиҳатидан ўзгаришини ифодалайди ва ҳаракат траекториясига уринма тарафидан йўналган булади:  $\bar{b}'' \bar{b}' \perp BA$ ;  $\bar{c}'' \bar{c}' \perp CA$ .

$D$  нуқтанинг тезланишини аниқлашда шуни эътиборга олиш язмки, тезланишлар планидаги кўпбурчаклик ҳаракатланаётган бўриндаги мос кўпбурчакликка ўхшашиб булади. Масалан,  $\Delta c' d' b' \sim \Delta CDB$   $\Delta b' c' p' \sim \Delta BCA$   $p'd$ ,  $p'b'$  кесмалар бўғиндаги мос  $AD \parallel BA$  кесмаларга мутаносибdir:

$$p'd' | DA = p'b' | BA = p'c' | CA.$$



3.11-расм

Бошқа шаклларнинг ҳам ўзаро ўхашаш бўлишилгинга амал қилинади масалан,  $\Delta b' d' c' \approx \Delta BDC$ .

Тишли ғилдиракли механизмлар учун тезликлар учбурчаклари. Тишли ғилдиракли механизмларни, айниқса, кўп қаторли планетар редукторлар ҳамда дифференциалларни тадқиқ қилиш учун Л. П. Смирнов график усулдан фойдаланишини таклиф ётди.

3.11-расм, а да планетар редуктор схемаси тасвирланган бўлиб, у марказий ғилдирак  $I$  нинг айланма ҳаракатини иккита валининг ( $b$  ва  $H$ ) ўзаро қарама-қарши йўналишлардаги айланма ҳаракатларига ўзгартриб беради. Тезликларнинг нуқталар бўйича тақсимланиши тўғрисидаги тасаввур тезликлар учбурчаклари ёрдамида ҳосил қилинади (3.11-расм, б).

А нуқтанинг тезлик вектори  $AA' = \mu_a$  в А кесма тарзида, ғилдирак  $I$  нинг радиал чизигига ётувчи нуқталар тезликларининг тақсимланиши ёса бурчакларнинг саноқ чизигига нисбатан  $\psi_1$  бурчак ҳосил қилиб  $A$  ва  $b$  нуқталардан ўтувчи кия нур  $OA'$  орқали тасвирланади. Блок қўлиб бирлаштирилган ғилдираклар  $2, 3, 5$ , нуқталари тезликларининг тақсимланиш тўғри чизиги  $A'C'B'$   $A'$  ва  $C(C')$  нуқталардан ўтказилади чунки сателлитининг оний айланиш ўқи  $C$  нуқтадан ўтади, нега и буриш. Кўзгалмас бўлиб, сателлит мураккаб ҳаракатлар қиласиди: водило  $H$  билан биргаликда  $OO$  ўқ атрофида ва  $B$  ўқ атрофида айланади. Саноқ чизиги билан тезликларнинг тақсимланиш тўғри чизиги орасидаги  $BB'$  кесма сателлит ўқи  $B$  тезлигига мутаносибdir. Водило  $H$  учун чизиқи тезликларнинг тақсимланиш тўғри чизиги  $B' O \Psi_H$  бурчак остида  $B'$  нуқтадан ва айланиш ўқи  $O$  дан ўтади. Ғилдираклар  $5$  ва  $6$  нинг ўзаро илашиш қутби —  $D$  нуқтанинг чизиқли тезлиги  $D D'$  кесма билан тасвирланади.

Тишили ғилдиракларнинг бурчак тезликлари ҳамда айланиш частотлари ҳақида яққол тасвир ҳосил қилиш учун умумий  $O$  нуқта олингид (3.11-расм, б), ундан тезликларнинг тақсимланиш тўғри чизиқларига параллел равишда  $\Psi_1$ ,  $\Psi_2$ ,  $\Psi_H$ ,  $\Psi_B$  бурчаклар остида нурлар ўтказилади. Агар бу нурлар чизиқли тезликларнинг саноқ чизигига тик бўлган бирорта тўғри чизиқ билан кесиштирилса, ушбу чизиқда кесишиш нуқталари  $I$ ,  $2$ ,  $H$ ,  $B$  ҳамда саноқ боши  $O$  нуқтадан бошлаб ҳисобланувчи  $OI$ ,  $O2$ ,  $OH$ ,  $OB$  кесмалар ҳосил булади. Бу чизиқларнинг мос тишили ғилдиракларнинг айланиш частоталари ва бурчак тезликларига мутаносиб эквалигини кўрсатиш қўйин эмас. Қуйидаги муносабатлар ёзилади:

$$OA = \mu_1 r_{\omega 1}; \quad AA' = \mu_e v_A; \quad v_A = \omega_1 r_{\omega 1};$$

$$\omega_1 = \frac{v_A}{r_{\omega 1}} = \frac{AA'/\mu_e}{OA/\mu_1} = \frac{\mu_1}{\mu_e} \operatorname{tg} \Psi_1 = \frac{\mu_1}{\mu_e} \frac{OI}{OO} = \frac{OI}{\mu_e},$$

яъни  $OI = \mu_\omega \omega_1$ . Шунга ўхашаш:  $OH = \mu_\omega \omega_H$ ;  $O2 = \mu_\omega \omega_2$ , бунда:  $\mu_\omega = (\mu_e/\mu_1)OO$  — бурчак тезлик масштаби;  $[\mu_\omega] = \text{мм}/(\text{рад}\cdot\text{с}^{-1})$  — бурчак тезлик масштабининг СИ бирлиги.

Айланиш частотаси  $n_1$  ( $1/\text{с}$ ) билан бурчак тезлик  $\omega_1$  (рад/ $\text{с}$ ) орасида  $\omega_1 = 2\pi n_1$  муносабат бўлганилиги учун

$$n_1 = \omega_1/(2\pi) = \overline{OI}/(2\pi \mu_\omega) = \overline{OI}/(\mu_n),$$

бунда  $\mu_n = 2\pi \mu_\omega$  — айланиш частотаси масштаби;  $[\mu_n] = \text{мм}/\text{с}^{-1}$  — айланиш частотаси масштабининг СИ бирлиги.

Узатиш нисбатлари қуйидаги муносабатлардан аниқланади:  $u_{61} = \omega_1/\omega_2 = \operatorname{tg} \Psi_2/\operatorname{tg} \Psi_1 = O2/OI$ ;  $u_{71} = \omega_2/\omega_1 = \operatorname{tg} \Psi_H/\operatorname{tg} \Psi_1 = OH/OI$ .

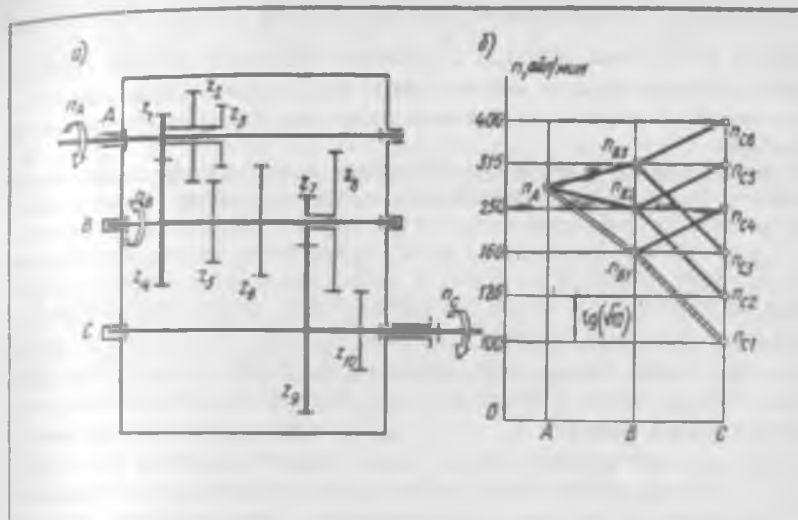
Яққоллик учун тишили ғилдиракларнинг айланиш частотаси чизигида шкала чизилади (3.11-расм, б).

Мураккаб тишили ғилдиракли механизмларни, масалан, узатмалар кутисини (3.12-расм, а) лойиҳалашда ясашлар кетма-кег амалга оширилади, натижалар эса турли, масалан,  $A$ ,  $B$ ,  $C$  валларнинг айланиш частоталари мажмун кўринишида кўрсатилади. 3.12-расм, а да  $A$  валдаги ғилдираклар  $z_1$ ,  $z_2$ ,  $z_3$  нинг ҳарақатланувчи блокидан,  $B$  валдаги ғилдираклар  $z_7$ ,  $z_8$  блокидан,  $C$  валга маҳкамланган ғилдираклар  $z_4$ ,  $z_5$ ,  $z_6$ ; ва  $C$  валга маҳкамланган ғилдираклар  $z_9$ ,  $z_{10}$  дан тузилган олти погонал узатмалар қутисининг схемаси келтирилган.

Бундай механизмлар лойиҳаланганда, чиқиш вали  $C$  нинг айланиш частотаси талаб этилган доираларда, белгиланган қонун бўйича ўзгариши лозим, бу ўзгариш «нур диаграммаси» кўрининшидаги графикда ўз ифодасини топади. 3.12-расм, б да ана шундай графиклардан бирин тасвирланган, унда  $C$  валнинг айланиш частотаси  $n_{C1} = 100 \text{ мин}^{-1}$  дан

$n_{C6} = 400 \text{ мин}^{-1}$  гача ўзгариб, бу ўзгариш прогрессия маҳражи  $\sqrt[10]{10} = 1,25$  бўлган геометрик прогрессия қонунияти бўйича амалга ошади. Айланиш частоталари шкаласи логарифмик тарзда қабул қилинади, бунда нотекис шкаланинг иккита қўшни қўйматлари орасидаги кесмаларнинг узунлиги бир хил булади.

Мураккаб ҳарақатдаги бўғин нуқталарининг тезликлари ва тезла-



3.12· расм

нишлари планлари. Нуқта ёки жиыннинг ҳаракати мураккаб бўлганда унинг ҳаракати бир вақтнинг ўзида асосий ва қўзғалувчан саноқ системаларида тадқиқ қилинади.

Нуқта ёки жиыннинг асосий саноқ системасига нисбатан ҳаракати абсолют ҳаракати дейилади.

Нуқта ёки жиыннинг қўзғалувчан саноқ системасига нисбатан ҳаракати нисбий ҳаракати дейилади.

Қўзғалувчан саноқ системасининг асосий саноқ системасига нисбатан ҳаракати кўчма ҳаракати дейилади.

Нуқтанинг ҳаракати мураккаб бўлганда тезликларини қўшиш теоремаси қўйидағича бўлади: нуқтанинг абсолют тезлиги  $v_a$  ушбу нуқтанинг кўчма  $v_e$  ва нисбий  $v_r$  тезликларининг геометрик ийғиндиси ага тенг:

$$\bar{v}_a = \bar{v}_e + \bar{v}_r. \quad (3.9)$$

Нуқтанинг кўчма тезлиги  $v_e$  таърифланётганда унинг нисбий ҳаракати тўхтатилган деб фарауз қилинади.

Бўлининг текис ҳаракатида кўчма ҳаракат иктиёрий танланган нуқта тезлигидаги илгарилама ҳаракат бўлади, нисбий ҳаракат эса ана шу нуқта атрофидаги айланма ҳаракат бўлади; бунда бурилиш бурчаги ва йўналиши қайси нуқтанинг кутб сифатида танланшишига борлиқ эмас.

Текис параллел ҳаракатланувчи қаттиқ жиын исталган нуқтасининг абсолют тезланиши  $a_a$  иккита тезланишининг: илгарилама кўчма ҳаракатидаги тезланиш  $a_e$ , ҳамда нисбий айланма ҳаракатидаги тезланиш  $a_r$  шининг геометрик йиғиндисидан ташкил топади:

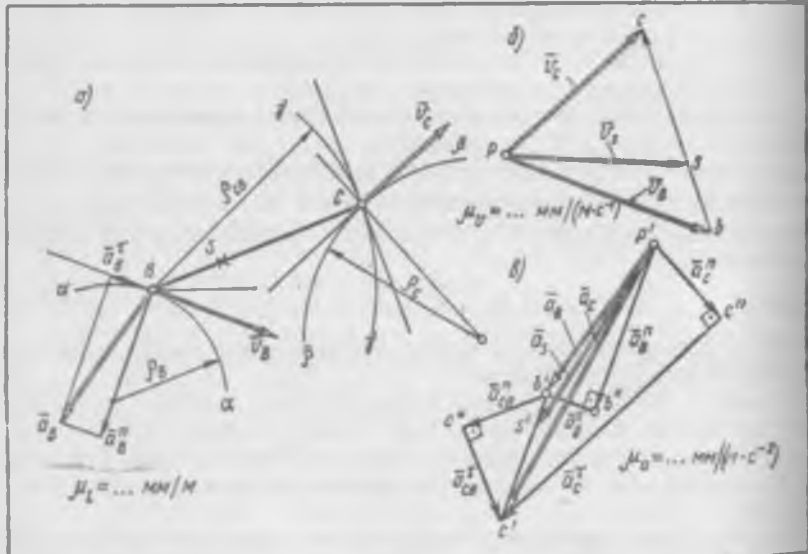
$$\bar{a}_z = \bar{a}_x + \bar{a}_y - \bar{a}_x + \bar{a}_y + \bar{a}_z, \quad (3.10)$$

бунда  $\bar{a}_x$  ва  $\bar{a}_y$  — мос равиша нуқтанинг айланши радиуси бўйича траекториянинг ёғрилик маркази томон йўналган нисбий ҳаракатдаги нормал тезланиши ва айланши радиусига тик йўналган уринма тезланиши.

Абсолют ҳаракат элементлари  $a$  индекси билан, нисбий ҳаракатни  $r$  индекси билан, кўчма ҳаракатни  $e$  индекси билан белгиланади. Агар ҳаракати кўриб чиқиладётган нуқта элемент белгисида кўрсатилмаса, ҳарф остига ёзиладиган индекс қўлланиллади. Агар элементлар мажмун кўриб чиқиладиган бўлса, у ҳолда индекслар туширниб қолдинилади ва ўрнига ҳарф остига ёзиладиган индекс сифатида нуқта ва бўғинларнинг белгилари ёзилади, масалан,  $\bar{v}_{Dx}$ ,  $\bar{v}_{Cz}$ ,  $\bar{v}_{D2C3}$ ,  $\bar{v}_{D2D3}$ . Агар нуқтанинг бўғинга тегишли эканлиги алоҳида айтиб утилган бўлса ёки бу ҳол схемада яқъол кўриниб турса, у ҳолда бўғиннинг номерини ёзмаса ҳам бўлади, масалан,  $\bar{v}_D$ ,  $\bar{v}_C$ ,  $\bar{v}_{DC}$ , ( $\bar{v}_{DD}$  тарзинда ёзиш мумкин эмас).

(3.9) ва (3.10) муносабатлардан текис ҳаракат қилаётган бўғин (масалан, 3.13 расмдаги  $BC$  бўғин) нуқталарининг тезликлар ва тезланишлар планларини тузиш учун фойдаланиллади. С ва  $B$  нуқталар тезликларини аниқлаш учун (3.9) тенгламани қўринишда ёзамиз:

$$\bar{v}_C = \bar{v}_B + \bar{v}_{CB}.$$



3.13- расм

Бунинг маъноси қўйидаги:  $C$  нуқтанинг абсолют тезлиги  $v_C$   $B$  нуқташиш ҳаракатидан аниқланадиган кўчма тезлик  $\bar{v}_B$  ва бўғин  $B$  нуқта атрофида айлангандаги  $C$  нуқтанинг нисбий тезлиги  $\bar{v}_{CB}$  нинг геометрик йиғиндисига тенг. Бу вектор тенглама таркибида номаълумлар сони иккитадан ошмасагина уни ечиш мумкин. Агар абсолют ҳаракатдаги  $C$  ва  $B$  нуқталар чизадиган  $\alpha$  ва  $\beta$  траекториялар маълум бўлса (3.13 расм, а), бу тенгламада ҳамма тезликларнинг йўналиши аниқ бўлади, яъни улар ҳаракат траекториясига уринма йўналган бўлади. Фақат бирорта нуқта тезлигининг модулини (масалан,  $|v_B|$ ) билиш зарур бўлади. Вектор тенгламаларни таҳлил қилиншда векторларни уларнинг отига битта ёки иккита чизик тортиб белгилаш қабул қилинган. Иккита чизик мазкур векторнинг йўналиши бўйича ҳам, ифодаловчи қиймат жиҳатидан ҳам аниқ эканлигини билдиради. Битта чизик эса векторнинг фақат йўналиши ёки фақат қиймати маълумлигини англатади.

Езиљган вектор тенгламанинг ечими 3.13-расм, б да мос тезликларга мутаносиб бўлган кесмалар тарзида кўрсатилган:

$$\bar{r}_C = \bar{p}B + \bar{b}C. \text{ бунда } \bar{r}_C \Leftrightarrow v_C; \bar{p}B \Leftrightarrow v_B; \bar{b}C \Leftrightarrow v_{CB}.$$

$BC$  бўғиндаги исталган  $S$  нуқтанинг тезлиги нисбий тезлик  $v_{CB}$  иш ифодаловчи  $cb$  кесмани мутаносиб тарзда булиш усули билан аниқланади

$$bs = cb(BS/CB).$$

Тезланишларни аниқлаш учун (3.10) тенглама қўйидагича ёзилади

$$\bar{a}_C^{\tau} + \bar{a}_C^n = \bar{a}_B^{\tau} + \bar{a}_B^n + \bar{a}_{CB}^{\tau} + \bar{a}_{CB}^n. \quad (3.11)$$

Нормал тезланиш қўйидаги формуласардан аниқланади

$$a_C^{\tau} = v_C^2/\rho_C; a_B^{\tau} = v_B^2/\rho_B; a_{CB}^{\tau} = v_{CB}^2/\rho_{CB} = v_{CB}^2/l_{CB},$$

бунда  $\rho_B$ ,  $\rho_C$  ва  $\rho_{CB} = l_{CB}$  — абсолют ҳамда нисбий ҳаракатлар траекториясининг мос равишдаги эргилик радиуслари.

Уринма тезланиш  $\bar{a}_B^{\tau} = dv_B/dt$  ҳам берилган.

(3.11) вектор тенгламанинг ечими 3.13-расм, в да тезланишлар планининг тузилиши кўринишида келтирилган:

$$\bar{p}'c'' + \bar{c}''c' = \bar{p}'b'' + \bar{b}''b' + \bar{b}'c^* + \bar{c}^*c'.$$

$\bar{p}'c'$ ,  $\bar{p}'b'$ ,  $\bar{b}'c^*$  кесмалар мос равишда  $a_C^n$ ,  $a_B^n$ ,  $a_{CB}^n$  нормал тезланишларни  $\mu_a$  масштабда ифодалайди:

$$\bar{p}'c' = \mu_a a_C^n; \bar{p}'b' = \mu_a \bar{a}_B^n; \bar{b}'c^* = \mu_a \bar{a}_{CB}^n.$$

$c''c'$ ,  $b''b'$ ,  $c^*c'$  кесмалар уринма тезланишлар  $\bar{a}_C^{\tau}$ ,  $\bar{a}_B^{\tau}$ ,  $\bar{a}_{CB}^{\tau}$  ларга мутаносибdir, бунда  $b''b' = \mu_a \bar{a}_B^{\tau}$  кесма олдинроқ ҳисоблаб топилади,  $c^*c'$  ва  $c''c'$  кесмалар топилиши лозим бўлган тезланишларни аниқлашга имкон беради:

$$\bar{a}_{CB}^{\tau} = c^*c'/\mu_a \quad \text{ва} \quad \bar{a}_C^{\tau} = c''c'/\mu_a.$$

$BC$  бүғиндаги исталган бошқа нүктанинг, айтайлик,  $S$  нүктанинг (3.13-расм, а) тезланиши бүғиндаги ва тезланишлар планидаги шакд ҳамда кесмаларнинг ўхшашлиги хусусиятидан фойдаланган ҳолда аниқланади (3.13-расм, б):

$$\overline{b's'} = \overline{b'c'} (BS/BC) \text{ ва } \overline{a_s} = \overline{p's'} / \mu_e.$$

$b's'$  кесма қуйндаги муносабатдан аниқланади

$$b's' = b'c' (BS/BC).$$

Учта айланма жуфтлигиги бүлгән икки тизгинли группа учун (3.14-расм, а) тезликлар планлари ва тезланишлар планларини тузиш усули ҳар бир бүғинга мос келдиган вектор төңгламаларни тузишди ва уларни биргаликда ечишдан иборат.

Масалан, 3.14-расм, а таовирланган  $BC$  ҳамда  $CD$  бүғинлардан ташкил топған икки тизгинли группа учун қуйидаги төңгламалар тузлади.

Тезликларни аниқлаш учун:

$$\begin{aligned} v_C &= v_B + v_{CB}, \\ v_C &= v_D + v_{CD}. \end{aligned} \quad (3.12)$$

(3.12) муносабатларнинг ўнг томонлари ўзаро тенглаштирилади:

$$\underline{v_B} + \underline{v_{CB}} = \underline{v_D} + \underline{v_C},$$

яъни агар иккала тизгиннинг (бу тизгинлар ёрдамида группа бошланғич бүғин ва стойкага ёки илгари туташтирилған группага бирнектирилди) охирги  $B$  ва  $D$  нүкталари тезликларининг қийматлари ва йўналишларни маълум бўлса,  $C$  нүктанинг тезлигини аниқлаш мумкин. (3.12) төңгламанинг ечими 3.14-расм, б да тезликлар планлари кўринишидан келтирилган.

Ушбу

$$\begin{aligned} a_C &= a_B + a_{CB} = \underline{a_B} + \underline{a_B^t} + \underline{a_{CB}} + \underline{a_{CB}^t}; \\ a_C &= a_D + a_{CD} = \underline{a_D} + \underline{a_D^t} + \underline{a_{CD}} + \underline{a_{CD}^t} \end{aligned} \quad (3.13)$$

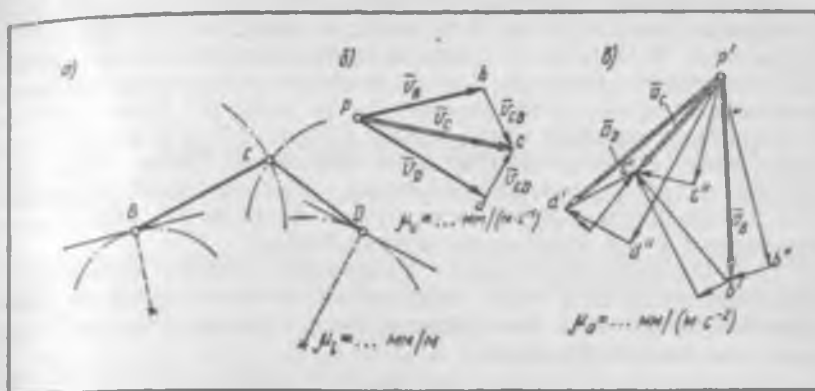
тезланишларни аниқлаш учун (3.13) муносабатларнинг ўнг томонларидан ўзаро тенглаштирилади:

$$\underline{\bar{a}_B^n} + \underline{\bar{a}_B^t} + \underline{\bar{a}_{CB}^n} + \underline{\bar{a}_{CB}^t} = \underline{\bar{a}_D^n} + \underline{\bar{a}_D^t} + \underline{\bar{a}_{CD}^n} + \underline{\bar{a}_{CD}^t},$$

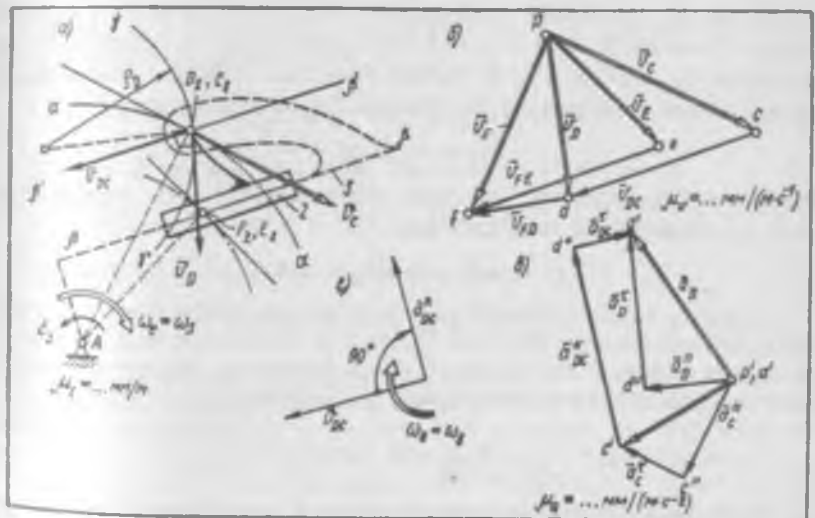
яъни  $C$  нүктанинг тезланишини аниқлаш учун икки тизгинли группа иккала тизгиннинг охирги  $B$  ва  $D$  нүкталарининг нормал ҳамда уринма тезланишлари қийматлари ва йўналишлари маълум бўлиши лозим.

(3.13) вектор төңгламанинг график тарздаги ечими 3.14-расм, б да тезланишлар плани кўринишидан келтирилган.

Агар нүктанинг мураккаб ҳаракатидаги кўчма ҳаракат ишларидан бўлмаса (3.15-шакл), у ҳолда нүктанинг абсолют позицияни



3.14-расм



3.15-расм

Чарта тезланиши: кўчма, ниобиш ва кориолис тезланишиларининг вектор йигиндисидан иборат бўлади:

$$\bar{a}_a = \bar{a}_e + \bar{a}_r + \bar{a}_g = \bar{a}_e + \bar{a}_r + 2(\bar{\omega}_e \times \bar{v}_r). \quad (3.14)$$

Бундан нутканинг нисбий тозлиги вектори  $\bar{v}_a$ , (3.9) муносабатдан аниқла-

$$\bar{v}_a = \bar{v}_e + \bar{v}_r.$$

(3.9) ва (3.14) муносабатлардан тезликлар ва тезланишлар планлари ни тузишда, масалан, бүгін 3 га нисбатан ҳаракатланувчи бүгін 2 D нүктасининг (3.15-расм, а) тезлик ва тезланишларини аниқлашда фойдаланиш мүмкін. Бүгінлар 2 ва 3 орасындағы илгарилама кинематик жуфтликнинг йұналтирувчи элементтері  $\beta - \beta$  таалуклы бүлган 3 бүгін C нүктасининг ҳаракати күчма ҳаракат бүләди. Бүгін 3 нинг C нүктаси үзінінг әгаллаган ҳолатига күра айни вактта бүгін 2 нинг күриб чиқылаётгандан D нүктасындағы мос келади. Уларнинг нисбий ҳаракати  $\beta' - \beta$  йұналишдагы түғри чизик бүйінча йұналади ва йұналтирувчи элементнинг  $\beta - \beta$  йұналишига параллел бүләди.

D ва C нүкталарнинг ҳаракат йұналишлари уларнинг стойкаға нисбатан ҳаракатларыда C нүкта траекторияси  $\alpha - \alpha$  ни ҳамда D нүкта траекторияси  $\gamma - \gamma$  ни белгиләйдігандан башқа бүгінлар билан қай тарзда болғанғанligига боғлиқдір.

Тезликларнинг (3.9) вектор тенгламасы қойылады күрнишда ёзилады:

$$\bar{v}_D = \bar{v}_C + \bar{v}_{DC}.$$

$\bar{v}_D$  ва  $\bar{v}_C$  тезликлар нүкталарнинг мос траекторияларыга уринма тарзда йұналған:  $v_C$  тезлик  $\alpha - \alpha$  га,  $v_D$  эса  $\gamma - \gamma$  га уринма бүлип йұналған;  $v_{DC}$  тезлик  $\beta' - \beta'$  бүйілаб йұналған. Вектор тенгламаның график ечими 3.15-расм, б да қойылады күрнишда берилған:

$$\bar{pd} = \bar{pc} + \bar{cd},$$

бунда ҳар бир кесма мос тезликке мутаносибдір. Шу сабабли  $\bar{pc} = \mu_v v_c$ , изданаётгандан тезликлар эса

$$\bar{v}_D = pd/\mu_v \text{ ва } \bar{v}_{DC} = cd/\mu_v.$$

Тезликлар плани бүйінча башқа нүкталарнинг тезликлары ҳам юқоридагидек аниқланады. Масалан, бүгін 2 га тегишли бүлган, айни пантада ҳолати бүгін 3 даги E нүкта билан мос келувчи E нүктасыннан тезлигі қойылады аниқланады (3.15-расм, а):

$$\bar{v}_{F2} = \bar{v}_{E3} + \bar{v}_{FE} \text{ еки } \bar{v}_p = \bar{v}_E + \bar{v}_{PE}.$$

Ушбу вектор тенгламаны ечишда бүгін 2 нинг бүгін 3 га нисбатан қарастырады  $F$  ва  $D$  нүкталар тезликларнин тенглигидан фойдаланиш мүмкін:

$$\bar{v}_{FE} = \bar{v}_{DC} \text{ еки } \bar{cd} = \bar{e}.$$

Тезланишлар планнин тузишда  $\bar{a}_a = \bar{a}_s + \bar{a}_r + \bar{a}_n$  тенгламадан қойылады күрнишда фойдаланамыз:

$$\bar{a}_a = \bar{a}_c + \bar{a}_{DC} + \bar{a}_{DC},$$

еки

$$\bar{a}_D + \bar{a}_B = \bar{a}_C + \bar{a}_C + \bar{a}_{DC} + \bar{a}_{DC} + \bar{a}_{DC}. \quad (3.15)$$

Агар остки индексда нүкталарнинг асосий ва қўзғалувчан саноқ системалари ўзгарилиган бўлса, кориолис тезланишини и белгашда устки индексдан фойдаланилади.

(3.15) тенгламада нормал тезланишлар қўйидагиларга тенг:

$$a_D^* = v_D^2/\rho_D; \quad a_C^* = v_C^2/\rho_C; \quad a_{DC}^* = v_{DC}^2/\rho_{DC} = v_{DC}^2/\infty = 0.$$

С нүктанинг уринма тезланиши  $a_C^* = e_3 \rho_C$ . Кориолис тезланиши

$\bar{a}_{DC}^* = 2\bar{\omega}_e \times \bar{v}_r = 2\bar{\omega}_e \times \bar{v}_{CD}$ . Кориолис тезланишнинг йўналишини аниқлашда шуник ҳисобга оламизки,  $\bar{\omega}_e$  вектор чизма текислигига перпендикуляр бўлиб, нисбий тезлик вектори  $\bar{v}_{DC}$  чизма текислигига жойлашади. Шу сабабли нисбий тезлик вектори  $\bar{v}_{CD}$  ни чизма текислигига кўчма ҳаракатнинг бурчак тезлиги йўналишида (кўрилаётган ҳолда  $\omega_e$  йўналишда)  $90^\circ$  га буриш кифоя (3.15-расм, 2). Бурилган вектор Жуковский қондасига асосан текис механизmlар учун кориолис тезланишнинг йўналиши билан бирхил бўлади.

Тезланишлар учун вектор тенгламанинг ечими 3.15-расм, 2 да кесмалар кўринишида келтирилади:

$$\bar{p}'\bar{d}'' + \bar{d}'\bar{d}'' = \bar{p}'\bar{c}'' + \bar{c}''\bar{c}' + \bar{c}'\bar{d}'' + \bar{d}''\bar{d}'.$$

Ҳар бир кесма мос равишдаги тезланишга муносабидир:

$$p'd'' = \mu_a \bar{a}_D^*; \quad p'c'' = \mu_a \bar{a}_C^*; \quad c''c' = \mu_a \bar{a}_{DC}^*; \quad c'd'' = \mu_a \bar{a}_{DC}^*.$$

Изланадиган тезланишлар қўйидагига тенг:

$$\bar{a}_{DC}^* = \bar{d}''\bar{d}'/\mu_a; \quad \bar{a}_D^* = \bar{d}''\bar{d}'/\mu_a.$$

Охирги кинематик жуфтликлари алланма ва илгарилама бўлган иккни тизгилли группага тегшили нүкталарнинг тезликлари ва тезланишларини аниқлашда нүктанинг мураккаб ҳаракати ва бўғиннинг текис ҳаракати учун мўлжалланган муносабатлардан фойдаланилади.

3.16-расм, а да иккни тизгилли группага тасвиirlанган бўлиб, унинг тизгилни 3 бўғин 4 билан бирга илгарилама кинематик жуфтликни хосил қиласи, бўғинни 2 эса В ва С айланмас жуфтликларни ҳосил қиласи. С нүктанинг тезлигини аниқлаш учун қўйидаги тенгламаларни ёзиш мумкин:

$$\bar{v}_C = \bar{v}_B + \bar{v}_{CB}; \quad \bar{v}_C = \bar{v}_F + \bar{v}_{CF}.$$

Ушбу муносабатларни ечинш учун аввал бўғин 4 даги F нүктанинг тезлигини аниқлаш зарур, чунки ўша бўғин 4 даги M нүктанинг тезлиги берилган:

$$\bar{v}_F = \bar{v}_M = \bar{v}_{FM}.$$

Муносабатларнинг ўнг томонларини ўзаро тенглаштирамиз:

$$\bar{v}_B + \bar{v}_{CB} = \bar{v}_F + \bar{v}_{CF}$$

Агар бўғин 2 даги  $B$  нуқтанинг тезлиги  $v_B$  ҳамда бўғин 4 даги  $F$  нуқтанинг тезлиги  $v_F$  маълум бўлса, бу тенгламани ечиш мумкин.

Вектор тенгламанинг ечими 3.16-расм, б да тезликлар плани кўришида көлтирилган. Тезланишлар учун ҳам шунга ўхшаш муносабатлар ёзилади:

$$\bar{a}_P = \bar{a}_M + \bar{a}_{PM} + \bar{a}_{FM};$$

$$\bar{a}_C = \bar{a}_B + \bar{a}_{CB} = \bar{a}_B + \bar{a}_B + \bar{a}_{CB} + \bar{a}_{CB};$$

$$\bar{a}_C = \bar{a}_P + \bar{a}_{CP} + \bar{a}_{CF} = \bar{a}_P + \bar{a}_{CF} + \bar{a}_{CP}$$

муносабатларнинг ўнг томонлари ўзаро тенглаштирилиб қўйидаги тенглама ҳосил қилинади:

$$\bar{a}_B + \bar{a}_{CB} + \bar{a}_{CB} = \bar{a}_P + \bar{a}_P + \bar{a}_{CP} + \bar{a}_{CP}.$$

Агар тагига иккита чизиқ тортилган ҳамма векторларнинг қниматлари ва йўналишлари аниқланган бўлса, юқоридаги муносабатларни ечиш мумкин. 3.16-расм, г да кориолис тезланишининг йўналишини Жукоевский қоидасига асосан аниқлаш усули кўрсатилган. Ушбу вектор тенгламанинг ечими 3.16-расм, в да тезланишлар плани кўришида көлтирилган.

Икки тизгинли группани кинематик текширишнинг юқорида баёв этилган усулларининг қўлланилиши турли-туман технологик машиналарда қўлланиладиган олти бўғинли кулисални механизм мисолида қўйида кўриб чиқилади (3.17-расм, а).

Механизминг бошланғич бўғини  $I$  берилган бурчак тезлик  $\omega$ , ва бурчак тезланиш  $\epsilon$ , билан  $A$  ўқса нисбатан айланма ҳаракат қилаётган бўлсин. Бошланғич бўғин  $I$  нинг бурчак координатаси  $\phi$ , билан аниқланувчи ҳолати учун  $B$  нуқтанинг  $v_B = \omega_I l_{BA}$  тезликларини ҳамда ушбу тезланишларни аниқлаш мумкин:

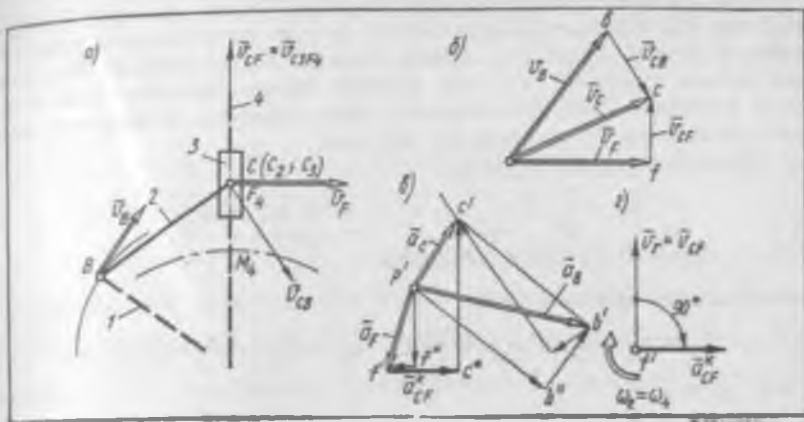
$$\text{нормал тезланиш } a_B^n = \omega_I^2 l_{BA} = v_B^2 / l_{BA};$$

$$\text{уринма тезланиш } a_B^t = \epsilon_I l_{BA}.$$

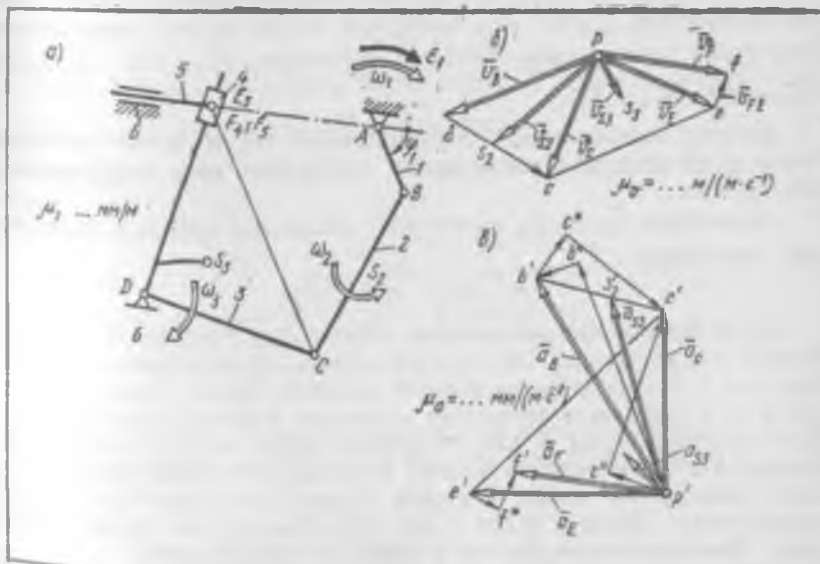
Тезликлар (3.17-расм, б) ва тезланишлар (3.17-расм, в) планларида ушбу векторлар кесмалар тарзида кўрсатилиб, уларнинг йўналиши ва узунлиги қўйидаги физик катталикларга мос келади:

$$r_C = \mu_v v_B; \quad r' \theta'' = \mu_a a_B; \quad b'' b' = \mu_a \bar{a}_B.$$

Масштабларнинг СИ даги бирлиги:  $[\mu_v] = \text{мм}/(\text{м} \cdot \text{с}^{-1})$  ва  $[\mu_a] = \text{мм}/(\text{м} \times \text{с}^{-2})$ , уларнинг қийматлари эса ҳисоблашларни тузиш ҳамда талаб этилган даражада аниқ бажариш учун чизмада ажратиладиган майдоннинг ўлчамларига қараб танланади. Кесмалар ўлчамлари қанчалик катта танлансан, график ҳисоблаш ва ясаш натижалари шунчалик аниқ бўлади.



3.16- рисм



3.17- рисм

Бүгінлар 2 ва 3 иккі тиғзинли группаны ҳосил қылади. Группаның бир учи бошланғыч бүрін 1 нинг  $B$  нүктасынан, иккінчи учи  $C$  стойка 6 нинг  $D$  нүктасынан шарнир ёрдамыда бириктирилген.  $C$  нүктедегі оралық кинематик жуфтлик айланма бўлиб, бўгінлар 2 ва 3 ни ўзаро боғлади. Ушбу бўгінларнинг текис ҳаракати теоремасига асосан қуйидаги вектор тенгламалар ёзилади:

тезликларни аниқлаш учун:

$$\bar{v}_c = \bar{v}_B + \bar{v}_{CB}; \quad \bar{v}_c = \bar{v}_D + \bar{v}_{CD} = \bar{v}_{CD}$$

$\bar{v}_B = 0$ , чунки  $D$  ўқ ҳаракатланмайди;

тезланишларни аниқлаш учун:

$$\bar{a}_c = \bar{a}_B + \bar{a}_B^t + \bar{a}_{CB} + \bar{a}_{CB}^t; \quad \bar{a}_c = \bar{a}_D + \bar{a}_{CD} + \bar{a}_{CD}^t,$$

бунда  $\bar{a}_D = 0$ .

Нисбий тезликлар  $\bar{v}_{CB}$  ва  $\bar{v}_{CD}$  векторлари нисбий ҳаракат траекторияларнга уринма тарзда йўналади, яъни  $\bar{v}_{CB} \perp BC$ ;  $\bar{v}_{CD} \perp CD$ .

Нормал тезланишлар  $\bar{a}_{CB}$  ва  $\bar{a}_{CD}$  нинг сон қийматлари нүқталарни ҳаракат тезликларнга ва ҳаракат траекторияларнинг эгрилтик радиусларнга кўра аниқланади:

$$a_{CB}^n = v_{CB}^2/l_{CB}; \quad a_{CD}^n = v_C^2/l_{CD}.$$

Нормал тезланишлар векторлар нүқталари нисбий ҳаракати мос траекториясининг эгрилтик маркази томон нормал тарзда йўналган. Уринма тезланишлар  $\bar{a}_{CB}$  ва  $\bar{a}_{CD}$  векторлари нисбий ҳаракат траекторияларнга томон уринма тарзда йўналган. Бинобарин,  $a_{CB} \parallel CB$ ;  $a_{CB} \perp CB$ ;  $\bar{a}_{CD} \parallel CD$ ;  $\bar{a}_{CD} \perp CD$ .

Юқорида ёзилган вектор тенгламаларнинг график ечими тезликлар плани (3.17- расм, б) ва тезланишлар плани (3.17- расм, в) кўринишидекелтирилган.

Изланашётган  $\bar{v}_c$  ва  $\bar{a}_c$  параметрлар қийматлари қуйидаги нисбатлардан аниқланади:

$$\bar{v}_c = \bar{p}c/\mu_v; \quad \bar{a}_c = \bar{p}'c'/\mu_a.$$

Кўриб чиқилаётган механизмниң бўғини 3 га бўғинлар 4 ва 5 дан ташкил топган иккінчи иккі тиғзинли группа бириктирилган. Бўғинлар 4 ва 5  $F$  нүкта гада ўзаро айланма жуфтлик ҳосил қылади. Бўғинлар 4 ва 3 биргаликда илгарилама кинематик жуфтлик ҳосил қылади. Бўғин 5 билан стойка 6 ҳам илгарилама кинематик жуфтлик ҳосил қылади. Ушбу боғланишлар борлиги бўғинларнинг нисбий ҳаракатланишини таъминлайди: ползун 5 стойка 6 нинг йўналтирувчиси бўйлаб ҳаракатланади, бўғин 4 бўғин 3 даги  $ED$  йўналтирувчиси бўйлаб сирпанди, йўналтирувчининг ўзи эса  $D$  ўққа ниобатан айланади.

Бўғинлар 4 ва 5 дан тузилган иккі тиғзинли группа учун вектор тенгламалар тузишда ползун 4 нинг мураккаб ҳаракати, яъни айни

Бүгін 4 даги  $F$  нүктаның бүгін 3 даги  $E$  нүктеге нисбатан ҳаракати күриш чиқылады.

Турлы бүріншіларға тегишли бүлгап иккала  $F$  ғана  $E$ , нүкталар учун құйындағы вектор тенгламалар өзінләді:

тезліктерни аниқлаш учун:

$$\bar{v}_{F_3} = \bar{v}_{E_3} + v_{F_3 E_3}, \text{ енди } \bar{v}_F = \bar{v}_E + \bar{v}_{FE};$$

тезлаништарни аниқлаш учун:

$$\bar{a}_F = \bar{a}_F = \bar{a}_E + \bar{a}_E + \bar{a}_{FE} + \bar{a}_{FE} + \bar{a}_{FE}.$$

Бу ерда  $\bar{a}_{FE} = 0$ , чунки нисбий ҳаракат илгари ламадыр.

Тезліктер планинни тузишда  $E$  нүктаның тезлігі  $\bar{v}_E = \bar{v}_C + \bar{v}_{EC}$  мүносабатдан еки шаклларнинг ұхшашилгыдан фойдаланып аниқланады:  $\Delta pce \sim \Delta DCE$ .

Тезлаништар планинни тузишда  $E$  нүктаның тезланиши механизм схемасидеги ва тезлаништар планидеги шаклларнинг ұхшашилгыдан фойдаланып аниқланады:  $\Delta p'c'e' \sim \Delta DEC$ .

Тезліктерни аниқлашады вектор тенгламаларнин өчими 3.17-расм, 6 да көлтирилган.

$\bar{e}$  вектор  $DE$  чизикқа параллел равнішда,  $\bar{p}$  вектор эса стойка 6 үнаалтирувчысига параллел равнішда ұтказылған.  $F$  нүктаның изланадын тезлігі  $v_F$  ушбу мүносабатдан аниқланады:

$$\bar{v}_F = \bar{p}/\mu_v.$$

Бүгін 4 даги  $F$  нүктаның бүгін 3 даги  $E$  нүктеге нисбатан  $a_{FE}$  тезлігі  $\bar{a}_{FE} = \bar{e}/\mu_v$  мүносабатдан аниқланады.

Бүгіншілар 3 ва 2 нинг бурчак тезліктери құйындағы нисбаттарға күра топылады:

$$\omega_3 = \frac{v_C}{l_{CD}} = \frac{pc/\mu_v}{CD/\mu_l} = \frac{\mu_l}{\mu_v} \left( \frac{pc}{CD} \right),$$

$\operatorname{sgn} \omega_3 = -1$  (соат милиннинг ҳаракат үнаалышида);

$$\omega_2 = \frac{v_{CB}}{l_{BC}} = \frac{bc/\mu_v}{BC/\mu_l} = \frac{\mu_l}{\mu_v} \left( \frac{bc}{BC} \right),$$

$\operatorname{sgn} \omega_2 = +1$  (соат миңнинг ҳаракатига тескары үнаалышида).

Тезлаништарни аниқлаш учун тузылған вектор тенгламалар:

$$\bar{a}_C + \bar{a}_C = \bar{a}_B + \bar{a}_B + \bar{a}_{CB} + \bar{a}_{CB};$$

$$\bar{a}_F = \bar{a}_E + \bar{a}_{PE} + \bar{a}_{FE} + \bar{a}_{FE},$$

Бу ерда  $\bar{a}_{FE} = 0$ . Буларнин өчими 3.17-расм, 6 да көлтирилган.

$\overline{p'c''}$  вектор  $CD$  чизикка параллел қилиб үтказилган, унинг узунлигиги  $p'c'' = \mu_a ac$  муносабатдан аниқланган.  $\overline{C'C}$  вектор  $DC$  чизикка тик қилиб үтказилган, унинг узунлиги эса вектор тенгламанининчи аниқланади.  $\overline{p'b''} = \mu_a a_b''$  вектор  $BA$  бўғинга параллел қилиб,  $b''b' = \mu_a a_b'$  вектор эса бурчак тезланиш  $e_1$  нинг йўналишини ўтиборга олган ҳолда шу бўғинга тик қилиб үтказилади. Биринчи тенгламанининчи аниқланади. Иккита тенгламанининчи аниқланадиган  $c''c'$  векторни қўшилади.  $c'$  нуқта йўналишлари маълум, аммо қўйматлари номаълум бўлган  $a_{cv}$  ва  $a_c$  ларга мутаносиб бўлгаш иккита векторнинг кесишшиси нуқтасини билдиради. Изнанаётган тезланиш:  $\bar{a}_c = p'c'/\mu_a$ .

Е нуқтанинг тезланиши механизм схемасидаги ҳамда тезланишлар планидаги учбуручакларнинг ўхшаштигидан аниқланади:  $\Delta CDE \Leftrightarrow \Delta c'p'e'$ .

Ползуналар 4 ва 5 даги  $F$  нуқтанинг тезланишини аниқлайдиган вектор тенгламанинг ўнг томонида қиймати ва йўналиши маълум бўлган иккита  $\overline{p'e'} = \mu_a \bar{a}_E$  ва  $\overline{e'f'} = \mu_a \bar{a}_{FE}$  вектор ва йўналиши  $ED$  чизикка параллел бўлган битта  $\overline{f'f'} = \mu_a \bar{a}_{FE}$  вектор бор.

$a_F$  тезланиш қўйидаги муносабатга кўра аниқланади:

$$\bar{a}_{FE} = 2 \bar{\omega}_r \times \bar{v}_r = 2 \bar{\omega}_3 \times \bar{v}_{FE}.$$

Тезланишлар планидаги  $f'$  нуқта йўналишлари маълум бўлган  $\overline{f'p'}$  ва векторларнинг кесишувидан ҳосил бўлади.  $F$  нуқтанинг изнанаётган тезланиши:  $\bar{a}_F = \overline{p'f'}/\mu_a$ .

Бўғинлар 2, 3, 5 массаларининг марказларин  $S_3, S_2, S_1$  нинг тезланиши шаклларнинг ўхшашлиги усули ҳамда нижбий ҳаракатдаги ва механизм схемасидаги нуқталарнинг тезланиш векторлари кесмаларни мутаносиб тарзда бўлиши усулидан фойдаланиб аниқланади. Масалан:

$$\overline{b's'_3} = \overline{b'c'} \frac{BS}{BC} \text{ ва } \bar{a}_{S3} = \mu_a \overline{p'S_3} \text{ ёки } \Delta c's'g' \Leftrightarrow \Delta CS_3E.$$

3.17-расмда  $\bar{a}_{S3} = p.s_3/\mu_a$  учбуручакнинг фақат битта  $c'e'$  томони кўрсатилган.

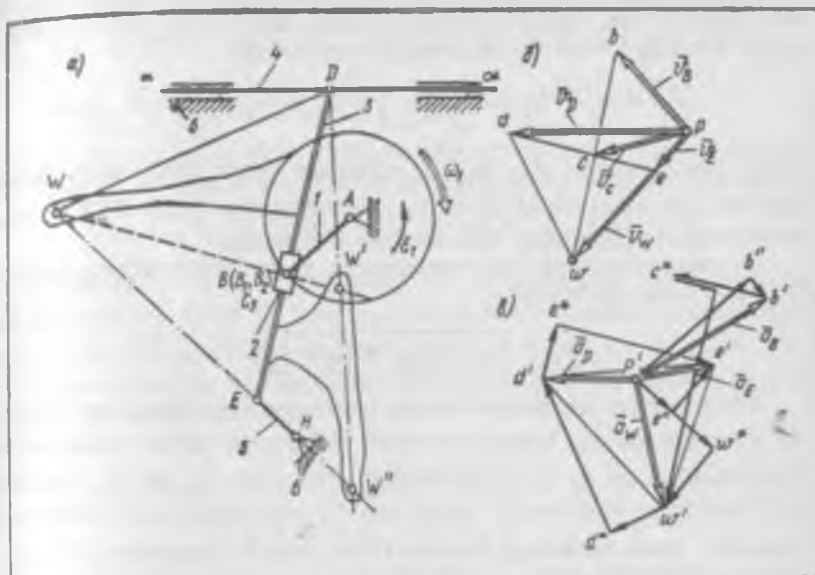
Бўғин 5 илгарилама ҳаракат қиласиди, шунга кўра

$$\bar{a}_{S3} = \bar{a}_p = \overline{p'f'}/\mu_a.$$

Бўғинларнинг бурчак тезланишларн қўйидаги муносабатлардан аниқланади

$$e_1 = a_{CB}^* / l_{CB} = \frac{\mu_a c''c'}{\mu_a BC}; \quad sgn e_1 = +1;$$

$$e_2 = a_C^* / l_{DC} = \frac{\mu_a b''b'}{\mu_a CD}; \quad sgn e_2 = +1.$$



3.18-расм

Базис бүғин ва учта тизгингидан ташкил топган үч тизгинли группаси бұлған механизмни кинематик тадқиқ қилишда, ихтиёрий танланған нұқталар учун түзилген тенгламаларни тұғридан-тұғри ечиб бұлмайды. Шу сабаблы базис бүрін 3 да алоқида нұқталар деб аталауви нұқталар танлаб олинади (3.18-расм, a). Улар иккита тизгиннинг үқ чизиклари кесишгандарда еки ползун үқига ұтказилған перпидикулярларда орналасады. Масалан, алоқида нұқта  $W$  тизгин 5 нинг  $EH$  чизиги билан ползун 2 нинг (иккинчи тизгиннинг) құналтирувчиси  $ED$  га ұтказилған  $WB$  перпидикулярнинг кеенишвидан ҳосил булади (3.18-расм, a). Бинобарин, ҳар бир үч тизгинли группа учун базис бүғинда учта алоқида нұқталар  $W$ ,  $W'$ ,  $W''$  ҳарфлари билан белгиланған. Кинематик таҳлил қилишда фәқат биттә алоқида нұктанинг, масалан,  $W$  нинг параметрларини аниқлаш киғоя. Бундай нұқталарни, чупончы,  $W$  ны танлашдан мақсад вектор тенгламалар түзилиши лозим бўлған иккى нұктанинг нисбий ҳаракат тезликлари бир хил құналишда бўлишига эришишдан иборат. Масалан, бўғин 2 нинг тезлик құналиши  $\bar{v}_{BC}$  базис бўғиннинг тезлик құналиши  $\bar{v}_{CW}$  га мос еки тизгин 5 нинг тезлик құналиши  $\bar{v}_{HE}$  базис бўғиннинг тезлик құналиши  $\bar{v}_{EW}$  га мос келади.

Тезликларни құшиш тенгламасини таҳлил қилиб құрамаз:

$$\bar{v}_C = \bar{v}_B + \bar{v}_{CB}.$$

Ушбу муносабатни түгридан-түгри ечіб бұлмайди. Шу сабабли ба-  
зис бүғин 3 нинг текис-параллел ҳаракат теоремасын асосан алохидан  
нүкта  $W$  учун тезликлар тенгламалари тузылады:

$$\bar{v}_w = \bar{v}_c + \bar{v}_{wc} = \bar{v}_b + \bar{v}_{cb} + \bar{v}_{wc}; \quad \bar{v}_w = \bar{v}_e + \bar{v}_{we}.$$

Ушбу тенгламаларда  $\bar{v}_{cb}$  ва  $\bar{v}_{wc}$  векторлар (улар  $ED$  чизикқа перпен-  
дикуляр йұналады) ҳамда  $\bar{v}_e$  ва  $\bar{v}_{we}$  векторларнинг (улар  $HEW$  чизикқа  
перпендикуляр йұналады) йұналишлары мөс келади.

Бу тенгламаларнинг үнг томонларини ұзаро тенглаштырып қойындағы  
тенглама ҳосил қилинади:

$$\bar{v}_b + \bar{v}_{cb} + \bar{v}_{wc} = \bar{v}_e + \bar{v}_{we},$$

Ушбу вектор тенгламада түрттә номағым ҳад бұлса ҳам у алохидан  
нүкта  $W$  тезлик векторини аниқлашга имкон беради, чунки  
тенгламанинг чап ва үнг томонларда жойлашган  $\bar{v}_{cb}$  ва  $\bar{v}_{wc}$  ҳамда  $\bar{v}_e$   
 $\bar{v}_{we}$  векторлар жуфт-жуфт ҳолда мөс йұналишларға әга. Вектор тенг-  
ламанинг ечими тезликлар планида (3.18-расм, б) томонлари  $\bar{r}b = \mu_b \bar{v}_b$   
 $\bar{r}w = \mu_w (\bar{v}_e + \bar{v}_{we})$ ;  $\bar{bw} = \mu_b (\bar{v}_{cb} + \bar{v}_{wc})$  га тенг бұлган  $\Delta rbw$  күрини-  
шида көлтирилған.  $\bar{rw}$  кесма базис бүғин 3 га тегиши  $W$  нүкта  $v_w$   
тезлиға пропорционалдир;  $\bar{rw} = \mu_w \bar{v}_w$ .  $D$  нүкта  $v_D$  тезлигини аниқ-  
лаш учун ушбу вектор тенглама тузылады

$$\bar{v}_D = \bar{v}_w + \bar{v}_{WD}.$$

Бунда  $D$  нүкта  $v_D$  тезлигі бүғин 4 нинг  $\alpha\alpha$  йұналтирувчиси бүйлаб,  
нишибий тезлик  $v_{WD}$  эса  $WD$  чизикқи перпендикуляр тарда йұналған.  
Ушбу вектор тенгламанинг ечими тезликлар планида (3.18-расм, б)  $\Delta rdw$   
күринишида көлтирилған, бунда  $\bar{dw} \perp DW$ :  $pd//xx$ . Изланастған тезлик  
 $v_D = pd/\mu_w$ .

Базис бүғинде қолған нүкталарнинг (масалан,  $C$  ва  $E$  нүкталарнинг  
тезлигини аниқлаш қийин әмас. Бунинг учун шаклларнинг ұшашылығы  
усулидан ( $\Delta wde \sim \Delta WDE$  ва  $\Delta wcd \sim \Delta WCD$ ) ёки кесмаларни мутаню-  
сиб тарда бұлуш усулидан ( $de/ec = DE/EC$ ) фойдаланиш мүмкін.

Үч тиғзинли группаси бұлған механизм нүкталарнинг тезленишлары-  
ни аниқлашда ҳам шунға ұшаш мұлоҳазалар юртпилади ва чизиш иш-  
лары амалға оширилади.

Қойида кераксли муносабатлар көлтирилған:

$$a_B^n = \omega_1^2 l_{BA}; \quad a_B^* = e_1 l_{BA}; \\ a_c = \bar{a}_B + \bar{a}_{cb}^* = \bar{a}_{cb}^* = \bar{a}_{cb}^*.$$

Охирги тенгламада учта номағым параметр бор, чункі  $a_{cb}^n = 0$ .

Алоҳида нуқта  $W$  учун тенгламалар системаси ёзилади:

$$\bar{a}_w = \bar{a}_E + \bar{a}_{WE}^n + \bar{a}_{WE}^t = \bar{a}_E^n + \bar{a}_{WE}^n + \bar{a}_E^t + \bar{a}_{WE}^t;$$

$$\bar{a}_w = \bar{a}_C + \bar{a}_{WC}^n + \bar{a}_{WC}^t = \bar{a}_B + \bar{a}_{CB}^t + \bar{a}_{WC}^n + \bar{a}_{CB}^t + \bar{a}_{WC}^t.$$

$\bar{a}_E^n \parallel \bar{a}_{WE}^n$  ва  $\bar{a}_{CB}^t \parallel \bar{a}_{WC}^t$  эканлигини ҳисобга олган ҳамда тенгликларнинг ўнг томонларини ўзаро тенглаштирган ҳолда ушбуни ҳосил қилинади:

$$\bar{a}_B + \bar{a}_{CB}^t + \bar{a}_{WC}^n + \bar{a}_{CB}^t + \bar{a}_{WC}^t = \bar{a}_E^n + \bar{a}_{WE}^n + \bar{a}_E^t + \bar{a}_{WE}^t;$$

бу тенгламада икки жуфт векторларнинг йўналишлари мос бўлади, бу ҳол эса алоҳида нуқта  $W$  нинг  $a_w$  тезланишини аниқлашга имкон яратади:  $a_w = \bar{p}'\bar{w}'/\mu_a$  (3.18- расм, б).

Сўнгра қўйидаги тенгламаларни ёзиб ва уларни ечиб қолган нуқтадарнинг тезланиши топилади:

$$\bar{a}_D = \bar{a}_w + \bar{a}_{DW}^n + \bar{a}_{DW}^t;$$

$$\bar{a}_E + \bar{a}_E^t = \bar{a}_D + \bar{a}_{ED}^n + \bar{a}_{ED}^t.$$

$D$  ва  $E$  нуқталар уринма тезланишларининг изланаётган қийматлари тезланишлар планидаги (3.18- расм, б) тегишли кесмалар ўлчамларига кўра аниқланади:

$$\bar{a}_D^t = \bar{p}'\bar{d}'/\mu_a; \bar{a}_E^t = \bar{e}'\bar{e}'/\mu_a; \bar{a}_E = \bar{p}'\bar{e}'/\mu_a.$$

Кинематик узатиш функцияларини график усуlda аниқлаш. Ушбу бобда кўриб чиқилган тезликлар ва тезланишлар планларини тузишда, механизм умумлашган координатасининг вақт бўйича ўзгариш қонуни олдиндан маълум, деган фаразга асосланилди. Эркинлик даражаси битта бўлган ( $W = 1$ ) механизм учун бурчак тезлик  $\omega_1$  ва бурчак тезлашиш  $e_1$  нинг қийматлари берилган, деб фараз қилинди. Машинани лойиҳалашининг маълум босқичида бу қийматлар ҳозирча номаълум бўлган ҳолларда мумкин бўлган тезликлар планлари ва мумкин бўлган тезланишлар планларидан фойдаланилади (агар  $e_1 = 0$  бўлса). Бунда график ясашлар аввал кўриб чиқсанга ўхшашиб булиб, тезликлар планлари масштаблари  $\mu_a$  ва  $\mu_e$  нинг сон қийматлари номаълумдир. Бу ҳол кириши ва чиқиши бўғинлари кинематик параметрларининг нисбатлари ҳисобланган кинематик узатиш функцияларини ҳисоблашга тусқинлик қила олмайди. Бу параметрлар график ясашлар қандай масштабда Бажарилганлигига боғлиқ эмас. Юқорида кўриб чиқилган мисолларни таҳтил қилиб чиқиб бунга ишонч ҳосил қилиш мумкин.

Масалан, 3.17-расм, а да тасвирланган транспортёр механизмида-ги алоҳида бўғинлар ва нуқталар ҳаракати тезлигининг узатиш функциялари қўйидаги муносабатлардан аниқланади.

$F, S_2, S_3$  нуқталар тезлигининг узатиш функциялари:

$$v_{\varphi} = \frac{v_F}{\omega_1} = \frac{v_F}{v_B/l_{BA}} = l_{BA} \frac{p_f/\mu_0}{pb/\mu_r} = l_1 \frac{p_f}{pb};$$

$$v_{\psi S2} = \frac{v_{S2}}{\omega_1} = \frac{v_{S2}}{v_B/l_{BA}} = l_1 \frac{ps_2}{pb};$$

$$v_{\psi S3} = \frac{v_{S3}}{\omega_1} = l_1 \frac{ps_3}{pb}.$$

Бұғыннлар 1, 2 ва 3 бурчак тезліктердің узатылған нисбатлары

$$u_{21} = \frac{\omega_2}{\omega_1} = \frac{v_{CB}/l_{CB}}{v_B/l_{BA}} = \frac{l_{BA}}{l_{CB}} \frac{bc}{pb} = \frac{1}{\lambda_2} \frac{bc}{pb};$$

$$u_{31} = \frac{\omega_3}{\omega_1} = \frac{v_C/l_{CD}}{v_B/l_{BA}} = \frac{1}{\lambda_3} \frac{pc}{pb},$$

бунда  $l_1 = l_{BA}$ ;  $\lambda_2 = l_2/l_1 = l_{BC}/l_{BA}$ ;  $\lambda_3 = l_3/l_1 = l_{DC}/l_{BA}$ .

Кириш бұғыннларын үрінма тезләніши нолға тенг деб фарас қылган ҳолда нүкта ва бұғыннлар ҳаракаты тезләнішиннг узатылған функцияларини аниқлаш учун ҳам юқоридагы үшшаш амаллар бажарылади. Келтирилген мұносабатлардан күрінады, кинематик узатылған функциялар кесмаларнннг нисбати орқали ифодаланади. Чизма масштаби үзгартылғанда кесмалар узунлығы ҳам үзгариши мүмкін, аммо бу ҳол уларнннг үзаро нисбатында, яъни узатылған функциялариниң сон қыйматында таъсир этмайды.

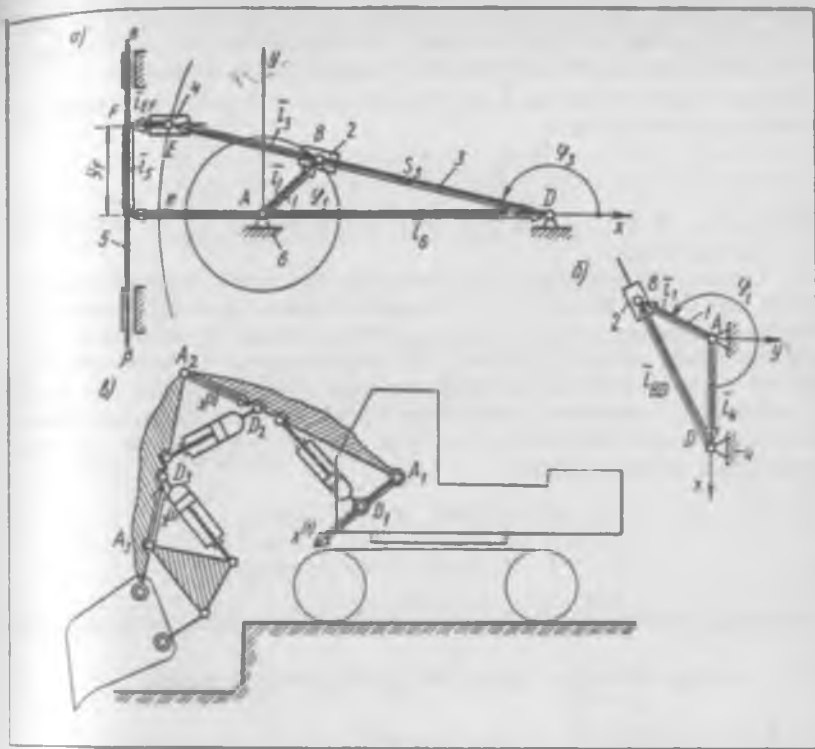
### 3.3- §. Пишанғыл текис механизмларнннг кинематик узатылған функцияларының ЭХМдан фойдаланған ҳолда аналитик усулда аниқлаш

Бу усулнннг моһияти шундан иборатки, бұғыннларнннг чизиқди ва бурчак координаталарын, тезлік ва тезләнішлары ҳамда узатылған функциялар алгебраның ва тригонометрик амалларнннг якупий қыйматларини үз ичига олувлы аналитик ифодалар күрінішида аниқланади. Аналитик ифодалар функцияны ошкор, ошкормас ёки параметрик тарзда аниқлаш мүмкін.

Механизмнннг тузилиши, бұғыннларнннг үлчамлари ҳамда механизм умумлашған координатасынннг вақтга боғлиқлары күрсатылған кинематик схема бошланғыч мағлұмоттар ҳисобланади. Агар бу боғлиқтік берилмеган болса, у ҳолда тенгламалар умумлашған координаталар функциясын тарзда ёзилади, яъни кинематик узатылған функциялары аниқланади.

Аналитик ифодалар механизм хос нүкталарынннг координаталары, тезліктери, тезләнішлары учун тузилади; лойиҳалашда ана шу нүкталар учун ҳаракатнннг миқдорий тавсифи бериліши зарур.

Қуйнда машиналарда көнг миқёсда құлланиладын басын механизмларнннг кинематик хусусиятларини аниқлаш учун зарур боладын аналитик ифодаларни аниқлашга донр мисоллар келтириледи.



3.19-расм

**Кулисали механизм.** 3.19-расм, а да кривошип 1, кулиса 3, ползунлар 2, 4, 5 дан ташкил топган олти бүгінли кулисали-тангенссимон механизм схемаси көлтирилған. 3.19-расм, б да түрт бүгінли кулисали механизм схемаси күрсатылған, 3.19-расм, в да эса кулисали механизмнинг машинада құлланишига мисол көлтирилған. Бүгінларнинг узунлық үлчамлари бүгінлар нисбий узунлигининг коэффициентлари  $\lambda_1 = l_1/l_{11}$ ,  $\lambda_2 = e/l_1$ ,  $\lambda_3 = l_3/l_1$ . Бүгіннинг талаб қылтынуучи ҳолатини анықлашда күриб чиқылаётган бүғин билан боғланадиган вектор ёрдамда унинг координата үқларига нисбатан егаллаган вазияти ҳисобга олинади. Бундай векторни бүгіндеги хос нүкталар билан: бүғиш шарнирларнинг үқларидан үтүвчін үқ билан (масалан, 3.19-расмда  $\bar{l}_1 = AB$ ,  $\bar{l}_3 = DE$ ,  $\bar{l}_4 = AD$ ) ёки илгарилама кинематик жуфтліктердегі йұналтируучи элементлар билан (масалан, 3.19-расмда  $e \perp \beta\beta$ ;  $\bar{l}_4 \parallel \beta\beta$ ) боғлаш лозим.

Векторларнинг қиялік бурчаклары абсцисса үқидан бошлаб мусбат йұналишда үлчаб қойылады,  $Axy$  координата системасыннң координаталар боши  $A$  бошланғич бүгіннинг айланыш үқида (3.19-расм) ёки

қандайдыр башқа нүктада жойлаштирилди.  $Ax$  абсциссалар ўки эса стойка билан (масалан, 3.19- расмдагы айланма кинематик жуфтликларнинг ўқлари  $A$  ва  $D$  дан үтүвчү  $Ad$  йұналиш билан) болғанды.

Кулиса билан боғланған  $\vec{l}_1$  векторнинг қиялык бурчаги  $\varphi_3$  құйидаги муносабатдан аниқланады:

$$\operatorname{tg} \varphi_3 = (y_E - y_D)/(x_E - x_D),$$

бунда  $x_D, y_D$  ва  $x_E, y_E - \vec{l}_1$  векторнинг бошланиши  $D$  ва охпирі  $E$  нинг координаталари.

$\varphi_3$  бурчак бүғинларнинг узунліктері орасидаги муносабатларға қарал 0 дан  $360^\circ$  гача оралиқда үзгариши мүмкін (масалан, кулисаси айланувчи механизм үчүн). Тескәри тригонометрик функциялар күп қийматлы бўлиб, асосий қийматлар эса чекланғандыр. Масалан,  $\operatorname{arctg} \varphi_3$  доиравий функция үчүн асосий қиймат фақат  $\pm 90^\circ$  оралиғида үзгараради. Шу сабабли  $\varphi_3$  бурчакнинг қийматини түғри аниқлаш үчүн, аргумент ишорасиннан аниқлаб берувчи ва  $y = \operatorname{sgn} x$  орқали белгиланувчи сигнум функциясидан фойдаланылади:

$$y = \begin{cases} -1, & \text{агар } x < 0 \text{ бўлса;} \\ 0, & \text{агар } x = 0 \text{ бўлса;} \\ 1, & \text{агар } x > 0 \text{ бўлса.} \end{cases}$$

Масалан, йұналтирувчи  $\varphi_3$  бурчак құйидаги муносабатдан аниқланады:

$$\varphi_3 = \begin{cases} -\operatorname{arctg} \frac{y_E - y_D}{x_E - x_D}, & \text{агар } \operatorname{sgn}(x_E - x_D) = -1 \text{ бўлса;} \\ \pi - \operatorname{arctg} \frac{y_E - y_D}{x_E - x_D}, & \text{агар } \operatorname{sgn}(x_E - x_D) = +1 \text{ бўлса;} \\ \pi/2, & \text{агар } \operatorname{sgn}(x_E - x_D) = 0 \text{ бўлса;} \\ \pi, & \text{агар } \operatorname{sgn}(y_E - y_D) = 0 \text{ бўлса;} \\ 2\pi + \varphi_3, & \text{агар } \varphi_3 < 0 \text{ бўлса,} \end{cases} \quad (3.16)$$

$y_E/y_B = (l_6 - x_E)/(l_6 - x_B)$ ;  $x_B = l_1 \cos \varphi_1$ ;  $y_B = l_1 \sin \varphi_1$ ;  $x_D = l_6 = \lambda_6 l_1$ ;  $y_D = 0$  бўлганидан (3.16) муносабат узил-кесил қуйидагича ёзилади:

$$\varphi_3 = \begin{cases} -\operatorname{arctg} \left( \frac{\sin \varphi_1}{\cos \varphi_1 - \lambda_6} \right), & \text{агар } \operatorname{sgn}(\cos \varphi_1 - \lambda_6) = -1 \text{ бўлса,} \\ \pi + \operatorname{arctg} \left( \frac{\sin \varphi_1}{\cos \varphi_1 - \lambda_6} \right), & \text{агар } \operatorname{sgn}(\cos \varphi_1 - \lambda_6) = +1 \text{ бўлса;} \\ \pi/2, & \text{агар } \operatorname{sgn}(x_E - x_D) = 0 \text{ бўлса;} \\ \pi, & \text{агар } \operatorname{sgn}(\sin \varphi_1) = 0 \text{ бўлса;} \\ 2\pi + \varphi_3, & \text{агар } \varphi_3 < 0 \text{ бўлса.} \end{cases} \quad (3.17)$$

Ползун 5 даги  $F$  нүктаның  $x_F, y_F$  координаталари:

$$x_F = -\sigma, \quad y_F = y_E = l_2 \sin \varphi_3 = l_1 \lambda_3 \sin \varphi_3.$$

Кулиса 3 даги  $S_3$  нүктанинг  $x_{S3}$ ,  $y_{S3}$  координаталари:

$$x_{S3} = l_1 \lambda_{S3} \lambda_3 \cos \varphi_3; \quad y_{S3} = l_1 \lambda_{S3} \lambda_3 \sin \varphi_3.$$

бунда  $\lambda_{S3} = l_{S3D}/l_1$ .

Кинематик узатиш функциялары бүғинларнинг ҳолат функцияларини умумлашган координатта  $\varphi_1$  бүйича дифференциаллаш йўли билан топилади.

Бурчак тезликларнинг узатиш нисбати  $u_{31}$ :

$$u_{31} = \frac{\omega_3}{\omega_1} = \frac{d\varphi_3}{d\varphi_1} = \frac{d}{d\varphi_1} \left[ -\operatorname{arctg} \left( \frac{\sin \omega_1}{\cos \omega_1 - \lambda_3} \right) \right] = \\ = -\frac{1}{1 + \left( \frac{\sin \omega_1}{\cos \omega_1 - \lambda_3} \right)^2} \frac{(\cos \varphi_1 - \lambda_3)(\cos \varphi_1) - \sin \varphi_1 (-\sin \varphi_1)}{(\cos \varphi_1 - \lambda_3)^2},$$

ёки узил-кесил ифода:

$$u_{31} = -\frac{(1 - \lambda_3 \cos \varphi_1)}{1 - 2\lambda_3 \cos \varphi_1 + \lambda_3^2}. \quad (3.18)$$

Ползун 5 даги  $F$  нүктанинг узатиш функцияси  $v_{qF}$ :

$$v_{qF} = \frac{v_F}{\omega_1} = \frac{d(l_1 \lambda_3 \sin \varphi_3)}{d\varphi_1} = l_1 \lambda_3 u_{31} \cos \varphi_3. \quad (3.19)$$

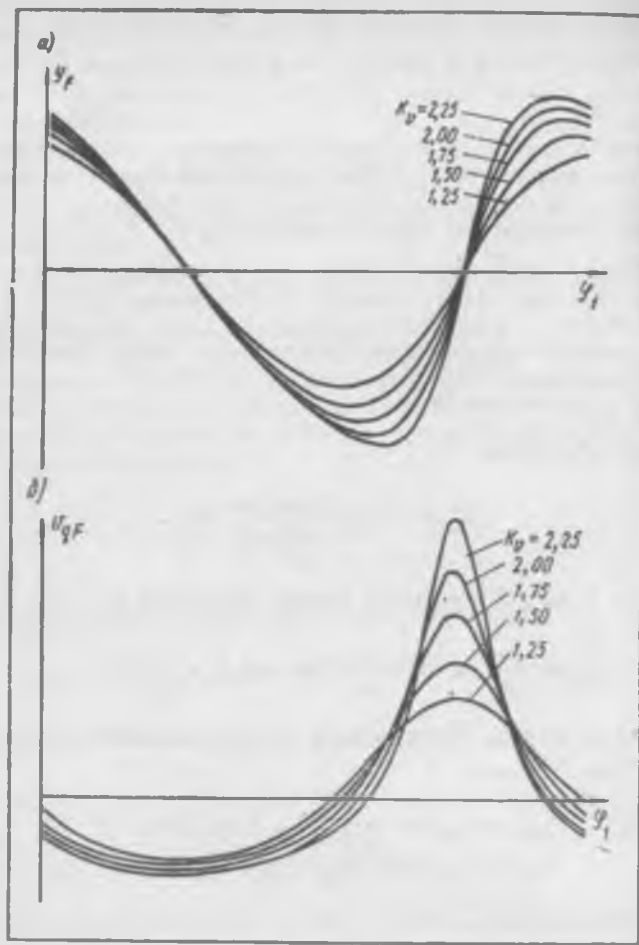
Кулиса 3 даги  $S_3$  нүкта тезлиги проекцияларининг узатиш функциялари  $v_{qS3x}$  ва  $v_{qS3y}$ :

$$\left. \begin{aligned} v_{qS3x} &= v_{S3x}/\omega_1 = -l_1 \lambda_{S3} \lambda_3 u_{31} \sin \varphi_3; \\ v_{qS3y} &= v_{S3y}/\omega = l_1 \lambda_{S3} \lambda_3 u_{31} \cos \lambda_3. \end{aligned} \right\} \quad (3.20)$$

Келтириб чиқарилган (3.18) — (3.20) муносабатларни иккинчи марта дифференциаллаб кулисанинг бурчак тезланишининг ҳамда  $F$  ва  $S_3$  нүкталар тезланишларининг узатиш функциялари ҳосил қилинади.

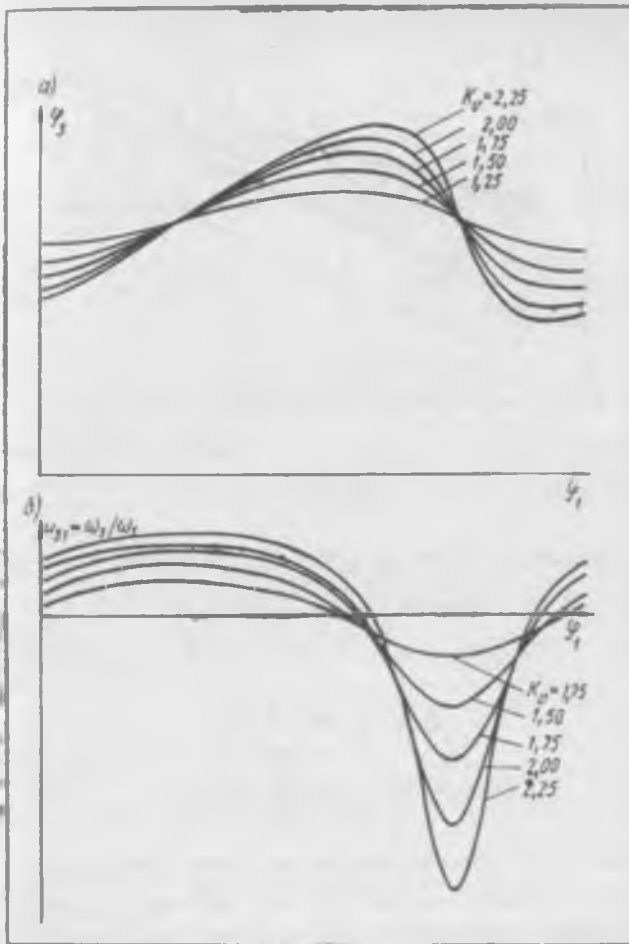
ЭҲМда ҳисобланган механизмнинг ҳолат функциялари  $\varPhi_3$ ,  $y_P$  ва узатиш функциялари  $u_{31}$ ;  $v_{qF}$  нинг ўзгариш тарзини дисплейда ёки графисагич ёрдамида ҳосил қилинган графикда кузатиш қулай. 3.20 ва 3.21-расмларда функциялар ўзгаришининг кривошиппининг бурилиш бурчаги  $\varphi_1$  га боғлиқлик графиклари кўрсатилган бўлиб, улар иш ва ёрдамчи юришлардаги чиқиш бўғинининг ўртача тезликлари орасидаги муносабатлар турлича бўлганда аниқланган. Бу муносабатлар ўртача тезликнинг ўзгариш коэффициенти  $K_0$  билан баҳоланади.

3.20-расм, а даги эгри чизиқлар  $y_P$  ва  $v_{qF}$  ларнинг, 3.21-расм, а, б даги эгри чизиқлар эса  $\varPhi_3$  ва  $u_{31}$  ларнинг  $K_0$  нинг бешта қиймати учун 1,25 дан 2,25 гача 0,25 қадам билан ўзгаришига мос келади.



3.20-расм

**Кривошип-ползунлы механизм.** Механизмнинг кинематик схемаси 3.22-расмда көлтирилганды. Ползун 3 шинги йұналтирувчилари 4 координаталар системаси  $Ox^{(0)}y^{(0)}$  га нисбатан  $\varphi_{40}$  бурчак билан жойлашған. Бошланиш нүктасы  $A$  кривошип 1 шинги айланыш ўқи билан устма-уст түшганды, абсциссалар ўқи  $Ax$  эса е масофага силяжиган ползун 3 шинги йұналтирувчилари 4 га параллел жойлашған янын  $Axy$  координаталар системасини танлаш мақсада мұвоғиқ. Йұналтирувчи бурчаклар  $\varphi_1$  ва  $\varphi_3$  шинги қийматтарынни бир қийматтаң қилиб аниқлаш учун  $\bar{l}_1$  ва  $\bar{l}_3$ , векторлар бүтінлар 1 ва 2 билан бирлаштирилді. Шатун 2 шинги узунлигиги  $S$  нүктесіндең қолаты кривошип узунлигиги  $l_1$  орқали ифодаланады:  $l_2 = \lambda_2 l_1$ ;  $l_{BS} = \lambda_S l_2 = \lambda_S \lambda_2 l_1$ ;  $e = \lambda_1 l_1$ .



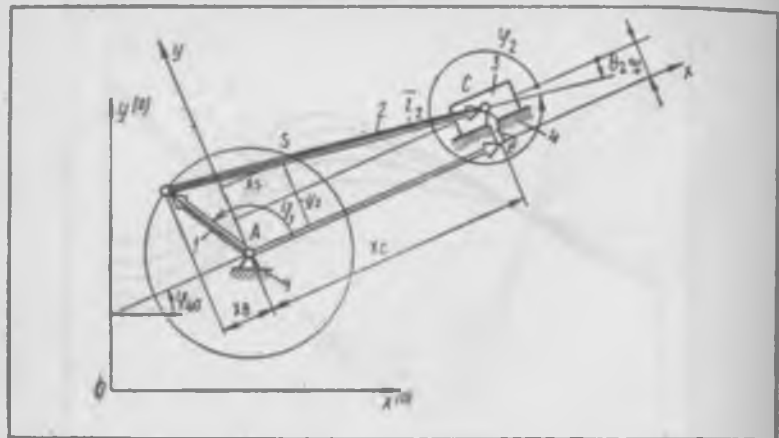
3.21-расм

$\overline{t}_1$  векторнинг йўналтирувчи бурчаги  $\varphi_2$ :

$$\operatorname{tg} \varphi_2 = (y_C - y_B)/(x_C - x_B), \quad (3.21)$$

бунда  $x_C$ ,  $y_C$  ва  $x_B$ ,  $y_B$  —  $\overline{t}_1$  векторнинг бошланниши  $B$  ва охирин бўлган  $C$  нуқталарнинг координаталаридир; улар қўйидаги муносабатлар кўришинда ифодаланади:

$$\begin{aligned} x_B &= l_1 \cos \varphi_1; \quad y_B = l_1 \sin \varphi_1; \\ x_C &= l_1 \cos \varphi_1 + \sqrt{l_1^2 - (l_1 \sin \varphi_1 - e)^2} = \\ &= l_1 [\cos \varphi_1 + \sqrt{\lambda_e^2 - (\sin \varphi_1 - \lambda_e)^2}]; \\ y_C &= e = \lambda_e/l_1. \end{aligned} \quad (3.22)$$



3.22- рәсм

(3.22) тенгламалар (3.21) га құйылса, қүйндагилар ҳосил бұлады:

$$\operatorname{tg} \varphi_2 = \frac{\lambda_e - \sin \varphi_1}{\sqrt{\lambda_2^2 - (\sin \varphi_1 - \lambda_e)^2}} \quad (3.23)$$

Еки

$$\sin \varphi_2 = \frac{\lambda_e - \sin \varphi_1}{\lambda_2} \quad (3.24)$$

$$\cos \varphi_2 = \frac{\lambda_2}{\sqrt{\lambda_2^2 - (\sin \varphi_1 - \lambda_e)^2}} \quad (3.24)$$

(3.23) еки (3.24) муносабатлардан  $\varphi_2$  бурчак аниқланади:

$$\varphi_2 = \begin{cases} 2\pi + \arcsin[(\lambda_e - \sin \varphi_1)/\lambda_2], & \text{есептегендегінде } \operatorname{sgn}(\sin \varphi_1 - \lambda_e) + 1 \text{ болса,} \\ \arcsin[(\lambda_e - \sin \varphi_1)/\lambda_2], & \text{есептегендегінде } \operatorname{sgn}(\sin \varphi_1 - \lambda_e) = -1; \text{ болса.} \end{cases}$$

Ползун 3 даги С нүктаның ҳолат функциясын қүйндаги ифодага мөскелади:

$$x_C = l_1 \left[ \cos \varphi_1 + \sqrt{\lambda_2^2 - (\sin \varphi_1 - \lambda_e)^2} \right]. \quad (3.25)$$

Шатун 2 даги S нүктаның ҳолат функциясын:

$$\begin{aligned} x_S &= l_1 (\cos \varphi_1 + \lambda_s \lambda_2 \cos \varphi_2); \\ y_S &= l_1 (\sin \varphi_1 + \lambda_s \lambda_2 \sin \varphi_2). \end{aligned} \quad (3.26)$$

(3.23) – (3.26) муносабатларни умумлашған  $\varphi_1$  координатага күра дифференциаллаб кинематик узатыш функциялари ҳосил қилинади.

Шатун ва кривошип бурчак тезликларының узатыш нисбати  $\omega_{21}$ :

$$u_{21} = \frac{\omega_2}{\omega_1} = \frac{d\varphi_2}{d\varphi_1} = \frac{d[\arcsin((\lambda_e - \sin \varphi_1)/\lambda_2)]}{d\varphi_1} = -\frac{\cos \varphi_1}{\lambda_2 \sqrt{1 - (\lambda_e - \sin \varphi_1/\lambda_2)^2}}.$$

Екин узил-кесил:

$$u_{21} = \frac{\omega_2}{\omega_1} = -\frac{\cos \varphi_1}{\sqrt{\lambda_2^2 - (\lambda_e - \sin \varphi_1)^2}} = -\frac{\cos \varphi_1}{\lambda_2 \cos \varphi_2}. \quad (3.27)$$

Баъзи нуқталар тезлигининг узатиш функциялари ползундаги  $C$  вұқта учун

$$v_{qC} = \frac{v_C}{\omega_1} = \frac{dx_C}{d\varphi_1} = l_1 \left[ -\sin \varphi_1 - \frac{(\sin \varphi_1 - \lambda_e) \cos \varphi_1}{\sqrt{\lambda_2^2 - (\sin \varphi_1 - \lambda_e)^2}} \right].$$

Екин

$$v_{qC} = \frac{v_C}{\omega_1} = -l_1 \left[ \sin \varphi_1 + \frac{(\sin \varphi_1 - \lambda_e) \cos \varphi_1}{\sqrt{\lambda_2^2 - (\lambda_e - \sin \varphi_1)^2}} \right]. \quad (3.28)$$

Екин

$$v_{qC} = \frac{v_C}{\omega_1} = -l_1 \left( \sin \varphi_1 - \frac{\sin \varphi_1 \cdot \cos \varphi_1}{\cos \varphi_2} \right) = l_1 \frac{\sin(\varphi_2 - \varphi_1)}{\cos \varphi_2}; \quad (3.29)$$

шатундаги  $S$  нуқта учун:

$$\begin{aligned} v_{qSx} &= \frac{v_{Sx}}{\omega_1} = -l_1 (\sin \varphi_1 + \lambda_S \lambda_2 u_{21} \sin \varphi_2); \\ \text{Екин} \quad v_{qSy} &= \frac{v_{Sy}}{\omega_1} = l_1 (\cos \varphi_1 + \lambda_S \lambda_2 u_{21} \cos \varphi_2); \\ v_{qS} &= \sqrt{v_{qSx}^2 + v_{qSy}^2}. \end{aligned} \quad (3.30)$$

Шатун 2 нинг бурчак тезланиши:

$$e_2 = \frac{d\omega_2}{dt} = \frac{d(\omega_1 u_{21})}{dt} = u_{21} \frac{d\omega_1}{dt} + \varphi_1 \frac{du_{21}}{dt} \quad (3.31)$$

Екин

$$e_2 = u_{21} e_1 + \omega_1^2 \frac{du_{21}}{d\varphi_1}. \quad (3.32)$$

Шатун 2 бурчак тезланишининг узатиш функцияси құйнады муносабатдан аниқланады:

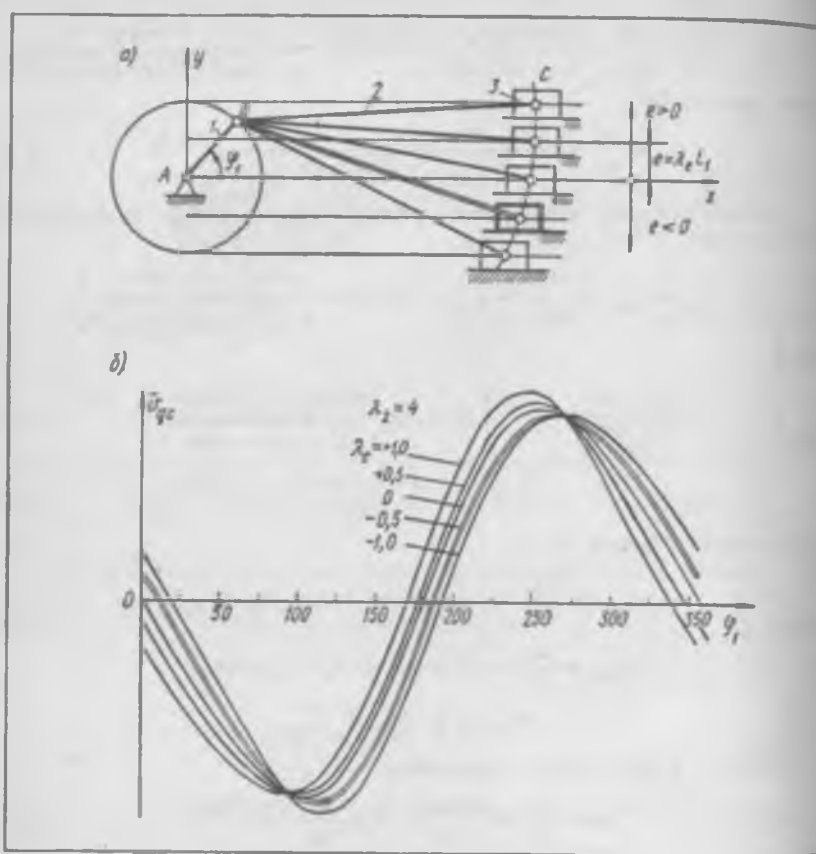
$$\frac{e_2}{\omega_1^2} = u_{21} \left( \frac{e_1}{\omega_1^2} \right) + \frac{du_{21}}{d\varphi_1} = u_{21} \left( \frac{e_1}{\omega_1^2} \right) + e_{22}. \quad (3.33)$$

Бунда

$$\begin{aligned} e_{22} &= \frac{du_{21}}{d\varphi_1} = \frac{d}{d\varphi_1} \left( -\frac{\cos \varphi_1}{\lambda_2 \cos \varphi_2} \right) = \frac{\cos \varphi_2 \cdot \sin \varphi_1 - u_{21} \cos \varphi_1 \sin \varphi_2}{\lambda_2 \cos^2 \varphi_2} = \\ &= \frac{1}{\lambda_2 \cos \varphi_2} \left( \sin \varphi_1 + \frac{\sin \varphi_2 \cdot \cos^2 \varphi_1}{\lambda_2 \cos^2 \varphi_2} \right). \end{aligned}$$

Узил-кесил ҳосил қилинады:

$$\frac{e_2}{\omega_1^2} = \frac{1}{\lambda_2 \cos \varphi_2} \left[ -\cos \varphi_1 \frac{e_1}{\omega_1^2} + \sin \varphi_1 + \frac{\sin \varphi_2 \cdot \cos^2 \varphi_1}{\lambda_2 \cos^2 \varphi_2} \right]. \quad (3.34)$$



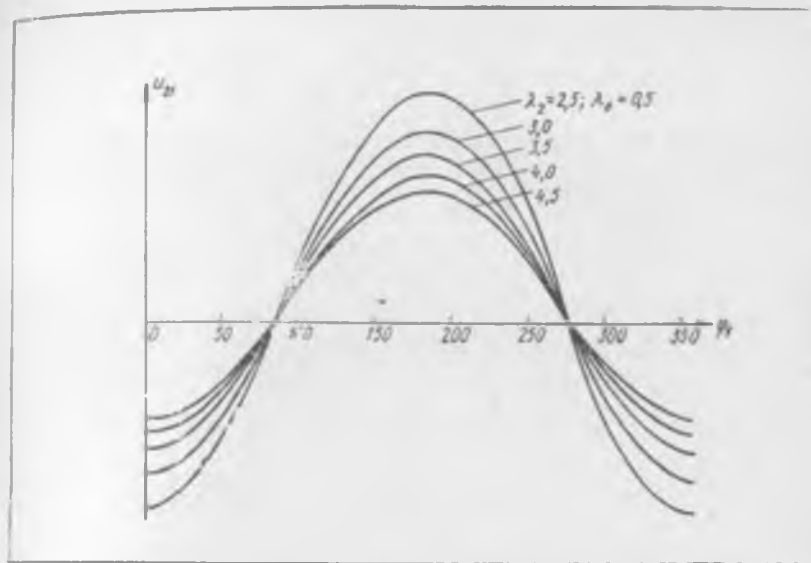
3.23- расм

Ползуудаги  $C$  нүкта тезланиши ас нинг бурчак тезлик  $\omega_1$  квадратига нисбати қойыдагига тенг:

$$\frac{v_C}{\omega_1^2} = - \frac{l_1}{\cos \varphi_2} \left[ \frac{e_1}{\omega_1} \sin(\varphi_2 - \varphi_1) + \cos(\varphi_1 - \varphi_2) + \frac{1}{\lambda_2} \frac{\cos^2 \varphi_1}{\cos^2 \varphi_2} \right]. \quad (3.35)$$

Баъзи кинематик функцияларни ЭХМда ҳисоблаш натижалари графилар тарзидан көлтирилган: 3.23-расм, б да шатуннинг узунлиги ўзгармас ( $\lambda_2 = 4$ ), аммо ползун йўналтирувчисининг нисбий силжишлари  $\lambda$ , турлича бўлганда (3.23-расм, a)  $v_{φC} = v_C/\omega_1$  функциясининг  $\varphi_1$  га боғлиқ бўлган ўзгариш графилари көлтирилган; 3.24-расмда ползун йўналтирувчисининг силжини ўзгармас ( $\lambda_e = 0,5$ ), лекин шатуннинг нисбий узунлеклари  $\lambda_2$  турлича бўлганда бурчак тезликлари узатиш нисбати  $u_{\varphi_1} = \omega_2/\omega_1$  нинг  $\varphi_1$  га боғлиқ бўлган ўзгариш графилари көлтирилган.

Хусусий ҳолда  $e = 0$  бўлганда марказий кривошип-ползунли механизм учун қойыдаги муносабатлар ўринли бўлади:



3.24- расм

$$\varphi_2 = -\arcsin(\sin \varphi_1 / \lambda_2); \quad (3.36)$$

$$U_{21} = \frac{\omega_2}{\omega_1} = -\frac{\cos \varphi_1}{\sqrt{\lambda_2^2 - \sin^2 \varphi_1}}; \quad (3.37)$$

$$\frac{c_2}{\omega_1^2} = \frac{-\cos \varphi_1}{\sqrt{\lambda_2^2 - \sin^2 \varphi_1}} \left( \frac{e_1}{\omega_1^2} \right) + \frac{\sin \varphi_1}{\sqrt{\lambda_2^2 - \sin^2 \varphi_1}} \left( 1 - \frac{\cos^2 \varphi_1}{(\lambda_2^2 - \sin^2 \varphi_1)} \right); \quad (3.38)$$

ползун 3 даги С нүктә учун:

$$x_C = l_1 (\cos \varphi_1 + \sqrt{\lambda_2^2 - \sin^2 \varphi_1}); \quad (3.39)$$

$$v_{qC} = \frac{dc}{w_1} = -l_1 \sin \varphi_1 \left( 1 + \frac{\cos \varphi_1}{\sqrt{\lambda_2^2 - \sin^2 \varphi_1}} \right); \quad (3.40)$$

$$\begin{aligned} \frac{a_C}{\omega_1^2} = & -l_1 \left[ \sin \varphi_1 \left( 1 + \frac{\cos \varphi_1}{\sqrt{\lambda_2^2 - \sin^2 \varphi_1}} \right) \left( \frac{e_1}{\omega_1^2} \right) + \cos \varphi_1 - \right. \\ & \left. - \frac{1 - 2 \cos^2 \varphi_1 - (\sin^2 \varphi_1 \cdot \cos^2 \varphi_1) / (\lambda_2^2 - \sin^2 \varphi_1)}{\sqrt{\lambda_2^2 - \sin^2 \varphi_1}} \right]. \end{aligned} \quad (3.41)$$

Тескари тригонометрик  $\arcsin x$  функцияни даражали қаторга аж-ратиш йўли билан ҳосил қилинувчи тақрибий формулалар қатор амалий масалаларни ечиш учун қулайдир:

$$\arcsin x = x + \frac{x^3}{2 \cdot 3} + \frac{1 \cdot 3 \cdot x^5}{2 \cdot 4 \cdot 5} + \dots$$

$e = 0$  бұлғанда (3.36) функциялар учун даражали қаторға ажратының құллаб құйнадың ҳосил қилинады:

$$\Phi_2 \approx -\frac{\sin \varphi_1}{\lambda_2} - \frac{1}{6} \frac{\sin^3 \varphi_1}{\lambda_2^3} - \frac{3}{40} \frac{\sin^5 \varphi_1}{\lambda_2^5}. \quad (3.42)$$

Бу қатор тез яқинлашады ва одатда, агар  $1/\lambda_2 < 1$  бўлса, биринчи иккى ҳад билан кифояланади. Бундан шартонда құйнадың тақрибий формулалар ўринлидири:

шатун 2 учун

$$\sin \varphi_2 = -\frac{1}{\lambda_2} \sin \varphi_1; \quad (3.43)$$

$$\cos \varphi_2 \approx 1 - \frac{1}{2\lambda_2^2} \sin^2 \varphi_1; \quad (3.44)$$

$$n_{21} = \frac{\omega_2}{\omega_1} \approx -\frac{\cos \varphi_2}{\lambda_2} - \frac{1}{2\lambda_2^3} \sin^2 \varphi_1 \cos \varphi_1; \quad (3.45)$$

$$\frac{e_2}{\omega_1^2} \approx \frac{1}{\lambda_2} \sin \varphi_1 + \frac{1}{\lambda_2^3} \sin \varphi_1 \left( -1 + \frac{3}{2} \sin^2 \varphi_1 \right); \quad (3.46)$$

ползун 3 нинг  $C$  нүктаси учун:

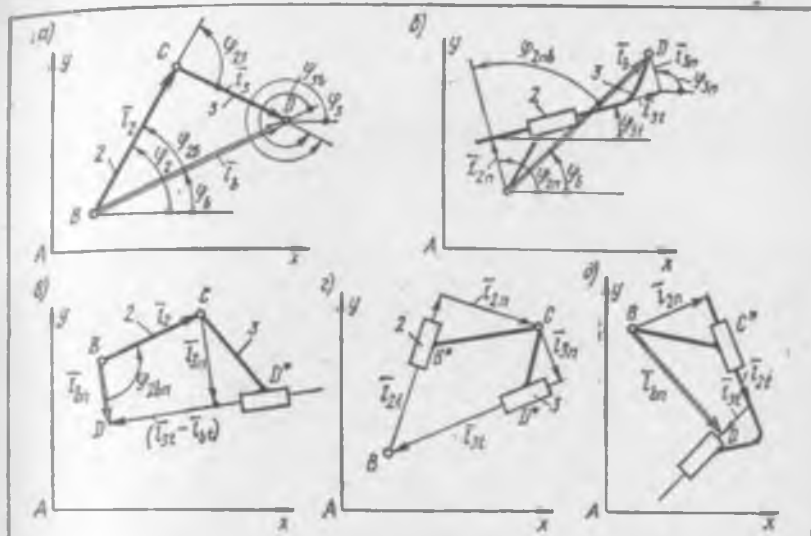
$$x_C \approx l_1 \left( \lambda_2 + \cos \varphi_1 - \frac{1}{2\lambda_2} \sin^2 \varphi_1 - \frac{1}{8\lambda_2^3} \sin \varphi_1 \right); \quad (3.47)$$

$$v_{qc} = \frac{e_C}{\omega_1} \approx l_1 \left( -\sin \varphi_1 - \frac{1}{\lambda_2} \sin \varphi_1 \cdot \cos \varphi_1 - \frac{1}{2\lambda_2^3} \sin^3 \varphi_1 \cdot \cos \varphi_1 \right) \approx \\ \approx -l_1 \left( \sin \varphi_1 + \frac{1}{2\lambda_2} \sin 2\varphi_1 \right); \quad (3.48)$$

$$\frac{a_C}{\omega_1^2} = l_1 \left[ -\cos \varphi_1 + \frac{1}{\lambda_2} (1 - 2\cos^2 \varphi_1) + \frac{1}{\lambda_2^3} \sin^2 \varphi_1 \left( \frac{1}{2} - 2\cos^2 \varphi_1 \right) \right]. \quad (3.49)$$

Иккى тизгинали структура группаси бўлган механизмлар. Ўқорида оддий механизмларга тааллуқли бўлган узатиш нисбатларини аниqlашга мисоллар кўриб чиқилган эди. Мураккаброқ механизмлар учун математик муносабатлар катталик қилади ва уларни ўзgartиринша қийинчилик вужудга келиши мумкин. Агар механизимда бир печа иккى тизгинали структура группаси мавжуд бўлса, уларни механизмга бириктириш тартибида ажратиб кўрсатиш ва аввал ҳар бир группани шундай координаталар системасида кўриб чиқиш лоҳимки, бунда группа бўғинлари ушбу системага нисбатан қўзгалувчанлиги нолга teng бўлган системани ташкил қилсин.

Ҳар бир структура группаси учун шундай вектор контурини ҳосил қилиш мумкинки, унинг ташкил қилувчилари маълум тарзда группа бўғинлари билан боғланган, уларнинг геометрик йиғинидиси эса структура группасининг ососий вектори  $\bar{l}_b$  деб қаралиши мумкин бўлган векторга teng бўлади.



3.25-расм

3.25-расмда түрли модификациялардаги икки тизгинли группалар үчүн мұлжалланған вектор контурлары мисоллар көлтирилген. Агар группадаги бүғин икки шарнирлі бұлса, у ҳолда ушбу бүғин билан бөгланған вектор бүгіннің үқ чизигі бүйлаб жойлаштирилади (масалан 3.25-расм, а, в дагы  $\bar{T}_2$  вектор). Агар бүғиңілар илгарилама кинематик жуфтлик қосыл қылса, у ҳолда бүғиңішінде векторнинг нормал ва үқ бүйінча (йұналтирувчи бүйінча) йұналған ташкил этувчилари бириктірилади (масалан, 3.25-расм, б, в, г, д дагы  $\bar{T}_{2n}$ ,  $\bar{T}_{2s}$ ,  $\bar{T}_{3n}$ ,  $\bar{T}_{3s}$  векторлар).

Икки тизгинли группалардың вектор контурларының құйылдағы муносабаттарға мос келнеші зарур (3.25-расм):

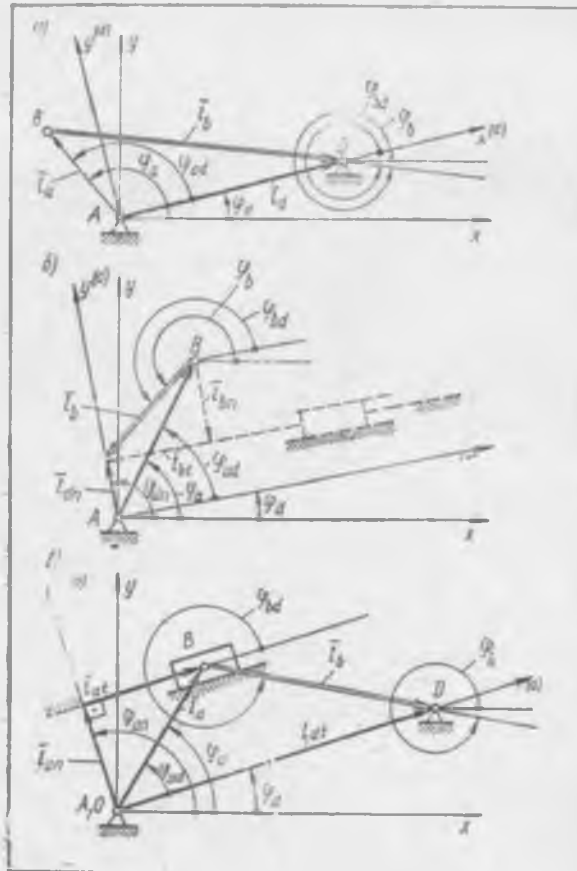
$$\bar{T}_b = \bar{T}_2 + \bar{T}_3, \quad (3.50)$$

екінші

$$\bar{T}_{bn} + \bar{T}_{bs} = \bar{T}_{2n} + \bar{T}_{2s} + \bar{T}_{3n} + \bar{T}_{3s}. \quad (3.51)$$

(3.51) теңгламаның баъзи ташкил этувчилари структура группасыннан мұайян бир модификациясы үчүн нолга тенг бўлиши мумкин (3.25-расм, б, в, г, д).

Агар ташкил кинематик жуфтлик элементлары билан бөгланған үқ қосылаларнинг координаталары маълум бұлса, у ҳолда структура группаси асосий вектори  $\bar{T}_b$  нинг ҳолати иккита берилған нүктани бөлөвчи вектор ҳолатини аниқладынған муносабатларга кўра аниқланиши мумкин. Масалан, фақат айтамма кинематик жуфтликларни  $B$  ва  $D$  бўл-



3.26· расм

танд икки тиэгинли группа учун  $B$  ва  $D$  нүкталарнинг координаталар  $x_B$ ,  $y_B$ ,  $x_D$ ,  $y_D$  маълум бўлганда:

$l_B$  векторнинг узунлиги:

$$l_B = l_{BD} = \sqrt{(x_D - x_B)^2 + (y_D - y_B)^2}; \quad (3.52)$$

$\bar{l}_B$  векторнинг  $Ax$  абсциссалар ўқига нисбатан йуналтирувчи бурчаги  $\Phi_B$ :

$$\Phi_B = \begin{cases} \arctg [(y_D - y_B)/(x_D - x_B)], & \text{агар } \operatorname{sgn}(x_D - x_B) = 1 \text{ бўлса;} \\ \pi + \arctg [(y_D - y_B)/(x_D - x_B)], & \text{агар } \operatorname{sgn}(x_D - x_B) = -1 \text{ бўлса.} \end{cases} \quad (3.53)$$

Агар бошлангич бүгін ҳаракати берилған ҳамда  $D$  нүктә координаталары маңтум бўлса ёки илгари биринтирилган структура групласыннинг ҳаракат параметрлари аниқланган бўлса, ҳар бир структура групласыннинг асосий вектори  $\bar{l}_a$  нинг бошланиши  $B$  ва охири  $D$  нинг координаталари маңтум бўлади. Боштаниш нүкта  $xAy$  координаталар системаидаги  $A$  нүктада жойлашған  $\bar{l}_a$  вектор бошлангич бўғинга биринтирилади (2.26-расм). Бошлангич бўғингдаги  $B$  нүкта координаталари қўйидаги муносабатдан аниқланади:

$$x_B = l_a \cos \varphi_a; \quad y_B = l_a \sin \varphi_a. \quad (3.54)$$

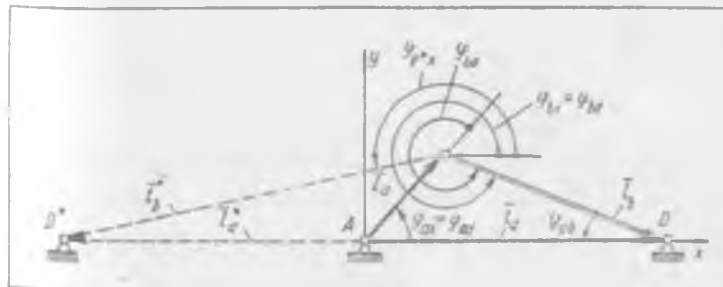
$Ax$  абсиссалар ўқи горизонтал жойлашган координаталар системасидан ташқари, механизм стойкаси ёки бўгин ўқи бўйлаб йўналган, бунда бир системадан иккичи системаға координаталарни ўзгартириш усули билан ўтказиладиган координаталар системасидан фойдаланиш ҳам мақсадга мувофиқдир.

3.26-расмда  $Ax^{(d)}y^{(d)}$  координаталар системасин танлашга бир қаинч мисоллар кўрсатилган; ушбу системанинг абсиссалар ўқи стойка билан боғланған  $\bar{l}_a$  векторга нисбатан аниқ бир вазиятда жойлашған:  $a$  —  $Ax^{(d)}$  ўқи стойкадаги  $A$  ва  $D$  нүкталарни боғловчи вектор билан устма-уст жойлашған;  $b$  —  $Ax^{(d)}$  ўқи бошлангич бўғиннинг  $A$  шарнирига нисбатан  $\bar{l}_{an}$  га силжитилган чиқиши бўғини йўналтирувчисига параллел ўтказилган;  $c$  — бошлангич бўғин илгариlama ҳаракатланади,  $Ax^{(d)}$  ўқи эса стойкадаги  $D$  нүктанинг  $\bar{l}_{an}$  қийматга силжишини ҳисобга олган ҳолда  $\bar{l}_{di}$  вектор бўйлаб йўналтирилган. Ушбу ҳоллариниг ҳаммасида ҳам битта координаталар системаси бошқасига нисбатан  $\varphi_d$  бурчакка бурилган, бошлангич бўғиннинг ҳолати  $\bar{l}_a$  эса  $Ax^{(d)}$  ўқига нисбатан  $\varphi_{ad} = \varphi_d - \Phi_d$  бурчакни ташкил қиласди.

Бошлангич бўғингдаги  $B$  нүкта координаталари қўйидаги муносабатлардан аниқланади:

$$x_B^{(d)} = l_a \cos \varphi_{ad}; \quad y_B^{(d)} = l_a \sin \varphi_{ad}. \quad (3.55)$$

Асосий вектор нүкталари  $B$  ва  $D$  нинг координаталарини аниқлашда 3.27-расмда курсатилган механизмни йиғишнинг мумкин бўлган вариантларда



3.27- расм

рига эътибор бе иш лозим, чунки улар векторлар орасидаги бурчакларининг аниқ қийматларини белгилайди.

Хар бир структура группаси бўғинларининг ўлчамлари маълум бўлганлиги сабабли, аниқланган  $\bar{l}_b$  векторга кўра учбурчак элементлари орасидаги инсбатни ҳисобга олиб ва координаталарни ўзгартириш усулдан фойдаланган ҳолда контурдаги қолтган векторларининг параметрларини қиймаланди.

Учта айланма кинематик жуфтликли, икки тизгинли группа учун (3.25-расм, а) масаланинг ечими учбурчакнинг маълум томонлари  $l_2$ ,  $l_3$  ва  $l_b$  дан унинг бурчакларини аниқлашадан иборат. Масалан,  $\varphi_{2b}$  бурчак-қуйида келтирилган формулаларнинг бирортасидан аниқланади:

$$\cos \varphi_{2b} = \frac{l_2^2 + l_b^2 + l_3^2}{2l_2 l_b}; \quad (3.56)$$

$$\operatorname{tg} \frac{\varphi_{2b}}{2} = \sqrt{\frac{(p - l_2)(p - l_b)}{p(p - l_2)}}; \quad (3.57)$$

$$\sin \frac{\varphi_{2b}}{2} = \sqrt{\frac{(p - l_2)(p - l_b)}{l_2 l_b}}. \quad (3.58)$$

бунда  $p = 0,5(l_2 + l_3 + l_b)$  — вектор контурн периметрининг ярми.

$\varphi_{2b}$  ва  $\varphi_{3b}$  бурчаклар формулалари ўхаш бўлиб, улар (3.56)–(3.58) муносабатлардаги тегишли томонлар индексларини кетма-кет ўрин алмаштириш йўли билан ҳосил қилинади.

3.25-расм, б, в да тасвирланган структура группаларидағи  $\varphi_{2nb}$  (3.25-расм, б) ёки  $\varphi_{2bn}$  (3.25-расм, в) бурчакларни аниқлаш учун мос равишда тўғри бурчакли учбурчаклар кўриб чиқилади, чунки бўғинлар 2 ва 3 нинг берилган ўлчамларига кўра  $\bar{l}_{2n}$ ,  $\bar{l}_{3n}$ ,  $\bar{l}_{3l}$ ,  $\bar{l}_b$ ,  $\bar{l}_{bn}$ ,  $(\bar{l}_{3l} - \bar{l}_b)$  векторларнинг узунлиги маълумдир.

Механизмининг бирор бўғини ёки бирор структура группаси билан боғланган векторнинг параметрлари аниқлангандан сўнг механизмининг кинематик хусусиятлари аниқланади.

Вектор  $\bar{l}_b$  га татбиқан (3.25-расм, а) ҳисоблаш тартиби қўйидагича:  $D$  нуқта координаталари учун:

$$x_D = x_B + l_b \cos \varphi_b; \quad y_D = y_B + l_b \sin \varphi_b; \quad (3.59)$$

$D$  нуқтанинг тезлик проекциялари учун:

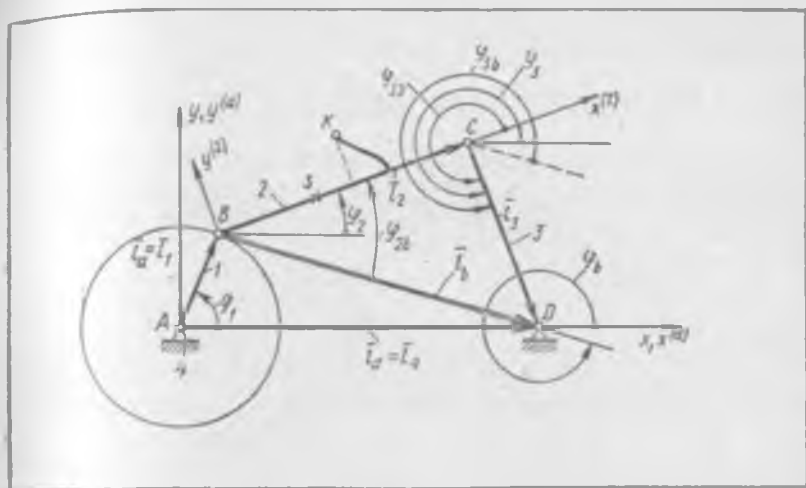
$$x_D = dx_D/dt = x_B + l_b \varphi_b \sin \varphi_b + l_b \cos \varphi_b; \quad (3.60)$$

$$y_D = dy_D/dt = y_B + l_b \varphi_b \cos \varphi_b + l_b \sin \varphi_b,$$

бу ерда нуқта орқали функцияянинг вақт бўйича ҳосиласи белгиланган;  $D$  нуқтанинг тезланиш проекциялари учун:

$$\ddot{x}_D = x_B - l_b \varphi_b \sin \varphi_b - l_b \varphi_b^2 \cos \varphi_b + l_b \cos \varphi_b - 2l_b \varphi_b \sin \varphi_b; \quad (3.61)$$

$$\ddot{y}_D = y_B + l_b \varphi_b \cos \varphi_b - l_b \varphi_b^2 \sin \varphi_b + l_b \sin \varphi_b + 2l_b \varphi_b \cos \varphi_b.$$



3.28a-расм

Баен этилган усулнинг қўлланилиши тўрт бўғинли шарнирли механизм (3.28-расм) мисолида кўрсатилган.  $Axy$  координаталар системаси стойка билан боғланган  $(A\bar{x}^{(1)}\bar{y}^{(1)})$  координаталар системаси билан устма-уст жойлашади.  $Bx^{(2)}y^{(2)}$  координаталар системаси берилган  $x_{K_2}^{(2)}$   $y_{K_2}^{(2)}$  координатали  $K$  нуқта жоғлашган бўғин 2 билан боғланган.

Вектор тенгламалар қўйндаги кўринишда ёзилади:

$$\begin{aligned} \bar{l}_2 + \bar{l}_3 &= \bar{l}_5; & \bar{l}_4 + \bar{l}_5 + \bar{l}_6, \\ \text{еки} \quad \bar{l}_1 + \bar{l}_6 &= \bar{l}_4; & \bar{l}_1 + \bar{l}_5 + \bar{l}_6 = \bar{l}_4. \end{aligned} \quad (3.62)$$

Охирган тенглама  $AXY$  координаталар системасининг координаталар ўқларига проекцияланади:

$$\begin{aligned} l_1 \cos \varphi_1 + l_2 \cos \varphi_2 + l_3 \cos \varphi_3 &= l_4 \cos \varphi_4 = l_4; \\ l_1 \sin \varphi_1 + l_2 \sin \varphi_2 + l_3 \sin \varphi_3 &= l_4 \sin \varphi_4 = 0, \text{ чунки } \varphi_4 = 0. \end{aligned} \quad (3.63)$$

Структура группаси  $\bar{l}_b$  асосий вектори  $B$  ва  $D$  нуқталарининг координаталари қўйидагича:

$$x_B = l_1 \cos \varphi_1; \quad y_B = l_1 \sin \varphi_1; \quad x_D = l_4; \quad y_D = 0. \quad (3.64)$$

Асосий векторнинг координаталар ўқларига проекциялари  $\bar{l}_{bx}$  ва  $\bar{l}_{by}$  узунлиги

$$l_{bx} = x_D - x_B = l_4 - l_1 \cos \varphi_1; \quad l_{by} = y_D - y_B = -l_1 \sin \varphi_1. \quad (3.65)$$

Асосий вектор  $\bar{l}_b$ ning узунлиги

$$\text{еки} \quad l_b = \sqrt{(l_4 - l_1 \cos \varphi_1)^2 + (-l_1 \sin \varphi_1)^2},$$

$$l_b = l_1 \sqrt{1 + \lambda_4^2 - 2 \lambda_4 \cos \varphi_1}, \quad (3.66)$$

бұның  $\lambda_4 = l_4/l_1$

$\bar{l}_b$  векторнинг йұналтирувчи  $\varphi_b$  бурчагы

$$\operatorname{tg} \varphi_b = \frac{y_D - y_B}{x_D - x_B} = \frac{-l_1 \sin \varphi_1}{l_4 - l_1 \cos \varphi_1} = -\frac{\sin \varphi_1}{\lambda_4 - \cos \varphi_1}. \quad (3.67)$$

Иккі тиэгінли группаның бүғінлары 2 ва 3 билан бөлгеланған  $\bar{l}_1$  ва  $\bar{l}_3$  векторларнинг қолати асосий вектор  $\bar{l}_b$  га нисбатан  $\varphi_{2b}$  ва  $\varphi_{3b}$  бурчаклар билан аниқтанды, бұрыннан  $\Delta BCD$ дан топилады:

$$\cos \varphi_{2b} = \frac{l_2^2 + l_b^2 - l_3^2}{2l_2 l_b}. \quad (3.68)$$

$\lambda_2 = l_2/l_1$ ,  $\lambda_3 = l_3/l_1$ ,  $\lambda_b = l_b/l_1 = \sqrt{1 + \lambda_4^2 - 2\lambda_4 \cos \varphi_1}$  ларни киригтан қолда қойылады.

$$\cos \varphi_{3b} = \frac{\lambda_2^2 + \lambda_b^2 - \lambda_3^2}{2\lambda_2 \lambda_b} = \frac{\lambda_2^2 + 1 + \lambda_4^2 - 2\lambda_4 \cos \varphi_1 - \lambda_3^2}{2\lambda_2 \sqrt{1 + \lambda_4^2 - 2\lambda_4 \cos \varphi_1}}; \quad (3.69)$$

$$\cos \varphi_{3b} = \frac{l_b^2 + l_3^2 - l_2^2}{2l_b l_3} = \frac{\lambda_b^2 + \lambda_3^2 - \lambda_2^2}{2\lambda_b \lambda_3}. \quad (3.70)$$

Синуслар теоремасына ассосан

$$\sin \varphi_{2b} = \frac{l_b}{l_2} \sin \varphi_{2b} = \frac{\lambda_b}{\lambda_2} \sin \varphi_{2b}. \quad (3.71)$$

$\bar{l}_1$  ва  $\bar{l}_3$  векторларнинг йұналтирувчи бурчаклари  $\varphi_2$  ва  $\varphi_3$

$$\varphi_2 = \varphi_b + \varphi_{2b}; \quad \varphi_3 = \varphi_b + \varphi_{3b}. \quad (3.72)$$

(3.68) — (3.70) мұносабаттар (3.72) мұносабаттаға киристилиб қойылады:

$$\varphi_2 = \operatorname{arctg} \left( -\frac{\sin \varphi_1}{\lambda_4 - \cos \varphi_1} \right) + \arccos \frac{1 + \lambda_2^2 + \lambda_4^2 - \lambda_3^2 - 2\lambda_4 \cos \varphi_1}{2\lambda_2 \sqrt{1 + \lambda_4^2 - 2\lambda_4 \cos \varphi_1}}; \quad (3.73)$$

$$\varphi_3 = \operatorname{arctg} \left( -\frac{\sin \varphi_1}{\lambda_4 - \cos \varphi_1} \right) + \arccos \frac{1 + \lambda_3^2 + \lambda_4^2 - \lambda_2^2 - 2\lambda_4 \cos \varphi_1}{2\lambda_3 \sqrt{1 + \lambda_4^2 - 2\lambda_4 \cos \varphi_1}}; \quad (3.74)$$

С нүкта координаталари (иккі тиэгінли группаның иккі шарнирі)

$$x_C = l_1 (\cos \varphi_1 + \lambda_2 \cos \varphi_2); \quad y_C = l_1 (\sin \varphi_1 + \lambda_2 \sin \varphi_2). \quad (3.75)$$

Шатун үқінда  $l_{BS} = \lambda_{S2} l_2 = \lambda_{S2} \lambda_2 l_1$  масоғада жойлашкан  $S$  нүктесінде координаталари:

$$x_S = l_1 (\cos \varphi_1 + \lambda_{S2} \lambda_2 \cos \varphi_2); \quad y_S = l_1 \sin \varphi_1 + \lambda_{S2} \lambda_2 \sin \varphi_2. \quad (3.76)$$

Шатун 2 билан бөглөнгөн  $B^{(2)}$   $y^{(2)}$  координаталар системасында  $x_K^{(2)}$  ва  $y_K^{(2)}$  координаталарга эга бўлган ва шу шатун билан бирор тарзда бөглөнгөн  $K$  нуқтәнинг координаталари:

$$\begin{aligned}x_K &= l_1 \cos \varphi_1 + x_K^{(2)} \cos \varphi_2 - y_K^{(2)} \sin \varphi_2; \\y_K &= l_1 \sin \varphi_1 + x_K^{(2)} \sin \varphi_2 + y_K^{(2)} \cos \varphi_2.\end{aligned}\quad (3.77)$$

Узатиш нисбатлари  $u_{21} = \omega_2/\omega_1$  ва  $u_{31} = \omega_3/\omega_1$  ни аниқлаш учун (3.72) — (3.74) ифодалар умумлашган  $\varphi_1$  координатага кўра дифференциалланади:

$$\begin{aligned}u_{21} &= \frac{\omega_2}{\omega_1} = \frac{d\varphi_2}{d\varphi_1} = \frac{d\varphi_b}{d\varphi_1} + \frac{d\varphi_{2b}}{d\varphi_1}, \quad u_{31} = \frac{\omega_3}{\omega_1} = \frac{d\varphi_3}{d\varphi_1} = \\&= \frac{d\varphi_b}{d\varphi_1} + \frac{d\varphi_{3b}}{d\varphi_1}.\end{aligned}\quad (3.78)$$

(3.63) тенгламани дифференциаллаб қўйидагилар ҳосил қилилади:

$$\begin{aligned}\omega_1 l_1 \sin \varphi_1 + \omega_2 l_2 \sin \varphi_2 + \omega_3 l_3 \sin \varphi_3 &= 0; \\ \omega_1 l_1 \cos \varphi_1 + \omega_2 l_2 \cos \varphi_2 + \omega_3 l_3 \cos \varphi_3 &= 0.\end{aligned}\quad (3.79)$$

Екин

$$\begin{aligned}\sin \varphi_1 + u_{21} \lambda_2 \sin \varphi_2 + u_{31} \lambda_3 \sin \varphi_3 &= 0; \\ \cos \varphi_1 + u_{21} \lambda_2 \cos \varphi_2 + u_{31} \lambda_3 \cos \varphi_3 &= 0.\end{aligned}\quad (3.80)$$

Бу система  $u_{21}$  ва  $u_{31}$  номаълумларга нисбатан чизиклидир. Чизикли тенгламанинг аниқловчиси  $D$  билан белгиланади ва қўйидагича ҳисобланади:

$$D = \begin{vmatrix} a_{11} & a_{12} \\ a_{21} & a_{22} \end{vmatrix} = \begin{vmatrix} \lambda_2 \sin \varphi_2 & \lambda_3 \sin \varphi_3 \\ \lambda_2 \cos \varphi_2 & \lambda_3 \cos \varphi_3 \end{vmatrix} = \lambda_2 \lambda_3 \sin \varphi_2 \cos \varphi_3 - \lambda_2 \lambda_3 \cos \varphi_2 \sin \varphi_3 = \lambda_2 \lambda_3 \sin (\varphi_2 - \varphi_3).$$

$D_1$  ва  $D_2$  аниқловчилар  $D$  дан ҳосил қилинади. Бунинг учун коэффициентлардан иборат тегишли устуналар (номаълумлар мавжудлигига) озод ҳадлардан тузилган устуналар билан алмаштирилади:

$$\begin{aligned}D_1 &= \begin{vmatrix} -\sin \varphi_1 & \lambda_3 \sin \varphi_3 \\ -\cos \varphi_1 & \lambda_3 \cos \varphi_3 \end{vmatrix} = -\lambda_3 \sin \varphi_1 \cos \varphi_3 + \lambda_3 \cos \varphi_1 \sin \varphi_3 = \\&= -\lambda_3 \sin (\varphi_1 - \varphi_3);\end{aligned}$$

$$D_2 = \begin{vmatrix} -\sin \varphi_1 & \lambda_2 \sin \varphi_2 \\ -\cos \varphi_1 & \lambda_2 \cos \varphi_2 \end{vmatrix} = -\lambda_2 \sin (\varphi_1 - \varphi_2).$$

Система ылдизларни Крамер формуулаларидан аниқланади:

$$u_{21} = \frac{D_1}{D} = -\frac{\sin (\varphi_1 - \varphi_3)}{\lambda_3 \sin (\varphi_1 - \varphi_3)}, \quad (3.81)$$

$$u_{31} = \frac{D_2}{D} = -\frac{\sin (\varphi_1 - \varphi_2)}{\lambda_2 \sin (\varphi_1 - \varphi_3)}. \quad (3.82)$$

Узатиш нисбатлари  $u_{21}$  ва  $u_{31}$  ни аниқлашда түғридан-түғри (3.78) формулалардан умумлашган координата  $\varphi_1$  нинг функцияси бўлган куёндаги муносабатлар ҳосил қилинади:

$$u_{21} = \frac{w_2}{\omega_1} = \frac{1}{\lambda_b^2} \left( 1 - \lambda_4 \cos \varphi_1 - \frac{\lambda_4 (\lambda_2^2 - \lambda_3^2 + \lambda_b^2) \sin \varphi_1}{\sqrt{4\lambda_2^2 \lambda_b^2 - (-\lambda_2^2 + \lambda_3^2 + \lambda_b^2)^2}} \right); \quad (3.83)$$

$$u_{31} = \frac{w_3}{\omega_1} = \frac{1}{\lambda_b^2} \left( 1 - \lambda_4 \cos \varphi_1 + \frac{\lambda_4 (\lambda_2^2 - \lambda_3^2 + \lambda_b^2) \sin \varphi_1}{\sqrt{4\lambda_3^2 \lambda_b^2 - (-\lambda_2^2 + \lambda_3^2 + \lambda_b^2)^2}} \right) \quad (3.84)$$

Бўғинларнинг бурчак тезланишларини ва мос равишдаги узатиш функцияларини аниқлаш учун (3.79) система дифференциалланади:

$$\begin{aligned} \omega_1^2 l_1 \cos \varphi_1 + e_1 l_1 \sin \varphi_1 + \omega_2^2 l_2 \cos \varphi_2 + e_2 l_2 \sin \varphi_2 + \omega_3^2 l_3 \cos \varphi_3 + \\ + e_3 l_3 \sin \varphi_3 = 0; \\ \omega_1^2 l_1 \sin \varphi_1 + e_1 l_1 \cos \varphi_1 + \omega_2^2 l_2 \sin \varphi_2 + e_2 l_2 \cos \varphi_2 + \\ + \omega_3^2 l_3 \sin \varphi_3 + e_3 l_3 \cos \varphi_3 = 0. \end{aligned} \quad (3.85)$$

(3.85) система изланадиган  $e_1$  ва  $e_3$  катталикларга нисбатан чизиклиди.

(3.85) система баъзан  $(e_2/\omega_1^2)$  ва  $(e_3/\omega_1^2)$  га нисбатан ўзгартириб ёзилади:

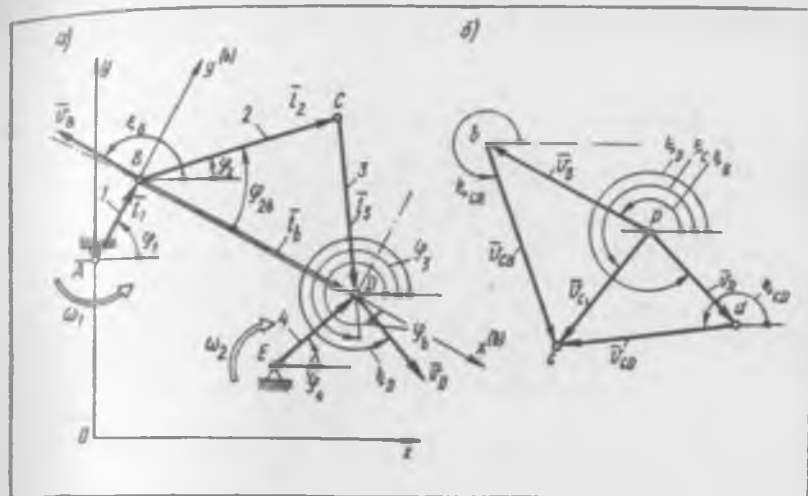
$$\begin{aligned} \frac{e_2}{\omega_1^2} \lambda_2 \sin \varphi_2 + \frac{e_3}{\omega_1^2} \lambda_3 \sin \varphi_3 = -\cos \varphi_1 - \frac{e_1}{\omega_1^2} \sin \varphi_1 - \\ - u_{21}^2 \lambda_2 \cos \varphi_2 - u_{31}^2 \lambda_3 \cos \varphi_3; \end{aligned} \quad (3.86)$$

$$\begin{aligned} \frac{e_2}{\omega_1^2} \lambda_2 \cos \varphi_2 + \frac{e_3}{\omega_1^2} \lambda_3 \cos \varphi_3 = -\sin \varphi_1 - \frac{e_1}{\omega_1^2} \cos \varphi_1 - \\ - u_{21}^2 \lambda_2 \sin \varphi_2 - u_{31}^2 \lambda_3 \sin \varphi_3. \end{aligned}$$

(3.86) системанинг илдизлари Крамер формулатаридан аниқланади.

Мураккаб тузилган механизмларни лойиҳалашда ҳолат функцияларини аниқлаш, сўнгра уларни дифференциаллаш ҳамда узатиш функцияларини ўзгартиринишларининг ҳажми анча катта бўлиши мумкин. Бундай ҳолларда 3.2-§ да масалани ечиш алгоритмини тузиш учун келтирилган вектор тенгламалардан фойдаланиш, ҳисоблаш ишларини эса график усулда эмас, балки ЭҲМ ёрдамида амалга ошириш мақсадга мувоффикдир.

Механизм плани асосида ҳамда механизм бўғинлари нуқталарини тезликлари ва тезланишларнга доир вектор тенгламалар асосида тезликлар ва тезланишлар планлари ихтиёрий масштабда тузилади. Бу планлар талаб қилинаётган боғлиқликларни аналитик кўринишда келтириб чиқариш учун ҳисоблаш схемаси булади. Ушбу методикани тушунтириб мақсадида эркинлик даражаси иккита бўлган, иккита бошланғич бўғин



3.29- расм

1 ва 4 дан ҳамда бүғинлар 2 ва 3 ни ға ичиға олувчи иккى тизгинли группадан ташкил топған механизм (3.29- расм, а) мисол тарзыда күриб чиқылди. Векторнинг ҳар бир бүғин билан боғланғанлығы бүғиннинг  $Oxy$  координаталар текислигидаги ҳолатини тұғри аниқлашға имкон берді.

Механизм планинга асосан бүғинлар 2 ва 3 нинг йұналиш бурчаклары  $\varphi_2$  ва  $\varphi_3$  ҳамда структура групласи асосий векторнин бурилиш бурчаги  $\varphi_b$  олдандырылғанда баён этилған методика билан аниқланады; бүғинлар 1 ва 4 бошланғич бүғинлар бүлгеленгенлиғи учун  $\Psi_1$  ва  $\Psi_3$  бурчаклар берилған деб қабул қыллады:

$$\Psi_b = \operatorname{arctg} [(y_D - y_B)/(x_D - x_B)],$$

бұнда

$$x_B = x_A + l_1 \cos \varphi_1; \quad y_B = y_A + l_1 \sin \varphi_1;$$

$$x_D = x_E + l_4 \cos \varphi_4; \quad y_D = y_E + l_4 \sin \varphi_4.$$

$$\varphi_{2b} = \arccos \frac{l_b^2 + l_3^2 - l_2^2}{2l_b l_3} = \arccos \frac{\lambda_2^2 + \lambda_3^2 - \lambda_b^2}{2\lambda_2 \lambda_3},$$

$$\varphi_{3b} = \arccos \frac{l_b^2 + l_2^2 - l_3^2}{2l_b l_2} = \arccos \frac{\lambda_b^2 + \lambda_2^2 - \lambda_3^2}{2\lambda_b \lambda_2},$$

Бұнда

$$\lambda_2 = l_2/l_1; \quad \lambda_3 = l_3/l_1; \quad \lambda_4 = l_4/l_1$$

$$\lambda_b = l_b/l_1 = \frac{1}{l_1} \sqrt{(x_D - x_B)^2 + (y_D - y_B)^2}$$

Бүгінлар 2 ва 3 нинг йұналиш бурчаклары  $\varphi_1$  ва  $\varphi_3$ :

$$\varphi_2 = \varphi_b + \varphi_{2b}; \quad \varphi_3 = \varphi_b + \varphi_{3b}.$$

$B$  ва  $D$  нүкталар абсолютта икесінші тезліктері векторларының йұналиш бурчаклары (3.29-расм, б):

$$\xi_B = \varphi_1 + \pi/2; \quad \xi_D = \varphi_4 + \pi/2; \quad \xi_{CB} = \varphi_2 + \pi/2; \quad \xi_{CD} = \varphi_3 + \pi/2.$$

Механизм бүгінларидеги алоқида нүкталар тезліктері орасындағы бөгләнештеги тегишли вектор тенгламаларға күра анықланады, масалан, меканизмнинг  $C$  нүктасы учун қойылады:

$$\begin{aligned}\bar{v}_C &= \bar{v}_B + \bar{v}_{CB}; \quad \bar{v}_C = \bar{v}_D + \bar{v}_{CD} \\ \bar{v}_H + \bar{v}_{CH} &= \bar{v}_B + \bar{v}_{CD}\end{aligned}$$

ва тезліктер плани түзилады (3.29-расм, б). Тезліктер планида тегишилде векторларының йұналиш бурчаклары күрсатылады.

Сұнгара тезліктер плани  $Ox$  ва  $Oy$  координатта үкларига проекцияланады ҳамда тезліктер проекцияларыннан тенгламалары өзіледи. Масалан:

$$\begin{aligned}v_B \cos \xi_B + v_{CB} \cos \xi_{CB} &= v_C \cos \xi_C; \\ v_D \cos \xi_D + v_{CD} \cos \xi_{CD} &= v_C \cos \xi_C; \\ v_B \sin \xi_B + v_{CB} \sin \xi_{CB} &= v_C \sin \xi_C; \\ v_D \sin \xi_D + v_{CD} \sin \xi_{CD} &= v_C \sin \xi_C.\end{aligned}$$

$v_B = \omega_1 l_1$ ,  $v_D = \omega_4 l_4$  эксантигінің назарда тутган қолда тенгламалар системасы қоюындағы күринишінде өзіледи:

$$\begin{aligned}\omega_1 l_1 \cos \xi_B + v_{CB} \cos \xi_{CB} &= \omega_4 l_4 \cos \xi_D + v_{CD} \cos \xi_{CD} \\ \omega_1 l_1 \sin \xi_B + v_{BC} \sin \xi_{CB} &= \omega_4 l_4 \sin \xi_D + v_{CD} \sin \xi_{CD}.\end{aligned}$$

Бұйынша система чиынқлындырып. У каноник күринишінде өзіледи

$$a_{11} v_{CB} + a_{12} v_{CD} = b_1; \quad a_{21} v_{CB} + a_{22} v_{CD} = b_2$$

ҳамда Крамер формулаларында асосан  $v_{CB}$  ва  $v_{CD}$  илдизлар анықланады.

Нисбий тезліктер  $v_{CB}$  ва  $v_{CD}$  анықланған, бүгінлар 2 ва 3 нинг бурчак тезліктері  $\omega_1$  ва  $\omega_3$  ҳамда  $C$  нүктесіннен чиынқлы тезлігі топылады:

$$\omega_2 = v_{CB}/l_2; \quad \omega_3 = v_{CD}/l_3; \quad \varepsilon_C = \sqrt{\frac{v_{CB}^2}{l_2^2} + \frac{v_{CD}^2}{l_3^2}},$$

бунда  $v_{Cy}$  ва  $v_{Cx}$  —  $C$  нүкта тезлігіннен проекциялары бўлиб, улар ушбу муносабатлардан анықланади:

$$v_{Cx} = v_B \cos \xi_B + v_{CB} \cos \xi_{CB}; \quad v_{Cy} = v_B \sin \xi_B + v_{CB} \sin \xi_{CB}.$$

### 3.4. Дифференциаллаш ва интеграллашнинг график ҳамда рақамли усулларининг құлланилышы

Агар кинематик функциялардан бири график күрнишида еки қийиматлар жадвали күрнишида берилган еки аниқланған бўлса, у ҳолда ушбу функцияниң ҳосиласини еки интегралини аналитик тарзда топиб бўлмайди. Бу ҳолда дифференциаллаш ва интеграллашнинг рақамли ҳамда график усуллари самаралироқ бўлади.

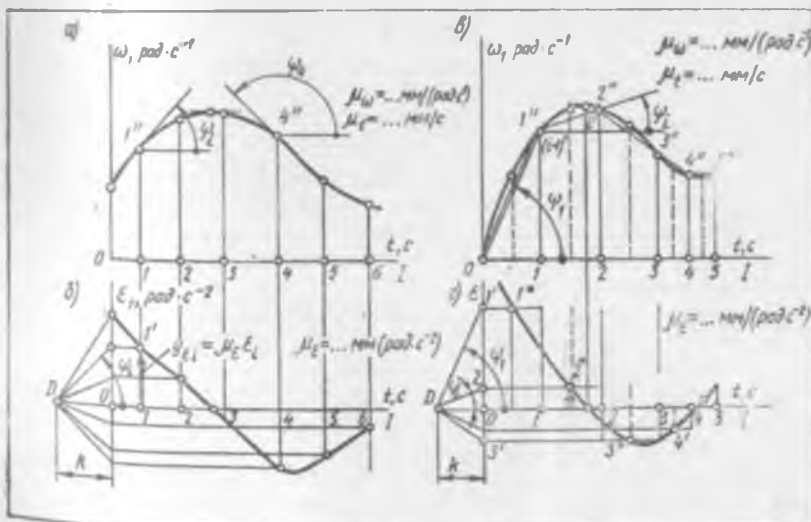
График ва рақамли дифференциаллаш. График дифференциаллаш берилган қийматларга кўра функцияниң графикини ясашдан бошланади. Тажриба тадқиқотларида бундай график ўзиёзар асаблар ёрдамида чизилади. Сўнгра берилган ҳолатлардаги эгри чизикка уринмалар ўтказилади ве уринмаларнинг абсисса ўқи билан ҳосил қилган бурчаги тангенсига кўра ҳосиланинг қийматлари ҳисоблаб топилади.

Масалан, берилган  $\omega(t)$  графикидан бурчак тезланиши  $\varepsilon$  график дифференциаллаш усули билан аниқланади.

3.30-расм, а да  $\omega(t)$  эгри чизиги ордината ўқи бўйича  $\mu_\omega$ ,  $\text{мм}/(\text{рад} \cdot \text{s}^{-1})$  масштабда, абсисса ўқи бўйича эса  $\mu_t$ ,  $\text{мм}/\text{s}$  масштабда тасвирланган. Излананаётган  $\varepsilon(t)$  функция қўйидаги муносабатга кўра аниқланниши мумкин:

$$\varepsilon = \frac{-d\omega}{dt} = \frac{d(y_\omega/\mu_\omega)}{d(x_t/\mu_t)} = \frac{\mu_t}{\mu_\omega} \frac{dy_\omega}{dx_t} = \frac{\mu_t}{\mu_\omega} \operatorname{tg} \psi. \quad (3.87)$$

Қандайдир  $t$ -инчи тартиб билан белгиланган нуқтасида эгри чизик  $\omega(t)$  га уринманинг оғиш бурчаги  $\psi$  тангенсенини кесмалар нисбати  $y_{\omega t}/K$



3.30-расм

тарзда күрсатиш мүмкін, бунда  $K$  — танланган дифференциаллаш кесмаси  $OD$ , мм (3.30-расм, б):

$$\operatorname{tg} \psi_i = y_{ei}/K.$$

Бу муносабатни (3.87) муносабатта көлтириб ушбу ҳосил қилинады:

$$e_i = \frac{\mu_t}{\mu_\omega} \operatorname{tg} \psi_i = \frac{\mu_t}{\mu_\omega} \frac{y_{ei}}{K} = y_{ei}/\mu_e, \quad (3.88)$$

бунда  $y_{ei}$  — изланаётган бурчак тезланиш графигининг ординатасы;

$$\mu_e = \mu_\omega \cdot K' \mu_t, \quad (3.89)$$

— изланаётган  $\psi_i$  (т) графигининг масштаби; СИ бирлікларыда:

$$|y_{ei}| = \text{мм}; |\mu_e| = \text{мм}/(\text{рад} \cdot \text{с}^{-2}).$$

$e = e(t)$  функциянынг графиги қатор ҳолатлар учун координаталарнинг аниқланган қийматларыга күра ясалады. Эгер чизик нүкталари құл білән равон чизик орқалы туташтирилады, сүнг лекало ёрдамыда устидан чизик юргизиб чиқылады.

Күриб чиқылған уринмалар усули ёрдамида график дифференциаллашын аниқлігі нисбатан пастдир.

Ватарлар усули билан график дифференциаллаш юқориго аниқлікни таъминлайды (3.30-расм, в, г).

Берилған эгер чизиқда  $1'$ ,  $2'$ ,  $3'$  нүкталар белгіланады ва улар ватарлар ёрдамида ұзаро туташтирилады, яғни берилған эгер чизик сипиқ чизик билан алмаштырилады. Бунда эгер чизик ҳар бір қысманинг уртасида жойлашған нүкталарда уринманинг оғиш бурчаги тегишили ватарнинг оғиш бурчаги  $\Psi$  га тенг булиши керак. Бу шарт муайян хатога олиб келади, лекин бу хато шу нүктанинг үзінгегина алоқадор бўлади, яғни хатолар кўп бўлмайди, бу ҳол мазкур усульнинг талаб этилган аниқлігини таъминлайди.

Қолган ясашлар юқорида баён этилган уринмалар усули билан график дифференциаллашдаги каби бажарылади.  $DO = k$  (мм) кесма танланады;  $1'$ ,  $2'$ ,  $3'$  ... нүкталарда координата үқи билан кесишувга қадар  $\Psi_1$ ,  $\Psi_2$ , ...,  $\Psi_i$ , ... қияликда нурлар үтказилады ва улар ҳар бир интервалнинг уртасынан үтказилған ординаталарга күчирилади. Ҳосил қилинган  $1^*$ ,  $2^*$ ,  $3^*$  нүкталар изланаётган  $e = e(t) = d\omega/dt$  функциянынг нүкталари бўлади.

Ушбу ясаш усулида координаталар үклари бўйнча масштаблар уринмалар усулида график дифференциаллаш учун көлтириб чиқарылган айнан (3.89) муносабат билан боғланғандир.

Сонлар массиви кўрининшида берилған (ёки ҳисобланған)  $f(x)$  функцияни дифференциаллаш рәкеми дифференциаллаш усулидан фойдаланған ҳолда ЭХМ ёрдамида амалга оширилади.

Сонлар массивида  $\Delta x$  қадам қанча кичик бўлса, ушбу оралиқдаги функция ҳосиласининг қийматини шунча аниқ ҳисоблаш мумкин:

$$f'(x) \approx [f(x + \Delta x) - f(x)]/\Delta x.$$

Қуйидаги ифодадан ҳам фойдаланиш мумкин:

$$f'(x)_{i+1} = \frac{1}{2} \left[ \frac{f(x)_{i+1} - f(x)_i}{\Delta x_i} + \frac{f(x)_{i+2} - f(x)_{i+1}}{\Delta x_{i+1}} \right].$$

Рақамли дифференциаллашда қандайдыр катталиктининг берилган қийматини бир неча параметрга болып көлгөн, маълум синфа мансуб функция билан солиштирувчи интерполяция формуаларидан фойдаланалади. Функцияниң синфи аргументтинг күрсатылған қийматлары (интерполяция түгүнларыда) функцияниң қийматлары катталиктарнинг күрсатылған қийматларига мөс булады, янын функция графиги берилған нүкталар орқали ұтадырылған қилиб танланған булади. Рақамли дифференциаллаш дастлабки қийматларнинг ноанықлигидан келиб чиқадыған хатоларга сезірілген. Бир хил  $\Delta x$  қадам билан үзгартылуар аргументтинг жадвал қийматларига күра  $y(x)$  функция учун аргумент ва ҳоснайларни ҳисоблашда қойыдаги мүнисабатлардан фойдаланилади:

$$x_i = x_0 + i \Delta x (i = 0; \pm 1; \pm 2; \dots),$$

$$y_i^* = y'(x_i) = \frac{1}{\Delta x} \left( \Delta y_i - \frac{1}{2} \Delta^2 y_i + \frac{1}{3} \Delta^3 y_i - \dots \right);$$

$$y_i^* = y''(x_i) = \frac{1}{(\Delta x)^2} \left( \Delta^2 y_i - \Delta^3 y_i + \frac{11}{12} \Delta^4 y_i - \frac{5}{6} \Delta^5 y_i + \dots \right).$$

ЭХМ да рақамли дифференциаллаш учун амалий программалар ишлаб чиқынша Стирлинг, Бессель, Ньютон ва бошқаларнинг интерполяция формуаларидан фойдаланилади.

График ва рақамли интеграллаш. Бу усул функцияни аналитик күрнинша интеграллаш мүмкін бўлмаганда ёки бундай интеграллаш жуда сермеҳнат бўлганда қўлланилади. Рақамли интеграллаш Ньютон — Котеснинг квадратура формуаларига кўра (трапециялар қоидаси, Симпсон қоидаси, Уэдл қоидаси, Грегори формуласи) ҳамда Гаусс ва Чебышев формуаларига кўра амалга оширилади.

Аргумент  $x_i = x_0 + i \Delta x$  ( $i = 0, 1, 2, \dots, n$ ) нинг  $n+1$  тенг оралық қийматлари учун  $y_i = y(x_i)$  функцияниң берилған қийматларидан Ньютон — Котес квадратура формуалари қуйидаги кўринишда бўлади:

$n$  та қадам учун трапециялар қоидаси

$$I = \int_{x_0}^{x_0+n\Delta x} y(x) dx \approx \Delta x \left( \frac{1}{2} y_0 + y_1 + y_2 + \dots + y_{n-1} + \frac{1}{2} y_n \right);$$

$n=1$  учун трапециялар қоидаси

$$I = \frac{\Delta x}{2} (y_0 + y_1);$$

$n=2$  учун Симпсон қоидаси

$$I = \frac{\Delta x}{3} (y_0 + 4y_1 + y_2); \quad (3.90)$$

$n=6$  учун Уэдл қоидаси

$$I = \frac{3}{10} \Delta x (y_0 + 5y_1 + y_2 + 6y_3 + y_4 + 5y_5 + y_6).$$

ЭЧМ да ҳисоблашда муайян машина каталогида мавжуд бўлган программадан фойдаланилади (масалан, QTFG ёки QSF).

Интегрални график усулда аниқлашда интеграл ости функцияси график тарзида берилади. Мисол учун, чиқиш бўғинининг бурилиш бурчаги  $\varphi(t) = \int_{t_0}^{t_1} \omega dt$  ни берилган эгри чизик  $\omega(t)$  га кўра аниқлашни куриб чиқамиз.

Бурчак тезлик  $\omega(t)$  графиги масштаблар (бурчак тезлик масштаби  $\mu_\omega$  ва вақт масштаби  $\mu_t$ ) нинг сон қийматларини ҳисобга олган хўлда декарт координаталарида тасвирланади.  $t_0$  дан  $t_1$  гача бўлган вақт оралиғи шунчча миқдордаги  $\Delta t_i$  оралиқларга тақсимланадики, бунда ҳар бир кичик  $\Delta t_i$  вақт оралиғида ҳаракатни ўзгармас деб қарашга имкон туғилсин.

3.31-расм, а да 0, 1, 2, 3, 4 лар билан белгиланган вақт оралиқлари ўзаро тенг бўлиши шарт эмас.

Ҳар бир вақт оралиғида, масалан,  $t_{i-1}$  дан  $t_i$  гача, тақрибан шундай деб ҳисоблаш:

$$y_{\omega i \text{ յр}} \approx (y_{\omega i-1} + y_{\omega i})/2,$$

яъни эгри чизикли трапециянинг юзи баландлиги  $y_{\omega i \text{ յр}}$  ва асоси  $\Delta x_{ii}$  га тенг бўлган тўғри тўртбурчакнинг юзига тенг деб қабул қилиш мумкин.

Ҳар бир  $y_{\omega 1 \text{ յр}}, y_{\omega 2 \text{ յр}}, \dots, y_{\omega i \text{ յр}}$  оралиқлар учун ўртача ординаталарнинг учлари ординаталар ўқига проекцияланади ва аниқланган  $1', 2', 3', \dots, i'$  нуқталар  $D$  нуқта билан туташтирилади.  $D$  нуқта  $K$  узунликдаги (мм) танлаб олинган интеграллаш кесмаси  $OD$  ни чап томондан чеклаб туради (3.31-расм, а).

$D$  нуқтадан ўтказилган  $D1', D2', D3', \dots$ , нурлар  $x$  ўқининг мусбат йўналиши билан  $\psi_1, \psi_2, \dots, \psi_i$  бурчакларни ташкил қилади, бунда

$$\operatorname{tg} \psi_i = y_{\omega i \text{ յр}} / K.$$

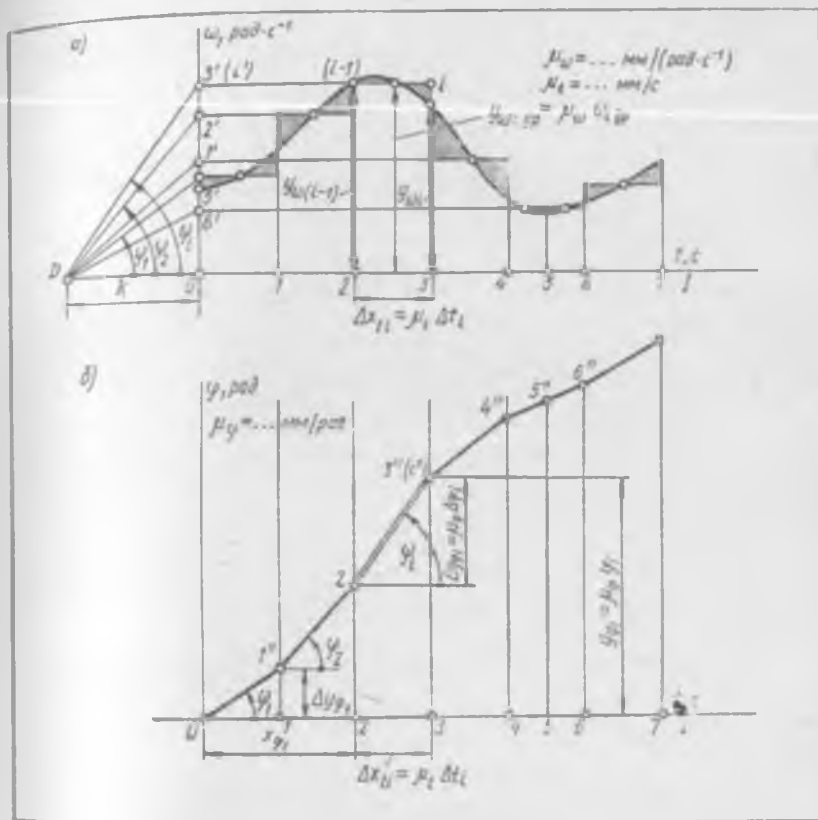
Изланамётган ( $\varphi, t$ ) графикда (3.31-расм, б) мос равишдаги оралиқларда  $D1', D2', D3', \dots$ , нурларга параллел бўлган  $01', 1'2', 2'3', \dots$ , чизиклар ўтказилади. Биринчи  $01'$  кесма координаталар боши 0 нуқтадан, кейинги кесмалар мос равишда  $1'$  нуқтадан, сўнгра  $2'$  нуқтадан ўтказилади ва ҳоказо. Бу чизиклар  $x$  ўқининг мусбат йўналишига ишбатан мос равишда  $\psi_1, \psi_2, \dots, \psi_i$  бурчакларга қия жойлаштирилади, яъни

$$\operatorname{tg} \psi_i = \Delta y_{\psi i} / \Delta x_{ii}.$$

Графикдаги кесмалар тегишли физик параметрлар билан масштаблар ёрдамида ушбу муносабатлар орқали боғланган:

$$y_{\omega i \text{ յр}} = \mu_\omega \psi_i \text{ յр}; \Delta y_{\psi i} = \mu_\varphi \Delta \psi_i; \Delta x_{ii} = \mu_t \Delta t_i.$$

Юқорида ёзицган муносабатларнинг ўнг томонларини  $\psi_i$  бурчак тангенси учун тенглаштириб ушбуни ҳосил қилинади:



3.31 · расм

$$\frac{\Delta y_{\Phi i}}{\Delta x_{ii}} = \frac{y_{\omega i} \delta p}{K}, \text{ еки } \Delta y_{\Phi i} = \frac{y_{\omega i} \delta p \Delta x_{ii}}{K}.$$

Чизмага күра (3.31-расм, б) қуйидагида бўлиши керак:

$$y_{\Phi i} = y_{\Phi (i-1)} + \Delta y_{\Phi i} = \sum_{l=1}^i \Delta y_{\Phi l} = \sum_{l=1}^i \frac{y_{\omega l} \delta p \Delta x_{il}}{K} = \\ = \sum_{l=1}^i \frac{\mu_m \omega_{lp} \mu_l \Delta t_l}{K} = \frac{\mu_m \mu_i}{K} \lim_{\Delta t \rightarrow 0} \sum_{l=t_0}^{t_1} \omega_l \delta p \Delta t_l = \\ = \frac{\mu_m \mu_i}{K} \int_{t_0}^{t_1} \omega dt = \mu_y \varphi_i$$

Бунда  $\varphi_i = \int_{t_0}^{t_1} \omega dt$ .

## Изланаётган график масштаби

$$\mu_{\phi} = \mu_{\omega} \mu_t / K, [\mu_{\phi}] = \text{мм/рад}. \quad (3.91)$$

Бинобарин,  $01^{\circ}, 2^{\circ}, 3^{\circ}, \dots, t^{\circ}$  спиңүү чизик  $\Phi(t) = \int \omega dt$  функциянинг тақрибий графикини беради, тутун нүкталари  $1 = 1^{\circ}, 2 = 2^{\circ}, 3 = 3^{\circ}, \dots$  даги ординаталар эса мөс равища ушбу функция қийматларидир. Аниқланған нүкталар орқали равон эгри чизик үтказилиб ҳамма оралык нүкталар учун у ёки бу даражада аниқ натижалар олинади.

Тутун нүкталары сонини ва чизма масштаби қийматини ошириш график интеграллаш усулиниң аниқлігінің оширишінде имкон беради:  $K$  кесманиң узунлігі иктиерій танланади, бироқ уннинг узунлігі изланаётган функция ординаталари ўлчамларига таъсир қиласы, яғни уннинг узунлігін біз ҳосил қилишини хоҳлаётган бирламчи функция масштабини ҳисобга олган ҳолда танланади: уннинг узунлігінің қанча катта бұлса, бу масштаб қиймати шунчай кичик бўлади.

Механизмларнің тадқиқ этиш ва лойиҳалашда кириш бўғини тезлигининг ўзгарыш қонуны умумлашган координаталар  $\Phi_1$  ва  $S$  нинг  $\omega(\Phi_1)$  ёки  $v(S)$  функциялары орқали берилши мүмкін. Бу ҳолда интегралларни ҳисоблаш лозим бўлади:

$$\Phi(t) = \int_{t_0}^{t_1} dt = \int_{\Phi_0}^{\Phi_1} \frac{d\Phi}{\omega} \text{ ёки } S(t) = \int_{t_0}^{t_1} dt = \int_{S_0}^S \frac{dS}{v}. \quad (3.92)$$

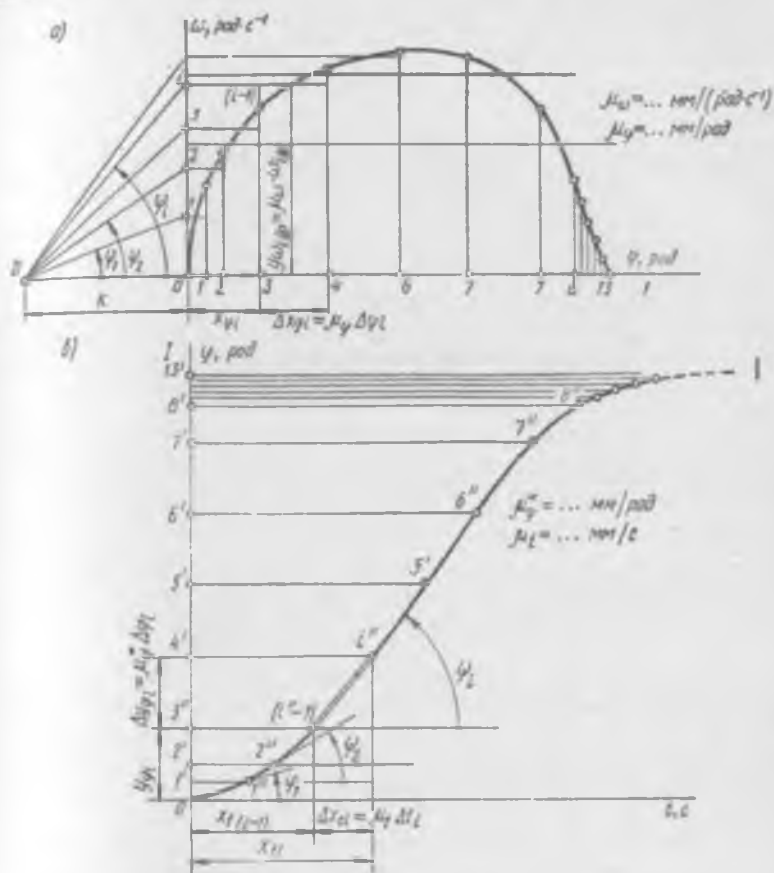
Агар  $\omega(\Phi)$  ва  $v(S)$  функциялар графиклар күринишида берилған бўлса (3.32-расм, а), у ҳолда изланаётган  $\Phi(t)$  ва  $S(t)$  функциялар график интеграллаш усули билан аниқланади. Буннинг учун юқорида айтілғанларга ўшашиб, аммо ундан баъзи томонлари билан фарқ қалувчи ясалшар бажарилади. Масалан, изланаётган графикнинг (3.32-расм, б) ординаталар ўқи  $\omega(\Phi)$  графикдаги (3.32-расм, а) абсциссалар ўқи ( $\Phi_1$  ўқлар) интервалларига төнг бўлган интервалларга бўлиб чиқилади. Бу ҳолда  $\Phi$  ўқлар бўйича масштаблар бир хилда олинади, яғни  $\mu_{\phi} = \mu_v$ . Изланаётган эгри чизикдаги  $1^{\circ}, 2^{\circ}, 3^{\circ}, 4^{\circ}$  нүкталар абсциссалар ўқига параллел бўлган чизиқларнинг тегиши  $D_1, D_2, D_3, \dots$ , нурларга параллел равища, яғни  $x$  ўқига нисбатан  $\psi_1, \psi_2, \psi_3, \dots$ , қиынликда үтказилган нурлар билан кесишувидан ҳосил бўлади.  $DO = K$  кесма миллиметрда ўлчанадиган интеграллаш кесмасидир.

Интеграллашнинг ушбу усулини график ясалшардан келиб чиқадиган қуйидаги муносабатлар билан асослаш мүмкін.

$$\operatorname{tg} \psi_i = \frac{y_{\omega i} \dot{\varphi}_p}{K} = \frac{\mu_{\omega} \omega_i \dot{\varphi}_p}{K} \quad (3.32\text{-расм, а га қаранг});$$

$$\operatorname{tg} \psi_i = \frac{\Delta y_{\omega i}}{\Delta x_n} = \frac{\mu_{\omega} \Delta \Phi_i}{\mu_t \Delta t_i}; \quad x_n = \sum_{i=1}^t \Delta x_i \quad (3.32\text{-расм, б га қаранг}).$$

Зарур бўлган ўрнига қўйишлар ва ўзgartиришлар амалга оширилади:



3.32- pcam

$$\begin{aligned}
 x_R &= \sum_{i=1}^i \Delta x_R = \sum_{i=1}^i \frac{\Delta y_{Ri}}{t g \Psi_i} = \sum_{i=1}^i \frac{\Delta y_{Ri} K}{y_{Ri} t_R} = \\
 &= \sum_{i=1}^i \frac{K y_{Ri}^* \Delta \Psi_i}{\mu_0 w_{Ri} t_R} = \frac{K p_{Ri}^*}{\mu_0} \lim_{\Delta \Psi_i \rightarrow 0} \sum_{i=1}^i \frac{\Delta \Psi_i}{w_{Ri} t_R} = \\
 &= \frac{K p_{Ri}^*}{\mu_0} \int_0^1 \frac{d \Psi}{w} = \mu_R t_R,
 \end{aligned} \tag{3.93}$$

бунда:  $\mu_t = K \mu_\varphi / \mu_\omega$  — ҳаракатланиш вақты масштаби;  $t = \int d\varphi / \omega$  — ҳаракатланиш вақти; СИ бирликлари:  $[\mu_t] = \text{мм}/\text{с}$ ;  $[K] = \text{мм}$ ;  $[\mu_\varphi] = \text{мм}/\text{м} \cdot \text{с}^{-1}$ ;  $[\mu_\omega] = \text{мм}/\text{рад}$ .

Хосил қилингап  $1'', 2'', \dots i''$  нүқталар равон әгри чизик оркали туташтирилиб изланыпташып,  $\varphi = \varphi(t)$  график, яғни кириш бүгіннининг изланыпташып ҳаракат қонуны хосил қилинади.

Ушбу исбот кичик бұлған  $\Delta\varphi$  интервалда ( $1/\omega$ ,  $\varphi$ ) әгри чизиккиң чизиқты функция билан алмаштириши, әгри чизиқты трапеция юзини еса баландлығы ушбу интервал өчіндеңдегі ординаталар йиғиндинесининг ярміга тенг бұлған түртбұрчак юзи билан алмаштириш мүмкінligига асасланади.

ω нинг қийматлары кичик бұлғанда ушбу соңада түгүн нүқталары сопини, 3.32-расм, а да 0—3 ва 8—13 интерваллар учун қилинганиң дәек, күпроқ олиш мақсада мувоғиқтады; расмда 0—3 ва 8—13 интерваллар майдароқ интервалларға бүлинген, масалан, 0—1; 1—2; 2—3 интерваллар шулар жумласидан.

Берилган  $\omega(\varphi)$  функцияяга күра кириш бүгіннининг бурчак тезләнниши  $\varepsilon$  ни өңіуд берилган  $v(S)$  функцияяга күра кириш бүгіннининг чизиқты тезләнниши  $a^t$  ни анықлашада қойылады мұносабатлардан фойдаланылады.

$$\begin{aligned}\varepsilon &= \frac{d\omega}{dt} = \frac{d\omega}{d\varphi} \frac{d\varphi}{dt} = \omega \frac{d\omega}{d\varphi}, \\ a^t &= \frac{dv}{dt} = \frac{dv}{dS} \frac{dS}{dt} = v \frac{dv}{dS}.\end{aligned}\quad (3.94)$$

Агар  $\omega(\varphi)$  әки  $v(S)$  функциялар график тарзыда берилса, у ҳолда ушбу мұносабатларни ҳисоблаш әгри чизиқтың мос нүктасына үтказылған нормаль ости чизиги узунлығыннан сон қийматини анықлашдан ибарат бўлади.

3.33-расм, а да  $\omega = \omega(\varphi)$  функция берилған ҳол учун зарур ясашлар келтирилған.

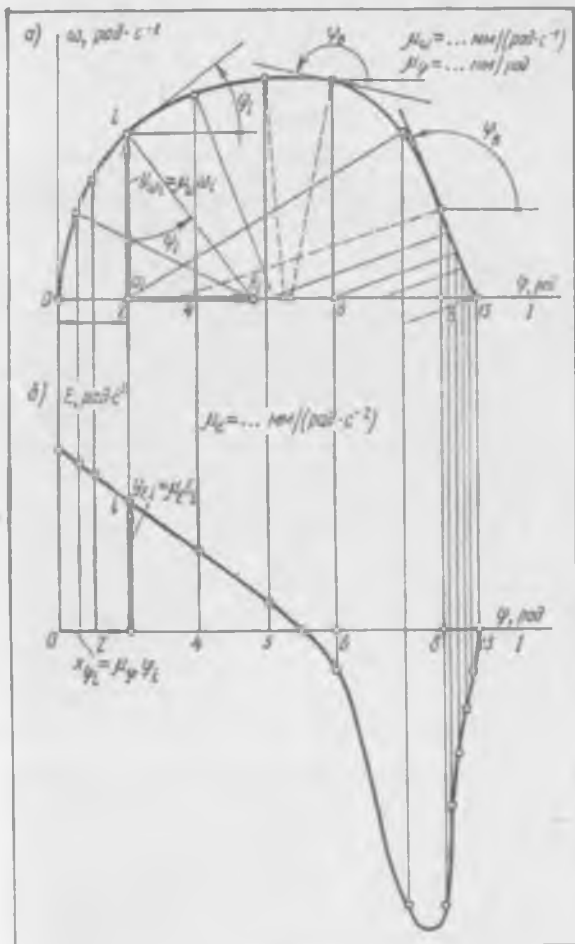
$\omega(\varphi)$  графикдаги иктиёрий танланған  $i$ -нүқта учун  $x_{\psi_i}$  ва  $y_{\omega_i}$  кесмалар билан тегишли кинематик параметрлер орасыдаги бөгланиш масштаблар ёрдамида ифодаланади:

$$x_{\psi_i} = \mu_\varphi \Psi_i, \quad y_{\omega_i} = \mu_\omega \omega_i.$$

Бурчак тезләнниш қойылады мұносабаг күрнешинида ифодаланади:

$$\begin{aligned}\varepsilon_i &= \frac{d\omega_i}{d\varphi_i} \frac{d\varphi_i}{dt} = \omega_i \frac{d\omega_i}{d\varphi_i} = \frac{y_{\omega_i}}{\mu_\omega} \frac{d(\mu_\omega / \mu_\varphi)}{d(x_{\psi_i} / \mu_\varphi)} = \\ &= \frac{\mu_\varphi}{\mu_\omega^2} y_{\omega_i} \frac{d\mu_\omega}{dx_{\psi_i}} = \frac{\mu_\varphi}{\mu_\omega^2} y_{\omega_i} \operatorname{tg} \Psi_i = \frac{\mu_\varphi}{\mu_\omega^2} (a_i b_i) = \frac{(a_i b_i)}{\mu_e},\end{aligned}\quad (3.95)$$

бунда:  $\psi_i$  —  $i$ -нүқтада  $\omega(\varphi)$  әгри чизиққа үтказилған уримманың қиялик бурчагы (3.33-расм, a);  $(a_i b_i) = y_{\omega_i} \operatorname{tg} \psi_i$  — графикининг  $i$ -нүқтасына үтказилған нормаль ости кесмасыннан узунлығы;  $\mu_e = \mu_\omega^2 / \mu_\varphi$  — бурчак тезләнниш  $\varepsilon$  нинг масштаби; СИ бирлиги:  $[\mu_e] = \text{мм}/\text{рад} \cdot \text{с}^{-2}$ .



3-33- расм

Юқоридагы үшаш ясашлар қатор 1, 2, 3, 4, ..., ҳолатлар учун амалға оширилади, нормаль осталари ва уларга мос келувчи бурчак тезлікшелер е аниқланади. Ҳисоблаш натижалары  $\varepsilon = \varepsilon(\phi)$  график күрінінде тасвирланади (3.33- расм, δ).

### 3.5- §. Олий жуфтлики текис механизмларнинг кинематик хусусиятлари

Олий жуфтлики механизмларнинг узатыш кинематик функцияларини масалаланиң қай тартибда құйылышыға қараб бир неча хил усул билан аниқлаш мүмкін.

**Центроидалар усули.** Олай жуфтликли оддий механизмнин ҳосил қилиш үчүн бүгінни бошланғыч бүгінләрдан бирига ва стойкага (3.34-расм, а) еки иккита бошланғыч бүгінгә (3.34-расм, б) бириктириш кифоя. Бириңи ҳолда әркінлік даражаси биттә бұлған уч бүгінли механизм ҳосил қилинади ( $n = 2$ ;  $p_k = 2$ ;  $p_o = 1$ ):

$$W_T = 3n - 2p_k - p_o = 3 \cdot 2 - 2 \cdot 2 - 1 = 1.$$

Иккінчи ҳолда ҳосил бұлған планетар механизмнинг әркінлік даражаси иккита бўлади ( $n = 3$ ;  $p_k = 3$ ;  $p_o = 1$ ):

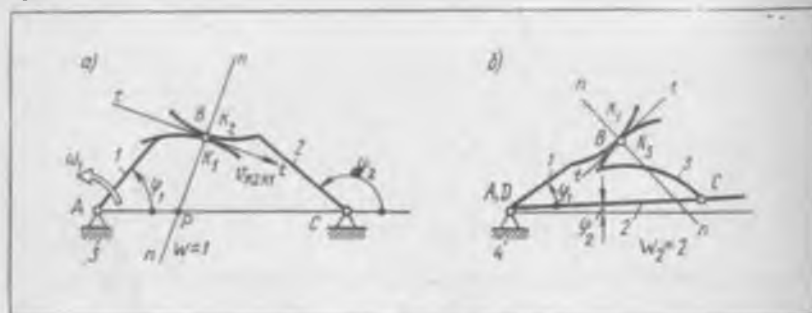
$$W_m = 3n - 2p_k - p_o = 3 \cdot 3 - 2 \cdot 3 - 1 = 2.$$

Құзғалмас центроида деб, ҳаракатланувчи текис шакл оний айланиш марказларыннинг құзғалмас текисликдаги геометрик үрнігі айтилади. Ҳаракатланувчи центроида деб, ҳаракатланувчи текис шакл билан боғлиқ бұлған текисликдаги оний тезліклар марказининг геометрик үрнігі айтилади. Текис шакл үз текислигіда ҳаракатланғанида ҳаракатланувчи центроида құзғалмас центроидага нисбатан сирпантимасдан думалайды, бошқача айтганда, ҳаракатланувчи ва құзғалмас центроидалар мос ёйларыннинг узунліги үзаро тенг бўлади. Центроидалар тұғрисидеги тескари теоремада, текис шаклнинг үз текислигидеги ҳар қандай ҳаракатини ҳаракатланувчи центроиданы құзғалмас центроидага нисбатан сирпантимаган ҳолда ҳар бир айни вақтдаги мос бурчак тезлік билан думалатиб амалга ошириш мүмкін, дейилади.

Оний тезліклар маркази  $P$  деб, текио шаклдаги шундай нүктеге айтилады, унинг айни вақтдаги тезлігі нолга тенг бўлади. У шаклнинг исталған иккита нүктасыдан ана шу нүкталарнинг тезлік векторларында үтказилған перпендикуляр чизіктернинг кесишүв нүктасыдан аниқланади.

Ҳар бир вақтда оний тезліклар марказы билан құзғалмас текисликдаги оный айланыш маркази деб аталувчи нүкта устма-уст тушады; бу нүкта атрофида айланиш натижасыда текис шакл айни ҳолатдан унга чексиз яқин бўлған бошқа ҳолатга үтади.

Центроидалар усули үқлари параллел жойлашған бүгінлар орасында айланма ҳаракат узатища күпроқ құлланылади. Бүгінлар I ва 2 бурчак тезлікларыннинг нисбати умумлашған  $\Phi_1$  координатанынг функциясы бўлади:



3.34-расм

$$u_{12} = \frac{\omega_1}{\omega_2} = \frac{d\varphi_1/dt}{d\varphi_2/dt} = u_{12}(\varphi_1).$$

З 34-расм, а да уриниш нүктасида ( $K_1$  ва  $K_2$  — мөс равишида бүғинлар 1 ва 2 нинг нүқталари) ўзаро олий кинематик жуфтлик  $B$  ҳосил қылувчи ҳамда  $A$  ва  $C$  ўқлар атрофида айланувчи бүғинлар 1 ва 2 күрсатилган. Оний айланыш марказининг ҳамда оний тезліктер марказининг геометрик үринлари бўлган центролдаларни аниқлашимиз.

Бўғин 1 га нисбатан бўғин 2 мураккаб ҳаракат қиласи (3.34-расм, б). Бироқ, ҳаракатни тескари томонга айлантириш усулидан фойдаланган ҳолда  $C$  ва  $K_2$  нүқталарнинг қўзғалмас бўғин 1 га нисбатан нисбий тезліктери йўналашини кўрсатиб бериш мумкин;  $C$  нүқтанинг  $A$  ўққа нисбатан  $v_{CA}$  тезлиги  $AC$  ўқлар орасидаги масофага перпендикуляр,  $K_2$  нүқта эса айни вақтда уринувчи сиртларга ўтказилган умумий уринма  $t - t$  бўйлаб йўналган сирпаниш тезлиги  $v_{K_2-K_1}$  га эга. Бўғин 2 нинг нисбий ҳаракатидаги (бўғин 1 қўзғалмас бўлгандаги) оний тезліктер маркази  $P$  ушбу нүқталарнинг тезлік векторларига ўтказилган перпендикуляр чизиқларнинг кесишув нүқтаси булади. Бошқача айтганда, бўғин 2 нинг оний тезліктер маркази  $P$  ва у билан устма-уст тушувчи нисбий ҳаракатидаги оний айланыш маркази ўқлар орасидаги  $AC$  масофасиңг умумий уриниш нүқтаси  $K$  ( $K_1$  ва  $K_2$ ) га ўтказилган умумий нормаль  $n - n$  билан кесишувидан ҳосил бўладиган нүқтада ётади.

Оний тезліктер маркази  $P$  ни билдирувчи ушбу нүқтада бўғинларнинг нисбий ҳаракат тезлиги нолга teng, яъни  $v_{12} = v_{p_1} - v_{p_2} = 0$ , бунда  $v_{p_1}$  ва  $v_{p_2}$  —  $P_1$  ва  $P_2$  нүқталарнинг мөс равишида  $A$  ва  $C$  ўқлар атрофида айланнишидаги тезлік векторлари. Мөс равишида қуйидаги тенглигни ҳам ёзиш мумкин:  $|\omega_1 P \bar{A}| = |\omega_2 P \bar{C}|$ , бундан

$$u_{12} = |\omega_1| / |\omega_2| = PC/PA. \quad (3.96)$$

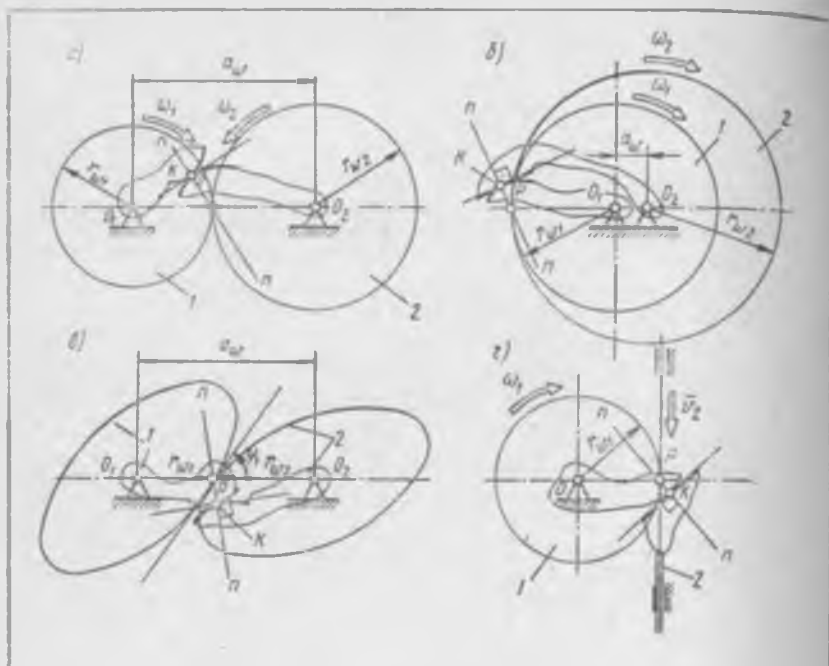
Келиб чиқади.

Оний тезліктер маркази —  $P$  нүқта илашиш қутби деб аталади. Айни ҳолда «илашиш» атасаси «олий жуфтлик» атасининг синоними булади. Тишли илашиш деб, олий жуфтликли бўғинлар сиртлари орқали ҳаракат узатилиш жараёнига айтилади. Тишларнинг кетма-кет ўзаро таъсирилашуви натижасида уларнинг талаб этилувчи нисбий ҳаракат қонуни таъминланади.

Баъзи ҳолларда айланыш ўқлари 1 ва 2 индексли  $O$  ҳарфи билан белгиланади (3.35-расм). (3.96) муносабатни ана шундан белгилашлардан фойдаланган ҳолда қуйидагича ёзиш мумкин:

$$u_{12} = |\omega_1| / |\omega_2| = \pm PO_2 / PO_1. \quad (3.96a)$$

Бинобарин, бўғинлар 1 ва 2 нинг нисбий ҳаракатидаги илашиш қутби  $P$  ўқлар орасидаги  $AC$  (3.34-расм, а ёки  $O_1 O_2$ , чизиқда (3.35-расм, а) жоёлашади ҳамда ўқлар орасидаги масофаси  $AP$  ( $PO_1$ ) ва  $PC$  ( $PO_2$ ) кесмаларга ажратади. Бу кесмаларнинг нисбати бўғинлар (шу жумладан, тишли ғилдираклар) нинг оний бурчак тезліктери нисбатига тескари мутаносибидир. Агар илашиш қутби  $P$  ўқлар  $O_1$  ва  $O_2$  орасида



3.35- расм

жойлашса, бүгінлар түрли томонға айланади, яғни  $U_{12}$  манфий ишоралы бұлады, бундай илашма ташқи илашма деб аталади (3.35-расм, а). Агар илашиш күтби  $P$  кесма  $O_1O_2$ , дан ташқарнда жойлашса, у ҳолда бүгінлар бир хил йұналишда айланади ҳамда узатиш нисбати  $U_{12}$  мусбат ишоралы бұлады; бундай илашма ички илашма даб аталади (3.35-расм, б).

Нисбий қарқатдаги сиртларнинг сирпаниш тезлігі құйидаги муносабатдан аниқланади:

$$v_{\text{сп}} = \omega_{11} l_{KP} = l_{KP} (\omega_1 + \omega_2).$$

Үклар орасындағы  $AC$  ( $O_1O_2$ ) масофаны  $a_w$  орқали,  $A$  ( $O_1$ ) ва  $C$  ( $O_2$ ) үқлардан илашиш қутби  $P$  гача бұлған масофаны  $r_{w1}$  ва  $r_{w2}$  орқали белгилаймиз. Үнда

$$U_{12} = \frac{w_1}{w_2} = \pm \frac{PO_2}{PO_1} = \pm \frac{r_{w2}}{r_{w1}} = \frac{a_w \pm r_{w1}}{r_{w1}}, \quad (3.97)$$

екі центроидалар радиуслари  $a_w$  ва  $r_{w1}$  құйидаги муносабатдан аниқланади:

$$r_{w1} = \frac{a_w}{u_{12} + 1}; \quad r_{w2} = a_w \frac{u_{12}}{u_{12} + 1}. \quad (3.98)$$

Агар узатиш нисбати  $u_{12}$  ўзгармас бўлса, центроидалар радиуслари  $r_{w1}$  ва  $r_{w2}$  ҳам ўзгармас бўлади. Бинобарин, айланма ҳаракат ўқлари параллел жойлашган, ўқлари орасидаги масофа ўзгармас ( $a_w = const$ ) ва узатиш нисбати ўзгармас ( $u_{12} = const$ ) бўлган бўғинилар орасида узати-ладиган бўлса, у ҳолда центроидалар айланга ҳисобланади. Илашмалар назариясида бундай айланалар бошланғич айланалар дейилади.

3.35-расмда ўзгармас узатиш нисбатига эга бўлган ташки (3.35-расм, а), иккни (3.35-расм, б) ва рейкали (3.35-расм, г) илашмалар учун бош-лангич айланаларнинг жойлашуви курсатилган.

Агар узатиш нисбати  $u_{12}$  ўзгарувчан бўлса (3.35-расм, б), у ҳолда радиуслар ҳам ўзгарувчан бўлади ва улар қуидаги муносабатлардан аниқланади.

Гилдирак 1 учун:

$$r_{w1} = \frac{a_w}{u_{12} + 1} = \frac{a_w}{u_{12}(\varphi_1) + 1},$$

Гилдирак 2 учун:

$$r_{w2} = a_w \frac{u_1^2}{u_{12} + 1} a_w \frac{u_{12}(\varphi_1)}{u_{12}(\varphi_1 \pm 1)}; \quad \varphi_2 = \int_0^{\varphi_1} \frac{d\varphi_1}{u_{12}(\varphi_1)},$$

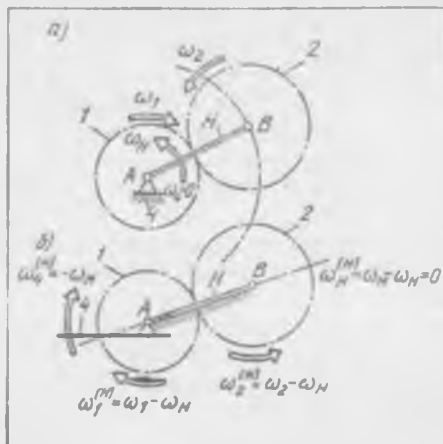
Центроидаларнинг ўзаро уриниш нуқталарига ўтказилган умумий уринима чизиқнинг  $r_{w1}$  радиус-векторга нисбатан қиялиқ бурчаги  $\psi_1$  уриниманинг қутбий координаталарла берилган эгри чизиққа нисбатан қиялиқ бурчаги сифатида аниқланади:

$$\operatorname{tg} \psi_1 = - \frac{u_{12}(\varphi_1) \pm 1}{du_{12} / d\varphi_1}, \quad (3.99)$$

Агар механизмининг баъзи бўғинлари иккита айланма ҳаракат йигин-дисидан иборат бўлган мураккаб ҳаракат содир этсалар, у ҳолда узатиш нисбатларини аниқлаш учун ҳаракатни тескарига айлантириш усулидан фойдаланиш мумкин.

3.36-расм, а да  $H$  водилоси бўлган планетар дифференциал механизм тишли Гилдираклари 1 ва 2 нинг центроидалари тасвирланган. Гилдирак 2 иккита айланмана ҳаракатда иштироқ этади: водило  $H$  билан бирга ши бурчак тезликда кўчма ҳаракат қиласди ва ўз ўқи атрофида  $\omega_{2H}$  нисбий бурчак тезликда нисбий айланма ҳаракат қиласди.

Механизмнинг ҳамма бўғинларига қиймати водило  $H$  нинг



3.36-расм

Бурчак тезлигига тенг бүлган, йұналиши эса унинг бурчак тезлиги дұналишига қағама-қарши бүлган айланма ҳаракат берамиз, яғни механик змни ( $-\omega_B$ ) бурчак тезлик билан айлантирамыз (3.36-расм, б). Бу ҳолда водилон шартлы равишда құзгалмас водило дең, гиддирек 1 никүрге, мас А үк атрофида ( $\omega_1 - \omega_H$ ) бурчак тезлик билан, гиддирек 2 никүрге құзгалмас В үк атрофида ( $\omega_2 - \omega_H$ ) бурчак тезлик билан айланади, еб қарашиб мүмкін.

Бурчак тезликлар билан центроидалар орасидаги (3.97) муносабаттарни ҳисобга олган ҳолда планетар тишли **Фиддираклар 1** ва **2** центроидаларининг бурчак тезликлари ва радиуслари орасидаги **бөгланишни аникловчи** куйидаги муносабат топилади:

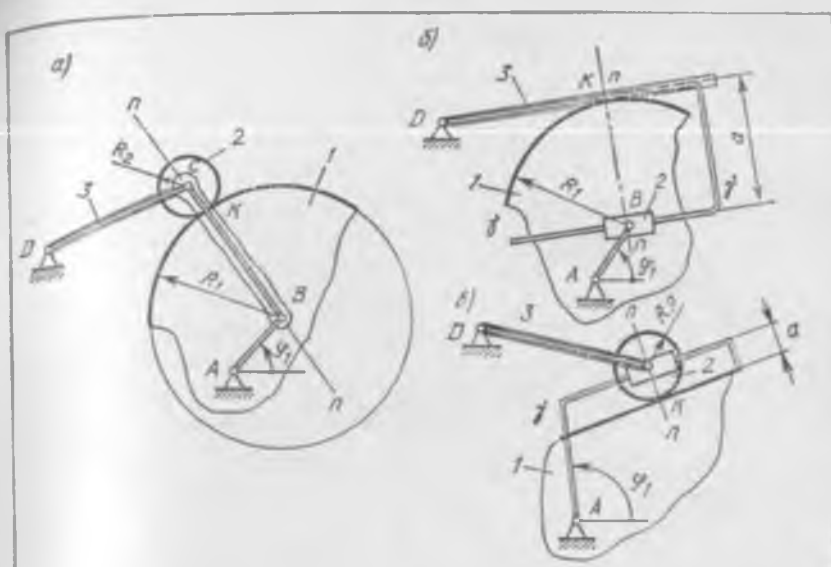
$$\frac{\omega_1 - \omega_R}{\omega_1 - \omega_M} = \pm \frac{r_{M1}}{r_{M1}}. \quad (3.100)$$

Манғый ишора ташқи илашмага, мусбат ишора эса ички илашмага тегишилдири. Ушбу муносабат *Виллис* формиласи дейилади.

Пишанглы механизмлар билан алмаштириш усулы. Текис механизмларда олни кинематик жуфтлик иккита эрги чизиқнинг ўзаро уриннишидан ҳосил булади. Бу эрги чизиқлар бүғинларнинг шу жуфтлигини ташкил этувчи ўзаро уринувчи элементларини тасвиirlайди (3.34-расм, а). Ҳусусий ҳолда жуфтлик элементларидан Сиринукла бўлиши мумкин.

Уриниш нуқтаси  $K$  да ўзаро уринувчи эгри чизиқларининг ҳар бирни учун эгриланиш радиуси ва эгриланиш марказини топиш мумкин. Иккала эгриланиш марказлари ва уриниш нуқтаси уринувчи чизиқларга нормал қилиб ўтказилган умумий  $p - p$  туғри чизиқда ётади, Текисликда сиртнинг исталган нуқтаси эгриланиш доираси билан, яъни ана шу нуқта ва эгри чизиқдаги ана шу нуқтага яқин бўлган яна иккита нуқталан ўтувчи айланга билан алмаштирилиши мумкин. Айлананинг эгрилениги эгри чизиқнинг ўзига иккичи тартибли ҳосилаларга қадар эквивалентdir. Эгриланиши ўзгарувчи бўлган икки эгри чизиқнинг уриниш нуқталари алмашиниши билан эгриланиш марказлари ва эгриланиш радиуслари ўзгаради. Агар эгри чизиқларининг эгрилениги ўзгармаса, у ҳолда эгриланиш марказлари ва эгриланиш радиусларининг тегишли бўғинларга шисбатан вазияти ўзгармай қолади. Бу ҳол олий кинематик жуфтликли механизмларни кубин кинематик жуфтликли эквивалент механизмлар билан алмаштиришга имкон беради. Бундай механизмлар альмашгирувчи пишангли механизмлар дейилади. Улар кинематика маъносида олий жуфтликли механизмлар билан иккичи тартибли ҳосилаларга қадар эквивалентdir.

Алмаштирувчи механизмни ҳосил қилиш учун исталган олий кинематик жүфтлік (3.37-расм, а) узунлығы кинематик жүфтлік элементларининг эгриланиш радиуслари йиғиндисига тең болған битта бүғин билан ( $R_{1C} = R_1 + R_2$ ) ва иккита қуи кинематик жүфтлік билан алмаштирилади. Олий жүфтлік алмаштирилганда ағланма кинематик жүфтліклар В ва С урнанынды сиртларнинг эгриланиш марказларыда жойлаштырылади (3.37-расм, а). Агар элементлардан бирининг эгриланиш радиуси чексизликка тең болса [бүғин 3 даги (3.37-расм, б) ва бүғин 1 даги (3.37-расм, в) түрги чизиқ], у ҳолда үү йұналтирувчиси сирт чизигінде



3.37-расм

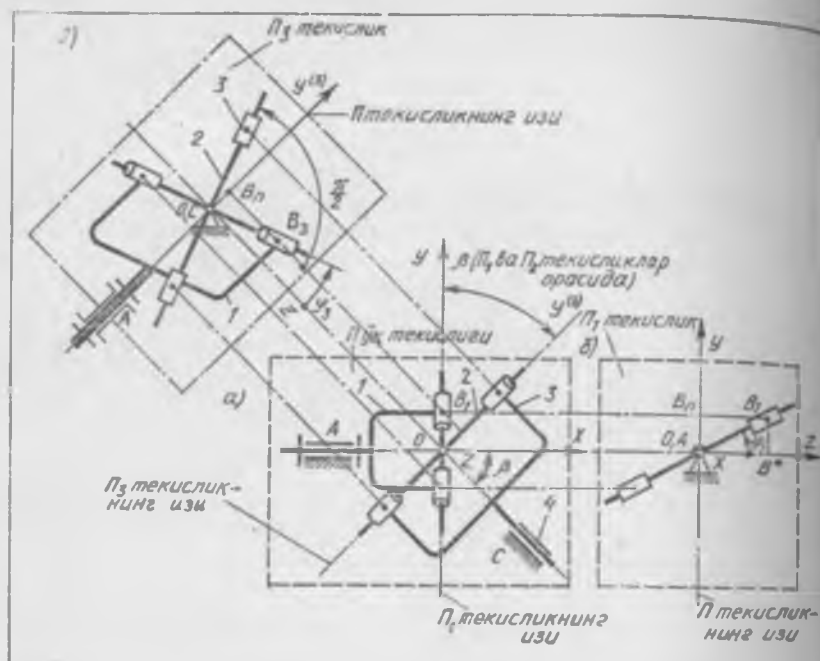
параллел бўлган ва бошқа сиртнинг эгриланиш маркази  $B$  дан  $a$  масофага (3.37-расм,  $b$  да  $a = R$ ; 3.37-расм,  $c$  да  $a = R_p$ ) нари ўтадиган ползун 2 алмаштирувчи бўғин бўлади.

Агар элементлардан бирининг эгриланиш радиуси нолга тенг бўлса (ўтириланиш), у ҳолда алмаштирувчий бўғиннинг узунлиги иккинчи сиртнинг эгриланиш радиусига тенг бўлади.

Агар элементлардан бирининг эгриланиш радиуси нолга (ўтириланиш), иккинчисини эса кисизликка тенг бўлса (тўғри чизик), у ҳолда алмаштирувчи бўғин вазифасини йўналтирувчиси сирт билан устма-уст тушувчи ва уриниш нуқтасидан ўтuvчи ползун ўтайди. Алмаштирувчи механизмларнинг кинематик хусусиятларин юқорида баён этилган усуllар билан аниқланади.

### 3.6-§. Фазовий механизмларнинг кинематик хусусиятлари

Пишангли фазовий механизмлар кинематик хусусиятларини аниқлашинг икки хил аналитик усули: координаталарни ўзгартириш усулни ва геометрик усули энг кўп кўлланилади. Геометрик усулда кинематик схемалар аввал қатор текисликларга кетма-кет проекцияланади, сўнгра номаътум катталиклар тригонометрик формулалардан аниқланади. Бинринчи усулни эркинлик даражалари кўп бўлган очиқ кинематик жуфтликларда (масалан, робот ва манипулятор механизмларида), иккинчи усулни эса эркинлик даражаси битта бўлган соддороқ механизмлarda кўллаш мақсадга мувофиқdir. Ана шундай механизмлардан бири айланма ҳаракатини ўқлари қия жойлашган етакчи вал 1 дан етакланувчи вал



3.38-расм

З га узатиш учун хизмат қыладиган универсал шарнирдир (3.38-расм, а, б, в). 3.39-расмда ЗИЛ-130 юк автомобилининг (а) карданли узатмас (в) ва Гукнинг якка шарнири (б) конструкцияларига мисоллар келтирилган.

Геометрик усул.  $\Phi_1$  ва  $\Phi_3$  бурчаклар орасидаги аналитик муносабатларин түзиш учун механизм бүғинларини учта текислика (3.38-расмга қарант): ўқ текислиги  $P$  га ва мос равишда кириш бүғини 1 нинг ўқига ҳамда чиқиш бүғини 3 нинг ўқига перпендикуляр бўлган  $P_1$  ва  $P_2$  текисликларга проекцияланади,  $P$  текислика проекциялашда ўқлар орасидаги  $\beta$  бурчак бузилмасдан тасвирланади,  $P_1$  ва  $P_3$  текисликларга проекциялашда эса бурилиш бурчаклари  $\Phi_1$  ва  $\Phi_3$  бузилмасдан курсланилади (3.38-расм). Бурчаклар стойка 4 билан боғланган *хуг* системасидан бошлаб ҳисобланади:  $\Phi_1$  бурчак О<sub>2</sub> ўқидан,  $\Phi_3$  эса О<sub>4</sub> ўқидан бошлаб ҳисобланади.

Кириш бүғини 1 ва крестовина 2 орасидаги кинематик жуфтликни билдирувчи  $B$  нуқтанинг ҳар хил текисликларнадаги проекциялар  $B_n$ ,  $B_1$ ,  $B_3$  лар билан белгиланган. Ўнг томондаги проекцияда ( $P_1$  текислика)  $B_1$ ,  $B_n$  кесма ўқ текислиги  $P$  дан  $B$  нуқтагача бўлган масофани бузмасдан тасвирлайди.

Кириш бүғини 1 нинг бурчак координатаси  $\Phi_1$  қуйидаги муносабатдан аникланади:

$$\operatorname{tg}\varphi_1 = B_1 B^* / B_n B_1. \quad (3.101)$$

Чиқиш бүғини З нинг бурчак координатаси  $\varphi_3$  ушбу муносабатдан аниқланади (3.38-расмнинг чап томонидаги  $P_3$  текисликка проекцияга қаранды):

$$\operatorname{tg}\varphi_3 = \operatorname{tg}\varphi_1^* = B_n C / B_n B_3. \quad (3.102)$$

Крестовина ўқлари орасидаги бурчаклар  $\pi/2$  га тенг бўлиб, проекцияда бузмасдан тасвирланганлиги сабабли  $P_3$  текисликка проекцияда  $\varphi_3$  ва  $\varphi_1^*$  бурчаклар бузмасдан тасвирланади ва улар бир хил қўйиматга эга бўлади.  $B_3 B_n$  кесма  $B_1 B_n$  кесмага тенг, чунки у  $B_3$  нуқтадан ўқ текислиги  $P$  гача бўлган масофани ифодалайди ва  $P_3$  текисликка бузмасдан проекцияланади.

$$B_n B_3 = B_n B_1 \text{ эканлигини ҳисобга олган ҳолда} \quad (3.101)$$

ва (3.102) муносабатлар қўйидагича ёзилади:

$$\operatorname{tg}\varphi_3 / \operatorname{tg}\varphi_1 = \left( \frac{B_n C}{B_n B_3} \right) \left( \frac{B_1 B^*}{B_n B_1} \right) = \frac{B_n C}{B_1 B^*}. \quad (3.103)$$

$B_n C$  ва  $B_1 B^*$  кесмалар орасидаги муносабат ўқ текислиги  $P$  да тасвирланган  $\Delta B_1 O B_3$  дан топилади. Бу текисликда  $B_1 O B_3$ , бурчак  $\beta$  га тенг бўлиб, ўзгаринишсиз тасвирланади:

$$\cos \beta = OB_3 / OB_1. \quad (3.104)$$

$$OB_3 = B_n C \text{ ва } OB_1 = B_1 B^* \text{ эканлигини эътиборга олган ҳолда} \quad (3.104)$$

муносабат

$$\operatorname{tg}\varphi_3 / \operatorname{tg}\varphi_1 = B_n C / B_1 B^* = OB_3 / OB_1 = \cos \beta$$

Қўринишда ёки узил-кесил

$$\operatorname{tg}\varphi_3 = \operatorname{tg}\varphi_1 \cos \beta. \quad (3.105)$$

Қўринишда ёзилади.

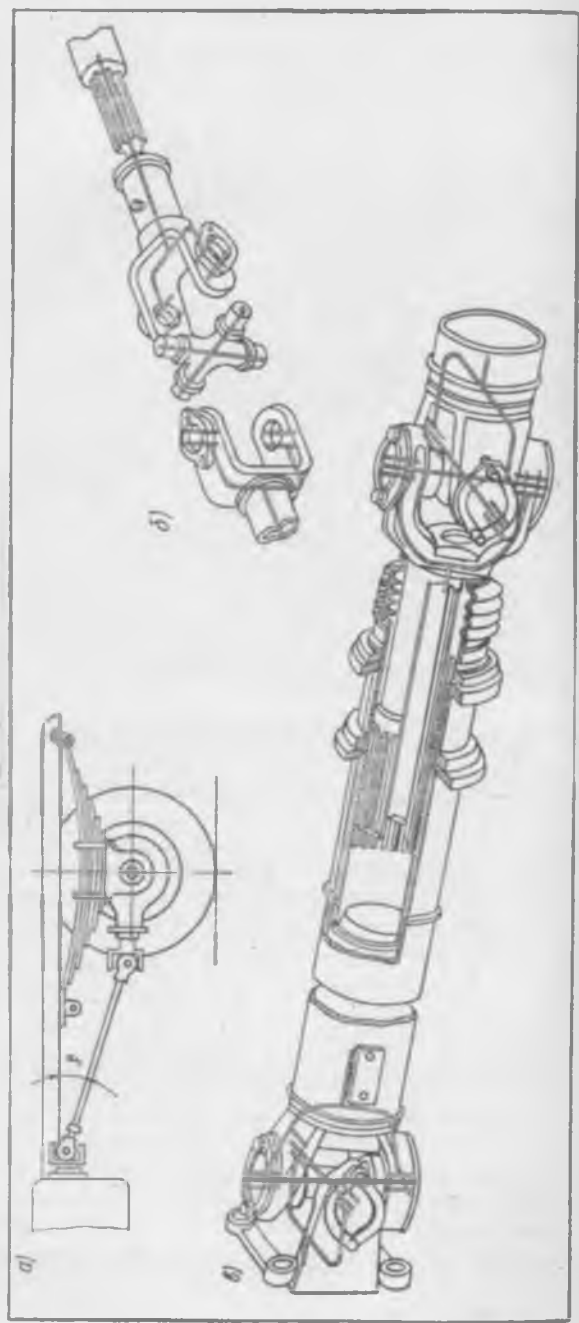
Чиқиш бүғинининг бурчак тезлиги  $\omega_3$  дифференциаллаш натижасида аниқланади:

$$\begin{aligned} \omega_3 &= \frac{d\varphi_3}{dt} = \frac{d}{dt} [\operatorname{arctg}(\operatorname{tg}\varphi_1 \cos \beta)] = \frac{1}{1 + \cos^2 \beta \operatorname{tg}^2 \varphi_1} \frac{\cos \beta}{\cos^2 \varphi_1} \omega_1 = \\ &= \omega_1 \frac{\cos \beta}{\cos^2 \varphi_1 + (1 - \sin^2 \beta) \sin^2 \varphi_1}, \text{ ёки } \omega_3 = \omega_1 \frac{\cos \beta}{1 - \sin^2 \beta \sin^2 \varphi_1}. \end{aligned}$$

Узатиш нисбати  $u_{31}$  қўйидаги муносабатдан аниқланади

$$u_{31} = \frac{\omega_3}{\omega_1} = \frac{\cos \beta}{1 - \sin^2 \beta \sin^2 \varphi_1}. \quad (3.106)$$

Карданли узатманинг узатиш нисбати ўзгарувчи катталик эканлиги (3.106) ифодадан қўриниб туриди. У қўйидаги чегараларда ўзгаради:  $\varPhi_1 = 0$ ;  $\pi$ ;  $2\pi$  ва ҳоказо бўлганда энг катта қиймати  $u_{31\max} = 1/\cos \beta$  га тенг бўлади,  $\varPhi_1 = \pi/2$ ;  $\frac{3}{2}\pi$  ва ҳоказо бўлганда энг кичик қиймати  $u_{31\min} = \cos \beta$  га тенг бўлади.



Кириш бүгінни 1 бир марта айланғанда чиқиши бүгінни 3 ҳам бир әмбетта айланғанлығы сабаблы карданли узатма узатыш нисбатининг үрдісінде қаралады. Чиқиши бүгінни 3 нинш айланыш нотекислиги құйидаги көфициент билен бағытланады:

$$\delta = \frac{\omega_{\max} - \omega_{\min}}{\omega_{3\beta}} = \frac{1}{\cos \beta} = \cos \beta = \sin^2 \beta / \cos \beta,$$

және

$$\delta = \sin \beta \operatorname{tg} \beta. \quad (3.107)$$

Үқлар орасидаги  $\beta$  бурчак (град) катталашының билен нотекислик көфициенті  $\delta$  ҳам оша борады:

$\beta$ , град.	5	10	15	20	25	30	35	40
$\delta$	0,00765	0,0306	0,0693	0,1245	0,1971	0,2887	0,4016	0,5394

Чиқиши бүгінни 3 нинш бурчак тезланиши ҳолат функциясын иккінші марта дифференциаллаш йўлни билен топылады

$$e_3 = \frac{d\omega_3}{dt} = \omega_1^2 \frac{\cos \beta \sin^2 \beta \cdot 2 \sin \varphi_1 \cos \varphi_1}{(1 - \sin^2 \beta \sin^2 \varphi_1)^2},$$

және

$$e_3 = \omega_1^2 \frac{\cos \beta \sin^2 \beta \sin 2\varphi_1}{(1 - \sin^2 \beta \sin^2 \varphi_1)^2}. \quad (3.108)$$

Чиқиши бүгінниң тезланиши учун узатыш нисбати

$$\frac{e_3}{\omega_1^2} = \frac{\cos \beta \sin^2 \beta \sin 2\varphi_1}{(1 - \sin^2 \beta \sin^2 \varphi_1)^2}. \quad (3.109)$$

Амалда чиқиши валларыннан қаралатында нотекисликтер бартарап этмоқ учун құшалоқ карданли механизмлар құлланилады. Ортиқча контур боғламаларының үйкотиши учун бу механизмлар валларыннан бирортаси (оралық, етакчи әки етакланувчы вал) шлип өрдемнәдә эркін тарзда бириктірілген бўлади (3.39-расм, ө; 340-расм, а).

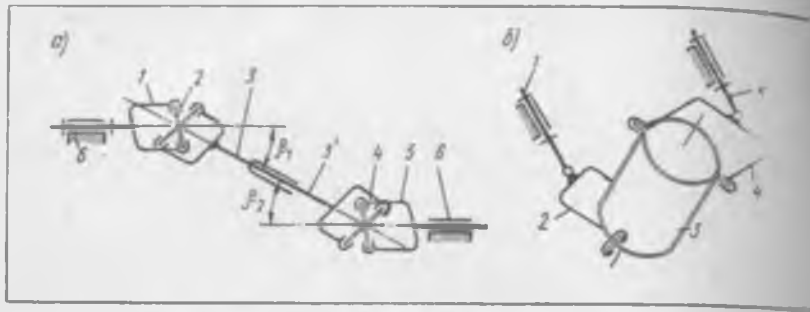
Кириш, оралық ҳамда чиқиши валларыннан үқлари орасидаги  $\beta_1$  ва  $\beta_2$  бурчаклар тенг қилиб ( $\beta_1 = \beta_2$ ) олғаннан, оралық валдарды вилкалар әса битта текисликта жойлаштырылады. Бундай шароитта нотекислик көфициенті  $\delta$  тегіншілік муносабатларга күра нолга тенг бўлади; узатыш нисбати  $u_{31}$  иш аниқташ учун бу муносабатларни (3.101), (3.102) муносабатлардан фойдаланган ҳолда құйидагыда әзиз мумкин:

$$\operatorname{tg} \varphi_1 = \operatorname{tg} \varphi_3 \cos \beta_1; \operatorname{tg} \varphi_2 = \operatorname{tg} \varphi_3 \cos \beta_2;$$

$$u_{31} = \omega_b / \omega_1 = \operatorname{tg} \varphi_3 / \operatorname{tg} \varphi_1 = \cos \beta_2 / \cos \beta_1 = 1.$$

Таркибиң қисметтери түрліча бўлган суюқ ҳамда сочилувчан жиңілдершінде яхши аралашувиниң таъминладынган турли аралаштиргичлар учун ишлатыладиган фазовий рама-крестовина билан жиҳозланган құшалоқ карданли механизм ишида қаралатын нотекислигидан фойдаланиши эътиборга лойин ҳодиса ҳисобланади (3.40-расм, б).

Таркибиң қисметтери аралаштириш учун хизмат қилувчи идиш тураштырылган фазовий бўгин 3 нинш мураккаб қаралатын натижасыда қоришима яхши аралашади. Бўғинларниң маълум ўлчамларыда қаралат

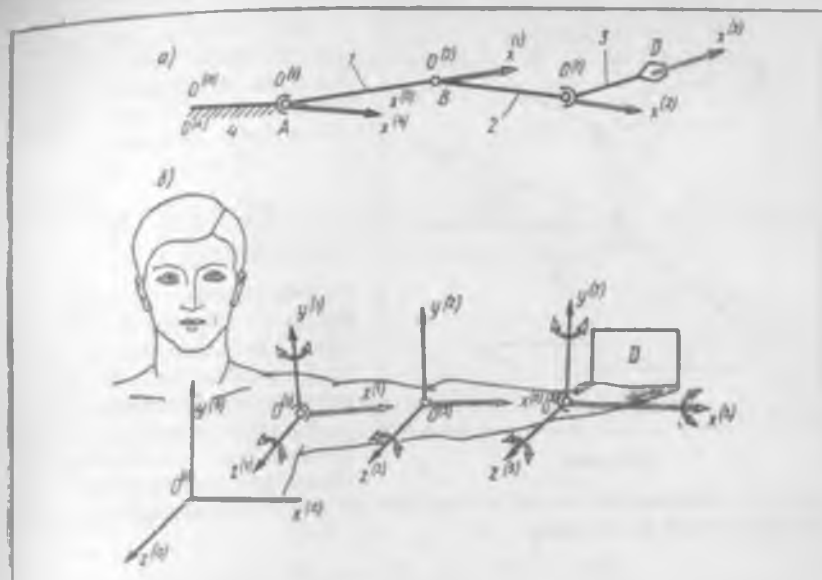


3.40-рasm

нотекислиги коэффициентининг қиймати 1,5 ва бундан катта булиши мумкин.  $\delta > 2$  бўлганда етакланувчи вал айланма-қайтма ҳаракатланади.

Координаталарни ўзгартириш усули. Механизмларни таҳлил қилишда ЭҲМ дан фойдаланиш учун тегишли алгоритмлар, яъни ҳисоблаш ишларида бажариладиган амаллар мазмунини ва кетма-кетлигини бетгилаб берувчи аннк ва битта маънога эга бўлган курсатмалар ишлаб чиқилиши зарур. Бундай курсатмалар зарур ҳисоблаш амалларни матрица кўринишида ёёлган координаталарни ўзгартириш тенгламаларидан фойдаланган ҳолда жуда осон бажарилади. Бу усулда бўғинларнинг геометрик шаклини ва ҳар бир кинематик жуфтликдаги бўғинларнинг ишбий ҳаракатини математик усуллабериш учун етарди миқдорда координаталар системалари танланади. Координаталар системаларининг сони кинематик жуфтликни ҳосил қилувчи бўғинлар элементларининг сонига кўра аниқланади. Қўзғалмас координаталар системаси  $x^0 \ y^0 \ z^0$  стойка билан боғланган. Ҳар бир кинематик жуфтликда иккита координаталар системаси (1-усул) ёки битта координаталар системаси (2-усул) танланади. Биринчи усулда иккита координаталар системаси мазкур жуфтликни ташкил қилувчи бўғинлар элеменларига тегишли булади. Иккинчи усулда ҳар бир кинематик жуфтликка тўғри бурчакли координаталар системаси тўғри келиб, унинг ўқларидан биттаси бўғиннинг ўзига хос белгиси билан, масалан, ўқ чизиги билан боғланган булади. Мисол тариқасида 3.41-расм, а да одам қўлиниң тузилишини (3.41-расм, б) моделлаштирувчи бўғинлар 1, 2, 3, 4 дан ташкил топган тўрт бўғинли очиқ кинематик занжирнинг  $O_1 x^{(1)}$ ,  $O_2 x^{(2)}$ ,  $O_3 x^{(3)}$ ,  $O_4 x^{(4)}$  (ёки  $O_0 x^{(0)}$ ) координата ўқлари курсатилган.  $z^{(i)}$  ўқ жуфтлик ўқи бўйлаб йўналган,  $y^{(i)}$  ўқ эса координаталар системаси  $O^{(i)} x^{(i)} y^{(i)} z^{(i)}$  ни тўлдиради.

Ҳар бир  $i$ -маҳаллй координаталар системаси координаталарининг боши мазкур бўғин ўқидан олдинги бўғин билан боғланган кинематик жуфтлик билан устма-уст тушрилади. Текис механизмлар учун  $z^{(1)}, z^{(2)}, \dots, z^{(k)}$  ўқлар ўзаро параллел булади, чунки улар текис механизм бўғинларининг ҳаракати кўриб чиқилаётган асосий текислигни перпендикулярдир.



3.41- расм

$i$ -маҳаллий координаталар системасидан бошқа ( $i + 1$ ) координаталар системасига ўтиш түгри бурчаклы декарт координаталар системасини ўзгартириш тенгламаларидан: умумий ҳолда координата ўқларини күчириш ва бурниш тенгламаларидан, хусусий ҳолда эса, агар маҳаллий координаталар системаларининг бошлари устма-уст жойлашса, фақат ўқларини бурниш тенгламаларидан аниқланади.

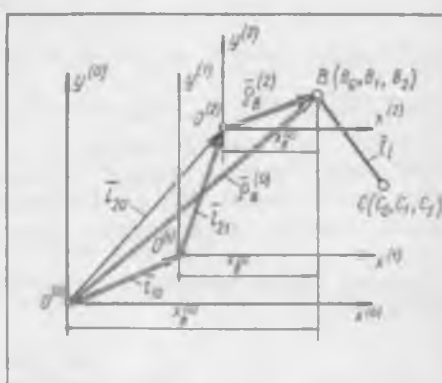
Декарт координаталар ўқларини параллел күчиришда (3.42-расм) қандайдыр бүғиндаги  $B$  ва  $C$  нүкталарни ўзаро боғловчи  $\bar{l}_l$  вектор проекциялары ўзгармас бүлиб қолаверади:

$$\bar{l}_{lx}^{(1)} = \bar{l}_{lx}^{(2)} = \bar{l}_{lx}^{(0)}, \quad \bar{l}_{ly}^{(1)} = \bar{l}_{ly}^{(2)} = \bar{l}_{ly}^{(0)}.$$

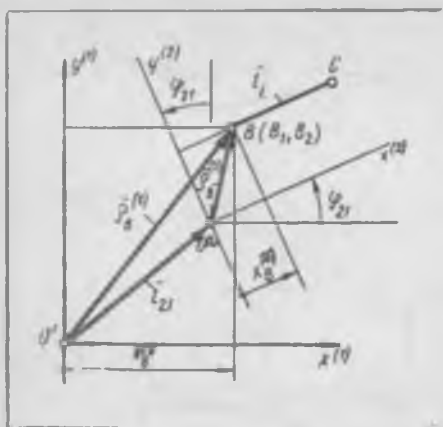
Бүғиндаги қандайдыр  $B$  нүктесинин радиус-век торларин аниқ муносабатлар орқали ўзаро боғланган:

$$\begin{aligned} \bar{r}_B &= \bar{r}_{B1}^{(1)} + \bar{l}_{10} = \bar{r}_{B1}^{(2)} + \bar{l}_{20}; \\ \bar{r}_B^{(1)} &= \bar{r}_{B1}^{(2)} + \bar{l}_{21}. \end{aligned}$$

Бунда  $\bar{l}_{10}, \bar{l}_{20}, \bar{l}_{21}, \bar{r}_{B1}^{(1)}, \bar{r}_{B1}^{(2)}$  — мос равишида ( $O^0, O^{(1)}, O^{(2)}$ ) координаталар бошларини ўзаро ҳамда  $B$  нүкта билан туташтирувчи векторлар.



3.42- р.см



3.43-расм

лалари, масалан,  $O^{(1)} x^{(1)} y^{(1)} z^{(1)}$  ва  $O^{(2)} x^{(2)} y^{(2)} z^{(2)}$  системалар учун ушбу кўринишга эга (3.43-расм):

$$\begin{aligned} x_B^{(1)} &= a_{11} x_B^{(2)} + a_{12} y_B^{(2)} + a_{13} z_B^{(2)} + l_{21x}; \\ y_B^{(1)} &= a_{21} x_B^{(2)} + a_{22} y_B^{(2)} + a_{23} z_B^{(2)} + l_{21y}; \\ z_B^{(1)} &= a_{31} x_B^{(2)} + a_{32} y_B^{(2)} + a_{33} z_B^{(2)} + l_{21z}, \end{aligned} \quad (3.110)$$

бунда:  $l_{21x}$ ,  $l_{21y}$ ,  $l_{21z}$  —  $x^{(1)}$ ,  $y^{(1)}$ ,  $z^{(1)}$  координаталар системасидаги  $x^{(2)}$ ,  $y^{(2)}$  система координата боши  $O_2$ , нинг координаталари;  $a_{11}$ ,  $a_{12}$ ,  $a_{13}$ ,  $a_{21}$ , ..., — координаталар йўналтирувчи косинуслар бўлган ҳолдаги коэффициентлар, бунда индекслар ўқларнинг тартиб номерига: 1 —  $x$  га, 2 —  $y$  га, 3 —  $z$  га мос келади: индексда биринчи ўринда ( $i+1$ ) маҳалий координаталар системасини ўқининг белгиси, иккинчи ўринда  $i$  — координаталар системаси ўқининг белгиси берилади:

$$\begin{aligned} a_{11} &= \cos(x^{(2)}, x^{(1)}); & a_{12} &= \cos(x^{(2)}, y^{(1)}); & a_{13} &= \cos(x^{(2)}, z^{(1)}); \\ a_{21} &= \cos(y^{(2)}, x^{(1)}); & a_{22} &= \cos(y^{(2)}, y^{(1)}); & a_{23} &= \cos(y^{(2)}, z^{(1)}); \\ a_{31} &= \cos(z^{(2)}, x^{(1)}); & a_{32} &= \cos(z^{(2)}, y^{(1)}); & a_{33} &= \cos(z^{(2)}, z^{(1)}). \end{aligned} \quad (3.111)$$

Езувни қисқартириш мақсадида  $m$  сатр ва  $n$  устундан ташкил топган тўғри бурчакли жадвал кўринишидаги рақамлар (элементлар) системасидан иборат бўлган, координаталарни ўзгартириш параметрларидан тузилган матрицалардан фойдаланилади. Буларга қўйидагилар киради,

Ўқларни буриш матрицаси деб аталувчи йўналтирувчи косинуслар матрицаси  $M_{21}$ :

$$M_{21} = \begin{vmatrix} a_{11} & a_{12} & a_{13} \\ a_{21} & a_{22} & a_{23} \\ a_{31} & a_{32} & a_{33} \end{vmatrix}. \quad (3.112)$$

Уч ўлчамли фазодаги  $B$  нуқта координаталари орасидаги бўғланиш қўйидагича муносабатлар орқали (ўзаро параллел кўчиришда) аниқланади:

$$\begin{aligned} x_B^{(0)} &= x_B^{(1)} + l_{10x}; \\ y_B^{(0)} &= y_B^{(1)} + l_{10y}; \\ z_B^{(0)} &= z_B^{(1)} + l_{10z}. \end{aligned}$$

Координата ўқларини буришда (3.43-расм) ўқлар бурилиш бурчакларининг (масалан,  $\varphi_{21}$ ) йўналтирувчи косинусларини эътиборга олиш керак.

Ўқларни параллел кўчириш ва буришда координаталарни ўзгартиришининг умумий формули

Нүкталарнинг координатага ўқларига проекцияларининг матрица устунлари:  $O^{(1)} x^{(1)} y^{(1)} z^{(1)}$  системага нисбатан  $O^{(2)} x^{(2)} y^{(2)} z^{(2)}$  система координаталари боши  $O^{(2)}$  нинг матрица-устунлари:

$$L_{21} = \begin{vmatrix} l_{21x} \\ l_{21y} \\ l_{21z} \end{vmatrix}; \quad (3.113)$$

В нүкта радиус-векторлари  $\bar{r}_B^{(1)}$  ва  $\bar{r}_B^{(2)}$  нинг координатага бошлари  $O^{(1)}$  ва  $O^{(2)}$  га нисбатан матрица-устунлари:

$$\bar{r}_B^{(1)} = \begin{vmatrix} x_B^{(1)} \\ y_B^{(1)} \\ z_B^{(1)} \end{vmatrix}; \quad \bar{r}_B^{(2)} = \begin{vmatrix} x_B^{(2)} \\ y_B^{(2)} \\ z_B^{(2)} \end{vmatrix}. \quad (3.114)$$

Координаталарни ўзгартиришнинг умумий ҳолдаги квадрат матрикаси  $T_{21}$  ( $I = 1$  алният қўшилган ҳолда):

$$T_{21} = \begin{vmatrix} a_{11} & a_{12} & a_{13} & l_{21x} \\ a_{21} & a_{22} & a_{23} & l_{21y} \\ a_{31} & a_{32} & a_{33} & l_{21z} \\ 0 & 0 & 0 & 1 \end{vmatrix}. \quad (3.115)$$

Қабул қилинган белгилашларда координаталарни ўзгартириш формулалари қўйидаги кўринишларда ёзилади:  
координаталар ўқларини параллел ҳолда кўчириш учун:

$$\bar{r}_B^{(1)} = \bar{r}_B^{(2)} + \bar{l}_{21}, \quad (3.116)$$

буни ушбу кўринишда ёзиш ҳам мумкин:

$$\begin{vmatrix} x_B^{(1)} \\ y_B^{(1)} \\ z_B^{(1)} \end{vmatrix} = \begin{vmatrix} x_B^{(2)} \\ y_B^{(2)} \\ z_B^{(2)} \end{vmatrix} + \begin{vmatrix} l_{21x} \\ l_{21y} \\ l_{21z} \end{vmatrix}; \quad (3.117)$$

координатага ўқларини буриш учун

$$\bar{r}_B^{(1)} = M_{21} \bar{r}_B^{(2)}, \quad (3.118)$$

буни қўйидаги кўринишда ҳам ёса бўлади:

$$\begin{vmatrix} x_B^{(1)} \\ y_B^{(1)} \\ z_B^{(1)} \end{vmatrix} = \begin{vmatrix} a_{11} & a_{12} & a_{13} \\ a_{21} & a_{22} & a_{23} \\ a_{31} & a_{32} & a_{33} \end{vmatrix} \cdot \begin{vmatrix} x_B^{(2)} \\ y_B^{(2)} \\ z_B^{(2)} \end{vmatrix}; \quad (3.119)$$

координаталарни ўзгартиришнинг умумий ҳолида

$$\bar{r}_B^{(1)} = T_{(21)} \bar{r}_B^{(2)}, \quad (3.120)$$

еки

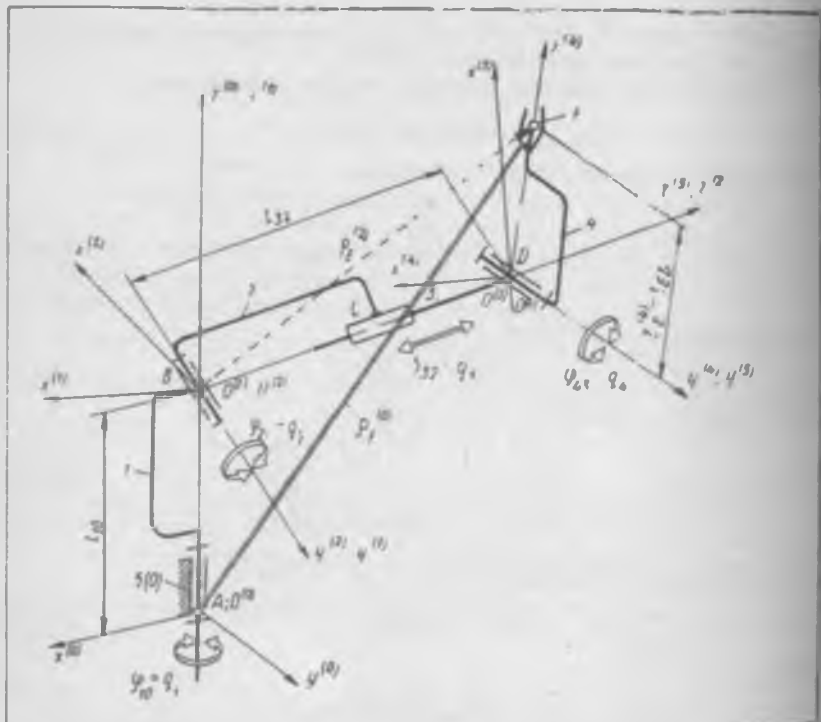
$$\bar{r}_B^{(1)} = M_{(21)} \bar{r}_B^{(2)} + L_{(21)} \quad (3.121)$$

буни ушбу кўринишда ҳам ёзиш мумкин:

$$\begin{vmatrix} x_B^{(1)} \\ y_B^{(1)} \\ z_B^{(1)} \\ 1 \end{vmatrix} = \begin{vmatrix} a_{11} & a_{12} & a_{13} & l_{21x} \\ a_{21} & a_{22} & a_{23} & l_{21y} \\ a_{31} & a_{32} & a_{33} & l_{21z} \\ 0 & 0 & 0 & 1 \end{vmatrix} \cdot \begin{vmatrix} x_B^{(2)} \\ y_B^{(2)} \\ z_B^{(2)} \\ 1 \end{vmatrix} \quad (3.122)$$

Бұғынлар қолатини аниқлаш мақсадыда координаталарни үзгартыриш усулидан фойдаланишга мисол қойыда саноат роботининг кинематик схемасы тасвирида көлтирилді (3.44-расм). Түрттә құзғалуучан бұғын 1, 2, 3, 4 биттә құзғалуучанлықка әга бұлган түрттә жуфтликни ҳосил қылады: улардан үчтаси айланма, биттаси эса илгарилама жуфтликтер. Роботининг әркінлік даражалары сони түрттә:  $W = 6n - 5p_l = 6 \cdot 4 - 5 \cdot 4 = 4$ . Шу сабабли түрттә умумлашған координата: бұғынларының нисбий бурилиши бурчаклари  $\varphi_{10} = q_1(t)$ ;  $\varphi_{21} = q_2(t)$ ;  $\varphi_{43} = q_4(t)$  ҳамда бұғын 3 үкін бүйлаб нисбий силжиш  $S_{32} = q_3(t)$  берилған булиши лозим (3.44-расм).

Шундай масала құйылады: стойка 5 (ёки 0) билан бөләнгән құзғалуучан координаталар системасы  $O^{(0)}x^{(0)}y^{(0)}z^{(0)}$  га нисбатан панжа 4 нүктасы  $E$  ның радиус = вектори  $r_E^{(0)}$  аниқлансın. Координаталар системалары үқлары кинематик жуфтликтер элементларына нисбатан қуйидагича жойлашады:



3.44-расм

стойканинг құралмас координаталар системасы үки  $z^{(0)}$  айланма жуфтлік A үки бүйлаб йұналади:

$O^{(1)}x^{(1)}y^{(1)}z^{(1)}$  система бүғин I билан боғланған бўлиб, унинг  $O^{(0)}$  координаталар боши  $z^{(0)}$  үки бүйлаб  $l_{10}$  масофага сілжиган.  $z^{(1)}$  үки  $z^{(0)}$  үки билан  $y^{(1)}$  үки эса айланма кинематик жуфтлік B нинг үки билан устма-уст жойлашади;

$O^{(2)}x^{(2)}y^{(2)}z^{(2)}$  координаталари боши  $O^{(2)}O^{(1)}$  нүкта билан устма-уст жойлашадиган  $O^{(2)}x^{(2)}y^{(2)}z^{(2)}$  система бүғин 2 билан боғланади.  $y^{(2)}$  үки  $y^{(1)}$  үки билан, шыны айланма кинематик жуфтлік B нинг үки билан устма-уст жойлашади;

$O^{(3)}x^{(3)}y^{(3)}z^{(3)}$  координаталар системасыннинг боши  $z^{(3)}$  үки бүйлаб  $O^{(2)}$  нүктеге нисбатан  $l_{32}$  масофага сілжиган.  $z^{(3)}$  үки  $z^{(2)}$  үки билан устма-уст жойлашади;

Пәнжә 4 нинг E нүктеси координатасы  $x_E^{(4)} 0^{(4)}x^{(4)}y^{(4)}z^{(4)}$  системада берилған; бу системаның  $y^{(4)}$  үки айланма кинематик жуфтлік D нинг үки бүйлаб йұналған.

$r_E^{(0)}$  радиус векторни аниқлаш учун құйидаги тенгламаны ечиш лозим:

$$\rho_E^{(0)} = T_{40} \rho_E^{(4)},$$

бунда

$$\rho_E^{(4)} = \begin{vmatrix} x_E^{(4)} \\ y_E^{(4)} \\ z_E^{(4)} \end{vmatrix} = \begin{vmatrix} 0 \\ 0 \\ l_{ED} \end{vmatrix}; \quad \rho_E^{(0)} = \begin{vmatrix} x_E^{(0)} \\ y_E^{(0)} \\ z_E^{(0)} \end{vmatrix};$$

$$T_{40} = T_{43} T_{32} T_{21} T_{10}.$$

Бунда:  $T_{10} = O^{(1)}x^{(1)}y^{(1)}z^{(1)}$  системадан  $O^{(0)}x^{(0)}y^{(0)}z^{(0)}$  системага ўтиш матрицасы:

$$T_{10} = \begin{vmatrix} \cos\varphi_{10} & -\sin\varphi_{10} & 0 & 0 \\ \sin\varphi_{10} & \cos\varphi_{10} & 0 & 0 \\ 0 & 0 & 1 & l_{10} \\ 0 & 0 & 0 & 1 \end{vmatrix}.$$

$T_{21} = O^{(2)}x^{(2)}y^{(2)}z^{(2)}$  системадан  $O^{(1)}x^{(1)}y^{(1)}z^{(1)}$  системага ўтиш матрицасы:

$$T_{21} = \begin{vmatrix} \cos\varphi_{21} & 0 & \sin\varphi_{21} & 0 \\ 0 & 1 & 0 & 0 \\ -\sin\varphi_{21} & 0 & \cos\varphi_{21} & 0 \\ 0 & 0 & 0 & 1 \end{vmatrix}.$$

$T_{32} = O^{(3)}x^{(3)}y^{(3)}z^{(3)}$  системадан  $O^{(2)}x^{(2)}y^{(2)}z^{(2)}$  системага ўтиш матрицасы:

$$T_{32} = \begin{vmatrix} 0 & 0 & 0 & 0 \\ 0 & 0 & 0 & S_{32} \\ 0 & 0 & 0 & 0 \\ 0 & 0 & 0 & 1 \end{vmatrix}.$$

$T_{43} = O^{(4)}x^{(4)}y^{(4)}z^{(4)}$  системадан  $O^{(3)}x^{(3)}y^{(3)}z^{(3)}$  системага ўтиш матрицасы:

$$T_{43} = \begin{vmatrix} \cos\varphi_{43} & 0 & \sin\varphi_{43} & 0 \\ 0 & 1 & 0 & 0 \\ -\sin\varphi_{43} & 0 & \cos\varphi_{43} & 0 \\ 0 & 0 & 0 & 1 \end{vmatrix}.$$

Панжа  $E$  нинг ҳолатини аниқлайдиган ёйиқ формулалар катта жойини эгаллаши сабабли бу ерда келтирилмади. Муайян масалаларни ечишда математик таъминотида матрица амалларини бажариш учун зарур бўладиган стандарт подпрограммалар бўлган ЭҲМ дан фойдаланиш мақсадга мувофиқдир.

Координаталарни ўзгартириш усулидан фойдаланиб мураккаб механизмлар бўғинлари ва нуқталарининг тезликларн ва тезланишларини аниқлашда, бирорта, айтайлик,  $E$  нуқтанинг радиус-вектори умумлашган координаталарнинг вектор функцияси эканлигини назарда тутиш лозим:

$$\bar{p}_E^{(0)} = \bar{p}_E (q_1, q_2, q_3, \dots, q_n),$$

шу сабабли  $E$  нуқтанинг тезлиги  $v_E$  қўйидаги муносабатдан аниқланади:

$$v_E = \frac{d \bar{p}_E}{dt} = \sum_{i=1}^n \frac{\partial \bar{p}_E}{\partial q_i} \cdot q_i. \quad (3.123)$$

Еки

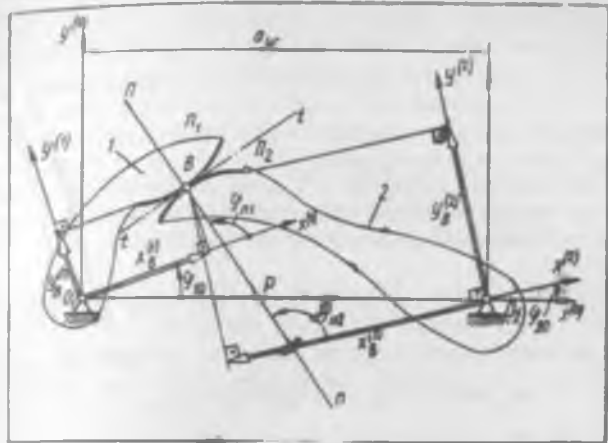
$$\begin{aligned} v_{Ex} &= \dot{x}_E^{(0)} = \frac{dx_E^{(0)}}{dt}, \\ v_{Ey} &= \dot{y}_E^{(0)} = \frac{dy_E^{(0)}}{dt}; \\ v_{Ez} &= \dot{z}_E^{(0)} = \frac{dz_E^{(0)}}{dt}, \\ v_E &= \sqrt{v_{Ex}^2 + v_{Ey}^2 + v_{Ez}^2}. \end{aligned} \quad (3.124)$$

$j$ -бўғиннинг стойка (0) га нисбатан абсолют бурчак тезлиги  $\bar{\omega}_{j0}$  бўғинларининг нисбий ҳаракатларидаги бурчак тезлікларини қўшиш билан топилади:

$$\bar{\omega}_{j0} = \sum_{i=1}^j \bar{\omega}_{i(i-i)}, \quad (3.125)$$

бунда  $i/(i - 1)$  — нисбий ҳаракатда иштирок этувчи бўғинларнинг тартиб номерлари, масалан,  $\omega_{10} = \omega_{10} + \omega_{21} + \omega_{32} + \omega_{43}$ .

Олий жуфтлиқли механизмлар бўғинларининг ҳолатини аниқлашда координаталарни ўзгартириш. Бўғин 1 билан олий кинематик жуфтлиқ ҳосил қилувчи чиқиш бўғинни 2 нинг ҳаракат қонуни  $\omega_{20} = \omega_{20}^{(0)}$  ни аниқлаш учун (3.45-расм)  $P_1$  ва  $P_2$  сиртлар тенгламалари ҳамда бошланғич бўғиннинг ҳаракат қонуни  $\Phi_{10} = \Phi_{10}(t)$  берилган бўлиши зарур.  $P_1$  ва  $P_2$  сиртлар тенгламалари  $O^{(1)} x^{(1)} y^{(1)}$  ва  $O^{(2)} x^{(2)} y^{(2)}$  ўзга-  
лувчан координаталар системаларида берилади;  $y^{(1)} = f_1(x^{(1)})$  ва  $y^{(2)} = f_2(x^{(2)})$  лар тегишли бўғинлар билан боғлангаи. Умумий уриниш нуқтаси  $B$  учун қўйидаги шартлар бажарилиши лозим:



3.45-расм.

$$x_{B1}^{(1)} + x_{B2}^{(0)} = a_w; \quad y_{B1}^{(0)} = y_{B2}^{(0)}; \\ \Phi_{10} + \Phi_{n1} = \Phi_{20} + \Phi_{n2}. \quad (3.126)$$

Кеңинги тенглама уриниш нүктаси  $B$  да  $P_1$  ва  $P_2$  сиртларга ұтқалған нормалларнинг устма-уст тушиши кераклигини билдиради, чунки  $\Phi_{n1}$  ва  $\Phi_{n2}$  бурчаклар  $n - n$  нормалнинг құзғалувлынан  $O^{(1)}x^{(1)}$  ва  $O^{(2)}x^{(2)}$  үқіларға нисбетан ҳолатини күрсатади.

(3.126) тенгламалар системаси үзгартырилғанда,  $P_1$  да  $P_2$  сиртлар тенгламаларының берилген координаталарынан:

$$x_B^{(1)} \cos \Phi_{10} - y_B^{(1)} \sin \Phi_{10} + x_B^{(2)} \cos \Phi_{20} - y_B^{(2)} \sin \Phi_{20} = a_w; \\ x_B^{(1)} \sin \Phi_{10} + y_B^{(1)} \cos \Phi_{10} = x_B^{(2)} \sin \Phi_{20} + y_B^{(2)} \cos \Phi_{20}; \\ \Phi_{10} + \operatorname{arctg} \left( -\frac{dx^{(1)}}{dy^{(1)}} \right)_B = \Phi_{20} + \operatorname{arctg} \left( -\frac{dx^{(2)}}{dy^{(2)}} \right)_B; \quad (3.127) \\ y^{(1)} = f_1(x^{(1)}); \quad y^{(2)} = f_2(x^{(2)}).$$

(3.127) тенгламалар системасынан да берилған  $\Phi_{10} = \Phi_{10}(t)$  боғлиқ-жадан изланатын қийматтар — құзғалувлынан координаталар системаларидагы уриниш нүктаси  $B$  ның  $x_B^{(1)}$ ,  $y_B^{(1)}$  ва  $x_B^{(2)}$ ,  $y_B^{(2)}$  координаталари да чиқиши бүтінни 2 ның бурилиш бурчаги  $\Phi_{20}$  анықланади.  $\Phi_{20}$  боғлиқ-жадыны умумлаштырып, координата  $\Phi_{10}$  га күра дифференциаллаш орқали узатып нисбати  $\omega_{21} = \omega_2/\omega_1$  анықланади.

**Бурчак тезликлар планларының өсули.** Фазовий тишли ҳамда пишангли меканизмларнинг айрым турларини тәдқиқ этиш да лойиҳалашда құйылса көлтирилған вектор тенгламаларни ечишга асосланған бурчак тезликлар планларының өсули анча самарали ҳисобланади:

$$\bar{\omega}_2 = \bar{\omega}_1 + \bar{\omega}_{21}. \quad (3.128)$$

Агар векторларнинг йўналиши аниқланган ва ушбу векторлардан бирининг ўзгарниш қонуни берилган бўлса, (3.128) тенглама ечимга эга бўлади.  $\omega_{21}$  вектор бўғинларнинг нисбий ҳаракатидаги, яъни бўғин 2 нинг бўғин  $I$  га нисбатан айни ҳолатдан унга чексиз яқин бўлган кўшини ҳолатга бурилишидаги оний айланиш ўқи  $OP$  нинг ҳолатини аниқлайди.

Ушбу усулнинг қўлланилишини 3.46-расм, а да тасвирланган ко-нуссимон ғилдираклар  $z_1, z_2, z_3, z_4, z_5$  ва водило  $H$  дан ташкил топ-ган планетар тишли механизм мисолида кўриб чиқамиз. Ғилдираклар  $z_2$  ва  $z_3$  ягона блокка бирлаштирилган, ғилдирак  $z_4$  эса стойка б га ўрнатилган.

Оний нисбий айланиш ўқлари  $P_{12}O, P_{2H}O, P_{23}O$  ва  $P_{64}O$  лар билан белгиланган. Улар умумий  $O$  нуқтада кесишади.

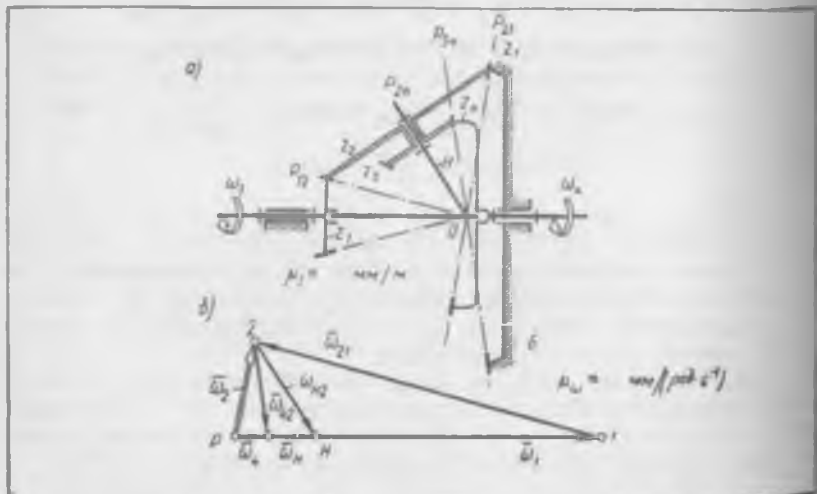
Кўйидаги тенгламалар системасини ёзиш мумкин:

$$\begin{aligned}\bar{\omega}_2 &= \bar{\omega}_1 + \bar{\omega}_{21}; & \bar{\omega}_H &= \bar{\omega}_2 + \bar{\omega}_{H2}; \\ \bar{\omega}_2 &= \bar{\omega}_3 + \bar{\omega}_{23}; & \bar{\omega}_H &= \bar{\omega}_5 + \bar{\omega}_{H5}; \\ \bar{\omega}_5 &= \bar{\omega}_2; \\ \bar{\omega}_4 &= \bar{\omega}_5 + \bar{\omega}_{45}; & \bar{\omega}_3 &= 0.\end{aligned}\quad \left. \right\} \quad (3.129)$$

Тенгламалар системаси қўйидаги кўринищда ёзилиши мумкин

$$\bar{\omega}_3 = \bar{\omega}_{23} = \bar{\omega}_1 + \bar{\omega}_{21}.$$

Ушбу тенглама 3.46-расм, б да келтирилган бурчак тезликлар плани ёрдамида  $\bar{\omega}_3$  ва  $\bar{\omega}_{21}$  га нисбатан ечилади: р 12 учбурчак ичидаги  $\bar{\omega}_1$  вектор р  $I = \mu_{\omega} \bar{\omega}_1$  кесма орқали тасвирланган,  $\bar{\omega}_{21}$  вектор  $P_{12}O$  ўққа параллел тарзда,  $\bar{\omega}_3$  вектор эса  $P_{23}O$  ўққа параллел тарзда ўтказилган. Излана-



3.46- расм

Ізланатған векторлар қиymати  $p2$  ва  $p12$  кесмалар узунлыгини бурчак тезлик масштабига бўлиш билан аниқланади:  $\omega_2 = (p2)/\mu_\omega$ ;  $\omega_{21} = (12)/\mu_\omega$ .

$$\bar{\omega}_4 = \bar{\omega}_8 + \bar{\omega}_{12} = \bar{\omega}_8 + \bar{\omega}_{45} \text{ тенглама ҳам график тарзда ечилади: } (\bar{p}4) =$$

$= \mu_\omega \omega_4$  вектор ишлдирак 4 нинг айланиш ўқига параллел тарзда,  $(\bar{p}4) = \mu_\omega \bar{\omega}_{45}$  вектор эса  $P_{64}O$  ўққа параллел тарзда ўтказилган.

Изланатған бурчак тезликлар векторларининг қиymати  $\Delta p24$  ичиндаги  $p4$  ва 24 кесмалар узунликларидан аниқланади:  $\omega_4 = (p4)/\mu_\omega$ ;  $\omega_{45} = (24)/\mu_\omega$ .

$\bar{\omega}_H = \bar{\omega}_2 + \bar{\omega}_{H2}$  тенглама ҳам  $p2H$  учбурчакни график тарзда ясаш йўли билан ечилади.

Изланатған векторлар қиymати  $\omega_H = (pH)/\mu_\omega$ ;  $\omega_{H2} = (2H)/\mu_\omega$  муносабатлардан аниқланади.

Бурчак тезликлар планлари усулидан, масалан, карданли механизми тадқиқ этишда фойдаланиш мақсадга мувофиқдир.

Бурчак тезликлар векторларини ўзаро боғловчи вектор тенгламалар системаси ёзилади; унда:  $\omega_1$  — кириш буғинининг,  $\omega_2$  — оралық буғиннинг (крестовинанинг) ва ( $\omega_3$  — чиқиш буғинининг бурчак тезликларини векторлари;  $\omega_{21}$  ва  $\omega_{32}$  — крестовина 2 нинг буғинлари 1 ва 3 га (3.47-шакл, а) ишбатан айланиш векторлари:

$$\bar{\omega}_2 = \bar{\omega}_1 + \bar{\omega}_{21}, \quad \bar{\omega}_3 = \bar{\omega}_2 + \bar{\omega}_{32}.$$

Ёки

$$\bar{\omega}_3 = \bar{\omega}_1 + \bar{\omega}_{21} + \bar{\omega}_{32}.$$

Охирги вектор тенгламадаги номаътум параметрлар сони учтага тенг, яъни тенглама уч ўчамчи фазода график тарзда ясаш йўли билан ечилади (3.47-шакл, б). ра кесманинг узунлиги қўйидагича ташланали:  $ra = \mu_\omega \omega_1$ , қолган кесмаларининг узунлиги  $ab = \mu_\omega \omega_{21}$ ;  $bc = \mu_\omega \omega_{32}$ ;  $rc = \mu_\omega \omega_3$ ;  $rb = \mu_\omega \omega_2$  ларчи ечиш натижасида аниқланади.

Холат функцияси учта тўғри бурчакти учбурчаклар  $\Delta abd$ ,  $\Delta bdc$  ва  $\Delta cde$  ни биргаликда кўриб чиқиб аниқланади:

$$\Delta cbd \text{ дан } \operatorname{tg} \varphi_1 = \operatorname{tg} \varphi_{14} = bd/de;$$

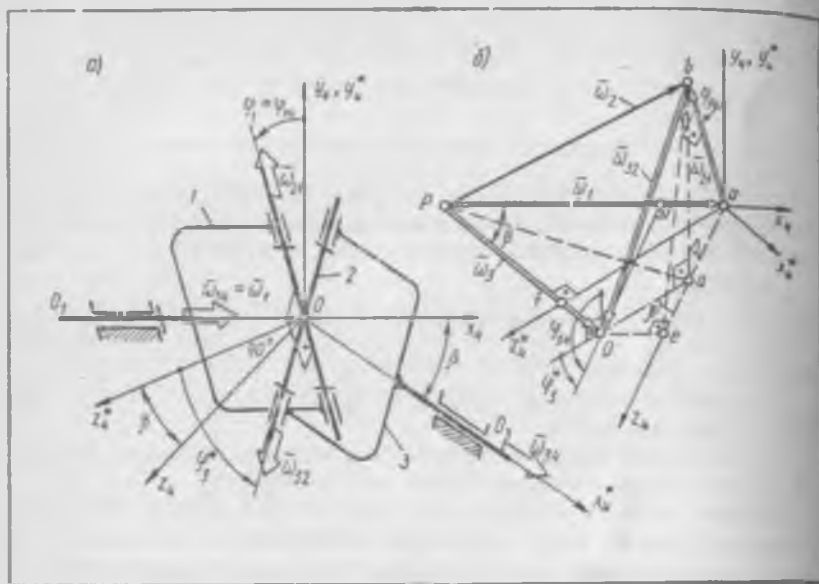
$$\Delta cbd \text{ дан } \operatorname{tg} \varphi_3 = \operatorname{tg} \varphi_{34} = cd/bd;$$

$$\Delta cbe \text{ дан } \cos \beta = ded/c.$$

Ўринига қўйиш натижасида ушбу ҳосил қилинади:

$$\operatorname{tg} \varphi_3 = cd/bd = \frac{de \operatorname{tg} \varphi_1}{cd} = \operatorname{tg} \varphi_1 \cos \beta.$$

Бурчак тезлик вектори  $\bar{\omega}_3$  ни аниқлаш учун кириш ва чиқиш буғинларининг ўқ текислигига ясаш ишлари амалга оширилади ҳамда кесмалар орасида муносабатлар ёзилади:



3.47- расм

$$pc = pf + fc = pa \cos \beta + ad \sin \beta;$$

$\triangle adb$  дан  $ad = ab \sin \varphi_1$ ;

$\triangle aeb$  дан  $ab = ae \sin \varphi_1$ ;

$\triangle pca^*$  дан  $ae = pc \sin \beta$ .

Үрнига қүйишидан сұнг

$$pc = pa \cos \beta + pc \sin^2 \beta \sin^2 \varphi_1$$

әки

$$pc = pa \frac{\cos \beta}{1 - \sin^2 \beta \sin^2 \varphi_1}. \quad (3.130)$$

Хосил бұлады.

$pc$  ва  $pa$  кесмалар бурчак тезликтер  $\omega_2$  ва  $\omega_1$  га мутаносибдиги сабабли ушбуни ёзиш мүмкін:

$$\omega_2 = \omega_1 \frac{\cos \beta}{1 - \sin^2 \beta \sin^2 \varphi}.$$

Бурчак тезлик  $\omega_{21}$  қүйндеги муносабатдан аниқланады

$$ab = pc \sin \beta \sin \varphi_1$$

әки

$$\omega_{21} = \omega_1 \frac{\cos \beta \sin \beta \sin \varphi_1}{1 - \sin^2 \beta \sin^2 \varphi}.$$

(3.130) муносабат масаланы геометрик усулда ечиш ҳосил қилинген (3.106) муносабаттаға айнан ұхшаشدыр.

#### 4-боб

### БИКР БҮГИНЛАРДАН ТАШКИЛ ТОПГАН МАШИНАЛИ АГРЕГАТ ХАРАКАТИНИ ТАДҚИҚ ЭТИШ

Харакат вақтида машинали агрегатнинг механизмига турли кучлар таъсири эта-  
ди. Булар ҳаракатлантирувчи кучлар, қаршилик кучлари, оғирлик кучлари ва кўп-  
гина бошқа кучлардир. Уларнинг таъсири турлича бўлиши мумкин: улардан баъзи-  
ларни механизм бўгинларининг ҳолатларига боғлиқ тарзда ўзгарса, бошқалари  
~~узварни~~ тезликларига боғлиқ тарзда ўзгариб, яна бошқалари ўзгармас қийматта  
яга бўлади. Кўйилган кучлар ўз таъсири орқали механизмига у ёки бу ҳаракат қо-  
нунина ~~тозади~~.

Тезлик, тезланиш, ишга тушиш вақти, нотекислик коэффициенти каби кинема-  
тик хусусиятлар ҳаракат тенгламаларини ечиш орқали аниқланади. Ҳаракат тенглама-  
ларини ечиш усули берилган кучлар таъсири тарзинга механизмининг ва узатиш хусу-  
сиятига қараб ташланади. Бунда бўгинларининг үлчамлари, массалари ва инерция мо-  
ментлари маълум бўлиши лозим. Аммо тескари тартибдаги масала ҳам кең тарқалган-  
ки бунда машина ҳаракатланиш тартибининг кинематик хусусиятлари берилган бўлиб,  
механизм бўгинларининг массаси, инерция моментларини шунингдек берилган куч-  
лар таъсирида механизм талаб этилган тартибда ҳаракатлана оладиган үлчамларини  
~~аниқлаш~~ лозим бўлади. Ушбу бобда машинали агрегат механизмини динамик текши-  
риш ҳамда уни динамик лойиҳалаш деб аталувчи тўғри ва тескари масалаларини  
ечиш усуслари кўриб чиқилади. Бунда шу нарсани алоҳида қайд этиш лозимки,  
ҳар иккала масалани ечишда механизм бўгинлари мутлақо бикр деб қаралади.

#### 4.1-§. Машиналардаги таъсири өтувчи кучлар ва уларнинг хусусиятлари

Машинанинг механизмларига таъсири өтувчи кучлар ва жуфт куч-  
ларни\* қўйидаги туркумларга бўлиш мумкин.

1. Ҳаракатлантирувчи куч ва моментлар. Улар таъсири  
етиш вақтида ёки бутун цикл давомида (агар улар даврий равиша  
ўзгарадиган бўлса) мусбат иш бажаради. Ушбу куч ва моментлар  
механизмининг етакчи бўгинларига қўйилади.

2. Қаршилик кучлари ва моментлари. Улар таъсири этиш  
даврида ёки цикл жараёнда манфий иш бажаради. Ушбу куч ва мо-  
ментлар, биринчидан, фойдали қаршилик кучлари ва моментларига бў-  
линиади; улар етакланувчи бўгинларга қўйилади ва машинадан татаб  
етилувчи ишни бажаради; иккинчидан, механизм бўгинлари ҳаракатла-  
надиган мухит (газ, суюқлик) нинг қаршилик кучлари ва моментларига  
бўлиниади. Муҳитнинг қаршилик кучлари одатда бошқа кучларга нис-  
батан кичик бўлади, шу сабабли бундан бўён улар ҳисобга олинмади,  
фойдали қаршилик кучлари ва моментлари эса оддийгина қаршилик  
кучлари ва моментлари деб аталади.

3. Ҳаракатланувчи бўгинларнинг оғирлик кучлари ҳамда пру-  
жиналарнинг эластиклик кучлари. Механизм ҳаракатининг маъ-  
лум қисмларида ушбу кучлар ё мусбат, ёки манфий иш бажарниши  
мумкин. Бироқ, тўла кинематик давр жараёнида ушбу кучлар бажар-

\*Бундан бўён, техникага доир адабиётда қабул қилинганидек, «М моментли  
жуфт кучлар қўйилган» ифодаси ўрнига қисқача «И момент қўйилган» ифодасини  
шартланади.

*гін иш нөлге тенг бұлади, чунки уларнинг құйылыш нүктаси даврий ҳаракатланади.*

4. Машина корпусига, яғни стойкага ташқаридан құйилған күч ва моментлар. Буларга корпуснинг оғирлік күчидан ташқары, машина асоснинг (пойдеворининг) уннинг танаасига реакция күчи ҳамда күпгина бошқа күчлар кирады. Ана шу күч ва моментларнинг ҳаммаси құзғалмас корпусга (стойкага) құйылғанлыги сабабы иш бажармайды.

5. Механизм бүғинлари орасидаги үзаро таъсир күчлари, яғни кинематик жуфтликларда таъсир этувчи күчлар. Ушбу күчлар, Ньютоңнинг 3-қонуника муроғын, дөйөм үзаро акс таъсир вұжуда келтирады. Уларнинг нормал ташкил этувчилари иш бажармайды, үринма ташкил этувчилари, яғни ишқаланиш күчлари эса иш бајаради. Бунда кинематик жуфтлик бүғинларининг нисбий ҳаракатида ишқаланиш күчи манфий иш бајаради.

Бириңчи учта группага мансуб күч ва моментлар актив ҳисобланади. Одатда улар маълум бўлиши ёки аниқланыш мумкін. Ушбу күч ва моментларнинг ҳаммаси механизмга ташқаридан таъсир этади, шу сабабы улар ташқи күч ва моментлар ҳисобланади.

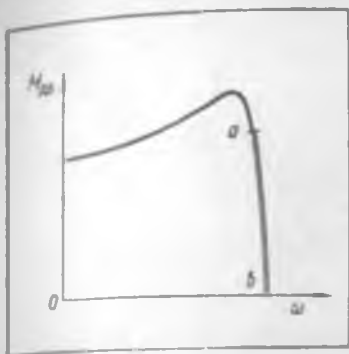
4-группадаги күч ва моментлар ҳам ташқи ҳисобланади. Бироқ уларнинг ҳаммаси ҳам актив бўлавермайди

Агар механизмга уннинг алоҳида қисмларини ажратмаган ҳолда яхлит деб қаралса, 5-группадаги күчлар ички күчлар ҳисобланади. Ушбу күчлар актив күчлар таъсирига реакция күчлари бўлади. Машина асоси (пойдевори) нинг үз танаасига, яғни механизмнинг стойкасига таъсир күчи ҳам реакция күчи ҳисобланади. Реакция күчлари отдиндан маълум бўлмайди. Улар актив күч ва моментларга ҳамда механизм бўғинларининг тезланишларига боғлиқ бўлади.

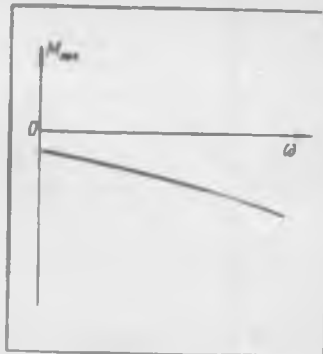
Механизмнинг ҳаракат қонуника ҳаракатлантирувчи (юртывчи) күч ва моментлар, шунингдек қаршилик күчлари ва моментлари энг күп таъсир күрсатади. Уларнинг физик табиаты, қыймати ва таъсири тарзи күриб чиқилаётган механизм құлланилған машина ёки асбонинг иш жараёни билан белгиланади. Күп ҳолларда ушбу күч ва моментлар үзгармас бўлиб турмайди, балки механизм бўғинларининг ҳолати ёки тезлиги үзгариши билан уларнинг қыйматлары ҳам үзгаради. График тарзда ёки рақамлар массиви тарзда, ёхуд аналитик күринищда келтириладиган ушбу функционал боғлиқликлар механик хусусиятлар (характеристикалар) деб аталади ва масалаларни ечишда улар маълум бўлади.

Механик хусусиятларни тасвирлашда ишораларнинг қуйидаги тартибиға риоя қиласыз: агар йўлнинг қаралаётган қисміда (чизиқли ёки бурчакли) улар мусбат иш бажарса, бундай күч ва моментни мусбат деб ҳисоблаймиз.

Күчларнинг тезликка боғлиқ тарзда үзгарувчи хусусиятлар. 4.1-расмда асинхрон электр двигателнинг механик хусусияти — ҳаракатлантирувчи моментнинг машина роторининг бурчак тезлігига боғлиқтаги күрсатылған. ab қисм характеристиканың иш қисми бўлиб, унда айланыш тезлігининг озгина бўлса ҳам ортиши ҳаракатлантирувчи моментнинг кескин камайишига сабаб бўлади.



4.1- расм



4.2- расм

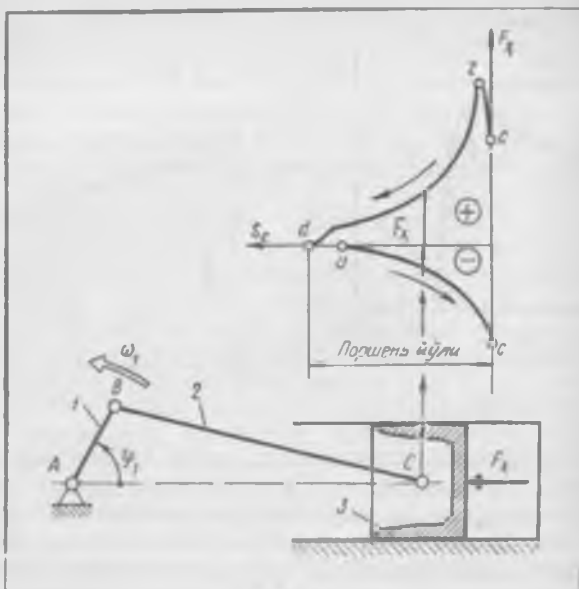
Электр генераторлар, вентиляторлар, ҳаво ҳайдагичлар, марказдаи қочма насослар (4.2-расм) ва яна күпгина бошқа роторлы машиналардаги таъсир этувчи куч ва моментлар ҳам тезликка бөглиқ бўлади.

Тезлик оша бориши билан двигателлардаги момент одатда камая боради, механик энергияни истеъмол қўлтувчи машиналардаги момент эса одатда оша боради. Бундай хусусият жуда фойдалидир, чунки у машинанинг ҳаракат тартибини автоматик тарзда бир хилда тутиб турди. Машиналарнинг бундай хусусиятини ўзини-у эси ростлаш деб атаемиз.

**Кучларнинг ҳаракатга бөглиқ бўлган хусусиятлари.** 4.3-расмда икки тақтли ички ёнув двигатели (ИЁД) нинг кинематик схемаси ва унинг механик хусусияти кўрсатилган. Поршень З га таъсир этаётган  $F_4$  куч доимо чап йўналишда таъсир қиласди. Шунинг учун поршень чап томонга ҳаракатланганда (газининг кенгайиш жараёни) у мусбат иш баъжаради; бу иш мусбат ишора билан кўрсатилган (*cd* чизиқ). Поршень чап томонга ҳаракатланганда (газининг сиқилиш жараёни)  $F_4$  куч манфий ишорали бўлади (*das* чизиқ). Агар ИЁД да ёнилғининг берилishi ўзгармаса, у ҳолда бошланғич бўғиннинг (*I*) кейинги айланнишида  $F_4 = F(s_C)$  механик хусусиятнинг шакли яна такрорланади. Бу эса  $F$  Кучнинг даврий равнишда ўзгаришини билдиради.

$F_4$  куч баъжарган иш график тарзда,  $F_4(s_C)$  эгри чизиқ билан чегаралган юза орқали тасвириланади. 4.3-расмда бу юза икки қисмдан: мусбат ва манфий қисмлардан иборат бўлиб, мусбати манфийсидан каттароқ. Шу сабабли  $F$  куч баъжарган иш бутун давр мобайнида мусбат бўлади. Бинобарин,  $F$  куч ишораси ўзгарувчан бўлса ҳам у ҳаракатлантирувчи куч бўлади. Йўлакай шуни айтниб ўтиш лозимки, агар кучнинг ишораси ўзгарувчан бўлиб, у бир давр мобайнида манфий иш баъжарса, у ҳолда куч қаршилик кучи бўлади.

Факат ҳаракатга қараб ўзгарувчи кучлар кўпгина машина ва асбобларда (поршени компрессорлар, болғалаш машиналари, рандалаш ва тешик ўйниш дастгоҳларида, пневмоорбитали ва пружинали двигателли



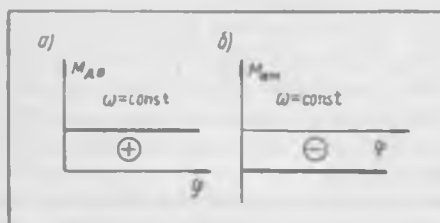
4.3-расм.

асбобларда ва ҳоказо) бўлади, бунда уларнинг таъсири даврий бўлиши ҳам, даврий бўлмаслиги ҳам мумкин.

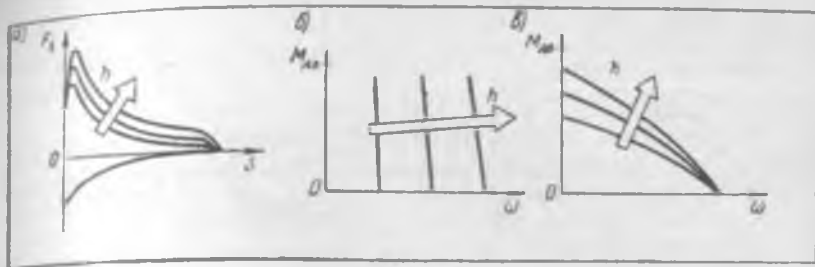
Шуни ҳам таъкидлаш лозимки, роторли машиналардаги момент ҳаракатга, яъни роторнинг бурилиш бурчагига боғлиқ бўлмайди; бундай машиналарнинг  $\omega = \text{const}$  бўлгандаги хусусиятлари 4.4-расм, а, б да тасвирланган. Бунда машина-двигателларда  $M_{\text{дв}} > 0$ , механик энергия истеъмол қитувчи машиналарда (яъни иш машиналарида) эса  $M_{\text{им}} < 0$  бўлади.

Агар ИЕД да ёнилги берилishi ўзgartирилса, у ҳолда унинг меҳаник хусусияти эгри чизиклар оиласи кўрининшини олади (4.5-расм, а): ёнилги берилниши қанча кўпайса (оиланинг  $h$  параметри), хусусият чизиги шунча баландроқ жойлашади. Шунтли электр двигателнинг меҳаник хусусияти ҳам эгри чизиклар оиласи билан тасвирланади (4.5-расм, б): двигателнинг уйғотиши чулгами қаршилиги ( $h$  параметри) қанча катта бўлса, эгри чизик шу қадар ўнгроқда жойлашади.

Гидродинамик муфтанинг меҳаник хусусияти ҳам эгри чизиклар оиласи кўринишададир (4.5-расм, б). муфта суюқлик билан қанча сўп тўлдирилса ( $h$  параметр), хусусият чизиклари шунча ўнгроқ ва юқорироқда жойлашади.



4.4-расм.



4.5- рәсм

Шундай қилиб, иссиқлик, электр ёки гидравлик юритманинг  $h$  параметрига таъсир кўрсатиш орқали унинг ишлаш тартибини бошқа-риятлантирувчи кучи ёки тезлигини ошириш мумкин. Шу билан бирга, бошқариш параметри  $h$  машина орқали ўтувчи энергия оқими миқдори билан боғлиқ, яъни унинг юкланиш даражасини зашунумини белгилаб беради.

#### 4.2- §. Машинали агрегатнинг динамик нусхаси (модели)

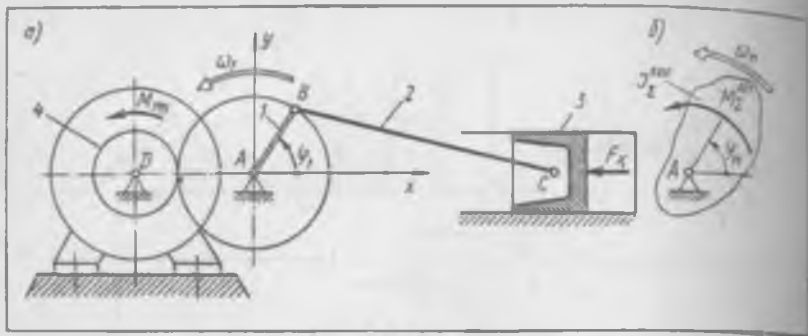
Машинали агрегат механизми одатда турли бўғинларига таъсир этувчи куч ва моментлар билан юклangan кўп бўғинли системадир. Буни яхшироқ тасаввур этиш учун мисол тарзида куч установкасини кўриб чиқамиз; унда ички ёнувдвигатели (ИЕД) тишли узатма орқали механик энергия истеъмолчисининг, яъни иш машинасининг валини (4.6-расм, a) ҳаракатга келтиради. Бундай истеъмолчи электр генератор ёки вентилятор, ёхуд марказдан қочма нассас, ёки бошқа иш машинаси булиши мумкин.

Поршень З га ҳаракатлантирувчи куч  $F$  иш машинасининг ротори 4 га қаршилик моменти  $M_{им}$  ҳамма бўғинларга оғирлик кучлари, барча кинематик жуфтликларга ишқаланиш кучлари таъсир қиласди. Агар ИЕД бир неча цилиндри бўлса, у ҳолда қўзғалувчан бўғинлари сони тўрттадан кўпроқ бўлади. Бунда ҳар бир поршenga алоҳида алоҳида ҳаракатлантирувчи кучлар таъсир қиласди, шу туфайли механизмин юкланиши янада мураккаблашади.

Бундай кўп бўринли мураккаб системанинг ҳаракат қонунини аниқлаш мураккаб масаладир. Бироқ кўриб чиқаётгаш мисолимизда механизм битта эркинлик даражасига эга ( $W = 1$ ). Бу, биринчи навбатда атиги битта бўғиннинг ҳаракат қонунини аниқлаш лозимлигини билдиради; ана шу бўғин энди бошлангич бўғин бўлиб қолади. Масаланинг бундай қўйилиши, кўп бўғинли мураккаб механизмни битта шартли бўғин билан алмаштириш керак, деган фикрга олиб келади.

Тадқиқ этнлаётган механизмнинг бошлангич бўрини сифатида ИЕД нинг тирсакли валини, яъни бўрин I ни танлаймиз (4.6-расм, a)\*.

\*Агар берилган механизмнинг узлуксиз валини ҳаракат қиласиган бўғини бўлса, у ҳолда худди ўша бўғинни бошлангич деб қабул қилиш мақсадига мувофиқдир.



4.6-расм

Шартли бүғинга (4.6-расм, б) шундай талаб құйымыз: унинг айни пайтдаги инерция моменті  $J_{\Sigma}^{\text{ел}}$  ва  $M_{\Sigma}^{\text{ел}}$  моменті шундай бұлсинки, бунда шартли бүғиннинг ҳаракат қонуни бошланғич бүғин I нинг ҳаракат қонуни билан тұла равища мос түшсин. Бу эса шартли бүғин механизмнің үзиге хос динамик нусхасы (модели) бұлыб қолишини англатади. Демек, агар шу оддий нусханинг (4.6-расм, б) ҳаракат қонунини аниқласақ, у ҳолда берилған механизмдеги бошланғич бүғиннинг изланаттеган ҳаракат қонуни үз-үзидан маълум бұлыб қолади, яғни исталған вақт учун қуйидаги тенглама үрінли болади:

$$\omega_1 = \omega_n, \quad (4.1)$$

бунда:  $\omega_1$  — бошланғич бүғиннинг (олинган мисолда бүғин I нинг бурчак теңлигі;  $\omega_n$  — нусханинг бурчак теңлигі.

Айтилғандардан келиб чиқадыки, механизмнің нусхасини ясашда механизмға тәъсір этувчи ҳамма күч ва моментлар битта бүғинга көлтирилади ва көлтирилған моментларнинг ійғиндиси  $M_{\Sigma}^{\text{ел}}$  билан, яғни назарий механизкада умумлашған күч деб аталувчи ҳисобладаб аниқланған қиймат билан алмаштирилади. Демек,  $M_{\Sigma}^{\text{ел}}$  механизмға құйилуучы ҳамма юкланишларнинг эквивалентидір. Худди шу каби, ҳамма бүғинларнинг массалары (аниқроғи, уларнинг инертилілігі) ҳам битта бүғинга көлтирилади ва көлтирилған инерция моментінің ійғиндиси  $J_{\Sigma}^{\text{ел}}$  билан алмаштирилади. Мураккаб күч ва моментлар системасы билан юкланған күп бүғинли механизмнің (4.6-расм, а) үзи эса содда нусха билан (4.6-расм, б) алмаштирилади.

Шундай қилиб, динамик нусханы ясаш күчларни көлтириш ( $M_{\Sigma}^{\text{ел}}$  ии аниқлаш) ва массаларни көлтириш ( $J_{\Sigma}^{\text{ел}}$  ии аниқлаш) дан иборат. Бунда динамик нусханы шундай ясаш лозимки, (4.1) тенглама бажарыладынан бұлсин; акс ҳолда берилған мавжуд механизмдан уннан нусхасыга үтиш үз маъносини йүқтади. II тартиби Лагранж тенгламасында, (4.1) тенгламаның бажарылышини таъминлаш учун жаңа күчларни көлтиришида элементар шиларнинг тенглігі шарты берілген, массаларни көлтиришида жаңа кинетик энергиялар тенглігі шарты бажарылышы лозим.

### 4.3- §. Күчларни келтириш

Күчларни келтиришни эркінлік даражасын біттә бұлган ( $W = 1$ ) механизм мисолида (4.7-расм, а) көриб чиқамыз. Бошланғич бұғин қиындыбынан 1 ні таңлаймиз. Механизм  $\bar{F}$  ва  $\bar{F}_3$  күчлар ва  $M_4$  момент билан юкланды. Механизмнің уннан нусхасы билан алмаштирамыз жамда үнгә иккапа күч ва моментни келтирамыз. Натижада  $\bar{F}$  ва  $\bar{F}_3$  күчлар да  $M_4$  момент мос равнішда келтирилген моментларға айланады (4.7-расм, б). Уларнинг алгебраик йиғиндинеси нусхага қойылған келтирилген моментлар йиғиндинесининг қийматини береди (4.7-расм, в):

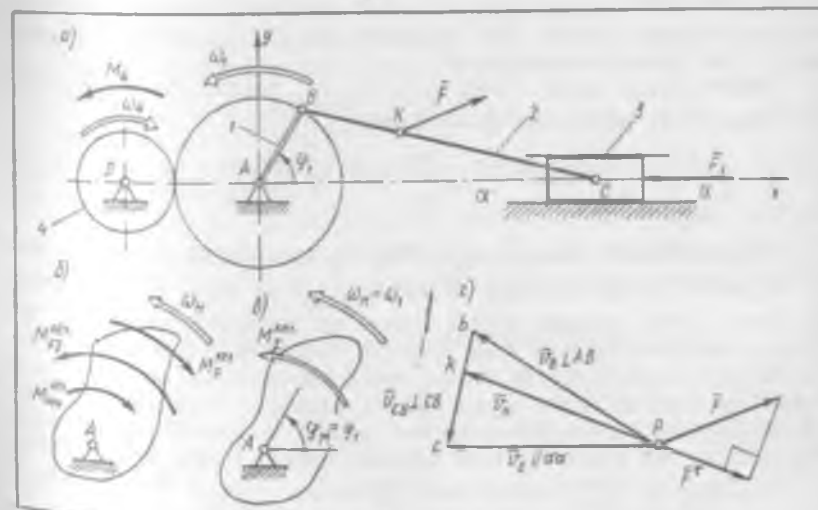
$$M_{\Sigma}^{\text{кел}} = M_F^{\text{кел}} + M_{F3}^{\text{кел}} + M_4^{\text{кел}}, \quad (4.2)$$

$\bar{F}$  күчни келтирамыз, яғни  $M_F^{\text{кел}}$  ни анықтаймиз. Буннинг учун 4.2-§ га ассоцан дастлабки шартни — амалда қойылған  $F$  күч ва уни алмаштирувчы  $M_F^{\text{кел}}$  келтирилген момент бажарған элементар шиларнинг тенглигиги шартиниң өзінш лозим:

$$M_F^{\text{кел}} d\varphi_M = F ds_K \cos(\bar{F}, \bar{ds}_K), \quad (4.3)$$

бунда  $d\varphi_M$  ва  $ds_K$  — нусханинг ва күч қойылувчи  $K$  нүктесининг мұмкін бұлған сипатшалары.  $d\varphi_M = d\varphi_1$  эканлығы келиб чиқады (4.1) тенглеманың өткізбекке олған қолда (4.3) тенглеманы изланаётгандың келтирилген моменттаң нисбетан ечамыз:

$$\begin{aligned} M_F^{\text{кел}} &= F \frac{ds_K}{d\varphi_1} \cos(\bar{F}, \bar{ds}_K) = F \frac{ds_K/dt}{d\varphi_1/dt} \cos(\bar{F}, \bar{ds}_K) = \\ &= F \frac{v_K}{\omega_1} \cos(\bar{F}, \bar{ds}_K), \end{aligned}$$



4.7-расм

бундан  $\langle (\bar{F}, \bar{ds}_K) = \langle (\bar{F}, \bar{v}_K) \rangle$  эканлигини ҳисобга олган ҳолда ушбу буга эга бўламиз:

$$M_p^{\text{кел}} = F \frac{\bar{v}_K}{\omega_1} \cos(\bar{F}, \bar{v}_K). \quad (4.4)$$

(4.4) тенглама умумлаштирувчи маънога эга:  $K$  нуқта деганда меканизмининг қиймати ва йўналиши маълум бўлган  $F$  куч қўйиладиган иштаган нуқтасини тушуниш мумкин.

$M_i$  моментни келтирамиз. Дастрабки шартни — элементар ишларнинг тенглигини ёзамиз:

$$\frac{M_{M1}^{\text{кел}}}{M_1} \Phi_M = M_1 d \Phi_4. \quad (4.5)$$

бунда  $d \Phi_M$  ва  $d \Phi_4$  — нусха ва бўғин 4 нинг мумкин бўлган бурчак сийжишлари.  $d \Phi_M = d \Phi_1$  эканлигини эсда тутган ҳолда (4.5) тенгламани  $M_{M1}^{\text{кел}}$  га иисбатан ёзамиз:

$$M_{M1}^{\text{кел}} = M_1 \frac{d \Phi_4}{d \Phi_4} = M_1 \frac{d \Phi_4/dt}{d \Phi_1/dt} = M_1 \frac{\omega_4}{\omega_1},$$

тугалланган кўринишда эса қўйидагича ёзамиз:

$$M_{M1}^{\text{кел}} = M_1 \frac{\omega_4}{\omega_1}. \quad (4.6)$$

(4.6) тенгламани умумлаштирувчи кўринишга келтириш мумкин:

$$M_{Mj}^{\text{кел}} = M_j \frac{\omega_j}{\omega_1}. \quad (4.7)$$

бунда  $M_j$  —  $j$  — бўринга қўйилган ҳақиқий момент.

(4.4) ва (4.7) тенгламалардан амалий ҳисоблаш ишларида ё график усуlda (планлар усули), ёки аналитик усуlda (аналоглар ёрдамида) ёчиш учун фойдаланиш мумкин.

График усул. Бунинг учун  $\omega_1 = v_B / l_{AB}$  эканлигини назарда тутган ҳолда (4.4) тенгламани ўзгартирамиз:

$$M_p^{\text{кел}} = Fl_{AB} \frac{\bar{v}_K}{v_B} |\cos(\bar{F}, \bar{v}_K)|. \quad (4.8)$$

(4.8) тенгламага  $|\cos(\bar{F}, \bar{v}_K)|$  абсолют катталикни қўйиш лозим.

Мумкин бўлган тезликлар иисбати  $v_K/v_B$  ни ҳамда  $(\bar{F}, \bar{v}_K)$  бурчакни топиш учун мумкин бўлган тезликлар планини тузамиз.  $W=1$  бўлган меканизм учун бу план ҳақиқий тезликлар плани каби тузилиди (32-§ га қаранг). Бунда шуни унумаслик лозимки, мумкин бўлган тезликлар ҳақиқий тезликлардан фарқли ўлароқ, таъсир этувчи кучларга борлиқ эмас, яъни меканизмнинг ҳаракат қонуни билан боғланмаган бўлади ва бунинг устига муайян қийматга ҳам эга бўлмайди.

Келтирилган  $M_p^{\text{кел}}$  моментнинг йўналиши шундай аниқланадиган ташкил этувчишинг йўналиши  $v_K$  нинг йўналишига қарама-қарши

бұлғанлығы сабабли (4.7-расм, ə)  $M_{P3}^{k\text{ел}}$  моменттіннг йұналиши ҳам  $\omega_4$  нинг йұналишінга тескари бұлады (4.7-расм, б).

(4.8) тенгламадан  $F_3$  күчни көлтириш учун фойдаланамыз, бунда  $\cos(\bar{F}_3, \bar{v}_C) = 1$  эканлыгини ҳисобга оламыз, чунки  $\langle \bar{F}_3, \bar{v}_C \rangle = 0$ :

$$M_{P3}^{k\text{ел}} = F_3 l_{AB} \frac{v_C}{v_B}, \quad (4.9)$$

Көлтирилган  $M_{M4}^{k\text{ел}}$  моментті аниқлаш учун (8.6) тенгламадан фойдаланамыз, бунда  $\omega_4/\omega_1 = u_{41}$  эканлыгини ҳисобга оламыз (4.7-шакл, а):

$$M_{M4}^{k\text{ел}} = M_4 |u_{41}|. \quad (4.10)$$

(4.10) тенгламаға узатыш нисбати  $|u_{41}| = z_1/z_4$  нинг абсолют қийматини қўйиш лозим. Көлтирилган  $M_{M4}^{k\text{ел}}$  момент  $\omega_M$  йұналишінга қарама-қарши йұналади (4.7-расм, б), чунки берилған  $M_4$  момент  $\omega_4$  га тескари йұналишда таъсир қиласы.

Аналитик усул. Бұннинг учун  $Axy$  түғри бурчаклы координаталар системасини белгилаймыз (4.7-расм, а).

$M_{P3}^{k\text{ел}}$  ни аниқлаш мақсадида ҳисоблаш тенгламасини тузамыз.  $\bar{F}$  күчинің күвватини [(4.4) тенгламаға қаранг] проекциялар орқали ифодаймыз:

$$F v_K \cos(\bar{F}, \bar{v}_K) = F_x v_{Kx} + F_y v_{Ky}.$$

Ушбу ифодани (4.4) тенгламаға кўйиб ушбуни ҳосил қиласыз:

$$M_{P3}^{k\text{ел}} = F_x \frac{v_{Kx}}{\omega_1} + F_y \frac{v_{Ky}}{\omega_1}.$$

3.3-§ дан маълумки  $v_{Kx}/\omega_1 = v_{qKx}$ ,  $v_{Ky}/\omega_1 = v_{qKy}$  нисбатлар  $K$  нуқта тезлігі аналогининг проекцияларидир. Шу сабабли охирги тенглама узил-кесил ҳисоблашга қулаги кўринишга келади:

$$M_{P3}^{k\text{ел}} = F_x v_{qKx} + F_y v_{qKy}. \quad (4.11)$$

Шуни айтиш лозимки, (4.11) тенгламаға ҳамма проекциялар ўз ишоралари билан қўйилади.

Ҳисоблаш натижасида көлтирилган момент  $M_{P3}^{k\text{ел}} > 0$  бўлса, бундай ҳолда у соат милининг ҳаракат йұналишига қарама-қарши йұналган бўлади; агар  $M_{P3}^{k\text{ел}} < 0$  бўлса, у ҳолда  $M_{P3}^{k\text{ел}}$  соат милининг ҳаракат йұналиши буйича йұналган бўлади.

(4.11) тенгламадан  $F_3$  күчни көлтириш учун фойдаланамыз:

$$M_{P3}^{k\text{ел}} = F_3 v_{qCz}. \quad (4.12)$$

Берилған механизмда  $C$  нуқта  $x$  өкі бўйлаб ҳаракатланади (4.7-расм, а). Шу сабабли  $v_{qCz} = 0$ .  $M_{P3}^{k\text{ел}}$  нинг ишораси унинг йұналишини кўрсатиб туради.

$M_4$  моменти көлтириш учун (4.6) тенгламадан фойдаланамыз. Узатыш нисбати  $u_{41} = \omega_4/\omega_1 = -z_1/z_4 < 0$ , чунки тишли гидрилаклар 4 ва 1

нинг ўзаро ташқи илашмасида улар бир-бирига қараб айланади (4.7-расм, а). Шу сабабли

$$M_{M_4}^{\text{ел}} = M_4 (-z_1/z_4). \quad (4.13)$$

$M_{M_4}^{\text{ел}}$  нинг ишораси унинг ҳаракат йўналишнин билдиради.

Умумийроқ ҳолда, яъни  $M_I$ , момент қўйилган  $j$  бўғин бошлангич бўғин  $I$  билан бирор узатма орқали боғланмаган ҳолда  $\omega_j/\omega_1$  иисбат [(4.7) тенгламага қаранг]  $\omega$ , бурчак тезликкунинг  $\omega_{qj}$  аналогини билдиради (3.1-ѓ га қаранг). Бинобарин, ҳисоблаш формуласи умумий ҳолда қўйидагича ёзилади:

$$M_{M_I}^{\text{ел}} = M_I w_{qj}.$$

Аналитик усулнинг афзаллиги шундан иборатки, у ҳисоблаш ишларда ЭҲМ дан фойдаланишга имконият яратади. Бироқ, шуни унумаслик керакки, аналитик усул тезликклар аналогларини ҳамда кучларни проекциялаш формулаларини билишини талаб қиласди, бу эса доимо осон куча бермайди.

$M_{M_4}^{\text{ел}}$ ,  $M_{P_4}^{\text{ел}}$ ,  $M_{M_4}^{\text{ел}}$  аниқлаб (график ёки аналитик усулда) бўлингандан сунг улар (4.2) тенгламага асосан алгебранк қўшилди ҳамда изланётган  $M_{\Sigma}^{\text{ел}}$  момент аниқланади.  $M_{\Sigma}^{\text{ел}}$  ни ҳам Жуковский теоремасидан фойдаланган ҳолда [1, 3, 5] график усул билан аниқлаш мумкин

Машинали агрегатнинг механизми учун келтирилган моментлар графикларини ясаймиз (4.6-расм, а). Машиналарининг механик хусусиятларни берилган. Бўғин  $I$  ни бошлангич деб қабул қиласмиш.

Келтиришни график усулда амалга оширамиз. Механизмнинг тури ҳолатлари учун битта иш цикли доирасидаги мумкин бўлган тезликклар планларини тузамиз. Келтирилган ҳаракатлантирувчи момент  $M_{\Sigma}^{\text{ел}}$  ни,  $F_3 = F$  деб олган ҳолда (4.9) тенгламадан фойдаланиб аниқлаймиз:

$$M_{\Sigma}^{\text{ел}} = F_x I_{AB} \frac{v_{qj}}{v_B}.$$

Механизмнинг ҳар бир ҳолати учун  $F_x$  нинг қийматини унинг механик хусусиятидан оламиш (4.3-расм). Келтириш планлар усули билан (график усул билан) бажарилса, у ҳолда келтирилган моментлар механик хусусиятдаги ҳақиқий қўйилувчи куч ва моментларнинг ишораларини олади.  $M_{\Sigma}^{\text{ел}}(\Phi_1)$  нинг графиги 4.8-расм, а да кўрсатилган.

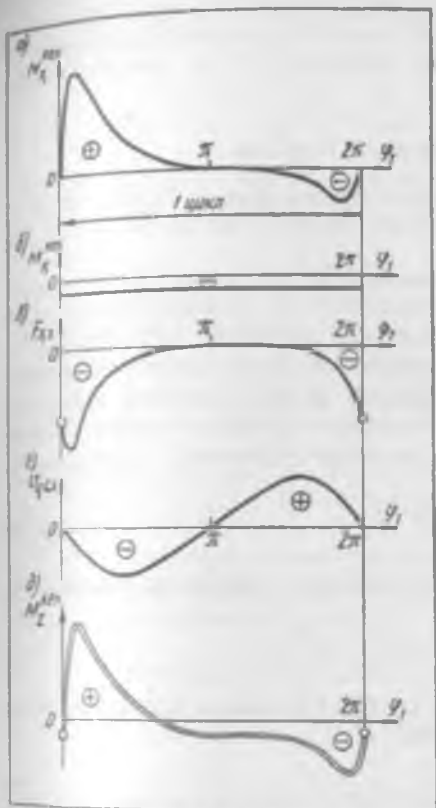
Келтирилган қаршилик моменти  $M_{\Sigma}^{\text{ел}}$  ни  $M_4 = M_{\Sigma}^{\text{ел}}$  деб қабул қилган ҳолда (4.10) тенгламадан аниқлаймиз:

$$M_4^{\text{ел}} = M_{\Sigma}^{\text{ел}} |u_{qj}|.$$

$M_{\Sigma}^{\text{ел}}$  моментни, иш машинасининг (генераторнинг) вали деярли бир текис айланади, деб фараз қилган ҳолда механик хусусиятидан оламиш (4.4-расм, б.)  $M_{\Sigma}^{\text{ел}}(\Phi_1)$  нинг графиги 4.8-расм, б да кўрсатилган.

Аналитик усулга ўтамиш:  $Axy$  координаталар системасини белгилаймиз (4.6 расм, а). Келтирилган ҳаракатлантирувчи момент  $M_{\Sigma}^{\text{ел}}$  ни  $F_{3x} = F$  деб фараз қилган ҳолда (4.12) тенгламадан аниқлаймиз:

$$M_{\Sigma}^{\text{ел}} = F_{3x} v_{qCx}. \quad (4.14)$$



4.8-расм

$M_{im}$  соат милининг ҳаракат йўналишига қарама-қарши йўналганлиги. сабабли (4.6-расм, а) векторлар алгебраси қондасига асосан  $M_{im} > 0$  бўлади, бинобарин,  $M_{im}^{kcl} < 0$ .  $M_{im}$  моментнинг абсолют қийматини механик хусусиятидан олиш лозим (4.4-расм, б). Қелтирилган қаршилик моменти  $M_4^{kcl}(\varphi_1)$  ҳам планлар усули билан ҳосил қилинган графиги орқали тасвиранади (4.8-расм, б).

Бу ерда эътиборни шунга жалб этиш лозимки, механик хусусиятларда куч ва моментларни тасвирилашдаги ишоралар қондаси куч проекцияларининг ва моментларнинг ишораларини аниқлаш учун векторлар алгебрасидан олинган қондадан мутлақо фарқ қиласди. Шу сабабли келтирилган моментларнинг график ва аналитик усувлар билан ҳосил қилинган ишоралари фақат бошланғич бўғин соат милининг ҳаракат йўналишига қарама-қарши айлангандагина, яъни мусбат йўналишда ҳаралангандағина мос тушади.

Келтирилган моментларнинг йигиндиси мана бундай аниқланади:

$$M_{\Sigma}^{kcl} = M_4^{kcl} + M_4^{kcl} \quad (4.15)$$

$F$  куч механизмнинг исталган ҳолатида ҳам чап томонга (4.6-расм), яъни манфий йўналишда таъсир этганлиги учун векторлар алгебраси қондасига асосан  $F$  проекцияси манфий ишора берилиши керак (4.8-расм, б). Тезлик аналоги проекцияси  $v_{qCx}$  қуйидаги

$$v_{qCx} = -l_{AB} \sin \varphi_1$$

$$\left( 1 + \frac{\cos \varphi_1}{\sqrt{\lambda_2^2 - \sin^2 \varphi_1}} \right)$$

тенгламадан аниқланади. (3.3-§ га қаранг) ва 4.8-расм, г да тасвириланган.

(4.14) тенглама ёрдамида ҳисоблаб  $M_4^{kcl}(\varphi_1)$  келтирилган момент графикини ҳосил қиласмиз; бу график планлар усули билан ҳам олинган графикка ўхшайди (4.3-расм, а).

Келтирилган қаршилик моментини  $M_4 = M_{im}$  деб қабул қилган ҳолда (4.13) тенгламага асосан ҳисоблаймиз (4.4-расм, б):

$$M_{im}^{kcl} = M_{im} (-z_1/z_4).$$

(4.8-расм, а га қаранг). Шундай қнлиб, күчларни келтириш шатижасы да механизмга таъсир этувчи барча асосий юкланишлар (4.6-расм, а) биттағина келтирилган моментлар йиғиндиси билан алмаштирилады (4.6-расм, б).

#### 4.4-8. Массаларни келтириши

Массаларни келтиришни эркинлик даражаси битта бұлган ( $W = 1$ ) механизм мисолида (4.9-расм, а) күриб чиқамиз. Бошланғич қилиб бергін  $I$  ни танлаймиз.

Берилган механизмни унинг динамик нусхаси билан алмаштирамыз (4.9-расм, б), яғни нусхада механизм ҳамма бүғиннинг инерциялыгынни мужассамлаймиз. Нусханинг инерция моментини  $J_{\Sigma}^{\text{кел}}$  орқали белгилаймиз. Бинобарин,  $J_{\Sigma}^{\text{кел}}$  бутун механизмнинг инерциялыгига эквивалент болады ва у механизмнинг келтирилган инерция моменти дейнләди. 42-§ да күрсатылғаныдай,  $J_{\Sigma}^{\text{кел}}$  каттатик нусханинг кинетик энергияси  $T_H$  нинг бутун механизм кинетик энергияси  $T$  га тенгләзе шартидан аниқланады:

$$T_n = T. \quad (4.16)$$

Нусханинг (4.9-шакт, б) кинетик энергияси қуйидагича аниқланады:

$$T_n = \frac{J_{\Sigma}^{\text{кел}} \omega_n^2}{2}.$$

$i$  бүғиннинг кинетик энергияси умумий күрнишда қуийдагыча өзгериши мүмкінлігінің әслатыб үтамыз:

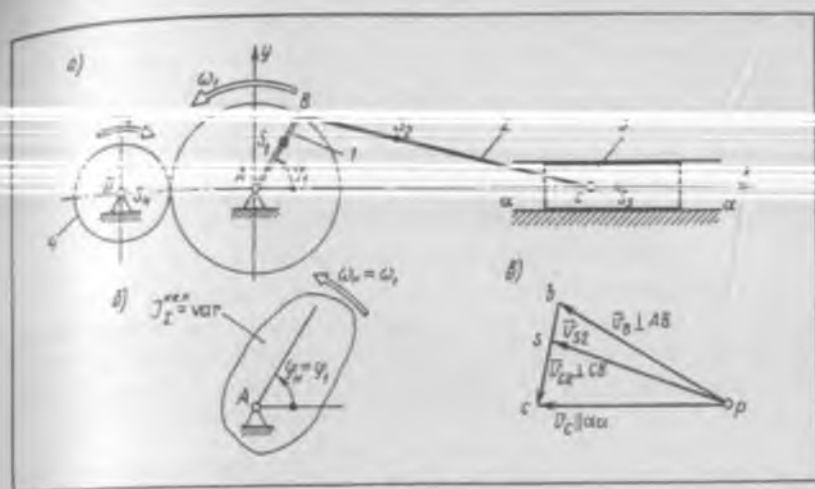
$$T_i = \frac{m_i v_{si}^2}{2} + \frac{J_{is} \omega_i^2}{2}, \quad (4.17)$$

бунда:  $v_{si}$  —  $i$  бүғин массалари маркази  $S_i$  нинг тезлиги;  $J_{is}$  —  $i$  бүғиннинг массалар маркази  $S_i$  дан үтүвчи үккә нисбатан инерция моменти. Ҳаракат илгарилама бұлғанда  $\omega_i = 0$ . Ҳаракат  $A$  үк атрофыда айланыш тарзыда бұлғанда (4.17) тенглама қуийдеги күрнишга келтирилады:

$$T_i = \frac{J_{is} \omega_i^2}{2}.$$

Берилган механизмнинг (4.9)-расм, а) кинетик энергияси  $T$  ундағы түрттала құзғалуучан бүғиннинг кинетик энергиялары йиғиндисидән ташкил топады:  $T = T_1 + T_2 + T_3 + T_4$ . Бүғин 1 айланма ҳаракатда, бүғин 2 текис ҳаракатда, бүғин 3 илгарилама ҳаракатда, бүғин 4 айланма ҳаракатда иштирок этады. Шу сабабли

$$T = \frac{J_{1A} \omega_1^2}{2} + \left( \frac{m_2 v_{S2}^2}{2} + \frac{J_{2S} \omega_2^2}{2} \right) + \frac{m_3 v_C^2}{2} + \frac{J_{4D} \omega_4^2}{2}.$$



4.9-расм

$T_1$  ва  $T$  лар иғодатарини дастлабки (4.16) тенгламага құйымиз вә (4.1) тенгламани назарда тутган ҳолда содда содда ўзgartириштардан сүнг ушбунни ҳосил қыламиз:

$$J_{\Sigma}^{\text{кел}} = J_{1A} + m_2 \left( \frac{v_{S2}}{\omega_1} \right)^2 + J_{2S} \left( \frac{\omega_2}{\omega_1} \right)^2 + m_3 \left( \frac{v_C}{\omega_1} \right)^2 + J_{4D} \left( \frac{\omega_4}{\omega_1} \right)^2. \quad (4.18)$$

(4.18) тенгламадан амалда фойдаланиш учун ё график усулни (мумкин бўлган тезликлар планлари ёрдамида), ёки аналитик усулни (тезликлар аналоги ёрдамида) қўллаш зарур.

График усул.  $\omega_1 = v_B/l_{AB}$ ,  $\omega_2 = v_{CB}/l_{CB}$ ,  $\omega_4/\omega_1 = u_{41}$  эканлигини назарда тутган ҳолда (4.18) тенгламани ўзгартирамиз:

$$J_{\Sigma}^{\text{кел}} = J_{1A} + \left[ m_2 P_{AB} \left( \frac{v_{S2}}{v_B} \right)^2 + J_{2S} \left( \frac{l_{AB}}{l_{CB}} \right)^2 \left( \frac{v_{CB}}{v_B} \right)^2 \right] + m_3 P_{AB} \left( \frac{v_C}{v_B} \right)^2 + J_{4D} u_{41}^2. \quad (4.19)$$

Эркинлик даражаси битта бўлган механизмда ҳақиқий тезликларнинг шисбати мумкин бўлган тезликларнинг нисбатига тенг. Шу сабабли уша бу нисбатларни мумкин бўлган тезликлар планидан (4.9-расм, б) оламиз.

Аналитик усул. 31-§ га асосан (4.18) тенгламадаги қавс ишгига олинган нисбатлар тезликлар аналогларидан иборатидир:

$$\frac{v_{S2}}{\omega_1} = v_{qS2}, \quad \frac{\omega_2}{\omega_1} = \omega_{q2}, \quad \frac{v_C}{\omega_1} = v_{qC}, \quad \frac{\omega_4}{\omega_1} = \omega_{q4},$$

шунинг учун (4.18) тенгламани мана бундай ёзамиш:

$$J_{\Sigma}^{\text{кел}} = J_{1A} + (m_2 v_{qS2}^2 + J_{2S} \omega_{q2}^2) + m_3 v_{qC}^2 + J_{4D} u_{q1}^2. \quad (4.20)$$

$v_{qen} = 0$  бўлгани учун  $v_{qS2}^2 = v_{qS2}^2 + v_{qC}^2$ ,  $v_{qC}^2 = v_{qC}^2$ . Бундан қарди,  $\omega_{q2} = \omega_4 / \omega_1 = u_{q1} = -z_1 / z_4 = \text{const}$ . Аналитик усууда ҳисобланни ЭХМда бажариш мумкин.

(4.20) тенгламага исталган механизм учун татбиқ этилиши мумкин бўлган умумлашган кўриниш берса бўлади:

$$J_{\Sigma}^{\text{кел}} = \sum_{i=1}^n (m_i v_{qSi}^2 + J_{iS} \omega_{qi}^2), \quad (4.21)$$

бунда  $n$  — механизмнинг қўзғалувчан бўғинлари сони. Қавс ичидағи  $v_{qSi}$  ва  $\omega_{qi}$  лар механизмнинг узатиш хусусиятини ифодаловчи тезликлар аналоглариидир. (4.21) тенгламадан кўринадики, механизмнинг келтирилган инерция моменти  $J_{\Sigma}^{\text{кел}}$  унинг ҳаракат қонунинг боғлиқ эмас ва механизмнинг ўзининг хусусияти бўлади.

Механизмнинг келтирилган инерция моменти  $J_{\Sigma}^{\text{кел}}$  ни ундаги алоҳида бўғинлар инерция моментларининг йиғинидиси деб қараш мумкин. Шу сабабли (4.19) ва (4.20) тенгламаларни кўйидаги кўрнишда ёзамиш:

$$J_{\Sigma}^{\text{кел}} = J_{1A}^{\text{кел}} + J_{2S}^{\text{кел}} + J_{3S}^{\text{кел}} + J_{4D}^{\text{кел}},$$

бунда

$$J_{1A}^{\text{кел}} = J_{1A} = \text{const}, \quad (4.22)$$

$$J_{2S}^{\text{кел}} = m_2 l_{AB}^2 \left( \frac{v_{qS2}}{v_B} \right)^2 + J_{2S} \left( \frac{l_{AB}}{l_{CB}} \right)^2 \left( \frac{v_{qCB}}{v_B} \right)^2 = m_2 v_{qS2}^2 + J_{2S} \omega_{q2}^2 = \text{var}, \quad (4.23)$$

$$J_{3S}^{\text{кел}} = m_3 l_{AB}^2 \left( \frac{v_{qC}}{v_B} \right)^2 = m_3 v_{qC}^2 = \text{var}, \quad (4.24)$$

$$J_{4D}^{\text{кел}} = J_{4D} u_{q1}^2 = \text{const}. \quad (4.25)$$

$J_{1A}^{\text{кел}}$  ва  $J_{4D}^{\text{кел}}$  келтирилган инерция моментлари ўзгарувчан катталикларидир, чунки (4.23) ва (4.24) ифодаларга ё мумкин бўлган тезликлар инсабати, ёки механизмнинг ҳолатига боғлиқ бўлган тезликлар аналоглари Киради. Шу туфайли бутун механизмнинг келтирилган инерция моменти [(4.19) ва (4.20) тенгламалар] ҳам умумлашган  $\varphi_1$  координатага боғлиқ тарзда ўзгарида. Бундай боғлиқликнинг даврийлик хусусияти кўпгина механизмларга хосdir. Бироқ шундай механизмлар ҳам борки (масалан, тишили, шарнирлн параллелограмм механизмлар ва ҳоказо) уларнинг келтирилган инерция моментлари ўзгармас бўлади.

Юқорида айтилганлардан келиб чиқадики, механизмни алмаштирадиган нусха (4.9-расм, б) шартли жисмдир, чунки ҳақиқий физик жисмлар ўзгармас инерция моментига эга бўлгани ҳолда унинг инерция моменти (умумий ҳолда) ўзгарувчандир.

Хулоса қилиб шуни айтамизки, мүмкін бұлган тезликлар планлары ҳам, тезликлар ана еглари ҳам механизмнің ҳаракат қонуніга болғып бұлмайды. Шу сабабынан массаларни көлтиришни қамтим, құндыларнан көлтиришни ҳам механизмнің ҳаракат қонунини білмеган қолда ҳам амалға ошириш мүмкін. Демек, динамик массаларның ечишінде дастлаб механизмнің динамик нусхасын ясаш па күч массаларының унга көлтириш, сүнгра уннан ҳаракат қонунини анықлаш мүмкін (ва ҳатто зарур).

#### 4.5- §. Механизмнің ҳаракат тенгламасы

Күч ва массаларни көлтириш натижасында битта әркінлік даражасын бұлға ҳар қандай механизм (ричагли, тишли, муштли ва ҳоказо) қаптама мұраққаб бұлмасын, уни динамик нусха билан алмаштириш мүмкін (4.10- расм). Умумий қолда бу нусха үзгарувчан инерция моменттері  $J_z$  га зерттеуде дастанады да күнде көлтирилген моментлар йиғиндесі  $M_z^*$  күйілған бұлады. Нусханың ҳаракат қонунин механизм бошланғич бүниннің ҳаракат қонунин кабидір [(4.1) тенгламада қаранг].

Кинетик энергияның үзгариш теоремасы әркінлік даражасын битта бұлған механизмнің ҳаракат тенгламасын тузиш учун асоо бұлады:

$$T - T_{\text{бош}} = \sum A. \quad (4.26)$$

Актив күчлар да моментлар ҳамда механизмларнің барча кинематик жүфтілділіктеридегі ишқаланыш күчлери иш бажарады (4.1- § га қаранг).

**Энергетик құринишидегі ҳаракат тенгламасы.** (4.1) тенгламаны назарда тутган қолда нусханың кинетик энергиясы формуласын ёзамиш:

$$T_n = J_z \omega^2 / 2. \quad (4.27)$$

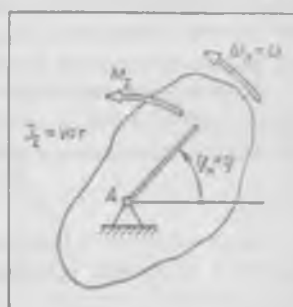
Нусхага күйілған ҳамма юктаниш көлтирилген моменттерінің йиғиндесі  $M_z$  орқали ифодаланғанлығы сабабынан ишлар йиғиндесі құйылғандағы тенг:

$$\sum A = \int_{\text{бош}}^n M_z d\varphi. \quad (4.28)$$

Бунда интеграллаш үзгарувчысы  $\Phi$  бошланғич бүнин координатасы  $\varphi$  билан алмаштирилған, чунки  $\Phi_n = \varphi$ .

(4.16) тенгламаны назарда тутган қолда (4.27) да (4.28) ифодаларни ассоция (4.26) тенгламада қүйіб энергетик құринишидегі ҳаракат тенгламасын оламыз:

$$\frac{J_z \omega_2}{2} - \frac{J_z \omega_1^2 \text{бош}}{2} = \int_{\text{бош}}^n M_z d\varphi. \quad (4.29)$$



4.10- расм

\*Бұ ерда ва бундан бүндей әзевин солдаштырыш мақсадында көлтирилген мәннен да көлтирилген инерция моментлары әзевидегі «кең» белгисиниң ҳамда бошланғич бүниннің координатасы  $\varphi$ , бурчак тезлігі  $\omega$  да бурчак тезлініши в белгиларидегі индекс номери I ни тушириб қолдирамыз.

Умумий ҳолда (4.29) тенгламадаги интеграллашынг юқори чегарасы үзгарувчан ұқсабланади.

Агар механизмға құйилған ҳамма юкланиш фақат унинг ҳолатын боғылқ бўлса, у ҳолда келтирилған моментлар йиғиндиси  $M_\Sigma$  ҳам фикси ф координатанинг функцияси бўлади. Бу ҳолда (4.29) тенглама түргидан тўғри изланадиган  $\omega$  катталикка нисбатан ечилади:

$$\omega = \sqrt{\frac{\int_{\text{бояш}}^{\Phi} M_\Sigma(\varphi) d\varphi}{J_\Sigma} + \frac{J_{\Sigma \text{бояш}}}{J_\Sigma} \cdot \omega_{\text{бояш}}^2}. \quad (4.30)$$

Илди остидаги интеграл ишорага эга бўлишини назарда тутиш лозимлигини эслатиб ўтамиш.

Дифференциал кўринишдаги ҳаракат тенгламаси. (4.29) тенгламани  $\Phi$  координатага кўра дифференциаллайдиз:

$$\frac{d}{d\varphi} \left( \frac{J_\Sigma \omega^2}{2} \right) = M_\Sigma.$$

Умумий ҳолда фақат  $\omega$  бурчак тезликгина эмас, балки  $J_\Sigma$  ҳам үзгарувчан бўлишини эсда тутиб, тенгламанинг чап томонидаги ҳосилани аниқлайдиз (4.4-ѓ га қаранг). Шунинг учун

$$\frac{d}{d\varphi} \left( \frac{J_\Sigma \omega^2}{2} \right) = J_\Sigma \omega \frac{d\omega}{d\varphi} + \frac{\omega^2}{2} \frac{dJ_\Sigma}{d\varphi} = J_\Sigma \frac{d\omega}{dt} + \frac{1}{2} \frac{dJ_\Sigma}{d\varphi} \omega^2,$$

бундан

$$J_\Sigma \frac{d\omega}{dt} + \frac{1}{2} \frac{dJ_\Sigma}{d\varphi} \omega^2 = M_\Sigma. \quad (4.31)$$

Изланадиган үзгарувчи катталик механизм бошланғич бўғинининг бурчак тезлиги  $\omega$  ҳосила белгиси остида турганлиги учун ҳосил қилинган формула дифференциал кўринишдаги ҳаракат тенгламаси бўлади. (4.31) тенгламадан фойдаланганда шуни эсда тутиш лозимки, келтирилган момент йиғиндиси  $M_\Sigma$ , шунингдек  $dJ_\Sigma/d\varphi$  ҳосила алгебраик катталиклардир ва улар ўз ишоралари билан қўйилади.

Агар тадқиқ этилаётган механизмда (масалан, думалоқ ғилдиракли тишли механизмда)  $J_\Sigma = \text{const}$  бўлса, у ҳолда механизмнинг ҳаракат тенгламаси соддалашади ва қўйидаги кўринишни олади:

$$J_\Sigma \frac{d\omega}{dt} = M_\Sigma. \quad (4.32)$$

Дифференциал кўринишдаги (4.31) ҳаракат тенгламаси (4.32). Йиғиниши тартибли Лагранж тенгламаларидан ҳам ҳосил қилиниши мумкин [2], [4].

Бошланғич бўғиннинг  $\omega$  бурчак тезланишини аниқлаш учун (4.31) тенгламадан фойдаланамиз ва уни  $e = \frac{d\omega}{dt}$  га нисбатан ечамиз:

$$e = \frac{M_\Sigma}{J_\Sigma} - \frac{\omega^2}{2J_\Sigma} \frac{dJ_\Sigma}{d\varphi}. \quad (4.33)$$

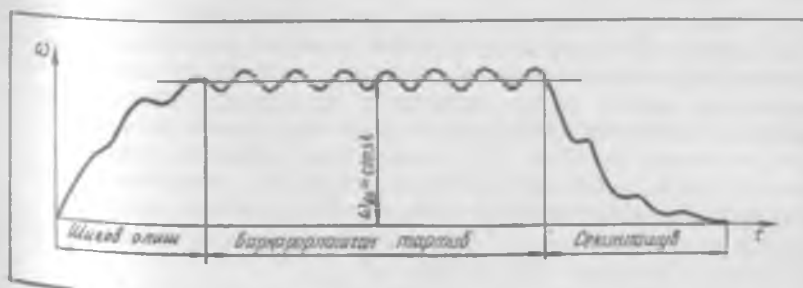
$M_2$  және  $dJ_2/d\varphi$  катталиктар (4.33) тенгламага үз ишоралари билан қўйинлади. Агар бурчак тезланиш  $\omega$  нинг ишораси бурчак тезлик  $\dot{\varphi}$  нинг ишорасига қарама-қарши бўлиб чиқса, бу ҳол бошланғич бўғиннинг сенсори ҳаракат қўлаётгандигини билдиради.

$dJ_2/d\varphi$  ҳосила ё ракамли дифференциаллаш усули билан ЭХМда ҳисобланади, ёки график дифференциаллаш усули билан аниқланади (3-4-§ га қараинг).  $dJ_2/d\varphi$  ҳосилан ҳисоблашнинг аникроқ (аммо қимроқ) усулини адабиётдан топса бўлади. қ.: Минут С. Б. Об определении производной приведенного момента инерции массы звеньев механизма — Н. Э. Бауман номидаги Москва олий техника билим юртдининг илмий ишлари, 1970; Зиновьев В. А., Бессонов А. П. Основы динамики машинных агрегатов. М., 1964).

Бурчак тезланиш  $\omega$  ни 34-§ да баён этилган усул (нормаль ости усули) билан ҳам аниқлаш мумкин. Ўша жойнинг ўзида  $\omega(t)$  ва  $\dot{\varphi}(t)$  функцияларни ясаш усуллари ҳам баён қилинган.

Умумий ҳолда машинали агрегатнинг ҳаракатланиш жараёни учта босқичдан: шифов олиш, барқарорлашган тартиб ва секинлашиб тұхташ босқичларидан ташкил топади (4.11-расм). Шифов олиш ва секинлашиб тұхташ барқарорлашмаган тартибга тааллукли бўлиб, агрегат бош вали (бошланғич бўғин) тезлигининг нодаврий равишда, яъни такрорланмайдиган ўзгариши билан ажралиб туради. Барқарорлашган тартибда бош валининг тезлиги даврий равишда ўзгариади. Хусусий ҳолда тезлик ўзгармас бўлиши ҳам мумкин. Қўпинча барқарорлашган ҳаракат жадаллашув (тезликнинг ошуви) ва секинлашув (тезликнинг пасаюви) билан алмашнинб туради. Масалан, автомобиль двигатель ана шундай ишлайди. Қўпина механизмлар барқарор тартибда умуман ишламайди. Бу айниқса кўпина асбоблар (реле, контакторлар ва ҳоказо) учун хосдир. Ишга тушиш вақтида уларнинг механизмнинг ёпиқ такрорланувчи кинематик циклни содир қўлмаган ҳолда бир ҳолатдан бошқа ҳолатга ўтади.

4-бобиннинг кейинги учта параграфида барқарорлашмаган ҳаракат тартиби, қолган параграфларида эса барқарорлашган ҳаракат тартиби кўриб чиқилади.



4.11-расм

**4.6-§. Барқарорлашмаган тартиб. Фақат ҳолатта бөгликтің  
равишида үзгарувчи күчлар билан юкландырылған механизм тезлигинин  
үзгариш қонуны**

Механизмнің барқарорлашмаган тартибда (режимда) ҳараптаданыш қонуның аниқлаш үчүн күйидеги дастлабки мәттумоттар булып келді: механизмин кинематик схемасы; ұмма ҳаракатлануучы бүғинлар массасы геометриясінинг хусусиятлари; күч ва моменттарнің механизм хусусиятлари (характеристикалары); ҳаракаттің бошланғыч шартшароити. Охиргиси айнан барқарорлашмаган тартибни тадқиқ этиш үчүн мұхым ажамиятга эга.

Ұзлары құйыладыган нүктаның фақат силжиси функциясы ҳисобланған юклар ва моментлар билан юкландырылған механизмнің күришінде. Күриләтгендегі механизмнің көлтирилған инерция моменті үзгартылған шу бүғиннің бурилыш бурчагига бөглиқтікін, яғни  $\omega(\varphi)$  ни аниқлаш талаб қилинады. Бундай масала тез-тез учраб турады. Мисол таріқасыда, ички ёнув двигателлардан ҳаракат олуучы дизель-компрессорлар, бурғулаш дастгоҳлары ҳамда күтарма кранларнің механизмларини, пневмоорбиталар қаралғанда қорытмалар, пружиналық двигателилер бор асабблар ва бошқаларни көлтириш мүмкін.

Құйылған масаладың ең жақын көрсеткішінде қаралған тенгламасын олиш лозим [(4.30) тенгламадағы қаранг]:

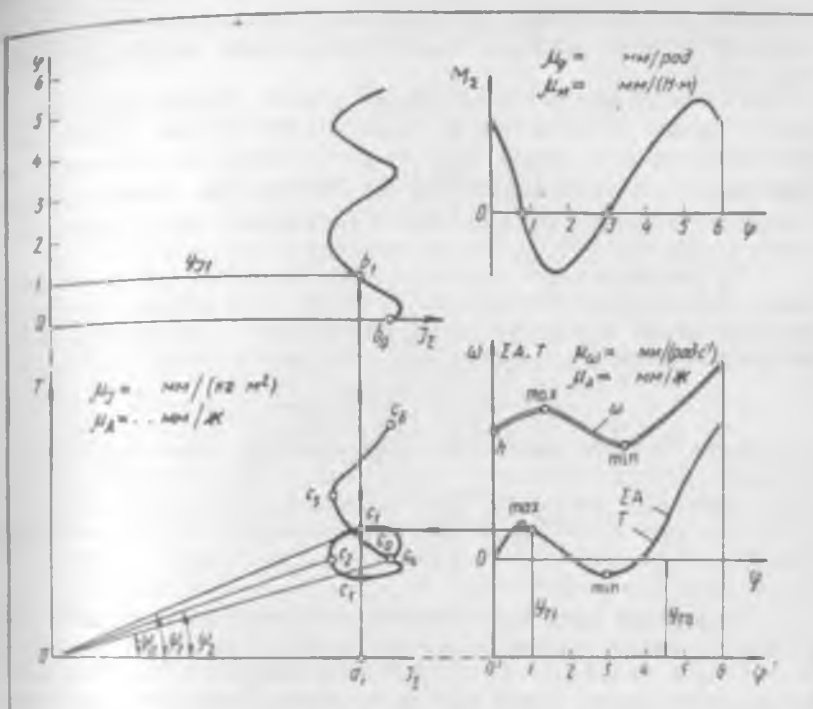
$$\omega = \sqrt{\frac{2 \Sigma A}{J_{\Sigma}} + \frac{J_{\Sigma} \Phi_{\text{боша}}}{J_{\Sigma}} \omega_{\text{боша}}^2}, \quad (4.34)$$

бунда  $\Sigma A$  (4.28) тенгламадан аниқланады. Изланаётгандың бурчак тезлик шиғарылған график усул билан аниқлаш тартиби құйылады (4.12-расм):

1. Массаларни көлтириш амалға оширилады ҳамда механизмнің көлтирилған инерция моменті диаграммасы  $J_{\Sigma}(\varphi)$  ясалады. Бу диаграмма 4.12-расмда  $90^{\circ}$  га бурилған ҳолатта күрсетілген\*. Бошланғыч ҳолат ноль билан белгиланған.  $\varphi$  бурчакни ҳисоблаш үчүн  $\Phi_{\text{боша}} = \Phi_0 = 0$  қиын болып табылады.

2. Механик хусусияттарға күра аввал көлтирилған ҳаракатлантырувчи момент ва көлтирилған қаршилик моменти диаграммалари, кейин көлтирилған моментлар йиғиндиши  $M_{\Sigma}(\varphi)$  диаграммасы ясалады. Агар механизмда даврий тарзда ишлайдыгандың пружиналар бұлса, уларнің эластиктік күчларнің көлтирилған моментлары көлтирилған йиғинди момент таркибына киритилши лозим. Оғындық үшлары да ишқаланиш күчлары анча катта бұлғанда уларнің көлтирилған моментлары ҳам  $M_{\Sigma}$  катталика құшилувчи бұлдырылған моменттің натижасында берилған механизм динамик нұсқага (моделге) көлтирилады.

\*  $J_{\Sigma}(\varphi)$  диаграммасынан  $90^{\circ}$  га буриш параграф охирда бағыттағы этиладыған жағдайдағы тенгламадағы  $\omega$  мәнін анықлаштыруға мүмкін. Оғындық үшлары да ишқаланиш күчлары анча катта бұлғанда уларнің көлтирилған моменттің натижасында берилған механизм динамик нұсқага (моделге) көлтирилады.



4.12-расм

3. График интеграллаш орқали (3.4- § га қаранг) ишлар йиғиндисиң  $\Sigma A(\varphi)$  диаграммаси ясалади. Бу диаграмманинг ординаталари  $\varphi$  үқи-дан бошлаб қўйилади.

4. Бошланғич шартларни ҳисобга олган ҳолда (4.34) тенгламадан фойдаланиб механизмнинг ҳар бир ҳолати учун  $\omega$  бурчак тезлик ҳисобланади ҳамда  $\varphi$  үқига нисбатан изланаштган  $\omega(\varphi)$  боғлиқлик чизиги чизилади. 4.34) тенгламага  $\Sigma A$  ўз ишораси билан қўйилади. Дастлабки берилганлар ичida  $\omega_0 = \omega_{бос}$  катталик ҳам бўлиб, у  $O\dot{\varphi} = \mu_\omega \omega_0$  ордината орқали тасвирланган.  $J_{бос}$  катталик механизм келтирилган инерция моментининг ноль ҳолатдаги қийматиди.

Ҳисоблаш рақамлар усули билан ЭХМда олиб борилганда ҳам у ани-шу тартибда амалга оширилиши лозим.

Масаланинг график усулда ечишла (4.16) тенгламани ҳисобга олган ҳолда (4.27) тенгламадан  $\omega$  ни аниқлаб, ҳисоблаш ишларини бирмунча қисқартириш мумкин:

$$\omega = \sqrt{2T/\Sigma J} . \quad (4.35)$$

$\Sigma A(\varphi)$  диаграммасидаги  $\varphi$  үқини пастга  $y_{10} = \mu_A T_0$  масофага суралмо (4.12-расм), бунда  $T_0 = J_{бос} \omega_0^2 / 2$ . Бу ҳолда янги, силжитилган  $\varphi'$

үкідан бошлаб ұсқобланадиган ординаталар мәхәпізмнинг турлы ҳолаттаридаги кинетик энергияси  $T$  нинг қийматларини ифодалайды [(4.26) теңгламасында]

И.И. Аргоболевский ишлаб чиққан график усул ёрдамида тезлик нинг үзгариши түғрисида яққол тасаввур олиш мүмкін. Бунинг үчүн энергомассалар әгри чизиги  $T(J_\Sigma)$  ни (Виттенбауэр диаграммасини) зишик көрек. Уни ҳосил қылаш учун эса  $T(\varphi)$  ва  $J_\Sigma(\varphi)$  бөглиқтіктердам  $\varphi$  параметрни чиқарып ташлаш лозим (4.12-расмда бу фақат 1 ҳолат учун күрсатылған).

$T(J_\Sigma)$  диаграммасидеги исталған нүктаны (масалан,  $c_1$  нүктаны) координата боши билан туташтирамиз.  $T_1$  ва  $J_\Sigma$  ларни уларни тасвирловчы кесмелар орқали ифодалаган ҳолда мәхәпізмнинг 1 ҳолаты учун (4.35) теңгламани езэмиз:  $T_1 = y_{T1} / \mu_A$ ,  $J_{\Sigma 1} = y_{J1} / \mu_J$ . У ҳолда

$$\omega_1 = \sqrt{\frac{2\mu_J}{\mu_A} \frac{y_{T1}}{y_{J1}}} = \sqrt{\frac{2\mu_J}{\mu_A}} \sqrt{\frac{c_1 d_1}{0d_1}} = \\ = \sqrt{\frac{2\mu_J}{\mu_A}} \sqrt{\operatorname{tg} \psi_1}. \quad (4.36)$$

$\psi$  бурчакларни үзаро солиширамиз, (4.36) теңгламага асосан 1 ҳолатдаги  $\omega_1$  бурчак тезлик бошланғич ҳолатдаги  $\omega_0$  бурчак тезликтан катта бұлады, чунки  $\psi_1 > \psi_0$ ; худди шундай фикр юритиб  $\omega_2 < \omega_1$  эканлыгини билиб оламыз, чунки  $\psi_2 > \psi_1$  ва қоказо. Бинобарин, энергомассалар әгри чизиги бүйлаб бир ҳолатдан башқа ҳолатта үтиб мәхәпізм бошланғич бүғинининг бурчак тезлиги үнчінг ҳолаты үзгаришига бөглиқ тарзда қандай үзгаришини яққол күзатыш мүмкін.

$J_\Sigma = \text{const}$  бўлган механизмлар учун ҳам  $\omega(\varphi)$  графиги шу усулда ясалади. Бунда  $J_\Sigma(\varphi)$  ва  $T(J_\Sigma)$  функциялар графиклари түғри чизиклардан иборат бўлади.

Юқорида баён этилган усул барқарорлашмаган тартибининг иккала босқичини, яъни шифов олиш ва секинлашиб тұхташ босқичларини үрганиш учун яроқлидир. Бу фикр кейинги иккита параграфда баён этиладиган усулларга ҳам тааллуқlidir.

#### 4.7- §. Барқарорлашмаган тартиб. Faқat тезликка бөглиқ равишда үзгарувчи күчлар билан юқланған механизм тезлигининг үзгариш қонуни

Күрилаётган ҳол олдингисидан шу билан фарқ қиласы, биринчидан, күч ва моментлар ҳолатта бөглиқ бўлмайды, балки фақат тезлик нинг функциялари бўлади ва, иккинчидан, мәхәпізмнинг кеңтирилтганинция моменти  $\dot{J}_\Sigma = \text{const}$  катталиқ бўлади. Ана шунда шартларга турбогенераторлар ва гидрогенераторлар агрегатлар, күпгина юк күтариш машиналари ва дастгоҳлар, прокат станлари, электр юрит-

майдан марказдан қочма насослар ва ҳаво ҳайдағылар, электр-мотор юртмалы тақ-лидий системалар ва бир қатор бөшқа установкалар мисол бұла олади.

Күйнеган масалани ечиш учун дифференциал күрнишдаги ҳаракат тенгламасини олиш лозим [(4.32) тенгламага қаранг]:

$$J_{\Sigma} \frac{d\omega}{dt} = M_{\Sigma}.$$

$\omega$  ва  $t$  үзгәрувчиларни ажратамиз ҳамда  $t_{боял} = 0$  деб қабул қилиб, интеграллаймиз;

$$t = J_{\Sigma} \int_{\omega_{боял}}^{\omega} \frac{d\omega}{M_{\Sigma}}. \quad (4.37)$$

(4.37) тенгламага күра  $\omega(t)$  тезликкінг үзгариш қонуни анықтанды.

(4.37) тенгламага  $M_{\Sigma}$  үз ишорасы билан құйилишини эслятиб ұтамиз.

Мисол тариқасида, турбогенераторли агрегаттинг құзғалмас қолатдан шигов олишини күріп чиқамыз; құзғалмас қолат деганда  $t = 0$  бүлганды бурчак тезлик  $\omega_{боял} = 0$  буласын тушенилади. Машиналарынң механик хусусиятлары 4.13-расм, а ва б да көлтирилген. Бошланғыч бүған сифатида машина ардан бириңнинг валини оламиз ва унға ҳамма массаларын ҳамда иккала моменттін көлтирамыз, яғни  $J_{\Sigma} = \text{const}$  ва  $M_{\Sigma} = M_T + M_r$  ларни қисоблаймиз (4.13-расм, ө).  $M_{\Sigma}(\omega)$  графиги түрғи чиңілдек яқын бүлгандылығы сабабын уни  $M_{\Sigma} = A - B\omega$  тенглама орқали тақрибын ифодалаймиз (аппроксимация қиласы):

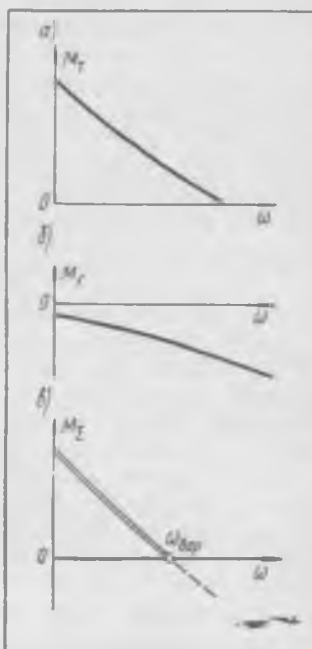
А ҳад  $M_{\Sigma}$  боял га тенг,  $B$  коэффициент және  $M_{\Sigma}(\omega)$  боғлиқликкінің пасайиш қиялғынны ифодалайды. Энди (4.37) тенглама маңа бундай күрнишга келади:

$$t = J_{\Sigma} \int_0^{\omega} \frac{d\omega}{A - B\omega} +$$

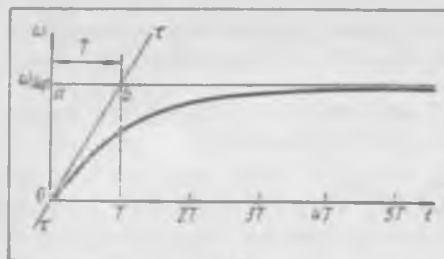
Берилген бошланғыч шарттарға күра үннінг ечими

$$\omega = \omega_{барк} \left( 1 - e^{-t/T} \right)$$

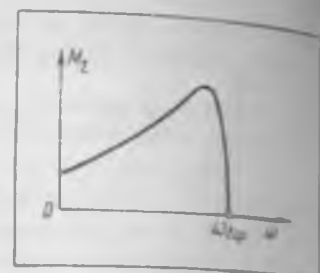
4.14-расмда күрсетилген, бунда  $\omega_{барк} = A/B$ .



4.13-расм



4.14-расм



4.15-расм

(4.38) тенгламада  $T = J_z/B$ ; бу катталык машинадан агрегаттың вақт доимийсін деб аталади. У 4.14-расмда  $ab$  кесма орқали тасвирланған. Үннинг физик мағынан қуидидеги. Агар шигов олиш жараёнида йүнгінді момент  $M_\Sigma$  камаймасдан ҳамиша  $M_{\Sigma_{боя}}$  га тенглектика қолғанда эди, у ҳолда ҳаракат текис тезланувчан бұлған ва бурчак тезлік  $\omega$  ның қыймати  $T$  вақтдан сүнг  $\omega_{боя}$  қыйматга тенг бўлған бўлур эди.

Назарий жиҳатдан, шигов олиш жараёни чексиз узоқ давом этади. Бироқ  $t = 3T$  бўлганда  $\omega/\omega_{боя}$  нисбат 0,95 ни ташкил этади;  $t = 4T$  бўлганда у 0,98 гача ошади,  $t = 5T$  бўлганда esa  $\omega/\omega_{боя} = 0,995$  бўлади, яъни  $t = (4 - 5)T$  бўлганда шигов олиш жараёни деярли тугалланади.  $T$  ның қыйматини билib олиш агрегаттың шигов олиш вақтни аниқлашга имкон беради. Демак, агрегаттың инертилилги қанча катта бўлса ( $J_z$  қанча катта бўлса),  $J_z/B$  га тенг бўлған  $T$  ҳам шунча катта бўлади, шигов олиш вақти ҳам шу қадар узоқ бўлади.

Айтилганлардан шу нараса келиб чиқадыки, агар шигов олиш вақти белгиланган бўлса, у ҳолда  $J_z$  ның шундай қыйматини аниқлаш мумкин, бунда шигов олиш вақти ҳақиқатан ҳам кўрсатилган вақттан ошиб кетмайди. Чунончи, агар шигов олиш жараёнининг давом этиш вақти  $t = t^*$  бўлиши талаб қилинса ва у амалда  $t = 5T$  вақт ичидаги тугалланади, деб ҳисобланса, у ҳолда  $5T = t^*$  бўлади. Бундан  $5(J_z/B) = t^*$  ёки  $J_z = (1/5)Bt^*$ . Шундай қилиб, баён этилган усуздан фойдаланиб механизм ҳаракатининг ўзгариш қонунини аниқлаш билан бирга [(4.38) тенгламага қаранг], масалани ечиш ҳам — ҳаракаттың берильган шартларнiga кўра (масалан, ишга тушиш вақти  $t^*$  га кўра) механизминиң параметрлари бўғинларнинг инерция моментлари (улзарни улчамлари) қандай бўлиши кераклигини иниқлаш, яъни механизми динамик лойиҳалаш ҳам мумкин.

Кўриб чиқилаётган мисолда бошланғич бўғиннинг бурчак тезлиги тобора ошиб борувчи бўлиб чиқди. Бу ҳол машиналар валларнiga йилган моментлар даврий равишида ўзгармаслиги (чунки улар валларнiga бурчак координаталарига боғлиқ эмас) ҳамда агрегаттың келтирған инерция моменти доимийлігиге натижасидир.

Кўп ҳолларда  $M_\Sigma(\omega)$  боғлиқларнини чизықлы тенглама орқали тақрибий ифодалаш мумкин бўлмайди. Масалан, асинхрон двигателли токарлик дастгоҳи шигов оладиган ҳол учун  $M_\Sigma(\omega)$  боғлиқлар 4.15-расмда

шұрсатылған күрінишда бўлади. Бу ҳолда (4.37) тенгламани график үзулда ёки сонли интеграллаш усулида ЭҲМ ёрдамида ечиш мумкин.

#### 4.8-§. Еарқарорлашмаган тартиб. Ҳам ҳолатга, ҳам тезликка боғлиқ равишда үзгарувчи куч ва моментлар билан юкланган механизм тезлигининг үзгариш қонуни

Динамик тадқиқотнинг умумийроқ ҳолини күриб чиқамиз. Бунда механизмга қўйилған куч ва моментлар ҳам силжииш (яъни ҳолатнинг үзгариши), ҳам тезлик функциялари ҳисобланади. Механизмнинг келтирилган инерция моменти эса үзгарувчи катталик  $J_z = var$  бўлади. Бунга электр юритмани технологик машиналар (металл қирқувчи дастгоҳлар, болғалаш пресслари ва бошқалар), электромагнит юритмали турли-туман асбоблар (реле, контакторлар, автоматик ҳимоя воситалари ва бошқалар) мисол бўлиши мумкин; ички ёнув двигателини электр стартердан ишга тушириш, мотор-компрессор установкалари, дастгоҳларни ва шу кабиларни ишга тушириш сингарни динамик жараёнларни ўрганиш ҳам шунга киради.

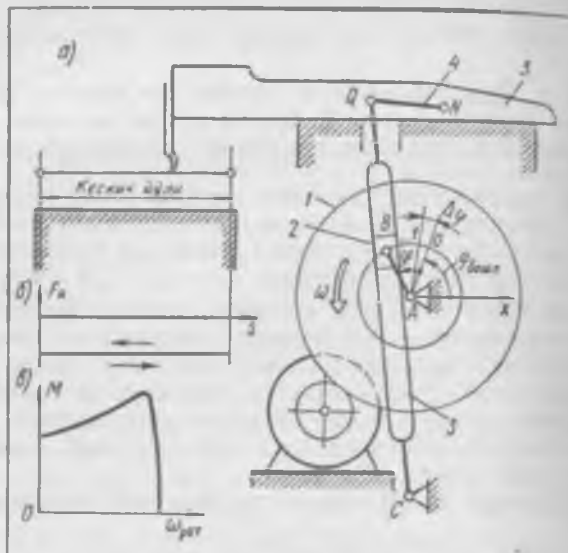
Қўйилған масала (4.29) ҳаракат тенгламасидан фойдаланиб ечилади:

$$\frac{J_z \omega^2}{2} - \frac{J_{\text{боша}} \omega_{\text{боша}}^2}{2} = \Sigma A.$$

Ушбу тенгламани ечиш усуулларида бирини М.А. Скуридин таклиф этган (қ.: Скуридин М. А. Определение движения механизма по уравнению кинетической энергии при задании сил функциями скорости и времени, СССР ФА нинг илмий ишларни, 1951, XII том, 45-сони). Унинг муҳим томони шундан иборатки, масала фақат ҳолатга боғлиқ бўлган күчларнинг ишини тезликка боғлиқ күчларнинг ишидан ажратган ҳолда ечилади. Шу сабабли ушбу күчлар алоҳида-алоҳида келтирилади. Қўйилған масалани ечиш усулини кундаланг рандалаш дастгоҳи механизмини ишга тушириш мисолида куриб чиқамиз (4.16-расм, а).

Дастлабки маълумотлар 4.6-ғ тақдимотидан берилади. Дастгоҳ салт юриш тартибида ишга туширилганлиги сабабли электр двигателинг бутун энергияси агрегат кинетик энергиясининг ошишига ҳамда ишқаланишдаги истрофи енглишга сарфланади. Ишқаланиш ползун 5 билан қўзғалмас йўналтирувчи орасида айниқса кучли намоён бўлади. Биринчи яқинлашувда ушбу илгарилама жуфтликдаги ишқаланиш кучи  $F_z$  ни ўзгармас деб қабул қилиш мумкин (4.16-расм, б). Бошқа кинематик жуфтликлардаги ишқаланиш кучлари сезиларсиз бўлганини учун уларни ҳисобга олмаймиз. Худди шу сабабли оғирлilik күчларини ҳам эътиборга олмаймиз. Асинхрон электр двигателининг механик хусусияти  $M(\omega_{\text{rot}})$  4.16-расм, в да тасвирланган. Ҳаракатнинг бошланғич шартлари шундай бўлсин:  $t = t_{\text{боша}}$  бўлганда  $\varphi = \Phi_{\text{боша}}$ ,  $\omega = \omega_{\text{боша}} = 0$  бўлади.

Бошланғич бўғин сифатида тишли узатманинг катта ғилдираги I ни таштаймиз. Механизмнинг 0, 1, 2 ва ҳоказо ҳолатларини белгилаб ола-миз;  $\varphi$  бурчакларни бошланғич (ноль) ҳолатдан ( $\Phi_0 = \Phi_{\text{боша}}$ ) бошлаб ўлчаб қўяямиз (4.16-расм, а).



4.16-расм

Механизм бүғинлари массаларини көлтирамиз ҳамда  $J_{\Sigma}(\phi)$  диаграммасини ясаймиз (4.17-расм). Сүнгра ишқаланиши күчи  $F_a$  ни көлтирамиз ҳамда унинг көлтирилган моменти  $M_{\Phi}$  ни график тарзда күрсатамиз (4.18-расм). Шуның күрсатыб ўтиш мұхымки,  $M_{\Phi}$  бошланғыч бүғиннинг фақат  $\phi$  координатасининг функциясыдир. Нихоят, электр двигателъ моментаини көлтирамиз (4.19-расм, a). Көлтирилган  $M_{\omega}$  момент фақат бурчак тезликті  $\omega^*$  нинг функциясыдир. Ҳаракат тенгламасини қуйыдагыча әзамиз:

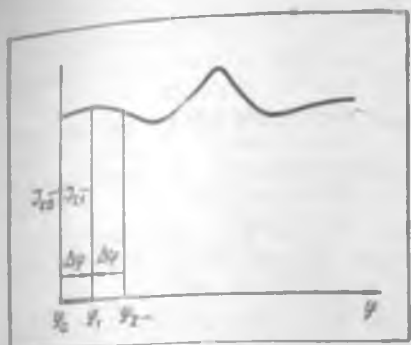
$$\frac{J_{\Sigma} \omega^2}{2} - \frac{J_{\Sigma \text{бош}} \omega_{\text{бош}}^2}{2} = A_{\Phi} + A_{\omega}, \quad (4.39)$$

бунда  $A_{\Phi}$  — көлтирилган момент  $M_{\Phi}$  нинг иши;  $A_{\omega}$  — көлтирилган момент  $M_{\omega}$  нинг иши.

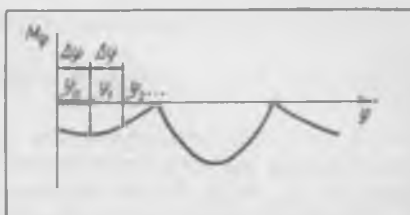
Иккита яқын ҳолатни:  $\Phi_0$  ва  $\omega_0$  лар берилгандай болинчи ва биринчи ҳолатларни күриб чиқамиз; улар катта бўлмаган  $\Delta\Phi$  оралиқ билан ажратилган. Нолинчи ҳолат учун бошланғыч шартларга кўра  $J_{\Sigma 0}$ ,  $T_0 = -J_{\Sigma 0} \omega_0^2 / 2$ ,  $M_{\omega 0}$  катталикларни аниқлаш осон бўлади (4.17-расмга ва 4.19-расм, a га қаранг). Биринчи ҳолат учун  $\Phi_1 = \Phi_0 + \Delta\Phi$  ни аниқлаш мумкин,  $\Phi_1$  бурчакка кўра эса  $J_{\Sigma 1}$  катталиқ аниқланади (4.17-расм).

$O-1$  оралиқ учун, яъни  $\Phi_0 - \Phi_1$  учун (4.39) ҳаракат тенгламасини әзамиз:

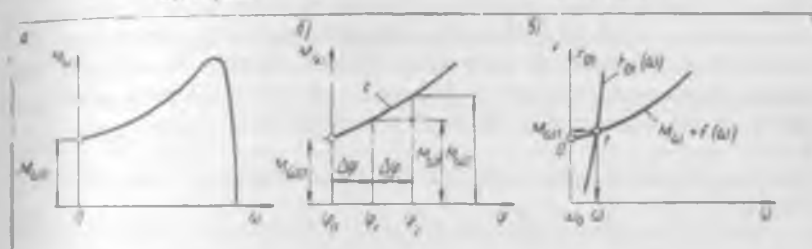
\* Умумий ҳолда  $M_{\omega}(\omega)$  графиги фақат битта ёгрға чиңгизин эмас, балки  $\Phi$  паритетли ёгрға чиңгизлар оиласини, яъни  $M_{\omega}(\Phi, \omega)$  ни билдиради.



4.17- расм



4.18- расм



4.19- расм

$$\frac{J_{z_1} \omega_1^2}{2} - \frac{J_{z_0} \omega_0^2}{2} = A_{\phi 01} + A_{\omega 01}. \quad (4.40)$$

$A_{\omega 01}$  ишни  $M_\omega(\phi)$  боғлиқликни 0-1 оралықда интеграллаш билан анықтайды (4.18-расм).  $A_{\omega 01}$  ишни құйыдагида анықтайды. Ҳаракат жаралында  $\omega$  тезлік үзгартылғаны сабаблы, 4.19-расм, a да күриниб турғани деген, көлтирилған момент  $M_\omega$  ҳам үзгарады. Ҳар бир янги ҳолатда башланғыч бүғиннинг тезлігі  $\omega$  ва көлтирилған момент  $M_\omega$  ҳозирча номағынан бүлганса да оның қылымтарынан төзілген көлтирилған момент  $M_\omega$  0-1 оралықда  $\phi$  бурчак катталашыши билан  $M_\omega$  момент чизикли үзгарады ҳамда оралық охирида  $M_{\omega_1}$  қылымтаға эга бўлади, деб тақрибан қабул қутиш мумкин (4.19-расм, б); шу сабаблы

$$A_{\omega 01} \approx \frac{M_{\omega 0} + M_{\omega 1}}{2} \Delta \phi. \quad (4.41)$$

$\Delta \phi$  оралық қанчалық кам олинган бўлса, яқинлаштиришда ҳатто шунчалик кам бўлади.

(4.41) формуладаги  $A_{\omega 01}$  катталикни (4.40) тенгламага қўямиз. У ҳолда  $\frac{J_{z_1} \omega_1^2}{2} - T_0 = A_{\phi 01} + \frac{M_{\omega 0} + M_{\omega 1}}{2} \Delta \phi$ .

Бундан

$$\frac{J_{z_1}}{\Delta \phi} \omega_1^2 - \left( \frac{2T_0}{\Delta \phi} + M_{\omega 0} + \frac{2A_{\phi 01}}{\Delta \phi} \right) = M_{\omega 1}. \quad (4.42)$$

Қавс ичидағи йигиндини  $B$  ҳарғи билан белгилаймиз;

$$B_{01} = \frac{2T_0}{\Delta\varphi} + M_{w0} + \frac{2A_{\Phi01}}{\Delta\varphi}. \quad (4.43)$$

У ҳолда тенглама узил-кесил ҳисоблаш учун ушбу күрнишга келади:

$$\frac{J_{z_1}}{\Delta\varphi} \omega_1^2 - B_{01} = M_{w1}. \quad (4.44)$$

(4.43) ва (4.44) тенгламалардаги  $M_{w0}$ ,  $M_{w1}$  ва  $A_{\Phi01}$  катталикларнинг, ншораларини ҳисобга олиш лозимлигини эслатиб ўтамиз. Күрилаётган мисолда  $A_{\Phi01} < 0$ ; бундан ташқари  $T_0 = 0$ , чунки  $\omega_0 = 0$ .

Юқорида айтиб ўтилганидек  $\Delta\varphi$  оралиқни белгилаб отғандан сұнг  $J_{z_1}$  ни ва  $B_{01}$  катталиктининг ҳамма құшигувчиларниң аниқлаш мүмкін бўлади. Мазкур оралиқ учун бу катталик мутлақо аниқ бўлади ва бурчак тезлик  $\omega$  га боғлиқ бўлмайди. Бинобарин (4.44) тенгламада фақат  $\omega_1$  ва  $M_{w1}$  катталиклар номаълум бўлади. Бунда  $M_{w1}$   $M_w(\omega)$  муносабат орқали  $\omega_1$  билан қатъий боғланган бўлади (4.19-расм, a). Шу сабабли (4.44) тенгламани  $M_w = f(\omega)$  хусусиятига  $\frac{J_{z_1}}{\Delta\varphi} \omega^2 - B_{01} = -F_{01}(\omega)$  функция графигини қўйган ҳолда график усулда ечиш мүмкин (4.19-расм, b).

Агар  $M_w = f(\omega)$  хусусият формулама күрнишида берилган бўлса, у ҳолда (4.44) тенгламани аналитик усулда ечиш мүмкін. Биринчи 0-1 оралиқ охиридаги  $\omega_1$  ни аниқлашиб бўлгандан сұнг иккинчи 1-2 оралиқка ўтамиз. Ўнинг учун ҳисоблаш тенгламаси қўйидагича бўлади:

$$\frac{J_{z_2}}{\Delta\varphi} \omega_2^2 - B_{12} = M_{w2}, \quad (4.45)$$

бунда

$$B_{12} = \frac{2T_1}{\Delta\varphi} + M_{w1} + \frac{2A_{\Phi12}}{\Delta\varphi}, \quad (4.46)$$

Янги тенглама  $\omega_2$  га нисбатан ўша усул билан ечилади.

$\varphi$  бурчакларнинг ҳамма оралиқларидан кетма-кет ўтган ҳолда  $\omega$  бурчак тезликнинг қатор қийматларини ҳосил қилиб, улар бўйича изла-наётган  $\omega = \omega(\varphi)$  тезликнинг ўзгариш қонуни графикини ясашимиз мүмкин.

Олдинги параграфтарда механизмларнинг эркинлиги дараражаси битта бўлган машиналари агрегатларда содир бўлувчи динамик жараёнлар кўриб чиқилган эди. Ҳозирча анчагина кам учрайдиган, эркинлик дараражаси иккита ва ундан кўп бўлган механизмлар динамикаси ёндигина ишлаб чиқилмоқда. Ушбу соҳадаги мавжуд янгиликлар билан [4.6] китоблар орқали танишиш мүмкін.

#### 4.9- §. Барқарорлашган тартиб. Механизм ҳаракатининг нотекислиги.

Механизм ҳаракатининг барқарорлашган тартибиغا ўтамиз. Илгаригидек, механизмларнинг эркинлик дараражаси битта бўлган мэ-

шиналы агрегаттарни күриб чи-  
камиз. Бундай механизмлар  
учун барқарорлашган ҳаракат  
деб шундай ҳаракаттаға айтила-  
дикі, бунда бошланғыч бүғин-  
нинг тезлигі (умумлашган  
тезлигі) вақтнинг даврий функ-  
циясы бўлади. Барқарорлашган  
харакатнинг  $\omega(t)$  графиги (тако-  
граммаси) 4.20-расмда келти-  
рилган. Кўриниб турибдикі,  
бурчак тезлик  $\omega$  қандайдир  
ўзгармас ўртача қийматига нис-  
батан даврий равишда ўзгариб  
туради.

4.1 ва 4.4-с ларда кўпгина машиналарда механизмларга қўйилган күч-  
лар, шунингдек көлтирилган инерция моменти  $J_x$  даврий равишда ўзга-  
риши кўрсатиб ўтилди. Бунинг устига агар ҳамма күчлар ишларининг  
шагиндиси уларнинг таъсир қилиши даврида нолга тенг бўлса, у ҳолда  
механизм бошланғич бўғинининг бурчак тезлигига ҳам албатта даврий  
тарэда ўзгаради. Юқорида кўрсатиб ўтилган шартлар барқарорлашган  
тартибни сақлаб туриш учун зарур ва етарлидир.

Бошланғич бўғин тезлиги (механизмнинг умумлашган тезлиги) нинг  
ўзгариш даври барқарорлашган ҳаракат цикли ёки қисқача цикл дейи-  
лади. Цикл вақти  $\tau_c$  күчнинг таъсир этиш даврига тенг ёки унга кар-  
рагали бўлади. Шу сабабли барқарорлашган тартибда цикл жараёнда  
ҳамма күчлар бажарган ишларнинг йигиндиси нолга тенг бўлади:

$$\sum A_{\text{ц}} = 0. \quad (4.47)$$

Оғирлик күчларининг цикл давомида бажарган иши нолга тенг бўлгани-  
лиги сабабли, цикл давомида ҳаракатлантирувчи күчларнинг бажарган  
ишлари қаршилик күчларининг бажарган ишларига тенг бўлгандағына  
(модуль бўйича) (4.47) тенглик бажарилади:

$$A_x^{\text{ц}} = |A_x^{\text{ц}}|. \quad (4.48)$$

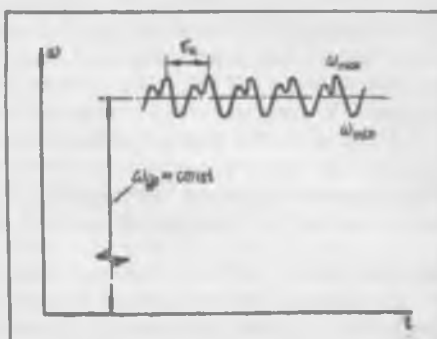
(4.47) ёки (4.48) ишлар тенгламаси барқарорлашган тартибининг асо-  
сий энергетик тенгламаси бўлади. Ундан [(4.26) тенгламага қаранг]  
кўринидики, цикл давомида механизмнинг кинетик энергияси ошмайди:

$$T_{\text{окнр}} = T_{\text{боша}},$$

бинобарин, бошланғич бўғиннинг бурчак тезлиги цикл бошланишида  
ва охирда бир хил қийматга эга бўлади.

Шундай қилиб, барқарорлашган тартибда бошланғич бўғиннинг бур-  
чак тезлигига  $\omega$  ўртача ҳисобда ўзгармас бўлиб қолса ҳам, бироқ цикл  
ицида энг катта  $\omega_{\text{max}}$  қийматдан энг кичик  $\omega_{\text{min}}$  қийматлар оралигида  
ўзгаради (4.20-расм). Айланиш иотекислиги иотекислик коэф-  
фициенти билан баҳоланади:

$$\delta = (\omega_{\text{max}} - \omega_{\text{min}}) / \omega_{\text{ср}}, \quad (4.49)$$



4.20-расм

бунда  $\omega_p$  — цикл давомидаги ўртача тезлик. (4.29) тенгламадан күриштік турбидын,  $\delta$  — тезлик ўзгаришининг унинг ўртача қийматыга ишбатан четлашувины ифодалайды.  $\delta$  қаңча кам бұлса, тезликкінг ўзгарыш шунчакта кам булып, бошланғич бүғин шунчалик рөвон айланады.  $\omega_p(\text{рад/с})$  катталык  $\omega_p = 2\pi f$  формула ёрдамыда ҳисобланады, бунда  $f$  — бошланғич бүғиннинг айланыш частотаси, с<sup>-1</sup>.

Хар бир турдаги машиналар учун амалда синовдан үтгаян нотекислик коэффициенти  $|\delta|$  нинг рухасат этилган ғэ қиймати мавжуд, масалан, металл қирқувчи дастгохлар учун  $1/25 - 1/50$  га, йигирудук машиналарды учун  $1/50 - 1/100$  га, электр генераторларнинг дизелли юритмаларды учун  $1/100 - 1/200$  га тенг.

Нотекислик коэффициенти жуда кичик қиймат бүлганидан бурчак тезликкінг ўртача қийматини унинг энг катта ва энг кичик қийматтардан олинган ўртача арифметик қийматта тенг қилиб олиш мүмкін:

$$\omega_p = (\omega_{\max} + \omega_{\min}) / 2. \quad (4.50)$$

(4.49) ва (4.50) тенгламаларни биргаликда ечиб энг катта ва энг кичик тезликкінг қийматлары аниқланады:

$$\omega_{\max} = \omega_p(1 + \delta/2), \quad \omega_{\min} = \omega_p(1 - \delta/2). \quad (4.51)$$

(4.51) тенгламалардан күриниб турғандек,  $\omega_{\max}$  ва  $\omega_{\min}$  қийматларнинг  $\omega_p$  қийматдан фарқы  $\omega_p$  га иисбатан олинганда  $\pm \delta/2$  бұлады, яғни одатда  $\pm 2\%$  дан ошмайды.

Жуда күп машиналар (дастгохлар, пресслар, прокат станлари) еғоч арралаш рамалари, тұқым машиналари, электр энергиясы генераторлары, компрессорлар, насослар ва қозақо) барқарорлашган тартыбда иштайды. Шұбұ машиналарнинг ишлаши учун энг яхши шароит машиналар бөшвалининг (одатда бошланғич бүғин сифатида қабул қылнадиган) мутлақо бир текис айланышидір. Бош вал тезлігінинг ўзгариб турғанда машиналарнинг хизмат мұддати ва ишшөңчтілігі камаядын. Бунинг устига тезликкінг ўзгариб турған машинаға иш жараёнини ёмонлаштиради. Бинобарин, тезликкінг ўзгаришини батамом ийқотиш мүмкін бўлмаганлиги сабабли имкон борича унинг кўламини камайтиришга ҳаракат қилиш зарур. Бошқача айтганда, нотекислик коэффициенти  $\delta$  шине қийматини мүмкін қадар камайтиришга интилиш керак. Бу масалани қандай ҳал этиш мүмкінligини күриб чиқамыз.

Механизмнинг ҳамма бүғилары инертлілікка эга. Физикадан маълум бўлган бу хусусиятнинг моҳияти қуйидагича: моддин жисм қанчалик инерт бўлса, қўйилган күчтәр таъсирида унинг тезлиги шунчалик секин ўзгаради. Шу сабабли машина бөшвалининг циклик нотекислик билан айланishi талаб қылнадиган қийматдан ошиб кетмаслиги учун ушбу валнинг ҳамда у билан бикр борғланган деталларнинг инертлилиги етарлы даражада катта бўлишини таъминлаш лозим. Бунинг учун машинанинг бөшвалига маховик деб аталағдан ва оғир түрғинли фиддирак кўринишида ишланган қўшимиш юк ўрнатылади. Унинг инерция моментини танлаш орқали машина бөшвалининг белгиланган нотекислик коэффициенти  $|\delta|$  билан айланishi таъминларади.

Шундай қилиб, маховикнинг асосий вазифаси бурчак тезликкниң үзгаришини белгиланган нотекислик көзғициелги [δ] қиймати доирасыда чеклаб туришдан избэрэг. Берилган ҳаракат шартларига күра (яъни белгиланган [δ] қийматига күра) маховикнинг инерция моментини аниқлаш машинани лойиҳалаш жараённда амалга оширилади ва уни динамик синтез қилиш масалаларидан бирин бўлади.

#### 4-10-§. Барқарорлашган тартиб. Мерсалов усули бўйича динамик синтез ва таҳлил қилиш

Механизмнинг кинематик схемаси берилган бўлсин. Бошланғич бўғин сифатида механизмнинг узлусиз равишда айланма ҳаракат қилювчи бош валини танлаймиз. Ҳамма бўғинлар массаларини келтирамиз ва уларни икки группага ажратамиз. I группага албатта бошланғич бўғинни ва унга маҳқамланган маховикни, шунингдек бошланғич бўғин билан ўзгармас узатиш нисбатлари орқали боғланган ҳамма бўғинларни киритамиз, II группага қолган ҳамма бўғинлар киради. Масалан, 44-§ да курилган мисолда (4.9-расм) I группани бошланғич бўғин I ва бўғин 4 (чунки  $\omega_1 = \text{const}$ ), II группани бўғинлар 2 ва 3 ташкил қиласиди. I группа бўғинларининг келтирилган инерция моментлари ўзгармас катталиклар, II группанини ёса ўзгарувчан катталиклар жонлигига ёътиборни жалб этамиш [(4.22) — (4.25) тенгламалар].

Бутун механизмнинг келтирилган инерция моменти  $J_{\Sigma}$  ни куйидаги тарзда ёзамиш:

$$J_{\Sigma} = J_I + J_{II}, \quad (4.52)$$

бунда  $J_I = \text{const}$ ,  $J_{II} = \text{var}$ . [δ] нинг берилган қийматини таъминлаш учун зарур бўлган I группа бўғинларининг келтирилган инерция моментини аниқлайдиган ҳисоблаш формуласини тузамиш.

I группа бўғинларининг кинетик энергияси куйидагича ифодаланади  $T_I = \frac{1}{2} J_I \omega^2$ . Цикл ичидаги бурчак тезлик  $\omega_{\max}$  ва  $\omega_{\min}$  қийматлари оралиғида ўзгариб туради (4.20-расм), шунга кўра кинетик энергия  $T_I$  ҳам ўзининг энг катта ( $T_{I \max} = \frac{1}{2} J_I \omega_{\max}^2$ ) қийматидан энг кичик ( $T_{I \min} = \frac{1}{2} J_I \omega_{\min}^2$ ) қийматигача ўзгариб туради.  $J_I$  инерция моменти ўзгармас қийматга эга бўлиб, у механизмнинг ҳолатига борлиқ масалигини айтиб ўтамиш.

I группа бўғинлари кинетик энергиясининг энг катта ўзгаришини аниқлайдиган:  $\Delta T_{I \text{ э.к}} = T_{I \max} - T_{I \min}$ .  $T_{I \max}$  ва  $T_{I \min}$  қийматларини ўрнига қўйиб ушбуни ҳосил қиласимиш:

$$\begin{aligned} \Delta T_{I \text{ э.к}} &= \frac{J_I \omega_{\max}^2}{2} - \frac{J_I \omega_{\min}^2}{2} = \frac{J_I}{2} (\omega_{\max}^2 - \omega_{\min}^2) = \\ &= J_I \omega_{sp} \frac{\omega_{\max} + \omega_{\min}}{2} + \frac{\omega_{\max} - \omega_{\min}}{\omega_{sp}}. \end{aligned}$$

(4.49) ва (4.50) формулалардан фойдаланиб ушбуға эга бўламиш

$$\Delta T_{I_{\text{в.к}}} = J_i \omega_{fp}^2 \delta,$$

Беки излангаётган  $J_1$  катталиқка нисбатан ечиладиган бўлса,

$$J_1 = \frac{\Delta T_{I_{\text{в.к}}}}{\omega_{fp}^2 [\delta]}.$$
 (4.53)

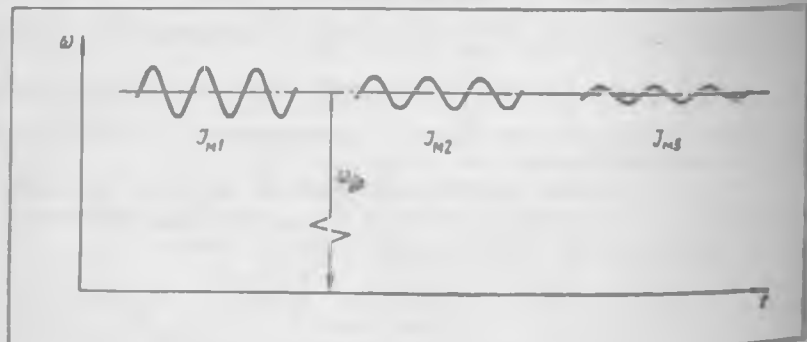
(4.53) формула бошланғич бўғиннинг  $[\delta]$  коэффициент орқали ифодаланадиган, белгиланган нотекислик билан айланишини тъмнилаш учун зарур бўладиган I группа бўғинларининг келтирилган инерция моментини аниқлаш учун ҳисоблаш формуласидир.  $[\delta]$  нинг берилган қиймати қанчалик кичик, яъни бошланғич бўғин қанчалик равон айланиши лозим бўлса ва, бинобарин, унинг бурчак тезланиши қанчалик паст бўлиши керак бўлса, зарур инерция моменти  $J_1$  шунчалик катта да маҳовик шунчалик сифир бўлиши даркор. 4.21-расмда битта машинага турли маҳовиклар ўрнатган ҳолда ( $J_{m1} < J_{m2} < J_{m3}$ ) олинган учта тахограмма кўрсатилган.

Нотекислик коэффициенти  $[\delta]$  ҳамда бурчак тезлик  $\omega_{fp} = 2\pi f$  ни ҳисоблаш учун зарур бўлган айланишлар частотаси  $f$  лойиҳалаш сифида берилган бўлади.  $\Delta T_{I_{\text{в.к}}}$  ни аниқлашнинг бир қанча усувлари мавжуд. Н. И. Мерцалов тақлиф этган энг содда ва яққол усуслини кўриб чиқамиш. Шуни айтиб ўтиш лозимки, Мерцалов усули бўйича ясалган  $T_I(\phi)$  диаграммасидан динамик таҳлил қилишда ҳам фойдаланилади.

Даставвал динамик синтез масаласини куриб чиқамиш, яъни берилган нотекислик коэффициенти  $[\delta]$  га кўра  $J_1$  нинг керакли қийматини аниқлаймиз.

Механизмдаги ҳамма ҳаракатланувчи бўғинларнинг кинетик энергияси  $T$  иккита ташкил этувчи:  $T_I$  ва  $T_{II}$  лардан иборат бўлади  $T = T_I + T_{II}$ . Бундан

$$T_I = T - T_{II}.$$
 (4.54)



4.21- расм

Кинетик энергия  $T$  ни (4.26) формулага асосан ифодалаймиз:

$$T = \sum A + T_{\text{бошл.}} \quad (4.55)$$

у ҳолда

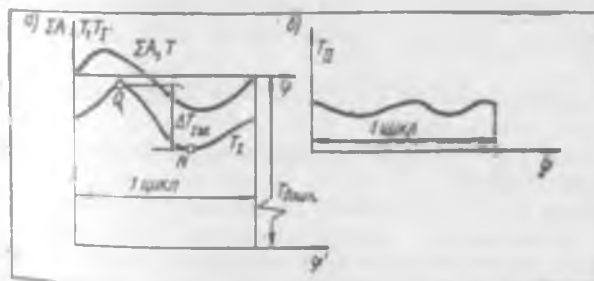
$$T_1 = \sum A + T_{\text{бошл.}} - T_{II} \quad (4.56)$$

(4.56) тенгламага асосан битта тұла цикл учун  $T_1(\varphi)$  диаграммаси ясалады ҳамда ушбу диаграммама күра динамиқ синтез қилишни ҳисоблаша ~~күлланиладиган~~ (4.53) формуладаги  $\Delta T_{I_{\text{в.к}}}$  катталик аниқланады.

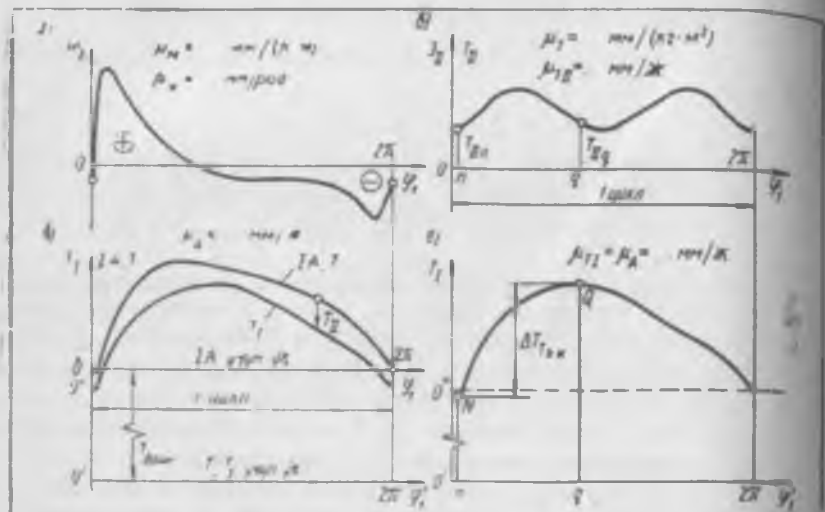
Айтылғанларни графиклар орқали тасвирлаймиз. Келтирилган инерция моментлари ўзгарувчан бұлган II группа бүғиларининг, яшни келтирилган инерция моментлари ўзгарувчан бүғиларининг  $\Sigma A(\varphi)$  диаграммаси (4.22-шакл, a даги  $\varphi$  үққа нисбатан ясалған юқориги эгри қизиқ) ва Кинетик энергия диаграммаси  $T_{II}(\varphi)$  берилған бұлсın. (4.56) тенгламага асосан ишлар йығындиси  $\sum A$  га цикл бошланышидаги бутун механизмнинг кинетик энергияси  $T_{\text{бошл.}}$  ни құшамыз.

Буништ үчүн  $\varphi$  үкни  $T_{\text{бошл.}}$  үлчамга пастта суралып (4.22-расм, a), шундан сұнг 4.22-расм, a даги юқориги эгри қизиқ  $\varphi'$  үкқа нисбатан бутун механизмнинг кинетик энергияси  $T$  ни (4.55) тенгламага асосан тасвирлайды. (4.54) тенгламага асосан  $T$  кинетик энергиядан  $T_{II}$  кинетик энергияни айырб ташлаймиз ва 4.22-расм, a даги пастки эгри қизиқтың қосыл құламыз.  $\varphi'$  үкқа нисбатан олинадиган пастки эгри қизиқ  $T_1(\varphi)$  кинетик энергия эгри қизиғи бұлады. Ушбу эгри қизиқда энг юқорида жойлашған  $Q$  нүкта ва энг пастда жойлашған  $N$  нүкта ни белгилайды. Ҳамда уларға күра (4.53) тенглама ердамида  $J_1$  ни аниқлаш учун керак бұлдиган кинетик энергиянинг энг катта ўзғарышы  $\Delta T_{I_{\text{в.к}}}$  ни аниқлайды.

Шу нарасында өткізуорни жалб этамызы, (4.53) формулага асосан  $J_1$  ни ҳисоблаш учун  $T_1$  кинетик энергиянинг ўзини эмас, балки унинг энг катта ўзгариши  $\Delta T_{I_{\text{в.к}}}$  ни билиш зарур. Бирок  $\Delta T_{I_{\text{в.к}}}$  нинг қышыматы  $T_{\text{бошл.}}$  бошланғыч қыйматига боялуқ эмас, биностарин,



4.22-; см.



4.23-расм

$\Delta T_{1,2,k}$  ни аниқлаш учун  $T_{башл}$  қийматини билиш, яъни сиљитилган  $\phi'$  абсцисса ўқининг ҳолатини топиш шарт эмас.

Маховикнинг инерция моментини Мерцалов усули билан график тарзда аниқлаш тартибини тузиб чиқамиз:

куч ва моментлар келтириллади; келтирилган моментлар йиғиндин диаграммаси  $M_\Sigma(\phi)$  ясалади (4.3-§ га қаранг);

график интеграллаш йўли билан  $\Sigma A(\phi)$  диаграммаси ясалади (4.28) тенгламага қаранг;

массалар келтириллади,  $J_{II}(\phi)$  диаграммаси ясалади (4.4-§ га қаранг);

$T_{II} = \frac{1}{2} J_{II} \omega_{y_p}^2$  формулага асосан  $T_{II}$  кинетик энергия қиймати аниқланади ва  $T_{II}(\phi)$  диаграммаси ясалади;

(4.56) тенгламага асосан  $T_1(\phi)$  кинетик энергия диаграммаси ясалади (сиљитилган абсцисса ўқининг ҳолати аниқланмайди) ва  $\Delta T_{1,2,k}$  аниқланади;

(4.53) тенгламага асосан  $J_1$  ҳисобланади ҳамда маховикнинг инерция моменти аниқланади.

Ҳисоблашни ЭХМ ёрдамида рақамлар усули билан бажариш тарзиби ҳам юқоридагидекдир.

4.23-расмда ИЕД маховигини Мерцалов усули бўйича ҳисоблаш графиклари тасвирланган. Электр генератор ИЕД учун таъминланган манбани бўлсин. Ҳисоблаш учун керак буладиган механик хусусиятлар ҳолат функциялари тарзида берилади (4.3-расм ва 4.4-расм, б).

Ҳаракатлантирувчи  $F_x$  кучни ва  $M_{и,м}$  қаршилик моментини келтириш 4.3-§ да кўрсатилган (4.8-расм, а, б). Маховик ўз вазифасин

факт барқарорлашган тартибда бажарғанлығи сабаблы уни ҳисоблаша асоси әнергетик тенглама (4.48) шарты сүзсиз бажарылыш лозим:  $A_k^u = |A^u|$ . Ушбу тенглама ҳаракатлантирувчи күчлар ва қаршилик күчлар бажарған ишлар орасыда мазкур  $\int_0^{2\pi} M_k d\varphi_i = \int_0^{2\pi} M_k d\varphi_i$  муносабатыннң бўлишини талаб қылади. Бундан  $M_k = \text{const}$  эканниги ҳисобга олган ҳолда ушбуни ҳосил қиласиз:

$$|M_k| = \frac{1}{2\pi} \int_0^{2\pi} M_k d\varphi_i.$$

$|M_k|$  ни ҳисоблаб бўлгач,  $M_\Sigma = M_x + M_k$  ни аниқлаш зарур (4.8-расм, д ва 4.23-расм, а)\*. 4.23-расм, а да абсцисса ўқи устида ва остида жойлашган юзаларнинг ўзаро тенглиги ҳамда 4.23-расм, б да эса цикл охирида  $\sum A$  эгри чизиқ ординатасининг нолга тенглиги тартибининг барқарорлашганлығи автоматларидир.

Олинган мисолдаги механизм (4.6 расм, а) 4.4-§ да кўрилган механизм каби бўлғанлығи сабабли (4.22) — (4.25) формулатардан фойдаланған ҳолда, I группага бўғинлар 1 ва 4, II группага бўғинлар 2 ва 3 (параграфининг бошланишига қаранг) киради, деган хуносага келамиз,  $J_{II} = J_{kII} + J_{3II}$  келтирилган инерция моменти графиги 4.23-расм, б да кўрсанаган.

$T_{II}$  кинетик энергия  $T_{II} = \frac{\omega_1}{2} J_{II}$  тенгламадан аниқланади. Ҳозирча динамик синтез масаласи тугаллангани йўқ,  $\omega_1$  нинг ҳозирги аниқ қиймати маълум эмас. Бироқ нотексистик коэффициенти кичик бўлғанлығи туфайли  $\omega_1 \approx \omega_3$  таҳминий тенглик үринлидир (4.9-§ га қаранг).

Шу сабабли  $T_{II} \approx \frac{\omega_3^2}{2} J_{II}$  деб қабул қиласа бўлади.  $\omega_3^2/2 = \text{const}$  бўлғанлығи сабабли  $J_{II}(\varphi_i)$  графиги айни вақтнинг ўзида бошқа масштабда чизилган  $T_{II}(\varphi_i)$  графиги ҳам бўла олади (4.23-расм, в), масштаблар орасидаги муносабат мана бундай:  $\mu_{T_{II}} = 2\mu_j/\omega_3^2$ . Шундай қилиб, Мерсалов усули, қатъий айтилганда, аниқ усол эмас, бироқ хатоси кичик бўлғанлығи сабабли амалий ҳисоблашлар учун яроқлидир.

$T_{II}$  жуда ҳам аниқ ҳисобланмаган тиги сабабли  $T_I(\varphi_i)$  графигида (4.23-расм, б ва 4.23-расм, г), шунингдек кинетик энергиянинг энрекатта ўзгариши  $\Delta T_{I_{kII}}$  да (4.23-расм, г) маълум даражада хато бўлади.  $|\delta| > 0.10$  бўлганда  $\Delta T_{I_{kII}}$  катталикка Д. Н. Лукичев тактиф этган формулага асосан аниқлик киритиш мумкин:  $\Delta T_{I_{kII}} = \Delta T_{I_{kII}} - - [\delta](T_{II} + T_{II})$  (қ: Лукичев Д. М. Расчет маховика машины. — Воп-

\* Барқарор тартибни тадқиқ этишда циклнинг бошланиши бошлангич бўғиннинг исталған ҳолатида ташланниши мумкин; бошлангич (полином) ҳолат қилиб поршенинг ўнг чекка вазиятни эгаллайдиган ҳолатни ташлаймиз (4.6-расм, а ва 4.3-расм).

росы теории механизмов и машин, 1953, 23-сони). Ушбу формула дағы  $T_{1n}$  ва  $T_{1\phi}$  — кинетик энергияның механизмнің шундай  $n$  ва  $\phi$  ҳолатларидаги қыйматлары, бу ҳолаттарда  $T_1$  кинетик энергия чиэзинің ўзининг энг четки экстремумларидан үтади.

$\Delta T_{1n}$  ни аниқлад бұлғаң, барқарорлашган тартибда динамик синтез қылыш формуласынша (4.53) асосан  $J_1$  ни, сұнgra  $J_{max}$  ни ҳисобтайтын Күп ҳолларда маховикнинг инерция моменти  $J_{max}$  қолған I групта бүғинларнинг қолған инерция моментларында нисбатан катта булады. Шу сабабли  $T_1$  кинетик энергияның ҳар қандай ўзгариши асосан маховикнинг кинетик энергиясы ўзгариши ҳисобінде амалға ошади.

Маховикнинг вазифасын күриб чиқамыз. Газнинг ёниши жарағында (4.3-расм) ИЕД генератор истеъмол қыладынандан күпроқ энергия ишлаб чиқаради. Уннинг ортиқаси  $T_1$  ни (4.23-расм, әдәги  $NQ$  қисм), яъни аввало маховикнинг кинетик энергиясини күпайтиришга сарғылана-ди. Газларнинг сиқилице жарағени вақтида сиқиши ишларини бажарып учун ИЕД ўзи энергияни истеъмол қылады. Бу вақтда генератор ИЕД валидан энергия олишда давом этади. Энергияның бу иккала сарғы  $T_1$  ни (4.23-расм, әдәги  $QN$  қисм) камайтириш ҳисобнега, яъни асосан маховикнинг кинетик энергиясини камайтириш ҳисобнега қолады.

Шундай қилиб, двигатель ортиқча ғүзі бажарған пайтда маховик кинетик энергияни түплайды, бошка ғүзінде эса уннинг бир қисмими қайтиб беради.  $J_{max}$  (бинобарин,  $J_1$  ҳам) қанча күп булса, маховикнинг энергияни түплаш хусусияти шунчак юқори, энергия оқимининг ўзгаришындағы  $\omega$ , нинг ўзгариши шунчак кам булады, машиналы агрегатнинг вали шунчалық равон ишлайды; буни б ға нисбатан (4.53) төнділамадан күриш мүмкін:

$$\delta = \frac{\Delta T_{1n}}{\omega_{Tp}^2 J_1}.$$

Юқорида нотекислик коэффициенти  $[\delta]$  белгилаб берадынан ҳаракат шартининг амалға ошишини таъминловчи маховикнинг инерция моменти  $J_{max}$  ни аниқлашдан иборат бұлған динамик синтез масаласыннан ечилиши баён қылғанғанды. Энди тескари масаланы — динамик таҳлил масаласынни ечамиз: механизмнинг ҳамма хусусиятлары, шу жумладан,  $J_{max}$  ҳам маълум, ҳаракат қонунини ва б нинг қақиқий қыйматини аниқлаш талаб қылғаннади. Бундай масала ҳам Мерцалов усулы бүйінча ясаладын  $T_1(\Phi)$  диаграммасынни құллаб ечилады (4.23-расм).

$T_1(\Phi_1)$  әгри чиэзининг бошланғич  $O'$  нүктаси орқалы үқ чиэзиниң үтказамыз (4.23-расм, әдәгі штрихлар билан күрсатылған). Ушбу янги үққа нисбатан әгри чиэзик құйындағыча иғодаланадынан кинетик энергия  $\Delta T_1$  нинг ўзгаришини тасвирлайды:

$$\Delta T_1 = T_1 - T_{1\text{бошл}} = \frac{J_1 \omega^2}{2} - \frac{J_1 \omega_{\text{бошл}}^2}{2} = \\ = J_1 \frac{\omega + \omega_{\text{бошл}}}{2} (\omega - \omega_{\text{бошл}}).$$

Бошланғич бұғиннинг айланыш нотекислиги камлиги олдиндан маълум бұлгани учун талминан  $(\omega + \omega_{бояш})/2 \approx \omega_{р}$  күлиб олиш мүмкін. У ҳолда  $\omega - \omega_{бояш} = \Delta\omega$  белгилашни қабул қылган ҳолда ушбуни ҳосильтырылады:

$$\Delta J_1 \approx J_1 \omega_{р} \Delta\omega.$$

Бирок,  $J_1 \omega_{р} = \text{const}$ . Бинобарин, нотекислик коэффициенти  $\delta$  нинг қиймати кичик бұлган барқарорлашган тартибда кинетик энергия  $\Delta T_1$  нинг үзгариши таҳминан бошланғич бұғин бурчак тезлигининг үзгаришинша мутаносиб болады. Шу сабаблы 4.23-расм, ә дагы әгри чиңдік бир вактнинг үзіде  $\Delta T_1(\varphi)$  ни ҳам,  $\Delta\omega(\varphi)$  ни ҳам, аммо турлы масштабларда ифодалайды. Масштабтар орасындағы нисбат мана бундай:  $\mu_{\omega} = \mu_{T_1} J_1 \omega_{р}$ .  $\Delta\omega(\varphi)$  графиги 4.24-расмда тасвирланған.

Нотекислик коэффициенти  $\delta$  құйидаги формуладан анықланады:

$$\delta = \frac{\omega_{\max} - \omega_{\min}}{\omega_{р}} = \frac{\Delta\omega_{\text{п.к.}}}{\omega_{р}}.$$

Барқарорлашган тартибдеги бошланғич бұғиннинг бурчак тезланиши (4.33) тенгламаға күра ҳисобланады; бу тенгламада  $J_{\Sigma} = J_1 + J_{II}$ .  $M_{\Sigma}$  ва  $J_{II}$  ларнинг қиймати тегишли диаграммалардан олинады (4.23-расм, а, ө);  $\omega \approx \omega_{р} \cdot \frac{dJ_{\Sigma}}{d\varphi} = \frac{dJ_{II}}{d\varphi}$  ҳосиля, 4.5-ғ да күрсатылғаныдек,  $J_{II}(\varphi)$  функцияни график дифференциаллаш орқали анықланады ( $J_1 = \text{const}$  бұлгани учун).  $M_{\Sigma}$  ва  $\frac{dJ_{II}}{d\varphi}$  катталикларнинг ишорасы ҳисобга олинниши керак.

Бошланғич бұғиннинг бурчак тезланишини құйидагича ифодалаш ҳам мүмкін:

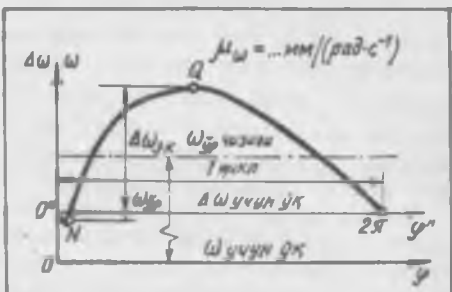
$$\varepsilon = \frac{d\omega}{dt} = \frac{d\omega}{d\varphi} \frac{d\varphi}{dt} = \frac{d\omega}{d\varphi} \omega.$$

Ү ҳолда екінші рақамда дифференциаллашни құллаган ҳолда  $\varepsilon(\varphi)$  диаграммасыдан (4.24-расм) анықланады.

#### 4.11-§. Барқарорлашган тартиб.

Таъсир этувчи күчларға тезликтің таъсиринің ҳисобға олган ҳолда динамик таҳлил ва синтез қылыш

4.10-§. да айтиб үтилған Мерцалов үсули билан динамик таҳлил синтез қылышнинг үзігі хос хусусияти шундаки, бунда таъсир этувчи күч ва моментларға тезликтің таъсири ҳисобға олинмайды.

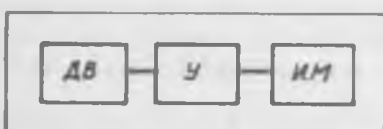


4.24- расм

Чунончи, ИЕД учун маховик лойиҳалаш мисолида (4.10-§ га қаранг) электр генераторнинг қаршилик моменти  $M_{\text{н.м}} (\omega)$  хусусият кўринишида эмас (4.2-расм), балки  $M_{\text{н.м}} (\phi)$  хусусият (4.4-расм, б) кўринишида берилган эди. Динамика синтез қилишнинг баъзи бошқа усулларида [1, 2] ҳам тезликкнига таъсири эътиборга олинмайди.

Тезликкнига куч ва моментларга таъсирини эътиборга олмаслил шу сабабли ҳам мумкинки, бошланғич бўғиннинг айланиш нотекислиги камлиги туфайли унинг тезлиги ўртача қийматдан кўп ҳолларда  $\pm 2\%$  дан ортиқ фарқ қўлмайди (4.9-§ га қаранг). Шу сабабли, бошланғич бўғинга қўйиладиган, тезликка боғлиқ равишда ўзгарувчи куч ва моментларнинг ўзгариши ҳам кам бўлгани учун уларни ҳисобга олмаслил мумкин.

Бироқ шундай машиналар ҳам мавжудки, уларда тезликкнига куч ва моментларга таъсири жуда сезиларли бўлади. Уларга, масалан, саноат электр юртмаларида кенг тарқалган асинхрон ва шунтили двигателлар киради. Ушбу машиналарнинг механик хусусиятлари (иш қисмидагиси) деярли вертикал тарзда жойлашган тўғри чизиқ кўринишида бўлади (4.1-расм ва 4.5-расм, б). Бу эса бурчак тезликкниг ҳатто унча катта бўлмаган ўзгариши ҳам ҳаракатлантирувчи моментнинг сезиларли ўзгаришига сабаб бўлишини билдиради. Шу сабабли моментнинг тезликка жуда сезиларли дарожада боғлиқлиги динамик таҳлил ва синтез натижаларига таъсири кўрсатилиши мумкин. Узатма у орқали бошланған асинхрон электр двигатель ДВ ва технологик иш машинаси ИМ дан ташкил топган агрегатни кўриб чиқамиз (4.25-расм). Иш машинасининг валини бошланғич бўғин қилиб оламиз ва унга куч ва массаларни келтирамиз. Электр двигатель ва иш машинасининг келти-



4.25-расм

риш амалга оширилгандан кейинги хусусиятлари (характеристикалари) 4.26-расм, а ва б да кўрсатилган.

Двигатель хусусиятининг иш қисмини тўғри чизиқ билан ифодалаймиз:

$$M_x = A - B \omega. \quad (4.57)$$

(4.57) дан келиб чиқадики,  $\omega$  тезликкнига ошиши ҳаракатлантирувчи моментнинг камайишига сабаб бўлади. 4.1-§ да двигателнинг бундай хусусияти ўз-ўзидан ростланиш деб аталган эди. (4.57) га асосан  $B$  коэффициент қанчалик катта бўлса, ўз-ўзидан ростланиш шунчалик яққол бўлади. Шуну ҳам айтиб ўтамизки, электр двигатель моменти  $M_x = i\pi v a g(\phi)$  га teng (4.1-§ га қаранг).

Кўпгина технологик машиналарнинг қаршилик моменти  $M_M \Phi$  чакка кўпроқ боғлиқ бўлиб (4.26-расм, б),  $\omega$  га камроқ боғлиқдир. Шу сабабли  $M_M = i\pi v a g(\omega)$  деб оламиз.  $M_M$  моментни икки қўшилув-

видан: ўзгармас (constante)  $M_{mc}$  ва ўзгрувчи (variable)  $M_{mo}$  күшилув-  
чиликкіншің йығындиси деб фараз киламиз:

$$M_m = M_{mc} + M_{mo}. \quad (4.58)$$

$M_{mc}$  күшилувчи иш машинаси моменти  $M_m$  нинг цикл ичидаги ўртача  
крайматидир:  $M_{mo} = M_{gp} = \frac{1}{2\pi} \int_0^{2\pi} M_m d\phi = \text{const}$ . Ўзгарувчи қүшилув-  
чи факат умумлашган  $\phi$  координатанинг функциясидир:  $M_{mo} = M_{Mo}(\phi)$ ,  
бунда  $\int_0^{2\pi} M_{mo} d\phi = 0$ .

Бутун машинали агрегатнинг көлтирилган инерция моментини ҳам  
ішкіта қүшилувчидан иборат деб қаралмиз (4.26-расм, ө):

$$J_\Sigma = J_c + J_o. \quad (4.59)$$

Бунда  $J_c = \frac{1}{2\pi} \int_0^{2\pi} J_\Sigma d\phi = \text{const}$ .  $J_c$  га маховикнинг инерция моменти  $J_{max}$   
қүшилувчи бўлиб киради. Ўзгарувчи қүшилувчи  $J_o = J_o(\phi)$ <sup>\*</sup>. Ҳаракат  
тenglamasi учун  $dJ_\Sigma/d\phi$  ҳосила керак булади. (4.59) tenglamaga кўра  
 $dJ_\Sigma/d\phi = dJ_o/d\phi$ . Умумлашган  $\phi$  координатанинг графиги бўлган  
 $dJ_o/d\phi = J'_o$  графиги 4.26-расм, ә да кўрсатилган.  $J_o = J_o(\phi)$  даврий  
функция бўлганлиги учун  $\int_0^{2\pi} J'_o d\phi = 0$ .

Машинали агрегатнинг ҳаракати tenglamasini дифференциал кўри-  
нишида ёзамиш [(4.31) tenglamaga қаранг]:

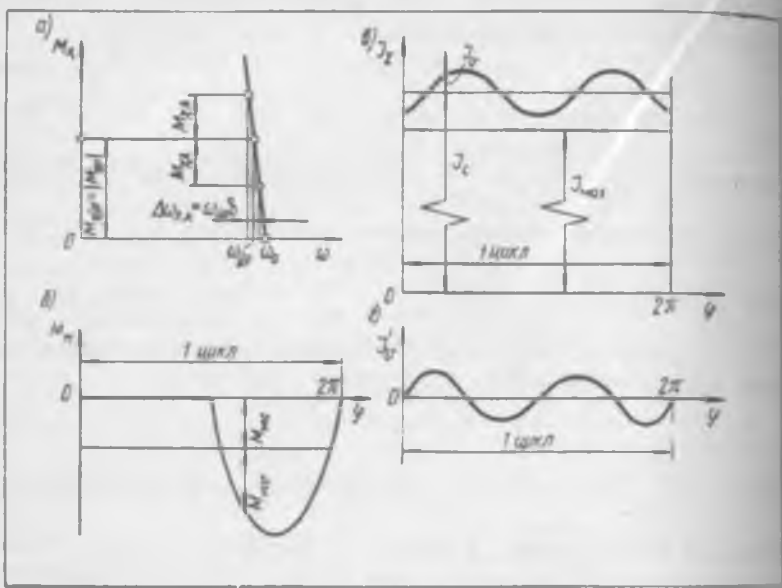
$$J_\Sigma \frac{d\omega}{dt} + \frac{1}{2} \frac{dJ_\Sigma}{d\phi} \omega^2 = M_x + M_m.$$

(4.57) — (4.59) tenglamalarни ҳисобга олган ҳолда бир қанча мураккаб  
бўлмаган ўзgartirishlардан сўнг ушбуни ҳосил қиламиз:

$$J_c \omega + B \omega = (A + M_{gp}) + (M_{mo} - J_o \dot{\omega} - \frac{1}{2} J'_o \omega^2). \quad (4.60)$$

Иккىҳад  $A + M_{gp} = L_c$  ўзгармас катталнайдир. Кўпҳад  $M_{mo} =$   
 $-J_o \dot{\omega} - J'_o \omega^2/2 = L_o$  даврий бўлиб,  $\phi$  га, яъни  $L_o = L_o \phi$  га ошкора  
боғлиқдир,  $L_o$  нинг цикл давомида ўзгариши бошланғич бўғин бурчан  
тезлиги  $\omega$  нинг цикл ичидаги ўзгаришинга сабаб бўлади. Шу сабабли  $L_o(\phi)$  ни  
мажбурловчи момент деб атаемиз. Иш машинаси қаршилик моменти  
 $M_{mo}$  ўзгаришининг ҳамда бошланғич бўғин билан ўзгарилик узатиш

\* Шунга ётиборни жалб этиш лозимки, математик мулоҳазаларга кўра (4.59)  
tenglamada  $J_\Sigma$  ни ишкита қўшилувчига ажратиш (4.52) tenglamaga қараганда бош-  
қачароқ ималга оширилган.



4.26- рисм

нисбати орқали бөгланган бүғинлар (ползунлар, шатунлар, коромислолар, кулисалар ва ҳоказо) нотекис ҳаракатининг бошланғич бүғинининг ҳаракат қонунига таъсири ана шу мажбурләвчи момент воситасида математик тарзда ифодаланади. Мажбурловчи момент иш машинасининг титрарш активлагини белгилайди.

Механизм ҳаракатининг нотекислик коэффициенти кичик бүлганилиги учун  $\omega \approx \omega_{sp}$ , бурчак тезланиш е эса кичик катталик бўлади. Шу сабабли  $L_v(\varphi)$  кўпхадни кам хато билан бундай ёзиш мумкин:

$$L_v(\varphi) = M_{mo} - J_v \omega_{sp}^2 / 2.$$

Мажбурловчи момент  $L_v(\varphi)$  ни Фурье қаторига ёймиз:

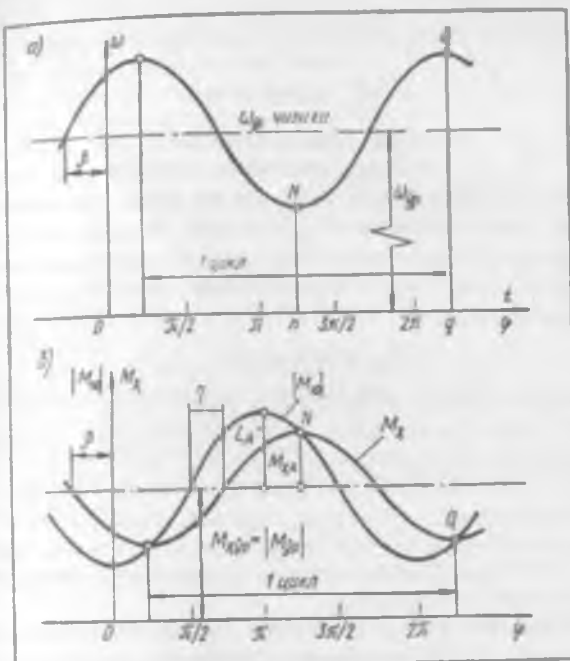
$$L_v(\varphi) = L_{v1}(\varphi) + L_{v2}(2\varphi) + L_{v3}(3\varphi) + \dots \quad (4.61)$$

Қаторда фақат 1-гармоника  $L_{v1}$  ни қолдирамиз, чунки одатда айнан унинг таъсири энг кучли бўлади. У ҳолда  $L_v(\varphi) = L_A \cos \varphi$ . Кичик нотекислик билан айланганда  $\varphi \approx \omega_{sp} t$  бўлгани учун

$$L_v(\varphi) = L_A \cos(\omega_{sp} t) = L_v(t). \quad (4.62)$$

Динамик таҳлилга онд масалани ечамиз, яъни механизмининг маълум хусусиятларига кўра унинг ҳаракат қонунини аниқлаймиз. Бунинг учун (4.60) тенгламага  $L_v(t)$  ифодани қўямиз:

$$J_c \ddot{\varphi} + B \dot{\varphi} = (A + M_{sp}) + L_A \cos(\omega_{sp} t). \quad (4.63)$$



4.27- расм

Барқарорлашган тартиб учун (4.63) тенгламанинг ечими қўйидагича бўлади:

$$\omega = \omega_{sp} + \frac{L_A \cos \beta}{J_c \omega_{sp}} \sin(\omega_{sp} t + \beta), \quad (4.64)$$

бунда

$$\operatorname{tg} \beta = B/J_c \omega_{sp}), \quad (4.65)$$

$$\omega_{sp} = (A + M_{sp})/B. \quad (4.66)$$

$M_{sp} < 0$  эквалигини эслатамиз. Бурчак тезликнинг унинг ўртача қийматига ишбатан ўзгариш графиги 4.27-расм, а да тасвирланган.

(4.49) ва (4.64) тенгламалардан фойдаланиб иш машинаси валининг айланыш нотекислиги коэффициенти  $\delta$  ни аниқлаймиз:

$$\delta = (\omega_{\max} - \omega_{\min})/\omega_{sp} = 2L_A \cos \beta / (J_c \omega_{sp}^2).$$

(4.65) тенгламадан фойдаланган ҳолда  $\beta$  бурчак косинусини аниқлаб ушбуни ҳосил қиласмиш:

$$\delta = 2L_A / (\omega_{sp} \sqrt{(J_c \omega_{sp})^2 + B^2}). \quad (4.67)$$

(4.64) тенглама:  $\omega = \omega(\varphi)$  ни билган ҳолда ҳаракатлантирувчи момент учун ифода тузамиш:

$$M_x = A - B\omega = (A - B\omega_{fp}) - \frac{B_A \cos \beta}{J_c \omega_{fp}} \sin(\phi + \beta) = (A - B\omega_{fp}) - M_{x,A} \sin(\phi + \beta). \quad (4.68)$$

Шундай қилиб, цикл давомида ҳаракатлантирувчи момент ўзининг ўртасида қиймати  $M_{x,fp} = A - B\omega_{fp}$  донрасида гармоника қонуни буйича ўзгаради. (4.66) дан фойдаланиб, ушбу ўртасида қиймат қаршилик моментининг абсолют ўртасида қиймати  $|M_{fp}|$  га тенг бўлади, деган хуласага келамиз. Дарҳақиқат, барқарор тартибда худди шуни кутиш лозим эди. Ҳаракатлантирувчи моментининг ўзгариш амплитудаси  $M_{x,A}$  4.26-расм, а дан осонгина аниқланади:

$$M_{x,A} = \delta B \omega_{fp} / 2. \quad (4.69)$$

Фурье қаторидан (4.61) иккинчи ( $L_{\omega}$ ), учинчи ( $L_{\omega^2}$ ) ва бошқа гармоникаларни олиб ҳамда ҳамма ҳосил қилинган ечимларни алгебраик қўшиб ва суперпозиция принципидан фойдаланиб (4.64) ва (4.68) тенгламалар берадиган натижаларни аниқлаштириш мумкин.  $\omega(\phi)$  ва  $M(\phi)$  функциялар қўшилганидан сўнг энди гармоник функция ҳосил бўлмайди. Улир энди иш машинаси ва унинг меҳанизмининг ўзига хос томонларини акс эттиради. ЭҲМ дан фойдаланилганда суперпозиция принципини таъбиқ этиш қийинчилик туғдирмайди.

$L_o \approx L_{\omega_0}$  бўлган ҳол учун боз валининг айланма ҳаракати динамикасини кўриб чиқамиз. (4.63) тенгламанинг қўйидаги кўринишда ёзмиз:

$$J_c \dot{\omega} = M_x + (M_{fp} + L_o).$$

$M_{fp} + L_o$  иккىҳад иш машинасининг қаршилик моментини ўз ичига олади: ушбу иккىҳадни юкловчи момент  $M_o = M_o(\phi)$  деб атамиз. У ҳолда

$$J_c \dot{\omega} = M_x + M_o. \quad (4.70)$$

4.28-расмда (4.70) тенгламанинг тасвири кўрсатилган.

$M_x(\phi)$  ҳамда  $|M_o(\phi)|$  функцияларни график тарзда тасвирлаймиз (4.27-расм, а). Иккала эгри чизиқ бир-биринга инсбатан фаза бурчакка ( $\eta = 90^\circ - \beta$ ) сурилган. (4.65) тенгламанинг назарда тутган ҳолда ушбуни ҳосил қиласми:

$$\operatorname{tg} \eta = \operatorname{ctg} \beta = J_c \omega_{fp} / B. \quad (4.71)$$

$N$  ва  $Q$  нуқталар орасидаги штрихланган қисм (4.27-расм, б) кинетик энергиянинг энг кўп ўзгариши  $\Delta T_{x,k} = \frac{1}{2} J_c \omega_{max}^2 - \frac{1}{2} J_c \omega_{min}^2$  да мужассамланадиган ҳаракатлантирувчи моментининг ортиқча ишни тасвирлашини пайдаш қийин эмас.

(4.69), (4.67) ва (4.71) формуулалардан келиб чиқадики, ўз-ўзидан ростланиш қанчалик яққол бўлса [яъни (4.67) тенгламадаги  $B$  коэффициент қанчалик катта бўлса],  $M_{x,A}$  амплитуда шу қадар катта ва  $\eta$  бурчак шу қадар кичик бўлади, яъни  $M_x(\phi)$  эгри чизиқ  $|M_o(\psi)|$  эгри

чилиниң шу қадар яқын жоғлашади. Бундай хүлес Фурье қаторида жоғлашган иккинчи, учиичи ва бундан юкори гармоникалар [(4.61) теңглама] вужуда көлтирадиган даврий жарайш учун ҳам үрнелледір. Бунинг маңыссында шуки, үз-үзидан ростланиш қанчалик кескин иғодаланса,  $M_x$  ва  $|M_{\omega}|$  ларнинг кийматлары шунчалик бир-бірге яқын бўлади (механизмнинг исталган ҳолатида), яъни маховик қабул қилиши лозим бўлган инерция энергиянинг ЭНГ катта ўзгариши шу қадар кам бўлади.

Шундай муҳим хүлосага келгандан сўнг динамик синтезга оид масалани ечишга, яъни берилган нотекислик коэффициенти  $[\delta]$  ни таъминландиган инерция моменти  $J_e$  ни аниқлашга ўтамиш. Бунинг учун (4.67) теңгламадан изланадиган  $J_e$  қийматини аниқлаймиз:

$$J_e = \frac{2 L_A}{[\delta] \omega_{sp}^2} \sqrt{1 - \left( [\delta] \frac{B \omega_{sp}}{2 L_A} \right)^2}. \quad (4.72)$$

Агар маховик Мерцалов, Витте бауэр, Артоболевскийларнинг класик усуслари билан ҳисобланса, яъни тезликкнинг  $M_x$  га таъсири ҳисобга олинмаса, у ҳолда  $B = 0$  бўлади (4.57) теңгламага қаранг). У ҳолда (4.72) теңгламадан  $J_e = J_{e0} = 2 L_A / ([\delta] \omega_{sp}^2)$  ни ҳосил қиласмиш.

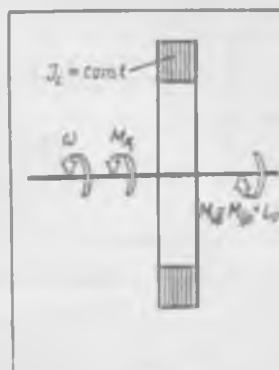
(4.72) теңгламанинг илдизи остидаги иғодани ўзgartирамиз. Бунинг учун ўз-ўзидан ростланиш коэффициенти  $k = \omega_{sp}/\omega_0$  ни киритамиз (4.26-расм, а га қаранг). Агар  $M_x(\omega)$  горизонтал чизик бўлса, яъни  $M_x$  тезликка боғлиқ бўлмаса, у ҳолда  $k = 0$  бўлади; борди-ю  $M_x(\omega)$  вертикаль чизик бўлса, у ҳолда  $k = 1$  бўлади. Шундай қилиб,  $0 < k < 1$  бўлади ҳамда ўз-ўзидан ростланиш қанчалик кескин бўлса,  $k$  шунчалик катта бўлади.

4.26-расм, а дан  $B \omega_{sp} = \frac{k}{1-k} M_{x,sp}$  лиги келиб чиқади. (4.72) теңгламанинг илдиз остига  $B \omega_{sp}$  ни қўйиб ушбуни ҳосил қиласмиш:

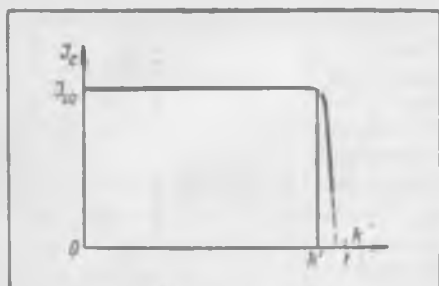
$$J_e = J_{e0} \sqrt{1 - \frac{[\delta]^2}{\gamma^2} \left( \frac{k}{1-k} \right)^2} = J_{e0} \alpha, \quad (4.73)$$

Бунда  $\gamma = 2 L_A / |M_{sp}|$  — мажбурловчи момент  $L_e(\phi)$  нинг нотекисленини кўрсатувчи коэффициент,  $\alpha$  — тузатма коэффициент.

4.29-шаклда  $L_A$ ,  $\gamma$ ,  $\omega_{sp}$ ,  $[\delta]$  лар берилган ҳол учун зарур инерция моменти  $J_e(k)$  никәр графиги (4.73) теңгламага мувофиқ тасвирланган. Агар  $M_x$  момент тезликка боғлиқ бўлмаса ( $k = 0$ ), у ҳолда  $J_e = J_{e0}$  бўлади. Агар  $M_x$  момент тезликкнинг функцияси бўлса, яъни  $k \neq 0$  лекин  $0 < k < k'$  бўлса (4.29-шакл), у ҳолда  $J_e(k)$  график деярли



4.28-расм



4.29-расм

горизонтал кечади, яъни  $J_{c0}$  бўлади. Бир меъёрда ўзидан ростланиш  $J_e$  нинг керакли қийматига дегярли сир этмайди. Бу эса шунинг билдирадики, ўз-ўзидан ростланиши кескин бўлмаган ( $k < k'$ ), яъни  $M(\omega)$  хусусияти вертикальдан йироқ бўлган аксарият машинали агрегатлар учун (4.2-расм ва 4.5-расм, в) маҳовикни классик усуллардан фойдаланиб лойиҳалаш мумкин.

Агар ўз-ўзидан ростланиш кескин ифодаланган бўлса ( $k > k'$ ), у ҳолда  $J_e$  ( $k$ ) эгри чизиқда кескин эгилиш бўлади (4.29-расм).  $[8] = -1/20$  бўлганда  $\gamma = 2$  га тенг эгилиш (кўпгина иш машиналари учун умумий бўлган мисол) абциссаси  $k' = 0,9$  бўлган нуқта яқинидан бошлиниади, бунда  $J_e = 0,974 J_{c0}$  бўлади. Агар  $k > k'$  бўлса, ўз-ўзидан ростланишнинг озгина бўлса ҳам кескинлашуви (яъни  $k$  коеффициентнинг озгина бўлса ҳам катталашини)  $J_e$  нинг зарур қийматининг кескин камаювига, яъни лойиҳаланувчи маҳовикнинг кичиклашувига олиб келади. Бундай натижага катта амалий аҳамиятга эга: агар иш машинаси хусусияти вертикалга яқин бўлган, бинобарин, коеффициенти 0,9 дан катта ( $k > 0,9$ ) бўлган асинхрон ёки шунтли двигателлардан ҳаракат оладиган бўлса, у ҳолда керакли инерция моменти  $J_{c0}$  дан кичик бўлади. Демак, бундай ҳолларда динамик синтезнинг классик усуллари керагидан юқори натижанин беради. Асинхрон двигателлардан ҳаракатга келтириладиган ҳамда унча катта бўлмаган маҳовиклар ўрнатиладиган ҳар хил дастгоҳларнинг, механик арраларнинг, пресслар ва бошқа иш машиналари валларининг бир қарашда тушуниб бўлмайдиган унча катта бўлмаган нотекислик билан аланиши факти худди юқоридаги сабаблар билан тушунтирилади. Кескин ифодаланган ўз-ўзидан ростланишнинг таъсирини ( $k > k'$  бўлгандаги) эътиборга олган ҳолда ҳисоблаш инерция моменти катта бўлмаган, бинобарин, ихчам ва кам металл сарфланадиган маҳовикларни онгли равишда яратишига имкон беради.

Юқорида гармоник юкланиш  $L_o(\phi)$  ҳолида ўз-ўзидан ростланишнинг  $J_e$  га таъсири кўриб чиқилиди [(4.72) тенгламага қаранг]. Бошқа, мурракаброқ юкланиш турларида ҳам ўз-ўзидан ростланишнинг таъсири 4.29-расмда тасвирланганидек бўлаверади.

(4.72) тенгламадан ҳисобланган  $J_c$  қиймати узатма  $U$  нинг (4.26-расм, в) чиқиш валига келтирилган инерция моментининг донмий ташкил этувчиси бўлади.  $J_c$  ни аниқлаб ҳамда двигатель бўғинларининг, узатманинг ҳамда иш машинасининг келтирилган инерция моментларини билиб олгач,  $J_{max}$  ни, яъни  $J_c$  нинг маҳовикка тўғри келтирилган қисмини аниқлаймиз.

Күриб чиқилаётган мисолда (4.25-расм) титраш активлиги манбаи двигатель ДВ эмас, балки иш машинаси ИМ бўлади. Шу сабабли маҳомини титраш активлиги манбадан узоқ бўлган валга, яъни электр двигатель валига эмас, балки айнан иш машинасининг валига, яъни титраш активлиги манбаи валига яқин жойлашган валга ўрнатиш керак. Ушбу ҳодисани М. З. Коловский батафсилроқ тадқиқ этган (к.: Коловский М. З. Динамика машин. л., 1980).

## 5-бо6

### МЕХАНИЗМЛАРНИ КУЧГА ҲИСОБЛАШ

Механизм ҳаракатланамёттандо унинг кинематик жуфтликларида бўғинларнинг ўзаро таъсир кучлари вужудга келади. Ўмуман механизмга нисбатан бу кучлар ички кучлар тонфасига киришини эслатиб ўтамиш (4.1-§ га қаранг). Кинематик жуфтликларнинг ўзаро таъсир кучлари билан юкланганлиги механизмнинг муҳим динамик хусусиятидан. Кинематик жуфтликлардаги кучларни билинг механизм бўғинларнинг мустаҳкамлигини, бикрлигини, титрашга, ейилишга чидамлилгини ҳисоблаш, подшипникнинг хизмат муддатини ҳисоблаш учун ва механизмини лойихалашда бажариладиган шунга ухшаш бошқа ҳисобларни амалга ошириш учун зарур. Ички кучларни, шунингдек бир қанча масалаларда механизмга ташқаридан қўйилган кучлар ва жуфт кучларни дикқатлаш уни кучга ҳисоблашнинг мазмунини ташкил этади.

#### 5.1-§. Кучга ҳисоблашнинг умумий методикаси

Ушбу китобда кучга ҳисоблаш усуслари фақат текис механизмлар учун баён қилинади. Бунда, механизм симметрия текислигига эга бўлади, бу текислик ҳаракат текислигига параллел жойлашади ва қўйилган ҳамма кучлар ана шу текисликда таъсир қиласди, деб ҳисоблаймиз. Кўрсатилган шартни энергетик, технологик, транспорт машиналарининг ҳамда турли-туман асбобларнинг кўпгина механизмлари қаноатлантиради.

Кучга ҳисоблашни бўғинларнинг тезланувчан ҳаракатини ҳисобга олган ҳолда бажариш лозим, чунки уларнинг тезланиши ҳозирги тезорар машиналарда жуда катта бўлади. Бўғинларнинг тез ҳаракатланышини ҳисобга олмаслик таъсир этувчи кучларга етарли баҳо бермасликка олиб келадики, бу эса инженерлик ҳисоблаш ишларини бажаришда хатоликларни вужудга келтириши мумкин.

Бўғинларнинг тезланувчан ҳаракатини ҳисобга олиши кинетостатика усулни ёрдамида амалга оширамиз, бунда механизмнинг ҳар бир ҳаракатланувчи бўғининг шартли равишда инерция кучларининг бош вектори  $\Phi_i$  ва бош моменти  $M_{\Phi_i}$  ни таъсир эттирамиз. У ҳолда ҳар бир бўғин учун кинетостатиканинг учта тенгламасини ёзиш мумкин:

$$\sum_i F_x + \Phi_{ix} = 0; \quad (5.1)$$

$$\sum_i F_y + \Phi_{iy} = 0; \quad (5.2)$$

$$\sum_i M_o(\bar{F}) + \sum_i M + M_0(\bar{\Phi}) + M_{\Phi_i} = 0. \quad (5.3)$$

(5.1) ва (5.2) алгебраик тенгламалар күчларнинг битта эквивалент вектор тенгламаси билан алмаштирилиши мумкин:

$$\sum_i \bar{F}_i + \bar{\Phi}_i = 0.$$

Инерция күчларининг Сош вектори  $\bar{\Phi}_i$  ва бош моменти  $M_{\Phi i}$  даги тенгламалардан аниқланади:

$$\bar{\Phi}_i = -m_i \bar{a}_{Si}, \quad M_{\Phi i} = -J_{iS} \bar{e}_i. \quad (5.4)$$

$M_{\Phi i} = -J_{iS} \bar{e}_i$  тенглама, инерция кучининг бош вектори  $\bar{\Phi}_i$  массалар маркази  $S_i$  га қўйилган бўлади, деган фаразга асосланди.

Шу нарсани уқтириш лозимки, амалда  $i$  бўғинга ҳеч қандай  $\bar{\Phi}_i$  кунва ҳеч қандай  $M_{\Phi i}$  жуфт куч қўйилган бўлмайди. Инерция күчларининг бош вектори  $\bar{\Phi}_i$  ва бош моменти  $M_{\Phi i}$  ҳеч қандай физик мазмунга эга бўлмайди ҳамда (5.1) — (5.3) ҳисоблаш тенгламаларида улар бўғинлар тезланувчан ҳаракатининг таъсирини ҳисоблашда қўлланиладиган соф математик катталик ролинигина ўйнайди.

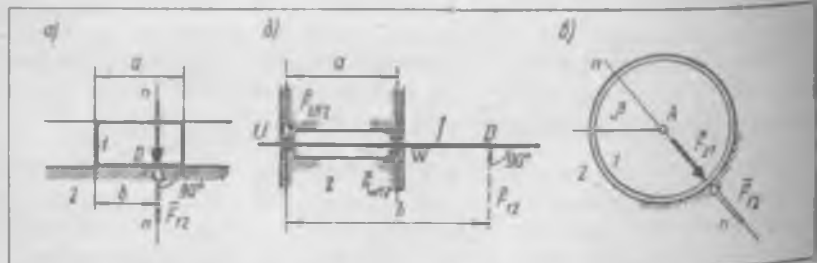
Кинематик жуфтликлардаги изланаётган күчлар (5.1) — (5.3) тенгламалардан аниқланади. Бу формулаларда улар  $\sum F_x$ ,  $\sum F_y$ ,  $\sum M_o(\bar{F})$

йигинцилар таркибида бўлади.  $\Phi_{ix}$ ,  $\Phi_{iy}$ ,  $M_{\Phi i}$  ларнинг қиймати тезланишга боғлиқлиги сабабли изланаётган күчлар ҳам тезланишга боғлиқдир. Демак, кучга ҳисоблаш учун механизмининг ҳаракат қонунини билни керак.

Кинематик жуфтликлардаги күчларнинг таъсирини кўриб чиқамиз.

Кўйи жуфтликни ҳосил қилувчи бўғинларнинг ўзаро таъсири кучи бўғинларнинг уриниш юзаси бўйича тарқалган элементар күчларнинг тенг таъсири этувчилиридан иборатdir. Назарий механикадан маълумки, иккита уринувчи жисмнинг ўзаро таъсири кучи ишқаланиш бўлмагандан уларнинг юзасига ўтказилган умумий нормаль бўйлаб йўналадилар.

Илгарилама жуфтликда бўғин I га бўғиш 2 дан тушувчи  $\bar{F}_{12}$  куч бўғинларнинг уриниш юзасига ўтказилган  $n$  —  $n$  нормаль бўйлаб йўналган бўлади (5.1-расм, а).  $\bar{F}_{12}$  кучнинг модули ва  $b$  масофа номаътум бўлиб, улар кучга ҳисоблаш жараёнида аниқланиши лозим. Айтилган



5.1-расм

дир бүгін 1 дан бүгін 2 га тушувчи  $\bar{F}_{12}$  күчга ҳам тұла тааллу қлидір, чунки  $\bar{F}_{12}$  ва  $\bar{F}_{21}$  үзаро таъсир күчлари Ньютоңнинг учинчі қонуниң 2-жылдан өзаро боғланған:  $\bar{F}_{21} = -\bar{F}_{12}$ .

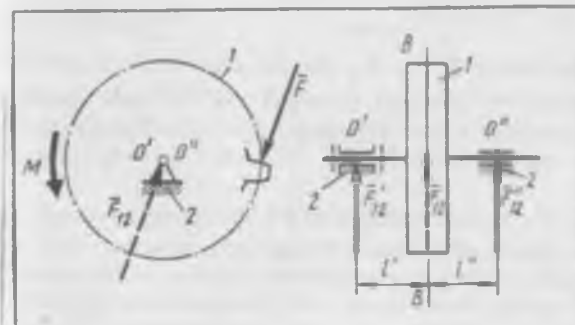
Күчга ҳисоблаш жараеніда  $\sigma$  массра  $\mu$  үзүшшілдеп <sup>5.1-расм</sup>, қатта чиқиб қолиши ҳам мүмкін. Бу ҳолда бүгін 1 га әнді биттә эмас, балки бир-бирига қарама-қарши йұналған ҳамда модул қийматлары номағым мендердегінде  $\bar{F}_{U12}$  ва  $\bar{F}_{U21}$  реакциялар таъсир этады. Айнан шу реакциялар бүгін 2 дан стержень 1 га бұладиган қақиқиي күч таъсирідан иборатдір.  $\bar{F}_{12}$  күч эса (штрихлар билан күрсатылған) үларнинг фақат тенг таъсир этувчисидір. Шундай қилиб, илгарилама жуфтлік тенгламага иккита номағым мендердегінде қийматнан киритади.

Айланма жуфтлікка ишқаланиш күчи ҳисобға олнимаганды  $\bar{F}_{12}$  күч икката бүгіннинг цилиндрсімөн уриниш юзасынан нормал таразда йұналады, яғни шарнирнинг A маркази орқали үтады (5.1-расм, ө). Шарнир марказининг ҳолати дөлмо мағым,  $\bar{F}_{12}$  күчнінг модули ҳамда  $\beta$  бурчак эса номағым мендердегінде бұлады. Бундай қүйи жуфтлік ҳам ҳисоблашга иккита номағым мендердегінде қийматнан киритади.

Шундай қилиб, ҳар қандай қүйи кинематик жуфтлікка таъсир қылувчи ҳар бир күчден (5.1) — (5.3) ҳисоблаш формулаларыда иккита номағым мендердегінде қийматнан киритади.

Айланма жуфтлік конструктив жиҳатдан иккита:  $O'$  ва  $O''$  подшипниклар күрнишида ишланған бўлсин (5.2-расм). Ҳисоблаб топилған  $\bar{F}_{12}$  күч күріләтгая мисолда тишли узатманинг BB текислигіда жойлашады ҳамда  $\bar{F}'_{12}$  ва  $\bar{F}''_{12}$  реакцияларнинг тенг таъсир этувчиси бўлади. Ушбу реакциялар подшипникларни юкловчи күчлар бўлади. Подшипникларнинг хизмат муддатини, валнинг мустаҳкамлигини ҳисоблаш учун ана шу күчлардан фойдаланиш лозим.

Олий жуфтлікка бүгінларнинг үзаро уриниши ё нүқта орқали, ёки чизиқ орқали амалга ошади. Нүқта бўйича уринишида бүгінларнинг күч орқали үзаро таъсирни тұпланған күч күрнишида, чизиқ бўйича уринишида эса уриниши чизиги бўйлаб тарқалған юкланиш күрнишида бўлади.



5.2-расм

Кейинги ҳолда ўзаро таъсир кучи деганда тақсимланган элементтар кучларининг teng таъсир этувчиси тушунилади.

Ишқаланиш ҳисобга олинмаганлиги сабабли  $F_{12}$  куч умумий  $n - n$  нормаль бўйлаб йўналган бўлади (5.3-расм). Бинобарни,  $\bar{F}_{12}$  кучининг ҳам қўйилиш нуқтаси ( $K$  нуқта), ҳам унинг таъсир чизиги матълум бўйлаб фақатгина унинг модули номаълум бўлади. Шундай қилиб (5.1) — (5.3) ҳисоблаш тенгламаларида олий жуфтликлардаги ўзаро таъсир кучларидан ташкил топган ҳадлардан биттадан номаълум катталик бўлади.

$n$  та қўзгалувчан бўғин,  $F_k$  та қўйи,  $p_0$  та олий кинематик жуфтликлардан ташкил топган, ортиқча боғламалари бўлмаган ( $q_t = 0$ ) талган текис механизмининг статик аниқлигини кўриб чиқамиз. Механизмнинг ҳар бир бўғини учун (5.1) — (5.3) ҳисоблаш тенгламаларидан учтасини ёзиш мумкин бўлганилиги сабабли ундаги  $n$  та қўзгалувчан бўғиннинг ҳаммаси учун тузиладиган тенгламаларнинг умумий сони  $N_t = 3n$  бўлади.

Юқорида айтиб ўтилганидек, ҳар бир қўйи жуфтлик ҳисоблаш тенгламасига иккита, ҳар бир олий жуфтлик эса битта номаълум катталикни киритади. Шу сабабли ҳамма кинематик жуфтликлардаги киритадиган номаълумлар сони  $N_F = 2p^o + p$  га teng. Ушбу номаълумлар кинематик жуфтликлардаги кучларга, яъни ички кучларга онддир. Аниқроғи  $N_F$  та номаълум катталиклир ушбу кучларнинг модулларида, улар қўйиладиган нуқталарнинг чизиқли координаталаридан, улар таъсир этадиган чизиқларнинг бурчак координаталаридан иборатdir.

Текис механизм учун Чебишев формуласини (2.4-§) ёзамиз

$$3n = (2p_k + p_0) + W_t.$$

Бу формула билан  $N_t$  ва  $N_F$  ифодаларини солишириб  $N_t = N_F + W_t$  ни ҳосил қиласмиз. Шундай қилиб,  $N_t$  та тенглама ҳамма ички номаълумларни аниқлаш учун етарлидир. Бундан жуда муҳим хулоса келиб чиқади: ортиқча боғламалари бўлмаган ( $q_t = 0$ ) механизм статик аниқдир.

Қолган  $W_t$  та тенгламадан кучга ҳисоблашда излаш лозим бўлган, берилмаган ҳамда механизмга ташқаридан қўйилган куч факторларини, яъни кучларни ва жуфт кучларни аниқлашда фойдаланилади\*. Бинобарин, ушбу ташкин номаълумлар сони механизмнинг эркинлик даражалари

\* Бази дарсликларда номаълум ташкин куч факторлари мувозанатловчи кучлар ва мувозанатловчи моментлар деб аталади.

сөндиң ошмаслығы керак. Агар ҳамма ташқи юкланишлар берилған болса, у дөлде қолған  $W_T$  та тенгламалардан текширув тенгламалари сифтида фойдаланылады.

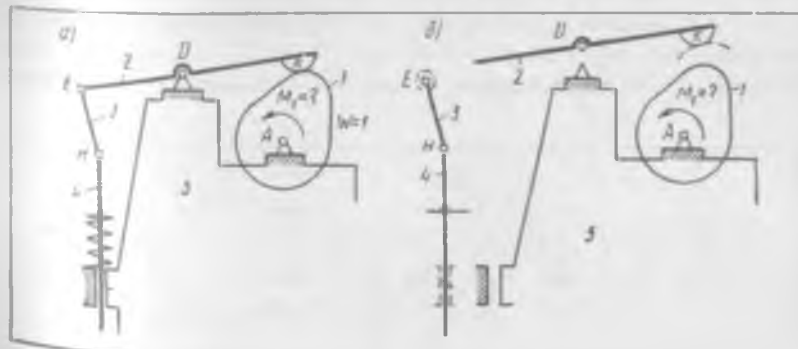
Күнгә ұқсаблашының бажарылыш кетма-кеттілгішті аниқтайды. Ортиқ-ша боғламалары бұлмаган,  $W_T = 1$  та эга бўлған механизм берилған бўлсин (5.4-расм, а). Муштли ватта ташқаридан қўйилған номаълум  $M_1$  моментин (жуфт күчларни) аниқлаш талаб қўлинисан. Кинематик жуфтликлордаги ичкى кучлар қолган номаълумлардир. Уларни аниқлаш мисбада механизмни қисмларга ажратиш лозим.

Уни Ассур структура группаларига ва бирламчи механизмтә шундай ажратамишки, бунда номаълум ташқи  $M_1$  момент албатта бирламчи механизмнинг қўзғалувчан бўғинига қўйиладиган бўлсин (5.4-расм, б). Механизм ана шундай ажратилған тақдирда кучлар билан юкландган ҳар бир структура группаидаги номаътумлар фақат кинематик жуфтликлардаги кучлар бўлишлигини уқтириб ўтамиш. Шу сабабли группадаги номаълум сони  $N_P = 2p_{k,r} + p_{o,r}$  ни, шу группа учун ҳисоблаш тенгламаларининг сони  $N_T = 3n_{t,r}$  ни ташкил этади.

Шу билан бирга исталған структураний группа учун  $3n_{t,r} = 2p_{k,r} + p_{o,r}$  муносабат ўринли бўлади (2.5-§). Уни  $N_T$  ва  $N_P$  лар учун ҳосил қўлиниган ифодалар билан солиштириб  $N_T = N_P$  га эга бўламиш. Бу эса исталған Ассур структура группаси, у қанчалик мураккаб бўлмасин, ажойиб хусусиятга эга: у *статик аниқдир*, деган маънини билдиради.

Агар механизмда ортиқча боғламалар бўлса, ортиқча боғламали структура группалари статик ноаниқ бўлади. Шунга кўра бутун механизмнинг ўзи ҳам статик ноаниқ бўлиб қолади.

Ҳамма структура группалари күнгә ҳисоблаб бўлингандан сунг бирламчи механизмнинг (5.4-расм, б) бошланғич бўгини 1 статик аниқ бўлиб қолади. Бунда шуни жуда аниқ уқтириб ўтиш керакки, қўзғалувчан бўғин айланма ҳаракат қиласадиган бўлса, унн бир текис ҳаракат деб қабул қилиш мутлақо шарт эмас. Бундан ташқари, бўғинга сунъий равишда бурҷак тезланишсиз айланма ҳаракат бериладиган бўлса, у



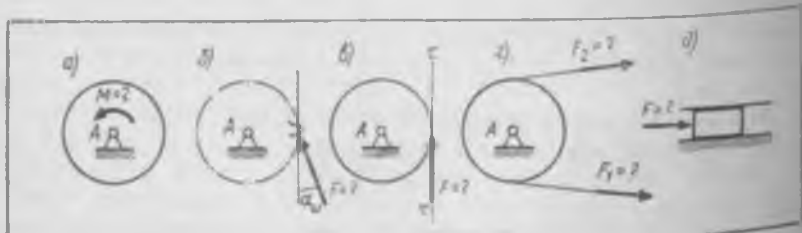
5.4-расм

холда бирламчи механизмнинг құзғалуучан бүгіннің учун түзилген мөнгілар тенгламасының ечими натижаси бүгін айланма ҳаракатының нотекислик коеффициенті жуда кичик бўлганда ҳам, кўп ҳолларда ҳақиқий натижадан жуда йироқ бўлиши, баъзи ҳолларда эса маъносиз бўлиши мумкин.

Юқорида айтилганларга кўра, кучга ҳисоблашынг умумий методи каспини қўйидагича ифодалаш мумкин: ортиқча боғламалари бўлмаган механизмнин кучга ҳисоблашынг бирламчи механизмдан энг узоқда жойлашган группадан бошлаган ҳамда бирламчи механизмнинг ўзини кучга ҳисоблаш билан якунлаган ҳолда структура группалари бўйича амалга ошириш лозим. Шундай қилиб, кучга ҳисоблаш кинематик ҳисоблашга нисбатан тескари тартибида амалга ошириллади. Структураларга ажратишни шундай амалга ошириш керакки, номаълум ташқи куч фактори айнан бирламчи механизмнинг құзғалуучан бүгінніга қўйиладиган бўлсин. Яна шуни қўшиш мумкинки, берилган механизмга тушувчи ҳамма ташқи куч факторлари номаълум бўлса, у ҳолда структураларга ажратиладиган бирламчи механизмни танлаш ихтиёрий бўлади. Ифодаланган умумий методика эркинлик даражалари  $W_m > 1$  бўлган механизмлар учун ҳам тўғридир.

Ушбу параграфнинг хотимасида  $W_m = 1$  бўлганда бирламчи механизмнинг құзғалуучан бүгіннің қўйилган номаълум ташқи куч фактори аниқ нимадан иборат бўлишини кўриб чиқамиз.

Агар құзғалуучан бүгін манба билан (ёки энергия оқимининг йуналишига қараб — механик энергия истеъмолчиси билан) муфта восита сида (5.5-расм) боғланган бўлса, у ҳолда номаълум  $M$  момент ташқи куч фактори бўлади. Агар энергияни киритиш (ёки чиқариш) тишли ёки фрикцион узатма (5.5-расм; б, в) орқали амалга оширилса, у ҳолда модули бўйича номаълум бўлган  $F$  куч ташқи куч фактори бўлади.  $F$  куч таъсир чизигининг ҳолати ё тишли узатманнинг геометриясиага (излашиш бурчаги  $\alpha_\phi$  га) кўра аниқланади, ёки фрикцион гидравликларининг урининш нуқтасидан уларнинг иш юзаларига уринма тарзида ўтади. Тасмали узатмада (5.5-расм, г) ташқи куч фактори энди битта э мас, балки модуллари ўзаро Эйлер формуласи орқали боғланган иккита номаълум  $F_1$  ва  $F_2$ , кучлардан иборат бўлади [1]. Шу сабабли ташқи куч фактори аввалтидек бир марта номаълум бўлади.  $F_1$  ва  $F_2$ , кучларнинг таъсир чизиқлари тасмали узатмадаги етакчи ва етакланувчи тармоқларининг



5.5- расм

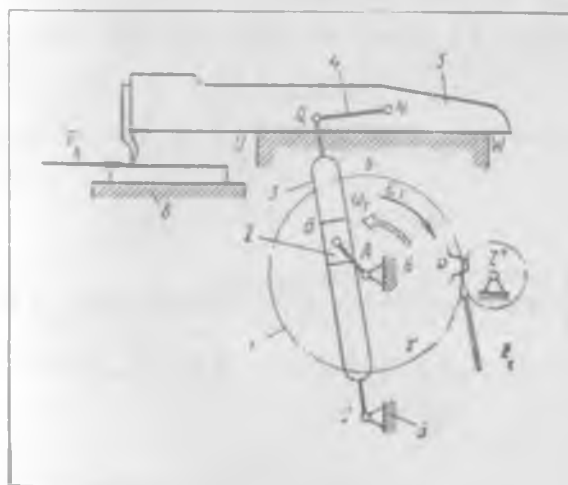
холатларнга күра аниқланади. Агар бирдамчи механизмнинг құзғалуван бүгінні түғри чизиқли илгарылама ҳаракат қылса (5.5-расм, a), у молда модули жиҳатидан номағын бұлған, одатда, йұналтирувчы юза бүйілсіб ҳаракатланадиган  $F$  күч ташқы күч фактори бұлади. Шундай күтіп, бу ерда ҳам ташқы күч фактори бир марта номағын бұлғади.

### 5.2-§. Пишанғли механизмнің күчгә қисоблашының график усулы

Күндаланғандағанда дастигохининг кулисалы механизмнің күчгә қисоблашының күриб чықамыз. Қойнадылар берилген: 1) механизмнің кинематик схемасы (5.6-расм); 2) бүгінларнинг массасы ва инерция моментлари, улар массалари марказларнинг ҳолаты; 3) бүгін I нинің бурчак тезлігі  $\omega_1$  ва бурчак тезлініши  $e_1$ ; 4) кескінчға (бүгін 5 г) турушывчы  $F_k$  қарышылғы күчи (қириқш күчи) ва ҳамма бүгінларнинг оғырлік күчлары.

Ҳамма кинематик жуфтликтердеги ички күчларни аниқлаш талаб күлиналы; күрілдәттеган мисолда дастигох механизм энергия манбаи билан тиішли узатма  $\delta' - \delta''$  орқали боғланғанлығы сабаблы (5.6-расм), тиішли шиддірек  $\delta'$  (бүгін I) га қойылған модули аниқланыши лозим бўлған  $F$  күч ташқы күч фактори бұлади.

Қисоблашының кинематик қисмнің бажарнің бўлганимиздан сұнг (3-боб) ҳамма бүгінлар массалари марказлары тұла тезләнешларнинң ҳамда улар бурчак тезләнешларнинң қийматлары ва йұналиштарнин аниқлаїмыз. Топылған тезләнешларға күра ҳамма бүгінлар инерция күчлары бош векторларнин ва бош моментларнин қийматларини ва йўшылыштарнин аниқлаїмыз [(5.4-тенглемага қаранг].



Энди механизмни қисмларга ажратамиз. Номаълум  $F$  ташки күч бўғин 1 га қўйилганилиги сабабли ана шу бўғин бирламчи механизми таркибига киради (5.7-расм, а). Қолган бўғинлар иккита: 2—3 ва 4—5 структура группаларини ташкил этади (5.7-расм, а, г). Кучга ҳисоблашни бирламчи механизмдан энг узоқда жойлашган 4—5 груп падан бошлаймиз.

4—5 структура группаси бўғинларига (5.7-расм, а) қўйиндаги ташки күч ва моментлар қўйилган:  $\bar{G}_4$ ,  $\bar{\Phi}_4$ ,  $\bar{M}_{\Phi 4}$ ,  $\bar{F}_k$ ,  $\bar{G}_5$ ,  $\bar{\Phi}_5$ ; уларниң ҳаммаси маълум.  $N$  шарнирдаги  $\bar{F}_{43}$  кучнинг ва ўзаро таъсир кучлари  $\bar{F}_{43} = -\bar{F}_{54}$  нинг (шаклда кўрсатилмаган) модуллари ва йўналышлари ҳамда  $\bar{F}_{56}$  кучнинг модули ва унинг  $b$  елкаси номаълум.

Кучларни ажратиш усулини қўллаймиз:  $\bar{F}_{43}$  кучни  $\bar{F}_{43}^t$  ва  $\bar{F}_{43}^n$  ташкил этувчиларга шундай ажратамизки.  $\bar{F}_{43}^n$  ташкил этувчининг  $N$  нуқтага нисбатан моменти нолга тенг бўлсин (5.7-расм, б). Моментлар тенгламаси  $\sum M_N = 0$  дан:

$$M_N(\bar{F}_{43}^t) + M_N(\bar{G}_4) - M_N(\bar{\Phi}_4) - M_{\Phi 4} = 0,$$

аввал  $M_N(\bar{F}_{43}^t)$  моментни, сўнгра  $\bar{F}_{43}^t = M_N(\bar{F}_{43}^t)/l_{QN}$  ни топамиз.

Кейин  $\sum \bar{F} = 0$  вектор тенгламадан:

$$\bar{F}_{56} + \bar{F}_k + \bar{G}_5 + \bar{\Phi}_5 + \bar{\Phi}_4 + \bar{G}_4 + \bar{F}_{43}^t + \bar{F}_{43}^n = 0;$$

куч планини (5.7-расм, а) тузиш йўли билан модули бўйича номаълум бўлган  $\bar{F}_{56}$  ва  $\bar{F}_{43}^t$  ларни аниқлаймиз.

$Q$  шарнирдаги  $\bar{F}_{43}$  кучни қўйндаги тенгламадан ҳосил қиласмиз:

$$\bar{F}_{43} = \bar{F}_{43}^t + \bar{F}_{43}^n.$$

$N$  шарнирдаги  $\bar{F}_{54}$  кучни  $\sum \bar{F} = 0$  вектор тенглама ёрдамида топамиз:

$$\bar{F}_{56} + \bar{F}_k + \bar{G}_5 + \bar{\Phi}_5 + \bar{F}_{54} = 0$$

(5.7-расм, е даги кучлар планига қаранг).

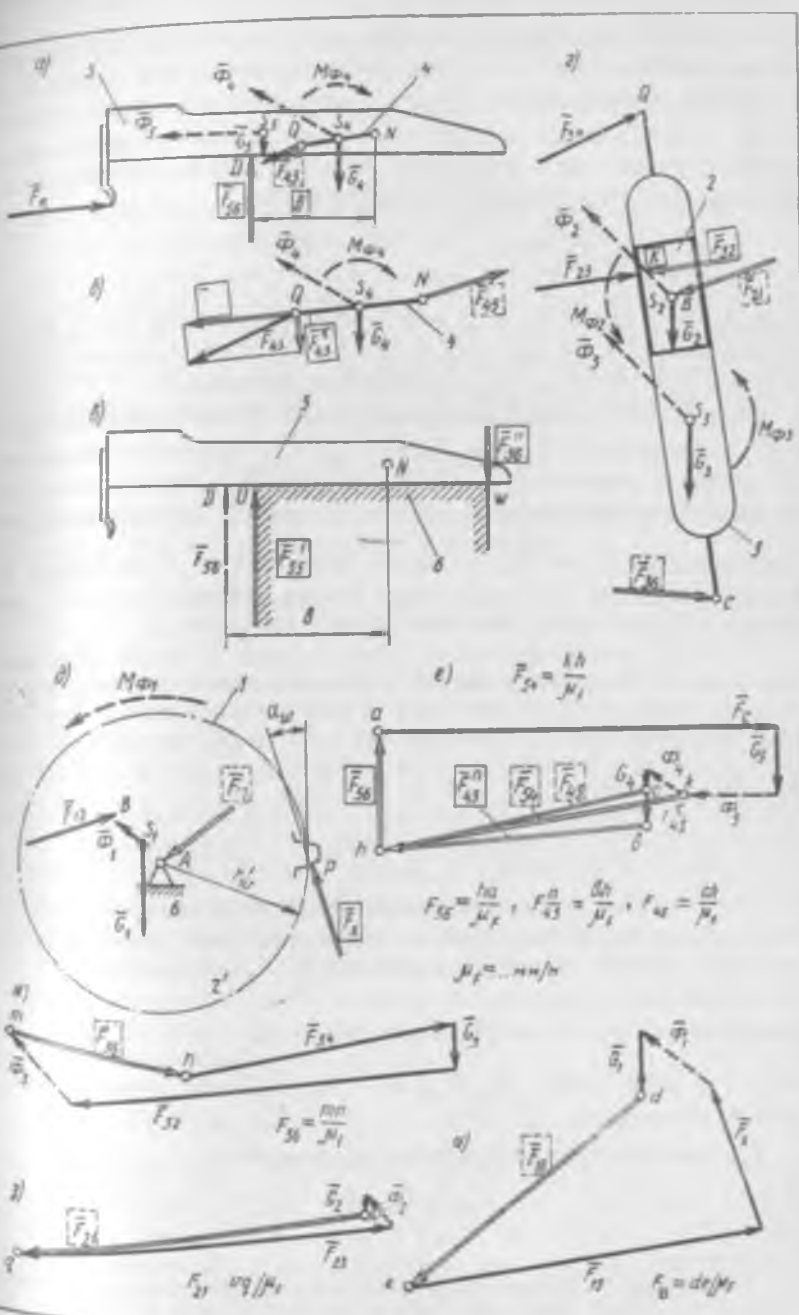
4—5 группани ҳисоблашни моментлар тенгламаси  $\sum M_N = 0$  дан:

$$-M_N(\bar{F}_{56}) + M_N(\bar{G}_5) + M_N(\bar{F}_k) + M_N(\bar{\Phi}_5) = 0,$$

кейин

$$b = M_N(\bar{F}_{56})/F_{54}$$

тенгламадан фойдаланиб  $b$  елкани (5.7-расм, а) топиш билан тутади. лаймиз.



Агар  $b$  елка узун чиқиб, бунда  $D$  нүкта таянч юзаси  $UW$  дан таш-  
қарыда жойлашса (5.7-расм, ө), у ҳолда стойка  $b$  нинг ползун  $\bar{F}$   
куч орқали таъсири иккита:  $\bar{F}_{56}$  ва  $\bar{F}'_{56}$  реакциялардан иборат бўлади  
(5.1-§). Кучга ҳисоблаб топилган  $F_{56}$  куч эса (штрихлар билан кўса-  
тилган) уларнинг фақат тенг таъсир этувчиси бўлади. Изнанаётган ре-  
акциялар қўйидаги тенгламалардан аниқланади:

$$\bar{F}'_{56} = F_{56} \frac{l_{DW}}{l_{UW}}; \quad F'_{56} = F_{56} \frac{l_{DU}}{l_{UW}}.$$

Агар  $F_{56} = 0$ , бироқ  $M_N(\bar{F}_{56}) \neq 0$  бўлиб чиқса, у ҳолда  $\bar{F}_{56}$  ва  $F'_{56}$  ре-  
акциялар жуфт кучлардан иборат бўлади. У ҳолда уларнинг модули  
 $|\bar{F}_{56}| = |\bar{F}'_{56}| = |M_N(\bar{F}_{56})| / l_{UW}$  муносабатдан аниқланади.

Энди 2—3 группани ҳисоблашга ўтамиш. Унинг бўғинларига (5.7-  
шакл, 2) аниқланиб бўлинган  $\bar{F}_{34} = -\bar{F}_{43}$  куч, шунингдек маътум таш-  
қи кучлар ва моментлар:  $\bar{G}_2, \Phi_2, M_{\Phi_2}, \bar{G}_3, \Phi_3, M_{\Phi_3}$  лар қўйилган. Кули-  
са тоши 2 нинг массалари маркази  $S_2, B$  нүктада жойлашган. В ва С  
шарнирлардаги  $\bar{F}_{21}$  ва  $\bar{F}_{36}$  кучларнинг модуллари ва йўналишлари, ил-  
 гарилама жуфтлик 2—3 даги ўзаро таъсир кучлари  $\bar{F}_{23} = -\bar{F}_{32}$  нинг  
модули ва улар таъсир чизигининг ҳолати номаълум.

$\bar{F}_{23}$  ва  $\bar{F}_{32}$  кучларнинг таъсир чизиги кулиса З ўқига перпендику-  
ляр ҳолда  $K$  нүктадан ўтади.  $K$  нүктанинг ҳолатини икки момент  
усулида топамиш. Бу усулда битта кучнинг ўзидан исталган икки нүк-  
тага нисбатан олинган моментларнинг ўзаро нисбатидан фойдаланила-  
ди. Бўғин З га қўйилган кучлар системаси учун С нүктага нисбатан момен-  
тлар тенгламаси  $\sum_{\text{3}} M_C = 0$  ни туза миз:

$$M_C(\bar{F}_{32}) - M_C(\bar{F}_{31}) + M_C(\bar{G}_2) + M_C(\bar{\Phi}_2) + M_{\Phi_3} = 0$$

ва  $M_C(\bar{F}_{23})$  нинг катталигини ҳамда ишорасини аниқлаймиз.

Сунгра бўғин 2 га қўйилган кучлар системаси учун В нүктага  
нисбатан тузилган моментлар тенгламаси  $\sum_{\text{3}} M_B = 0$  га кўра:

$$-M_B(\bar{F}_{23}) + M_{\Phi_2} = 0,$$

$M_B(\bar{F}_{23})$  нинг, кейин  $M_B(\bar{F}_{32}) = -M_B(\bar{F}_{23})$  нинг катталиги ва ишо-  
расини аниқлаймиз.

$I_{BK}$  масофани қўйндаги тенгламадан аниқлаймиз:

$$I_{BK} = I_{BC} k/(k-1),$$

\* Итгариlama 5—6 кинематик жуфтлик қалдирооч думи иўрининида осалади.  
Шунинг учун стойка  $b$  ползун 5 га юқорига ва пастга йўналган куч билан ~~важ~~ таъ-  
сир кўрсатиши мумкин.

бунда  $k = M_C (\bar{F}_{32}) / M_C$  ( $\bar{F}_{32}$  — алгебранк катталик).  $I_{BK}$  масоғаннан  $BC$  чиңіздең үлчаб құйамыз. Агар  $I_{BK} > 0$  болса, у қолда бу масоғаннан  $B$  нүктадан  $C$  нүкте томонға үлчаб құйамыз,  $I_{BK} < 0$  бүлгандан эса қара-ма-қаршы томонға үлчаб құйамыз.

$\bar{F}_{32}$  күчнінг модулини  $F_{32} = M_C (\bar{F}_{32}) / I_{CK}$  тенглемадан анықтаймиз.

$\bar{F}_{32}$  күчнінг таъсир чиңіздегі йұналиши ушинг  $M_C (\bar{F}_{32})$  моменти ишо-расы билан мос келиши лозим.

Агар  $\bar{F}_{32}$  күчнінг таъсир чиңиги ползун 2 нинг таяңч іюасидан ташқа-рига чиқып қолса, у қолда ползуннінг кулиса 3 га күч билан таъси-ри искиті:  $\bar{F}_{32}$  ва  $\bar{F}_{32}$  реакциялардан иборат бүләди (5.1-§ га қаранг) бу реакциялар ҳам  $\bar{F}_{56}$  ва  $\bar{F}_{56}$  реакциялар кабін анықланади.

Күштар планини түзіб (5.7- расм, ж),  $\sum \bar{F} = 0$  вектор тенглама:

$$\bar{F}_{34} + \bar{G}_2 + \bar{F}_{32} + \bar{\Phi}_3 + \bar{F}_{36} = 0$$

дан  $\bar{F}_{32}$  ни топамыз,  $B$  шарнирдагы  $\bar{F}_{21}$  реакцияни ҳам график тарзда (5.7-расм, з)  $\sum \bar{F} = 0$  вектор тенглемадан топамыз:

$$\bar{F}_{23} + \bar{\Phi}_1 + \bar{G}_2 + \bar{F}_{21} = 0,$$

унда  $\bar{F}_{23} = -\bar{F}_{32}$ .

Энді бирламчи механизмни күчга ҳисоблаш лозим. Уннінг құзғалув-чак бүғини  $I$  га қойыдаги күч ва моментлар құйилған (5.7-расм, д): аниқтаб бүлингін  $\bar{F}_{12} = -\bar{F}_{21}$  күч, оғырлық күчи  $\bar{G}_1$ , инерция күчинінг бөш вектори  $\bar{\Phi}_1$ , инерция күчинінг бөш моменти  $M_{\Phi 1}$ .  $A$  шарнирдагы стойканынг модули ва йұналиши бүйінча номағым бүлган  $\bar{F}_{16}$  реакция-си ва  $z''$  фидиракнінг  $z'$  фидиракка таъсіри күчи ҳисобланған, моду-ли бүйінча номағым бүлган  $\bar{F}_x$  ҳаракатлантирувчи күч.  $\bar{F}_x$  күчнінг таъ-сир чиңиги илашиш қутби  $P$ дан  $\alpha_w$  илашиш бурчаги остида үтади.  $P$  қутбнінг қолати ва  $\alpha_w$  бурчакнінг катталиғи тишли узатмани геомет-рик ҳисоблаб аниқланади (13-боба қаранг).

Ҳаракатлантирувчи күч  $F_x$  (күрилаётган мисолда у «мұвоздаптловчи күч» деб аталади)  $A$  нүктеге нисбеттан түзілған моментлар тенгламасы  $\sum M_A = 0$  дан аниқланади:

$$M_A (\bar{F}_x) + M_A (\bar{G}_1) - M_A (\bar{F}_{12}) + M_A (\bar{\Phi}_1) + M_{\Phi 1} = 0, \quad (5.5)$$

Бунда  $|\bar{\Phi}_1| = m_1 |\bar{a}_{31}|$ ,  $|M_{\Phi 1}| = J_{1S} |\epsilon_1|$ ; бундан

$$F_x = M_A (\bar{F}_x) / (r_w \cos \alpha_w)$$

ни ҳосил қиласмыз.  $F_x$  күчни механизмни қысларға ажратиб үтирады, Жуковский теоремасын [1, 4, 5] құллаган қолда қисқароқ усул билан ҳам аниқлаш мүмкінлігінін әслагиб үтамыз.

Агар күчтөр ҳисоблашга қадар бажарылған (4-бобда бағыттылған мәтодикага ассоциация) дастарға механизмнің ҳаракат қонунини аниқлаш ма-  
саласынан бүғин 1 га келтирилған электр двигателнің ҳаракатланти-  
рувчи моменті  $M_x$  қийматыдан ҳамда 1 группа бүғинларыннің келти-  
рилған инерция моменті  $J_1$  қийматыдан фойдаланаадиган бұлсак, у 5.5-  
да (5.5) тенглама қойындың күрнешін олади:

$$M_x + M_A(\bar{G}_1) - M_A(\bar{F}_{12}) + M_{\Phi_1} = 0, \quad (5.5)$$

бунда  $|M_{\Phi_1}| = J_1 |\epsilon_1|$ . (5.6) тенгламада ҳамма ҳаддар мәттүм, шу са-  
бабы ү ҳисоблаш формуласыдан текшириб күриш формуласыга айланы-  
ди.

Стойканинг  $\bar{F}_{1e}$  реакциясунан бүғин 1 га қойылған күчларыннің вект-  
тор тенгламасы  $\sum \bar{F} = 0$  дан аниқлаймыз:

$$\bar{F}_{12} + \bar{F}_x + \bar{\Phi}_1 + \bar{G}_1 + \bar{F}_{1e} = 0,$$

бу тенглама график тарзда (осонгина ечилади 5.7-расм, и).

Агар стойка 6 нинг бүғин 1 га таъсирлари йығындиси  $\bar{F}_{1e}$  ни эмас  
балки үндеги подшипникларыннің аниқ юкланишини билүш лозим бұлса,  
у ҳолда бүғин 1 нинг айланыш үқи бүйіча үлчамларының ичига олув-  
чи конструктив схемасына әга булиш лозим (5.1-ға қаранг). У ҳол-  
да изланаеттегі реакциялар фазовий статика усулдары билан аниқла-  
нади.

### 5.3-§. Пишанғылғы механизмнің күчтөр ҳисоблашыннің аналитик усулы

Аналитик усулни марказий кривошип-ползуныл механизм мисолыда  
күриш чиқамиз. Қойыдагилар берілген: 1) кинематик схема (5.8-расм),  
2) бүғинларыннің массалари ва инерция моментлари, улар оғырларынан  
көзделіліктерінде; 3) механизмнің ҳаракат қонуну; 4) ташқы күч юк-  
лаништары  $F_3$  ва  $M_1 \cdot F_3 (\Phi_1)$ ,  $M_1 (\Phi_1)$  боғлиқларынан ва  $\omega_1 = \omega_1 (\Phi_1)$   
ҳаракат қонунини жадвал күрнешінде қабул қиласыз. Оғырлар күчлары  
күпгина замонавий машиналар механизмнің башқа күчларға қарата-  
да кичік бүлгелерге сабабы үларни ҳисобға олмаймыз.

#### Кинематик жуфтликтердегі күчларни аниқлаш

$Axy$  координаталар системасынан белгилаймыз (5.8-расм). Күчтөр ҳисоб-  
лаш учун зарур бүлділіктердегі хусусияттарын 3-бобдан оламыз:

$$\sin \Phi_2 = -(1/\lambda_2) \sin \Phi_1; \quad (5.7)$$

$$x_C = l_{AC} = l_{AB} (\cos \alpha_1 + \lambda_2 \cos \Phi_2); \quad (5.8)$$

$$a_{C_x} = -l_{AB} (\cos \Phi_1 + \lambda_2 B) \omega_1^2 - l_{AB} (\sin \Phi_1 + \lambda_2 \omega_2 \sin \Phi_2) e_{1x}; \quad (5.9)$$

$$e_2 = \omega_2 \omega_1^2 + \omega_2 \omega_1. \quad (5.10)$$

Ушбу тенгламалардаги  $\omega_2 = -\cos \Phi_1 / \lambda_2 \cos \Phi_1$  бүғин 2 нинг бурчак  
тезлік аналоги (узатыш функциясы);  $e_2$  — бүғин 2 нинг бурчак тезлік  
ниш аналоги;

$$e_3 = \frac{\sin \varphi_1 \cos \varphi_2 - \omega_{\text{сп}} \cos \varphi_1 \sin \varphi_2}{\lambda_2 \cos^2 \varphi_2},$$

бунда

$$\lambda_2 = l_{BC}/l_{AB}, \quad B = e_{32} \sin \varphi_2 + \omega_{\text{сп}}^2 \cos \varphi_2.$$

Бошлангыч бүғин  $l$  нинг бурчак төзланиши  $e_1$  ни аниқлаш усули 4.5-жада берилген. Барында  $\lambda_2$  ларда еркитилген.

З-бобда баён этилган методикага күра ушбуни ҳосил қиласиз:

$$a_{S2x} = -l_{AB} (\cos \varphi_1 + \lambda_2 \lambda_S B) \omega_1^2 - l_{AB} (\sin \varphi_1 + \lambda_2 \lambda_S \omega_{\text{сп}} \sin \varphi_2) e_1; \quad (5.11)$$

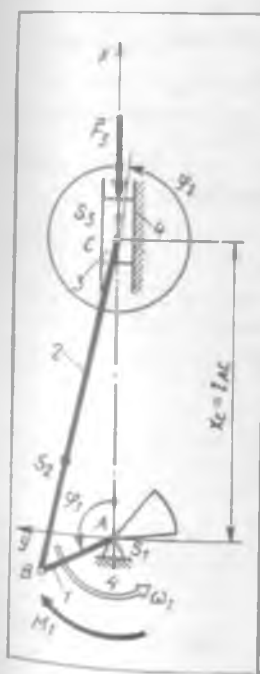
$$a_{S2y} = -[l_{AB} (1 - \lambda_S) \sin \varphi_1] \omega_1^2 + [l_{AB} (1 - \lambda_S) \cos \varphi_1] e_1, \quad (5.12)$$

бунда  $\lambda_S = l_{BS^2}/l_{BS}$ .

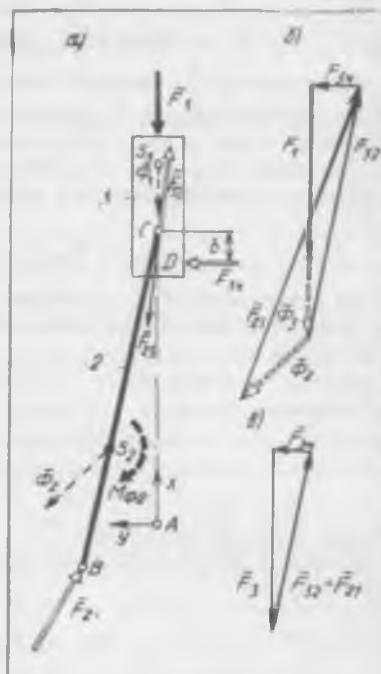
Нотекислик коэффициентининг қиймати кичик бўлган барқарор ҳаракатда (4.9-жада қаранг)  $\omega_1 \approx \omega_{\text{сп}}$ ,  $e_1 \approx 0$  деб қабул қилиш мумкин. Ў ҳолда (5.9) тенглама ўзгартирилгандан ва соддалаштирилгандан сўнг тезланиш проекцияси  $a_{Cz}$  қўйидаги кўринишга келади:

$$a_{Cz} \approx -\omega_{\text{сп}}^2 l_{AB} (\cos \varphi_1 + \frac{1}{\lambda_2} \cos 2 \varphi_1). \quad (5.13)$$

$a_{Cz} = 0$ ,  $e_3 = 0$  эканлигини (5.8-расм) эътиборга олиб, инерция кучларининг бош векторлари проекцияларини ва инерция кучларининг бош моментларини аниқлаймиз:



5.8- расм



5.9- расм

$$\Phi_{2x} = -m_2 a_{22x}; \quad \Phi_{2y} = -m_2 a_{22y}; \quad \Phi_{3x} = -m_3 a_{3x}; \quad (5.14)$$

$$M_{\Phi 1} = -J_{1A} e_1; \quad M_{\Phi 2} = -J_{2S} e_2; \quad M_{\Phi 3} = 0. \quad (5.15)$$

Бүғин инерция күчининг бош вектори  $\bar{\Phi}_1 = -m_1 \bar{a}_{S1} = 0$ , чунки посанги бұлғанлығы учун массалар марказы  $S_1$  айланиш үқи  $A$  да жойлашындыктың сабабы  $a_{S1} = 0$ .

(5.9) — (5.15) тенгламалардан көлиб чиққаныдек, инерция күчларының бош векторлары ва бош моментлары қийматлари бошланғыч бүғин I бурчак тезлиги  $\omega^2$  нинг квадратига боелиқтігі тезорар механизмлар учун алоқида ажамиятга эга.

(5.13) тенгламада  $a_{Cx}$  проекция учун тақрибий ифода көлтирилген, у барқарор тартыбда құлланилуви амалий ҳисоблашлар учун мутлақо яроқлидир. Құрниб турибиди, ушбу проекция, бинобарин,  $\Phi_{3x}$  проекция ҳам фақат  $\Phi_1$  бурчакнинггина эмас, балки құш бурчак  $2\Phi_1$  нинг ҳам функциясыдир. Шу сабабы  $\Phi_3 = \Phi_{3x}$  инерция күчи ифодасидаги бириңчи құшилуви (агар қасалар очылады болса) бүғин I нинг айланиш частотасы билан даврий равища үзәгади ва бириңчи тартыблы инерция күчи деб аталади. Иккінчи құшилуви иккі марта ортиқ частота билан даврий равища үзәгади ва иккінчи тартыблы инерция күчи деб аталади.

Механизмни қысмаларга ажратып бұлғач, 2 — 3 структура группасын күчгә ҳисоблашыға үтәмиз. Уннинг бүғинларига маълум ташқи күчлар  $F_3$ ,  $\bar{\Phi}_3$ ,  $\bar{\Phi}_2$  ва момент  $M_{\Phi 2}$  таъсир қилади (5.9-расм, a). Қуйнадырылар номаълум:  $\bar{F}_{21}$  күчининг модули ва йұналиши,  $\bar{F}_{24}$  күчининг модули ва уннинг b елкасы, C шарнирдагы  $\bar{F}_{21} = -\bar{F}_{32}$  муносабат орқали боеланған үзаро таъсир күчларининг модули ва йұналиши.

Бүғинлар ва 2 ва 3 га құйылған күчларнинг x үқи бүйінча проекцияларының йиғиндиси нолга тең:  $\sum_{2,3} X = 0$ . Бинобарин,

$$F_{21x} + \Phi_{2x} + F_{3x} + \Phi_{3x} = 0. \quad (5.16)$$

(5.16) тенгламадан  $F_{21x}$  проекция аниқланади. Ушбу ва бундан кейинги ҳамма тенгламалардагы ишоралар алгебраник маънога эга. Бу эса маълум бұлған күч проекцияларының сон қийматлари проекциялар ҳамда моментлар тенгламаларига ишораларини қатынай ҳисобға олган ҳолда құйылышини англатади. Чунончы,  $F_{3x}$  проекция манғый ишорага эга, чунки күч пастта томон йұналған (5.9-расм, a).  $\bar{F}_3$  күчининг модули ва йұналиши дастлабки берилғандардан олнади.  $\Phi_{3x}$  ва  $\Phi_{3x}$  проекцияларының қийматлари ва ишоралари (5.11), (5.9) ва (5.14) тенгламалар әрдемида ҳисоблаган аниқланади.

Бүғин 3 га құйылған күчтарнинг x үқига проекциялари йиғиндиси  $\sum_3 X = 0$ , ёки

$$F_{22x} + F_{3x} + \Phi_{3x} = 0, \quad (5.17)$$

бундан  $F_{22x}$  проекцияни аниқтаймиз.

$F_{23y}$  проекцияни ҳисоблаш учун бўғин 2 нинг ( $B$  нуқтага нисбатан олинигани) моментлар тенгламаси  $\sum M_B = 0$  дан фойдаланамиз. Бундан

$$F_{23y} l_{BC} \cos \varphi_2 - F_{23x} l_{BC} \sin \varphi_2 + \Phi_{2y} l_{BS2} \cos \varphi_2 - \Phi_{2x} l_{BS2} \sin \varphi_2 + M_{\Phi 2} = 0. \quad (5.18)$$

Ушбу тенгламада  $\bar{F}_{23x} = \bar{F}_{23y}$ .

С шарнирга таъсир қилувчи  $\bar{F}_{23}$  кучнинг модулини

$$F_{23} = \sqrt{F_{23x}^2 + F_{23y}^2}$$

тенгламадан аниқлаймиз.  $\bar{F}_{23}$  векторнинг  $\Phi_{F23}$  бурчак координатасини  $\sin \Phi_{F23}$  ва  $\cos \Phi_{F23}$  лардан топамиз, яъни

$$\sin \Phi_{F23} = F_{23y}/F_{23}, \quad \cos \Phi_{F23} = F_{23x}/F_{23}.$$

Бўғин 2 га қўйилган кучларнинг у ўқига проекциялари йигиндиси  $\sum Y = 0$  ёки

$$F_{21y} + F_{23y} + \Phi_{2y} = 0, \quad (5.19)$$

бундан  $F_{21y}$  проекцияни, сунгра  $F_{21}$  кучнинг модулини аниқлаймиз:

$$F_{21} = \sqrt{F_{21x}^2 + F_{21y}^2}.$$

$\bar{F}_{21}$  векторнинг бурчак координатаси  $\Phi_{F21}$  ни топамиз:

$$\sin \Phi_{F21} = F_{21y}/F_{21}, \quad \cos \Phi_{F21} = F_{21x}/F_{21}.$$

Бўғин 3 га қўйилган кучларнинг у ўқига проекциялари тенгламаси  $\sum Y = 0$ , яъни

$$F_{34y} + F_{33y} = 0 \quad (5.20)$$

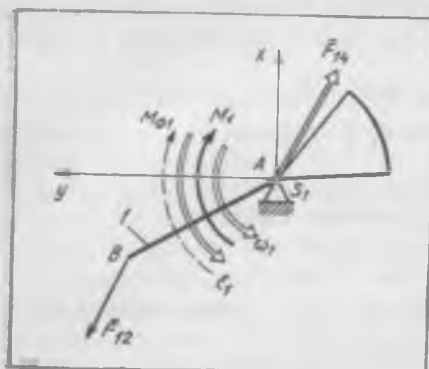
дан  $F_{34y}$  проекцияни топамиз. Унинг абсолют қиймати стойка 4 дан ползун 3 га қўйилган  $\bar{F}_{34}$  кучнинг модулини, ишораси эса йўналишини билдиради.

Бўғин 3 учун ( $C$  нуқтага нисбатан) моментлар тенгламаси  $\sum M_C = 0$  га асосан елка  $b = 0$  бўлади, ёки (5.9-шакл, a)

$$F_{34}b = 0. \quad (5.21)$$

Шундай қылтиб, 2-3 структура группаси учун олтита (5.16) (5.21) тенгламалардан фойдаланинди ва улардан ҳамма исмаълумлар аниқланади.

5.9-расм, б да структура группасининг бўғинларига қўйилган кучлар плани кўрсатилган. Ушбу план бўғинлар тезланувчан ҳаракатининг таъсирини ҳисобга олиш қанчалик мухим эканлигини яқзол кўрсатади. Уни ҳисобга олмаслик, яъни  $\Phi_1$  ва  $\Phi_2$ , инерция кучларини нолга тенг деб қараш (5.9-расм, б) кинематик жуфтликлардаги кучлар ( $\bar{F}_{23}$ ,  $\bar{F}_{21}$ ,  $\bar{F}_{34}$ ) қийматларининг камайиб кетишинга олиб келади, бу ҳол тез-ю пар машиналар механизмларида айниқса сезиларли бўлади.



5.10-расм

Ф<sub>1</sub> = 0 бўлганлиги учун бўғин I га қўйилган кучлар проекцияларининг тенгламалари  $\sum X = 0$ ,  $\sum Y = 0$  қўйидағи қўринишни олади:

$$F_{14x} + F_{12x} = 0; \quad (5.22)$$

$$F_{14y} + F_{12y} = 0; \quad (5.23)$$

Булардан  $F_{14x} = -F_{12x}$ ,  $F_{14y} = -F_{12y}$ .

Бўғин I учун A нуқтага нисбатан олинган моментлар тенгламасини тузамиш:

$$M_A(\bar{F}_{12}) + M_1 + M_{\Phi_1} = 0. \quad (5.24)$$

$M_A(\bar{F}_{12})$  момент тенгламага  $M_A(\bar{F}_{12}) = F_{12y} l_{AB} \cos \varphi_1 - F_{12x} l_{AB} \sin \varphi_1$  формулага асосан ҳисобланандаги ишораси билан қўйилади.

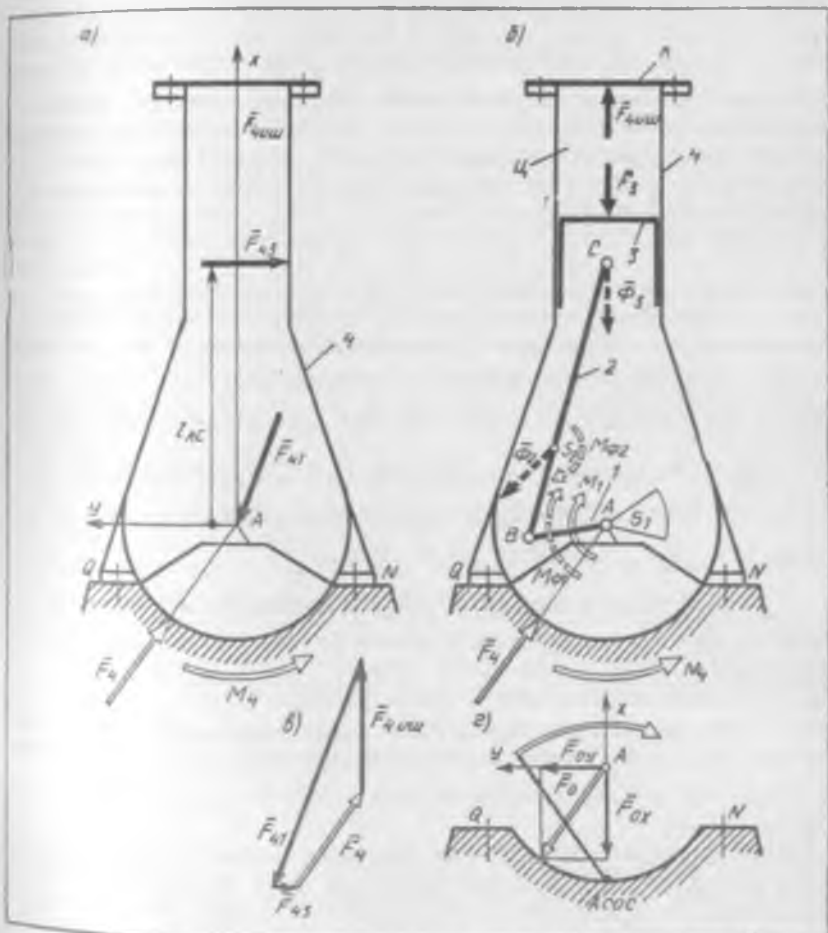
(5.24) тенгламанинг чап томонидаги учала қўшилувчи маълум бўлганлиги учун у текшириб кўриш тенгламаси ҳисобланади. Аммо у ҳисоблаш тенгламаси бўлиши ҳам мумкин. Масалан, кучга текшириш кичик қийматли нотекислик коэффициентига кура барқарор тартибда ҳисобланадиган механизм учун бажариладиган бўлса, у ҳисоблаш тенгламаси вазифасини ўтайди. Бу ҳолда одатда  $M_{\Phi_1}$  момент номаълум бўлиб, уни (5.24) тенгламадан аниқлаш лозим бўлади.  $M_{\Phi_1}$  моментнинг қиймати анча катта бўлиши мумкинки, бу эса машинанинг бош валини (бўғин I ни) мустаҳкамликка ҳисоблашда муҳим аҳамиятга эга.

Бўғин I нинг айланыш нотекислигин кам бўлганда ҳисоблашнинг бошланishiда унинг бурчак тезланиши  $e_1$  одатда аниқлаш ўтирилмайди, чунки у жуда кичик бўлади. Бироқ, бунинг натижасида  $M_{\Phi_1} = -e_1 J_{1A} \approx 0$  деб қабул қилиш асло мумкин эмас.  $M_{\Phi_1}$  моментнинг нотга тенг эмаслиги (5.24) тенгламадан келиб чиқади, чунки  $M_1$  ва  $M_A(\bar{F}_{12})$  моментлар аввалдан ўзаро тенг бўлмайди ва бир-биридан кескин фарқ қиласи.  $e_1$  нинг кичик қийматида  $M_{\Phi_1}$  нинг қиймати анча катта бўл-

Кўзгалувчан бўғин I ва стойка 4 дан ташкил топувчи бирламчи механизмин кучга ҳисоблашга ўтамиш (5.10-расм). Бўғин I га аниқлаш булинган  $\bar{F}_{12} = -\bar{F}_{21}$  куч, топширик шартига биноан соат милининг ҳаракат йўналиши бўйича йўналган  $M_1$  момент (5.8-расм), инерция кучининг бош моменти  $M_{\Phi_1}$  ва стойканинг модули ҳамда йўналиши бўйича номаълум бўлган реакцияси  $\bar{F}_{14}$  қўйилган. Инерция кучларининг бош вектори  $\Phi_1 = 0$  эканлиги-ни эслатиб ўтамиш.

ши құйнадағы түшунтириләди: бұған  $J_{1A}$  қаңчалық кичик бурчак тезланиши  $\epsilon_1$  билан айланыш лозим бўлса, ушбу бўғиннинг  $J_{1A}$  инерция моменти шу қадар катта бўлиши керак (4.10- § га қаранг); шу сабабли жуда кичик  $\epsilon_1$  нинг жуда катта  $J_{1A}$  га кўпайтмаси, яъни  $| \epsilon_1 J_{1A} | = | M_{\Phi 1} |$  ясло кичик бўлмайди.

Машина корпусига ҳамда унинг асосига тушувчи куч факторларин аниқлаш. Кривошип-ползуны механизм стойкасини куриб чиқамиз. Конструктив жиҳатдан у машинанинг маҳсус асосга ўрнатиладиган корпусидир. Агар машина автомобилнинг ИЕД бўлса, бундай асос вазифасини автомобилнинг рамаси ўтайди, мабодо машина жойндан қўзғатилмайдиган компрессор ёки пресст бўлса, у ҳолда компрессор ёки пресст ўрнатиладиган пойдевор асос ролини ўйнайди ва ҳоказо.



Стойка 4 га қойнданға күч ва моментлар құйылған (5.11-расм, а): бүғинлар 1 ва 3 нинг аниқлаб булинған таъсирлары  $\bar{F}_{41} = -\bar{F}_{14}$  және да  $\bar{F}_{43} = -\bar{F}_{34}$ , машинадаги иш жараёніңга бөглиқ бұлған күч  $\bar{F}_{4\text{иши}} = -\bar{F}_4$ , ва, ниҳоят, асоснинг иккита күч фактори күрінішидеги реакциясы, яғни модули ҳамда йұналиши бүйінча номағым бұлған ~~бөш~~ вектор  $\bar{F}_4$  ҳамда номағым бөш момент  $M_4$ . Бөш момент  $M_4$  нинг қиймагынни,  $\bar{F}_4$  бөш векторнинг таъсир чизиги  $A$  пүктадан үтади, деб фарағ қылған ҳолда аниқлаймыз. Стойкага таъсир этувчи күчлар жумасынша, аввалиндегі, шартлы равишида уннинг оғырлік күчи киритилмagan-дигини эслатыб үтәмис.

Агар күчга ҳисоблаш поршенли машинаниң (насос, компрессор, деңгелдер, ИЕД ва қоказо) кривошип-ползуның механизми учун бажариладын бұлса, у ҳолда  $\bar{F}_{4\text{иши}}$  күч  $\bar{C}$  цилиндр ичидеги иш бажарувчи жиын (суюқтік, газ) нинг цилиндр қопқоғы  $K$  га босым күчи бұлади (5.11-расм, б). Агар кривошип-ползуның механизм пресс ёки дастгох-нинг асоснй механизми бұлса, у ҳолда ишланыётган буюмнинг пресс ёки дастгох столига күрсатадын таъсири  $\bar{F}_{4\text{иши}}$  күч бұлади.

5.11-расм, в да график тарзда көлтирилған стойка мувозанаттін вектор тенглемасини тузымыз:

$$\bar{F}_{4\text{иши}} + \bar{F}_{41} + \bar{F}_{43} + \bar{F}_4 = 0.$$

$\bar{F}_{4\text{иши}} = -\bar{F}_3$ ,  $\bar{F}_{41} = -\bar{F}_{21}$ ,  $\bar{F}_{43} = -\bar{F}_{34}$  мұносабатлардан фойдаланған ҳолда  $\bar{F}_4 = -\bar{F}_3 + \bar{F}_{21} + \bar{F}_{34}$  ни ҳосил қыламыз. Бирок күчлар пластидан (5.9-расм, б)  $\bar{F}_{21} + \bar{F}_{34} + \bar{F}_3 = -(\bar{\Phi}_2 + \bar{\Phi}_3)$  эканлығы көлиб чиқады. Шу сабабы  $\bar{F}_4 = -(\bar{\Phi}_2 + \bar{\Phi}_3)$  ёки проекциялар бүйінча:  $F_{4x} = -(\bar{\Phi}_{2x} + \bar{\Phi}_{3x})$ ,  $F_{4y} = -\bar{\Phi}_{2y}$ . Бундан  $\bar{F}_4 = \sqrt{F_{4x}^2 + F_{4y}^2}$  ни ва  $\bar{F}_4$  векторнинг бурчак координатаси  $\varphi_{F4}$  ни аниқлаймыз:  $\sin \varphi_{F4} = F_{4y}/F_4$ ,  $\cos \varphi_{F4} = F_{4x}/F_4$ .

$\bar{F}_{43}$  күч  $A$  нүктеге нисбати  $M_A(\bar{F}_{43})$  моментті ҳосил қылады (5.11-расм, а). Уни асосдан корпусга (стойкага) таъсир қылувчи  $M_4$  реактив моменттін мувозанаттайды, чунки стойкага таъсир этувчи башқа күчлар  $A$  нүктеге нисбатан момент ҳосил қылмайды.  $M_A(\bar{F}_{43})$  момент машина корпусини ағдариб юборишига интилади. Ағдариленшігі түсінілік қылувчи  $M_4$  момент катталингінни стойкага мувозанат тенглемаси  $M_A(\bar{F}_{43}) + M_4 = 0$  дан аниқлаймыз: бундан  $M_4 = -F_{43y} I_{AC}$  [(5.8) тенглемага қаранг].

Компрессорнинг ҳам, ИЕД нинг ҳам, электр двигателнинг ҳам, яғни ғында қандай иш жараённі кечишідан қатын назар, ~~исталған машина-~~ ның корпусига уни ағдаришига интилувчи күчлар ҳам таъсир қылады. Шу сабабы машина ва узатыш механизми ҳамиша ўз асоснан ~~ишенчлі~~

маҳкамалаб қўйилтиши зарур. Маҳкамлашни қандай амалга ошириш ке-  
раклиги ва уни ҳисоблаш методикаси «Машина деталлари» ва маҳсус  
машинасозлик курсларида баён қилинади.

Изланаётган  $M_4$ , моментни бошқача ифодалаймиз. Бунинг учун тўрт-  
таш бўғиннинг ҳаммаси учун, яъни бутун механизм учун (5.9-расм,  
a, 5.10-расм ва 5.11-расм, a) A нуқтага нисбатан моментлар тенгла-  
масини тузамиз. С шарнирдаги  $\bar{F}_{23}$  ва  $\bar{F}_{32}$  ўзаро таъсири кучлари мо-  
ментларининг тенглиги ва ўзаро қарама-қарши йўналганлигини (5.9-расм,  
a), шу сабабдан моментлар тенгламасига кирмаслигини айтиб ўтамиз.  
Бу гап қолган ҳамма кинематик жуфтликлардаги ўзаро таъсири кучла-  
рининг, яъни механизм ички кучларининг моментларига ҳам тааллуқ-  
лидир. Бинобарин, тенгламага механизмга ташқаридан қўйилувчи кучлар  
ҳамда жуфт кучларининг моменташлари киради (5.11-расм, б). Шу  
сабабли умуман механизм учун у қўйидаги кўринишни олади:

$$M_1 + M_B(\Phi_2) + M_{\Phi_2} + M_{\Phi_1} + M_4 = 0. \quad (5.25)$$

(5.25) дан келиб чиқадики, изланаётган  $M_4$ , моментнинг катталиги  
машина валига (яъни механизм бўғини I га) қўйилган ташқи актив  
 $M_1$  моментага кўра ҳамда бўғинлар тезланувчан ҳаракатининг таъсири-  
га кўра аниқланади. Кучга ҳисоблаш кинетостатика усули билан олиб  
борилганлиги сабабли ушбу таъсирининг сон қиймати бош вектор мо-  
менти ва инерция кучларининг бош моменти орқали аниқланади (51-§  
га қаранг).

Кривошип-шатунли механизми бўлган машинанинг ўз асосига (пой-  
деворига) қандай босим билан таъсири қилишини аниқлаймиз. Асосга  
машинадан тушадиган юк системасини таъсири чизиги A нуқтадан (бу-  
ғин I нинг, яъни машина валининг айланниш ўқидан) утувчи  $\bar{F}_0 = -\bar{F}_4$   
бош векторга ва  $M_0 = -M_4$  бош моментга келтириш мумкин. (5.11-  
расм, г).

Бош вектор  $\bar{F}_0$  нинг x ва y ўқларга проекциялари:

$$F_{0x} = \Phi_{1x} + \Phi_{2x} + \Phi_{3x} = \Phi_{\Sigma x}; \quad (5.26)$$

$$F_{0y} = \Phi_{1y} + \Phi_{2y} = \Phi_{\Sigma y}. \quad (5.27)$$

Бош момент  $M_0$  қўйидагича ифодаланади:

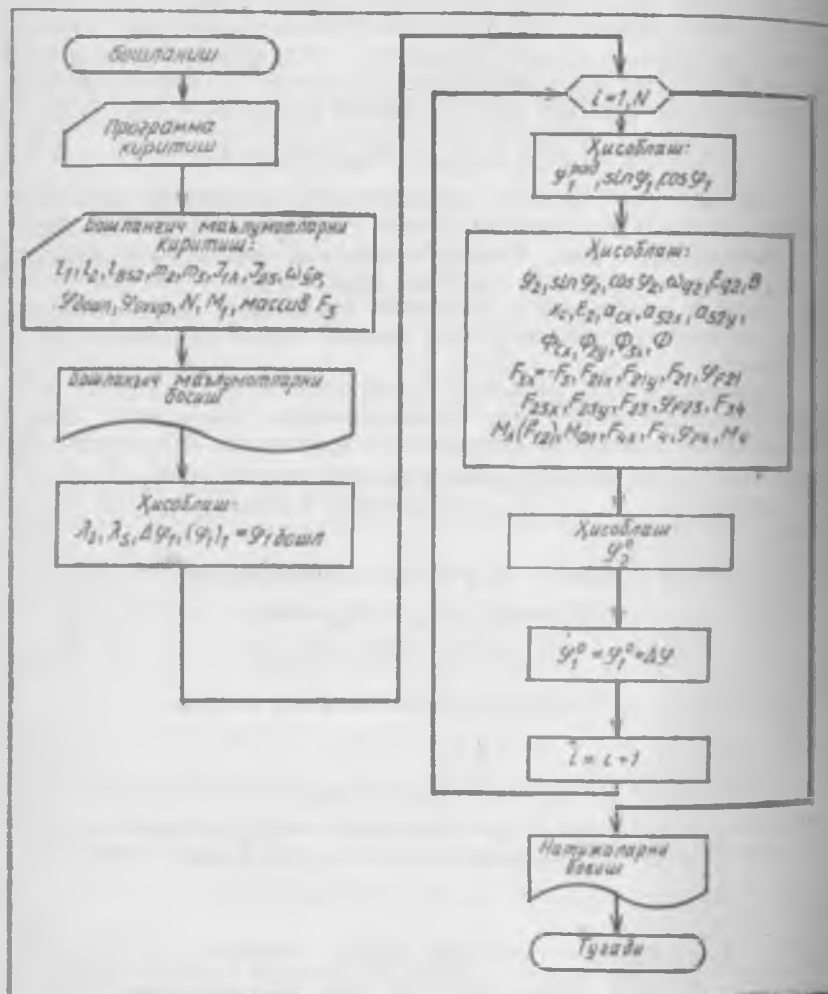
$$M_0 = [M_{\Phi_1} + M_{\Phi_2} + M_A(\Phi_1) + M_A(\bar{\Phi}_2)] + M_1 = M_{\Phi_2} + M_1. \quad (5.28)$$

(5.26) — (5.28) тенгламаларда  $\bar{F}_2$  ва  $M_{\Phi_2}$  ҳарфлари билан механизм-  
даги ҳамма қўзғалувчан бўғинлар инерция кучлари системасининг уму-  
мий бош вектори (проекциялари орқали) ва умумий бош моменти бел-

\*  $\bar{F}_3$  ва  $\bar{F}_4$  иш кучлар — иш жисмининг (масалан, поршени машиналарда — газ-  
ниг, суюқликнинг ёки технологик машиналарда ишланувчи буюминг) таъсири куч-  
лари. Бироқ иш жисми механизмнинг бўғини ҳисобланмайди ва нийе таркибига  
коримайши шу сабабли  $\bar{F}_3$  ва  $\bar{F}_4$  иш кучлар механизм учун ташқи қўшадир (Ички  
кучлар эмас, гўё шундай бўлиб туюлса ҳам).

ғылланган. Бұған I нинг массалар маркази унинг айтаниш үқида жойлашмаган қолдагина ушбу тенгламаларга  $\Phi_{1x}$ ,  $\Phi_{1z}$ ,  $M_A(\bar{\Phi}_1)$  ҳаддар киради; құшилувчилар:  $\Phi_{2y} = 0$ ,  $M_A(\bar{\Phi}_2) = 0$  (5.9- расм, a),  $M_{43} = 0$  (5.15) тенгламаларга қаранг.

(5.26) ва (5.27) тенгламалардан құрниб турибиди,  $\vec{F}_o$  бош вектор инерция күчлари орқалы анықланади, бу эса унинг механизмдеги ҳамма құзғалувчан бұғинларнинг тезланувчан ҳаракати эканлигини, яғни динамик табияттағы әғалигини күрсатади. Шу биан бирға машина асосында



5.12- расм

кучга ҳисоблашда кўриб чиқилмаган унинг ўз оғирлик кучи ва баъзи  
холатларни бураш кучларнинг таъсири узатилади. Бинобарин, умумий  
ҳолда бош вектор  $\vec{F}_0$  иккита ташкил этувчидан иборат: биринчи дина-  
мик ташкил этувчи механизм бўғинларнинг тезланувчан ҳаракатидан  
вужудга келади; иккинчи ташкил этувчи актив кучлар таъсирида ву-  
жудга келади.

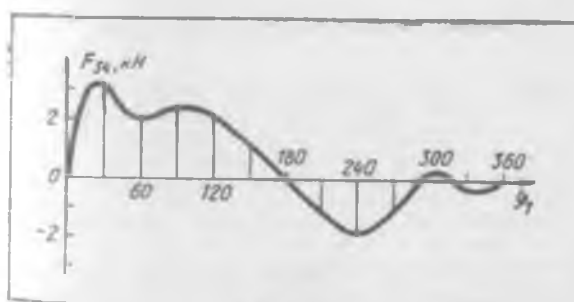
М. бош момент ҳам умумий ҳолда иккита ташкил этувчидан ибо-  
рат бўлади: биринчи динамик ташкил этувчи [масалан, (5.28) тенглама-  
даги катта қавс ичидагилар] бўғинларнинг тезланувчан ҳаракати  
натижасида юзага келади, иккинчи ташкил этувчи эса актив куч ва  
моментлар таъсирида вужудга келади.

График ёки аналитик усулда кучга ҳисоблашни механизминг тур-  
ли ҳолатлари учун кўп марта ўтказиш лозим. Бу эса, кучга ҳисоб-  
лашнинг қайси усули қўлланилишидан қатъи назар, кўп меҳнат талаб  
киладиган иш эканлигини билдиради. ЭҲМ дан фойдаланиб меҳнат  
сарфини анча камайтириши мумкин (қ.: Лукичев Д. М., Тимофеев Г. А.  
Определение усилий в кинематических парах рычажных механизмов с  
применением ЕС ЭВМ. М., 1983).

ЭҲМ да бажарилган кучга ҳисоблаш натижаларини таҳлил қилиш.  
53-ғ да баён этилган методика асосида кривошип-ползуни механизми  
ҳисоблаш алгоритмининг схемаси тузилган (5.12- расм). Ушбу схема  
бош механизми кривошип-ползуни бўлган исталган бир цилиндрли ик-  
кита тактили поршени машиналар, кривошипли пресст ҳамда бошқа ик-  
ки тактили технологик механизмлар учун ярайди.

ЕС-1022 машинаси учун ФОРТРАН тилида тузилган программа  
буйича барқарорлашган тартибда ишловчи, нотекислик коэффициенти  
кичик бўлган дизель механизми сонли усулда кучга ҳисоблаб чиқилди.  
Тирсакли валнинг бир марта айланишида умумлашган координата  $\Phi_1$   
нинг ўзгариш қадами  $\Delta\Phi_1 = 5$  ни ташкил этди. ЭҲМ барча ҳисоблаш  
ишиларни (33 та тенгламанинг ҳар бирини 72 мартадан) 46 секундда  
бажарди.

Ҳисоблаш натижаларини график тарзда кўрсатиш мумкин. 5.13-  
расмда цилиндр (стойка) 4 томонидан поршень 3 га (5.11- расм, б)



5.13- расм

### 6.1- §. Механизмларнинг мувозанатламаганилиги турлари. Статик мувозанатлаш

Бошланғич бүгини  $I$  үзгармас бурчак тезлик билан айланувчи кис механизмни күриб чиқамиз (6.1-расм, a). Ҳамма қолган бүгиналар бурчак тезланиш билан ҳаракатланади, массалар марказлари  $S_1, S_2, S_3$  эса чизиқли тезланишга эга болади. (5.4) формулаларга асосан ҳамма бүгиналар инерция күчларининг бош вектори ва бош моментини аныктаймиз.

Механизм бүгиналарининг конструкцияси, күргина машиналарнинг механизмларига хос бүлгани каби, чизма текислигига нисбатан симметрик бўлсин. У ҳолда ҳамма бүгиналар инерция күчларининг бош векторлари ҳамда бош моментлари (натижаловчи жуфтликлар) ҳам ушбу текислика жойлашади.

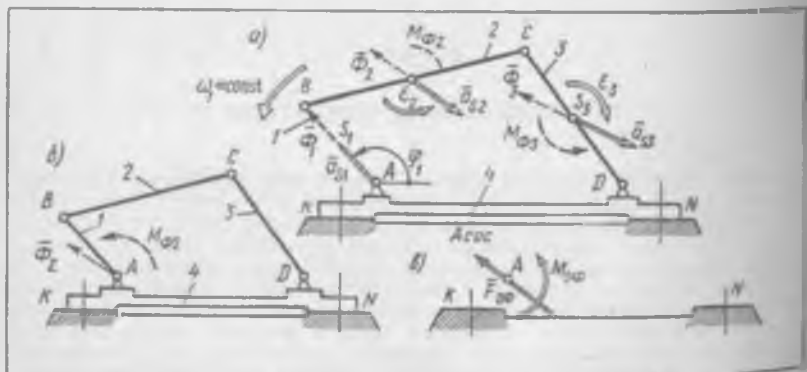
Инерция күчларининг бутун системасини  $A$  марказга келтирамиз (6.1-расм б), натижада бутун система умумий бош векторга:

$$\bar{\Phi}_{\Sigma} = \sum_i \bar{\Phi}_i \quad (6.1)$$

ҳамда умумий бош моментга:

$$M_{\Phi_{\Sigma}} = \sum_1^n M_{\Phi_i} + \sum_1^m M_A(\bar{\Phi}_i) \quad (6.2)$$

келтирилади, бунда  $n$  — механизмнинг қўзғалувчан бүгиналари сони (6.1-расм, а да  $n = 3$ ). Юқорида  $\omega_1 = \text{const}$  қилиб олинганилиги сабабли  $M_{\Phi_1} = 0$ ,  $M_A(\bar{\Phi}) = 0$ . Олдинроқ (5.3-§ да) асос юкланишининг динамик ташкил этувчилари  $\bar{F}_{\Phi}$  ва  $M_{\Phi}$  лар сон жиҳатидан механизмнинг барча ҳаракатланувчи бүгиналари инерция күчлари системасининг умумий бош вектори  $\bar{\Phi}_{\Sigma}$  ва умумий бош моменти  $M_{\Phi_{\Sigma}}$  га тенг бўлиши



6.1- расм

ши айтиб үтилган эди:  $\bar{F}_{\text{o}\Phi} = \bar{\Phi}_{\Sigma}$ ,  $M_{\text{o}\Phi} = M_{\Phi\Sigma}$  (6.1-расм, *в*). Бунда шу нарсаны таъкидлаш лозимки, асосни юклантирадиган кучлар амалди машина корпуси (яъни механизм стойкаси *4*) асосга маҳкамланадиган жойга (6.1-расм *K* ва *N* билан белгиланган жойларга) қўйлади. Шу сабабли  $\bar{F}_{\text{o}\Phi}$  ва  $M_{\text{o}\Phi}$  лар механизмнинг асосга динамик таъсири натижаларининг йиғиндинсизнингина ифодалайдиган соғ ҳисобий катталиклардир. Агар механизм инерция кучининг бош вектори  $\bar{\Phi}_{\Sigma} \neq 0$  бўлса, яъни  $\bar{F}_{\text{o}\Phi} \neq 0$  бўлса, у ҳолда бундай механизм статик мувозанатланмаган механизм дейилади. Агар  $M_{\Phi\Sigma} \neq 0$  бўлиб, бироқ  $\bar{\Phi}_{\Sigma} = 0$  бўлса, яъни  $M_{\text{o}\Phi} \neq 0$  бўлиб бироқ  $\bar{F}_{\text{o}\Phi} = 0$  бўлса, у ҳолда бундай механизм момент жиҳатидан мувозанатланмаган механизм дейилади\*.

*Механизмни лойиҳалашда*

$$\bar{\Phi}_{\Sigma} = 0 \quad (6.3)$$

шартни бажариш мақсадида амалга ошириладиган махсус тадбирлар механизмни статик мувозанатлашдан иборатdir. Бунда, бир вақтнинг ўзида  $M_{\Phi\Sigma} = 0$  шартни ҳам бажариш мақсад қилиб қўйилмаслигини айтиб үтиш керак. Бинобарин, статик мувозанатланган механизм ўз асосига ҳеч қандай куч тарзида динамик таъсир кўрсатмайди ( $\bar{F}_{\text{o}\Phi} = \bar{\Phi}_{\Sigma} = 0$ ). Шу билан бирга, бундай механизм умумий ҳолда момент кўрининшидаги динамик таъсир кўрсатади ( $M_{\text{o}\Phi} = M_{\Phi\Sigma} \neq 0$ ).

Назарий механизктан маълумки  $\bar{\Phi}_{\Sigma} = -m_{\Sigma} \bar{a}_S$ , бунда:  $m_{\Sigma}$  — механизмнинг ҳамма ҳаракатланувчи бўғинлари системасининг массаси;  $\bar{a}_S$  — ушбу система массалари марказининг тезланиши. Бундан, (6.3) шарт фақат  $a_S = 0$  бўлганда бажарилиши келиб чиқади, бу эса механизмнинг ҳаракатланувчи бўғинларининг массалари маркази *S* силжимагандагина амалга ошиши мумкин. Шундай қилиб, статик мувозанатлаш шундай амалки, бунинг натижасида ишләётган механизм ҳаракатланувчи бўғинлари массаларининг маркази қўзғалмас бўлиб қолади. Бунга алмаштирувчи массалар усули билан эришиш мумкин\*. Ушбу усулини кўриб чиқамиз.

Текис ёки айланма ҳаракат қитутвчи, *m* массага эга бўлган *AB* жисм берилган бўлсин (6.2-расм *а*). Бутун ҳажми бўйича тақсимланган жисм массасини *A* ва *B* нуқталарга тўплаймиз (6.2-расм, *б*). Тўплан-

\*Статик мувозанатланмаганилик» атамаси кенг тарқалган бўлса ҳам у жуда гантирилмаган. Унинг пайдо бўлишига сабаб шуки, статик мувозанатланмаганиликни меҳницизмни ҳаракатга келтирмасдан, яъни қўзғалмас (статик) ҳолатдан ли-дек моменг жиҳатидан ҳам) мувозанатланмаганилик тўлиқ маънодаги динамик ходисадан иборат.

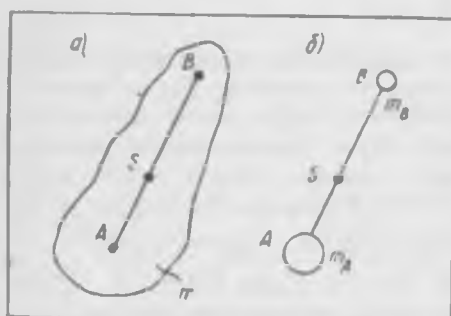
Статик мувозанатлашни бош нуқталар векторлари усуви билан ҳам бажариш мумкин (масалан, [1, 2, 3] ларга қараанг).

ган  $m_A$  ва  $m_B$  массаларнинг қийматлариниң қуйидаги тенгламалардан аниқтаймиз:

$$m_A + m_B = m; m_A l_{AS} = m_B l_{BS}. \quad (6.4)$$

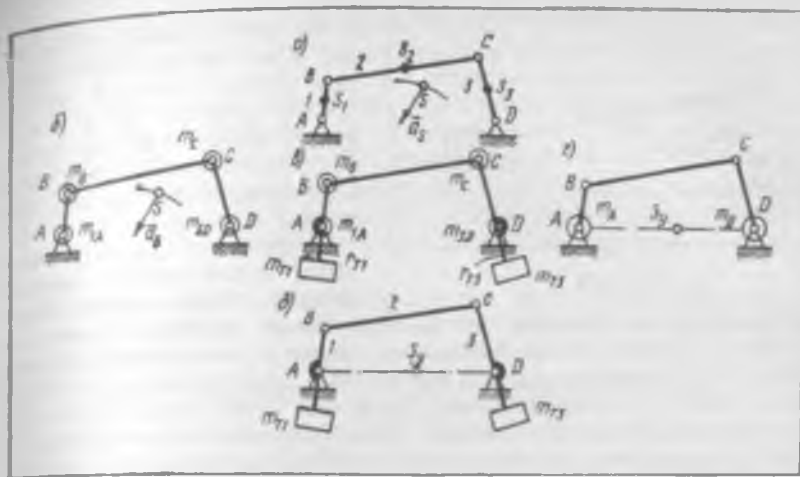
(6.4) тенгламаларнинг биринчиси алмаштирувчи  $[m_A, m_B]$  система-нинг массаси берилган жисем массасига тенглигини, иккинчиси  $[m_A, m_B]$  системанинг массаларн маркази  $S'$  берилган жисмнинг массалари мар-кази  $S$  жойлашган нүктада жойлашганлыгини билдиради. Бундан ал-маштирувчи  $[m_A, m_B]$  система инерция кучларининг бош вектори бе-рилган жисем инерция кучларининг бош векторига тенглиги көзбиди. Бироқ  $[m_A, m_B]$  массалар системаси инерция кучларининг бош моменти берилган жисем инерция кучларининг бош моментаiga тенг бул-майди.

Статик мувозанатлашда фақат бүғинлар инерция кучларининг бош векторлари ҳисобга олинниб [(6.3) тенгламага қаранг], инерция кучларин-нинг бош моментлари эътиборга олинмаганлыги сабабли ҳар бир бүғинни иккита түпланган массалар билан алмаштиришина айнан статик мувозанатлашда татбиқ этиш мутлақо түғри бўлади.



6.2- расм

Ҳар бир бүғинни иккита түпланган массалар билан алмаштирамиз, бунда (6.4) тенгламалардан фойдаланамиз:  $m_{1A} = m_1 l_{BS1}/l_1$ ,  $m_{1B} = m_1 l_{AS1}/l_1$ ,  $m_{2B} = m_2 l_{CS2}/l_2$ ,  $m_{2C} = m_2 l_{BS2}/l_2$ ,  $m_{3C} = m_3 l_{DS3}/l_3$ ,  $m_{3D} = m_3 l_{CS3}/l_3$ .  $B$  ва  $C$  нуқталарда жойлашган массаларни бирлаштирамиз:  $m_B = m_{1B} + m_{2B}$ ,  $m_C = m_{2C} + m_{3C}$ . Шундай қиблиб, берилган механизм  $A, B, C, D$ , нуқталарда жойлашувчи тўртта масса билан алмашниб қолади (6.3- расм, б) га қаранг, унда механизмининг ҳаракатсиз бўлиб қолган бүғинлари қўш чизиқлар билан тасвиранган).  $[m_{1A}, m_B, m_C, m_{3D}]$  системанинг массалар маркази  $S$  берилган механизм ҳаракатланувчи бүғинлари  $1, 2, 3$  системасининг массалари маркази турган жойда жойлашади. Механизм ишлаганда массалар маркази  $S$   $\bar{a}$ , тезланиш билан ҳаракатланади, бу эса берилган механизмнинг (6.3- расм, а) ста-тичк мувозанатланмаганлигини билдиради.



6.3- расм

Бүгінлар 1 ва 3 га [ $m_B$ ,  $m_{T1}$ ] ва [ $m_C$ ,  $m_{T3}$ ] системалар массалариң марказлары құзғалмас  $A$  ва  $D$  нүкталарга тушадиган қилиб посангилаар (тұгриловчи массалар)  $m_{T1}$  ва  $m_{T3}$  үрнатамыз (6.3-расм, б). Бүпнінг учун құйидаги мұносабаттар бажарылыш керак:

$$m_{T1}r_{T1} = m_B l_1, \quad m_{T3}r_{T3} = m_C l_3. \quad (6.5)$$

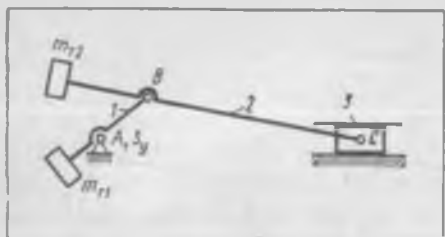
Бүгінлар 1 ва 3 да жойлашган массаларни бирлаشتірамыз:

$$m_A = m_{1A} + m_B + m_{T1}, \quad m_D = m_{3D} + m_C + m_{T3}$$

(6.3-расм, б, ә). Шундай қилиб, посангилаар үрнатылғандан сұнг, берилған механизм иккита құзғалмас  $m_A$  ва  $m_D$  массалар системаси билан алмаштирилиши мүмкін. Шу сабаблы ушбу системанинг массалар марказы  $S_y$ , бинобарин, берилған механизмнинг  $m_{T1}$  ва  $m_{T3}$  посангилаар үрнатылған массалар марказы ҳам құзғалмас бұлып қолади (6.3-расм, ә, ә). Бұ эса берилған механизмни статик мувозанатлаш амалға оширилғанлығын билдиради. Посангиларнің  $m_{T1}$  ва  $m_{T3}$  массаларини  $r_{T1}$  ва  $r_{T3}$  ўлчамларға құйиматтар берген ҳолда (6.5) тенгламадан аниқлаш лозым.

Шундай қилиб, алмаштирувчи массалар усулы құйидагилардан ибарат: механизмнің ҳар бир бүгінини иккита тұпланған массалар билан алмаштириш керак, сұнgra посангилаар (тұгриловчи массалар) кириптан үзілдерини алмаштирувчи массалар билан бирлаشتірган ҳолда, ана шу бирлаشتырылған массаларниң марказы оқиғат натижада механизмнің құзғалмас нүкталарыда жойлашу vigiga ернешіш лозым.

Кирившіл-ползуның механизмнің ҳам иккита посанги билан (6.4-расм) статик мувозанатлаш мүмкін ([1, 2, 3] га қарант). Бироқ шатун 2 га посанги  $m_{T2}$  үрнатылғанда у анчагина узаяды, шу билан бирға механизмнің тапшылары (габарити) катталашади. Шу сабаблы бундай ечим конструктив жиһатдан күнгілдагидек бұлмайды үзілдерини амали-



6.4-расм

табап этилаётган бұлсінки, бунда асосға ғақат вертикаль йұналишда бұладыған динамик тәсір йүқтолысын. Берилған механизмнинг бүгіндерини үчтә түпленған  $m_A$ ,  $m_B$ ,  $m_C$  массалар билан алмаштирамыз (6.5-расмға қаранды, унда механизмнің харакатсиз булып қолған бүгіншіларың қыш чызықтар билан күрсатылған). Алмаштиришины амалға оширгендегі бүгін  $\bar{Z}$  илгарылама ҳаракатланғанлығы сабаблы  $m_3$  массасынан хаммасынан  $C$  нүктада түплемайды. (6.4) тенгламадан фойдаланып күйидагиниң ҳоисы қыламыз:

$$m_{1A} = m_1 l_{BS1} / l_1, \quad m_B = m_{1B} + m_{2B} = m_1 l_{AS1} / l_1 + m_3 l_{CS2} / l_2,$$

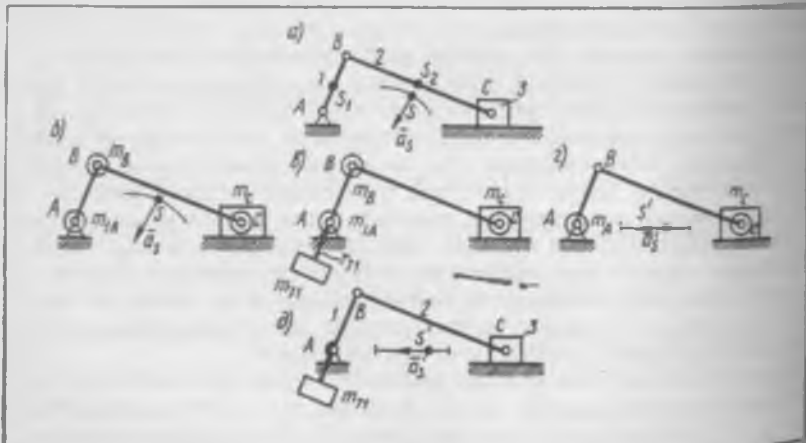
$$m_C = m_{2C} + m_3 = m_2 l_{BS2} / l_2 + m_3.$$

Бүгін  $\bar{I}$  да  $m_{r1}$  посанғини ( $m_{r1}$ ,  $m_B$ ) массалар системасыннан маркази құзғалмас  $A$  нүктада жойлашадыған қилиб жойлаштирамыз. Буниң учун

$$m_{r1} \cdot r_{r1} = m_B l_1 \quad (6.6)$$

мұносабаттың бажаралығынан.

Бүгін  $\bar{I}$  да жойлашған массаларни бирлаштирамыз:  $m_A = m_{1A} + m_B + m_{r1}$  (6.5-расм,  $\bar{r}$ ). Шундай қилиб,  $m_{r1}$  посанғи жойлаштирылған-



6.5-расм

етида кам құлланилады. Оданда, кривошип-ползуның механизм бүгін  $\bar{I}$  га ғақат берілгенде үрнатыш йүнелі билеуші статик мувозанатланады. Бирок бу ҳолда статик мувозанатлаштыла эмес, балки қисман булады.

Горизонтал кривошип-ползуның механизмі (6.5-расм,  $a$ ) шундай статик мувозанатлаштыла

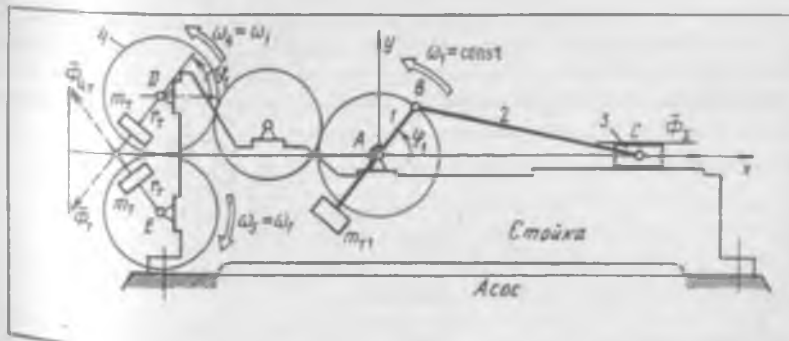
дан сүнгі, берилған механизм иккита масса — құзғалмас  $m_A$  ва горизонталында ҳаракатланувчи  $m_c$  массалар системаси былап алмаштырылыш мүмкін. Шу сабабли ушбу системаниң маркази  $S'$ , бинобарин, берилған механизмнинг посанги  $m_1$  үрнатылған массалари марказы горизонтал йұналишда ҳаракатланади. (6.5-расм, г, д). Демек, механизмнинг асосында вертикаль йұналишда бұладиган динамик тәсір үйқолади. Бирок  $F_{\text{вер}} = \Phi_{\Sigma x} = -(m_2 c + m_3) a_{cx}$  формула ердамда аниқлаш мүмкін бүлған горизонтал йұналишдаги тәсір қолади. Посангининг  $m_1$  массасини  $r_1$  үлчамга қоймат берган ҳолда (6.6) тенгламадан аниқлаш лозим.

Кривошип-ползуны механизмнің қисман статик мувозанатлашни да-  
ном әттириш мүмкін. (5.13) тенгламадан фойдаланған ҳолда қолган  
 $\Phi_{\Sigma x}$  мувозанаттылықнің қүйндагыча ифодалаймиз:

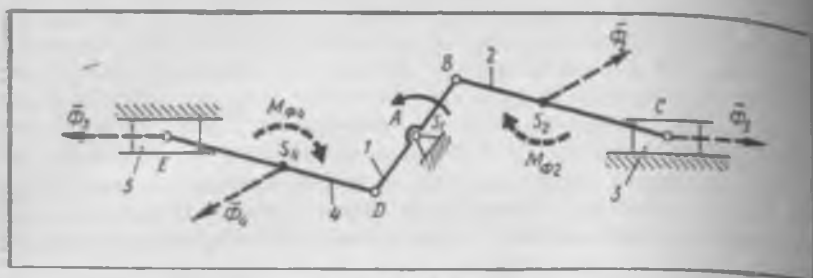
$$\Phi_{\Sigma x} = \omega_1^2 l_1 m_c \cos \varphi_1 + (1/\lambda_2) \omega_1^2 l_1 m_c \cos 2\varphi_1 = \Phi_{1x} + \Phi_{2x}.$$

Бұнда  $\omega_1 = \omega_{sp} = \text{const}$ ,  $1/\lambda_2 = l_1/l_2$ ,  $\Phi_{1x}$  — биринчи тартибли инерция күчи,  $\Phi_{2x}$  — иккинчи тартибли инерция күчи (6.6-расм).

Бүгін 1 нинг айланыш частотасында тенг бүлған частота билан қара-  
ма-қарши томонға айланытқан яна иккита посанги ( $m_t$ ,  $m_r$ ) киритиш  
былап (6.6-расм) асосға күч орқали бұладиган тәсісирнинг инерция күчині  
 $\Phi_{1x}$  билап бағыланадиган қисмінің үйқотаміз (6.6-расм). Ушбу посангилар  
 $D$  ҳамда  $E$  таяңчаларнинг қоймат жиҳатдан посангиларнинг мар-  
каздан қочма инерция күчлары  $|\Phi_{mt}| = m_t \omega^2 r_t$  га тенг бүлған дина-  
мик юкланишини юзага келтиріди. Иккала марказдан қочма инерция  
кучининг тенг тәсір этувчиси  $x$  үкі бүйіча йұналған бұліб, уннинг  
ушбу үкіқа проекциясы  $\Sigma \Phi_{mtx} = -2m_t r_t \omega_1^2 \cos \varphi_1$  ни ташкил этади  
(6.6-расм). Агар посангилар  $2m_t r_t = m_c l_1$  шарт бажарыладиган қылға  
ясалса, у ҳолда  $\Sigma \Phi_{mtx} + \Phi_{1x} = 0$  га ега бұламіз. Бу эса құшымча  
посангилар туғайлы динамик тәсісирнинг қоймат жиҳатидан биринчи  
тартибли инерция күчи  $\Phi_{1x}$  га тенг бүлған қисми мувозанатлашының  
былдыради. Бирок иккинчи тартибли инерция күчи  $\Phi_{2x}$  билап бағыла-



6.6- расм



6.7 расм

надиган таъсирнинг бошқа қисми қолади. Аммо  $\Phi_1$ ,  $\Phi_2$  дан бир неча марта кичик бўлганлиги учун, иккита қўшимча посанги  $|m_1, m_2|$  урнатилгандан сўнг қолган мувозанатланмаганик жуда кичик бўлади.

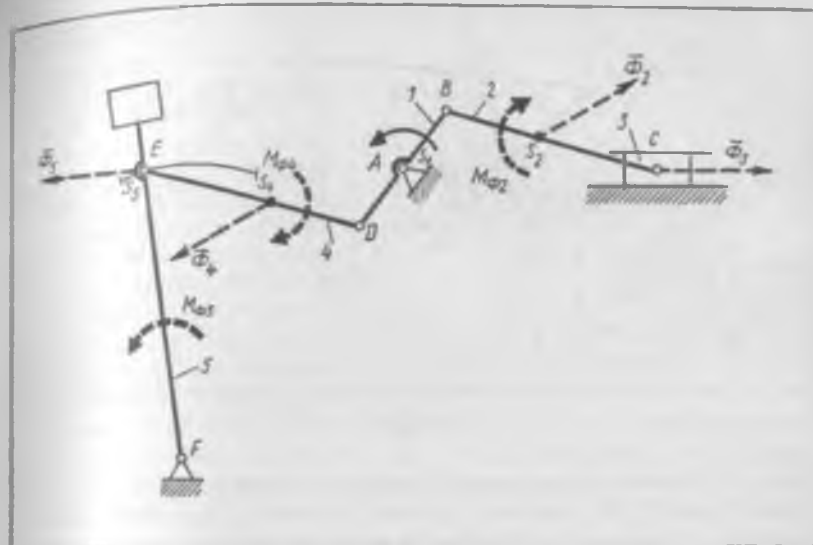
Тўла статик мувозанатланганникка посангилар ўрнатасдан ҳам, ёзидан мувозанатланган деб аталувчи механизмини лойиҳалаш орқали эришиш мумкин. Бунга мотоцикллар ва бошқаларда қўлланиладиган ички ёнув двигателларининг қўш кривошип-ползуни механизмлари мисол бўла олади (6.7- расм). Механизм қия симметрик тарзда ишлапган, ўнг ва чап томондаги шатун-поршенинг группалар 2-3 ва 4-5 мутлақо бир хилда бўлиб, тирсакли вал I нинг массалар маркази  $S_1$ , айланиш ўқида жойлашган ( $\bar{\Phi}_1 = 0$ ). Шу сабабли  $\Phi_{\Sigma} = \bar{\Phi}_1 + \bar{\Phi}_2 + \bar{\Phi}_3 + \bar{\Phi}_4 + \bar{\Phi}_5 = 0$  (6.7- расм), бу эса механизмининг тўла статик мувозанатланганлигидан далолат беради. Бироқ шу нарсага эътибор берниш керакки,

$$M_{\Phi\Sigma} = M_{\Phi 2} + M_{\Phi 1} + M_{\lambda}(\bar{\Phi}_3) + M_{\lambda}(\bar{\Phi}_4) \neq 0,$$

яъни механизм момент жиҳатидан мувозанатланган эмас.

Темирчилик-пресслаш машинасининг механизми бошқа бир мисол бўла олади (6.8-расм). Ишқаланишга бўладиган истрофларни йўқотиш мақсадида чап томондаги ползуни ўрнига коромисло 5 қўлланылган. У шуидай конструкцияга эгаки, массалар маркази  $S_1E$  нуқтада жойлашиди ва  $m_1 = m_2$  бўлади. Массалар маркази  $S_1$  ёй бўйича (С каби тўғри чизиқ бўйича эмас) қайтма ҳаракат қиласди, лекин унинг тўғри чизиқли йўли С нинг йўлига tengdir. Шу сабабли  $\bar{\Phi}_1 \neq \bar{\Phi}_3$ ,  $\bar{\Phi}_4 \neq \bar{\Phi}_2$ . Бироқ инерция кучларининг бош векторлари  $\bar{\Phi}_1$  ва  $\bar{\Phi}_3$ , шунингдек  $\bar{\Phi}_4$  ва  $\bar{\Phi}_2$ , ҳам жуфт-жуфт тарзда модул жиҳатидан бир-бирига жуда яқин ва бир-бирига деярли ҳамма вақт қарама-қарши йўналган бўлади. Шу боис  $\Phi_{\Sigma} \approx 0$ , яъни механизм амалда тўла статик мувозанатлангандир. Бироқ у момент жиҳатидан мувозанатланмагандир.

Тўла статик мувозанатланган механизмининг жуда муҳим хусусиятини айтиб ўтамиш: бошланғич бўғин бурчак тезлиги  $\omega$ , нинг хоҳ ўзгармас, хоҳ ўзгарувчан исталган қийматида бундай механизм ўзи нинг тўла статик мувозанатланган ҳолатини сақлаб қолади.



6.8- расм

### 6.2- §. Момент жиҳатидан мувозанатлаш

Тұла статик мувозанатланған механизмлар ( $\bar{\Phi} = 0$ ) момент жиҳатидан мувозанатланған қолатта көлтириледі. Момент жиҳатидан мувозанатлашдағы вазифа

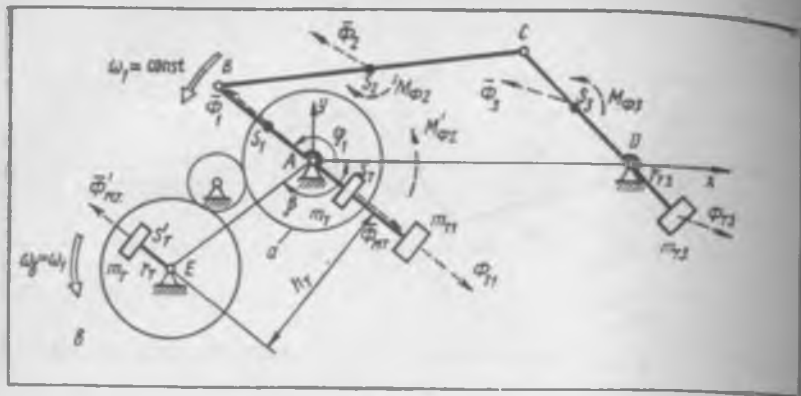
$$M_{\Phi \Sigma} = 0 \quad (6.7)$$

Шарттың бажарилишига әрішишдан иборат. Бинобарин, момент жиҳатидан мувозанатлаш натижасыда, механизмнинг асосға күрсатадиган моменттің күрнешшідеги динамик тағырағ бартараф қилинади:

$M_{\Phi} = M_{\Phi \Sigma} = 0$ . Момент жиҳатидан мувозанатлашны шарнирлы түрт бүгінли механизм мисолыда күріб чиқамыз (6.1-расм, а; 6.3-расм, а).

Хисоблашни  $\omega_1 = \text{const}$  шартында күра бажарамыз. Тұла статик мувозанатланған ( $\bar{\Phi}_1 = 0$ ), бирок ҳали момент жиҳатидан мувозанатлаш босқычидан ұтмаган ( $M_{\Phi \Sigma} \neq 0$ ) механизм инерция күчларининг бутун системасын алмаштирадиган инерция күчларининг умумий бош моменті  $M_{\Phi \Sigma}$  ни (6.2) теңгамда ёрдамнда ҳисоблад топамыз. Бунда шу нарасынан назарда тутиш лозымкі, тұла статик мувозанатланғанидан сұнг механизм схемасыда  $m_1$  ва  $m_2$  массалари таҳминнан нұқталарда тұп-ланаған деб қараладиган посангиштар пайдо бўлди (6.3-расм, д). Посанги  $m_2$  нинг инерция кучи моменти  $\bar{\Phi}_{12}$  ҳам (6.2) алгебранк теңгламага шартилапши лозим. Буни эътиборга олган ҳолда қуйидагини ҳосил қилемиз:

$$M_{\Phi \Sigma} = M_{\Phi 1} + M_{\Phi 2} + M_A(\bar{\Phi}_2) + M_A(\bar{\Phi}_{12}) + M_A\bar{\Phi}_{12}. \quad (6.8)$$



6.9-расм

( $m_1, m_2$  посангиларни ҳозирча эътиборга олмай турган ҳолда 6.9 расмига қаранг). Шу нарсани уқтириш лозимки,  $M'_F\Sigma$  момент  $\Phi_1 = 0$  шартга кўра аниқланганлиги сабабли унинг қиймати келтириш марказининг қандай танланишига боғлиқ эмас, яъни бундай марказ сифатида албатта  $A$  нуқтани эмас, балки исталган нуқтани олиш мумкин.

Механизмнинг ҳаракати жараёнида (6.8) тенгламанинг ўнг томонидаги ҳамма ташкил этувчилар, бинобарин,  $M_F\Sigma$  момент ҳам даврий равишда ўзгаради. Бошланғич бўғиннинг бир марта айланисидаги бу ўзгариш 6.10-расмда кўрсатилган.

Механизм схемасига ҳар бирни  $m_T$  массага эга бўлган иккита посанги киритиб, уларни тишли фидирлаклар  $a$  ва  $b$  га ўринатамиш (6.9). Тишли фидирлак  $a$  бўғин  $I$  билан бикр бўғланган ва  $\omega_1 = \text{const}$  бурчак тезликка эга; унга тенг бўлган тишли фидирлак  $b$  ҳам  $a$  гидирлакниң бурчак тезлиги йўналишида ва унинг бурчак тезлигига тенг бўлган бурчак тезликда айланади. Посангиларнинг (тўғриловчи массаларнинг) радиал координаталарни  $r_T$  бир кил; посангиларнинг бурчак координаталари механизминг исталган ҳолатида бир-биридан  $180^\circ$  га фарқ қиласди.

Натижада посангиларнинг марказдан қочма инерция кучлари  $h_T$  елкали  $[F_{m_T}, \Phi_{m_T}]$  жуфт кучларни ташкил қиласди (6.9-расм). Жуфтликнинг елкаси  $h_T = l_{AE} \sin(\varphi_1 + \beta)$ ; марказдан қочма кучнинг модули  $\Phi_{m_T} = m_T r_T \omega_1^2$ . Шу боис бундан бўён биз тўғриловчи деб атайдиган жуфт кучлар моменти қўйидагилардан иборат бўлади:

$$M_T = m_T r_T \omega_1^2 l_{AE} \sin(\varphi_1 + \beta) = M_{TA} \sin(\varphi_1 + \beta). \quad (6.9)$$

$E$  нуқтанинг ҳолатини (6.9-расм) шундай ташлаш керакки, тўғриловчи  $M_T$  момент  $M'_F\Sigma$  моментга қарши йўналган бўлсин.

$S_T$  ва  $S'_T$  нуқталарга посангилар ўрнатилгандан сўнг механизм инерция кучларининг бутун системаси умумий бош момент  $M_{F\Sigma} = M'_F\Sigma + M_T$  га келтирилади.  $M_T$  момент (6.9) тенгламага кўра синусо-

ида қонуни бүйінча үзгәради. Бирок 6.10-расмдан күрнінг туріндегі,  $M_{\Phi\Sigma}$  моменттің үзгәріши синус қонунига бүйіндейді. Бирок унға бир соң үшшайади. Бинобарлық,  $M_t$ , тұрғыловчы момент  $M_{\Phi\Sigma}$  моменттің аниқ мувозанаттай олмайды. Шу сабабы  $\beta$  бурчакнинг ҳам да  $M_{tA}$  амплитуданынг шундай қыймагларини топиш керакки, бұнда синусонда боғындыклик  $M_{\Sigma}^*(\varphi_1)$  функцияға әнг яхши тарзда яқынлашсın (аппроксимациялансын). У ҳолда момент жиһатидан мувозанатлаш амалда бажарылған бўлади:  $M_{\Phi F} = M_{\Phi\Sigma} + M_t \approx 0$ . Амплитуданынг аниқланган әнг яхши қыйматини  $M_{tA}^*$  билан белгилаймиз (6.10-расм), сўнгра ҳар бир посангининг массасынни аниқлаймиз:

$$m_t = M_{tA}^* / r_t \omega_t^2 I_{AE}.$$

Шундай қилиб, тұла мувоза натланған механизмда, яғни у учун  $F_{\Phi F} = \Phi_t = 0$  ва  $M_{\Phi F} = M_{\Phi\Sigma} = 0$  шарттарнинг бажарылышында эришилған механизмда тезланувчан жаракат құлувчи бүғинлар бўлса-да, у ўз асосига ҳеч қандай динамик таъсир кўрсатмайди.

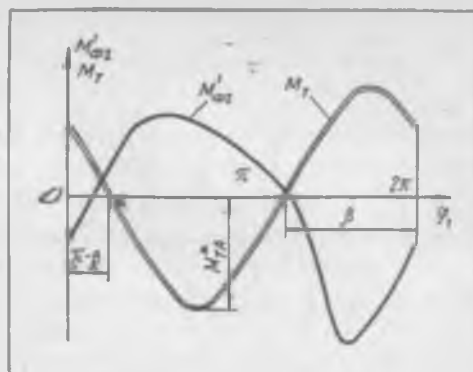
Механизмларни мувозанатлаштынг ҳар хил замонавий усуулларини В. А. Щепетильников ҳар томондан лама ёритиб берган (қаранг: Щепетильников В. А. Уравновешивание механизмов, М., 1982).

### 6.3-§. Роторнинг мувозанатланмаганлығы ва унинг түрлары

Мувозанатлаш (балансировка) назариясида исталған айланувчи жилем ротор деб аталади. Шунга күра электр двигатель якори, компрессорнинг тирсакли вали, токарлық дәстгөхиннинг шпинделі, соаттің балансы ва ҳоказолар ротор ҳисобланади.

Назарий механикадан маълумтари, айланувчи жилемнинг ўз таянчыға босими умумий ҳолда иккита ташкил этувчи: берилған күчтар (жилемнинг оғырлық күчи ва бошқалар) таъсирида вужудға келувчи симметрик айланувчи жилемни (яғни роторни) қосыл құлувчи моддий зарраларнинг тезланувчан жаракатидан көлиб чиқадиган динамик ташкил этувчи тардардан иборат бўлади. Агар динамик ташкил этувчи нолга teng бўлмас, у ҳолда ротор мувозанатланмаган дейилади.

Роторнинг ўзинде атрофидан бир текис айланышыда (6.11-расм) динамик ташкил этувчининг проекциялари қуйидаги аниқланади:  $X_A + X_B = -\Phi_x$ ,  $Y_A + Y_B = \Phi_y$ ,  $-X_A \alpha + X_B b = M_{\Phi F}$ ,  $Y_A a - Y_B b = M_{\Phi x}$ .



6.10- расм

Күршилді турибиди, мувозапатланмаганлық сон жихатидан роторнинг марказдан қочма инерция күчининг бөш вектори  $\bar{\Phi}$  ва бөш моменти  $\bar{M}_\Phi$  нийпроекциялари орқали салынади. Бу проекциялар қуйнанған формулалар ёрдамында хисоблагаб топилади:

$$\begin{aligned}\Phi_x &= \omega^2 mx_S; \quad \Phi_y = \omega^2 my_S; \\ M_{\Phi_x} &= -\omega^2 I_{yz}; \quad M_{\Phi_y} = \omega^2 I_{xy},\end{aligned}\tag{6.10}$$

6.11-расм

бунда:  $m$  — роторнинг массаси;  $J_{yz}$  ва  $J_{xy}$  — роторнинг  $Oxy$  координаталар системасынга (6.11-расм) нисбетан марказдан қочма инерция моментлари.  $Oxy$  текислиги роторнинг массалар маркази  $S$  дан утади,  $Oxy$  координаталар системасыннинг үзін эса ротор билан биргә айланади. Күрилаётган динамик масалада ротор инерция күчининг бөш моменти  $M_\Phi$  вектор катталықтирилген. (6.10) теңгелемеге күра, роторнинг мувозанатланмаганлығы уннинг бурчак тезлигининг квадратига мутаносиб тарзда ошиб боради. Шу сабабли агар тезкор роторлар (турбинанинг иш фидираги, жильтырлаш доиралари, ЭХМ нинг магнитлы барабани ва хоказо) мувозанатланмаган бұлсалар, у холда улар үз таянчларында динамик босим билан таъсир күрсатып стойка (станина)нинг ҳамда уннинг титрашига сабаб булади. Ушбу заарлар таъсирни йүкотиш роторни мувозанатлаш (балансировка қылыш) дейнләди. Ушбу масаланинг ечімі машинаның динамик лойиҳалашга таалуктандырылады.

(6.10) теңгелемаларга асосан роторнинг марказдан қочма инерция күчи бөш векторнинг модули  $\Phi = \omega^2 m \sqrt{x_S^2 + y_S^2}$  ни ташкил қылади.

Буни вектор күринишида қуйнадығыча есамиз:  $\bar{\Phi} = \omega^2 \bar{m} e_{ct}$ , бунда  $e_{ct} = \bar{l}_{os}$  — ротор массалар маркази  $S$  нинг радиус-вектори, у роторнинг эксцентрик ҳолатини координаталаштыради ҳамда ротор массасыннинг эксцентриситетін деб аталаади (6.11-расм). Қуйнадығыча белгилаймайз:

$$\bar{D}_{ct} = \bar{m} \bar{e}_{ct}.\tag{6.11}$$

$\bar{D}_{ct}$  вектор ротор дисбалансларининг бөш вектори дейнләди.  $\Phi = \omega^2 \bar{D}_{ct}$  эканлиги үз-үзидан маълум.

Роторнинг марказдан қочма инерция күчи бөш моментининг модули (6.10) теңгелемаларга асосан  $M_\Phi = \omega^2 \sqrt{J_{yz}^2 + J_{xy}^2} = \omega^2 M_D$  ни ташкил әтади. Бунда

$$M_D = \sqrt{J_{xx}^2 + J_{yy}^2} \quad (6.12)$$

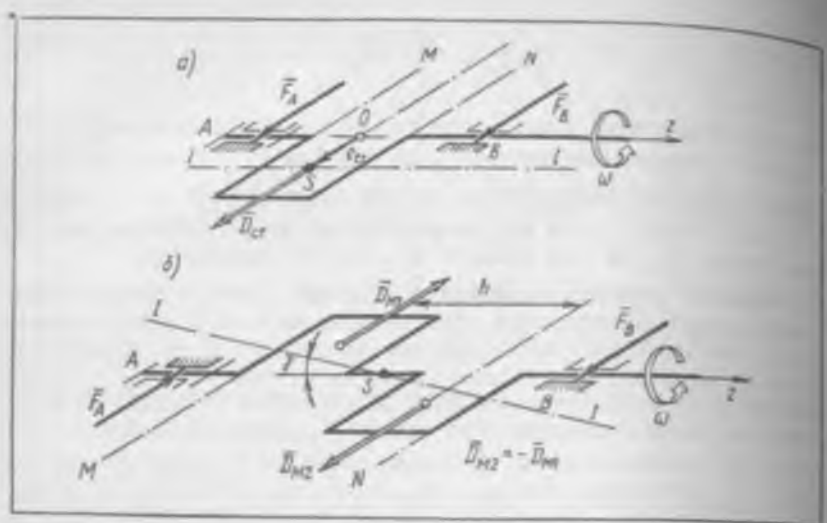
$M_D$  күттәләк ротор дисбалансларининг бош моменти дейнәлади үзү у вектор маъносига эга, яъни  $\bar{M}_\Phi = \omega^2 \bar{M}_D$ . Бундан кейин роторнинг мувозанатланмаганлыгини миқдор жиҳатидан  $\bar{\Phi}$  ва  $\bar{M}_\Phi$  лар билан эмас, балки уларга мутаносиб булган ротор дисбалансларининг бош вектори  $\bar{D}_{ct}$  ва бош моменти  $\bar{M}_D$  орқали ифодалаймиз.

**Роторнинг мувозанатланмаганлик турлари.** Статик мувозанатланмаганлик шундай роторга хоски, унда массалар маркази  $S$  унинг айланиш ўқида ётмайди, бироқ унинг марказий инерция ўқи ( $I - I'$  ўқи) унинг айланиш ўқига параллел булади. Бу ҳолда  $e_{ct} \neq 0$ ,  $J_{xx} = J_{yy} = 0$ . Бинобарин (6.11) ва (6.12) тенгламаларга асосан статик мувозанатланмаганлик фақат дисбалансларининг бош вектори  $\bar{D}_{ct}$  билан ифодаланади, айни вақтда эса дисбалансларининг бош моменти  $\bar{M}_D = 0$  булади.  $\bar{D}_{ct}$  вектор радиал тарэда йўналган булиб, ротор билан бирга айланади. Бир тирсакли вал бунга мисол булади (6.12-расм а),  $A$  ва  $B$  таянчлар  $\bar{F}_A$  ва  $\bar{F}_B$  кучлар билан юкландган, уларнинг векторлари эса вал билан бирга айланади.

Роторга тўғриловчи масса деб аталадиган  $m_t$  қўшимча масса ўрнатиб статик мувозанатланмаганликни йўқотиш мумкин. Уни шундай ҳисоб билан ўрнатиш лозимки, бунда  $\bar{D}_t = m_t \bar{e} = -\bar{D}_{ct}$  бўлсин. Бу эса тўғриловчи массанинг маркази  $\bar{D}_{ct}$  векторнинг  $OS$  таъсир чизигидан бўлиши,  $e_t$  вектор эса  $e_{ct}$  вектор йўналишига қарама-қарши томонга йўналган булиши кераклигини билдиради.

Бироқ биттагина тўғриловчи масса билан статик мувозанатлашга ҳамма вақт ҳам эришиб бўлавермайди. Чунончи, бир тирсакли валнинг конструкцияси (6.12-расм, а)  $M$  ва  $N$  тўғрилаш текисликларига ишкита масса ўрнатишни талаб қиласди, чунки ана шу иккى текислик оралигидаги бўшлиқ шатуннинг ҳаракатлана олиши учун батамом очиқ булиши керак. Бу ҳолда  $\bar{D}_t$  вектор иккала тўғриловчи массалар таъсирларининг принципини ифодалайди. Бинобарин, тўғрилаш текисликларининг сони ва жойлашуви роторнинг конструкцияси ҳамда вазифасига қараб танланади.

Роторнинг массалар маркази  $S$  унинг айланиш ўқида жойлашиб, унинг бош марказий инерция ўқи  $I - I'$  айланиш ўқига нисбатан үзү бурчакка оғлан бўлса (6.12-расм, б), ротор момент жиҳатидан мувозанатланмаган булади. Бу ҳолда  $e_{ct} = 0$ ,  $J_{xx} \neq 0$ ,  $J_{yy} \neq 0$  булади. Бинобарин,  $\bar{D}_{ct} = 0$  бўллади, шунинг учун момент жиҳатидан мувозанатланмаганлик дисбалансларининг, яъни ротор билан бирга айланувчи  $[\bar{D}_{M_1}, \bar{D}_{M_2}]$  дисбаланслар жуфтлигининг бош моменти  $\bar{M}_D$  билангина ифодаланади. Бунга  $M_D = D_{M_1} h$  бўлган иккى тирсакли вал мисол бўла олади.  $A$  ва  $B$  таянчлар, векторлари вал билан бирга айланадиган  $[\bar{F}_A, \bar{F}_B]$  жуфт кучлар билан юкландандир.

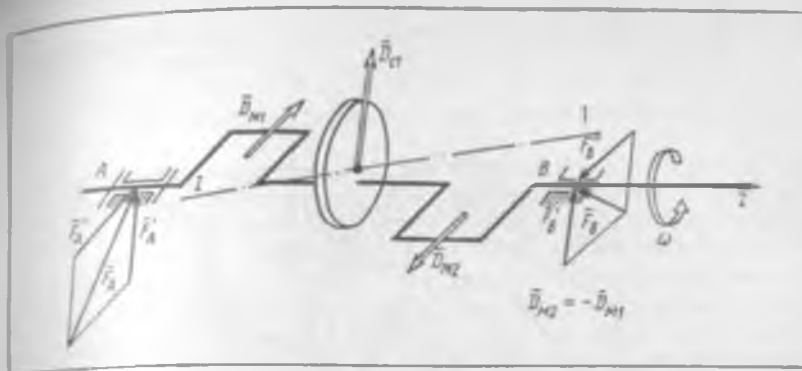


6.12-расм

Жұфт күчлар фәқат жуфт күчлар билан мувозанатланғанлығы сабабли, камида иккита тұғриловчы массаси құллаш биланғина момент жиҳаидан мувозанатланмаганлықнан йүқотиши мүмкін. Үларнинг тұғрилаш текисликтери жойлашуви ҳамда катталиғи шундай бўлиши лозимки, бунда тұғриловчы массаларнинг дисбаланси айнан жуфт күчларни ҳосил қилсин. Бу жуфтликнинг  $\bar{M}_{D_1}$  моменти  $\bar{M}_D$  га тенг бўлиши керак. Демак,  $\bar{M}_{D_1}$  моменти  $[\bar{D}_{M_1}, \bar{D}_{M_2}]$  жуфтлик моментига қарама-қарши йұналған бўлиши, яъни 6.12-расм, б да тасвирланған ротор ҳолатынга татбикан қаралса, соат милининг ҳаракат йұналишига қарши йұналған бўлиши зарур.

Динамик мувозанатланмаганлық олдин күриб чиқылған иккиси мувозанатланмаганлықнинг мажмудаи иборат, яъни  $e_{ct} \neq 0$ ,  $J_{xz} \neq 0$ ,  $J_{yz} \neq 0$ . Бинобарин, динамик мувозанатланмаганлық  $\bar{D}_{ct}$  ва  $\bar{M}_D$  орқали ифодаланади. Назарий механикадан маълумки, юкланишининг бундай системаси иккита кесишуви векторга эквивалентdir. Шу сабабли динамик мувозанатланмаганлық бошқача тарзда, хусусан, айланиш үқига перпендикуляр бўлган иккита текисликда жойлашган ҳамда ротор билан бирга айланувчи иккита кесишуви  $\bar{D}_1$  ва  $\bar{D}_2$  дисбаланслар векторлари орқали ҳам ифодаланиши мүмкін («дисбаланслар хочи»). Думалоқ диск эксцентрик тарзда маҳкамланған иккиси тирсакли вал динамик мувозанатланған роторга мисол бўлиши мүмкін (6.13-расм). В ва А таянчлар үзаро кесишуви  $\bar{F}_A$  ва  $\bar{F}_B$  күчлар билан бирга айланади.

Динамик мувозанатланмаганлықнин айланиш үқига перпендикуляр бўлган тұғрилаш текисликтерига иккита тұғриловчы масса үрнатиш билан үйқотса бўлади (6.4- § га қаранг).



6.13- расм

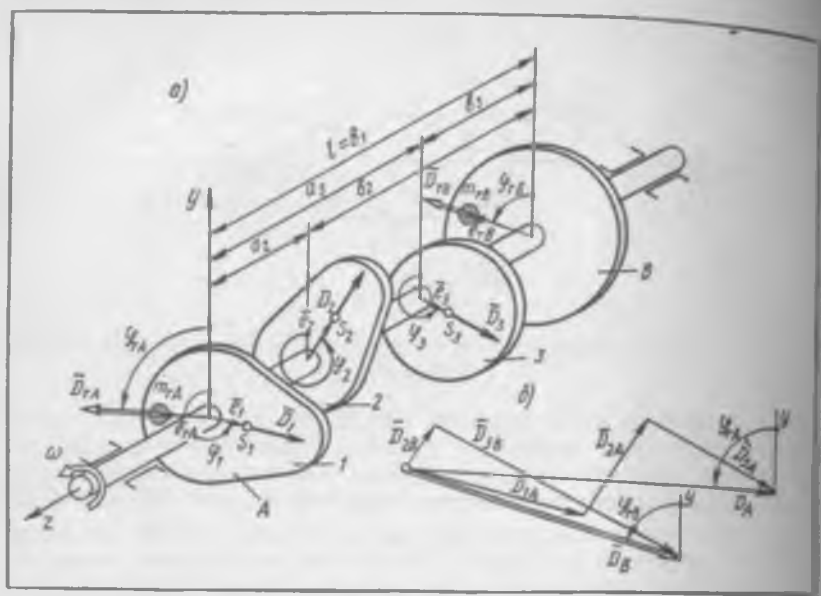
Айтилганлардан келиб чиқадык, ұрғандай мувозанатланмаганлық шарт (статик, момент жиһатидан, динамик) йүқотиленіши натижасыда роторнинг бөш марказий инерция үки унинг айланиш үки билан *устындағы жойлашиб қолади* екі аналитик жиһатдан  $D_{ct} = 0$ ,  $M_D = 0$  булади. Бу қолда ротор тұла мувозанатланған дейилади. Бундағы роторнинг мұхым бир хусусияттің курсатыб үтәмиз: ағар ротор бурчак тезлік шартынан қарапайым үшін тұла мувозанатланған болса, у үзиннің бу қолатынның исталған хоҳ ұзгармас, хоҳ ұзгаруучан бурчак тезлік 1 сақтаб қолади.

#### 6.4- §. Лойиҳалашда роторларни динамик мувозанатлаш

Ағар машина екі асбобдан фойдаланып учун тұла мувозанатланған ротордан фойдаланып талаб қилинса ва унинг конструкциясы роторнинг мувозанатланмаганлыгини күрсатса (масалан, 6.12, 6.13-расмдар), бундай роторни лойиҳалаш давридағы мувозанатлаш зарур. Ротор бир бутун айланадын бир қанча деталлар  $1, 2, 3$  нинг бирлашмасы (6.14-расм, a) бўлсин. Ундағы ҳамма деталларнинг массалари  $m_i$  ва оғирлик марказлари  $S_i$  нинг координаталари  $a_i$ ,  $e_i$  ва  $\varphi_i$  маълум бўлсин. Ушбу маълумотлар асосида, мувозанатланмаган массаларнинг дисбалансларини  $\bar{D}_i = m_i e_i$  формуласа биндоан ҳисоблаб чиқиш лозим.

Роторни мувозанатлаётганды ұрғандай мувозанатланмаган массага үзинші түғриловчи массасини қарама-қарши қўйиш ҳам мүмкін эди. Бирок бундай ечим мақсадга мувофиқ бўлмайди, чунки ротор системасыда дверли ҳамма вақт дисбалансларнинг қисман үзаро мувозанатлашуви юз беради. Шу сабабли бошқа усулдан фойдаланып керак.

Айланыш үки  $z$  га перпендикуляр бўлган иккита келтириш текислиги  $A$  ва  $B$  ни белгилаймиз. 6.14-расм, a да  $A$  текислик сифатида масалалар марказы  $S_1$  жойлашган текислик олинниб,  $B$  текислик эса ундан  $l$  узоқлиқда жойлашган.  $A$  ва  $B$  текисликларга ҳамма мувозанатланмаган массаларнинг дисбалансларин  $\bar{D}_1$ ,  $\bar{D}_2$ ,  $\bar{D}_3$  ни келтирамиз, яғни ұрғандай дисбаланс векторини унга параллел бўлган ва келтириш текисликлари



6.14- расм

*A* ва *B* да жойлашган векторлар билан алмаштирамиз. Бунинг учун ушбу формулалардан фойдаланамиз:  $D_{1A} = D_1 b_1 / l$ ,  $D_{1B} = D_1 a_1 / l$ , яныш 6.14-расм, *a* га татбиқ қилинадиган бўлса:

$$D_{1A} = D_1 b_1 / l = D_1; \quad D_{2A} = D_2 b_2 / l; \quad D_{3A} = D_3 b_3 / l;$$

$$D_{1B} = D_1 a_1 / l = 0; \quad D_{2B} = D_2 a_2 / l; \quad D_{3B} = D_3 a_3 / l. \quad (6.13)$$

Келтириш натижасида дисбаланслар  $\bar{D}_1$ ,  $\bar{D}_2$ ,  $\bar{D}_3$  нинг фазовий системаси иккита текис система билан алмашиниб қолади. Ҳар бир текисликда жойлашувчи дисбалансларни қўшиб чиқамиш (6.14-расм, *b*):

$$\bar{D}_A = \sum \bar{D}_{iA} = \bar{D}_{1A} + \bar{D}_{2A} + \bar{D}_{3A}; \quad \bar{D}_B = \sum \bar{D}_{iB} = \bar{D}_{2B} + \bar{D}_{3B}. \quad (6.14)$$

Шундай қилиб, берилган роторнинг мувозанатланмаганингини *A* ва *B* келтириш текисликларида жойлашуви ўзаро айқаш иккита  $\bar{D}_A$  ва  $\bar{D}_B$  векторлар билан кўрсатиш мумкин (6.14-расм, *a* да улар кўрсатилмаган). Шунинг учун ҳар қандай ротор каби, берилган роторни ҳам иккита тўғриловчи масса билан мувозанатлаш мумкин. Агар ротор конструкцияси имкон берса, ушбу массаларни *A* ва *B* келтириш текисликларига жойлашмиз. У ҳолда улар айни вақтда тўғриловчи текисликлар бўлади.

Тўла мувозанатланганлик шартлари қўйидагича:  $\bar{D}_{rA} = -\bar{D}_{A'}$ ,  $\bar{D}_{rB} = -\bar{D}_{B'}$ .  $\bar{D}_{rA}$  ва  $\bar{D}_{rB}$  векторлар 6.14-расм, *a* да кўрсатилган.

Уларниң бурчак координаталари  $\varphi_{tA}$  ва  $\varphi_{tB}$  дисбаланслар планидаи (6.14-расм, б) олиниши лозим. Түғриловчи массалар  $m_{tA} = D_{tA} / e_{tA}$ ,  $m_{tB} = D_{tB} / e_{tB}$  га тенг, бунда  $e_{tA}$  ва  $e_{tB}$  — роторнинг конструктив имкониятига күра белгиланадиган массалар эксцентриситетлари (6.14-расм, а).

Роторнинг мувозанатланмаганлыгини йүқотиш шундан иборатки,  $m_{tA}$  ва  $m_{tB}$  түғриловчи массалар  $A$  ва  $B$  түғрилаш текисликларининг  $\varphi_{tA}$ ,  $e_{tA}$ , ҳамда  $\varphi_{tB}$ ,  $e_{tB}$  координаталари бўйича аниқланадиган жойларига ўрнатилади. Түғриловчи массалар (посангилар) ўрнига «антитосангилар»дан фойдаланиш ҳам мумкин. Бунинг учун  $D_{tB}$  векторнинг таъсир чизигига тўғриловчи масса ўрнатилмасдан, унга диаметрал қарама-қарши томондан ротордан мос миқордаги материал олиб ташланади (яъни роторни «огир жойи олиб ташланади»). Түғрилаш текислигининг бошқасида ҳам худди шундай қилиш мумкин. Албатта, бундай усуслни қўллаш мумкинлиги ёки мумкин эмаслиги роторнинг конструкциясига беғлиқ.

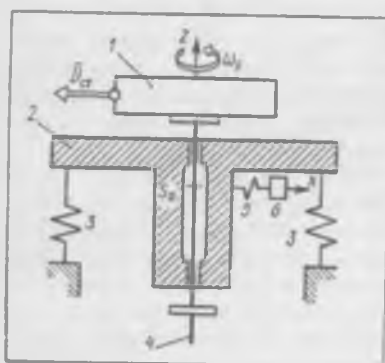
6.4-§ нинг якунидаги айланиш ўқи бўйлаб ўлчамлари радиал ўлчамларидан кичикроқ бўлган роторни кўриб чиқамиз. «Айланиш ўқи бўйлаб ўлчамлари радиал ўлчамларидан кичикроқ» иборасини 6.14-расм, а га ишебтаян татбиқ қиласидиган бўлсак,  $a_1$  ва  $a_2$  ўлчамлар кичикроқ, деталлар I, 2, 3 бир-бирнiga жуда яқин жойлашган деб айтиш мумкин. У ҳолда (6.13) формулага асосан  $D_{tB}$  ва  $D_{tA}$  дисбаланслар ҳам жуда кам бўлади ва уларни эътиборга олмаслик мумкин. Бинобарин, (6.14) тенгламаларга асосан  $D_B \approx 0$ , шунинг учун роторнинг барча мувозанатланмаганлыги амалда фақат битта  $D_A$  дисбаланс орқали ифодаланади ва статик бўлади. Демак, айланиш ўқи бўйлаб ўлчамлари кичикроқ бўлган ротор статик мувозанатланиши зарур. Бу ишни түғрилаш текислигини массалар марказицдан ўтказган ҳолда, битта түғриловчи масса орқали амалга ошириш мумкин.  $a_1$  ва  $a_3$  ўлчамлари, иъни массалар марказлари  $S_2$  ва  $S_3$  нинг  $z$  ўқи бўйича ўлчамлари кичик бўлганида роторнинг марказдан қочма инерция моментлари  $J_{xz}$  ва  $J_{yz}$  ҳам кам бўлишини қўшимча қиласимиз. Бинобарин, (6.12) тенгламага асосан, бундай ротор дисбалансларининг бош моменти  $M_D$  ҳам кичик бўлади, шу сабабли уни ҳисобга олмаса ҳам бўлади. Бу эса айланиш ўқи бўйлаб ўлчамлари кичик бўлган роторнинг мувозанатланмаганлыги амалда фақат статик бўлишини яна бир марта тасдиқлайди.

### 6.5-§. Таъёрланган роторларни статик ва динамик мувозанатлаш

Лойиҳалашда тўла мувозанатланган ротор тайёрлангандан сунг материалининг бир жинсли эмаслиги ҳамда роторнинг ҳақиқий ўлчамлари ўнинг кўзда тутилган ўлчамларидан фарқ қилиши туфайли у маълум даринада мувозанатланмаган бўлади. Бундай мувозанатланмаганлик махсус мувозанатлаш дастгоҳларчда тайёрлаш жараёнида бартароғ қилилади. Мувозанатлаш автоматик тарзда ҳам, автоматик бўлмаган тарзда ҳам бўлиши мумкин. Дастлаб статик ва динамик мувозанатлашни автоматик бўлмаган тартибда бажарылишини кўриб чиқамиш.

Статик мувозанатлаш. Айланиш үкі бүйлаб үтчамлари кічік бүйлаб мувозанатлаш киғоя эксанлығы 6.4-§ да айтиб үтилген эди. Бунда фажатгина дисбалансларнинг бош вектори  $\bar{D}_{ct}$  аниқланади. Агар мувозанатлашнинг юқори аниқликда бұлиши талаб қылғынmasa, ротор статик мувозанатланади [2, 3, 8, 6-т].

Статик мувозанатланмаганлықни роторнинг айланышы жарағендегі яғни динамик тартибда аниқлаш усулы аниқроқ ва мувозанатлаш жарағендегі автоматлаштырыш нұқтаи назаридан истиқболлы усул ҳисобланади\*. 6.15-расмда қасирилган мувозанатлаш дастгоҳы ушбу принциптің бүйіча иштайдыған усқунаға мисол бұлиши мүмкін. Шпиндель 4 га мағкамаланған мувозанатланмаган ротор 1 плита 2 га үрнатылған подшипникларда үзгартылған бурчак тезлик билан айланади. Ушбу плита станицаға эластик элементтер 3 орқали таянади. Сейсмик датчикнинг массасы 6 юмшоқ пружина 5 орқали плита 2 билан бөлгеланған. Датчик массасынан хүсусий төбәрениш частотасы роторнинг айланыш частотасыдан анча кам бұлиши лозим. Масса 6 плита массалари маркази  $S_0$  орталықтандырылған.



6.15- расм

қалың ұтывчи  $x$  үкі бүйлаб бемалол түрер чиңиқли шлгарылма ҳаракатла олади.

Шпиндель ротор билан бирга айланғанда роторнинг мувозанатланмаганлығы натижасыда  $z$  үкі конуссимон юза қосыл қылади, плита 2 зса фазовий ҳаракет қылади. Бу ҳаракаттің  $x$  үкі бүйлаб йұналған ташкыл этувчысы масса 6 томонидан қабул қылғынади. Массаниң плита 2 га нисбатан мажбурый төбәренишини датчик ЭЮК га айлантиради ва мувозанатлаш дастгохыннан үзүлкесиз қисмет бұлған электрон ҳисоблашының күрілмасыга (6.15-расмда күрсатылған) юборади. Бу күрілма изланадаған мувозанатланмаганлық түрлеридеги маътумотни ротор дисбаланслары бош вектори  $\bar{D}_{ct}$  нинг модули ва бурчак координатасы тарзда чиқарып беради. (6.15-расмда роторнинг статик мувозанатланмаганлығы шартлы равишда дисбаланси ротор дисбалансларнинг бош вектори  $\bar{D}_{ct}$  га тең болған қандайдыр нұқта массасынан мувозанатланмаганлығы тарзда күрсатылған).  $\bar{D}_{ct}$  аниқланғандан сүнг оператор роторнинг мувозанатланмаганлығын ротор материалининг бир қисміні олиб ташлаш («огир қисміні» олиб ташлаш) усулы билан ийқотади (6.4-§ га қаранды).

\* Бундан келиб чиқадыки «статик мувозанатланмаганлық» атамасы жуда фиктігіна эмас (6.1-§ дагы ҳауоллага қаранды), балки ескірмоқда ҳам, негаки динамик тартибда аниқтайды.

**Динамик мувозанатлаш.** Айланыш ўқи бўйлаб ўлчамлари катта бўлгли роторлар динамик мувозанатлашни талаб қилади, чунки бундай роторларда дисбалансларнинг бош моменти  $M_D$  анча катта бўлади (6.4-§ га қаранг). Шу сабабли мувозанатланмаганилик фақат дисбалансларнинг бош вектори  $\bar{D}_{ct}$  билангира эмас, шунингдек дисбалансларнинг моменти  $M_D$  билан ҳам ёки иккита ўзаро айқаш  $\bar{D}_1$  ва  $\bar{D}_2$  дисбалансларининг векторлари орқали (6.3 ва 6.4-§ ларга қаранг) ҳам ифодадайди. Яъни динамик тарзда бўлади. Бундай мувозанатланмаганиликни курнишида равишда дисбаланслари мос равишда  $\bar{D}_1$  ва  $\bar{D}_2$  га тенг бўлган, иккита нуқтага жамланган массаларнинг мувозанатланмаганилиги кўришида тасвирилаш мумкин.

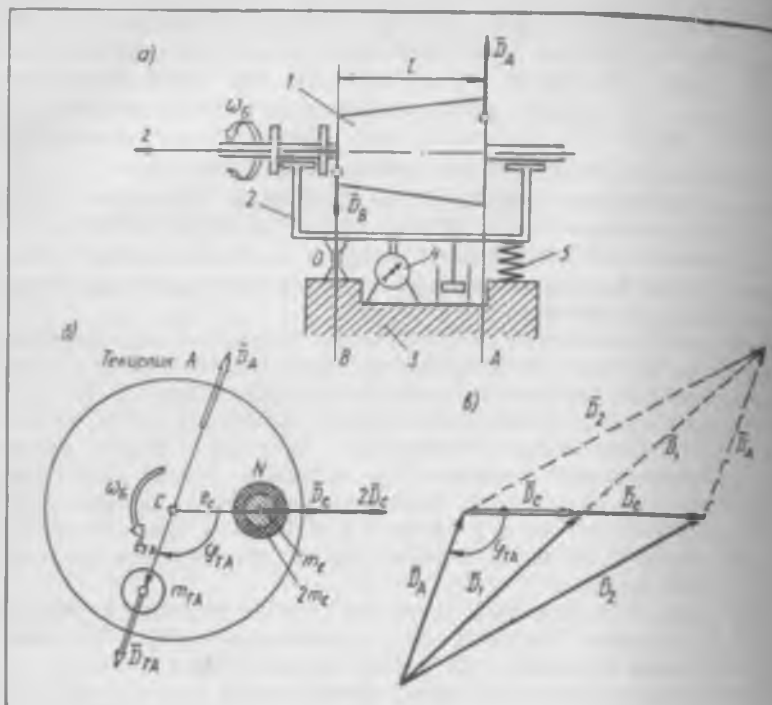
Динамик мувозанатлашга мулжалланган дастгоҳлардаги роторнинг айланыш ўқи қўзғалмас бўлиши ёки станинага нисбатан ҳаракатланиши мумкин. Айланыш ўқининг мумкин бўлган ҳаракатлари сонига кўра ўнинг эрканилиги даражаси сонига кўра) мувозанатлаш дастгоҳларини уч группага бўлиш мақсадга мувофиқдир. Биринчи группага мувозанатланадиган роторнинг айланыш ўқи қўзғалмас бўлган дастгоҳлар, иккинчи группага айланыш ўқи бошқа қўзғалмас ўқса нисбатан тебранганилари, учинчя группага айланыш ўқи фазовий ҳаракат қиладигилари киради [4; 8, 6-т.]. Биринчи группа дастгоҳларига мисоллар кўйида кўриб чиқлади.

6.16-расм, а да тасвирланган дастгоҳ иккинчи группага киради. Бу дастгоҳда электрон ҳисоблаш-ечиши қурилмалари йўқ. Мувозанатланадиган ротор 1 станина 3 га шарнир орқали таянувчи рама 2 даги подшипникларда қўйилади. Раманинг бошқа таянчи (таянч 5) эластикдир. Шу сабабли рама қўзғалмас  $O$  ўқига нисбатан тебраниши мумкин; бу ўқ расм текислигига нисбатан перпендикуляр тарзда шарнир маркази орқали ўтади. Рама билан бирга ротор ҳам ўзининг айланыш ўқи в билан биргаликда станинага нисбатан тебранади.

Роторнинг динамик мувозанатланмаганилигини  $A$  ва  $B$  тўғрилаш текисликларига келтирилган иккита  $\bar{D}_A$  ва  $\bar{D}_B$  дисбаланслар тарзинда тасвирлаймиз. Мувозанатлаш усули дастлаб  $\bar{D}_A$  дисбалансини, сунгра  $\bar{D}_B$  дисбалансини аниқлашни назарда тутади.  $\bar{D}_A$  дисбалансини аниқлашда  $\bar{D}_B$  дисбалансининг таъсирини йўқотиш учун роторни раманинг подшипникларига маълум тарзда жойлаш, яъни тўғрилаш текислиги  $B$  шарнир ўқи  $O$  орқали утиши лозим (6.16-расм, а). У ҳолда  $\bar{D}_B$  дисбаланси ушбу ўқса нисбатан момент бермайди ва, бинобарин, ротор — рама системасининг мажбурий тебранишига таъсир этмайди.

Асосий ишга туширишни амалга оширамиз, яъни роторни айланма ҳаракатга келтирамиз.  $M_{DA} = D_A l \cos \omega_0 t$  момент ротор — рама системаини тебранишга мажбур қилади. Ушбу тебранишлар амплитудасини индикатор 4 билан ўлчамиз. Ўлчашни системанинг хусусий тебраниши бурчакли частотасига тенг бўлган мувозанатлашнинг  $\omega_0$  бурчак тезлигига олиб борамиз. Мажбурий тебранишлар амплитудаси дисбалансига мутаносиб, яъни

$$S_A = \mu_D D_D \quad (6.15)$$



6.16- расм

бұлишини етарлы даражада аниқлікда ҳисоблаш мүмкін, бунда  $S_A$  — үлчанған амплитуда,  $D_A$  және  $\bar{D}_A$  дисбаланс модули.

Мутаносиблик коэффициенти  $\mu_D$  ҳозирча ноъмалум, демек, излананаёттан  $D_A$  дисбалансны (6.15) тенгламадан аниқладаб бўлмайди. Шу сабабли асосий ишга туширишдан ташқари, синаш учун ишлатиб кўриш деб аталаған яна икки марта ишга туширишини амалга оширамиз. Биз тағсифлаётган рамали дастгоҳда мувозанатлаш усули шундан келиб чиқиб, «синаш учун икки марта ишга тушириш усули» деган номни олган ([1, 2, 5, 3] ларга қаранг, Савелова Л. А. Теория и практика балансировки вращающихся машинных частей. Н. Э. Бауман номидаги МВТУ нашрийти, 1946).

Биринчи марта синов тарықасида ишлатиб кўришдан олдин тўғрилаш текислиги  $A$  нинг исталған жойида (масалан  $e_c$  эксцентрикситети  $N$  нүктасида, 6.16- расм, б) роторга дисбаланснинг модули

$$D_c = m_c e_c \quad (6.16)$$

га тенг бўлган синов массаси  $m_c$  ни маҳкамлаймиз ва биринчи марта синов тарықасида ишга туширамиз. Энди йиғинди дисбаланс моменти  $S_1$  амплитудали тебраништарни вужудга келтиради:

$$\bar{D}_1 = \bar{D}_A + \bar{D}_c, \quad (6.17)$$

бунда үлчанган амплитуда  $S_1 = \mu_D D_1$  бўлади.

Иккинчи марта синов тариқасида ишга тушаришдан олдин  $N$  нуқтага икки марта оғир синов массаси  $2m_c$  ни маҳкамлаймиз, бунда дисбаланс ҳам мос равишда икки марта ортади. Иккинчи синов тариқасида ишга тушаришни амалга оширамиз:

$$\bar{D}_2 = \bar{D}_A + 2\bar{D}_c, \quad (6.18)$$

дисбаланс моменти вужудга келтирган тебранишлар амплитудаси  $S_2$  ни үлчаймиз; бунда  $S_2 = \mu_D D_2$  бўлади.

Шундай қилиб, асосий ишга тушаришни ҳамда иккита синаш учун ишга тушаришни амалга ошириб  $S_A$ ,  $S_1$ ,  $S_2$  амплитудалар қийматларини оламиз.

6.16- расм, ө да (6.17) ва (6.18) вектор тенгламалар тасвирланган. Параллелограмм диагоналларининг хоссаларидан фойдаланган ҳолда 6.16- расм, ө дан  $\bar{D}_c$  дисбаланс модулини оламиз:

$$D_c = \sqrt{(D_A^2 + D_2^2 - 2D_1^2)/2}.$$

Ушбу тенгламанинг иккала томонини  $\mu_D$  га кўпайтирамиз ва амплитуда ҳамда дисбалансларининг мутаносиблиги, шунингдек (6.16) тенглама асосида мутаносиблик коэффициенти  $\mu_D$  нинг қийматини аниқлаймиз:

$$\mu_D = (\sqrt{S_A^2 + S_2^2 - 2S_1^2}) / (m_c e_c \sqrt{2}). \quad (6.19)$$

Энди (6.15) тенгламадан изланаётган дисбаланс модули  $D_A$  ни аниқлаймиз:  $D_A = S_A / \mu_D$ .

Роторини  $A$  текисликда мувозанатлаш учун ушбу текисликда дисбаланси  $\bar{D}_{TA} = -\bar{D}_A$  тенгламадан аниқланадиган тўғриловчи  $m_{TA}$  массани жойлаштириш лозим.  $m_{TA}$  массанинг катталигини  $e_{TA}$  эксцентристигига қиймат беруб ҳосил қиласмиз (6.16- расм, б)  $m_{TA} = D_{TA} / e_{TA}$ .

Бурчак координатаси  $\psi_{TA}$  ни унинг косинуси орқали топамиз (6.16- расм, ө):  $\cos \psi_{TA} = (D_A^2 + D_2^2 - D_1^2)/2 D_A D_2$  ёки  $\cos \psi_{TA} = (S_A^2 + S_2^2 - S_1^2)/2 S_A S_2$ . Бунда  $S_2 = \mu_D D_2$ . Косинуснинг олинган қийматига катталиги бўйича бир хил, аммо ишораси бўйича қарама-қарши бўйлан иккита бурчак тўғри келади. Шу сабабли  $\Phi_{TA}$  бурчакни CN ғизиқдан ҳисоблашнинг тўғри йўналиши олдиндан маълум эмас ва уни сабаб кўришлар усулида аниқлаш лозим.

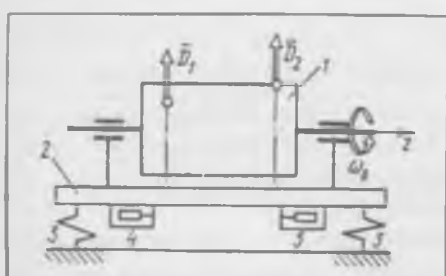
Тажриба орқали  $S_A$ ,  $S_1$ ,  $S_2$  амплитудаларни олгач, изланаётган  $D_A$  дисбалансни ва  $\Phi_{TA}$  бурчак координатасини график усулда ҳам аниқласа бўлади.

$D_B$  дисбаланс векторини аниқлаш учун ротор 1 ни рама 2 подшипнелерди гидан олиб, вертикал ўқи атрофина буриш ва уни яна подшипнелерди шундай тарзда қўйиш керакки, бу сафар энди шарнир ўқи О билан тўғрилаш текислиги A устма-уст жойлашсин. У ҳолда ротор — рама системасининг мажбурий тебранишларига  $\bar{D}_A$  дисбаланс моментининг таъсири йўқолади ва улар фақат  $M_{DB} = D_B / \cos \omega_0 t$  моментининг таъсири натижасида содир бўлади. Роторнинг ўринин ана шундай алмаштириб қўйгандан сўнг, иккита марта синов тариқасида ишга тушириш усулидан фойдаланган ҳолда  $\bar{D}_B$  дисбалансни аниқлаш, кейин роторни тўғрилаш текислиги B да мувозанатлаш лозим.

Мувозанатлаш вақтида роторнинг айланиш ўқи фазовий ҳаракат қиласидан учинчи группа дастгоҳига мисол 6.17-расмда кўрсатилган. Мувозанатланмаган ротор 1 плита 2 га ўрнатилган подшипнеларда ўзгармас  $\omega_0$  бурчак тезлиги билан айланади. Плита станинага тўртта пружина 3 орқали таянади. Плита 2 иккита сейсмик датчик 4 ва 5 боғланган.

Ротор айланганда унинг мувозанатланмаганлиги таъсирида 3 ўқи ва плита 2 фазовий ҳаракат қиласиди, бу ҳаракатни датчиклар 4 ва 5 сезади. Датчиклар плитанинг мажбурий механик тебранишларини мувозанатлаш дастгоҳининг таркиби қисми бўлган электрон хисоблаш-ечиш қурилмасига (6.17-расмда кўрсатилмаган) юборилувчи ЭЮК га айлантириб беради. Бу қурилманинг электрон схемаси шундай ўрнатилганки,  $\bar{D}_1$  дисбалансни ўлчагич унинг кўрсатмаларида  $\bar{D}_2$  дисбалансининг таъсири йўқ бўладиган қилиб созланган ва шу сабабли у фақат  $\bar{D}_1$  дисбаланс тўғрисида маълумотлар беради.  $\bar{D}_2$  дисбалансни ўлчагич ҳам маҳсус созланганлиги тифайли фақат шу дисбаланс тўғрисида маълумот беради. Бинобарин, иккала изланган дисбаланс бир вақтнинг ўзида электрон қурилма ёрдамида аниқланади, бу эса дастгоҳининг юқори унум билан ишлashingни таъминлайди.  $\bar{D}_1$  ни  $\bar{D}_2$  лар аниқлангандан сўнг оператор роторни тўғрилаш текисликларидан, одатда, материалдан олиб ташлаш усули билан мувозанатлайди (6.4- § га қаранг).

**Автоматик мувозанатлаш.** Агар мувозанатлашнинг иккала босқичи — мувозанатланмаганликни ўлчаш ҳам, уни йўқотиш ҳам операторнинг иштирокисиз амалга ошса, бундай динамик мувозанатлаш дастгоҳи автоматик дастгоҳ дейилади. Автоматик мувозанатлашнинг иккита усули бўлиши мумкин: иккана босқич кетма-кет бажариладиган узлукли (дискрет) усул, бунда иккинчи босқич ротор тўхтаб турганида амалга оширади; узлуксиз усул, бунда



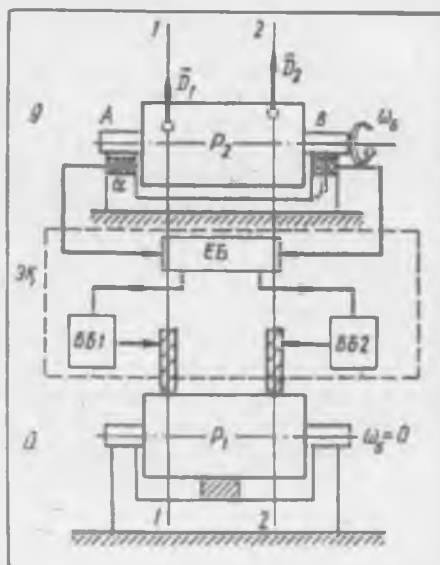
6.17- расм

Икката босқич вақт буйича бирлаштирилган бұлади ва бутун мувозанатлаш жараенінда ротор тұхтатилмайды.

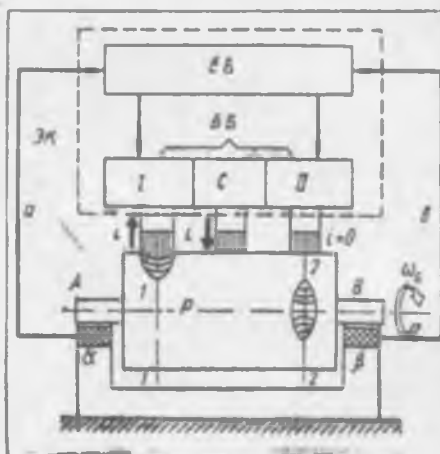
Мувозанатланмаганлықни икки усулда — тұғрилаш текисликларига құшимча тұғриловчи массалар  $m_{11}$  ва  $m_{12}$  ни үрнатыш ёки уларни олиб ташлаш йүли билан бартараф этиш мүмкін. Құшимча тұғриловчи массалар үрнатыш билан ишлайдиган автоматик мувозанатлаш дастгоҳлари юпқа деворли роторларни мувозанатлаш учун зарурдир.

Парма ёрдамыда роторда текисликтер очиши ёки фреза ёрдамыда ариқалар ҳосыл қылиш, шуннингдес башқа воситаларни құлаш йүли билан материалидан маътум қисмими олиб ташлаш усулы көнг тарқалған. Ушбу усулдан фойдалануучы дастгоҳлар күйінде баен қылғынади.

Узлукты тарзда мувозанатловчи автоматик дастгоҳ одатта иккита агрегат: мувозанатланмаганлықни үтчовчи  $\bar{Y}$  ва йүкотувчи  $\bar{A}$  агрегаттардан ташкил болған (б. 18- расм). Бу агрегаттар электрон қурылма  $\mathcal{E}K$  орқали ұзаро боғланған. Ротор  $P_1$  нинг мувозанатланмаганлыги ҳақидағи маълумоттар  $A$  ва  $B$  құзғалмас сезгир таянчлардаги  $\alpha$  ва  $\beta$  датчиклардан  $\mathcal{E}K$  га берилади. Ушбу маълумоттар ечүүчи блок  $EB$  да тұғрилаш текисликтери 1-1 ва 2-2 дагы  $D_1$  ва  $D_2$  дисбалансларга эквивалент бұлған сигналларга айлантирилади. Сигналлар тұғрилаш текисликтердеги дисбалансларни бартараф қылувчи асборбларни башқаруучы  $BB1$  ва  $BB2$  блокларга боради. Бирок келген сигналлар ҳозирча улардагы хотираларда сақланып тұрады, чунки бу вақтда материалининг бир қисмими олиб ташлаш йүли билан олдинги  $P_1$  роторнинг дисбаланслары йүктеліләттеган бұлады. Бу вақтда мувозанатланыётган  $P_1$  ротор билан  $\mathcal{E}K$  орасыда өч қандай қайтар алоқа мавжуд бўлмайди.



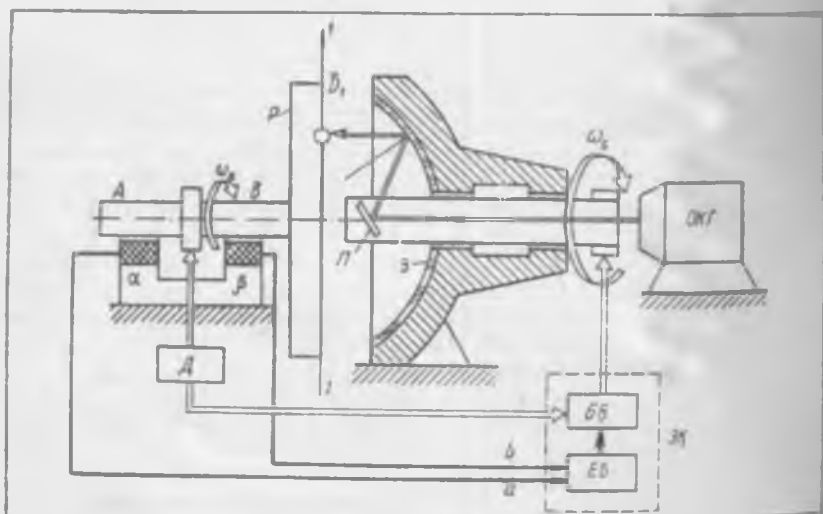
6.18- расм



6.19- расм

ди. Мувозанатланиб бўлгандан сўнг  $P_1$  ротор  $I$  агрегатдан олинади ўнинг ўрнига  $P_2$  ротор автоматик тарзда ўтади. Уни мувозанатлаш учун  $ББ1$  ва  $ББ2$  хотираларидан  $P_2$  роторнинг дисбалансларини йўқотувчи асборбларни бошқарадиган навбатдаги импульслар чақирилади. Айни вақтда  $\mathcal{Y}$  агрегатга  $P_1$  ротор ўрнига  $P_3$  ротор узатилади ва жараён такрорланади.

Узлуксиз мувозанатлаш усулiga нисбатан қўйиладиган асосий таъаб шуки, мувозанатланаётган ротор билан электрон қурнма орасида бузилмайдиган қайтар алоқа бўлиши керак. Ана шундай мувозанатлашга мисол қилиб анодли эриш принципи асосида ишлайдиган электрокимёвий мувозанатлашни кўрсатиш мумкин; бу усул таркибий кисмлари электролит таъсирини сезмандиган металл роторлар учунгина ярайди. Ана шундай автоматик дастгоҳининг схемаси 6.19- расмда кўрсатилган [8; 6 =  $m$ .]. Роторнинг материалидан олиб ташлаш жараёнини бошқарадиган  $ББ$  блок бир-биридан электр жиҳатидан изоляцияланган учта соплоси бўлган коллектордан иборат бўлиб, соплолардан роторга узуксиз равишда электролит оқиб туради. Марказий  $C$  соплодан келаетган электролит оқими умумий ток берувчи электрод бўлади; тўғрилаш текисликлари  $I-1$  ва  $2-2$  да жойлашган соплолар  $I$  ва  $II$  дан келувчи оқим токни қабул қилувчи электродлар вазифасини ўтайди. й токнинг қисқа муддатли уланишлари роторнинг «оғир жойлари» соплолар  $I$  ва  $II$  тагидан ўтган вақтда содир бўлади. Ушбу импульсларнинг уланишига командалар сигналлар таъсирида ечувчи  $ЕБ$  блокда ҳосил бўлади; ушбу сигналлар махсус  $\alpha$  ва  $\beta$  дагчиклардан келади ҳамда қўзғалмас сезгир  $A$  ва  $B$  таянчлар реакцияларининг қийматига боғлиқ бўлади. й токнинг ротордан кетаётган қисқа импульстари ўнинг юза-



6.20- расм

сининг керакли жойида (түғрилаш текисликлари 1-1 ва 2-2 да) метални эртади. Шундай қилиб, мувозанатлаш жараёнида ротор ЭК нинг қайтар алоқа йўлари *a* ва *b* орқали ўзининг аста-секин йўқоти-лаётган мувозанатланмаганинги ҳақида узлуксиз хабар бериб туради.

Исталган материалдан тайёрланган роторнинг танасидан түғриловчи массаларни олиб ташлаш учун лазер ёрдамида мувозанатлашдан фойдаланилади [8; 6- т.] Кувватли оптик квант генераторларининг пайдо бўлиши ва ишлаб чиқилишин муносабати билан ушбу усулдан фойдаланиш мумкин бўлди. Иш унумини ошириш мақсадида узлуксиз таъсири зувлаб чиқиришни таъминлантиришадиги роторнинг «оғир шукраларига» лазер нурларининг синхрон тарзда йўналишини таъминловчи оптик система ишлаб чиқилди. Бу тоғ, масалан, принципиал схемаси 6.20-расмда келтирилган ЛБС. З типидаги лазерни автоматик мувозанатлаш дастгоҳида амалга оширилди. Мувозанатланадиган ротор Р қўзгалмас сезгир *A* ва *B* таянчларга ўрнатилиб, двигатель *D* ёрдамида айлантириллади. Оптик *P* призмали ғовак шпинделни ротор билан синхрон тарзда айланма ҳаракатга келтирадиган бошқариш блоки *BB* га механик сигнал ана шу двигателнинг ўзидан берилади. Таянчлардаги  $\alpha$  ва  $\beta$  датчикларининг сигналлари ечувчи блок *EB* да фазаловчи импульсга айлантириллади, бу импульс ҳам оптик *P* призманинг *R* роторга нисбатан талаб қилинган ҳолатни эгаллашини таъминлайдиган бошқариш блоки *BB* га юборилади. Оптик квант генератори *OKG* дан чиқаётган нур ғовак шпиндель орқали ўтиб, айланадиган призма *P* дан ва қўзгалмас сферик кўзгу *K* дан қайтади-да, роторнинг түғрилаш текислиги 1-1 даги «оғир жойида» тўпланади. Бутун мувозанатлаш жараёнида нур ана шу жойдан ротор танасининг мувозанатланмаган қисмини олиб ташлаб дисбаланс  $\bar{D}_1$  ни камайтира боради. Айни пайтда лазер нурининг энергияси ҳам автоматик тарзда камая боради.

Мувозанатловчи автоматик қурилмалар фақат мувозанатлаш дастгоҳларидагина эмас, балки и бирор сабабга кўра роторнинг мувозанати бузилган вақтда роторни машина установкаларнида ҳам қўлланилади. Масалан, мана шундай агрегатнинг ротори валига ичидан түғриловчи массалар (шарлар, ҳалқалар ва ҳоказо) эркин жойлашган гардиш кўришишидаги автоматик компенсатор бикр қилиб маҳкамланади [8; 6- т.]. Ушбу массалар ротор критик тезликдан катта тезлик билан айланадиган вақтда гардишга нисбатан ўз-ӯзидан ўрнашади ва бу билан роторнинг мувозанат ҳолатини турғун тарзда таъминлайди.

## 7- боб

### МЕХАНИЗМ ВА МАШИНАЛАРДА ИШҚАЛАНИШ

Машина ва механизmlар ишлатганда механик энергиянинг камайишига олиб келувчи ҳодиса содир бўлади. Бу ҳодиса ишқаланиш деб аталади. Жаҳон энергетика майданинг 33% га яқин қисми ишқаланиш билан боғлиқ бўлган фойдасиз ишга сарф бўлиши хисоблаб чиқилган. Табиники, бу истрофи мумкин қадар камайтишади, яъни ишқаланиш кучларини камайтириш зарур. Тезорар машина ва механизmlар учун бундай вазифа янада долларб вазифага айланадиган. Ишқаланиш ҳодисасининг физик асослари, ишқаланишини ҳисобга олган ҳолда механизмни кучга хисоблаш, механизмнинг тежамкорлигини унинг фойдали иш коэффициенти орқали баҳолаш массалалари ушбу бобда қисқача беён қилинади.

## 7.1- §. Ташқи ишқаланишнинг турлари ва хусусиятлари

Ишқаланиш ҳодисасининг физик асосларини тадқиқ этишда ташқи ва ички ишқаланишлар фарқ қилинади. Ташқи ишқаланиш деб, юзаларининг уринниш зонасида икки жисм орасида вужудга келадиган ва энергиянинг камайиши билан кечувчи нисбий ҳаракатга бўлган қаршиликка айтилади. Ички ишқаланиш деб, қаттиқ, суюқ ва газсизмон жисмлар деформацияланганда уларда юз берадиган ҳамда механик энергиянинг қайтмас тарзда камайишига олиб келадиган жараёнларга айтилади.

Ташқи куч таъсирида бир жисм бошқа бир жисм юзаси бўйлаб сурълганида юзага келадиган ва ушбу жисмлар оралғандаги умумий чеңгарага тангенциал тарзда йўналган қаршилик кучи ишқаланиш кутичидейлади.

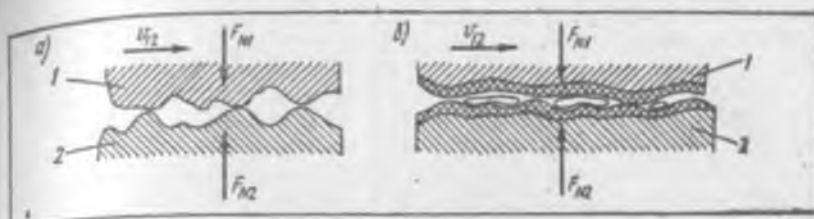
Ишқаланиш кучларини ва ейилиш тезлигини камайтириш учун ишқаланувчи юзаларга киритиладиган материал мойловчи материал дейилади. Ишқаланувчи юзага мойловчи материал суртиш мойлашдеб аталади; мойловчи материал таъсирида икки юза орасидаги ишқаланиш кучининг ва (ёки) ейилиш тезлигининг камайиши мойланиш дейилади.

Ишқаланувчи юзаларнинг ҳолатига кўра ишқаланиш икки хил бўлади: мойловчи материалсиз ишқаланиш (қуруқлайнин ишқаланиш) ва мойловчи материал орқали ишқаланиш.

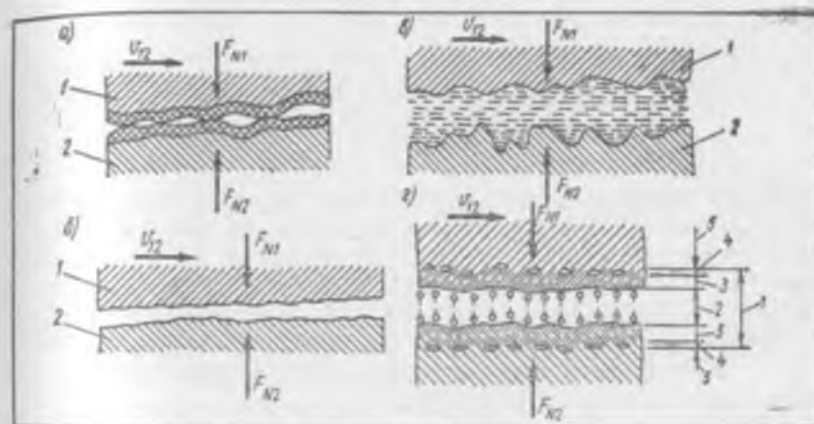
Мойловчи материалсиз ишқаланиш деб, қаттиқ жисмлар 1 ва 2 ишқаланувчи юзалари орасида ҳеч қандай мойловчи модда бўлмагандаги ишқаланишга айтилади (7.1-расм, а).

Мойловчи материал орқали ишқаланиш деб, қаттиқ жисмлар 1 ва 2 нинг ишқаланувчи юзалари орасига мойловчи материал киритилгандаги ишқаланишга айтилади (7.1-расм, б).

Мойлашнинг қўйидаги турлари мавжуд: қаттиқ мой билан мойлаш, бунда ишқаланувчи деталлар 1 ва 2 нинг юзаларини бир-биридан улар орасига киритилган қаттиқ мойловчи материал ажратиб туради (7.2-расм, а); суюқ мой билан мойлаш, бунда деталлар 1 ва 2 нинг ишқаланувчи юзалари улар орасига киритилгап суюқ мойловчи материал туфайли бир-биридан ажралиб туради (7.2-расм, б); газсизмон мой билан мойлаш — бунда деталлар 1 ва 2 орасига киритилган газсизмон мойловчи материал уларнинг юзаларини бир-биридан ажратиб туради (7.2-расм, в); ярим суюқ мой билан мойлаш, бунда деталлар қисман суюқ мой билан мойланади; чегаравий мойлаш, бунда бир-бирига нисбатан ҳаракатланувчи юзалар орасидаги ишқаланиш ва уларнинг ейилиши юзалар хусусиятига ҳамда мойловчи материалнинг ҳажмий хоссаларидан фарқ қиласидиган хоссаларига боғлиқ бўлади (7.2-расм, г). Оралиқ қатлам 1 фрикцион жуфтликнинг асосий материаллари 5 орасидаги учинчи жисм ҳисобланади. У шиммитган (адсорбланган) қатлам 2 дан, оксидлар ёки бошқа химиявий бирикмалар пардаси 3 дан ва асосий материалнинг бузилган қатлами 4 дан ташкил топади. Суюқликнинг қалинлиги 0,1 мкм бўлганда унинг хоссалари ҳажмий хоссаларидан фарқ қиласади. Булардан ташқари, мойлашнинг қўйидаги турлари ҳам бор: гидростатик (газостатик),



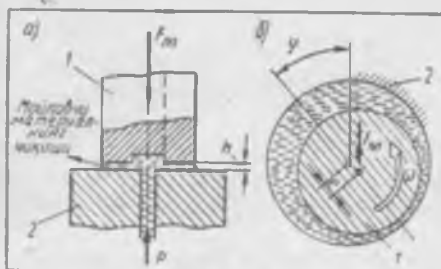
7.1- расм



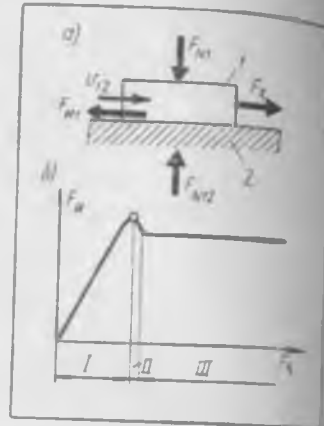
7.2- расм

бунда бир-бирига нисбатан ҳаракатта ёки тинч ҳолатта бұлған деталлар 1 ва 2 юзаларининг тұла ажралиши ишқаланувчи юзалари орасидаги  $h$  тирқишига ташқы  $\rho$  босым таъсирида суюқлик (газ) бериліши натижасыда амалға ошады (7.3-расм, а); гидродинамик (газодинамика), бунда ишқаланувчи юзалар 1 ва 2 ның тұла ажралишини улар бир-бирига нисбатан ҳаракеттәнгандан суюқлик қатломыда үз-үзидан пайдало бұладыган бөсім таъминлады (7.3-расм, б); эластогидродинамик, бунда иккі юзде орасидаги ишқаланиш хуsusияти ва суюқ мойловчи материал пардасининг қалынліги жисмлар материалининг эластичлік хоссасарыга ҳамда ишқаланишда иштирок етувчи материаллар зүрикүшининг үз-үзидан камайышынга, уларнинг ейилувчанлығига, қолдик эластичлігиге ва қайтмас қолдик деформацияланишына боелиқдір.

Ҳаракатдаги ишқаланишдан (7.4-расм, а) оддин жисмлар 1 ва 2 ның тинч ҳолатдаги ишқаланиши, яғын иккі жисмнинг дастлабки ишсебі микросылжишидеги ишқаланиш (7.4-расм, б) дагы I зона) ва уларнинг тинч ҳолатдан (II зона) сирпанишга үтиши (III зона) содир бұлады. Дастлабки сиңжиш шундай масоғата тенгкі, бунда тинч ҳолатдаги ишқаланиш кучи  $F_{T\cdot n}$  нолдан қандайдыр энг юқори қийматига ча ортади (7.4-расм, б).



7.3- расч



7.4- расч

Бундай микросилжишлар тұла сиілжіштегі қараганда анча кам, яғни  $0,1 \dots 1,0$  мкм бўлиб, айрим ҳолларда қайтмас булиши ҳам мумкин. Чекли қийматидан оз бўлса-да ошиб кетиши ҳаракат вужудга келишига сабаб бўладиган тиңч ҳолатдаги ишқаланиш кучи тиңч ҳолатдаги өнг катта ишқаланиш кучи дейилади. Йкки жисмнинг тиңч ҳолатдаги энг катта ишқаланиш кучи  $F_{t,i}$  нинг жисмларни бир-бирига сиқиб турувчи ва ишқаланувчи юзаларга нисбатан нормал бўлган  $F_{N12}$  кучга нисбати илашиш коэффициенти  $f_{t,i}$  дейилади.

Кинематик аломатларига кура ҳаракатдаги ишқаланишининг қуйидаги турлари бор: сирпанишдаги ишқаланиш, думалашдаги ишқаланиш, айланышдаги ишқаланиш, думалаб сирпанишдаги ишқаланиш ва титраб силжишдаги ишқаланиш.

Ишқаланиш жараёнлари бир-бирига тегиб ишловчи жисмлар материалларининг ўзаро молекуляр таъсирин ташқи мухит (оксидлар, пардалар, мобілар) таъсирини ҳисобга олган ҳолда баҳолашга имкон берувчи нусхаларда (моделларда) ўрнатилади. Дастрлабки ишлаб чиқилган механик илашиш, молекуляр тортишлар, пайвандланиш, қырқилиш ва ботиб кириш назариялари ишқаланишининг энг күп тарқалган молекуляр-механик назарияснда анчагина ривожлантирилди. Ушбу назарияга кўра, ишқаланиш жараёни жисмларнинг ажралыш чегарасидагина эмас, балки физик-механик хоссаларни жисм ҳажмидаги материаллар хоссаларидан фарқ қиласидиган сиртқи қатламларининг қандайдир ҳажмида ҳам содир бўлади. Бу ҳодиса сиртқи қатламларнинг деформацияланиши, температуранинг ўзгариши, шимилигтан сув ёки газ буғлари қатламларининг пайдо бўлиши, ташқи мухит оксидларининг, атомларининг ёки молекулаларнинг пардалари ҳосил бўлиши шу кабилар билан боғлиқ.

Сирпангандаги ишқаланиш коэффициенти  $f_n$  нинг қиймати ҳақидаги умумий тасаввурни бундай ишқаланишининг ҳар хил турлари учун тажриба йўли билан аниқланған маълумотлар беради. Бу маълумотлар жуда текис ва силлиқ юзаларнинг мой ва оксидлар бўлмагандаги иш-

қаланишида 0,8 . . . 6,0 га; оксидланган юзаларнинг ишқаланишида 0,4 . . . 0,8 га; юзада мономолекуляр мой қатлами бўлгандаги чегаралийи ишқаланишида 0,2 . . . 0,6 га; кутбий молекулаларнинг мультимолекуляр қатлами бўлгандаги чегаравий ишқаланишида 0,1 . . . 0,4 га; кутбий бўлмаган молекулалар қатлами бўлгандаги гидродинамик ишқаланишида 0,008 . . . 0,02 га; суюқ-кристалл ҳажмий фаза бўлгандаги гидродинамик ишқаланишида 0,0001 . . . 0,001 га тенг.

Ҳар хил ишқаланиш билан турли тартибда ишловчи механизмларни чисоблаш учун ишқаланиш кучининг ишқаланувчи юзаларнинг нисбий ҳаракатланиш тезлиги  $v_{\text{ср}} \text{ га}$  боғлиқлиги муҳим аҳамиятга эга.

Тажриба натижаларини умумлаштириш у ёки бу шарт-шароитлар учун қўйидаги муҳим боғлиқликларни қабул қилиш имконини беради

қуруқлайнин ишқаланиш кучи  $F_n$  сирпаниш тезлиги  $v_{\text{ср}} = x \text{ га}$  борлиқ бўлмайди (7.5- расм, а):

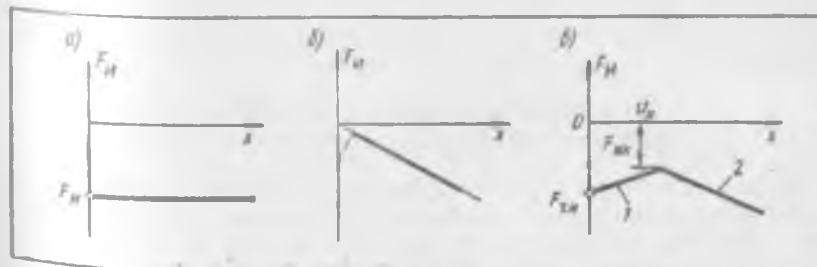
$$F_n = f_n F_H;$$

қовушоқ ишқаланиш кучи  $F_n$  сирпаниш тезлиги  $x$  билан чизиқли борлиқдир (7.5- расм, б):

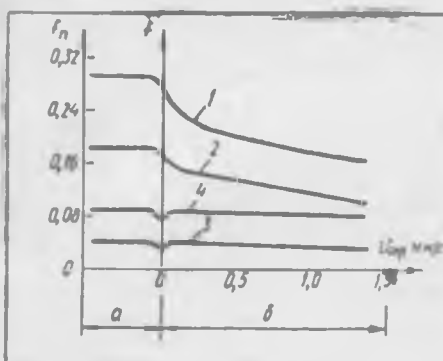
$$F_n = kx;$$

қуруқлайнин ишқаланиш кучи  $F_n$  сирпаниш тезлиги  $x$  билан чизиқли боғланган, бироқ чегаравий тезлик  $v_n \text{ га}$  нисбатан пасаювчи (1) ва ошиб борувчи (2) характеристика шоҳобчаларига эга (7.5- расм, в).

Ҳаракат тезлиги ошиши билан ишқаланиш кучининг кескин камайиши, одатда, сизжиш тезлиги кичик бўлган зонада кузатилади. Бу, масалан, технологик жиҳозлар учун хосдир (суппортларнинг йўналтирувчиларда суритиши, автооператорлар ва роботларнинг керакли ҳолатларни оғаллаши). Ишқаланиш кучларининг кескин пасаювчи тезлик хусусиятида турғунмас ҳаракатлар, ўзига хос нотекис ҳаракатлар кузатилади. Бунинг оқибатида жиҳознинг узатишлари нотекис бўлади, ишлов бериш аниқлиги пасаяди, ҳолатларни эгаллаш аниқлиги камаяди. Шу сабабли жиҳознинг иш унуми камаяди, йўналтирувчилар ва асборларнинг ейилиши ортади, дастгоҳларда иштанган деталлар юзаларнинг сифати ёмонлашади, юритиш механизмларига қўшимча динамик юклар тушади.



7.5- расм



7.6- расм

қаланиш коэффициенти кичрайтирилади;

намлика чидамлы (гидростатик) мойлардан фойдаланилади;

сирпаниш таянчлари ўрнига думалаш йўналтирувчилари қўлланилади.

Материалнинг ички силжишига энергия сарфи ва ички ишқаланишдағи ички ҳажми бўйича иссиқлик ажralиши унинг демферлаш хусусиятига ёки ютиш коэффициентига кўра баҳоланади.

Ютиш коэффициенти  $\psi$  (ёки нисбий гистерезис) деб, гармоник тебранишнинг бир даврида сочиладиган энергия  $W$  нинг энг катта эластик энергия  $U$  га нисбатига айтилади:

$$\psi = W/U.$$

Металлар учун ички ишқаланишдаги ютиш коэффициенти жуда кичик бўлади (ҳар хил маркали пулатлар учун 0,01 — 0,02 атрофиди) ва металл бўғинларни ҳисоблашда ички ишқаланиш одатда ҳисобга олинмайди. Бироқ юқори молекуляр материаллар (масалан, резина ва пластмассалар) нинг ютиш коэффициенти 0,1 — 1,0 атрофина, яъни металларникуига қараганда деярли 100 марта катта бўлади. Шу сабабли резина ва пластмассалардан ясаладиган деталларни ҳисоблашда материалдаги ички ишқаланишга бўладиган истрофларни ҳисобга олиш зарур.

Қаттиқ материаллардаги ички ишқаланишдан асосан зарб ва силкинишларда пайдо бўладиган шовқинни пасайтириш учун (бу мақсадда металл материаллар ўрнига пластмасса ва композицион материаллар ишлатилади), резонанс яқинидаги тебранишларда конструкцияларда вужудга келадиган ўриқишни камайтириш учун фойдаланилади.

## 7.2- §. Ишқаланишни ҳисобга олган ҳолда кинематик жуфтликлардаги кучлар таъсирини ҳисоблаш

5-бобда кинематик жуфтликлардаги ишқаланишни ҳисобга олмаган ҳолда механизмларни кучга ҳисоблаш куриб чиқилди. Ишқаланиш таъсири этувчи кучларнинг катталиги ҳамда йўналишини ўзgartариб юборади. Назарий механика қондаларига мувофиқ, сирпаниб ишқаланиш мавжуд бўлганда иккита уринувчи жисмларнинг ўзаро таъсири кучи уларнинг

Паст тезлик билан силжишида нотекис ҳаракатланишнинг зарарти оқибатларини камайтириш учун турли усуллардан фойдаланилади. Куйидагилар кенг қўлланилади:

нормал босимни пасайтириш мақсадида юксизлангирнишдан (механик, пневматик, гидравтик ва ҳоказо) фойдаланилади;

фрикцион жуфтликларда чўян (7.6-расмдаги ёғри чизик 1) ва бронза (ёғри чизик 2) ўрнига фторопласт (чизик 3) ҳамда силтанишига қарши мой (ёғри чизик 4) ишлатган ҳолда иш-

көзінде түширилген умумий нормалдан ишқаланиш бурчагига оғади. Ишқаланиш бурчагининг тангенси сирпаниб ишқаланиш коеффициентінде тенгт

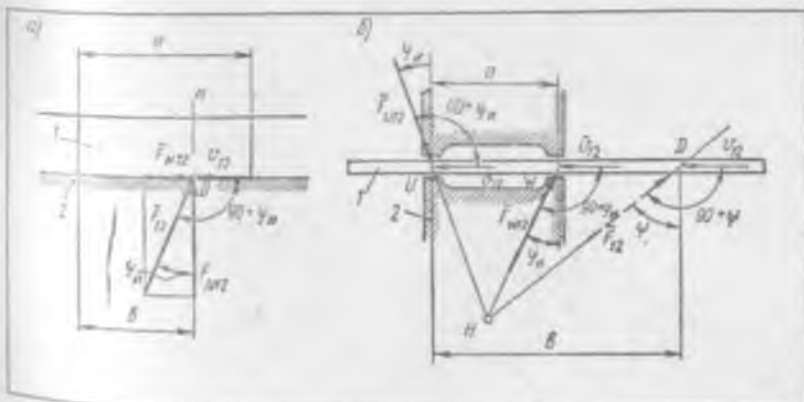
$$\operatorname{tg} \varphi_n = f_n. \quad (7.1)$$

Ушбу параграфда кинематик жуфтликлардаги кучлар таъсирі ишқалаништың ҳисобға олган ҳолда тақдил қылған.

Илгарилама жуфтликтің 2 даң бүғин 1 га құйилған  $\bar{F}_{12}$  күч нормалдан оған бўлади ва бүғин 1 нинг бүғин 2 га нисбатан ҳаракатидаги тезлик вектори  $\bar{v}_{12}$  билан  $90^\circ + \varphi_n$  ли үтмас бурчак ҳосил қиласди (7.7-расм, а). Расмдан кўринниб турғанидек, уримма ташкил этувчи  $\bar{F}_{n12}$  (ёки  $\bar{F}_{\text{ишқал}}_{12}$ ) — ишқаланиш кучи — нисбиң тезлик  $v_{12}$  га қарши йўналған; ишқаланишнинг тормозловчи таъсирі мана шунда намоён бўлади.  $\bar{F}_{12}$  күчнинг иккала ташкил этувчини ўзаро қуйидаги муносабат орқали боғланган:

$$F_{n12} = f_n F_{12}. \quad (7.2)$$

$\bar{F}_{12}$  күчнинг модули ва унинг құйилиш нүктасининг координатаси  $b$  (нуқта  $D$ ) номаълум бўлиб, кучга ҳисоблаш жараённанда аниқланади. Ҳамма айтилганлар бүғин 1 томонидан бүғин 2 га құйилған  $\bar{F}_{21}$  күчга ҳам (7.7-расм, а да кўрсатилмаган) тўлиғича тааллуқтидир, чунки Ньютоныннинг учинчи қонунига кўра  $\bar{F}_{21} = -\bar{F}_{12}$ . Агар ҳисоблаш натижасида  $b > a$  бўлиб чиқса (7.7-расм, б), бу ҳол бўғин 1 га битта эмас, балки модуль жиҳатидан номаълум бўлған иккита:  $\bar{F}_{U12}$  ва  $\bar{F}_{W12}$  реакциялар қўйилғанligини билдиради (5.1-§ га қаранг). Ишқаланиш туфайли улар нормалдан оғади ва нисбиң тезлик вектори  $v_{12}$  билан  $90^\circ + \varphi_n$  ли бурчак ҳосил қиласди. Ушбу реакцияларнинг таъсир чизиқлари  $H$  нүктада



7.7- расм

кесишади. Улар тенг таъсир этувчиси  $\bar{F}_{11}$  иннг таъсир чизиги  $H$  ва  $D$  нуқталардан ўтиши лозим.  $\bar{F}_{12}$  тенг таъсир этувчи  $v_{12}$  вектор билан  $90^\circ + \psi$  ли бурчак ҳосил қиласди.

Агар  $D$  ва  $W$  нуқталар устма-уст жойлашса, у ҳолда  $\psi = \varphi$ ,  $F_{U12} = 0$  бўлади. Бироқ  $D$  нуқта йўналтирувчи уясининг қиррасидан ( $W$  нуқтадан) қанча узоқда жойлашса,  $\psi$  бурчак шунча катта бўлади. Демак, уринма ташкил этувчи  $F_{m12} = F_{12} \sin \psi$  орқали баҳоланадиги ишқаланишнинг йиғинди тормозловчи таъсири илгарилама жуфтликда анча катта бўлиши ва  $D$  нуқта  $W$  нуқтадан қанча узоқда жойлашса, бу таъсир шунча катта бўлиши мумкин. Шу нарса ҳам равшанки, а ўтчам қанча кичик бўлса,  $H$  нуқта уя ўқига шунча яқин жойлашади,  $\psi$  бурчак ҳам шунча катта бўлади, яъни илгарилама жуфтликда ишқаланиш кучи шу қадар катта бўлади.  $\psi$  бурчак  $\varphi_m$  бурчакдан анча катта бўлиши мумкин. Илгарилама жуфтликни лойиҳалашда буларнинг барини ҳисобга олиш лозим.

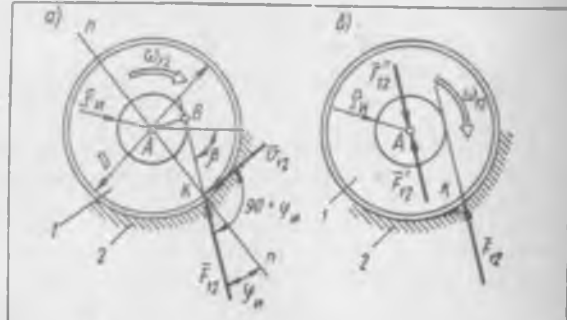
*Айланма жуфтликда* (7.8-расм, а)  $\bar{F}_{12} = -\bar{F}_{21}$  ўзаро таъсир кучлари (7.8-расмда  $\bar{F}_{21}$  куч кўрсатилмаган) ҳам  $n - n'$  нормалдан оғади, шу сабабли улар шарнир марказидан эмас, балки марказни шарнир марказида ётувчи айланага уринма бўйлаб ўтади. Ушбу айланан билан чегараланган доира ишқаланиш доираси дейилади. Унинг радиуси  $r_m = (D/2) \sin \varphi_m$  га тенг, бунда  $D$  —валнинг (шарнир ўқининг) диаметри. Ишқаланиш бурчаги  $\varphi_m$  одатда  $6 - 7^\circ$  дан ошмайди, шу сабабли сіл  $\varphi_m \approx \operatorname{tg} \varphi_m = f_m$ . Шунинг учун тақрибан қўйидагича олиш мумкин:

$$r_m = (D/2) f_m . \quad (7.3)$$

$\bar{F}_{12}$  кучнинг модули ҳамда  $K$  ва  $B$  нуқталарнинг ҳолати, бинобарин  $\bar{F}_{12}$  куч таъсир чизигининг  $\beta$  бурчак билан мувофиқлаштириладиган йўналиши иомаълум бўлиб, кучга ҳисоблаш йўли билан аниқланади.

$\bar{F}_{12}$  кучнинг таъсирини (7.8-расм, а) шарнир марказига қўйилган ва  $\bar{F}_{12}$  га тенг бўлган  $\bar{F}_{12}'$  куч ҳамда  $[\bar{F}_{12}, \bar{F}_{12}']$  кучлар жуфтлигининг (7.8-расм, б) биргаликдаги таъсири билан алмаштириш мумкин.  $[\bar{F}_{12},$

7.8-расм



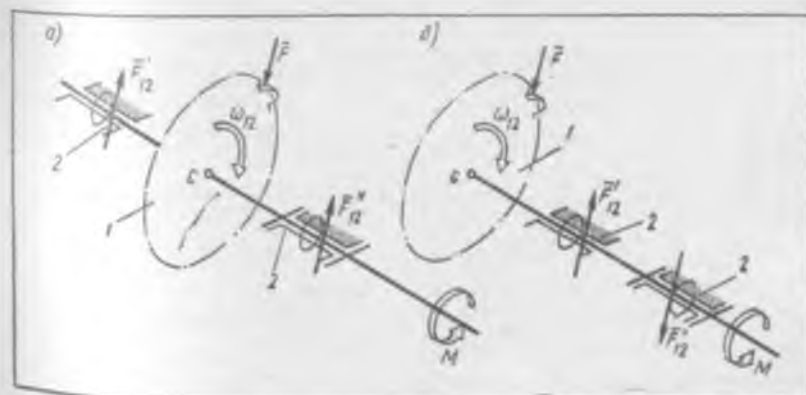
$F'_{12}$  күчлар жуфтлігінің таъсіри йұналиши бүғин 1 бүғин 2 га инс-  
бетан алланадыган бурчак тезлігі  $\omega_{12}$  га қарама-қаршыдір. Шарнирдаги  
шашлашының тормозловчи таъсіри ана шунда нағыздана бұлады. Бүғин  
2 дән бүғин 1 га құйылған  $\bar{F}_{12}, \bar{F}'_{12}$  күчлар жуфтлігіни шарнирдаги  
ишқаланиш моменті деңгейттіктердің мөндеріндең атамасынан жаңа

$$M_{u12} = F_{12} r_u . \quad (7.4)$$

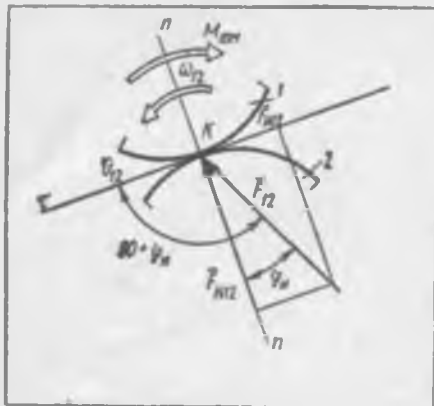
Равланкі,  $M_{u21} = -M_{u12}$ .

Айланма жуфтлік иккита подшипникда үрнатылған бұлиши мүмкін. Агар подшипниклар  $\bar{F}$  юкловчы күч таъсир этадын текисликнің тури-  
ли томонларыда жойлашса (7.9-расм, а), у ҳолда иккала подшипникнің  
реакциялары бир хил томонға йұналған бұлады ва уларнинг арифметик  
йиғиндисіндең тенг бұлған тенг таъсир этувчи  $\bar{F}_{12}$  күч билан алмаштири-  
лиши мүмкін. Ана шу тенг таъсир этувчи күчга күра иккала подшип-  
никдеги умумий ишқаланиш моменті ҳисоблаштырылады:  $M_{u12} = F_{12} r_u$ .

Агар подшипниклар юкловчы  $\bar{F}$  күч таъсир этадын текисликнің  
фақат бир томонда жойлашса (масалан, тишли ғиілдиракнің консолиди-  
жойлашувида), унда бошқа манзара күзге таштанады (7.9-расм, б). Бу  
ҳолда подшипникларнің реакциялары қарама-қаршы томонларға йұнал-  
ған бұлады ва ана шу реакцияларнің тенг таъсир этувчысы энді улар-  
нің алғырмасыдан (йиғиндисідан эмас) аниқланады, ҳолбеки икката под-  
шипникнің умумий ишқаланиш моменті, аввалғидей, ҳар бир подшип-  
никдеги ишқаланиш моментларнің арифметик йиғиндисіндең тенг бұла-  
дады. Бинобарлық, умумий ишқаланиш моментини тенг таъсир этувчи күч  
моменті орқали бағыттаған бұлмайды, чунки бу ҳолда ишқаланиш тұла ра-  
ришида ҳисобға олинмай қолады. Подшипниклар бир томонда жойлашга-  
нда ишқаланишни ҳисобға олған ҳолда бажарыладынан күчтегі ҳолда



7.9- расм



7.10- расм

күп ҳолларда жуда кам бұлади, шу сабаблы уни бундан бүен ҳисобға олмаймиз. Думалаш подшипниктерини ҳисобташда, оғир буюмларнинг ғалтаклар ва рөлъянгларда ҳаракатланишини тадқик этишда ва шунга үхашаш бошқа масалаларда думалаб ишқаланишини эътиборга олмасыл мүмкін әмас, албатта. Бироқ бундай масалалар махсус ҳисоблаш соҳасында мансуб бўлганларидан ўқув фани доирасидан четга чиқади.

Сирпаниб ишқаланиш олий кинематик жуфтликларда ҳам қуйин кинематик жуфтликлардаги каби намоён бўлади: бўғин 2 дан бўғин 1 га қўйилувчи  $\bar{F}_{12}$  куч нормалдан ишқаланиш бурчаги  $\Phi_n$  чалик оғади ва нисбий тезлик вектори  $v_{12}$  билан  $90^\circ + \Phi_n$  ли бурчак ҳосил қиласди.  $\Phi_n$  бурчак (7.1) тенгламага асосан ҳисобланади. Уринма ташкил этивчи  $F_{n12}$  — ишқаланиш кучи —  $v_{12}$  нисбий тезликка қарама-қаршы йўналган бўлади. Ишқаланишининг тормозловчи таъсири ана шунда намоён бўлади. Ўзаро таъсири кучлари  $\bar{F}_{12} = -\bar{F}_{21}$  нинг модули номаълум бўлади ва кучга ҳисоблаш йўли билан аниқланади.

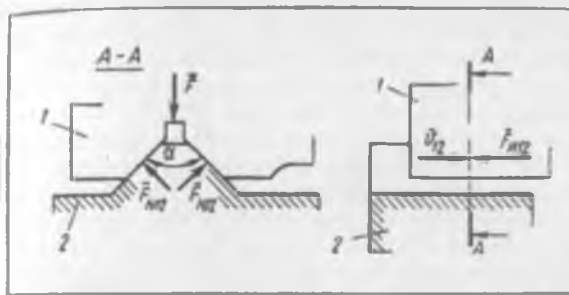
Агар олий жуфтликлардаги нисбий ҳаракат фақат битта соф думалашининг ўзидан иборат (яъни  $v_{12} = 0$ ) бўлса, у ҳолда  $F_{n12}$  ишқаланиш кучи нолга тенг бўлиши мутлақо шарт әмас. Бу ҳолда у тинч ҳолатдаги ишқаланиш кучи бўлади.

Тинч ҳолатдаги ишқаланиш кучи исталган кинематик жуфтлик учун уринили бўлган  $F_{t..n} \leq f_{t..n} F_N$  муносабатга бўйсунади. Бир оз хатолик билан  $f_{t..n} \approx f_n$  деб қабул қилиш мумкин\*. Шу сабабли тинч ҳолатда реакция кучи амалда оғадиган ишқаланиш бурчаги  $\Phi_{t..n}$  учун қўйидаги муносабат ўринлидир:  $\Phi_{t..n} \leq \Phi_n$ , бунда  $\Phi_n = \arctg f_n$  — сирпаниб ишқаланиш бурчаги. Агар тинч ҳолатда ишқаланиш сезилмаса, у ҳолда  $\Phi_{t..n} = 0$  ва реакция кучи уринниш сиртига нормал йўналган бўлади.

\* Қатъий гапиргандада, илашиш коэффициенти  $f_{t..n}$  сирпаниб ишқаланиш коэффициенти  $f_n$ дан бир оз катта бўлишини эслатиб ўтамиш.

амалга ошириш лозим, бунда иккита реакция кучларини уларнинг тенг таъсири этувчиси билан алмаштириб бўлмайди.

Олий кинематик жуфтлик (7.10-расм) текис механизмда иккита нисбий ҳаракатга имкон беради: 1 ва 2 бирбирига нисбатан сирпанишилари ( $v_{12}$ ) ва думалашлари ( $\omega_{12}$ ) мүмкін. Шу сабабли олий кинематик жуфтликлардаги ишқаланиш ҳам иккى хил — сирпаниб ишқаланиш ва думалаб ишқаланиш кўринишида намоён бўлади. Думалаб ишқаланиш нинг ( $M_d$ ) тормозловчи таъсири



7.11- расм

7.1- § да айтиб үтилганидек, ишқаланиш коэффициентлари күпгина сабабларга боғлиқ бўлиб, тажриба йули билан аниқланади. Шу сабабли справочникларда ишқаланиш коэффициентларининг ўртача қийматлари  $f_n$  келтирилали. Шунинг учун кучга ҳисоблаш натижалари ҳамма вақт бир оз хатто бўлади.

Шуни ҳам назарда тутиш керакки, ҳисоблаш формулаларига қўйиладиган ишқаланиш коэффициенти  $f_n$  нинг қиймати кинематик жуфтликнинг конструктив ечимига боғлиқ бўлади ва текис намуналарда физик тажриба ўтказиб олинган ўртача  $f_n$  қийматидан анча фарқ қилиши мумкин. Чунончи, агар илгарилама жуфтликнинг нисбий тезлик вектори  $v_{12}$  га перпендикуляр бўлган кесими пона кўришишида бўлса (масалан, токарлик дастгоҳининг кетинги бабкаси 1 ва станина йўналтирувчилари 2 дан ташкил топган кинематик жуфтлик; 7.11-расм), у ҳолда  $F_{n12} = f_n F$  формуласи  $f_n = f_n / \sin(\alpha/2)$  tenglamадан ҳисоблаб топилган ишқаланиш коэффициентининг қиймати қўйилади.

Айланма жуфтликда (7.3) tengla ага қўйиладиган  $f_n$  нинг ҳисоблаб топилган қиймати жуфтликни ташикил қилувчи бўғинларнинг ишга мослашганлик даражасига боғлиқ. Ишга мослашмаган бўғинлар учун  $f_n = 1.57 f_n$ , ишга мослашганлари учун  $f_n = 1.27 f_n$ . Винтли жуфтликда  $f_n$  билан  $f_n$  орасидаги нисбат резъба профилига кўра белгиланади (қаранг: Решетов Д. Н. Детали машин. М., 1974).

Шуни назарда тутиш лозимки, кинематик жуфтликларда кучларнинг таъсири тўғрисида юқорида баён қилинганларнинг ҳаммаси мойсиз ишқаланиш ҳамда чегаравий мойли ишқаланиш учун ўринлидир. Ишқаланиш суюқ мой орқали бўлганда эса унга кинематик жуфтликнинг тезлик тартиби сезиларлн таъсири кўрсатади.

### 7.3- § Ишқаланишини ҳисобга олган ҳолда механизмни кучга ҳисоблаш

Ишқаланишини назарда тутган ҳолда кучга ҳисоблашнинг умумий қоидалари ишқаланишини назарда тутмаган ҳолда ҳисоблашдагидекдири (5.1- § га қаранг). Буни шундай изоҳлаш мумкин: 7.2- § да баён қилин-

ган кинематик жуфтликлардаги күчтәр таъсирининг таҳлилтига асоган, ишқаланишнинг мавжудлыги кинематик жуфтликлардаги номаъумни сонини ўзгартирмайди. Бинобарин, ишқаланиш назарда тутилган тақдирда ҳам, Ассур структура группалари ўзининг *статик аниқланышы* сақлааб қолади. Шу сабабли күчтә ҳисоблаш (5.1) — (5.3) кинетостатика тенгламаларидан фойдаланган ҳолда структура группалари бўйича амалга оширилади. Бунинг учун ушбу тенгламаларга ишқаланиш күчлари ва ишқаланиш моментлари ҳам киритилиши лозим. Бироқ бу ҳолда кўпинча ҳисоблаш ишларин жуда мураккаблашиб кетади. Унинг мураккаблиги ни камайтириш учун И. И. Артоболевский *кетма-кет яқинлаштиришлар* усулидан фойдаланишини таклиф этди. Ушбу усул ёрдамида күчтә ҳисоблаш қандай амалга оширилишини кривошинг-ползуни меканизм мисолида кўрсатамиз (5.8-расмга қаранг).

Ишқаланишни назарда тутган ҳолда күчтә ҳисоблаш учун дастлабки берилган маълумотларга қўшимча равишда кинематик жуфтликлардаги ишқаланиш коэффициентлари  $f_{\alpha A}$ ,  $f_{\alpha B}$ ,  $f_{\alpha C}$ ,  $f_{\alpha 34}$  ни ҳам киритиш лозим. Бунинг устига, меканизмни кинематик ҳисоблашдан ҳамма кинематик жуфтликлардаги нисбий тезликлар, яъни  $\omega_{14}$ ,  $\omega_{21}$ ,  $\omega_{23}$ ,  $\omega_{34}$  ларнинг йўналишлари аниқланган бўлиши лозим.

Ишқаланишни эътиборга олмаган ҳолда, ёки биринчи яқинлаштириша, кривошинг-ползуни меканизмни күчтә ҳисоблаш амалга оширилиб бўлганингини (5.3-ға қаранг), бунинг натижасида ҳамма кинематик жуфтликлардаги ўзаро таъсири күчлари, яъни  $F_{14}$ ,  $F_{21}$ ,  $F_{23}$ ,  $F_{34}$  күчлар аниқланганлигини эслатиб ўтамиш.

Энди иккинчи яқинлаштиришни ҳисоблашни амалга оширамиз. Бунинг учун  $A$ ,  $B$  ва  $C$  шарнирларнинг берилган диаметларига кура улардаги ишқаланиш доиралари радиуслари  $r_{\alpha A} = (D_A/2)f_{\alpha A}$ ,  $r_{\alpha B} = -D_B/2f_{\alpha B}$ ,  $r_{\alpha C} = (D_C/2)f_{\alpha C}$  ни (7.3) тенглама, сўнгра ушбу шарнирлардаги ишқаланиш моментлари  $M_{\alpha 11} = F_{14}r_{\alpha A}$ ,  $M_{\alpha 21} = F_{21}r_{\alpha B}$ ,  $M_{\alpha 23} = F_{23}r_{\alpha C}$  ни (7.4) тенглама аниқлаймиз. Шунингдек, илгарилама жуфтлик 3-4 даги ишқаланиш кучини топамиш:  $F_{\alpha 34} = f_{\alpha 34}F_{\alpha 34}$ , бунда  $F_{\alpha 31} = F_{36}$ .

Иккинчи яқинлаштиришда ҳисоблаш биринчи яқинлаштиришда хисоблашда бўлган *тартибда* амалга оширилади. Бинобарин, илгаригидек, уни структура группаси 2-3 дан бошлигимиз (7.12-расм, а). Унинг бўғинларига маълум күчлар ва моментлар:  $F_2$ ,  $M_{\phi 2}$ ,  $\Phi_3$  ва ҳаракатлантирувчи күч  $F_3$  қўйилган. Бўғинлар 2 ва 3 га ҳам юқорида ҳисоблаб топилган ишқаланиш моменти  $M_{\alpha 21}$ , ишқаланиш кучи  $F_{21}$  ва  $C$  шарнирдаги ишқаланиш моментлари  $M_{\alpha 23}$  ва  $M_{\alpha 32} = -M_{\alpha 21}$  (7.12-расм, а) да кўрсатилмаган қўйилган. Ишқаланиш күчлари ва моментларни тегишли нисбий тезликларга қарама-қарши йўналган.  $F_{21}$  күчнинг модули ва йўналиши,  $F_{\alpha 34}$  нормал ташкил этувчининг модули ва унинг  $b'$  елкаси,  $C$  шарнирдаги  $F_{23} = -F_{32}$  ўзаро таъсири күчларининг модули ва йўналиши номаълум (7.12-расм, б).

Бүғинлар 2 ва 3 га құйилған күчтарнинг  $x$  үқига проекцияларының иегіндеси нолга теңгі:  $\sum_{2,3} x = 0$ .

Ейнітган ҳолда

$$F'_{21x} + \Phi_{2x} + F'_{3x} + \Phi_{3x} + F'_{34x} = 0. \quad (7.5)$$

Бу ерда  $F'_{34x} = F_{n34}$ . (7.5) теңгеламадан  $F'_{21x}$  ни аниқтаймиз. Бундан кейин келадиган ҳамма проекциялар ва моментлар теңгеламалари каби (7.5) теңгелама ҳам алгебраик күрниниша өзгертгендегіннің эслятиб ұтамыз. Шу сабаблы проекциялар ва моментларнинг сон қийматлари барча теңгеламаларға уларнинг шораларынша қатый риоя қилинган ҳолда құйилмоғи лозим.

Бүғин 3 га құйилған күчтарнинг  $x$  үқига проекцияси теңгеламасини тузамыз:  $\sum_{\text{3}} X = 0$

екін

$$F'_{32x} + F'_{3x} + \Phi_{3x} + F'_{34x} = 0. \quad (7.6)$$

бундан  $F'_{32x}$  ни аниқтаймиз.

7.12- расм

$F'_{23y}$  ташкил этувчиннинг проекциясини бүғин 2 учун тузилған  $\sum_{\text{2}} M_B = 0$  моментлар теңгеламасидан ( $B$  нүктеге нисбетан) аниқтаймиз:

$$M_B(F'_{23y} + M_B(\bar{F}_{23x}) + M_B(\bar{\Phi}_2) + M_{\phi_2} + M_{n21} + M_{n23} = 0. \quad (7.7)$$

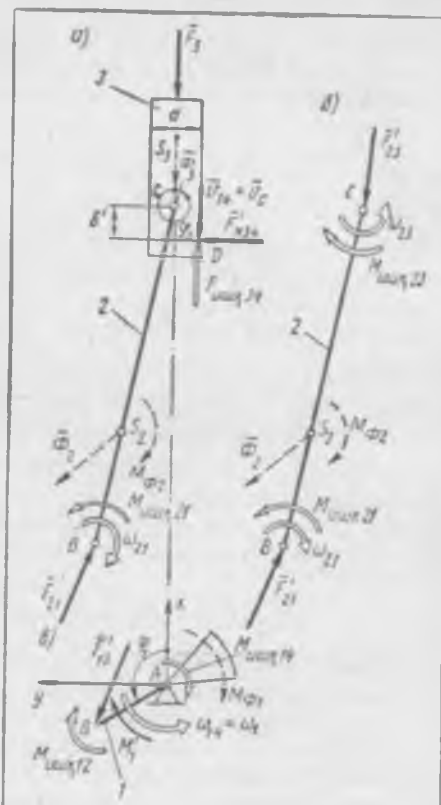
Изланаёттан проекция  $F'_{23y} = M_B(\bar{F}_{23x}) / (l_{BC} \cos \varphi_2)$ . (7.7) теңгеламада  $M_B(\bar{F}_{23x}) = -F'_{23x} l_{BC} \sin \varphi_2$ ,  $M_B(\bar{\Phi}_2) = \Phi_{2y} l_{BS2} \cos \varphi_2 - \Phi_{2x} l_{BS2} \sin \varphi_2$ .

Бүғин 2 га құйилған күчларнинг  $y$  үқига проекциясининиң иегіндеси нолға тең:  $\sum_{\text{2}} Y = 0$ . Шу сабаблы

$$F'_{21y} + F'_{23y} + \Phi_{2y} = 0, \quad (7.8)$$

бундан  $F'_{21y}$  ни аниқтаймиз.

$F_{n34}$  нормал ташкил этувчиннинг  $F'_{34y}$  проекциясини бүғин 3 га құйилған күчларнинг  $y$  үқига проекциялари теңгелмасы  $\sum_{\text{3}} Y = 0$  дан топамыз;



$$F'_{31y} + F'_{32y} = 0. \quad (7.9)$$

Бұғын 3 үчүн моментлар тенгламасини түзамина,  $\sum M_C = 0$ :

$$M_C(\bar{F}'_{n34}) + M_C(\bar{F}'_{n34}) + M_{n34} = 0, \quad (7.10)$$

бундан  $M_C(\bar{F}'_{n34})$  ни анықладб, сүнгра  $b'$  елкани топамиз.

Күчлар проекцияларига күра уларнинг  $F'_{21}$ ,  $F'_{23}$ ,  $F'_{34}$  модулариниң қамда  $\Phi'_{F21}$ ,  $\Phi'_{F23}$  бурчак координаталарини анықтайды (5.3-ға қаранг).

Бирламчи механизмни күчга ҳисоблашмыз (7.12-расм, ө). Уннан күзғалуучан бұғини 1 га қойыдаги күчлар ва моментлар құйылған анықланған  $\bar{F}'_{12} = -\bar{F}'_{21}$  күч; инерция күчларининг бөш моменти  $M_{\Phi 1}$ ; А ва В шарнирлардаги ишқаланиш моментлари  $M_{n14}$  ва  $M_{n12} = -M_{n21}$ . Фойдалы қаршилик моменти  $M'_1$ , шунингдек кинематик жуфтілік 1-4 дагы  $\bar{F}'_{14}$  реакциянинг модули ва Ыұналиши (7.12-расм, ө да күрсатылмаган) номаълум.

Фойдалы қаршилик моменти  $M'_1$  ни  $\sum M_A = 0$  тенгламадан ҳисоблаш топамиз:

$$M_A(\bar{F}'_{12}) + M'_1 + M_{\Phi 1} + M_{n12} + M_{n14} = 0. \quad (7.11)$$

$M'_1$  нинг қиймати ишқаланишни ҳисобға олмасдан биринчи яқынлаشتырышдан олинған  $M_1$  қийматидан кичик бұлади. Натижанинг шундай бўлиши равшан, чунки ишқаланиш бўлганда берилған юритувчи  $F$ , күч ишқаланиш бўлмагандан ўша күчнинг ўзи енгіб ўта оладиганидан кичикроқ бўлган фойдалы қаршилик кучини енгіб ўтади.

Стойка реакцияси  $\bar{F}'_{14}$  нинг проекцияларини  $\sum X = 0$ ,  $\sum Y = 0$  тенгламалардан топамиз:

$$F'_{14x} + F'_{12x} = 0; \quad (7.12)$$

$$F'_{14y} + F'_{12y} = 0, . \quad (7.13)$$

Сүнгра  $\bar{F}'_{14}$  күчнинг модулини ва уннан  $\Phi'_{F14}$  бурчак координатасини анықтайды.

Иккинчи яқынлаشتырышда күчга ҳисоблаш натижасыда кинематик жуфтіліктарга таъсир қилувчи  $\bar{F}'_{14}$ ,  $\bar{F}'_{21}$ ,  $\bar{F}'_{23}$ ,  $\bar{F}'_{n34}$  күчларнинг ва  $b'$  елкапнинг аниқ қийматлари ҳосил қилинди. Бунинг учун мөхияти (5.16) — (5.24) тенгламалар каби бўлган (7.5) — (7.13) тенгламалардан фойдаланилди.

Күчларнинг иккинчи яқынлаشتырышда ҳосил қилинган қийматларига күра шарнирлардаги ишқаланиш моментларини ва жуфтілік 3-4 дагы ишқаланиш кучини аниқлаш, сүнгра (7.5) — (7.13) тенгламаларга шаш тенгламалардан фойдаланып, учинчи яқынлаشتырыш бўйича ҳисоблаш мумкин. Натижада  $\bar{F}'_{14}$ ,  $\bar{F}'_{21}$ ,  $\bar{F}'_{23}$ ,  $\bar{F}'_{n34}$  ва  $b''$  ларнинг узил-кесил натижасига яқинроқ, аникроқ бўлган қийматларини ҳосил қилимиз.

Кетма-кет яқынлаштириш жараёнини талаб қыланаётган хисоблаш аниқтегиге зришгунга қадар давом эттириш мүмкін. Бирок тажриба иккиншіншіләштиришнинг ўзи ҳам етарлы эканлыгини исботлайди.

Кетма-кет яқынлаштиришлар усулини механизм ўз-ўзидан тормозланыш ҳолатидан үзоқ бұлғанда құллаш мүмкін. Бу ҳолда ечим түрі, ва аниқроқ бұлади. Ўз-ўзидан тормозланыш бұлғанда кетма-кет яқынлаштириш усули принцип жиһатидан яроқсиздір. Ўз-ўзидан тормозланыш ҳодисаси 7.4-§ да күриб чиқлади.

#### 7.4- §. Ишқаланишдаги энергия исрофи.

Механик фойдалы иш коэффициенті

Механизмға барқарорлашган тартиб цикли мобайнида юритувчи күчлар ва моментлар иши  $A_{\text{ю}}$  күрінішида берілдігін энергия фойдалы иш  $A_{\text{ф.к}}$  ни бажарып учун, яғни фойдалы қаршилик күчлари ва моментлар ишини бажарып учун, шүпшіндегі кинематик жуфтліктердаги ишқаланиш күчлариниң мағниттінің қаршилик күчини енгіш болғанда  $A_{\text{ю}}$  ишни бажарып учун сарфланади:  $A_{\text{ю}} = A_{\text{ф.к}} + A_{\text{н.к}}$ ,  $A_{\text{ф.к}}$  ва  $A_{\text{н.к}}$  ларнинг қийматлары ана шу тенгламаға ва кейинги тенгламаларға абсолютті катталиғи бүйічі құйылади.

$$\eta = \frac{A_{\text{ф.к}}}{A_{\text{ю}}} \quad (7.14)$$

муносабат механик фойдалы иш коэффициенті (ёки қисқача ФИК) деб аталади. Күрініб турибиди, ФИК машинаға кирилладын меканик энергияның қанча қисми машина бажарылған фойдалы ишга (масалан, маңсулотта технологик ишлов берішга, электр энергиясы ишлаб чыкарышга, юкни күтаришга ва ҳоказо) сарфланишини күрсатади.

$\xi = A_{\text{н.к}}/A_{\text{ю}}$  иисбат механик исрофлар коэффициенті деяниләди ва у машинаға кирилладын  $A_{\text{ю}}$  механик энергияның қанча қисми түрли хил ишқаланышлар мавжудліги туфайли пировард натижада иссиқлікка айланишини ва қанча қисми атроф-мағнитті тарқалиб исроф бұлышини күрсатади. Энергияның ишқаланыша исроф бұлышы мағаррардір, шу себабы ҳамиша  $\xi > 0$  бұлади. Исрофлар коэффициенті билан ФИК үртасыда яқын болғылқылар мавжуд:  $\xi = 1 - \eta$ . Энергияның тежаб-тергаб сарфлаш халқы хұжатыннанғ әнг муҳим вазифаларидан бири бұлған ҳөзірги шароитда ФИК ва исрофлар коэффициенті машиналар механизмларининг муҳим күрсаткышларидір.

(7.14) тенгламадаги цикл ичіда бажарыладын  $A_{\text{ю}}$  ва  $A_{\text{ф.к}}$  ишлар үрнігінде цикл давомидаги тегишли құвватларнинг үртаса қийматлариннан құйыш мүмкін:

$$\eta = P_{\text{ф.к}}/P_{\text{ю}} \quad (7.15)$$

Битта етакчи (индекси олд.) ва битта етакланувчи (иднекси кет.) валлары бұлған түрли узатыш механизмлары (тишли, тасмали ва ҳоказо) үчүн (7.15) тенглама құйыладын күрінішини олади:

$$\eta = \frac{M_{\text{кет}} \omega_{\text{кет}}}{M_{\text{олд}} \omega_{\text{олд}}} = \frac{M_{\text{кет}}}{M_{\text{олд}} U} \cdot$$

Агар барқарор ишиләтган механизмлардан фойдали юк олинса ( $A_{\text{бар}} = 0$ ), у ҳолда бундай тартиб «салт юриш» дейилади. Бунда  $\eta_{\text{см}} = 1$ ,  $\xi_{\text{см}} = 1$  эканлыгы күриниб турибди, чунки салт юриш вақтида механизмга киритиладиган энергиянинг ҳаммаси уннинг үзидаги истрофларни енгішгагина сарфланади. Бундан  $0 < \eta < 1$ ,  $1 > \xi > 0$  эканлығы келип чиқади.

ФИК ва истрофлар коэффициенти механизмнинг барқарор тартибда ҳаракатланыстағанда аниқланышын таъкидлаб үтамиз. Агар ҳаракат даврий равиша үзгариб тұрса, у ҳолда ФИК ва истрофлар коэффициенттери механизмнинг цикл ичидеги үртапча энергетик күрсаткычлары бұлади.

Одатда алоқида механизмларнинг ФИК тажриба үтказыб аниқланады ва справочникларда күрсатылади. Үзаро параллел ёки кетма-кет бириктирилген механизмлар системаларининг ФИК ни аниқлаш үчүн ҳисоблаш формулалари [1, 2, 3, 4] адабиётларда көлтирилған.

Алоқида механизмнинг, масалан, иккита понали механизмнинг (7.13-расм, а) ФИК қай тарзда ҳисоблаш үйли билан аниқланышын күриб қилемиз. Пона 1 га уни пастта силжитувчи  $F_1$  юритувчи күч құйилған бұлсın. Бунда пона 3 пружинаның күчини енгіз ҳолда үнгіга суріледи. Бу механизмнинг тұғры юриши бұлади. Механизмларнинг силжишн  $\Delta s_3 = \Delta s_1 + \Delta s_{21}$  векторлы мұносабат орқалы (7.13-расм, б) боғланған, бундан

$$\Delta s_3 = \Delta s_1 \operatorname{tg} \gamma. \quad (7.16)$$

Тұғры юришда пона 1 га,  $F_1$  юритувчи күчдан ташқары,  $F_{12}$  ва  $F_{13}$  реакция күчлары ҳам таъсир қиласы, улар ишқаланыш натижасыда  $\Delta s_{12}$  ва  $\Delta s_{13} = \Delta s_1$  нисбий силжишлар билан  $90^\circ + \varphi_n$  ли бурчак ҳосил қиласы. ФИК бүғинлар албатта бир текис ҳаракатланади, деган тахминнана асослани аниқланғанлығы сабаблы инерция күчлары нолға тенг деңгө олиннайды. ФИК ни аниқлашда бүғинларнинг оғырлық күчлары ҳам ҳисоблашылады.

Пона 1 га құйилған тенгламасы  $F_1 + F_{13} + F_{12} = 0$  га күра күч планини тузамиз (7.13-расм, б), буннинг үчүн синуслар теоремасынан фойдаланған ҳолда қуйидагини ёзамиз:

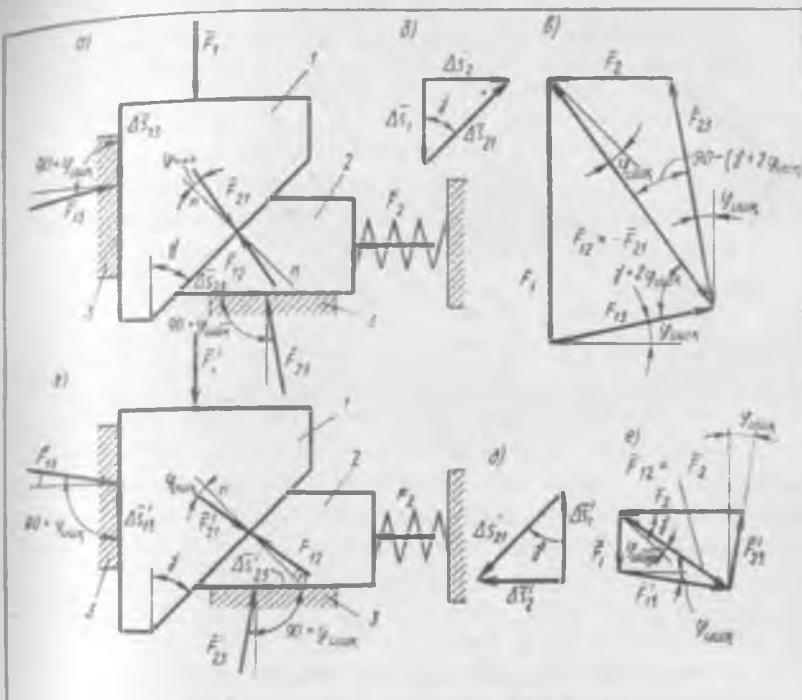
$$F_{13}/\sin(90^\circ - \varphi_n) = F_1/\sin(\gamma + 2\varphi_n),$$

бундан

$$F_{13} = F_1 \frac{\cos \varphi_n}{\sin(\gamma + 2\varphi_n)}. \quad (7.17)$$

Пона 2 га  $F_{21} + F_{23} + F_2 = 0$  тенгламадан келиб чиқадынан  $F_{21} = -F_{12}$  күч,  $F_2$  фойдали қаршиilik күчи  $F_{23}$  реакция күчи (7.13-расм, а) таъсир қиласы. Күчлар планидан (7.13-расм, б) синуслар теоремасынан асосан қуйидагини топамыз:

$$F_2 = F_{21} \frac{\cos(\gamma + 2\varphi_n)}{\cos \varphi_n}. \quad (7.18)$$



7.13- расм.

Тұғри юришда ФИК қүйидагиға тенгі

$$\eta_{\text{тү}} = F_2 \Delta s_2 / (F_1 \Delta s_1),$$

екі (7.16) — (7.18) тенгламадан фойдаланыб қүйидагини ҳосил қиласмыз

$$\eta_{\text{тү}} = \operatorname{tg} \gamma / \operatorname{tg} (\gamma + 2\varphi). \quad (7.19)$$

Сирпанувчи винтли жуфтлик ва червякшли тишли узатма учун ҳам ФИК айнан шундай ифодаланишини айтқы ұтамыз:

$$\eta = \operatorname{tg} \gamma / \operatorname{tg} (\gamma + \Phi_m).$$

Бунда  $\gamma$  — винттің екінші червяк үраларынннг күтарилиш бурчаги.

Тұғри юриш тугаган, поналар 1 ва 2 тұхтаган, сұнгра эса  $F_2$  күч таъсирида үзларынннг тескары (орқага) ҳаракаттарынн башлаган бўлсин. Буида энергия оқими ҳам ўз йўналишини ўзгартиради  $F_1$  күч юритувчи күчга,  $F_1'$  күч эса фойдалы қаршилик кучига айланып қолади (7.13-расм, e). Орқага юришдаги силжишлар учбурсаги 7.13-расм, d да кўрсатилган; ҳамма силжишларыннн йўналиши тескары томонга ўзгаради. Шунинг учун кинематик жуфтликлардаги ишқаланиш кучлари ҳам ўз

Йұналишини қарама-қарши томонға үзгартыради. Буни ҳисобға олған ҳолда орқага юришдеги күчлар планини тұзамыз (7.13-расм, е) Тенгламалардаги ишқаланиш бурчаклари олдида турған ишоралар ҳам тес-карига үзгариши кераклигини пайқаш қийин әмас.

Орқага юришдеги ФИК ни әзамиз:  $\eta_{\text{орк}} = F_2 \Delta S_1 (F_1 \Delta S_2)$ . Ушбу инфодан очиш учун күчга ҳисоблашын тақрорлаш шарт әмас.  $\eta_{\text{тө}}$  ни қуидеги анықлаш мүмкін.  $\eta_{\text{тө}}$ , га тескари бұлған катталик олинады [7.19] тенгламага қаранг] ва ишқаланиш бурчаги олдидағы ишора тес-карига үзгартылади, яғни

$$\eta_{\text{орк}} = \operatorname{tg}(\gamma - 2\varphi_n) \operatorname{tg} \gamma.$$

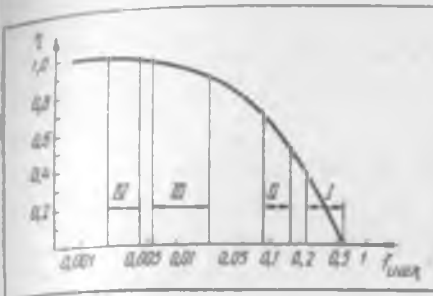
Агар механизм  $\gamma < 2\varphi_n$  бурчаклы қилиб ясалса, у ҳолда түғри юриш амалға ошириш мүмкін:  $F_1$  күч пона 1 ни пастира суради, пона 2 әса үнгі снажийди. Бироқ орқага юриш учун имконият бұлмайдыс агар  $\gamma < 2\varphi_n$  бұлса, пона 1 орқага юришда пона 2 билан стойканинг вертикаль деңгөри орасыда сиқылыб қолади, натижада  $F_1$  юритувчи күч қаңчалик катта бұлмасын, ҳатто пона 1 дан фойдалы  $F_1$  юк олиб ташланған тақдирда ҳам орқага юришни амалға ошира олмайды. Орқага юришда үз-үзидан тормозланиши вужудға келади. Агар  $F_1$  күчпен ҳам юқорига йұналтирган ҳолда уни юритувчи күчга аллантирилғанда әди, орқага юришга имкон туғылған бўларди. Бу ҳолда у пона 1 ни юқорига тортиб чиқарыб, орқага юришни амалға оширишида  $F_1$  юритувчи күчга ёрдам беради.

Орқага юришда механизмнинг үз-үзидан тормозланишидан понали бирикмаларда, шунингдек эксцентриклы қисқынчлар, винтли демкратлар ва бошқаларда фойдаланилади.

Агар  $\gamma$  бурчак  $2\varphi_n < \gamma < 90^\circ - 2\varphi_n$  оралығыда белгиланса, у ҳолда ҳам түғрига юришга, ҳам орқага юришга имконият яратылади. Түғрига юришда пона 1 га берилған энергиянинг бир қисмі орқага юришда үнга қайтарылади, энергиянинг қолған күп қисмі әса ишқалданишига ютилади. Понали механизмларнинг бундай хусусиятидан турлича ютувчи қурилмаларда, масалан, локомотив ва вагонларни автоматик тиражаш механизмларда фойдаланилади.

$\gamma > 90^\circ - 2\varphi_n$  бўлганда механизмнинг түғри юришига имкон бўлмайды. Бу ҳолда пона 2 пона 1 билан стойканинг горизонтал таянч текислиги орасыда қисилицы қолади;  $F_1$  юритувчи күч қаңчалик катта бұлмасын, ҳатто пона 2 дан  $F_1$  фойдалы юк олиб ташланған тақдирда ҳам механизмнинг түғри юришини вужудға келтира олмайды; түғри юриш чорида үз-үзидан тормозланиш бошланади. Бу ҳолда механизм мутлақо ишга яроқсиз бўлади ва татбиқ қилинмайди.

Үз-үзидан тормозланиш ҳолатидаги механизм учун ФИК физик мәнінің жоғотади, чунки механизм бунда құзғалмас бўлади ва күчлар ҳеч қандай иш бажармайды. Бироқ үз-үзидан тормозланишдаги ФИК нормал тарзда ҳисобласак,  $\eta_{\text{тө}} < 0$  ни ҳосил қиласмыз;  $\eta_{\text{тө}}$  абсолют



7.14- расм

тәкдірда механизм үз-үзидан тормозланмайды. Бундай идеал механизмда  $\gamma$  бурчакнинг ҳамма диапозонида ( $0$  ва  $90^\circ$  дан ташқари)  $\eta_{\text{т.}} = \eta_{\text{опт.}} = 1$  бўлади.

Охирида (7.19) тенгламани кўриб чиқамиз. Ундан маълум бўладики,  $\Phi_{\text{ИК}}$  ишқаланиш бурчагининг қийматини белгилабдиган  $f_{\text{И}}$  ишқаланиш коэффициенти ФИК га катта таъсир кўрсатади. 7.14-расмда ушбу боғлиқлик ( $\gamma = 30^\circ$  бўлганда) ишқаланиш ва мойлашнинг ҳар хил турлари учун келтирилди: I — мойловчи материалисиз ишқаланишда  $\eta = 5 \dots 40\%$ ; II — чегаравий мойлашда  $\eta = 50 \dots 70\%$ ; III — гидродинамик ва гидростатик мойлашда  $\eta = 90 - 97\%$ ; IV — думалаб ишқаланишда\*  $\eta = 98 - 99\%$ .

Келтирилган мисол шуни кўрсатадики, сирпаниб ишқаланиш думалаб ишқаланиш билан алмаштирилса ёки мутлақо суюқ мой ишлатилса, ФИК нинг қийматлари юқори бўлади. Шу сабабли программа билан бошқариладига замонавий дастгоҳлар, прецизион дастгоҳларда ва ҳолатни эгаллаш аниқлиги юқори бўлиши ва ишқаланишга кам қувват сарфлаши талаб қилинадиган бошқа технологик қурилмаларда шаркли винтли думалаш жуфтликлари ёки винт — гайкадан иборат гидростатик узатмалар кенг қўлланылади. Биринчи ҳолда винт ва гайканинг винтсимон ариқчалрида шарчалар юмалайди, иккинчи ҳолда эса винт ва гайканинг иш сиртлари орасида мой қатлами вужудга келиб, унда мой босими талаб қилинган даражада сақланиб туради.

## 8-боб

### КИНЕМАТИК ЖУФТЛИКЛАР ЭЛЕМЕНТЛАРИНИНГ ЕЙЛИШИНИ ҲИСОЕЛАШ

Машина ёки асбоб механизмидан фойдаланиш жараённада унинг кинематик жуфтликларининг элементлари муқаррар равишда ейнлади. Ейлиш оқибатида деталларнинг мустаҳкамлиги, механизминг аниқлиги камаяди, подшипникларга тушидиган юқ, титрош ва шовқин ортади. Кучли ейлиш кўпинча механизминг ишга яроқсиз бўлиб қўлишига ва ҳатто деталларининг синишига ва машинанинг ишдан чиқишига асбоб бўлади. Шу сабабли механизмни лойиҳалашда конструкцион ва мойловчи материалларни тўғри танлаш учун ишқаланувчи юзанинг шаклини ҳамда катталигини

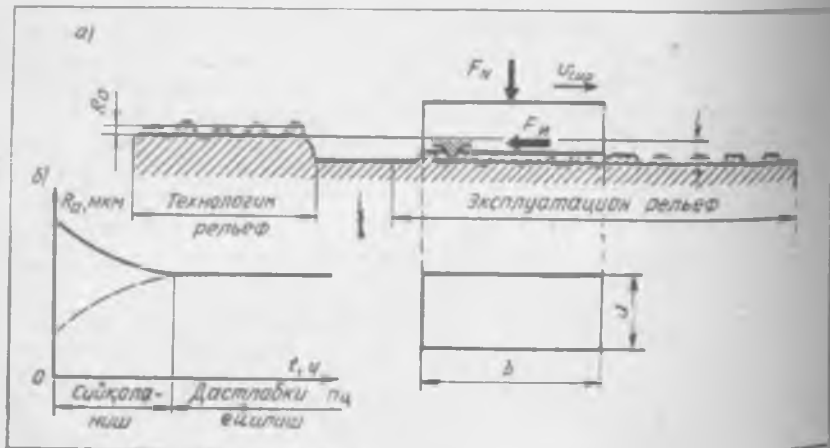
\* Думалаб ишқаланишда, келтирилган ишқаланиш коэффициенти  $f_{\text{И}}^{\text{дем.}}$  ва келтирилган ишқаланиш бурчаги  $\Phi_{\text{И}}^{\text{дем.}} = \arctg f_{\text{И}}^{\text{дем.}}$  ни олиш керак.

билиш, ейилиш эпюрасини аниқ ҳисоблаш мүхим аҳамиятга эга. Шунингдек қараганда олдинроқ олмаштириш ва тузатиш талаб қилинадиган деталдар ва қисмларини айнқаш ҳам катта аҳамиятга эга. Шундай қилиб, кутилаётган ейилиши ҳисоблашдан мақсад машина ёки асбоб механизмининг зарур ресурсын ишончли ишлашини тъзменилашдан иборат. Бу ҳисоблашни бажариш усули ушбу бобда баён этилади.

### 8.1- §. Ейилишни баҳолаш мезонлари

**Ейилиш турлари.** Ейилиш деб, қаттиқ жисм юзасидаги материалниң бузилишига ва ажралиб чиқишига айтилади; ейилиш жисм ўтчамлари ва шаклининг аста-секин ўзгаришида намоён бўлади; бунда жисм юза катламларининг хоссалари ҳам ўзгариш мумкин.

Ейилишининг асосий турлари қуйидагилар: механик ейилиши — механик таъсирлар оқибати; коррозион-механик ейилиш — механик таъсир мухит билан бўладиган ўзаро химиявий ёки электр таъсир билан биргаликда содир бўлади; образив ейилиш — эркин ёки мустаҳкамланган ҳолатдаги қаттиқ заррачаларниң ғиркувчи ёки тирновчи таъсири натижаси; эрозион ейилиш — суюқлик ёки газ оқимининг таъсири натижаси; толиқиб ейилиш — даврий ўзгарувчан юклар таъсир этиши натижасида сиртқи қатлам материални заррачаларниң уваланиб тушиши (ейилишининг бу тури айниқса олий кинематик жуфтликлар учун хосдир); тиқилиб қолиш оқибатида ейилиш — материалниң юлиниб, чуқур ўйилуб чиқиши, унинг бир ишқаланувчи юздан бошқасига кўчиб ўтиши натижаси (тиқилиб ёки қадалиб қолиш учун сирпаниш тезлиги юқори ва нисбий босим катта бўлиши оқибатида муайян жойининг кучли қизиб кетиши хосдир; ейилишининг бу турига кинематик жуфтликнинг бир жинсли материаллардан ишланган, аммо тобланмаган ишқаланувчи юзлари кўпроқ дучор бўлади).



8.1- расм

Ейлиш сиртқи қатламнинг деформацияланиш хусусиятига күра ҳам фарқланади (эластик уринишдаги, ыластик уринишдаги ва микроқирқи-лишдаги ейилишлар).

Ейлишнинг физик нусхаси (модели) бундай: микронотекислик сир-панаёттанида унинг рўпарасида деформацияланувчи материалнинг дўнг-лиги (валик) юзага келади, у сикувчи кучлар таъсирида бўлади (8.1-расм, а). Ишқаланиш кучлари натижасида микронотекислик ортида мате-риал чўзилади. Бинобарин, материал қарама-қарши йўналыштарда деформацияланга бошлайди; бу ҳодисанинг кўп марта қайтарилиши оқиба-тида уидаги микроструктуранинг эмирилиши кўпаяди ва материал зарра-лари ажратиб чиқади.

Тажрибалар материал бирданига эмас, балки бир қанча циклдан ( $n_w$ ) сўнг эмирилишини кўрсатади.

Ейлиш босқичлари. Одатда ейилиш икки босқичда кечади: 1) ишқа-ланувчи юзаларнинг сийқаланиши; 2) нормал (иш вақтида) ейилиш, бунда сийқаланишдан сўнг тайёрлаш вақтида пайдо бўлган дастлабки ғадир-буриллик ўринида қандайдир янги, мувозанатланган ғадир-буриллик пайдо бўлиб, у кейинчалик жиддий тарзда ўзгармайди [10]. Бошқача штранца, ейилиш жараёнида юзанинг дастлабки (технологик) микрорелье-фи ғадир-бурилликнинг параметрлари ўзгариши билан (масалан, профил-нинг ўртача  $R_a$  арифметик четга чиқиши билан) эксплуатацион микро-рельефга айланади (8.1-расм, б).

Сийқаланиш вақтинн камайтириш учун тажриба натижаларидан мувозанатланган ғадир-буриллик параметрларини аниқлаш ҳамда ишқала-нувчи юзаларга технологик ишлов беринанинг шундай турини бөлгилаш юзимки, у мувозанатланган ғадир-бурилликка энг яқин бўлсин. Сийқа-ланеш босқичидаги  $R_a$  нинг қийматлари кичикроқ бўлган эксплуата-цион юзага (8.1-расм, б даги штрих чизик) нисбатан сиљлироқ бўлган дастлабки юзани қўллаш одатда тайёрлаш харажатининг ошиб кетниши шуктани назаридан фойдасизdir, чунки бундай юзанинг таниархи қим-мат бўлади; бунда сийқаланиш вақти ҳам чўзилиб кетниши мумкин.

Ейилишни миқдорий баҳолаш. Узунлик, ҳажм ёки масса бирлиги-да ейилиш натижалари ейилиш дейилади. Чекли ва рухсат этилган ейилишлар бўлади. Чекли ейилиш деб, ейилётган буюмнинг (ёки бир қисмининг) чекли ҳолатига мос келувчи ейилишга айтилади. Руҳсат этилган ейилиш деб, ейилтнининг шундай қийматига айти-ладики, бунда буюм ҳали ишга яроқли ҳолатда бўлади.

Жуфтлик элементларининг чекли ейилиши бир қанча мезонлар билан аниқланади, уларнинг асосийлари қўйидагилардир: а) ейилиш натижаси-да меҳанизм ишга яроқлилигининг бузилиши — деталларининг синиши, яъни мустаҳкамлигининг йўқолиши, тиқилиб қолиши, зарур аниқлигин-нинг йўқолиши; б) машинанинг ишлаш хусусиятларининг йўл қўйиб бўлмайдиган даражада ёмонлашуви (буюмлар сифати пасяди, кинема-тик жуфтликларда тирқишилар пайдо бўлиши туфайли титраш ва шов-кин ортади ва ҳоказо).

Ишқаланувчи юзаларни ажратиб турувчи мойловчи материалнинг ыластиклиги улардаги энг баланд нотекисликлар йиғиндинсиздан ортиқ бўлса, юзалар жуда кам ейилади.

Ейлиш қийматларининг ишқаланувчи юза бўйича ёки унинг маълум бир кесими бўйича тақсимланишининг график тасвири ейлиши эпюраси дейилади.

Ейлиш материалининг емирилган қисмининг қалинлиги δ га кўра (чизиқли ейлиш, 8.1-расм, а) ёки унинг массасига кўра баҳоланади.

Ейлиш тезлиги вақт бирлигни ичда ейлиш катталиги аниқланади:

$$\gamma = d\delta/dt = kp^m v_{cup}^n,$$

бунда  $k$  — ейлиш коэффициенти ( $p = v_{cup} = 1$  бўлганда сондан γ га тенг);  $p$  — ишқаланувчи юзанинг ўлчанаётган нуқтасидаги нисбий босим;  $v_{cup}$  — ишқаланувчи юзанинг текширилаётган нуқтасидаги сирпаниш тезлиги (нисбий тезлиги);  $m$  — уринувчи юзалиринг ўзаро таъсири турига (эластик уриниш, пластик уриниш, микрокирқылыш) боғлиқ бўлган даража кўрсаткичи, унинг қиёмати 1 дан 3 гача бўлади;  $n$  — ейлиш турига боғлиқ бўлган даража кўрсаткичи. Кинематик жуфтликларнинг сийқаланган элементлари учун  $m = 1$ ,  $n = 1$  деб олинади, у ҳолда

$$\gamma = d\delta/dt = kp v_{cup}. \quad (8.1)$$

(8.1) формулатининг физик маъносини қўйидаги мисолда (2.1-расм, а) тушунтириш мумкин. Ўлчамлари  $a \times b$  бўлган ползуи йўналтирувчига  $F_N$  куч билан қисиб қўйилган бўлиб, сирпаниб ишқаланиш коэффициенти  $f$ , ишқаланувчи юзанинг исталган нуқтасидаги нисбий босим  $p = F_N/ab = \text{const}$  бўлсин.

$F_N$  ишқаланиш кучининг иши материални емириш ва ажратишга ҳамда иессиқлик ажратиб чиқаришга сарфланади, шу сабабли ейлиш тезлиги вақт бирлиги ичда ишқаланиш кучи бажарган ишга, яъни ишқаланиш қуввати  $P_u$  га мутаносиб деб тақрибан ҳисоблаш мумкин:

$$\gamma = \frac{d\delta}{dt} = \frac{k}{abf} F_N / v_{cup} = c F_u v_{cup} = c P_u,$$

бунда  $c = k/(abf)$  — мутаносиблик коэффициенти.

Умумий ҳолда ишқаланувчи юзанинг ҳар хил нуқталарида нисбий босим  $p$  турлича бўлади, бироқ (8.1) тенгламанинг бундай изоҳини маркази ишқаланувчи юзанинг берилган нуқтасида бўлган исталган элементтар майдонча учун татбиқ қўлиш мумкин.

Ейлиш жадаллиги деб, ишқаланиш йўли бирлигига тўғри келадиган ейлишига айтилади:  $\gamma_s = d\delta/ds$ , бунда  $s$  — нисбий сўзжин ёки ишқаланиш йўли. Бинобарин,

$$\gamma_s = \frac{d\delta}{ds} = \frac{ds}{dt} = \gamma_t v_{cup}.$$

γ ва γ<sub>s</sub> шинг қийматлари одатда  $p$  ва  $v_{cup}$  нинг ўртача қийматларига кўра тажриба йўли билан аниқланади, сунгра (8.1) формуладап ейлиш коэффициенти ҳисоблаб топилади. Масалан, намуналарнинг ўртача тартибларида ( $p_{sp} = 16 \cdot 10^6$  Па,  $(v_{cup})_{sp} = 2$  м/с) синаф кўрилганда  $I_{sh} = 100$  соат иш вақти ичда ўртача ейлиш δ = 2 мм ни ташкил қилди, бинобарин, (8.1) формулагага кўра

$$k = \gamma / (pv_{cup}) = 2 \cdot 10^{-2} / (16 \cdot 10^6 \cdot 2) = 6,25 \cdot 10^{-9} \text{ мкм}/(\text{соат} \cdot \text{Па} \cdot \text{м} \cdot \text{с}^{-1}).$$

[11] справочнике  $\gamma$  ва  $\gamma_s$  лар бүйича тажриба натижалари келтирилген (справочнике  $\gamma$ , ўрнига  $J$  белги ишлатилган).

Ейнеш жадаллиги  $\gamma$ , жуда катта оралықда, таҳминан  $\gamma_s = 10^{-12}$  дан 1 км ишқаланиш йўлига 0,001 мкм ейнеш тўғри келади, бу эса жуда камдир)  $\gamma_s = 10^{-3}$  гача (1 м ишқаланиш йўлига 1 мм ейнеш тўғри келади, бу эса жуда кўпдир) ўзгариши мумкин.

Материал ишқаланишнинг маълум шаронтида ейнешга қаршилик кўрсатиш хоссасига эга. Материалнинг бу хоссаси ейнеш тезлиги ёки жадаллигига тескари бўлган каттальник билан баҳсоланади ва ейнешга чидамлилиги дейилади. Материалларнинг ейнешига чидамлиллигига уларнинг қаттиклиги, эластик хоссалари, ишлаш тартиби (юк, тезлик, температура), ташки шаронт (мой, атроф-муҳит), ишқаланувчи узелнинг конструктив хусусиятлари таъсири қиласди.

$\gamma_s$  нинг қийматига кўра материаллар ейнешига чидамлилликнинг 10 та синфиага бўлинади; ишқаланувчи юзаларнинг ўзаро уриниш таъсири турнига кўра ушбу синфларни учта асосий туркумга ажратиш мумкин: 0 — V синфларга ( $\gamma_s = 10^{-1} \dots 10^{-7}$ ) эластик деформацияланувчанлиги туфайли ейнешига чидамлиллиги юқори бўлган материаллар; VI — VII синфларга ( $\gamma_s = 10^{-6} \dots 10^{-8}$ ) қисман эластик, қисман пластик деформацияланувчанлиги туфайли ейнешига чидамлиллиги ўртача бўлган материаллар; VIII — IX синфларга ( $\gamma_s = 10^{-4} \dots 10^{-8}$ ) микроқирқилицидаги ейнешига чидамлиллиги паст бўлган материаллар киради.

Масалан, [11] да келтирилган тажриба маълумотларига кўра автомобильдвигателларидаги пўлатдан ясалган тирсакли валларнинг шатун бўйинлари учун  $\gamma_s = 5 \cdot 10^{-12} \dots 4 \cdot 10^{-11}$  (эластик уринишдаги ейнешига чидамлиллиги жуда юқори), экскаватор ковшиннинг тиши учун (пўлат 45)  $\gamma_s = 10^{-4} \dots 10^{-3}$  (микроқирқилицидаги ейнешига чидамлиллиги жуда паст).

Сўнгги вақтларда ишқаланувчи қисмларда маҳсус мойловчи муҳитиз ишлашга мулжалланган машиналар, механизмлар ва асбоблар деталларининг материалига катта аҳамият берилмоқда: буларга полимер материаллар (подшипниклар, тишли гидрираклар, муштлар ва бошқалар, кўмир-графит материаллар (энчлович элементлар, гидронасослар вкладишлиари, авиация ва химия саноатида ишлатиладиган ишқаланувчи қисмларнинг деталлари), металл-керамик материаллар (юқори температурада иштайдиган ишқаланувчи қисмларнинг деталлари) ва бошқалар киради.

Янги деталлар ишқаланувчи юзаларнинг ишқаланишига чидамлигини ошириш учун гальваник қопламалар билан бир қаторда, уларга термик ишлов бериш кенг кўлланилади. Буларга сиртини газ алангаси билан қиздириб тоблаш (пўлатдан ясалган тишли гидрираклар, червяклар, тирсакли валлар бўйинлари), юқори частотали токда тоблаш (муштлар, валлар, шестернялар, валлар бўйни, цилиндрлар гильзаси, дастгоҳлар станинаси ва бошқалар) киради. Айнан шу мақсадда сиртига пластик деформациялаш билан ишлов бериш ҳам қўлланилади, натижада сирти қатламларнинг қаттиклиги ошиди ва юзанинг гадир-будирлиги афракли синфда бўлишига эришилади (цилиндрсизмон ва текис юзаларни ишлатиш чинкитириш, калибрлаш ва бошқалар).

Шунингдек машинани тузатишда деталларни алмаштириш мулоҳазаси ҳам эътиборга олинади: агар ейилган деталь оддий ва осон алмани-

надиган бұлса (масалан, втулка ёки вкладыштар), уни тузатиш осоюз шади ва арөнга тушади.

Баъзан деталларни алмаштириш үрнің үларнинг ишқаланиб еткендегі юзаларига газ алғанғаси ёки электр ёй өрдамида металл суюқ тағтириб қоллаш, газ ёки электр өрдамида металлаш, плазмали пуркаш (жарылғанда әсемдіктердегі бирикмалар қоллаш учун) ва башқа усулдар билан детальни қайта тиклаш ҳамда үларнинг ишлаш мүддатини ошириш өткізу үшін роқ бўлади.

Умумий ҳолда ейилиш ( $\rho$  ва  $v_{cup}$  ўзгарувчан бўлганда) қуийни формуладан аниқланади.

$$\delta = \int_{t_0}^{t_{max}} \rho v_{cup} dt. \quad (8.2)$$

Битта әркинлик даражасига эга бўлган механизмларда ҳисоблаш кулий бўлиши учун умумлашган координата  $\phi$  ни ва умумлашган тезлик  $\omega = \dot{\phi}$  ни киритган ҳолда (8.2) формуланн ўзгартриши мақсадга мувофиқ бўлади. У ҳолда  $\phi = \phi_u$  ишнинг бир цикли учун ейилиш куидагига teng:

$$\delta_u = k \int_{\phi_0}^{\phi_u} \rho (v_{cup}/\omega) d\phi, \quad (8.3)$$

бунда  $v_{cup}/\omega = v_{cup}(\phi)/\omega$  — кинематик жуфтлик элементининг кўрилаётган нуқтасидаги сирпаниш тезлігининг аналоги (ёки  $ds/d\phi$  узатиш функцияси).

Агар иш цикллари сони  $n_u$  бўлса, у ҳолда ейилиш

$$\delta = \delta_u n_u. \quad (8.4)$$

(8.4) формула өрдамида чекли ейилишининг берилган қиймати бўйича иш цикллари сонини аниқлаш мумкин, бу эса машинанинг иш ресурсини аниқлаш учун зарурдир.

## 8.2- §. Қуий ва олий кинематик жуфтликлар элементларининг ейилишини ҳисоблаш

Конструкцион ва мойловчи материалларни, мойловчи материал бериладиган жойни түри танлаш ва кутиладиган ейилишни ҳисоблаш учун ишқаланувчи юзанинг шаклини ва катталигини ҳамда элементларининг шаклига ва жуфтликнинг ишлаш шароитига боғлиқ бўлган ейилишиниң унда тақсимланишини кўриб чиқамиз.

Айланма жуфтлик (8.2-расм). Жуфтликнинг ишлаш шароити:  $F_{21} = \text{const}$ ,  $\omega_1 = \text{const}$ ,  $\omega_2 = 0$ . У ҳолда  $\delta_1 = \text{const}$  (вал I цапфаси бир текис ейилади).  $\delta_2$  ейилиш эса кўрилаётган нуқтанинг бурчак координатаси  $\psi$  га боғлиқ бўлади:  $\delta_2 = \delta_2(\psi)$  — подшипник нотекис ейилади. Бир неча иш циклидан сўнг валнинг маркази O ҳолатдан O' сийдайди, бинобарин, подшипник 2 нинг  $\psi$  куч йўналиши бўйича ейилиши ишчи юзанинг  $\psi_{max} = \pm 90^\circ$  бурчак доирасидаги ҳамма нуқтада рида бир хил ва  $\delta_{2max} = 00'$  га teng бўлади, бироқ ишқаланувчи юзанинг

га үтказилган нормаллар бўйича турлича бўлиб, косинуо қонуни  $\delta_2 = \rho_{\max} \cos \psi$  бўйича ўзгаради.

Урнишувчи юзаларнинг жами ейилиши [10]:  $\delta_\Sigma = \delta_1 + \delta_2$ .

Хамма нуқталар учун  $v_{cup} = \text{const}$  бўлганинидан босим косинусонда қонуни бўйича тақсиланади [4]:  $p = p_{\max} \cos \psi$ .  $p_{\max}$  ни аниқлаш учун подшипник втулкасидағи эни  $rd\psi$  ва узунлиги  $b$  га тенг бўлган элементар майдончани кўриб чиқамиз. Ишқаланувчи юзага үтказилган нормаль йўналиши бўйича элементар куч қўйидагига тенг:

$$dF_{12}^n = p b r d\psi = p_{\max} b r \cos \psi d\psi.$$

$F_{12}^n$  куч  $dF_{12}^n$  кучларнинг вертикал проекциялари билан мувозанатлана-ди, шу сабабли

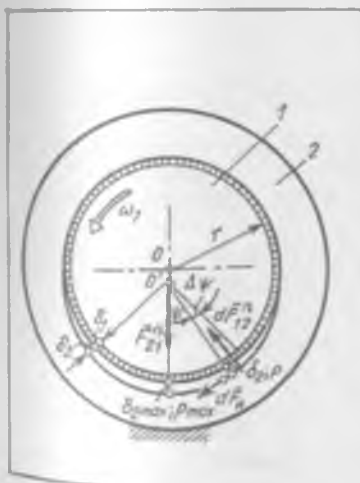
$$F = F_{21}^n = 2 \int_0^{\pi/2} p_{\max} b r \cos^2 \psi d\psi.$$

$\int_0^{\pi/2} \cos^2 \psi d\psi$  интеграл қўйидагича ҳисобланади:

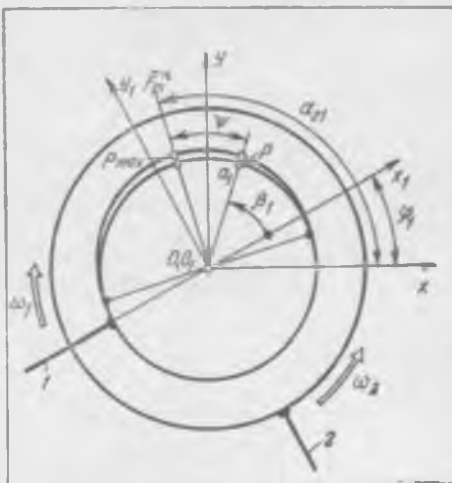
$$\cos^2 \psi = \cos^2 \psi - \sin^2 \psi = 2 \cos^2 \psi - 1;$$

$$\cos^2 \psi = (\cos 2\psi + 1)/2;$$

$$\int_0^{\pi/2} \cos^2 \psi d\psi = \frac{1}{2} \int_0^{\pi/2} (\cos 2\psi + 1) d\psi = \frac{1}{2} \left[ \frac{1}{2} \sin 2\psi + \psi \right]_0^{\pi/2} = \frac{\pi}{4}.$$



8.2- расм



8.3- расм

Винобарин,  $F = 2p_{\max} br \pi/4$ , бундан

$$p_{\max} = 2F/(\pi br).$$

•  $dF_{12}^n$  ишқаланиш кучларининг вертикал проекциялари 0 . . .  $\psi$  ва 0 . . .  $-\psi$  соҳаларда ўзаро мувозанатлана-ди ва шу сабабли тенгламага кирмайди.

Иш цикли давомидаги ейлишиши (8.3) формула ёрдамида ҳисоблаш учун керак бўладиган босимининг тақсимтаниш қонуни қўйидаги кўришинига эга:

$$p = [2F/(\pi br)] \cos \psi, \quad (8.5)$$

бунда  $\psi$  — қўрилаётган нуқганинг бурчак координатаси.

$\bar{F}$  куч ёзгарувчан бўладиган умумий ҳолда (8.5) формула ҳар бир оний ҳолат учун алоҳида алоҳида кўлланилиши лозим. Шу сабаббл умумлашган  $\phi$  координатадон механизм айланма жуфтлигининг умумий ҳолида (8.3-расм) жуфтлик элементлари 1-2 дан бирининг (масалан, бўғини 1 нинг қандайдир  $a_1$  нуқтасида) ейлишишини аниқлаш учун  $Oxy$  қўйилмас координата системасида бўғин 1 нинг  $\varphi_1 = \varphi_1(\phi)$  бурчак координатасини ҳамда бўғин 2 га қўйилган  $\bar{F} = \bar{F}_2$ , куч векторининг  $\alpha_{21} = \alpha_{21}(\phi)$  бурчак координатасини билиш, бўғин 1 билан борланган  $O_1x_1y_1$  қўзғалувчан системада эса изланаётган  $a_1$  нуқтанинг  $\beta_1$  бурчак координатасини билиш лозим.

У ҳолда (8.5) формула бўйича  $a_1$  нуқтадаги  $p$  босим қўйидагига tengi

$$p = p_{\max} \cos \psi,$$

бу ерда  $p_{\max} = 2F/(\pi br)$ ,  $\psi = \alpha_{21} - (\varphi_1 + \beta_1)$ ; бунда агар  $|\psi| > \pi/2$  бўлса,  $p = 0$  бўлади.

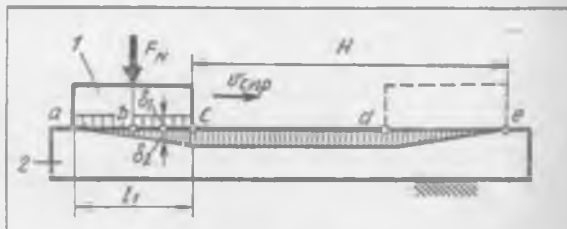
$a_1$  нуқта а сирпаниш тезлиги нисбий бурчак тезлигининг цапфа радиусига кўпайтмасига teng:

$$v_{cup} = \omega_{21} r,$$

бунда  $\omega_{21} = |\omega_1| \pm |\omega_2|$  (плюс ишораси бўғинлар турли томонларга айланган ҳол учун).

$p = p(\phi)$  ва  $v_{cup}/\omega = v_{cup}(\phi)/\omega$  лар аниқлангандан сўнг, берилган  $a_1$  нуқтадаги  $\delta_1$  ейилиш каттатиги (8.3) ва (8.4) формулалардан аниқланади; бир қанча текширилган нуқталарга жуфтлик элементларининг ейилиш эпюраси ясалади (8.2-расм).

Илгарилама жуфтлик (8.4-расм). Ползуннинг ишлаш шароити: узунлиги  $l_1$  га teng бўлган ползун 1 қўйилмас йўналтурувчи 2 бўйлаб ил-



8.4- расм

\* Умумий ҳолда, бўғинларнинг номеридан қатъи назар, ҳисоблаш учун жуфтлик ичкни элементидан ташкии элементига қўйилган куч векторини олиш лозим.

Гарилама-қайтма ҳаракат қылади, ползуннинг йўли  $H$  га тенг; куч  $F_N = \text{const}$  (ползуннинг ўртасига қўйилган);  $\rho$  босим бир текис тақсимланган.

Бу ҳолда ползуннинг текис юзаси бир текис ейилади ( $\delta_1$ ). Йўналтирувчининг четларидан ( $a, e$  нуқталаридан) ейилиши ( $\delta_2$ ) нолга тенг,  $a$  қисмда энг кўп ейилади. Жуфтлик элементларининг ейилиш эпюраси 8.4-расмда келтирилган.  $\rho = \text{const}$  бўлганда

$$\delta_3 = kp \int_0^{t_{\text{ш}}} v_{\text{спр}} dt = kps,$$

бунда  $s$  — ишқаланиш йўли:  $a, e$  нуқталарда  $s = 0$ ;  $b$  нуқтада  $s = 2l_1/2 = l_1$ ,  $c, d$  нуқталарда  $s = 2l_1$  (ейилиш энг кўп бўлади).

Умумий ҳолда  $\delta_{1,2}$  ейилиш (8.3), (4.8) формулалардан аниқланади.

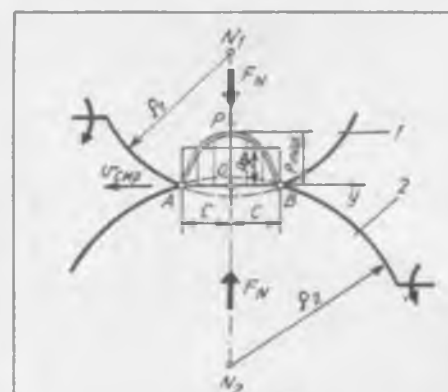
Агар  $F_N$  куч ползуннинг ўртасига қўйилмаган бўлса, босим ползуннинг узунлиги бўйича чизиқли қонунга асосан тақсимланган, деб ҳисоблаш керак. Агар ползун цилиндрическ (поршень) бўлса, у ҳолда,  $\rho$  босим иккита йўналишда, яъни унинг ўқи бўйлаб ва поршень ўқига перпендикуляр кесим бўйича тақсимланган, деб ҳисоблаш лозим.

Пишангли механизмлар кинематик жуфтликлари элементларининг ейилишини аниқ ҳисоблаша методикаси (алгоритм, ЯС ЭХМ учун программа ва сонили мисоллар) Д. М. Лукичев ва Г. А. Тимофеевларнинг «Расчет износа элементов кинематических пар с использованием ЭВМ» китобида келтирилган. М., 1984.

Олий жуфтлик. Жуфтликнинг ишлаш шароити: жуфтлик элементлари (8.5-расм)  $N_1$  ва  $N_2$  ўқлари ўзаро параллел жойлашган  $\rho_1$  ва  $\rho_2$  радиусли иккита қавариқ цилиндр тарзида ясалган: узатиладиган  $F_N$  (Н/м) нормал нисбий юқ бир текис тақсимланади.

Бу ерда аввало юзаларнинг уриниш юзини ва босимнинг уриниш юзи бўйича тақсимишни аниқлаш лозим. Умумий ҳолда олий жуфтликда дастлабки уриниш чизиқ ёки нуқта бўйича бўлиб, сўнгра юклана бориш натижасида уриниш изи эллипс шаклини эталланади, фавқулодда ҳолларда бу шакл доира ёки тўртбурчак кўринишини олиши ҳам мумкин. Эластик

мисларнинг уриниш деформациялари назариясида уриниш изи ўлчамларини ва босимнинг тақсимишни аниқлаш формулалари ишлаб чиқилган [11]. Курлаётган ҳолда юкланишдан кейин уриниш изи тўртбурчак кўрнишида бўлади, ушибу тўртбурчак энининг ярми қўйида-гига тенг.



8.5- расм

$$c = 1,128 \sqrt{\theta_{\Sigma} \rho F_N}$$

бунда:  $\rho = \rho_1 \rho_2 / (\rho_1 + \rho_2)$  — келтирилган әгрилик радиуси;  $\theta_{\Sigma} = \theta_1 + \theta_2$  — бүғинлар 1 ва 2 материалининг эластиклик дөймийси.

$\theta_1$  ва  $\theta_2$  катталыклар күйндеги формуладан анықланады:

$$\theta_{1,2} = (1 - \mu_{1,2}^2) / E_{1,2},$$

бунда:  $E_{1,2}$  — бүғинлар 1, 2 материалининг бүйлама эластиклиги мөнли;  $\mu_{1,2}$  — бүғинлар 1 ва 2 материалининг Пуассон коэффициенттери.

Уриниш соҳасидаги (зонасидағы) әнг катта босим

$$p_{\max} = 0,564 \sqrt{F_N / (\theta_{\Sigma} \rho)}; \quad p = p_{\max} \sqrt{1 - (y/c)^2},$$

бунда  $y$  — күрилаётган нүқтанинг координатаси.

Үзүнлиги  $b$  га тенг бүлган уриниш чизиги бүйлаб исталған жойдағы кесімдә (чизмага перпендикуляр бүлган) босимнинг тақсимланишин шунга ұшаш бўлади. Бу ҳолда тақрибий ҳисоблашлар учун босимнинг ўртаса қиймати қўйндагига тенг:

$$p_{sp} \approx 0,77 p_{\max}.$$

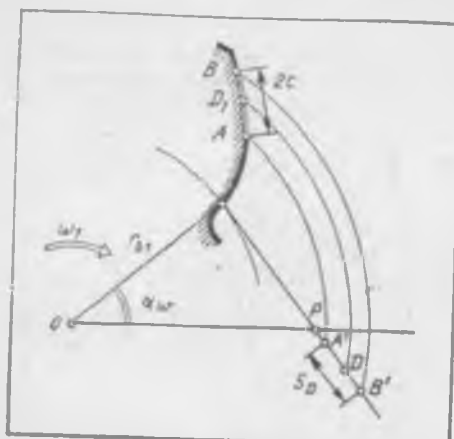
Умумий ҳолда олий жуфтликкниң уринувчи юзалари нисбий ҳаракатда сирпаниб юмалайдилар, шунинг учун күрилаётган  $O$  нүқта атрофидаги уриниш изи текширилаётган сирт бүйлаб  $t_k$  вақт ичиде сурилиб ұтады;  $t_k$  вақт бир иш цикли давоминда  $AB$  қисмнинг илашиши учун кетген вақт сифатида аниқланади (8.5-расм). Бўғин 2 нинг  $O$  нүқтасидан с масофақалик илгариловчи  $A$  нүқта илашган пайтда текширилаётган  $O$  нүқтадаги босим әнг кам:  $p = p_{mm} = 0$  бўлади; сўнгра у  $p = p_{\max}$  га қадар оша боради, текширилаётган нүқтадан с масофақалик орқадаги  $B$  нүқта илашган пайтда эса босим яна нолга қадар пасаяди. Шу сабабли иш цикли давомидаги  $O$  нүктада ейнлиши  $p_{sp}$  ўртаса босимга,  $v_{sp}$  сирпаниш тезлигига ва сиртнинг  $AB$  қисмининг  $t_k$  илашиши вақтига кўра ушбу формула ёрдамида тақрибан аниқлаш мумкин:

$$\delta_u = k p_{sp} v_{sp} t_k,$$

$\delta_u$  иш цикллари давомидаги ейнлиш эса (8.4) формудан аниқланади.

Масалан, шиглиндерсизмон эволвентали тишил узатма фиддирагининг қандайдир  $D_1$  нүқтаси учун (8.6-расм)

$$F_N = k_A M_{21} (r_{A1} b),$$



8.6- расм

бунда  $k_d$  — юкнинг динамиклиги коэффициенти;  $M_{\perp}$  — юритувчи момент;

$$v_{exp} = \omega_1 l_{pd} (1 + z_1/z_2), \quad l_k = s_D/v_D,$$

бунда  $s_D = A'B'$  ва  $v_D = \omega_1 r_b$  — сиртнинг  $AB$  қисми илашган вақт ичидаги уриниш нуқтаси  $D$  нинг илашиш чизиги бўйича босиб ўтган ва тезлиги.  $s_D$  ва  $l_{pd}$  катталикларни илашиш геометриясидан топиш мумкин. Уриниш изиннинг эни  $2c$  8.6-расмда яққоллик учун кагта қилиб кўрсатилган, аслinda эса у жуда тор бўлади.

## 9 - б о б

### МАШИНАЛИ АГРЕГАТНИНГ ҲАРАКАТИНИ БҮГИНЛАР ЭЛАСТИКЛИГИНИ ҲИСОБГА ОЛГАН ҲОЛДА ТАДҚИҚ ЭТИШ

4-бобда машинали агрегатнинг ҳаракати тадқиқ этилган эди. Бунда агрегат механизмнинг бүгиналарин мутлақо бикр деб фарақ қилинган эди. Аммо амалда эса бўюклар эластик бўлади, шу туғайли улар таъсиридан деформацияланади. Шу сабабли механизм бүгиналарининг асосий ҳаракатига уларнинг мондрагидан келиб чиқадиган ва тебранма жараёндан иборат бўлгани қўшимча ҳаракат қўшиллади. Бу жараён механизмнинг ҳаракат қонунин бузилишингагина сабаб бўлмайди, балки ундан бўгиналар ва кинематик жуфтликларининг динамик зўрнишини вужудга келтириши ҳам мумкин. Ушбу боб машинали агрегатнинг ҳаракатига эластиклигини таъсирини тадқиқ этишга бағишланган бўлиб, унинг материали М. З. Коловский ишлаб чиқкан методикага асосан баён қилиниди (қ.: Коловский М. З. Динамика машини, Л., 1980).

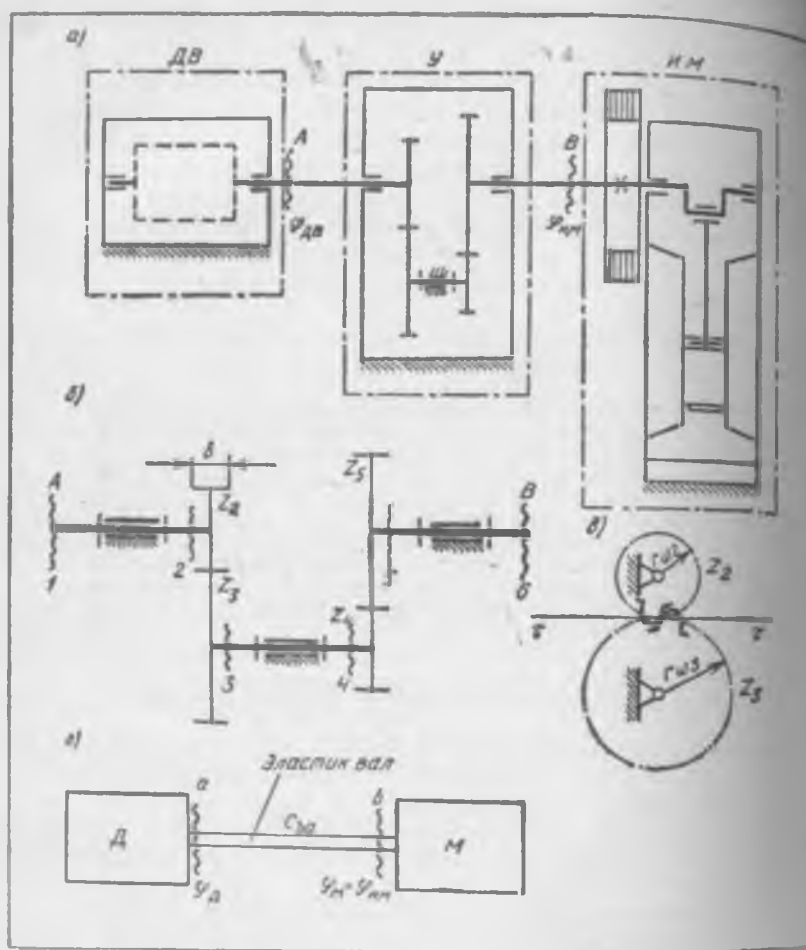
#### 9.1-§. Машинали агрегатнинг динамик нусхаси

Двигатель  $DB$ , узатиш механизми  $Y$  ва иш машинаси  $IM$  дан (яъни, механик энергия истеъмолчисидан) ташкил топган машинали агрегатни Курб чиқамиз (9.1-расм, а).

Узатиш механизми тишли механизм бўлсин (9.1-расм, б). Унинг валли буралишга, тишли эгалишга дучор бўлади. Узатиш механизмининг бикрлигини аниқтайдикамиз.

Механизм тишли илашмада ишлатётган вақтда унга тишлини деформацияловчи куч таъсири қиласи. Ушбу кучнинг бошлангич айланаларга уринма йўналган  $F_t$  ташкил этувчисини, шунингдек тишлини эластик силжишининг ана шу таъсири бўйича  $\delta_t$  ташкил этувчисини курб чиқамиз (9.1-расм, в). Куч ва эластик деформация  $F_t = c \delta_t$  мусобаб орқали боғланган, бунда  $c$  — тишли илашманинг чизиқли бикрлигид. Чизиқли бикрлик тишлининг  $b$  узунлигига мутаносибdir:  $c = ab$ , бунда  $a$  — пўлат гилдираклар учун 15000 МПа га teng қилиб олинадиган коэффициент.

Кейинги ҳисоблашларда чизиқли бикрликдан кўра бурчакли бикрликдан фойдаланиш қулайроқ. Унга ўтиш учун  $z_1$  гилдиракнинг кесими 2 га қўзғалмас қилиб гупчакни маҳкамаймиз. Катта  $z_2$  гилдиракнинг кесими 3 га эса  $M_3$  моментни қўямиз. Унинг таъсирида тишли деформацияланади ва кесим 3 физика бурчакка бурилади.  $\delta_t = \varphi_3 r_{w3}$  бунда  $F_t = M_3/r_{w3}$  эканлиги кўринниб туриди. Ушбу ифодаларни



9.1- расм

$F_t = c \delta_t$  тенгламага қўйиб,  $M_3 = cr_{\omega 3}^2 \varphi_3$  ни ёки  $M_3 = c_{32} \varphi_2$  ни ҳосил қиласиз, бунда:  $c_{32} = cr_{\omega 3}^2$ .  $c_{32}$  катталик кесим 2 қўзғалмас булганда кесим 3 га келтирилган тишил илашманинг бурчак бикрлиги бўлади.

Агар бунинг тескарисини қўласак, яъни кесим 3 ни маҳкамлаб, кесим 2 га  $M_3$  моментин қўйсак, у ҳолда 2 кесим  $\varphi_2$  бурчакка бурилади. Олдингирдек ишларни амалга оши иб  $M_3 = c_{32} \varphi_2$  ни ҳосил қиласиз, бунда  $c_{32} = cr_{\omega 2}^2$  бўлади. Бу е да  $c_{32} \neq c_{33}$  эканлигига алоҳида эътибор бериш лозим.  $c_{33} = cr_{\omega 3}^2 (r_{\omega 2}/r_{\omega 3})^2 = c_{32} u_{32}^2$ , яъни  $c_{32} = c_{33} u_{32}^2$  деб ёзиш мумкин, бунда  $u_{32} = r_{\omega 2}/r_{\omega 3} = \dot{\vartheta}_2/\dot{\vartheta}_3$  — тишил узатманинг узатиш инсабати.

Узунлиги  $l$  ва диаметри  $d$  га тенг бўлган валнинг, масалан, вал 3-4 нинг (9.1-расм, б) бикрлиги «Материаллар қаршилиги» курсидан мавъум

бўлган ушбу формуладан аниқланади:  $c_{34} = G J_p / l$ , бунда:  $G = 8 \cdot 10^4$  МПа,  $J_p = \pi d^4 / 32$ . Валнинг бурчак бикрлиги учун  $c_{34} = c_{43}$  ўринлидир. Яна шу нарсани айтамизки, валнинг бурчак бикрлиги, одатда, тишли илашнинг бурчак бикрлигига қараганда анча кам бўлади.

Бутун узатиш механизми  $\dot{Y}$  нинг бикрлигини аниқлаймиз (9.1-расм, б). Бунда тишли гидидраклар ва валларнинг инертилигигини ҳисобга олмаймиз, чунки у машинали агрегатдаги бошқа бўғинлар инертилигига қаранди кам бўлади. Кесим 1 ни қўзғалмас қилиб маҳкамлаймиз, кесим 6 га эса  $M_6$  моментни қўямиз. Ушбу момент таъсирида механизмининг 6-5 қисми буралади ва кесим 6 кесим 5 га нисбатан бурилади. Худди шу тарзда  $M_6$  момент 5-4 илашмада тишлиларни деформациялайди, натижада кесим 5 кесим 4 га нисбатан бурилади. Бу бурилиш кесим 6 нинг қўшилма бурчакка бурилишини вужудга келтиради. Шу тарзда фикрлашини давом эттириб шундай холосага келамиз: кесим 6 нинг тўлиқ бурчакка бурилиши қўшилувчиларнинг йигиндисидан иборат, бу қўшилувчиларнинг ҳар бирни узатманинг тегишли қисми деформацияланши туфайли пайдо бўлади.

Ушбу қўшилувчиларни аниқлашда қўйидаги қондатарга риоя қилиш лозим:

1) қандайдир қисм (масалан, 4—3 қисм) нинг деформацияланиши вужудга келтирадиган кесим 6 нинг бурилишини ҳисоблаётгандада кетмакет уланган қолган ҳамма қисмларин мутлақо бикр деб ҳисоблаш зарур:

2) 4-3 қисм кесим 6 билан тўғридан тўғри эмас, балки тишли ўсатма 5-6 орқали боғланганлиги сабабли, бурилиш бурчаги  $\Phi_{43}$  вужудга келтирган кесим 6 нинг бурилиш бурчагини аниқлашда ушбу  $\Phi_{43}$  бурчакни  $u_{54} = s_4 / s_5$  узатиш нисбатига кўпайтириш керак;

3) 2-бандда баён этилган сабабга кўра, 4-3 қисмни буровчи момент  $M_6$  га teng бўлмайди ва шу сабабли уни  $M_6 u_{54}$  каби аниқлаш керак.

Буларнинг ҳаммасини эътиборга олган ҳолда ёзамиш:

$$\begin{aligned}\Phi_6 &= \frac{M_6}{c_{65}} + \frac{M_6}{c_{54}} + \frac{M_6 u_{54}}{c_{43}} u_{54} + \frac{M_6 u_{54}}{c_{32}} u_{54} + \frac{M_6 u_{54}}{c_{21}} u_{54} = \\ &= M_6 \left( \frac{1}{c_{65}} + \frac{1}{c_{54}} + \frac{u_{54}^2}{c_{43}} + \frac{u_{54}^2}{c_{32}} + \frac{u_{54}^2}{c_{21}} \right).\end{aligned}$$

Кесим 1 қўзғалмас бўлганда кесим 6 га келти илган узатманинг  $c_{61}$  бикрлиги деб  $c_{61} = M_6 / \Phi_6$  нисбатга айтамиз, бундан

$$\frac{1}{c_{61}} = \frac{1}{c_{65}} + \frac{1}{c_{54}} + \frac{1}{c_{43} / u_{54}^2} + \frac{1}{c_{32} / u_{54}^2} + \frac{1}{c_{21} / u_{54}^2}.$$

Агар кесим 6 қўзғалмас бўлгандағи  $\dot{Y}$  узатманинг кесим 1 га келтирилган  $c_{16}$  бикрлигини аниқлаш лозим бўлса, у ҳолда  $c_{16} = c_{61} u_{52}^2$  бўлади, бунда  $u_{52} = s_2 s_4 / (s_3 s_5)$  — тишлил узатманинг узатиш нисбати.

Шундай қилиб,  $\dot{Y}$  узатмани бикрлиги  $c = c_{16}$  га teng бўлган, гўёки двигател  $D$  ни иш машинаси  $M$  билан боғладиган унинг нусхаси (модели) — шартли эластик вал билан алмаштириш мумкин (9.1-расм, б).

Вал кесими  $b$  нинг  $\Phi_m$ ,  $\Phi_m$ ,  $\Phi_m$  кинематик хусусиятлари узатма-

нинг чиқиш вали кесими  $B$  нинг (9.1-расм, б) кинематик хусусиятларига айнан ўхшаш, деб қабул қиласиз, яънн

$$\Phi_m = \Phi_{mm}, \quad \Phi_m = \Phi_{mm}, \quad \Phi = \Phi_{mm}. \quad (9.1)$$

Бироқ бикр бўлмаган вал фақат  $Y$  узатманинг эластиклик хосса да рини моделлайди, унинг узатиш хусусиятларини эса тақорлай олмайди. Улар қўйидаги тенгламалар ёрдамида ҳисобга олинади:

$$\Phi_d = \Phi_{da} u_{BA}, \quad \Phi_d = \Phi_{da} u_{BA}, \quad \Phi_d = \Phi_{da} u_{BA}, \quad (9.2)$$

бунда:  $\Phi_d$ ,  $\Phi_d$ ,  $\Phi_d$  шартли вал кесими  $a$  нинг кинематик хусусиятлари;

$\Phi_{da}$ ,  $\Phi_{da}$ ,  $\Phi_{da}$  — узатманинг кириш вали кесими  $A$  нинг кинематик хусусиятлари;  $u_{BA}$  — узатиш нисбати, у механизм учун (9.1-расм, б)  $u_{BA} = s_2 u_1 / (s_2 + s_3)$  бўлади.

(9.1) тенгламаларга асосан, узатмани эгилувчан вал билан атмастириш натижасида унинг айнан чиқиш хусусиятлари ўзгармай колгани сабабли (9.2) тенгламаларга кўра бажариладиган амалларни шартли равишда «узатманинг чиқиш кесимига келтириб ҳисоблаш» деб атамиз. Бироқ бунда шуни унумаслик дозимки,  $\Phi_d$  координатали  $a$  кесим билан  $\Phi_m$  координатали  $b$  кесим орасида шартли эластик вал жойлашади (9.1-расм, г) ва шу сабабли узатманинг чиқиш кесимига келтириб ҳисоблаш мутлақо  $\Phi_d$ ,  $\Phi_m$  координаталарининг тенглигини англатмайди. Агар узатма мутлақо бикр бўлганда эди, бундай тенглик мавжуд бўларди.

Эластик вал  $b$  кесимиининг  $a$  кесимига нисбатан бурилиши  $\Phi_m - \Phi_d$  ни ташкил этади. Шунинг учун узатмадан иш машинасига қўйилган эластиклик моменти  $M$  қўйидагича ифодаланади:

$$M_{ba} = -c(\Phi_m - \Phi_d), \quad (9.3)$$

бунда:  $c$  — чиқиш кесими  $b$  га келтирилган эластик валнинг бикрлиги; минус ишораси эластик элементнинг акс таъсири ҳамма вақт унинг деформацияланиш йўналишига қарама-қарши бўлишини билдиради.

Шунга кўра узатмадан  $D$ двигателга қўйилган  $M_{da}$  эластиклик моменти  $M_{ba}$  га тенг бўлади, шунинг учун

$$M_{da} = -c(\Phi_d - \Phi_m). \quad (9.4)$$

Тебраниш жараёни ҳамма вақт қаршилик кучлари (дисипатив кучлар деб аталади) таъсирида содир бўлади. Бу кучларнинг табиият турлийчадир. Уларнинг сабаблари: кинематик жуфтликлардаги, шуниш-дек деталларнинг қўзғалмас биримларидаги ишқаланиш (резъбалардаги учма-уч бирекиши жонларидағи ва шу кабилардаги конструкцион ишқаланиш); материал зарралари орасида вужудга келувчи (металларда ўз-жуда кам буладиган) ички ишқаланиш; нюхоят, вужудга келувчи тебранишларни чеклаш мақсадида вали ўтказгичларга зарур ҳолларда ўзнатиладиган маҳсус демпферлар.

Қаршилик кучи билан ҳаракат хусусиятлари (характеристикалари)

орасидаги бөгланиш мурakkab бўлади. Бироқ тажриба шуни кўрсатадики, катта бўлмаган амплитудаларда (бу эса кўрилаётган масалага айнан хосдири) қаршилик кучи нисбий ҳаракат тезлигига тахминан му-  
тавосибдир, деб ҳисоблаш мумкин.

Қаршилик кучлари механизминг турли жойларида намоён бўлади. Бироқ уларни ҳар ҳолда битта кесимга келтириш ва битта қовушоқ қаршилик моменти билан алмаштириш мумкин. Шартли вал билан алмаштирилган  $Y$  узатма учун  $b$  кесимнинг  $a$  кесимга (9.1-шакл,  $\vartheta$ ) нисбатан тезлиги  $\Phi_m - \Phi_d$  бўлгани учун узатмадан иш машинаси  $M$  га қўйилган қовушоқ қаршилик моменти қўйидагича ифодаланади:

$$M_{mn} = -k(\Phi_m - \Phi_d), \quad (9.5)$$

бунда:  $k$  —  $b$  кесимга келтирилган қаршилик коэффициенти; минус ишо-  
роси қаршилик моменти ҳамма вақт нисбий тезликка қарши йўналган-  
лигини билдиради. Худди шунга ўхшаш, узатмадан  $D$  двигателга  
қўйилган қовушоқ қаршилик моменти қўйидагича ёзилади:

$$M_{dn} = -k(\Phi_d - \Phi_m). \quad (9.6)$$

Агар кесим  $I$  га (9.1-расм,  $b$ ) келтирилган қаршилик коэффициенти  $k_{1b}$  ни аниқлаш лозим бўлса эди, у ҳолда  $k_{1b} = k_{61} u_{62}^2$  бўлар эди, бунда  $k_{61}$  — кесим  $b$  га келтирилган қаршилик коэффициенти. Қаршилик коэффициентининг қиймати тажриба йўли билан топилади.

Машинади агрегатнинг ҳаракат тенгламаларини тузамиз. Узатма бў-  
ғинларининг эластик деформацияси ҳисобга олинганлиги учун унинг  
кириш ва чиқиш хусусиятлари орасида бикр кинематик бөгланиши ма-  
жуд бўлмайди, чунки механизминг асосий ҳаракатига тебраима жа-  
раён кўшилган. Бинобарин, механизм энди битта эмас (абсолют бикр  
узатмага эга бўлгандағи каби), балки иккита эркинлик даражасига эга  
бўлади, шу сабабли уни тадқиқ этиш учун иккита умумлашган коорди-  
ната белгилаш ва иккита ҳаракат тенгламасини тузиш лозим. Илгари  
айтиб ўтилганидек, узатма бўғинларининг инертилилиги кичиклиги са-  
бабли уни ҳисобга олмайди.

Дастлаб иш машинасининг тенгламасини дифференциал қўринишда  
ёзамиз (4.5-§ га қаранг). Бошлангич бўғин сифатида иш машинасининг  
 $\Phi_{n,m} = \Phi_m$  координатали кириш валини танлаймиз. Унга иш машинаси  
механизмларига қўйилган ҳамма масса ва кучларни келтирамиз (4.4 ва  
4.3-яларга қаранг), сўнгра қўйидагини ёзамиз:

$$J_m \ddot{\Phi}_m + \frac{1}{2} \frac{d J_m}{d \dot{\Phi}_m} \dot{\Phi}_m^2 = M_{I_m}.$$

Келтирилган моментлар йиғиндиси  $M_{\Sigma_m}$  га иш машинасининг кел-  
тирилган қаршилик моменти  $M_m(\Phi_m, \dot{\Phi}_m)$  ва узатмадан иш машинаси  
валига қўйилган  $M_{my}$  момент киради.  $M_{my}$  момент  $M_{n,m}$  — эластиклик  
моменти ва  $M_{mn}$  — қовушоқ қаршилик моментидан ташкил топади  
[9.3] ва [9.5] тенгламаларга қаранг], яъни

$$M_{\text{м}} = M_{\text{в.м}} + M_{\text{мн}} = -c(\varphi_m - \varphi_d) - k(\varphi_m - \varphi_d). \quad (9.7)$$

Энди иш машинасининг тенгламаси қўйидаги кўринишни олади:

$$J_m \dot{\varphi}_m + \frac{1}{2} \frac{dJ_m}{d\varphi_m} \dot{\varphi}_m^2 = M_m(\varphi_m, \dot{\varphi}_m) - c(\varphi_m - \varphi_d) - k(\dot{\varphi}_m - \dot{\varphi}_d) \quad (9.8)$$

Механизми исталган тузилишга эга бўлган двигателнинг тенгламасини тузамиз.  $\varphi_{\text{да}}$  координатали двигателнинг чиқиш валини бошлиғич бўғин сифатидә танлаймиз. Двигатель механизмига қўйилган  $\dot{x}$  масса ва кучларни унга келтирган ҳолда қўйидагини ёзамиз:

$$J_{\text{да}} \dot{\varphi}_{\text{да}} + \frac{1}{2} \frac{dJ_{\text{да}}}{d\varphi_{\text{да}}} \dot{\varphi}_{\text{да}}^2 = M_{\Sigma \text{да}}$$

Келтирилган моментлар йигиндиси  $M_{\Sigma \text{да}}$  га келтирилган юрттувчи момент  $M_{\text{да}}(\varphi_{\text{да}}, \dot{\varphi}_{\text{да}})$  ва узатмадан двигатель валига қўйилган  $M_{\text{дау}}$  момент киради.

Узатмани шартли вал билан алмаштириш (9.1-рәсм, 2) двигателнинг кинематик хусусиятларини (9.2) тенгламаларга кўра унинг чиқиш кесимига келтириб ҳисоблашни талаб қилди. Шу сабабнинг ўзи двигателнинг келтирилган инерция моменти  $J_{\text{да}}$  ни ва унинг  $dJ_{\text{да}}/d\varphi_{\text{да}}$  ҳосиласини, шунингдек  $M_{\text{да}}$  ва  $M_{\text{дау}}$  моментларни қўйидаги тенгламаларга кўра узатманинг чиқиш кесимига келтириб ҳисоблашга мажбур қиласди:

$$J_{\text{да}} = \frac{J_{\text{да}}}{u_{\text{да}}^2}; \quad \frac{dJ_{\text{да}}}{d\varphi_{\text{да}}} = \frac{1}{u_{\text{ВА}}^3} \frac{dJ_{\text{да}}}{d\varphi_{\text{да}}}; \quad M_{\text{да}} = \frac{M_{\text{да}}}{u_{\text{ВА}}}; \quad M_{\text{дау}} = \frac{M_{\text{дау}}}{u_{\text{ВА}}}. \quad (9.9)$$

9.1-расмда тасвиirlangan узатма учун  $u_{\text{ВА}} = u_{52} = s_2 s_4 / (s_3 s_5)$ .

$M_{\text{дау}}$  момент иккита ташкил этувчидан иборат:  $M_{\text{да}}$  ва  $M_{\text{дау}}$  [(9.4) ва (9.6) тенгламаларга қаранг]. Буни ҳисобга олиб, шунингдек (9.2) ва (9.9) тенгламалардан фойдаланган ҳолда оддий ўзгартиришларни амалга оширгандан сўнг қўйидагини ҳосил қиласми:

$$J_{\text{да}} \dot{\varphi}_{\text{да}} + \frac{1}{2} \frac{dJ_{\text{да}}}{d\varphi_{\text{да}}} \dot{\varphi}_{\text{да}}^2 = M_{\text{да}}(\varphi_{\text{да}}, \dot{\varphi}_{\text{да}}) - c(\varphi_{\text{да}} - \varphi_m) - k(\dot{\varphi}_{\text{да}} - \dot{\varphi}_m). \quad (9.10)$$

(9.8) ва (9.10) тенгламалар системаси орқали узатма бўғинларининг эластиклигини ҳисобга олган ҳолда машиналари агрегатда содир бўладиган динамик жараёнлар тавсифлаб берилади.  $\varphi_{\text{да}} = \varphi_{\text{да}}(t)$  ва  $\varphi_m = \varphi_m(t)$  умумлашган координаталар ушбу системадаги номаътум функциялар бўлади.

Олдинроқ, узатмани эластик вал билан алмаштирганда, ушбу вал кесимининг  $\varphi_{\text{да}}$ ,  $\dot{\varphi}_{\text{да}}$ ,  $\ddot{\varphi}_{\text{да}}$  кинематик хусусиятлари узатма чиқиш вали  $B$  кесимининг кинематик хусусиятларига айнан ўхшашиб олнигандай ва бу ҳол (9.1) тенгламалар кўринишидан ёзилган эди. Бироқ бу шартнинг ўрнига тенг маъноли бошқа бир

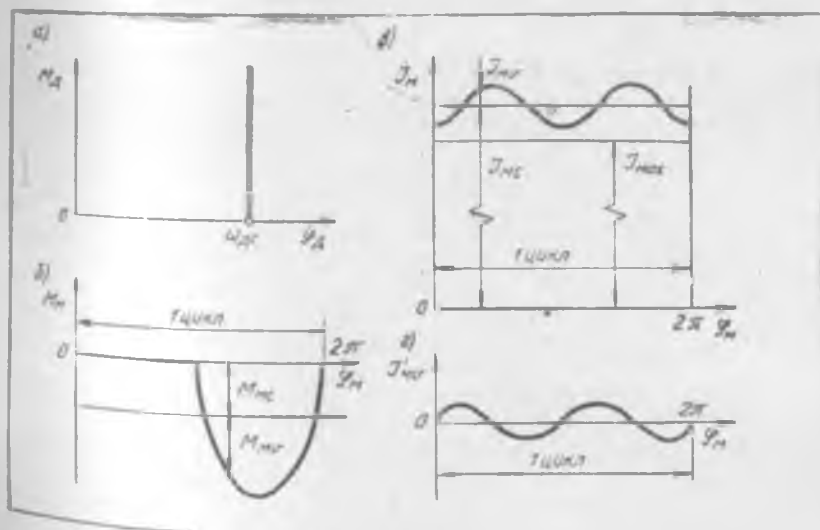
шарттың ҳам илгари сурىш мүмкін едіс әлгестик вад а кесимининг  $\Phi_d$ ,  $\Phi_d$  кинематик хусусиятлары узатма кириш вали  $A$  кесимининг кинематик хусусиятларынга айнан ұхшайды, яғни  $\Phi_d = \Phi_{da}$ ;  $\Phi_d = \Phi_{da}$ ;  $\Phi_d = \Phi_{da}$  булади. У ҳолда (9.1), (9.2) ва (9.9) тенгламалар үз күчларини дұкотган бұларды. Иккінші шарт илгари суралғадиган бұлса, иш машинасининг кинематик, инерцион ва күч хусусиятларининг ҳаммасының узатма кириш валишінг  $A$  кесимінде көлтириб ҳисоблаш лозим бұларды. Бұл кесимге  $c$  бикрлик ва  $k$  қаршилик коэффициентларини көлтириш зарур бұлар еди, яғни  $c_{ab} = c_{ba} u_{AA}^2$ ,  $k_{ab} = k_{ba} u_{BA}^2$ .

Бундан кейинги келадиган баёнда биринчи шарт ва у билан бөлгілік бұлған (9.1), (9.2) ва (9.9) тенгламалардан фойдаланылышын айтқыншама.

### 9.2- §. Машиналы агрегаттың барқарор ҳаракаты

Машиналы агрегаттың кичик қийматлы нотекислик коэффициенттері билан амалға ошувчы барқарор ҳаракатын күріп чиқамыз. Агрегат двигателін — роторлы машинадан, узатыш механизмы — узатыш нисбати  $u_{AA} = u_{B2} = \delta_2 \delta_4 / (\delta_3 \delta_5)$  га тенг тишли узатмадан (9.1-расм) иборат бұлған, иш машинасы эса ричагли, айттайлик, кривошип-ползуны механизмға ега бұлған типтк мисолни күріп чиқамыз.

(9.2) ва (9.9) тенгламалар бүйіча двигателіннің ҳамма кинематик, инерцион ва күч хусусияттарының узатманинг чиқынш вали  $B$  кесимінде көлтириб ҳисблаймыз.  $c = c_{61}$  бикрлик коэффициентінің ва  $k = k_{61}$  қаршилик коэффициентінің ҳам ана шу кесимінде көлтирамыз.



9.2- расм

Двигатель мутлақо үзгармас хусусиятга эга бўлсин (9.2-расм, а); унинг моменти бурилиш бурчагига боғлиқ эмас:  $M_d = \text{invar}(\varphi_d)$ ; роторининг инерция моменти эса үзгармасдири:  $J = \text{const}$ . 4.11-даги айтниб ўтганимиздек, иш машинасининг қаршилик моментини алганда тезлигига боғлиқ эмас деб қараймиз:  $M_m = \text{invar}(\varphi_m)$ . Бирок  $M_m$  моменти  $\varphi_m$  бурилиш бурчагига анчагина боғлиқ (9.2-расм, б). Айниятни иккита қўшилувчининг йиғиндиси деб қараймиз:  $M_m = M_{mc} + M_{mv}$ , бунда

$$M_{mc} = \frac{1}{2\pi} \int_0^{2\pi} M_m(\varphi_m) d\varphi_m = \text{const}; \quad M_{mv} = \text{var}, \quad \text{бирок} \\ \int_0^{2\pi} M_{mv}(\varphi_m) d\varphi_m = 0.$$

Механизмнинг иш машинаси валига келтирилган  $J_m$  инерция моменти ва унинг  $dJ_m/d\varphi_m$  ҳосиласи 9.2-расм, в, г да кўрсатилигац.  $J_m = J_{mc} + J_{mv}$  деб оламиш; бунда

$$J_{mc} = \frac{1}{2\pi} \int_0^{2\pi} J_m(\varphi_m) d\varphi_m = \text{const};$$

$$J_{mv} = \text{var}; \quad \int_0^{2\pi} J_{mv}(\varphi_m) d\varphi_m = 0.$$

Бироқ

$$\frac{dJ_m}{d\varphi_m} = \frac{dJ_{mc}}{d\varphi_m} = J'_{mc}; \quad \int_0^{2\pi} J'_{mc}(\varphi_m) d\varphi_m = 0$$

жанлигини пайқаш қийин эмас.

Буни ҳисобга олган ҳолда машинали агрегатнинг ҳаракатига доир (9.8) ва (9.10) тенгламаларни қўйидаги кўринишда ёзамиз:

$$J_{mc}\dot{\varphi}_m + J_{mv}\dot{\varphi}_m + \frac{1}{2} J'_{mc}\dot{\varphi}_m^2 = \\ = M_{mc} + M_{mv} - c(\varphi_m - \varphi_d) - k(\varphi_m - \varphi_d); \quad (9.11)$$

$$J_d\dot{\varphi}_d = M_d - c(\varphi_d - \varphi_m) - k(\varphi_d - \varphi_m). \quad (9.12)$$

(9.11) тенгламани қўйидаги кўринишда ёзамиз.

$$J_{mc}\dot{\varphi} = M_{my} + M_{mc} + \left[ M_{mv} + \left( -j_{mv}\varphi_m - \frac{1}{2} J'_{mv}\dot{\varphi}_m^2 \right) \right],$$

бунда  $M_{my}$  — узатмадан машинага қўйилган момент, у (9.7) тенгламадан аниқланади.  $M_{mv} = \text{const}$  жанлигини эслатиб ўтамиш (9.2-расм, в). Катта қавслар ичига олинган ҳадлар  $\varphi_m$  бурчак координатасига оштир боғлиқ бўлиб (9.2-расм, б, в, г га қаранг), улар даврий равишда ўзгиради. Уларни битта белги билан бирлаштирамиз:

$$L_{\text{мв}}(\Phi_m) = M_{\text{мв}} + \left( -J_{\text{мв}} \dot{\Phi}_m - \frac{1}{2} J'_{\text{мв}} \ddot{\Phi}_m^2 \right). \quad (9.13)$$

Энді (9.11) тенглама қойнады күрниншни олади:

$$J_{\text{мс}} \ddot{\Phi}_m = M_{\text{му}} + M_{\text{мс}} + L_{\text{мв}}(\Phi_m). \quad (9.14)$$

(9.12) тенгламани ҳам шу тарзда ёзамиз:

$$J_{\text{д}} \ddot{\Phi}_{\text{д}} = M_{\text{д}} + M_{\text{дн}}, \quad (9.15)$$

Бұра ерда  $M_{\text{д}} = M_{\text{дн}} + M_{\text{ди}}$  — узатмадан двигателга құйылған момент (9.4) ва (9.6) тенгламаларға қаранды.

Текшириләтгән машиналы агрегаттың (9.14) ва (9.15) тенгламаларға күра құрылған динамик нұсқаси 9.3-расмда тасвирланған. (9.14) ва (9.15) тенгламаларни излаңайтқан  $\Phi_m(t)$  ва  $\Phi_{\text{д}}(t)$  функцияларға нисбетан ечамиз.

Двигателнинг хусусияти (характеристикасы) мутлақо үзгармас бұлғанлығы сабаби (яғни 9.2 дагы вертикаль чизик)  $\Phi_{\text{д}}(t)$  ни ва уннан ҳосилдаларни тезгина ечамиз:

$$\Phi_{\text{д}} = \omega_{\text{д}} = \text{const},$$

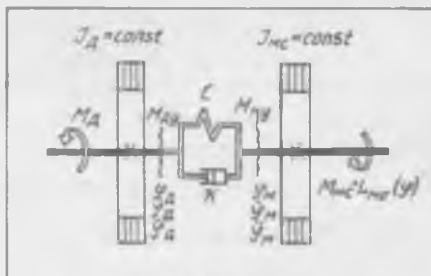
$$\Phi_{\text{д}} = \omega_{\text{д}} \cdot t; \quad \ddot{\Phi}_{\text{д}} = 0. \quad (9.16)$$

Шундай қылтаб, двигатель вали  $\omega_{\text{д}} = \omega_{\text{д}} / u_{42} = \text{const}$  бурчак тезлік билан бир текис айланады. Узатмашынг кесимінде көлтириб ҳисобланған  $M_{\text{д}}$  юритувчи момент, бинобарн, двигателнинг  $M_{\text{д}} = M_{\text{д}} u_{42}$  ҳақиқий моменти үзгаруваң қнейматта эга булади.

$M_{\text{д}}(t)$  момент  $\Phi_{\text{д}}(t)$  топилғандан сүнг (9.12) тенгламадан анықладады.

(9.16) тенгламани ечгандан сүнг (9.14) тенгламаның өйма шакли бұлған (9.11) тенглама фәқат битта номағым  $\Phi_m(t)$  функцияни үз ичита олишиш күрамыз да ана шу функцияны шу тенгламаның үзидан анықтаймиз. Күриниб турғаныдек, у үзгаруваң коэффициентлары бұлған чизикпен дифференциал тенгламадыр. Уни ечиш учун чизикпен механикада көңг құлланиладын кет-ча-кет яқынлаштиришилар усулидан фойдаланамиз. Ушбу усулни машина да механизмдар назариясидеги динамик масалаларға татбиқан бириңчи бұлиб М. З. Коловский ишлаб чынбы, мұваффақият билан құллаган эди.

(9.14) тенгламаның ўнг томонида  $\Phi_m$  бурчак координатасында ошкор бөлілік бұлған  $L_{\text{мв}}(\Phi_m)$  ҳаднинг үзини қолдидамыз, қолған құшылувчиларни әса чап томонига үтказамыз да уни (9.7) тенгламаны ҳисебға олар қолда ёзимиз:



9.3- расм

$$J_{mc} \dot{\Phi}_m + k \Phi_m + c \dot{\Phi}_m - (k \Phi_d + c \dot{\Phi}_d + M_{mc}) = L_{mo} (\Phi)_m. \quad (9.17)$$

(9.17) тенгламадаги  $J_{mc}$ ,  $M_{mc}$ ,  $k$ ,  $c$  — ҳаракат жараёнида ўзгармайдиган катталиклар. Айни вақтда (9.17) тенгламанинг ўнг томондаги  $L_{mo}(\Phi_m)$  ҳад даврій равища ўзгарады. У төбранма жараёни келтириб шықаруучи таъсирнинг математик ифодасидір. Бу таъсир [(9.13) тенгламага қаранды] иш машинаси томоннан содир қыллады. Ўни, биринчидан, иш машинасининг технологик жараёни  $M_{mo}$  құшилувчи ва, иккінчидан, машинаниң кривошип-ползуунлы механизмі  $-(-J_{mc} \dot{\Phi}_m - J_{mo} \dot{\Phi}_M)/2$  құшилувчи вужуда келтирады. Бундан бүён  $L_{mo}(\Phi_m)$  күпхадни мажбурловчи момент деб атамыз.

Изланаётган  $\Phi_m(t)$  ҳаракат қонуинин кетма-көт яқинлаштириш жараёнида аниқтаймиз.

1-яқинлаштириш. Иш машинаси валининг айланыш нотекислиги камтлғанын олдиндан билганимиз сабабты даставвал ушбу нотекислигини вужуда келтирувчи  $L_{mo}(\Phi_m)$  моментни тахминан нолға тенг деб фараз қыламыз. Буни ҳисобға олган ҳолда (9.17) тенгламага (9.16) ечимини құйамыз. У ҳолда

$$J_{mc} \ddot{\Phi}_m + k(\Phi_m - \omega_{dc}) + c(\dot{\Phi}_m - \omega_{dc}) - M_{mc} = 0.$$

Ушбу дифференциал тенгламанинг барқарорлашган тартиб учун ечими қойындағы күринишінде әга бўлади:  $\Phi_m = \omega_{dc} t - \Delta$ ;  $\dot{\Phi}_m = \omega_{dc} = \text{const}$ ;  $\ddot{\Phi}_m = 0$ , бу ерда

$$\Delta = -M_{mc}/c. \quad (9.18)$$

Шундай қилып, биринчи яқинлаштиришда агрегатнинг икката вали бир текис айланады: иш машинаси валининг бурчак тезлигі  $\dot{\Phi}_m = \omega_{mc} = \omega_{dc} = \omega_{dc} u_{52} = \text{const}$  га тенг. Узатманинг В чиқиши кесими ҳамда А кириш кесими координаталари (9.1-расм, б)  $\Phi_m = \Phi_{dc} u_{52} - \Delta$  мунодабабат орқали боғланган, бу ерда  $\Delta = \text{const}$  — узатманинг чиқиши кесимиңінде келтирилген статик деформациясы.

2-яқинлаштириш. Энди  $L_{mo}(\Phi_m)$  мажбурловчи моментнинг таъсирини ҳисоблаімиз. Бунинг учун уннинг ифодасига [(9.13) тенгламага] 1-яқинлаштириш натижаларын құйамыз. У ҳолда  $L_{mo} = M_{mo} - J_{mo} \omega_{mc}^2/2$  ни ҳосил қыламыз, бу ерда  $M_{mo}$  ва  $J_{mo}$  лар биринчи яқинлаштиришда олинған  $\Phi_m = \omega_{mc} t - \Delta$  бурчакка, яъни  $t$  вақтта даврій тарзда боғланып бўлади. Шу сабабы  $L_{mo} = L_{mo}(t)$  вақтнинг даврій функциясын бўлади.

Иккінчи яқинлаштириш учун (9.17) тенгламанинг  $\Phi_m = \Phi_m(t)$  ечимини қойындағы күринишда излаймиз:

$$\Phi_m = \omega_{mc} t - \Delta + \eta, \quad (9.19)$$

бунда  $\eta = \eta(t)$  — динамик деформация. (9.19) тенгламадан  $\Phi_M = \omega_{mc} + \ddot{\eta}$ ;  $\Phi_M = \eta$  ларни аниқтайды. Олинган ифодаларни (9.17) тенгламага құйымыз ва мураккаб бүлмаган ұзgartыришларни амалға ошириб қойындағын қосып қынлады:

$$J_{mc} \ddot{\eta} + k \dot{\eta} + c \eta = L_{mc}(t). \quad (9.20)$$

$L_{mc}(t)$  мажбурловчи моментни Фурье қаторига ёдымыз:

$$\begin{aligned} L_{mc}(t) &= L_{mA1} \cos(\omega_{mc} t - \Delta - \beta_1) + L_{mA2} \cos(2\omega_{mc} t - 2\Delta - \beta_2) + \dots \\ &= \sum_{l=1}^{\infty} L_{mA_l} \cos(l\omega_{mc} t - l\Delta - \beta_l); \end{aligned}$$

$L_{mA_l}$  амплитудалар әсір  $\beta_l$  фазалар Фурье қаторига ёйиш формулаларынан аниқтанды. Энди (9.20) тенгламаны ечиш учун суперпозиция принципінан фойдаланиш мүмкін:

$$\eta = \eta_1 + \eta_2 + \dots = \sum_{l=1}^{\infty} \eta_l. \quad (9.21)$$

Биринчі құшилувчи  $\eta_1$  ни үнг томонига Фурье қатори ёйилмасынинг  $l$ -гармоникасы құйилған (9.20) дифференциал тенгламадан аниқтайды:

$$J_{mc} \ddot{\eta}_1 + k \dot{\eta}_1 + c \eta_1 = L_{mA1} \cos(\omega_{mc} t - \Delta - \beta_1).$$

Барқарор тартыб учун назарий механика курсидан яхши маълум бүлган үшбу тенгламанинг фақат хусусий ечимини топиш лозим:

$$\begin{aligned} \eta_1 &= \frac{L_{mA1}}{\sqrt{(c - \omega_{mc}^2 J_{mc})^2 + (k \omega_{mc})^2}} \cos(\omega_{mc} t - \Delta - \beta_1 - \gamma_1) = \\ &= \eta_{A1} \cos(\omega_{mc} t - \Delta \beta_1 - \gamma_1), \end{aligned} \quad (9.22)$$

бу ерда  $\operatorname{tg} \gamma_1 = k \omega_{mc} / (c - \omega_{mc}^2 J_{mc})$ .

$i$ -тартыблы  $\eta_i$  құшилувчи учун хусусий ечимни ҳам юқоридагидек қосып қынлады:

$$\begin{aligned} \eta_i &= \frac{L_{mA1}}{\sqrt{[c - (i \omega_{mc})^2 J_{mc}]^2 + (ki \omega_{mc})^2}} \cos(i\omega_{mc} t - i\Delta - \beta_i - \gamma_i) = \\ &= \eta_{Ai} \cos(i\omega_{mc} t - i\Delta - \beta_i - \gamma_i), \end{aligned}$$

бу ерда  $\operatorname{tg} \gamma_i = k i \omega_{mc} / [c - (i \omega_{mc})^2 J_{mc}]$ ,

Шундай қилиб,  $\eta = \eta(t)$  узатыш механизмнинг мойиллиги вужудаға келтирадынан ва машиналы агрегатнинг асосын ҳаракатига құшилиб кетедиган динамик деформациядир [(9.19) тенгламага қаранг]. Үшбу динамик деформация  $v_1 = \omega_{mc}$ ,  $v_2 = 2\omega_{mc}$ ,  $v_3 = 3\omega_{mc}$ , ..., частоталар болып амалға ошадын эластик гармоник төбәрнешлар йигиндиси сифатында ифодаланады, бу ерда  $\omega_{mc}$  — иш машинасининг үртаса бурчак тезлигі. Илгари айтылғаныдек,

$$\omega_{mc} = \omega_{mc}'' = \omega_{AB}'' = \text{const}. \quad (9.23)$$

(9.21) қатор одатда тезда яқинлашувини назарда тутиш лозим. Дар-хақиқат,  $L_{m1}, L_{m2}, L_{m3} \dots$  амплитудалар қийматлари одатда (9.21) қатор ҳадининг  $i$ -тартиби ошиб бориши билан бир текис кичрайиб боради ва бунинг устнага  $i$ -тартиб  $\eta_{1i}, \eta_{2i}, \eta_{3i} \dots$  амплитудалар қийматларининг маҳражларида ҳам булади. Шу сабабли масалани тақрибан ечаётганда кўп ҳолларда I-гармоника таъсиридан вужудга келадиган  $\eta_i(i)$  функциянигина кўриб чиқиш кифоя.

### 9.3-§. Бўғинларнинг эластиклиги таъсирини текшириш

Агрегатнинг хусусий тебранишлар частотасини аниқлайдиз. Бунинг учун механизмдан мажбуровчи момент ( $L_{mc} = 0$ ) ва вушоқ қаршилик ( $k = 0$ ) ни олиб таштаймиз. У ҳолда (9.20) дифференциал тенглама хусусий (эркин) тебранишларни ифодалайди ва қўйидаги кўринишида булади:

$$\ddot{\eta} + c\eta = 0.$$

Бундан назарий механика қондларига асосан хусусий тебранишлар частотасини аниқлайдиз:

$$\rho = \sqrt{c/J_{mc}}. \quad (9.24)$$

Бу ерда  $\rho$  Гц да ўлчанадиган даврийлик жараёни частотаси эмас, балки бирлиги рад/с бўлган бурчак частотаси эканлигини таъкидлаб ўтамиш.

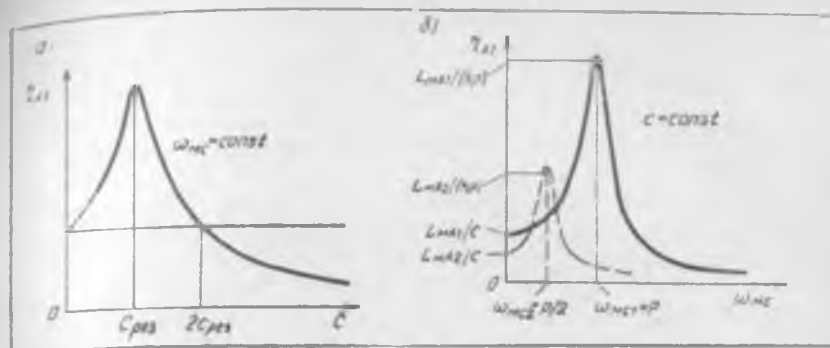
Узатманинг эластиклиги иш машинасининг ҳаракат қонунига қандай таъсири қилишини кўриб чиқамиш. (9.22) тенгламага мувофиқ ғазаёнлатувчи моментнинг фақат биринчи гармоникасини ҳисоблашда  $\eta_{1i}$  динамик деформация амплитудаси

$$\eta_{1i} = \frac{L_{m1i}}{\sqrt{(c - \omega_{mc}^2 J_{mc})^2 + (k\omega_{mc})^2}}. \quad (9.25)$$

Иш машинаси бурчак тезлиги  $\omega_{mc}$  нинг қиймати ўзгармас бўлгандаи  $\eta_{1i} = \eta_{1i}(c)$  функция 9.4-расм, ада келтирилган\*.

Юк статик бўлганда бикрликнинг ошиши деформациянинг камайишига олиб келади. Бироқ, динамик тебраниш жараёни шаронтида деформациянинг бикрликка боғлиқлиги мураккаброқдир. Агар бикрлик кичик бўлса ( $c < c_{pe}$ , бу ерда  $c_{pe} = \omega_{mc}^2 J_{mc}$  — динамик деформациянинг энг юкори бўлишини таъминлайдиган бикрлик), у ҳолда даврий юкланишида бикрликнинг ошиши деформациянинг ошишига (камайишига эмас) сабаб булади (9.4-расм, a). Агар бикрлик катта бўлса ( $c > c_{pe}$ ), у ҳолда бикрлик ошганда деформация камаяди. Конструктор узатиш ме-

\* Бикрлик онинг жуда кичик қийматларини конструктив жиҳатдан таъминлашиб бўлмайди; шу сабабли унинг жуда кичик қийматлари ( $c = 0$  да) соҳасига графики штрихлар билан кўрсатилган.



9.4- расм

ханизмини лойиҳалаётганида резонанс ҳодисасига дуч келмаслик учун бикрликнинг бундай таъсирини албатта ҳисобга олиши лозим.

9.4-расм, б да туаш чизик билан узатма бикрлиги с нинг берилган қийматидаги  $\eta_{A1} = \eta_{A1}(\omega_{mc})$  боғлиқлик тасвирланган. Системада резонанс I- гармониканинг  $v_1$  частотаси хусусий частота билан мос келганды, яни  $v_1 = p$  да бошланади. I- гармоника частотаси иш машинасининг ўртага бурчак теэлигига тенг ( $v_1 = \omega_{mc}$ ) бўлганлиги учун, резонанс  $\omega_{mc} = \omega_{mc1} = p$  бўлганда ёки (9.24) тенгламага асосан  $\omega_{mc} = \omega_{mc1} = \sqrt{c/J_{mc}}$  бўлганда бошланади. Шу сабабли резонансда  $\eta_{A1} = L_{m1}/(kp)$  бўлади (9.25) тенгламага қаранг].

Назарий механика курсидан маълум бўлган динамиклик коэффициентини киритамиш:

$$\sigma_1 = \frac{\eta_{A1}}{L_{m1}/c},$$

бу ерда  $L_{m1}/c$  — мажбурловчи момент I- гармоникасининг амплитуда қиймати  $L_{m1}$  га тенг бўлган момент вужудга келтира оладиган статик деформация. Шундай қилиб, бирдан катта бўлган  $\sigma_1$  коэффициент динамик деформация туфайли агрегатнинг ортиқча юкланишини билдиради.  $\omega_{mc} = p = \sqrt{c/J_{mc}}$  бўлгандаги резонанс ҳолатида

$$\sigma_{pesl} = c/(kp) = \sqrt{c/J_{mc}}/k$$

бўлади.

Кўриниб турибдики, динамиклик коэффициентининг резонанс қиймати  $k$  қаршиликка боғлиқ экан. Агар қаршилик бўлмаганда эди ( $k = 0$ ), у ҳолда  $\sigma_{pesl} \rightarrow \infty$  бўлур эди. Бироқ оз бўлса ҳам ҳамма вақт қаршилик мавжуд бўлади. Бинобарин,  $\delta_{pesl}$  чекланган катталикка эга бўлади, бироқ бу катталик 15 ... 20 та қийматга этиши мумкин. Шу сабабли иш машинаси резонанс тартибида ( $\omega_{mc} = \omega_{mc1}$ ) ишлаши мумкин эмас. Агар бу тартибдан қутулиш мумкин бўлмаса, у ҳолда сунъий равнишда қаршиликни ошириб,  $\sigma_{pesl}$  ни камайтирадиган *максус демпфер* Кўйиш лозим бўлади.

Хисоблашларнинг кўрсатишинча, агар иш машинасининг ўрта бурчак тезлиги  $\omega_{mc}$  хусусий частота  $p$  дан 1, 5 ... 2 марта фарқ қилса, у ҳолда қаршилик, одатда, мажбурий тебранишлар амплитудаси  $M_{y1}$  каталигига деярли таъсири этмайди. Бу катталикини (9.25) формулаага  $b = 0$  ни қўйиб аниқлаш мумкин (қ.: Феодосьев В. И. Сопротивление материалов. М., 1974).

Иш машинаси ишләётгап вақтдаги  $\omega_{mc}$  бурчак тезлиги унинг хусусий частотаси  $p$  дан кичик бўлса, у ҳолда 2-ва бундан юқори гармоникалар вужудга келтирадиган резонансларнинг йўқлигини текшириш лозим. Частотаси  $v_2 = 2\omega_{mc}$  га тенг бўлган 2-гармоника учун резонанс  $v_2 = p$  бўлганда бошланади, бундан  $\omega_{mc2} = p/2$ . 2-гармоника вужудга келтирадиган  $\eta_{A2}(\omega_{mc})$  тебранишлар амплитудаси графиги 9.4-расм, б да штрихлар билан кўрсатилган.

Иш машинасидан узатмага тушадиган  $M_{yu} = -M_{my}$  моментни, яъни  $B$  кесимдаги моментни (9.1-расм, а) кўриб чиқамиз. (9.7) тенгламага асосан

$$M_{yu} = k(\varphi_m - \varphi_d) + c(\dot{\varphi}_m - \dot{\varphi}_d).$$

Ушбу тенгламани (9.16), (9.18), (9.19) ва (9.23) тенгламаларни назарда тутган ҳолда ўзгартирдик. Оддий ўзгартиришлардан сўнг қўйидағига эга бўламиш:

$$M_{yu} = M_{mc} + (k\eta + c\dot{\eta}). \quad (9.26)$$

(9.26) тенгламадаги биринчи қўшилувчи узатмага тушадиган  $M_{mc}$  ўзгармас моментдир. Қавс ичига олинган иккihad  $M_{yu} = k\eta + c\dot{\eta}$  юнинг ўзгарувчан динамик ташкил этувчисидир. Фақат I-гармоникага ғалаёнлантирувчи моментни киритган ҳолда  $M_{yu}$  ташкил этувчини кўриб чиқамиз:

$$M_{yel} = k\eta + c\dot{\eta}.$$

Бунинг учун дастлаб  $\eta_1(t)$  муносабатни аниқлаймиз.

(9.22) тенгламага асосан  $\eta_1 = -\eta_{A1} \omega_{mc} \sin(\omega_{mc} t - \alpha_1)$ , бунда  $\alpha_1 = \Delta + \beta_1 + \gamma_1$ . Шу сабабли  $M_{yel} = -k\eta_{A1} \omega_{mc} \sin(\omega_{mc} t - \alpha_1) + c\eta_{A1} \cos(\omega_{mc} t - \alpha_1)$ . Элементар тригонометрик ўзгартиришлардан сўнг ушбуни ҳосил қиласиз:

$$\begin{aligned} M_{yel} &= \eta_{A1} \sqrt{c^2 + (k\omega_{mc})^2} \cos(\omega_{mc} t - \alpha_1 + \delta_1) = \\ &= M_{yA1} \cos(\omega_{mc} t - \alpha_1 + \delta_1). \end{aligned}$$

М. З. Коловский таклифига биноан узатманинг динамик юкланганлик даражаси  $\chi_1$  ни киритамиз. Уни (9.25) тенгламага эътибор берган ҳолда,  $M_{yu}$  динамик ташкил этувчидаги I-гармоника ампли-

тудаси  $M_{yAI}$  нинг  $L_{mo}$  мажбурловчи моментнинг 1- гармоника ампли-  
тудаси  $L_{mAI}$  га нисбатидан аниқлашмиз:

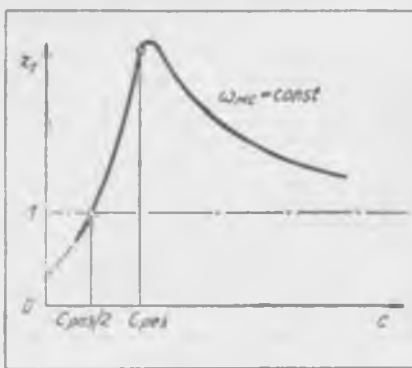
$$\chi_1 = \frac{M_{yAI}}{L_{mAI}} = \frac{\sqrt{c^2 + (k\omega_{mc})^2}}{\sqrt{(c - \omega_{mc}^2 J_{mc})^2 + (k\omega_{mc})^2}}. \quad (9.27)$$

$\omega_{mc}$  нинг ўзгармас қимматидаги  $\chi_1 = \chi_1(c)$  графиги 9.5-расмда күр-  
ттылган. Агар  $\chi_1 > 1$  бўлса, узатиш механизмининг динамик ўта юк-  
ланиси содир бўлади. Резонансда, яъни  $c = c_{pes} = \omega_{mc}^2 J_{mc}$  бўлганда  
коэффициентнинг қиймати 1 дан анча ошиб кетниши мумкин.

(9.27) тенгламадан келиб чиқадики,  $c = c_{pes}/2$  бўлганда  $\chi_1$  коэффи-  
циент бирга тенг бўлади. Шуни айтиш мумкини, агар  $c = c_{pes}/2$  қий-  
мат учун биринчига қараганда юқорироқ тартибдаги гармоника-  
ларнинг  $\chi_1$  коэффициенти ҳисоб-  
лаб топилса, у ҳолда  $\chi_1 < 1$   
бўлади. Бошқача алтганди, агар бикрликни  $c < c_{pes}/2 = \omega_{mc}^2 J_{mc}/2$   
қилиб олинса, у ҳолда  $M_{yo}$  динамик  
момент ҳамма гармоникала-  
рининг  $M_{yAI}$  амплитудалари  $L_{mo}$   
мажбурловчи моментнинг мос ра-  
вишидаги  $L_{mAI}$  амплитудасидан ки-  
чиқ бўлади. Ушбу ҳолдан машина-  
ни агрегат  $AB$  қисмнинг (9.1-  
расм, а) динамик хусусиятларини  
яхшилаш учун фойдаланиш мум-  
кин.

Агар  $AB$  қисмда узатма  $Y$  билан кетма-кет равнішда эластик мур-  
та уласак ва унинг бикрлигини  $AB$  қисмнинг умумий бикрлиги  $c_{pes}/2$   
дан кам (яъни  $\omega_{mc}^2 J_{mc}/2$  дан кам) бўладиган қилиб таиласак, у ҳолда  
узатмага тушувчи моментнинг  $M_{yo}$  динамик ташкил этувчиси  $L_{mo}$  маж-  
бурловчи моментдан кичик бўлади. Бироқ бунда шуни эсдан чиқармас-  
лик лозимки, кичик қийматли бикрлик узатмани ўта юкланишдан сақ-  
лагани ҳолда ҳаддан ташқари катта деформациянинг вужудга келишига  
сабаб бўлиши мумкин. Шунинг учун  $AB$  қисм бикрлигининг камайинш  
чегарасини танлашда эҳтиёт бўлиш керак.

Бундан ташқари,  $c < c_{pes}/2$  лигидаги агрегат ишга тушнилганда унинг  
тезкор иш тартибига ўтиши муқаррар равнішда резонаанс соҳасини босиб  
ўтиш билан боғланган бўлади, чунки  $c < c_{pes}/2$  бўлганда иш машина-  
синынг ўртача бурчак тезлиги  $\omega_{mc}$  агрегатнинг хусусий тебранишлар  
частотаси  $\rho$  дан катта бўлади (резонанслан кейинги тартиб). Резонанс  
соҳасидан ўтаетгандага машина қисқа вақтга, аммо анча катта динамик  
ўта юкланиди. Бу жиҳатдан қараганда тўхташ жараёни айниқса хавфли  
бўладики, бунда двигатели ўчирилганидан сўнг ўз ҳолига ташлаб қўйил-



9.5- расм

ган машиналы агрегат унча катта бұлмаган қаршиликтар (кинематик жүфтіліктердеги ишқаланыштар ва шу кабилар) таъсирида тезлигини йүқтөтіп шештейди. Бунда резонанс соҳасини қайта босиб үтиш анча узоқ давом этиши мүмкін, буннің натижасыда мажбурнй тебранишларының амплитудасы йұл құйнб бұлмайдыган қыйматтагача ошиб кетади. Айнан вактда катта бикрілек ( $c > c_{res}$ ) эга бўлган конструкция учун иш машинасининг ўртача бурчак тезлиги  $\omega_m$  агрегатнинг хусусий тебранишлар частотаси  $\rho$  дан кичик бўлади (резонансдан олдингি тартиб), шунинг учун резонанс соҳасидан үтиш (ҳам олдинга, ҳам орқага) бўлмайди.

## 10- бөл

### ТИТРАШ АКТИВЛИГИ ВА МАШИНАЛАРНИ ТИТРАШДАН МУХОФАЗАЛАШ

Иш упумни юқори бўлган машиналарнинг ва құввати, юкланиши ва бошқа иш хусусиятлари оширилған тезжар транспорт воситаларнинг яратилиши мүкаррар равишда титраш ва титраш акустикаси майдонлари спектрларининг күчайнишыга ва кенгайишига олиб келади. Сијодта ва құрнишда кенг құлланыладиган титраш ва титратиб зарб берниш жараёнлари асосида ишлайдыган янги, юқори даражада самарали машиналар ҳам әна шундай оқибатларга олиб келади. Зарарлы титраш конструктор томонидан планлаштирилган машиналар, механизмлар ва бошқарын системаларнинг харякат қонууларини бузади, иш жараёнларнинг нобарқарорлыгыни вужудга келтиради ва бутун системанинг ишламай қолишига ёкн бутуналай ишдан чиқишига сабаб бўлади. Титраш натижасыда конструкция элементларында (механизмларнинг кинематик жүфтіліктерда, бирнешік жойларда ва хокага) динамик вўрнишлар куяяди, натижада деталларнинг күтариб туриш қобилятина пасади, уларда дарзлар пайдо бўлади ҳамда толиқиши оқибатида улар емирилади. Титрашнинг таъсири материалларнинг ички ва ташқи структураларини ва машина деталларнинг уриниш юзаларидаги ишқаланиш ҳамда ейтиши шаронгларини ўзгартириб, конструкциянинг қизишига сабаб бўлниш мүмкін.

Титраш нисоп яшәйтган мухитнинг мухим экологик кўрсаткичи бўлган шовқини вужудга келтиради. Титраш нисонга түғридан-түғри таъсири кўрсатиб, уннинг функционал имкониятлари ва ишлаш қобилятини камайтиради. Шу сабабли титраш активлигини баҳолаш ва титраш даражасини камайтириши усуслари ва воситалари алоҳида аҳамият касб этади. Бундай усул ҳамда воситаларнинг биргаликда қўлланытишини титрашдан муҳофазалаш деб аташ қабул қилинган.

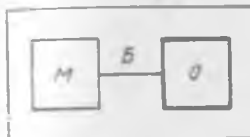
### 101- §. Тебраниш манбалари ва титрашдан муҳофазалаш обьектлари

Титрашдан муҳофазалаш масаласи қўйилганда тадқиқ этилаётган меканик системада одатда *B* боғламалар орқали ўзаро боғланган иккита *M* ва *O* системачалар ажратиб кўрсатилади (10.1-расм). Тебранишни келтириб чиқарувчи физик жараёнлар кечадиган *M* система тебраниш манбаи идейнади. *O* система меканик системанинг тебранишлари камайтирилиши лозим бўлган қисми бўлиб, титрашдан муҳофазалаш обьекти деб аталади. Ушбу обьектни тебраниш манбай билан боғловчи *B* боғламаларда вужудга келадиган ҳамда обьектнинг тебранишига сабаб бўладиган кучлар куч таъсиrlари (динамик таъсиrlар) дейилади.

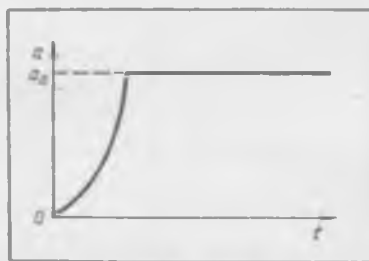
Мисоллар кўриб чиқамиз:

пойдеворга ўрнитилган двигатель (турбина, генератор, ични ёнув двигатели, исталған ротори механизм) мувозанатланмаган роторга эга. Бунда ротор — тебраниш манбан, двигатель корпуси эса титрашдан муҳофазаладиган объектdir; рэтор таячининг динамик акс таъсири динамик таъсирдан иборат. Титрашдан муҳофазалашнинг вазифаси роторининг мувозанатланмаганлигидан пайдо бўладиган двигатель корпусининг тебранишини камайтиришдан иборат;

инсон-операторни, масалан, автомобилда ёки тракторда ишлайдиган операторни титрашдан муҳофазалаш масаласини ҳал этишда шассининг ўнга ўрнатилган ҳамма агрегатларнинг тебранишини камайтиришга, ҳайловчи кабинасининг ёки фақат ўринидикнинг тебранишини камайтиришга интилиш мумкин. Ҳар бир ҳолатда объект, манба ва динамик таъсир турлича аниқланади.



10.1- расм



10.2- расм

Баъзан динамик таъсирлар эмас, боғламаларнинг манбага маҳкамлашиш нуқталарининг силжишлари берилган бўлади. Бундай таъсирлар кинематик таъсирлар дейилади. Куч ва кинематик таъсирлар атамалари ўрнига кўпинча механик таъсир атамаси қўлланилади.

Механик таъсирларни уч синфга бўлиш қабул қилинган: чизиқли ўта юкланишлар; титраш тарзидаги таъсирлар; зарб тарзидаги таъсирлар.

Чизиқли ўта юкланиш деб, тебраниш манбанинг тезланувчан ҳаракатида вужудга кела диган кинематик таъсирга айтилади. Чизиқли ўта юкланиш транспорт машиналарида, айниқса, учиш аппаратларида тезлик оширилганда, тормозлаш жараёнида, шунингдек кескин буриш, орқага қайтариш пайтида анча кучли бўлади. Донмий тезланниш  $a_0$  (10.2-расм) ва тезланниш ўзгаришининг энг катта тезлиги  $da/dt$  чизиқли ўта юкланишнинг асосий курсаткичлариdir.

Титраш таъсирлари (куч ва кинематик таъсирлар) тебраниш жараёнлариидир. Куч таъсирларн объектга таъсир этувчи  $F(t)$  кучлар ёки  $M(t)$  куч моментлари ташкил этувчиларининг вақт функциялари билан ажralиб туради; кинематик таъсирлар титрашдан муҳофазалаш объекти билан боғланган тебраниш манбай нуқталарининг тезланнишлари  $a(t)$ , уларнинг тезликлари  $v(t)$  ҳамда силжишлари  $s(t)$  билан ажralиб туради.

Титраш таъсирлари кўчмас (стационар), кўчма (ностационар) ва тасодифий турларга бўлинади. Гармоник таъсир кўчмас титраш таъсирларининг оддий туридир. Куйидаги вақт функцияси орқали ифодалавиши мумкин бўлган жараён гармоник жараён дейилади

$$x(t) = X_0 \sin(\omega_0 t + \psi), \quad (10.1)$$

бунда:  $X_0$  — амплитуда;  $\omega_0$  — частота;  $\psi$  — бошланғыч фаза;  $t$  — вакт.

Гармоник жараён тадқиқ қылтинганда күпинча бошланғыч фаза  $\chi_0$  сабаға олинмайды ва (10.1) теңгелема қуйидаги күрнишда ёзилады:

$$x(t) = X_0 \sin \omega_0 t. \quad (10.2)$$

(10.2) ифода график тарзда вакт функциясыда (10.3-расм, а) ёки амплитуда-частота характеристикасасы — частота спектри (10.3-расм, б) күрнештесінде беріліши мүмкін. Моддий нұктаның бир марта тұла төбәраниши содир бұлыши учын кетган вакт  $T$  давр деңгеледі. Частота ва давр  $T = 2\pi/\omega_0$  мұносабат орқали бөлгеланды. Частота спектри берілген частотадағы амплитуданың битта ташкил этувчиси орқали күрсатылады. Бундай спектр дискрет ёки чизиқли спектр деб ҳам аталады. Гармоник күчлар таъсирінде бұлған төбәранима системаларга мисол қилиб мұвозанатланған роторнинг, поршени машиналарнинг, мұвозанатланмаган пишанғы механизмларнинг ва шу кабиларнинг титрашының күрсатыш мүмкін.

Циклические механизмы бұлған машиналарнинг барқарор қарқында даварий механик таъсирлар вужуда келады:

$$x(t) = \sum_{k=1}^{\infty} (a_k \cos k \omega_0 t + b_k \sin k \omega_0 t). \quad (10.3)$$

Бундай системалардаги биттасидан бошка ҳамма гармоникалар таъсирини ҳисобга олмаган ҳолда, таъсирни гармоник деб ҳисоблаш мүмкін. Бұ ҳол гармоникалардан бири (одатта бирніңчесі) қоғанларига қарғанда анча кучли бұлғанда ёки гармоникалардан бири мазкур объект учун резонанс гармоника бұлған тақдирда мүмкін бўлади.

Күпина замонавий техник обьектларда учраб турадиган титраш үй-ғонишлари одатта полигармоник тарзда бўлади, бунга кўп сонли мустақил титраш манбалари мавжудлиги ҳамда айрим физик жараёнларнинг (масалан, реактив двигателеда ёниш жараённи, жиынга турбулент оқимнинг таъсири, портлаш ва зарбли жараёнлар) номунтазамлиги сабаб бўлади.

Бундай титраш жараёнлари ушбу күрништеги чексиз (ёки чекланған) миқдордаги  $k$  сонли гармоник ташкил этувчилар йығындиси тарзда намоён бўлиши мүмкін:

$$x(t) = \frac{a_0}{2} + \sum_{k=1}^{\infty} (a_k \cos k \omega_1 t + b_k \sin k \omega_1 t) \quad (10.4)$$

бу ерда

$$a_k = \frac{2}{T} \int_0^T x(t) \cos k \omega_1 t dt; \quad k = 0, 1, 2, \dots,$$

$$b_k = \frac{2}{T} \int_0^T x(t) \sin k \omega_1 t dt; \quad k = 1, 2, 3, \dots$$

Полигармоник жараённи боска усулда ҳам ёзиш мумкин:

$$x(t) = X_0 + \sum_{k=1}^{\infty} X_k \sin(k \omega_1 t + \psi_k), \quad (10.5)$$

бу ерда

$$X_0 = \frac{a_0}{2}; \quad X_k = \sqrt{a_k^2 + b_k^2}; \quad \psi_k = \arctg(a_k/b_k); \quad k = 1, 2, 3, \dots$$

(10.5) формула таҳлилидан келиб чиқадики, полигармоник жараён донмий  $X_0$  қўшилувидан ҳамда чексиз (ёки чекланган) миқдордаги синусоидал ташкил этувчилардан иборат бўлади. Синусоидал ташкил этувчилар гармоникалар деб аталади ва  $X_k$  амплитудалар ва  $\psi_k$  бошлангич фазаларга эга бўлади. Ҳамма гармоникалар частоталари асосий  $\omega_1$  частотага каррагандир. Одатда титрашдан муҳофазаланувчи объект айнан полигармоник уйғонишга дучор бўлади ва шу сабабли ҳақиқий жараёнларни оддий гармоника функцияси орқали ифодалаш етарли бўлмайди. У ёки бу жараённи гармоника турларининг бирнига киритилганда амалда полигармоник жараён ҳисобланган жараённинг тахминий тасаввурин назарда тутилади. Масалан, машиналарнинг титраш спектрлари асосий иш частотаси билан бир қаторда каррали частоталарнинг жадал гармоник ташкил этилувчиларига ҳам эга бўлади.

Кўчма титратувчи таъсиrlарни кўпинча манбаларда содир бўлувчи ўтиш жараёнлари вужудга келтиради. Масалан, шифов олиш жараённида мувозанатланмаган роторли двигатель корпусига бўладиган куч таъсири тахминан қўйидагича ифода билан тавсифланиши мумкин:

$$x = a(\omega) \cos \omega(t) t, \quad (10.6)$$

бунда  $\omega(t)$  — ротор бурчак тезлигининг ўзгариш қонуни.

Замонавий техник обьектларда вужудга келадиган полигармоник таъсиrlар частотасининг чегаралари жуда кенг. Чегаралари бир неча оқтавадан ошиб кетадиган  $|\omega_{\max}/\omega_{\min}| > 10$  полигармоник таъсири кенг доирадаги таъсири дейилади; агар таъсири чегаралари жараённинг ўртача частотасига қараганда кам бўлса, бундай таъсири тор доирадаги таъсири дейилади. Тор доирадаги таъсири тепиши тарзида намоён бўлади. Титрашдан муҳофазалаш масалаларини хал қилишда механик таъсири доирасининг кенглигини ҳисобга олиш биринчи даражали аҳамиятга эга. Ҳусусан, ҳимоя қилинувчи объектининг динамик нусхаси (ҳисоблаш схемаси) таъсири доирасининг кенглигига қараб танланади; уни танлашда таъсири спектри соҳасида жойлашувчи объектининг ҳусусий частоталари ётиборга олиниши лозим.

Юқори частоталы титраш таъсиrlары обьектга уни манба билан бөлгөндовчы механик боғламалар элементлари орқалигина эмас, балки атроф-мухит (ҳаво, сув) орқали ҳам узатилиши мумкин. Бундай таъсиrlар акустик таъсиrlар деб аталади ва замонавий реактив учиш аппараттарында айниңса жадал кечади. Акустик таъсиrlарнинг шиддати акустик майдон босимнiga боғлиқ. Абсолют ва нисбий жадалликлар орасында боғлиқлик қўйидаги формула билан ифодаланади:

$$p = p_0 \cdot 10^{D/20},$$

бунда:  $p$  — босим, Па;  $D$  — нисбий босим, дБ;  $p_0$  — бўсаға босими,  $D_0 = 0$  га мос келади; одатда  $p_0 = 2 \cdot 10^{-6}$  Па қилиб олинади.

Ҳар хил частота чегаралари доирасидаги полигармоник кинематик таъсиrlар алоҳида гармоникалари амплитудаларининг тахминий қийматлари қўйидагичадир:

Частоталар чегаралари, Гц . . . . .	0,1	10	10 . . . 150	150 . . . 500	500 . . . 20000
Амплитудалар г. бирл . . . . .	0,001	1	0,5 . . . 5	4 . . . 15	7 . . . 20

Гармоник ёки полигармоник уйғониш каби тасодифий титраш уйғонишларини ҳам кўпинча олдиндан тўла равишда башорат қилиб бўлмайди. Масалан, газ оқимининг аэродинамик шовқини, суюқликнинг тру-бопроводда тўхтаб-тўхтаб оқиши, устига бир қанча агрегат ўриатилган платформаларнинг титраши, ишқаланувчи жуфтликларнинг гадир-бутирлигидан келиб чакадиган титраш каби жараёнлар ўз табнатига кўра стохастиклар. Ушбу жараёнларни мунтазам функциялар орқали тахминий ифодалаб (аппроксимациялаб) бўлмайди. Стохастик сигнал олдиндан график тарзда берилиши мумкин эмас, чунки у тасодифийлик элементларини ўз ичига олувчи жараён билан боғлангандир.

Қисқа муддатли механик таъсиrlар зарбли таъсиrlар дейилади. Уларда кучнинг энг юқори қиймати жуда катта бўлади. Зарб вақтидағи кучнинг, куч моменти ёки тезланишининг вақтга боғлиқлигини ифодаловчи функция зарб кўриниши дейилади. Зарбнинг давомлилиги ва амплитудаси, яъни зарб вақтидағи механик таъсиrlарнинг энг катта қиймати зарб кўринишининг асосий характеристикаларидир.

Зарб кўринишиндаги кинематик уйғонишлар манбанинг ҳаракат тезлиги кескин ўзгарганда (масалан, самолёт ерга қўндирилганда, ракета учирилганда, автомобиль гидрираги чуқур ўйнқа тушиб қолганда ва ҳоказо) юз беради. Кўпинча бу ҳодисалар манба конструкцияларининг тебранишига ҳамда титраш таъсиrlарнинг вужудга келнишига олиб келади.

Баъзи ҳолларда зарбли таъсиrlи манба ҳаракат тезлигисининг «оний» ўзгаришидан ёки куч ва моментларнинг «оний» қўйилнишидан иборат бўлган классик зарба деб қараш мумкин. Бундай ҳолларда

$$x(t) = \Delta q \delta(t),$$

бунда  $\Delta q$  — зарб вақтида тезликнинг, куч импульсининг ёки куч монентининг ортиши. Зарбнинг давомлилиги обьектнинг хусусий тебраниши-

лари даврларининг энг кичигидан анча кам бўлгандағина шундай деб караш мумкин. Қолган ҳолларда зарб кўринишини ҳисобга олиш зарур; у одатда табиий шаронтда тўғридан-тўғри ўлчаш орқали аниқланади.

## 10.2. Механик таъсирларнинг техник объектига ва инсонга таъсири

Турли техник объектлар (машиналар, асбоблар, аппаратлар) ва ин-  
сига механик таъсирларнинг оқибатини кўриб чиқамиз.

1. Линиядаги ўта юкланишлар таъсири объектнинг статик юкланишни эквивалентдир. Баъзи ҳолларда, айниқса, объектда куч орқали боғланадиган бирокмалар мавжуд бўлганда линиядаги ўта юкланиш таъсири системанинг ишини издан чиқарниши (электр kontaktларнинг пружиналари ажralиши, релели қурилмалар ноўрин ишлаб кетиши ва ҳоказо) мумкин.

2. Титраш таъсирлари техник объектлар учун энг хавфли бўлади. Титраш таъсирларидан келиб чиқадиган ҳар хил ишорали зўриқишилар материалининг толиқиши туфайли дарз кетишига ва емирилишига сабаб бўлади. Механик системаларда толиқиб зўриқишидан ташқари, титраш туфайли вужудга келадиган бошқа ҳодисалар ҳам, масалан, қўзгалмас бирокмаларининг аста-секин бўшашиши («лиқиллаб қолиши») кузатилиди. Титраш таъсирлари машина деталларининг бирокмаларидағи туташ юзаларнинг бир-бирига иисбатан сийжиб қолишига (оз миқдорда) олиб келди, бунда уринувчи деталлар юза қатламларининг структураси ўзгаради, улар ейилади, натижада бирокмадаги ишқаланиш кучи камаяди, бу эса объектнинг диссипатив хусусиятлари, ўз частотаси ўзаришига сабаб бўлади ва ҳоказо.

Агар механизимда тирқишили (азорли) қўзгалувчан бирокмалар мавжуд бўлса (масалан, механизмлардаги кинематик жуфтликлар), титраш таъсирлари туташ юзаларининг ўзаро уристишига олиб келиши, бу эса уларнинг емирилишига ва шовқинининг кучайшига сабаб бўлиши мумкин. Кўп ҳолларда титраш таъсири объектнинг емирилиши резонанс ҳодисалар вужудга келиши билан боғлиқ бўлади. Шу сабабли объектда резонансни вужудга келтирувчи гармоника полигармоник таъсирларнинг энг хавфлисиидir.

3. Зарбли таъсирлар ҳам объектнинг емирилишига сабаб бўлиши мумкин. Зарбл тифайли шинкастланиш кўпинча мурт емириклиш тарзида бўлади. Бироқ кўп марта тақрорланувчи зарблар толиқиши натижасидағи емирилишига ҳам олиб келиши мумкинки; бу ҳол айниқса даврий ҳароли таъсир объектнинг резонанс тебранишларини вужудга келтиришга қодир бўлганда содир бўлади.

4. Титраш ва зарбли таъсирлар объектнинг емирилишини вужудга келтирган ҳолда уларнинг ишини издан чиқарниши мумкин. Масалан, металли қирқувчи дастгоҳлар ва бошқа технологик ускуналарнинг турли маҳбалар таъсирида титраши ишлов бериш аниқлаги ва тозалигининг пасловига, шунингдек технологик жараёнларнинг бошқа бузилишларига олиб келади.

Механик таъсирлар ҳаракатни бошқарниш системаларига ўрнатиладиган ҳамда ҳаракат параметрларини ўлчаш учун хизмат қиладиган асбоб-

ларнинг аниқлнгини анчагина ўзгартиради. Титраш ва зарб таъсирида гироскопик асбоблар билан ўлчашда хатолар кескин ошади; магнитни тиридаги ўлчаш қурнлмалари бўлган асбобларда ноль ҳолатга қайтиши мойиллик пайдо бўлади.

Емирилиш ёки тузатиб бўлмайдиган бошқа ўзгаришлар билан бори, лиқ бўлмаган обьект ишининг бузилиши ишламай қолиш дейилади. Объектнинг механик таъсирилар натижасида емирилмаслик хусусияти титрашга чидамлийк деб, унинг меъёрида ишлаш хусусияти эса титрашга турғунилик деб аталади.

5. Турли тирилдаги машиналар ва қурилмалар ишлётганда вужудга келадиган титраш манбай якнинда турган ёки у билан сабаби алоқада бўлган одамларга зарарли таъсири кўрсатади. Титраш инсон-операторнинг физиологик ва функционал ҳолати издан чиқишига сабаб бўлади. Бунинг натижасида юз берган турғун физиологик ўзгаришлар титраш касаллиги деб аталади. Функционал ўзгаришлар куриш қобилиятининг пасаювида, вестибуляр аппарат реакциясининг ўзгаришида (ҳаракатлар мувофиқлиги бузилади; гавданинг ҳолатига боғлиқ бўлган галлюцинациялар вужудга келади ва ҳоказо) ҳамда тез чарчаща намоён бўлади.

Титраш, биринчи навбатда, қўлда бошқариладиган механизациялантирилган ускуналардан фойдаланувчи ишчиларга, титрама машиналарда (қозинқ, труба ва шу кабиларни титратиб қоқадиган, титратиб болғалайдиган, титратиб штамплайдиган машиналар, титрама конвейерлар, титрама фалтаклар, титратиб зинчлагичлар, титратиб ажраткичлар, суюқ металлни титраткичлар, титратиб тозалаш воситалари ва ҳоказо), шунингдек кўпгина қурилиш, йўл ва қишлоқ хўжалиги машиналари (булодозерлар, грейдерлар, скреперлар, тракторлар, комбайнлар ва ҳоказо) ишлайдиган ходимларга зарарли таъсири кўрсатади. Таркибида мувозанатланмаган ҳаракатланувчи элементлари бўлган машина ва механизмларни, шунингдек ҳамма турдаги транспорт воситаларини ишлатувчи ходимларга титраш камроқ таъсири кўрсатади. Кўрсатиб ўтилган ҳолларда титрашнинг инсонга зарарли таъсирини чеклаш зарурияти туғилади.

Кишилар учун мумкин бўлган динамик таъсирилар санитария меъёрилари ва қоидаларида белгиланган. Инсон-операторни титрашдан якка тартибда ва комплекс тарзда ҳимоялашининг самарали усуллари ва воситаларини яратиш замонавий техниканинг энг муҳим техник-иктиносидий ва социал вазифаларидан биридир.

### 10. 3-§. Титраш таъсириларини таҳлил қилиш

Титраш таъсирида обьектлар (механизмлар, асбоблар) ишлаш шароитининг бузилиш тарзи механик таъсирилар турига ҳамда обьектнинг хусусиятларига кўра аниқланади.

Объектнинг нусхаси (модели) реал системанинг динамик реакциясини баҳолашга таъсири қиливчи асосий хусусиятларини ўзида акс эттириши ва шу билан бирга натижаларни таҳлил қилиш ва изоҳлашга кўдай бўлиши лозим. Бундай шароитда кичик тебранишларда конструкцияларнинг кенг синфи хусусиятларини етарли даражада ўзида акс эттира оладиган чизиқли нусха энг қулайдир. Титраш таъсирилари шаронтида

чилиқті объект хусусияттарнин тавсифлашнинг қулай күрниши бўлиб объектиңг  $B$  нуқтасига кўрсатылган йўналишда қўйилган  $G_B(\omega)$  кучни А нуқтанинг қандайдир йўналиш бўйича силжиш проекцияси билан боғловчи динамик мослашувчанлик сператорлари  $I_{BA}(\rho)$  хизмат қиласи:  $x_A(t) = I_{BA}(\rho)G_B(t)$ . Тескари  $k_{BA}(\rho) = I_{BA}^{-1}(\rho)$  операторлар динамик бикрлик операторлари дейилади. А нуқтага қўйилган кучни айни шу нуқтанинг кучининг таъсир чизиги йўналиши бўйича силжиш проекцияси билан боғловчи  $I_A(\rho)$ ,  $k_A(\rho)$  хусусиятлар А нуқтадаги динамик мослашувчанлик ва динамик бикрлик операторлари дейилади. Объектнинг  $I_{BA}(i\omega)$ ,  $k_{BA}(i\omega)$  частота хусусиятлари мос равишда динамик мослашувчанлик ва динамик бикрлик деб аталади.

Динамик мослашувчанлик операторининг математик ифодаси қўнидаги кўрнишида берилishi мумкин:

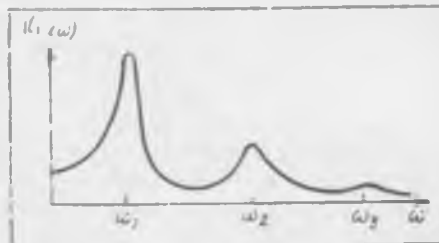
$$I_{BA}(\rho) = \sum_{v=1}^n \frac{\theta_{Bv} \theta_{Av}}{p^2 + 2\beta_v \omega_v p + \omega_v^2}.$$

Бунда  $\omega_v$  — консерватив системанинг хусусий частоталари;  $\theta_{Bv}$  —  $A$  ва  $B$  нуқталардаги тебранишлар  $v$ -нчи кўрнишининг нормаланган коэффициентлари;  $\beta_v$  — тебранишларнинг  $v$ -нчи кўрнишидаги чизиқли демпферлашнинг ўлчамсиз коэффициенти.  $p = i\omega$  бўлганда иккинчи тартибли кичик ўлчамларни ташлаб юборган ҳолда объектиңг ушбу частота хусусиятига эга бўламиз:

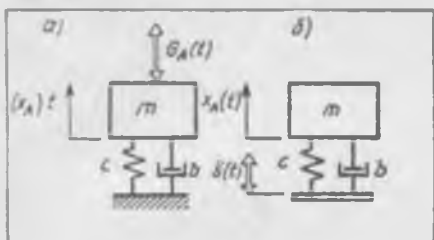
$$I_{BA}(i\omega) = \sum_{v=1}^n \frac{\theta_{Bv} \theta_{Av}}{(\omega_v^2 - \omega^2) + 4\beta_v \omega_v^2 \omega^2} (\omega_v^2 - \omega^2 - i2\beta_v \omega_v \omega).$$

Шундай қилиб, эркинлик даражалари сони  $n$  та бўлган объектиңг динамик мослашувчанлиги эркинлик даражаси битта бўлган, ўзининг хусусий консерватив система (тебраниш вақтида тўла механик энергияси ўзгармас бўлувчи система) частотасига эга бўлган  $n$  та системалар мослашувчанлигининг йигинидиси кўрнишида берилган. Ушбу частоталарда ( $\omega = \omega_v$ ) маҳражда  $v$ -нчи қўшилувчи  $2\beta_v \omega_v$  кичик ҳаднинг пайдо бўлиши сабабли динамик мослашувчанлик модуль бўйича ортади. Тебранишлар кўрнишининг  $v$  номери оша бориши билан динамик мослашувчанлик модулининг энг катта қиймати камая боради. 10.4-расмда динамик мослашувчанлик модулининг частотага боғлиқлигининг таҳминий кўрниши кўрсатылган.

Муайян бир чизиқли системанинг математик нусхасини кўриб чиқишида динамик мослашувчанлик ифодаларин ечимин тўғридан-тўғри ягона амплитудали гармоник куч таъсиридан ишлаб топиш йўли билан ҳисобланади мумкин.



10.4- расм



10.5- расм

а, б). Система  $G(t)$  күч ёрдамида уйғотиладын бўлса, динамик шуғчанлик модули қўйидаги кўринишга эга бўлади:

$$|I_A(t\omega)| = m^{-1} [(\omega_0^2 - \omega^2)^2 + 4\beta^2 \omega_0^2 \omega^2]^{-1/2};$$

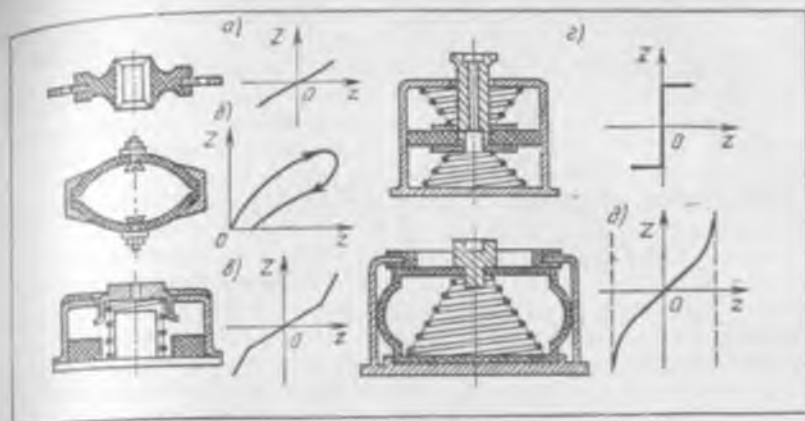
$$\beta = d/(2m\omega_0).$$

Объектнинг механик таъсирига реакцияси ҳам вақт тушунчаси асосида, ҳам частота тушунчаси асосида ҳисобланниш мумкин. Системанинг титраш таъсирига реакциясини частота тушунчаси асосида ҳисоблаш қўйайроқдир. Гармоник ва полигармоник таъсиirlар учун амплитуда ва фаза бузилишлар ҳисоблаш жараённинг ҳар бир гармоник ташкил этувчиши учун амалга оширилади. Объект чизиқли бўлгани сабабли бир қанча гармоник ташкил этувчилар таъсиirlарининг самараси алоҳида-алоҳида таъсиirlар йигиндинсига тенг.

Титрашдан муҳофазаловчи системанинг элементи бўлмиш виброндо зор яго тёр ёки амортизаторнинг энг муҳим қисми эластик элементdir. Ички ишқаланиш натижасида эластик элементда тебранишларнинг сўниши (демпферланиши) содир бўлади. Бундан ташқарин, амортизаторларнинг қатор конструкцияларида тебранишлар энергиясини сундириш учун маҳсус сўндирувчи (демпферловчи) қурилмалар қўлланилади. Амортизаторнинг динамик хусусиятлари унинг статик хусусиятларига кўп жиҳатдан боғлиқ, лекин уларнинг ҳар иккиси ҳам чизиқсизdir. Амортизатор хусусиятларининг чизиқсизлиги қатор сабаблар: эластик элемент (масалан, резина) хусусиятларининг чизиқсизлиги, эластик элементдаги ички ишқаланиш, амортизаторда чекловчи тираклар, қуруқлайнин ишқаланиш демпферлари, чизиқсиз пружиналар ва шу кабин конструктив элементларнинг мавжудлиги билан тушунтирилади. 10.6-расмда турли амортизаторлар ҳамда уларнинг куч хусусиятлари тасвириланган (абсциссалар ўки силжишни, ординаталар ўки реакция кучини билдиради): а — резина-металл амортизатор; б — тўрли амортизатор; в — юришин чекловчи эластик элементлари бўлган амортизатор; г — демпферли амортизатор; д — конуссимон пружинали амортизатор.

Ҳар қандай амортизаторда шундай учта ўзаро перпендикуляр  $x$ ,  $y$ ,  $z$  йўналишларни белгилаш мумкинки, амортизаторни маҳкамлаш нуқтасиана шу йўналишлардан бири бўйича силжиганда унга қарама-қарши йўналишда амортизаторнинг реакция кучи вужудга келади. Бундай йўналишлар бош йўналишлар дейилади. Агар амортизатор реакциясини ниг бош йўналишларга проекцияларини  $X$ ,  $Y$   $Z$  лар орқали белгиласак ва

Кўп ҳолларда тебранинг устун тураладиган битта сидан бошқа ҳамма кўраларини ҳисобга олмаслик мумкин. Бундай объектлар оштада  $t$  массага, с эластиклук коэффициентига ва  $b$  ковушик ишқаланиш коэффициентига эга бўлган, эркинлик даражаси битта бўлган система орқали моделлаштирилади (10.5-расм).



10.6- расм

кавжуд амортизаторларнинг эластиклик ва сўндириш хусусиятларини ҳисобга олсан, у ҳолда қуйидагиларни фараз қилиш мумкин: бош йўналишлар бўйича реакция кучлари фақат мос тарздаги силжишларга ҳамда уларнинг вақт бўйича биринчи ҳосилаларига боғлиқ бўлади. У ҳолда

$$X = X(x, \dot{x}), Y = Y(y, \dot{y}), Z = Z(z, \dot{z}) \quad (10.7)$$

функциялар амортизаторларнинг динамик хусусиятлари дейлади.

Амортизацияланадиган объектнинг мувозанат ҳолатига яқин кичик тебранишларини таҳлил қилишда  $x$ ,  $y$  ва  $z$  силжишларни кам деб ҳисоблаш ҳамда (10.7) динамик хусусиятларни Маклорен қаторига ажратган ва биринчи тартибдан юқори бўлган ҳадларни ташлаб юборган ҳолда уларни чизиқли кўринишга келтириш мумкин:

$$X(x, \dot{x}) \approx c_x x + k_x \dot{x}, \quad Y(y, \dot{y}) \approx c_y y + k_y \dot{y},$$

бу ерда  $Z(z, \dot{z}) = c_z z + k_z \dot{z}, \quad (10.8)$

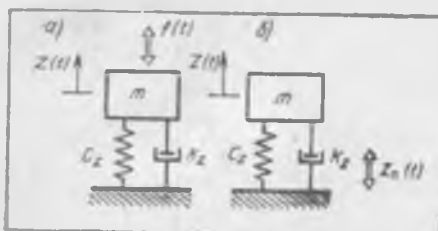
$$c_x = \frac{\partial X}{\partial x}(0,0); \quad c_y = \frac{\partial Y}{\partial y}(0,0); \quad c_z = \frac{\partial Z}{\partial z}(0,0)$$

лар амортизаторнинг бош йўналишлардаги бикрлик коэффициентлариидир,

$$k_x = \frac{\partial X}{\partial \dot{x}}(0,0); \quad k_y = \frac{\partial Y}{\partial \dot{y}}(0,0); \quad k_z = \frac{\partial Z}{\partial \dot{z}}(0,0)$$

Де сўндириш коэффициентлариидир.

$m$  массали амортизацияланувчи объектнинг (10.7-расм, a) кичик тебранишларини кўриб чиқамиз. Амортизацияланувчи системанинг ҳаракат тенгламасини келтириб чиқариш учун Даламбер принципидан фойдаланиш мумкин. Ўвактнинг исталган онда кузатнилаётган координатанинг  $z$  қийматида  $m$  массага амортизаторнинг  $Z(z)$  реакцияси таъсир қиласи.



10.7- расм

тenglamaga аосан,  $m$  масзага қўйилган кучлар ва  $m$  инерция кучининг ингидисини нолга тенглаштириб  $m$  масса ҳаракатининг дифференциал тенгламасини ҳосил қиласиз:

$$m\ddot{z} + k_z \dot{z} + c_z z = 0. \quad (10.9)$$

Мос равишдаги хусусият тенгламаси қўйидагича ёзилади:

$$m\ddot{s}^2 + k_z \dot{s} + c_z s = 0. \quad (10.10)$$

Унинг илдиzlари

$$S_{1,2} = \frac{1}{2m} (-k_z \pm \sqrt{k_z^2 - 4mc_z}).$$

(10.9) тенгламанинг умумий ёчими қўйидаги кўриннишга эга бўлади

$$s = A_1 e^{s_1 t} + A_2 e^{s_2 t},$$

бунида:  $A_1$  ва  $A_2$  — бошлангич шартларга боғлиқ бўлган ихтиёрий ўзгармас миқдор;  $S_{1,2}$  — (10.10) хусусият тенгламасининг илдиzlари; қулайлик учун уларни қўйидаги кўриннишда ёзиш мумкин:

$$S_{1,2} = -\xi\omega_0 \pm \sqrt{\xi^2 - 1}\omega_0,$$

бундай

$$\omega_r/m = \omega_0^2; \quad k_z/(2\sqrt{c_z m}) = \xi;$$

$\omega_0$  — амортизацияланган системанинг хусусий частотаси;  $\xi$  — ўтчамсиз сўниш коэффициенти.

10.7-расм, б да пойdevорни  $z_n = Z_0 \sin\omega t$  тебранишлардан муҳофаза қилиш учун амортизация системасининг схемаси берилган.

#### 10.4. Титрашдан муҳофазалашнинг асосий усуллари

Объектнинг тебраниш жадаллигини қўйидаги усуллар ёрдамида камайтириш мумкин.

Манбанинг титраш активлигини пасайтириш. Уйғотиш машибалари томонидан тебранишларнинг вужудга келтирилиш сабаблари турлича бўлиши мумкин. Уйғотувчи омилларни икки группага бўлиш қулав. Биринчи группага кинематик жуфтликлардаги ишқаланиш билан боғлиқ бўлган ҳодисалар киради. Ушбу группа омилларининг титраш активлигини камайтириш ишқаланувчи юзалар материалларининг хусусиятларини ўзgartириш билан боғланган бўлиб, бунга ҳар бир хусусий ҳол учун хос бўлган усуллар ёрдамида, масалан, маҳсус мойловчи материалларни қўллаш билан эришиш мумкин.

Уйғотувчи омилларининг иккинчи группаси жисмларининг ҳаракати

(төрнегарларининг айланниши, механизм бўғинларининг сурилиши) билан бор-  
лангандир.

Бу ҳолда манбанинг титраш активлигини камайтиришга ҳаракат-  
ланувчи массаларни мувозанатлаш орқали динамик реакция кучларини  
камайтириш йўли билан эришилади.

Объект конструкциясини ўзgartириш. Тебранишини камайтиришнинг  
барча механик системалар учун умумий бўлган икки усулини кўрсатиш  
мумкин. Биринчи усул резонанс ҳодисаларини бартараф этишдан иборат.  
Агар объект чизиқли хусусиятларга эга бўлса, у ҳолда вазифа унинг  
хусусий частоталарини керагича ўзgartиришдан иборат бўлади. Чизиқсиз  
хусусиятли объектлар учун резонанс ҳодисаларининг бўлмаслиги шарти  
божарилиши лозим. Иккинчи усул объектда механик энергиянинг ютили-  
шини кучайтиришга асосланган. Титрашдан муҳофазалашнинг сўндириш  
(демпферлаш) деб аталаувчи ушбу усули кейинроқ кўриб чиқилади.

Тебранишларни динамик сўндириш. Динамик тебранишларни  
сўндиригич (қисқача — сўндиригич) объектининг сўндиригич улана-  
диган нуқталарига қўйиладиган қўшимча динамик таъсиirlарни вужудга  
келиради. Динамик сўндириш сўндиригичининг шундай параметрларини  
танлаб амалга ошириладики, бунда ушбу қўшимча таъсиirlар манба ву-  
жудга келтирувчи динамик таъсиirlарни қисман мувозонатлайди.

Титрашдан изоляциялаш. Титрашдан изоляциялашда м нба  
ва объект орасидаги боғламалар бўшаштирилади, натижада объектига  
узатилувчи динамик таъсиirlар камаяди. Боғламаларининг бўшаштирили-  
ши, одатда, бир қанча номақбул ҳодисалар пайдо бўлишига олиб кела-  
ди: объектининг статик силжишлари қўпаяди, паст частотали таъсиirlарда  
ҳамда зарбларда нисбий тебранишлар амплитудалари ортади, системанинг  
ташқи ўлчамлари катталашади. Шу сабабли титрашдан изоляциялашни  
титрашда муҳофазалаш усули сифатида қўллаш кўп ҳоларда қўйилади-  
ганди ҳамма талабларни қаноатлантирадиган очимни топиш билан боғлиқ-  
дир.

Титрашдан муҳофazalash қурилмалари ва уларнинг самараадорлиги.  
Демпферлар, динамик сўндиригичлар ва титраш изолаторлари биргаликда  
титрашдан муҳофazalash қурилмаларини ташкил қиласади. Инерцион, элас-  
тик ва диссипатив элементлардан ташкил топувчие қурилмалар пассив  
қурилмалардир. Актив қурилмалар, кўрсатиб ўтилгалиридан ташқари,  
механик бўлмаган элементларни ўз ичига олади ва одатда мустакил  
энергия манбанига эга бўлади. Титрашдан муҳофazalash системасининг  
самараадорлигини титрашдан муҳофazalovchi қурилмали объектининг бирорта  
ўзига хос параметри қийматини бундай қурилмаси бўлмаган объектининг  
айни шу параметри қийматига бўлиш билан баҳолаш қабул қилинган.  
Бундай нисбат титрашдан муҳофazalashnинг самараадорлиги коэф-  
фициенти деб аталади.

#### 10.5-§. Тебранишларни сўндириш (демпферлаш). Механик системанинг диссипатив хусусиятлари

Диссипатив кучлар. Эластик система тебранганда энергия атроф-му-  
нга, шунингдек эластик элемент материалининг ўзида ва конструкция  
талларининг бирлики жойларида тарқалиб исроф бўлади. Бундай исроф-

ларга эластик бүлмаган қаршилик күчләри — диссипатив күчләр сабаб бүләди; уларни енгіш үчүн төбранувчи системаниң ёки төбранишының жуда көлтирувчи мәнбаниң энергиясын узлуксиз ва қайтмас тәрзә сарфланади. Диссипатив күчләрни тавсифлаш үчүн диссипатив күчләрниң төбранувчи система массаларининг ҳаракат төзлигига ёки эластик элементтердин деформацияланыш төзлигига боғлиқтегини билдирувчи хусусияттарынан фойдаланылади. Күчнин хусусияти тури қаршилик күчләрининг тәбиатында күра анықланади. Диссипатив күчләрнинг энг көнд тарқатты хусусиятлари 10.8-расмда күрсатылган.

Қовушоқ қаршилик (10.8-расм, а) қаршилик коэффициенти  $b_1$ \* ифодаланады ва қуйидаги ифода орқали тавсифланады:

$$F_d(x) = b_1 \dot{x}. \quad (10.11)$$

Бундай хусусиятта диссипатив күчләр эга бүләди. Улар қовушоқ муҳит (газ ёки суюқлик) даги, шунингдек баъзи гидравлик демпферлардаги кичик төбранишларда юзага келади.

Титрар төзлиги катта бүлганды диссипатив күч билан төзлик орасында квадратик боғлиқтлик мәвжуд бүләди:

$$F_d(x) = b_2 x^2 \operatorname{sgn} \dot{x}. \quad (10.12)$$

Күпинча демпферлар конструкцияларыда қуруқлайтын ишқаланиш элементидан фойдаланылады, унинг хусусияти (10.8-расм, в) қуйидаги күрништадир:

$$F_d(x) = b_0 \operatorname{sgn} \dot{x}, \quad (10.13)$$

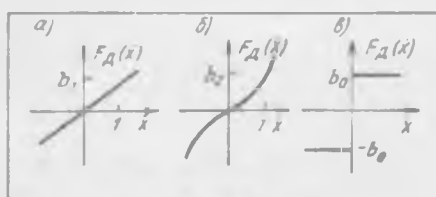
бунда  $b_0 = \text{const}$  — қуруқлайтын ишқаланиш күчи.

Келтирилген ҳамма боғлиқтларни чизиқсиз ягона хусусият орқали күрсатиш мумкин:

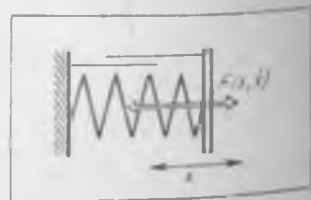
$$F_d(x) = b_\mu |\dot{x}|^\mu \operatorname{sgn} \dot{x}, \quad (10.14)$$

бунда  $\mu$ ,  $b_\mu$  — ўзгармас миқдорлар.  $\mu$  нинг қийматы 1,2 ва 0 га тенг бүлганида мос равнышда (10.11) — (10.13) хусусиятларга эга бүләмиз.

**Гистерезис.** Құп ҳолларда яхьлит күчни эластик ва диссипатив күчләрга ажратын шартты бүләди. Бошқа ҳолларда эса мутглақо бүндай қилиб бүлмайды. Бу гап даставвал эластик элемент материалидаги ишқаланиш күчләрнің күзғалмас (парчин михли, резьбали, пресс-



10.8- расм



10.9- расм

\* Қаршилик коэффициенти  $b$  ҳарфи билан ҳам,  $k$  ҳарфи билан ҳам белгиләнеди (9-бобининг 10.3-ғ ита ва 11-бобига қараш).

даңғай ва ұқақ) бирікмалар деформацияланганда энергияның камағышы бістап боғлук бүлгандың конструкцион сұндириш күчтегі тааллуқты дір.

Агар эластик диссипатив элементті (10.9- расм) даврий тарзда деформациялашни, алтайды,

$$x = a \cos \omega t \quad (10.15)$$

қонұннан бүйінча амалға оширасқ, у ҳолда күч — силжиш диаграммасыда (10.10- расм) турлы юқланыш ва юқсазланыш чизірларини курамынан. Бу ҳодиса гистерезис деб аталағы. Гистерезис ҳалқасы билан шегараланған юза деформацияланышынан бир даврида йүқолған  $\Psi$  энергияны ифодалайды да диссипатив күчлар бажарған ишни аниқлады:

$$\Psi = \int_0^T F(x, \dot{x}) dx = \int_0^T F_y(x) \dot{x} dt, \quad (10.16)$$

бунда  $T = 2\pi/\omega$  — деформацияланыш даври.

Мисалан, эластик диссипатив элементтің динамик құсусияти қуидагы күрінненшаға әга бўлсан:

$$F(x, \dot{x}) = F_y(x) + F_d(\dot{x}),$$

бунда  $F_y(x) = cx$  — чиэңкүлли эластик ташкыл этувчи. Чиэңкүлли диссипатив күчтегі әга бўлган (10.11) бундай элементтің гистерезис ҳалқасы (10.15) қонұннан бүйінча деформацияланганда әзліпс шаклини олади (10.10- расм, ә). Эллипс катта үқиннинг  $\alpha$  оғиши бурчаги элементтің бикрлигини ифодалайды:  $c = \tan \alpha$ . Бир даврда (10.15) истроф бўлган энергия

$$\Psi = \int_0^T b_1 x^2(t) dt = b_1 (a \omega^2) \int_0^T \sin^2 \omega t dt = \pi a^3 \omega b_1.$$

10.10- расм, ә да қуруқлайын ишқаланиш (10.13) элементтің гистерезис ҳалқасы күрсатилған. Уннан учун йўқотилған энергия қуидаги топилади:

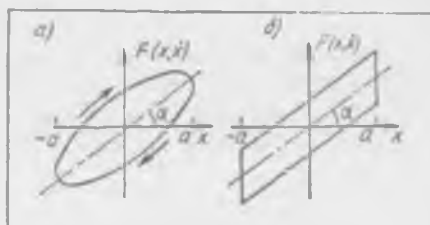
$$\Psi = 4ab_0. \quad (10.17)$$

Диссипатив құсусияти (10.14) формула күрнишида бўлган элемент учун бир даврда йўқотилған энергия қуидагига тенг:

$$\Psi = k_\mu a^{\mu+1} \omega^\mu b_\mu. \quad (10.18)$$

Бу ерда  $k_\mu = \int_0^\pi |\sin \tau|^{\mu+1} d\tau$ .

Пәннег айрым қийматлары қуидада көлтирилади:



10.10- расм

$\mu \dots 0$	$0,5$	$1,0$	$1,5$	$2$	$2,5$	$3$
$k_\mu \dots 4,000$	$3,500$	$3,142$	$2,874$	$2,666$	$2,498$	$2,256$

Эластик диссипатив система тебраинганда энергиянинг ирофи ютиш коэффициенти (7.1- § га қаранг) орқали баҳоланади. Хусусиятларни эластик бўлган эластик элементнинг II потенциал жиергиси

$$P = ca^2/2;$$

ютилиш коэффициенти

$$\Psi = 2 \Psi/(ca^2).$$

(10.17) — (10.18) формулаларга асосан ва диссипатив кучлар хусусиятининг турига кура ютилиш коэффициенти: қовушоқ сундириши (10.11) частота функцияси бўлади:

$$\psi = 2 \pi b_1 \omega/c;$$

қуруқчайин ишқаланишда (10.13) амплитуда функцияси бўлади:

$$\psi = 8 b_0/(ca);$$

умумий ҳолда эса (10.24) амплитуда ва частота функцияси бўлади

$$\psi = 2 k_\mu a^{\mu-1} \omega^\mu b_\mu/c.$$

Диссипатив хусусиятлари юқорида баён этилган усуллардан биринчича берилган системанинг (10.15) формула кўринишидаги даврий тебранишларини аниқлашда берилган  $F(x, \dot{x})$  динамик хусусият унга эквивалент бўлган эластик қовушоқ нусха билан алмаштирилади

$$F(x, \dot{x}) \approx c x + b \dot{x}. \quad (10.19)$$

Эквивалент сундириш коэффициенти  $b$  шундай таъланадики, бууда дастлабки ҳамда алмаштирувчи схемалар бир хил ютиш қобилиятига эга бўлади. Чизиқли эквивалент демпфер йўқотган энергия (10.16)

$$\Psi = \pi a^2 \omega b.$$

Эркинлиги даражаси битта бўлган системанинг мажбурий тебраниши.  $m$  массанинг ҳаракат тенгламаси қийидагича ёзилади:

$$m\ddot{x} + cx + F(x) = Q_0 \cos(\omega t - \varphi). \quad (10.20)$$

(10.15) тенглама сўчинини топиб ҳамда (10.19) формуладаги  $F(x)$  чизиқсиз функцияни чизиқлига келтириб (10.20) тенглама ўрнинг ушбуни ҳосил қиласиз:

$$m\ddot{x} + b\dot{x} + cx = a_0 \cos(\omega t - \varphi). \quad (10.21)$$

Чизиқли кўринишга келтирилган (10.21) тенгламани ечиб амплитуда топилади:

$$a = \frac{Q_0}{c \sqrt{\left(1 - \frac{\omega}{\omega_0}\right)^2 + \left(\frac{b\omega}{c}\right)^2}}$$

буунда  $\omega_0 = \sqrt{c/m}$  — системанинг хусусий частотаси.

б катталик амплитуда ва частота функциясири, яни  $b = b(a, \omega)$ . Шу сабабли ушбу муносабат умумий ҳолда ечими изланалтган амплитудаси аниқлайдиган тенглама бўлади,  $\omega \approx \omega_0$  частотали кичик сўндиришда эршишилниадиган резонанс амплитудаси учун

$$a_{\text{рез}} = Q_0/(b\omega_0). \quad (10.22)$$

Чизиқли система учун (10.22) муносабатни қўйидағы кўринишда ғизиҳ мумкин:

$$a_{\text{рез}} = \pi Q_0/(\delta b),$$

бунда:  $\delta = 2 \pi / \omega_0$  — тебранишларининг логарифмик декременти;  $\pi = b/(2 m)$  — сўндириш коэффициенти.

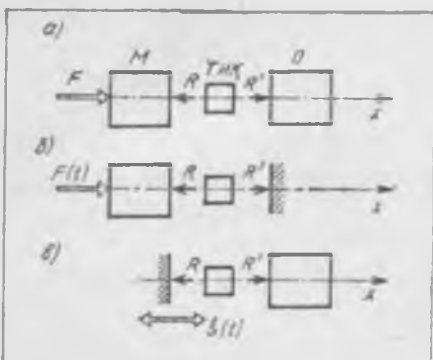
Материаллардаги ички ишқаланишини ҳисобга олиш. Кўпгина материалларнинг ютиш хусусиятлари деформацияланиш частотасига боғлиқ эмаслиги тажрибалар ўтказиб аниқланган. Шу сабабли материалларнинг ютиш (диссипатив) хусусиятларини ютиш коэффициенти  $\psi$  орқали ёки у билан  $\psi = 2\delta$  тенглик воситасида боғланган тебранишларининг логарифмик декременти  $\delta$  орқали ифодалаш қулай. Одатда, тажриба йўли билан аниқланадиган мазкур катталиклар нисбий деформациялар, нор-мал ёки уринма зўриқишилар амплитудалари кўринишида берилади.

Қўзгалмас бирималардаги конструкцион сўнлириш. Механик системанинг тебранишларига ташки сўндирувчи омиллар билан бир қаторда конструкциянинг ўз ичидаги содир бўладиган энергетик истрофлар (конструкцион сўндириш) ҳам сезиларли таъсир кўрсатиш мумкин. Бундай истрофлар ишқаланиш натижасида кинематик жуфтликларда, шунингдек прессланган, шлицили, резьбали, парчин михли ва шу каби бирималарда юз беради. Бундай бирималарни қўзгалмас деб аташ қабул қилишган бўлса-да, амалда эса улар юкландиганда уриниш юзлари бўйинча кичик сирпанишлар муқаррар равишда юз беради; мос равишдаги нисбий силжишлар чоғида ишқаланиш кучлари иш бажаради.

Бирималарнинг фақат айрим оддий схемаларида бир давр ичидаги ютиладиган энергияни назарий ҳисоблашлар ёрдамида ҳисоблаб чиқиши мумкин. Қанча энергия ютилишини тажриба йўли билан ё кўп гармоникални мажбурий тебранишлар тартибида резонанс чўққиси параметрларига кўра, ёки эркин сўнувчи тебранишларга ўтказилган умумий уринма эгри чизиқка кўра анча аниқ аниқлаш мумкин.

## 10.6- §. Титрашдан изоляциялаш асослари. Эркинлик даражаси битта бўлган титрашдан муҳофазалаш системалари

Ҳисоблаш нускасининг элементлари ва уларнинг хусусияти. Титрашдан муҳофазалаш системасининг ҳисоблаш нускасида учта асосий қисмни ажратиб кўрсатиш мумкин: таъсир ҳосил қилиш манбаси ( $M$ ), ҳимояланувчи обьект ( $O$ ) ва титрашдан изоляциялаш қурилмаси ( $TIK$ ). Энг оддий ҳолда манба ва обьект қандайдир  $x$  ўки бўйинча илгарилалма ҳаракатланувчи қаттиқ жисмлар деб ҳисобланади. 10.11-расмда титрашдан муҳофазалаш системасининг принципиал схемаси берилган:  $a$  — умумий ҳолдагиси;  $b = F = F(t)$  куч уйғотиладиган;  $v = \xi = \xi(t)$  кинематик уйғотиладигани. Системага қўйилган ташки  $F$  кучлар (ғала-



10.11- расм

анча ортиқ бўлади. Бу ҳолда «кatta» массали жисмнинг ҳаракати «кичинк» массали жисмнинг ҳаракатига боғлиқ бўлмайди, деб ҳисобланishi мумкин. Хусусан, агар объект «кatta» массага эга бўлса, одатда, у қўзгалмас деб ҳисобланади; бу ҳолда системани манбага ташки томондан қўйилган  $F = F(t)$  тарзидаги галаёнлантирувчи куч ҳаракатга келтиради (10.11-расм, б). Агар манба катта массага эга бўлса, у ҳолда  $\xi = \xi(t)$  ҳаракат қонунини берилган деб ҳисоблаш мумкин; унинг ҳаракати объектнинг кинематик галаёнлантирувчиси ролини ўйнайди (10.11-расм, в). Иккала ҳолда ҳам «кatta» массага эга бўлган жисмни кўтариб (тутуб) турувчи жисм ёки асос деб, «кичинк» массали жисмни қўйилувчи жисм деб аташ мумкин.

10.11-расм, б да тасвирланган схемадан, одатда, бинно, ишшоот, туциқ ёки пойдеворларни уларга ўрнатилган ҳаракатланувчи қисмлари мувозанатланмаган машина ва механизмлар ёки бошқа бир титраш активлигига эга бўлган қурилмалар ҳосил қилувчи динамик таъсирлардан ҳимоялаш учун фойдаланиш мумкин. 10.11-расм, в да тасвирланган схемадан асбоблар, аппаратлар, аниқ механизмлар ёки дастгоҳтарни, яъни титрашга сезгир бўлган ҳамда титровчи асосларга ёки ҳаракатланувчи объектларга ўрнатилувчи жиҳозларни титрашдан муҳофазалашда фойдаланилади.

Титрашдан изоляцияловчи қурилма титрашдан муҳофазалаш система-сининг муҳим қисмидир; унинг вазифаси берилган галаёнланиш асосида шундай ҳаракат тартибини яратишдан иборатки, оқибатда объектни ҳимоялаш мақсади амалга ошадиган бўлсин. Кўп ҳолларда титрашдан изоляцияловчи инерциясиз қурилмани ишлатиш натижасида бунга эршиш мумкин; бу қурилма 10.11-расмда тасвирланган схемалар учун у бир ўқли титраш изоляция торидан иборатdir. Бундай титрашдан изоляцияловчи қурилмада  $R$  ва  $R'$  реакциялар қиймати бўйича ўзаро тенбўлади ( $R = R'$ ), қўйinda қўйнладиган оддий ҳол учун  $R$  реакцияни титрашдан изоляцияловчи қурилманинг деформацияланиши  $\delta$  га ва деформацияланиш тезлиги  $\dot{\delta}$  га пропорционал деб ҳисоблаш мумкин:

$$R = c\delta + b\dot{\delta}. \quad (10.23)$$

ёнлантирувчи кучлар), шундек манба ва объект оралигида жойлашган титрашдан изоляцияловчи қурилманинг манба ва объектга таъсир ўтказувчи  $R$  ва  $R'$  ички кучлари  $x$  ўқи бўйлаб йўналган ҳисобланади; шу билан бирга  $x$  ўқи титрашдан изоляцияловчи қурилманинг ўқи бўлиб ҳам хизмат қиласди.

Кўп ҳолларда система жисмларидан биттасининг — манба ёки объектнинг массаси бошқа жисмнинг — мос равища объект ёки манбанинг массасидан

(10.23) муносабат титрашдан изоляцияловчи инерциясиз оддий қурилманинг чизқоли хусусиятини ифодалайди;  $c$  ва  $b$  көфициентлар мос равишди сүндириш бикрлиги ҳамда сүндириш көфициенти деб аталаади.  $b = 0$  бўлганда (10.23) тенглама идеал эластик элементнинг (пружинанинг) хусусиятини,  $c = 0$  бўлганда эса чизқоли қовушоқ демпфер хусусиятини ифодалайди. Шундай қилиб, (10.23) хусусияти титрашдан изоляцияловчи қурилманинг нусхаси системанинг хусусий частотасини белгилайди:

$$\omega_0 = \sqrt{c/m}.$$

С инг қиймати  $\omega_0$  билан қийидаги формула орқали боғланган титрашдан изоляцияловчи қурилманинг статик деформацияланиши  $\delta_{ct}$  ни (чукшини) аниқлайди:

$$\omega_0 = \sqrt{c \sin \alpha / \delta_{ct}},$$

бунда:  $\delta_{ct}$  — ўқ бўйича йўналган статик  $mg \sin \alpha$  юкланиш натижасида деформацияланиш;  $m$  — қўйилувчи жисмнинг массаси;  $\alpha$  — титраш изолятори ўқининг уфқа нисбатан оғиш бурчаги.  $\omega_0 = \omega_0(\delta_{ct})$  муносабат 10.12-расмда келтирилган.

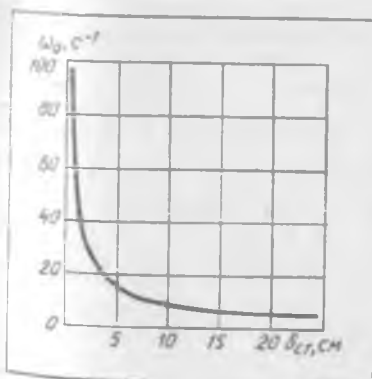
Эркинлик даражаси битта бўлган энг оддий титрашдан муҳофазаловчи системанинг ҳисоблаш нусхаси 10.13-расмда келтирилган; бу ерда  $m$ ,  $x$  — мос равишида қўйилувчи жисмининг массаси ва координатаси;  $F$  — қўйилувчи жисмга таъсир этувчи куч;  $c$ ,  $b$  — мос равишида титрашдан изоляцияловчи қурилманинг сўндириш бикрлиги ва сўндириш көфициенти. Бундай системанинг сўндириш хоссалари сўндириш көфициенти

$$n = b/(2m)$$

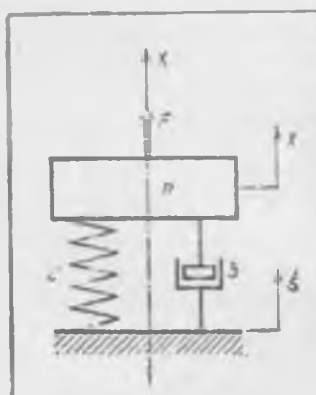
ҳамда нисбий сўндириш

$$v = n/\omega_0 = b/(2\sqrt{c m})$$

билан ифодаланади.  $v = 1$  бўлганда системада критик сўндириш амалга ошади.



10.12- расм



10.13- расм

Титрашдан муҳофазалаш самарадорлиги. Гармоник уйғотишидағы самарадорлық көфициентлари. Титрашдан муҳофазалаш самарадорлығи деганда титрашдан муҳофазалаш мақсадининг титрашдан муҳофазаловчи құрнайтыннан иштесінде амалта оширилгандырылған түшүннеліктердің нилади. Күч билан гармоник уйғотишида

$$F(t) = F_0 \sin \omega t; \quad \xi(t) = 0$$

бўлади. Бу ерда  $F_0$  ва  $\omega$  — мос равишда мажбурловчи кучнинг амплитудаси ва частотаси; муҳофазалаш мақсади қўзғалмас объектга узати-лувчи кучнинг  $R_0$  амплитудасини:

$$R_0 = \frac{F_0 \sqrt{\omega_0^4 + 4\pi^2 \omega^2}}{\sqrt{(\omega_0^2 - \omega^2)^2 + 4\pi^2 \omega^2}}$$

ёки манбанинг барқарорлашган мажбурни тебранишлар амплитудаси  $X_0$  иштеси камайтиришдан иборат бўлиши мумкин:

$$X_0 = \frac{F_0}{m \sqrt{(\omega_0^2 - \omega^2)^2 + 4\pi^2 \omega^2}}$$

### Кинематик

$$F(t) = 0; \quad \xi(t) = \xi_0 \sin \omega t$$

гармоник уйғотишида муҳофазалаш мақсади объектнинг абсолют тезлайши (ута юкланиши) амплитудасиги:

$$W = \frac{\xi_0 \omega^2 \sqrt{\omega_0^4 + 4\pi^2 \omega^2}}{\sqrt{(\omega_0^2 - \omega^2)^2 + 4\pi^2 \omega^2}}$$

ҳамда объектнинг асосга нисбатан тебранишлари амплитудасини камайтиришдан иборат бўлиши мумкин.

Титрашдан муҳофазалаш мақсадини амалта ошириш даражасини миқдорий жиҳатдан самарадорликнинг ўлчамсиз көфициентлари қийматларин орқали ифодалаш мумкин. 10.13-расмда тасвириланган ҳисоблаш нусхаси учун күч билан уйғотишида қуйидаги көфициентлар киритилади:

$$k_R = R_0/F_0; \quad k_x = c X_0/F_0.$$

Кинематик уйғотишида эса қуйидаги көфициентлардан фойдаланилади:

$$k_k = W/(\omega^2 \xi_0); \quad k_{x'} = X'_0/\xi_0.$$

$k_R$  ва  $k_x$  катталиклар мос равишда титрашдан изоляциялаш көфициенти ҳамда динамиклик көфициенти деб аталади.

$k_R$ ,  $k_x$  ва  $k_{x'}$  ларнинг ўлчамсиз  $v$  ва  $z = \omega/\omega_0$  параметрларга боеликлиги қуйидаги кўринишда бўлади:

$$k_R = \sqrt{\frac{1 + 4v^2 z^2}{(1 - z^2)^2 + 4v^2 z^2}},$$

$$k_x = \frac{1}{\sqrt{(1 - z^2)^2 + 4v^2 z^2}}; \quad k_{x'} = \frac{z^2}{\sqrt{(1 - z^2)^2 + 4v^2 z^2}}.$$

Бикрликнинг ва сўндиришнинг эквивалент коэффициентлари. Титрашдан изоляцияловчи қурилма, одатда, мураккаб титраш изоляторини ҳосил қиливчи бир қанча титраш изоляторларининг биримаси тарзида иса́дли. Маълум шаронтларда бундай бириманинг  $R$  реакцияси (10.23) муносабат орқали тахминий ифодаланиши мумкин, бу ерда  $\delta$  — бириманинг умумий деформацияланиши. У ҳолда кўрилаётган мураккаб титраш изолятори манба ва обьектга таъсир қилиш мъносида оддий изоляторга эквивалент бўлади;  $c$ , ва  $b$ , коэффициентлар бикрликнинг ҳамда сўндиришнинг эквивалент коэффициентлари дейилади.

Полигармоник таъсирларда титрашдан муҳофазалаш системаларининг самарадорлиги. Тугал тригонометрик йигинди кўрининшида келтирилайди жараён полигармоник жараён дейилади. Масалан, кинематик тарздаги полигармоник уйғотиш кубидаги йигинди орқали берилади:

$$\xi(t) = \sum_{j=1}^n \xi_{j0} \sin(\omega_j t + \alpha_j),$$

бу ерда  $\xi_{j0}$ ,  $\omega_j$ ,  $\alpha_j$  — мос равишда  $j$ - гармониканинг амплитудаси, частотаси ва бошлангич фазаси.  $\xi_{j0}$  ( $j = 1, 2, \dots, n$ ) рақамлар биргаликда таъсир амплитудаси спектрини ташкил қўлади. Бунда титрашдан муҳофазалашнинг самарадорлиги шарти таъсирнинг ҳар бир гармоникаси самарадорлиги шартларининг ҳаммаси билан бир хил деб қаралади.

Масалан, агар титрашдан муҳофазалаш мақсади обьектнинг таҳжих  $|x(t)|$  ўта юкланишини камайтириш бўлса, самарадорликнинг шарти  $n$  таъсирниң бажарилишига эквивалент бўлади:  $k_{Rj}(v, \xi_j) \leq 1$ , ( $j = 1, 2, \dots, n$ ), бу эса системанинг берилган  $v = v_j$  ( $j = 1, 2, \dots, n$ ) нуқталардаги амплитуда-частота хусусиятларининг ординаталари чекланган бўлиши шарт демакдир.

### 10.7- §. Тебранишларни динамик сўндириш

Тебранишларни динамик сўндириш усули титрашдан муҳофазалашувчи обьектнинг титрашдаги ҳолатини ўзгартириси мақсадида унга қўшимча қурилмалар ўрнатишдан иборат. Динамик сўндиригичларнинг ишланиши обьектга узатилувчи куч таъсирларини ҳосил қилишга асосланган. Динамик сўндириш титрашни камайтиришининг бошқа усулидан, масалан, обьектнинг бирор нуқтасини маҳкамлаш йўли билан унга қўшимча кинематик боғламалар киритиш усулидан шуниси билан фарқ қиласди.

Динамик сўндиригич ўрнатиб обьектнинг титрашдаги ҳолатини ўзгартириш тебраниш энергиясини обьектдан сўндиригичга қайта тақсимлаш йўли билан ҳам, тебраниш энергиясининг ютилишини кучайтириш йўли билан ҳам амалга оширилиши мумкин. Биринчи усул системанинг властик-инерцион хусусиятига тузатиш киритиш йўли билан обьект — сўндиригич системасининг таъсир этаётган титрашдан галаёнланишлар ҳарорада ишбатан созланнишини ўзгартириси орқали амалга оширилади. Бу ҳолда обьектга ўрнатиладиган қурилмалар инерцион дина-

мик сүндиргичлар дейилди. Инерцион сүндиргичлар моногармоник ёки тор доирадаги қасодиғий төбәранишларни сүндириш учун құлланилади.

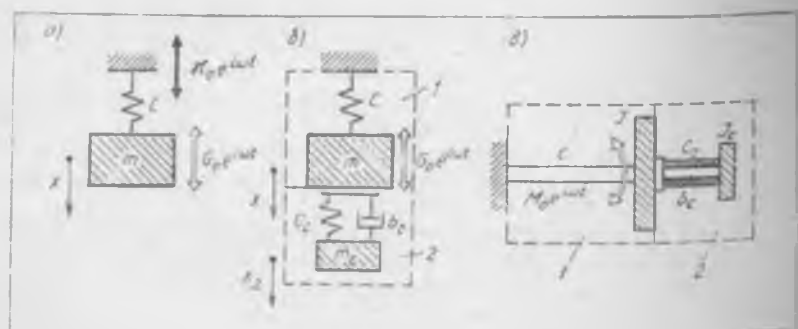
Кеңг доирадаги частоталы титраш юқланишлари таъсир этганда эса иккінчи усулдан фойдаланған мақұл. У обьектте сүндирувчи құшыма махсус элементлар үрнатып системанинг диссипатив хусусиятларини оширишга асосланған. Диссипатив динамик сүндиргичлар төбәранишли жүтичилар дейилди. Агар ular бир вақттинг үзида системанинг эластик-инерцион ва диссипатив хусусиятларини үзгартырады болса, у ҳолда ular ишқаланувчи динамик сүндиргичлар дейилди.

Динамик сүндиргичлар конструктив жиһатдан пассив элементлар (массалар, пружиналар, демпферлар) ҳамда үз энергия манбандың әгулған актив элементлар асосыда тайёрланиши мүмкін. Кейиннен ҳолда сүз әлектр, гидравлик ва пневматик усулда бошқарылувчи элементлар құлланилған автоматик ростлаш системаларини табиқ этиш үстида боради.

Динамик сүндириш усулини ҳамма турдаги: бүйлама, әгила, бураяла маға тағы да башқа төбәранишлар учун құллаш мүмкін, бунда үрнатылған қурилма ҳосил қылады төбәраниш тури, одатта, сүндирилиши лозим бүлған төбәранишлар турига үшаш бүләди.

Пружинали, бир массалы инерцион динамик сүндиргич (10.14-расм). Энг оддий динамик сүндиргич 2 (10.14-расм, б) төбәранишларни сүндирилады обьект 1 га төбәранишларини сүндириш талаб қылғанувчи нүктада эластик тарзда бириктирылады қаттық жиһем күрниншида ясалади. Объекттинг сүндиргич билан биргә ҳаракатланишининг натижаловчи хусусиятларига сүндиргичдеги диссипатив йүқотишлар анықтана таъсир күрсатади. 10.14-расм, а да төбәранишларни сүндирилады обьект асосына с бикрликка әга бүлған чизікшли пружина ердамида мағамланған  $m$  масса билен моделлаштырилады энг содда ҳол күрсатылған.

Сүндиригичли система бүйлама төбәранишларининг дифференциал тенгламасы қуйидаги күрниншига әга:



10.14- расм

$$m\ddot{x} + b_c(x + \dot{x}_c) + cx + c_c(x - \dot{x}_c) = G_0$$

$$m_c\ddot{x}_c + b_c(\dot{x}_c - \dot{x}) + c_c(x_c - x) = 0, \quad (10.24)$$

бу ерда  $x, x_c$  — массалар суринишининг абсолют координаталари.

Бураатма төбәранишларни 10.14-расм, ө да күрсатилган схема бўйича динамик сундиришида сундирилувчи обьект ва сундиригич дискларининг абсолют бурилиш бурчаклари  $\varphi, \varphi_c$  га кўра ёзилган тенгламалар ҳам юкоридагига ўхшаш кўринишга эга бўлади:

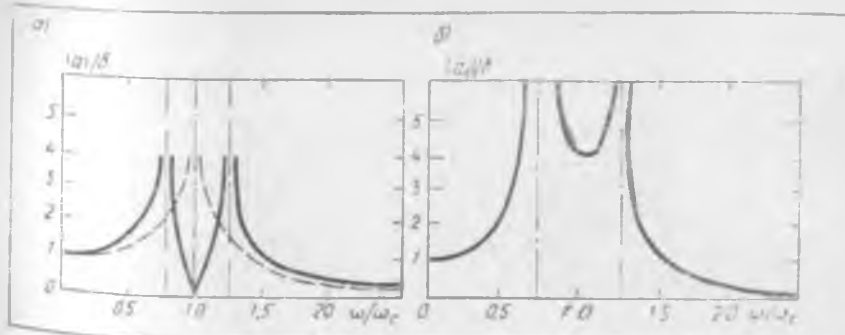
$$J\ddot{\varphi} + b_c(\varphi - \varphi_c) + c\varphi + c_c(\varphi_c - \varphi) = M_0 e^{i\omega t};$$

$$J_c\ddot{\varphi}_c + b_c(\dot{\varphi}_c - \dot{\varphi}) + c_c(\varphi_c - \varphi) = 0. \quad (10.25)$$

Бу ерда  $J, J_c$  — сундирилувчи обьект ва сундиригичининг инерция моментлари;  $c, c_c$  — валларнинг буралишдаги бикрликлари;  $b_c$  — сундиригичининг парциал төбәранишлардаги қовушоқликка ирофлар коэффициенти;  $M_0$  — сундирилувчи система дискига тушувчи буровчи момент амплитудаси.

10.15-расмда кўрилаётган сундиригичли системанинг (10.14-расм, б га қаранг) амплитуда-частота хусусиятлари келтирилган (*a* — сундирилувчи обьект учун, *b* — сундиригич учун). Солнишибириб кўриш мақсадида 10.15-расм, а да штрихли чизиқ билан обьектининг амплитуда-частота хусусияти (10.14-расм, а га қаранг) чизилган. Танлаб олинган созланышда сундиригичининг ўрнатилиши натижасида эркинлик даражаси иккита бўлган шундай натижаловчи система ҳосил бўлади, унинг уйғотиш частотасига антирезонанс тўғри келади. Бунда антирезонанс частотаси дастлабки системанинг резонанс частотасига ҳам мос келади.

Ғалтакли инерцион динамик сундиригичлар. Сундиригичда мувозанатловчи реакция кучлари вужудга келишини таъминлаш орқали инерцион динамик сундиригичлардан фойдаланиш имконияти кенгайтирилиши муумкин. Хусусан, сундиригич сифатида ўз частотасини уйготиш частотасига мослаштириш имкониятига эга бўлган ноизохон элементларин кўллаш



10.15- расм

орқали бунга әришиш мумкин. Масалан, цилиндрический бүшлиқдаги цилиндр, цилиндрический ёки сферик бүшлиқдаги шар, стерженга кийги-зилгаш ҳалқа каби ёпиқ ички юзада ғилдираб ҳаракатлана оладиган элементлар нойзахонлик хусусиятига эга. Бундай элементлар титровчи обьектга маҳкамаласа, улар амалга оширадиган ғилдиратма ҳаракат ташки уйғотиш билан уйғунлашади. Бунда айланувчи элемент юзага келтираётган даврий реакция титрашдаги юқланишга қаршилик курсадади.

Мисол тариясида әркінлік даражаси битта бұлған, гармоник  $G(t) = G_0 \cos(\omega t + \phi)$  күч воситасида уйғотиладиган ҳамда  $\rho$  радиуслы цилиндрический бүшлиқда жойлашувчи шарни ёки роликли,  $m_c$  массалы ва  $r_c$  радиуслы сүндиргіч билан жиҳозланған сүндирілувчи обьектни күриб чиқамиз (10.16-расм). Қурилаётган система күйидеги дифференциал тенгламалар орқали тавсифланади:

$$(m + m_c)\ddot{x} + cx = G_0 \cos(\omega t + \psi) + (\rho - \rho_c)m_c(\dot{\varphi}^2 \cos \varphi + \dot{\varphi} \sin \varphi);$$

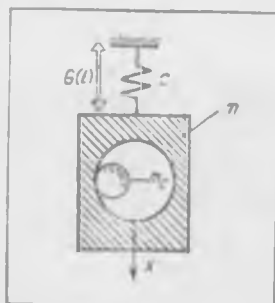
$$m_c(\rho - \rho_c)^2 \ddot{\varphi} = m_c(\rho - \rho_c) \ddot{x} \sin \varphi. \quad (10.26)$$

Бу ерда:  $x$  — обьекттің бүйлама координатасы;  $\varphi$  — вертикаль үқдең бөшлаб үлчанадиган сүндиргіч ҳолаттіннің инсебій бурчак координатасы.

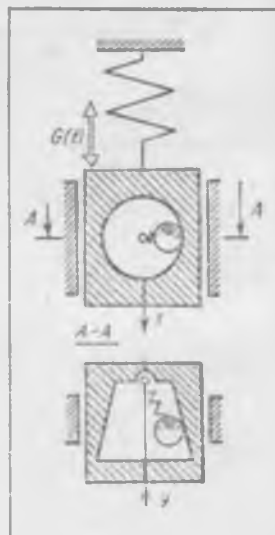
$x = \dot{x} = \ddot{x} = 0$  деб фараз қылған ҳолда обьекттің барқарорлашиш шартини аниқлаймиз. (10.26) га күра

$$\varphi = \omega_c t + \Phi_0,$$

яғни сүндиргіч равон айланади. Равон айланувчи жисм сүндирілувчи обьекттегі узатылаётган марказдан қочма реакция уйғотишін тұла мувозанатлады ва обьекттің барқарорлашувины тағминалайды. Қурилаётган турдаги ғалтактың сүндиргічлар уйғотиш частотасын күзатар экан, созлаш частотасида уйғотиш амплитудасыннан үзгаришиңга сезгір бұлади. Баъзан частота ошишин билан дебаланс эксцентрикитеті ҳам орта дн.



10.16- расм



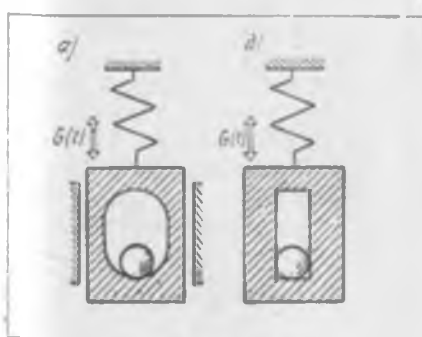
10.17- расм

Бу ҳолда баркаорликни тиклаш учун бүшлиқнинг  $\rho(\omega)$  радиусини кагталашибиши сүндиргич конструкциясини 10.17-расмда күрсатилгандек бажариш билан амалга ошириш мумкин. Юмалаш содир бўладиган сиртнинг шакли шундай тарзда ясалганки, частота, бинобарин, марказдан қочма реакция кучи ошиб бориши билан шарча ясовчининг айланиш ўқи у йўналишида силжийди. Пружинанинг хусусияти шарчани талаб қилинувчи радиусда ушланиб туриши таъминланадиган қилиб танланади.

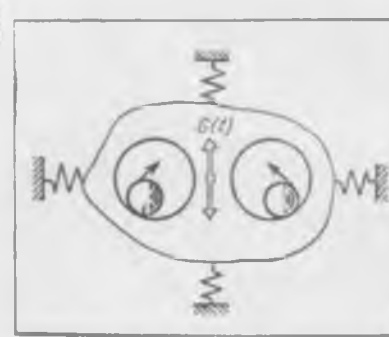
Бўшлиқнинг ўқ бўйича кесими шаклини танлаш орқали сүндиргичнинг даврий реакцияси спектрини маълум доирада юстлаш мумкин. Масалан, айланани эллипс шаклида чўзиб (10.18-расм, а) сүндиргичнинг реакцияси спектрида карали частотали олни гармоникалар ролини ошириш мумкин. Бу тадбир ўйғотиш таркибида ана шундай гармоникалар мавжуд бўлганда фойдалидир. Эллипс эксцентриситетини биргача ошира бориб, яъни бўшлиқни сўндиргич массасининг бир ўтамали ҳаракатланишигагина имкон берадиган тарзда узайтирган ҳолда уни яси сирта айлантириб (10.18-расм, б) зарбни сўндиргич гоясига назарий жиҳатдан келамиз; бу сўндиргичнинг реакцияси деярли бир текис бўлган карали гармоникалар спектрига эга бўлади.

Битта ғалтакли сўндиргичдан фойдаланиш учун сўндирилувчи объекти йўналтирувчилар бўлиши керак; у сўндиргичнинг ён томондан бўладиган реакцияси таъсирини бартараф этади. Ўйғотувчи кучнинг таъсир чизигига нисбатан симметрик жойлашган ярим массали иккита бир хил сўндиргичлардан фойдаланилса (10.19-расм), йўналтирувчиларга зарурат қолмайди. Резонанс частотасидан ўтиб бўлганидан сўнг сўндиригичлар системаси ён томондан бўладиган юкланишларни мувозанатлаган ҳолда ўзининг қарама-қарши йўналишларида айланышларини мувофиқлаштиради. Шундай қилиб, бундай сўндиргичларнинг самарадорлиги доираси резонансдан ташқаридаги частоталар соҳаси бўлади.

**Маятникили инерцион динамик сўндиригичлар.** Динамик сўндиригич вужудга кеттирадиган парциал частотанинг ўйғотиш частотаси билан кeng доирада teng бўлиб туриши таъминланиши учун маятникили тебранишларни сўндиригичлар қўлланилиши зарур. Улар тебранишнинг сабабчиси бўлмиш айланыш натижасида вужудга келувчи марказдан қочириш



10.18-расм



10.19-расм

кучлар майдонида жоғлаштырилади. 10.20-расмда буралма (10.20-расм, а) ва бўйлама (10.20-расм, б) тебранишларни сўндириш учун мўлжалланган ана шундай сўндиригичларнинг схемалари кўрсатилган. Уларнига низаш асосини маятникли буралма тебранишни сўндиригич мисолида кўриб чиқамиз. Ё инерция моментига эга бўлган р радиусли диск (10.20-расм, а)

$$\Phi_o(t) = \Omega t + \theta_0 e^{\omega_0 t}$$

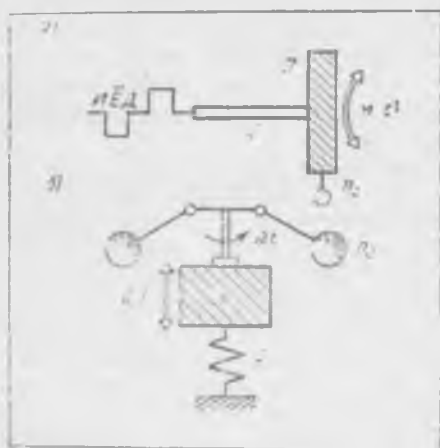
қонуният бўйича айланма ҳаракат қилаётган двигателъ вали билан эластик тарзда боғланган бўлсин; тенгламада:  $\Omega$  — валнинг ўртача бурчак тезлиги;  $\theta_0$  — айланышнинг нотекислигини ифодаловчи кўрсаткич;  $\omega$  — валнинг буралма тебранишлари частотаси, бу ерда  $\omega = n\Omega$ , бунда  $n = 1, 2, \dots$  — тебранишларнинг карралиги.

Натижада диска келтирилган титратувчи  $M(t) = c\theta e^{\omega_0 t}$  момент ( $c$  — валнинг двигателъ билан диск оралигидаги қисмининг буралишдаги бикрлигиги) диска буралма тебранишларни уйғотади. Кўрсатилган тебранишларни сўндириш учун диска шарнир ёрдамида маятник маҳкамланган. Маятникнинг  $t$  узунликдаги вазнисиз таёқчаси охирига  $m_c$  масса ўринатилган (10.21-расм).

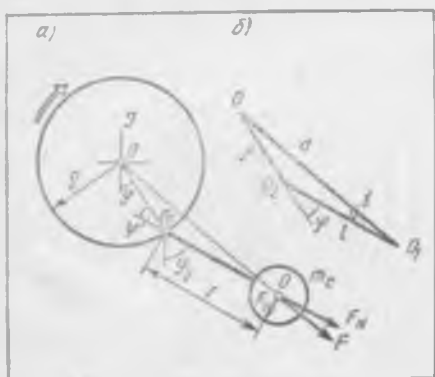
Диска бикр қилиб биринчидан,  $\Omega$  бурчак тезлик билан айланувчи координаталар системасида маятникнинг шу дикка инсбатан тебранишларни кўриб чиқамиз (10.21-расм, а). Маятникнинг массалар марказига  $F = m_c \Omega^2 d$  марказдан қочирма куч қўйиб (бунда  $d$  — маятникнинг массалари марказидан дискнинг айланыш ўқигача бўлган масофа), уни иккита: маятник ўқи бўйлаб ва унга перпендикуляр тарафда йўнаш  $F_N$  ва  $F_T$  ташкил этувчиларга ажратамиз. Бунда

$$F_N = m_c \Omega^2 d \cos \gamma;$$

$$F_T = m_c \Omega^2 d \sin \gamma.$$



10.20-расм



10.21-расм

Маятникнинг дискка нисбатан оғиш бурчаги  $\psi = \varphi_c - \varphi$  билан белгилаб (бунда  $\varphi, \varphi_c$  — диск ва маятникнинг абсолют оғиш бурчаклари) 10.21-расм, б даги учбурчакдан, ўтирир бурчакларининг кичиклигини ҳисобга олган ҳолда ушбуни топамиз:

$$\gamma = \rho \psi / (\rho + l).$$

Натижада маятникнинг кичик тебранишларида

$$F_N \approx m_c \Omega^2 (\rho + l); \quad F_T \approx m_c \Omega^2 \psi.$$

Эркинлиги даражаси иккита бўлган кўрилаётган системанинг тебранишини тавсифловчи дифференциал тенглама қўйидаги куринишига эга:

$$J\ddot{\varphi} + b_c(\dot{\varphi} - \dot{\varphi}_c) + c\varphi - m_c \Omega^2 \rho (\rho + l)(\varphi_c - \varphi) = \theta_0 e^{i\omega t};$$

$$m_c l^2 \ddot{\varphi}_c + b_c(\dot{\varphi}_c - \dot{\varphi}) + m_c \Omega^2 \rho l (\varphi_c - \varphi) + m_c \varphi \rho l = 0. \quad (10.27)$$

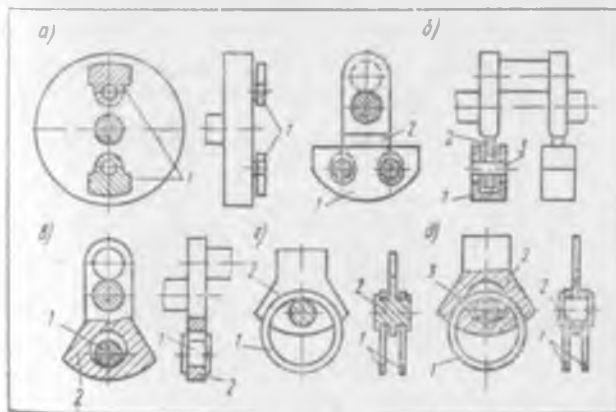
Иккинчи дифференциал тенгламани тузишда кичик бўлган кориолис кучлари ҳисобга олинмади, дискнинг кўчирма ҳаракати эса охирги ҳад орқали ҳисобга олинди. Ушбу тенгламага асосан маятникнинг парциал ҳусусий частотаси

$$\omega_c = \Omega \sqrt{\rho/l} = (\omega/n) \sqrt{\rho/l},$$

яъни, у валининг бурчак тезлигига ёки тебраниш частотасига мутаносиб дир. Шундай қилиб, сундиргичнинг частотаси тебраниш частотасининг ўзгаришига қараб автоматик ўзгариб туради.

Соф буралма тебранишларни сундиришда  $F_N$  кучнинг эгувчи таъсирини йўқотиш учун дискнинг қарама-қарши нуқталарида иккита маятник урнатиш мақсадга мувофиқдир. Уларнинг тебранишини сундиришдағи динамик самараси таъсирлар йигиндинисидан иборат бўлади.

(10.22) га асосан созланишини конструктив жиҳатдан таъминлашнинг кўпгина ўзига хос томонлари бор. 10.22-расм, а да кўрсатилган турга



10.22- расм

онд оддий схема, одатда  $l = 1$  бүлганды амалта ошици мүмкін.  $\rho_1$  осанғашынан байлан маңтнларнинг узунлуклари аңчатаңа қысқарады. Қисса 1 елкада осишиб туришни таъминлаш учун 10.22-расм, 6 — дә да күрсатылған конструкциялардан фойдаланылади. 10.22-расм, а да тирсакли вал кривошип 2 нинг  $\rho_1$  радиуслы тешикли чиқғига маңтнларнини биғиляр тарзда эркін үрнатыш схемасын көлтирилген. Посангидам шундай радиуслы дума-тоқ тешик бөр. Тирсакли вал билан посанғи  $\rho_2$  радиуслы, янын тешиклар радиусыдан кичик радиуслы штифтлар 3 орқали туташтырылади. Бундай маҳкамалаш посангининг  $l = 2(\rho_1 - \rho_2)$  радиуслы айланы бўйича илгарилама ҳаракат қилишини таъминлайди.

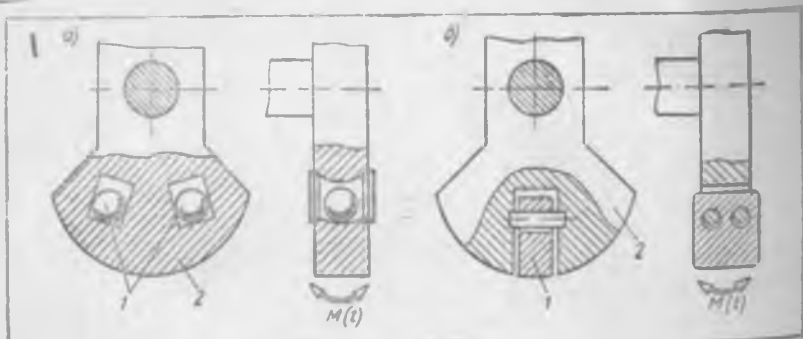
Күрьылған ҳолда маңтнлар — посанғи маҳкамалагичининг радиусы  $\rho = h - l$  га teng, бунда  $h$  — дискининг айланыш марказидан посангнинг массалари марказигача бўлган масофа.

Биғиляр осмали маңтнларнин созлаш формуласи узил-кеシリл қўйнадаги кўринишни олади:

$$2n^2(\rho_1 - \rho_2)/(h - 2(\rho_1 - \rho_2)) = 1.$$

10.22-расм, в да тебранышлар кривошип 2 нинг посангисидаги цилиндримен тешикда эркін үрнатылған роликли маңтнлар 1 билан сундириллади. Бундай схеманинг ташқи улчамлари катта бўлганидан кам қўлланилади, шу сабабли роликлар үрнига баъзан ҳалқали маңтнлар 1 қўлланилади (10.22-расм, г, д). «Маңтнлар» элементлар конструктив жиҳатдан обьект буштиқларида эркін жойлашувчи шарсизмон ёки цилиндримон жисм тарзida амалта ошириллади. Ана шундай конструкциялар, масалан, тирсакли еалларнинг эгилма тебранышларини сундиришида қўлланилади. Бунда битта ёки иккита жисм 1 (10.23-расм, а) кривошип 2 нинг ариқчаларига үрнатилади. Улар чекланган цилиндримон ёки тороидал юзалтарда юмалаган ҳолда эгри текислик бўйлеб тебранма ҳаракат қиласи. Кўпинча биғиляр осма 1 ли маңтнлардан ҳам фойдаланылади (10.23-расм, б). Тирсакли валларнинг эгилма ва буралма тебранышларини сундирадиган маңтнларнинг үрнатыш текисликлари ўзаро перпендикуляр жойлашгириллади.

**Актив элементли инерцион динамик сундиригичлар.** Тебранышларни динамик сундириши системаларида хусусий энергия манбаига эга бўлган

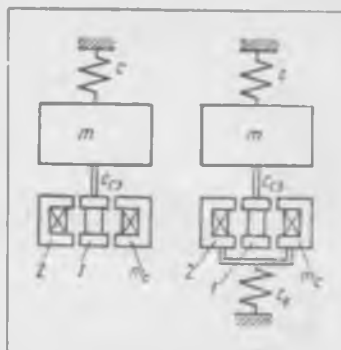


10.23- расм

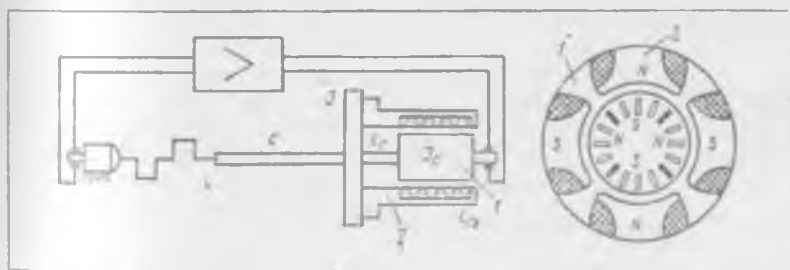
Экспериментларининг ишлатылуши уларнинг функционал хүсусиятларини көнгайтиради. Тәсир этувчи күчларнинг ўзгариб туриши сабабли сұндиригич параметрларини оддий тарзда ва кеңг доирада созлашса, тақтад тартибида уларни узлуксиз бұладиган қылғын созлашса, компенсациялычи реакциялар учун энг түғри қонуннятларни танлаб амалға оширишга имконият туғилади. 10.24-расмда бүйлама тебранишларни динамик сұндиригиччин эквивалент бикрлиги ростлагичи сифатыда электромагнитдан фойдаланиш схемалари келтирилген. Схемалар үзак 1 нинг ва ғалтак 2 ли корпуснинг сұндирилувчи объектта ёки құғалмас асосга маҳкамаланышы билан бир-биридан фарқ қиласы.

Бундай схемалар бошқарылудың бураулма тебранишларни динамик сұндириши учун амалға оширилиши мүмкін. Ижроғи элемент сифатыда үзгармас ток двигателининг тақомиллаштырылған конструкциясыдан (10.25-расм) фойдаланиш қуалай, бунинг учун ротор 1 ва статор 2 күтбларнинг нисбий силжишин ҳамда тебраниш вақтида күтбларнин амашшаб уланиш өхтимоли бартараф этилиши лозим.

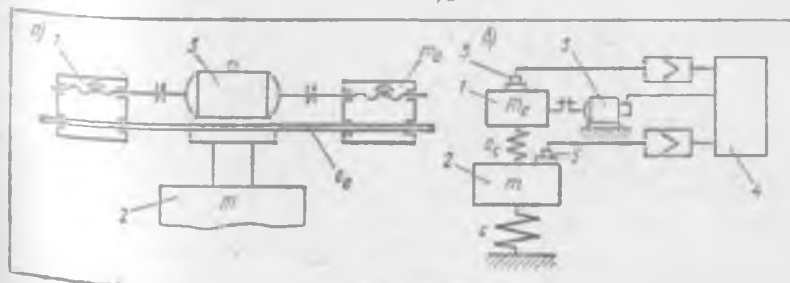
Сұндиригичнинг бикрлигини динамик сұндиригич 1 массасынн ростлагувчи электр двигатель ёрдамида эластик балка бүйлаб сиљкитиш йўли билан ҳам ўзgartариши мүмкін (10.26-расм, а). Энг яхши динамик



10.24- расм



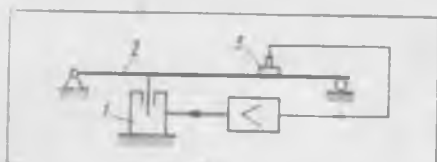
10.25- расм



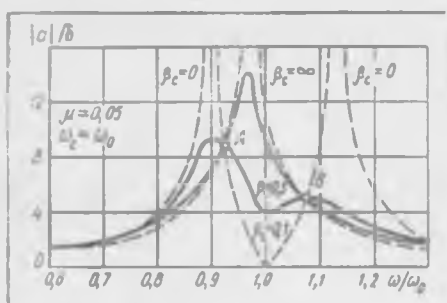
10.26- расм

сүндиріш тартибіда (антирезонанс) обьект 2 ва сүндиргич 1 нинг теб-  
раниш фазалари  $\pi/2$  га сийлігін анықтауда олган ҳолда башкаруя-  
чи сигнал фаза дискриминатори 4 билан ҳосил қылғанади ( $10.26 \text{ рад.}$ ,  
 $6$ ), унда обьект ва сүндиргичнинг абсолют сийлішлари түркісіде зат-  
чиктар 5 берадиган маңтумотлар солиширилади. Фазаларнинг  $\pi/2$  дан  
фарқ қыладыган сийлішиңда реле ишга тушади ва компенсациялық  
созлашыннан кераклы йұнайтишига мувофиқ электр двигателни иштатады.

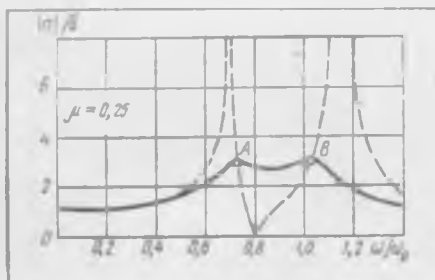
Актив динамик сундиришнинг самародорлиги бошқариш системаси-  
нинг инерционлиги туфайли чеклангандир. Объектга биринчирадиган  
қисмларнинг массасини камайтириш учун актив сундиригич ижрочи ку-  
рилмасининг корпуси 1 (10.27-расм) баъзан қўзғалмас асосга ўнати-  
лади ва титраши сундирилиши керак бўлган бошқа нуқталар (масалан,  
3) нинг тебранишини улчаш натижаларига кўра куч таъсири эластик  
объект 2 нинг бирор нуқтасига узатиладиган киличинади.



10.27- расм



10.28-pac M



10,29- расм

Харакатланувчи объектларнинг, масалан, транспорт курилмасининг тебранишини сундиришиш амалга оширилган ҳолларда кузгалмас система (компенсацияловчи кучлар ана шу системага нисбатан ҳосил килинади ва обьектга узагитдан) гироскопик курилмалар ёрдамида ташкил килинишин мумкин.

Пружинали, бир массалы, ишқаланиши динамик сундиргич. Тебраниши динамик сундирниш, амалга ошириладиган частота доирасининг кенгайнишига пружинали, бир массали сундиргичнинг диссипатив хоссаларидан оқылана фойдаланиши билан ҳам эришиш мумкини. 10.28-расмда объектнинг амплитуда-частота хусусиятлари (10.14-расм, б га қаранг) ковулоқ ишқаланишининг турли резоффициентлари учун келтирилган. Бу ерда  $|a|$  — амплитуда. Қолдиқ тебранишлар амплитудасининг қиймати эн юқори бўлишини таъминлаш учун  $\beta_c$  сўнишни шундай танланозимки, бунда  $A$  ёки  $B$  нуқталарда амплитуда-частота хусусияти экстремум қийматига эришадиган бўлсин. 10.29-расмда ишқаланиши динамик сундиргичнинг амплитуда-частота

максимумын көлтирилган. Бунда:  $\mu = m_c/m$  ( $m_c$  — сүндиргичнинг массаси;  $m$  — объектнинг массаси);  $\delta = G_0/c$  ( $G_0$  — ташки уйготувчи таъсир).

Сүндиргичнинг ташки ўлчамларини ва пружинадаги зўриқишини аниқлаш учун сўндирилувчи системага нисбатан сўндиригич массасининг тегренишлар амплитудаси  $|a_0|$  ни аниқлаш лозим. Умумий ҳолда ушбу коттаплик (10.24) дифференциал тенгламалар системасидан аниқланishi мумкин. Аммо амалда эса энергетик тенглилкка асосланган содда тақрийи муносабатдан фойдаланилади.

Сўндирилувчи системанинг  $|a|$  амплитудали  $x(t)$  гармоник ҳаракати да  $G(t)$  гармоник кучнинг бажарган иши қўйидаги муносабатдан аниқланади:

$$E_B = \pi G_0 |a| \sin \varphi \approx \pi G_0 |a|,$$

бунда  $\varphi$  — фазанинг  $\pi/2$  га яқин бўлган қиймати.  $m$  ва  $m_c$  массаларнинг нисбий ҳаракатланиши натижасида қовушоқ демпферда тарқаладиган энергия:

$$E_x = \pi b_c \omega |a_0|^2.$$

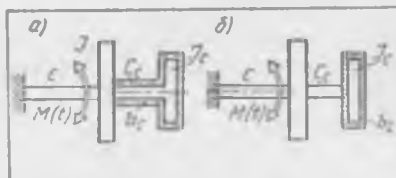
$E_B$  ва  $E_x$  ларни тенглаштириб ушбуни ҳосил қиласиз:

$$\frac{|a_0|}{\delta} = \sqrt{\frac{|a_0|}{\delta} \frac{1}{2 \mu \xi \gamma \beta_c}},$$

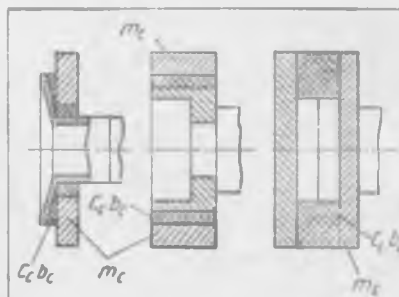
бу ерда  $\xi = \omega/\omega_0$ ;  $\gamma = \omega_c/\omega_0$ ;  $\beta_c = b_c/(2\sqrt{c_c m_c})$ .

Ишқаланиши динамик сўндиригичнинг конструкциясини эластик ва сундириувчи элементлари параллел (10.30-расм, а) ҳамда кетма-кет (10.30-расм, б) уланадиган қилиб яратиш мумкин. Эластик сўндириувчи элементи бир бутун резина деталь тарзидаги сўндиригич муваффақиятли чиқкан хисобланади. 10.31-расмда буралма тебранишини сўндириш учун мўлжалланган ана шундай конструкцияга мисоллар келтирилган. Шунга ўхшаш деталлар ёрдамида тебранишини сўндиригичли резина-метал таянчлар ҳам ясалади (10.32-расм).

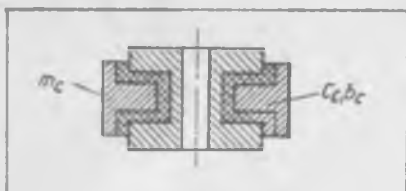
Гирокспли тебранишини сўндиригичлар. Транспорт объектларининг тебранишини сўндиришда ва бир қанча бошқа маҳсус ҳолларда гироксплардан фойдаланишга асосланган динамик сўндиригичлар қўйланилади. Тузниши ишлаш асослари ҳар хил бўлса ҳам, бундай системаларининг таъсири ишқаланиши пружинали сўндиригич ишига эквивалент тарзда ўхшаш бўлади. 10.33-расмда кемалар чайқалишини тинчлантири-



10.30- расм



10.30- расм

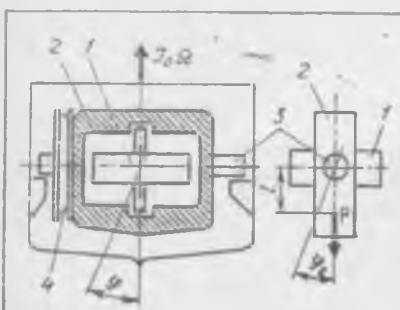


10.32- расм

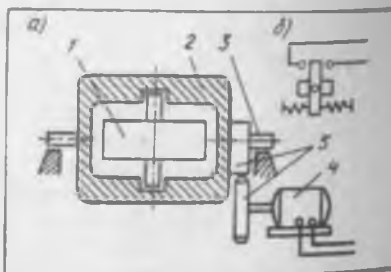
чи барабан 4 сұндиради. Одатда, роторнинг массаси кема массасининг  $\sim 1\%$  ни ташкил қилади.

Кеманинг чайқалишини сұндиришда, күриб чиқылған схема билан бир қатorda, тескары алоқалы гироскоптик схема ҳам құлланилади. Ротор 1 ли ижрочи гироскопнинг қобиги 2 ҳаракат үкі 3 га нисбатан концентрик тарзда жойлашған. Қобиқни серводвигатель 4 тишли узатма 5 оркали кичик йұналтирувчы гироскоп сигналлари (10.34-расм, б) ердамнда буриб туради. Кичик йұналтирувчы гироскоп ижрочи гироскоп каби үрнатылған ва унинг жуда кичиклаشتырылған нұсқаси ҳисобланади. Кема чайқалганда кичик йұналтирувчы гироскоп қобигининг бурилиши патижасыда реленинг тегишли контактлари уланиб серводвигателни ишга туширади. Натижада ижрочи гироскопнинг қобиги шундай бурилады, вужудға келувчы реакт ив момент қобиқ таянчларынга таъсир этади ва чайқалишга қаршилик құрсатади.

Күпгина замонавий кемаларда чайқалишни сұндириш учун бошқарылувчи ёкى құзғалмас қанотлардан фойдаланишга асосланған қурилмалар құлланилади. Кемалар оған пайтда қаноттарнинг таъсир бурчаги шундай үзгарауды, уларнинг атрофидан оқиб үтаётгандын сүв күтариш күчини вұжудға келтириб кеманинг чайқалишига түсқинлик қилади. Гироскопик тинчлантиргичтардан фәрқи үлароқ, бундай қурилмалар фактат сузиш вақтда кемаларнинг чайқалишини сұндиради.



10.33- расм



10.34- расм

### 10.8- ё. Қовушоқ ва қуруқлайин ишқаланиши тебранишни ютичлар

Қовушоқ ишқаланиши тебранишни ютичлар. 10.35-расмда эркінлик даражаси битта бұлған сұндирилувчи обьектга уланган энг содда қовушоқ тебранишни ютичларнинг схемалари күрсатылған. Ютичлар ҳам бүйлама, ҳам буралма тебранишларни сұндиришида кеңг миқесда құлланилади; улар исталған қонуният бүйіча үзгарувлы тебранишларни сұндира олади. Моногармоник тебранишларни сұндиришида тебранишни ютичларнинг самараадорлығы ишқаланиши динамик сұндиригичларниң қаралыда пастроқ бұллади. Бироқ бунга қарамай, конструкциясынинг содалығы ва таркибіда толиқиб синишга мойыл эластик элементтің үйкелігі туфайли күп ҳоллarda улар ағзал қурилади.

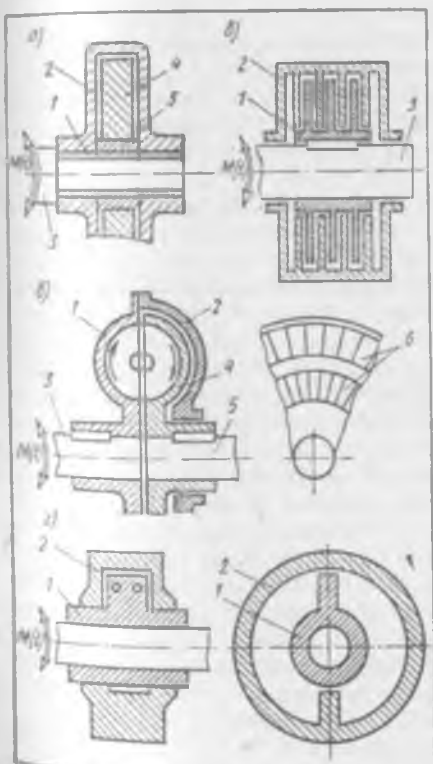
Күрилаёттегі система ҳам бүйлама тебраниш ҳолларыда (10.24) тенглама орқали ёки  $c_e = 0$  бұлғанда буралма тебраниш ҳолларыда (10.25) тенглама орқали тасвиғланади.

$\beta_0 = b_0 / (2 m_e \omega_0) = 0$  ва  $\beta_0 = \infty$  бұлғанда системаның эркінлик даражаси битта бұллади; уннинг амплитуда-частота хусусияти 10.36-расмда күрсатылған. Ютичининг энг яхши созланиши В нүктада энг катта амплитуддани беради. В нүктада хусусият экстремумының (туташ чизик) таъминловчи  $\beta_0$  катталиқ қуидаги мүносабатдан аниқланади:

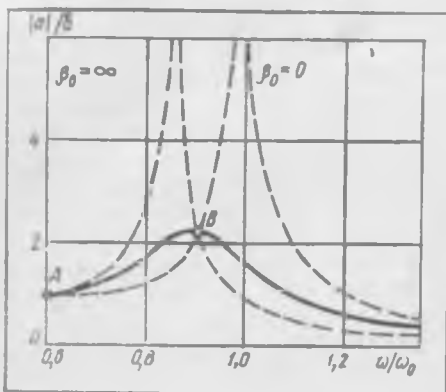
$$\beta_0 = V \sqrt{1 / [2(2 + \mu)]} (1 + \mu).$$

Қовушоқ тебранишни ютичининг энг содда конструкцияси 10.35-расм, а да көлтирилған. Тебранма ҳаракати сұндириліши талаб қилинадын вал 3 га қобиқ 2 билан бикр қилиб бириктірілған втулка 1 ўрнатылған. Қобиқ ичіда маховик 4 жойлашған бұлғыл, у ишқаланиш коэффициенті кичик бұлған вкіладыш 5 туфайли втулкага нисбатан сирпанған олади. Қобиқ ва маховик орасидати торғына бұшылқ юқори қовушоқликка әга бұлған суюқлик билан тұлдырылади.

10.35-расм, б да тасвирилған схемада сұндириш самәрасынан вал 3 га бикр қилиб үтқазылған, куракчалары бұлған, маҳовик 2 га нисбатан бурила оладын гупчак 1 тебранғанида юзага келади; ички камералар қовушоқ суюқлик билан тұлдырылған.

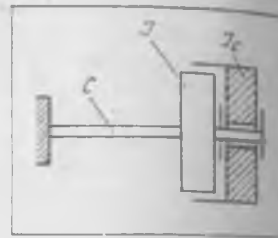


10.35- расм



10.36- расм

10.35-расм,  $\vartheta$  да етакчи вал 3 ичидә түсікелари 6 бұлған ва қобиқ 2 маҳкамланған бүштиққа эга бұлған ярим мұфтани айғантиради. Қобиқ 2 етакланувчи вал 5 га синк қилиб



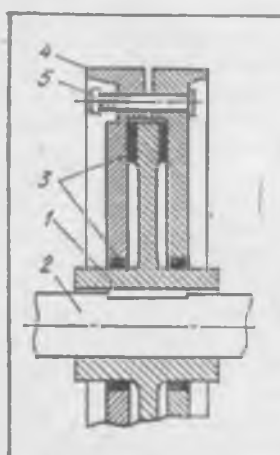
10.37- расм

бириктирилған худди шундай иккінчи яриммуфтага нисбатан әркін айланади. Яриммуфталар орасидаги бүштиқ қовушоқтығы юқори бұлмаган суюқлик билан тұлдырылған. Етакчи ва етакланувчи валдарнинг ҳаралат теззикелари ҳар хиллиги туфайлы марказдан қочирма күчтарнинг фарқы таъсирида суюқтык стрелка билан күрсатылған йұналишида айланиб юради. Буннинг натижасында вужудға келдігандың кориолис күчлары буровчи моментни үзатади.

10.35-расм,  $\vartheta$  даги юткінчада сұндирувчи күч дифрагма 1 мой билан тұлдырылған ва әркін үтқазылған қобиқ 2 га нисбатан төбранғанда кичик тешиклар орқали мой өкіб үтгандан қозага келади.

**Қуруқлайнин ишқаланишли төбранышни юткічлар.** Қуруқлайнин ишқаланишли төбранышни юткічлар конструкциясыннан содалығы ҳамда хизмат күрсатышыннан осонлиғи ва бошқа юткічларға нисбатан ихчамлігі туфайлы кенг құлланылади. Улардан ҳам буралма, ҳам бүйлама төбранышларни сұндиришда фондаланылади. Ана шундай юткінчининг ишлеш ассолярнин әркинлік даражаси битта бұлған объекттің (10.37-расм) буралма төбранышларини сұндириш мисолида күриб чыккыз. Үшбу ҳолда  $J_c$  инерция моментига эга бұлған диск объект билан қуруқлайнин ишқаланувчи жүфтілек орқали құшилади. Жүфтілек нисбий төбранышларда объект ва юткінчининг нисбий сиптіжішига қаршилик күрсатувчи үзгармас каталиктегі  $\Theta$  моментин ҳосил қылади.

Системанын (10.25) га үхашш ғана дифференциал тенгламалары қойылады:



10.38-расм.

$$J\ddot{\varphi} + \Theta \operatorname{sgn}(\varphi - \varphi_c) + c\dot{\varphi} = M_0 e^{i\omega t}$$

$$J_c \ddot{\varphi}_c - \Theta \operatorname{sgn}(\varphi - \varphi_c) = 0.$$

10.38-расмда қуруқлайин ишқаланиши юткіннің конструкциясы күрсатылған. Вал 2 билан бикр болған гупчак 1 фрикцион диск 3 орқали валга әркін ұтқазылған маховик 4 ни айлантиради. Қуруқлайин ишқаланиш күчиннің ростланишини пружина 5 нинг сиқылыш даражасы таъминлады. Вал тебранғанда маховик ва гупчак ұзаро сирпанади, шунда фрикцион юзатар орасидаги ишқаланиш натижасыда энергияннінг ютилиши содир бұлади.

Цикті давомида энергияннің әңг күп ютилишини таъминловчи қуруқлайин ишқаланиш күчтариннің оптималь моменті  $\Theta = (\sqrt{2}/\pi) J_c \omega^2 \theta_0$  күрнешінде ифодаланади, бунда  $\theta$  — демпфер бұлмаганда бурчак тебра-нишлар амплитудасы.

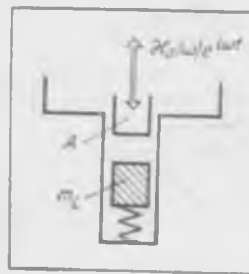
Ишқаланувчи юзатариннің ейилиши ва ифлосланышы нағижасыда ишқаланиш моментиннің дөнмілі бұлмаслығы, шуннингдек дискларннің қийшайыб ҳамда қадағы қолиши мүмкінлегі қуруқлайин ишқаланишты юткіларннің камчыларларидір.

#### 10.9-§. Тебранишларин зарб орқали (урілма) сұндиргичлар

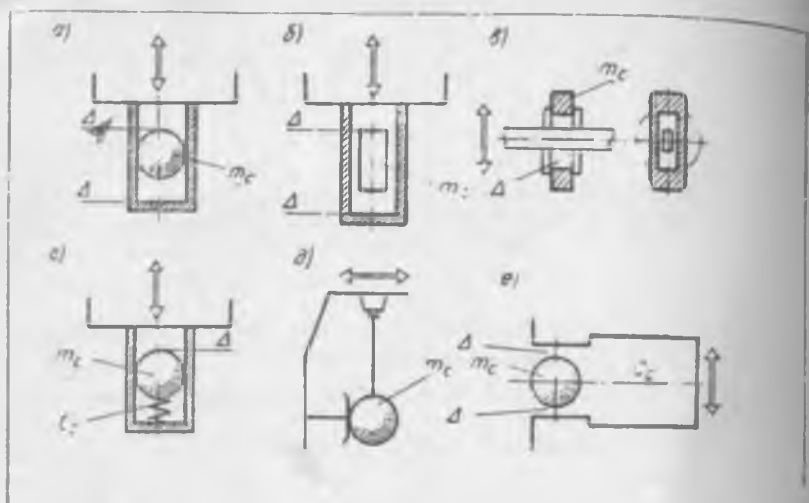
Тебранишини камайтириш лозим бұлған сұндирилувчи системаның А элементига уриладылған  $m_c$  массалы жиын (10.39-расм) титрашни зарб орқали сұндиргичннің асосий қысмидір. 2Δ га тең тирқиши билан әркін үрнатыладылған шар, цилиндр, ҳалқа күрнешінде ясалған зарбли сұндиргичлар (10.40-расм, а, б, в) әңг күп құлтанилады. Әркін үрнатылған сұндиргичлар ҳаракат даври ичіда ҳар бир чеклагынча нағбат билан иккі марта уриладылған қылыш созланади, бу зеңдай қурилмалар учун әңг катта самара бе аді. Шу билан бир қаторда үзігі хос сұндиргич осмасыға әга бұлған пружиналар (10.40-расм, г) ва маятникілі (10.40-шакт, д) урилма сұндиргичлардан ҳам фойдаланылады. Бұндай қурилмалар, одатда, бир давр ичіда бир марта уриладылған қылыш созланади. Бұндай қурилмаларннің иккі томонlama таъсир қытувчи турлары кам құлтанилады.

10.41-расмда сұндиргичлар үрнатылышиннің асосий вариантылары учун обьектиннің деформацияланувчи А нүктасынан сұндиргич ү силжишиннің  $f(y)$  статик эластик хусусиятлары көлтирилған (а — әркін үрнатылған сұндиргичлар учун; б — бир томонlama таъсир қытувчи пружиналар сұндиргичлар учун; в — иккі томонlama таъсир қытувчи пружиналар сұндиргичлар учун).

Күрсатылған статик хусусиятларни түғридан-түғри гармоник тарзда қизықташтириб бұлмайды, чунки урилиш өсіғіда үларннің қийматла и турлана бұлады. Нисбай суралышиннің сұндиргичннің «эластик» реакция-



10.39 расм

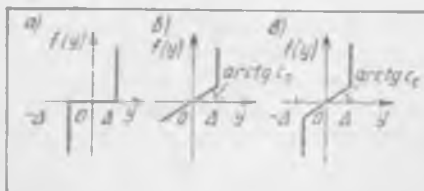


10.40- расм

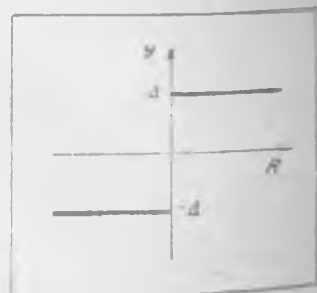
снга боғлиқтегини ифодаловчи  $y = Q(R)$  тескари функцияларни гармоник тарзда чизиқлаштириш қуалай усул ҳисбленади. Масалан, әркін үрнатылған сұндыргыч учун (10.42-расм)  $y = \Delta \operatorname{sgn} R$  бўлади. Оддий усуллар ёрдамида функцияларни гармоник тарзда чизиқлашти иб  $y \approx q(R_0)R$  га эга бўламиз, бунда  $q(R_0)$  — энди сұндыргычнинг даврий реакцияси амплитудаси  $R_0$  га боғлиқ бўлган гармоник чизиқлаштириш коэффициенти; бунда  $q = c_c^{-1}$ .

Уринувчи жуфтлеклар учун қовушоқлик-пластиклик хоссалари паст бўлган материаллар, масалан, подшипниклар учун тобланган пўлат ишлатиш йили билан тиклаш коэффициентини ошириш мумкин. Бундан ташқари, сұндыргыч массаси корпусга нисбатан тебранганда бўладиган қаршиштирик камайтириш лозим. Думаюқ жисмлардан фойдаланиш ҳам яхши натижалар беради.

$m_c \Delta = (\pi/4)e^{\pm i\omega t}$  шартдан сұндыргыч параметрларини танлаш орқали чеклагичларга кетма-кет урилиш тартиби мавжудлигининг кент частотали доиди.



10.41- расм



10.42- расм

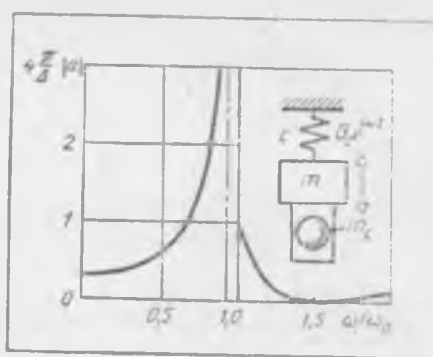
расида тебранишларнинг сүндирлишини таъминлаш мумкин, бунда:  $m_A$  — айланувчи муво- занатланмаган масса;  $e = m_A$  массасининг ўрнагилиш эксцен- трикитети;  $m_c$  — сўндиригич мас- саси 10.43-расмда  $\omega_0 = \sqrt{c/m}$  частотага эга булган, эркин турдаги зарбли сўндиригич билан таъминланган ва ўзгармас амплитудали даврий куч билан уйғотиладиган, эркинлик дара- жаси битта булган системанинг амплитуда-частота хусусияти келтирилган. Сўндирилувчи

системанинг хусусий частотасидан ўтилгандагина тебранишнинг сўндирилишига эришилади. Резонансга қадар соҳада системанинг  $\omega = \sqrt{c/(m + m_c)}$  частота билан кучли тебраниши юз берни мумкин.

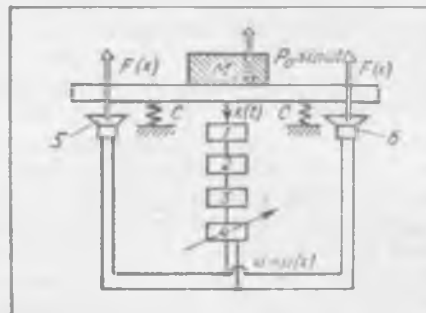
Шундай қылтиб, эркин ўнатилган зарбли сўндиригичнинг хусусий тебранишлари даври ана шу тебранишларнинг амплитудасига анчагина боғлиқ бўлгани учун у частоталарнинг кенг доирасида уйғотиш частотасига созланаб, ўзи маҳкамланган нуқтанинг тебранишларига акс таъсири кўрсатиш хусусиятига эга. Зарб вақтида энергиянинг ютилиши ана шу диапазонни юқоридан чеклаб туради. Кўрсатилган чегарани ошириш учун уртулувчи элемент пружинада маҳкамланади, бироқ бунда бу частотанинг пастки чегараси  $\sqrt{c_e/m_c}$  га қадар ортади.

#### 10.10-§. Титрашдан актив муҳофазалаш системаларининг асосий схемалари

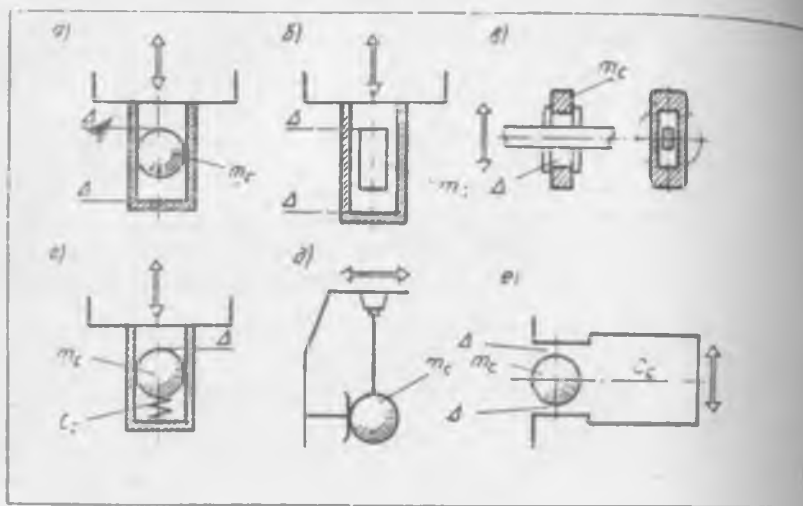
Ҳозирга қадар титрашдан актив муҳофазалаш системаларининг кўп- лаб схемалари ишлаб чиқилган. 10.44-расмда бошқарилиувчи электродинамик титрашни сўндиригич схемаси кўрсатилган бўлиб, ундаги тебранувчи система параметрларининг ўзгариши электрон элементларни бошқариш натижасида амалга ошади. Бу эса мазкур схеманинг ўтиш тартибларида шийадиган системанинг тебранишини сўндириш учун қўйлашга имкон туғдиради. Бунда  $M$  массали тебранувчи аг, егат эластик бикрлик боғламаларига ҳамда магнитоэлектр ўзгаригичларга (динамиклар 5 ва 6 га) таянади. Тебранувчи масса билан боғланган силжинчлар латчиги 1 кучайтирилгач 2 га, кейин дифференци-



10.3- расм



10.44- расм

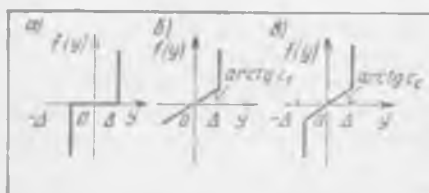


10.40- расм

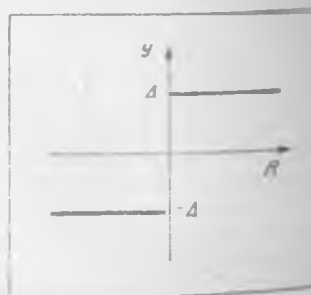
сига боғлиқтнгини ифодаловчи  $y = Q(R)$  тескари функцияларни гармоник тарзда чизиқлаштириш құлай усул ҳыбланади. Масалан, әркін үрнатылған сұндыргич учун (10.42-расм)  $y = \Delta \operatorname{sgn} R$  бұлади. Оддий усулдар өрдамида функцияларни гармоник тарзда чизиқлашти иб  $y \approx q(R_0)R$  га әга бұламиз, бунда  $q(R_0)$  — әнді сұндыргичнің даврнй реакциясы амплитудаси  $R_0$  га боғлиқ бұлган гармоник чизиқлаштириш көфициенті; бунда  $q = c^{-1}$ .

Үрнүвчи жүфтіліктар учун қовушоқлик-пластиклік хоссалари паст бұлған материалдар, масалан, подшипниклар учун тобланған пұлат ишлатиш йұлы билан тикшерене алады. Бұлдан ташқары, сұндыргич массаси корпусга нисбатан төбөнгандан бұлаладиган қаршилilikтің камайтириш лозим. Дұмалоқ жиындардан фойдаланып ұам яхши натижалар беради.

$m_c \Delta = (\pi/4) \epsilon t \Delta$  шартдан сұндыргич параметрлерини танлаш орқали чеклагычларга кетма-кет урилиш тартиби мавжудлігінинг кеңгі частотали тои-



10.11- расм



10.12- расм

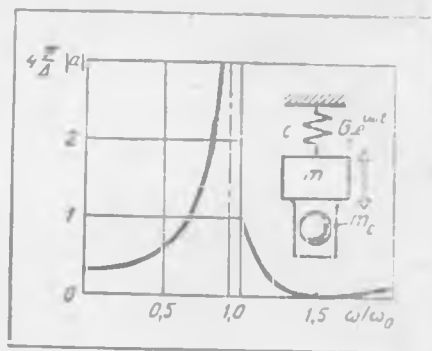
расмда тебранишларнинг сундиришини таъминлаш мумкин, бунда:  $m_A$  — айланувчи муовонатланмаган масса;  $e - m_A$  массасининг ўрнагиши экцентрикити;  $m_c$  — сундиригич массаси. 10.43-расмда  $\omega_0 = \sqrt{c/m}$  частотага эга бўлган, эркин турдаги зарбли сундиригич бийни таъминланган ва ўзгармас амплитудадали даврий куч билан ўйғотиладиган, эркинлик дарожаси битта бўлган системанинг амплитуда-частота хусусияти келтирилган. Сундирилувчи

системанинг хусусий частотасидан ўтилганда таъминланган сундиришига эришилади. Резонансга қадар соҳада системанинг  $\omega = \sqrt{c/(m + m_c)}$  частота билан кучли тебраниши юз берини мумкин.

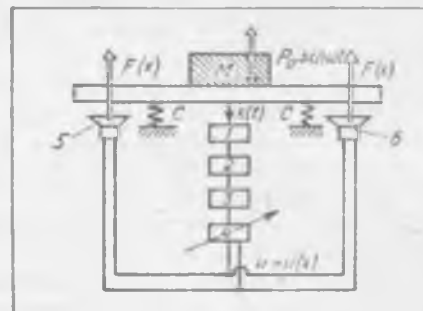
Шундай қўлиб, эркин ўнатилган зарбли сундиригичнинг хусусий тебранишлари даври ана шу тебранишларнинг амплитудасига анчагина боғлиқ бўлгани учун у частоталарнинг кенг доирасида ўйғотиш частотасига созланиб, ўзи маҳкамланган нуқтанинг тебранишларига акс таъсир кўрсатиш хусусиятига эга. Зарб вақтнда энергиянинг ютилиши ана шу диапазонни юқоридан чеклаб туради. Кўрсатилган чегарани ошириши учун уришувчи элемент пружинада маҳкамланади, бироқ бунда бу частотанинг пастки чегараси  $\sqrt{c_c/m_c}$  га қадар ортади.

#### 10.10-§. Титрашдан актив муҳофазалаш системаларининг асосий схемалари

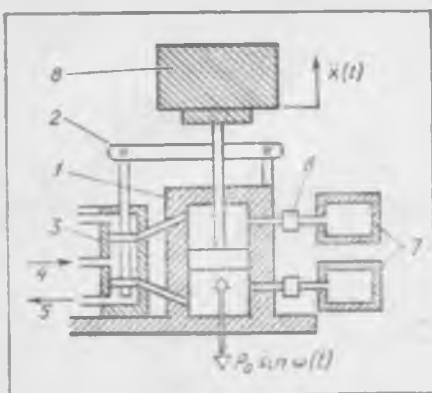
Хозирга қадар титрашдан актив муҳофазалаш системаларининг кўп-лаб схемалари ишлаб чиқилган. 10.44-расмда бошқарилиувчи электродинамик титраши сундиригич схемаси кўрсатилган булиб, ундаги тебранувчи система параметрларининг ўзгаришини электрон элементларни бошқариш натижасида амалга ошади. Бу эса мазкур схеманинг ўтиши тартибларида ишлайдиган системанинг тебранишини сундириши учун қўйлашига имкон туғдиради. Бунда  $M$  массали тебранувчи аг, егат эластик бикрлик боғлачаларига ҳамда магнитоэлектр ўзгаргичларга (динамиклар 5 ва 6 га) таянади. Тебранувчи масса билан боғланган силжинилар датчиги 1 кучайтиригич 2 га, кейин дифференциал 25-2316



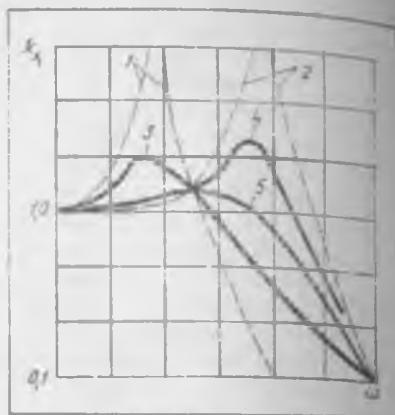
10.43- расм



10.44- расм



10.45- расм



10.46- расм

алловчи қурилма 3 га ва магнитоэлектр үзгарткычларин таъмин товчи куячайтиргич 4 га  $x(t)$  сигнал узатади. Схемадан қуриниб турибдики, ушбу элементлар электромеханик тескари боғланиш ҳалқасини ҳосент қиласди. Ҳалқа параметрини үзгартариш орқали схема параметрини үзгартариши, бинобарин, унинг резонанс хоссаларини кенг доирада үзгартариши мумкин.

10.45-расмда пневматик үйғоткичи (куч цилинтри) бўлган икки томонлама ишловчи пневмомеханик титрашдан муҳофазалаш системасининг схемаси тасвирланган (1 — пневмомеханик үйғоткич; 2 — силжиш бўйича механик тескари боғланиш; 3 — сефоклапан; 4 — кириш кан ли; 5 — чиқиш канали; 6 — дроссель, 7 — идиш; 8 — изоляцияланувчи объект).

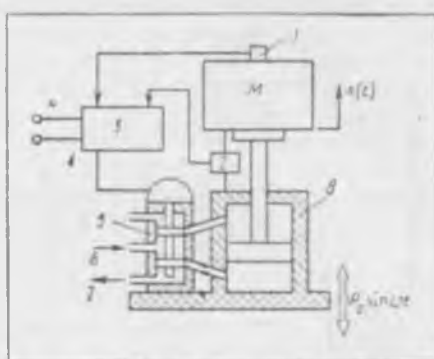
Силжиш бўйича механик тескари боғланиши золотникли қурилма орқали ташки энергия манбаидан бериладиган газнинг сарғланишини бошқариб туради. Золотникни сурадиган силжиш бўйича тескари боғланиш мавжудлиги туфайли үйғоткичнинг чиқиши кучи нисбий силжиш интегралнинг функцияси бўлади. Силжиш интегралига кура бошқариш фақат паст частоталардагина самарали бўлиши мумкин. Шу сабабли силжиш бўйича тескари боғланишдан фақат ҳимояланувчи обьектни маълум ҳолатга келтиришдагина фойдаланилади. Титрашдан ва зарблардан ҳимоялашнинг сифати эса пассив пневматик системанинг бикрлиги ва сундиришига боғлиқдир. Системанинг изоляцияланувчи масса катталигининг үзгаришига нисбатан сезгилиги паст.

Қўшимча идишларга эга бўлган пневмомеханик тарздаги титрашдан муҳофазалаш системаси учун силжиш бўйича  $k_x$  коэффициентининг  $\omega$  частотага боғлиқлиги 10.46-расмда логарифмик масштабда кўрсатилади. Бунда: 1 — ноль, 2 — чексиз, 3 — паст, 4 — юкори, 5 — энг мақбул сундиришдаги эгри чизиқлар.

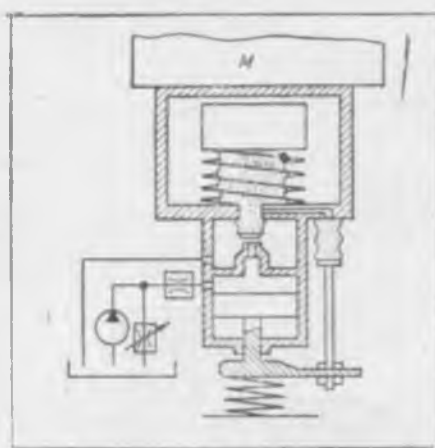
3 ва 4 эгри чизиқлар дросслераш бўлмаган ҳамда үйғоткич билан қўшимча идишлар орасида газ оқими тұхтатилган ҳолларда ҳосил бўлади. Энг мақбул сундириш динамик резонанс коэффициентини энг кичик қийматга келтириш орқали аниқланади. Сундириш қийматининг энг мақбул қийматдан анъяннина фарқ қилиши  $k_x$  га кам таъсир кўрсатади.

10.47-расмда икки томондама таъсир қылувчи куч цилиндрин бўлган электрогидравлик титрашдан муҳофазалаш системасининг схемаси келтирилган (1—тезланиш датчиги; 2—нисбий силжиш датчиги; 3—сервокучайтиргич; 4—электр токи билан таъминлагич; 5—сервозолотник; 6—кириш канали; 7—чиқиш канали; 8—гидравлик уйғоткич). Ушбу схемада тезланиш ва нисбий сильжиш датчикларининг сигналлари электр токи билан таъминланувчи кучайтиргичга берилади. Кучайтиргич куч ҳосил қылувчи цилиндрдан (ташқи гидравлик энергия манбайдан) кам даражада сиқилган иш суюқлигининг берилшини ва унинг куч шилиндридан тўкилишини ростловчи золотникнинг ҳаракагини бошқарувчи сигнал ҳосил қиласди. Золотник орқали иш суюқлиги оқимининг тезланиши, нисбий тезлиги, нисбий силжиши ва нисбий силжиш интегрални ростланади. Ҳар бир тескари алоқа (боғланниш) каналига кўра кучайниш коэффициентлари мустақил тарзда созланади.

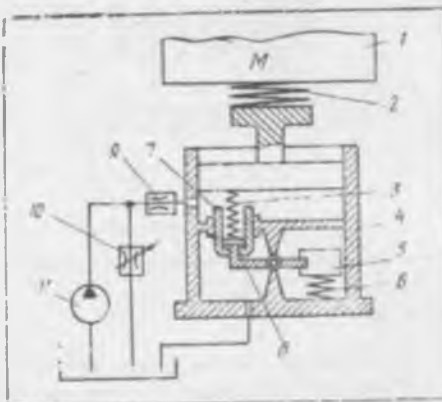
Қопқоқ (заслонка) пишсангинаннинг шарнирли биринчаларидағи тирқишилардан ҳамда юқори частоталарда унинг деформацияланишидан келиб чиқадиган амплитуда ва фаза бузулишларини йўқотиш учун гидравлик титрашдан муҳофазалаш системаси схемасида (10.48-расм) «гидравлик пишманг» қўлланилади. У ҳар хилт диаметрли иккита сильфондан тайёрланиб, сиқилмайдиган суюқлик билан тўлдириллади. Изоляцияланувчи объектининг куч системаси поршенига ишебатан ҳолатини бар-



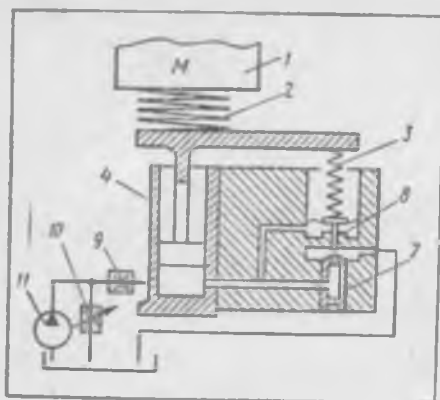
10.47- расм



10.48- расм



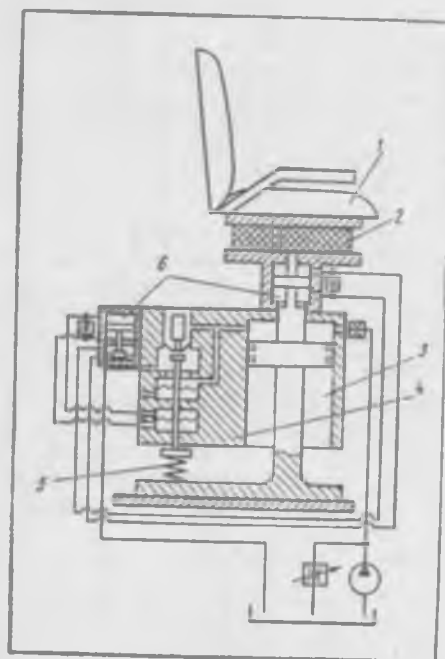
10.49- расм



10. 50- расм

қарорлаштириш учун, шунингдек суюқликнинг иссиқликдан кенгайишини компенсацияланмақсадида сильфонларда нисбий сипаткыш бўйича тескари боғланиш сигналини ҳосил қилувчи ҳолатни автоматик росталаш системаси қўлланилган. Ана шундай титрашдан муҳофазалаш системасининг динамик нусхаси 10.49-расмда курсатилган 1 — изоляцияланувчи масса; 2 — эластик элемент; 3 — ҳолат бўйича тескари боғланиш; 4 — куч гидроцилиндр; 5 — масса; 6 — пружина; 7 — сопло; 8 — қопқоқ (заслонка). 9 — доимий дросель, 10 — ростланувчи дросель; 11 — таъминловчи насос.

Курсатилган схемаларда санарадорликнинг қуи чегараси титрашдаги силжийи титрашдан мураси мураси 10.49-расмда берилган гидравлик титрашдан муҳофазалаш системасида ушбу чекланниш йўқ. Бу ерда гидроцилиндр кўринишидаги куч системаси бошқариш системаси билан битта корпусда жойлашган. Бошқариш системасида иш суюқлиги босимини ростловчи механизм бўлиб, у куч цилиндрни бўшлиғидаги босимнинг ўзгаришларни қайд қилувчи сезгир мембрана кўринишидаги датчикдан ва мембрanaganга бикр қилиб маҳкамланган қопқоқдан тузилган; бу қопқоқ сопло билан биргаликда бошқарувчи сигнал ҳосил қилувчи элементни ташкил қиласди.



10.51- расм

10.51-расмда инсон-операторнинг курсиси (кресло) 1 ни титрашдан муҳофазаловчи гидравлик системасининг схемаси келтирилган (2 — эластик элемент; 3 — гидроцилиндр; 4 — иш суюқлиги оқими датчиги ва сопло—

күрнештегі күрнишидеги элементлардан ташкил топган күч стабилизатори;  
5, б — ҳолат ва тезланиш бүйича тескари боғланишлар). Ҳолат бүйича  
тескари боғланиш курсининг пойдеворга нисбатан турғун ҳолатда були-  
шини таъминилайди. Тезланиш бүйича тескари боғланиш үйготишини ком-  
пенсациялаш ва инсон-оператор танасининг резонанс соҳаларида системама-  
нимиг самарадорлигини ошириш учун зарур бұладыган илгарилама үйготувчи  
тәъсирнинг олдини олиш мақсадида киритилған. Система операторнинг  
курсі билан бирга вертикаль тебранишини мумкин қадар камайтиришга  
імкон беради.

## ИККИНЧИ БЎЛИМ

## **МЕХАНИЗМЛАРНИГ АСОСИЙ ТУРЛари СХЕМАЛАРИНИ ЛОЙИХАЛАШ УСУЛЛАРИ**

11-696

## ҚУЙИ ЖУФТЛІКЛИ МЕХАНИЗМЛАР СХЕМАЛАРИНИ КИНЕМАТИК СИНТЕЗЛАШ. РОБОТ-МАНИПУЛЯТОР МЕХАНИЗМЛАРЫ

3-Собда механизминг түзилиш схемасини ва унинг бўғинлари ўлчамларини билгай ҳолда механизм бўғинлари ва нуқталарининг ҳолат функцияларини ҳамда узатиш функцияларни қандай аниқлаш, яъни унинг кинематик хусусиятларини қандай аниллаш мумкинлиги кўрсатилган ёди. Механизмни лойихалашда тескнири мисалани ҳам ҳал этиш лозим бўлади: таъланган түзилиш схемасига ва Берилган кинематик хусусиятларга кўра, лойихаланувчи механизм бўғинларининг шундай ўлчамларини аниqlаш керакки, бу ўлчамларда ултр талаб қилинувчи ҳаракатни вмалга оширадиган бўлсин. Бундай масала механизмнинг кинематик схемасини синтезлаш дейилади ва уни ениш усулларини китобнинг II бўлими бобларда баён этилади.

Күйин кинематик жүргілдік меканизмларын (шыншылған меканизмларын) кинематик синтезлаш күпгина мұайян масалаларни үз ичига олади, улардан қойындыларни күрсатыши мүмкін: бұғындарнинг бир қанча Берилган дискрет қолатларға күра синтезлаш; берилган геометрик холат функцияларында күра екінші алоқуда берилған кинематик параллелларға күра (ұртача тәсілдікка, однинге ва орқага юршишлардаги ұртача тезліклар нисбатында күра ва қозасо) синтезлаш; бұғын нұқтасыннан күрсатылған траектория сияға күра синтезлаш.

Эркінлік даражасынан бүткілескенде шундай мүмкіншілік болады.

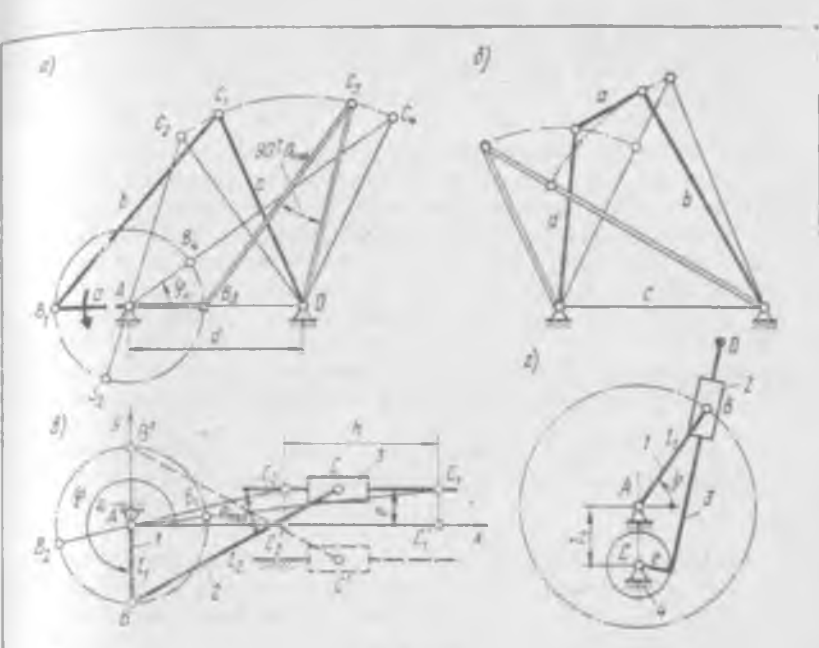
#### **11.1-§. Түрт бүгінли текіс механизмларда кривошипнинг мавжұддиги шарти**

Механизмни синтезлашда бўғинларининг узунликлари нисбатига боғлиқ бўлган уларнинг бурила олувчанлиги (унда бир ёки иккита кривошиппнинг мавжудлиги) унинг муҳим кинематик хусусияти ҳисобланади [1]. Даставвал бўғинларининг узунлиги  $a, b, c$  ва  $d$  га teng бўлган шарнирли, тўрт бўғинли текис  $ABCD$  механизмни (11.1-расм, а) куриб чиқамиз.  $\bar{AB}$  бўғин кривошинг бўла олиши учун у айланиш чоғида чекка чап ( $AB_1$ ) ва ўнг ( $AB_2$ ) ҳолатлардан олдинма-кетин ўтиши лозим.

*a* — эң қысқа бүгіннинг, *d* — эң узун бүгіннинг узунлікларін деб фазада қылғынан бастап учауруқтак томонлары узунліклари орасындағы мағынамуносабатдан фойдаланып (учбурақтак исталған томоннинг узунлігі уннан қолған томонлары узунліктарининг йигіндисидан кичік болады) күйнегендегі тенгизсізділіктердің ерекшеліктерін анықтауда мәдениеттік мемлекеттік мәннен жалғаса алғанда оның мемлекеттік мәннен ажыратылғанын көрсетеді.

• 100

$$d+e \leq b+c \quad (11.1)$$



11.3- расм

$\Delta B_3 C_3 D$  дан

$$d - a < b + c. \quad (11.2)$$

$b$  ва  $c$  узунліклар мұносабатидан қатын назар, (11.1) тенгсизлик ҳамма вакт (11.2) тенгсизликкінг бажарылышин таъминнайды.

Агар  $BC$  ёки  $CD$  бүғин эңг узун бүғин болса ( $b > c > d$  ёки  $c > b > d$ ) у ҳолда (11.1) тенгсизлик фақат кучаяди.

$AB_2$  ва  $AB_4$  ҳолаттар  $CD$  коромислонинг чекка ҳолаттарини ифодалайды. 11.1-расм,  $a$  га күра  $BC$  бүғин  $AD$  стойкага нисбатан тұла айланады да шу сабабли у шатун бұлади.

(11.1) тенгсизлик шарнирлы, тұрт бүғинли текис механизм бүғиннінг бурилғанда олиш шартини қуйидагыча умумий інфодалашға имкон берады: шарнирлы тұрт бүғинли механизмдеги эңг қисқа ва эңг узун бүғинларнинг йиғиндердің қолган бүғинлар йиғиндерден кичик болса, у ҳолда эңг қисқа бүғини кривошип бұла олади. Ушбу қонда Грасгоф қоидасы дейнлайды.

Ушбу қондага мұвоғық шарнирлы, тұрт бүғинли механизмдерни учтуркүмга бўлиш мүмкін:

агар бүғинларниннг ўлчамлари қонда талабтарини қаноатлантируса ва эңг қисқа бүғини билан ёнма-ён жойлашған бүғини стойка қилиб олинса, бундай механизм кривошип-коромислоти механизм бұлади (11.1-расм, a);

агар эңг қисқа ва эңг узун бүғинлари узунліктарниннг йиғиндердің қолган бүғинларн узунліклари йиғиндерден кичик ва эңг қисқа бүғини

стойка (құзғалмас бүғин) бұлса, бу механизм икки кривошипли механизм ҳисобланади; бу қонда ушбу ҳолдан келиб чиқади: агар Грасгоф қондасыга амал қилинганды кривошип стойка ва шатунга нисбатан тұла айланна олса, у ҳолда бүғинлар ҳам кривошипта нисбатан тұла айланана олади;

агар бүғинлари үлчамлары қондани қаноатлантирумаса, шунингдек эң қисқа ҳамда әңг үзүн бүғинларининг үзүнліклари йиғиндинде қолтанса бүғинлары үзүнліклари йиғиндиндесидан кичик бұлса, аммо эң қисқа бүғинни шатун ҳисобланса (11.1-расм, б), бундай механизм икки коромисло бұлади, чунки бу ҳолда қисқа бүғин стойка билтан ёнма-ән жойлаша олмаганлығы сабабли әнді у кривошип бұла отмайды.

(11.1) тенгсизлик тенгликка айланған хусусий ҳолда механизмнің ҳамма бүғинлари үннинг эң четки қолатларидан бирида битта түғри чи-зиқда жойлашади. Натижада чиқыш бүғинининг ҳаракатида ноанықтық пайдо бұлади (яғни бүғин ә у, еки бошқа йұналишда ҳаракатлана олади).

Агар айланыш чөгіда кривошип  $\phi = 90^\circ$  га тенг қолатлардан үтса, үқдош бұлмаган кривошип-ползуны механизмда (11.1-расм, в)

$$l_1 < l_2 - |e|$$

шарт бажарылғанды бүғин I кривошип бұла олади, бунда  $e$  — үқдан четга чиқиши (дезаксиал).  $e < 0$  бўлган ҳол учун схема штрих чиқын билан кўрсатилған. Агар  $l_1 > l_2 - |e|$  бұлса, бүғин I коромисло ҳисобланади; бундай механизмни коромисло-ползуны механизм деб аташ түғри бұлади.

Кулисали механизмда (11-расм, ә) бүғин I ҳамма вақт кривошип бұла олади; агар CD бүғин (кулиса) айланыш чөгіда  $\phi = 270^\circ$  га тенг қолатдан үтса, у ҳам кривошип бұлади, аммо буннинг учун қўйидаги шарт бажарылышы керак:

$$l_1 > l_4 + e,$$

бунда  $e$  — кулисанинг үқдан четга чиқиши; бу ҳолда механизм айланувчи кулисалы механизм ҳисобланади. Агар  $l_1 < l_4 + e$  бұлса, у ҳолда CD кулиса коромисло бұлади (тебранувчи кулисалы механизм). Үқдан четга чиқиши  $e = 0$  бўлган кулисалы механизмлар энг кўп учрайди.

## 11.2-§. Тўрт бўғинли механизмларни бўғинларнинг икки қолатига кўра синтезлаш

**Кривошип-ползуны механизм.** Үқдан четга чиқиши  $e = 0$  бўлган марказий кривошип-ползуны механизм (11.2-расм, а) учун ползун 3 нинг йўли (уннинг эң катта силжиши) кривошип үзүнлігидан икки марта ортиқ;  $h = 2l_1$ . Ползуннинг четки қолатлары кривошиппинде  $\phi = 0$  ва  $180^\circ$  бурчак координаталарига түғри келади.

Илгари айттилганидек, механизмларни лойнұлашда механизмнің күчларни узатиш шартини ва ишлаш қобиляттарни ифодалайтирган жуда мұхым параметрни — босим бурчаги 0 ни эътиборга олиш позим (0 — етакланувчи бўғинга қўйилған күч вектори би тан ҳаракатлантирувчи күч қўйилған нүктаннан теззик вектори орасындағы бурчак; бунда иш-

Қаланиш ҳамда массаларнинг тезланувчан ҳаракатлари ҳозирча ҳисобга олинмайди). Босим бурчаги рухсат этилган қийматдан ошиб кетилмас-  
лиги керак:  $\theta_{\max} < \theta_{\text{per}}$ . Куч етакланувчи бүғинга узатиладиган бўлса,  
θ бурчак механизм схемасида унинг қайси бүғини етакланувчи эканли-  
лигига боғлиқ равишда кўрсатилади. Агар етакланувчи бўғин ползун 3  
бўлса, у ҳолда унга  $F_{32}$  куч  $\theta_{32}$  босим бурчаги билан узатилади, агар  
кристошип  $I$  бўлса, у ҳолда  $F_{12}$  куч  $\theta_B$  тезлик вектори билан  $\theta_{12}$  бур-  
чакни ҳосил қиласди.

Кристошип етакланувчи бўлганда цикл ичидаги  $\theta_{12}$  босим бурчаги икки  
марта (шатун ва кристошип битта чизикда жойлашган ҳолларда)  $90^\circ$  га  
тeng бўлган энг катта қийматга эга бўлади. Кристошип ушбу ҳолатлар-  
дан кристошип  $I$  билан бикр боғланган деталларнинг айланувчи массалари  
инерцияси туфайли ўтади.

Энг катта  $\theta_{32 \max}$  босим бурчаги  $\theta_{32} = \theta_{32}(\varphi)$  функцияни тадқиқ этиб  
аниқланади. Марказий механизм учун ( $e = 0$ ) босим бурчагининг энг  
катта қиймати  $\theta_{32 \max} = \arcsin l_1/l_2$ ,  $\varphi = 90^\circ$  ёки  $270^\circ$  бўлганда юзага ке-  
лади. Бинобарин,  $\lambda_2 = l_2/l_1$  нинг қиймати қанча кичик бўлса, механизм-  
нинг ўлчамлари шунча кичик (кристошип узунылигига нисбатан), бироқ  
босим бурчаклари шунча катта бўлади.  $\theta_{32 \max}$  нинг қиймати ошиб бори-  
ши билан, қайси бўғин етакланувчи булишидан қатъи назар, ползун билан  
йўналтирувчи орасидаги (ползун билан поршени машинна цилиндри-  
нинг девори орасидаги) куч катталашади. Шу сабабли ички ёнув дви-  
гателларининг механизмлари учун  $\lambda_2$  ни  $\lambda_2 = 3 \dots 5$  атрофида танлаш  
қабул қилинган, бу эса  $\theta_{32 \max} = 19 \dots 11^\circ$  га мос келади (Қаранг:  
Баранов Г.Г. Курс теории механизмов и машин. М.: 1967).

Марказий бўлмаган кристошип-ползунли механизмда (11.1-расм,  $a$ )  
поршень йўли (унинг энг катта силжиши)  $\Delta AC_1C_1$  ва  $\Delta AC_2C_2$  лардан  
аниқланади:

$$h = l_{C_1C_2} = \sqrt{(l_1 + l_2)^2 - e^2} - \sqrt{(l_2 - l_1)^2 - e^2}, \quad (11.3)$$

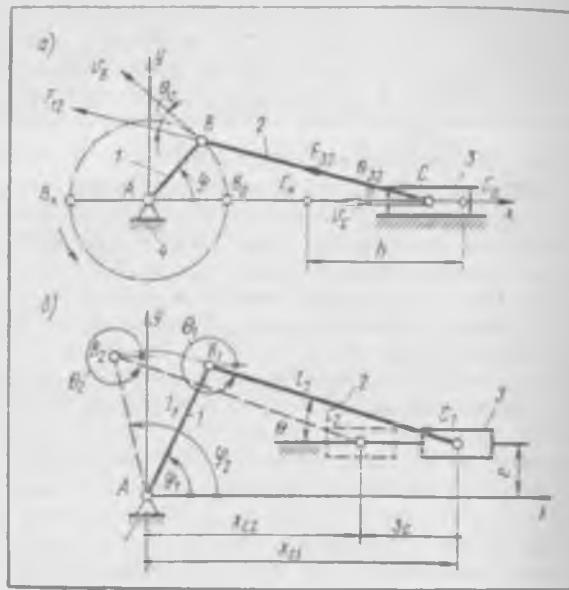
бундан, агар  $h, e$  ва  $\lambda_2 = l_2/l_1$  берилган бўлса,  $l_1$ ни топниш мумкин (ма-  
салан  $l_1$  нинг  $h/2$  га яқин бўлган бир қанча қийматларини қабул қил-  
ган ва ҳамма тенгламаларнинг чап ва ўнг томонларининг тенглигини  
текширган ҳолда интерполяцион яқинлаштириш усули билан).  $e > 0$   
бўлганда энг катта босим бурчаги ( $\theta_{32 \max}$ )  $\varphi = 270^\circ$  да юз беради;  
 $e < 0$  бўлганда эса  $\varphi = 90^\circ$  да юз беради.

Агар кристошипнинг  $\varphi_1$  ва  $\varphi_2$  координаталар билан аниқланадиган  
иски ҳолати (11.2-расм,  $b$ ), ползуннинг  $s_C$  сизжиши (11.2-расм,  $b$  да  
 $s_C < 0$ ) ва  $\lambda_2 = l_2/l_1$  ҳамда  $\lambda_e = e/l_1$  нисбатлар берилган бўлса, у ҳол-  
да  $l_1$  ва  $l_2$  бўғинларнинг узунылиги қўйидагигча аниқланади.  $l_1 + l_2$  век-  
тор занжирини у ўқига проекцияласак, исталган ҳолат учун  $l_1 \sin \varphi +$   
 $+ l_2 \sin \Theta = e$  га эга буламиз, бундан 1 ва 2 ҳолатлар учун бўғин 2  
нинг бурчак координатаси қўйидагига тенг бўлади:

$$\Theta_{1,2} = \arcsin [(\lambda_e - \sin \varphi_{1,2})/\lambda_2].$$

Ушбу занжирни  $x$  ўқига проекциялаб ушбуни ҳосил қиласмиш:

$$s_C = x_{C2} - x_{C1} = (l_1 \cos \varphi_2 + l_2 \cos \Theta_2) - (l_1 \cos \varphi_1 + l_2 \cos \Theta_1).$$



11.2- расм

бундан  $l_1 = \lambda_1 l_1$  ни ўрнига қўйиб ушбуга эга бўламиш:

$$l_1 = s_C / [\cos \varphi_2 - \cos \varphi_1 + \lambda_2 (\cos \Theta_2 - \cos \Theta_1)].$$

Сўнгра  $\lambda_2$  дан  $l_1$  аниқланади.

**Кривошип-коромислои механизм (11.3-шакл).** Агар стойканинг узунлиги  $l_4$ , етакланувчи коромислонинг узунлиги  $l_3$  ва унинг чекка ҳолатлардаги координаталари  $y_1$ ,  $y_2$  берилган бўлса,  $l_1$  ва  $l_2$  бўғинларнинг номаълум узунлиги қўйидагича аниқланади.  $C_1$  ва  $C_2$  нуқталарни тўғри чизиклар орқали  $A$  нуқта билан туташтириб ушбуни ҳосил қўламиш:

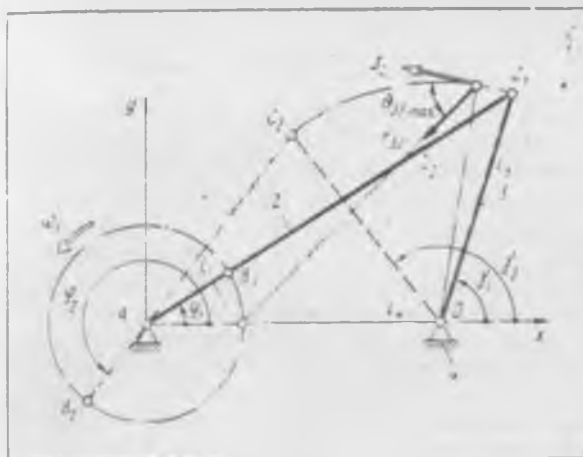
$$l_{AC_1} = l_1 + l_2; \quad l_{AC_2} = l_2 - l_1,$$

бундан

$$l_1 = (l_{AC_1} - l_{AC_2})/2; \quad l_2 = (l_{AC_1} + l_{AC_2})/2. \quad (11.4)$$

$0_{32\max}$  энг катта босим бурчаги  $\varphi = 0$  ёки  $180^\circ$  бўлганда вужудга келади.

**Цилинди қайтма-айланма (тебранма) ҳаракатланувчи механизм.** Гидроюритмаларда қўлланиладиган ушбу механизм 11.4-расм, а да  $AB_1C$  ва  $AB_2C$  четки ҳолатларда тасвирланган. Бир четки ҳолатдан бошқа четки ҳолатга ўтишда поршень 2  $h$  масофага суриласди (поршень йули),  $l_1$  узунликка эга бўлган етакланувчи коромисло 1 эса талаб қилинувчи ё бурчакка бурилади. Поршенинг юришида цилиндрдан тўла фойдала-



11.3-расм

ниш учун цилиндр узунлигиге  $l_3 \approx l_{B1C}$  нинг поршень йўли  $h$  га нисбатига асосланади. Бу нисбат конструктив тарзда аниқланади ва  $k = l_3/h > 1$  коэффициент кўрининишида берилади. Масалан,  $k = 1,3; 1,4$  ва хоказо.

Шунгидек,  $F_{12}$  куч узатиладиган цилиндр ўки билан ана шу куч қўйилувчи нуқта тезлиги вектори  $v_B$  орасидаги бурчак кўрининишидаги босим бурчаги  $\theta$  ни ҳам лисобга олишга тўғри келади. Ушбу бурчак ўзгарувчан бўлади, шу сабабли лойиҳалашда  $\theta_p$ , рухсат этилган босим бурчагига амал қилинади, шунда механизм ишлаётганда бу бурчак белгиланган қийматдан катталашиб кетмайди.

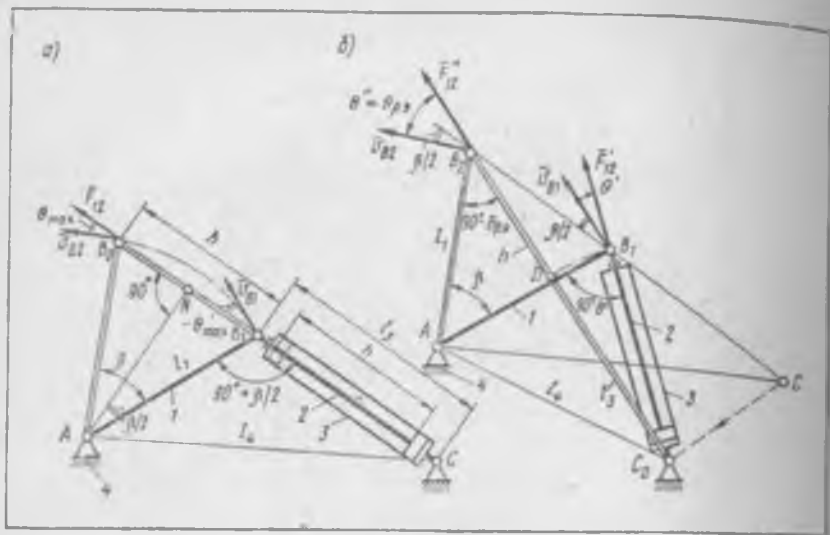
Берилган  $l_1, k, \beta$  ларга асосан бундай механизм схемасини босим бурчакларига кўра энг мақбул синтезлаш (11.4-расм, а) қўйидагича амалга оширилади. Етакланувчи бўғин  $I$  нинг икки:  $AB_1$  ва  $AB_2$  ҳолатларини ясаб, поршень йўлинини  $k = l_{H12}$  га teng қилиб оламиз.  $B_2B_1$  чизикнинг давомида  $l_3 = l_{B1C} = kh$  кесмани белгилаб  $C$  нуқтани ҳосил қиласиз.  $\Delta AB_1N$  ва  $\Delta AB_2N$  лардан кўриниб турганиде, механизмнинг четки ҳолатларида босим бурчагининг абсолют қиймати энг катта бўлади:  $\theta_{\max} = \beta/2$ .

Қолган ҳамма ҳолатларда босим бурчаги кичик бўлади, чунки  $B$  нуқта  $B_1$  ҳолатдан  $B_2$  ҳолатга ўтганида унинг ишораси ўзгаради, бинобарин, у ноль қийматдан ўтади.  $\Delta AB_1N$  дан

$$h = 2l_1 \sin(\beta/2).$$

$\Delta AB_1C$  дан стойканинг узунлиги косинулар теоремасига кўра аниқланади:

$$l_4 = l_{AC} = \sqrt{l_1^2 + l_3^2 + 2l_1l_3 \sin \beta/2}.$$



11.4- расм

В бурчакнинг кичик қийматларида ушбу схемада  $\theta_{\max}$  бурчак  $\theta_{\text{п.з}}$  бурчакдан анчагина кичик бўлади ҳамда  $l_1$  стойка узунлигини кичрайтириш орқали механизмни ихчамлаштириш нуқтани назаридан кинематик схеманинг ушбу вариантини яхшилаш мумкин.

$\theta_{\max} = \theta_{\text{п.з}}$  бўлган ҳол учун механизмнинг ташки ўлчамларга кўра энг мақбул схемасини қўйидагича ҳосил қиласми (11.4-расм, б).  $l_1$ ,  $k_1$ ,  $\beta_1$ ,  $\theta_{\text{п.з}}$  параметрлар берилган бўлсин. Схеманинг дастлабки вариантини чизамиз. Сўнгра  $C$  нуқтани янги  $C_0$  ҳолатга кўчирамиз;  $C_0$  ҳолат учун механизмнинг 2 ҳолатида босим бурчаги рухсат этилган қийматгача ортади:  $\theta'' = \theta_{\text{п.з}}$ .  $C$  нуқта снажитилганда  $I$  ҳолатдаги босим бурчаги ҳам ўзгаради: дастлаб у кичиклашади, сўнгра ноль қийматдан ўтиб ишорасини ўзгартириши ва яна катталашиши мумкин.

Энди поршень йўли  $h = l_{B2D} < l_{B1B2}$  га тенг бўлади; уни косинуслар теоремасидан фойдаланган ҳолда  $\Delta C_0B_1B_2$  дан ҳосил қилинган квадрат тенгламани ечиб топиш мумкин:

$$(B_1C_0)^2 = (B_1B_2)^2 + (C_0B_2)^2 - 2B_1B_2 \cdot C_0B_2 \cos(\theta_{\text{п.з}} - \beta/2),$$

бу ерда

$$B_1C_0 = kh, \quad B_1B_2 = 2l_1 \sin(\beta/2), \quad C_0B_2 = kh + h = (k+1)h.$$

Ечиш натижасида қўйидаги формула ҳосил бўлади:

$$h = -b/2 + \sqrt{b^2/4 + c},$$

бу ерда

$$b = -4l_1(k+1) \sin(\beta/2) \cos(\theta_{\text{п.з}} - \beta/2)/(2k+1);$$

$$c = [2l_1 \sin(\beta/2)]^2 / (2k + 1).$$

Сүнгра  $l_3 = kh$  аниқланади ҳамда  $\Delta AC_0B_1$  дан стойканинг узунлиги топлади:

$$l_4 = \sqrt{l_1^2 + (l_3 + h)^2 - 2l_1(l_3 + h) \sin \theta_{p,s}}.$$

Ҳаракат бошланишида етакланувчи бўғиндаги катта юкланиш қаршилигини енгиз лозим бўлган ҳол учун кинематик схеманинг ушбу варзанти жуда мақсадга мувофиқ бўлади, чунки босим бурчаги  $\theta' < \theta'' = \theta$ , га тенг, натижада юритувчи (ҳаракатлантирувчи)  $F_{12}$  кучнинг  $A$  ёққа нисбатан моменти ошади ва кинематик жуфтликларда ишқаланишга бўладиган истрофлар камаяди.

Кинематик жуфтликларни шундай ташлаш лозимки, оқибатда механизм статик аниқ бўлсин, агар буни амалга ошириш қийинчиллик туғдирса, у ҳолда ортиқча боғламалар сони имкони борича камаядиган бўлсин. Агар  $A$  жуфтлик айланма,  $B$  ва  $C$  жуфтликлар сферик, поршень-цилиндр жуғлиги цилиндрический бўлса, кўрилаётган ҳолда механизм статик аниқ (ортиқча боғламаларсиз) бўлади. У ҳолда механизмнинг эркинлик даражалари сони  $W = W_a + W_m = 1 + 2 = 3$  эканлигини ҳисобга олсак (икки маҳаллий қўзғалувчанлик-поршеннинг шток билан бирга айланниши ва цилиндрнинг ўз ўқларига нисбатан мустақил айланниши), Малишев формуласига асосан  $q = 0$  ни ҳосил қиласиз.

### 11.3-§. Бўғинларининг уч ҳолатига кўра тўрт бўғинли механизмларни синтезлаш

Шарнирли тўрт бўғинли механизм. Стойканинг узунлиги  $l_4$ , кириш бўғини  $l$  нинг учта ҳолатидаги бурчак координаталари  $\varphi = \varphi_1, \varphi_2, \varphi_3$  ва унга мос келувчи чиқиш бўғинини  $3$  нинг бурчак координаталари  $\gamma = \gamma_1, \gamma_2, \gamma_3$  берилган бўлсин (11.5-расм, а).  $l_1, l_2, l_3$  бўғинларининг узунлиги аниқлансан.

$ABCD A$  вектор контурини кўриб чиқамиз, унинг учун механизмнинг ишталған ҳолатида  $\bar{l}_1 + \bar{l}_2 = \bar{l}_4 + \bar{l}_3$  бўлади. Ушбу контурни  $x$  ва  $y$  координатага ўқларига проекциялаб ушбуга эга бўламиз:

$$l_1 \cos \varphi + l_2 \cos \Theta = l_4 + l_3 \cos \gamma; \quad (11.5)$$

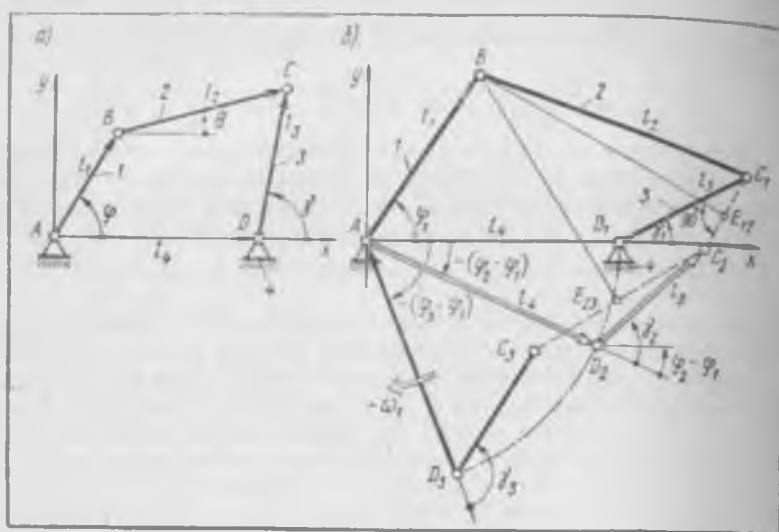
$$l_1 \sin \varphi + l_2 \sin \Theta = l_3 \sin \gamma. \quad (11.6)$$

(11.5) ва (11.6) тенгламаларни  $\Theta$  ли қўшилувчиларга нисбатан ечиб ҳосил бўлган тенгликларни квадратга кўтариб ва уларни қўшиб  $\Theta$  бурчакни йўқотамиз:

$$\bar{l}_2 = l_1^2 + l_3^2 + l_4^2 + 2l_3l_4 \cos \gamma - 2l_1l_3 \cos \varphi - 2l_1l_4 \cos(\varphi - \gamma).$$

$2l_1l_4$  га бўлиб ҳамда  $\varphi$  ва  $\gamma$  бурчак қийматларини берилган  $\varphi_i$  ва  $\gamma_i$  ларга ( $i = 1, 2, 3$ ) алмаштириб учта чизиқли тенгламалар системасини ҳосил қиласиз:

$$\frac{l_1}{l_4} \cos(\varphi_i - \gamma_i) + \frac{l_1}{l_3} \cos \varphi_i + \frac{\bar{l}_2 - l_1^2 - l_3^2 - l_4^2}{2l_1l_4} = \cos \gamma_i,$$



11.5- расм

еки

$$p_1 \cos(\varphi_i - \gamma_i) + p_2 \cos \varphi i + p_3 = \cos \gamma i \quad (i = 1, 2, 3), \quad (11.7)$$

бу ерда ўлчамсиз параметрлар номаътум бўлади:

$$p_1 = \frac{l_1}{l_4}; \quad p_2 = \frac{l_1}{l_3}; \quad p_3 = \frac{l_2^2 - l_1^2 - l_3^2 - l_4^2}{2l_3l_4}. \quad (11.8)$$

(11.7) системадан  $p_1$ ,  $p_2$ ,  $p_3$  ларни топамиз, сўнгра (11.8) га асосан бўғинларнинг изланаётган узунлигини қўйидаги формулаталарга кўра аниқлаймиз:

$$l_1 = p_1 l_4; \quad l_3 = l_1/p_2; \quad l_2 = \sqrt{2l_3l_4p_3 + l_1^2 + l_3^2 + l_4^2}.$$

Шарнирли тўрт бўғинли механизмин чиқиш бўғинининг учта ҳолатига кўра ҳамда кириш бўғинининг мос учта бурилиш бурчагига кўра синтезлаш масаласини ҳаракатни тескари йўналтириш усулидан фойдаланиб ечиш мумкин. Бу ҳолда  $l_4$ ,  $l_3$  бўғинлар узунлиги чиқиш бўғини З инг учта ҳолатдаги  $\gamma_1$ ,  $\gamma_2$ ,  $\gamma_3$  координаталари ва кириш бўғинининг бурилиш бурчаклари ( $\varphi_2 - \varphi_1$ ) ва ( $\varphi_3 - \varphi_1$ ) берилган бўлади.  $l_1$ ,  $l_2$  бўғинлар узунлиги ва бошланғич ( $l$  ҳолатдаги)  $\varphi_1$  бурчак координатасини топиш талаб қилинади.

Берилган шартларга кўра В шарнирнинг ҳолатини бутун механизми марказ атрофида ( $-\omega_1$ ) бурчак тезлик билан айлантириш орқали аниқланади. Натижада  $Axy$  координаталар системасида  $AB$  бўғин қўзгалмас бўлиб қолади, унинг ўринига  $AD_1$  стойка (11.5-расм, б) қарама-қарши томонига айланба бошлайди. Механизмнинг 2 ва 3 ҳолатларида стойканинг абсциссалар ўқига нисбатан бурчак координаталари  $-(\varphi_2 - \varphi_1)$  ва  $-\varphi_3 -$

—  $\varphi_1$ ) бўлади. С шарнирнинг ҳолати стойкага нисбатан аниқ бўлиб, берилган  $\gamma_1$ ,  $\gamma_2$ ,  $\gamma_3$  бурчакларни ясаш билан аниқланади ( $C_1$ ,  $C_2$ ,  $C_3$  нуқтадар).  $BC$  шатуннинг узунлиги берилган учала ҳолатда ҳам ўзгартмаслиги сабабли ( $BC = BC_i$ ,  $i = 1, 2, 3$ ),  $C_i$  нуқта  $B$  марказ атрофида чизилган вайланада жойлашади. Бинобарин, номаътум  $B$  нуқтанинг ҳолатини топиш учун  $C_i$  нуқталар  $C_1C_2$  ва  $C_2C_3$  тўғри чизиклар орқали туташтирилади, сўнгра уларнинг ўрталари  $E_{12}$ ,  $E_{23}$  дан перпендикуляр чизиклар ўтказилади ва уларнинг кесишув нуқтаси топилади. Масалани аналитик усулда ечишда  $C_i$  нуқтанинг  $x_i$ ,  $y_i$  координаталарини ҳосил қилувчи формулани тузиш учун  $AD_iC_i$  кинематик занжир  $\bar{l}_i$  ва  $\bar{l}_1$  векторлар йигиндиси кўринишида кўрсатилган.  $C_i$  нуқтанинг координаталари кўрсатилган вектор занжирини координата ўқларига проекциялаш орқали аниқланади:

$$x_i = l_i \cos(\varphi_i - \varphi_1) + l_1 \cos[\gamma_i - (\varphi_i - \varphi_1)];$$

$$y_i = -l_i \sin(\varphi_i - \varphi_1) + l_1 \sin[\gamma_i - (\varphi_i - \varphi_1)].$$

$B$  нуқтанинг координаталарини  $B$  марказдан  $l_i$  радиус билан чизилган айланга тенгламалари системасидан топамиз:

$$(x_i - x_B)^2 + (y_i - y_B)^2 = l_i^2; \quad i = 1, 2, 3. \quad (11.9)$$

Учта  $x_B$ ,  $y_B$  ва  $l_i$  номаътумли учта (11.9) тенгламалар системаси  $x_B^2$  ва  $y_B^2$  ларни йўқотиш мақсадида унча мураккаб бўлмаган ўзгартирнишлардан сўнг чизиқли кўринишга келтирилади.  $x_B$  ва  $y_B$  координаталарга кўра механизм кинематик схемасининг изланаётган қўйидаги параметрлари аниқланади:

Кириш бўғинини  $I$  нинг узунлиги

$$l_{AB} = l_1 = \sqrt{x_B^2 + y_B^2}; \quad (10.10)$$

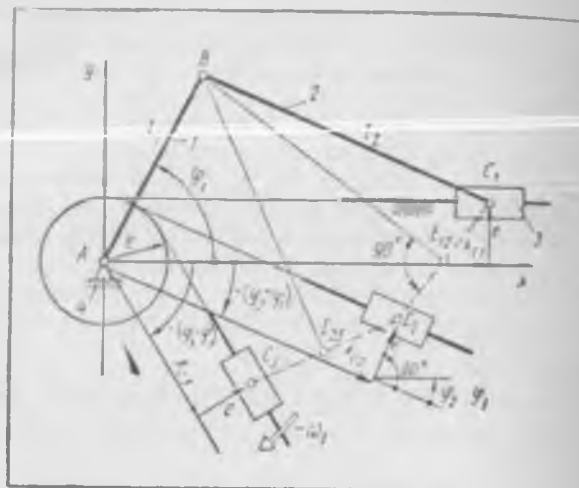
$BC$  шатуннинг узунлиги [ $B(x_B, y_B)$  ва  $C_1(x_1, y_1)$  нуқталар орасидаги масофа тарзида]

$$l_{BC} = l_2 = \sqrt{(x_1 - x_B)^2 + (y_1 - y_B)^2}; \quad (11.11)$$

кириш бўғинининг бошланғич бурчак координатаси

$$\varphi_1 = \operatorname{arctg}(y_B/x_B). \quad (11.12)$$

Кривошип-ползуонли механизм. Бундай механизмининг схемасини кириш ва чиқиш бўғинларнинг учта ҳолатига кўра лойиҳалаш (11.6-расм)  $Axy$  координаталар системасида тўрт шарнирли механизми синтезлаш каби амалга оширилади. Вазифа бўғинларнинг номаътум  $l_1$  ва  $l_2$  узунлигини аниқлашдан, шунингдек белгиланган ўқдан четга чиқиш (экспендрисит)  $e$  га кўра, голзун  $C$  нуқтасининг учта чизиқли  $x_{C1}$ ,  $x_{C2}$ ,  $x_{C3}$  координаталарига кўра ва биринчи бўғиннинг унинг бошланғич (дастлабки) ҳолатига нисбатан бурилиш бурчаклари  $\varphi_2 - \varphi_1$  ва  $\varphi_3 - \varphi_1$  га кўра унинг дастлабки бурчак координатаси  $\varphi_1$  ни топишдан иборат.



11.6-расм

Ана шу шартларга кўра 3 шарнирнинг ҳолатини аниқлаш учун ҳаракатин тескари йўналтириш усулидан фойдаланилади, яъни бутун механизм  $A$  нуқта атрофида ( $-\omega_1$ ) бурчак тезлик билан айлантирилади. Натижада  $AB$  бўғин қўзғалмас бўлиб қолади, унинг ўрнига эса қарама-қарши йўналишда стойка, бинобарин, ползуннинг йўналтирувчи ўқи айланади.  $e$  эксцентриситет мавжуд бўлганда ушбу ўқи ҳамма ҳолатларда  $e$  радиусли айланага уринма бўлади.

График тарэда  $B$  шарнирнинг маркази  $C_1C_2$  ва  $C_2C_3$  кесмаларнинг ўртасидан чиқарилган  $BE_{12}$  ва  $BE_{23}$  перпендикуляр чизиқларнинг кеси-шув нуқтаси каби аниқланади.

Масалани аналитик усулда ечишда.  $\bar{x}_{C_i} + \bar{e}$  векторлар йигиндисининг координата ўқларига проекциялари тенгламаларидан  $C_i$  ползун нуқтала-рининг ( $i = 1, 2, 3$ )  $x_i$  ва  $y_i$  координаталари аниқланади:

$$x_i = x_{C_i} \cos [-(\varphi_i - \varphi_1)] + e \cos [90^\circ - (\varphi_i - \varphi_1)];$$

$$y_i = x_{C_i} \sin [-(\varphi_i - \varphi_1)] + e \sin [90^\circ - (\varphi_i - \varphi_1)],$$

Еки керакли ўзгартиришлардан сўнг қўйидагилар ҳосил қилинади:

$$x_i = x_{C_i} \cos (\varphi_i - \varphi_1) + e \sin (\varphi_i - \varphi_1);$$

$$y_i = -x_{C_i} \sin (\varphi_i - \varphi_1) + e \cos (\varphi_i - \varphi_1).$$

Масала ечимининг давоми тўрт шарнирли механизмининг ечимига 3x- шаш бўлиб, (11.9)–(11.12) формуласларга асосан амалга оширилади.

### 11.4-§. Механизмларни бүгіннинг ўртаса тезлигига ва чиқиши бүгінни ўртаса тезлигининг үзгариш коэффициентига күра синтезлаш

Кривошип-коромислоли механизм. Чиқиши бүгіннинг узунлығы  $l_1$  ва уннинг четки ҳолатлари координаталары  $\gamma_1$  ва  $\gamma_2$  берилген (11.7-шакл).  $\gamma_2 - \gamma_1 = \beta$  айрма чиқиши бүгіннин бурчак йулы бұлади.  $AB$  кривошип равон айланыб, уннинг маркази  $x$  үқіда ётувчи ҳозирча номағылум бұлган қандайдыр  $A$  нүктада жойлашади.

Коромислонинг  $l_1$  ҳолатдан  $l_2$  ҳолатга күчінини түгри юриш деб, уннинг қарама-қарши томонға ҳаракатиниң тескари юриш деб қабул қыла-миз.

Чиқиши бүгінни ўртаса бурчак тезликларининг нисбати тескари ва түгри юришда бирор берилген  $k_{\omega} = \omega_{\text{тек}} / \omega_{\text{тү}}$ , катталика (чиқиши бүгінни ўртаса тезлигининг үзгариш коэффициентига) тенг булган механизмнинг кинематик схемасини лойиҳалаш талаб қылнади.

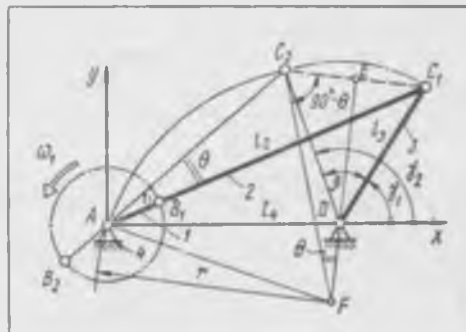
11.7-расмда механизмнинг иккита четки ҳолати тасвирланған бұлғылар, уларнинг ҳар бирида кривошип ва шатун бінгіта түгри чизікдә ётади; ана шу  $AC_1$  ва  $AC_2$ , чизіктер орасындағы бурчак  $\Theta$  біллан белгіланған. Чизмадан күрініб турибиди,  $t_{1g}$ , түгри юриш вақтида кривошип  $(180^\circ + \Theta)$  бурчакка бурилади,  $t_{2g}$  тескари юриш вақтида  $(180^\circ - \Theta)$  бурчакка бурилади. Бинеарин, кривошип равон айланғанда

$$K_{\omega} = \frac{\beta / t_{1g}}{\beta / t_{2g}} = \frac{180^\circ + \Theta}{180^\circ - \Theta},$$

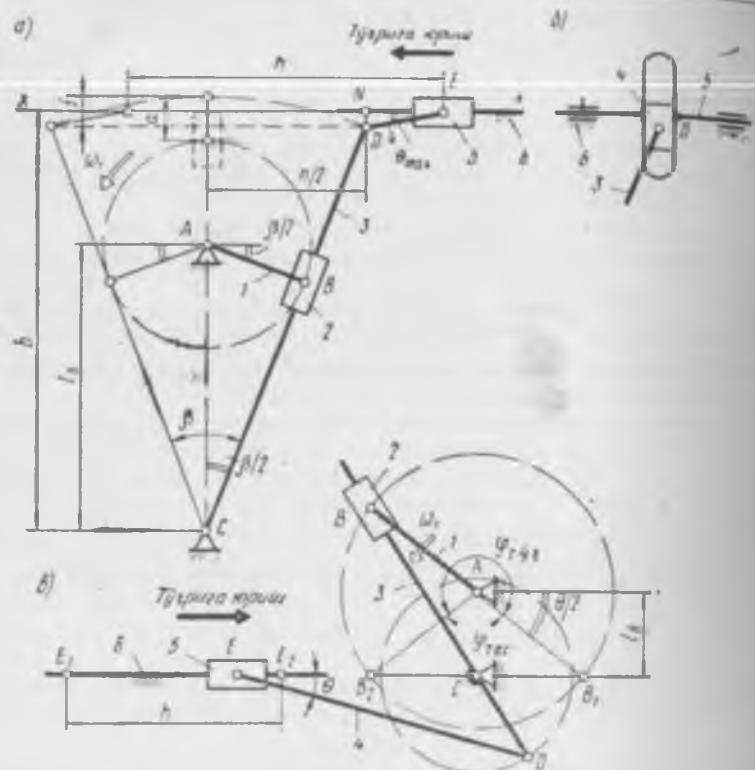
бундан

$$\Theta = 180^\circ \frac{K_{\omega} - 1}{K_{\omega} + 1}.$$

Агар  $\beta$  бурчак йұлнин тенг иккиге бұлғылар  $DE$  түгри чизік ұтказ-сак ҳамда  $C_2$  нүктадан  $DE$  чизік билан  $\Theta$  бурчак ҳосил қылтырғының  $C_2F$  чизікни чиесак, у  $DE$  чизік билан қандайдыр  $F$  нүктада кесишади.  $l_{FC2} = r$  радиуслы айланана кривошипнинг изланыёттан  $A$  айланыш марказларининг геометрик үрні бұлади, چunksi ушбу айлананың истилган нүктасыда чизилған  $\angle C_1AC_2$  ўша  $C_1C_2$  ёйға таяниб турувчи марказий  $\angle C_1FC_2 = 2\Theta$  бурчакнинг ярнега, яғни  $\Theta$  бурчакка тенг бұлғылар. Ушбу айлананың абсолюттасалар үки билан кесишиш нүктаси масалада берилген үлчамларга ассоцан  $A$  кривошипнинг айланыш маркази бұлғылар. Бундан сүнг масала механизмнің бүгін  $Z$  ның иккита четки ҳолатига



11.7- расм



11.8- расм

кўра синтезлашдан иборат бўлади (11.2-§ га қаранг);  $l_1$  кривошипнинг ва  $l_2$  шатуннинг узунлиги (11.4) формулатардан аниқ танади.

Агар лойиҳаланган механизмда босим бурчагининг энг катта қиймати рухсат этилган қийматдан катта бўлса,  $r$  радиусли айланада кривошипнинг айланиш маркази ҳолатини ўзgartиртириш ( $A$  нуқтадан юқорироқ олиш) лозим.

**Кривошип-ползунили механизм.** Машиналарни лойиҳалашда баъзида ползунинг (поршеннинг) ўртача тезлиги  $v_{sp}$  (м/с) берилади. Марказий кривошип-ползунили механизм (11.2-расм, а) учун кривошипнинг бир марта айланишига мос келувчи ползунинг (поршеннинг) қўш ийли  $2h = 4l_1$  га teng.

Агар кривошип валининг айланиш частотаси (секундига айланишлари сони)  $n$  (1/c) га teng бўлса, у ҳолда

$$v_{sp} = 2hn = 4l_1 n,$$

бунда кривошипнинг узунлиги (м)  $l_1 = v_{sp}/(4n)$ .

Сүнгра берилган  $\lambda_3 = l_3/l_1$  га күра шатуннинг  $l_3$  узунлигини аниқлаш мумкин.

Тебранувчи кулисали механизм. Олти бүғинли кулисали механизм (11.8-расм, а) кривошип 1 нинг айланма ҳаракатини ползуи 5 нинг илгарилома-қайтма ҳаракатига ўзгартыриб беради, бунда ползуннинг орқага қайтишидаги  $v_{tec}$  ўртача тезлиги тўғри юришидаги  $v_{t\ddot{y}}$ , ўртача тезлигидан  $K_v$  марта катта бўлади. Одатда чиқиш бўғини 5 нинг  $h$  йўли ва унинг ўртача тезлигининг ўзгариш коеффициенти  $K_v = v_{tec}/v_{t\ddot{y}}$ , берилган бўлади.

Масалан, рендалаш ва тешик ўйниш дастгоҳларида буюм кесувчи асбобнинг берилган кеснш тезлиги билан бир ўйнишида ишланади, асбобнинг салт (тескари) юриши эса бундан каттароқ ўртача тезликда амалга ошиди; бу ҳолда  $K_v > 1$  бўлади.

$\omega_1 = \text{const}$  бўлганда  $K_v$  коеффициент ва кулисанинг  $\beta$  оғиш бурчаги (бурчак йўли) ўзаро қўйидаги муносабат орқали боғланган бўлади:

$$K_v = \frac{h/l_{tec}}{h/l_{t\ddot{y}}} = \frac{180^\circ + \beta}{180^\circ - \beta}.$$

Бундан

$$\beta = 180^\circ \frac{K_v - 1}{K_v + 1},$$

Кулисанинг четки ҳолатидаги узунлиги ушбу формуладан аниқланади:

$$l_3 = l_{CD} = h/[2\sin(\beta/2)].$$

$CD$  кулисанинг ўрта (вертикал) ҳолатида  $l_3$ ,  $l_e = l_{AC}$  (стойка) ва  $l_1 = l_{AB}$  бўғинларнинг узунлиги қўйидаги муносабат орқали боғланган бўлади:

$$l_3 = l_e + l_1 + a. \quad (11.13)$$

бу ерда  $a$  ўлчам кулиса узунлигидан тўлароқ фойдаланиш мақсадида конструкция нуқтан назаридан танланади. Бошқа томондан,  $\Delta ABC$  дан

$$l_1 = l_e \sin(\beta/2). \quad (11.14)$$

$l_1$  қийматини (11.13) ифодага қўйиб стойканинг узунлиги (ўқлар орасидаги масофа) топилади:

$$l_e = (l_3 - a)/[1 + \sin(\beta/2)].$$

$l_e$  ҳисоблаб топилгандан сўнг (11.14) формуладан  $l_1$  ни аниқлаш мумкин; кўрилган турдаги механизмлар учун одатда  $l_e/l_1 > 2$ .

Кулисали механизмнинг афзаллиги шундаки, кривошип етакчи бўлганда кулиса тоши (ползун) 2 дан кулиса 3 га куч узатилганда босим бурчаги нолга teng бўлади:  $\theta_{12} = 0$ . Бўғин 4 дан етакланувчи ползун 5 га куч узатилганда босим бурчаклари энг кичик бўлиши учун  $xx$  ўқининг ҳолатини шундай танлаш керакки, у  $f$  сегмент стрелкасини тенг иккига бўлсин. У ҳолда тўғри бурчакли  $\Delta NDE$  да бўғин 4 нинг узунлигиги

$$l_4 = l_{DE} > f/(2 \sin \theta_p),$$

Су ерда

$$f = l_3 - l_3 \cos(\beta/2);$$

бу ҳолда  $\theta_{max} \leq \theta_p$ , муносабат таъминланади.

Кулисанинг айланыш ўқи билан ползун 5 нинг йўналтирувчи орасидаги масофа қўйидаги формуладан топилади:  $b = l_3 - f/2$ .

Икки тизгити бўғин 4, 5 лар группасининг иккита илгарилама ва битта айланма жуфтликли бошқа варианти ҳам қўлланилади (11.8-расм, 6). Босим бурчаклари нуқтаи назаридан бу вариант олдингисидан яхшироқдир:  $\theta_{54} = 0$ .

Айланувчи кулисалт механизм. Бундай механизмининг энг кўп учрайдиган варианти схемаси 11.8-расм, 6 да тасвирланган. Қўйидагилар берилган: кривошиппнинг  $l_1 = l_{AC}$  узунлиги, ползун 5 нинг  $h$  йўли ва унинг ўртача тезлигининг ўзгариш коэффициенти  $K_v = v_{rec}/v_{top} > 1$ .

Ползун 5 нинг тўғри юриши кривошип  $I_{\Phi_{top}} = 180^\circ + \Theta$  бурчакка бурилганда, орқага қайтиши эса кривошип  $\Phi_{rec} = 180^\circ - \Theta$  бурчакка бурилганда содир бўлади. Шу сабабли  $\omega_1 = \text{const}$  бўлганда

$$K_v = \frac{h/l_{rec}}{h/l_{top}} = \frac{180^\circ + \Theta}{180^\circ - \Theta},$$

бу ерда

$$\Theta = 180^\circ \cdot \frac{K_v - 1}{K_v + 1}.$$

Кривошип 1 ва кулиса 3 нинг айланыш ўқлари орасидаги  $l_6 = l_{AC}$  масофа  $\Delta AB_1C$  дан қўйидаги формулага кўра аниқланади:

$$l_6 = l_1 \sin(\Theta/2);$$

одатда, бундай турдаги механизмлар учун  $l_1/l_6 > 2$ .

Ползун  $E$  нуқтасининг четки ҳолалари ( $E_1$  ва  $E_2$ ) кулиса 3 ва шатун 4 нинг йўналишлари мос бўлганда  $B$  нуқтанинг ҳолатларига ( $B_1$  ва  $B_2$ ) кўра аниқланади, шу сабабли  $CD$  кривошиппнинг узунлиги  $l_{CD} = h/2$  га тенг.

Шатун 4 нинг узунлиги шундай бўлиши лозимки, босим бурчагининг өнг катта қиймати  $\theta = \theta_{54}$  рухсат этилган  $\theta_p$ , қийматидан ошиб кетмасин, шу сабабли

$$l_4 > h/(2 \sin \theta_p).$$

Шатун 4 ни чекли узунликдан ҳам узун қилиб олиш ярамайди, чунки бунда механизмнинг ўзи ҳам катталашиб кетади. Кулисали жуфтлик 2-3 (тош — кулиса) да энг кичик кучлар ҳосил қилиш учун кривошип 1 нинг узунлигини иложи борича катта қилиб олиш даркор, бироқ бунда механизмнинг ўзи катталашиб кетишими назарда тутиш керак.

Пишангили механизмларни берилган узлуксиз ҳолат функциясига күра ҳамда күрсатылған траекторияга күра синтезлашын дөир мұраккаброқ жағдайтарни ёзиш методикасын ушбу дарслікта күриб чиқылмайды; ушбу методиканы [5] дан үқиб олишиңгиз мүмкін.

### 11.5-§. Манипуляторлар. Уларнинг тузилиши ва ишлатилиши сұхасы

Манипулятор деб, инсон құлининг ишини бажариш учун мұжталған техник қурылымда айтылади. Манипуляторнинг асосий механизми бир қапча әркінлик даражасига эга бұлған очиқ кинематик занжирлер, пишангили фазовий механизмдер. Манипуляторлар ердамда инсон ушындағы әсізлілік шартынан білінген болып иштеп, шуньшылдек күп мәннен тараб қыладынан да бир зайлдаги ишлар бажари айтылады. Манипуляторлар темирчылардың преслашынан қойымакорлық ишларда (масалан, оғир хом ашени штампта жойлаш, құм түркаш машиналарына хизмат күрсатыш), құмир қазиши саноатидеги бурғулаш машиналарыда, соат үйнешіде, машинасозлардың пайеандарда, үйгіш, буюмларни бүяш кабында технологик жағаңдарда құлланилади.

Құл білан бошқарылғандағы манипуляторлар да инсон-сператор құлланилады. Манипуляторлар да инсон-сператор құлланилады.

Құл білан бошқарылғандағы манипуляторлар инсон-сператор құлланинға қарата жақалатынан да күчиниң тақтадынан (тақтадынан күлгүнчі манипуляторлар), бунда баъзи қолларда ижроғы механизм берилады. Анықтамалар да инсон-сператор құлланилады.

Тақтадынан күлгүнчі механизм манипуляторлар симметрик жойлашынан иккита механизм — бошқарувчи ҳамда ижроғы механизмдердан (бошқарувчи айтанды, төшініркебеуви да уни бажарувчи құллардан) ташкил топтынан болып, улар срасидеги боғланиш түрли механизм узатмалар срекали амалта олады.

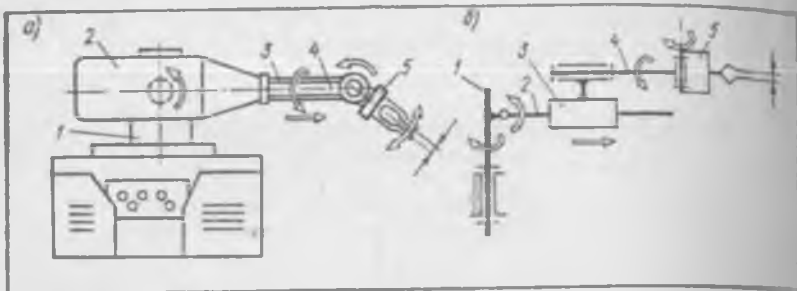
Манипуляторнинг хизмат күламинын инсон-оператор құлышынан иш күламынан нисбетан қатта аштириш мүмкін. Бунинг учун ичиде күч узатувчи алокасынан булған труба жойлашынан сферик шарнир құлтасынады. Ушбу труба бошқарылғандағы дастасынан қарата жақалатынан да инсон-сператор құлланилады. Тотынан күлтасынан баробар бұлғаман пишанг вазифасини бажарады. Агар оператор қарата жақалатынан да инсон-сператор құлланилады.

Күп ҳолларда оператордан анча узокда жойлашынан тақтадынан күлгүнчі манипуляторлар ишини бошқарылғанда ижроғы механизм бериледі. Бундай масофадан бошқарувчи манипуляторларда қарата жақалатынан да инсон-сператор құлланилады.

Автоматик бошқарувчи манипуляторларда ижроғы механизм бүгіншілік анық программа буйича юритмалардан қарата олады.

Манипуляторлардан жиынтықтарда манипуляторлар механик, электр, гидравтик, пневматикалық да аралаш тарзда булиши мүмкін. Гидроюритма оғир юкларни (50 кг ви үнданды оғир) 1 м/с гача тезлікке қарата жақалантира олады [3].

Түрли ташшы ишларынан (буюмни юклаш, сиңжитиш, олиш да ҳоқа-зона) бажарылғанда мұлжалланған ҳамда үзгартылғанда манипуляторларда иш

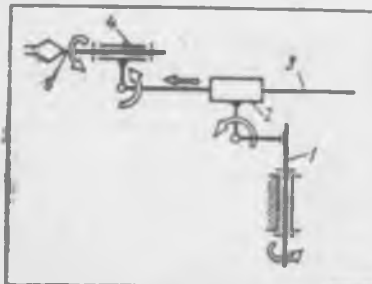


11.9- р.см

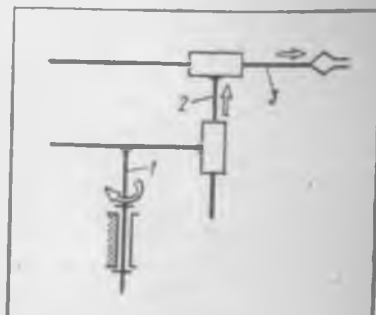
лайдиган машина-автоматларда құлланиладын, автоматик бошқарылтадын манипуляторлар автоператорлар дейилдеди.

Ишлаб чыкашда анық технологик ва ташин ишларини күп марта амалға ошириш мақсадында құлланиладын, үзгаруучи программали ва автоматик бошқарылувчи манипуляторлар саноат роботлари (СР) дейилдеди. СР оддий автоматик машинналардан шуниси билан фарқ қиласы, уларнинг ассаси механизмизмиде әркиниллик даражалари сони бир неча бұлган очиқ кинематик занжирининг мавжудлігі туфайли уларнинг иш органлари түрли fazovий ҳаракаттарни көңг чегараларда содир етет олади, бу эса уларни бошқа программани бажарылға тезда қайта созлашы имкон беради.

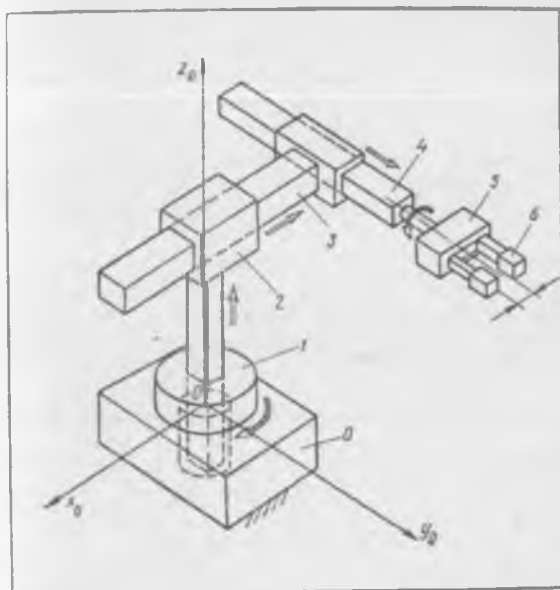
СР манипуляторининг конструктив схемалари түрли-тумандыр. Масалан, 11.9-расм, а да СР дан бирининг умумий күриници тас-виirlanған; унинг кинематик схемаси 11.9-расм, б да келтирилған. Бармоқларининг ҳам ҳаракатини ҳисобға олғанда ушбу СР олтта әркиниллик даражасыга етады. 11.10-расмда бешта асосий әркиниллик даражасыга етады бұлған (бармоқлар ҳаракаты бу ҳисобға кирмайды) «Универсал 15» типидаги СР нинг кинематик схемаси келтирилған. 11.11-расмда учта асосий әркиниллик даражасыга етады бұлған «М 901» маркалы



11.10- расм



11.11- расм



11.12- рисм

саноат роботининг кинематик схемаси келтирилган, 11.12-расмда эса бармоқларининг ҳам ҳаракатиниң ҳисобга олганда олтита эркинлик даражасига эга бўлган СР манипулятори механизмининг нусхаси тасвирланган. Бундай манипуляторниң асосий элементлари: 0 — қўзғалмас станица; 1 — айланувчи стол; бўғиллар 2, 3, 4 дан тузилган «қўл»; 5 — «панжа»; 6 — бармоқли чангаль.

СР нинг ҳар бир нусхаси, одатда, ҳаракатлантирилувчи объектнинг шакли ва ўлчамларига боғлиқ ҳолда бир қанча қисқичга — чангальга эга бўлади. Омбурсимон қамрагичлар, сурилма бармоқлар, пневмосўргичлар, электромагнитлар ва шу кабиллар кўринишидаги чангальлар қўлланилади. Ҳаракатлантирилувчи объект билан бўладиган уриниш ҳақида ахборот булиши талаб қылинадиган ҳолларда чангальга тегишлича датчиклар ўрнатилади.

СР манипуляторларининг асосий пишанги механизмида бир қўзғалувчаникдаги илгарилама ва айланма жуфтликли кинематик занжирлар кўпроқ қўлланилади. Сферик шарнирлар узатмалардан ҳаракат олишини қийинлаштиради, шу сабабли улар учта айланма жуфтликли кинематик боғламалар билан алмаштирилади.

Автоматик бошқариладиган СР нинг учта синфи ёки авлоди мавжуд. Биринчи авлодга ўзгармас программа буйича ишлайдиган СР киради. Бундай робот-манипуляторлардан машинасозликла тобора кўпроқ Фойдаланилмоқда; улар бизнинг мамлакатимизда ҳам, чет мамлакатларда ҳам сериялаб ишлаб чиқарилади.

Иккинчи авлодга шундай манипуляторлар кирадики, уларниң бошқарыш системаларыда ўзгармас программа билан биргә ташқи мухиттинг номаътум ёки ўзгарувчи шаронтига (масалан, кўрсатилган жойдан буюнни излаш) мослашиш элементлари ҳам бўлади; ташқи мухит тўғри сидаги ахборот тегишли датчиклар ёрдамида олинади.

Учинчи авлодга суный онг элементлари бўлган робот-манипуляторлар киради. Уларниң бошқариш системалари қўйилган мақсадга мувофиқ равишда мангиқий масалаларни ечган ва ўзи ўрганган ҳолда программани ўзи тузади ҳамда уни амалга оширади; булар кибернетик қурилмалардир.

Манипуляторларнинг пишангли фазовий механизmlарини тадқиқ этиш ва лойиҳалашда уларни кинематик таҳтил қилишни координаталарни ўзгартиришининг матрица усулидан фойдаланиб амалга ошириш мақсадга мувофиқдир; бундай масалаларни очиш методикаси 3-бобда баён этилган.

### 11.6- §. Манипуляторларнинг техник кўрсаткичлари

Манипуляторлар ва сапозт роботларининг ишлаш қобилияти кўпгина техник кўрсаткичлари билан белгиланади. Уларга аввало манипулятор иш доирасининг ўлчамлари ва шакли, унинг ҳаракатчанлиги (манёврчанлиги), хизмат кўрсатиш бурчаги ва қозғалишлари, асосий механизмниң эркинлик даражалари сони киради.

Манипуляторининг очиқ кинематик занжири чанглга қандайдир ҳажмда турли ҳолатларни эгаллашга имкон беради. Манипуляторнинг иш ҳажми иш деб, чангалининг эгаллаши мумкин бўлган ҳамма ҳолатларини ўраб турувчи сирт билан чегаралган ҳажмга айтилади. Масалан, схемаси 11.13-расм, а да тасвирланган манипуляторнинг иш ҳажми бўғинлар 1, 2, 3 узунликлари йиғиндинсига teng  $r_i$  радиусли сферадан иборат. Иш ҳажми манипуляторнинг энг катта ташқи ўлчамларини ифодалайди.

Тўсиқларни айланниб ўтиш ҳамда қўзғатилувчи объект билан бўладиган мураккаб амалларни бажариш учун манипуляторнинг ҳаракатчанилиги билан ифодаланадиган механизм кинематик занжирининг иш ҳажмидаги кўрсатилган нуқтага турлича яқинлаша олиш имконияти муҳим аҳамиятга эга. Манипуляторнинг бу кўрсаткичи ушбу нуқтага келтирилган чангалининг қўзғалмас ҳолатида механизмнинг эркинлик дарожалари сони сифатида аниқланади. Манипуляторнинг ҳаракатчанлиги кинематик жуфтликларнинг турлари ва сонигагина эмас, балки уларнинг жойлашувига ҳам бўғлиқ бўлади. Чунончи, 11.13-расм, а да тасвирланган манипуляторнинг ҳаракатчанлиги бирга teng; ушбу ҳолда чангл қўзғалмас бўлганда Малишев формуласига асосан ( $q = 0$  бўлганда) эркинлик даражалари сони  $W = 6n - \sum_{i=1}^5 (6 - i)p_i = 6 \cdot 2 - 5 \cdot 1 - 3 \cdot 2 = 1$

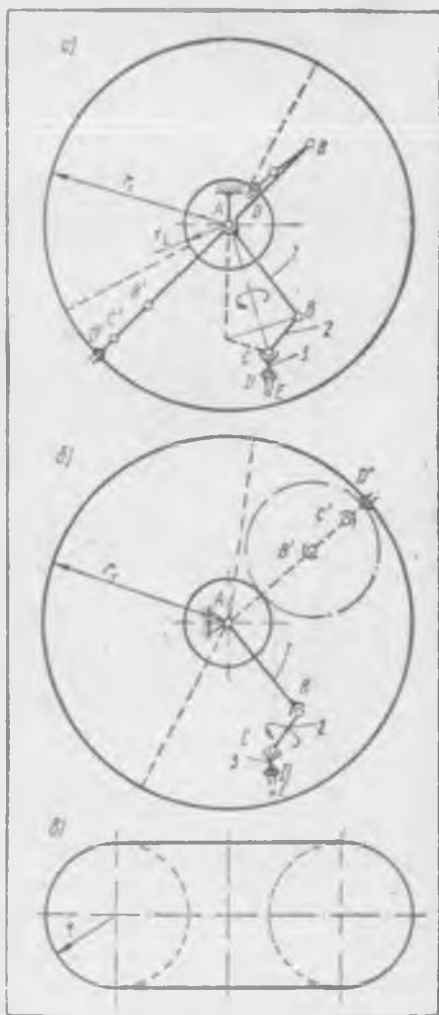
га teng. Бу группавий қўзғалувчанлик бўлиб, сферик жуфтликлар марказларидан ўтувчи AC ўқ атрофида бўғинлар 1 ва 2 нинг биргаликда айланishi мумкинлигини билдиради. Мазкур ҳолда бирга teng бўлган ҳаракатчанлик ушбуни англатади: чангл кўрсатилган E нуқтага геометрик ўрини A ва C учларга ҳамда AB ва CB ясовчиларга эга бўлган ко-

нуссимон юзалардан иборат бўлган қолтан бўғинлар 1, 2 нинг турли ҳолатларида СЕ йўналишда яқинлашиши мумкини.

Агар А ва В жуфтликларнинг ўрни алмаштирилса (11.13-расм, б), у ҳолда Малишев формуласига кўра эркинлик заражалари сони ўзгартмай қолади:  $W = 1$ , бироқ бу энди бўғин 2 нинг BC ўқ атрофинида айланishi мумкинligини билдирувчи маҳаллий қўзгаливчаликдир; ҳаракатчанлик эса нолга тенг бўлади, чунки ушбу ҳолда чангл иш ҳажмининг беътиланган Е нуқтасига бўғинлар 1, 2 нинг фақат биргина ҳолатида яқинлаша олади.

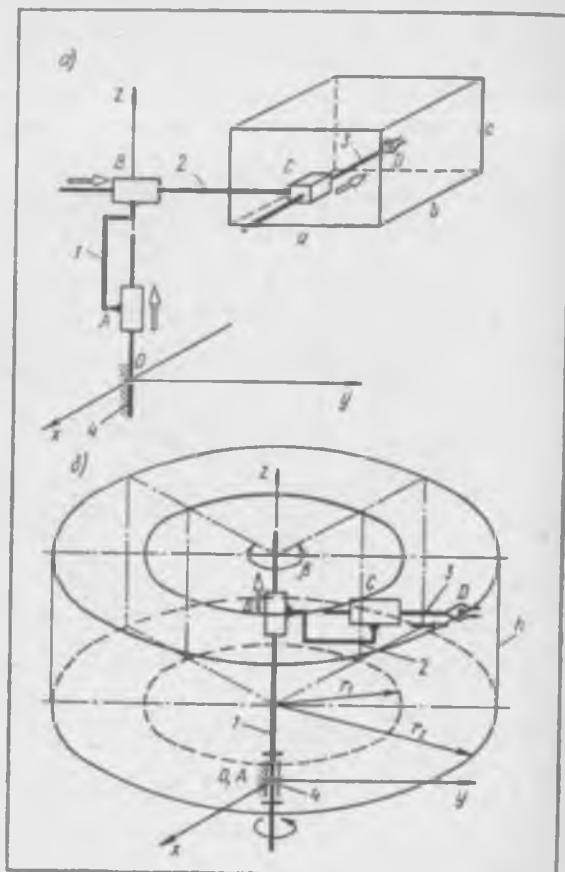
Ҳаракатчанлик қанчалик юкори бўлса, ҳаракатлантирилувчи объект билан олиб бориладиган мураккаб амалларни энг қиска, энг қулий йўл билтан амалга ошириш имконияти шу қадар кўп бўлади.

Иш ҳажмининг ҳаракатлантирилувчи объект билан боғлиқ амалларни бажариш мумкин бўлган қисми хизмат кўрсатиш доираси (зонаси) ёки иш доираси дейилади. Масалан, 11.13-расм, а да тасвирланган манипулятор учун мумкин бўлган энг катта иш соҳаси  $r_1 = AD'$  ва  $r_2 = AD''$  радиусли сфералар оралигидаги бўштиқдир, муайян ҳолда эса хизмат кўрсатиш доираси ушбу бўштиқнинг бир қисмигина бўлади (11.13-расм, а да штрих чизик билан кўрсатилган); 11.13-расм, б да тасвирланган манипулятор учун мумкин бўлган энг катта иш доираси  $r_1 = AD'$  ва  $r = B'D'$  ўлчамли ҳалқалар (11.13-расм, в), муайян ҳолда эса, иш доираси ана шу ҳалқанинг бир қисми (11.13-расм, б даги штрих чизик) бўлади. Учта илгарилама жуфтликли манипуляторнинг (11.14-расм, а) иш доираси тўғри бурчакли паралелепипеддан иборат, унинг а, б, с ўлчамлари тегишли бўғинларнинг ўз йўналтирувчиларида, ма-



11.13- расм

расм, б да штрих чизик билан кўрсатилган); 11.13-расм, б да тасвирланган манипулятор учун мумкин бўлган энг катта иш доираси  $r_1 = AD'$  ва  $r = B'D'$  ўлчамли ҳалқалар (11.13-расм, в), муайян ҳолда эса, иш доираси ана шу ҳалқанинг бир қисми (11.13-расм, б даги штрих чизик) бўлади. Учта илгарилама жуфтликли манипуляторнинг (11.14-расм, а) иш доираси тўғри бурчакли паралелепипеддан иборат, унинг а, б, с ўлчамлари тегишли бўғинларнинг ўз йўналтирувчиларида, ма-



11.14- расм

салан. бүгін 2 нинг  $y$  үк бүйлаб, бүгін 3 нинг  $x$  үк бүйлаб, бүгін 1 нинг  $z$  үк бүйлаб энг күп суритиш қийматлари билан аниқланади. Битта айланма ва иккита илгарилама жуфтликти манипулятор учун (11.14-расм, б) мумкин бұлған энг катта иш донраси ғовак цилиндрдир. Бұ цилиндр учун  $r_2 - r_1$  радиустар айримаси бүгін 3 нинг бүгін 2 га нисбатан энг катта сиљиши билан,  $h$  баландлик эса бүгін 2 нинг бүгін 1 га нисбатан энг катта сиљиши билан аниқланади; муайян бир ҳолда эса ушбу бүштиқнинг  $\beta$  бурчак билан чекланган бир қисмнегина (11.14-расм б да штрихпунктир чизиқтар билан ажратиб күрсатилған) иш донраси бўлиши мумкин.

Манипуляторнинг танланган түзилеш схемасыда күрсатилған иш донраси бўйича бўғинларнинг ўлчамларини аниқлаш учун юқорида баён этилған координаталарни ўзgartиришининг матрица усулини татбиқ этган

холда учинг ҳолат функциясини талқиқ этиш лозим. Масадан, 11.15-расмда тасвирланган, эркинлик даражалари учта бўлган манипулятор чангали  $D$  нуқтасининг ҳолат функцияси угинг радиус-вектори  $\rho_D$  нинг умумлашган координаталарга ҳамда  $l_{BC}$  ва  $l_{CD}$  бўғинларнинг узунлигига боғлиқлиги бўлади. Очик кинематик занжирлари ушбу механизм зўриктирилмасдан йиғилгандиги сабабли статик аниқ ҳамда ортиқча боғламаларсиз бўлади ( $q = 0$ ). Механизмда учта бир қўзгалувчанликдаги жуфтлик бўлиб, уларнинг иккитаси ( $A$ ,  $C$ ) айланма ва биттаси ( $B$ ) илгариламадир.

Умумлашган координаталар сони учта:  $\varphi_{10}$  — бўғин 1 нинг стойка 4 га нисбатан бурилиш бурчаги;  $z_{21}$  — бўғин 2 нинг бўғин 1 га нисбатан чизиқли силжиши;  $\varphi_{32}$  — бўғин 3 нинг бўғин 2 га нисбатан бурилиш бурчаги. Эркинлик даражаларин сони  $W = 3$  эканлиги Малишев формуласи билан ҳам тасдиқланаади:

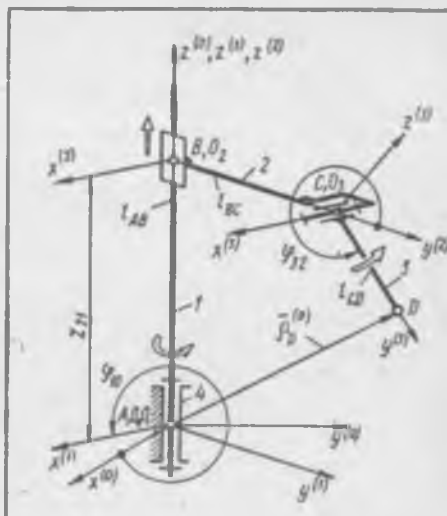
$$W = 6n - [\sum_{i=1}^3 (6 - i)p_i - q] = 6 \cdot 3 - 5 \cdot 3 = 3.$$

$O_1x^{(1)}y^{(1)}z^{(1)}$  координаталар системаси  $z^{(1)}$  ўқ атрофида айланувчи бўғин 1 билан боғланган;  $O_2x^{(2)}y^{(2)}z^{(2)}$  координаталар системаси бўғин 1 га нисбатан тўғри чизиқ бўйича харакатланувчи бўғин 2 билан боғланган;  $O_3x^{(3)}y^{(3)}z^{(3)}$  координаталар системаси  $x^{(3)}$  ўқ атрофида айланувчи бўғин 3 билан боғланган.  $z^{(1)}, z^{(1)}, z^{(2)}$  ўқлар устма-уст жойлашади,  $x^{(1)}, x^{(2)}, x^{(3)}$  ўқлар ўзаро параллелдир.  $\bar{\rho}_D^{(0)} = \bar{\rho}_D^{(0)}(\varphi_{10}, z_{21}, \varphi_{32})$  ҳолат функцияси матрица шаклида қўйидаги кўринишни олади:

$$\bar{\rho}_D^{(0)} = T_{10} T_{21} T_{32} \bar{\rho}_D^{(3)}, \quad (11.15)$$

бу ерда

$$\bar{\rho}_D^{(0)} = \begin{bmatrix} x_D^{(0)} \\ y_D^{(0)} \\ z_D^{(0)} \\ 1 \end{bmatrix}; \quad T_{10} = \begin{bmatrix} \cos \varphi_{10} & -\sin \varphi_{10} & 0 & 0 \\ \sin \varphi_{10} & \cos \varphi_{10} & 0 & 0 \\ 0 & 0 & 1 & 0 \\ 0 & 0 & 0 & 1 \end{bmatrix};$$



11.15- расм

$$T_{21} = \begin{bmatrix} 1 & 0 & 0 & 0 \\ 0 & 1 & 0 & 0 \\ 0 & 0 & 1 & z_{21} \\ 0 & 0 & 0 & 1 \end{bmatrix}; \quad T_{32} = \begin{bmatrix} 1 & 0 & 0 & 0 \\ 0 & \cos \varphi_{32} & -\sin \varphi_{32} & l_{BC} \\ 0 & \sin \varphi_{32} & \cos \varphi_{32} & 0 \\ 0 & 0 & 0 & 1 \end{bmatrix};$$

$$\rho_D^{(3)} = \begin{bmatrix} 0 \\ l_{CD} \\ 0 \\ 1 \end{bmatrix}.$$

$T_{10}, T_{21}, T_{32}$  матрицалардаги түртніңін сатр (0001) ва устунлы матрица-лардагы I рақами айнанытты үзгартырышга ( $I \equiv I$ ) олиб келади. Улар матрицалар квадрат тарзда булиши ҳамда матрицаларни күпайтириш мүмкін булиши учун киристилган. Матрицалар маълум қоиды — сатрни устунга күпайтириш қондасига мувоғиқ күпайтирилади. (11.15) формулалардың кетма-кет тартибда күпайтириш натижасыда қуйидаги теңглик ҳосын бұлади:

$$\begin{bmatrix} x_D^{(0)} \\ y_D^{(0)} \\ z_D^{(0)} \\ 1 \end{bmatrix} = \begin{bmatrix} -l_{BC} \sin \varphi_{10} - l_{CD} \sin \varphi_{10} \cos \varphi_{32} \\ l_{BC} \cos \varphi_{10} + l_{CD} \cos \varphi_{10} \cos \varphi_{32} \\ z_{21} + l_{CD} \sin \varphi_{32} \\ 1 \end{bmatrix}.$$

Бинобарин,  $Ox^{(0)} y^{(0)} z^{(0)}$  құзғалмас системада  $D$  нүктаның изланыёттам көю динаталарын қуйндагиларга тең:

$$\begin{aligned} x_D^{(0)} &= -l_{BC} \sin \varphi_{10} - l_{CD} \sin \varphi_{10} \cos \varphi_{32}, \\ y_D^{(0)} &= l_{BC} \cos \varphi_{10} + l_{CD} \cos \varphi_{10} \cos \varphi_{32}, \\ z_D^{(0)} &= z_{21} + l_{CD} \sin \varphi_{32}. \end{aligned} \quad (11.16)$$

Умумлашған координаталарнинг бир қанча оддий қийматтарыда (11.16) формулаларнинг ва механизм кинематик схемасыннан (11.15-расм) үзаро мослигини текшириб күриш фойдалдан ҳоли бұлмайды. Масалан,  $\varPhi_{10} = \varPhi_{32} = 0$  бұлғанда:  $x_D^{(0)} = 0$ ;  $y_D^{(0)} = l_{BC} + l_{CD}$ ;  $z_D^{(0)} = z_{21}$  бұлади;  $\varPhi_{10} = \varPhi_{32} = 270^\circ$  бұлғанда эса  $x_D^{(0)} + l_{BC}$ ;  $y_D^{(0)} = 0$ ;  $z_D^{(0)} = z_{21} - l_{CD}$  бұлади.  $D$  нүкта координаталарнинг үзгариш чегаралары маълум бўлса, (11.16) муносабатлар ёрдамида бўғинлар  $l_{BC}$ ,  $l_{CD}$  узунлигисиннан керакли қийматларини ҳамда  $\varPhi_{10}$ ,  $z_{21}$  ва  $\varPhi_{32}$  умумлашған координаталарнинг үзгариш чегараларини танлаб олиш мүмкін.

Манипулятор чангалининг ҳамда алоқида бўғинларининг қаракат тезлиги каби техник кўрсаткичи катта аҳамиятта эга. Бунда энг юқори қаракат тезлиги манипулятордаги иш жарабениннинг тарзи ва юритманинг қуввати биланғина эмас, балки хизмат кўрсагувчи ҳодимларнинг хавфсизлик шароити билан ҳам белгиланади.

Агар умумлашған координаталарнинг вақтга боғлиқлары маълум бўлса, у ҳолда тезлик ҳолат функциясини вақт бўйича дифференциаллаш орқали аниқланади. Масалан, эркинлик даражаси учта бўлған кўриб чиқылған манипулятор учун чангал  $D$  нүктаси тезлиги векторининг координаталар үқига проекциялариннинг берилған  $\varPhi_{10}(t)$ ,  $z_{21}(t)$  ва  $\varPhi_{32}(t)$

мүнисабатларыда (11.16) төңгіламаннан вақт бүйіча дифференциаллаб уш-бүни ҳосил қыламыз:

$$\left. \begin{aligned} v_{Dx} &= x_D^{(0)} = -\omega_1 \cos \varphi_{10} (l_{BC} + l_{CD} \cos \varphi_{32}) + \omega_{32} l_{CD} \sin \varphi_{10} \sin \varphi_{32}; \\ v_{Dy} &= y_D^{(0)} = -\omega_1 \sin \varphi_{10} (l_{BC} + l_{CD} \cos \varphi_{32}) - \omega_{32} l_{CD} \cos \varphi_{10} \sin \varphi_{32}; \\ v_{Dz} &= z_D^{(0)} = v_{21} + \omega_{32} l_{CD} \cos \varphi_{32}. \end{aligned} \right\} \quad (11.10)$$

*D*иңкүта тезлиги векторинин катталигы ва йұнағаштын күйіндегі формулалардан толымас:

$$v_D = \sqrt{v_{Dx}^2 + v_{Dy}^2 + v_{Dz}^2}, \cos \alpha = v_{Dx}/v_D, \\ \cos \beta = v_{Dy}/v_D, \cos \gamma = v_{Dz}/v_D. \quad (11.18)$$

Бү ерда  $\alpha$ ,  $\beta$ ,  $\gamma$  — тезлік векториінг йүзатырувчи бурчаклары.

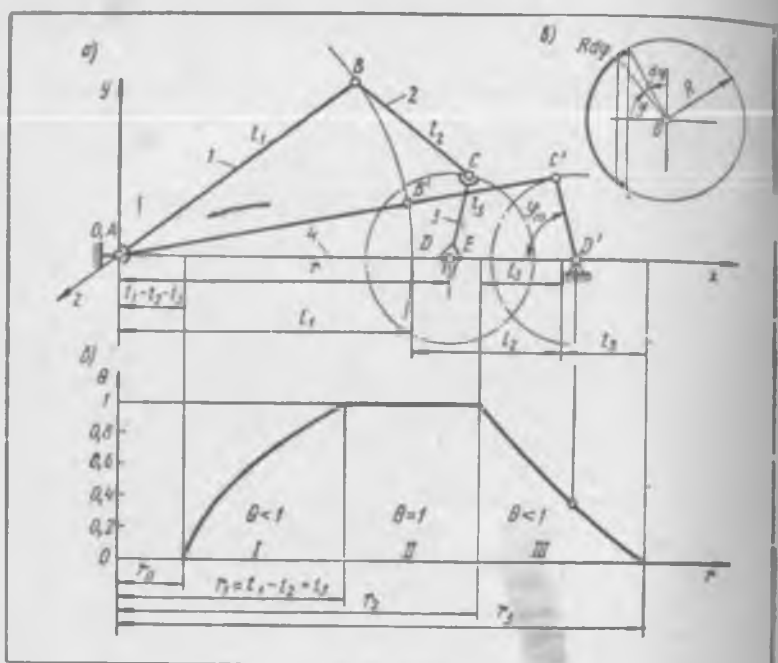
(11.17), (11.18) формулаларда асосан муйяян сон қийматларини анықлашып нағыжасында ғанаңдай  $D$  нүктасининг энг катта тезлигини ва тезликкінинг ұзғарыш тарзини бақолашып ымкон туғилады.

Фурчакнинг унниг энг катта қийматига нисбати  $\Theta = \psi/(4\pi)$  ушбу нуқтадаги хизмат кўрсатиш коэффициенти (сервис коэффициенти) дейилади.  $\Theta$  нишг қиймати нолдан бирга кадар ўзгаради;  $\Theta$  нолга тенг бўлганда нуқтадар иш ҳажминнинг чегарасида жойлашади ва чангаль унга фақат битла йўналишида яқинлаша олади;  $\Theta$  бирга тенг бўлганда нуқта тўла хизмат кўрсатиш доирасида жойлашиб, чангаль унга исталған томондан яқинлаша олади.

Хизмат күрсатыш коэффициенті  $\Theta$  нийг қыйматини аниқлаш учун чанғал марказыннинг үзгартас ҳар хил ҳолаларыда манипулятор бүгинарларыннинг харакати текшириб күрілади.

Нин ҳисоблаш методикасынан иккита сферик ва битта айланма жуфтликти манипулятор (11.13-расм, а) мисолида күриб чықамиз. Иш дойрасининг кандайдыр  $E$  нүктасидаги  $\psi$  хизмат күрсатын бурчагини аниклаш учун манипулятор механизмини  $A, C, D$  сферик жуфтликли ва  $B$  айланма жуфтликли фазовий түрт бүгіншли механизм деб қараймиз. Чангаль марказы бұлған  $D$  нүкта белгиланған  $E$  нүкта билан устма-устёади (11.16-расм, а). Дастрал  $CD$  бүгіншиң (чангалишың) чизма текис-лигіда әгаллашы мүмкін бұлған ҳолаттарини топамиз, сүнгра түрт бүгіншли ясси механизми  $Oxyz$  фазовий координаталар системасининг  $x$  үки билан устма-уст түшувчи, узунылығы  $r$  га тең бұлған шартты  $AD$  стойкага инебатан айлантириш оркалы  $CD$  бүгіншиң фазода әгаллаши мүмкін бұлған ҳолаттарини анықтаймиз [5].

Хизмат курсатиши коэффициенті  $\Theta = 1$  булган соҳада хизмат курса



11.16-расм

тиш бурчаги  $\psi = 4\pi$  бўлади; бинобарин, С нуқта маркази  $D$  нуқтада жойлашган  $DC = l_3$  радиусли сферада исталган ҳолатни эгаллаш имкониятига эга бўлиши зарур. Бунинг учун тўрт бўғинли текис механизмда  $CD$  бўғин кривошиб бўлиши, яъни тўла айлана олиши лозим. Майлумки (11.1-§ га қаранг), кривошиб мавжуд бўлиши учун энг қисқа ва энг узун бўғинлар узунликларининг йигинидиси қолган бўғинлар узунликларининг йигинидисидан кичик бўлиши шарт. Агар, масалан, бўғин I энг узун, бўғин 3 эса энг қисқа бўлса, у ҳолда  $l_1 + l_3 < r + l_3$  бўлади, бундан  $r_{\min} = r_1 = l_1 - l_2 + l_3$ .

Агар  $AD = r$  энг узун бўғин бўлиб, энг қисқаси бўғин 3 бўлса, у ҳолда  $r + l_3 < l_1 + l_2$  бўлади, бундан  $r_{\max} = r_2 = l_1 + l_2 - l_3$ .

$r_1$  дан  $r_2$  гача оралиқда (11.16-расм б даги II доир)  $\Theta = 1$  бўлади.

Агар бўғин 3 коромисло бўлса,  $\Theta < 1$  бўлади. Бўғинлар 1, 2, 3 битта  $Ax$  чизиқда ётадиган чекли ҳолатларда  $\Theta = 0$  бўлади. Бу ҳол  $r = r_0 = l_1 - l_2 - l_3$  ҳамда  $r = r_3 = l_1 + l_2 + l_3$  бўлгандан юз беради. Бинобарин, 11.16-расм, б даги I ва III доираларда  $\Theta < 1$  бўлади. I ва III доиралардаги исталган оралиқ нуқтада, масалан  $D'$  нуқтада  $\Theta$  хизмат курсатиш коэффициентини қуйидагича аниқлаш мумкин.  $AB'$  ва  $B'C'$  бўғинлар битта тўғри чизиқда ётган ҳолдаги  $C'D'$  коромислонинг мумкин бўлган энг катта бурилиш бурчаги  $\Phi_m$  ни топиб  $R = l_3$  радиусли ҳамда  $\Phi = \Phi_m$  бурчакли сферасимон сектор юзасини аниқлаймиз (11.16-расм, 6 га қаранг). Шарсимон S сектор юзасини аниқлаш формуласини

$dS = 2\pi R \sin \varphi \cdot R d\varphi$  элементар юзаларнинг  $\varphi = 0$  дан  $\varphi = \Phi_m$  гача оралықдаги йигиндинисини хисоблаш орқали ҳосил қиласиз:

$$S = \int_0^{\Phi_m} 2\pi R^2 \sin \varphi d\varphi = 2\pi R^2 (1 - \cos \Phi_m).$$

Күрилаётган ҳолда  $R = l_3$ , ва  $S = 2\pi l_3^2 (1 - \cos \Phi_m)$ , бинобарин,

$$\Theta = \frac{\Phi}{4\pi} = \frac{S/l_3^2}{4\pi} = \frac{1 - \cos \Phi_m}{2}.$$

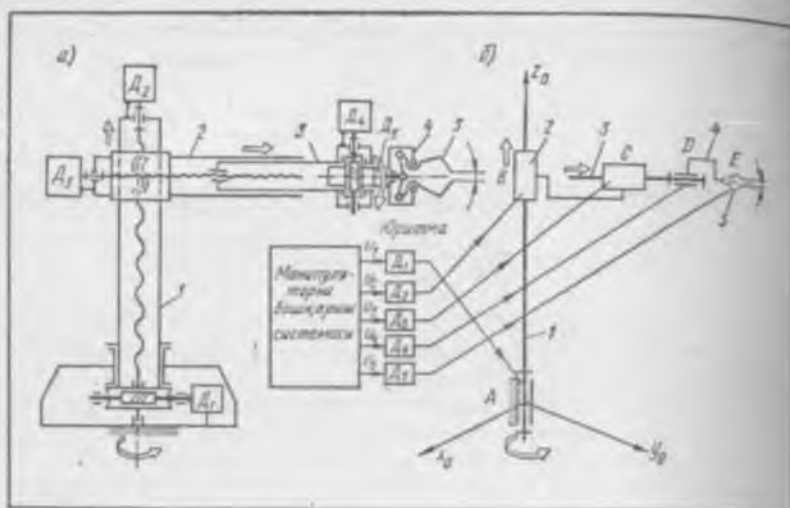
11.16-расм, а да  $r = AD'$  учун  $\cos \Phi_m \approx 0,24$  ва  $\Theta = 0,38$ . Бұғинлари 11.16-расм, а да тақвирланғаннандағидек үлчамларга эга бүлгап манипулятор учун  $\Theta = \Theta(r)$  бөгликтік графиги 11.16 расм, б да көлтирилген. Бұндай графиклар мавжуд манипуляторни тадқиқ этиш учунгина эмас, балки олдиндан белгиланған шартлар асоснда манипуляторларнинг кинематик схемаларини лойиҳалаш учун ҳам зарур.

Манипуляторлар ва саноат роботларининг хусусиятлариниң иғодалай-диган техник күрсакчилярға қуйидагилар ҳам киради: күтара оладиган юки еки юкланиш қобилияты; белгилансан программага мувофиқ жараёнларин амалға оширишда манипулятор бүғинларнинг ҳаракатланиши учун сарғыланадиган вақт билан иғодаланувчи тезкорлығи; технологик жараённинг күп марта тақрорланиши вақтіда СР құлиннинг түрли-түрлі ҳолаттарни әгаллаш аникиғы; энергетик сарғылар (электр энергиясы, сиқ լган ҳаво, иш суюқларының ва шу кабиларнинг сарғылары).

### 11.7-§. Манипуляторларни бошқариш системалари ҳақида

Автоматик бошқарыладыған саноат роботлари (СР) нинде манипуляторларда автоматик бошқариш системалари иш тартибининг (режими) иккى түрн фарқ қилинады: үрганиш тартиби ва иш тартиби. Үрганиш тартибидеги оператор махсус система ёрдамида манипуляторнинг ижроғи механизмини бүғинларнинг талаб қилинувчи иш ҳолатлары кетма-кетлеги орқали үтказады; бу система бүғинларнинг ҳаракатларини қайд этувчи датчикларни ҳамда датчиклар ахборотини магнитли лентага еки перфолентага ёзиб борувчи қурылмани үз ичига олады. Бүғинлар ҳолатлары датчиктардан олинған маълумотлар кодтарга айлантирилады (шиғранады) ва мұзайян программа тарзыда хотира қурилмасына келиб тушады. Иш тартибидеги манипулятор ушбу программа буйнайча автоматик иштайды. Бунда бояғи кодланған программа расшировка қилинады ва бүғинларнинг талаб қилинувчи ҳаракатларига айлантирилады.

11.17-расм, а да юртмати саноат роботларидан бирининг кинематик схемаси, 11.17-расм, б да эса ундағы асосий пишанғы механизмнің түзіліш схемасы ҳамда манипуляторни автоматик бошқаришининг содалаштырилған блок-схемасы көлтирилген. СР манипулятори (11.17-расм, а) 5 та әркінлік даражасы ( $\omega = 5$ ) ва шунға мос равнішда 5 та алохидада юртмага эга:  $D_1, D_2, D_3, D_4$  — электр двигателлар,  $D_5$  — пневмоюртма.  $D_1$  двигатель червякли узатма орқали бүғин I ни вертикаль айлантирады;  $D_2$  двигатель винтли узатма (винт — гайка) ёрдамида бүғин



11.17- росм

2 ни илгариlama (юкорига ва пастга) ҳаракатлантиради;  $D_3$  двигатель ана шундай узатма ёрдамида бўғин 3 га горизонтал илгариlama ҳаракат (чапга ва ўнгга) беради;  $D_4$  электр юритма червяклни узатма воситасида чангл 4 ни горизонтал ўқ атрофида айланима ҳаракатга келтиради;  $D_5$  пневмо-юритма поршенинг илгариlama ҳаракатини пишангли (ричагли) механизм в хитасидз ўзгартириш орқали чангл 5 нинг жағларини очиб-ёлади.

11.17-расм, б да кўрсатилишича, бошқариш системаси силжиш датчикларининг ўзгартирилган сигналлари  $i_1$  электр кучланишта и тарзида тегишли юритмаларга узатилади, улар эса бўғинларга маълум моментлар ёки кучлар билан таъсир қилиб уларни керакли масоғага сутади. Ҳар бир электр двигателнинг айланиш тезлиги двигател якорига бериладиган кучланиш билан ростланади. Бу кучланиш бўғинларда жойлашган ҳолат дагчилари орқали бошқарилади.

Қўй билан бошқариладиган СР да оператор бошқариш механизмининг бўғинларига таъсир этиб ижрочи механизм бўғинларини ҳаракатга келтиради. Ҳаракат пишангли, тишили, тўлқинли, вингтили узагмалар, ғифилувчан сим валлар, бошқа турдаги механик элементлар ва турли муфталар орқали узатилиши мумкин. Зарурат туғилганда оператор қўлиниң ҳаракати ва кучини ошириш мақсадида машитулиторларда электр, гидравлик, пневматик сервояритмалар (ёрдамчи юритмалар) қўлланилади. Улар бошқарувчи механизм бўғинлари ҳаракатланганда ҳосил бўладиган сигналларга кўя ижрочи механизмининг алоҳида бўғинларини ҳаракатга келтиради.

Тақлид қилувчи манипуляторларни қўй билан бошқариш системалари га иисбатан ўзига хос талаб қўйилади: улар «сеэгиранган» бўлиши керак, яъни инсон-оператор ҳаракатлантирувчи объектининг фоқатгина

силжинин эмас, балки манипулятор чангалига таъсир этувчи куч ёки моментни ҳам сезиши лозим.

Тақлид құтывчи манипуляторни бошқариш учун тақлидий куч системининг иккى тури құлланилади. Уларнинг биринчисида күчлар пассив тарзда қайтади, бунда оператор ижрочи органнаның күчнің фәқат уннинг ҳаракатланыш жараённан сезади; иккинчисида күч актив тарзда қайтади. Бунда оператор ижрочи органнаның күчні (ёки моментни) уннинг ҳаракатланышда ҳам, тұхтаб турғанида ҳам сезади.

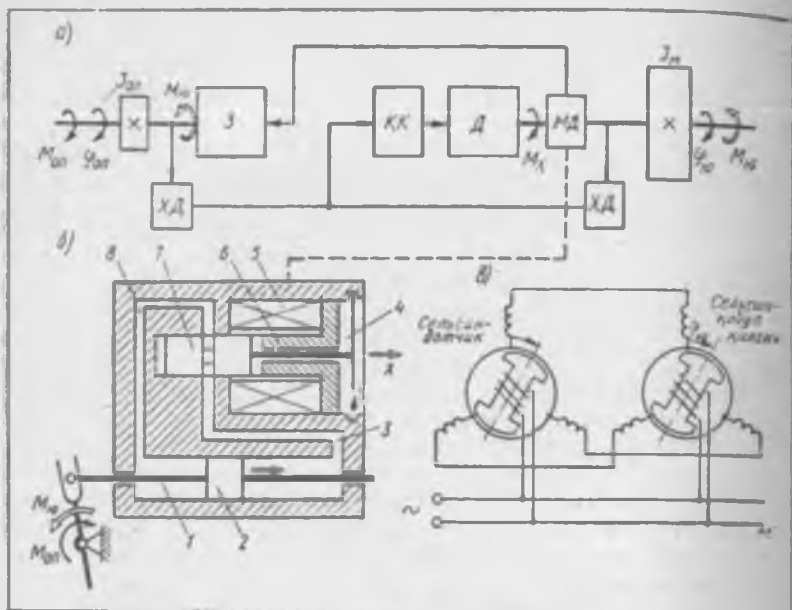
Шундай қылыш, одатдаги автоматик росташ системаларидан фарқлы равнинда бу системалар фәқат ҳолат буйіча бошқарыбінде қолмайды, балки күчларни узатыш (қайтариш) хусусиятига ҳам егадыр.

Ижрочи органда вужудға келдиган күчнің оператор валида ҳам ҳосил қилиші учун момент юклагичларында бұлмаса юкланиш имитаторларын хизмат қиласы.

Момент юклагичлары сифатида фрикцион ёки кукунли электромагнитли муфталар ҳамда электрогидравлик юклагичлар құлланилади. Фрикцион электромагнитли муфталар құлланилганда муфтаниң бир бұлагы құзғалмас қылыштың қотириліб, иккінчи бұлагы эса оператор валига уданады. Юкланиш ҳамда унга мос бошқариш сигналы бұлмаганды мұфта бұлаклары бир-бірге нисбатан әркін сирланады. Бунда оператор ғұзарадағы юкланишни сезмайды. Моментлар ұлчагичларидан (датчиклардан) мұфта бұлакларидан биридеги бошқариш үрамларынан сигнал берілгенде уннинг магнит занжирінде магнит оқими пайдо бүліб, у мұфтаниң құзғалуви қисмінде таъсир этгандың ҳолда уни құзғалмас қисмінде қисиб құяды. Сигнал қанчалық күчли бұлса, оператор шунчалық кетте моментни сезади.

Кукунли электромагнитли муфтаниң иштеш асосы ҳам шу кабидир. Ферромагнит материал (масалан, темір) кукун мұфтаниң ҳаракатланувчи бұлакларынан орасынан жойланады. Ток уланғанда электромагнит үрамларда ҳосил бұлдиган магнит майдон кукунға таъсир қиласы. Моментлар датчиги ердемінде ұлчанадын юкланишнан ошиши билан уйғотовувчи ток ҳамда уринувчи иш тирқишидеги магнит индукциясын күчаяди, етакланувчи қисмнан құзғалмас магнит үтказгычға нисбатан силжитиш учун зарур бұлалықтан тәнгенинац күч органды, натижада оператор валидагы қарыншыларын моменти күчаяди.

Электрогидравлик пассив юклагичнинг схемаси 11.18-расм, б да көлтирилген. Оператор томонидан оператор валига  $M_{op}$  момент ва шток 1 га мос тарздаги күч құйылғанда иш суюқтігі (масалан, мой) билан тұлдирілген гидроцилиндрдеги поршень сурисиб суюқтікни каналлар 3, 8 орқалы цилиндрнинг бир бүштегінде болашағында қайтады. Агар юкланиш валидагы моментлар датчигидан (11.18-расм, а) сигнал келмаса, у ҳолда юклагични бошқариш үрами 5 дагы ток нолға тенг бұлды. Бунда марказложи пружина 4 айланы ариқчалы золотник 7 ни нейтрал (үртга) ҳолатда тутиб тұрады. Уннинг бу ҳолатыда каналлар 3, 8 очық бўлған, суюқтікнинг оқимнан қаршилик жуда кам бўлады ва оператор кичик күчні сезади. Агар ижрочи органда  $M_{op}$  момент тарздаги юкланиш пайдо бўлса, уни моментлар датчиги  $M_D$  үлчайды (11.18-расм, а), золотникни бошқариш үрамида ток пайдо бўлади. Шунда золотник 7 ўзидаги күч пружина күчи билан мувозанатланғанда қадар  $x$  ўқи йўнали-

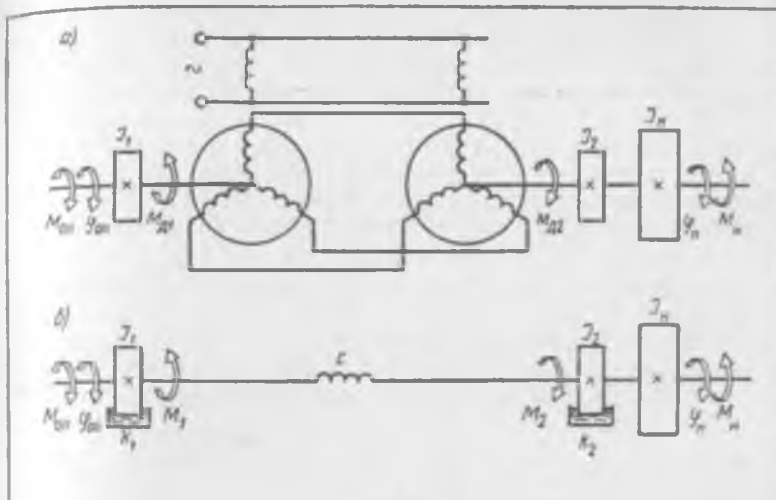


11.18- расм

шида сиңжиди. Натижада золотник каналлар  $3, 8$  ни қисман ёпіб құяды, иш суюқлиғи ҳаракатига қаршилик ортади да оператор юкланиш валидаги  $M_{\text{ю}}$  моменттіншін ошгандығында юклагич вужуда көлтирады  $M_x$ , қаршилик моменті тарзда сезади.  $M_{\text{ю}}$  момент қанчалық күп бўлса,  $M_x$  момент ҳам шунчалик күп бўлади. Золотникнинг энг катта сурилишини тирак  $b$  чеклаб туради. Кучни пассив қайтарадиган система-нинг камчилиги шундаки, оператор юкланишни фәқат бошқариш бўгини ҳаракатланган вақтдагина сезади; бундан ташқари, юкланиш моменттіншін ишораси қайд этилмайди, натижада оператор юкнинг кутарилаёт-ганлиги ёки тушаётганлигини фарқлай олмайди (куч бўйича).

Кучни пассив қайтарувчи тақлиди системанынг блок-схемаси 11.18-расм, а да көлтирилган. Юкланиш валига қандайдыр  $M_{\text{ю}}$  момент қўйилган да оператор ушбу валини  $\Phi_{\text{ю}}$  бурчакка буриши лозим бўлсин. Бу ҳолда у бошқариш валини  $\Phi_{\text{ю}} = \Phi_{\text{оп}}$  бурчакка буради, буни ҳолат датчиги  $XD$  қайд қиласи.  $\Phi_{\text{оп}}$  бурчакка мутаношиб бўлган сигнал қувват кучайтиргичи  $KK$  га, кейин ижрочи органга, яъни  $D$  двигателга келади, да двигатель юкланиш валини берилган  $\Phi_{\text{ю}} = \Phi_{\text{оп}}$  бурчакка буради да  $M_x = M_{\text{ю}}$  моментни ҳосил қиласи; ушбу момент моментлар датчиги  $MD$  билан ўлчанади ҳамда юқорида айтиб ўтилганидек, юклагич  $Ю$  томонидан қайд этилади, натижада оператор ҳаракатлантирилувчи обьектдан юкланиш катталағы ҳақида ахборотга эга бўлади.

Тақлид қилувчи манипуляторларда юкланиш валини оператор валинин берилган бурилиш бурчагига бурилиши учун сельсишли тақлидий сис-



11.19- расм

төмөдан (11.18-расм, б) ҳам фойдаланилади. Бу система валнинг бурилиш бурчагини масофага равон узатилишини таъминловчи ўз-ўзидан синхронланадиган электр машинадир. Сельсин-датчик (узаткич) ва сельсин-қабул қилгич үрамлари фақат индуктив тарзда боғланган статор ва ротор орқали битта электр тармогидан ток билан таъминланади. Сельсин-датчик ротори  $\Phi_{on}$  бурчакка бурилганда занжирдаги мувозанат ўзгарди ва мувозанатловчи токлар вужудга келиб, улар сельсин-қабул қилгич роторини  $\Phi_o \approx \Phi_{on}$  бурчакка буради; катта бўлмаган механик юкланишда  $\Phi_{on} - \Phi_o$  фарқи кам ( $1 - 2^\circ$ ) бўлади; агар юкланиш катта бўлса, кучайтиргичдан фойдаланилади, сельсин-қабул қилгич эса ҳаракатни фақат трансформатор тартибида бошқаради.

Бундай системаларнинг динамикаси анча мураккаб, чунки ҳаракат тенгламасида оператор вали билан боғлиқ бўлган келтирилган инерция моментлари  $J_{on}$  ва  $J_o$  ни, бўғинлар эластиклигини, механизмлардаги иш-қаланишни, электр машиналарининг динамик хусусиятларини ҳисобга олиши тўғри келади.

Масофадан бошқариладиган тақлид этувчи манипуляторларда симметрик турдаги қайтувчан тақлидий системалар қўлланилади. Улар кучларнинг актив қайтарилишини таъминлайди. Энг содда кўринишдаги ана шундай схеманинг варианти 11.19-расм, а да кўрсатилган. Ижрочи бўғин ва ҳаракатланувчи ёки қўзғалмас бошқариш бўғини  $M_o$  кўринишдаги момент билан юклangan бўлса, юкланиш томонидаги сельсин  $M_{x2}$  моментни вужудга келтиради, оператор томонидаги сельсин эса шу моментга тенг, аммо ишораси унга қарама-қарши бўлган синхронловчи  $M_{x1}$  моментни ёсоли қиласди. Натижада оператор ҳаракатга келтирилувчи обьект томонидан қўйилувчи ташки юкланишини фақат манипулятор

Чангали ҳаракатланган вақтдагина эмас, балки тұхтаб турғанида ҳам сезади. Бундай системаларнинг динамикаси жуда мұрақкаб болып, ҳаракат тенгламаси соф механик аналог ердамида түзілади ҳамда тадқиқ этилади (11.19-расм, б да аналогнинг динамик нусхаси көлтирилған). Бу ерда  $M_i$  момент тарзидаги ташқи юкланиш механизмдаги операторы болып билан, юкланиш вали билан бөргеланған механизмдер массаларнинг  $J_1, J_2, J_3$  көлтирилған инерция моментлари, юкламанинг үзининг моменти, әзартык узатмадаги қандайдыр ҳисобий с бикрлик тарзидаги сельсин үқлағын бурилиш бурчакларнинг мос эмаслиги, сельсиндер айланғанда вужудда келедиган динамик синхронловчи динамик  $M_{x_1}$  ва  $M_{x_2}$  моментларнинг  $M_1, M_2$  статик моментлар ҳамда  $k_1, k_2$  қовушоқ ишқаланиш коэффициентлари күрнишидеги айланыш тезлигига бөглиқтеги ҳисобга олилади ва ҳоказо. Бунда Сошқариш манипуляторнинг ҳар бир әркінлік даражасына күра амалға оширилишини назарда түтіп көрек (каранғ: Күлеңғаз В. С., Лакота Н. А. Динамика систем управлениі манипуляторами. М.: 1971).

### 11.8-§. Манипуляторлар динамикасининг баъзи масалалағы

Әркінлік даражалари сони бир нечта бүлгелер СР манипулятори фазовий механизмининг ҳаракат қонунини аниқлашда иккінчи тартибда Лагранж тенгламалари системасини татбиқ этиш мумкин:

$$\frac{d}{dt} \frac{\partial T}{\partial q_i} - \frac{\partial T}{\partial \dot{q}_i} = Q_i, \quad i = 1, 2, \dots, W, \quad (11.19)$$

Бу ерда:  $q$  — умумлашған координаталар;  $Q$  — умумлашған күчлар;  $W$  — механизмнинг әркінлік даражалари сони;  $T$  — бутун механизмнинг кинетик энергиясы.

(11.19) системани ечиб механизмнинг таъсир этувчи күчлар (харакатланырувчи ва қаршилик күчлар) таъсирида ҳаракатлануучи бүғинларнинг силжишларини, тезликларини, тезланишларини  $i$  вақт функциясыда аниқлаш мүмкін. Бу, манипулятор жүрітмаларнинг қувватини түгри тарапшы, уннан әнг катта ҳаракат тезліктарини, инерцион юкланишини, тезкорлығини аниқлаш учун зарур.

Манипулятор механизмнининг кинематик энергиясы  $T = \sum T_i$ , га тәнг, бу ерда  $T_i$  — танланған құзғалтас  $x^{(1)} y^{(1)} z^{(1)}$  координаталар системасыда (умумий ҳолда) фазовий ҳаракат қылувчи  $i$  бүғиннинг кинетик энергиясы (11.20-расм). Боси ушбу бүғин массалари маркази  $S_i$  нүктада әтуучи  $x^{(1)} y^{(1)} z^{(1)}$  координаталар системаси мәзкур бүғин билан бөргеланған бүлсін. Агар  $x^{(1)}, y^{(1)}, z^{(1)}$  координаталар үқлары улар бүғиннинг бош инерция үқлары буладынан қылғын, бинобарин,  $J_{xli}, J_{yli}, J_{zli}$  марказдан қочма инерция моментлари нолға айланадынан қылғын танланған бүлса, у ҳолда  $i$ -бүғиннинг кинетик энергиясы уннан массалар маркази траекториясы буйича  $v_{il}$  тезлик билан илгарылама ҳаракатланғандаги ҳамда массалар маркази атрофика сферик тарзда ҳаракатланғандаги кинетик энергияларнинг йығындисига тәнг бўлади:

$$T_i = \frac{1}{2} (m_i v_{il}^2 + J_{xi} \omega_{xi}^2 + J_{yi} \omega_{yi}^2 + J_{zi} \omega_{zi}^2), \quad (11.20)$$

бу ердат ти —  $i$ -бүгүннің мас-  
сасы;  $J_{x^i}$ ,  $J_{y^i}$ ,  $J_{z^i}$  — бүгүннің  
 $x^{(i)}$ ,  $y^{(i)}$ ,  $z^{(i)}$  координаты  
ларнага нисбатан инерция мо-  
ментлари;  $\omega_x^{(i)}$ ,  $\omega_y^{(i)}$ ,  $\omega_z^{(i)}$  — масса-  
лар марказыга нисбатан сферик  
тарзда харакатланғанда бүгүн-  
ний бурчак тезліги вектори-  
нинг  $x^{(i)}$ ,  $y^{(i)}$ ,  $z^{(i)}$  координаты  
ларнага проекциялары.

Шундай қылыб, (11.20) фор-  
мула бүгін билан бояланған,  
тәнланған координата үқлари  
бөш марказий инерция  
үқлары бұлған ҳолдағы-  
на татбик қылышади.

Q умумлашган күчлар фәқат битта умумлашган  $\varphi$ , координата  $\tilde{z}$ -гарган чоңда мүмкін бұлған сиљишиларда ҳамма ташқы күчлар бажарған ишларнинг умумлашган координата бажарған ишга тәнглиги шартыдан аниқланади:

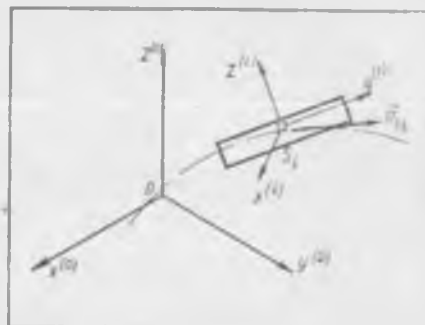
$$Q_i = \sum_{j=1}^n \left( F_{Jx} \frac{dx_j}{dJ_i} + F_{Jy} \frac{dy_j}{dJ_i} + F_{Jz} \frac{dz_j}{dJ_i} \right).$$

бу ерда:  $F_{Ix}$ ,  $F_{Iy}$ ,  $F_{Iz}$  — ташқи  $F_I$  күчлар векторларининг  $x^{(0)}$ ,  $y^{(0)}$ ,  $z^{(0)}$  координатага ўқшалып проекциялари;  $x_I$ ,  $y_I$ ,  $z_I$  —  $F_I$  күч қўйилган нуқтанинг координаталари.

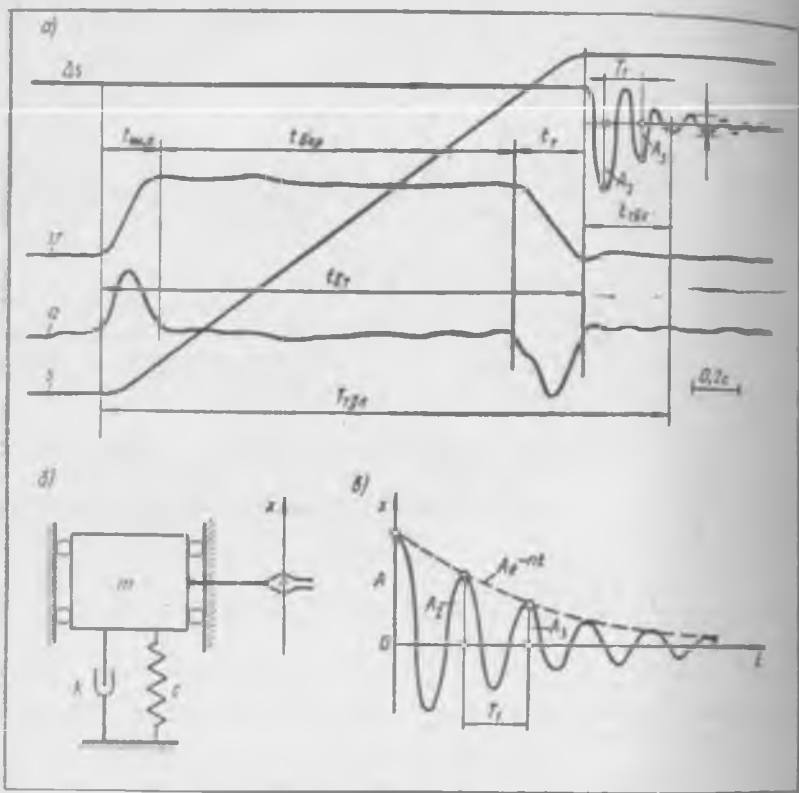
Манипулятор механизмининг ҳаракат қонунини аниқлашга доиралу майян масалаларни ечиш учун (11.19) дифференциал тенгламалар системалари тузилади ҳамда улар ракамли усулларда ечилади.

Иккинчи тартиблы Лагранж дифференциал тенгламалар системасини табиғи қылган ҳолда бундай ечишлар рақамли усул құлланылғанынға учунғина тақрибий бўлмайди. Бунда кинематик жуфтликлардаги ишқаланишни тахминан баҳолаш мумкинлиги бўғинчларнинг эластиклиги ҳамда кинематик жуфтликлардаги тирқишилар умуман ҳисобга олинмағанлыги учун ҳам ечимлар тақрибий бўлади. Шу сабабли СР шинг тажриба намуналарини ярғишида СР ни динамик тадқиқ этишининг тажриба усуллари құлланылади, чунки улар тегишли датчиклар ҳамда аппаратлар ёрдамида бўғинчларнинг силжиш, тезлик ҳамда тезланиш осциллограммаларини ёзиб олиш ва тажриба йули билан назарий ҳисоблаш хатоларини ҳамда олдинроқ назарда тутилмаган омилларнинг таъсирини ҳисобга олиш имконини беради.

Масалан, 11.21-расм, а да саноат роботларидан бирининг маълум бир юкни чангагллаган чангалини олдинга чўзган ҳолатдаги осциллограммасининг тахминий кўриниши келтирилган. Бу осциллограмма Е. Г. Нахапетян методикасига кўра ёзиб олинган ва иштаб чиқилган (қаранг: Нахапетян Е. Г. Оценка быстроходности механизмов позиционирования манипуляторов и ПР. — Вестник машиностроения. 1976,



11.20- РАСЧ



11.21-расм

2-сони: Экспериментальное исследование и диагностирование роботов (Е. Г. Нахапетян таҳририда, М.: 1981).

11.21-расм, а да:  $s(t)$  — реохордли датчик ёрдамида ёзиг олинган чангалниң сүлжини;  $v(t)$  — магнит индукцияси датчиғи ёрдамида ёзиг олинган чангалниң ҳаракат тезлиги;  $a(t)$  — инерцион турдагы акселе-рометр ёрдамида ёзиг олинган чангалниң тезланиши;  $\Delta s(t)$  — күлнинг юриши охирда у тұхтагидан сүнг тензометрик датчик билан ёзиг олинган чангалниң кичик сүлжиншлари (бір текисликда тебранишлары):

$t_{sh_o}$  — шигов олиш вақты;  $t_{bar}$  — барқарорлашкан ҳаракат вакты;  $t_r$  — тормозланиш вакты;  $t_{tgh_x}$  — робот күли тұхтагидан сүнг юкли чангалниң тұхташ (тиңчланиш) вакты;  $t_{b_r}$  — құл ҳаракатдан бошлаганидан тұхтагунига қадар ұтган умумий вакт;  $T_{tgh}$  — құл ҳаракатдан бошлаганидан тұла тұхтагунга қадар кетган түлиқ вакт (changalniң тиңчланиш вакты ҳам шу ҳисобда).

Үлчашлар натижасыда ҳаракатниң түрті параметрларини, масалан, зиян қоры тезлик ва тезланишларын, вакт оралықтарини, ҳақиқий сүл-

жиншларни, чангалнинг тинчланиш вақтини ва ҳолатни эгаллаш аниқ ингни аниқлаш мумкин.

Масалан, робот тұхтаган вақтдаги құлиниң динамик нусхасы сиғаттағы қизиқлы диссипатив осцилляторни (11.21-расм, б) қабул қылғыб, чангалнинг сүниб борувчи тебранишлари даври  $T_1$  га ҳамда  $\Delta s$  (!) әрине қизиқнинг  $A_2$ ,  $A_3$  амплитудаларыга күра сүнишнинг логарифмик дөкременти  $\delta = \ln(A_2/A_3)$  ҳамда сүндиріш коэффициенти  $n = 2\delta/T_1$  ии аниқлаш мумкин. Бу ҳолда әркін тебранишнинг дифференциал тенгламасынан фойдаланилади:

$$mx + kx + cx = 0,$$

екін

$$x + 2nx + p^2x = 0, \quad (11.21)$$

бу ерда:  $n = k/(2m)$  — сүндиріш коэффициенти;  $p^2 = c/m$ ;  $k$  — ішкіл мұхит ишқаланишини ва бүгінларнинг эластик тебранишлари ва деформацияланишларыда вужудға келдіктан қаршилик күчларини назарда тутивчи қовушоқ ишқаланишин ҳисоблаш коэффициенти;  $c$  — көлтирилған бикрлик;  $m$  — көлтирилған масса.

(11.21) тенгламаның ечімларидан бири:

$$x = Ae^{-nt} \sin(\varphi t + \alpha)$$

— вақт үтиши билан логарифмик қонуниятта асосан сүниб борувчи  $Ae^{-nt}$  амплитудады тебранишларнинг гармоник қонуны ( $x = x(t)$  вибромаси).  $n$  қанчалик катта бўлса, тебраниш шу қадар тез сунади (11.21-расм, в).

## 12- б о б

### ОЛИЙ ЖУФТЛИКЛИ МЕХАНИЗМЛАРНИ СИНТЕЗЛАШ УСУЛЛАРИ

Талаб құлинувчи ҳаракатларни таркибида фақат құйи кинематик жуфтликлар бўлган механизмлар (яғни пишанғы механизмлар) орқали амалта ошириш уларнинг кинематик схемаси мураккаблиги туфайлы ҳамма вақт ҳам мақсадга мувоғиқ бўла бермайди. Бундай ҳолларда талаб құлинувчи ҳаракатни кам соқли бўгінлар ёрдамида бажарувчи олий кинематик жуфтликли механизмлар қўлланилади. Бунда бўгінларнинг сони камидан учта бўлади: кириш ва чиқиш бўгінларни ҳамда стойка. Олий жуфтликли механизмларнинг яна бир мұхим афзалиги шундан иборатки, улар ҳаракатини назарий жиҳдаган индик ўзgartиртиб беради, құйи жуфтликли механизмлар эса бунчак талабин бажар олмайди.

Олий кинематик жуфтлиқ элементларининг олдиндан белгиланган ҳаракат қонуни таъминловчи юзалари туташ юзалар деийлади. Механизмларда Сир жуфт ёки бир неча жуфт туташ юзалар бўлиши мумкин. Масалан, узатиш функциясинос бериладиган қонуният бўйича чиқиш бўгіннинг илгарилама-қайтма ҳаракатини амалта оширувчи муштли механизмларда бир жуфт туташ юзалар қўлланилади. Тиши механизмларда бир нечта жуфт туташувчи юзалардан фойдаланилади, бундай механизмларда юзаларнинг уринини узлуксиз бўлганлиги сабабли чиқиш бўгіннинг узлуксиз ҳаракати таъминланади. Тиши механизмларнинг узатиш функцияси одатда доимий бўлади ва у узатиш нисбати деб аталади. Олий кинематик жуфтликли механизмларни синтезлаш методикаси бошқа усулларга нисбатан ўзинга хос томонларга ишлайди.

## 12.1-§. Илашманинг асосий теоремаси

Илашманинг асосий теоремаси ўзаро уринувчи (туташувчи) юзалар геометрияси билан олий кинематик жуфтлик элементларининг нисбий ҳаракати қонуни орасидаги боғланиши белгилаб беради. Текисликдаги илашмада илашманинг асосий теоремаси ўзаро уринувчи юзалар геометрияси билан уларнинг нисбий ҳаракатлари орасидаги боғланиши белгилайди.

Ўзаро уринувчи юзалар ва ўзаро уринувчи профилларни синтезлашга оид масалаларда нисбий ҳаракат қонуни берилган бўлади.

$$\bar{\omega}_2 = \bar{\omega}_1 + \bar{\omega}_{21}$$

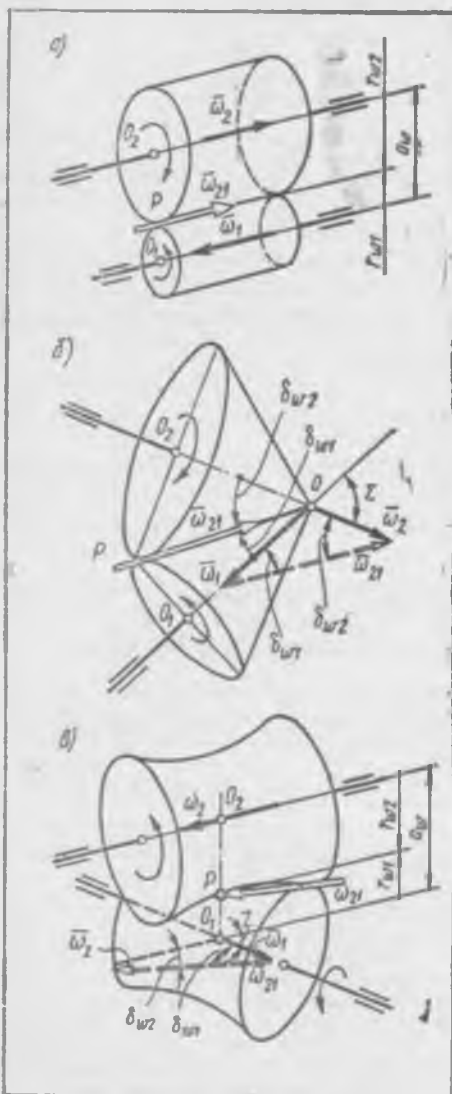
ёки

$$\bar{\omega}_{12} = \bar{\omega}_1 - \bar{\omega}_2 \quad (12.1)$$

муносабатларда  $\bar{\omega}_1$  ва  $\bar{\omega}_2$  бурчак тезлик векторлари маътум, бу ҳол  $\bar{\omega}_{12} = -\bar{\omega}_{21}$  нисбий бурчак тезлик векторларини топишга имкон беради.

$\bar{\omega}_1$  ва  $\bar{\omega}_2$  векторлар ўзаро параллел бўлиши, ўзаро бир нуқтада кесишини ёки айқаш бўлиши мумкин (12.1-расм).

Оний айланниш ўқлари ҳолатларининг асосий саноқ системасидаги геометрик ўрни қўзғалмас аксоид деб, ҳаракатланувчи жисмдаги ўрни эса қўзғалувчи аксоид деб аталади. Қўзғалмас айланниш ўқлари параллел жойлашганда (12.1-расм, а) ясочила-ри бўйлаб ўзаро уринувчи ҳамда бир-бирига нисбатан сирпамасдан думалаб ҳаракатланувчи  $r_{w1}$  ва  $r_{w2}$  радиусли цилиндрлар аксоид бўлади. Агар  $\bar{\omega}_1$  ва  $\bar{\omega}_2$  векторлар турли томонларга йўналган бўлса, у ҳолда аксоид цилиндрлар ташқи тарзда ўзаро уринади. Агар  $\bar{\omega}_1$  ва  $\bar{\omega}_2$  векторлар бир хил йўналишига



12.1 - расм

яга бўлса, у ҳолда аксоид цилиндрлар ичкни тарзда ўзаро уринади (қийик цилиндр катта цилиндрнинг ичидаги жойлашади).

Қўзғалмас ўқлари ўзаро кесишганда учларидаги бурчаклари  $2\delta_{w1}$  ва  $2\delta_{w2}$  га тенг бўлган иккита конус аксоид бўлади. Аксоид конусларнинг  $\delta_{w1}$  ва  $\delta_{w2}$  бурчаклари оний айланиш ўқининг асосий саноқ системасидаги ҳолатини белгилайди. Уларнинг қийматларини (12.1) муносабатнинг вектор ечими бўлган учбурчакдан синустар теоремаси орқали топиш мумкин (12.1-расм, б):

$$|\bar{\omega}_1|/\sin \delta_{w2} = |\bar{\omega}_2|/\sin \delta_{w1}.$$

$u_{12} = |\bar{\omega}_1|/|\bar{\omega}_2|$  узатиш нисбати қўйидаги муносабат орқали ифодаланади:

$$u_{12} = \frac{|\bar{\omega}_1|}{|\bar{\omega}_2|} = \frac{\sin \delta_{w2}}{\sin \delta_{w1}} = \frac{\sin(\Sigma - \delta_{w1})}{\sin \delta_{w1}} = \frac{\sin \Sigma}{\sin \delta_{w1}} - \cos \Sigma. \quad (12.2)$$

Ўқлар айкаш бўлганда бўғинларнинг нисбий ҳаракати винтсмон бўлади, яъни жисмнинг ҳаракати унинг бирор ўқ атрофида айланма ҳаракатидан ҳамда ана шу ўқка параллел йўналишдаги илгарилама ҳаракатидан ташкил топади. Бу ҳолда оний винт ўқи топилади. Агар  $\omega_1$  ва  $\omega_2$  бурчак тезликлар ўзгармас бўлса, ясовчилари тўғри чизик бўлган бир бўшлиқли айланувчи гипербололидлар бўғинларнинг нисбий ҳаракатидаги аксоидлари ҳисобланади. Улар бир-бiri билан оний винт ўқи бўйича уринган ҳолда юмалайди ҳамда ушбу ўқ бўйича ўзаро сирпанди.

Ушбу ўқлар орасидаги энг қисқа масофа чизиги 21.1-расм, в да  $O_1 O_2$  билан, унинг узунлиги эса  $a_w$  билан белгиланган. Ушбу чизиқда  $P$  нуқта жойлашган бўлиб, оний винт ўқи ана шу нуқтадан ўтади.

Винтнинг оний винт ўқига перпендикуляр кесимида  $P$  нуқта тезликларнинг ташкил этиучилари ўзаро тенг, яъни

$$r_w |\bar{\omega}_1| \cos \delta_{w1} = r_w |\bar{\omega}_2| \cos \delta_{w2},$$

бундан узатиш нисбатини аниқлаш формуласи келиб чиқади:

$$u_{12} = |\bar{\omega}_1|/|\bar{\omega}_2| = r_w \cos \delta_{w2}/(r_w \cos \delta_{w1}). \quad (12.3)$$

Нисбий айланиш бурчак тезлиги векторининг модули косинулар теоремасига асосан (12.1) вектор тенгламани ечиб аниқланади:

$$\omega_{21} = \sqrt{\omega_1^2 + \omega_2^2 + \omega_1 \omega_2 \cos \Sigma}.$$

Элементлари олий кинематик жуфтликни ҳосил қилувчи бўғинларнинг нисбий ҳаракат қонуни берилган бўлса, умумий ҳолда илашманинг асосий теоремасини қўйидагича ифодалаш мумкин: туташ юзаларнинг исталгак уриниши нуқтасида ҳар иккала уринувчи юзалар учун ягона нормаль мавжуд бўлади: у юзаларнинг кўрсатилган нисбий ҳаракатида уриниши нуқтасининг тезлик векторига перпендикуляр жойлашади.

Ушбу теоремани қўйидагича исботлаш мумкин. Агар ифодаланган шарт бажарилмаса, у ҳолда олий кинематик жуфтлик элементлари нисбий тезлигининг ташкил этиувчиси умумий нормаль бўйлаб йўналган бў-

лади. Бу ҳолда олий жуфтлик элементлари ё бир-бираидан ажралыши, ёки бир-бираига киришиб кетиши зарур, бу эса олий жуфтлик элементларининг ўзаро уриниш шартига эндири. Бундай фаразниш амалга ошуви мүмкін бўлмаганинги сабабли, ушбу ҳол илашма асосий теоремасининг исботи бўлади. Илашма асосий теоремасининг аналитик кўрнишларни қисқа ёзуви векторларнинг скаляр кўпайгаси кўнишида еънатган ҳамда  $\pi$  векторларнинг перпендикулярлиги шартига асосланади:

$$\bar{v}_r \cdot \bar{n} = 0,$$

бу ерда:  $\bar{v}_r$  — олий кинематик жуфтлик элементларига уринма тарзда жойлашган текисликдаги нисбий ҳаракатининг тезлик вектори,  $\bar{n}$  — уриниш нуқтасига ўтказилган умумий нормалдаги ягона вектор.

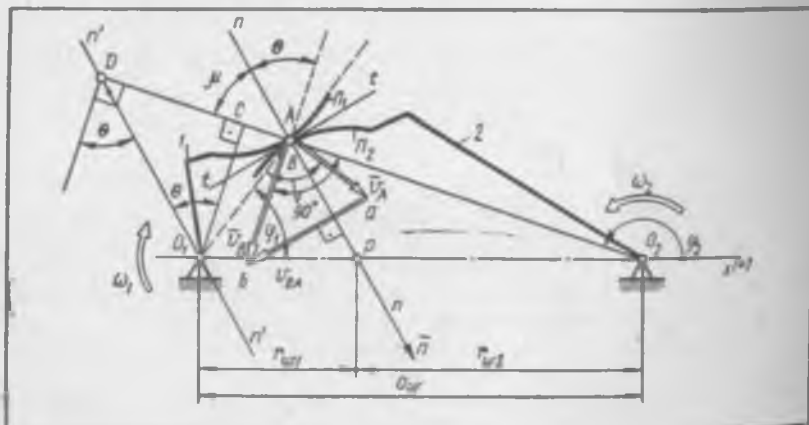
Текис илашманинг асосий теоремаси. Текис илашма асосий теоремасининг боясими инглиз олимни Виллис бўғинлар тезликлари нисбатини таҳтил қилиш асосида механизмлар таснифини (классификации) ишлаб чиқиш чоғида айтиб ўтган (қаранг: Willis R. Principles of mechanism. London, 1841). Замонавий талқинда ушбу теорема (Виллис теоремаси деб ҳам айтилади) қуйидагича изоҳланади: туташувчи юзаларнинг уриниш нуқтасига ўтказилган умумий нормаль илашманинг исталган ҳолатида илашиш қутби  $P$  нуқтадан ўтиши лозим; бу нуқтанинг  $O_1 O_2$  ўқларро чизикдаги ҳолати бўғинларнинг белгиланган нисбий ҳаракатига кўра аниқланади.

Қуйидаги (3.97) муносабати

$$u_{12} = \frac{\omega_1}{\omega_2} = \mp \frac{P O_2}{P O_1} = \mp \frac{r_{w2}}{r_{w1}} = \frac{a_2 - \bar{r}_{w1}}{r_{w1}} \quad (12.4)$$

га асосан, агар  $a_2$  ўқлараро масофа ҳамда  $u_{12}$  узатиш нисбати берилган бўлса,  $P$  қутбнинг ҳолати  $r_{w1}$  радиус орқали аниқланади.

Ифодаланган теоремани исботлаш мақсадида  $P_1, P_2$  профилларнинг (12.2-расм) У уриниш нуқтасидаги мос тарзда бўғинлар 1 ва 2 га тегишли бўлган A ва B нуқталарининг тезлик векторлари ҳамда улар орасидаги ушбу муносабатлар кўриб чиқлади:



12.2- расм

$$\bar{v}_B = \bar{v}_A + \bar{v}_{BA}$$

Векторларнинг йўналиши нуқталарнинг ҳаракатланиш шартига кўра аниқланади:  $\bar{v}_A \perp AO_1$ ;  $\bar{v}_B \perp BO_2$ ;  $v_{BA} \parallel t - t$  ёки  $\bar{v}_{BA} \perp n - n$ , бу ерда  $t - t$  ва  $n - n$  — уринувчи профиллар  $P_1$  ва  $P_2$  га ўтказилган умумий уринма ҳамда умумий нормал чизиқлар. Сўнгра  $O_1$  ўқ орқали умумий нормалга параллел бўлган  $O_1D$  чизиқ ўтказилиб ( $n' - n' \parallel n - n$ ), унинг  $O_1UD$  радиус билан кесишиш нуқтаси  $D$  аниқланади. Ҳосил бўлган  $\Delta O_1UD$ ,  $v_A$ ,  $v_B$ ,  $v_{BA}$  векторлардан ҳосил бўлган  $\Delta abU$  га ўхшашиб бўлади.

Учурчакларнинг ўхашлигидан қўйидагилар келиб чиқади:

$$\frac{\omega_1 V}{O_1 Y} = \frac{b Y}{D Y}, \text{ ёки } \frac{|\bar{v}_A|}{|\bar{v}_B|} = \frac{O_1 Y}{D Y}, \text{ ёхуд } \frac{\omega_1 r_A}{\omega_2 r_B} = \frac{r_A}{\mu_1 D Y}$$

$DY/YO_2 = O_1 P/PO_2$  бўлганлиги сабабли (бу ҳол  $DO_2 O_1$  бурчак томонларини иккита параллел чизиқ кесиб ўтиши шартидан келиб чиқади) ўрнига қўйишлар натижасида қўйидаги муносабат ҳосил бўлади:

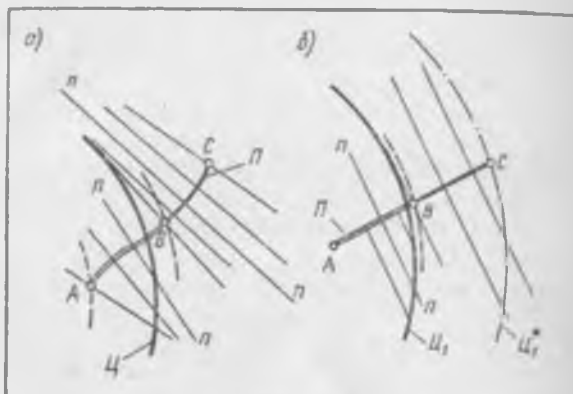
$$\frac{\omega_1}{\omega_2} = \frac{(r_B/\mu_1)}{DY} = \frac{YO_2}{DY} = \frac{PO_2}{PO_1}. \quad (12.5)$$

(12.5) муносабат (12.4) муносабат билан бир хил маънони ифодайди, бу эса  $n - n$  умумий нормалнинг илашиш кутби  $P$  дан ўтишини исботлайди. Баъзан исботлашнинг сошқача шакли қўлланилади. Бунда  $A$  ва  $B$  нуқталарнинг  $Y$  ҳослатда уринган пайтидаги  $v_A$  ва  $v_B$  абсолют тезлiliklari, ининг проекциялари кўриб чиқлади: улар  $P_1$  ва  $P_2$  профилларнинг уриниши бузилмаслиги, яъни ўзаро ажрагиб ёки бир-бирига киришиб кетмаслиги шартига кўра ўзаро тенг бўлиши лозим.

Илашма асосий теоремасининг таҳлилидан келиб чиқадики, узатиш функциясининг ўзгариш қонуни берилган булса, яъни  $P$  кутбнинг  $O_1O_2$  ўқлараро чизиқдаги ҳолатини белгиловчи центроидалар берилган бўиса, лойиҳачи уринувчи юзалар (профиллар) ининг геометриясини истаганча танлаш имкониятига эга бўлади. Исталган центроидалар жуфтига кўплаб туташ юзалар мос келади ва улар бўғинларнинг тезлик бурчаклари нисбатини талаб бурчаклари нисбатини талаоб этилгандек ўзгартиришга имкон беради.

Муйян шаклга эга бўлган профилларнинг у ёки бу жуфтини лойиҳачи қатор омилларга боғлиқ ҳолда танлаиди. Бу омилларга тайёрлаш технологияси (тайёрлаш усули, дастгоҳлар, қиркувчи асборлар, текшириш усуллари ва шу кабиллар), узатманинг илаш қобилияти («юкланиш қобилияти», юқори ФИК, профилларнинг кам ейилиши, ишончлилик ҳамда чидамлилк ва шу кабиллар), узатманинг тайёрлаш, йигиш ҳамда ишлатиш жараёнларида вужудга келган хатоликларга сезгирилиги киради.

Илашманинг асосий теоремасидан қўйидаги хуласа келиб чиқади: Уринувчи юзалар центроидаларга нисбатан шундай жойлашуви лозимки, бунда исталган уриниши нуқтасига ўтказилган нормал чизиқ илашиш кутби  $P$  дан ўтадиган бўлсин. Агар ушбу талаб бажарилмаса, бундай юзалар ўзаро уринувчи юзалар бўла олмайди. 12.3-расм, а да Ц цент-



12.3- расм

ронада ҳамда  $P$  юза (профиль) күрсатилган. Бу профилга бир неча  $n-n$  нормаллар ұтказилған.  $P$  юзаның  $AB$  қисмінде нормаллар  $\mathcal{N}$  центроидан кесиб ұтады,  $BC$  қисмінде жаңа нормаллар  $\mathcal{N}_1$  центроидада билан умумий нүктелерге әга бўлмайди. Бинобарин,  $P$  юзаның  $AB$  қисми учун ғазаро уринувчи нүктани топиш мумкин,  $BC$  қисми учун жаңа уринувчи юзани лойиҳалаш мумкин эмас. Бу ҳолда тишининг баландлиги чекланган бўлиши лозим (12.3-расм, а да тишлар учларининг чизиги шартли равишда  $B$  нүктадан үтувчи пунктнор чизик билан күрсатилган).

$P$  юзанинг тўғри чизиқ бўйича чизилган хусусий ҳоли учун (12.3-расм, б) ҳам шунга ғашаш фикр юритиш мумкин: юзаның  $AB$  қисмінде нормаллар  $\mathcal{N}_1$  центроидан кесиб ұтады,  $BC$  қисмінде жаңа нормаллар  $\mathcal{N}_1$  центроидада билан умумий нүктага әга бўлмайди. Бироқ, агар бошқа бир  $\mathcal{N}_1$  центроидада танланса (ёки тўғри чизиқни юза центроидага нисбатан бошкакча жойланса), у ҳолда юзанинг барча  $AC$  қисмига ұтказилган нормаллар  $\mathcal{N}_1$  центроидан кесиб үтишига эришиш, яъни  $AC$  юзанинг ҳамма қисми учун бошқа — ғазаро уринувчи юзани топиш мумкин бўлар эди. Илашманинг асосий теоремасидан келиб чиқадиган бу шарт зарур бўлса ҳам, баъзи ҳолларда у етарли бўлмайди, чунки бошқа чеклашлар ҳам мавжуддир.

З-бобда айтиб үтилганидек, бирор  $B$  нүктанинг  $\varphi_1$  умумлашган координата бўйича силжишининг биринчи ҳосиласи  $S_B$  дан иборат бўлган ҳаракат тезлигининг  $v_{\varphi B}$  узатиш функцияси исталған механизмнинг муҳим кинематик хусусияти ҳисобланаб, у умумлашган координатанинг ўзгариш вақтига ва қонунига боғлиқ бўлмайди:

$$v_{\varphi B} = dS_B/d\varphi_1 = v_B/\omega_1.$$

Айланма ҳаракат олий жүфтлик орқали узатилганда  $v_{\varphi B}$  кинематик узатиш функциясига аниқ бир геометрик тасвир бериш мумкин. Умумлашган координата сифатида бўғин 1 нинг бурилиши бурчаги  $\varphi_1$ , функ-

Дана сифатида эса етакланувчи бүгін  $2B$  нұқтасининг  $S_B$  сипатиши олинған бўлсин (12.2-расм).

Узатиш функцияси  $v_{qB} = v_B/\omega_1$  нинг СИ даги бирлиги м·рад<sup>-1</sup> дир. Уни мәханизм схемасыда  $\mu_q = [\text{мм}/(\text{м} \cdot \text{рад}^{-1})]$  масштабдаги бирор кесма күринишида тасвирилаш мумкин.

Харакат тезлиги узатиш функциясининг геометрик тасвири қўйнадиган ифодаланади:  $Y$  уриниш нұқтасига ўтказилган умумий  $n - n$  нормаль билан етакчи бүгін  $O_1$ , айланиш ўқи орқали  $n - n$  нормалга параллел тарзда ўтказилган  $n' - n'$  чизик орасида етакланувчи бүгін  $O_2$ , айланиш ўқи ҳамда  $Y$  уриниш нұқтасини туташтирувчи чизик давомидаги  $DY$  кесма  $v_{qH} = v_H/\omega_1$  узатиш функциясига тўғри мутаносибdir.

Ушбу теоремани исботлаш учун  $\Delta DYO_1$  ж.  $\Delta Yab$  учбурчаклар ўхшашлигидан фойдаланилади (12.2-расм):

$$\frac{YD}{Eb} = \frac{AO_1}{Aa} \text{ ёки } \frac{YD}{v_B} = \frac{AO_1}{v_A} = \frac{AO_1}{\omega_a} = \frac{\mu_l}{\omega_1}.$$

Зэргартишлардан сўнг ушбуни ҳосил қиласиз:

$$YD = \mu_l(v_B/\omega_1), \text{ ёки } YD = \mu_l v_{qB}.$$

Ушбу муносабатни асослаб бериш талаб этилган эди. Уринувчи юзаташнинг иктиёрий таңланган геометриясига кўра  $v_{qB}$  кинематик узатиш функцияси ўзгаради ва уни  $v_{qB}$ ,  $S_B$  ёки  $v_{qB}$ ,  $\varphi_2$  координаталарда гравийлик тарзда ифодалаш мумкин.

Шунга эътибор бериш лозимки,  $v_{qB}$  кинематик узатиш функциясига мутаносиб бўлган  $YD$  кесманинг уриниш нұқтасига нисбаган жойлашуви илашма схемасига боғлиқ бўлади. Ташқи илашмада  $P$  илашинш қутби  $O_1$  ва  $O_2$ , айланиш ўқлари орасида жойлашади, шунга кўра  $O_2D$  чизикдаги  $YD$  кесма ҳам  $O_2Y$  кесмага нисбатан ташқи томонда жойлашади.

$P$  илашинш қутби  $O_1O_2$  кесмадан ташқаридаги жойлашадиган ичкиси илашмада  $YD$  кесма  $O_2D$  чизикнинг ичкари томонидаги  $Y$  дан  $O_2$ га йўналган тарзда жойлашади. Баъзан қўйнадаги қондадан ҳам фойдаланилади: кириш бўғинининг  $\omega_1$  бурчак тезлиги йўналишида  $90^\circ$  га бурилган чиқиш бўғини  $2$  нинг  $v_B$  тезлик вектори кинематик узатиш функциясига мутаносиб бўлган  $YD$  кесманинг  $Y$  уриниш нұқтаси та же нисбатан жойлашувини билдиради.

## 12.2-§. Ўзаро уринувчи юзаларнинг сирпаниш тезлиги

Бўғинларнинг  $\omega_1$ ,  $\omega_2$  бурчак тезликлари, юзаларнинг сирпаниш тезлиги билан  $Y$  уриниш нұқтасининг  $P$  илашинш қутбидан бўлган масоға орасидаги муносабат қўйнадигача ифодаланади: олий жуфтликдаги ўзаро уринувчи юзаларнинг сирпаниш тезлиги  $Y$  уриниш нұқтаси билан  $P$  илашинш қутби орасидаги  $I_{yP}$  масофанинг юзаларнинг нисбий ҳаракатидаги  $\omega_{12} = \omega_1 - \omega_2$  бурчак тезликка кўпайтмасига teng (12.2-расмга қаранг).

Исботлаш мақсадида учбурчакларнинг ўхшашлиги  $\Delta Yab \approx \Delta O_1 YD$  кўриб чиқилади, бинобарин,

$$\frac{ab}{DO_1} = \frac{ya}{yo_1} \quad \text{ёки} \quad \frac{v_{csp}}{DO_1} = \frac{v_A}{yo_1}; \quad (12.6)$$

$\Delta DO_1 O_2 \approx \Delta YPO_2$  бинобарин,

$$\frac{DO_1}{yP} = \frac{O_1 O_2}{PO_2} = \frac{O_1 P + PO_2}{PO_2} = \frac{O_1 P}{PO_2} + 1 = \mp \frac{\omega_1}{\omega_1} + 1. \quad (12.7)$$

(12.6) муносабат (12.7) муносабатни ҳисобга олган ҳолда ўзгартирнилаб изланадиган сирпаниш тезлиги аниқланади:

$$v_{csp} = v_A \frac{DO_1}{yo_1} = \frac{\omega_1 r_A}{r_A \mu_q} \quad DO_1 = \frac{\omega_1}{\mu_1} \cdot yP \left( \mp \frac{\omega_2}{\omega_1} + 1 \right),$$

ёки

$$v_{csp} = \left( \frac{yP}{\mu_1} \right) \cdot (\omega_1 \mp \omega_2) = l_{yp} (\omega_1 \mp \omega_2). \quad (12.8)$$

(12.8) муносабат юқорида ифодаланган уринувчи юзаларнинг сирпаниш тезлиги тўғрисидаги теоремага мос келади.  $P$  илашиш қутбига юзалар орасида ишқаланиш бўлмайди.  $Y$  уриниш нуқтаси  $P$  илашиш қутбига нисбатан қанча узоқда жойлашса, сирпаниш тезлиги шу қадар катта бўлади. Лойиҳачи уринувчи юзаларнинг ейилиши сирпаниш тезлигининг функцияси эканлигини назарда тутиб, уринувчи юзаларнинг центроидаларга нисбатан шундай жойлашувини танлаши керакки, бунда сирпаниш тезлиги рухсат этилган қийматлардан ошиб кетмайдиган бўлсин.

Тишларининг ҳам каллаги, ҳам оёғи бўлган, яъни уринувчи юзалари центроидаларнинг иккала томонида жойлашган узатмалар энг кенг қўлланилади.

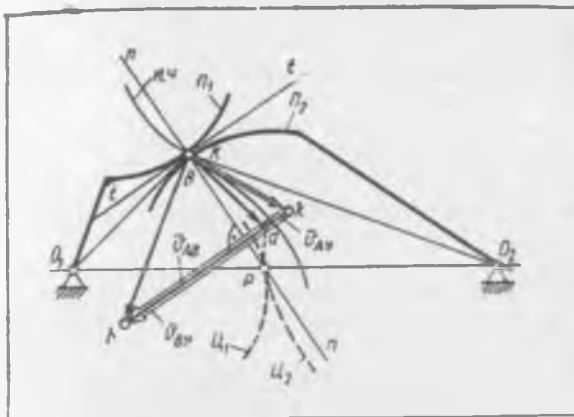
Баъзи ҳолларда тишларининг фақат каллаги ёки фақат оёғи бўлган уринувчи юзалардан фойдаланиш, яъни қутбга қадар, қутбдан кейин ёки қутбдан ташқари илашмали узатмаларни лойиҳалаш мумкин.

$P_1$  ва  $P_2$  юзалар (профиллар) нинг  $v_{csp} = v_{y1} = v_{yA}$  сирпаниш тезлиги бир хил бўлса ҳам, улар ҳар хил жадалликда ейилади. Шунинг учун ҳар бир  $P_1$  ва  $P_2$  профилнинг умумий  $Y$  уриниш нуқтасига нисбатан ҳаракатини кўриб чиқиши фойдалидир (12.4-расм):

$$\begin{aligned} \bar{v}_A &= \bar{v}_y = \bar{v}_{Ay}, \quad \text{ёки} \quad \bar{v}_{y1} = \bar{v}_y + \bar{v}_{y1y}; \\ \bar{v}_B &= \bar{v}_y + \bar{v}_{By}, \quad \text{ёки} \quad \bar{v}_{y2} = \bar{v}_y + \bar{v}_{y2y}. \end{aligned} \quad (12.9)$$

Умумий уриниш нуқтасининг  $v_y$  тезлиги вектори илашини чизиги (и. ч.) га ўтказилган уринма чизиқда ётади. Илашини чизиги  $P_1$  ва  $P_2$  юзаларнинг ўзаро ҳаракатидаги  $Y$  уриниш нуқталарнинг қўзғалмас текисликдаги геометрик ўрини бўлади (12.2-расмга қаранг).

$v_{y1y} = v_{Ay}$  ва  $v_{y2y} = v_{By}$  тезлик векторларининг йўналиши  $Y$  уриниш нуқтасидаги  $P_1$  ва  $P_2$  юзаларга ўтказилган умумий уринма  $t-t$  чизиқда ётади.



12.4- расм

12.4-расмдаги тезліклар планнан күрінішиндеги чызмалар (12.9) негізгі мүносабаттарға мөс келади

12.4-расмда күрсатылған олий жуфтлік геометриясынан күра  $P_1$ , юзаппаниң  $Y$  урининші нүктасынан нисбатан  $v_{Ay} = ak/\mu$ , сирпаниш тезлігі  $P_2$ , юзаппаниң  $Y$  урининші нүктасынан нисбатан  $v_{Ay} = kb/\mu$ , сирпаниш тезлігіндең қаралғанда алғаш паст. Бұ хол мұайян вактда  $P_2$ , юзаппаниң урининші нүктасынан нисбатан  $v_{Ay} = k^2b/\mu$ , сирпаниш тезлігіндең қаралғанда алғаш паст. Шунда күра, бошқа шароиттар үзгартылғанда оның қаралғанда үзгәреши билдиради. Шунда күра, бошқа шароиттар үзгартылғанда оның қаралғанда үзгәреши билдиради. Шунда күра, бошқа шароиттар үзгартылғанда оның қаралғанда үзгәреши билдиради. Шунда күра, бошқа шароиттар үзгартылғанда оның қаралғанда үзгәреши билдиради.

Юзаларнинг бир-бірінде нисбатан  $v_{Ay}$ , сирпаниш тезлігі ҳамда юзаларнинг умумий урининші нүктасынан нисбатан  $v_{Ay}$  ва  $v_{By}$  сирпаниш тезліклары уларнинг үзаро таъсирлашувы жараёнда донек үзгәриб турады, яғни урининші нүктаси  $P$  қутбга яқынлашкан сари нолгача камая боради, сунгра йұналишини үзгартырган ҳолда оша боради. Юзалар сирпанишниндең бундай хусусиятты олий кинематик жуфтлік элементтеріндең қараси турлы қысмаларнинг ейилиш жадаллігига таъсир қиласы (агар ейилиш асосан абразив таъсирінде болса).

Нисбий харакаттегі юзаларнинг сирпанишнини фақат сирпаниш тезлігіндең қыйматынан қараб бағолаш етарлы бүлмейді: урининші нүктасынан қараси турлы қысмаларнинг ейилиш жадаллігига таъсир қиласы (агар ейилиш асосан абразив таъсирінде болса).

Юзалар  $v_{Ay} = v_{By}$  сирпаниш тезлігіндең юзалардан  $A$  ва  $B$  нүкталарнинг  $Y$  умумий урининші нүктасынан нисбатан  $v_{Ay}$  ва  $v_{By}$  нисбий тезлікларига нисбатта мөс равища  $\lambda_A$  ва  $\lambda_B$  сирпаниш коэффициенттеріндең дейилділігі:

$$\lambda_A = v_{\text{спр}} / v_{Ay} \quad \text{ва} \quad \lambda_B = v_{\text{спр}} / v_{By} \quad (12.10)$$

Агар юза нүктасининг тезлиги уриниш нүктасининг илашини чизигидаги тезлиги билан мос бўлса, у ҳолда сирпаниш коеффициенти  $\lambda_A$  жиҳатдан чексизликка тенглашади. Бундай ҳол мушғли механизмларда олий кинематик жуфтлик элементларидан бирининг нүктасига айланган (уткирлашган) пайтда юз беради.

### 12.3-§. Олий жуфтлик орқали ҳаракат узатилишида босим бурчаги

Ўзаро таъсирашувчи юзаларнинг  $Y$  уриниш нүктасига ўтказилган умумий  $n - n$  нормалнинг ҳолати турли усуллар орқали кўрсатиб берилиши мумкин.  $n - n$  нормаль билан  $O_1$  ўқ ва  $Y$  уриниш нүктасини туаштирувчи  $r_A$  радиус-вектор орасидаги бурчак етакчи юза бурчаги дейилади (12.2-расмга қаранг).  $n - n$  нормаль билан  $O_2$  ўқ ва  $Y$  уриниш нүктасини туаштирувчи  $r_B$  радиус-вектор орасидаги бурчак  $\mu$  узатиш бурчаги дейилади.  $n - n$  нормаль билан етакланувчи бўғиннинг  $v_B$  тезлик вектори орасидаги бурчак  $\theta$  босим бурчаги дейилади. Олий жуфтликини механизмларни лойиҳалашда ушбу бурчаклар муҳим аҳамиятга эга. Айниқса куч ва моментларни узатиш шартларини ҳисобга олишга ҳамда шу муносабат билан баъзи чеклашларни белгилашга тўғри келади. Масалан, босим бурчагига доир  $\theta < \theta_{p,2}$  тарздаги чеклашлар кўп қўлланилади: бунда ўзгарувчи  $\theta$  босим бурчаклари рухсат этиладиган  $\theta_{p,2}$  қийматдан ошиб кетмаслиги лозим.  $\theta$  босим бурчаги билан механизмнинг кинематик параметрлари орасидаги боғланиш қўйидагича аниқланади. 12.2-расмдаги схемадан қўйидагиларни ёзиш мумкин:

$$\operatorname{tg} \theta = DC/CO_1 = (AD - AC)/CO_1 = [AD - (CO_1 - BO_2)]/CO_1,$$

бу ерда  $CO_1 - O_1$  марказдан  $O_2D$  нурга туширилган перпендикуляр. Ушбу ифодага кесмаларнинг

$$AD = \mu_1 (v_B/\omega_1); \quad BO_2 = \mu_1 r_B;$$

$$CO_1 = O_1 O_2 \sin \varphi_2 = \mu_1 a_w \sin \varphi_2;$$

$$CO_2 = O_1 O_2 \cos \varphi_2 = \mu_1 a_w \cos \varphi_2$$

қийматларини қўйган ҳолда қўйидаги кўринишдаги формулатни ҳосил қилиш мумкин:

$$\operatorname{tg} \theta = \frac{(v_B/\omega_1) - (a_w \cos \varphi_2 - r_B)}{a_w \sin \varphi_2}. \quad (12.11)$$

(12.11) формуладаги  $v_B/\omega_1$ ,  $r_B$  ва  $\varphi_2$  катталиклар ўзгарувчандир.

Агар олий жуфтликини механизмдаги бўғин 2 хусусий ҳолда тўғри чизикли-илгарилама ҳаракат қилса, у ҳолда (12.11) формула ҳам хусусий кўринишга эга бўлади:

$$\operatorname{tg} \theta = \frac{(v_B/\omega_1) \mp e}{S_n + S_B}, \quad (12.12)$$

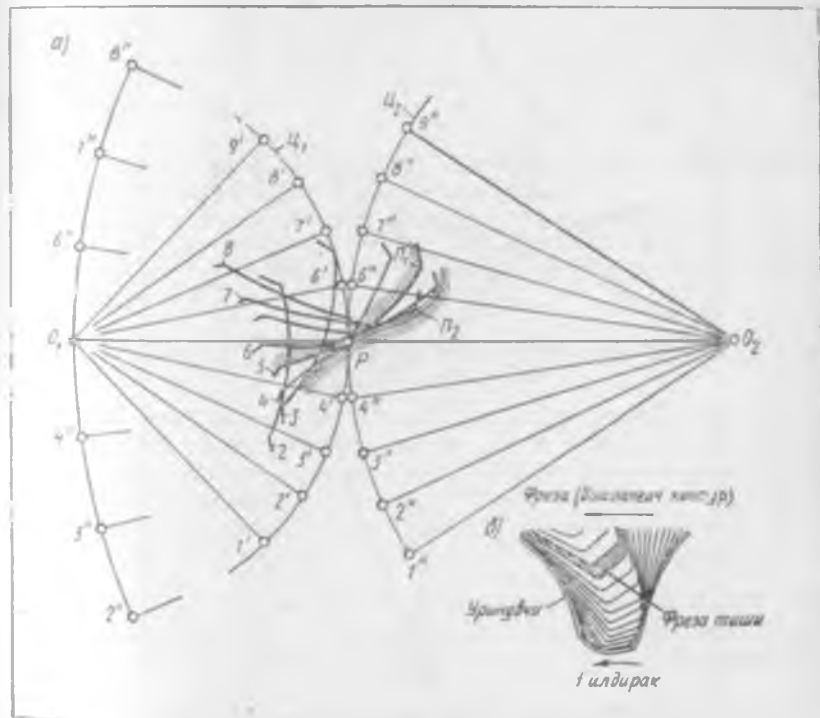
бы ерда  $e$  — ўқдан четта чиқыш, яғни етакланувчи бүгіннің үқининг етакчи бүгіннің айланыш үқига нисбатан суриттанлиги;  $S_e + S_r = u_B$  — етакланувчи бүгіндеги нүктаның координатасы бўлиб, бунда координаталар боши етакчи бүгіннің айланыш үқидаги жойлашади ҳамда етакланувчи бүгін координата ўқларига нисбатан илгарилама ҳаракат қиласди.

Ө босим бурчаги ҳақидаги теоремани қўйидагича ифодалаш мумкин: айланма ҳаракат олий жуфтликли оддий текис механизм орқали узатилганда босим бурчаги  $v_{AB} = u_B/\omega_1$  узатиш функциясига,  $a_{\omega}$  ўқлараро ма-соғлагча ҳамда етакланувчи бүгіннің уринини нүктаси  $r_{B_2}$  ва  $\Phi_2$  координаталарига боғлиқ бўлади ва (12.11) муносабатга кўра аниқланади.

Баъзи хусусий ҳолларда ўзаро уринувчи сиртлар воситасида ҳаракатини узатиш ўзгармас босим бурчаги орқали амалга оширилиши мумкин.

#### 12.4-§. Туташ юзаларни синтезлашнинг график усуллари

Юзаларнинг кетма-кет ҳолатлари усули. Ўзаро уринувчи  $P_2$  юзани берилган  $P_1$  юзага кўра кетма-кет ҳолатлар усулида аниқлаш (12.5-расм). а)  $\mathcal{C}_1$  центроиданинг қўзгалмас  $\mathcal{C}_2$  центроидага нисбатан ҳаракатини ўзгартишдан,  $P_1$  юзанинг қатор ҳолатларини чизишдан ва уларга уринув-



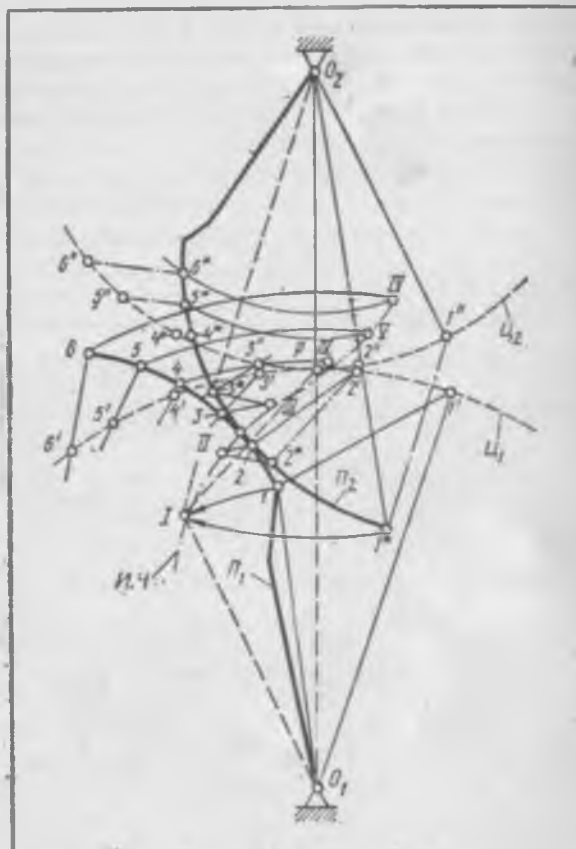
12.5- расм

чи эгри чизиқ ўтказишдан иборат. Ўтказилган уринма иззанаётган  $P_1$  юза бўлади.

$O_1$  ва  $O_2$  центроидатар бир-бирига нисбатан сирпамасдан юмалайди. Шу сабабли центроидаларнинг мос тарздаги қисмлари ўзаро тенг бўлиши лозим:  $P1' = P1''$ ;  $P2' = P2''$ ;  $P3' = P3''$ ; . . .;  $P8' = P8''$ ;  $P9' = P9''$  ёки  $1'2' = 1''2'$ ;  $2'3' = 2''3'$ ; . . .

Ҳаракат тескарига ўзгартирилганда  $O_11'$ ;  $O_22'$ ;  $O_33'$ ; . . .;  $O_88'$ ;  $O_99'$  нурлар кетма-кет  $1''1$ ,  $2''2$ ,  $3''3$ , . . ., ҳолатларни эга лайди.  $P_1$  юзани  $O_1O_3$  чизиқка нисбатан белгилаб, унинг кетма-кет ҳолатларини чизиш мумкин. Масалан, ҳаракат ўзгартирилганда  $O_1O_2$  чизиқнинг ҳолатлари мос равнешда  $O_21''1$ ,  $O_22''2$ ,  $O_23''3$ , . . .,  $O_28''8$ ,  $O_29''9$  ва ҳоказо ҳолатлар билан мос келади.  $P_1$  юзанинг бир қанча кетма-кет ҳолатларига уйинувчи умумий эгри чизиқ иззанаётган  $P_1$  юза бўлади.

12.5-расм, б да асбоб бошлилангич контурининг ҳамда эвольвентали



21.6-расм

тишди гилдиракнинг илашмасини тадқиқ этиш мақсадида бажарилган чизматар тасвирланган.

Нормалларининг ҳолатларига кўра ўзаро уринувчи юзаларни ясаш усули (Рело усули). Ушбу усул илашманинг асосий теоремасига асосланган бўлиб, берилган  $P_1$  юза нормалларининг ҳолатларини аниқлаш осон бўлган ҳолларда қўлланилади (12.6-расм).

$P_1$  юзада бир қанча  $1, 2, 3, \dots, 6$  нуқталар танланади. Сунгра ҳар бир нуқтадан юзага нормаллар ўтказилади ва уларнинг центроиди билан  $1', 2', 3', \dots, 6'$  кесишув нуқталари белгиланади.  $C_1$  ва  $C_2$  центроидалар ўзаро сирпанимасдан ҳаракатланади, шу сабабли  $C_2$  центроидада  $\overline{P1''} = P1'; \overline{P2''} = P2'; \overline{P3''} = P3'; \dots; \overline{P6''} = P6'$  шарт бажариладиган қилиб мос тарздаги  $1', 2', 3', \dots, 6''$  нуқталарни аниқлаш мумкин. Бу нуқталар  $P$  кутбдан ўтаетганда  $C_1$  центроиданинг  $1', 2', 3', \dots, 6'$  нуқталари билан уринади. Юзалар уриниш нуқталарининг қўзғалмас текнисикдаги ҳолатларини  $11' O_1; 22' O_1; 33' O_1; \dots; 66' O_1$  учбурчакларни  $O_1$  ўқ атрофида буриш орқали осонгина топиш мумкин. Бунда мос тарздаги  $11'; 22'; 33'; \dots; 66'$  нормаллардан тегишиси албатта тегишли  $PIO_1; PIIO_1; PIIO_1; \dots; PIVO_1$  кутбдан ўтади. I; II; III; \dots; IV илаиш нуқталарининг геометрик ўрни илашиш чизифи (и.ч.) субстанади.

$P_1$  ва  $P_2$  юзаларга ушбу ҳолатларда ўтказилган тегишили нормаллар умумий бўлади. Агар нормалларни  $O_2$  ўқда мос тарздаги бурчакларга бурсак, у ҳолда улар  $1^* 1'; 2^* 2'; \dots; 6^* 6'$  ҳолатларни эгалтайди. Бунда  $IPO_2; IIPO_2; \dots; VIPO_2$ , учбурчаклар  $1^* 1'' O_2; 2^* 2'' O_2; \dots; 6^* 6'' O_2$ , ҳолатларга бурилади.

Ясаш натижасида ҳосил бўлган  $1^*, 2^*, 3^*, \dots, 6^*$  нуқталарни равон эгри чизик орқали туташтириб, берилган  $P$ , юза билан ўзаро уринувчи изланаштеган  $P$ , юза ҳосил қилинади.

Бинобарин, ўзаро уринувчи юзаларни Рело усули билан ясаш илашиш чизиги ҳақидаги, яъни уриниш нуқталарининг стойка билан боғланган қўзғалмас координаталар системасидаги геометрик ўрни тўғрисидаги тушунчадан фойдаланишга асосланган.

## 12.5-§. Юзалар илашмасининг асосий дифференциал тенгламаси

Илашманинг асосий теоремаси билан аниқланадиган уринувчи юзаларининг ўзаро таъсирлашин шарти аналитик кўринишда келтирилиши мумкин. Гурли соҳаларда қўлланиладиган постандарт узатмаларининг назарий асоси бўлган илашмаларни лойиҳалаш ҳамда тадқиқ этишда, уриниш усули бўйича ишлайдиган қирқувчи асбобининг профилини ҳосил қилишда ва ҳоказоларда аналитик кўриниш фойдалироқ, ҳатто афзалроқ бўлади.

$P_1$  юза аниқ бўлгани  $y^{(1)} = f_1(x^{(1)})$  тенглама орқали  $O_1 x^{(1)} y^{(1)}$  координаталар системасида (3.45-расмга қаранг) берилган бўлсин.

Ўзаро уринувчи юзаларининг  $B$  уриниш нуқтаси орқали ўтувчи  $n - n$  нормалнинг тенгламаси қўйилаги кўринишга эга:

$$(x^{(1)} - x_B^{(1)}) + f'(x^{(1)})_B (y^{(1)} - y_B^{(1)}) = 0, \quad (12.13)$$

бу ерда:  $f'(x^{(1)})_B = (d_y^{(1)}/dx^{(1)})_B$  —  $B$  нүктадаги уринмашынг бурчак коэффициенти;  $x^{(1)}, y^{(1)}$  — нормалдаги нүктанинг қозирги координаталари;  $x_B^{(1)}, y_B^{(1)} = O_1 x^{(1)} y^{(1)}$  системасидаги юзалар  $B$  уриниш нүктасининг координаталари.

Илашмаларнинг асосий теоремасынга мувофиқ  $n - n$  нормаль координаталари қойындарига тенг бўлган  $P$  кутбдан ўтиши лозим:

$$x_P^{(1)} = r_{\omega_1} \sin \varphi_{10}, \quad y_P^{(1)} = -r_{\omega_1} \cos \varphi_{10}. \quad (12.14)$$

(12.13) тенглама қойындарига ёзилади:

$$\operatorname{tg} \varphi_P = \left( \frac{dy^{(1)}}{dx^{(1)}} \right)_B = -\frac{x_B^{(1)} - x_P^{(1)}}{y_B^{(1)} - y_P^{(1)}} = \frac{x_P^{(1)} - x_B^{(1)}}{y_P^{(1)} - y_B^{(1)}}. \quad (12.15)$$

(12.14) муносабатни ҳисобга олган ҳолда (12.15) тенгламани қойындарига кўринишда ёзиш мумкин:

$$(x_B^{(1)} - r_{\omega_1} \cos \varphi_{10}) + (dy^{(1)}/dx^{(1)})_B (y_P^{(1)} + r_{\omega_1} \sin \varphi_{10}). \quad (12.16)$$

Ўзаро уринувчи профиллар илашган пайтда берилган  $\Pi_1$  юзага  $P$  кутбдан ўтувчи нормалнинг бу тенгламаси баъзан дифференциал кўринишдаги илашма тенгламаси дейиллади.

Центронданинг  $r_{\omega_1}$  радиусини  $a_{\omega}$  ўқлараро масофа замда  $u_{21} = \omega_s/\omega_1$  узатиш нисбати ёрдамида қойындариги муносабат орқали ифодалаш мумкин:

$$r_{\omega_1} = a_{\omega} \frac{u_{21}}{u_{21} + 1}. \quad (12.17)$$

(12.17) муносабатни (12.16) га қўйиб ушбу кўринишга келтириш мумкин:

$$\begin{aligned} x_B^{(1)} + u_{21} (x_B^{(1)} - a_{\omega} \cos \varphi_{10}) + (dy^{(1)}/dx^{(1)})_B \times \\ \times [y_B^{(1)} + u_{21} (y_B^{(1)} + a_{\omega} \sin \varphi_{10})] = 0. \end{aligned} \quad (12.18)$$

Юзалар илашмасининг (12.18) дифференциал тенгламаси узатманинг берилган параметрлари:  $a_{\omega}$  ўқлараро масофа,  $u_{21}$  узатиш нисбагига кўра ва  $\Pi_1$  юзалардан бирининг тенгламаси:  $y^{(1)} = f(x^{(1)})$  га кўра  $\varphi_{10}$  бурчакни аниқлашга имкон беради.

У уриниш нүктасининг координаталари стойка билан боғланган  $O_1 x^{(1)} y^{(1)}$  қўзғалмас координаталар системасида қойындариги кўринишдаги матрица тенгламасидан координаталарни ўзgartиринш орқали аниқланади:

$$\bar{\Gamma}_v^{(0)} = M_{10} \bar{\Gamma}_B^1, \quad (12.19)$$

Бу ерда:

$$\bar{\Gamma}_v^{(0)} = \begin{vmatrix} x_v^{(0)} \\ y_v^{(0)} \\ 1 \end{vmatrix}; \quad \bar{\Gamma}_B^1 = \begin{vmatrix} x_B^{(1)} \\ y_B^{(1)} \\ 1 \end{vmatrix}; \quad M_{10} = \begin{vmatrix} \cos \varphi_{10} & -\sin \varphi_{10} & 0 \\ \sin \varphi_{10} & \cos \varphi_{10} & 0 \\ 0 & 0 & 1 \end{vmatrix}.$$

У нүктанинг изланаётган координаталари илашши ҷизигининг уриниш нүкталари геометрик бирининг тенгламаси билан аниқланади

$$\begin{aligned}x_B^{(0)} &= x_B^{(1)} \cos \varphi_{10} - y_B^{(1)} \sin \varphi_{10}; \\y_B^{(0)} &= x_B^{(1)} \sin \varphi_{10} + y_B^{(1)} \cos \varphi_{10}.\end{aligned}\quad (12.20)$$

Берилган  $P_1$  юзага уринувчи бүлган  $P_2$  юзадаги  $B$  нүкта координаталарн ҳам ёзишининг матрица шаклидан фойдаланган ҳолда аниқланади. Бунда  $O_1x^{(0)}y^{(0)}$  құзғалмас координаталар системасидан  $O_2x^{(2)}y^{(2)}$  құзғалуучан координаталар системасига ўтиш орқали координаталарни үзгартырыш усулидан фойдаланилади:

$$\bar{\Gamma}_B^{(2)} = M_{02} \bar{\Gamma}_B^{(0)}, \quad (12.21)$$

бу ерда

$$\begin{aligned}\bar{\Gamma}_B^{(2)} &= \begin{vmatrix} x_B^{(2)} \\ y_B^{(2)} \\ 1 \end{vmatrix}; \quad \bar{\Gamma}_B^{(0)} = \begin{vmatrix} x_B^{(0)} \\ y_B^{(0)} \\ 1 \end{vmatrix}; \\M_{02} &= \begin{vmatrix} \cos \varphi_{20} & -\sin \varphi_{20} & a_w \cos \varphi_{20} \\ \sin \varphi_{20} & \cos \varphi_{20} & a_w \sin \varphi_{20} \\ 0 & 0 & 1 \end{vmatrix}.\end{aligned}$$

Тенгламанинг узил-кесил күрниси қуйндагича:

$$\begin{aligned}x_B^{(2)} &= x_B^{(0)} \cos \varphi_{20} + y_B^{(0)} \sin \varphi_{20} - a_w \cos \varphi_{20}; \\y_B^{(2)} &= -x_B^{(0)} \sin \varphi_{20} + y_B^{(0)} \cos \varphi_{20} + a_w \sin \varphi_{20}.\end{aligned}\quad (12.22)$$

Сүнгги ифодадаги  $\varphi_{20}$  бурчак қуйндаги муносабатдан аниқланади:

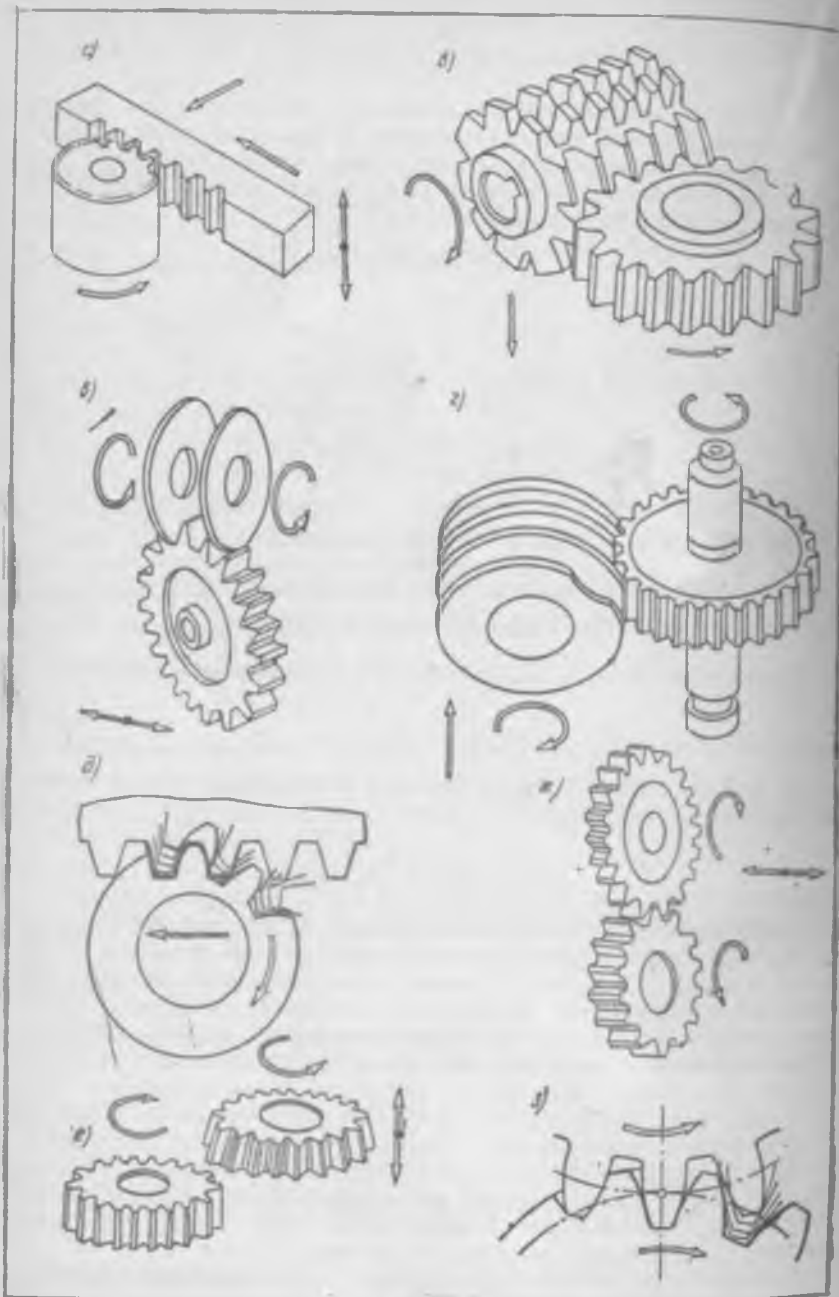
$$\varphi_{20} = \int_0^{\varphi_{20}} u_{21} d\varphi_{10}. \quad (12.23)$$

$u_{21}$  узатиш нисбати үзгармас бүлганды бу муносабат хусусий ҳолга келтириләди:  $\varphi_{20} = u_{21}\varphi_{10}$ .

## 12.6-§. Ясовчи сиртлар

Олни кинематик жуфтлик элементларининг геометрик параметрлариниң исебалашда шакллантирувчи дастгоҳлар (металл қиркувчи дастгоҳлар, прокат станлари, пресслар ва ҳоказо) нинг технологик имкониятлари өттиборга олинади. Мөс тарздаги шакллантирувчи асбобининг геометрияси яловчи сиртлар билан чамбарчас боғлиқ бўлади. Шакллантириш жараёнини қиринди қирқиб олиш йўли билан амалга оширувчи асбоблар учун ясовчи сирт шундай хаёлий сирт бўладики, асбобининг қирқиши учун зарур бўлган асосий ҳаракатида унинг қиркувчи қирралари ана шу сиртдан четга чиқмайди. Агар қиркувчи қирралар тўғри, унинг асосий ҳаракати эса тўғри чизиқли бўлса, у ҳолда ясовчи сирт текислик бўлади. Агар қиркувчи қирралар эгри чизиқли бўлиб, унинг асосий ҳаракати тўғри чизиқли бўлса, у ҳолда ясовчи сирт цилиндрисимон юза (масалан, долбякларининг эволъвентали сиртлари) бўлади.

Лойиҳаланувчи тишининг ясовчи сирт билан илашмаси дастгоҳ илашмаси дейилади. Бу атама эволъвентали узатмалар илашиш назар-



тишнинг асосий қондаларини умумлашгирган ҳамда ривожлантирган яхрик олим В.А. Гавриленко томонидан таклиғ қилинган [13].

Дастгоҳ илашмасининг можияти қуйидагича: ясовчи сирт (асбоб қиркувчи қирраларининг сирти) ҳамда тишнинг («тиш қирқиётган» гилдиракнинг) лойиҳаланувчи сиртшининг бир-бирига нисбатан ҳаракатини аксоид сиртлар ўзаро таъсирласганда тишили гилдираклар бир-бирига илашганда оладиган ҳаракатга ухшатши мумкин.

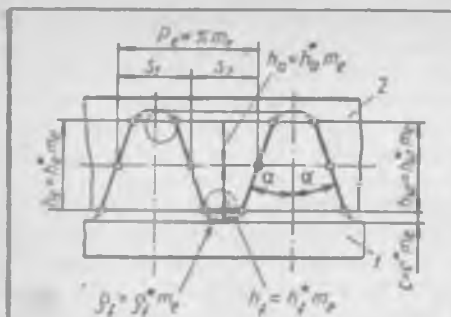
Цилиндрсиз тишли гилдираклар қирқишида ясовчи гилдиракнинг (яни ён сиртлари ясовчи сиртлар бўлган тасавурдаги тишли гилдиракнинг) ва лойиҳаланаётган («тиш қирқиётган») гилдиракнинг ўқлари ўзаро параллел жойлашади ва цилиндрлар аксоидлар бўлади. Агар ясовчи гилдирак чекланган миқдордаги тишларга эга бўлса, у ҳолда қиркувчи асбоб сифатида долбяқ (12.7-расм, е), абразив хон (12.7-расм, ж) ишлатади: улар ёрдамида тишларининг сони турлича бўлган гилдираклар тишлигининг ён юзаларига (12.7-расм, з) ишлов бериш мумкин. Ясовчи гилдирак аксоидасининг радиуси чекониз катта бўлганда асбоб ҳам чексиз кўп миқдордаги тишларга эга бўлади, яни у рейлагга айланади. Бу ҳолда қиркувчи асбоб вазифасини одатда червякли фреза (12.7-расм, б) ёки червякли абразив доира (12.7-расм, г) утайди. Уларда рейка асимон ясовчи контур (12.7-расм, д) винтсиз сирт буйтаб жойлашади. Тиш қиркувчи тароқ (12.7-расм, а) ёки бир жуфт тарелкасимон жилвирилаш доиралари (12.7-расм, в) куринишидаги асбоблар ҳам қўлланилади. Долбяқ, тароқ ҳамда абразив хоннинг қирқишдаги асосий ҳаракати илгарилама ҳаракат, червякли фреза ҳамда жилвирилаш доираларини эса айланма ҳаракатиди.

Қамраб ҳаракатланиш жараёнида асбобининг юза нормали бўйича асосий қадами лойиҳаланувчи («тиш қирқиувчи») гилдиракнинг асосий қадамига мос келади. Қамраб ҳаракатланиш жараёнида бир тищдан бошқа тишининг шаклини ҳосил қилишга ўтиш узлуксиз нисбий ҳаракат давомида (12.7-расм, д, з) автоматик тарзда амалга ошади.

Ўзи ҳам мансуб бўлган тишли гилдираклар оиласидаги тишлигининг шакл ва ўлчамларини аниқлаш учун асос қилиб олинган рейкасимон контур бошланғич контур дейилади. Бошланғич контур тиш қиркувчи асбобининг ҳамда тишли гилдиракларининг геометриясини белгилагани учун у стандартлаштирилади.

Конуссимон узатмаларни лойиҳалашда ясовчи сиртларининг аксоидлари конуссимон сиртлар бўлган дастгоҳ илашмаларидан фойдаланилади. Ясовчи гилдирак ҳамда лойиҳаланувчи («тиш қирқиувчи») гилдираклар аксоид конусларининг ўқлари ўзаро кесишади. Ҳисоблашда ясовчи гилдиракларнинг аксоидаси айланиш ўқи аксоидга учидан утувчи текислик бўлган хусусий ҳоллар куп учраб туради. Текис аксоидати гилдирак назарий бошланғич текис гилдирак деб аталаади. Ана шундай бошланғич текис гилдирак кўндаланг кесимининг ёйилмаси назарий (номинал) бошланғич контур деб аталаувчи шартли рейка тишлигининг контурига эга бўлади.

Исталган тишли илашманни ҳисоблашда иккита дастгоҳ илашмасидан фойдаланилади. Уларнинг бирида ясовчи гилдираклар, бошқасида эса қамрама ясовчи механизмлар бўлади. Агар ясовчи сиртларни бир-бирининг устига қўйгандага улардаги ҳамма нуқталар ўзаро устма-уст туша-



12-8-расм

Ясовчи жуфтлик асосида илашма назариясини яратиш ғояси Т.Оливье-нинг 1877 йили эълон қилинган «Илашмалар тўғрисидаги масалаларни ҳал қилишининг аналитик усули» номли илмий ишида илгари сурйланган. Бу ғоядан Н.Э. Бауман номидаги Москва олий техника битим юртида В.А. Гавриленко раҳбарлигига эволвентали илашма назариясини ишлаб чиқиша аниқ ва изчил равишда фойдаланилди.

Агар конгруэнтли ясовчи жуфтликдан фойдаланилса, ишловчи илашмади интерференция ҳодисаси бўлмайди. Ясовчи жуфтлик тишлар ён сиртларининг чизиқ бўйича ўзаро уринишни таъминлайди, чунки оний дастгоҳ уринни чизиқлари устма-уст тушади.

Ясовчи юзатари конгруэнт бўлмаган жуфтликлардан фойдаланилганда узатмада ўзаро уриниш нуқта тарзида ҳам, чизиқ тарзида ҳам юз берини мумкин; бундан ташқари, тишлар ён сиртларининг интерференцияси соидири бўлини ҳам эҳтимолдан ҳоли эмас. Бундай ҳолларда лойин-ҳаланувчи узатмани у ёки бу кўрсаткичларига кўра қўшимча равишда таҳлил қилиш зарур.

## 13- б о б

### ЦИЛИНДРСИМОН ТИШЛИ УЗАТМАЛАР

Ўзлуксиз айланма ҳаракатни бир валдан бошқаснга берилгай узатиш нисбати билан узатиш кўпинча тишли механизмлар ёрдамида амалга оширилади. Тишли механизмлар юқори даражада ишончли илашма ҳамда берилганд ҳаракат қонунини аниқ бажариши үзифали машинасозлиги ва асбобсолизикда жуда кенг қўлланилади. Агар валларининг айланниш ўқлари параллел бўлса, гидравликларининг аксондалари шинлинглар бўлган цилиндрысмон тишли узатма қўлланилади (12.1- §). Бундай узатма текис механизмлар туркумига киради. Ушбу бобда цилиндрысмон тишли узатмани берилган узатиш нисбатига кўра синтезлаш асослари баён қилинади. Бу асослар тишли узатмани геометрия: ҳисоблаш деб аталади.

#### 13.1- §. Тишли гидравлик элементлари

Цилиндрысмон тишли узатмалар (2.3- § га қаранг) ташқи илашмали (2.6-расм, а) ва иччи илашмали (2.6-расм, б) бўлиши мумкин. Шунингдек, ташқи ҳамда ички илашмалар оралиғига илаштирув-

диган ҳолатга келтириш мумкин бўлса, у ҳолда бундай юзатлар конгруэнтли ясовчи жуфтлик дебилади. 12.8-расмда рейкасимон юзати конгруэнтли бошлангич конструкциялар 1 ва 2 тасвирланган. Конгруэнтли ясовчи жуфтлик принципидан фойдаланиш илашмадаги ён сиртларининг ўзаро уринишни, уриниш турини, юзатлар интерференциясининг мавжуд ёки мавжуд эмаслигини таҳлил қилишин осонләстиради.

чи рейкали илашмани (2.6-расм, б) ҳам күрсатиб ўтиш лозим. Оддий тишли узатма тишли гилдираклардан иборат бўлган иккита ҳаракатланувчи бўғинни ўз ичига олади. Тишли гилдирак элементларини кўриб чиқамиз (13.1-расм).

Тишли гилдиракнинг тишларини унинг танасидан ажратиб турувчи юза (1) тишлар ботиқларининг сирти дейилади. Тишли тишли гилдирак танасининг қарама-қарши томонидан чегара-лаб турувчи юза (2) тишлар уч-

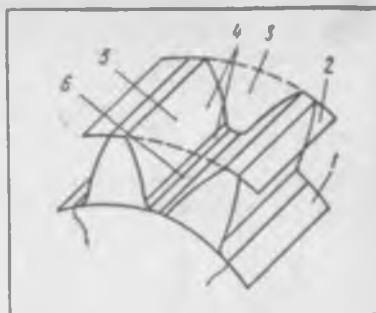
ларининг сирти деб аталади. Иккита ёнма-ён тишлар орасида и бушлик (3) ботиқлик дейилади. Тиши ботиқлик томонидан чегара-лаб турувчи юза (4) тишининг ён сирти дейилади.

Ён сирт бош (5) ва оралиқ (6) сиртлардан иборат бўлади. Бош сирт деб, тиши ён сиртларининг шундай қисмига айтиладики, у бошқа тишининг бош сирти билан ўзаро таъсирилашиб, берилган узатиш нисбатини таъминлайди. Оралиқ сирт бош сиртни ботиқлар сирти билан боғлади.

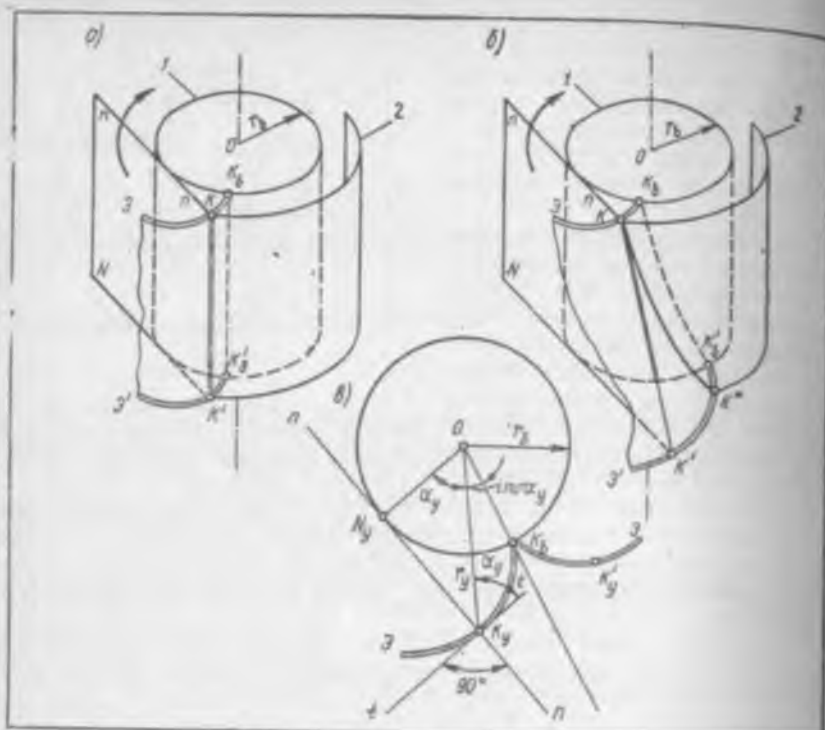
Бош сирт кўпинча эволъвентали сирт бўлади, чунки цилиндрический узатмалар ичida эволъвентали цилиндрический узатмалар айниқса кенг таркалган. Бунга сабаб — улар бошқа турдаги узатмаларга караганда катта афзалликларга эга. Масалан, эволъвентали узатмада ўқлар оғасидаги масофани маълум чегара доирасида ўзгартириш мумкин, лекин бунда узатиш нисбати ўзгармасдан қолаверади, бошқа узатмаларда эса бундай килишига имконият йўқ. Бундан ташқари, эволъвентали узатма сифатли шилайди. Эволъвентали гилдиракларни таъёрлаш ҳамда уларни қиркиб таъёрлаш учун зарур бўладиган асбобни ясаш жуда осон, бу эса жуда муҳим амалий аҳамиятга эга.

Тўғри ҳамда қия тишлиарнинг бош сиртлари ҳисобланган эволъвентали сиртларнинг ҳосил Сўлишини кўриб чиқамиз. 13.2-расм, а да тўғри тишининг бош сирти перспективада кўрсатилган; уни гилдирак ўқига перпендикуляр текисликларда ётuvchi мутлақо бир хил эволъвенталарнинг ( $\mathcal{E}$ ,  $\mathcal{E}'$ ) мажмун деб қараш мумкин. Ушбу эволъвенталар асосий цилиндр I да сирманмасдан юмаловчи  $N$  текисликка тегишли булган ясовчи  $KK'$  тўғри чизиқдаги нуқталарнинг траекториялари ҳисобланади. Ҳамма эволъвенталарнинг босланғич нуқталари асосий цилиндрнинг  $K'_bK$  ясовчисида ётади. Тўғри тиши бош сиртининг исталган ўқдош цилиндр 2 билан кесишуви ушбу цилиндр ясовчиси (масалан,  $KK'$  тўғри чизиқ) бўйлаб содир бўлади. Бу чизиқ гилдирак ўқига параллел бўлиб, тўғри тиши чизиги дейилади. Тўғри тишининг бош сирти эволъвентали чизиқли цилиндрический сиртдир.

Қия сиртнинг бош сирти (13.2-расм, б) ҳам гилдирак ўқига перпендикуляр текисликларда ётuvchi бир хил эволъвенталарнинг ( $\mathcal{E}$ ,  $\mathcal{E}'$ ) мажмун деб қаралиши мумкин; бирорқ бу ҳолда  $N$  текисликдаги ясовчи  $KK'$



13.1-расм



13.2- расм

Тұғри чизиқ гилдирак үқига нисбатан маңылум қиялықда жойлашады. Шу сабабли  $N$  техниктик асосий цилиндр 1 да сирпанмасдан юмалаганды эволъвенталарнинг бошланғич нүқтәләрі асосий цилиндрда  $K_bK_y$  винт чизиғи бүйлаб жойлашады. Қия тиши бош сирттінің исталған үкімші цилиндр 2 билан кесишуві қия тиши чизиғи деб аталады  $KK'$  винт чизиғінің ҳосил қнлады. Қия тишиннің бош сирті эволъвенталы қизиқты винтсімөн сирт бұлады.

Шундай қилиб, тұғри ва қия тишилар бош сиртларыннан асосий үхшаштығы шүндән избораты, уларның гилдирак үқига перпендикуляр болған қундаланг кесимі эволъвентага ега бұлады.

13.2-расм, ә да юқориги қундаланг кесим көлтирилған бұлиб, унда асосий айланы ( $r_b$  радиусы) ва унга уринувчи  $n$  —  $n$  тұғри чизиқ тасвирланған.  $n$  —  $n$  тұғри чизиқ асосий айланы бүйлаб сирпанмасдан юмалаганда ушбу тұғри чизиқтін  $K_y$  нүктаси эволъвентанын  $K_bK_y$  үнгі шохобасини чизады.  $n$  —  $n$  тұғри чизиқ бошқа йұналишда юмалаганда  $K_y$  нүкта эволъвентанын  $K_bK_y$  чап шохобасини чизады.

Тиши профилининг  $K_y$  нүктасига утказылған уринма билан ушбу нүкта радиус-вектори  $OK_y$  орасидаги бурчак профиль бурчагы дейилады.  $\angle K_yON = \alpha_y$  әкәнлигінің курсатыш мүмкін. Бошланғич  $OK_b$  радиус-

вектор билан жорий  $OK_y$  радиус-вектор орасидаги бурчак эвольвента бурчаги дейилади ва у  $\operatorname{inv} \alpha_y$  билан белгиланади. Эвольвентанинг исталған  $K_y$  нүктаси иккита параметр:  $r_y$  радиус-вектор ҳамда  $\operatorname{inv} \alpha_y$  эвольвента бурчаги орқали тұла равишда аниқланади.

$n - n$  түгри чизик асосий айланада сирпанмасдан юмалашыга асосланган ҳолда  $K_b N_y = K_y N_y$  тенгламани түзүш мүмкін. Тенгламага ёй қамла кесма қимматларини қойып ушбуни ҳоссил қыламиз:

$$r_b (\operatorname{inv} \alpha_y + \alpha_y) = r_b \operatorname{tg} \alpha_y,$$

бундан

$$\operatorname{inv} \alpha_y = \operatorname{tg} \alpha_y - \alpha_y. \quad (13.1)$$

$r_y$  ва  $\alpha_y$  орасидаги боғланиш  $\Delta K_y O N_y$  дан қойндаги мүносабат орқали аниқланади:

$$r_y = r_b / \cos \alpha_y. \quad (13.2)$$

(13.1) ва (13.2) формулалар эвольвента тенгламасини параметрик тарзда ифодатайды. Агар ушбу тенгламалардан  $\alpha_y$  параметр чиқариб ташланса, у ҳолда  $\operatorname{inv} \alpha_y$ , ва  $r_y$  орасида  $r_b$  орқали ифодаланувчи түғридан түгри боғланиш ҳоссил бўлади. Бу ҳол эвольвентани асосий айланага кўра аниқлаш мүмкін эканлигини кўрсатади. Шу сабабли эвольвентални юза координаталарини аналатик усулда аниқлаш учун ёки уни график тарзда ясаш учун фақат асосий айланада радиусини берши зарур ҳамда етарлидир.

Илшаманинг геометрик назарияси учун эвольвентанинг қойндаги ҳоссалари муҳим аҳамиятга эга (13.2-расм, ө):

а) эвольвента асосий айланада ётувчи  $K_y$  нүктада учрашадиган иккি шохобчали симметрик эгри чизикдир. Бинобарин, эвольвента асосий айлананинг ичидаги нүктага эга бўлмайди;

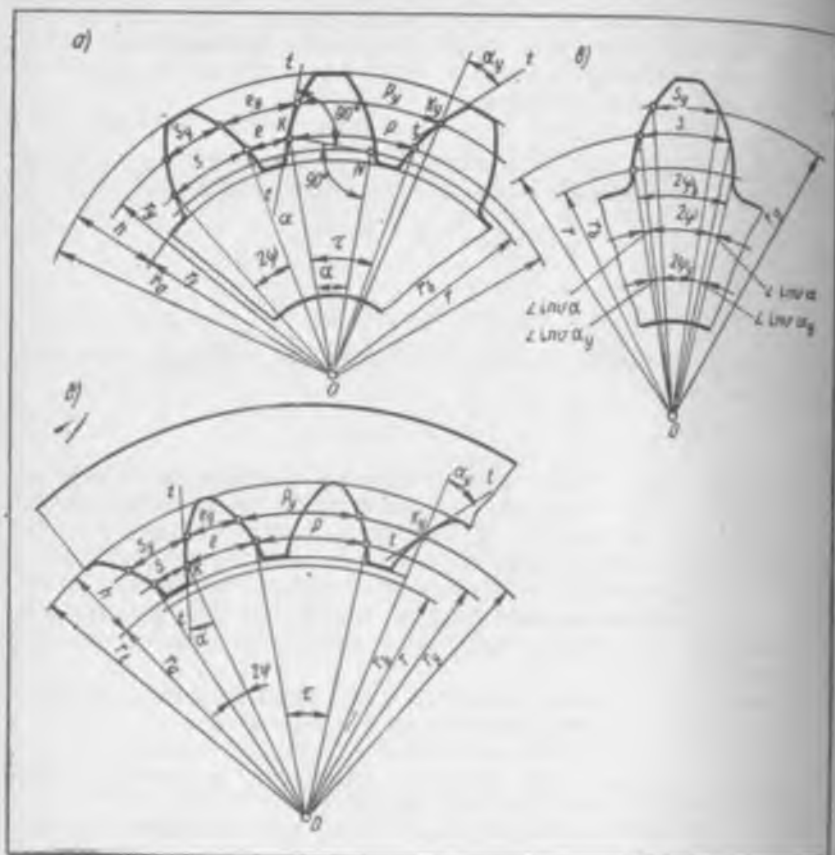
б)  $N_y$  нүкта  $n - n$  түгри чизикнинг оний тезликлар маркази ҳада эвольвентанинг  $K_y$  нүктаси учун эгрилик марказидир. Шу сабабли асосий айланага уринма жойлашган түгри чизик эвольвентанинг исталған нүктасига ўтказилган нормаль бўлади;

в)  $N_y K_y$  кесма эвольвента  $K_y$  нүктасининг  $\rho$ , эгрилик радиусидир;

г) эвольвентанинг бошлангич нүктасида ( $K_b$ )  $\alpha_y$  профиль бурчаги ва  $\rho_y$  эгрилик радиуси нолга teng. Эвольвента нүкталари асосий айланадан узоқлаша борган сари профиль бурчаги катталашып боради. Бунда эвольвентанинг эгрилик радиуслари ҳам ортади;

д) асосий айланада радиуси оша борган сари эвольвентали профиль ўз эгрилигини бир меъерда камайтира боради ва  $r_b$  — со бўлганда эвольвента түгри чизикка айланади.

13.3-расм, а да ташки тишли гилдирак тасвирланган. Тишлиларининг учлари орқали ўтувчи айлананинг  $r_a$  радиуси энг катта бўлади. 13.3-расм, б да ички тишли гилдирак тасвирланган. Бу ҳолда гилдирак ҳалқа кўрининишида бўлиб, тишлиларининг учлари гилдиракнинг ички бушлиги томон йўналгандир. Шу сабабли ички тишлилар учлари айланасининг  $r$  радиуси ботиқликлар айланасининг  $r$ , радиусидан кичик бўлади. Шундай қилиб, ботиқликлар айланаси радиуси энг катта радиус бўлади.



13.3-расм

13.3-расмда тишининг эволвентали юзаси, уни ясашда асос қилиб олинган  $r_y$  радиусли асосий айлана,  $r$  радиусли бўлувчи айлана ва ихтиёрий  $r$ , радиусли айлана ҳам тасвириланган.

13.3-расмда тўғри тишли гилдирак бўлувчи айланасининг  $K$  нуқтасидаги тишининг профиль бурчагига тенг бўлган  $\angle KON \alpha$  билан белгиланган. Совет Иттифоқида бу бурчак стандартлаштирилган бўлиб,  $20^\circ$  га тенг. Шундай қилиб, тўғри тишли гилдиракниң бўлувчи айланаси тиш профилини шундай нуқтада кесиб ўтадиган айланадирим, унинг учун профиль бурчаги  $\alpha = 20^\circ$  ли стандарт бурчакка тенг.

Агар бўлувчи, асосий ҳамда ихтиёрий радиусли айланалар узунлигини тишилар сони  $z$  га бўлсан, у ҳосилда қадам деб аталаувчи иккита қўшини тишилар орасидаги масофани ҳосил қиласиз, яъни бўлувчи айлана буйича  $r$  қадам, асосий айлана буйича  $r_y$  қадам, ихтиёрий радиусли айлана буйича  $r_b$  қадамга эга бўласиз.  $r$ ,  $r_y$  ва  $r_b$  ёйлар мос равища

біттә бу чак қадамға мөс келади:  $\tau = p/r = p_b/r_b = p_y/r_y$ . Бундан қадамлар мөс тарздағи айланалар радиусларында мутаносиб эканлығы келиб чиқади. Бурчак қадамни құйидагича ифодалаш ҳам мүмкін:  $\tau = 360^\circ/z$ .

Бұлувчи айланы бүйіча олинадиган қадам гилдиракнинг муҳим әлемдегі ҳисобланади. Бұлувчи айланы узунлығини  $r$  қадам ҳамда  $z$  тишилар сони орқали ифодалаймыз:  $2\pi r = mz$ . Бундан бұлувчи айланы диаметри топлады:  $d = (\rho/\pi)z = mz$ .  $\rho/\pi$  нисбаты  $m$  ҳарфи орқали белгіланади ва гилдирак тишиларыннинг модули деб аталади (модуль бирлигі — мм). Модуль стандартлаштирилген бўлиб, стандартта модулнинг бир қанча қийматлари кўзда тутилган. Модуль орқали бұлувчи айланы радиуси, гилдирак ва узатманинг ҳамма чизиқлары ифодаланади:

$$r = mz/2; \quad (13.3)$$

$$\rho = \pi m. \quad (13.4)$$

Асосий айланы радиусы  $\Delta KON$  дан топлады (13.3-расм, а):

$$r_b = r \cos \alpha = (mz/2) \cos \alpha. \quad (13.5)$$

(13.2) ва (13.5) теңгелліктарга асосланған ҳолда гилдирак иктиёрий қадамасыннинг радиуси құйидагича ифодаланади:

$$r_y = r \frac{\cos \alpha}{\cos \alpha_y} = \frac{mz}{2} \frac{\cos \alpha}{\cos \alpha_y}. \quad (13.6)$$

Қадамлар радиусларға мутаносиблігі сабаблы асосий айланы бүйіча тишилар қадами құйидагига тенг:

$$p_b = \rho \cos \alpha = \pi m \cos \alpha,$$

Иктиёрий радиуслы айланы бүйіча тишилар қадами эса құйидагига тенг:

$$p_y = \rho \frac{\cos \alpha}{\cos \alpha_y} = \pi m \frac{\cos \alpha}{\cos \alpha_y}.$$

Гилдиракнинг  $m$  модули ҳамда  $z$  тишиларында сони унинг асосий параметрлеридир. Бұлувчи айланаларнинг үлчамлары гилдираклар ҳамда узатманинг үлчамларини ифодалайды. Модуль мустаҳкамлікка ҳисоблаш натижасыда аниқланади, тишилар сонини эса конструктор белгилайди. Шу сабаблы тишили узатманинг ташқи үлчамларини кичиклаштириш учун унинг гилдираклари тишилари сонини камайтириши керак [(13.3) тенгламага қараң].

Ички тишили гилдиракларнинг асосий ҳамда бұлувчи айланалар радиусларини ҳамда ушбу айланы бүйіча тишилар қадамларини аниқлаш формулалары ташқи тишили гилдиракларни кабидир.

Істайлган айланы бүйіча тишилар қадамини тишилар қалинлігі  $s_y$ , ҳамда тишилар өзі  $e_y$ , нине йиғиндиси деб қараш мүмкін, яъни

$$p_y = s_y + e_y; \quad p = s + e = \pi m.$$

Бир хил модуль асосида ясалған, тишилар сони бир хил бұлған гилдираклар бир-бiriдан бұлувчи айланы бүйіча тишилар қалинлігига күра құйидагича фарқ қылышы мүмкін:

1) қадамлари тенг қылтиб бүлинган гилдираклар; бундай гилдиракларда бұлувчи айланы бүйічә тишининг қалынлігі  $s$  ботиқ әнінга, биңарин, қадамнинг ярмінга тенг:  $s = e = \pi m/2$ ;

2)  $s > e$ , яғни  $s > \pi m/2$  бүлган гилдираклар;

3)  $s < e$ , яғни  $s < \pi m/2$  бүлган гилдираклар.

13.3-расм, ө да тишиларнинг ей бүйічә қалынліклари  $s$  ва  $s_y$  га мос келувчи марказий  $2\varphi$  ва  $2\varphi_y$  бурчаклар, шунингдек  $\text{inv} \alpha$  ва  $\text{inv} \alpha_y$ , әвольвента бурчакларі тасвирланған. Расмдан

$$\Psi_b = \Psi + \text{inv} \alpha = \Psi_y + \text{inv} \alpha_y,$$

әканлыгини күриш мүмкін, бундан

$$\Psi_y = \Psi + \text{inv} \alpha - \text{inv} \alpha_y.$$

Бурчак қалынліклариниң чизикли қалынліклар  $\Psi_y = s_y/(2r_y)$  ва  $\Psi = s/(2r)$  орқали ифодалаб ҳамда уларнинг құйматларини олдин  $\Psi$  үчүн тузылған тенгламага қойып ташқы тишининг қалынлігini аниқлаш формуласини ҳосил қыламыз:

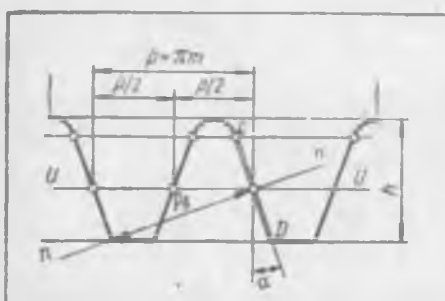
$$s_y = r_y(s/r + 2\text{inv} \alpha - 2\text{inv} \alpha_y). \quad (13.7)$$

Ички тишининг  $s_y$  қалынлігini аниқлаш формуласи ҳам шунга үшшаш тузылады:

$$s_y = r_y(s/r - 2\text{inv} \alpha + 2\text{inv} \alpha_y).$$

Агар гилдирак тишилари сонини, бинобарин, ҳамма айланалар радиусларини чексиз равишда ошыра борсак, у қолда  $z = \infty$  га етганды ҳамма айланалар түғри чизиктарға айланади, тишининг әвольвенталы профили эса түғри чизикли профиль бүлиб қолади (13.1-§ да берилған әвольвентаның хоссаларында қаранды), бу эса жуда катта амалий ақамиятта эга.  $z = \infty$  бүлганды тишилі рейка ҳосил қыламыз (13.4-расм). Рейка тишининг түғри чизикли қисмінинг исталған нұқтасыда профиль бурчаги бир хил ва  $\alpha$  га тенг бўлади.

Рейка тишининг қалынлігі ботиқлик қалынлігига, яғни қадамнинг таъминловчи  $UU$  түғри чизик бұлувчи чизик дейнілади. Бұлувчи чизикқа параллел бүлган исталған түғри чизик бүйічә үлчанган рейка тишиларнинг қадами бир хил  $r = \pi m$  құйматтаға эга. Рейка профилінде үтказилған  $n - n$  нормаль бүйічә үлчанган рейка қадами  $\pi m \cos \alpha$  га тенг, яғни у  $m$ -дүли рейканың модули кабе бўлган гилдиракнинг асосий айланасы бүйічә үлчандиган  $r_b$  тишиларнинг тенг.

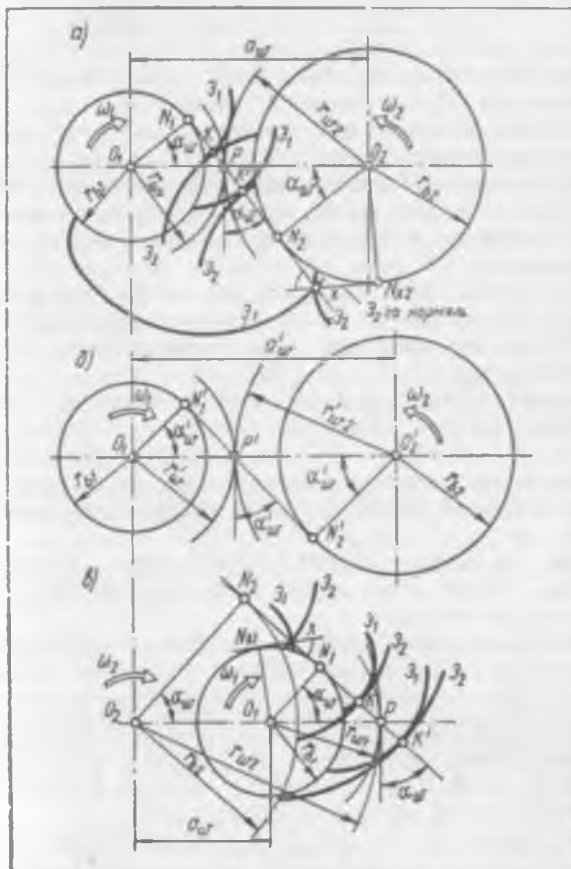


13.4- расм

### 13.2-§. Эвольвентали илашманинг элементлари ва хоссалари

13.5-расм,  $a$ ,  $b$  да  $K$  нуқтада ўзаро уринувчи иккита  $\mathcal{E}_1$  ва  $\mathcal{E}_2$  эвольвенталарнинг ташқи ва ички илашмалари тасвирланган.

Эвольвентанинг хоссаларидан (13.1-§ га қаранг) келиб чиқадики,  $K$  нуқтадан  $r_1$  радиусли асосий айланага уринма тарзида ўтказилган  $KN_1$  тўғри чизик (13.5-расм,  $a$ )  $\mathcal{E}_1$  эвольвентага нормалдир. Худди шу асосга кўра,  $r_2$  радиусли асосий айланага уринма тарзида ўтказилган  $KN_2$  тўғри чизик  $\mathcal{E}_2$  эвольвентага нормалдир.  $KN_1$  ва  $KN_2$  кесмалар иккала айланага уринма бўлган умумий  $N_1N_2$  тўғри чизикини ҳосил қўлади. Бинобарин,  $N_1N_2$  тўғри чизик иккала эвольвентага умумий нормаль бўлади. Шу сабабли иккала эвольвента ўзаро уринувчи сиртлар бўлади ҳамда уларнинг уриниш нуқтаси  $N_1N_2$  чизикда жойлашади.



13.5-расм

$K'$  нүктада үзаро уринувчи ушбу эвольвенталарнинг янги ҳолатини күргиб чиқкан ҳолда ва юқоридаги муроҳазалар асосида шу нарсага ами 1 бўламизки,  $\dot{\varTheta}_1$  ва  $\dot{\varTheta}_2$  эвольвенталар ўша  $N_1N_2$ , тўғри чизик кўринишидаги умумий нормалга эга бўлади. Демак, уларнинг урниш нүкласи ушбу чизикда ётади. Бинобарин,  $N_1N_2$  чизикни  $\dot{\varTheta}_1$  ва  $\dot{\varTheta}_2$  эвольвенталар урниш нүкталарининг геометрик ўрни деб қарашиб мумкин. Олинганд натижа ички илашмали  $\dot{\varTheta}_1$  ва  $\dot{\varTheta}_2$  эвольвенталар учун ҳам ўринидир (13.5-расм, в).

Шундай қилиб, эвольвентали иккита профилниг илашуви жараёнида уларнинг иккита асосий айланага уринма бўлган умумий нормали ўз ҳолатини ўзгаргирмайди. Шунингдек  $P$  қутб ҳам ўз ҳолатини ўзгартиромайди. Бу эса эвольвентали илашманинг биринчи, асосий хосасини исбот қиласди, яъни эвольвентали илашма илашиши жараёнида узатши нисбатининг доимий бўлишини таъминлайди. Буни

$$u_{12} = \omega_1/\omega_2 = \mp O_2 P / O_1 P = \text{const}$$

муносабат билан исботланувчи Виллиснинг оний узатиш нисбати хақидаги теоремаси ҳам (12.1-ға қаранг) тасдиқлайди.

Эвольвентали илашманинг асосий элементлари билан танишиб чиқамиз. Уларга қуйидагилар киради:

илашиш чизиги деб, юзаларнинг абсолют ҳаракатидаги (яъни, тишли узатманинг қўзғалмас бўғинига нисбатан ҳаракатидаги)  $K$  урниш нүкласининг траекторияси бўлган  $N_1N_2$ , тўғри чизикка айтилади;

илашиш қутби. Илашиш қутби деб, иккита фидиракнинг үзаро нисбий ҳаракатидаги оний тезликлар марказини билдирувчи  $P$  нүктаға айтилади. У илашиш чизигининг  $O_1O_2$  ўқлараро чизик билан кесишувдан ҳосил бўлади;

бошланғич айланалар. Бошланғич айланалар деб, илашиш қутбидаги үзаро уринувчи айланаларга айтилади; уларнинг радиуслари  $r_{\omega_1}$  ва  $r_{\omega_2}$  билан белгиланади. Иккита юзанинг үзаро илашуви жараёнида бошланғич айланалар бир-бирни бўйлаб сирпанмайд юмалайди, яъни иккала бошланғич айланада ётубвчи нүкталарининг чизикли тезлиги бир хил бўлади;

илашиш бурчаги. Илашиш бурчаги деб, ўқлараро чизикка перпендикуляр бўлган тўғри чизик билан илашиш бурчаги орасидаги  $\alpha_{\omega}$  ўткир бурчакка айтилади.

13.5-расмда кўрсатилган марказий  $N_1O_1P$  ва  $N_2O_2P$  бурчаклар илашиш бурчагига тенг. Шу расмнинг ўзида бошланғич айланада ётубвчи эвольвентна нүкласидаги профиль бурчаги қиймат жиҳатидан  $\alpha_{\omega}$  илашиш бурчагига тенгдир. Иккала бурчак ҳам бир хил ҳарф билан белгиланади, бироқ уларнинг маъносидаги фарқни унумаслик лозим, яъни профиль бурчаги ана шу профилнинг геометрик параметри, илашиш бурчаги эса иккя юза илашмасининг кинематик параметридир.

Ташки илашмалар учун  $a_{\omega} = r_{\omega_1} + r_{\omega_2}$  ифодага кўра, ички илашмалар учун  $a_{\omega} = r_{\omega_2} - r_{\omega_1}$  ифодага кўра аниқланадиган ўқлараро масофа узатманинг геометрик параметри ҳисобланади.

Эвольвентали илашма, у хоҳ ташқи, хоҳ ички бўлсин, илгари на-  
зарда тутилган узатиш нисбатини ўзгартирганда ҳолда ўқлар ора-  
сидаги масоғани ўзгартиришга имкон беради. Эвольвентали илашма-  
нинг ушбу иккичи хоссасини исботлаш учун 13.5-расм, а, в да тасвир-  
ланган иккита ташқи илашма схемаларини кўриб чиқиши кифоя. Иккала  
илашма ҳам бир хил эвольвенталарга, яъни  $r_{b1}$  ва  $r_{b2}$  радиусли бир хил  
асосий айланаларга эга. Аммо улар бир-биридан ўқлараро масоғасига  
( $a' > a$ ) ҳамда илашиш бурчакларига ( $\alpha' > \alpha$ ) кўра фарқ қиласди.

Биринчи схемага кўра (13.5-расм, а):

$$u_{12} = \frac{\omega_1}{\omega_2} = -\frac{O_2 P}{O_1 P} = -\frac{r_{w2}}{r_{w1}} = -\frac{r_{b2} \cos \alpha_w}{r_{b1} \cos \alpha_w} = -\frac{r_{b2}}{r_{b1}}; \quad (13.8)$$

Иккичи схемага кўра (13.5-расм, б):

$$u'_{12} = \frac{\omega_1}{\omega_2} = -\frac{O'_2 P'}{O'_1 P'} = -\frac{r'_{w2}}{r'_{w1}} = -\frac{r_{b2} \cos \alpha'_w}{r_{b1} \cos \alpha'_w} = -\frac{r_{b2}}{r_{b1}}. \quad (13.9)$$

(13.8) ҳамда (13.9) ифодаларни солиши тириск, узатиш нисбати иккала  
схема учун бир хил бўлиб,  $\alpha_w$  нинг ўзгаришига боғлиқ эмаслиги маъ-  
лум бўлади. Ўқлар оралигининг ўзгариши илашиш бурчагининг ҳамда  
бошлангич айланалар радиусларининг катталикларнгагина таъсири қиласди.

Эвольвентали илашманинг учинчи муҳим хоссаси қўйидагидан ибо-  
рат: илашма ташқи бўлганда эвольвентали юзалар илашиш чизиги-  
нинг  $N_1 N_2$  кесмаси оралиғидагина ўзаро уринади.  $N_1 N_2$  оралиқдан  
ташқарида,  $N_1$  нуқтадан пастда жойлашувчи  $x$  нуқтадан ўтувчи  $\dot{\theta}_1$  ва  
 $\dot{\theta}_2$  эвольвенталар умумий нормалга эга эмас. Бу ҳол эвольвенталар  $x$   
нуқтада уринимаслигни, балки кесишувини билдиради.  $N_1 N_2$  оралиқдан  
ташқарида  $N_1$  нуқтадан юқорида ҳам шу ҳол юз беради.

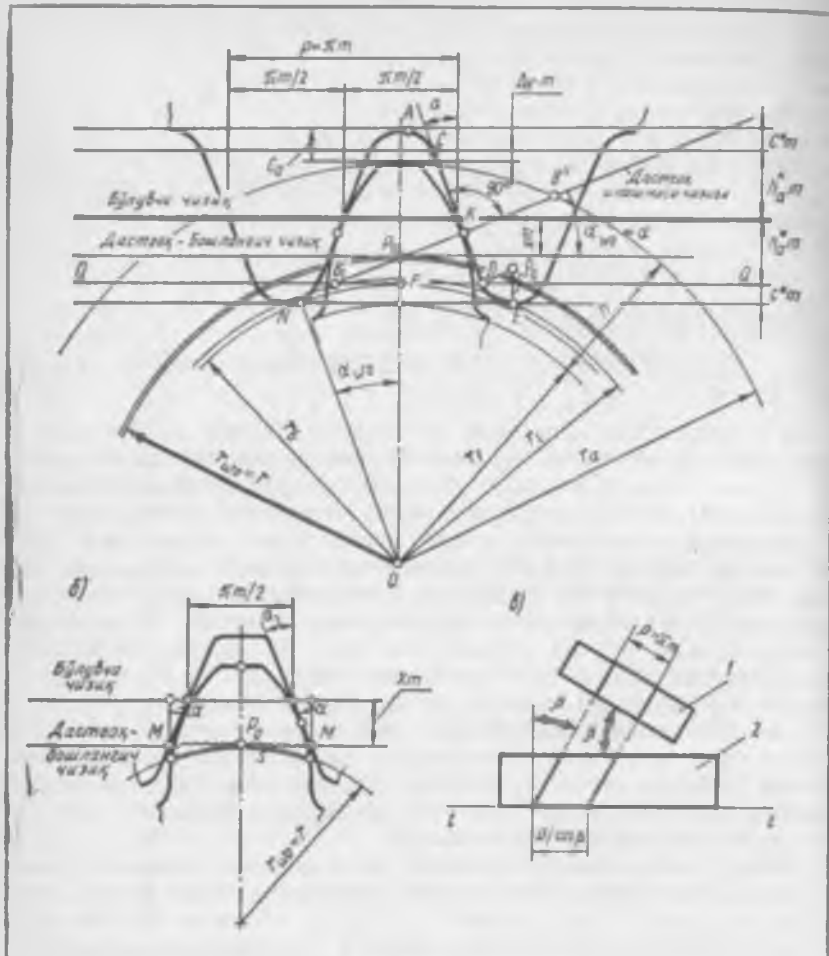
Ташқи илашмадан фарқи үлароқ, ички илашмали эвольвентали юза-  
ларининг ўзаро урининиши  $N_1 N_2$  оралиқдан ташқаридагина содир бўлиши  
мумкин (13.5-расм, в).  $N_1 N_2$  оралиқда эвольвенталар ўзаро кесишади,  
чунки бу ерда  $N_1 N_2$  тўғри чизик  $\dot{\theta}_2$ , эвольвентага нормаль бўлиб,  $\dot{\theta}_1$   
эвольвентага эса нормаль бўла олмайди.

Муйян узатмада эвольвенталарнинг ўзаро кесишуви тишлиларнинг куч-  
ли ейнилишига, материалининг толиқиб зўриқишига, баъзи ҳолла да эса  
тишлиларнинг синиши ёки узатманинг қадалиб қолишига сабаб бўлади.  
Шунинг учун лойиҳаланувчи ташқи ва ички илашмаларда эвольвенталар-  
нинг ўзаро кесишувига йўл қўпиди бўлмайди.

### 13.3-§. Дастгоҳ илашмасининг асосий қондалари. Рейкали дастгоҳ илашмаси

Тишли гилдираклар тайёрлаш усуслари. Ҳозирги вақтда тишли гил-  
дираклар нусхалаш ҳамда қамрама усусларда тайёрланади.

Биринчи усуlda асосан қадами тенг бўлинган тишли гилдираклар  
тайёрланади. Бунда кўпгина гилдираклар хаголиклар билан тайёрланади.  
Иккичи усул — қамрама усуlda бундай жиддий камчиликлар йўқ. Бу  
усулда турли-туман тишли гилдиракла ни назарий жиҳатдан аниқ қилиб  
тайёрлаш мумкин. Шу сабабли қамрама усул кенг тарқалган бўлиб,  
конструкторлар эътиборини кўпроқ тортади.



13.6- pscm

Қамрама усулда тишли ғилдирак ясаладиган хом ашे (заготовка) ҳамда тиши шаклига эга бүлган қиркүччи асбоб (червякли фреза, тароқ, долбяк) дастгоҳда бир-бирига илашадиган қылип ҳаракатлантирилади, бунда илашиши жараёни юзага келади. Бундай илашма дастгоҳ илашмаси деин-лади.

Асбобга илашиш ҳаракатидан ташқары, яна технологик қиркыш ҳаракат ҳам берилади. Бунда асбобнинг қиркүвчи қирралари ҳаракат чогида тишли сирт шаклини чизади, бу сирт ясовчи сирт деб аталади (12.6-ға қаранг). Ясовчи сирт ясалувчи тишининг ён юзасини қамраган ҳолда ҳаракатланғанлығы үчүн бу үсул қамрама үсул дейнлади.

Агар ясовчи сиртни тиш қирқилаётган ғилдирак ўқига перпендикуляр текислик бытандар кессак, у ҳолда кесимдада бошлангич ясовчи контури (БЯК) ҳосил қиласыз. БЯК нине тиш қирқилувчи ғилдирак тишининг ен сирти билан илашмаси дастгох илашмаси булади.

Рейкали дастгох илашмаси, янын БЯК тишиңдеги шаклида бүлгани илашмани күриб чиқамиз. Ушбу БЯК нине эволвентали қирралари түгри чизик күрнинишида булади (13.1-ға қаранг). Ўзининг асосий характеристикада эволвенталиндейкейдеги реекали БЯК ни ҳосил қиркүвчи асбоблар (чөрвякли фреза ёки тароқ) жуда мұхит афзаңлышқа эга: уни нисбатан арзона ва анча аниқ қылғы тайёрлаш мүмкін. Тиш қирқилувчи ғилдирак тишиңларининг геометриясын реекали асбобнинг БЯК параметрларында ҳамда унинг ғилдиракка нисбатан жойлашувига күра аниқланади.

Эволвенталиндейкейдеги реекали асбобнинг бошлангич ясовчи контури. БЯК нине шакли ва ўлчамлары стандартлаштырылған. БЯК (13.6-расм, а) тишилари ен сиртнине эволвентали қисми түгри чизик шаклида бүліб, тиш ўқига нисбатан  $\alpha$  бурчак остида қия жойлашади. Тишининг түгри чизиктерінде қисми ботиқ асосына ҳамда тишиң учига  $r_0$  радиусында ей бүйінча үтади. БЯК да уриниш нүкталары  $A, C, D, E$  ҳарлары билан белгилендірілген. Контурунда түгри чизиктері  $CD$  қисми эволвентали қисми, юмалоқланған  $AC$  ва  $DE$  қисмлары эса унинг эволвентасынан қисмидір. Тишиниң баландлығы бүйінча тенг иккі бұлакка ажратувчи түгри чизик бүлгилевчі чизик дейилади. БЯК да бүлувчы чизикқа параллел жойлашған яна түртта чизик бүләді. Улар тишиларнинг ботиқларын асосидан ва үчлардан ҳамда уриниш нүкталары  $C$  ва  $D$  дан үтади. Ушбу түгри чизиктер орасынан масофалар бошланғич ясовчи контур тишининг баландлығын билдиради маңызында  $h_a = h_a^* m$  ва  $c = c^*$   $m$  катталыктар орқалы ифодаланади, бунда:  $h_a^*$  — тишиң баландлығыннан көзғалы;  $c^*$  — радиал тириқиши көзғалы. Стандартта күра  $h_a^* = 1,0$ ;  $c^* = 0,25$ .  $C$  ва  $D$  нүкталар орқалы түгри чизиктерінегін чегара нүкталар чизигін дейилади.

Тишининг қадами, қалынлігі ва ботиғининг көнглигі каби ўлчамлары бүлувчы чизик бүйінча олінади. Бүлувчы чизикқа параллел бүлгандың истанған чизик бүйінча ўлчамынан ясовчи контурнинг қадами  $P$  үзгартмас катталық бүліб,  $pt$  ға тенг, бу ерда  $t$  — стандарт модуль. Бүлувчы чизик бүйінча ўлчамадың БЯК тишининг қалынлігі ботиғининг көнглигиге тенг:  $s_0 = e_0 = pt/2$ ; уларнинг йигиндері эса қадамни ташкил этади. Тишиң ен сиртнине бурчаги стандартлаштырылған:  $\alpha = 20^\circ$ . Юмалоқланыш ( $DE$  ей) радиусы қуйидагига тенг:

$$r_0 = c^* t / (1 - \sin \alpha) \approx 0,4t. \quad (13.10)$$

Шундай қылғы, реекали асбобнинг БЯК түртта стандарт параметрлері:  $t$ ,  $\alpha$ ,  $h_a^*$ ,  $c^*$  билан ажратылған туралы.

Реекали дастгох илашмаси ҳамда силжиш көзғалы. Реекали дастгох илашмаси, бошқа ҳар қандай илашма каби, бошланғич чизиктарға зерттеуде айланасыдады. Дастгох-бошланғич чизиктерінде ғилдирактарнан дастгох-бошланғич айланасыдады. Дастгох-бошланғич чизиктерінде ғилдирактарнан дастгох-бошланғич айланасыдады. Реекали дастгох илашмасида дастгох-бошланғич айланасында  $r_{w0}$  радиусынан бүлувчы айланашында  $r$  радиусынан тенг.

Рейкали дастгоҳ илашмасининг  $\alpha$  бурчаги бошлангич ясовчи контурнинг  $\alpha$  профиль бурчагига тенг (томонлари ўзаро перпендикуляр бурчакларнинг тенглиги шартига кўра). Бўлувчи айланада ётувчи нуқтадаги гилдирак тиши ён сиртнинг бурчаги бошлангич ясовчи контурнинг  $\alpha$  профиль бурчагига тенг бўлишини ҳам айтиб ўтамиш.

Дастгоҳда асбобни тиш қирқильтувчи гилдиракка иисбатан ҳар хил ҳолатда ўрнатиш мумкин. Шу сабабли дастгоҳ илашмасида БЯК нинг бўлувчи тўғри чизиги гилдиракнинг бўлувчи айланасига иисбатан турлича жойлашуви мумкин: 1) агар бўлувчи чизик бўлувчи айланага уринма тарзида жойлашса, демак, асбоб ноль ҳолатда ўрнатилган; 2) агар бўлувчи чизик бўлувчи айланадан узоқлаштирилган ҳолда жойлашса, бу — асбобнинг мусбат ҳолатда ўрнатилиши бўлади; 3) агар бўлувчи чизик бўлувчи айланани кесиб ўтса, демак, асбоб манфий ҳолатда ўрнатилган.

Бўлувчи чизик билан бўлувчи айлана орасидаги масофа асбобнинг силжиши деб аталади. У модуль  $m$  нинг силжиши коэффициенти  $x$  га кўпайтаси тарзида ифодаланади ҳамда аниқ ишорага эга бўлади. Ноль ҳолатда ўрнатилган асбобнинг силжиши  $mx = 0$ ,  $x = 0$ , мусбат ҳолатдагиси  $m > 0$ ,  $x > 0$ . Асбоб манфий ҳолатда ўрнатилганда бўлувчи чизик бўлувчи айланадан ажратиб қўядиган сегмент стрелкаси силжишини билдиради, бу ҳолда  $mx < 0$ ,  $x < 0$  бўлади.

13.6-расм, а да мусбат силжишли тишли гилдирак тайёрлашдаги рейкали дастгоҳ илашмаси тасвирланган. Расмда боштангич ясовчи контурнинг, тиш қирқильтувчи гилдиракнинг ҳамда дастгоҳ илашмасининг ҳамма элементлари кўрсатилган.

Рейкали дастгоҳ илашмасининг чизиги  $N$  нуқтадан бошланниб,  $P_0$  кутб орқали чексизликка интилади. Унинг актив бўлгининг узунлиги дастгоҳ илашмаси чизигининг чегара нуқталардан ўтувчи  $QQ$  тўғри чизик ҳамда тишлар учларининг айланаси билан кесишувидан ҳосил бўлувчи  $B'$ , ва  $B''$  нуқталар билан чекланган (13.6-расм, а).

Гилдирак тишининг ён сирти эволъвентали ҳамда эволъвентасиз қисмлардан иборат. Эволъвентали сиртнинг эволъвентасиз сиртга ўтиши радиуси  $r_i = OB'$ , га тиг бўлган гилдирак чегара нуқталари айланаси орқали амалга ошади.

Гилдирак тишли учларининг айланаси билан БЯК ботиқлари тўғри чизикларининг орасидаги масофа дастгоҳ илашмасидаги  $c_0$  тиркишдан иборат. Унинг катталиги икки қисмдан:  $c^*$  та  $\Delta y \cdot m$  қисмлардан ташкил топади, бунда  $\Delta y$  — тенглайтирувчи силжиш коэффициенти.

Тайёрланувчи ташкил тишли гилдиракнинг ўлчамлари. Тўғри тишли гилдирак тишли учларининг диаметри (13.6-расм, а):

$$d_a = 2r_a = m(z + 2h^* + 2x - 2\Delta y).$$

Ўша расмдаги тишининг баландлигиги

$$h = m(2h^* + c^* - \Delta y).$$

Агар  $x = 0$  (асбоб силжимаган) ва  $\Delta y = 0$  бўлса, у ҳолда  $d_a = m(z + 2h^*)$ ,  $h = m(2h^* + c^*)$  бўлади ҳамда  $h^* = 1,0$  ва  $c^* = 0,25$  бўлган стандарт қийматларда  $d_a = m(z + 2)$  ва  $h = 2,25m$  га эга бўламиш.

Дастгоҳ-бошлангич түғри чизиқ дастгоҳ-бошлангич айланы (яъни, бўлувчи айланы) да сирпамасдан юмалайди. Шу сабабли тиш қирқиулувчи гилдиракнинг бўлувчи айланаси бўйича  $s$  тишининг қалинлиги БЯК дастгоҳ-бошлангич түғри чизиги бўйича ботиқнинг  $MM$  кенглигига тенг (13.6-расм, 6).

$MM$  кесма бўлувчи чизиқ бўйича үлчанувчи БЯК ботигининг кенглиги  $e_0 = \pi m/2$  дан ҳамда ҳар бирни  $xm$   $tg\alpha$  га тенг бўлган иккита катеддан ташкил топади, шу сабабли

$$s = \pi m/2 + 2xm \operatorname{tg}\alpha. \quad (13.11)$$

Агар асбоб гилдиракка нисбатан силжитилмаган ҳолда ўрнатилган бўлса ( $mx = 0$ ), у ҳолда  $s = \pi m/2$  бўлади; бинобарин, гилдиракнинг бўлувчи айланаси бўйича тишининг  $s$  қалинлиги ботиқнинг кенглигига  $e$  га тенг, чунки  $s + e = \pi m$ . Бу ҳолда қадами тенг бўлинган ( $s = e$ ) гилдирак ҳосил бўлади. Агар  $mx < 0$  бўлса, у ҳолда  $s < \pi m/2$ , бинобарин,  $s > e$  бўлади. Агар  $mx < 0$  бўлса, у ҳолда  $s > \pi m/2$ , шу сабабли  $s < 0$  бўлади.

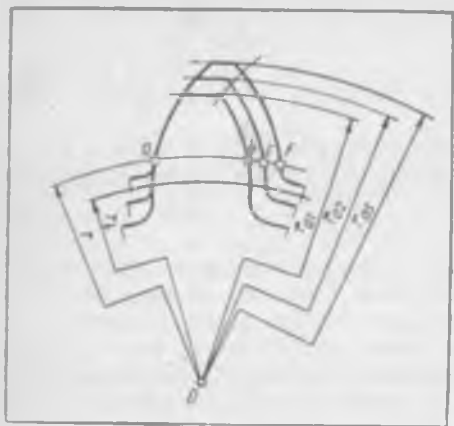
Қия тишли гилдирак тайёрлашда түғри тишли гилдирак учун ишлаладиган асбоб  $I$  ишлатилади, бироқ у ҳали тиш қирқиулмаган гилдиракнинг  $t - t$  текислигига нисбатан  $\beta$  бурчак остида ўрнатилади (13.6-расм, 6). Ушбу расмда қия тишли гилдирак цилиндрининг ёйилмаси кўрсатилган. Унда қия тишининг винтсимон чизиқлари түғри чизиқларга айланниб қолган. Асбоб қия ўрнатилиши натижасида қия тишли гилдиракнинг  $t - t$  текислигига тишлар қадами катталашиб  $r/\cos\beta$  га тенг бўлиб қолади, бинобарин,  $t - t$  текислидаги модуль стандарт бўлмай қолади ва  $m/\cos\beta$  га тенглашади. Шу сабабли қия тишли гилдиракнинг чизиқли үлчамларини таркибида стандарт модуль бўлган формулалар ёрдамида ҳисоблашда  $m/\cos\beta$  ни, масалан, қия тишли гилдиракнинг бўлувчи диаметри  $d = sm/\cos\beta$  ни қўйиш лозим.

Баландлик үлчамлари деб аташ қабул қилинган, бўлувчи чизиқка перпендикуляр бўлган  $h^* m$ ,  $c^* m$ ,  $xm$ ,  $\Delta y \cdot m$  үлчамларга (13.6-расм, a) эътиборингизни жалб қиласиз. 13.6-расм, b да ушбу үлчамлар расм текислигига перпендикуляр тарзда жойлашган. Шу сабабли асбоб  $\beta$  бурчакка бурилганда баландлик үлчамлари ўзгармайди. Бундан шундай хуносаса бурилганда чиқадики, агар тенгламаларда  $h^* m$ ,  $c^* m$ ,  $xm$ ,  $\Delta y \cdot m$  кўпайтмалар учрайдиган бўлса, қия тишли узатмани ҳисоблашда бу тенгламалар уларни кўпайтирувчиларни қайта ҳисобламаган ҳолда қўйиш мумкин. Масалан, қия тишли гилдирак ташкил айланасининг диаметри қўйидагина ёзилни мумкин:  $d_a + d + 2(h^* m + xm - \Delta y \cdot m)$ , бу ерда  $d = sm/\cos\beta$ .

Қия тишли гилдирак тайёрлашда бошлангич ясовчи контур профилининг бурчаги стандарт қийматдан ( $\alpha = 20^\circ$ ) катталашди, чунки баландлик үлчамлари ўзгармайди, кўндаланг кесимдаги қадам эса катталашади. Қия тишли гилдираклар тайёрлашда бошлангич ясовчи контур профилининг ҳисоблаб топиладиган  $\alpha$ , бурчаги қўйидаги формулага кўра аниқланади:

$$\operatorname{tg}\alpha = \operatorname{tg}\alpha/\cos\beta.$$

13.7-расмда силжишлари турича бўлган ( $x_1 < x_2 < x_3$ ) битта асбоб билан ясалган, тишиларининг сони бир ҳил бўлган учта гилдиракнинг тишилари ўзаро солиштирилди. Гилдираклар бўлувчи ҳамда асосий айла-



13.7-расм

тахкам булади. Бундан ташқари, учинчи гилдирак тиши ён сирттининг эвольвентали қисми учун унинг асосидан энг узокда жойлашган ва шу сабабли эргилик радиуси катта бўлган эвольвента қисмидан фойдаланилади (13.1-ѓ га қаранг). Бу ҳол тиши ён сиртларининг ейлишини ва уриниш натижасида зўриқинин камайтиради. Бинобарни, лойиҳалашда у ёки бу силжиши көзғициентини танлар эканмиз, гилдирак тишиларининг шаклига ва тишли узатманинг сифатига таъсир кўрсатиб, уларга биз учун керакли хоссаларни беришимиз мумкин. Бироқ шуну қайд этиш лозимки, тиши шаклининг ва тишли узатма хоссаларининг  $\chi$  силжиш көзғициентига боғлиқлиги тишилар сони кам бўлганда яққолроқ сезилади ва аксинча, тишилар сони кўп бўлганда унча сезилмайди.

#### 13.4-§. Тиши асосининг қирқилиб ўйилиши ва тишининг ўтиклишуви

Эвольвентали илашманинг хоссаларига кўра (13.2-ѓ га қаранг) БЯК нинг тўғри чизиқли, яъни эвольвентали қисми ҳамда гилдирак тиши ён сирттининг эвольвентали қисми бир-бiri билан факат  $N$  нуқтадан бошланувчи дастгоҳ илашмасида уринима тарзда жойлашади. Ушбу нуқтадан чап томонда БЯК нинг тўғри чизиқли қисми гилдирак тишининг ён сиртига уринмайди, балки уни кесиб утади. Физика нуқтадан назаридан қараганда БЯК асбобининг қиркувчи қирралари тайёрланаётган гилдирак материалинида қолдирадиган издан иборат бўлгани учун юқорида айтилган кесишув гилдирак тишининг асос томондан қирқилиб ўйилишига олиб келади (13.8-расм). Асосининг қирқилиб ўйилиши гилдирак тиши ён сирттининг эвольвентали қисмини кичиклаштиради ҳамда тиши унинг хавфли кесимида бўшаштиради.

Агар дастгоҳ илашмаси актив қисмининг  $B'$ , чегараси  $N$  нуқтадан ўнг томонда жойлашса (13.6-расм, а га қаранг), яъни қуйидаги шарт бажарилса:

наларининг радиуси бир хил учала гилдирак тишиларининг ён сирти битта эвольвента бўйича чизилган. Бироқ гилдирак тишиларининг қалинликлари  $s_1(ab\ \ddot{\epsilon}\!n)$ ,  $s_2(ac\ \ddot{\epsilon}\!n)$ ,  $s_3(ad\ \ddot{\epsilon}\!n)$  ҳамда тишилар учлари айланаларининг радиуслари  $r_{a1}$ ,  $r_{a2}$ ,  $r_{a3}$  турличадир.  $X$  катталашгани сари тишининг асосидаги қалинлиги ортади, учидаги қалинлиги эса кичиклашади, яъни силжиш көзғициенти тиши шаклига катта таъсир кўрсатади. Шундай килиб, кўриб чиқиляётган учала гилдирак ичиди учинчи гилдиракнинг тишилари энг мус-

$$P_o N > P_o B'_i, \quad (13.12)$$

асосининг қирқиб ўйилishi юз бермайди.

(13.12) шартдан фойдаланиб ғилдирак тишларининг энг кам миқдорини аниқлаш керакки, натижада тишларининг асоси қирқилиб ўйилмайдиган бўлсин.  $\Delta P_o ON$  дан (13.6-расм, а га қаранг)  $P_o N = P_o O \sin \alpha$ ,  $\Delta P_o FB'_i$  дан эса  $P_o B'_i = P_o F / \sin \alpha$  ҳосил бўлади.

$P_o N$  ва  $P_o B'_i$  катталикларни (13.12) шартга қўямиз ҳамда з га нисбатан ечиб ушбуни ҳосил қиласиз:

$$s > 2(h^* - x) / \sin^2 \alpha. \quad (13.13)$$

Агар  $x = 0$  бўлса, у ҳолда ушбу ифодадан силжиш бўлмаган ғилдиракнинг рейкали асбоб асосини қирқиб ўйилмайдиган энг кам тишлари сони келиб чиқади:

$$s_{min} = 2 h^* / \sin^2 \alpha. \quad (13.14)$$

Силжиш бўлмаган ғилдиракларни лойиҳалашда тишлари сонини  $s_{min}$  га teng ёки бундан кўпроқ бўладиган қилиб олиш лозим. Асбоб стандарт бўлса ( $h^* = 1,0$ ;  $\alpha = 20^\circ$ ), у ҳолда  $s_{min} \approx 17$  бўлади.

Қия тишли ғилдираклар учун (13.14) тенглама кўйидаги кўриннишга келади:

$$s_{min} = 2 h^* \cos \beta / \sin \alpha.$$

$\alpha > \beta$ ,  $\cos \beta < 1$  бўлганлиги учун қия тишли ғилдираклар асоси камроқ қирқилиб ўйлади.

13.1-§ да тишли узатмаларни нхчамлаштириш учун ғилдиракларни кам тишли қилиб лойиҳалаш лозимлиги айтиб ўтилган эди. Бироқ  $\beta < 17$  бўлгандай тишил асоси қирқитиб ўйилмаслиги учун ғилдирак асбобни силжиш бўладиган қилиб ўрнатган ҳолда яалиши керак. Тишнинг асоси қирқилиб ўйилмаслиги учун силжишнинг талаб қилинадиган энг кичик қийматини аниқланамиз. У ҳам (13.12) ифодага асосланиб ва (13.13.) ифодадан фойдаланиб аниқланади:

$$(s/2) \sin^2 \alpha > h^* - x.$$

Бунга (13.14) ифодадаги  $\sin^2 \alpha$  қийматини кўйиб ҳамда тенгламани  $x$  га нисбатан ечиб ушбуни ҳосил қиласиз:

$$x > h^* (s_{min} - s) / s_{min}, \quad (13.15)$$

Силжишнинг энг кичик  $x_{min}$  қиймати эса қўйндагича аниқланади:

$$x_{min} = h^* (s_{min} - s) / s_{min}. \quad (13.16)$$

(13.16) муносабатдан келиб чиқадики, тишлари сони  $s > s_{min}$  бўлган тишли ғилдиракни мусбат, ноль ва ҳатто манғий силжишни қилиб лойиҳалаш мумкин, чунки бундай ғилдирак учун  $x_{min} < 0$ . Тишлари сони



13.8- расм

$\bar{s} = \bar{s}_{\min}$  бўлган тишли гидриакни мусбат ёки ноль сиљини ишга тишилари сони  $\bar{s} < \bar{s}_{\min}$  бўлганинни эса фақат мусбат силжишили килиб лойихалаш мумкин.

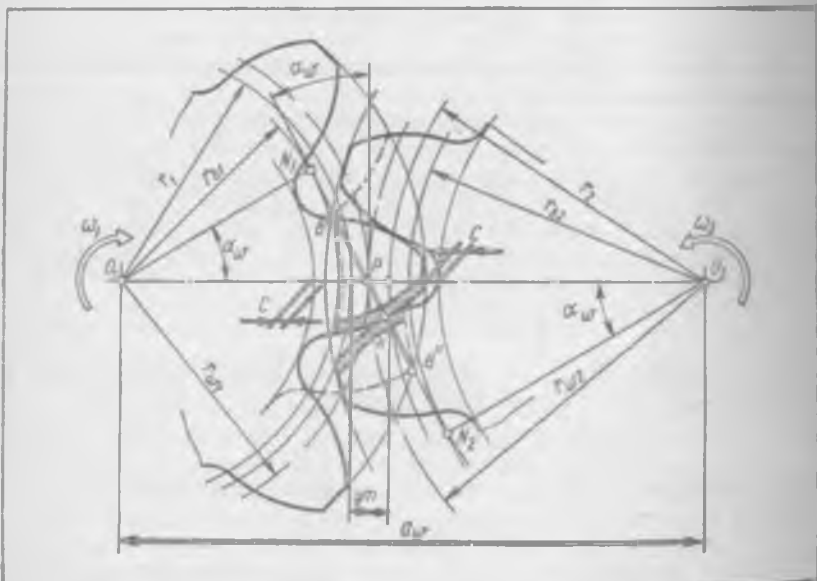
Агар силжиш коэффициенти катталашса, тиш учининг қалинлиги  $s_a$  юпқалашади. Силжиш коэффициенти энг катта ( $x_{\max}$ ) қийматга етганда тишининг ўтирилашуви содир бўлади ( $s_a = 0$ ). Тишилари сони кам (15 тадан кам) бўлган гидриакларда тишининг ўтирилаши хавфи кўпроқ бўлади.

Ўтирилашган тиш учи синишининг олдини олиш учун силжиш коэффициенти шундай танланадики, бунда  $s_a$  қалинлик  $0,2m$  дан кам бўлмаслиги лозим ( $s_a \geq 0,2 m$ ). Лойинҳалашда тишининг  $s_a$  қалинлиги (13.7) тенгламадан аниқланади. Бунинг учун тенгламадаги  $r_y$  ўрнига  $r_a$  ва  $\alpha$ , ўрнига  $\alpha_a$  кўйилади; (13.2) тенгламага мувофиқ  $\cos \alpha_a = r_b/r_a$ .

### 13.5- §. Эвольвентали тишли узатма

Эвольвентали тишли узатманинг элементлари. 13.9-расмда ташқи илашмали тишли узатма кўрсатилган. Расмда:  $\alpha_w$  — илашиш бурчаги,  $P$  — илашиш кутби,  $a_w$  — ўқлар орасидаги масофа,  $r_{w1}$  ва  $r_{w2}$  — бошланғич айланалар радиуслари. Бу элементлар олдинроқ (13.2- § да) эвольвентали илашма хоссалари билан танишлаганда кўриб чиқилган.

Тиш учларининг айланалари илашини чизиги билан  $B'$  ва  $B''$  нуқталарда кесишиади; Ўзаро уринувчи юзалар  $B'$  нуқтада илашади,  $B''$  нуқ-



13.9- расм

тада эса улар ажрағади. Ўзаро урнанувчи тишлар бош сирттарининг ўзаро тасъирташни жарағын илашиш чизигининг  $B' B''$  қисмінде юз беради; илашиш чизигининг бүкіл актив илашиш чизиги деб аталади. Тишли узатма шундай лойиҳаланыштын лозимки,  $B' B''$  қисм  $N_1 N_2$  и ашиш чизигидан ташқарига чиқмасын. Агар  $B'$  ва  $B''$  нукталар ушбу чегарадан ташқарыда жойлашса, тишли узатмада тишлиарнинг ўзаро қадалиши юз беради.

Айланышнинг берилган йұналишида тиши факат битта томони билан күчни узатади ёки қабул қылғын олади. Тишининг бүкіл актив илашиш чизиги деб аталади Илашмада тишиларнинг ишловчи томони жойлашкан ҳамда актив илашиш чизигига мөс келдиган актив сиртлари қалашады. 13.9-расмда актив сирглар штрихлаб курсатылған.

Битта гилдирак тишилар учларининг айланасы билан иккінчи гилдирак ботиқларининг айланасы орасында радиал тирқиши деб аталуғы масофа булади. 13.9-расмда радиал тирқиши  $c$  ҳарғы билан белгіләнген, уннан катталиги  $c^*$  коэффициентни модулга күпайтириш орқали ифодаланади, яғни  $c = c^* m$ , бунда  $c^* = 0,25$ .

Эвольвентали тишли узатма тенгламалари. Илашиш бурчаги  $\alpha_w$  еді  $\psi$  аярапо масофа  $a_w$  ны аниқлаш тенгламаларини тузиша шуни эътиборга олиш керакки, бүкіл актив илашиш чизиги деб аталуғы масофа булади. 13.9-расмда радиал тирқиши  $c$  ҳарғы билан белгіләнген, уннан катталиги  $c^*$  коэффициентни модулга күпайтириш орқали ифодаланади, яғни  $c = c^* m$ , бунда  $c^* = 0,25$ .

Бошланғыч айланалар ўзаро сирпанмасдан юмалаганликлары сабаблы, ушбу айланалар бүйича  $p_{w1}$  ва  $p_{w2}$  қадамлар ўзаро тенг булади:  $p_{w1} = p_{w2} = p_w$ . Қадам  $p_w = s_{w1} + e_{w1}$ , ёки  $s_w = e_{w1}$  бўлгани учун

$$p_w = s_{w1} + s_{w2}. \quad (13.17)$$

Бошқа томондан, бошланғыч айлана бўйича тиши қадами  $p_w = \pi m (\cos \alpha / \cos \alpha_w)$ .

(13.3), (13.6) ва (13.11) тенгламаларни ҳисобга олган ҳолда тишиларнинг  $s_{w1}$  ва  $s_{w2}$  қалинлигини (13.7) формула орқали ифодалаб, (13.17) ифодага кўйамиз. Бир қанча мураккаб бўлмаган ўзгаришишлардан сўнг илашиш бурчагини аниқлаш тенгламасини ҳосил қиласиз:

$$\operatorname{inv} \alpha_w = \operatorname{inv} \alpha + \frac{2 x \operatorname{tg} \alpha}{r_w}, \quad (13.18)$$

бу ерда  $x = x_1 + x_2$ ,  $s = s_1 + s_2$ . Илашиш бурчагининг инволютасини (13.18) тенгламадан ҳисоблагандан сўнг  $\alpha_w$  бурчакнинг ўзини инволюта функцияси жадвалидан аниқлаш лозим.

Тишли узатманинг ўқтараро масофаси

$$a_w = r_{w1} + r_{w2}.$$

(13.6) муносабатни ҳисобга олган ҳолда ушбуни ёзиш мумкин:

$$r_w = \frac{m}{2} \frac{\cos \alpha}{\cos \alpha_w},$$

шунинг учун ўқлараро масофа қуйидагича ифодаланади:

$$a_w = \frac{m z_\Sigma}{2} \frac{\cos \alpha}{\cos \alpha_w}. \quad (13.19)$$

Ўқлараро масофани қуйидагича ифодалаш ҳам мумкин (13.9-расм).

$$a_w = r_1 + r_2 + y_m, \quad (13.20)$$

бу ерда  $y_m$  — бўлувчи айланалар орасидаги масофа. У қабул қилинуви силжиш деб,  $y$  катталик эса қабул қилинувчи силжиш коэффициенти деб аталади.

(13.19) ва (13.20) муносабатларни тенглаштириб ҳамда (13.3) ифодани назарда туғиб, қабул қилинувчи силжиш коэффициентини аниқлаш формуласини ҳосил қиласмиш:

$$y = \frac{z_\Sigma}{2} \left( \frac{\cos \alpha}{\cos \alpha_w} - 1 \right). \quad (13.21)$$

Кия тишли узатманн ҳисоблашда түғри тишли узатманн ҳисоблашдаги формуласи дан фойдаланилади, бироқ  $m$  ва  $\alpha$  параметрлар ўрнига  $m/\cos \beta$  ва  $\alpha$ , параметрлар олинади,  $x_\Sigma \operatorname{tg} \alpha$  ва  $y_m$  купайтмалар эса шундайлигича қолдирилади.

Тишли узатманнинг тенглаштирувчи силжишини аниқлаймиз. Узатмалар геометрик тарзда лойиҳаланганда иккита шарт бажарилиши лозим: 1) ғилдираклар тишлари бир-бирлари билан назарий жиҳатдан ён тирқишиз илашиши зарур; 2) тишли ғилдираклар учлари ва ботиқликларининг айланалари орасида  $c = c^* m = 0,25m$  га тенг стандарт радиал тирқиши булиши керак.

Биринчи шарт ўқлараро масофани (13.20) формула орқали ифодалаш билан бажарилади. Иккинчи шарт бажарилиши учун

$$a_w = r_{a1} + c + r_{a2} \quad (13.22)$$

булиши керак.

(13.20) ва (13.22) тенгламаларни биргаликда ечиб

$$r_1 + y_m + r_2 = r_{a1} + c + r_{a2}$$

га ёки

$$r_1 + y_m + r_2 = u_{a1} + c + r_{a2} - h$$

га эга буламиш.

Ушбу тенгликка 13.3-§ даги  $r_{a1}$  ва  $r_{a2}$  ларни аниқлаш формулатарини қўйиб ҳамда ўзгартиришлардан сўнг қўйидаги ифодани ҳосил қиласмиш

$$y_m = x_1 m - \Delta y \cdot m + x_2 m,$$

бундан эса 13.3-§ да айтиб ўтилган  $\Delta y$  тенглаштирувчи силжиш коэффициентини ҳосил қиласмиш:

$$\Delta y = x_\Sigma - y. \quad (13.23)$$

Шундай қилиб, тенглаштирувчи  $\Delta y \cdot t$  сиљниш (13.6-расм, а га қаранг) ён тирқицисиз ҳамда стандарт катталиктаги радиал тирқишига эга болған тишли узатма ҳосил қилиш учун кириллади.

Агар тишли узатма силжишлар бүлмаган ғилдираклардан ташкил топған бұлса ( $x_1 = 0, x_2 = 0, x_\Sigma = x_1 + x_2 = 0$ ), у ҳолда (13.18), (13.21), (13.23) ва (13.20) тенглемаларга ассоан узатма ушбу параметрларға эга болади:  $\alpha_\omega = \alpha = 20^\circ$  га тенг илашиш бурчаги;  $y = 0$  га тенг қабул ишнүүчүн силжиш көэффициенти;  $\Delta y = 0$  га тенг тенглаштирувчи си.1-жишиш көэффициенти;  $a_\omega = r_1 + r_2 = m(\vartheta_1 + \vartheta_2)/2$  га, янын бүлүвчи айланалар радиусларининг йүйндинсига тенг ўқтараро масофа. Күрсатылған шарондта бошланғич айланалар радиуслари  $r_{\omega 1} = m\vartheta_1/2 = r_1, r_{\omega 2} = m\vartheta_2/2 = r_2$  бўлади, янын бошланғич айланалар билан мос келади.

Ички илашмали эволвентали узатманинг хүсусиятларч. 2.6-расм, б да ички илашмали узатма тасвирланган. 1 рақами билан белгиланган кичик ғилдиракнинг (шестерняннинг) тишлилари ташқаридан, 2 рақами билан белгиланган оддий ғилдирак деб аталувчи катта ғилдиракнинг тишлилари ишқаридан жойлашади. Ички тишли ғилдирак рейкали асбоб ёрдамида эмас, балки долбяк (ғилдираксимон асбоб) ёрдамида тайёрланади. Долбякнинг тишлилари сони ва асосий ўлчамлари стандартлаштирилган. Ғилдираклар долбяк ёрдамида тайёрланганида тишлиларининг асослари қирқишиб ўйилши ҳамда учлары үткірлашувидан ташқари, тишлиларининг уни кесишиб кетиши ҳам мумкин. Ички илашмали узатмаларни лойинжалашда бундай ҳодисаларнинг олдини олиш чораларни кўрилиши зарур.

13.2-§ да айтиб утилганидек, ички илашмаларда  $\mathcal{E}_1$  ва  $\mathcal{E}_2$  эволвентали сиртлар  $N_1 N_2$  оралиқда ұзаро кесишади (13.5-расм, в га қаранг). Бундан ташқары, ички илашмаларда агар шестерняннинг тишлилари сони ( $\vartheta_1$ ) ва ғилдиракнинг тишлилари сони ( $\vartheta_2$ ) бир-бирига яқин бўлса, эволвенталар кесишувининг яна бир тури юзага келиши мумкин.

Тўғри лойинжаланган ички илашмали узатмада эволвентали сиртлар кесишувининг иккала тuri ҳам бўлмайди. Демак, ички илашма чизигининг актив булаги бутунлай  $N_1 N_2$  кесмадан ташқаридан бўлиши зарур. Бундан ташқары,  $\vartheta_1$  ва  $\vartheta_2$  тишлилар сони аниқ чеклашларга бўйсуниши керак.

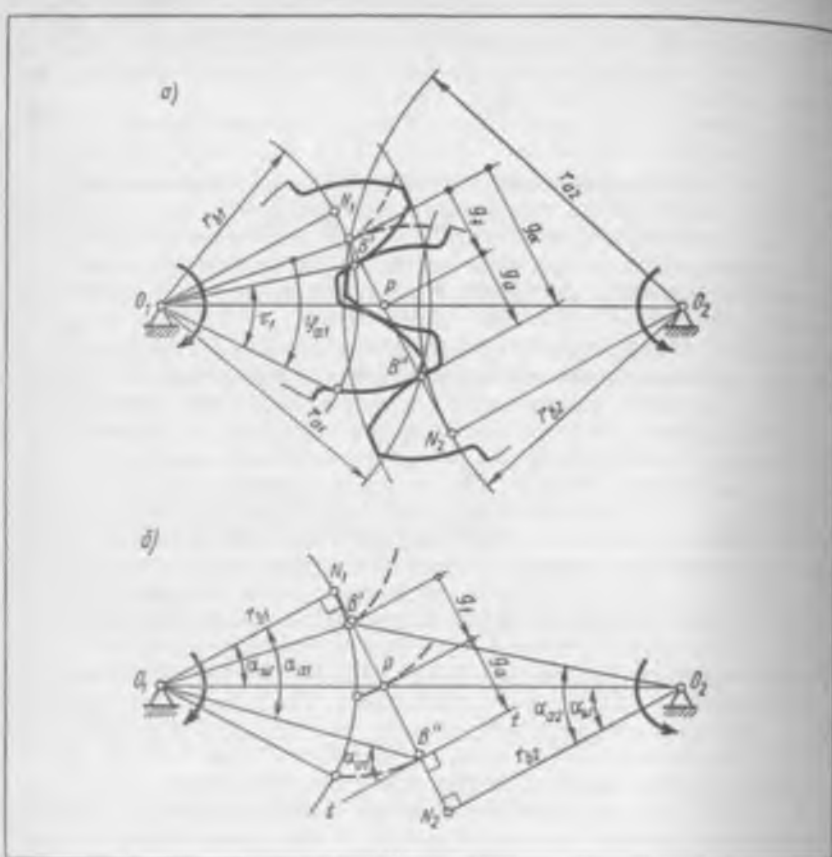
Стандарт долбяк билан ясалган, силжишлар бўлмаган ғилдираклардан ингилган узатма учун қўйидаги шарт бажарилиши лозим:  $\vartheta > 20^\circ, \vartheta_1 > 85^\circ, \vartheta_2 - \vartheta_1 > 8^\circ$ . Агар узатма силжишлар бўлған ғилдираклардан ташкил топса, у ҳолда  $\vartheta_2$  ни ҳамда  $\vartheta_2 - \vartheta_1$  ни анчагина камайтириш ва бу билан бутун узатманинг ўлчамларини кичрайтириш мумкин.

Ички илашмали тишлиларни узатмани геометрик ҳисоблаш анчагина мурасиб бўлиб, ушбу китобда келтирилмади. Бундай ҳисоблаш методикаси [2, 13] адабиётда ва бошқа асарларда баён этилган (қаранг: Скворцов Н. А., Лукичев Д. М. Новые методы расчетов и конструирования машин, повышение их надежности и долговечности; 5-нашр, ГОСИНТИ М., 1962).

### 13.6-§. Тишли узатманинг сифат кўрсаткичлари.

Силжиши ҳисоблаш көэффициентларини танлаш

Сифат кўрсаткичлари. Узатмани илашманнинг равон ва шовқинсиз бўлиши, тишлиларининг мумкин бўлған ейилиши ҳамда мустаҳкамлиги



13.10- рисм

нуқтаи назаридан баҳолашга, шунингдек қатор узатмаларни ушбу күрсаткичларга күра гаққослашга имкон берувчи сифат күрсаткичларини күриб чиқамиз. Бундай баҳолаш тишли узатмаларни лойиҳалашда сийжиши ҳисоблаш көэффициентларини түғри танлаш учун керак бўлади.

Қопланиш коэффициенти узатмадаги илашманинг узлуксизлиги ҳамда равонлигини ҳисобга олади. Узатманинг бундай сифатлари бир жуфт тишиларнинг ишини бошқа жуфт тишиларнинг иши қоплаши билан таъминланади. Бунинг учун ҳар бир кейинги жуфт тишилар ҳали олдинги жуфт тишилар ажралмасдан олдин илашиши лозим. Қопланиш каттатиги қопланиш коэффициентига қараб баҳоланади. Қопланыш коэффициенти кўндаланг кесимнинг қопланиш бурчагини бурчак қадамига бўлиб аниқланади. Кўндаланг кесимнинг қопланиш бурчаги  $\Phi_x$  — бу, филдирак тишиларининг ўзаро илашиб  $B'$  нуқтада уринган пайтдаги ҳолагидан то уларнинг бир-биридан ажралиб  $B''$  нуқтада уринган пайтда-

ГИ қолатига қадар ғилдиракнинг бурғилиш бурчагидир (13.10-расм, а). Бинобарин, түғри тишли узатманинг қопланиш коэффициенти

$$e_a = \varphi_{a1}/\tau_1 = \varphi_{a2}/\tau_2. \quad (13.24)$$

Бу ерда  $\tau_1 = 2\pi/z_1$  — бурчак қадами;  $\varphi_{a1} = g_a/r_{b1}$ , бунда  $g_a = g_i + g_o$  — актив илашиш чизигининг узунлиги. У актив илашиш чизигининг қутбгача  $g_i$ , ҳамда қутбдан кейинги  $g_a$  қисмларининг узунлигидан ташкил топади (13.10-расм, б):

$$g_i = r_{b2}(\operatorname{tg} \alpha_{a2} - \operatorname{tg} \alpha_w); \quad (13.25)$$

$$g_o = r_{b1}(\operatorname{tg} \alpha_{a1} - \operatorname{tg} \alpha_w). \quad (13.26)$$

(13.5) ни эътиборга олган ҳолда (13.25) ва (13.26) ларни (13.24) га қўйиб түғри тишли узатманинг қопланиш коэффициентини аниқлаш формуласини ҳосил қиласиз:

$$e_a = \frac{z_1 \operatorname{tg} \alpha_{a1} + z_2 \operatorname{tg} \alpha_{a2} - (z_1 + z_2) \operatorname{tg} \alpha_w}{2\pi}. \quad (13.27)$$

Агар (13.27) формулага асосан ҳисоблагандан  $e_a < 1$  бўлса, тишилар илашиш жараёни узлуксиз бўлмайди: бир жуфт тиш ҳали бошқа жуфт тиш илашиб улгурмасданоқ илашмадан ажралшига улгуради. Шу сабабли  $e_a$  нинг рухсат этилган энг кичик қиймати 1,05 га тенг. Бу қиймат илашиш жараёнининг 5 % запас билан узлуксиз бўлишини таъминлади.

$x_1$  ва  $x_2$  силжиш коэффициентлари ошикни билан  $e_a$  қопланиш коэффициенти кичиклашувини айтаб ўтиш мுҳимдир. Шу сабабли узатмани лойиҳалашда силжиш коэффициентларини шундай танлаш лозимки, бунда  $e_a$  нинг қиймати 1,05 дан кичик бўлмасин.

Қия тишли узатмада бир жуфт тишининг илашиб туриш вакти ( $\beta \neq 0$ ) түғри тишли узатмага қараганда ( $\beta = 0$ ) зиёддир. Шу сабабли қия тишли узатманинг  $e_y$ , қопланиш коэффициенти  $e_a$  га қараганда катта бўлади ва қуйидаги формулага асосан ҳисобланади:

$$e_y = e_a + e_\beta. \quad (13.28)$$

Ушбу йиғиндида  $e_\beta$  қўшилувчи (13.27) формулага асосан, иккинчи қўшилувчи эса  $e_\beta = b/p_x$  муносабатга асосан аниқланади. Бунда  $b = \psi m$  — тишли ғилдиракнинг қалинлиги,  $\psi$  — тишининг мустаҳкамлиги ва ейилишга чидамлилиги шартига кўра белгиланадиган тишли ғилдиракнинг қалинлик коэффициенти,  $p_x = \pi m/\sin \beta$  — тишининг ўқ йўналишидаги қадами.  $b$  ва  $p_x$  ни  $e_\beta$  ни аниқлаш нифодасига қўйиб ушбуни ҳосил қиласиз:

$$e_\beta = \psi \sin \beta / \pi. \quad (13.29)$$

(13.28) ва (13.29) тенгламалардан түғридан-түғри куриниб турибдики, қия тишли узатманинг  $e_y$  қопланиш коэффициенти ( $\beta \neq 0$ ) түғри тишли узатманинг  $e_a$  қопланиш коэффициенти ( $\beta = 0$ ) га қараганда каттадир. Бу эса қия тишли узатманинг ағзаллигинидир.

Сирпаниш коэффициенти илашиш жараёнида геометрик ва кинематик омишларнинг сиртларнинг сирпаниш катталигига таъсирини ҳисобга олади (12.2-ға қаранг). Бир сирт бошқа сиртга босилганда сирпаниш бўлиши сиртларнинг ейилишига олиб келади. Сирпаниш коэффициентларн қўйидаги формулалар орқали ифодаланади:

$$\lambda_1 = v_{\text{сир}}/v_{K1-K}; \quad \lambda_2 = v_{\text{сир}}/v_{K2-K},$$

бунда:  $v_{\text{сир}}$  — сирпаниш тезлиги;  $v_{K1-K}$ ,  $v_{K2-K}$  — уриниш нуқталарининг биринчи ва иккинчи ғилдираклар сиртлари бўйича сурилиши тезлиги.

Тишлари сони  $\vartheta_1$  кам бўлган ғилдирак бир марта тўла айланганда иккинчи ғилдирак тўла айланниб улгурмайди. Бинобарин, унинг тишлари биринчи ғилдиракнинг тишларига қараганда уринишда  $u_{12}$  марта кам иштирок этади, шу сабабдан унинг тишлари кам ейилади. Тишларнинг ейилиш жадалтигини сирпаниш коэффициентларига кўра солишинириш учун  $\lambda_1$  ни  $u_{12} = \omega_1/\omega_2 = \vartheta_2/\vartheta_1$  га ажратамиз:

$$\lambda_1 = v_{\text{сир}}/v_{K1-K}; \quad \lambda_2 = v_{\text{сир}}/(v_{K2-K} u_{12}).$$

$\lambda_1$  ва  $\vartheta_2$  ларни ҳисоблаш формулалари қўйидаги кўринишда бўлади

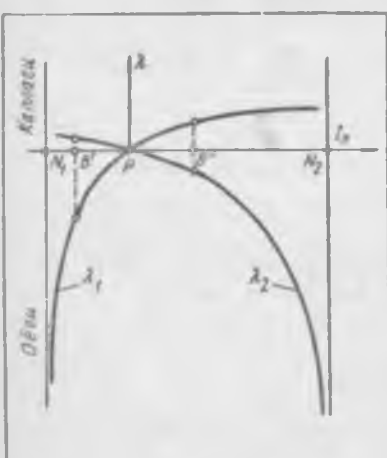
$$\lambda_1 = \left(1 + \frac{1}{u_{12}}\right) \frac{l_K}{l_K + l_{P1}}; \quad \lambda_2 = \left(1 + \frac{1}{u_{12}}\right) \frac{l_K}{l_K - l_{P2}}, \quad (13.30)$$

бунда:  $l_K$  — бир жуфт тиш уриниш нуқтаси  $K$  нинг ҳозирги ҳолатидан илашиш қутби  $P$  гача бўлган масоғани ифодаловчи атебранк катталик (13.9-расмга қаранг);  $l_{P1}$  ва  $l_{P2} = PN_1$  ва  $PN_2$  кесмалар узунлигининг абсолют қийматлари.

Илашиш жараёнида тишларнинг  $K$  уриниш нуқтаси илашиш чизиги бўйлаб  $B'$  ҳолатдан (тишларнинг илашиши)  $B''$  ҳолатгача (тишларнинг ажралиши) ҳаракатланади. Бундан  $l_K$  масофа ( $-B'P$ ) қийматдан нолга қадар, сўнгра нолдан ( $+B''P$ ) қийматга кадар ўзгариши маълум бўлади. Шу сабабли (13.30) формуласи асосан  $\lambda_1$  ва  $\lambda_2$  сирпаниш коэффициентлари ҳам илашиш жараёнида ўзгаради.  $\lambda_1$  энг катта қийматга  $B'$  ҳолатда,  $\lambda_2$  эса  $B''$  ҳолатда эришади (13.11-расм).

$\lambda_1$  ва  $\lambda_2$  сирпаниш коэффициентлари  $x_1$  ва  $x_2$  силжиниш коэффициентларига боғлиқ тарзда ўзгаради.  $x_1$  ва  $x_2$  қийматларини ўзgartирган ҳолда конструктор  $\lambda_1$  ва  $\lambda_2$  коэффициентларнинг иш шароити талабларига жавоб берадиган қийматларини ҳосил қиласди.

Нисбий босим коэффициенти тишлар геометриясининг (улар сиртнинг эргицлик радиусларини



13.11- расм

ниг) тишилар уринадиган жойларда вужудга келадиган уриниш зўриқишилари катталигига таъсирини ҳисобга олади. Юкланиш жуда ошиб кетганила уриниш зўриқишилари ҳаддан ташқари ортиб кетиб, натижада тишилар иш сиртининг материали уваланиши мумкин.

Уриниш зўриқишилари Герц формуласидан аниқланади:

$$\sigma = 0,418 \sqrt{\frac{Q}{b} E \frac{1}{\rho}}$$

бу ерда:  $Q$  — тишиларнинг ўзаро таъсирилашиш кучи;  $b$  — тишилти гилдиракларнинг эни;  $E = 2E_1E_2/(E_1 + E_2)$  — гилдирак материали эластикликниг келтирилган модули;  $\rho$  — эволвентали сиртларнинг уриниш нуқтасидаги эргилигининг келтирилган радиуси; бу радиус воситасида тиш геометриясининг уриниш зўриқишиларига таъсири аниқланади.

Тишиларнинг ҳозирги пайтдаги илашмаси учун (13.9-расмга қаранг)

$$\frac{1}{\rho} = \frac{1}{\rho_1} + \frac{1}{\rho_2} = \frac{\rho_1 + \rho_2}{\rho_1 \rho_2}$$

муносабат ёки эволвентали сиртларнинг хоссасига асосан (13.1-§ га қаранг)

$$\frac{1}{\rho} = \frac{N_1 N_2}{N_1 K + N_2 K}$$

муносабат ўринилдири.

Нисбий босим коэффициенти  $\theta$  деб қўйнадаги муносабатга айтилади:

$$\theta = \frac{m}{\rho} = \frac{m \cdot N_1 N_2}{N_1 K + N_2 K}. \quad (13.31)$$

$\theta$  коэффициент —  $m$  модулга боғлиқ бўлмаган ўлчамсиз катталик, чунки  $\rho$  модулга мутаносибайр.

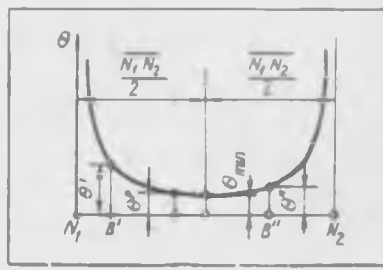
Тишиларнинг  $K$  уриниш нуқтаси илашиш чизиги бўйлаб ҳаракатланганини сабабли  $N_1 K$  масофа катталаши,  $N_2 K$  масофа эса кичиклаша боради (13.9-расмга қаранг). Шунинг учун, (13.31) тенгламадан куриниб турганидек,  $\theta$  нисбий босим коэффициенти илашиш жараёнида ўзгаради. Бу ўзгариш графиги 13.12-расмда келтирилган.

$\theta$  коэффициентни Герц формуласига қўйиб ушбуни ҳосил қиласиз:

$$\sigma = 0,418 \sqrt{QE/(bm)} \sqrt{\theta}.$$

$x_1$  ва  $x_2$  силжиш коэффициентлари катталашиб боргани сари  $\theta$  нисбий босим коэффициенти кичрая боради. Шу сабабдан конструктор уриниш зўриқишиларини камайтира олади. Бунинг учун  $x_1$  ва  $x_2$  силжиш коэффициентларини шундай танлаши керакки,  $\theta$  коэффициент мумкин қадар кичик қийматга эга бўлсин.

Ташки илашмали узатмалар учун силжиши ҳисоблаш коэффици-

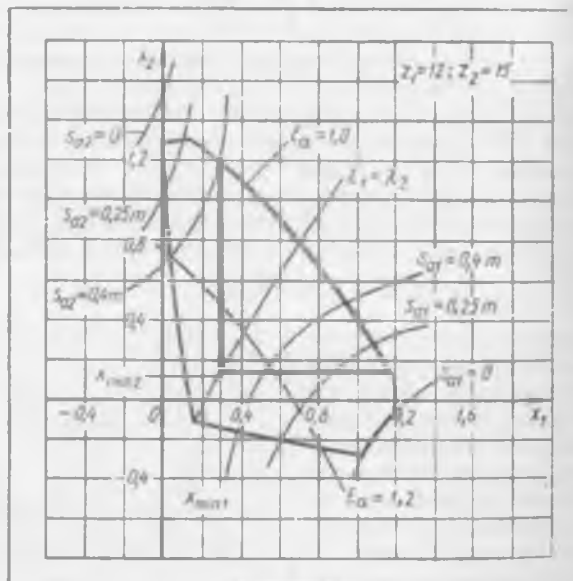


13.12- расм

ентларини танлаш. Исталган узатма учун  $x_1$  ва  $x_2$  силжиш коэффициентларини белгилашда қойнадиги учта шарт бажарилиши лозим: 1) тиш асоси қирқишиб үйилмаслиги керак; 2) тиш үткірланмаслиги даркор; 3) илашма узлуксиз бўлиши зарур. Шестерняга нисбатан қуйидаган биринчи шарт бажарилиши учун  $x_1$  силжиш коэффициенти ўзининг энг кичик  $x_{\min 1}$  қийматидан катта бўлиши керак ( $13.4-\delta$  га қаранг). Иккинчи ва учинчи шартлар шестернянинг  $x_1$  силжиш коэффициентини энг катта чекли  $x_{\max 1}$  ва  $x_{\max 2}$  қиймаглар билан чеклаб тулади ( $13.4$  ва  $13.6-\delta$  га ларга қаранг). Бу чекли қийматлар ҳар хил бўлиб, тишлиғидирекни ҳисоблашда  $x_{\max 1}$  нинг кичик қийматга эга бўлганидан фойдаланиш лозим. Шундай қилиб, шестернянинг  $x_1$  силжиш коэффициентини шундай белгилаш керакки, бунда  $x_{\min 1} \leq x_1 \leq x_{\max 1}$  муносабатта амал қилинсин. Ғилдиракниң  $x_2$  силжиш коэффициенти тўғрисида ҳам худди шу нарасани айтиш мумкин, яъни:  $x_{\min 2} \leq x_2 \leq x_{\max 2}$ .

Қўрсатилган чегаралар оралиғида  $x_1$  ва  $x_2$  силжиш коэффициентларини шундай танлаш керакки, узатманинг уларга боғлиқ бўлган сифат қўрсаткичлари (юриш равонлиги, ейилнишга чидамлилиги, мустаҳкамлиги) энг мақбул қийматларга эга бўлсан. Бунда узатма ишлайдиган муайян шароитни, яъни ҳаракатланниш тезлигини, юкланиш хусусиятини, спик мой ваннасига эга ёки эга эмаслигини, шестеря ва ғилдирак материяларни, уларга термик ишлов берниш турини ва ҳоказоларни ҳисобга олиш лозим [13].

Тишлиари сони  $z_1$  ва  $z_2$  бўлган узатма учун  $x_1$  ва  $x_2$  координаталар системасида силжиш коэффициентларининг рухсат этиладиган қийматлари соҳасини қуриш мумкин ( $13.13$ -расм). Бу соҳа  $x_{\min 1}$ ,  $x_{\min 2}$ ,  $e_a = 1,0$ ,



13.3- расм

$s_{a1} = 0$ ,  $s_{a2} = 0$  чизиқлар орқали чегараланган; ушбу чизиқлар блокировкаловчи контурни ташкил қиласи.  $x_1$  ва  $x_2$  коэффициентларнинг рухасат этиладиган қийматлари блокировкаловчи контур ичидаги күрсатилади.

Хар бир тишили узатма учун алоҳида блокировкаловчи контур ясаш мумкин. Тишлари сони  $z_1 = 12$ ,  $z_2 = 15$  бўлган тўғри тишили узатмага мулжалланган бундай контурга мисол 13.13-расмда қўш чизиқ орқали күрсатилган.  $s_{a1} = 0$ ,  $s_{a2} = 0$  чизиқлар рухасат этилган чегаралардан чиқиб кетгандилиги кўриниб турибди. Бу, тишлари сони  $12/15$  бўлган узатма учун  $\epsilon_a = 1$  га кўра чеклаш тиш учининг ўтирилашувига доир чеклашдан олдин бошланишини күрсатади.  $x_1$  ва  $x_2$  координаталарда блокировкаловчи контурдан ташқари,  $\epsilon_a = 1,2$  изоляциялаш чизиги баъзи ҳолларда эса тишили узатманинг геометриясини ҳамда хусусиятларни ифодаловчи бошқа чизиқлар ҳам күрсатилади. 13.13-расмда йўғон чизиқ билан ажратиб күрсатилган чизиқлар орқали рухасат этилган соҳани кенгайтириш имконияти ҳам күрсатилган, лекин бундай имконият стандарт томонидан тавсия этилмайди.

Стандарт рейкали асбоб билан ясалган тўғри тишили гилдираклар учун блокировкаловчи контурлар альбоми справочник қўлланмада (қаранг; Болотовская Т. П., Болотовский И. А., Бочаров Г. С. ва бошқалар. Справочник по геометрическому расчету эвольвентных зубчатых и червячных передач. М., 1963) ҳамда тишили узатмаларга доир стандарт иловасида (қаранг: ГОСТ 16530 — 83, 16531 — 83, 16532 — 70) келтириллади. Ушбу иловада  $x_1$  ва  $x_2$  силжиши коэффициентларини танлаш юзасидан тавсияномалар ҳамда ташқи илашмали эвольвентали цилиндрсимон тишили илашмани геометрик ҳисоблаш тартиби ҳам берилган.

## 14-боб

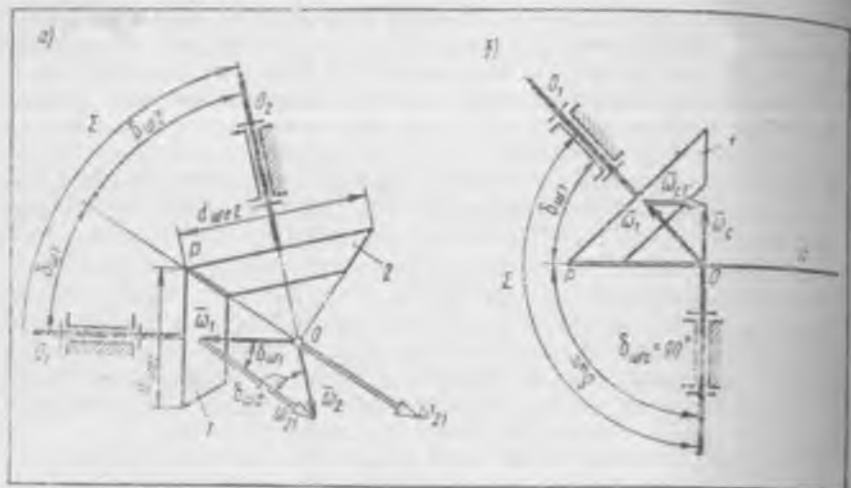
### ФАЗОВИЙ ТИШЛИ УЗАТМАЛАР

Қўпгина машиналарда механизмларнинг талаб қилинувчи ҳаракатлари амалга ошиши учун бир ваддан бошласига айлайма ҳаракат узатилиши зарур. Бўнинг учун эса ушбу вадлар ўқлари ўзаро кесишувчи ёки айқаш бўлиши шарт. Бундай ҳолларда мос тарзда ё конуссимон, ёки гиперболондсимон тишили узатма қўлланилилади. Конуссимон узатма гилдириларининг аксондалари конус, гиперболондсимон узатманини эса сир сўшилиқи гиперболонд сўлади (12.1-§ га қаранг). Иккита турдаги узатма ҳам фазовий меҳон эмлар туркумига киради. Уларни серилган узатиш нисбатига кўра синтезлаш (геометрик ҳисоблаш) асослари ушбу бобда баён этилади.

#### 14.1-§. Конуссимон тишили узатма

Агар конуссимон узатманинг ўқлари орасидаги бурчак  $90^\circ$  га тенг бўлса, бундай узатма ортогонал конуссимон узатма деб аталади. Умумий ҳолда ноортогонал узатмада бўғинлар  $1$  ва  $2$  нинг  $\omega_1$  ва  $\omega_2$  бурчак тезликлари векторлари орасидаги бурчакка нисбатан  $180^\circ$  гача тўлдирилган бурчак ўқларро  $\Sigma$  бурчак дейилади (141-расм, а).

Бўғинлар  $1$  ва  $2$  нинг  $\omega_1$  ва  $\omega_2$  бурчак тезликлари векторлари орасидаги боғланиш қўйидаги муносабатдан аниқланади:



14.1- рәсм

$$\bar{w}_3 = \bar{w}_1 + \bar{w}_2. \quad (14.1)$$

$\bar{w}_1$  векторнинг  $\bar{w}_1$  ва  $\bar{w}_2$  векторларга нисбатан ҳолати йигиндиси ўқлар-аро  $\Sigma$  бурчакка тенг бўлган  $\delta_{w1}$  ва  $\delta_{w2}$  бурчакларга кўра аниқланади:

$$\delta_{w1} + \delta_{w2} = \Sigma. \quad (14.2)$$

Агар  $O_1O$  ва  $O_2O$  ўқларнинг кесиншув нуқтаси  $O$  дан  $\bar{w}_3$  вектор ўтказсан, у етакчи ва етакланувчи бўғинлар нисбий ҳаракатининг  $OP$  оний ўқи билан устма-уст жойлашади ҳамда бошлангич конус-лар деб аталувчи аксоидларнинг конуссимон сиртларини аниқлайди. Бошлангич конус параметрларини белгилашда « $w$ » индексидан фойдаланилади. Бошлангич конусларнинг  $\delta_{w1}$  ва  $\delta_{w2}$  бурчаклари синуслар теоремасидан фойдаланган ҳолда (14.1) вектор муносабатни очиш оркали аниқланади (14.1-расм, а):

$$\sin \delta_{w1} / |\bar{w}_1| = \sin \delta_{w2} / |\bar{w}_2|. \quad (14.3)$$

$|\bar{w}_1|$  ва  $|\bar{w}_2|$  бурчак тезлilikлар модулларининг нисбати узатиш нисбати бўлади:

$$u_{12} = |\bar{w}_1| / |\bar{w}_2| = \sin \delta_{w2} / \sin \delta_{w1}. \quad (14.3)$$

Ўқлараро  $\Sigma$  бурчак ва  $u_{12}$  узатиш нисбати берилган бўлса, бошлангич конуслар бурчаклари (14.2) ва (14.3) муносабатларни биргаликда очиб аниқланади:

$$\begin{aligned} u_{12} &= \frac{\sin \delta_{w2}}{\sin \delta_{w1}} = \frac{\sin (\Sigma - \delta_{w1})}{\sin \delta_{w1}} = \frac{\sin \Sigma \cos \delta_{w1} - \cos \Sigma \sin \delta_{w1}}{\sin \delta_{w1}} = \\ &= \frac{\sin \Sigma}{\operatorname{tg} \delta_{w1}} - \cos \Sigma. \end{aligned}$$

Бошланғич конусларнишг изланаған  $\delta_{w1}$  ва  $\delta_{w2}$  бурчаклари қуйндағи формулалардан анықланады:

$$\delta_{w1} = \operatorname{arctg} \left( \frac{\sin \Sigma}{u_{12} + \cos \Sigma} \right) = \operatorname{arctg} \left( \frac{\sin \Sigma}{z_2/z_1 + \cos \Sigma} \right); \quad (14.4)$$

$$\delta_{w2} = \Sigma - \delta_{w1}. \quad (14.5)$$

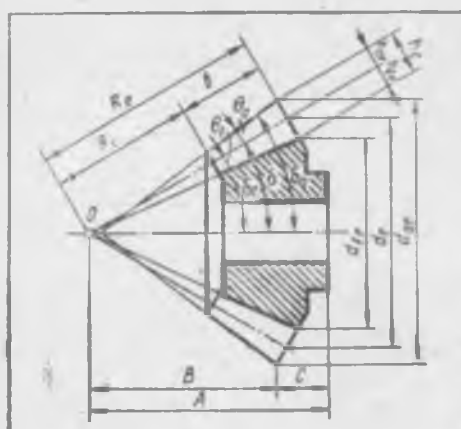
$\Sigma = 90^\circ$  бұлғанда ортогонал узатма учун (14.4) ва (14.5) мұноса-батлар қуйнады хүсусий күринишиңга эга бўлади:

$$\delta_{w1} = \operatorname{arctg} (1/u_{12}) = \operatorname{arctg} (z_1/z_2);$$

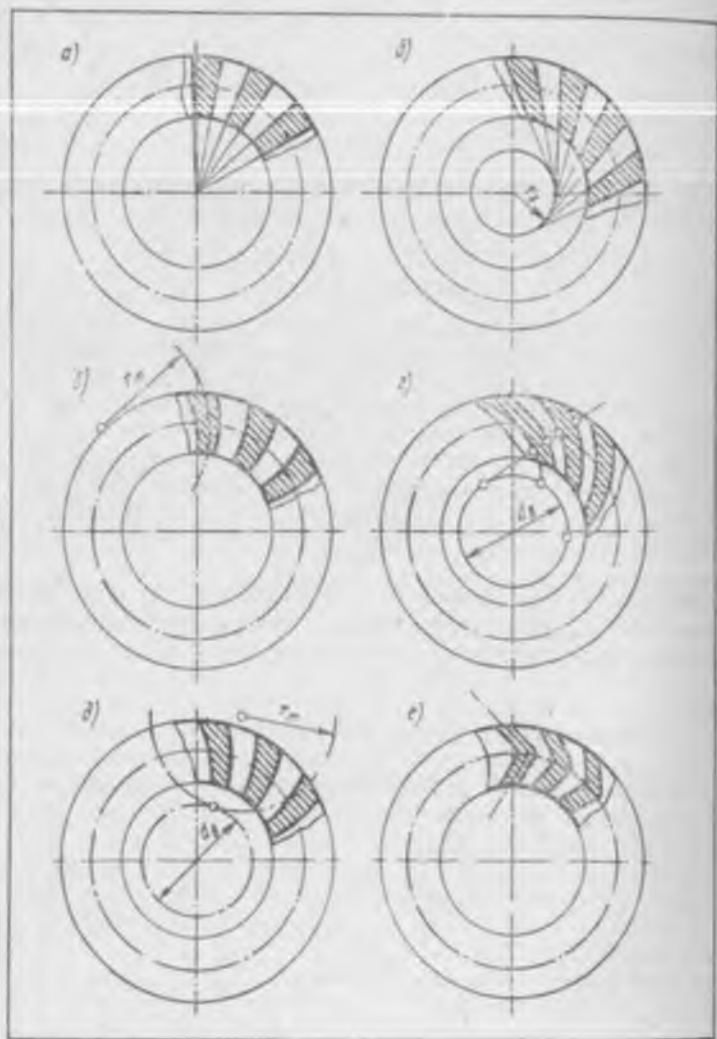
$$\delta_{w2} = \operatorname{arctg} u_{12} = \operatorname{arctg} (z_2/z_1). \quad (14.6)$$

Ноортогонал узатманинг хүсусий күриниши текис конуссимон узатмадир; унда бошланғич ғилдираклардан бириңнинг юзаси текислик бўлиб, чўққисидаги бурчак  $\delta_{wc} = 90^\circ$  га тенг (14.1-расм, б).

Текис конуссимон ғилдирак параметрлари «» индекси илова қилинган ҳолда белгиланади (масалан, текис ғилдиракнинг тишли сони  $z_c$  билан, бурчак тезлиги  $\omega_c$  билан белгиланади). Ғилдираклар, тишлиларниң үлчамлари ва улар элементларининг жойлашуви ҳар бир ғилдиракдаги бўлувчи конус деб агадувчи асосий конуссимон сиртга иисбатан шакллантирилади. Конуссимон узатмани лойиҳалашда бўлувчи конусларнинг  $\delta_1$  ва  $\delta_2$  бурчаклари бошланғич конусларнинг  $\delta_{w1}$  ва  $\delta_{w2}$  бурчаклари билан мос келадиган қилиб олниади, бу эса ҳисоблаш формулаларини соддалаштиради. Тишлилар ғилдиракда тишли тожни ҳосил қиласди, у  $\delta_a$  бурчакли чўққилар конуси билан  $\delta_b$  бурчакли ботиклар конуси оралигида жойлашади (14.2-расм). Ғилдирак тайёрлашда асосий  $K$  масофадан ва конус учигача бўлган  $B$  үлчамдан ҳамда асосий текисликка бўлган  $C$  үлчамдан фойдаланилади. Тишини ботикдан ажратиб турувчи сирт тишининг ён сирти дейиллади. Тиш ён сиртининг унга ўқдош бўлган текислик билан кесишувидан ҳосил бўлган чизиқ тиши чизиги дейиллади. Тиш чизиги бўлувчи ўқдош конуснинг ясочиши билан устма-уст тушиши (түғри тишлиларда) ёки бўлувчи юзагали тиши чизигинга иисбатан  $\beta$  бурчакка оғиб туриши мумкин. Конуссимон ғилдиракларнинг бўлувчи конус ёйылмасидаги тиши чизикларининг шаклига кўра фарқ қилувчи қуийнадиги турлари бўлади (14.3-расм):  $a$  — түғри тишли,  $b$  — тангенциал тишли,  $c$  — доиралык тишли,  $d$ ,  $e$  — эгри тишли ғилдираклар. Түғри тишли узатмалар енгил юкланишларда катта бўлмаган тезликларда (одатда айланиш частота



14.2- расм

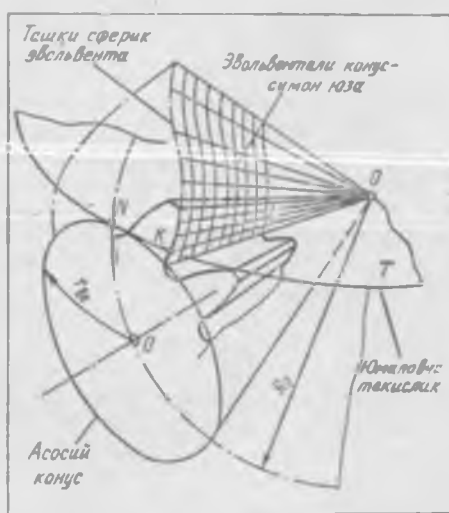


11.3- рисм

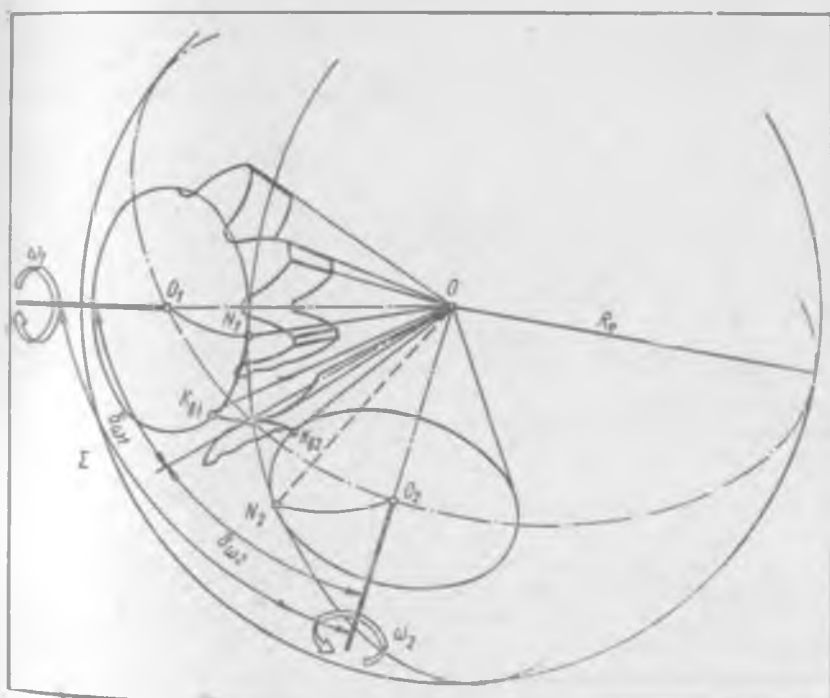
таси 1000 айл/мин дан кам бүлганды) құллаптылади. Энг катта юкленеш ҳамда энг юқори тезліктегі ишлеш ва ишнинг юксак даражада равон ва шовқынсиз бүлишини таъминлаш учун эгри тишли узатмалардан фойдаланилади.

Тишилар ён сирттіннің қандай хосил бүлишини 14.4-расмдан күзәтиш мүмкін.  $T$  текислик асосий конусга уринган ҳолда унда сирланғасдан юмалайты. Юмаловчы  $T$  текисликдеги исталған  $KL$  түғри чызык

фазола конуссimon эволь-  
вентаны ҳосил қиласы,  
чиңиңдеги исталған нүкта эса  
( $K$ ,  $L$  ёки башқалар) маълум  
({ $\mu$ },  $\nu$  нүсли сферада жойланғуачы,  
сферасimon эвольвента деб аталадынган траекто-  
рияны ҳосил қиласы. Ҳар бир  
сферик кесимдеги тишиңнг ён  
сирида тиши профили деб  
аталувчи кесишиш чизигини  
ажратып курасатиш мүмкін. Ко-  
нуссимон гилдирак кесимлары-  
даги тиши профиллари бир-би-  
ридан фарқ қиласы. Ташки,  
ұрта, ички ва жорий күнда-  
ланған кесимлар бўлади. Ў ёки  
бу кесимда параметрларни бел-  
гилашда тегишлича индекслар  
илюва қилинади (14.2-расмга  
қаранг). Масалан, ташки кесим



14.4- расм



14.5- расм

учун «*a*» индекси, ўрта кесим учун «*ap*» индекси, ички кесим учун индекси, жорий кесим учун «*ax*» индекси ишлатылади.

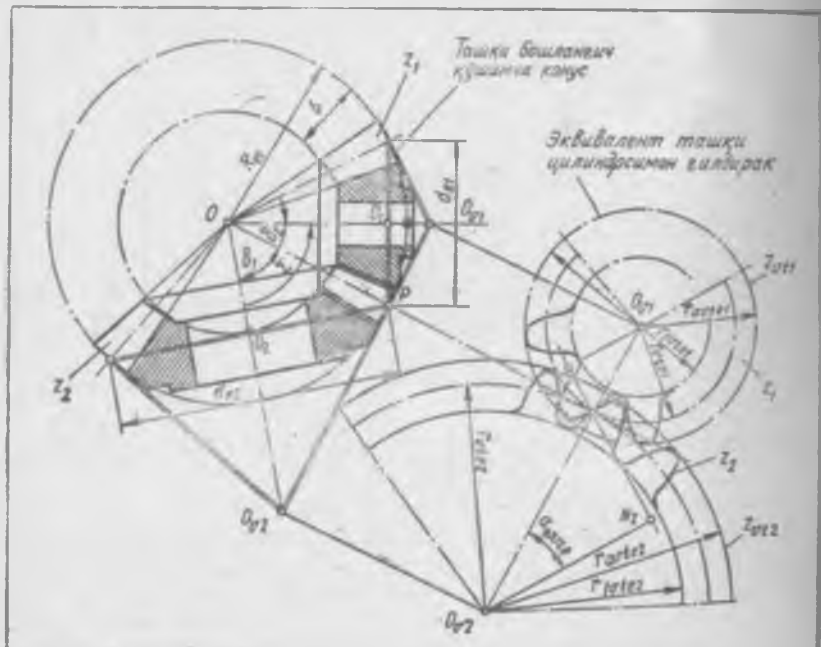
Ташки күндаланг кесимнинг  $R_p$  радиуси ташки конус масофа си дейилади. Конуссimon ғилдиракнинг ташки ҳамда ички күндаланг кесимлари орасидаги масофа тишли тожнинг эни деб аталауди ва «*b*» ҳарғи билан белгиләнади (14.2-расмга қарант).

Туташуучи эвольвентали конуссimon юзаларнинг берилган бошлангич конусларга кўра ўзаро таъсири конуссimon эвольвентали ишләмани ифода ғайди (14.5-расм).

Асосий конусларга уринма бўлган  $N_1ON_2$  текисликда ётувчи  $PO$  қутб тўғри чизигини тишилар ён сиртларининг ясовчиси деб қараш мумкин. Исталган ўзаро уринувчи сферасimon  $\mathcal{E}_1$  ва  $\mathcal{E}_2$  эвольвенталар илашши чизигига (масалан,  $N_1PN_2$  га) эга бўлади; бу чизик сферада жойлашади ва унишинг катта доираси ёйи бўлади.

Сферасimon эвольвенталарининг ўзаро таъсирини аналитик кўринишла ифодалаш анча қўйин. Тишиларнинг баландлик бўйича ўлчамлари сфера радиусига нисбатан кичиклигини ҳамда тишилар профиллари тор сферик юзада жойлашганлигини эътиборга олиб, ҳикоблашлинг инженерлик усулидан фойдаланилади (14.6-расм). Бу усулнинг моҳияти қўшимча конуслардан фойдаланишдан иборат.

Қўшимча бўлувчи конус деб, ясовчиси (масалан, 14.6-расмдаги  $PO_{y1}$  ёки  $PO_2$ ) тишли ғилдирак бўлувчи конусининг ясовчисига



14.6- расм

перпендикуляр бүлган ўқдош конуссимон сиртга айтилади. Құшымча конуслар киритилиши тиіш профилларининг ўзаро таъсирини сферада ~~был~~, балки сфера билан уринувчи құшымча конусларда қараб чиқишига ишкен беради. Агар құшымча конусларни текисликка айланыпрынбейттесе, у ҳолда тиішлар профили оддий эвольвенталарга жуда яқин бүлган текис эгри чизик бўлиб қолади. Бу эвольвенталар  $O_{v1}N_1$  ва  $O_{v2}N_2$  радиуслари эквивалент цилиндрысімон узатма учун топиладиган асосий айланаларнинг муайян үлчамларига мос бўлади. Эквивалент цилиндрысімон узатманинг параметрлари құшымча « $v$ » индексига эга. Бундай узатма тиішли ғилдирактарнинг ҳар бирин эквивалент цилиндрысімон тиішли ғилдирак дейтилади; у конуссимон ғилдиракларнинг  $z_1$  ва  $z_2$  тиішлари сонидан фарқиши равнишда  $z_{v1}$  ва  $z_{v2}$  тиішлар сонига эга бўлади.

Конуссимон ҳамда эквивалент цилиндрысімон ғилдираклар концентрик айланаларнинг үлчамларини кўриб чиқиб  $\alpha_1$  ва  $\alpha_{v1}$  ёки  $\alpha_2$  ва  $\alpha_{v2}$  тиішлар сони орасидаги боғланишини осонгина аниқласа бўлади:

$$r_{v1e1} = \frac{0.5d_{e1}}{\cos \alpha_1} = \frac{0.5m_e z_1}{\cos \alpha_1} = 0.5m_e z_{v1};$$

$$r_{v1e2} = \frac{0.5d_{e2}}{\cos \alpha_2} = \frac{0.5m_e z_2}{\cos \alpha_2} = 0.5m_e z_{v2}.$$

Ташқи учдаги конуссимон ғилдирак концентрик айланаси ёни бўйича құшни тиішларнинг бир хил профилларин орасидаги масофага мос келувчи  $m_e$  ташқи айланамодуль эквивалент цилиндрысімон узагманинг модулига тенг. Шу сабабли  $z_{v1}$  ва  $z_{v2}$  тиішлар сонини қўйидаги муносабатлар орқали ифодалаш мумкин:

$$z_{v1} = z_1 / \cos \alpha_1; \quad z_{v2} = z_2 / \cos \alpha_2. \quad (4.7)$$

Умуман олганда  $z_{v1}$  ва  $z_{v2}$  лар каср сонлар бўлиб, ҳисоблаш жараёнида яхлатланмайди, балки 0,01 гача аниқликда ҳисоблаб чиқарилади.

Эквивалент цилиндрысімон узатманинг узатиш нисбати ушбу муносабатдан аниқланади:

$$I_{v12} = \frac{z_{v2}}{z_{v1}} = \frac{z_2 / \cos \alpha_2}{z_1 / \cos \alpha_1} = I_{12} \frac{\cos \alpha_1}{\cos \alpha_2}. \quad (4.8)$$

Эквивалент цилиндрысімон узатманинг  $a_{v1e1}$  илашиш бурчаги, тиіш учтари айланаларнинг  $r_{av1e1}$  ва  $r_{av1e2}$  радиуслари, ботиқликлар айланаларнинг  $r_{v1e1}$  ва  $r_{v1e2}$  радиуслари (14.6-расм) олдин цилиндрысімон эвольвенталар узатмалар учун чиқарилган формулаларга ўхшаш формулалар ёрдамида ҳисобланади.

Эгри тиішли конуссимон узатмаларни ҳисоблашда (14.3-расмга қаранг) қараладиган эквивалент цилиндрысімон узатма тўғри тиішли эмас, балки вицтисимон тиішли бўлади. Шу сабабли тиіш профиллари мос тарздаги нормал кесимларда кўриб чиқилади. Тиішларининг үлчамлари ҳамда шакли тиішнинг ўрта чизигига нормал бўлган кесимда тангенссимон ва эгри тиішли конуссимон тиішли ғилдирак тиішларининг үлчамлари ва шаклига деярли ўхшаш бўлган (бош кесимда) тўғри тиішли цилиндрысімон тиішли узатма биекивалент цилиндрысімон тиішли ғилдирак деб аталади. Ўништеги тиішлари сони  $\alpha_v$  (мос равнишда  $\alpha_{v1}$  ва  $\alpha_{v2}$ ) билан белгиланади.

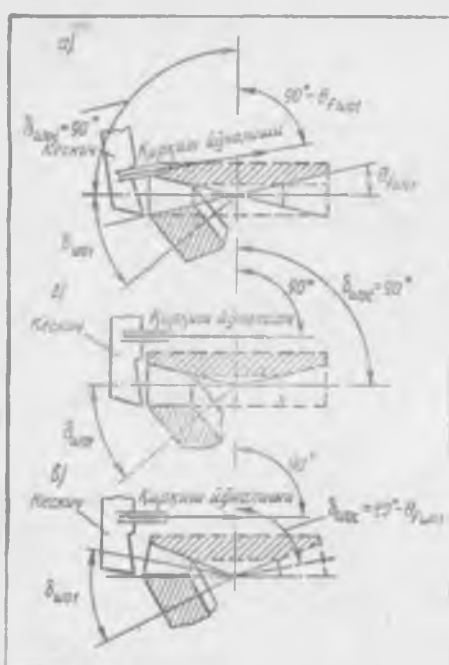
Бундай конуссимон гилдираклар тишилари шаклининг козъфчишенти амалий ҳисоблашлар учун етарли бўлган аниқликда, биэквиалент цилиндрическимон гилдиракнига ўхшашиб тарзда аниқланади. Биэквиалент цилиндрическимон гилдирак тишиларининг сони қуйидаги формулаlardан топлади:

$$A_{n1} = \frac{z_1}{\cos \delta_1 \cos^3 \beta_n}, \quad S_{n2} = \frac{z_2}{\cos \delta_2 \cos^3 \beta_n} \quad (14.9)$$

бу ерда  $\beta_n$  — тиш ўрта чизигининг оғиш бурчаги бўлиб, у конуссимон тиши гилдирак тишининг ҳисоблашиб топиладиган ташқи, ўрта, ички ёки бошқа бир нормал кесимларига мос келади.

Тишилар ён сиртлари ва профилларининг геометрияси конуссимон гилдиракларининг тайёрланиш технологияси билан чамбарчас боғлиқдир. Конуссимон гилдиракдаги шаклдор профилни асбобининг мураккаб профилидан нусха олиш йўли билан ҳосил қилиб бўлмайди, чунки конуссимон гилдирак ботиклигининг ўлчамлари конус учига яқинлашган сари ўзгара боради. Шу сабабдан модулли дискини фреза, бармоқли фреза, шаклдор жилвирлаш доираси каби асбоблар ботикликини хомаки қирқиши ёки кўпич билан 8-аниқлик даражасидаги ботикликини ҳосил қилиш учун қўлланилади.

Юқорироқ аниқликдаги конуссимон гилдираклар тайёрлаш учун камрама қирқиши усулидан фойдаланилади, бунда тиш қирқиладиган гилдирак тасаввурдаги ясовчи гилдирак билан дастгоҳ илашмасида бўлади.



14.7-расм

Тасаввурдаги ясовчи гилдиракнинг ён сиртлари асбоб қирқувчи кирраларининг асосий қирқиши ҳаракатида юзага келади. Гифи тўғри чизик шаклида бўлган асбоблар кенг тарқалган. Бундай тиг ўзининг тўғри чизиқли асосий ҳаракатида текис ясовчи сиртни ҳосил қилиади. Бундай сирт сферик эволвентасимон профиллари бўлган эволвентали конуссимон сиртни ҳосил қила олмайди. Эволвентали конуссимон юзалардан фарқ қиласидиган, ҳосил қилинадиган, ўзаро уринувчи юзалар квазизволвентали юзалар деб аталади (эски терминологияда октоидал юзалар деб аталади).

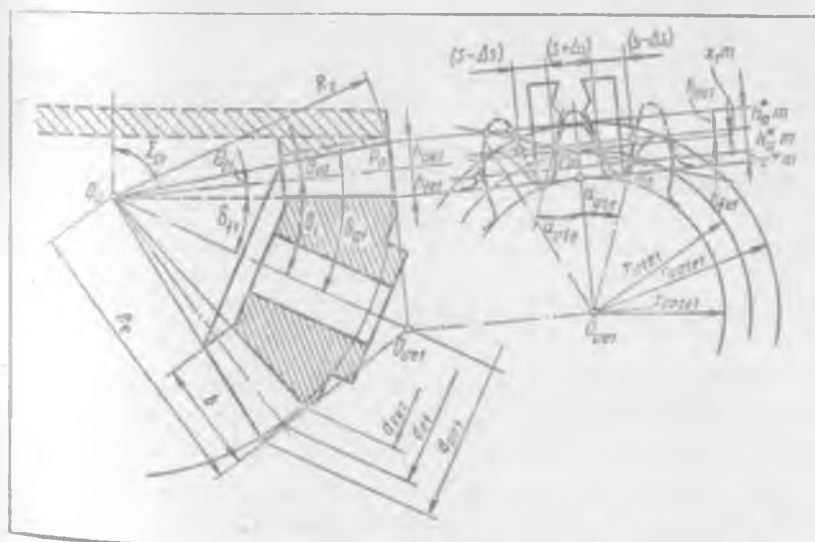
Ясовчи гилдираклар текис (бунда  $\delta_{woc} = 90^\circ$  бўлади; 14.7-расм, а, б) ёки текис чўққили (бунда  $\delta_{woc} = 90^\circ - \theta_{f, w}$  бўлади; (14.7-расм, в) булиши мумкин. Бунда иккала ҳолда ҳам дастгоҳ илашмали аксонд

конуснинг чўққисидаги бурчак  $\delta_{wo}$  га teng бўлади. Дастребки икки ҳолда ҳосил бўлувчи квазиэвольвентали конуссимон гилдираклар ўзаро уринувчи бўлади, чунки ясовчи текис гилдираклар мос келувчи жуфтликни ҳосил қиласди. Бу жуфтликда тишларнинг ён ясовчи юзалари ўзларининг ҳамма нуқталари билан ўзаро уриниб туриши мумкин. Бирор 14.7-расм, а да кўрсатилган дастгоҳ илашмаси схемасини амалга оширувчи дастгоҳ кескич йўналтиргичларини қиялатиб ( $90 - \theta_{wo}$ ) ўрнатишга имкон берувчи бурилма йўналтиргичларга эга булиши лозим, бунда  $\theta_{wo}$  — дастгоҳ илашмасида тиш қирқилувчи гилдирак тиши обгининг бурчаги. Бундай схема дастгоҳ конструкциясини мураккаблаштирганидан кам қўлланилиди.

Кескичлар  $\theta_{wo}$  бурчакни ҳисобга олмаган ҳолда ҳаракатланса (14.7-расм, б), тиш обгининг баландлиги конус чўққисига яқинлаша борган сари ўзгаришсиз қолади, бу эса тишни бушаштиради, баъзан эса тиш обгининг қирқилиб ўйнилишига олиб келади.

Дастгоҳларнинг кўпигина нусхалари а текис чўққили ясовчи гилдирак қўлланилиди. Бундай гилдиракда тишларнинг чўққилари (учлари) текисликда жойлашади, дастгоҳ илашмали аксоид конуснинг бурчаги эса тиш қирқилувчи гилдирак тиши обгининг  $\theta_{wo}$  бурчagini назарда тутган ҳолда ҳисобланади. Иккита текис чўққили гилдирак ўзаро мос келувчи ясовчи жуфтликни ҳосил қиласди, шу сабабли тайёрланадиган квазиэвольвентали гилдираклар ўзаро уринувчи бўлмайди. Бундай хатолик сезиларсиз даражада бўлиб, одатда ҳисобга олинмайди.

14.8-расмда келтирилган ҳисоблаш схемаси конуссимон гилдиракнинг текис чўққили ясовчи гилдирак билан дастгоҳ илашмаси асосида унга эквивалент бўлган назарий бошлангич контури дастгоҳ илашмасига



14.8- расм

үтишга имкон беради. Рейкасимон контур билан мос келадиган конуссимон ғилдирак тишиларининг назарий шакл ва ўлчамларини аниқлаш учун асос қилиб олинадиган бошлангич контурнинг бир қанча параметрлари қатый белгилангандир, яъни:  $\alpha = 20^\circ$ ;  $h^* = 1,2$ ;  $c^* = 0,2$ ;  $\rho^* \leq 0,3$ . Бироқ тиш қирқиши усулларининг ўзига хос томонларини эътиборга олган ҳолда ушбу параметрларни стандарт асбобдан фойдаланиш доирасида ўзгартириш мумкин. Масалан, қушни кескичларининг бир-бирига нисбатан жойлашуви эвазига бўлувчи чизнқ бўйича тиш қалинлигини ботиқнинг энига тенг қилиб олмаслик мумкин; кескичларнинг номинал модули тиш қирқилювчи ғилдиракнинг модулинга қатъий мос келиши талаб қилинмайди. Ташки модуль стандарт бўлмаслиги, ҳатто каср сон бўлиши ҳам мумкин.  $\alpha$  бурчакни кескичининг қиялиги эвазига ўзгартириш мумкин.

Конуссимон узатманинг параметрлари қўйидаги тартибда ушбу формуулалар ёрдамида ҳисобланади (14.8-расм):

текис ғилдирак тишиларининг сони:

$$z_c = \frac{1}{\sin \Sigma} \sqrt{s_1^2 + s_2^2 + 2s_1 s_2 \cos \Sigma}; \quad (14.10)$$

$\Sigma = 90^\circ$  бўлганда

$$z_c = \sqrt{s_1^2 + s_2^2}; \quad (14.11)$$

ташки конус масофаси:

$$R_e = 0,5m_e z_c; \quad (14.12)$$

тишли тожнинг эни  $b \leq 0,3 R_e$ , ёки  $b \leq 10 m_e$ ; тишли тож энининг коэффициенти  $k_{be} = b/R_{we} = 0,2 \dots 0,3$ ; бўлувчи конус бурчаги:

$$\delta_1 = \operatorname{arctg}[\sin \Sigma / (s_2/s_1 + \cos \Sigma)]; \quad (14.13)$$

$$\delta_2 = \Sigma - \delta_1; \quad (14.14)$$

$\Sigma = 90^\circ$  бўлганда

$$\delta_1 = \operatorname{arctg}(s_1/s_2); \quad (14.15)$$

бошлангич контурнинг  $x_1 = 0 \dots 0,6$  смлиши коэффициенти  $s_1$  тишилар сонига ҳамда узатманинг узатиш нисбатига кўра белгиланади;  $x_2 = -x_1$ :

$$x_1 > x_{1min} = 1,068 - 0,58s_1/\cos \delta_1; \quad (14.16)$$

бошлангич контур тишининг ҳисоблаб топиладиган қалинлигининг ўзгариш коэффициенти:

$$x_{t1} = 0,03 - 0,008 (s_2/s_1 - 2,5); \quad x_{t2} = -x_{t1}. \quad (14.17)$$

Тишли ғилдираклар параметрлари ҳисоблаш схемасига кўра чиқарилган қўйидаги формуулаларга асосан ҳисобланади (14.8-расм):

тиш каллагининг ташки баландлиги:

$$h_{ae1} = (h_a^* + x_1) m_e; \quad h_{ae2} = 2h_a^* m_e - h_{ae1}; \quad (14.18)$$

тиш оёғининг ташқи баландлиги:

$$h_{f\epsilon 1} = h_{ae1} + c^* m_e; \quad h_{f\epsilon 2} = h_{ae1} + c^* m_e; \quad (14.19)$$

тишнинг ташқи баландлиги:

$$h_s = h_{ae} h_{f\epsilon}; \quad (14.20)$$

тишнинг ташқи айланы бўйича қалинлиги:

$$s_{\epsilon 1} = (0,5\pi + 2x_1 \operatorname{tg} \alpha + x_{\epsilon 1}) m_e; \quad s_{\epsilon 2} = \pi m_e - s_{\epsilon 1}; \quad (14.21)$$

тиш оёғининг бурчаги:

$$\theta_{f1} = \operatorname{arctg} (h_{f\epsilon 1}/R_e); \quad (14.22)$$

$$\theta_{f2} = \operatorname{arctg} (h_{f\epsilon 2}/R_e); \quad (14.23)$$

тиш каллагининг бурчаги:

$$\theta_{a1} = \theta_{f1}; \quad \theta_{a2} = \theta_{f2}; \quad (14.24)$$

учлар конусининг бурчаги:

$$\delta_{a1} = \delta_1 + \theta_{a1}; \quad \delta_{a2} = \delta_2 + \theta_{a2}; \quad (14.25)$$

ботиқлар конусининг бурчаги:

$$\delta_{f1} = \delta_1 - \theta_{f1}; \quad \delta_{f2} = \delta_2 - \theta_{f2}; \quad (14.26)$$

ташқи бўлувчи диаметр:

$$d_{e1} = m_e \delta_1; \quad d_{e2} = m_e \delta_2; \quad (14.27)$$

тиш учларининг ташқи диаметри:

$$d_{ae1} = d_{e1} + 2h_{ae1} \cos \delta_1; \quad d_{ae2} = d_{e2} + 2h_{ae2} \cos \delta_2. \quad (14.28)$$

*Геометрик кўрсаткичларига кўра илашманнинг сифатини текширишида ён томондан қопланиш коэффициенти  $e_a$ , учлар узлари юзасида тишининг ташқи айланы бўйича қалинлиги  $s_{ae}$  ҳисобланади ҳамда эквивалент цилиндрический илашмадан фойдаланган ҳолда тиш асосининг қирқилицаб үйилмаганлиги текширилади.*

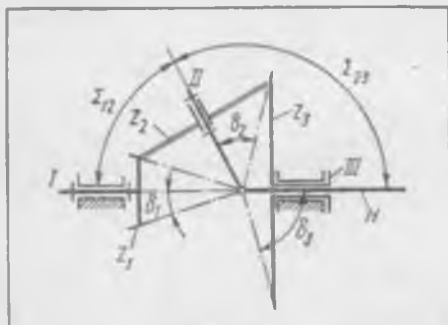
*Кўрсаткичларнинг тавсия қилинадиган қийматлари қуйидагича: ён томондан қопланиш коэффициенти  $e_a > 1,3$ ; учлари юзасида тишининг ташқи айланы бўйича никсбий қалинлиги  $s_{ae} = s_{ae}/m_e > 0,3$  (металлнинг тузилиши бир жинсли бўлганда) ва  $s_{ae}^* > 0,4$  (тишларининг сирти мустаҳкамлангани бўлганда).*

*Бошланғич кўрсаткичларни танланашда, берилган узатиш нисбати  $u_{12}$  ҳамда тишлилар сони бутун сонлар бўлиши муносабати билан  $u_{12}$ , нинг рухсат этиладиган четга чиқиши назарда тутилиши лозим. Гидрик тишлиларни сонини  $12 - 100$  атрофида белгилаш тавсия қилинади.*

*Туғри тишли конуссимон жуфтлик учун узагиши нисбатини қуйидагича белгилаш тавсия этилади: секинлатувчи узатма учун  $u_{12} \leq 5$ , теззатувчи узатма учун  $u_{12} > 0,35$ .*

*Ўқлараро  $\Sigma$  бурчак  $10 - 170^\circ$  бўлиши керак. Ортогонал узатма учун у  $90^\circ$  га тенг.*

*Бошланғич контур параметрлари стандартлаштирилган. 12.8-расмда улар ГОСТ 13754 — 81 га мувофиқ равншша келтирилган.*



14.9 расм

лар сони ұзаро оддий сонлар бўлиши, эга бўлмаслиги лозим. Агар узатма үзгармас юкланиш ҳамда уртacha тезлик билан ишиласа, у ҳолда  $z_1$  ва  $z_2$  тишлар сони бир-биринга каррапли бўлиши ёки имкони борнча кўпсқ умумий бўлувчиларга эга бўлиши керак. Бу ҳол тишлар иш сиртиниңг тезроқ сийқаланишига ёрдам беради.

Ўқдош конуссимон узатмаларни ҳисоблашда тишлар сонини, уларниң бошлангич конуслари бурчакларини ва ўқлар орасидаги бурчактарни ұзаро мувофиқластириш лозим. Масалан, схемаси 14.9-расмда тасвирланган конуссимон фидиракли планетар механизм учун қўйицаги муносабатлар бажарилиши керак:

$$\Sigma_{13} + \Sigma_{23} = 180^\circ; \quad \operatorname{tg} \delta_1 = \frac{\sin \Sigma_{13}}{z_1/z_3 + \cos \Sigma_{13}};$$

$$\operatorname{tg} \delta_2 = \frac{\sin \Sigma_{23}}{z_2/z_3 + \cos \Sigma_{23}}.$$

Ушбу муносабатларни биргаликда ечиб ўқлар орасидаги бурчак учун муносабат ҳосил қилинади:

$$\cos \Sigma_{13} = (z_3 - z_1)/(2 z_2).$$

Охирги муносабатдан  $z_3$  учун қўйи чегарани осонгина аниқлаш мумкин:  $\delta_1 > 0,5 (\delta_3 - \delta_1)$ .

#### 14.2-§. Гиперболоид тишли узатмалар

Айқаш ўқли тишли узатмада айни фидиракларниң айлананиши, айни ондаги фидиракларниң нисбий ҳаракатин оний винт ўқи бўйлаб сирпанган ҳолда шу ўқ атрофида айланма ҳаракатланиш деб қаралиши мумкин. Узатиш нисбати үзгармас бўлганда оний винт ўқи фазода қўзгалмас ҳолатни эгаллайди; бир бўшлиқли гиперболоидлар нисбий ҳаракат аксоидалари бўлади (12.1-расм, в га қаранг). Шу сабабли ўқлари айқашувчи гишли узатма гиперболоид узатма дейлади.

Тишли фидирак эпи нинг коэффициенти  $k_{fe} = b/R_{ue}$  ни 0,2 - 0,8 атрофида ташлаш тавсия этилади. Тишлар узунлигининг ушбу чегарадан ортиб кетиши амалда тишларниң четлари билангина ұзаро уринишига олиб келади. Бу ҳол узатманиңг нотурған ғигиришни ва тишларниң юқланиш тасирида деформацияланиши на-тижасида содир бўлади.

Үзгарувчан юкланиш билан иштайдиган тезюарар узатмаларни лойиҳалашда  $z_1$  ва  $z_2$  тишъяни улар умумий бўлувчига тезлик билан ишиласа, у ҳолда  $z_1$  ва  $z_2$  тишлар сони бир-биринга каррапли бўлиши ёки имкони борнча кўпсқ умумий бўлувчиларга эга бўлиши керак. Бу ҳол тишлар иш сиртиниңг тезроқ сийқаланишига ёрдам беради.

Ўқдош конуссимон узатмаларни ҳисоблашда тишлар сонини, уларниң бошлангич конуслари бурчакларини ва ўқлар орасидаги бурчактарни ұзаро мувофиқластириш лозим. Масалан, схемаси 14.9-расмда тасвирланган конуссимон фидиракли планетар механизм учун қўйицаги муносабатлар бажарилиши керак:

$$\Sigma_{13} + \Sigma_{23} = 180^\circ; \quad \operatorname{tg} \delta_1 = \frac{\sin \Sigma_{13}}{z_1/z_3 + \cos \Sigma_{13}};$$

$$\operatorname{tg} \delta_2 = \frac{\sin \Sigma_{23}}{z_2/z_3 + \cos \Sigma_{23}}.$$

Ушбу муносабатларни биргаликда ечиб ўқлар орасидаги бурчак учун муносабат ҳосил қилинади:

$$\cos \Sigma_{13} = (z_3 - z_1)/(2 z_2).$$

Охирги муносабатдан  $z_3$  учун қўйи чегарани осонгина аниқлаш мумкин:  $\delta_1 > 0,5 (\delta_3 - \delta_1)$ .

#### 14.2-§. Гиперболоид тишли узатмалар

Айқаш ўқли тишли узатмада айни фидиракларниң айлананиши, айни ондаги фидиракларниң нисбий ҳаракатин онний винт ўқи бўйлаб сирпанган ҳолда шу ўқ атрофида айланма ҳаракатланиш деб қаралиши мумкин. Узатиш нисбати үзгармас бўлганда оний винт ўқи фазода қўзгалмас ҳолатни эгаллайди; бир бўшлиқли гиперболоидлар нисбий ҳаракат аксоидалари бўлади (12.1-расм, в га қаранг). Шу сабабли ўқлари айқашувчи гишли узатма гиперболоид узатма дейлади.

Гилдиракниш бошланғич сирти деб, узатмадагы ушбу гилдиракка тишили бұлған ұзаро уринувчи үқдош шундай айланыш сиртларидан бирига айтилады, мазкур сиртларнинг исталған уриниш нұктасида ушбу сирт орқали ұтывчи гилдираклар тишиларнинг чизиқлари умумий уринима чизиққа әга бұлади ва гилдиракларнинг нисбий ҳаракат тезлигі вектори шу сирт бүйлаб йұналған ёки нолға тенг бұлади. Бошланғич сиртларнинг үлчамлари аксоид гиперболоидларнинг үлчамларидан анчагина фарқ қылыш мүмкін. Бошланғич сиртлар сифатида соддароқ шактты сиртлар, масалан, гилдираклар үқлари орасидаги әнд қысқа масофа чизигінде өтүвчи фақат битта нұктада ұзаро уринадыган думалоқ шилиндерлар қабул қылниши мүмкін.

Тишили гилдиракларнинг бошланғич сиртлари думалоқ шилиндерлар бұлған гиперболоид тишили узатма винтсимон тишили узатма деңгелі (2.6-расм, ә га қаранг). Агар тишили гилдиракларнинг бошланғич сиртлари сифатида учтари учрашмайдыган конуслар қабул қыланса, у ҳолда гипоид тишили узатма ҳосил бұлади (2.6-расм, ж га қаранг).

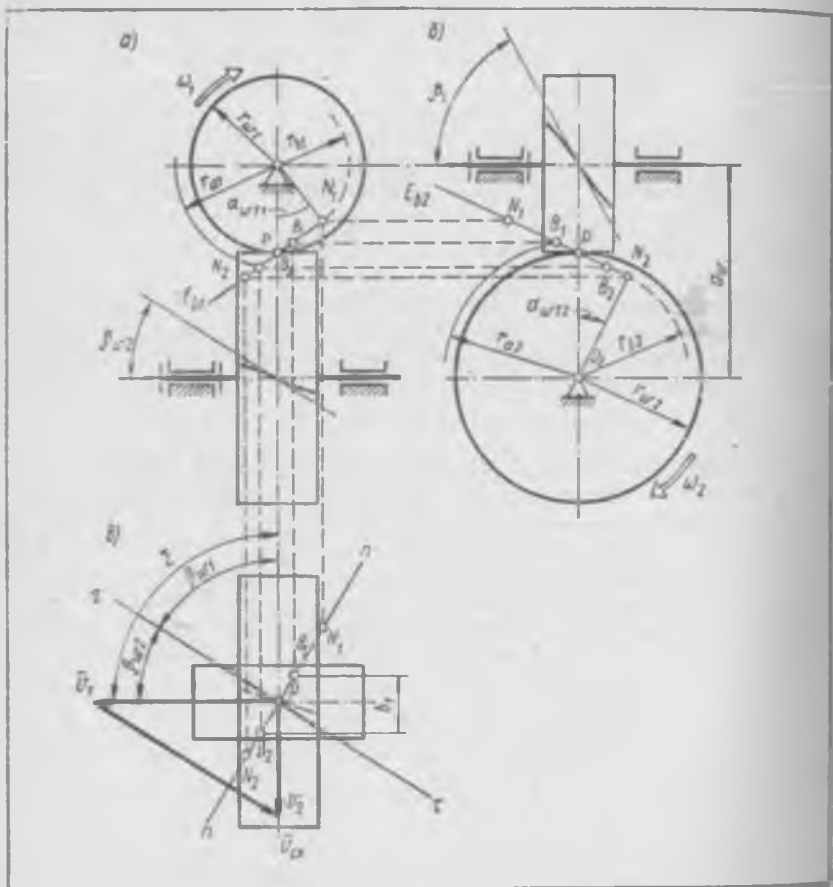
**Винтсимон тишили узатма.** Винтсимон тишили узатма үқлари ихтиёрий  $\Sigma$  бурчак остида айқашувчи иккита эвольвентали цилиндрсимон әгри тишили гилдиракдан ташкыл топади (14.10-расм, а, б, в). Үқлараро бурчак  $\Sigma = \beta_{w1} \pm \beta_{w2}$  га тенг, бу ерда  $\beta_{w1}$  ва  $\beta_{w2}$  — бошланғич цилиндрлар бүйінча тиши чизиқларнинг (винт чизиқларнинг) оғиш бурчаклары; мусбат ишора винт чизиқларнинг бир томонға йұналишига, манжини ишора әса ҳар хил томонларға йұналишига түгри келади. Винтсимон узатмада ушбу бурчаклар умумий ҳолда ҳар хил бұлади.

Ортогонал узатманинг хусусий ҳолида  $\Sigma \beta_{w1} + \beta_{w2} = 90^\circ$ , иккала гилдирак винт чизиқларнинг йұналиши әса бир хил (иккаласы ҳам е ўнгга, ёки чапга йұналған) бұлади. Үқлараро бурчаги  $\Sigma = 90^\circ$  бұлған тишили узатмани күриб чиқамыз.

14.10-расмда винтсимон узатмадаги  $r_{w1}$  ва  $r_{w2}$  радиуслы бошланғич цилиндрларнинг учта проекцияси ҳамда уларға марказдаш бұлған  $r_1$  ва  $r_2$  радиуслы асосий цилиндрлар күрсатылған. Бошланғич цилиндрлардаги винт чизиқлари илашиш қутби бұлған  $P$  нұктада уриндан ҳолатда күрсатылған,  $n$  —  $n$  чизиқ уларға ұтказылған нормалдір.  $\tau$  —  $\tau$  умумий уринима гилдирак үқлары билан мос равнішда  $\beta_{w1}$  ва  $\beta_{w2}$  бурчакларни ҳосил құлады ва бу бурчаклар йығындиси  $\Sigma$  бурчакка тенг бұлади.

$E_{\theta 1}$  ва  $E_{\theta 2}$  ясовчи текисликлар асосий цилиндрларға  $P$  қутб орқали уриниб үтади. Гилдираклар үқлари билан  $\beta_{\theta 1}$ ,  $\beta_{\theta 2}$  бурчаклар ҳосил қилювчи тишилар ён сиртларнинг түгри чизиқти ясовчилари ушбу текисликларда жойлашади.

Үқлары ұзаро параллел жобалашған узатмаларда иккала гилдиракнинг ясовчи текисликлари илашиш текислиги хисобланған битта текисликка құшилиб кетади,  $\beta_{\theta 1} = \beta_{\theta 2} = \beta_\theta$  бурчакларнинг ұзаро тенглигін натижасида әса тишиларнинг ён сиртлари умумий ясовчи бүйлаб уринады (чизиқты уриниши). Үқлары айқашувчи узатмаларда ясовчи текисликлар түфри чизиқ бүйлаб кесишиади. Илашиш чизиғи деб аталувины чизиқ тишилар ён сиртлары уриниш нұкталарнинг геометрик үрнін бүлдіреди. Гилдиракларнинг иккала асосий цилиндрнің уринима бұлған бу-



14.10- расм

чизиқ бошланғыч цилиндрларнинг ўзаро уриниш нүктаси  $P$  дан үтади. Илашиш чизигининг проекциялари  $E_{b1}$  ва  $E_{b2}$  текисликларнинг проекциялари билан мос тушади. Улар гилдиракларнинг күндаланғ кесимларыда катталиги турлыча бұлған  $\alpha_{\omega/1}$  ва  $\alpha_{\omega/2}$  илашиш бурчакларини ҳосил қылади. Бу бурчаклар қиімдемен эволъвентали цилиндрсімен узатмалар назариясидан маълум бұлған формуладан анықланади. Асосий цилиндрдаги илашиш чизигининг охирги  $N_1$  ва  $N_2$  нүкталари учта проекцияда күрсатылади.  $B_1$  ва  $B_2$  нүкталар орасынан кесма илашиш чизигининг актив узунлігіні билдиради. Бу нүкталар илашиш чизигининг гилдираклар тишилари учларининг  $r_{a1}$  ва  $r_{a2}$  радиуслы сиртлари силен кесишүвидан ҳосил бўлади.  $N_1$   $N_2$  илашиш чизиги иккала гилдирак тишиларнинг ён сиртларига ўтказилган умумий нормалдир.

$P$  құтб билан устма-уст тушган уриниш нүктаси учун тузилған тезликлар планинни (14.10-расм, ө га қарағы) күриб чиқиб ва айлашып

тезликларнинг  $\sigma^w$  нормал ташкыл этилувчилари ўзаро тенглигига асосланаб  $v_1 \cos \beta_{w1} = v_2 \cos \beta_{w2}$  лигига ишонч ҳосил қилиш мумкин:  $v_1 = r_{w1} \omega_1$  ва  $v_2 = r_{w2} \omega_2$  бўлгани учун  $\omega_1 r_{w1} \cos \beta_{w1} = \omega_2 r_{w2} \cos \beta_{w2}$ , бундан

$$u_{12} = \frac{\omega_1}{\omega_2} = \frac{r_{w2} \cos \beta_{w2}}{r_{w1} \cos \beta_{w1}}. \quad (14.29)$$

Шундай қилиб, винтсимон тишли узатманинг хусусияти шундан иборатки, бундай узатманинг узатиш нисбати, тиш чизикларининг қиялик бурчаклари бир хил бўлган цилиндрик узатмалардаги каби,  $r_{w1}$  ва  $r_{w2}$  радиуслар нисбатигагина эмас, балки  $\beta_{w1}$  ва  $\beta_{w2}$  бурчакларнинг катталигига ҳам боғлиқ.

(14.28) формуладан кўриниб турибдики, айнан битта узатиш нисбатининг ўзини бошлангич цилиндрлар радиусларини ҳамда цилиндрлардаги тиш чизикларининг қиялик бурчакларини кўп марта бирга қўшиш йўли билан ҳосил қилиш мумкин. Ҳосил қилинганлар ичидан лойиҳалашда кўрсатиладиган сифат кўрсаткичларини энг муносаб тарзда қаюатлантирадигани танлаб олинади.

Винтсимон тишли узатма яна битта хусусиятга эга: етакчи гилдиракнинг берилган айланиш йўналишини ўзгартиргмаган ҳолда тишлилар винт чизикларининг йўналишини ўзгартириш ҳисобига етакланувчи гилдиракнинг айланини йўналишини ўзгартириш мумкин.

Винтсимон узатмадаги иккала гилдирак учун нормал кесимда қадам ва модуль бир хил булади. Шу сабабли бошлангич ва бўлувчи цилиндрлари қўшилиб кетадиган узатма учун  $P = P_{w1} = P_{w2} = P_w = \frac{\pi m}{2}$  та гэга бўламиз. Кўндаланг кесимларда эса модуллар турлича булади:  $m/\cos \beta_1$  ва  $m/\cos \beta_2$ .

Бўлувчи ва бошлангич цилиндрларнинг радиуслари қўйидаги формулалардан аниқланади:

$$r_{w1} = r_1 = \frac{m z_1}{2 \cos \beta_1}; \quad r_{w2} = r_2 = \frac{m z_2}{2 \cos \beta_2}.$$

Бундай узатмада ўқлараро масофа қўйидагига тенг:

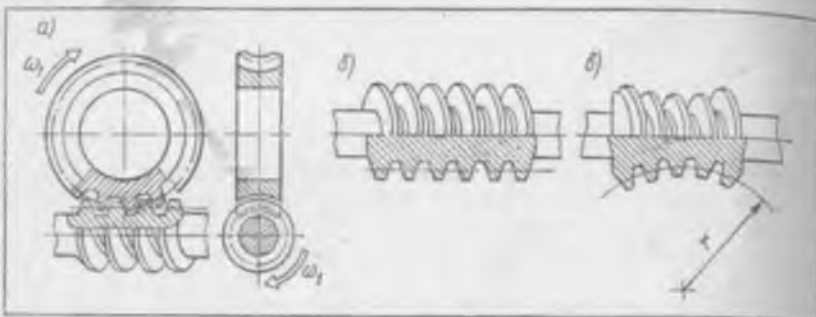
$$a_w = a = r_{w1} + r_{w2} = \frac{m}{2} \left( \frac{z_1}{\cos \beta_1} + \frac{z_2}{\cos \beta_2} \right).$$

Гилдиракларнинг ҳамма ижро ўлчамлари (масалан, тиш учлари бўйича диаметри, тишлиларнинг баландликлари ҳамда қалинликлари) қия тишли гилдираклар учун мўлжалланган формуласларга биноан аниқланади (13-бобга қаранг).

Тишлилар ён сиртларининг уларнинг винтсимон сиртларига ўтказилган умумий уринма йўналишинда сирпаниш тезликгини  $P$  қутб билан устмасуст тушиувчи уриниш нуқтаси учун 14.10-расм, в даги тезликлар учбузчагидан аниқлаймиз:

$$(v_1)_P = \frac{v_1}{\sin \beta_{w1}} = \frac{\omega_1 r_{w1}}{\sin \beta_{w1}} = \omega_1 \frac{m z_1}{2 \cos \beta_{w1} \sin \beta_{w1}} = \frac{\omega_1 m z_1}{\sin 2 \beta_{w1}}.$$

Винтсимон узатма тишлиларининг қутбда урингандаги сирпаниш тезлиги  $\omega_1 m z_1 / \sin 2 \beta_{w1}$  кечик булмайди.



14.11- расм

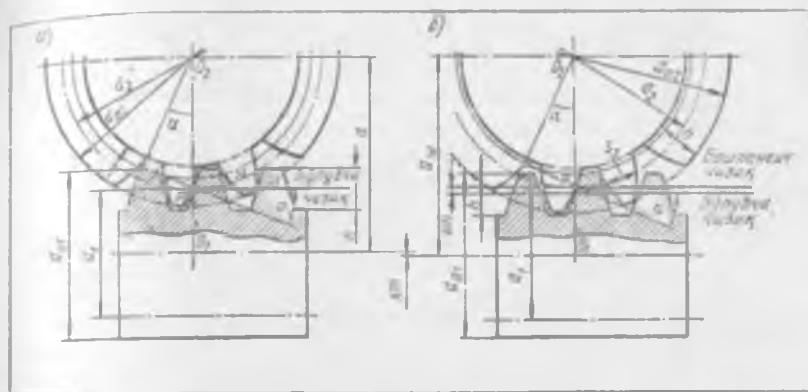
Узатмани ихчамлаштырыш мақсадида мустақкамлик шартидан етакчи гилдиракдаги тиши винт чизигининг  $\beta_{\text{вн}}$  қиялык бурғаги теззатувчи узатмалар ( $u_{12} < 1$ ) учун  $30 - 35^\circ$ , секинлатувчи узатмалар ( $u_{12} > 1$ ) учун  $50 - 60^\circ$  олинади,  $u_{12} = 1$  булган узатмалар учун  $45 - 50^\circ$  атрофида олинади.

Аввал айтиб үтилганидек, көриб чиқыластган тишли узатмада тишилар ён сиртларининг уриниши назарий жиҳатдан біттә нүктада, амалдай жиҳатдан эса материалнинг ейнлиши ҳамда деформацияланиши оқибаттада кичик майдончада амалға ошади. Натижада тишиларининг ишловчи юзаларида катта урпима зўриқишилар вужудга келади. Бундай зўриқишилар профилларнинг анчагина сирпаниши билан ҳамда мой понаси ҳосил булиши учун шароитнинг йўклиги билан қўшилтиб, тишиларнинг иш профиллари қадалиб қолишига сабаб бўлади. Шунинг учун винтсизон тишили узатмалар, одатда, катта бўлмаган қувватни узатишда ҳамда узлуксиз ва мўл-кўл мойланиш шароитида қўлланилади.

**Червякли тишли узатма.** Бу узатма гиперболоид тишли узатманинг хусусий кўринишиди. Ўқларнинг айқашиш бурчаги кўпинча  $90^\circ$  га teng бўлади. Узатма червядан ҳамда червяк гилдирагидан ташкил топади (14.11-расм, а). Червяк деб шундай қия тишли гилдиракка айтиладики, унинг тиши чизикларин гилдирак ўқн атрофида бир ёки бир неча марта айлануб чиқади (14.11-расм, б). Червякнинг  $s_1$  тишилари сони киришлар сони дейилади;  $s_1$  кўпинча 1, 2, 4 га teng бўлади. Червяк гилдираги ана шу червялкка айнан ўхшаш бўлган фреза ёрдамида қирқиб тайёрланади. Шу сабабли червякли узатмаларда червяк ўрамлари ҳамда гилдирак тишилари чизик буйича уринади (чизикли уриниш). Уриниш жойини катталаштириш мақсадида червяк гилдирагининг гардиши гилдирак червякни қамраб оладиган шаклда ишланади (14.11-расм). Червяк гилдирагининг тишилари сони 32—80, баъзан 200—300, айрим ҳолларда эса 1000 га етади.

Одатда, червякли узатмада червяк етакчи бўғин бўлади. Шу сабабли червякли узатма кўпинча ҳаракатни секинлатиш учун қўлланилади.

Червякли узатманинг узатиш нисбати  $u_{12} = \omega_1/\omega_2 = s_2/s_1$  tengлик орқали ифодаланади. Узатиш нисбати 8 дан 80 гача бўлиб, маҳсус ҳолларда 1000 га етади.



14.12-расм

Червякли тишли узатманинг энг күп тарқалган турлари цилиндри-  
мон червякли узатма ва глобоидсизмон узатмалардир.

Глобоидсизмон червякли узатмаларда илашиш шаронти қулайрек  
(уриниш соҳасида турғун мой понаси билан ҳамиша таъминланган) бўл-  
гани учун улар цилиндрическин червякли узатмага нисбатан катта қув-  
ватни узатиб бера олади.

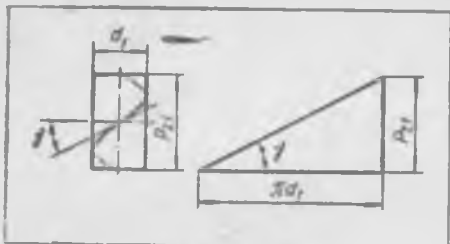
Червяк фидирагининг Архимед червяги билан илашиш схемасини  
(14.12-расм, а, б) кўриб чиқамиз. Архимед червягининг ён сирти чизиқ-  
ли винтсизмон сиртдан иборат. Уни ўқса перпендикуляр бўлган текис-  
лик билан кесилса, Архимед спирали ҳосил бўлади. Ушбу червякнинг  
ўк кесимида ғрамининг профили, одатда, тўғри чизиқли ва профиль бур-  
чаги  $\alpha = 20$  бўлади. Ушбу червякнинг ва червяк фидирагининг червяк  
ўқидан ўтвучи, фидирак ўқига перпендикуляр бўлган текисликлар (чер-  
вякли узатманинг ўрта текислиги) ўзаро таъсирашувни тиш профилин  
тўғри чизиқли бўлган реїканинг ҳамда тиш профили эволъянтасизмон  
бўлган фидиракни илашуридан иборат бўлади, яъни червякли узатма-  
нинг иш жараёнидаги илашмасида дастгоҳ илашмаси содир бўлади.  
Рейкасимон профилнинг бўлувчи тўғри чизиги червякнинг бўлувчи ци-  
линдри ясовчиси билан мос келади. Рейканинг модули стандартланши-  
рилганлиги сабабли червякниш ўқ чизиги бўйича модули ҳам стандартга  
қийматга эга.

Червяк фидирагининг ўлчамлари. Червяк бўлувчи цилиндрининг  
диаметри червякнинг ўқ модулига каррал қилиб танланади, яъни бў-  
лувчи цилиндр диаметри

$$d_1 = qm$$

га тенг бўлади, бунда  $q$  — червяк диаметрининг коэффициенти  $m$ ,  $q$  ва  
з лар ГОСТ 2144—76 га мувофиқ бўлиши лозим.

Агар червяк фидирагини қирқиб тайёрлашда асбоб бошлангич ясов-  
чи контурининг силжиш коэффициенти  $x \neq 0$  бўлса, у ҳолда червякнинг  
бошлангич цилиндр унинг бўлувчи цилиндр билан қўшилиб кетмайди.



14.13-расм

билинг черв. кининг ўқига тик бўлган кесим текислиги орасидаги ўтиш бурчакка айтилади.

14.13-расмга кўра  $\gamma$  бурчак қўйидаги муносабатдан аниқланади:

$$\operatorname{tg} \gamma = P_{z1} / (\pi d_1).$$

Бу ерда  $P_{z1}$  — ўрам йўли, яъни бўлувчи цилиндр ясовчисидаги битта ўрамнинг бир хил номли ўқ профиллари орасидаги масоғи:  $P_{z1} = \rho z_1$  бунда  $\rho = \rho m$  — червяк қадами, бошқача айтганда, цилиндр ясовчисидаги кўшини ўрамлар орасидаги масофа бўлиб, у червяк гилдирагишнинг бўлувчи айланаси бўйича (червякли узатманинг ўрта текислиги) червяк гилдирагининг ёнлама қатламига тенг, у ҳолда

$$\operatorname{tg} \gamma = \frac{P_{z1}}{\pi d_1} = \frac{\rho z_1}{\pi d_1} = \frac{m^2 z_1}{d_1} = \frac{z_1}{q}.$$

Бошлангич кўтарилиш бурчаги (14.30) формулани ҳисобга олган ҳолда юқоридагига ҳашаш формуладан аниқланади:

$$\operatorname{tg} \gamma_w = z_1 / (q + 2x).$$

Червяк ўрамлари учларининг диаметри

$$d_{al} = m( + 2 h_a^*);$$

ботиқликлар цилиндрининг диаметри

$$d_H = d_1 - 2(h_a^* + c^*)m = m[q - 2(h_a^* + c^*)];$$

ўрамнинг баландлиги

$$h = m(2 h_a^* + c^*);$$

бўлувчи цилиндр бўйича ўрамнинг қалинлиги

$$s_1 = \pi m/2.$$

Одатда  $h_a^* = 1$ ,  $c^* = 0,2$  қилиб олинади. Шуни айтиб ўтиш лозимки, силжитилмаган червякли узатмада (14.12-расм, а га қаранг) червякнинг ўқ бўйича кесимида рейканинг бошлангич тўгри чизиги бўлувчи тўғри чизик билан, гилдиракининг бошлангич айланаси эса унинг бўлувчи

чи айланаси билан устма-уст тушади.  $\alpha_s$  илашиш бурчаги червяк ўзатманинг ўқ кесимдаги профил бурчагига тенг:  $\alpha_s = \alpha \cdot \pi d$  масоғага сийжитилтган червякли узатмада (14.12-расм, б га қаранг) бошлангич түгри чизиги рейканинг бўлувчи чизиги билан устма-уст жойлашмайди, у силжитилмаган узатмада бўлгани каби гилдиракнинг бўлувчи айланаси ҳисобланган бошлангич айлана билан урнима тарзда жойлашади. Силжитилтган узатмада ҳам илашиш бурчаги  $\alpha$  га тенг.

Червяк гилдираги юқорида айтиб ўтилганидек, червякка айнан ўхшаш бўлган фреза ёрдамида қирқиб ясалади. Шу сабабли червякли узатманинг ўрта текислигидаги иш илашмаси айни вақтнинг ўзида червяк гилдирагини тайёрлашда дастгоҳ илашмаси ҳам бўлади. Шунга кура рейканинг ўрта ҳамда бошлангич түгри чизиқлари орасидаги масоға асбоб бошлангич ясовчи контурининг силжиши бўлади. Ушбу силжиш червяк гилдирагининг ўрта кесими учун катталиги бўйича червякли узатманинг қабул қилинувиши силжиши билан бир хил бўлади.

Илгари эволъвентали цилиндрисон тишли узатма учун келтириб чиқарилган формулалар асосида червяк гилдирагининг ўрта кесимидаги ўлчами ва червякли узатманинг ўлчами қўйидаги формулалардан аниқланади:

бўлувчи айлананинг (бошлангич айлананинг ҳам) диаметри

$$d_1 = m s_1;$$

тишлар учлари айланасининг диаметри

$$d_{11} = m (s_1 + 2x + 2h);$$

ботиқликлар айланасининг диаметри

$$d_{12} = m (s_1 + 2x - 2h^* - 2c^*);$$

тишининг баландлиги

$$h = m (2h^* + c^*);$$

булувчи айлана бўйича тишининг қалинлиги

$$s_1 = m \left( \frac{\pi}{2} + 2x \operatorname{tg} \alpha \right);$$

Червякли узатманинг үқлараро масоғаси

$$a_s = m [( + s_1)/2 + x].$$

Асбоб бошлангич ясовчи контурининг  $x$  сийжиш коэффициенти  $\pm 1$  оралигида олиннади.

Червякли узатманинг ажзаликларига узатиш сонлари катта бўлгани ҳолда конструкциясининг ихчамлиги, равон ҳамда шовқинсиз ишлаши, ўз-ўзидан тормозланиши киради. Унинг камчиликларига сирпаниш тезлигининг юқорилигини, бунинг патижасида ФИК нинг нисбатан пастлигини, гилдираклар учун ишқаланишга чидамли қимматбахо материаллар ишлатилишини кўрсатиш мумкин.

## 15-бөл

### КҮП ЕЎГИНЛИ ТИШЛИ МЕХАНИЗМЛАР

Кўпгина машина ва ускуналар (манипуляторлар, дасттохлар, автомобиллар, аппаралари индикаторлар, тахометрлар, ЭЛМинг босувчи қурилмалар)нинг тиши меканизмларине лойиҳалашда алланма ҳаракатининг катта узатиш нисбати ёнга ўқлараро масофа анича катта бўлган шарондга узатилишини таъминлаш зарурятни туғилади. Бундай ҳолларда кўп бўгинли гиши меканизмлар қўлланилади. Булар ё чиқиш валининг кириш валига нисбатан алланни сонин камчиликтириб берувчи редукторлар, ё бўлмаса, кўлайтириб Серувчи мультиплексаторларид

Кўп бўгинли тишли меканизмлар текис ёки фазовий бўлиши мумкин. Улор асосан иккичи турга: ҳамма гидриакларининг ўқлари қўзгалмас бўлган тишли меканизмларга ва беъзи гидриакларининг ўқлари стойкага нисбатан ҳаракатланадиган тишли меканизмларга бўлинади. Иккичи турга планетар ва 1ўлқинсномон тишли меканизмлар киради. Иккичи ил меканизмларининг муҳим афзаллиги унинг ихчамлигидан. Кўп бўгинли тишли меканизмларни лойиҳалаш иккичи босқични ўз ичига олади. Биринчи босқичда уларнинг тузилиш схемаси таъланади; иккичи босқичда белгиланган узатиш нисбатини амалга ошириш учун тишлилар сони аниқланади.

#### 15.1-§. Гидриакларининг ўқлари қўзгалмас бўлган кўп бўгинли тишли меканизмлар

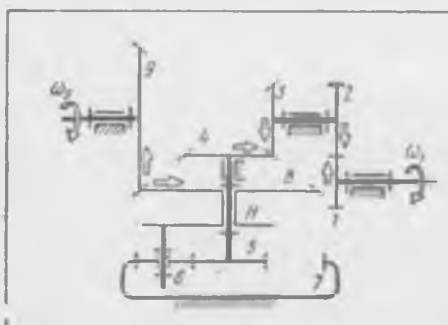
Гидриаклар ўқлари қўзгалмас бўлган кўп бўгинли тишли меканизмларининг эркинлик даражаси битта бўлгани учун ҳам  $\mu = \text{const}$ . Бундай меканизмлар ё ўқдош мас қилиб (15.1, 15.2, 15.3-расмлар), ёки ўқдош қилиб (15.4-расм а, б, в) лойиҳаланади. Амалда энг кўп учрайтириб ўқдош меканизмлар оддий (ёйилма схемали) ва босқичли хилларга бўлинади.

Кўп бўгинли меканизмнинг умумий узатиш нисбати унинг таркибига кирувчи алоҳида меканизмлар (босқичлар) узатиш нисбатларининг кўпайтмасига тенг:

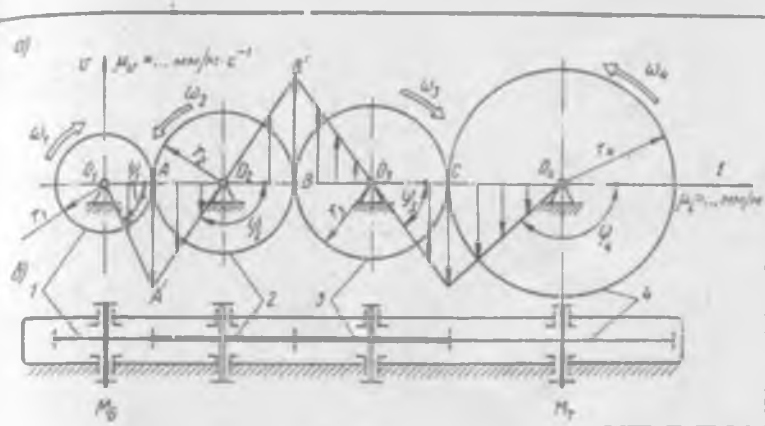
$$u_{ij} = u_{12} + u_{23} + u_{31} + \dots + u_{(j-1)i}. \quad (15.1)$$

Оддий тишли меканизмлар бир неча жуфт якка гидриакларни кетмат-берикитириб ҳосил қилинади (15.2-расм, а, б). Узатманинг схемаси бор бўлса ва гидриакларнинг тишлилари сони ёки уларнинг бошлангич айланалари радиуслари  $r_{wi}$  маълум бўлса, бундай редукторнинг умумий узатиш нисбатини аналитик ёки график усулда аниқлаш мумкин. Силжитилмагав гидриакларда бошлангич айланалар билин мос келади, яъни  $r_{wi} = r_i$  бўлади. Одатда планетар меканизмлар гидриаклари силжитилмасдан ясалади.

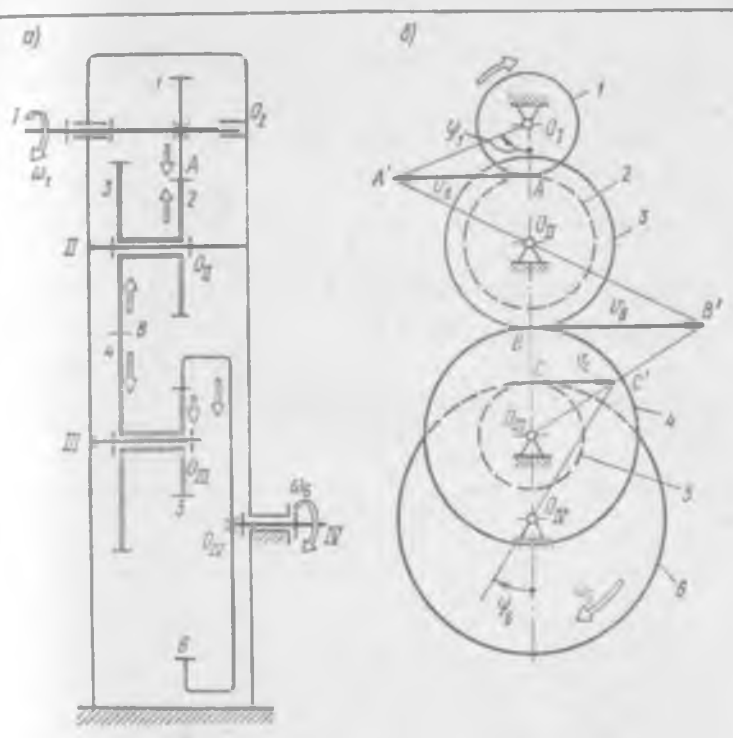
Узатиш нисбатини аналитик усулда аниқлашада (3.97) ва (15.1) формулаларга



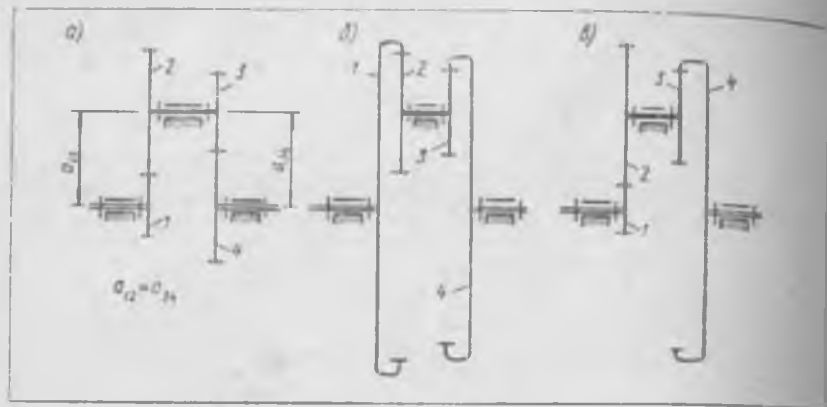
15.1-расм



15.2- рисм



15.3- рисм



15.4- расм

асосланилади. Масалан, оддий механизмнинг (15.2-расмга қаранг) умумий узатиш нисбати қуйидаги ифодадан аниқланади:  $u_p = u_{14} = u_{12} \cdot u_{34} \cdot u_{41}$ , бу ерда:  $u_{12} = \omega_1/\omega_2 = -r_2/r_1 = -z_2/z_1$  — ташқи илашмали тишли гилдираклар биринчи жуфтлигининг (ишораси майғы) узатиш нисбати;  $u_{34} = \omega_3/\omega_4 = -r_4/r_3 = -z_4/z_3$  — айнан шундағы гилдираклар иккинчи жуфтлигининг узатиш нисбати;  $u_{41} = \omega_4/\omega_1 = -r_1/r_4 = -z_1/z_4$  — учинчи жуфтликининг узатиш нисбати.

Ү ҳолда изланаёттан узатиш нисбати

$$u_p = u_{14} = \left( -\frac{z_2}{z_1} \right) \left( -\frac{z_3}{z_4} \right) \left( \frac{z_4}{z_1} \right) = -\frac{z_4}{z_1} = -\frac{r_4}{r_1},$$

Механизм  $j$  та гилдиракка эга бўлган умумий ҳолда

$$u_{ij} = \frac{\omega_i}{\omega_j} (-1)^j \frac{z_j}{z_i} = (-1)^j \frac{r_j}{r_i}. \quad (15.2)$$

Оддий тишли механизмининг умумий узатиш нисбати ўзгармас бўлиб, охирги гилдираклар тишилари сонининг ёки радиусларининг тескари нисбатига teng. Узатиш нисбатининг ишораси  $(-1)^j$  кўпайтувчига асосан аниқланади, бунда  $t$  — ташқи илашмали узатмалар сони. Бироқ бундай узагмаларда  $u_{ij}$  — нинг қиймати унча катта бўлмайди, чунки у  $\frac{z_j}{z_i}$  ва  $r_j$  ларнинг рухсат этилган қийматлари билан чегараланган бўлади ва бир вақтда олдинги хамда кейинги гилдираклар билан илашмада бўлган оралиқ гилдираклар (15.2-расмдаги 2 ва 3 гилдираклар) тишиларининг сони механизмининг умумий узатиш нисбати қийматига таъсир этмайди. Оралиқ гилдираклар, асосан, етакчи валнинг айланиш йўналишини ўзgartирмаган ҳолда етакланувчи валнинг айланиш йўналишини ўзgartиртириш учун (масалан, дастгоҳларнинг, автомобилларнинг узатмалар кутисида) ёки ўқлараро масофа катта бўлганда (етакчи ва етакланувчи гилдиракларнинг ўлчамларини катталаштириш мумкин бўлмаганда) ҳаракат узтилишини таъминлаш учун қўлланилади.

Бундай тишли механизмларнинг узатиш нисбатини тезликлар пла-  
ни (тезликлар учбурчаклари) усулида график тарзда аниқлаш мумкин  
(3.2-§ га қаранг). Агар бўғин нуқталаридан камида иккитасининг чи-  
чиқти тезлиги маълум бўлса (катталиги ҳамда йўналиши бўйича) тез-  
ликлар учбурчакларини ясаш мумкин. Ушбу усульдан фойдаланиб ва  
тезликлар учбурчакларини ясаб (15.2-расм, а даги  $O_1A'B'C'O_4$  си-  
ниқ чизик), бир валдан иккинчи валга ҳаракат узатилганда тезликлар-  
нинг ўзгариши хусусияти тўғрисида яққол тасаввур ҳосил қилишимиз  
ва исталган ғилдиракнинг бурчак тезлигини (3.8) формулага қаранг),  
яъни  $\omega_4 = v_c/r_4 = (CC'/\mu_v)(\mu_e/O_4C) = -\mu_e/\mu_v \operatorname{tg}\psi_4$  ни ёки унинг айла-  
ниш частотасини, яъни  $n_4 = 30\omega_4/\pi = \mu_e 30 \operatorname{tg}\psi_4 / (\mu_v \pi)$  ни график тарзда  
аниқлашимиз мумкин.

У ҳолда бутун механизмининг узатиш нисбати

$$u_{14} = \frac{\omega_1}{\omega_4} = \frac{\operatorname{tg}\psi_1 \mu_e / \mu_v}{\operatorname{tg}\psi_4 \mu_e / \mu_v} = -\frac{\operatorname{tg}\psi_1}{\operatorname{tg}\psi_4},$$

ё бўлмаса умумий ҳолда

$$u_{ij} = \pm \operatorname{tg}\psi_i / \operatorname{tg}\psi_j. \quad (15.3)$$

Узатиш нисбатининг ишораси тангенснинг ишорасига кўра аниқланади.

Босқичли тишли механизмлар бир қанча жуфт ғилдиракларни (15.3-  
расм, а даги жуфтланган 2 ва 3 ҳамда 4 ва 5 ғилдираклар) ни кетма-  
кет бирлаштириб ҳосил қилинади. Бундай механизмининг узатиш нисбати

$$\begin{aligned} u_{10} = u_{12} u_{24} u_{48} &= \frac{\omega_1}{\omega_2} \frac{\omega_2}{\omega_4} \frac{\omega_4}{\omega_8} = \left( -\frac{z_2}{z_1} \right) \left( -\frac{z_4}{z_2} \right) \left( +\frac{z_8}{z_4} \right) = \\ &= + \frac{r_1 r_2 r_4}{r_1 r_2 r_4}; \end{aligned}$$

$\omega_2 = \omega_4$ ;  $\omega_4 = \omega_8$  эканлигини эътиборга олиб, қисқартиришлардан сўнг  
ушбуни ҳосил қиласиз:

$$u_{10} = \frac{\omega_1}{\omega_8} = + \frac{z_2 z_4 z_8}{z_1 z_2 z_4}.$$

Еки умумий ҳолда  $j$  та ғилдиракка ҳамда  $i$  ташки илашмага эга бўл-  
ган босқичли узатманинг тўла узатиш нисбати

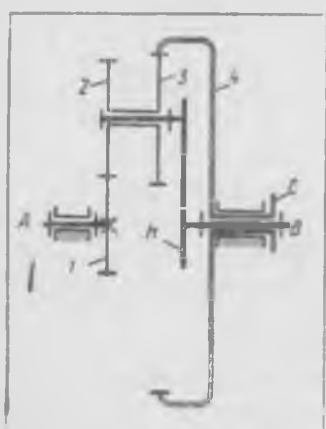
$$u_{ii} = (-1)^j \frac{z_2 z_4 z_6 \dots z_{(j-1)}}{z_1 z_3 z_5 \dots z_{(j-1)}}. \quad (15.4)$$

Га, яъни етакланувчи ғилдираклар тишлилари сони кўпайтмасининг етакчи  
ғилдираклар тишлилари сони кўпайтмаси нисбатига тенг.

Босқичли редукторда ғилдирак тишлилари сонини танлаб белгилаш ор-  
қали ташки ўлчамларин оддий узатманикдек бўлган босқичли узатмада  
кетта узатиш нисбатларини ҳосил қилиш мумкин. Узатиш нисбатининг  
ишораси  $(-1)^j$  кўпайтувчи орқали ёки стрелкалар қондасига кўра (15.3-  
расмга қаранг) аниқланади. Бу ҳолда ғилдирак гардишининг кузатувчи-

нисбети күрсатиш мүмкін. Ушбу механизм құзғалтас үқілар атрофіда айлануучы  $I$  марказий ғилдирак ва  $H$  водилодан, учта сателлитдан, 4 таянч ғилдирак ҳамда стойкадан ташкил топған. Сателлиттардан ҳар бири біркөмбік блок қылғынан бирлаштырылған  $2$  ва  $3$  ғилдирактардан түзілған.  $I$  ғилдирак айланғанда  $2$ - $3$  сателлиттер  $B$  оның айланыш марказига нисбатан рицаг кабін бурилады ( $4$  ғилдирак құзғалмасы) ва  $H$  водилони айланышга мажбур қылады. Шунда планетар ғилдирактар (сателлиттер) мураккаб ҳаракат содир қылады: улар үз үқі атрофіда (водилога нисбатан)  $\omega_2$  бурчак тезлік билан айланады ва водило билан биргаликда  $00$  үқі атрофіда  $\omega_H$  бурчак тезлік билан айланады (күчірма ҳаракат). Бундай механизмнің әрқинлік даражасы біттә булады. Шу сабабынан редукторнинг узатыш нисбати дөнмиійдір. Одатда мавжуд механизм үзаро симметрик тарзда жойлашған бір қанча  $k$  сателлиттердегі әзіз (15.7-расм  $a$ ,  $b$  дегі 2, 3 ғилдирактар). Улар механизмнің іхшамлаштырылыш, илашмадағы күчни камайтириш, марказий ғилдирактар подшипниктарнинг юқтанишини камайтириш, водилонинг мувозанатланишини яхшилаш мақсадида киригилады. Бунда механизм ортиқча боғланыштарға әзіз бўлиб ( $q > 0$ ), у энди статик аниқмас бўлиб қолади. Кинематик хисоблашы фақат битта сателлит әзтиборга олинади, чунки қолған сателлиттер кинематика нүктан назаридан пассивидир.

Агар күрилған механизмдеги (15.7-расм) 4 таянч ғилдирактар (редуктор корпусини) бушатыб, унга айланма ҳаракат берсек, у ҳолда ҳамма марказий ғилдирактар құзғалуучан бўлиб қолады ва механизм дифференциал механизмга айланады (15.8-расм), чунки уннинг  $W$  әрқинлігі даражалари сони иккиге тенг бўлиб қолади. Механизмнің  $W$  әрқинлік даражалары сони (құзғалуучалығи) қолған бүғинларнинг ҳаракатида аниқлік мавжуд бўлиши учун дифференциалнинг нечта бүғинніга мустақил ҳаракаттар берилishi лозимлігін күрсагади. Бунда ташқи валларнинг айланыш йұналишыга боғлиқ равишда ё ҳаракатнинг булиниши юзага келади (битта етакчи валнинг ҳаракати иккита етаклануучы валга булиниб узатилади) ёки ҳаракатларнинг құшилиши юз беради. Айланыш тезлігіннің ҳамда құйилған моменттіннің йұналиши бир хил бўлган вал етакчи вал ҳисобланади. Бинобарин, құзғалмас ғилдираги бўлган планетар редукторни (ёки мультиплікаторни) ундағы құзғалтас (таянч) ғилдиракни бушатыш ва унга ҳаракат береш орқали дифференциал механизмга айлантириш мүмкін. Буннинг аксича, исталған дифференциал механизмнің планетар механизмга айлантириш мүмкін. Буннинг учун уннинг битта (агар  $W = 2$  бўлса) ёки бири нечта марказий ғилдирагини құзғалмас қылғынан құйыш лозим. Бу планетар механизмларнинг дистрабютил ҳолатыга қайта олиш хусусияти деб аталади. Ушбу хусусият редукторлар ва дифферен-



15.8-расм

шалларга тадқиқ этиш ҳамда лойиҳалашынг бир хил усулынни құллашға имкон беради. Бунда ҳар бир элементар дифференциалға үннің марказий гидираклары тұхтатиб құйылғанда ҳосил буладиган иккита планетар редуктор тұғри келади. Планетар механизмдар ё берилған траекторияның юзага келтириш (йүнаптырувчи механизмлар), еки күпілгіча, айланыш тезліктарнин үзгартыриш (беттілдіктерге үзатылған) нисбатини амалта ошириши мақсадыда құлтанилади.

Тадқиқ этишине аналитик усул ҳаракатин үзгартыриши усулига (3-бобга қаранды) ассоциинади. Механизмнің ҳамма бүгіншарига кінімат жиһатидан водило құзғалмас бұлиб қоади, планетар механизм де гидиракларыннің үқілары құзғалмас булған тишли механизмға (үзгартырылған механизмға) айланади; бұ меканизм кетма-кет бириктірілған бир қаңға тишли гидираклар жуфтлігидан (15.7-расм, а даги 1, 2 ва 3, 4 жуфтліктерден) иборат булади. Бирок бұ гидиракларнин тезлігі бошқа-ча бұлиб қолади:  $\omega_1^{(4)} = \omega_1^{(1)} - \omega_H^{(4)}$  булади (қавс ічідеги индекс құзғалмас бүгін номерини билдіреді);  $\omega_3^{(4)} = \omega_3^{(1)} - \omega_H^{(4)}$  үрнінде  $\omega_2^{(4)} = \omega_2^{(1)} - \omega_H^{(4)}$  булади;  $\omega_4 = 0$  үрнінде  $\omega_{(4)}^{(H)} = 0 - \omega_H^{(4)}$  булади. Үз-гартырылған механизмнің ҳар бир кинематик жуфтлігі учун (3.100) формулага күра қойыладындарни ёнш мүмкін:

$$(\omega_1^{(4)} - \omega_H^{(4)}) / (\omega_2^{(4)} - \omega_H^{(4)}) = -\frac{r_3}{r_1};$$

$$\frac{\omega_3^{(4)} - \omega_H^{(4)}}{0 - \omega_H^{(4)}} = +\frac{r_1}{r_3}.$$

Натижада водило тұхтатылғанда алоқида планетар жуфтліктернің нисбіті бурчак тезліктарының үзарған бөлөвчі тенгламалар системасы ҳосил булади; уни ечиш орқали изланадыттар  $\omega$  еки и катталықтамас. Бунда системадеги тенгламалар сони изланадыттар катталықтар сонига мос булиши лозим. Охирги иккита ифоданы үзаро күпайтыриб ушбуға эта бұламиз:

$$(\omega_1^{(4)} - \omega_H^{(4)}) / (0 - \omega_H^{(4)}) = -(r_2 r_4) / (r_1 r_3).$$

Бирок  $[-(r_2 r_4) / (r_1 r_3)] = (-r_2 / r_1) \times (+r_4 / r_3) = u_{12}^{(4)} u_{34}^{(H)} = u_{14}^{(4)}$ . У ҳолда  $[(\omega_1^{(4)} / \omega_H^{(4)}) - 1] / (0 - 1) = u_{14}^{(4)}$ . Бундан механизмнің үзатыш нисбаты ( $\omega_4 = 4$  бұлғанда)

$$u_{1H}^{(4)} = 1 - u_{14}^{(4)}. \quad (15.5)$$

Ушбу формула құзғалмас марказий гидираги булған планетар редукторнің ҳар қандай схемасы учун үрнілдір. Бинобарин, таянч гидирак  $i$  мавжуд бұлғанда исталған  $i$  планетар гидиракдан  $H$  водилоға үзатыш нисбатини анықлаш формуласы қойыладынчадыр:

$$u_{iH}^{(4)} = 1 - u_{ii}^{(H)}, \quad (15.6)$$

$$u_{IH}^{(H)} + u_{II}^{(H)} = 1$$

Демек, думалоқ ғилдиракты планетар механизмлар учун ҳар хил бүғинлар тұхтатылғандаги узатыш нисбатлары йигиндиси хамша Сирға тенг бўлади. Ўзгартирилған механизмнинг  $u_{II}^{(H)}$  узатыш нисбати ҳаракатланувчи  $i$  ғилдиракдан мавжуд планетар механизмдаги қўзғалмас ғилдиракка ( $j$ ) узатыш нисбати каби ҳисобланади. Шу сабабли 15.7-расм, а даги схема учун  $u_{Ij}^{(H)} = u_{i4} = -r_2 r_4 / (r_1 r_3)$ , бутун механизм учун эса

$$u_{IH}^{(4)} = 1 - u_{i4}^{(H)} = 1 + \frac{r_3 r_4}{r_1 r_2} = 1 + \frac{z_3 z_4}{z_1 z_2}. \quad (15.7)$$

Сўлари қўзғалмас бўлган механизмдан фарқли равншда, планетар редукторнинг узатыш нисбати тишилар сонига ҳамда улар нисбатининг ишорасигағина эмас, балки марказий ғилдираклар орасидаги босқичлар сонига ҳам (водило тұхтатылғандаги) боғлиқдир. Шунга кура, планетар редукторнинг ҳар бир мұайян схемаси узатыш нисбатини ҳисоблашнинг мутлақо аниқ ифодасига эга бўлади, бу ифода тишилар сони (ёки радиустар) орқали кўрсатилади. Оралиқ ғилдиракнинг бурчак тезлигини аниқлашда (15.6) формуладан фойдаланиш гавсия этилади.

Тадқиқ этишининг график үсүли ҳар бир ғилдирак учун чизиқлар учбұрчакларини ясашдан (3-бобга қаранг) ҳамда улардан  $\omega_i$  ёки  $u_{iH}$  ни аниқлашдан иборат. Бунинг учун вертикаль ұтказилиб, унда (15.7-расм, б) ға қаранг) схеманинг ( $OABC$ ) нуқталари белгиланади ҳамда  $I$  ғилдирак  $A$  нуқтасининг тезлик векторига мәс келувчи  $AA' = v_A \mu_o$  кесма ұтчаб қўйилади.  $A'$  ва  $O$  нуқталар қия нур орқали ( $\psi_1$  бурчак остида) туташтириліб ушбу ғилдирак учун тезлик учбұрчаги ҳосил қилинади. Ундаги  $OA'$  тўғри чизик биринчи ғилдирак чизиқли тезликларининг тақсимланишини билдиради.

2-3 ғилдираклар учун тезликлар учбұрчаги иккита нуқта:  $A$  нуқта (унда  $v_{A2} = v_{A1}$ ) ва  $B$  нуқта (2-3 ғилдираклар тезликларининг оний маркази, унда  $v_B = 0$ ) нинг аниқланған чизиқли тезлигига кура ясалади.  $A'$  ва  $B$  нуқталарни туташтирил 2-3 ғилдираклар тезликларининг тақсимланиш тўғри чизигини ( $\psi_2$  бурчак остида) ҳосил қиласми. Ушбу тўғри чизиқда 2-3 сателлитлар марказининг ҳамда водило  $C$  нуқтасининг чизиқли тезлигини ифодаловчи  $CC'$  векторнинг охирине бўлган  $C$  нуқта ётади.  $OC$  нур ұтказиб, ( $\psi_H$  бурчак остида) водило учун тезликлар учбұрчагини ( $\Delta OCC'$ ) ҳосил қиласми. Кирish ҳамда чиқиш бўғинлари тезлик чизиқларининг қиялик бурчаклари тангенслари нисбати редукторнинг кўрсатылған схемаси учун узатыш нисбати қийматини беради:

$$u_{II}^{(4)} = \omega_1 / \omega_H = \operatorname{tg} \psi_1 / \operatorname{tg} \psi_H = (AA'/OA)(OC/CC'). \quad AA' = CC' (AB/BC)$$

Эквилигини ҳисобга олиб ушбуни ҳосил қиласми:  $u_{IH}^{(4)} = (r_4 - r_3) / (r_1 + r_2) / (r_1 r_3) = 1 + (r_2 r_4) / (r_1 r_3)$ .

Бурчак тезликлар планинни ясаб (15.7-расм, г) қўйилдагиларни аниқлаш мумкин:  $\omega_1 = ka_s / \mu_o$ ;  $\omega_H = ka_H / \mu_w$  ёки  $n_H = ka_H / \mu_w$ ;  $u_{IH}^{(H)} = ka_1 / ka_H$ .

Агар редукторнинг кириш ҳамда чиқиш валларидаги  $M_1$  ва  $M_2$  куч моментлари маълум бўлса ва яна ишқаланиш мавжуд эмас ҳамда бўғинлар бир меъёрда харакатланади деб қаралса, у ҳолда узатиш нисбати қўйидаги муносабатдан аниқланиши мумкин:

$$u_{1H}^{(4)} = \omega_1^{(4)}/\omega_H^{(4)} = -M_2/M_1. \quad (15.8)$$

Бўғинларнинг айланishi тезлигини аниқлаш мақсадида дифференциал механизми кинематик текшириш юқоридагидек амалга ошиди.

Оддийроқ мустақил механизмларга ажратиш мумкин бўлмаган эркинлик даражаси  $W = 2$  бўлган ҳар қандай содда дифференциал (15.8-расм) редуктордан фарқиلى равишда, учта ташки  $A, B, C$  валларга эга. Шу сабабли бундай механизмда ҳар қандай бўғиннинг ҳолати иккига мустақил умумлашган координаталар (иккита валтнинг бурилиш бурчаги) орқали аниқланади, яъни  $\Phi_C = \Phi_A + \Phi_B$ . У ҳолда (3.1) формулага асосан етакланувчи бўғиннинг бурчак тезлиги

$$\omega_C = u_{CA}^{(4)} \omega_A + u_{CB}^{(4)} \omega_B \quad (15.9)$$

бўлади.

Ушбу формуладан фойдаланиб, 15.8-расмда тасвирланган механизм учун  $\omega_H$  ни ( $\omega_1, \omega_2, \omega_3$  лар маълум бўлганда) аниқлаш мумкин:

$$\omega_H = \omega_1 u_{1H}^{(4)} + \omega_2 u_{2H}^{(4)}. \quad (15.10)$$

Хусусий узатиш нисбати ( $\omega_4 = 0$  бўлганда)

$$u_{1H}^{(4)} = \frac{1}{u_{1H}^{(4)}} = \frac{1}{1 + \frac{z_2 z_4}{z_1 z_3}} = \frac{z_1 z_3}{z_1 z_3 + z_2 z_4}.$$

Биринчи ғилдирак тўхтатилганда ( $\omega_1 = 0$ ) хусусий узатиш нисбати

$$u_{2H}^{(4)} = \frac{1}{u_{2H}^{(4)}} = \frac{1}{1 + \frac{z_2 z_1}{z_3 z_4}} = \frac{z_3 z_4}{z_3 z_4 + z_2 z_1}.$$

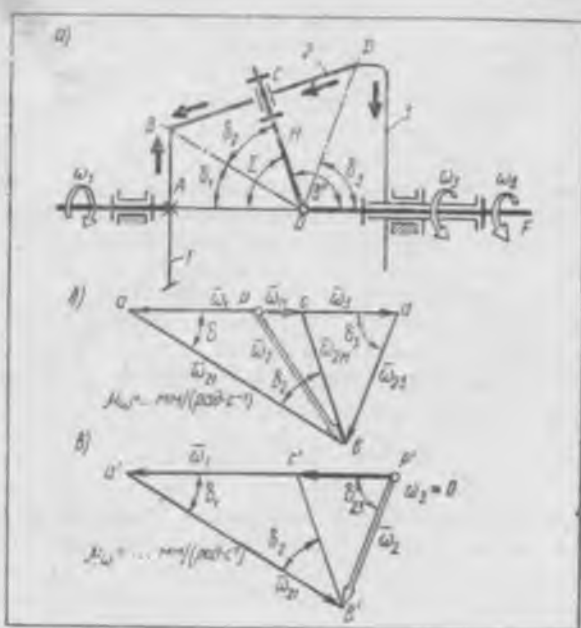
Ушбу қийматларни (15.10) га қўйиб қўйидагини ҳосил қиласиз:

$$\omega_H = \frac{\omega_1 z_1 z_3 + \omega_2 z_3 z_4}{z_1 z_4 + z_2 z_3}.$$

Эркинлик даражаси  $W = 2$  бўлган ҳар қандай содда дифференциал учунчи вал тўхтатилганида бир валдан бошқа валга олтига турлича  $u_{AB}^{(C)}, u_{AC}^{(B)}, u_{BC}^{(A)}, u_{CA}^{(B)}, u_{CB}^{(A)}$  узатиш нисбатини амалга оширишга имкон беради. Аммо  $u_{BA}^{(C)} = \frac{1}{u_{AB}^{(C)}}$  ва ҳоказо бўлгани сабабли ушбу ҳамма

қийматлар ўзаро боғланган:  $u_{AB}^{(C)} + u_{AC}^{(B)} = 1; u_{BC}^{(A)} + u_{BA}^{(C)} = 1; u_{CA}^{(B)} + u_{CB}^{(A)} = 1$ . Бундан ташкари, мазкур олтига қиймат ичидан биттаси энг катта ( $> 2$ ) ҳамда мусбат бўлиб, бутун механизминнинг хусусиятини ифодалашда ундан фойдаланиш қулайдир.

Конусимон тишли ғилдираклардан ташкил топган фазовий планетар узатмани кинематик ҳисоблаш аналитик ёки график усулда бажарилиши



15.9- расм

мүмкін. Бирок уни тадқық этишда бурчак тезлікнің вектор катталиғи үзгартырылады. Бундай механизмдер иккита әркінлик даражасы бұлған дифференциаллар күрнишида (15.9-расм, а) көнг құлланилады. Бу механизм 1, 3 марказий ғилдирактардан ва AOF үк атрофида айланувчи H водило ҳамда фазода иккі хил айланма ҳаракатда иштирок этувчи (водило билан бирга OF үк атрофида айланувчи) 2 планетар ғилдиракдан ташкыл топады. Бинобарин, OC үк 2 ғилдиракнинг H водилога нисбатан айланыш үқидір; OB чизик 2 ғилдиракнинг 1 ғилдиракқа нисбатан оның айланыш үқидір; OD чизик 2 ғилдиракнинг 3 ғилдиракқа нисбатан оның айланыш үқидір.

Тадқық этишнің графік усулі бурчак тезліктер планинни тузишга асосланады (3- бобга қаранг).  $\omega_1$  ва  $\omega_3$  ларнинг катталиғи ҳамда йұналишини белгилаган ҳолда (чунки  $W = 2$ ) бурчак тезліктер плани тузишиб (15.9-расм, б) ундан водилонинг изланатған  $\omega_H$  тезлігін анықтандады.

Масаланы аналитик усулда ечишда, водилони тұхтатиб үзгартырылған механизм ҳосил қиласыз. Үннің бириңчи ғилдирагининг тезлігі  $\omega_1 - \omega_H$  га, иккінчи ғилдирагининг тезлігі  $\omega_2 - \omega_H$  га, үчинчи ғилдирагининг тезлігі  $\omega_3 - \omega_H$  га тең. Бирок ушбу айрилувчи векторлар ғаро параллел әмес, шу сабаблы улар абсолют катталигига күра олинады. Ү ҳолда 1-2 ва 2-3 ғилдирактар учун мос равища қыйидаги мұносабаттар үриннедір:

$$|\overline{\omega}_1 - \overline{\omega}_H| / |\overline{\omega}_2 - \overline{\omega}_H| = \tau_2 / \tau_1; \quad |\overline{\omega}_2 - \overline{\omega}_H| / |\overline{\omega}_3 - \overline{\omega}_H| = \frac{\tau_3}{\tau_2}.$$

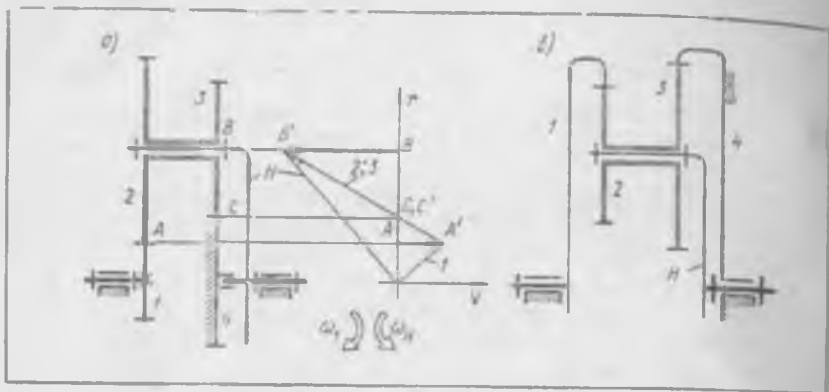
Уларни үзаро күпайтириб ушбуни ҳосил қытамиз:

$|\bar{\omega}_1 - \bar{\omega}_H| / |\bar{\omega}_3 - \bar{\omega}_H| = \frac{z_1}{z_3}$ . Бирок  $\bar{\omega}_1, \bar{\omega}_H, \bar{\omega}_3$  векторлар бир чизик бўй-  
лаб йўналганилиги сабабли охирги тенгламадаги тезликлар айирмаси ал-  
гебраик айрима бўлади. Ишора водило тўхтатилтганда ғилдиракларнинг  
айланиш йўналишини кўрсатувчи стрелкалар қоидасига кўра аниқланади.  
У ҳолда  $(\bar{\omega}_1 - \bar{\omega}_H) / (\bar{\omega}_3 - \bar{\omega}_H) = -\frac{z_3}{z_1}$ . Унг томондаги минус ишораси  
1 ва 3 ғилдираклардаги стрелкаларнинг йўналиши ҳар хил бўлгани учун  
қабул қўлиниди (15.9-расм, а). Охирги ифодага кўра  $\bar{\omega}_H = (\bar{\omega}_1 + \bar{\omega}_3 \frac{z_3}{z_1}) / (1 + \frac{z_3}{z_1})$ . Бундай ечим  $abc$  ва  $bcd$  учурчакларни (15.9-расм, б) кў-  
риб чиқиш натижасида ҳам ҳосил бўлиши мумкин.

Дифференциал механизмининг  $z_1 = z_3$ , ва  $\Sigma = 90^\circ$  ли мазкур схемаси  
автомобиллар, дастгоҳлар, механик ҳисоблаш-ечиш курилмаларида кенг  
қўлланилади. Бунда  $\bar{\omega}_H = 0.5(\bar{\omega}_1 + \bar{\omega}_3)$ . Шу сабабли  $\bar{\omega}_3 = 0$  бўлгандан  
1 ғилдирак водилога нисбатан икки марта тез айланади. Агар  $\bar{\omega}_H = 0$   
бўлса, у ҳолда  $\bar{\omega}_1 = -\bar{\omega}_3$  бўлиб, ғилдираклар үзаро қарама-қарши то-  
монларга айланади. Агар бу редуктор бўлса, яъни битта ғилдирак тўх-  
татиб қўйилган бўлса ( $\bar{\omega}_3 = 0$ ), у ҳолда юқоридаги тенгламалардан фой-  
лаланган ҳолда ҳусусий бурчак тезликлар планига (15.9-расм, в) эга  
бўламиз. Ундаги  $a'p'/c'p' = \bar{\omega}_1/\bar{\omega}_H$  кесмалар нисбатидан  $u_{13}^{(3)}$  ни,  $a'c'/c'p' =$   
 $= (\bar{\omega}_1 - \bar{\omega}_H) / (\bar{\omega}_3 - \bar{\omega}_H)$  кесмалар нисбатидан эса катталиги мусбат бўл-  
ган  $u_{13}^{(H)}$  ни ҳосил қытамиз. (15.6) формуладан фойдаланиб аналитик  
тарзда  $u_{13}^{(3)} = 1 - u_{13}^{(H)} = 1 - (-\frac{z_3}{z_1}) = 1 + \frac{z_3}{z_1}$  ни аниқтаймиз.

### 15.3-§. Планетар механизmlар схемаларини танлаш ва уларнинг кинематик ҳусусиятлари

Инженерлик амалиётида энг содда планетар механизmlарнинг тўрт  
хил схемаси қўлланилади. Улардаги сателлитлар (15.7, 15.10-расмлар-  
даги қўшалоқ ёки 15.11-расмдаги якка сателлитлар) бир вактнинг үзида  
иккита марказий ғилдирак билан илашади. Уларнинг ҳаммаси ўқдош учта  
ватга эга бўлиб, улардан биттаси қўзғалмасdir. Ватлардан ҳар бирини  
тартиб бўйича билан ҳар қайси механизмнинг чиқиш валида  
уч хил тезлик ҳосил қилиш мумкин. Ушбу ҳамма редукторларнинг уза-  
тиш нисбати (15.6) формула бўйича бир хилда аниқланади.  $u_{13}^{(H)}$  нинг  
ишорасига кўра механизmlар турлича кинематик имкониятларга эга  
эканлиги формуладан маълум бўлади. Агар  $u_{13}^{(H)} > 0$  бўлса, мазкур  
планетар механизмнинг  $u_{red} = u_{13}^{(H)}$  узатиш нисбати ўша ғилдираклардан  
тузилган, аммо ўзгартирилган механизмнинг  $u_{13}^{(H)}$  узатиш нисбатидан  
анча катта бўлиши мумкин. Агар  $u_{13}^{(H)} < 0$  бўлса, у ҳолда планетар  
механизмнинг  $u_{13}^{(H)}$  узатиш нисбати ўзгартирилган механизмнинг  $u_{13}^{(H)}$  уза-  
тиш нисбатидан фақат бир (!) сон қийматгагина катта бўлади. Шунга  
боғлиқ равишда узатманинг ишқаланишдаги истрофлари ҳамда динамик  
сифатлари турлича бўлади. Ушбу сифатларнинг бариси кўп жиҳатдан  
оддий планетар механизmlар тузилиш схемаларининг ҳосил бўлиш прин-



15.10- рәсм

цининга күра олдиндан белгиланган бўлади. Шу сабабли ҳамма оддий механизмлар схемалари ўзининг хусусиятларига кўра иккита аосий группага бўлинади: ўзгартирилган механизмлари мусбат узатиш нисбатига эга бўлган ( $u_{ij}^{(H)} > 0$ ) механизмлар (15.10-расм, а, б) ҳамда ўзгартирилган механизмлари манфий узатиш ниобатига эга бўлган ( $u_{ij}^{(H)} < 0$ ) механизмлар (15.7 ва 15.11-расмлар) схемалари.

Биринчи группа механизмлари қўшалоқ сателитларга эга бўлади ва улар фақат ташки (а схема) ёки фақат ички (б схема) илашмали гидрираклардан ташкил топади. Мавжуд механизмининг узатиш нисбати  $u_{1H}^{(4)} = 1 - (\mathfrak{s}_2 \mathfrak{s}_4) / (\mathfrak{s}_1 \mathfrak{s}_3)$  бўлади. Бундай механизмлар одатла секинлатувчи узатма сифатида ишлайди, яъни водило етакчи бўлади. У ҳолда  $u_{1H}^{(4)} = \frac{1}{u_{1H}^{(4)}} = \mathfrak{s}_1 \mathfrak{s}_3 / (\mathfrak{s}_1 \mathfrak{s}_3 - \mathfrak{s}_2 \mathfrak{s}_4)$  ни ҳосил қиласиз.

Бу ерда келтирилган механизм (15.10-расм, а) икки қаторли (1-2 ва 3-4 гидрираклар) бўлганлиги сабабли, гидрирак тишлари сонини танлаб олиш ҳисобига катта узатиш нисбатларини ҳосил қилиш мумкин. Масалан, агар 15.10-раемдаги схемада  $\mathfrak{s}_1 = \mathfrak{s}_3 = 100$ ;  $\mathfrak{s}_2 = 99$ ;  $\mathfrak{s}_4 = 101$  деб қабул қилинса, у ҳолда  $u_{1H}^{(4)} = 1 / (1 - u_{1H}^{(4)}) = 1 / [1 - (9999/100000)] = = 10000$  бўлади. Бироқ ФИК 1 % бўлади.

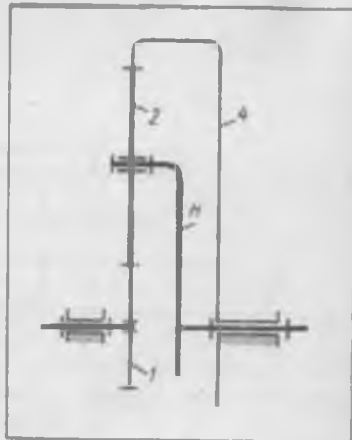
Бундай механизмларда  $u_{ij}^{(H)}$  нинг қиймати 1 дан қанча кам фарқ қўлса, узатиш нисбати шу қадар катта бўлади. Бироқ  $u_{1H}^{(4)}$  ошиб боргани сари, ФИК анча тез камая боради. Одатда, ФИК кам бўлишига қарамасдан катта узатиш ниобатини ҳосил қилиш лозим бўлганда бундай механизмининг бир сателитлиси қўлланилади. Бундай схемаларга эга бўлган механизмларнинг ўзиға хос томони шундаки, маҳкамланган марказий гидрирак ўлчамларини ўзгартириш ҳисобига (15.10-расм) чиқиш валини хоҳлаган томонга айланадиган қилиш мумкин. Узатиш нисбати жуда катта бўлганда тайёрлашдаги ва йиғишидаги нөзиниқликнинг тўла айланиш вақтидаги узатиш нисбатига таъсири анча кучли бўлади. Шу сабабли кинематик имкониятлари катта эканлигига қарамай, ушбу группадаги

планетар механизмдердан фойдали юкланишлар катта бўлмаган ҳоллардаги на фойдаланилади. Одатда бу ерда ФИК нинг йўл қўйилиши мумкин бўлган қийматларида  $i_p = 30 - 100$  бўлади, кам қувватли узатмаларда эса  $i_p = 1500 - 1700$  га етади. Бу икки хил узатмадан ўзи ихчамроқ, ФИК юқори бўлган иккита ички илашмали механизм (15.10-расм, б) афзалликка эга бўлади.

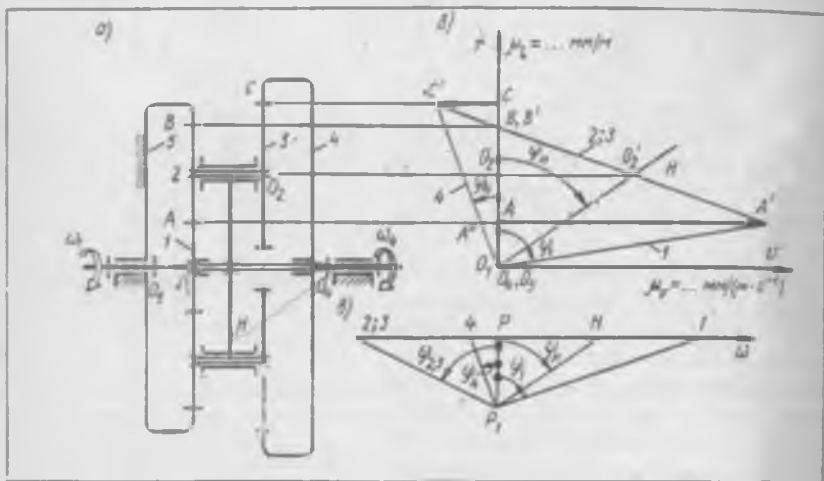
*Иккинчи групга механизмлари қўшалоқ* (15.7-расм) ёки якка сателлитли (15.11-расм), ҳар хил илашмали гилдираклардан тузилади. Шунга мувофиқ равишда, ўзгартирилган механизм ҳам ё икки қаторли (15.7-расм), бунда  $i_{1H}^{(n)} = (-z_2/z_1) + z_4/z_3 < 0$ , ёки

бир қаторли бўлади (15.11-расм). Шу сабабли биринчи схемадаги механизм учун  $i_{1H}^{(4)} = 1 + (z_2 z_4 / z_1 z_3)$ , иккинчи схемадагиси учун ( $z_2 = z_3$ )  $i_{1H}^{(4)} = 1 + (z_4/z_1)$  бўлади. Улардаги чиқиш ва кириш валларининг айланниш йўналиши доимо бир хил бўлади. Бундай схемали механизмтар ўртаса ва катта қувватга эга бўлган кўп сателлитли редукторларнинг куч узатмаларида кенг қўлланилади. Уларнинг узатиш нисбати  $= = 3 - 15$ , ФИК юқори ( $0.96 - 0.98$ ) бўлади. Сателлитларнинг бир нечта бўлиши ( $k > 1$ ) худди шундай узатиш нисбатини таъминлагидиган бошқа турдаги тишли узатмаларга караганда узатмани ихчамлаштиришга, динамикасинн (мувозанатланишини, марказий гилдираклари таянчига, водилоси ва бошқа қисмларига тушадиган юкнинг камайиншини) яхшилашга ҳамда оғирлигини камайтиришга имкон беради. 1 гилдираги стакчи бўлганда ушбу механизмлар редуктор сифатида ишлатади. Одатда  $i_{1H}^{(4)} = = 3 \dots 8$  бўлганда қўлланиладиган бир қаторли механизм (15.11-расм) юқорида айтилган механизмлар афзалликларига эга бўлади, бироқ улардан ўқ бўйича ўлчамининг кичклиги билан фарқ қиласи: бу ўлчамнинг энг кичик қиймати  $> 4$  бўлганда таъминланади. Бундай схемали механизм куч узатмаларида, кўп босқичли планетар тезликлар қуттиларида кенг қўлланилади ёки мустақил узатма сифатида ва айниъса электр юритмалари ичига ўрнатилган редукторлар, масоғдан бошқариш установкалари, учиш аппаратлари ва шу кабилар сифатида ишлатади.

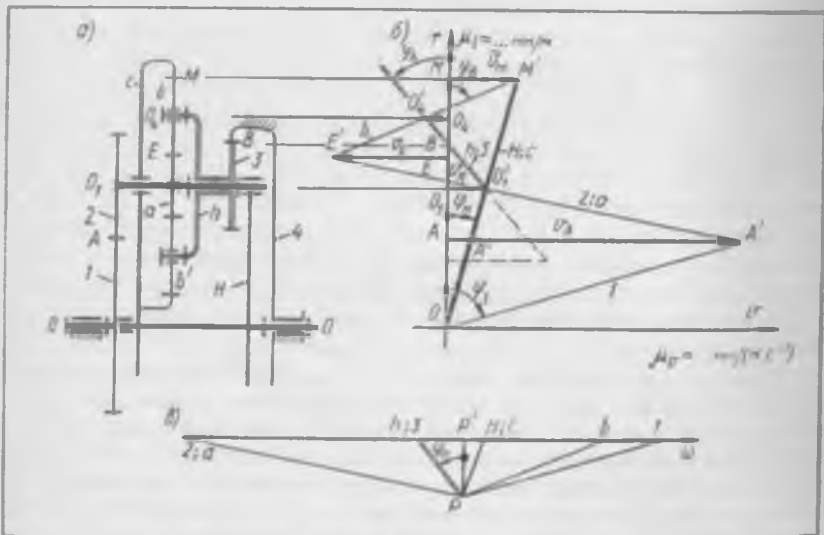
Планетар механизм тузилишининг ўқ йўналиши бўйича бундан кейинги такомиляшуви учта марказий гилдираги бўлган схемаларга олиб келади (15.12-расм). Бу ерда водило ҳаракат узатмаган ҳолда таянчда эркин айланади. Кинематик тадқиқ этишда бу механизм иккита оддий механизмга ажратилади: биринчи механизм марказий 1,5 гилдираклар, 2 сателлит ва  $H$  водилони ўз ичига олади (15.12-расм, а); иккинчи механизм марказий 4 гилдирак, 3 сателлит ва  $H$  водилодан иборат бўлади.



15.11-расм



15.12- рисм



15.13- рисм

5 фидирак құзғалмас бұлганды  $W = 1$  булиб, редукторнинг умумий узатыш нисбати қуйндагига тенг болады:

$$u_{14}^{(5)} = \frac{\omega_1}{\omega_4} - \frac{\omega_1}{\omega_H} \frac{\omega_H}{\omega_4} = u_{1H}^{(5)} u_{H4}^{(5)} = (1 - u_{15}^{(H)}) \frac{1}{1 - u_{45}^{(H)}}.$$

$$u_{15}^{(5)} = \left(1 + \frac{z_1}{z_5}\right) \frac{1}{1 - \frac{z_5 z_3}{z_1 z_5}} = \frac{z_3 z_4 (z_1 + z_5)}{z_1 (z_4 z_3 - z_5 z_4)}$$

Бу ҳол тишлилар сонини тегишилича танлаш орқали механизмнинг ФИК ини яхшилашга, анча ихчамлаштиришга ва узатыш нисбатини оширишга ( $u_{15} > 100$ ) имкон беради. Ясатған тезликлар учбұрчаклари (15.12-расм, б) ва бурчак тезликлар планларидан (15.12-расм в) қўриниб турибдики, етакчи ва етакланувчын фидираклар түрли томонларға айланади.  $\epsilon_p = -20 - 100$  бұлганды конструкция эңг мақбул ҳисобланади. Бунда унинг ФИК иккита марказий фидиракты планетар механизмнидан бироз камлиги ҳал құлувчи аҳамияттаға эга бўлмайди.

Планетар механизмлар тузилишининг радиал йўналишда такомиллашуви бипланетар механизмларнинг вужудга келишига олиб келди (15.13-расм). Улар асосий планетар механизмлар (а. п. м) дан (1, 2, H, 4 бүгінлар) ва сателлити планетар механизм (с. п. м) дан (a, b, c, 3—h бүгінлар) ташкил топади. А. п. м нинг 2 сателлити с. п. м нинг марказий «a» гидрагига, 3 сателлити с. п. м нинг h водилосига, H водило эса с. фидиракка маҳкамланган. H водилони тұтхатсак ( $\omega_H = 0$ ) a — b — c — h планетар механизмни ҳосил қиласиз. Үндагы 1-2 ва 3-4 жуфт фидиракларнинг үқлари құзғалмас бўлади. Бу механизм учун  $u_{14}^{(4)} = u_{12}^{(H)} u_{1H}^{(H)} u_{34}^{(H)}$  (15.13-расм). Факат с. п. м учун иккинчи үзартыши қўллаб ( $\omega_h = 0$  деб караб)  $u_{oh}^{(c)} = 1 - u_{oh}^{(h)} = 1 + (\frac{s_c}{s_o})$  ни ( $\omega_c = 0$  бўлган ҳол учун) ҳосил қиласиз. Бутун бипланетар механизмнинг узатыш нисбати

$$u_{1H}^{(4)} = 1 - u_{14}^{(H)} = 1 - u_{12}^{(H)} (1 - u_{oh}^{(h)}) u_{34}^{(H)}, \quad (15.11)$$

ёки

$$u_{1H}^{(4)} = 1 - \left(-\frac{z_1}{z_5}\right) \left(1 + \frac{z_c}{z_o}\right) \left(1 + \frac{z_3}{z_4}\right) = 1 + \frac{z_3 z_4}{z_1 z_5} \left(\frac{z_1 + z_c}{z_o}\right).$$

Одатда  $u_{1H}^{(4)} = 17 - 85$  бўлганды ФИК юқори бўлади. Оралиқ бўғашларнинг бурчак тезликларн қуйндагича аниқланади. Кичик h водилонинг нисбий тезлиги:  $\omega_{hH} = \omega_{3H} = \omega_3 - \omega_H = -u_{34}^{(H)} \cdot \omega_H = \frac{u_{34}^{(H)} \omega_3}{u_{1H}^{(H)}}$ ; катта водилонники:  $\omega_H = \omega_3 / u_{1H}^{(4)}$ . С. п. м. нинг етакчи бўғинники:  $\omega_a = \omega_3 - \omega_H = \left(\frac{\omega_3}{u_{12}^{(H)}}\right) (1 - u_{1H}^{(4)})$  ва ҳоказо.

Узатыш нисбатини график усул билан аниқлашни (15.13-расм, б) H чизиқ чизишдан бошлатан маъкул;  $\omega_H$  га қиймат берилб,  $v_{01} = \omega_H O_1 O$  тезлик чизиғи, сўнгра h чизиқ (сателлит  $O_3 O_4$  ўқининг тезлиги), b чизиқ ( $v_{04}$  ҳамда  $\omega_m$  бўйича) 2-a чизиқ ва 1 чизиқ үтказилади:

$$u_{1H}^{(1)} = \omega_1 / \omega_H = \operatorname{tg} \psi_1 / \operatorname{tg} \Psi_H = AA' / AA'' > 0; \quad \omega_a = (\mu_e / \mu_r) \operatorname{tg} \psi_a.$$

Бурчак тезліктер планида (15.13-расм, б) I кириш ва II чиқиш бүгіншіларининг бир хил йұналишда айланыши күрініб турибди. Бундай механизмдер технологик машиналардаги ижрочи органларининг мұраккаб ҳаракатини ҳосил қилишда құлланилади.

Агар тишил дифференциалнинг иккита үқдош валы етакчи ёки етакланувчи вал біттан қандайдыр узатма (одий тишил ёки планетар узатма) орқали boglansa (туташса), у ҳолда туташ планетар узатма (15.14-расм, а, б) ҳосил бұллади. Бундай механизм ҳосил бұлиши учун уча айланувчи үқдош валлари бұлған Сир қаторлы дифференциалданған 3 ва H бүгіншілар иккі жуфт 4-5 ва 6-7 гидрираклардан таңқыл топған узатма орқали туташкан бұлиши зарур. Бу ҳолда етакланувчи 7 бүгін 4-5 гидрирактар орқали 3 бүгіндан ҳамда 6-7 гидрираклар орқали H бүгіндан ҳаракат олади. Механизм битта эркінлік даражасын ( $W = 1$ ) зерттей.

Тезліктер планини чизишіні охирға 7 бүгіндан бошлаб, 3-4, 6-*H*, 2 ва I чизиқтарни чизиш билан якунлаш құлай. Бутун механизмнінг узатыш нисбати  $u_{11} = \operatorname{tg} \psi_1 / \operatorname{tg} \psi$ , дан аниқланади.

Узатыш нисбатини аналитик усулда аниқлауда Виолис формуласынан фойдаланып лозим. Водилони тұхтатиб 1-3 гидрирактар учун  $(\omega_1 - \omega_H) / (\omega_3 - \omega_H) = -r_3 / r_1$  ни, 4-5 гидрирактар учун  $\omega_4 / \omega_5 = -r_5 / r_4$  ни, 6-7 гидрирактар учун  $\omega_6 / \omega_7 = +r_7 / r_6$  ни ҳосил қила оламиз. Биринчи ифодадаги  $\omega_3$  ва  $\omega_H$  лар үрнінде мос равишда  $\omega_3 = \omega_4 = -\omega_6 (r_7 / r_6)$  ва  $\omega_H = \omega_5 = \omega_7 (r_7 / r_6)$  ларни құйып ушбуни ҳосил қиласын:

$$\frac{\omega_1 - \omega_7 (r_7 / r_6)}{-\omega_6 (r_5 / r_4) - \omega_7 (r_7 / r_6)} = -\frac{r_3}{r_1}.$$

Иғорданы  $\omega$ , га бұлиб узатыш нисбатини аниқлаімиз:

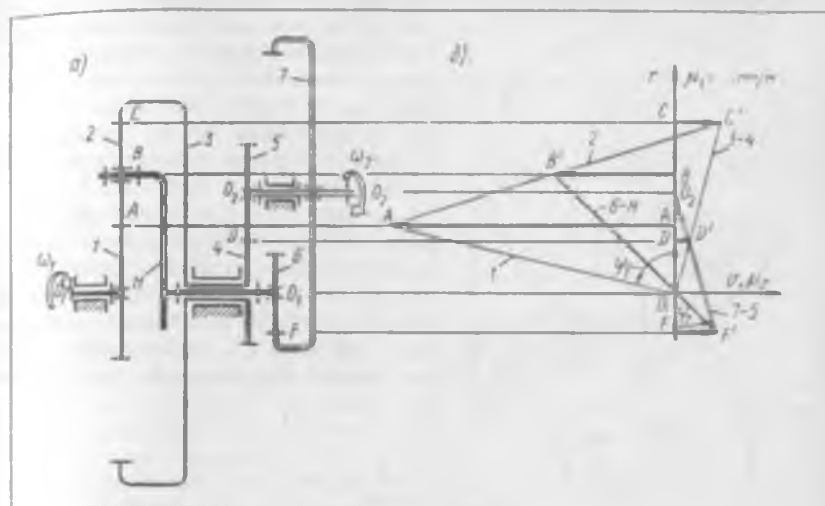
$$u_{11} = \omega_1 / \omega_7 = -\frac{r_3}{r_1} \left( -\frac{r_5}{r_4} - \frac{r_7}{r_6} \right) + \frac{r_1}{r_6} = \frac{r_3 r_5}{r_1 r_4} + \frac{r_3 r_7}{r_1 r_6} + \frac{r_7}{r_6}.$$

Туташ дифференциал механизмдер одатда анча юқори ФИК га зерттейді, чөнки узатыладынан құвваттың иккита оқымга тақсимлаш мүмкін. Бундан ташқары улар ихчам бұлишига қарамай, чиқиш валыда анча катта буровчи моментлар ҳосил қылышта имкон беради. Бунда құвват оқымлары қарама-қарши йұналишда бұлмасынға ахамият беріш лозим, акс ҳолда құвват истроф бұлиши мүмкін. Бундай узатмалар, одатда, күч узатмаларда иштеп тарады.

Катта узатыш нисбатларини амалға ошириш учун күп босқынчлы планетар механизмдер құлланилади. Үлес одий планетар механизмдернің кетма кет бирнектириб ҳосил қылышады (15.15-расм, а). 15.11-расм, а га күра уча бир қаторлы механизмдерден түзилген бундай күп босқынчлы редукторнинг узатыш нисбати құйындағы тенг:

$$u_{yym} = u_{1H3} = u_{1H2}^{(1)} u_{4H2}^{(6)} u_{7H3}^{(9)} = \left( 1 + \frac{z_3}{z_1} \right) \left( 1 + \frac{z_6}{z_4} \right) \left( 1 + \frac{z_9}{z_7} \right).$$

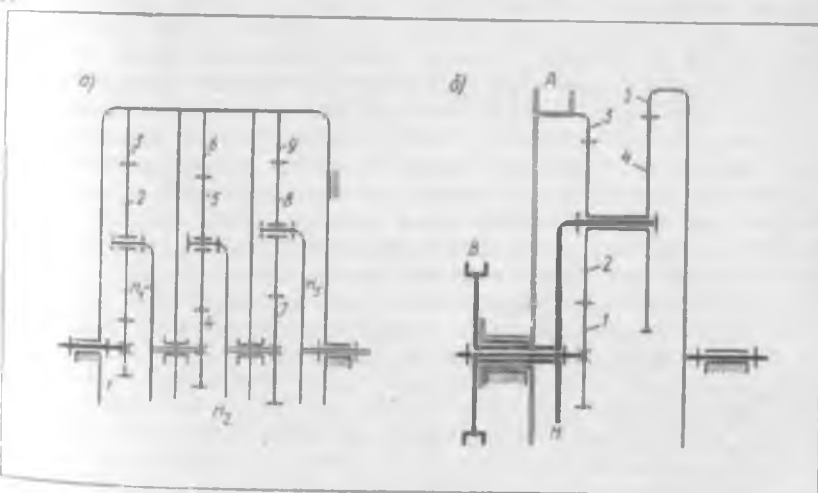
Агар  $u_{1H1}^{(1)} = u_{4H2}^{(6)} = u_{7H3}^{(9)} = 7$ , бұлса, бу узатма ихчам бұлғаны ҳолда узатыш нисбати  $u_{yym} = 7^3 = 343$  ва ФИК 88 — 94 % бұллади. Бу



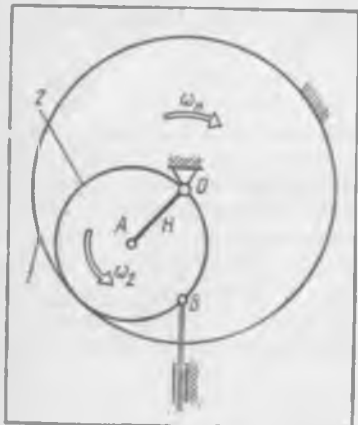
15.14- расм

эса үқлари құзғалмас редукторникіга қараганда (узатыладынан қувватлары ҳам,  $\mu_{\text{умум}}$  нінг қийматлары ҳам бир хил булғани ҳолда) купдір. Үшбұй меканізмда бүғинларнің тормозлар билан бөлгеланғанлығы етакчи валыннің үзгартылышында етак-лануучи бүғиннің ҳар хил  $\omega_{H3}$  бурчак тезліктеріннің қосыл қилишиңа имкон түғдіради.

Водилоиси умумий бүлған иккита планетар босқични үз ичига олувчи меканізм (15.15-расм, б ға қаранг) құшалоқ планетар меканізм



15.15- расм



15.16- расм

$$\mu_{\text{умум}} = \mu_{1H}^{(1)} \mu_{H3}^{(2)} = \left(1 - \mu_{13}^{(1)}\right) \frac{1}{1 - \mu_{33}^{(2)}} = \left(1 + \frac{z_3}{z_1}\right) \frac{1}{1 - \frac{z_4 z_3}{z_1 z_4}},$$

*H* бүгін (водило) тұхтатилганда 1-2-3-5 бүгінлардан тузылған, ұқарлар құзғалмас босқычлы механизм ҳосил болади. Уннинг узатыш нисбати  $\mu_{\text{умум}} = -\frac{z_3}{z_1} \frac{z_4}{z_3} / (\frac{z_1}{z_4})$  бўлиб, бунда 3 фидирек салт айланади.

Планетар босқычлар сонини ошириб, етакланувчи валининг тезліктер соннан күп бўлган узатмалар құғиларини (уч тезлікли, турт тезлікли ва ҳоказо) олишимиз мумкин. Бу қутылар ҳам юқоридағидек тадқиқ этилади. Уларнинг ФИК одатда 0,9 — 0,8 атрофида бўлади.

Кўп босқычлы планетар механизмларни лойиҳалашда  $\mu_{\text{умум}}$  умумий узатыш нисбатини босқычлар бўйича тақсимлаш биринчи даражали аҳамиятга эга. Бунда ҳар бир босқычга тақсимланган узатыш нисбати рухсат этилган энг мақбул қийматдан ошиб кетмаслиги ҳамда у секин ҳаракатланувчи узатмада тез ҳаракатланувчи (етакчи бўгиндан бошлаб дисоблаганда бирини) узатмадагига қараганда кам бўлиши лозим. Механизмининг ташки үлчамлари, ФИК, ҳаракатни узатиш аниқлиги, тайёрлаш шароити ва ҳоказолар алоҳида босқычлар узатыш нисбатлариниң танланышига боғлиқ бўлади. Бунда механизм ишлайдиган муайян шарт-шароит ҳам ҳисобга олинини керак. Ташувчи машиналарнинг узатмалар қутыларида  $\mu_{\text{умум}}$  шундай тақсимланади, бунда диаметрга кўра босқычларнинг энг катта үлчамлари бир хил бўлиши лозим.

Чиқиши вали аниқ бурилиши талаб қилинадиган асбоб қурилмаларнадаги охириги босқыч учун катта узатыш нисбати танланышин зарур.

Шундай қилиб, берилган узатыш нисбатини планетар узагмаларнинг кўп миқдордаги турлича схемалари билан таъминлаш мумкин. Улар бир-бираидан үлчамларига, ФИК га, динамик сифатларига кўра фарқ қиласиди. Схемалар тишли редукторнинг таркибий қисмлари бўлган оддий планетар узатмаларнинг сифатини, механизмнинг вазифасини, уннинг ишлаш тартиби ва шарт-шароитини, ўрнатилиш жойини, узатма ва ишлаш манинг турини,  $\mu_{\text{умум}}$  нинг босқычлар бўйича тақсимланишини ва босқыч-

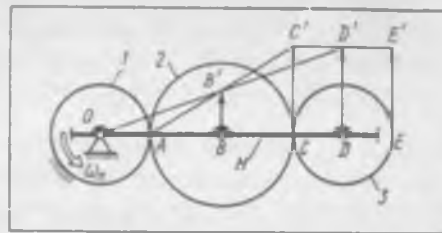
деб аталади. Бундай механизмлар тезліклар қутыларидан (транспорт, юк күтарныш машиналаридан) қўлланилади. Уннадаги бўгинларни навбат билан тұхтатиш орқали етакчи бўгиншинг тезлигини ўзгартирмаган ҳолда етакланувчи бўгиннинг турлича тезлик билан айланышыга эришиш мумкин. Чунончи 15.15-расм, б да келтирилган схемадаги 3 бўгин (тормоз барабани *A*) тұхтатылса, иккى босқычли редуктор ҳосил болади: бунда биринчи планетар босқыч 1-2-3-*H* бўгинлардан, иккinci чиси эса *H*-3-4-5 бўгинлардан ташкил топади. Редукторнинг умумий узатыш нисбати

лар сөзини, ишқаланышга бүлдиган истрофларни, бүгіншадағы эластиклігінің, уларның титрашының шу кабиларни ҳисобға олиб тәнланышын керак. Шу сабаблы керактың схема умумий ҳолда күп омилларни ҳисобға олиб да ЭХМ дан фойдаланыб, әнд мәкбұлнин ажратып олиш (оптималлаш) усулы билан тәнланади.

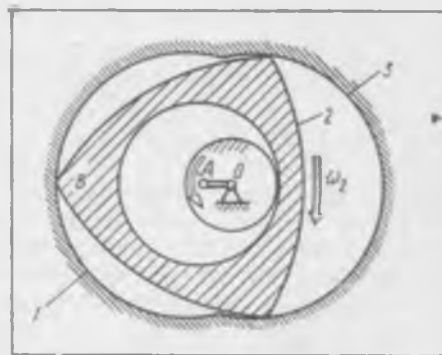
Инженерлік амалдегі планетар механизмдер йұналтирувчи механизмдер сифатында хам құлланылады. Масалан, прессларда айланма қарқаттың илгарилама қарқатта айлантириш мақсадыда битта марказий құзғалмас ғидираги булған планетар механизмдер (15.16-расм.) Водило айланғанда 2 сателлиттің *B* нүктасы құзғалмас 1 ғидиракттың ( $z_1 = 2z_2$ ) диаметры билан устма - уст түшувчи түғри чизик бүйлаб қарқатланади. Сателлиттің *B* нүктасини шарнир ёрдамында 3 бүғин билан бирнектириб уннан түғри чизикті қарқатланишиға эришамиз. Бунда  $\omega_H = \omega_1 / \omega_2 = 1 / \omega_{21}^{(1)} (1 - z_1/z_2) = 1/(1 - 2) = -1$ , яғни  $\omega_2 = -\omega_H$  булади. Агар ушбу механизмде ( $z_1 = z_2$ )  $1/\omega_{21}^{(1)} = 1 \dots 4$  булиши таъминланса, у ҳолда *H* нүктесінде қарқаттари катта булишиға эришиш мүмкін. Тұлқинсімден тишли узатмаларда бунга эришилген; бундай узатмаларда тұлқын қосыл қытғыч водило вазифасини үтайды, әгилевчан ғидиракттың қарқаты эса сателлиттің қарқатына мөс келади.

Иш машиналарда ижроғы бүғиннинг мураккаб қарқатын қосыл қытғыч учун схемаси 15.17-расмда тасвирланған планетар механизм құлланылады. У құзғалмас марказий 1 ғидиракдан ҳамда уннан атрофида айлануувчи *H* водилодан иборат. Водилога 2 ва 3 сателлиттар үрнатылған. Агар  $z_3 = z_1$  бұлса, у ҳолда үчинчи ғидиракттың илгарилама қарқат қытады (айланмайды). Буни 3 бүғиннинг тезликтерінде учурчакларидан яқ-яқол күриш мүмкін. Ушбу бүғинде  $v_C = v_D = v_E$ , чунки  $C'D'E' \parallel OD$ . Мәзкур 3 ғидиракка одатда ижроғы бүғин мәжкамланади.

Агар бу ерда марказий 1 ғидирак ( $\omega_1 = 0$  бүлганды) 3 цилиндр ичидеги ёниш мәхсүлларыннан босымы үзгариши ҳисобға айлануучы двигатель роторыннан поршени (15.18 расм) билан яхлит қыттың ясалған ички тишли 2 сателлит билан бириккән болса, у ҳолда водило ва-



15.17- расм



15.18- расм

лидан  $\omega_H = \omega_2 z_2 / (z_2 - z_1)$  ли айланма ҳаракаты олиш мүмкін. Бұнда сателлиттің  $B$  нүктасы әпітрохонда чизиги бүйлаб ҳаракатланады. З цилиндрининг иш бүшлигі ана шу чизик бүйіча ясалған.

#### 15.4- §. Планетар механизмлар гилдиракларининг тишелари сонини анықлаш

Планетар узатма схемаси танланыб, сателлиттар сони ва модуль ( $m$ ) белгіләнгандан сүнг гилдиракларининг тишелари сони анықланады. Тишелар сони шундай танланышы керакки, натижада берилған узатыш нисбатынан узатма гилдиракларининг үқдошлик, құшнилік, йығыш шарт-шароитлары юқори даражада аниқ таъминланыши ва улар қадалиб қолмайдынан булишин зарур.

Берилған узатыш нисбатынан тишелар сонини танлаш орқали таъминланады. Бұнда танланған тишелар сони (15.6) ифодага қойылғанда узатыш нисбаганыннан қосыл қылғанда ҳақиқий қийматы белгиләнған қийматта мүмкін кадар яқын булиши керак. Ҳақиқий қийматнинг белгиләнған қийматдан фарқы 1—4% дан ошмаслығы лозим.

Кириш ва чиқыш валлары үқларининг үқдошлик шарти иккала тишелар марказий гилдирак ҳамда водило ягона геометрик айланыш үқига әга булиши лозимлігінің күрсатады. Бу шарт бажарылғандагына сателлиттарнинг марказий гилдирактар билан илашувы ҳамда  $r_H = \text{const}$  булиши таъминланады. Бұннан учун (15.10-расм, а, б га, 15.7-расм а га, 15.11-расмға қаранг) қойыдаги шарттар бажарылышы лозим:

$$\begin{aligned} r_{H1} &= r_1 + r_2 = r_3 + r_4; & z_1 + z_2 &= z_3 + z_4; \\ r_{H2} &= r_1 - r_2 = r_4 - r_3; & z_1 - z_2 &= z_4 - z_3; \\ r_{H3} &= r_1 + r_2 = r_4 - r_3; & z_1 + z_2 &= z_4 - z_3; \\ r_{H4} &= r_1 + r_2 = r_3 - r_2; & z_1 + z_2 &= z_3 - z_2. \end{aligned} \quad (15.12)$$

Бу шартта күра түрттә гилдиракдан биттасининг радиуси чекланған булады, лекин қолған учтасининг радиуси иктиерій танланады.

**Құшнилік шарти** (бир қанча сателлиттарнинг битта текислиқда умумий айланана буйіча бирға жойлашиш шарти) күп сателлиттерде конструкцияда құшни сателлиттар ўз тишелари билан бир-бираңға тегіб кетмаслығини талаб қылады. Бұннан учун гилдирактар тишелари сонини (радиусларини) шундай танлаш лознімкі, құшни сателлиттар үқлары орасидагы  $a_c$  масофа сателлиттар 3 дан енгіз кеттасининг тишелари учлары айланасы диаметри  $d_{ac}^{\max}$  дан катта, яғни  $a_c > d_{ac}^{\max}$  екі  $a_c = d_{ac}^{\max} + \Delta_c$ , бұлсın (15.7-расм, в га қаранг), бунда  $\Delta_c$  — құшни сателлиттар тишелари учларининг айланалары орасидаги масофа, уннан кеттальғы йығыш учун рухсат этилған қийматларға бөлілік. Үшбу расмдагы  $C_1OC_2$  учбұрчакдан  $a_c = 2(r_1 + r_2) \sin(\pi/k)$ , бунда  $k$  — сателлиттар сони. У қолда  $\sin(\pi/k) > d_{ac}^{\max} / [2(r_1 + r_2)]$ . Силжиттілмаган гилдирактар учун бу шарт қуйыдагы күрнешінде булады:

$$\sin \frac{\pi}{k} > \frac{d_{ac}^{\max} + 2\Delta_c}{z_1 + z_2}. \quad (15.13)$$

Агар механизмда  $z_1 > z_3$ , бұлса, суратда  $z_{\text{max}} = z_2$  қылтаб,  $z_2 < z_3$  бұлғанда эса,  $z_{\text{max}} = z_3$  қылтаб олинади.  $l = 2$  ғилдираклар ташқи илашмали бұлғанда маҳражда құшув ишораси, ички илашмали бұлғана эса айнурув ишораси ёзилади.

*Іигиш шарты* (йигиттүвчанлық шарты) сателлиттар орасидаги бурчакларнинг ұзаро тенг ва ҳамма сателлитларнинг марказий ғилдираклар билан бир вақтда илашадиган ҳамда илашиш соҳаларининг геометрияси симметрик бўлишини тақозо этади. Биринчи сателлит үрнатылғандан сўнг марказий ғилдирак қатъий аниқ ҳолатни эгаллайди ва, агар баъзи талабларга риоя қылтимаса, у ҳолда кейинги сателлиттар үрнатылғанда уларнинг тишилари марказий ғилдираклардан биттасидаги ботиқларнинг аниқ рӯпарасида турмаслиги мумкин. Бу ҳолда механизмни йигиб бўлмайди. Бу ҳол юз бермаслиги учун ғилдираклар тишилари сонини шундай танлаш лозимки, бунда ҳамма сателлитларнинг, яъни 2 ва 3 ғилдиракларнинг (15.7 расм, в га қаранг) тишилари марказий ғилдираклар ( $l$  ва  $4$ ) тищларининг ботиқликларига аниқ кирадиган бўлсин.

Агар сателлиттар  $r_H$  радиуси айланы бўйлаб бир текис жойлашып бўлоа, яъни сателлиттар марказларининг радиус-векторларни орасидаги бурчаклар бир хил ва  $360/K$  га тенг бўлса, йигиши хатосиз амалга ошириш осон бўлади. Бу ҳол механизмни тайёрлашни ва ундан ғойдаланишини осонлаштиради (посангилар қўйиш талаб қылтимайди). Назарда тутилаётган шартни ифодалаш мақсадида редукторни йигиш жараёнини кўриб чиқамиз (15.7 расм, в га қаранг). Бунда сателлитларни водилога үз ўқига бир хил ҳолатда үрнатышини келишиб оламиз, яъни сателлит маркази марказий ғилдираклар ўқидан ҳамда ушбу ғилдираклар тиши ботигининг симметрия ўқидан утувчи вертикал чизикда жойлашади. Сателлитлар блокидаги иккала ғилдирак тищларининг бир-бiri га нисбатан жойлашуви блокдаги ҳамма  $K$  сателлитларда бир хил деб қараймиз. Ўқ «вертикал» ҳолатни эгаллаганда унга биринчи сателлитни үрнатиб, водилони  $\Phi_H = \frac{2\pi}{K} + 2\pi l / l$  бурчакка бурамиз, бунда  $P$  — водилонинг тұла бурилишлары сони. Шунда биринчи ғилдирак ҳам қандайдыр  $\varphi_1 = \Phi_H u_{1H}$  бурчакка бурилади. Иккинчи сателлитни үз ўқига үрнатамиз. Бу ўқ водило бурилғунга («вертикал» ҳолат) қадар сателлит өз аллаган жойда туради. Бироқ сателлитлар бир хил бұлғанда иккинчи сателлит үша «вертикал» ҳолатта үз ўрнига кириши учун у билан илашувчи марказий (биринчи) ғилдигак бурчак қадамларининг бутун соннага, яъни  $\varphi_1 = \bar{C} \tau - \bar{C} 2\pi / \bar{s}_1$  бурчакка бурилған бўлиши керак. Бунда  $\bar{C}$  — исталған бутун сон. Ўрнига қўйиб, ушбуни ҳосил қылтамиз  $\bar{C} 2\pi / \bar{s}_1 = \Phi_H u_{1H}$ . Еки  $\bar{C} 2\pi / \bar{s}_1 = (2\pi / K + 2\pi P) u_{1H}$ . Бундан

$$\frac{\varphi_1 u_{1H}}{K} (1 + K P) = \bar{C}. \quad (15.14)$$

$P = 0$  бўлган оддий ҳолда  $(\bar{s}_1 u_{1H}) / K = \bar{C}_0$  бўлади. Унда йигиш шартининг узил-кесил кўриниши куйидагича буладиж

$$\bar{C}_0 (1 + K P) = \bar{C}. \quad (15.15)$$

Бу шартнинг бажарилниши ушбуни англатади: агар сателлитлардан бири танланган вертикал ҳолатда ўрнатилса, у ҳолда кейинги ҳамма сателлитлар тегишин марказий ғилдираклар билан ўша ҳолатда илашишларн учун водило

$$\Phi_H = \frac{2\pi}{K} (1 + K\bar{P}) \quad (15.16)$$

бурчакка бурилиши зарур. Агар белгиланган тишлар сонида  $\bar{P}_0$  яхлит сон бўлмаса, у ҳолда  $\bar{P}$  ни шундай танлаш керакки, бунда  $\bar{P}_0(1 + K\bar{P})$  ифода яхлит сон бўлсин. Агар  $\frac{z_{min}}{K}$  бутун сонга ( $\bar{P}_0$ ) тенг бўлса, у ҳолда сателлитни ўрнатиш учун водилони  $\Phi_H = \frac{2\pi}{K}$  бурчакка буришини ўзи кифоя.

*Тўғри илашиши шарти* — узатмада (тишларининг сони берилган миқдорда бўлган, тишларининг асоси қирқилиб ўйилмаган ҳамда тишларининг учтари ўткирлашган ғилдираклардан ташкил топувчи узатмада) қадалишнинг бўлмаслиги шарти. Тўғри тишли, эволъвентасимон ноль ғилдираклардан ташкил топган ички илашмали узатмаларда қадалиш юз бермаслиги учун узатмадаги ҳар бир ғилдиракнинг  $z_1$  тишлар сонини рухсат этилган  $z_{min}$  ёнг кам миқдордан кўпроқ олиш лозим (14-бобга қаранг). Ички тишли ғилдираклар учун  $\alpha = 20^\circ$  ва  $h_a^* = 1,0$  бўлганда  $z_{min} = 85$  бўлади; агар  $h_a^* = 0,8$  бўлса у ҳолда  $z_{min} = 58$  бўлади; улар билан илашувчи ташки тишли ғилдираклар учун мос равишида  $z_{min} = 20$  ёки 18 тиш бўлади; бутун узатма учун илашувчи ғилдираклар тишлари сони орасидаги  $z_{max} - z_{min}$  фарқи  $h_a^* = 1,0$  бўлганда 8 дан,  $h_a^* = 0,8$  бўлганда 7 дан кам бўлмаслиги зарур.

Ташки илашмали узатмалардаги эволъвентасимон ноль ғилдираклар тишларининг асоси қирқилиб ўйилмаслиги учун  $\alpha = 20^\circ$  ва  $h_a^* = 1,0$  бўлганда  $z_{min} > 17$  олиниб,  $h_a^* = 0,8$  бўлганда эса  $z_{min} > 14$  олиниади (14-бобга қаранг).

Эволъвентасимон қия тишли ноль ғилдираклардан ёки ноль бўлмаган ғилдираклардан (тўғри ёки қия тишли) тузилган илашмаларда кинич ғилдирак тишлари сонини анчагина камайтириш мумкин.

Тиш профили эволъвентасимон бўлмаган ҳолларда тўғри илашиш шарти қўйланиладиган илашма назариясига мувофиқ равишида танланади (14-бобга қаранг). Ҳар бир муайян схема учун бошланғич тенглама (шарт) тузишда ғилдирак турини, ғилдираклар қаторларининг модулини ҳисобга олиш лозим.

Шундай қилиб, тишлар сонини аниқлаш масаласи ҳар бир муайян схема учун кўрсатилган шартларни ўзида акс эттирадиган бошланғич тенгламалар тузишдан ҳамда уларни биргаликда ечишдан иборат. Уларни ечиш усуслари, бинобарин, ушбу шартларнинг ҳаммасини қаноатлантирадиган тишлар сонини танлаш усуслари аслида кўп бўлиб, улардан иккитасини муайян схемалар асосида кўриб чиқамиз.

Тишлар сонини танлаш усулини эволъвентасимон ноль ғилдираклардан тузилган бир қаторли механизм (15.11-расм) мисолида кўриб

чиқамиз. Юқорида күрсатыб ўтилган шарттарнинг бошланғич тенгламаларини өзөмиз: узатиш нисбатининг тенгламаси:  $u_{1H}^{(4)} = 1 + z_1/z_1$ ; ўқдошлик шарти:  $z_1 + z_2 = z_4 - z_3$ ; сателлитлар орасидаги бурчактарнинг тенглиги шарти (йиғиш шарти):  $z_1 u_{1H}^{(4)}/K = \mathcal{U}_0$ ; құшнилік шарти (ноль гилдираклар учун):  $\sin\left(\frac{\pi}{K}\right) > (z_2 + 2h^*)/(z_1 + z_2)$ ;  $h^* = 1,0$  ва  $\alpha = 20^\circ$  бүлгандан  $z_1 > 17$ ;  $z_4 > 85$ ;  $(z_4 - z_3) > 8$ ;  $z_1 > 20$  күринишидеги түғри илашиб шарти.

Биринчи шартдан  $z_4 = z_1(u_{1H}^{(4)} - 1)$  ни, иккінчи шартдан эса  $z_2 = (z_4 - z_3)/2 = [z_1(u_{1H}^{(4)} - 1) - z_1]/2 = z_1(u_{1H}^{(4)} - 2)/2$  ни анықтайды.

Гилдираклар тишилари сонини анықтады учун нисбатлар системасини тузамиз.

$$z_1 : z_2 : z_4 : \mathcal{U}_0 = z_1 : \frac{z_1(u_{1H}^{(4)} - 2)}{2} : z_1(u_{1H}^{(4)} - 1) : \frac{z_1 u_{1H}^{(4)}}{K},$$

еки

$$z_1 : z_2 : z_4 : \mathcal{U}_0 = \left[ 1 : \frac{u_{1H}^{(4)} - 2}{2} : (u_{1H}^{(4)} - 1) : \frac{u_{1H}^{(4)}}{K} \right] z_1. \quad (15.17)$$

Бу — биринчи учта шартни бажаришда ушбу гилдираклар тишилари сонини түғри танлашга имкон берувчи асосий тенгламадир. Бу ерда  $z_1 > 17$  ни танлаган ҳолда  $z_2 > 20$ ;  $z_4 > 85$ ;  $(z_4 - z_3) > 8$  ва  $\mathcal{U}_0$  бутун сонни (берилген сателлитлар сони учун) ҳосил қилиш зарур. Агар  $\mathcal{U}_0$  бутун сон бўлмаса, у ҳолда  $\mathcal{U}_0$  ўрнига  $\mathcal{U} = (1 + K\mathcal{P})$  ни қабул қилиб, йиғиш шартини кенгайтириш лозим. Бунда  $\mathcal{P}$  ни шундай танлаш керакки, з нинг белгиланган қийматида  $\mathcal{U}$  бутун сон бўлсин. Агар бундай уриниш ечимни бермаса,  $z_1$  нинг янги қиймати танланади. Ҳосил бўлган  $z_1$ ,  $z_2$ ,  $z_4$  лар құшнилік шартига кўра текширилади.

Механизмнинг ушбу схемаси учун  $u_{1H}^{(4)} = 18/5$ ;  $k = 3$  маълум бўлсин. Асосий тенгламани тузамиз:

$$z_1 : z_2 : z_4 : \mathcal{U}_0 = \left[ 1 : \frac{4}{5} : \frac{13}{5} : \frac{6}{5}(1 + 3\mathcal{P}) \right] z_1,$$

сўнгра  $z_1$  га бир қанча қийматлар бериб кўрамиз:  $z_1 = 20 (> 17)$  бўлсин, у ҳолда  $z_2 = z_1/4 = 16 (< 20$  дан),  $z_4 = 13 z_1/5 = 52 (< 85$  дан) бўлади.  $z_2$  ва  $z_4$  лар рухсат этилган қийматлардан кичик бўлгани сабабли бу вариант ярамайди.  $z_1$  га янги қиймат (35) бериб кўрамиз ва  $z_2 = 35 \cdot 4/5 = 28$ ;  $z_4 = 91 (> 85)$  ва  $\mathcal{U}_0 = (6/5)35(1 + 3\mathcal{P}) = 42(1 + 3\mathcal{P})$  ларни ҳосил қиласиз. Демак,  $\mathcal{P} = 0$  деб олиш мумкин. У ҳолда ушбу муносабатнинг ўнг томони бутун сон бўлади. Шу сабабли кейинги сателлитни ўрнатиш учун водилони буриш бурчаги ҳам  $\Phi_H = 120^\circ$  га тенг бўлади. Олинган з ни құшнилік шартига кўра текширамиз:  $\sin(\pi/K) > (28 + 2)/(35 + 28)$  ва тенгсизликкунинг бажарнлганлигига ишонч ҳосил қиласиз. Шундай қилиб,  $z_1 = 35$ ;  $z_2 = 28$ ;  $z_4 = 91$  бўладиган иккінчи вариант узатманинг энг ихчам ҳамда  $z_2 > 20$  ва  $z_4 > 85$  бўлишини таъминлайди.

Тишилар сонини танланшнинг энг кўп таркалган усули **кўпайтувчи-лар усулидир**. Бу усулда тишилар сони фақат иккита шартга кўра: узатиш нисбати ҳамда ўқдошлик шартига кўра аниқланади ва йигиш ҳамда қўшинлик шартларига кўра текширилади.

Мазкур тишилар сонини аниқлаш усулининг моҳиятини 10.15-расм, а да тасвирланган, ноль фидираклардан тузилган механизм мисолида кўриб чиқамиз. Ушбу схеманинг узатиш нисбатини аниқлаш тенгламаси  $u_{1H}^{(4)} = 1 - (z_2 z_4) / z_1 z_3$  дан  $z_2 z_4 / (z_1 z_3) = 1 - u_{1H}^{(4)} = M/N$  каср қиймати аниқланади. Қисқармайдиган касрдаги ушбу иккита ўзаро оддий  $M$  ва  $N$  сонлари  $C_2 C_4 / (C_1 C_3)$  кўпайтувчилар тарзида берилади. Ўз навбатида  $C_1$  лардан ҳар бири  $z_i$  га мутаносиб бўлиши лозим.  $C_3 / C_1$  ни  $z_2 / z_1$  га мутаносиб деб қараб  $z_3 = z_1 (C_3 / C_1)$  ни ҳосил қиласиз. Шундай фикр юритиб,  $z_4 = z_3 (C_4 / C_3)$  ни ҳосил қиласиз. Ушбу қийматларни  $z_1 + z_2 = -z_4 + z_3$  ўқдошлик шартига қўйиб (модуллар бир хил бўлганда)  $z_1 + z_2 + z_3 (C_2 / C_1) = z_3 (C_4 / C_3) + z_3$  ёки  $z_1 [(C_1 + C_2) C_3] = z_2 [(C_4 + C_3) C_1]$  га эга бўласиз. Ушбу муносабат айният бўлмоғи учун энг осони  $z_1 = -C_1 (C_4 + C_3)$  ва  $z_3 = C_3 (C_1 + C_2)$  деб фараз қилишдир. Айнан шу тарздаги мулоҳазалар  $z_2 = C_2 (C_4 + C_3)$  ва  $z_4 = C_4 (C_1 + C_3)$  ни беради. Тўғри илашиш шарти бажарилиши учун умумий кўпайтувчи  $\gamma$  (исталган бутун сон) киритамиз. У ҳолда мазкур схема учун узил-кесил ушбуни ҳосил қиласиз:

$$\begin{aligned} z_1 &= C_1 (C_4 + C_3) \gamma; & z_2 &= C_2 (C_4 + C_3) \gamma; \\ z_3 &= C_3 (C_1 + C_2) \gamma; & z_4 &= C_4 (C_1 + C_2) \gamma. \end{aligned} \quad (15.18)$$

Ҳосил қилинган  $z_1$ ,  $z_2$ ,  $z_3$ ,  $z_4$  қийматлари йигиш ва қўшинлик шартларига кўра текширилади.

Берилган узатиш нисбатига кўра планетар тишил механизмларнинг тишилари сонини танлаш учун кўп миндордаги математик амалларни бажариш таълаб қилинади. Шу сабабли бундай масала ~~ЭКМ~~ ёрдамида ечилади. Бунинг учун берилган  $u_p$  ни кўпайтирувчиларга ажратиш ҳамда чеклашлар ва ташки ўлчамларни ҳисобга олган ҳолда  $z$  ни аниқлаш программасидан фойдаланилади. Баъзан программага таълаб қилинувчи  $u_p = M/N$ ;  $z_{lmin}$ ;  $z_{lmax}$ ;  $k$  қийматларига доир чеклашлар киритилади ва танлаш орқали керакли тишилар сони аниқланиси, улар ичидан энг кичик ташки ўлчамларни таъминлайдиган, босқичлар бўйича берилган узатиш нисбатини сақлаб қоладиган  $z_1$ ,  $z_2$ ,  $z_3$ ,  $z_4$  лар бирикмаси аниқланади.

**Мисол.** Параметрларн  $u_{1H}^{(4)} = -1/24$ ;  $k = 3$ ;  $m = 1$  бўлган механизм учун  $z_1$ ,  $z_2$ ,  $z_3$ ,  $z_4$  лар аниқланисин (15.10-расм, а га қаранг).

**Ечиш.**  $(z_2 z_4) / (z_1 z_3) = 1 - (-1/24) = 25/24$  ни топиб уни кўпайтувчиларга ажратамиз:

$$\frac{C_2 C_4}{C_1 C_3} = \frac{5 \cdot 5}{6 \cdot 4} = \frac{5 \cdot 5}{8 \cdot 3} = \frac{5 \cdot 5}{4 \cdot 6} = \frac{5 \cdot 5}{3 \cdot 8}$$

ва ҳоказо. Бундай кўпайтувчилар бирикмаси кўп бўлиши мумкин бўлганини сабабли, кўрсати.тган таълабларни каноат.лантирадиган ечимларнинг мумкин бўлган вариантылари ҳам кўп бўлади. Кўпайтувчилар би-

рикмасининг тўрттала варианти учун (15.18) формуалалар ёрдамида тишилар сонини ҳисоблаб ушбуларни ҳосил қиласиз:

$$\begin{array}{cccc} 1 & 2 & 3 & 4 \\ \ddot{s}_1 = 6(5+4)\gamma = 54\gamma & 8 \cdot 8\gamma = 64\gamma & 4 \cdot 11\gamma = 44\gamma & 3 \cdot 13\gamma = 39\gamma \\ \ddot{s}_2 = 5(5+4)\gamma = 45\gamma & 5 \cdot 8\gamma = 40\gamma & 5 \cdot 11\gamma = 55\gamma & 5 \cdot 13\gamma = 65\gamma \\ \ddot{s}_3 = 4(6+5)\gamma = 44\gamma & 3 \cdot 13\gamma = 39\gamma & 6 \cdot 9\gamma = 54\gamma & 8 \cdot 8\gamma = 64\gamma \\ \ddot{s}_4 = 5(6+5)\gamma = 55\gamma & 5 \cdot 13\gamma = 65\gamma & 5 \cdot 9\gamma = 45\gamma & 5 \cdot 8\gamma = 40\gamma \end{array}$$

Ҳамма вариантларда тўғри илашиш шартига кўра  $\gamma = 1$  қилиб олиш мумкин. 1 ва 3-вариантларда узатма энг ихчам чиқади. Уларни йигиш шартига кўра текширамиз:

$$Ц = \frac{\ddot{s}_1 + \ddot{s}_4}{k} (1 + k\pi) = \frac{54}{3} \left( -\frac{1}{24} \right) (1 + 3\pi) = -\frac{3}{4} (1 + 3\pi).$$

Бу шарт бажарилиши учун  $(1 + 3\pi)$  4 сонига карралти бўлиши лозим, бу эса  $\pi = 1$  бўлганда амалга ошади. Бу ҳол йигиш вақтида водидони  $\Phi_H = (2\pi/3) \cdot (1 + 3 \cdot 1) = 2\pi/3 + 2\pi$  бурчакка, яъни, 120 бурчакка буриб, яна иккى марта тўлиқ айлантириш лозимлигини англатади. Шундай қилинганда сателлитлари айланга бўйича текис тақсимланган механизми йигиш мумкин бўлади. Қўшилилк шаргини текширамиз:  $\sin(\pi/K) > (45 + 2)(54 + 45)$ ; бу шарт ҳам бажарилади. 3-вариант учун  $(4 \times 4/3) - (1/24)(1 + 3\pi) \neq Ц$ , яъни чап томон бугун сонга айланмагани учун вариантдан воз кечамиз. Шу сабабли тишилар сонини қўйидагича танлаймиз:  $\ddot{s}_1 = 54$ ;  $\ddot{s}_2 = 45$ ;  $\ddot{s}_3 = 44$ ;  $\ddot{s}_4 = 55$ .

Иккита ички илашмали механизм схемаси учун (15.10-расм, б га қаранг)  $\ddot{s}_{1H}$ ,  $m$ ,  $k$  берилган бўлса,  $\ddot{s}_i$  ни аниқлаш формуалари юқоридагига ўхшаш мулоҳазалар асосан ҳосил қилинади, бироқ бунда кўриләётган схема учун ўқдошлик шаргини ёзишининг ўзига хос томонлари назарда тутилади:  $\ddot{s}_1 - \ddot{s}_2 = \ddot{s}_4 - \ddot{s}_3$ . Бу ҳолда ҳисоблаш формуласи қўйидаги кўринишни олади:

$$\begin{array}{ll} \ddot{s}_1 = C_1(C_4 - C_3)\gamma; & \ddot{s}_2 = C_2(C_4 - C_3)\gamma; \\ \ddot{s}_3 = C_3(C_1 - C_2)\gamma; & \ddot{s}_4 = C_4(C_1 - C_2)\gamma; \end{array} \quad (15.19)$$

Аралаш илашмали механизм учун (15.7-расм) тишилар сонини ҳисоблаш формуалалари  $\ddot{s}_1 + \ddot{s}_2 = \ddot{s}_4 - \ddot{s}_3$ , ўқдошлик шаргини ҳисобга олган ҳолда қўйидаги кўринишга эга бўлади:

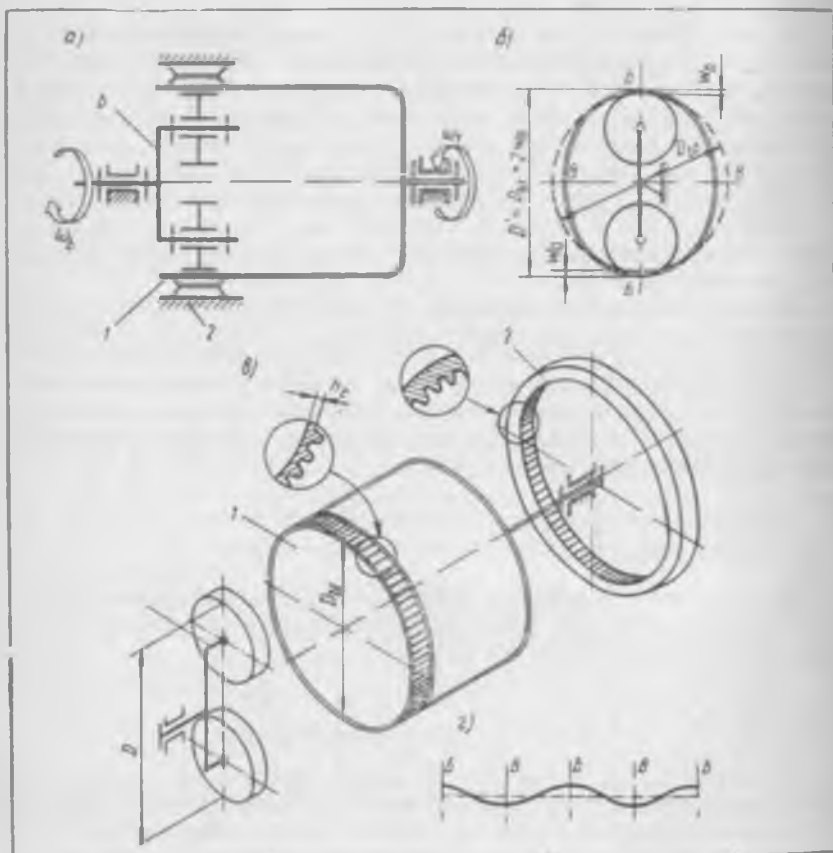
$$\begin{array}{ll} \ddot{s}_1 = C_1(C_4 - C_3)\gamma; & \ddot{s}_2 = C_2(C_4 - C_3)\gamma; \\ \ddot{s}_3 = C_3(C_1 + C_2)\gamma; & \ddot{s}_4 = C_4(C_1 + C_2)\gamma. \end{array} \quad (15.20)$$

Умумий кўпайтма  $\gamma$  шундай танланадики, бунда барча тишилар сони бутун сон бўлиши ҳамда тўғри илашиш шарти бажарилни лозим. Ҳосил қилинган  $\ddot{s}_i$  лар йигиш шартига (15.14) ва қўшилилк шартига кўра (15.13) албатта текширилади.

### 15.5-§ Тұлқинсімон тишли узатмалар

Тұлқинсімон тишли узатма (15.19-расм) бошқа турдагы тишли механизмдерден үзидегі эгилувчан элемент — гилдиракнинг тұлқинланувчан деформацияға дучор бўлиши билан фарқ қиласи. Бунда узатмада айланма ҳаракатни узатиш тұлқинланиш туфайлы содир бўлади. Тұлқинсімон тишли узатма учта асосий элемент — эгилувчан тишли гилдирак 1 (15.19-расм, а, б), бирк гилдирак 2 дан ва тұлқинлар генератори 6 дан ташкил топади. Эгилувчан тишли гилдирак юпқа деворли қобиқ тарзда бўлади. Унинг бир уни вал билан боғланган бўлиб, бу томон үзиннинг цилиндрическим шаклини сақтайды. Унинг бошқа унига сон қиймаги 5, га тенг бўлган тицелар қирқиғанды. Қобиқнинг ушбу учини унинг ичинға ўрнатилган тұлқинлар генератори  $2\omega_0$  катталақка деформациялади.

Эгилувчан гилдиракнинг ён кесими тұлқинлар генератори таъсирида (15.19-расм, б) дастлабки думалоқ шаклига нисбатан эгри чизиқли



15.19- расм

шаклин олади. Эгилувчан гилдиракнинг деформацияланган контури деформацияланмаган контурга нисбатан иккита деформациялаш түлқинини (15.19-расм, 2) ҳосил қиласди.  $BB$  ўқ эса унинг кичик ўқи деб аласади.  $BB$  ўқда деформация түлқинининг чўққилари,  $BB$  ўқда эса унинг ботиқлари жойлашади. Деформациялаш түлқинларининг сони 1, 2, 3 ва ҳоказога тенг бўлиши мумкин. Кўп ҳолларда икки түлқинли узатмалар қўлланылади. Улардаги эгилувчан ва бикр гилдираклар тишлари сони  $z_2 - z_1 = 2$  мунсабат орқали ўзаро боғлангандир.

Ҳаракатни зич девор орқали узатиш учун мўлжалланган түлқинсимон узатманинг эгилувчан гилдираклари бир томони ёпиқ қобиқдан иборат.

Тўлқинлар генератори эгилувчан тишли гилдиракда деформациялаш түлқинини ҳосил қилиш ҳамда уни ҳаракатлантириш учун хизмат қиласди. Механик, электромагнитли, пневматик, гидравлик генераторлар бўлади. Механик генераторларнинг икки роликли, турт роликли, дисксимон, ҳалқасимон ва муштсимон турлари қўлланылади. Генератор эгилувчан гилдиракнинг ичига ёки сиртига ўринатилиши мумкин.

Тўлқинсимон узатманинг кинематикиси. Генератор айланганда ҳар бир деформациялаш тўлқини эгилувчан гилдиракнинг гир атрофида тез ҳаракатланади. Натижада эгилувчан гилдиракнинг ҳар бир тиши тўлқинлар генераторининг бир марта айланшида бикр гилдирак билан икки марта илашади.

Бикр гилдирак тўхтаб, генераторининг бир марта тўла айланшида ( $\Phi_b = 2\pi$ ) эгилувчан гилдиракнинг вали генераторининг айланши йўналнисига қарама-қарши томонга  $\Phi_1 = 2\pi (z_1 - z_2)$   $z_1$  бурчакка бурилади, бунда  $2\pi / z_1$  — эгилувчан гилдиракнинг бурчак қадами.

Бурилиш бурчакларидан бурчак тезликларга ўтиш мумкин; у ҳолда бикр гилдирак тўхтаб турганда тўлқинлар генераторидан эгилувчан гилдиракка узатиш нисбаги қўйндагига тенг бўлади:

$$U_{\delta 1}^{(2)} = \frac{\omega_b}{\omega_1} = \frac{2\pi}{\frac{2\pi}{z_1} (z_1 - z_2)} = - \frac{z_1}{z_2 - z_1}, \quad (15.21)$$

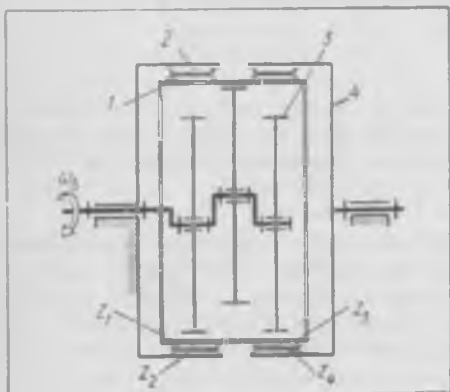
Агар эгилувчан гилдирак тўхтатилса, у ҳолда генератор  $\Phi_b = 2\pi$  бурчакка бурилганда бикр гилдирак генераторининг ҳаракат йўналнисида  $\Phi_2 = 2\pi (z_2 - z_1) / z_2$  бурчакка бурилади, бунда  $2\pi / z_2$  — бикр гилдиракнинг бурчак қадами.

Бу ҳолда тўлқинлар генераторидан бикр гилдиракка узатиш нисбати қўйндагича бўлади:

$$U_{\delta 2}^{(1)} = \frac{\omega_b}{\omega_2} = \frac{2\pi}{\frac{2\pi}{z_2} (z_2 - z_1)} = \frac{z_2}{z_2 - z_1}. \quad (15.22)$$

(15.21) ва (15.22) ифодалар тўлқинсимон узатманинг узатиш нисбати гилдираклар тишлари сонигагина боғлиқ бўлишини кўрсагади.

Тўлқинсимон узатма иккита босқичли бўлиши ҳам мумкин (15.20-расм). Бу ҳолда эгилувчан гилдирак I иккита  $z_1$  ва  $z_2$  тишлари тоҷлари бўлган



15.20- расм

ялқа күрнишінде ясалади. Бу тоғлар (тишлары сони мөс тарзда  $z_2 = z_4$  бўлган) бикр гилдираклар 2 ва 4 билан илашади. Бикр гилдирак 2 қўзгалмас-дир; ҳаракат иккита тўлқинси-мон илашма ёрдамида генера-тор 3 валидан бикр гилдирак 4 га узатлади. Кўп босқичли туқ исимон узатманинг (15-20 расм) узатиш нисбати планетар механизминидек ушбу формуладан аниқланади:

$$u_{b4} = \frac{z_1 - z_4}{z_1 z_4 - z_2 z_3}. \quad (15.23)$$

Тўлқинланувчи тишли муф-таси бор узатмада  $z_3 = z_1$  ва  $z_4 = z_1$  бўлса, у ҳолда чиқиш вали муфта гилдираги 4 билан боғланган ва узатманинг узатиш нисбати қўйидагига тенг бўлади:

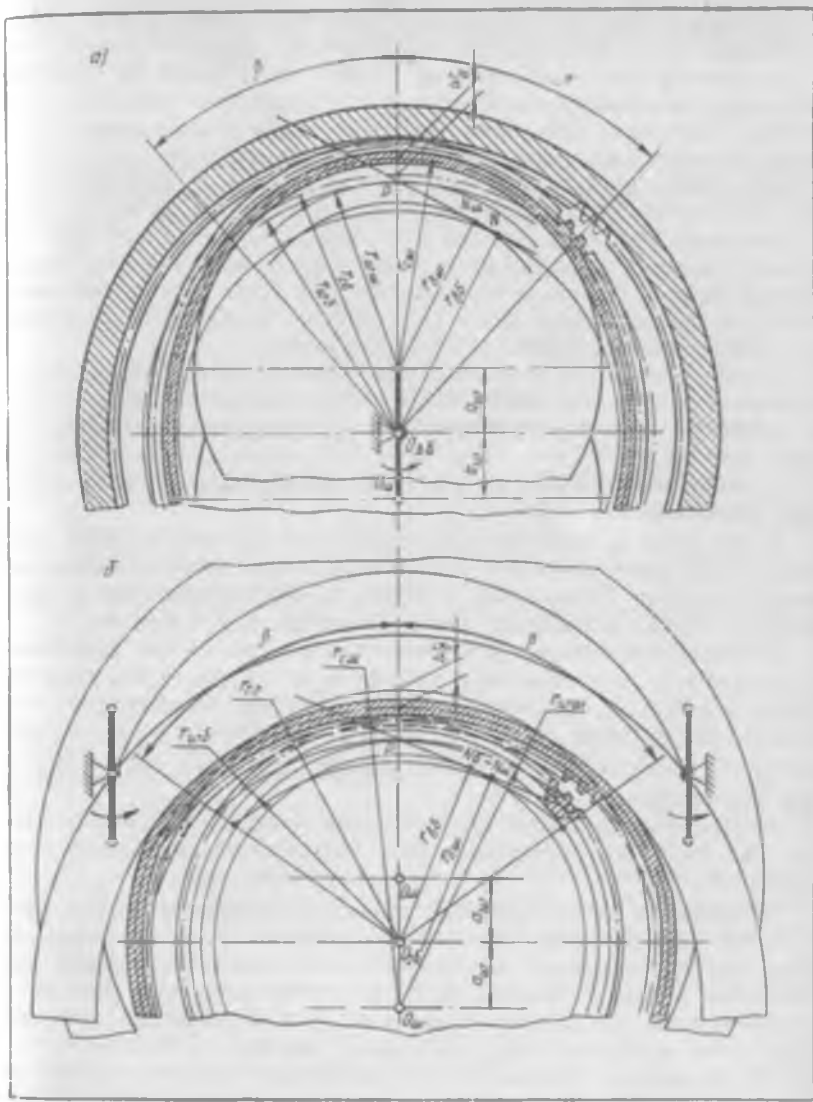
$$u_{b4} = -\frac{z_1}{z_3 - z_1}. \quad (15.24)$$

Агар  $z_3 = z_1$  ва  $z_2 = z_1$  бўлса, у ҳолда чиқиш вали узатма гилдираги 4 билан боғланган ва узатманинг узатиш нисбати қўйидагига тенг бўлади:

$$u_{b4} = \frac{z_1}{z_4 - z_1}. \quad (15.25)$$

**Тўлқинсимон узатманинг хусусиятлари.** Тўлқинлар генераторининг бир марта айланишида эгишувчан гилдирак гардишининг ҳар бир нуқта-сидан иккита деформациялаш тўлқини ўтади. Турли ишорати юкланиш натижасида эгишувчан гилдирак материалида вужудга келувчи зўриқиши рухсат этилган чегарарадан ошмаслиги, мабодо ошган тақдирда ҳам Гук қонунини ифодаловчи чизиқнинг тўғри чизиқли қисми доир сида бўлинилозим. Шу сабабли пўлат гилдираклар учун деформацияланни катта-лиги  $w_0$  ва эгишувчан гилдирак тишлилари остидаги гардишининг қалин-лиги  $h_c$  га нисбатан кичик бўлади:  $w_0 = (0,003 \dots 0,015) d_1$ ;  $h_c = (0,005 \dots 0,03) d_1$ .

Деформацияланниш  $w_0$  нинг кичик бўлиши деформациялангунга қадар бикр тарзда гилдирак билан эгишувчан гилдиракининг бўлувчи айланалари радиуслари орасидаги фарқ, шунингдек гилдираклар тишлилари сони ора-сидаги фарқ камлигини билдиради.  $w_0$  ва  $d_1$  катталликларининг нисбати эса кўп миқдордаги тишлилар сонига мөс келади.  $w_0$ ,  $z_1$ ,  $z_2$  катталликларининг бундай нисбатларида деформациялаш тўлқинининг чўққиси соҳасида тишлилар орасидаги тирқишилар кичик бўлади. Узатма юкланиган пайтда ва ҳатто йигилиш вақтида бу тирқишилар маътум даражада йўқолади. Шу тифайли тўлқинсимон узатмада жуда кўп жуфт тишлилар (40% га яқини) бир вақтнинг ўзида ўзаро илашади.



15.21- расм

Юқорида айтылған ларға ассоланған ұолда түлкінсімөн тишли узатманиң қүйидаги ұзынаға хос томонларини күрсатып үтиш мүмкін:

біттә босқычнинің үзін катта  $\mu$  узатыш нисбатини ҳосил қылади. Эгилуғчан пұлат гилдираклы узатмалар учун (15.19-расм)  $\mu = 50 - 300$ , иккі босқычлы узатмалар учун (15.20-расм)  $\mu = 2000 - 10^4$  ва бундан катта бұлади;

Гилдиракларининг кўп миқдордаги жуфт тишлари бир вақтнинг ўзида илашганида ихчам ва енгил узатмага анча катта юкланиш тушади;

илашманинг кўп жуфтликлардан ҳосил бўлиши ҳамда бир қанча бир хил соҳали илашмаларнинг мавжудлиги гилдиракларни тайёрлаш ва йиғишдаги хатоларни камайтиради ва тўлқинсизмон узатмаларнинг кинематик аниқлиги юқори даражада бўлишини таъминлайди;

шу сабабга кўра тўлқинсизмон узатманинг шовқин даражаси оддий кўп бўғинли тишли ёки планстар узатманинг қараганда паст бўлади;

эгилувчан гилдиракнинг унча кўп деформацияланмаслиги уни бир томони қисмларга эжралмайдиган қобиқ тарзида ясашга имкон беради. Бу ҳол айланма ҳаракатни бир муҳитдан бошқасига қўзгалувчан зичла-гичлардан фойдаланмаган ҳолда узата оловучи тўлқинсизмон зич узатмалар тайёрлашга имкон беради (2.8-расм);

узатиш нисбати  $\mu = 50 - 200$  бўлган узатмаларнинг фойдали иш коэффициенти анча катта бўлиб, 70 ... 85 % ни ташкил қўлади.

Геометрик параметрларни ҳисоблаш. Ҳисоблашда қўйицагилар эъти-борга олинади:

1) эгилувчан гилдиракнинг тиши профили деформацияланганда уз шаклини ўзгартирамайди;

2) эгилувчан ва бикр гилдирак тишиларининг илашмасини битта томон текислигига қараш мумкинки, эгилувчан гилдирак тишил тоғининг таҳ-минан ўртасидан ўтuvчи ҳамда эгилувчан ва бикр гилдираклар ўқларига нисбатан нормал жойлашувчи битта текисликда қараш мумкин;

3) тишли тоҷ остидаги эгилувчан гилдирак жисмининг ўрта чизиги ўз узунлигини ўзгартирамайди (15.21-расм) ва нейграп чизик хусусиятларига эга бўлади; деформацияланмаган эгилувчан гилдирак ўрта чизигининг (айланасининг) радиуси  $r_c$  билан белгиланади; деформацияланган эгилувчан гилдирак ўрта чизигининг ўзгарувчан эгрилик радиуси  $r_{cs}$  билан белгиланади;

4) деформациялангандан сўнг эгилувчан гилдирак тишиларининг симметрия ўқи эгилувчан гилдиракнинг ўрта чизигига нисбатан нормал бўлиб қолаверади.

Тўлқинсизмон тишил узатмани геометрик ҳисоблашинг бир қанча усуслари мавжуд. Бунда марказий  $2\beta$  бурчаклар билан чекланган ила-шиш соҳалари оралигида деформацияланувчи эгилувчан гилдирак ўрта чизигининг эгрилиги ўзгармас бўлишини таъминловчи ички ёки ташки деформацияланаш тўлқинлари генераторлари бўлган тишли узатмаларнинг (15.21-расм, а, б) геометрик ҳисоби қараб чиқылади. Тўлқинсизмон узат-манинг эгриланиши ўзгармас бўлган қисмларидаги илашма гипотери со-ни  $\delta_0$  бўлган бикр гилдиракнинг ва эгилувчан гилдирак билан бир хил параметрларга эга бўлган тишиларининг ҳисоблаб топиладиган сони  $\delta_{cs}$  бўлган шартли гилдиракнинг эволъянтални ички илашмаси деб қарала-ди ( $2\beta$  бурчак билан чекланган соҳада).

Ички ва ташки томонга деформацияланувчи узатмаларни геометрик ҳисоблаш учун бошланғич параметр сифатида эгилувчан гилдирак нис-бий деформацияланниши  $w_0/r_c$  нинг энг катта қиймати қабул қилинади. Шартли гилдиракнинг ҳисоблаб топиладиган тишилари сонини аниқлаш формуласи деформацияланган эгилувчан гилдиракнинг ўрга чизиги тенг-

ламаси асосида келтириб чиқарилади (қаранг: Шувалов С. А., Волков А.Д. Деформация гибкого зубчатого колеса волновой передачи двумя дисками. Известия вузов 1974 й., 10-сони):

$$\frac{w_0}{r_c} k' = \pm \left( \frac{r_c}{r_{cw}} - 1 \right). \quad (15.26)$$

Бу ерда ишора эгилувчан гидравликкинг дісклар таъсирида ички томонга деформацияланышыга, мәнғий ишора эса ҳалқалар таъсирида ташкы томонга деформацияланышыга тааллуқидир:

$$k' = 1/(k - 1); \quad k = \frac{\frac{\pi}{2} - \beta - \sin\beta \cos\beta}{\frac{4\beta}{\pi} \sin\beta + \frac{4}{\pi} \cos\beta - 2 \sin\beta}. \quad (15.27)$$

(3) да айтылганларга асосан, геометрик ҳисоблашда эгилувчан гидравлик деформациялангунга қадар ва деформациялангандан кейин унинг ўрта чизиги бүйича қадамлари ұзаро тенг бўлиб қолаверади, бу ҳол күйидагини ёзишга имкон беради:

$$r_{cw}/r_c = s_w/s_b, \quad (15.28)$$

бу ерда:  $s_b$  — эгилувчан гидравликкинг тишилари сони;  $s_w$  — шартли гидравликкинг ҳисоблаб топиладиган тишилари сони.

(15.28) ни (15.26) га қўйиб, ўзgartириштардан сўнг ушбуни ҳосил қиласмиш:

$$s_w = s_b / \left( 1 \pm k' \frac{w_0}{r_c} \right). \quad (15.29)$$

Сўнгра деформацияланган эгилувчан гидравлик (15.21-расм, а, б) ўрта айланасининг радиуси аниқланади:

$$r_{cw} = m \left( \frac{s_b}{2} + x_b \mp h_s^* \mp c^* \mp \frac{h_c}{2m} \right), \quad (15.30)$$

бу ерда  $x_b$  — эгилувчан гидравликкинг силжиш коэффициенти;  $h_s^*$  — тишиланидигининг коэффициенти ва  $c^*$  — радиал тириқиш коэффициенти — буларнинг иккакаси бошланғич контурнинг параметрларидир;  $m$  — гидравлик тишиларининг модули.

(15.30) формула таркибиға кирувчи параметрларни куйидаги тенгламалардан аниқлаш лозим:

$$h_c = \left( 60 + \frac{s_b}{5} \right) m s_b \cdot 10^{-4}; \quad (15.31)$$

$$x_b = \left( h_s^* + c^* + \frac{h_c}{2m} \right) \delta; \quad (15.32)$$

$$\frac{w_0}{r_c} = \pm \left( \frac{s_b - z_b}{z_b} \right) \gamma, \quad (15.33)$$

бу ерда ички томонга деформацияланышда  $\delta = 1$ ;  $\gamma = 0,95 \dots 1,1$  (күпинча  $\gamma = 1$ ), ташкы томонга деформацияланышда эса  $\delta = 0,8 - 0,9$ ;  $\gamma = 0,85 - 1,1$  қилиб олинади.

Кейин (15.28) формуладан деформацияланмаган эгитувчан гидидарал айланасининг радиуси аниқланади:

$$r_c = \frac{z_0}{z_w} r_{cm}. \quad (15.34)$$

Тўлқинсизмон узатмада деформацияловчи дисклар ёки ҳалқаларнинг ўрнатилиш эксцентрикитетига тенг бўлган ўқлараро масофа (15.21-расм  $a, b$  га қаранг) қўйидагига тенгдир:

$$a_w = \pm r_c \pm w_0 \mp r_{cy},$$

ёки

$$a_w = \pm r_c \left( 1 \pm \frac{w_0}{r_c} \right) \mp r_{cy}. \quad (15.35)$$

Ўқлараро масофани билib олгач, тўлқинсизмон узатмадаги илашиш бурчагини аниқлаш мум ин:

$$\alpha_w = \arccos \frac{\pm (x_0 - z_w) \mp \cos \alpha}{2 a_w}. \quad (15.36)$$

Ички томонга деформацияланувчи узатманинг  $\alpha_w = \alpha$  илашиш бурчагига кўра лойиҳалаш мумкин; бунда (15.32) формулада  $\delta = 1$ , (15.33) формулада эса  $\gamma = 1$ ;  $w_0 = m$  ва  $s_2 = s_1 + 2$ ;  $z_1 = z_1$ ;  $z_6 = z_2$  бўйяди. У ҳолда

$$x_s = x_1 = \frac{1}{2} \left( 2 h_s^* + 2 c^* + \frac{h_c}{m} \right); \quad (15.37)$$

$$z_w = \frac{z_1^2}{z_1 + 2 - h^*}; \quad (15.38)$$

$2k'$  коэффициент (15.27) формула ёрдамида ҳисобланип ёки  $\beta$  бурчакка асосан қабул қилиниши мумкин:

$\beta$	40°	50°	60°	70°
$2k'$	4,38485	4,02916	3,78522	3,62553

Тўлқинсизмон узатманинг қолган параметрлари ҳамда ўчамлари ички илашмалли тишли узатманини каби ҳисобланади.

Тўлқинсизмон узатманинг қўлланилиш соҳалари. Тўлқинсизмон узатмаларнинг айтиб ўтилган хусусиятлари улардан оқилона фойдаланиши мумкин бўлган соҳаларни белгилаб беради. Бу соҳалар қўйидагилардир: катта узатиш нисбатига эга бўлган ҳамда кўп соҳаларда қўлланиладиган куч ҳамда кинематик юритмалар; топширик берувчи ва ижрочи механизмлар; кинематик аниқлиги оширилган ҳисоблаш қўрилмалари, автоматик ростлаш ва бошқариш системаларининг кам инерцион, тез ишловчи ижрочи механизмлари; химия, атом ва космик техникада қўлланувчи, ҳаракатни зич қилиб беркитилган бўшлиқка узатувчи юритмалар.

## 16-бөл

### ЧИҚИШ БҮГИНИ ҮЗЛҮКЛИ ҲАРАКАТЛАНУВЧИ МЕХАНИЗМЛАР

Автоматик ва ярим автоматик тарзда ишловчи машиналарда шундай механизмлар кеңг құлланылады, улар иш цикли жараённда кириш бүгини үзлуксиз ҳаракатланып түрган ҳолда чиқиши бүгинининг белгіләнгән вақт давомида түхтаб туришига имкониит яратади. Бундай механизмлар чиқиши бүгинни түхтаб-түхтаб ҳаракатлануви меканизмлар еки үзлүкли ҳаракатлануви меканизмлар деб аталади. Түхташ түлиқ еки деярли түлиқ бүлниши, уннинг давом этиши вақти эса олдниндан анник белгіләнгән еки номағынан бүлниши мумкін. Меканизмнинг умумий иш циклиниң ҳаракатланыш ва түхташтың үлүшнин біхолашда чиқиши бүгинининг ҳаракатланыш вақти вә түхташ вақтнинң иисбій коэффициентлари ҳисобға олинади. Чиқиши бүтіннега үзлүкли ҳаракат Сериш учун түрлі меканизмлар құлланылады. Булар түс-қычыл (храплы), маътта, ғилдираги бутун бүлмаган тишли ва бошқа меканизмлардир.

#### 16.1-§. Тишли ва түсқычлы меканизмлар

16.1-расм, а да үзлүкли ҳаракатланувчи тишли меканизм схемаси көлтирилған. Уннинг 1 етакчи бүгини тишилари сони  $z_1$  бүлган тишли сектордан иборат. Бу тишли сектор тишилари сони  $z_2 = z_1$  бүлган 2 тишли ғилдирак билан илашиши мумкін. 1 тишли сектор  $\Phi_{1\alpha}$  бурчакка бурилғанида 2 бүгин түхтайди ва ёйлар уни шу ҳолатда қотириб құяди. Бунда 1 етакчи бүгиндеги 4 чиқиқ 2 етакланувчи бүгиннеги 3 үйікә кириб туради. Бу ҳолат етакчи ғилдиракнинг  $\Phi_{1\alpha}$  бурчакка бурилишига мос келади.

Түхташ вақтнинң  $k_n$  коэффициенти қуйидагига тең (16.1-расм, б га қаранг):

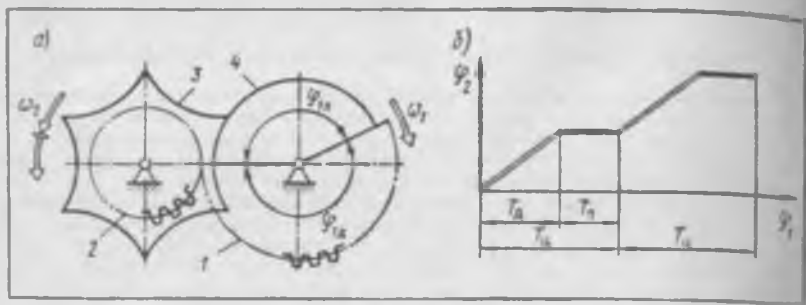
$$k_n = T_n / T_u = \Phi_{1\alpha} / (2\pi).$$

$\Phi_{1\alpha}$  бурчак  $2\pi/z_1$  қийматы бурчак қадамларнинг бутун сонига эга бўлиб, бу сон 1 ғилдиракдаги  $2\pi/z_2$  қийматы бурчак қадамларнинг бутун сонига тўғри келади. Бироқ, 2 сектор ва 1 ғилдиракдан ташкил топган тишли узатмада қопланиш коэффициенти одатда  $> 1$  булади. Бу ҳол 2 ғилдиракнинг 2л бурчакдан каттароқ бүлган құшнамча бурчакка бурилишини юзага келтириши оқибатида ҳаракатнинг навбатдаги босқычининг боштанишида тишиларнинг ўзаро туташиб шарти бузилиши мумкін. Буннинг олдини олиш мақсадида механизмни лониҳадаш жараённда охирги жуфт тишиларнинг қопланиш коэффициентини 1 га тең бўлишини таъминлаш кўзда тутилади. Бунга 1 сегментдаги охирги тишиннинг баландлигини ҳисоблагб аниқланган ўлчамга қисқартыриш орқали осонгина эриншиш мумкін.

Тишиларнинг сони түлиқ бүлмаган меканизмларнинг камчилиги шундаки, тишилар илаша бошлаган пайтда ва бўғинлар түхтагандан сунг ёйлар воситасида қотириб қўйила бошлаган пайтда зарб пайдо булади. Шу сабабли улар тезлаштириладиган массаларнинг катталиги кичик бўлган секинюрар машиналарда құлланылади.

Эркін ҳаракат муфталари еки түсқычлы ғилдираклар билан биргаликдаги пишанғли меканизмлар анча кең құлланылаётir.

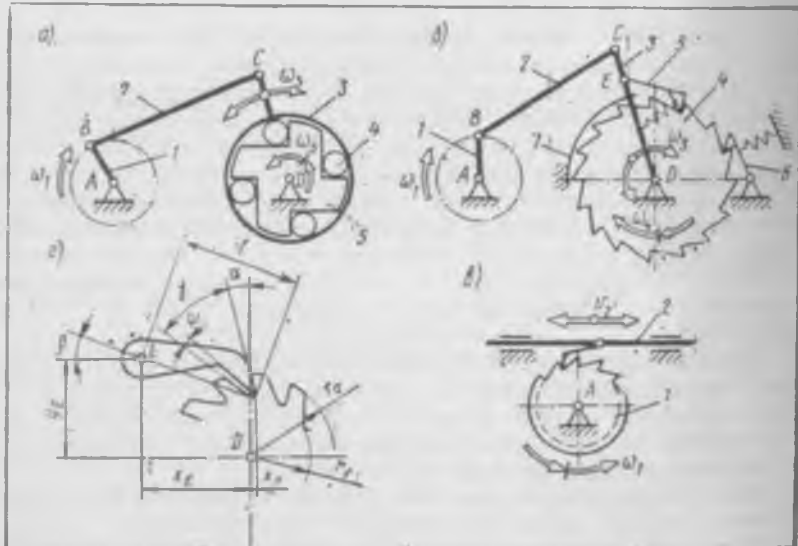
Эркін ҳаракат муфтаси (16.2-расм, а) роликлар еки 4 шарчалар 3 ва 5 бўғинлар элементлари оралиғида жойлашади. 3 ва 5 бўғинларнинг



16.1- расм

нисбий бурилиши йұналишинга қараб роликлар ёки 4 шарчалар сиртлар оралығыда қадашиб қолиши ёки сирпаниши мүмкін. Роликлар ёки шарчалар 3 бүғин юзасига дони тегиб түрши үчүн пружиналар құлланлади. Бу пружиналарнинг таранглық даражасини винтлар (улар схемада күрсатылмаган) билан ростлаш мүмкін. 1 кривошиппнинг узлуксиз айланма ҳаракати 2 шатун, 3 коромисло ва роликлар ёки 4 шарчалар ердамида 5 бүғиннинг бир төмөнлама узлукли ҳаракатига үзгартырылады. 5 бүғиннинг  $\omega$ , бурчак тезлиги үзгәрувчандыр.

Тұсқиличи (храповикли) механизмлар (16.2-расм, б, в) чиқиши бүғиннега фақат бир йұналишида тұхтаб-тұхтаб ҳаракатланишга имкон берады. Уларнинг таркибида тишли етакланувчи тұсқиличи гидророликтер 4 бұлғып, тишлиларнинг иш юзаларига иш илгаги (собачка) 5 нинг ва тұх-



16.2- расм

татувчи илгак 6 нинг элементлари тиради туради (16.2-расм, б). Иш илгаги 5 кривошили 1 ва шатуни 2 бўлган шарнирли тўрт бўғинли ABCD механизмининг 3 коромислосига шарнир ёрдамида бириттирилган, 3 коромислонинг оғиши бурчаги доимий бўлганда илгак қамраб оладиган тишлар сонини 7 тўсиқ билан ростлаш мумкин. Бунинг учун тўсиқни ташки ёй бўйлаб суриш лозим. Тўхтатувчи илгак 6 тўскичли филдирекка фойдали қаршилик кучлари таъсирида бурилишга имкон бермайди.

Айрим қурилмаларда кириш бўғини 2 илгарилама ҳаракатланиши (16.2-расм, б), тўскичли филдирек 1 эса тўхтаб-тўхтаб айланishi мумкин. Илгак тўскичли филдирек тишларини пухта ушлаб туриши учун пружинанинг мажбурий туташтирувчи кучидан фойдаланилади (16.2-расм, б).

Тўскичли филдиреклар тишларининг профили турлича булиши мумкин. Масалан, ўткир учли нормал профиль (16.2-расм, б) ва раҳи йўнитган (фаскали), кучайтирилган профиль, тиш таги ичкарига тортилмаган ( $\alpha = 0$ ) ва тиш таги ичкарига тортилган ( $\alpha \neq 0$ ) профиллар (бу ерда  $\alpha$  — тиш профилининг ичкарига тортилиш бурчаги) шулар жумладиданdir.

Тўскичли филдирекларнинг асосий ўлчам параметри тишлар учларининг  $r_a = m z$  радиусли айланаси бўйича олинадиган стандарт (ГОСТ 95 63—60)  $m$  модулидир. Тишнинг  $h = r_a - r$ , баландлиги тишнинг шаклига боғлиқ. Таги ичкарига тортилмаган нормал профилни тишнинг баландлиги кўйиндаги формуладан аниқланади:

$$h = \frac{m z \sin(\pi/2)}{\sin\gamma} \cos(\gamma - \pi/2).$$

Таги ичкарига тортилган нормал профилни тишнинг баландлиги ҳам юқоридагнга ўхшаш аниқланади:

$$h = \frac{m z \sin(\pi/2)}{\sin\gamma} \cos(\gamma + \alpha - \pi/2) \cos\alpha.$$

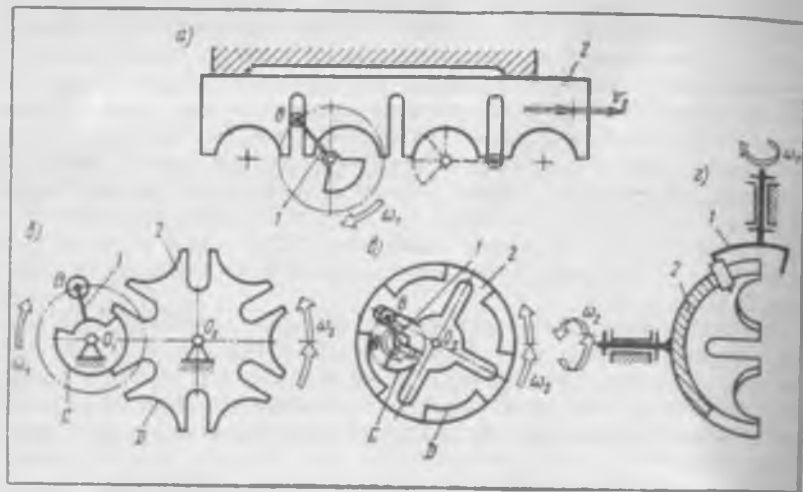
Дастгоҳсозлик нормалига кўра  $\gamma$  ботиклиқ бурчаги модулга боғлиқ равишда  $55^\circ$  ёки  $60^\circ$  бўлади. Илгак каллагининг бурчаги  $\gamma$  га қараганда  $\psi = 5^\circ$  чалик кичик қилиб олинади. Қолган  $l$ ,  $y_E$ ,  $x_E$ ,  $x_N$  ўлчамлар  $m$  ва  $z$  ларнинг танланган қыйматларига кўра белгиланади.

Тўскичли механизмлар тезкор машиналарда кам ишлатилади, чунки улар шовқин чиқариб ишлайди ва тормоз системаси бўлмагандан чиқиш валининг айтаниш ишончлилиги паст.

Кулай кинематик хусусиятларга эгалиги ҳамда маълум вақт ичидаги кўп марта тақрорланувчи жараёнларни амалга ошириш билан боғлиқ бўлган белгиланган тўхтаб турниш вақтини ишончли даражада таъминланганлиги сабабли малта механизмлари тўскичли механизмларга қараганда кўпроқ қўлланилади.

## 18.2-§. Мальта механизмлари

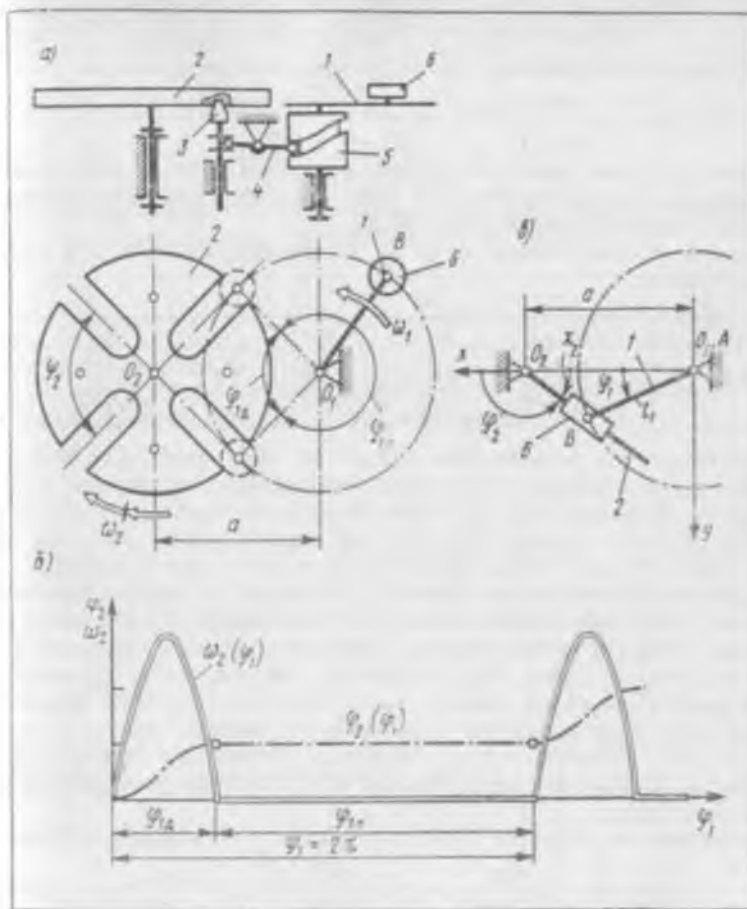
Дастгоҳ-автоматларда, ишлов бериш марказларида ва автоматик линияларда қадамли механизмлар деб аталувчи қурилмалар кенг қўлланилади. Улар кириш бўғинининг узлуксиз айланма ҳаракатини чиқиш



16.3- расм

Бүгинининг узлукли ҳаракатига айлантириб беради. Ушбу механизмлар ёрдамида маҳсулотлар ташиб келтирилади, асбоб ва ускуналар битта чизиқли ёки бурчак қадами катталашига алмаштирилади, яни бигта белгиланган ҳолатдан бошқа белгиланган ҳолатга ўтказилади. Қадамли механизмлар ичидаги энг содаси мальта механизмларидир. Уларнинг бундай аталишига сабаб шуки, улардаги чиқиши бүгинининг шакли бир вақтлар рицарлар учун руҳонийлар томонидан таъсис этилган Мальта орденининг эмблемасига ўхшайди. Мальта механизмларининг айрим турлари 16.3-расмда көттирилган: *a* — чиқиши бүгини илгарилама ҳаракатлашувчи механизм; *b*, *c*, *d* — чиқиши бүгини айланма ҳаракатлашувчи механизмлар; *b* — ташки илашмали механизм; *c* — ички илашмали механизм; *d* — параллел үқулар орасидаги механизмлар; *e* — кесишувчи ўқтар орасидаги механизм.

Мальта механизмининг 2 чиқиши бүгини бир қанча ариқчали диск ёки стол күрниншида ишланади. Ариқчалар сони (*z*) кўпин билан туртта (16.3-расм, *e* ва 16.4-расм, *a*) ёки олтита (16.3-расм, *b*) бўлади. Ариқчага *O* ўқ атрофида айланувчи етакчи *l* кривошилда жойлашган *B* Сармоқ кириши мумкин. *B* бармоқ ариқчага унинг ўқи йўналиши билан мос келувчи *O<sub>1</sub>*. *B* радиусли айланага ўтказилган уринма бўйлаб киради. Шунинг учун бармоқ ариқчага кираётуб қаттиқ зарб билан урилмайди. Ариқчали диск бошлиғинч ҳолатида қимирлатмай туриши керак. Бунинг учун ҳар хил қотириб қуювчи қурилмалар қўлланилади. Масалан, 16.4-расм, *a* даги фиксатор *3* стол 2 ни муайян ҳолатда қимирлатмай ушлаб туради. Фиксатор *3* нинг ҳаракати цилиндрисимон мушт *5* ва пишанг *4* ёрдамида *l* кириш бўгинининг айланниш йўналиши билан мувофиқлаштирилган. Диск *2* бурчакка бурилганда *3* фиксатор билан 2 диск орасида боғланиш бўлмайди. *B* бармоқ ариқчадан чиқиб бўлгач, 2 диск бурилишдан тўхтайди ва *3* фиксатор уни берилган вазиятда маҳкам



16.3- рисм

ушлаб туради. Шу мақсадда тенг радиуслы қулфловчи  $C$  ва  $D$  ёйлар тарзидаги қотиріб құювчи қурилмалардан хам фойдаланыш мүмкін (16.3-расм, б, в).  $C$  ва  $D$  сиртларнинг эгрилик марказлари  $O_1$  үкда устма-уст жойлашган пайтда қулфловчи ёйлар 2 чиқиш бүғинини құзғалмас ҳолатда маңкам ушлаб туради. Чиқиш бүғинининг бундай ҳолаты кириш бүғинининг  $\varphi_{1n}$  бурчакка бурилиши даври давомида сақланиб туради (16.4-расм, б).

Радиал ариқчалары диска бир текис жойлашган механизмлар *түр-ри* мальта механизмлари деб аталади.

Мальта механизмларыннан қарата мальта механизмларыннан қарата муносабатдан аниқланади:

$$k_d = \frac{T_d}{T_u} = \frac{\Psi_{1d}}{2\pi} = \frac{\pi - \Psi_1}{2\pi} = \frac{\pi - 2\pi/z}{2\pi} = \frac{z-2}{2z};$$

тұхташ вақты коэффициенти эса ушбу муносабатдан топылады:

$$k_n = \frac{T_n}{T_u} = \frac{2\pi - \Psi_{1n}}{2\pi} = \frac{\pi + \Psi_1}{2\pi} = \frac{\pi + 2\pi/z}{2\pi} = \frac{z+2}{2z}.$$

Иккі ариқчали диск ( $z = 2$ ) учун  $k_d = 0$  ва  $k_n = 1$ , яғни бундай механизм ишлеш қобилятига әга әмбес. Шу сабабынан мальта механизми дискида ариқчалар камида учта бұлады.

Ариқчалар сони ошганда  $k_d$  ва  $k_n$  коэффициентлар қуйидагы чегараларда үзгәради:

$z$	2	3	4	5	6	8	10
$k_d$	0	0,167	0,25	0,30	0,33	0,375	0,40
$k_n$	1	0,833	0,75	0,70	0,67	0,625	0,60

Бинобарин, иш жараёни ёки бошқа бир амал диск тұхтаб турған вақтда ам лға ошадиган технологик машиналарда ариқчалари бұлған дисклар құлланылады. Бу өзінші бүғиннининг бурилишига тұғри келдиган өрдамчи юришлар учун кам вақт сарфланишига имконият яратади. Бирок, бу омил баъзи ҳолларда ариқчалар сонини узил-кешил танлаш учун белгиловчы ягона омил бұла олмайды. Бу, юртма динамикаси билан bogliqdir, chunki etaklanuvchi bүғinlar ning buriishi bir tekeis әмбес. Мальта механизм миннинг кинематик узатыш функцияларин аниқлаш учун 16.4-расм, ә да көлтирилген алмашма кулисали механизм күренишиңдеги ҳисоблаш схемасы күриш чиқлады (3-бобга қаранг): 2 кулиса 2 дисқдаги ариқчаниң ўқи билан мос келади, ползун б эса  $l_1$  узунликдеги 1 кирииш бүғини айланиши натижасыда ариқча бүйлаб сирланувчи бармоқнинг үрнини босади.  $O_1 O_2$  ўқ.лараро масофа  $a$  ҳарғы билан белгиланды.

Кулисаның  $\varphi_2$  бурилиш бурчаги қуйидаги муносабатдан аниқланады:

$$\operatorname{tg} \varphi_2 = \frac{l_1 \sin \varphi_1}{a - l_1 \cos \varphi_1} = \frac{\lambda_1 \sin \varphi_1}{1 - \lambda_1 \cos \varphi_1} = \frac{\sin \varphi_1}{\lambda_a - \cos \varphi_1}, \quad (16.1)$$

бу ерда:  $\lambda_a = a/l_1$  — ўқ.лараро масоғаның нисбий узунлигі;  $\lambda_1 = l_1/a$  — кирииш бүғини радиусининг нисбий узунлигі; бундан

$$\varphi_2 = \pi - \operatorname{arctg} [\sin \varphi_1 / (\lambda_a - \cos \varphi_1)], \quad (16.2)$$

әки

$$\varphi_2 = \pi - \chi,$$

бу ерда

$$\chi = \arcsin \left[ - \frac{\lambda_1 \sin \varphi_1}{\sqrt{1 - 2 \lambda_1 \cos \varphi_1 + \lambda_1^2}} \right].$$

Мальта механизмы чиқиш бүғиннинң  $\omega_2$  бурчак тезлігі (16.2) инфодан умумлашған  $\varphi_1$  координатага күра дифференциаллаш орқали аниқланады:

$$\omega_2 = \frac{d\Phi_2}{dt} = \omega_1 \frac{d\Phi_2}{d\varphi_1} = -\omega_1 \frac{\lambda_1 (\cos\varphi_1 - \lambda_1)}{1 - 2\lambda_1 \cos\varphi_1 + \lambda_1^2}. \quad (16.3)$$

$\varphi_1 = 0$  бүлгандында  $\omega_2$  бурчак тезликтенг катта қийматтаға эришади:

$$\omega_{21\max} = -\omega_1 \frac{\lambda_1}{1 - \lambda_1} = -\omega_1 \frac{\sin(\pi/2)}{1 - \sin(\pi/2)}.$$

Узатыш нисбатининг энг катта  $\epsilon_{21\max} = \omega_{21\max}/\omega_1$  қийматы ариқталар сони  $z$  га боғлиқ равишида қуйидагиларга тенг бўлади:

$z \dots$	3	4	5	6	8	10	12
$\epsilon_{21\max}$	-6,46	-2,41	-1,43	-1,0	-0,62	-0,45	-0,35

Мальта механизми чиқиш бўғинининг  $e_2$  бурчак тезланиши (16.3) ифодани дифференциаллаш орқали аниқланади:

$$e_2 = \omega_1^2 \frac{\lambda_1 (1 - \lambda_1^2) \sin \varphi_1}{(1 - 2\lambda_1 \cos\varphi_1 + \lambda_1^2)^2}.$$

Чиқиш бўғини бурчак тезланишининг  $(e_2/\omega_1^2)$  кинематик узатиш функцияси ўзининг энг катта қийматига қуйидаги муносабатга кўра аниқланадиган  $\varphi_1$  бурчакнинг ушбу қийматларида эришади:

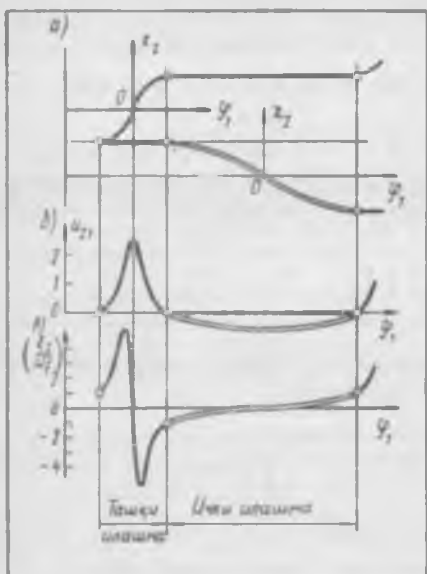
$$(\varphi_1)_{e_{21\max}} = \arccos \left[ -\frac{1 + \lambda_1^2}{4\lambda_1} + \sqrt{\left( \frac{1 + \lambda_1^2}{4\lambda_1} \right)^2 + 2} \right]$$

Кинематик функцияниң ариқталар сони  $z$  га боғлиқ бўлган энг катта  $(e_2/\omega_1^2)_{\max}$  қийматлари қуйидагилардир:

$z \dots$	3	4	5	6	8	10	12
$(e_2/\omega_1^2)_{\max}$	31,44	5,41	2,30	1,35	0,70	0,46	0,35
$(\varphi_1)_{e_{21\max}}$	4,71	11,46	17,58	22,92	31,65	38,49	44,00

Юқорида келтирилганлардан ариқталар сони кам бўлганда мальта механизми чиқиш бўғинининг динамик хусусиятлари яхши бўлмаслиги маълум бўлади. Масалан, иккита механизмни, ўзаро солишириб кўрайли. Уларнинг дисклари 3 ва 8 ариқчали, кривошиплари эса бир ўзгармас бурчак тезлик билан айланадиган бўлсин. Солишириш натижасида уч ариқчали диск бурчак тезлигининг энг катта қиймаги саккиз ариқчалиникурга қараганда 45 марта ортиқ бўлиши маълум бўлади. Шунга мос тарзда кинематик жуфтликларда динамик юқланишлар ҳам ортади. Агар ушбу механизмлар кириш бўғинининг айланыш частотасини ўзgartириш эвазига тұхташ даврлари тенг бўладиган ҳол учун солиширилса, у ҳолда таққосланыётган ариқчалар сони учун чиқиш бўғинининг бурчак тезликларидаги фарқ 80 га етади.

Талаб қилинаётган энг мақбул тұхташ вақти коэффициенти, ҳаралатланиш вақти коэффициенти ва кинематик жуфтликлардаги динамик



16.5- расм

16.5-расмда көлтирилган чизмалар ташқи ва ички илашмали малъта механизмларининг ўзига хос томонлари түғрисинда тасаввур беради. Масалан, 16.5-расм, а да чиқиш бўғинининг  $\chi_2(\varphi_1)$  ҳолат функциялари ра кинематик узатиш функциялари, б да унинг  $u_{21}$  тезлиги, в да эса унинг  $v_{21}/\omega^2$  тезланиши кўрсатилган. Узлуксиз чизиқлар ташқи илашмага, узлукли чизиқлар эса ички илашмага таалуқладидир.

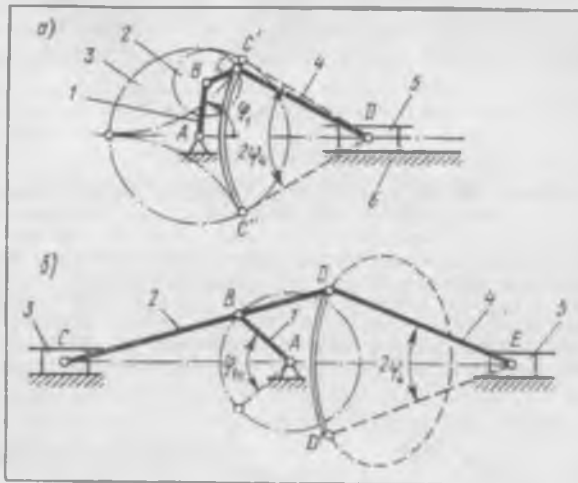
### 16.3- §. Туюлма тұхтаб-тұхтаб ҳаракатланувчи пишанғылы механизмлар

Катта юкланишларни юкори аниқлый билан узатиш лозим бўлганда ва бунда етакланувчи бўғиннинг тезланиши равон ўзгарниши талаб қилинганда узлукли ҳаракатланувчи механизмлар сифатида күни кинематик жуфтликли пишанғылы механизмлар ёки тиши-пишанғылы механизмлар ишлатилади. Бунда текис ҳаракат содир этувчи бўғинлар нуқталари ҳосил қиласидиган эгри чизиқларининг баъзи бир ўзига хос томонларидан фойдаланилади.

16.6-расм, а да пишанғылы планетар механизм схемаси көлтирилган бўлиб, ундағы 5 ползун чекка ўнг ҳолатда узоқ муддат туюлма (квази) тұхтаб-тұхтаб (тұхтаганга ўхшаб) ҳаракатланади. Ушбу механизмда 4 шатуннинг С баромоги, одатдаги кривошип-ползунлы механизмда бўлгани каби, 1 кривошипнинг В үқида, эмас, балки ички тишили қузгалмас 3 гидриракда юмаловчи 2 планетар гидриракнинг радиуси бўйлаб қандайдир ВС масофада ўрнатилган. Планетар тишили механизмдаги

юкланишларнинг рухсат этилган қийматлари механизминиң аниқ ишлаш шароитини таҳлил қилиб танланади. Амалиётда кўпинча 4, 6 ва 8 та ариқчаси бўлган дисклар қўлланилади. Шу нарсага ётибор бериш лозимки, ҳаракатнинг бошланиши ва тұхташ даврида дискнинг бурчак тезланиши нолдан бирорта тугал қийматгача сакраш тарзида ўзгаради.

Агар ҳаракатланыш вақти коэффициентига доир кескин чеклашлар бўлмаса, у ҳолда қулайроқ динамик хусусиятларга эга бўлган ички илашмали малъта механизмларини қўллаш мумкин (16.3-расм в). Ички илашмали механизмда чиқиш бўғинининг энг катта тезланиши ташқи илашмали механизмга қараганда анча кичик бўллади, бироқ  $k_d > 0,5$  бўлганилиги сабабли чиқиш бўғинининг бурилиш вақти унинг тұхташ вактидан доим ортиқ бўлади.



### 16.6. расм

тишлі ғүлдиракларнинг  $\alpha$ , ва  $\beta$ , тишилари сони шундай танланадыки, натижада  $C$  нүкта тараб қылпинувчи тракториянын чизади Тавсифланет-ган механизмда (16.6-расм, а) З ва 1 ғүлдираклар тишилари сонининг үзаро нисбати З га теңг. Бу ҳолда  $C$  нүкта ёпик гипоциклоидада чизади. Ушбу гипоциклоида ҳар бир шохобчасининг (масалан, 16.6-расм, а да) құш чизиқ билан күрсатылған  $C'C'$  шохобчасининг қандайдыр бұлаги дөнмий әгриликка яқын бұлған әгриликка эга. Агар шатун узунлуги  $C$  нүкта траекториясында ушбу бұлагининг әгрилик радиусынан тең қилиб олинса, у ҳолда  $D$  нүкта деярлы құзғалмас бұлади, яғни 5 ползун узоқ муддатта тулоғма (квази) тұхтайди.

Шатун эгри чизигининг ана шундай хусусиятидан схемаси 16 б-расм, б да келтирилган узлукли ҳаракатланувчи механизмда ҳам фойдаланилади. 1, 2, 3, 4, 5 бүгіншардан ташкил топған кривошип-ползун-ли механизм ҳам қуйылғы хусусиятга эга: ползунлардан бири — 5 бүгін әнд четкің үнг қолатда тұхтагандек туюлиб ҳаракатланади. Бунға шатун 4 нинде  $D$  нүктасы 1 кривошип билән әмас, балки 2 шатун билән бөләнгәнligи туғайлы ершиштади.  $D$  нүкта мураккаб бұлған шатун эгри чизигини ҳосил қылади. Бироқ уни чизиқнинг маълум бир булагида, масалан,  $DD'$  булагида (16.6-расм, б) әгрилиги үзгартас бұлған ёй билән алмаштырыш (аппроксимациялаш) мүмкін.  $DE$  шатун узунлиғи  $2\Phi_1$  бурчак доирасыда ушбу ёйнинг әгрилик радиусында тенг қылиб олинса, 5 ползуны туюлма узлукли ҳаракатланувчи механизм ҳосил бўлади.

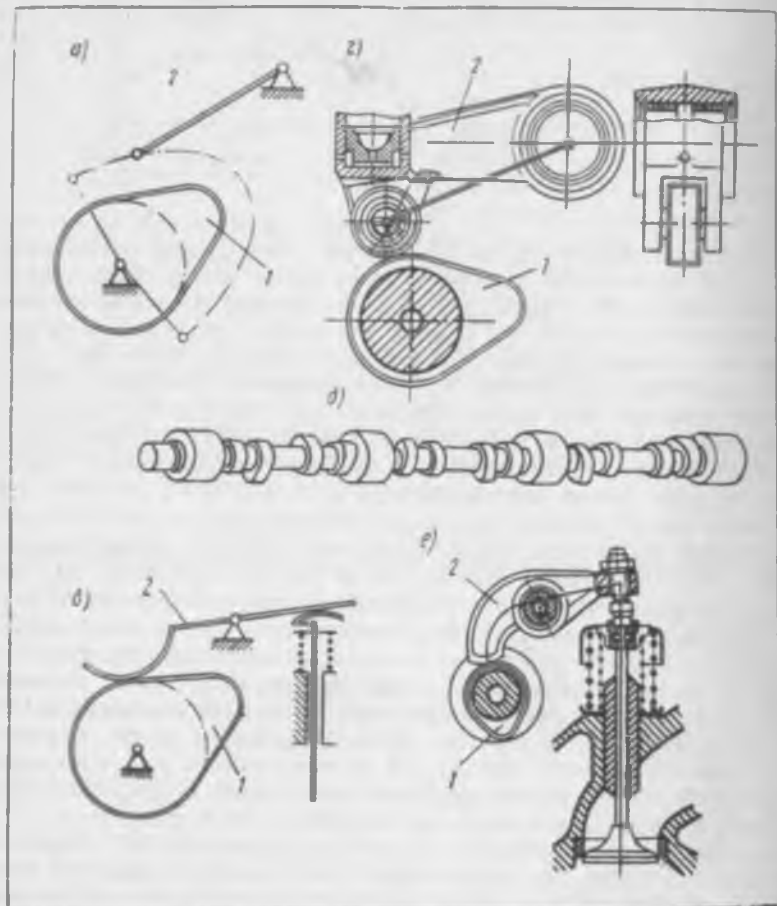
Баъзан эрги чизиқларнинг түппа-түғри бўлакларидан фойдаланилади. Агар бундай квази түғри чизиқ бўйлаб кулислари механизм ползуни ҳаракатлантирилса, у ҳолда траекториянинг ушбу бўлагида ползун кулиса ариқчаси бўйлаб ҳаракатланаётган вактда кулисанинг ўзи гўё

тұхтаб-тұхтаб ҳаракатланаётгандек бұлади. Бу тарзда ҳаракатланағандаған бундай механизмлар бүғинларининг анча узун булиши, бунинг натижасыда ташқи ұлчамларининг катта булиши уларнинг камчилигидір.

## 17-бөл

### МУШТЛИ МЕХАНИЗМЛАР

Күпгина машиналарнинг иш жараёни улар таркибіде чиқиши бүғинлари бошқа механизмлар билан мувофиқлашған тарзда, белгиланған аниқ қонуният бүйіч ҳаракатланувчи механизмлар булишини тақозо этади. Бундай масалалар ҳал Қилиш учун әңг оддий, ишончлы ва ижам тарздагы муштли (кулачоқты) механизмлар құлланилады. Улар чиқиши бүғини — итаргичнинг ҳаракатини назарий жиһатдан аниқ амалға оширады. Уларнинг кириш бүғини мушт (кулачок) деб аталады. Үзатиш функциясы билан бериладыған итаргичнинг ҳаракат қонунн муштнинг профилінга болғық бўлиб, муштли механизмнинг ясасын хууснитайдыр. Ўз нағыбатда, механиз-

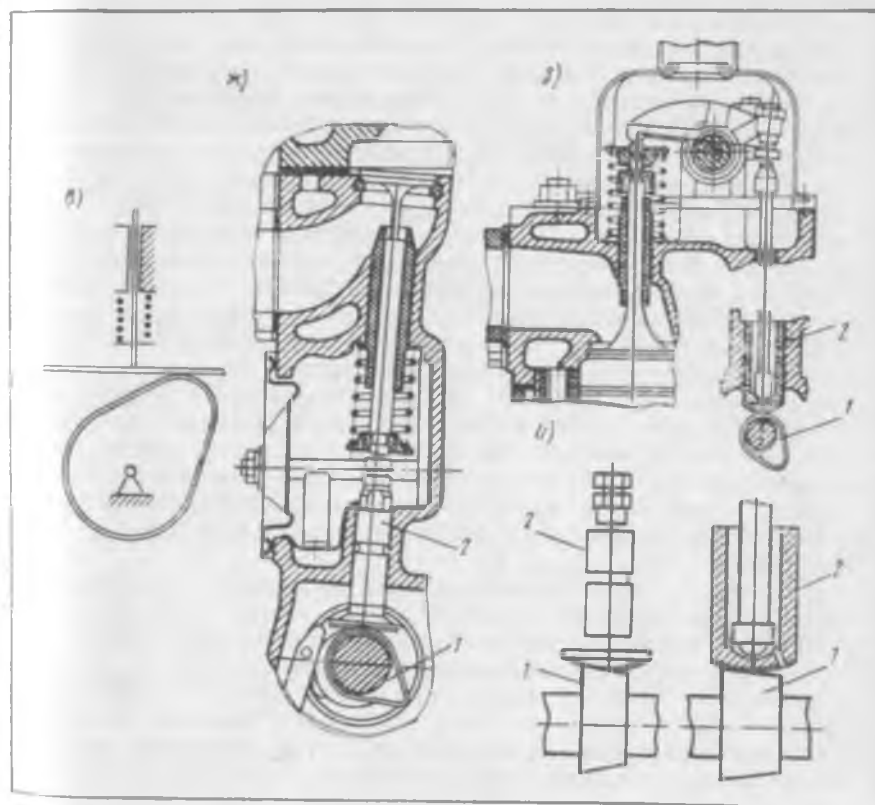


17.1- рисм

нинг ишлеш хусусиятлари, шунингдек динамик ва титраш билан бөглиқ сифатлари муштли механизминг асосий хусусиятига бөглиқ. Муштли механизмларни лойиха-лаш итариғичининг ҳаракатланыш қонуқини белгилаш, түзилши схемасини танлаш, асосий ҳамда ташқи ўлчамларини аниқлаш, мүші профили координаталарини хисоблаш босқычларни ўз ичинга олади. Мәзкур босқычларни амалга ошириш усуллари ушбу бобда баён этилади.

### 17.1-§. Муштли механизмларнинг турлари ва уләрнинг ўзига хос томонлари

Муштли механизмларнинг кинематик схемалари түгрисида умумий тасаввурни 17.1-расмда күрсатилган ички ёнув двигателининг газ тақсимлаш механизмни мисолида ҳосил қилиш мүмкін. Бу механизмлар клапандарни очиш ва ёпиш учун хизмат қылади. Натижада двигатель цилиндрарига ёнувчи аралашма (ёки ҳаво) кириши учун, ишлаб бўлган газнинг чиқиб кетиши учун ҳамда сиқиш ва иш юриши тактлари вақтида ёниш камерасининг ташқи муҳитдан ишончли тарзда муҳофазаланини учун имконият туғилади.



17.1-расмнинг давоми

Газ тақсимлаш механизмларининг кинематик схемалари 17.1-расм, а б, в да, улардаги 1 ва 2 бўғинларнинг конструктив ижроси эса 17.1-расм, г, д, е, ж, з, и да келтирилган.

Машина конструкциясининг хусусиятларига, вазифасига ва яна бир қанча бошқа омилларга кўра турли муштлар қўлланилади. 17.2-расмдан улардан асосийлари тасвиirlанган: а, б — илгарилама ҳаракатланувчи текис муштлар; в, г — цилиндрический муштлар; д, е, ж — дискический муштлар; з — конуссион мушт; и — гиперболоидеский мушт; к — коноид мушт. Муштли механизмининг итаргичи турлича ҳаракатланади. Масалан, 17.2-расм, а, в, г, д, ж, з лардаги итаргичлар илгарилама, б, е, и лардагилари айланма ҳаракат қиласи, к дагиси эса иккала турдаги илгарилама ҳаракатни содир қиласи.

Олий кинематик жуфтликдаги элементларнинг ўзаро уриниши ариқчалар ҳисобига (17.2-расм, б, ж, и), қамровчи роликлар ҳисобига (17.2-расм, г) геометрик тарзда туташиб орқали ёки оғирлик кучи, пружинанинг эластиклик кучи (17.1-расм, б, в, е, ж, з га қаранг). Суюқлик ёки ҳаво босими таъсирида куч билан туташиб орқали таъминланиши мумкин.

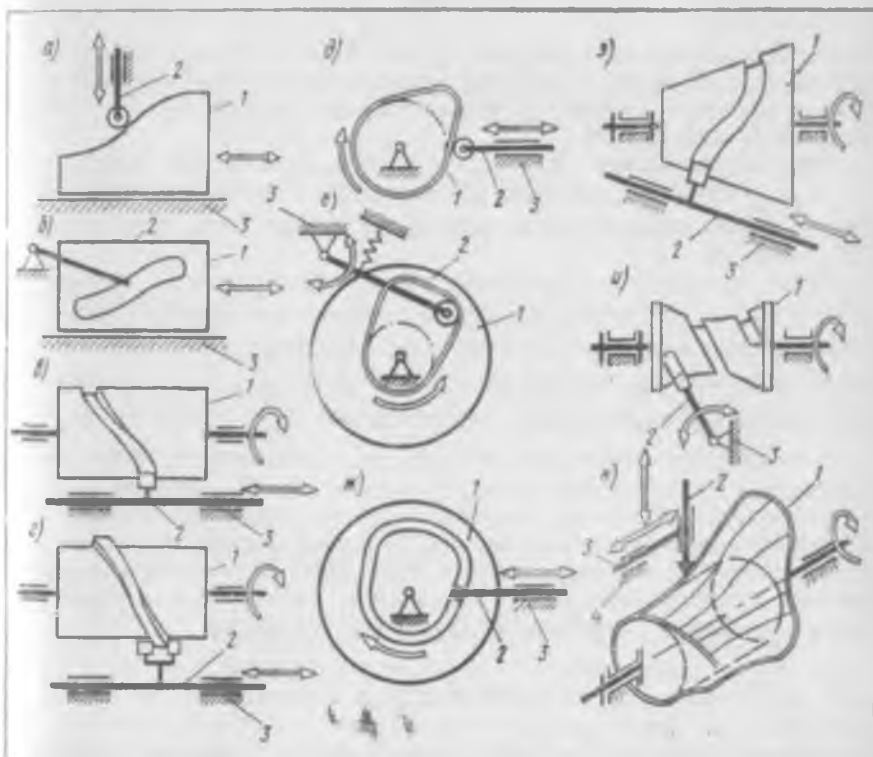
Итаргичларнинг муштдан тушаётган юкни қабул қилувчи иш юзлари ишлаш жараёнида ейилади. Ейилни камайтириш ҳамда туртикачининг уринувчи юзаси бир текис ейилишига эришиш, механизмининг ишончли ишлашини ошириш ва хизмат муддатини узайтириш учун турли бошмоқлар қўлланилади. Улардан энг кўп қўлланиладигани қўйнадигилардир (17.1-расмга қаранг): а, г — роликсимон; в, ж — тарелкасимон, б, е — цилиндрический ҳамда з, и — сферасимон уринувчи юзали тарелкасимон бошмоқлар. Шунингдек, кичик радиусли сфераси бўлган ўткир учли бошмоқлар ҳам қўлланилади. Роликсимон бошмоқлар юзлаш ишқаланиши билан алмаштириш орқали сирпаниш ишқаланишини қисман йўқотишга, олий кинематик жуфтлик элементларининг ейилишини камайтиришга ва механизмининг ишончли ишлашини оширишга имкон беради.

Муштлар, итаргичлар, бошмоқларнинг, кинематик жуфтликни туташибтириш усулларининг ҳамда уларнинг конструктив ижросининг мумкин бўлган умумий сони жуда куп. Улардан энг мақсадга муваффиклиси купгина омилларни ҳисобга олган ҳолда танлаб олинади. Энг тўғри ечим, фойдаланиш тажрибаси ва турли-туман машиналар муштли механизмларининг ишончлилиги ва чидамлигига доир маълумотлар асосида ҳосил қилинади. Бироқ, шундай асосий омиллар ва кўрастикчлар борки, муйяян муштли механизмларни лойиҳалаш чоғида уларни ҳисобга олиш зарур бўлади.

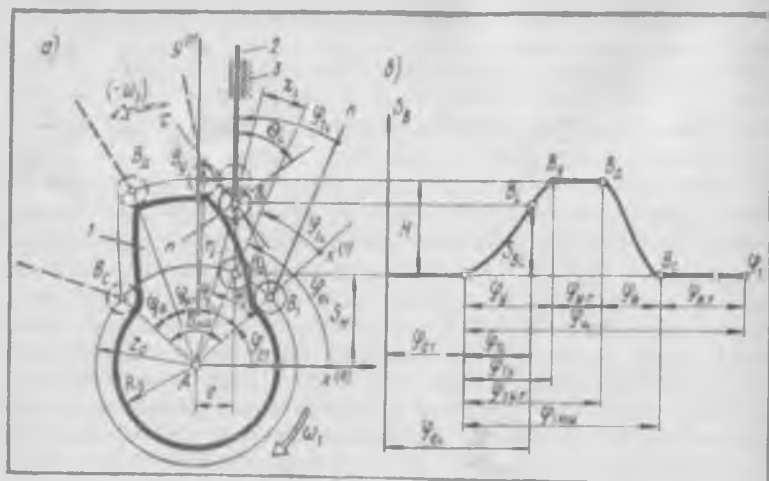
Итаргичнинг ҳаракат қонунини танлаш билан боғлиқ бўлган масала ларининг бутун мураккаб мажмунини ҳисобга олувчи ягона универсал омил йўқ. Шу сабабли мушт профилининг самарадорлигини баҳолашда берилилган шартлар ҳамда чеклашларининг мажмуйи белгиланади ва улар муҳимлигининг пасайиб бориши тартибда кўрсатилади. Лойиҳалашнинг дастлабки босқичларида энг зарур шартларнинг ечимлари топиллади, сунгра топилган ечимларга иқтисодий, технологик, фойдаланиш ва яна бошқа амалий мулоҳазалар асосида аниқликлар киритилади.

## 17.2-ф. Итаргичининг ҳаракат қонуни ва уни танлаш

Итаргич илгарылама ҳаракатланувчи муштли механизм (17.3-расм, а) учун 17.2-расм, б да келтирилган эгри чизик итаргичининг сияжини билан муштшиниг бурилиш бурчаги орасидаги болгилелкни ифодаловчи энг күп құлланиладиган графикадир. Ушбу графикада цикл ичидә (ұзақ бурчак) түрт фазалын ва уларға мос келувчы фаза бурчакларини ажратыб күрсатыши мүмкін: узоқлашув бурчаги ( $\varphi_y$ ), узоқда турыш бурчаги ( $\varphi_{yT}$ ), яқынлашув бурчаги ( $\varphi_x$ ), яқында турыш бурчаги ( $\varphi_{xT}$ ). Олар кинематик жүйтлікдеги урнинш геометрик тарзда ёпиқ бұлса, итаргич ҳаракатининг иккала фазасыда (яқынлашув фазасыда ҳам, узоқлашув фазасыда ҳам) мушт етакчи бүгін булады. Урнинш күч таъсиріда юзага келса (17.1-расм, б) яқынлашув фазасыда итаргичининг ҳаракати пружинаниң күчі (ёки оғирлік күчі, ёлуд ҳава босымы таъсиріда), узоқлашув фазасыда эса мушт профили таъсиріда содир булады; мушт профили ҳосил қылған күч урнинш нүктасидан үтүвчи  $n - n$  нормаль бүйілаб таъсир қылады (17.3-расм, а).  $n - n$  нормаль билан 2 чиқыш бүйі-



17.2- расм



### 17.3. pacm

нининг ҳаракат йўналиши орасидаги бурчак  $\theta$  босим бурчаги дейилади. Жорий  $\theta$ , босим бурчаги ўзгарувчан катталик бўлиб, нормалнинг итаргич тезлиги векторига нисбатан жойлашувига кура мусбат ёки манғий ишорали бўлиши мумкин.

Фаза бурчакларнинг  $\Phi_y + \Phi_{y,t} + \Phi_y = \Phi_{\text{иш}}$  йигиниди муштининг  $\delta_{\text{иш}} = \Phi_{\text{иш}}$  ишчи профилди бурчагини белгилайти. Бу бурчак марказий бурчак бўлиб, муштининг ишчи профилди шу бурчак ичидаги жойлашади (17.3-расм, 6).

Мушт профилдаги  $B$  нүктанынг  $x_B^{(0)}, y_B^{(0)}$  координаталарын итаргич-нинг құзғалмас  $Ax^{(0)}y^{(0)}$  координаталар системасындағы ҳолатини белгилайди.  $x_B^{(0)} = e$  координата 2 итаргичнинг 1 муштнинг  $A$  айлапаш ұқыга нисбатан сурназшының күрсатади.  $y_B^{(0)}$  координата ( $S_H + S_{B1}$ ) йиғинди күренишида бериліши мумкин. Үндеги бирнечи  $S_H = \sqrt{r_0^2 + e^2}$  құ-шилтүвчи үзгармас катталик, иккінчі  $S_{B1}(\varphi_1)$  құшилтүвчи эса муштнинг  $\varphi_1$  бурилиш бурчагы функциясынан.  $r_0$  радиус марказий профилдеги бошланғич радиусын деб аталади; марказий профиль роликнинг бошланғыч  $R_0$  радиусын конструктив профиль бүйлаб нисбен юмалашып натижасыда ролик үқиңнинг чизган траекториясын бұлади. Шу нарасаға эътибор бериш лозимки, мушт профилдаги  $B_1$  нүктанынг  $y_1$  қутбий бурчагы умумий ҳолда муштнинг  $\varphi_{11}$  бурилиши бурчагига teng бўлмайди;

$$\psi_i = \varphi_{ik} + \chi_i$$

бу ерда  $\chi_i = \operatorname{arctg} [(S_H + S_{Bi})/e] - \operatorname{arctg} (S_H/e)$ .  $e = 0$  бүлган хусусий ҳолда  $\chi_i = 0$  ба  $\varphi_{ii} = \psi_i$  буади.

В нүктанынг  $AB$  радиус-вектори,  $r_i$  ва унинг энг катта  $r_{\text{н.кат}}$  қийматы қойындағи муносабаттардан аниқланады:

$$r_i = \sqrt{(S_H + S_B)^2 + e^2}; \quad r_{\text{н.кат}} = \sqrt{(S_H + H)^2 + e^2}.$$

В нүктанынг  $I$  мушт билан болғандағы құзғалуыштан  $Ax^{(1)}y^{(1)}$  координаталар системасындағы координаталарын ушбу муносабаттардан аниқланады:

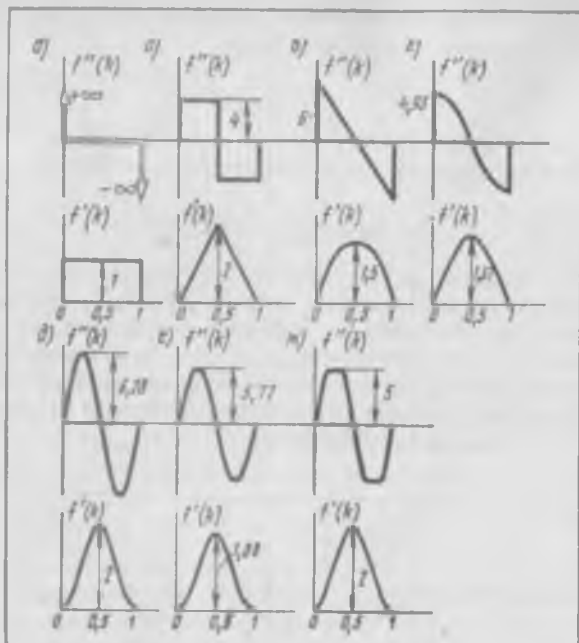
$$x_B^{(1)} = r_i \cos \psi_i; \quad y_B^{(1)} = r_i \sin \psi_i.$$

Полидаташ тажрибасыда 17.4-расмда узоклашув фазасы учун күрсатылған итаргичининг нисбатан анча одий ҳаракат қонууларидан энг күп ғойдаланылады. Расмдаги  $a$  — чизикли;  $b$  — параболасимон;  $c$  — конусондасимон;  $d$  — сипусондасимон;  $e$ ,  $f$ ,  $g$  — полиномлар орқали күрсатылған ҳаракат қонуулары. Узоклашув фазасында  $0 \leq k_y \leq 1$  оралықда бұладынан үлчамен  $k$  параметрга болған бұлган салжынш функциялары 17.1-жадвалға келтирилген.

17.1-жадвал

Итаргичининг ҳаракат функциясы	$k_y = \Phi_1(\psi_y)$ нүктеге дейінгі четверттер	Итаргичининг тезлікке тәләншілік аралықтары	Коэффициентларының энг катта қийматлари	
			$ v _{\text{max}}$	$ v _{\psi_y}^{\text{max}}$
$S = H k_y$	0...1,0	17.4-расм, $a$	1,0	$\pm 2$
$= \frac{1}{2} H k_y$	0...0,5	17.4-расм, $b$	2,0	$\pm 4$
$H [1 - 2(1 - k_y)^2]$	0,5...1,0			
$S = H (3k_y^2 - 2k_y^3)$	0...1,0	17.4-расм, $c$	1,5	$\pm 6$
$S = \frac{1}{2} H [1 - \cos(\pi k_y)]$	0...1,0	17.4-расм, $e$	1,57	$\pm 4,93$
$S = H (k_y - (\sin 2\pi k_y)/(2\pi))$	0...1,0	17.4-расм, $d$	2,0	$\pm 6,28$
$= H (10k_y^3 - 15k_y^4 + 6k_y^5)$	0...1,0	17.4-расм, $e$	1,88	$\pm 5,77$
$\left( H \frac{8}{3} (5k_y^3 - 15k_y^4 + 24k_y^5 - 16k_y^6) \right)$	0...0,5	17.4-расм, $g$	2,0	$\pm 5,0$
$S = H [1 - \frac{8}{3} (5(1 - k_y^2) - 15(1 - k_y)^4 + 24(1 - k_y)^5 - 16(1 - k_y)^6)]$	0,5...1,0			

Чизикти қонуниятда итаргичининг  $v = ds/dt$  ҳаракат тезлігі узоклашув фазасыда үзгартылса,  $a^* = dv/dt$  тезлініши нолта тенг бұлады. Бирок, фазанынг бойшыда ва охирида тезлініш چексизликка интилады, бу ҳол старттық зарба қүріннішінде намоён бұлады. Итаргичиниг массасы кичік, ҳаракат тезлігі паст бұлғандыгина бундай қонуниятдан ғойдаланиши мүмкін.



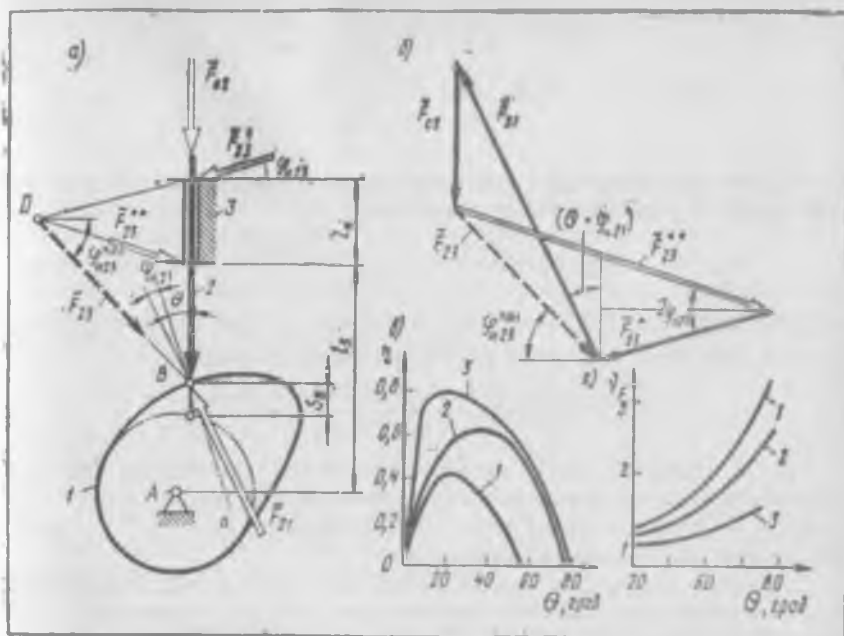
17.4- расм

Параболасимон (17.4-расм, б, в) ва синусоидасимон (17.4-расм, г) ҳаракат қонунларнга хос бүлгел тезланиш эгри чизиқтарнинг узиллиш нуқталарида итаргичнинг тезланиши ва инерция кучи охирги катталик миқдорида ўзгарили («юмшоқ» зарба). Агар профилларни тайёрлашда хатолик анча кам бўлса, тезланишларнинг ўзгариш эгри чизиги равон бўлганда (17.4-расм, д, е, ж) назарий жиҳатдан зарблар бўлмайди.

Итаргичнинг тезланиш эгри чизиги равон ва узлуксиз бўлишини (17.3-расм, д, е, ж) таъминловчи муштлар энг кўп қўлланилади. Баъзи зарбсиз профиль учта равон эгри чизик билан: мусбат тезланиш соҳасида — синусоида яримтўлкини билан, манғий тезланиш соҳасида — синусоида чорак тўлкини билан ва квадратсимон парабола билан берилади. 17.1-жадвалда итаргичнинг энг катта тезлик ва тезланишларнинг соҳиб қийматлари нисбий кўринишда келтирилган.

### 17.3- §. Кинематик жуфтликларда босим бурчаги ва кучларнинг ошиб бориши коэффициенти

Ө босим бурчаги олий кинематик жуфтликда нормалнинг тезлик векторига ва стакланувчи бўғиннинг уриниш нуқтасига нисбатан ҳолатини белгилайди (12.2-расмга қаранг). Унинг катталиги механизминг ўлчамларига, итаргичнинг ҳаракатланиш тезлиги  $v_B = u_B/\omega_1$  узатиш функция-



17.8- расм

сига ва  $S_B$  салынған функциясында күра анықланади [(12.11) ва (12.12) формулаларга қаранды].

Итаргичдеги берилген ташқы статик юқтанишда (масалан,  $F_{123}$  фойдалы қаршилик күчінде, күч орқали уринишни таъминловчы пружинанинг  $F_1$  эластиклік күчи ва итаргичнинг  $G_2$  оғырлік күчінде) кинематик жуфтліктердеги реакция күчлери босим бурчагига, яғни итаргичнинг ҳаракат қонуны ҳамда механизмнинг ташқы үлчамдарына боғылғы бұлады (17.5-расм, a). Итаргичта құйылған күчлар планиси (17.5-расм, a, б) ҳамда (12.11) ва (12.12) формулаларни тақтый қылғып бу хуносанынг түгрилігінни осонғина анықлаш мүмкін.  $\theta$  босим бурчагы қанчалық катта бұлса, кинематик жуфтліктердеги  $F_{23}$  ва  $F_{31}$  реакция күчлери шунчалик катта бұлады. Бинобарлық, берилген ишқаланыш коэффициенттердегі күра, 2 итаргич бөшмоги билан 1 мүшт орасидаги  $f_{123}$  ва 2 түрткіч билан 3 йұналтирувчы орасидаги  $f_{23}$  ишқаланыш күчлери ҳам шунчалик катта бұлады. Итаргич ва йұналтирувчидан иборат бүлгелерде илгарылама кинематик жуфтліктердеги күчларни ҳисоблашда көлтирилған  $f_{123}$  ишқаланыш коэффициентидан фойдаланылады. Бу коэффициент  $F_{23}$  реакция күчининг итаргичнинг ҳаракат үйнеліши чизигінде үтказилған перпендикуляр чизикке ичесбатан ҳолатини белгіловчы  $\varphi_{23}$  бурчак үлчамига күра ҳисоблаш анықланады.

2 бүгіншеге құйылған күчлар (17.5-расм, a) орасидаги құйидеги муносабаттарын өзінш мүмкін:

$$\begin{aligned}\bar{F}_{12} &= \underline{\bar{F}_{n12}} + \bar{G}_2 + \bar{F}_n + \bar{\Phi}_2; \\ \bar{F}_{22} + \bar{F}_{12} + \bar{F}_{21} &= 0; \\ \bar{F}_{22}^* + \bar{F}_{12}^* &= \bar{F}_{21}.\end{aligned}$$

$\bar{F}_{21}$  күч координаталари осон аниқланадыган күчларнинг  $D$  ва  $B$  түгелдірілгенде үтиши лозим бўлганлиги учун

$$\operatorname{tg} \varphi_{n23}^{\text{кел}} = \frac{l_3 + 0,5 l_n - s_n + s_B(\varphi_1)}{0,5 l_n / \operatorname{tg} \varphi_{n21}},$$

$\varphi_{n23}^{\text{кел}} = \operatorname{arctg} f_{n23}^{\text{кел}} \approx f_{n23}^{\text{кел}}$ ;  $\varphi_{n21} = \operatorname{arctg} f_{n21} \approx f_{n21}$ , деб олган ҳолда юқоридаги муносабат узилтесил қуйидаги күршишда ёзилади:

$$f_{n23}^{\text{кел}} = f_{n23} = \left( \frac{l_3 - s_n + 0,5 l_n - s_B(\varphi_1)}{0,5 l_n} \right).$$

Л. Н. Решетов муштли механизмларда босим бурчагининг күч узатылыш шартига таъсирини баҳоловчы параметр сифатида күчларнинг ошиб бориш көэффициентін деб ататган  $v_F = F_{21}/F_{c2}$  күчлар муносабатидан фойдаланишини таклиф этди.

Итаргичи илгарылама ҳаракатланувчи ясси муштли механизмдар учун  $v_F$  ни аниқлашынг аналитик муносабатини спиуслар теоремасига асосланган ҳолда күчлар планидан (17.5-расм, б) аниқлаш осон:

$$\frac{F_{12}}{\sin(90^\circ - \varphi_{n23}^{\text{кел}} - \theta - \varphi_{n21})} = \frac{F_{21}}{\sin(180^\circ - \varphi_{n23}^{\text{кел}})},$$

әкинчилек

$$v_F = \frac{F_{21}}{F_{c2}} = \frac{\cos \varphi_{n23}^{\text{кел}}}{\cos(\theta + \varphi_{n23}^{\text{кел}} + \varphi_{n21})}.$$

17.5-расм, ә да  $(f_{n21} + f_{n23}^{\text{кел}})$  ишқаланиш көэффициентларининг 0,1; 0,2; 0,3 га тенг қийматларда күчларнинг ошиб бориш көэффициентининг үзгариш егри чизиклары учта ҳол учун күрсатылған бўлиб, 1 егри чизик 0,1 га, 2 егри чизик 0,2 га, 3 егри чизик 0,3 га тўғри келади.  $v_F$  га рухсат этилган қийматни беруб юкоридаги формулаға асосан босим бурчагининг рухсат этилган қийматини аниқлаш мумкин:

$$\theta_{p.b.} = \arccos \left( \frac{\cos \varphi_{n23}^{\text{кел}}}{v_{F_{p.b.}}} \right) - \varphi_{n23}^{\text{кел}} - \varphi_{n21}.$$

$f_{n21}$  ва  $f_{n23}^{\text{кел}}$  ишқаланиш көэффициентлари қанчалик кичик ҳамда  $v_F$  көэффициентнинг рухсат этилган қиймати қанчалик катта бўлса, муштли механизмларни лойиҳалашда  $\theta$  босим бурчагининг шу қадар катта қийматидан фойдаланиш мумкин бўлади.

Тақрибий ҳисоблашлар учун  $\theta_{p.b.}$  рухсат этилган босим бурчагининг қуйидаги қийматлари қабул қилинади: илгарылама ҳаракатланувчи итар-

гичтар утун  $\theta_{\text{п.в.}} = 30 \dots 15^\circ$ ; айланма ҳаракатланувчи итаргичтар учун  $\theta_{\text{п.в.}} = 45 \dots 20^\circ$ .

Механизмнинг ташки үлчамлари имкон берган ҳолда ишқаланишдаги истрофларни камайтириш учун бурчакнинг  $\theta_{\text{п.в.}} = 15 \dots 20^\circ$  оралықдағы кичикроқ қийматларини қабул қылыш мақсадға мұвоғиқ. Бу ҳол η фойдалы иш көзғиленентига ижобий таъсир күрсатады (бу көзғиленент ҳаракатлантирувчи күч анық бир вақт оралығыда бажарған ишнинг қанча қисеми ишқаланишни енгіш учун сарғланғанлыгини билішгә имкон беради). Итаргичи илгарилама ҳаракатланувчи механизм учун 17.5-расм, 6 да утта әгри чизик көлтирилған. Улар  $f_{\text{п.21}}$  ва  $f_{\text{п.23}}$  көзғиленентларнинг түрті қийматларыда оның фойдалы иш көзғиленентининг босым бурчакгы бағылқ тарзда үзгаришини күрсатады:

Әгри чизик . . . . .	1	2	3
$f_{\text{п.21}}$ . . . . .	0,2	0,2	0,01
$f_{\text{п.23}}$ . . . . .	0,4	0	0,2

Әгри чизиктар ФИК нинг энг катта қийматлары мұайян босым бурчактарнан түғри көлешини күрсатады.

#### 17.4-§. Берилған босым бурчакига күра муштли механизм үлчамларини анықлаш

Лойиҳаланған механизмнинг самарағы ишлешини таъминловчи ташки үлчамлары (муштнинг  $r_0$  радиусы, итаргич ва мушт үқларининг  $e$  силжиши,  $a$  үқлараро масофа ва ұқаоз) белгиланған шарт ҳамда чеклашларга бағылқ. Белгиланған чеклашларга күра энг яхши ечим деб шундай ечимға айтилады, бунда лойиҳаланған механизмнинг ташки үлчамлары энг кичик бўлади. Бинобарин, (12.11) ва (12.12) муносабатларни ҳисобга олган ҳолда оптимальшыннинг математик модели қўйидаги кўринишда ёзилиши мумкин:

Илгарилама ҳаракатланувчи итаргич учун

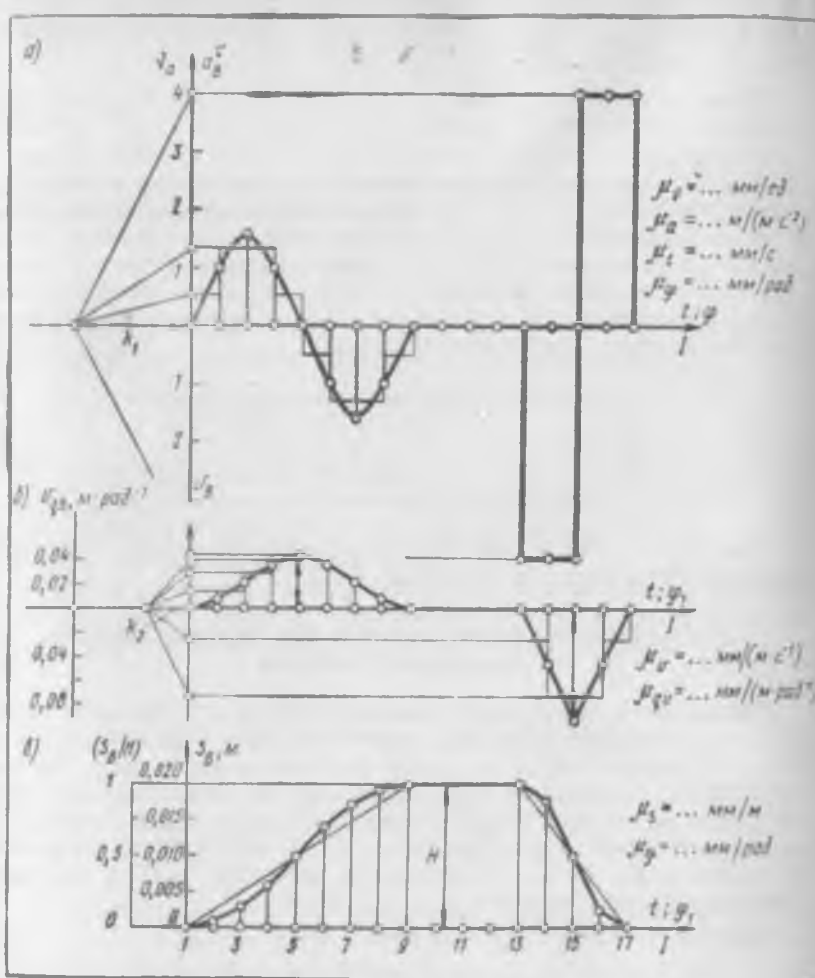
$$\theta = \arctg \frac{(v_B / \omega_1 \mp e)}{\frac{e}{a} + \frac{v_B}{\omega_1} (\pm e)} \leq \theta_{\text{п.в.}}; \quad (17.1)$$

Айланма ҳаракатланувчи итаргич учун

$$\theta = \arctg \frac{(v_B / \omega_1) - (a \cos \varphi_2 - l_2)}{a \sin \varphi_2} \leq \theta_{\text{п.в.}} \quad (17.2)$$

(17.1) ва (17.2) муносабатлар үзгариувчан катталик бўлган босым үзчагининг энг катта қийматини чеклайди. Мазкур босым итаргич ҳаракатининг берилған кинематик параметрларининг үзгариш қонунига бағылқ.

Муштли механизмларни лойиҳалашда конструктор итаргичнинг ҳаракат қонунини отдиндан қўйилған талабларни энг яхши тарзда қынотлантирадиган қылыш танлашга интилиши зарур. Кўп ҳолларда муштнинг



17.6- рисъ

бурилиш бурчаги функциясида (17.6-расм, а) итаргич  $a_B$  тезланишининг ўзгариш графиги (ёки тезланиш  $v_a = a_{B_i}/a_B$  бошл инсабатлари қийматларининг ўзгариш графиги) бошлиғангич график қилиб олинади. Колган кинематик параметрлар аналитик тарзда ёки рақамли ёхуд график тарзда интеграллаш йўли билан олинади. Масалан, итаргичният  $v_B$  тезлик графики ёки  $v_{qB} = v_B/\omega_1$  тезлик кинематик узатиш функциясининг графики график тарзда интеграллаш йўли билан қўйидаги мунисабатлардан аниқланади:

$$a_B^{\frac{1}{2}} = \frac{dv_B}{dt} = \frac{dv_B}{d\varphi_1} \cdot \frac{d\varphi_1}{dt} = \omega_1 \frac{dv_B}{d\varphi_1},$$

бундан

$$v_B = \int_0^t a_B^x dt; \quad v_{qB} = v_B / \omega_1 = \int_0^t \left( \frac{a_B^x}{\omega_1^2} \right) d\varphi_1.$$

Графиклар масштаблары орасидаги боғлиқтук құйындағы:  $\mu_v = \mu_a \mu_i / K_1$ ,  $\mu_{qv} = \mu_{qa} \mu_\varphi / K_1$ , бунда  $[\mu_v] = \text{мм}/(\text{м} \cdot \text{с}^{-1})$ ;  $[\mu_{qv}] = \text{мм}/(\text{м} \cdot \text{рад}^{-1})$ .

Итаргичининг силжиш графигига (17.6-расм, ө) үтіш ҳам ушбу мұносабаттар бүйінча юқоридегидек амәлдә ошириллади:

$$v_B = \frac{ds_B}{dt} = \frac{ds_B}{d\varphi_1} \frac{d\varphi_1}{dt} = \omega_1 \frac{ds_B}{d\varphi_1},$$

бундан

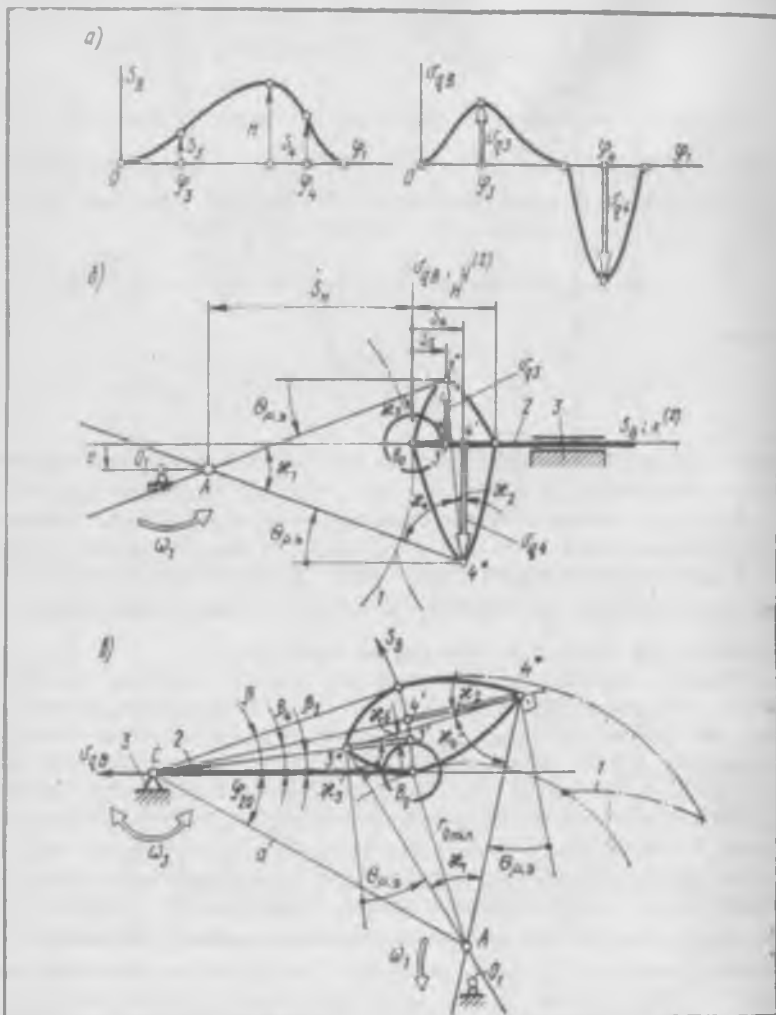
$$S_B = \int_0^t v_B dt; \quad S_B = \int_0^t \left( \frac{v_B}{\omega_1} \right) d\varphi_1 = \int_0^t v_{qB} d\varphi_1.$$

Бунда графиклар масштаблары орасидаги боғлиқтук құйындағы мұносабаттардан аниқланади:  $\mu_s = \mu_v \mu_i / K_2$  ва  $\mu_s = \mu_{qv} \mu_\varphi / K_2$ , Бу ерда  $[\mu_s] = \text{мм}/\text{м}$ .

Юқорида ёзилған  $\theta$  босим бурчагига доир чеклашларга геометрик изоҳ беріш мүмкін. Берилған (17.7-расм, а) әкім қисоблаб топилған (17.6-расм, б, ө га қаранг)  $S_B(\varphi_1)$  ҳолат функциясыдан ва  $v_{qB}(\varphi_1)$  узатыш функциясыдан фойдаланған ҳолда  $v_{qB}$ ,  $S_B$  координаталарда, яғни  $\dot{x}$  төзілкі —  $x$  силжишга күра график ясалади.

Итаргич айланма ҳаракат қылғанды боши  $C$  нүктада жойлашған қутбий координаталар системаси (17.7-расм, ө) танланади; итаргич илгарылама ҳаракат қылғанды  $B_0$  бошланған нүктасы муштнинг боштанғыч айланасыда ётувчи түрги бурчаклы  $x^{(2)}y^{(2)}$  координаталар системаси (17.7-расм, 6) танланади. Үнг координаталар системаси қабул қылғанади  $S_B$  силжишінің мусбат йұналишидан кинематик узатыш функциясыннан мусбат катталиктариниң тасвирлөвчи кесмалар томсига бурши соат милиннинг ҳаракат йұналишиға қарама-қаршы йұналишида амалға ошириллади Биннобарин,  $S_B$  ни  $B$  роликкішінде пастки ҳолатидан үнг томонға жойлашда  $v_{qB}$  ның мусбат қийматларын юқорига, манфий қийматлары эса пастға қойылады (17.7-расм, а). Бунда 1 мушт мусбат йұналишида, яғни соат милиннинг ҳаракат йұналишига қарама-қаршы йұналишида айланади (17.7-расм, б). Координаталар үзілары бүйінча масштаблар қийматлары  $[\mu_s] = \text{мм}/\text{м}$  ва  $[\mu_{qv}] = \text{мм}/(\text{м} \cdot \text{рад}^{-1})$  үзаро теңг қилиб танланади. Бу ҳол  $\theta$  босим бурчакини бузмаган ҳолда тасвирлашга имкон беради. Узатыш функциясыннан  $v_{qB_{\max}}$  үнг катта қийматы қисқа тарзда: узоқлашыу фазасыда  $v_{qB}$  билан, яқынлашыу фазасыда  $v_{qB}$  билан белгиланади.

17.7-расм, б, ө да ушбу катталиктар  $3'3'' = \mu_{qB} v_{qB}$  ва  $4'4'' = \mu_{qv} v_{qv}$  кесмалар билан тасвирланған.  $v_{qB}$  ның ушбу қийматларига  $\theta_{p.s.}$  рухсат этилған босим бурчаклары түрги келади, деб қабул қылған ҳолда чекловчи нурлар ұтказылади. Ұтказылған нурларнинг кесишүвидан ҳосил бўлган  $A$  нүкта белгиланади. Бу нүктада муштнинг айланыш үзін  $O_1$  ның



17.7- расм

четки ҳолати ёғади (17.7- расм, б). Чекловчи нурларнинг ҳар бирининг маълум бир томонида жойлашувчи «рухсат этилган ярим текисликни» билдиради. Текисликниң ана шу ярим текисликларга тааллукли қисми рухсат этилган ечимлар соҳаси (РЭЕС) ни ҳосил қиласди. Бу соҳада (17.6) ва (17.7) муносабатлар бўйича чеклашлар бажарилади. Ушбу соҳада (17.7- расм, б, в) муштнинг  $O_1$  айланиш  $\theta \leq \theta_{p,z}$  шартга кўра танлаш мумкин.

(17.1) үз (17.2) муносабатларни бу тарыда геометрик изложаш мындағы механизмнің изланалған тақшы үлчамдарини, масалан, итаргич айланма ҳаракатланғанда  $a = l_{CO}$  үқшараро масофани ва  $r_0 > r_{0\min} = l_{AB0}$  радиусини (17.7-расм, ө) ёки итаргич илгарилама ҳаракатланғанда «е» үқшарнің сиљжышини ва  $r_0 > r_{0\min} = l_{AB0}$  радиусини (17.6-расм, б) анықташга имкон беради.

Аналитик усулда синтезлаш ва профиль көрдинаталарини ЭХМ әрдамида қисоблаш учун аналитик күрнештегі керакты бөлшектілар бұлиши лозим. 17.7-расм, ө да айланувчи итаргичты, 17.7-расм, б да илгарилама ҳаракатланувчи итаргичты механизмдер учун керакты параметрларнің белгилапши күрсатылған.

Ролик үйінінг  $v_{q3}$  ва  $v_{q4}$  узатыш функцияларына мос келувчи бошлаптағы  $B_0$  ҳолатта нибатан  $S_B$  сиљжыштари ёзув қисқа бұлиши учун  $S_3$  ва  $S_4$  тарзда белгиланади. Улар берилған функцияны график интеграцияш орқалы ясалған сиљжыш графигидан ёки ЭХМ дан фойдаланған қолда интеграллаш йүли билан енг катта қылматни аниқловчы стандарт подпрограммалар әрдамида топылади.

$S_3$  ва  $S_4$  сиљжыштарга илгаричининг  $\beta_3 = S_3/l_2$  ва  $\beta_4 = S_4/l_2$  бурилиш бурчаклары мос келади, бу ерда  $l_2$  — түргиқининг узунлігі.

$C3^*4^*$  учбұрчакдаги  $\chi_2$  бурчак (17.7-расм, ө) ушбу учбұрчак иккі томоннаның узунліклары маълум бўлғаннан учун сиңуслар теоремасидан аниқланади. Томонларнің узунліклары эса қуйидагига тенг:  $C4^* = l_2 - v_{q3} \operatorname{sgn} \omega_1$  ва  $C3^* = l_2 - v_{q4} \operatorname{sgn} \omega_1$  (масштабларнің белгиларни күрсатылмаган); бу ерда  $v_{q4} < 0$ , у ҳолда

$$\frac{\sin \chi_3}{\sin \chi_2} = \frac{3^*4^*}{\sin(\beta_4 - \beta_3)} \quad \text{ёки} \quad \sin \chi_2 = \frac{(l_2 - v_{q3} \operatorname{sgn} \omega_1) \sin(\beta_4 - \beta_3)}{l_{34}} \quad (17.3)$$

$l_{34}$  билан белгиланған  $3^*$  ва  $4^*$  нүқталар орасындағы масофа косинуслар теоремасига күра аниқланади:

$$l_{34} = 3^*4^* = \sqrt{(l_2 - v_{q3} \operatorname{sgn} \omega_1)^2 + (l_2 - v_{q4} \operatorname{sgn} \omega_1)_z^2 - 2(l_2 - v_{q3} \operatorname{sgn} \omega_1)(l_2 - v_{q4} \operatorname{sgn} \omega_1) \cos(\beta_4 - \beta_3)}. \quad (17.4)$$

Итаргич илгарилама ҳаракатланғанда (17.3) ва (17.4) муносабатлар хуесүй қылматларга эга бўлади (17.7-расм, б):

$$\chi_2 = \operatorname{arctg} [(S_4 - S_3)/(v_{q3} - v_{q4})];$$

$$l_{34} = 3^*4^* = (v_{q3} - v_{q4}) / \cos \chi_2.$$

Сунгра  $\chi_3$  бурчак ва  $A3^*4^*$  учбұрчак куриб чиқылади. Бу учбұрчакнаның битта  $3^*4^*$  томони маълум бўлиб,  $\chi_3$  ва  $\chi_4$  бурчакларини топиш мумкин. Кейин  $\chi_1$  бурчак топылади:

$$\chi_3 = \chi_2 + (\beta_4 - \beta_3); \quad (17.5)$$

$$\chi_3 = 90^\circ - \theta_{p_{34}} + (\beta_4 - \beta_3) + \chi_2; \quad (17.6)$$

$$\chi_4 = 90^\circ - \theta_{p_{34}} - \chi_2; \quad (17.7)$$

$$\chi_1 = 180^\circ - (\chi_3 + \chi_4) = 2\theta_{p_{34}} - (\beta_4 - \beta_3). \quad (17.8)$$

Илгарилама ҳаракатланувчи итаргичлар учун  $\beta_3$  ва  $\beta_4$  бурчакларнинг чекли қиймати нолга тенг бўлади ҳамда (17.6) ва (17.8) формулалар хусусий қийматини олади:

$$\chi_3 = 90^\circ - \theta_{p,s} + \chi_2;$$

$$\chi_4 = 90^\circ - \theta_{p,s} - \chi_2;$$

$$\chi_1 = 2\theta_{p,s}.$$

Кўрилаётган  $A3^*4^*$  учбурчакнинг битта  $A3^* = l_{31}$  томони синуслар теоремасига асосан аниқланади:

$$\frac{A3^*}{\sin \chi_4} = \frac{3^*4^*}{\sin \chi_1}, \quad \text{ёки} \quad l_{31} = A3^* = l_{34} \frac{\sin \chi_4}{\sin \chi_1}.$$

$a = ICA$  ўқлараро масофа  $C3^*A$  учбурчакдан (17.7-расм, б) косинслар теоремасига асосан аниқланади:

$$a = \sqrt{(l_2 - v_{q3} \operatorname{sgn} \omega_1)^2 + l_{31}^2 + 2(l_2 - v_{q3} \operatorname{sgn} \omega_1)l_{31} \sin \theta_{p,s}}. \quad (17.9)$$

$CB_0$  итаргич ўқинининг  $CA$  ўқлараро масоғага иисбатан энг яқин ҳолатини белгиловчи  $\varphi_{20}$  бурчак  $C3^*A$  учбурчакдан синуслар теоремасига асосан аниқланади:

$$\frac{A3^*}{\sin(\varphi_{20} + \beta_3)} = \frac{a}{\sin(90^\circ + \theta_{p,s})} \quad \text{ёки} \quad \sin(\varphi_{20} + \beta_3) = \frac{l_{31}}{a} \cos \theta_{p,s},$$

Бундай

$$\varphi_{20} = \arcsin\left(\frac{l_{31}}{a} \cos \theta_{p,s}\right) - \beta_3. \quad (17.10)$$

Мушт бошланғич айланасининг  $r_0$  радиуси  $CB_0A$  учбурчакдан топилади:

$$r_0 = \sqrt{a^2 + l_2^2 - 2al_2 \cos \varphi_{20}}. \quad (17.11)$$

Итаргич илгарилама ҳаракатланадиган ҳолда итаргич ўқинининг муштнинг  $A$  айланаш ўқига иисбатан сурълганлик масоғаси «»,  $S_u$  координата ва бошланғич айлананинг  $r_0$  радиуси (17.8-расм, б) аниқланади

$$e = l_{31} \sin \theta_{p,s} - v_{q3}; \quad (17.12)$$

$$S_u = l_{31} \cos \theta_{p,s} - S_3; \quad (17.13)$$

$$r_0 = \sqrt{S_u^2 + e^2}. \quad (17.14)$$

Муштнинг айланыш ўқи  $O_1$  чекловчи нурларнинг кесишув нуқтаси  $A$  да жойлаштирилса, муштнинг  $\Phi_1$  бурилиш бурчаги функцияси бўлган  $\Theta$  бурчакнинг ўзгариш графиги  $\theta_{p,s}$  бурчакка мос келувчи тўғри чизиклар билан икки нуқтада уринади (17.8-расмдаги 1 эрги чизик). Бундай ечим муштнинг ихчамлиги нуқтадан назаридан энг ажсал ечим бўлади. Агар  $O_1$  ўқ РЭС дан ташқарнда жойлашса, у ҳолда итаргичнинг айрим ҳолатларида  $\Theta$  бурчак  $\theta_{p,s}$  бурчакдан катталашниб кетади (17.8-расмдаги 2 эрги чизик).

Механизмининг ташқи үлчамларига қаттық чеклашлар қўйилганда шуни эътиборга олиш лозимки, мушт етакчи бўлганда ҳамда уриниш куч орқали амалга ошигандага итаргичнинг қадалиб қолини хавфи фәқат узоқлашув фазаси учунгина хос бўлади. Яқинлашув фазасида итаргич пружинанинг эластиклик кучи ёки оғирлик кучи таъсирида ҳаракатланганидан қадалиш юз бермайди. Бу ҳол рухсат этилган  $\theta_{p_2}$  босим бурчагини ҳамда муштнинг айланниш йўналишини ҳисобга олган ҳолда РЭЕС чегарасини кенгайтиришга имконият яратади.

17.9-расм, *a*, *b* да итаргичи айланма ҳаракатланувчи механизм учун, 17.9-расм, *c* да эса итаргичи илгарилама ҳаракатланувчи механизм учун РЭЕС нинг қўйидаги бир қанча соҳалари кўрсатилган:

РЭЕС — муштнинг айланниш йўналиши реверсив (ҳар икки томонга), рухсат этилган босим бурчакларин узоқлашувда ва яқинлашувда бир хил бўлиб,  $\theta_{p_2}$  га teng (17.9-расм, *a*, *b*, *c*);

РЭЕС1 — муштнинг айланниш йўналиши реверсив, рухсат этилган босим бурчакларининг қийматлари узоқлашувда ва яқинлашувда ҳар хил;

РЭЕС2 — мушт соат миътининг ҳаракат йўналишига қарши йўналишида айланганда итаргичнинг узоқлашуви содир бўлади; унинг яқинлашувидаги босим бурчагининг чекли қиймати белгиланмаган (17.9-расм, *a*, *b*);

РЭЕС3 — мушт соат миътининг ҳаракат йўналишида айланганда итаргичнинг узоқлашуви содир бўлади; унинг яқинлашувидаги босим бурчагининг чекли қиймати белгиланмаган (17.9-расм, *c*).

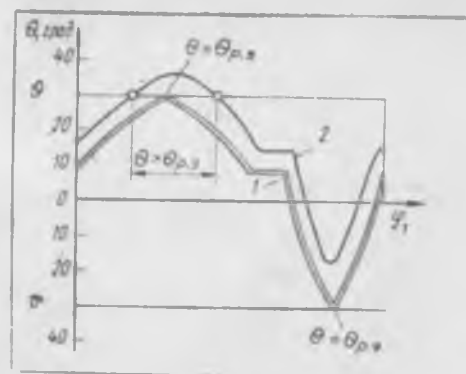
17.9-расм, *c* да мушт  $O_1$  ўқининг турли хусусий чеклашлардаги жойлашуви кўрсатилган:  $e = 0$  бўлганда мушт  $O_{11}$ ,  $O_{12}$ ,  $O_{17}$  ҳолатларни ва  $e \neq 0$  бўлганда  $O_{15}$ ,  $O_{16}$ ,  $O_{19}$  ҳолатларни эгалтайди.

Бўғинлар ҳаракатига доир чеклашларга амал қилиб ташқи үлчамлари (габарити) турлича бўлган муштни механизмлар ҳосил қилинади. 17.10-расмда муштнинг учта марказий профили кўрсатилган бўлиб, унинг айланниш ўқлари мос тарзда қўйидагича танланган: *a* профиль —  $\text{sgn } \omega_1 = \pm 1$  ва  $e = 0$  бўлиб, мушт ўқи РЭЕС да жойлашган; *b* профиль —  $\text{sgn } \omega_1 = \pm 1$  ва  $e \neq 0$  бўлиб, мушт ўқи РЭЕС да жойлашган; *c* профиль —  $\text{sgn } \omega_1 = \pm 1$  бўлиб, мушт ўқи РЭЕС да жойлашган.

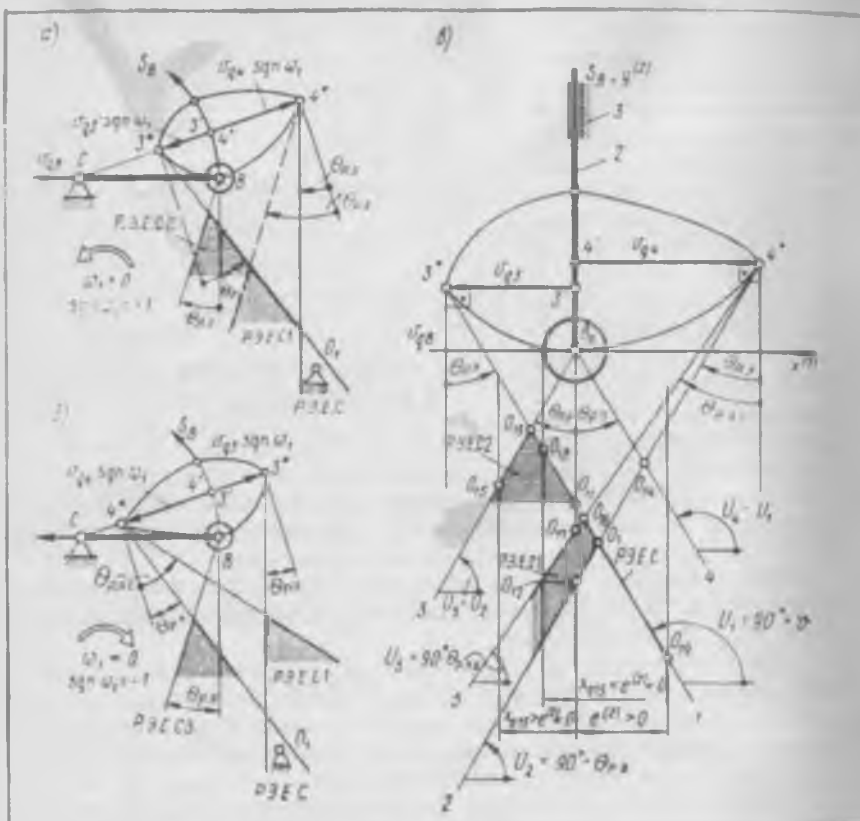
Мос тарздаги аналитик боғлиқлар илгари келтириб чиқарилган (17.3 ... 17.9) формуласларнинг хусусий кўринишлари сифатида ҳосил қилинади.

РЭЕС га мос келувчи механизмининг ҳаракат тартиби учун (17.9-расм, *a* га қаранг)  $v_{\theta_1}$  ва  $S_1$  нолга teng қилиб олинади.

Агар рухсат этилувчи ечишлар соҳаси  $5^\circ A$  ва  $6^\circ A$  нурлар билан



17.8-расм



17.9- расм

чекеландыган бұлса (17.11-расм, а, б), у ҳолда (17.3 . . . 17.9) ҳисоблаш формулаларында  $v_{q3}$  ва  $v_{q4}$ ,  $s_3$  ва  $s_4$  лар үршінде мос равишида  $v_{q3}$  ва  $v_{q4}$ ,  $s_3$  ва  $s_4$  ларнинг қыматлары құйылады.

Айланма ҳаракат қытувчи итаргич учун қуйидеги мұносабаттар үрнелдіріледі:

$$\beta_3 = S_3 / l_2; \quad \beta_4 = 0;$$

$$\sin \chi_2 = [(l_2 - v_{q3}) / l_{34}] \sin \beta_3;$$

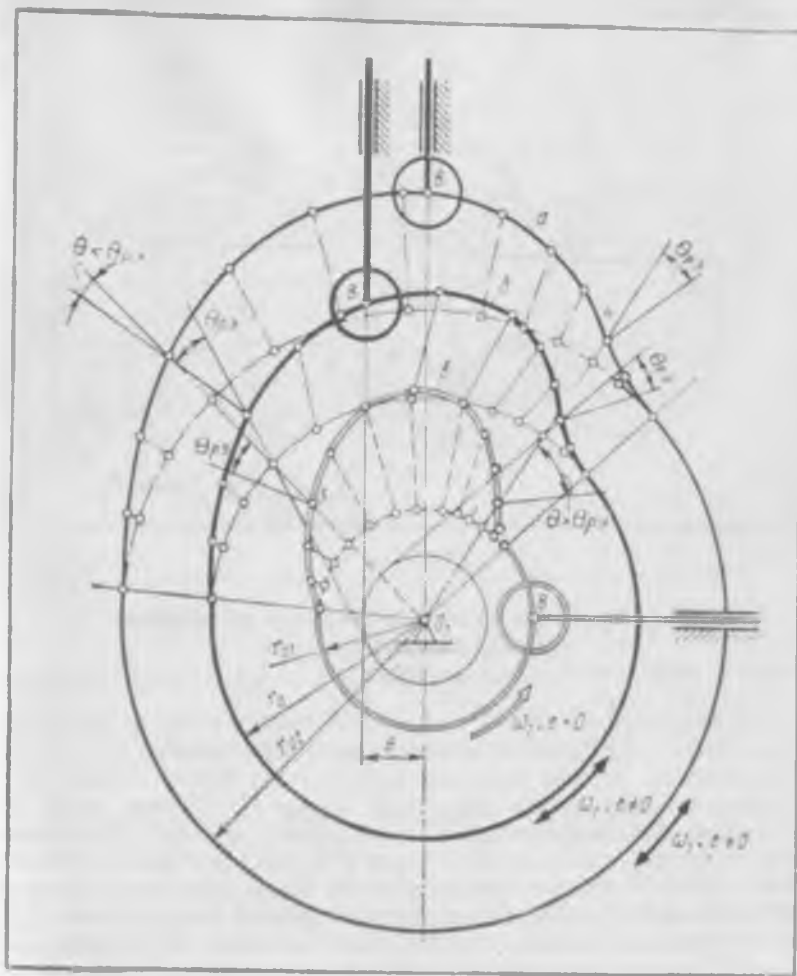
$$l_{34} = \sqrt{(l_2 - v_{q3})^2 + l_2^2 - 2(l_2 - v_{q3})l_2 \cos \beta_3};$$

$$\chi_3 = 90^\circ - \theta_{p,3} - \beta_3 + \chi_2;$$

$$\chi_4 = 90^\circ - \theta_{p,4} - \chi_2;$$

$$\chi_1 = 180^\circ - (\chi_3 + \chi_4) = 2\theta_{p,3} - \beta_3.$$

Итаргич илгарылама ҳаракат қылғанда мұносабаттар қуйидегиңе әзірләди:



17.10- расм

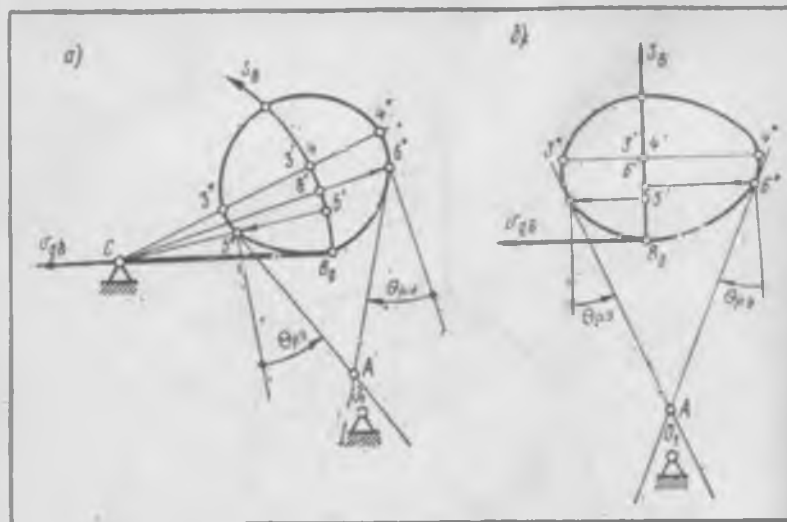
$$\chi_3 = \operatorname{arctg} (s_3/v_{q3});$$

$$l_{34} = v_{q3}/\cos \chi_3;$$

$$l_{31} = v_{q3} \frac{\sin (90^\circ - \theta_{p3} - \chi_2)}{\cos \chi_2 \sin 2\theta_{p3}}, \text{ ёки } l_{31} = v_{q3} \frac{\cos (\theta_{p3} + \chi_2)}{\cos \chi_2 \sin 2\theta_{p3}}.$$

Бошқа формулалар (17.9) — (17.14) ұзартырылмайды.

Бағыт этилдеги методикага ассоцииниб ҳисоблашны ЭХМ ёрдамида амал-га ошириш тавсия этилади.



17.11- расм

### 17.5- §. Муштнинг ташки ўлчамларини профилининг қабариқлиги шартнига кўра аниқлаш

Агар итаргичнинг бошмоги текис қилиб ясалса, у ҳолда муштнинг итаргич билан истаган вақтда ҳосил қўйган босим бурчаги ўзгармас бўлиб қолаверади. Бошмок текислиги итаргич ўқига тик жойланашган хусусий ҳолда  $\theta$  босим бурчаги нолга тенг бўлади (17.12-расм, а, б). Бу ҳол итаргич йўналти увчиларини цилиндрический жуфтлик кўринишида ишлашга ҳамда бошмокнинг ейилишини  $B$  уриниш нуқтасининг бошмок бўйлаб сурнишни ҳисобига каттароқ юзага тақсимлашга имкон беради. Олий кинематик жуфтлик элементларининг бундай конструкцияси учун мушт профилининг қабариқ бўлиши талаб қилинади. Бу талабни профилининг  $\rho$  эргилик радиусига қўйиладиган чеклаш тарзида ёзиш мумкин:

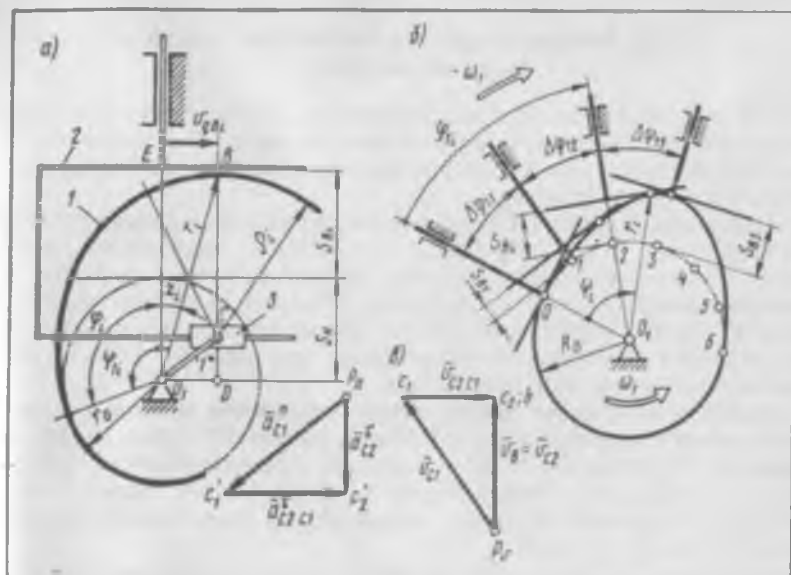
$$\rho_{min} > 0. \quad (17.15)$$

17.12-расм, а да келтирилган белгилашларга мувофиқ бу шартни қўйидаги тенгсизлик орқали ифодалаш мумкин:

$$r_i = S_u + S_{Bl}(\Phi_i) - l_{CD}. \quad (17.16)$$

(17.16) муносабатда:  $S_u = r_0$ ;  $S_{Bl}(\Phi_i)$  — силжиш функциясининг жорий қиёмати;  $l_{CD}$  — маълум геометрик маънога эга бўлган кесма. Уни механизм схемасидаги  $\Delta O_1CD$  ни  $1^{\circ}, 3, 2$  бўғинлардан ташкил топган алмаштирувчи пишангли механизм учун

$$\bar{ac}_2 = \bar{ac}_1 + \bar{ac}_2c_1 + \bar{ac}_2c_1$$



17.12- расм

тenglamaga асосан түзилгандан  $\Delta p_a c_1 c_2'$  тезланишлар плани билан солишиндириш орқали осонгина аниқлаш мумкин. Тенгламада  $a_{c_2 c_1} = 2\bar{\omega}_e \times \bar{v}_r = -2\bar{\omega}_3 \times \bar{v}_{c_2 c_1} = 0$ . Учурчакларининг ўхшашилигидан

$$\frac{OC}{a_{c_1}^n} = \frac{CD}{a_{c_2}^r}, \text{ ёки } l_{CD} = a_{c_2}^r = \frac{l_{OC}}{a_{c_1}^n} = \frac{a_{c_1}^r}{m_1^2} = a_{c_2}^r$$

келиб чиқади, яъни  $C$  ва  $D$  нукталар орасидаги масофа қиймат жиҳатидан 2 итаргичдаги  $C_2$  нукта (ёки  $B$  нукта) нинг тезланишни узатиш функциясига тенг:

$$a_{c_2}^r = a_{c_2}^r = a_{c_2}^r / \omega_1^2 = l_{CD}.$$

Бинобарин, (17.16) муносабатни

$$p_i = r_0 + S_{Bi}(\varphi_1) + a_{qBi}^r(\varphi_1)$$

тарзида ёзиш ёки уни муштиининг бошланғич айланаси радиусига нисбатан ечиш мумкин:

$$r_0 = p_i - S_{Bi}(\varphi_1) + a_{qBi}^r(\varphi_1).$$

$p_i = 0$  бўлган хусусий ҳолда  $a_{qBi}^r = a_{qBi\max}^r$  бўлиб,  $S_{Bi} = H$  бўлганда  $r_0$  радиусининг қиймати энг кичик бўлади.

### 17.6-§. Дисксимон муштлар профилининг координаталарини аниқлаш

Техник ҳужжатларда ёки иш чизмаларида мушт профиллари координаталари ҳақида маълумотлар келтирилиши зарур. Муштларни тайёрлаш технологиясига қараб координаталар ё марказий, ёки конструктив профиллар учун ҳисобланади.

Агар ролик ўлчами асбоб — фреза ёки жилвирлаш доираси ўлчамидан фарқ қиласа, у ҳолда технологик профиль координатаси ҳисобланади. Технологик профиль, масалан, рақамли программа билан бошқариладиган дастгоҳни созлаш учун зарур бўладиган асбоб ўқи ҳолатини белгилаб беради. Профилнинг аниқлик даражасини текшириш учун ўлчаш машшиаси инденторининг ўлчамларига мос келувчи ўлчаш профилнинг координаталари ҳисобланади.

Итаргичи илгариlama ҳаракатланувчи дисксимон муштнинг марказий профили көрдинаталари. Ҳисоблаш схемаси 17.13-расм, а да тасвирланган. Марказий профилдаги жорий  $B_i$  нуқтанинг қутбий координаталар системасидаги координаталари  $r_i$  ва  $\psi_i$ ,  $i$  мушт билан бўғланган  $Ax^{(1)}y^{(1)}$  қузғалувчан декарт координаталар системасидаги координаталари эса  $x_{Bi}^{(1)}, y_{Bi}^{(1)}$  дир.

Конструктив профилдаги  $C_i$  жорий нуқтанинг координаталари: қутбий координаталар системасида  $R_{Ci}$  ва  $\Psi_{Ci} = \psi_i + \gamma_i$ ; декарт  $Ax^{(1)}y^{(1)}$  координаталар системасида эса  $x_{Ci}^{(1)}, y_{Ci}^{(1)}$  бўлади (улар чизмада кўрсатилмаган).  $r_0, R, S_n$ ,  $e$  ташки ўлчамлар берилган бўлади ёки ҳисоблаб топилади.  $\varphi_1$  умумлашган координатага кўра итаргичнинг силжиши ( $S_B$  — жорий қиймат ва  $H$  — итаргич йўли) ё аналитик кўрининишда, ёки қийматлар массиви (жадвал) кўрининишда берилади.

Ҳисоблаш схемасини таҳлил этган ҳолда (17.13-расм, а) қўйндаги муносабатни ёзиш мумкин:

марказий профилдаги  $B_i$  нуқтанинг координаталари:

$$r_i = \sqrt{e^2 + (S_n + S_{Bi})^2}; \quad (17.17)$$

$$r_n = \sqrt{e^2 + (S_n + H)^2} \quad (17.18)$$

(шуни назарда тутиш лозимки,  $x^{(1)}y^{(1)}$  координаталар системасидан  $x^{(1)}Ay^{(1)}$  координаталар системасига ўтилганда силжиш ишораси ўзгаради:  $e^{(1)} = -e^{(2)}$ );

$$\beta_0 = \operatorname{arctg} (e/S_n);$$

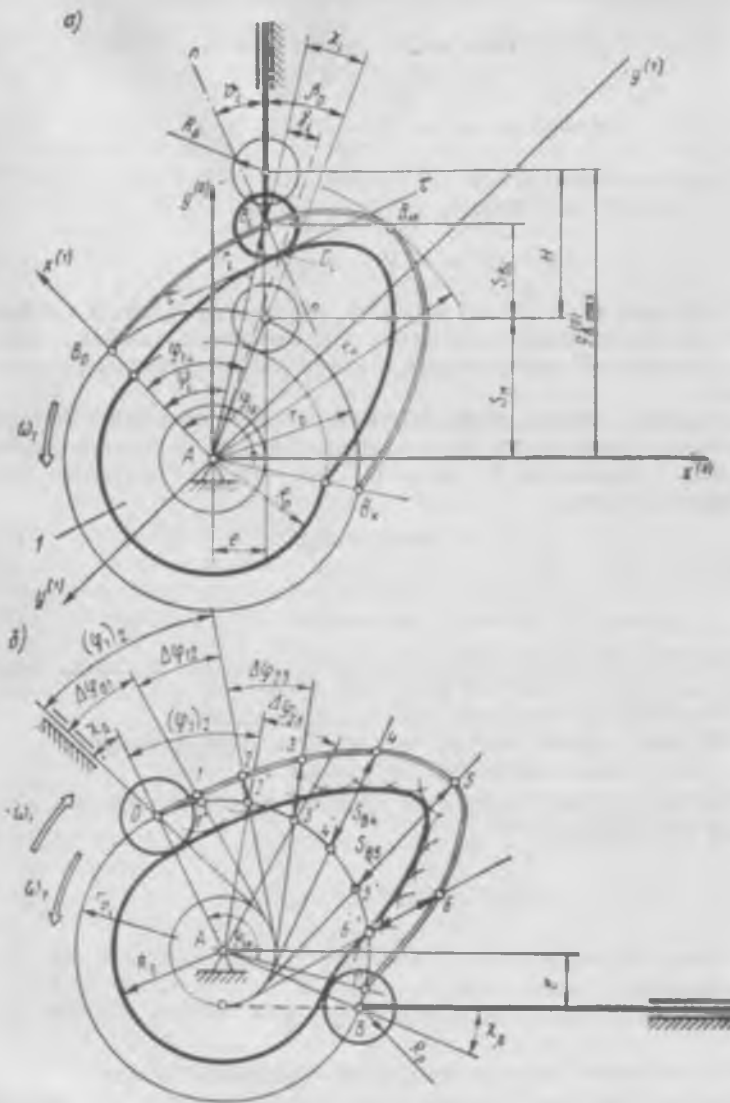
$$\chi_i = \operatorname{arctg} [(S_n + S_{Bi}/e) - \operatorname{arctg} (S_n/e)]. \quad (17.19)$$

Бурчаклар  $Ax^{(1)}$  ўқдан бошлаб соат милининг ҳаракат йўналиши бўйича ўлчанса (17.12-расм, а га қаранг) ҳамда итаргич ўқининг силжиганлиги  $e > 0$  бўлса, у ҳолда

$$\Psi_i = \varphi_1 - \chi_i; \quad (17.20)$$

$$x_{Bi}^{(1)} = -r_i \cos \psi_i; \quad (17.21)$$

$$y_{Bi}^{(1)} = -r_i \sin \psi_i. \quad (17.22)$$



17.13- расм

Конструктив профилдаги  $C_i$  нүкта координаталари:

$$\theta_i = \operatorname{arctg} |v_{qB_i} - e| / (S_u + S_{Bi}); \quad (17.23)$$

$$R_{Ci} = \sqrt{R_p^2 + r_i^2 - 2R_p r_i \cos(\theta_i + \beta_0 - \chi_i)}; \quad (17.24)$$

$$\gamma_i = \arccos [(r_i^2 + R_{Ci}^2 - R_p^2) / (2r_i R_{Ci})]; \quad (17.25)$$

$$\Psi_{Ci} = \psi_i + \gamma_i; \quad (17.26)$$

$$x_{Ci}^{(1)} = R_{Ci} \cos \Psi_{Ci}; \quad (17.27)$$

$$y_{Ci}^{(1)} = -R_{Ci} \sin \Psi_{Ci}. \quad (17.28)$$

Координаталарни (17.17) — (17.28) формулалар ёрдамида ҳисоблашда ЭХМ дан ва курсавий лойиҳалашга доир автоматик ҳисоблаш система-синг математик таъминотидаги стандарт подпрограммалардан фойдаланилади.

Дисксимон мушт профилларининг ҳусусий ҳоллари. Лойиҳалаш амалиетида итаргиччининг ўзи силжитилмаган ( $e = 0$ ) муштли механизмлар кенг қўлланилади. Бу ҳолда (17.11) — (18.14) формулалар ҳусусий кўринишни олади:

$$r_i = r_0 + S_{Bi}; \quad (17.29)$$

$$\beta_i = 0; \quad (17.30)$$

$$\psi_i = \Psi_{ii}. \quad (17.31)$$

Итаргиччининг айрим ҳаракат (масалан, ўзгармас тезликли, ўзгармас тезланиши ва ўзгармас босим бурчагили ҳаракат) қонунлари учун профиль тенгламасини аналитик шаклда ифодалаш осон.

Чунончи, итаргич ўзгармас тезлик билан ҳаракатланадиган ҳол учун ( $v_B = \text{const}$ ) тезликнинг кинематик узатиш функцияси  $v_{qB} = v_B / \omega_i$  донмий катталик бўлиб, итаргиччининг силжиши масофаси қўйидаги муносабатдан аниқланади:

$$S_B = \int_{\Psi_{ii}} v_{qB} d\Psi_i = \frac{v_B}{\omega_i} \Psi_{ii}.$$

Мазкур муносабатни (17.29) ва (17.31) формулаларга қўйиб ушбуга эга бўламиш:

$$r_i = r_0 + (v_B / \omega_i) \Psi_i. \quad (17.32)$$

(17.32) муносабат архимед спириалининг тенгламаси бўлади.

Итаргич ўзгармас тезланиш билан ҳаракатланадиган ҳол учун ( $a_B^t = a_B^r = \text{const}$ ) тезланишининг кинематик узатиш функцияси ( $a_{qB}^t = a_B^t / \omega_i^2$ ) донмий катталик бўлиб, итаргиччининг силжиши қўш интеграллаш орқали аниқланади:

$$S_B = \iint_{\Psi_{ii}} \left( \frac{a_B^t}{\omega_i^2} \right) d\Psi_i^2 = \frac{a_B^t}{\omega_i^2} \cdot \frac{\Psi_{ii}^2}{2}.$$

Бу муносабатни (17.29) ва (27.31) формулаларга қўйиб ушбуни ҳосил қиласиз:

$$r_i = r_0 + (a_B^2/\omega_i^2) \Phi_i^2/2. \quad (17.33)$$

Ушбу тенглама 2-тартибли эгри чизиқка оидdir.

Муштдан ҳаракат роликка ўзгармас 0 босим бурчаги билан узатила-диган ҳол учун (17.23) формула хусусий қийматга эга бўлади:

$$\operatorname{tg} \theta = \frac{v_{Bz}}{S_B + S_{Bi}} = \frac{v_B}{\omega_1 (r_0 + S_{Bi})} = \frac{v_B}{\omega_1 r_i} = \frac{\omega_1 dS_B/d\Phi_1}{\omega_1 r_i} = \frac{dr_i}{r_i d\Phi_1},$$

ёки

$$dr_i/r_i = \operatorname{tg} \theta d\Phi_1. \quad (17.34)$$

$\theta = \theta_{p,i}$  деб қабул қиласан ҳолда (17.34) тенглама интеграллангандан сўнг профиль тенгламаси ҳосил бўлади:

$$r_i = r_0 e^{\Phi_i / 2 \theta_{p,i}}. \quad (17.35)$$

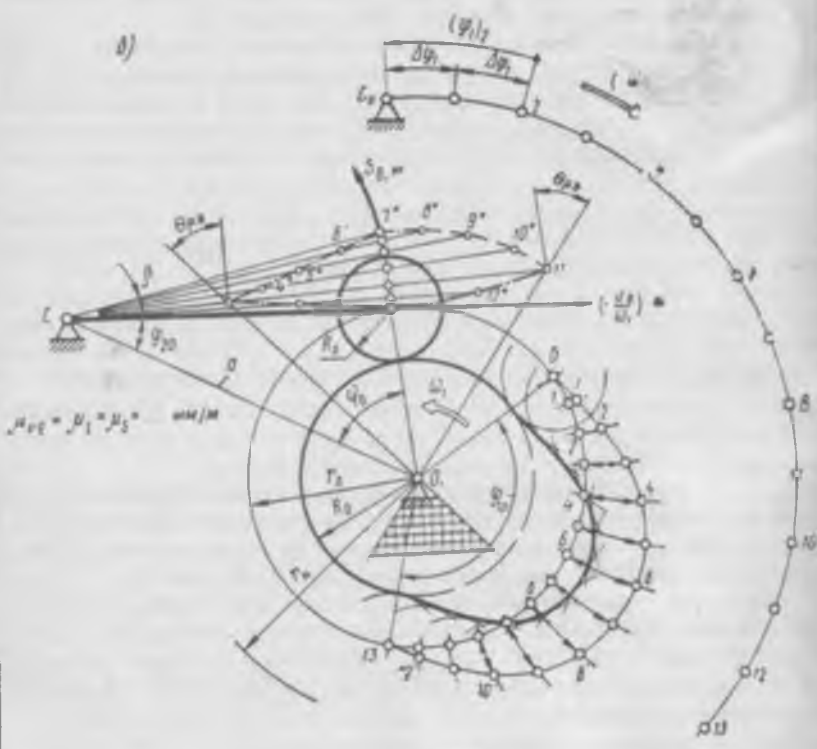
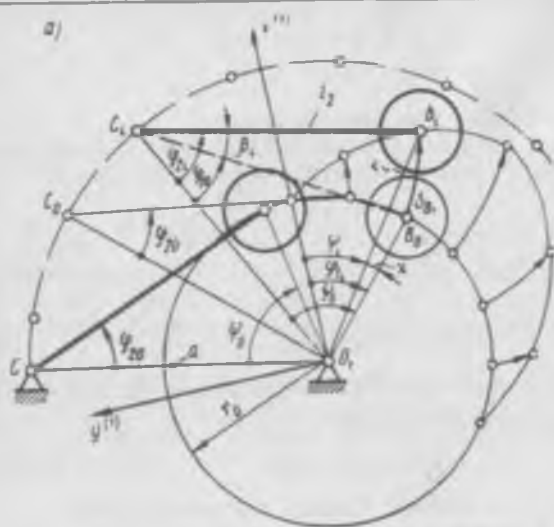
(17.35) муносабат логарифмик спираль тенгламаси бўлади.

Профиль ҳосил қилишининг график усули. Бунда 3-бобда баён этилган ҳаракатни ўзгартириш усулидан фойдаланилади.

Ясаш ишларн қўйидаги кетма-кетликда амалга оширилади (17.13-расм, б). Умумий маркази  $A$  нуқтада жойлашган  $e$ ,  $r_0$  ва  $R_0 = r_0 + R_p$  радиусли айланалар чизилади.  $r_0$  радиусли бошланғич айланада профилнинг  $O$  бошланғич нуқтаси танланади ва унда иш профилининг берилган  $\Phi_{1i}$  иш бурчагига ва танланган  $N$  қадамлар сонига ( $\Delta\Phi_i = \Phi_{1i}/N$ ) мос равиша узунликларини  $\Delta\Phi_i r_0$  га teng бўлган  $01'$ ,  $1'2'$ ,  $2'3'$ , . . ., ёй қадамлари белгиланади. Белгиланган  $1'$ ,  $2'$ ,  $3'$ , . . . нуқталардан муштнинг айланиш йўналишини ҳисобга олган ҳолда стойканинг ўзгартирилган ҳаракатидаги ( $-\omega_1$ ) итаргич ўқининги  $1'1$ ,  $2'2$ ,  $3'3$ ,  $4'4$ , . . ., ҳолатларни чизилади. Ушбу чизиклар 0,  $1'$ ,  $2'$ ,  $3'$ , . . ., нуқталардан ўтган ҳолда радиуси  $e$  силжини масофасига teng бўлган айланага уринма тарзда жойлашади.  $\Delta\Phi_{01} + \Delta\Phi_{12} + \Delta\Phi_{23} + \dots$  бурчаклар йигиниди берилган  $\Phi_{1i}$  бурчакка teng. Итаргичнинг иисбий ҳаракати йўналишида бошланғич айланадан ( $0$ ,  $1'$ ,  $2'$ ,  $3'$  нуқталардан) бошлаб, бўғинлар узунлиги масштабини ҳисобга олган ҳолда итаргичнинг  $S_B$  силжини катталиклари:  $1'1$ ,  $2'2$ ,  $3'3$ , . . ., кесмалар ўлчаб қўйилади.

$0$ ,  $1$ ,  $2$ ,  $4$ , . . . нуқталар орқали муштнинг марказий профили бўлган равон эгри чизиқ ўтказилади. Ўқи марказий профиль бўйлаб ҳаракатланувчи роликнинг иисбий ҳолатларига умумий уринувчи эгри чизиқ ўтказилиб конструктив профиль ҳосил қилинади (17.13-расм, б).

Айланувчи итаргичли дисксимон мушт марказий профилининг координаталари, 17.14-расм, а да ҳисоблаш схемаси тасвирланган. Жорий  $B_i$  нуқтанинг муштнинг марказий профилидаги координаталари кутбий координаталар системасида  $r_i$  ва  $\Phi_i$  лар орқали,  $O_i x_i^{(1)} y_i^{(1)}$  декарт координаталар системасида эса  $x_B^{(1)}$  ва  $y_B^{(1)}$  лар орқали берилган ( $O_i x_i^{(1)}$  ўқ профилнинг бошланғич нуқтаси орқали йўналган).



Мұштнинг марказий профилдаги жорий  $B_l$ , нүктанинг  $r_l$ , радиусын ко-  
синуслар теоремасынан фойдаланған ҳолда  $\Delta O_1C_lB_l$  дан анықланади:

$$r_l = \sqrt{(a^2 + l_2^2 - 2al_2 \cos \varphi_{2l})}, \quad (17.36)$$

Бу ерда

$$\varphi_{2l} = \varphi_{20} + \beta_l; \quad (17.37)$$

$$\beta_l = S_{B_l}/l_2; \quad (17.38)$$

$$\varphi_{20} = \arcsin[(r_0/l_2) \sin \psi_0]; \quad (17.39)$$

$$\psi_0 = \arccos[a^2 + r_0^2 - l_0^2 - l_2^2]/(2ar_0). \quad (17.40)$$

Мұштнинг марказий профилдаги жорий  $B_l$  нүктанинг қутбий  $\psi_l$  бурчаги:

$$\psi_l = \varphi_{2l} - \chi_l. \quad (17.41)$$

Бу ерда

$$\chi_l = \psi_0 - \arcsin[(l_2/r_0) \sin \varphi_{2l}]. \quad (17.42)$$

Жорий  $B_l$  нүктанинг декарт координаталарн қутбий координаталар орқали ифодаланади:

$$x_B = r_l \cos \psi_l; \quad y_B^{(1)} = -r_l \sin \psi_l.$$

График усул билан профиль ҳосил қилишда ҳаракатни ўзgartыриш усулидан фойдаланылади, яғни стойка ( $CO_1$  чизик) құзгалмас 1 мұштга нисбатан айланырылади.  $CO_1$  стойка чизигининг  $\Delta \Phi_1 = \Phi_{1l}/N$  бурчак қадамлар сонига күра анықланады  $0, 1, 2, 3, 4$  ва ҳоқазо құзгалмас ҳолатлари учун  $r_0$  радиусын айланада  $l_2$  ўтчамлы (итаргичнинг узунлиги) көртиклар усули ёрдамида  $0, 1, 2, 3, \dots$  нүқталар белгиланади. Белгиланған нүқталардан итаргич ролиги  $B$  үқиннинг  $S_{B1}, S_{B2}, S_{B3}, \dots$  оңтүшиларини чизма масштабда ифодаловчи  $11', 22', 33', \dots$  өйләр ўлчаб қўйилади.  $0', 1', 2', 3', \dots$  нүқталарни түғри чизик орқали туаштириб мұштнинг марказий профил ҳосил қилинади.  $R_p$  ролик радиусы танланады, ролик үқиннинг марказий профилдаги кетма-кет ҳолатларини белгилаган ҳолда, танланған  $R_p$  радиус билан роликнинг түрли ҳолатлари чизилади. Роликнинг түрли ҳолатларига ўтказилған умумий уримна чизик мұштнинг конструктив профилин ҳосил қилади.

Роликнинг  $R_p$  радиусын танлаш. Күч узатувчи механизмдердаги роликнинг  $R_p$  радиусы урнениша мустаҳкамлик шартига күра, яғни роликнинг кенглигини, ролик ва мұштнинг ишда қатнашувчи профилларни материалларнинг механик хоссаларини ва белгиланған хизмат муддатини ҳисобга олиб танланади. Кинематик узатмаларга доир чеклашга конструктив профиль ҳолати учун рухсат этилувчи хатолар ҳамда унда үзини-үзи кесиб ўтишининг йўқлиги (бунда ролик радиуси янглишиб марказий профилнинг бирор қисмидаги энг кичик эргилтк радиусынан катта-роқ олинади) киради (17.15-расм). Профилнинг бундай тарзда үзини-үзи кесиб ўтиши 17.15-расмда  $R_{p4} > R_{min}$  болған 4 профиль учун кўрсатилған.  $R_{p3} = R_{min}$  бўлганда конструктив профилнинг назарий ўтқишлошуви кузатилади ( $\rho_1 = 0$ ).  $R_{p2} < R_{min}$  шартига амал қилинганда конструктив

Бир массали динамик нусхада (17.17-расм, в)  $m^{**}$  масса мос тарздағи кинематик узатиш функцияларини эътиборга олган ҳолда механизмнинг бир нүктага келтирилган ҳамма бўғинларининг инерцион хусусиятларини ҳисобга олади.

Уч массали нусхадаги  $c_1, c_2, c_3, c_4$ , бир массали нусхадаги  $c_0$  ва  $c$  бикрлик коэффициентларига ҳамда мос тарздаги  $k_1, k_2, k_3$  ва  $k_0$  сундириш коэффициентларига нисбатан ҳам юқоридагидек мулоҳазалар юритиши мумкин.  $c_1$  ва  $c$  бикрлик коэффициентлари клапан пружинасининг каттиклик коэффициентига,  $c_2$  — коромислонинг бикрлик коэффициентига,  $c_3$  — 2 штанганинг келтирилган бикрлик коэффициентига,  $c_4$  — тақсимлашвали булагининг келтирилган бикрлик коэффициентига,  $c_0$  — механизминг келтирилган бикрлигига мос келади. Ҳисоблаш схемасини соддалаштириш мақсадида  $k$  сундириш коэффициентлари биринчи яқинлашувда нолга тенг деб каралади.

Уч массали системада массаларининг мажбурий тебраниши қўйидаги дифференциал тенгламалар системаси орқали ёзилади (келтирилган массаларининг юқорида ёзиладиган «ке» индекси ёзувнинг қисқа булиши учун тушириб қолдирилади):

$$\begin{aligned} m_1 \ddot{y} + (c_1 + c_2) \dot{y}_1 - c_2 \dot{y}_2 &= 0; \\ m_2 \ddot{y} - c_2 \dot{y}_1 + (c_2 + c_3) \dot{y}_2 - c_3 \dot{y}_3 &= 0; \\ m_3 \ddot{y} - c_3 \dot{y}_2 + (c_3 + c_4) \dot{y}_3 &= F(t). \end{aligned}$$

Охирги тенгламанинг ўнг томонидаги  $F(t)$  функция клапан пружиналарининг дастлабки таранглгини, мушт профилни таъсирида етакланувчи бўғин силжигандаги вужудга келувчи эластиклик кучини ҳисобга олувчи ўйнотувчи кучнинг ўзгаришини ифодалайди.

Бир массали системадаги  $m$  массасининг мажбурий тебраниши қўйидаги дифференциал тенглама орқали ёзилади:

$$m \ddot{y} + k_0 \dot{y} + (c_0 + c) y = F(t).$$

Агар  $y_1, y_2, y_3$  и ва  $y$  ординаталар бўғинларининг эластиклиги ҳисобига келтириш бўғинининг силжишларига,  $x(t)$  ордината эса мушт профили ҳисобига номинал силжишга мос келса, у ҳолда мос тарздаги катталикларининг айримаси механизм кинематик занжирни бўғинларининг  $\varphi(t)$  деформацияланнини ифодалайди. Масалан, бир массали нусха учун

$$\varphi(t) = x(t) - y(t).$$

$F(t)$  функция иктиёрий кўринишда бўлганда ёзилган дифференциал тенгламалар ЭХМдан фойдаланган ҳолда рақамли усуллардан бири ёрдамида очилади.

Дарсликда муфассал амалларни келтириб ўтирмасдан, бўғинлар эластиклигини ҳисобга олиб, механизмнинг динамик сифатларини кўрсатадиган энг муҳим хуносаларгагина тўхталиб ўтиш мумкин.

Кинематик занжир узилган пайтда ( $\varphi < 0$  бўлганда) 2 штанга 1 муштдан ажралади, бўғинларга қушимча динамик юкланишлар тушади ва 4 клапан бошқарилмайдиган булиб қолади. Узилишлар бўлганда уриниш жадал тарзда юз берганлиги сабабли клапаннинг такрор сакраши содир

бүләди. Бу ҳодисаларининг бары номақбул бүләби, мушт профилини лойи-халаши босқичида бартарағ этилиши лозим.

Эластик төбраныштар клапанининг ўз уясига ўриашинш вақтидаги ҳақи-күй тезлигини мушт профилди белгилайдиган тезлигинга нисбатан ўзгар-тиради. Бу ҳол клапанининг муддатидан илтари уясига ўриашувига ёки клапанинг такрор сакрапинга олиб келәди.

Синтезлашда итргиччининг мушт профилининг охириг құжмаларига түгри келадиган мусбат тезланишлари катталигини таңлашга алоҳида эътибор бериш зарур, чунки унинг бу қисмлари механизмдә әңг катта ҳисобий деформацияларин вужудга келтиради. Эластик төбранышининг әңг катта амплитудаси мусбат тезланишлар қисмининг охирига түгри келади; тақ-символаш валининг айланыш тезлиги ошиб борган сари бу амплитудаданинг катталиги ҳам ошиб боради, чунки әңг катта тезланиш айланыш частотаси билан квадратик муносабатда бүләди.

## 18- бөб

### МЕХАНИЗМЛАР СИСТЕМАСИННИГ ҲАРАКАТИНИ БОШҚАРИШ

Бир-бiri билан муайян тарзда болғанған үзаро мувофиқлашган ҳаракатларни ба-жарыш учун мұлжалланған, мағлұм мажмұлар учун умумий бүлған қонуниктларга бүйсүндірілген механизмлар мажмұн механизмлар системаси дейіләди. Механизмлар системаси замонавий машиналарининг деярли ҳаммаси учун асос бүләди. Түрлі-тұман механизмлар бүгіндарнің энергияны бир турдан Соңқа турға ўзgartырыш, обекттердегі материялдернің қолатларынан, хусусияттарини ёки қолатларини ўзgartырыш, машиналар ишчи органдарининг қарқатини бोшқарып, текшириш үшін ростлаш билан болған бүлған талаб қылышуви ҳаракатини тәъминлады. Механизмлар системаси анча муртқаған бүләди.

Істалған механизмлар системасыда ишлаш параметрлері, яғни бोшқарыш үшін тек-шириш құралмалары, алоҳида мекәнізмлір ижроғи бүгіндарнің қолатлары, тезлік-лары таңлыштыралып үзаро мувофиқлаштырылған болыши лозим. Тағы да қитинувчи мәқ-садаға обьектің ішкі системалық орталықтан ўзаган қолда болшаруға таъсири курсатынш ғұлы билан әрішінш босқарып дейілді. Мекәнізмлір системасыннан бедгілланған тарзда ишлашини тәъминеттөчі күрсатылтар мақмұа (яғни коміздарнан жаңыларынан мәзмұну) босқарыш прогрограммасы еки босқарыш алгоритми дейіләди.

#### 18.1-§. Механизмлар ҳаракатини программа билан босқарыш системаси

Иш қозасидан үзаро болғанған механизмларининг бүлгіләнген тар-тибда ишлашини босқарувчи воситаілар программа билан босқарыш систе-масига киради. Берілген программа бүйіча машинанинг ижроғи органдарынан босқа механизмлардың босқарып таъсирини юзага келтиришда иштирок этувчи программа билан босқарыш воситаілары мажмұн тех-ники воситаілары (юритмалар, электроавтоматика аппаратлари, ўл-човчи ўзgartылыштары, текшириш, мослаштырыш ва диагностика қурилма-лары, ҳисоблаш-мантиқий қурилмалар, алоқа каналлары ва шу кабилтарни) ҳамда босқарыш жараёншыны ташкил этувчи ва муайян механизмлар сис-темаларини босқарыш базағасини амалта оширувчи программа тәъми-нотини үз ичига олади. 18.1-расмда технологик машина механизмлары Системасининг принципиал схемасынан мисол келтирилген. Үнда машина-нинг ишлашын тәъминлаш ва хом ашё (материал) га ишлюв бериш

Бир массали динамик нусхада (17.17-расм, ө)  $m^{ke}$  масса мос тарздағи кинематик узатыш функцияларини эътиборга олган ҳолда механизмнинг бир нүктага келтирилгандын ҳамма бүғинларининг инерцион хусусиятларини ҳисобга олади.

Үч массали нусхадаги  $c_1, c_2, c_3, c_4$ , бир массали нусхадаги  $c_1$  ва  $c$  бикрлик коэффициентларнга ҳамда мос тарздаги  $k_1, k_2, k_3$  ва  $k_0$  сұндириш коэффициентларнга шілдескенде қама юқоридагидек мұлоғазалар юритиш мүмкін.  $c_1$  ва  $c$  бикрлик коэффициентлар клапан пружинасининг қаттиқлік коэффициентига,  $c_2$  — коромислонинг бикрлик коэффициентига,  $c_3$  — 2 штанганинг келтирилгандын бикрлик коэффициентига,  $c_4$  — тәксимлашвали бұлагининг келтирилгандын бикрлик коэффициентига,  $c_0$  — механизмнинг келтирилгандын бикрлигига мос келади. Ҳисоблаш схемасини содда-лаштириш мақсадида  $k$  сұндириш коэффициентларн биринчи яқынлашувда нолта тенг деб қаралади.

Үч массали системада массаларнинг мажбурий тебраниши қуйидеги дифференциал теңгламалар системаси орқали ёзилади (келтирилгандын бикрлик коэффициентларнда «ел» индекси ёзувнинг қисқа бүлиши учун тушириб қолдирилади):

$$\begin{aligned} m_1 \ddot{y} + (c_1 + c_2) \dot{y}_1 - c_2 y_2 &= 0; \\ m_2 \ddot{y} - c_2 \dot{y}_1 + (c_2 + c_3) \dot{y}_2 - c_3 y_3 &= 0; \\ m_3 \ddot{y} - c_3 \dot{y}_2 + (c_3 + c_4) \dot{y}_3 &= F(t). \end{aligned}$$

Охирғи теңгламанинг үнд томонидаги  $F(t)$  функция клапан пружиналарнинг дастлабки тарангларини, мушт профили таъсирида етакла-нувчи бүғиш силжигандын вужудға келтувчи эластиклік кучини ҳисобға олувчи үйғотувлы кучининг үзгаришини ифодалайды.

Бир массали системадаги  $m$  массасын мажбурий тебраниши қуйидеги дифференциал теңглама орқали ёзилади:

$$m \ddot{y} + k_0 \dot{y} + (c_0 + c) y = F(t).$$

Агар  $y_1, y_2, y_3$  и ва  $y$  ординаталар бүғинларнинг эластиклігі ҳисобнан келтириш бүғиннин гиперболикалық профилинде,  $x(t)$  ордината эса мушт профили ҳисобига номинал силжыша мос келса, у ҳолда мос тарздаги катталикларнинг айримаси механизм кинематик занжирни бүғинларининг  $\varepsilon(t)$  деформацияларини ифодалайды. Масалан, бир массали нусха учун

$$\varepsilon(t) = x(t) - y(t).$$

$F(t)$  функция иктиёрий күрнешінде бұлгандын ёзилған дифференциал теңгламалар ЭХМдан фойдаланған ҳолда рақамлы усулдардан бири ёрдамда ечилади.

Дарслікда муғассал амалдарнан келтириб үтирасдан, бүғинлар эластиклігінің ҳисобға олиб, механизмнинг динамик сиғатларини күрсатадын энг муҳим хуносаларғагина тұхталиб үтиш мүмкін.

Кинематик занжир узилгандын пайтда ( $\varepsilon < 0$  бұлганды) 2 штанга 1 муштдан ажралади, бүғинларға құшимча динамик юклаништар тушади ва 4 клапан бошқарылмайдын булиб қолади. Узилишлар бұлганды уриниш жадал тарзда юз берганлиги сабабли клапаннинг тақрор сакраши содир

бўлади. Бу ҳодисаларининг бари номақбул бўлиб, мушт профилинн лойи-халаши босқичида бартарағ этилиши лозим.

Эластик тебранишлар клапанинг ўз уясига ўриашини вақтидаги ҳақи-қий тезлигини мушт профили белгилайдиган тезлигига нисбатан ўзгартиради. Бу ҳол клапанинг муддатидан илгари уясига ўриашувига ёки клапанинг такрор сакрашига олиб келади.

Синтезлашда итаргичнинг мушт профилининг охирги қисмларига тўғри келадиган мусбат тезланишлари катталигини танланашга алоҳида эътибор берни зарур, чунки унинг бу қисмлари меҳанизмда энг катта ҳисобий деформацияларни вужудга келтиради. Эластик тебранишнинг энг катта амплитудаси мусбат тезланишлар қисмининг охирига тўғри келади; тақсимлаш валининг айланиш тезлиги ошиб борган сари бу амплитуданинг катталиги ҳам ошиб боради, чунки энг катта тезланиш айланыш частотаси билан квадратик муносабатда бўлади.

## 18-боб

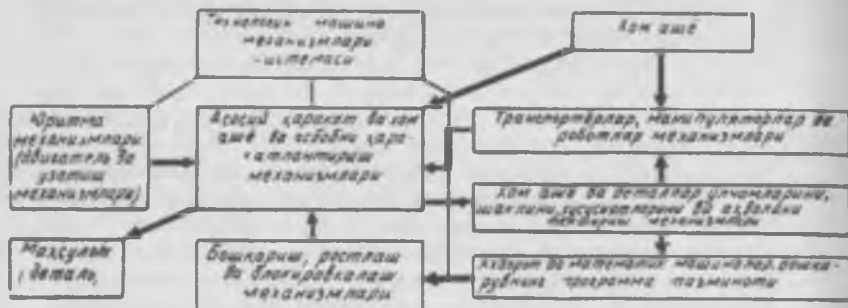
### МЕХАНИЗМЛАР СИСТЕМАСИННИГ ҲАРАКАТИНИ БОШҚАРИШ

Бир-бiri билан муайян тарзда боғланган ўзаро мувофиқташган ҳаракатларни ба-жарин учун мўлжалланган, маътум мажмуатар учун умумий бўлган қонуниятларга бўйсундирилган механизмлар мажмуни механизмлар системаси дейлади. Механизмлар системаси замонавий машиннаторнинг деярли ҳаммаси учун асос бўлади. Турилтуман механизмлар бўйноларининг энергияни бир турдан Союза турга ўзgartиртириш, объектлар ва материалларнинг ҳолатларини, хусусиятларини ёки ҳолатларини ўзgartиртириш, ма-шиналар иччи органларининг ҳаракатини бошқарни, текшириш ва ростлаш билан боғлиқ бўлган талаб қилинуви ҳаракатини таъминлайди. Механизмлар системаси анча мурқиқа бўлади.

Исталган механизмлар системасида ишлаш параметрлари, яъни бошқариш ва текшириш қурилмалари, алоҳида меҳанизмтір ижрочи бўйноларининг ҳолатлари, тезликлари ва тезланишлари ўзаро мувофиқлашган бўлиши лозим. Талib қилинуви міксадга обьекти ёки системага олдиндан ўйлаган ҳолда бошқарув таъсири курсатиш йўли билан ёришини бошқариш дейтидан. Механизмтір системасининг белгиланган тарзда ишлашини таъминловчи курсатмалар мақмур (яъни комидатарнинг изчилигига мазмуну) бошқариш программаси ёки бошқариш алгоритми дейтидан.

#### 18.1-§. Механизмлар ҳаракатини программа билан бошқариш системаси

Иш юзасидан ўзаро боғланган механизмларнинг бўлгиланган тартибида ишлашини бошқарувчи воситалар программа билан бошқариш системасига киради. Берилган программа бўйича машинанинг ижрочи органларига ва бошқа механизмларига бошқарини таъсирини юзага келтириша иштироқ этувчи программа билан бошқариш воситалари мажмун техник воситалари (юритмалар, электроавтоматика аппаратлари, ўлчовчи ўзарткичларни, текшириш, мослаштириш ва диагностика қурилмалари, ҳисоблаш-мантиқий қурилмалар, алоқа каналлари ва шу кабилларни) ҳамда бошқарини жараёнини ташкил этувчи ва муайян механизмлар системаларини бошқарини вазијасини амалга оширувчи программа таъминотини ўз ичига олади. 18.1-расмда технологик машина механизмлари системасининг принципиал схемасига мисол келтирилган. Унда машина нинг ишлашини таъминлаш ва хом ашё (материал) га ишлов берниш



18.1- расм

хамда олдиндан белгіланған параметрлі буюм олиш учун зарур бұлған ҳаракатларни бажарышга мүлжалланған механизмлар ажратыб күрсатылған.

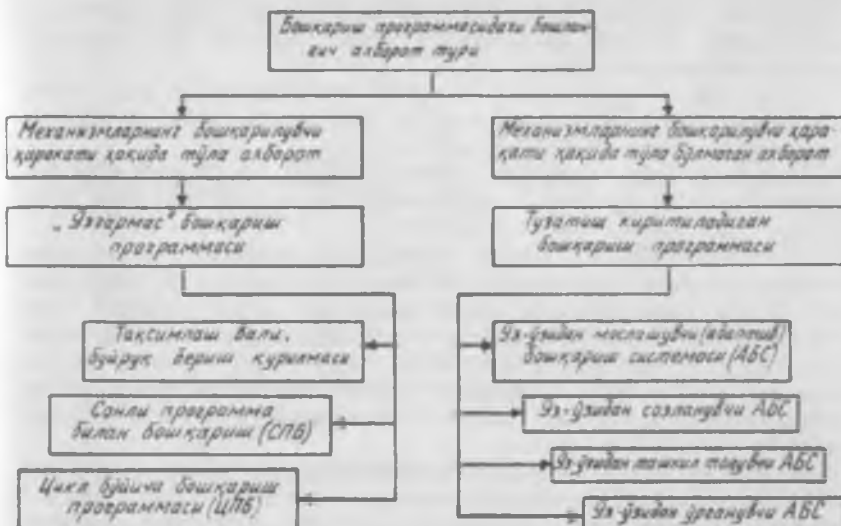
Ҳамма ижрочи қурилмаларнинг берілған бошқариш программасы ассоциа мұвоғиқлашған тарзда ҳаракатланишини таъминловчи система машинанинг бошқариш системасы дейілді. Агар бошқариш системасы ҳамма ижрочи қурилмаларнинг вақтга боғлиқ равища талағ қилинувчи ҳаракат мұвоғиқтигini таъминласа, у ҳолда у машина ниң вақт бүйінча бошқариш системасы дейілді. Барча ижрочи қурилмаларнинг қолатларига боғлиқ равища мұвоғиқлашиб ҳаракатланишини таъминловчи система машинанинг йүл бүйінча бошқариш системасы деб аталағи.

*Автоматик бошқарыш системасыда (АБС) ҳамма бошқарувчи таъсирлар инсоннинг түғридан-түғри иштирокисиз амалға сшади. Яримавтоматик ва құл билан бошқарышда бошқарувчи таъсир инсон-оператор иштирокида ишлаб чиқылади ёки амалға ошириледи.*

Механизмларни бошқариш программасыга киритилдиган бошланғич (априор) ахборот түрінде күра АБС лар иккі түркүмдегі: тұла ва тұла бұлмаган бошланғич ахборотты системаларға булинади (18.2-расм). Биринчи ҳолда берілген программа узгармас бўлиб, унинг бажарилиши олинадиган натижаларга боғлиқ бўлмайди. Фақат бирор сабабга кўра текширилувчи параметрлар рухсат этилган қыйматта етган шаронтдаги на унинг бажарилиши тұхташи мумкин.

Иккинчи ҳолда бошқариши оптималлаш мақсадида тұла бұлмаган бошланғич маътумотлар керак-ти құшымча маътумотлар бўлтан тұлдириб борилади. Құшымча маътумотлар түрли үлчаш ва текшириш қурилмалари ва датчиклар ердамида ишлаб чиқылади ва бошқариш программасыда тузатышлар киритиш мақсадида фойдаланылади. Бундай АБС лар ўз-ўзидан мослашувчи (адаптив), ўз-ўзидан созланувчи, ўз-ўзидан ташкил топувчи ва ўз-ўзидан ұрганувчи бўлиши мумкин (18.2-расм).

Ўз-ўзидан мослашувчи системаларда энг мақбул бошқариш фақат бошқарувчи таъсирни ўзгартыриш ҳисобига таъминланади. Масалан, метал қиркувчи дастгоҳларнинг бошқариш системалар-даги ўз-ўзидан мослашувчи қурилма дастгоҳ ишлеш тартыбининг иш шаронттнинг ўзгаришига автоматик тарзды мослашувини таъминлады. Масалан, улар ишлов бері-



18.2- рәсм

лаётган металлнинг эгиллишини камайтириш мақсадида суппортнинг бўйлама сурилиш тезлигини пасайтиради, акс ҳолда қирқиши кучининг қиймати рухсат әгилган қийматдан ошиб кетиши мумкин.

Ўз-ўзидан мослашувчи системаларда ташқи муҳитдан ахборот олишига ва ушбу маълумотларга боғлиқ равишда у ёки бу ҳаракатни амалга оширишга имкон берувчи датчиклар бўлади. Масалан, ўз-ўзидан мослашувчи (адаптив) роботлар, асосий программадан ташқари, қўшимча подпрограммалар билан ҳам таъминланади, бу подпрограммалар роботга керакли томонга ҳаракатланиш ҳамда қайдар әлоқа ёрдамида ишлаш тартибини ўзgartириш имконини беради.

Мураккаброқ бошқарыш системаларида ишнинг туб мақсадини берниш киғоя. Бундай АБС лар ЭХМдан ва машинанинг аҳволи тўғрисидаги ахборотдан фойдаланган ҳолда вазиятни мантиқан баҳолайди ҳамда ишлаб чиқылган излаш алгоритмiga мувофиқ айни вазиятни ҳисобга олган ҳолда энг тўғри ечимини топади.

Программа билан бошқарувчи муайян системанинг функциялари (вазифалари) рўйхати механизмлар бошқарув системаларининг мураккаблик даражасига боғлиқ. Масалан, металлга ишлов берувчи қурилмаларни (дастгоҳларни) рақамлы программа билан бошқарыш системалари вазифа доирасидаги имкониятларига (координаталар ўқлари сонига) кўра қўйидагиларга бўлинади:

кескини битта координаталар ўқи бўйича ҳаракатланиб тўғри бурчакли шакл ҳосил қилювчи дастгоҳлар учун мўлжалланган система;

кескини иккита ёки учта координаталар ўқлари бўйича ҳаракатланиб контурли шакл ҳосил қилювчи дастгоҳларга мўлжалланган система;

кескін түртта ёки бешта координаталар үқлари бүйіча ҳаракатла-  
ниб мұраккаб ұажмидор шакт ҳосиәт қытувчи марказлар ва дастгоҳлар  
учун мұлжалланған система;

ұн-ұн иккита координаталар үқлари бүйіча бошқарышга доир маңсус  
масалаларни ҳал қыла оладиган оғир ва ноәб дастгоҳлар ҳамда дастгоҳ  
модулларында мұлжалланған система.

Программа билан бошқарыш системасы (ПБС) га кирудук қурылма-  
ларнинг таркибий қисмлари қандай ахборотга мұлжалланғанига күра  
маңлым даражадаги турларга бўлиниди.

1-даражали ПБС да тегишли ўзгарткичлар ёрдамида ижрочи қурыл-  
маларнинг вазияти, механизмлар системасининг ахволи ва системада мав-  
жуд бўлган ғалаёнлантириш параметрлари, иш жараёнларнинг түғри  
амалга ошиши ва вужудга келаётган носозликлар ҳамда уларни барта-  
раф этиш усуаллари ҳақида ахборотлар шаклланади. Масалан, металл  
қиркувчи дастгоҳларда 1-даражали ахборот каналлари орқали қайтар  
(тескари) алоқа датчигининг ижрочи қурылмаларнинг вазияти ҳақидаги  
ахбороти узатилади ва ҳоказо.

2-даражали ПБС — бу ростланадиган ижрочи юритма ва механизмлар  
мажмуудири. Буларга ижрочи қурылмаларни программа асосида ҳаракат-  
лантирувчи асосий юритма ва механизмлар, ҳар хил ёрдамчи команда-  
ларни бажарувчи ёрдамичи юритма ҳамда механизмлар, тузатишлар кири-  
тиш ва созлаш сурншлари учун мұлжалланған қўшимча юритма ва  
механизмлар киради.

3-даражали ПБС — программа билан бошқарыш системасининг тарки-  
бига кирудук техник воситалар бўлиб, уларнинг ишлаш алгоритмлари  
схемалар ёрдамида ёки уларнинг хотира қурылмаларига кириладиган  
программалар ёрдамида амалга ошади.

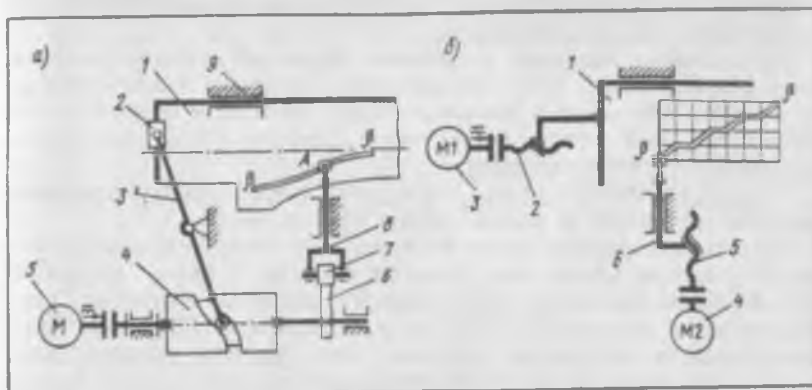
4-нчи ва бундан юқори даражали ПБСлар муайян дастгоҳининг ПБС  
доирасидан ташқарига чиқади. Улар мөсалашувчан ишлаб чиқариш систе-  
маларини (МИС) бошқарышда қўлланилади.

Бошқарыш сигналларнинг хусусиятига кўра АБС икки туркумга:  
узлукли (дискрет) ва узлуксиз (аналогли) турларга бўлиниди.

Узлукли АБС ларда бошқарувчи таъсирлар дискрет тарзда ўзгаради-  
ган, яъни ҳатто киритиловчи катталикларнинг ўзгариши равон бўлган  
ҳолларда ҳам бошқарувчи таъсирлар сакраш (импульслар) тарзида ўзга-  
радиган қурылмалар албагта булиши керак. Таркибиде реле ёки сакраш  
тарздаги ҳаракат элементлари бўлган системалар узлукли АБС ларга  
мисол була олади. Сакраш тарздаги ҳаракатда чиқувчи катталиктининг  
сакраб ўзгариши белгиланған вақт оралиги ўтгандан сўнг содир бўлади,  
реле тарздаги ҳаракатда эса киритиловчи катталик маңлум рухсат  
этилган қийматдан ошиб кетганда содир бўлади.

Узлукли АБСда программа одатда алфавит-рақам қўринишида берил-  
ладиган, маңсус программа ташувчиларга (перфокарта ва перфолента-  
ларга, магнитли дисклар, магнитли ленталар ва магнитли карталарга ёки  
маңсус коммутаторларга) ёзиштан дискрет катталиклар тўплами қўрини-  
шида бўлади.

Бўғиннинг ҳаракат траекторияси координаталар үқлари бўйлаб эле-  
ментар сиражишиларнинг маңлум бир кетма-кетлиги қўринишида кўрсати-  
лади.



18.3- расм

Ҳаракати узлукти бошқарувчи сигналлар ёрдамида амалга ошадиган механизмлар системасига мисол 18.3-расм, б да келтирилган. А нүктанинг белгиланган  $\beta - \beta$  траектория бўйича ҳаракати  $M_1$  ва  $M_2$  электрдвигателлар ёрдамида амалга ошади. Двигателлар бир вақтнинг ўзида айланниши ёки тўхташи мумкин. Мураккаб  $\beta - \beta$  траектория бошқариш программасига мувофиқ равишда 3 ва 4 электрдвигателлардан айланма ҳаракат олучви 2 ва 5 винтлари бўлган иккита винтли механизмининг мос тарзда ишлаши натижасида таъминланади. Бундай траекториянинг ўзига хос тури 18.3-расм, б да кўрсатилган. Расмда  $x_{A_0}$ ,  $y_{A_0}$  координатали бошлангич нүктадан  $x_{A_0}, y_{A_0}$  координатали охирги нүктага қараб ҳаракатланаётган бўғин тасвирланган. Бошқариш программаси томонидан берилган таянч нүкталар координаталари орасидаги функционал боғлашнишга мувофиқ равишда координата ўқлари бўйича сурълиш учун бошқарувчи таъсиirlар кетма-кетлиги маҳсус ҳисоблаш қурилмалари, масалан, рақамли программа билан бошқариш системасидаги интерполятор ёрдамида ишлаб чиқилиди.

**Узлуксиз (аналоги)** АБС ларда узлуксиз сигналларниң қийматлари узлуксиз вақт функциялари ҳисобланади. Улар бирор физик элементнинг ўзгариши қўринишида амалга ошади. Узлуксиз АБС ларга муштли вали, тақсимлаш вали бўлган системаларни мисол қўтиб кўрсатиш мумкин.

Узлуксиз бошқариш системасига эга бўлган механизмлар системасига мисол 18.3-расм, а да келтирилган. А нүктанинг берилган  $\beta - \beta$  траектория бўйича ҳаракати 1 бўғиннинг (масалан, металлга ишлов берувчи дастгоҳ столининг сурълиши) ҳамда 8 бўғиннинг (суппортининг сурълиши) силжишлари қўшилиши натижасида амалга ошади. 1 ва 8 бўғинлар ҳаракатни цилиндриком мушт 4, айланувчи итаргич 3 ва дисксимон мушт б даан олади: илгарилама ҳаракатланиувчи 8 итаргичга маҳкамланган 7 ролик 6 муштга тегиб туради. Ҳаракат манбаси бўлиб 5 электрдвигатель ҳизмат қилади. Ушбу системада программа ташувчи вали фасипи 1 ва 8 бўғинларнинг иисбий сиёжини анатоғларни бўлган муштларнинг профиллари ўтайди. Бундай бошқариш системалари тўғридан-тўғри (кучайтири-

гичларсиз) таъсир этувчи априор тарздаги ягома ахборот оқимига эга бўлган очиқ АБС лар дейилади.

Кўп ҳолларда бошқариш алгоритмини беришнинг аралаши система-сидан фойдаланилади. Унда программанинг бир қисми аналог тарзида, бошқа қисми эса сонлар кўринишида бўлади. Масалан, хом ашёга ишлов берувчи бир қанча дастгоҳ-автоматларда бошқариш алгоритмини беришнинг аралаш усули қўлланилади.

Механизмлар системасини бошқариш марказлаштирилган, марказлаштирилмаган ва аралаш усульда бўлиши мумкин.

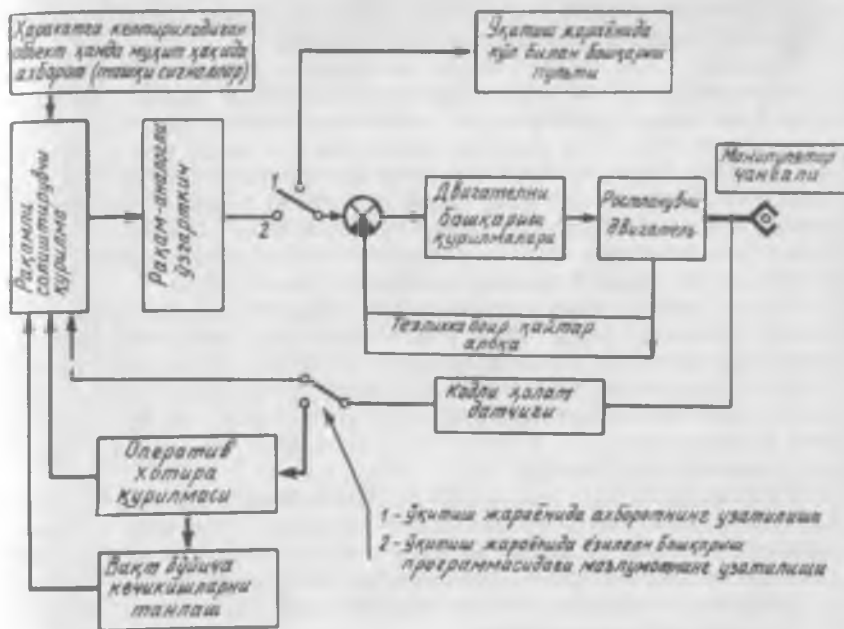
Марказлаштирилган усульда бошқаришда у ёки бу механизм бўгинчарининг ҳолатидан катъи назар, олдиндан белгилаб қўйилган программа-нинг бажарилishi таъминланади. Бундай бошқариш programma билан бошқаришнинг вақт функциясида амалга оширилади. Программа билан бошқаришадиган механизмлар системаси анча ишончли ишлайди. Аммо бунинг учун лойиҳалашда ўта юкланишларда ёки таиг вазият (авария) юзага келганда механизмларни албатта тўхтатиб, двигателларни тормозлаб ёки ўчириб қўядиган қурилмалар назарда тутилиши лозим. Бундай бошқарувда бўйруқлар (командалар) тақсимлаш валидан, бўйруқ Сериш аппаратларидан ёки пультлар ёрдамида берилади.

Бўгинчарининг ҳолат функцияларинда механизмларининг ҳаракатини марказлаштирилмаган усульда бошқаришда ахборот тираклардан, йўлдаги ва йўл охиридаги алмашлаб улагич (переключатель) ва узиб-улагичлар (включатели) дан ёки ҳолат ва силжишининг бошқа датчикларидан узатилади. Марказлаштирилмаган усульда бошқаришда механизмлар системаларининг ишончи ишлаши бошқариш системаларидаги датчиклар ва бошқа элементларнинг ишончли ишлашига боғлиқ. Марказлаштирилмаган усульда бошқаришда белгиланган ишлаш тартиби (масалан, босим, рухсат этилган юкланиш, тезлик ва ҳоказо) ростланиб (ўзгартириб) турилиши ҳам мумкин.

Механизмлар системаси ҳаракатини аралаш усульда бошқаришда марказлаштирилган ва марказлаштирилмаган тарзда бошқаришларда қўлланиладиган айrim элементлардан фойдаланилади. Бу ҳол бошқарувнинг ишончилироқ ва ҳар томонлама бўлишини таъминлаиди. Аралаш усульда бошқаришда бўйруқларнинг бажарилшини ёки бўгинчарининг ҳоҷатини текширувчи датчиклар ўрнатиш орқали сақловчи қурилмалар сонини камайтириш мумкин. Масалан, автомат линия аралаш усульда бошқариш билан ишлаётган вақтда бўгинни муайян ҳолатга суриш тўгрисидаги қандайдир бўйруқнинг бажарилмаганинги йўл датчиги томонидан қайд этилади. Унинг сигнали билан вали равон айланётган бўйруқ бериш аппарати ишлашдан тўхтайди. Носозлик бартараф этилгандан сўнг бўйруқ бериш аппарати ишга тушиб кетади. Бу ҳол механизмлар системасининг programma билан бошқариш системаси бўйруғига асосан яна ишга тушиб кетинини таъминлаиди.

Аралаш усульда бошқаришда турли-туман талабларнинг энг тўтри мажмуи амалга оширилади. Бу талаблар мажмуи вақт бўйича, бўгинчарининг ҳолати ва силжиши бўйича, бўгинчарининг ҳаракат тартибини ҳамда бўгинчар ва кинематик жуфтликларга тушадиган юкланишларни чеклаш бўйича бошқаришни таъминлаиди.

Саноат роботларини (СР) программалаштириш усуllibаридан бирин ўзи-



18.4- расм

тиши усули билан программалаштиришадыр. Бунда программа билан бошқариш қурнамасы (ПБК) хотирасида СР нинг автоматик тарзда ишләшини белгиловчи маълумотлар шаклланади. Үқитиш жараёни түрт босқичдан иборат: системани тараб қилинувчи ахволта келтириш; СР системасининг ахволига доир маълумотларни хотирага киритиш; хотирага киритилгандай маълумотларни үзгартыриш; ҳаракатни амалга ошириш. Үқитиш жараёнида ё чизиқли бошқариш программаси, ёки СР нинг мосланиб ишләшини (излаш ҳаракатлари, текшириш амаллари, яхши ишламаслик ёки ишламай қолишига бўладиган реакция ва шу кабилар) таъминловчи тармоқли бошқариш программаси шаклланади.

Саноат роботи ҳаракатини бошқариш системасининг тузилишини бошқаришининг маълум босқичларини акс эттирувчи схемадан кузатиш мумкин (18.4-расм). Биринчи босқичда автоматикаштирилган юритмалар құзғалувчаның ҳамма даражаси учун ҳар бир хусусий цикл бўйича бошқарувчи программалар ёрдамида ижрочи бўғинлар ҳамда робот механизмларининг иш соҳаси доирасида ҳаракатланишини таъминлайди. Ижрочи бўғинларнинг ҳолати, ташқи мұхит ва ишланувчи обьекттинг хусусиятлари түғрисидаги ахборот датчиклар томонидан ишлаб чиқарилиб, зарурат тутгилганда ҳаракатга тузатижлар киритиш мақсадида қайттар алоқа каналлари орқали операторга ёки янада юқори босқичли маҳсус бошқариш қурнамасига үзатилади. Юритмалар ва автоматика қурнамаларининг ҳаракатини бошқариш сигналлари одатта иккинчи босқичда шакллантирилади. Бунда робот бўғинларининг ташқи мұхит, яъни бош-

қа қурилмалар, хусусан, технологик ускуналар билан үзаро таъсирашыб үйғун тарзда ҳаракатланиши таъминланади.

Үргатиш усули билан саноаг роботларини программалаштиришин ишлаб чиқышда циклни құлда бошқарыш жараённан амалга ошадыган ҳаракатнинг ҳамма параметрлары хотира қурилмалари (оператив хотира қурилмалари — ОХҚ) га үтади ва кейинчалик күп марта тақрор Сажарилади. Хотира блокидаги магнитлы лента ёки барабанға ҳар бир берилген ҳолат учун бүгінларининг координаталари ҳаракат тезлігі, вақтшының тұхтаб түрншлар ҳақида бошқарыш бүйрүқтарининг Сажарилған индекси билдирувчи сигналлар, оддий амалтарининг жойлашуви ва тартиби, программа қадами ҳақида кодланған ахборотлар ёзилиб боради.

Хотира блокига хизмат күрсатылаётган мұхит түргисидеги ташқи сигналлар (узатыш ҳақида бүйрүқ ва хизмат күрсатылаётган қурилма, технологик ускуналар ва шу кабилардан келаётган сигналларни қабул қылышга рұксат этиш ҳақида бүйрүқ), ҳаракат тезлігі, вақт бүйінча оралықтар, обьекттің ушлаш бүйінча ердамчи операциялар ҳақида, иш циклинин амалға оширишдеги үтишлар кетма-кеттігі ва шу кабилар ҳақидағы сигналлар ҳам ёзилади.

Үргатиш тартибінде бошқарувчи программаларни ишлаб чиқышпен аталықтың усула программалаштиришга қарғанда құлайлығы шундаки, уларнинг ишлеш асосы содда, иштегендеги координаталар системасынан фойдаланып мүмкін, кинематик жүйелерде тиркишлар мавжуд булғанда ҳолаттаға аниклик кириғіш имкони бор, бүгінлар мослашувчан ва улар іш таъсириде деформацияланади.

Ҳаракаттің программа билан бошқарыш цикл, жой (позиция), контур бүйінча ҳамда аралаш тарзда бўлиши мүмкін.

Цикл бўйича бошқарышда хусусий цикллар донасында ҳаракат кетма-кеттігінин амалға ошириш учун зарур бўлған координаталар, тезліктар ва бошқа параметрлар ҳамда хусусий цикллар орасында вақт оралықтари берилади. Хусусий циклларнинг бажарылыш ҳақидағы ахборот одатта йўл автоматикаси воситалари (охирги узид-улагичлар ва ҳоказо) ердамида ҳар бир координатанинг чекли қийимларни учун ишлаб чиқилади.

Жой бўйича бошқарышда ҳар бир координата бўйича манипулятор иш соҳасининг талаб қилинувчи иш нуқтасига мес келувчи мустақил силжиншлар берилади.

Контур бўйича бошқарышда манипуляторлар бўгінларни юритмаларининг бир вақтда, узлуксиз ва үзаро мувофиқ тарзда ҳаракатланиши таъминланади. Натижада ижрочи бўгин ишлеш соҳасында белгиланған траектория бўйича, талаб қилинувчи тезлік ва тезланиши Силлан ҳаракатланади. Контур бўйича бошқарыш мурakkab programma таъминотини талаб қилади. Одатта контур бўйича бошқарышда мини-ЭХМ, рақамли дифференциал анализаторлар ва бошқа қурилмалардан фойдаланилади.

Аралаш тарзда бошқарышда цикл, жой, контур бўйича бошқарыш усулларининг муайян масалаларни ечишдеги имкониятлари ҳамда афзалларидан биргаликда фойдаланилади.

Бошқарыш алгоритмларига мувофиқ равишида механизмлар системасыннан автоматик ишлеш учун зарур бўладиган машиналар иш қурилмаларининг ҳолатлари, механизм бўгінларининг ҳаракат тартиби, жараён-

ларнинг параметрлари ҳамда хусусиятлари тўғрисидаги ахборотни датчиклар ишлаб чиқади.

Ҳосил қиласиган импульсларининг хусусиятига кўра датчиклар маханик, электр, фотоэлектр, электрон, пневматик, гидравлик ва бошқа турларга бўлинади.

Датчикларда импульслар вужудга келишининг қўйидаги сабабларини кўрсатиш мумкин: куч билан боғлиқ сабаблар — бунда механизм бўгинларининг маълум элементларига таъсир этувчи куч ёки иш муҳитиниг босими белгиланган қийматга етиб бўлади; ўлчам билан боғлиқ сабаблар — бунда талаб қилинувчи ҳолатни белгиловчи ўлчам берилган қийматга етиб бўлади; йўл билан боғлиқ сабаблар — бунда механизмининг ҳаракатланувчи бўгини маълум (олдиндан кўзда тутилган) ҳолатни эгаллайди; тезлик билан боғлиқ сабаблар — бунда механизм бўгинининг ҳаракат тезлиги белгиланган қийматга етиб бўлади; вақт билан боғлиқ сабаблар — бунда сигналлар бетгиланган иш цикли тугагандан сўнг берилади.

Фойдаланадиган энергияси турига кўра ижрочи қурилмаларнинг маханик, электр, электромеханик, гидравлик ва пневматик хиллари бўлади.

Электр ижрочи қурилмалар сифатида электр двигателлар (икки тезликлини ва «судралиш» тезлигили ҳамда қадамли, қисқа туташтирилган роторли асинхрон электр двигателлар), электромагнитлар ва электромагнитли муфталар (дискспимон, асинхрон ва кукунли муфталар) ишлатилади.

Гидравлик юргамалар сифатида гидроцилиндрлар (чиқиш бўгини илгарилами ҳаракатланади), гидромоторлар (чиқиш бўгини айланма ҳаракатланади), бурилма гидропривателлар (чиқиш бўгинининг бурилиш бурчаги чекланган) қўлланилади.

Пневматик двигателлар сифагида поршенли ва диафрагмали двигателлардан фойдаланилади.

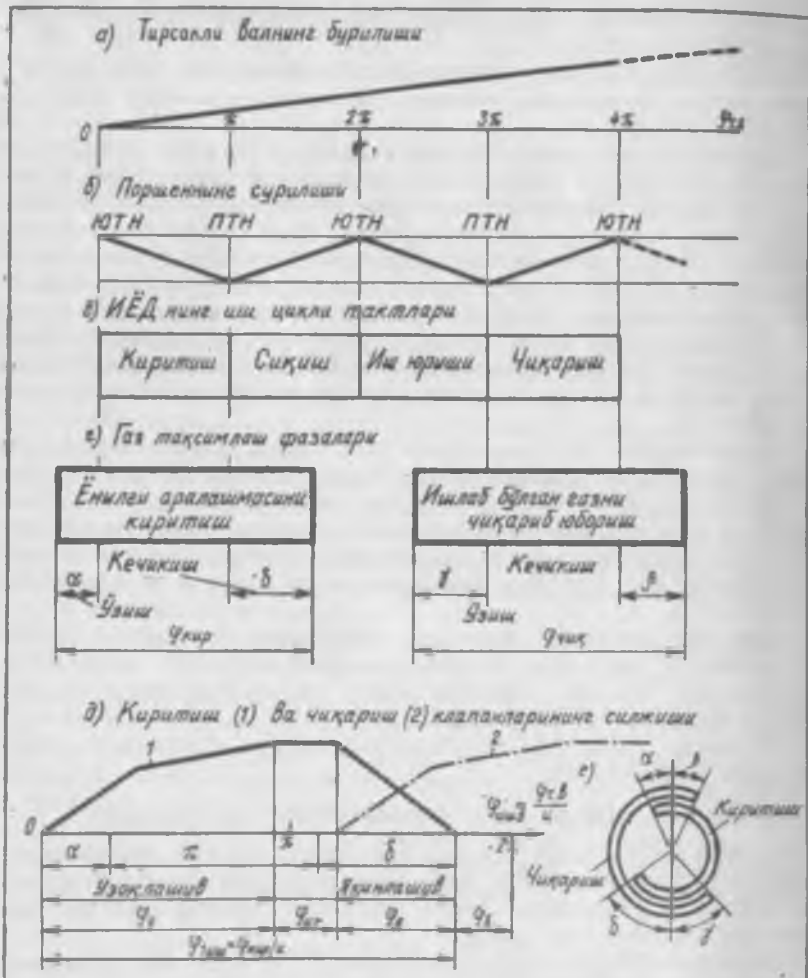
### 18.2-§. Механизмлар системасининг циклограммаси

Кўпгина механизмлар даврий (цикл) тарзда ишловчи машина ва қурилмаларда қўлланилади. Бир цикл ичida ва иш жараёнтарнинг маълум мажмуми амалга оширилади. Бунинг натижасида система циклнинг бошлинишидаги ҳолатига яна қайтади.

Циклларнинг турли кўринишлари мавжуд. Механизм ёки механизмлар системасидаги ҳамма бўгинлар нуқталари ҳолатларининг ва ҳаракат йўналишининг даврий равнишда мос келиши кинематик цикл дейилади. Таъсир қилувчи кучлар ва куч моментлари қувватларининг даврий равнишда такорор ўзгариши энергетик цикл дейилади.

Технологик машинанинг даврий равнишда такрорланадиган операциялар мажмун иш цикли дейилади. Технологик цикл тугашни билан деталь ёки буюм тайёрлаш жараённи поёнига етади. Ҳом ашё ёки материал биринчи жараён учун узатилган вақтдан бошлаб то тайёр буюм олингунга қадар ўтган вақт ишлаб чиқариш циклини ташкил этади.

Цикл ичida механизм ижрочи бўгинин ҳаракати кетма-кетлигининг ёки механизм ишчи қурилмалари ҳаракати мувофиқлигининг график тасвири цикликлик графиги ёки циклограмма дейилади.



18.5- расм

Циклограммаларни ишлаб чиқишида механизм ёки қурилма ишчи органларининг бир вақтда (синхрон) силжиш графиклари асос қилиб олинади. 18.5-расмда мисол тарпиасида куғидагилар кўрсатилган: а — тирсакли валининг бурилиши бурчаги графиги; б, в — ИЁД поршеннинг, цилиндрларидан биридаги киритиш ва чиқарыш клапанларининг силжиши; д — чизиқли, е — тўртбурчак ва е — доиравий циклограммалар.

Чизиқли циклограммада ижрочи қурилмаларнинг силжиш графикиги шартли равишда қия тўғри чизиқлар орқали, тўхташ даври эса горизонтал тўғри чизиқлар орқали тасвириланади.

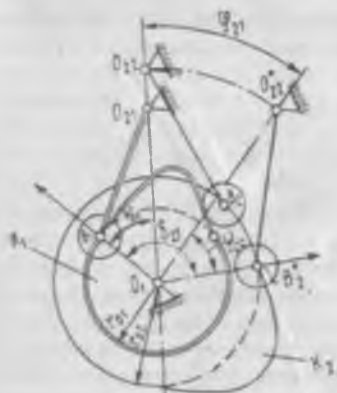
Тұртбұрчак өз доиравий циклограммаларда силжиш графикалары тасвирланылады, ҳаракатнинг алохидә босқычлары ёки жараёнлар оралығы өсі штрихлаб ёки йүғон чизиқлар (тұғри чизиқ ёки айланы ёйі) билан ажратып күрсатылады. Бунда ушбу чизиқтарнинг узунлігі ҳаракатнинг алохидә босқычларига мөс келади. Бундай циклограммаларда одатта құшымча равища алохидә ҳаракат босқычарининг ёки жараёнларнинг номи ёзилады.

Циклограммалардан ижрочи бўғинлар сиљжишларининг талаф қилинувчи мувофиқлигини ҳамда цикл ичидаги бўғинлар нисбий ҳолатларининг изчиллигини таҳлил қилишда фойдаланилади. Бунда ҳаракатлар (иш ва ёрдамчи ҳаракатлар) орасидаги вақт, технологик ва ташиб операцияларини бирлаштириш, айрим жараёнларга сарфланадиган вақтни қисқартириш, операцияларни камроқ давом этадиган ўтишларга бўлиб юбориш мумкинлигини аниқланади ва ҳоказо. Бундай таҳлил кўпинча циклограммани ихчамлаштиришга, яъни цикл вақтини қисқартириб, технологик машиналарнинг иш унумини оширишга имкон беради.

Ҳар бир цикл тақт ёки фазалардан ташкил топади; улар механизм ёхуд машиналарнинг асосий аҳволини ажратиб курсатишга имкон беради. Масалан, тўрт тақтли карбюраторли ИЕД да ижрочи бўғинларнинг ҳаракатланиш тақтлари ёки тұхтаб туриш тақтлариниң, ҳаво ёки иши аралашмасини киритиш, сиқиш, кенгайтириш ва иштаб бўлган газларни чиқариб юбориш тақтларини, икки тақтли дизелларда эса пулфлаш ва сиқиш ҳамда иш юриши ва чиқариб юбориш тақтларини ажратиб курсатиш мумкин (18.5- расм, 2). Ҳаракатланиш тақти давомида бирорта ҳам ижрочи механизмнинг ҳолати узгармайди, яъни бўғинлар ё ҳаракат ҳолатида, ёки тинч ҳолатда бўлади.

Ижрочи бүгінларыннан үз қолатларига боғлиқ равишида мувофиқ тарзда харакатланиш схемаси тактограмма деб атала迪. Масатан, муштлии механизм циклограммасыда ёки тактограммасыда тұртта асосий фаза: ишаргичнинг узоқлашув, узоқда тинч туриш, яқнилашув ҳамда яқинда тинч туриш фазалари ажратыб күрсатылади.

Фаза бурчаклары машинанинг иш цикларини таҳлил қилиш асосида танланади. Масалан, ИЕД да тактлар оралиги поршенинг четки ҳолатлари: юкориги ва пастки «стуриш нүкталары» (ю.т.н. ва п.т.н.) даги



18.6- расм

$\gamma = 42^\circ$ ;  $\beta = 10^\circ$ ; ЗИЛ-130 учун:  $\alpha = 31^\circ$ ;  $\delta = 83^\circ$ ;  $\gamma = 67^\circ$ ;  $\beta = 47^\circ$ .

Муштли тақсимлаш валы бир қанча муштларга эга бўлиб, уларнинг ҳаммаси бинта умумий валга ўрнатилади, лекин ҳар бирин ҳаракат ёки буйруқни турли ижрочи бўғчиларга узатиш учун хизмат қиласди.

Тақсимлаш валидаги радиус-векторлардан бирин саноқ боши (асосий) чизиги деб кабул қилинади; ҳар бир муштнинг ўрнатилиш бурчаги ўша чизиққа нисбатан аниқланади. Ушбу бурчаклар ҳаракатни ўзгартиртиш усулидан фойдаланган ҳолда аналитик ёки график тарзда осонгина аниқланади. 18.6-расмда итаргичлар ҳаракатлана бошлаш фазасининг силжиши қиймати берилганда  $K_2$  муштни  $K_1$  муштга нисбатан ўрнатиш бурчаги  $\delta_{21}$  ни тақсимлаш валининг бурилиш бурчаги  $\Phi_{21}$  га кўра аниқлашга мисол кўрсатилган.

Дастлаб  $B_1O_{21}$  ва  $B_2O_{22}$  итаргичларнинг  $O_1O_{21}O_{22}$  ўқлараро чизиққа нисбатан бошлангич ҳолатларини кўрсатувчи  $\psi_{01}$  ва  $\psi_{02}$  бурчаклар аниқланади.

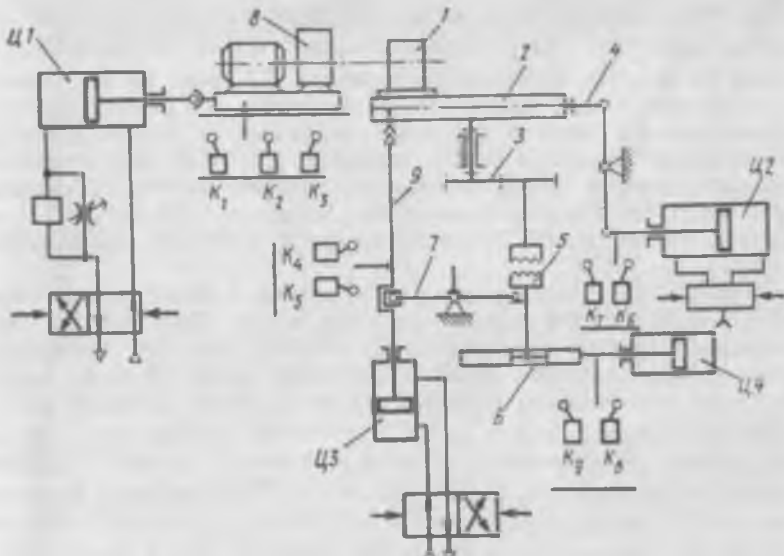
$K_2$  муштнинг  $K_1$  муштга нисбатан  $\delta_{21}$  ўрнатилиш бурчаги қўйидаги муносабатдан аниқланади:

$$\delta_{21} = \Phi_{21} + \psi_{01} + \psi_{02}.$$

Ушбу муносабатда  $B_1$  ва  $B_2$  ўқлар  $O_1O_{21}O_{22}$  чизиқнинг турли томонларида жойлашганligи ҳисобга олинган (18.6-расм).

Бир неча двигателли механизмлар системасини бошқариш асослари нинг ўзига хос томонларини аниқлаш мақсадида 18.7-расмда агрегат дастгоҳ бир қанча қурилмаларнинг асосий схемаларн келтирилган. Дастгоҳнинг 2 бурилма столига 1 деталь ўрнатилган. Мазкур деталда  $ЦI$  цилиндр ёрдамида йўналтирувчилар бўйлаб сурилувчи 8 пармалаш каллаги билан бир ёки бир нечта тешик ишланади. Каллакнинг силжиши уч хил тартибда амалга ошади (18.8-расмга қаранг): асбоб деталга жадаллик билан яқинлаштирилади ( $a_1 a'_1$  чизиқ), пармалаш каллаги пар-

ҳолатларига қараб белгиланади, яъни тиrsакли вал бир такт ичиде  $180^\circ$  бурчакка бурилади. ИЁД да клапанларнинг очилиши ва ёпилши пайтларни газ тақсимлаш фазалари дейилади. Газлининг тақсимлашни тақсимлаш валидаги муштлар амалга оширади. Киритиш клапани поршени ю. т. н. га етиб келмасдан илгарирор, яъни қандайдир α бурчакка ўзиб очилиши ва β бурчакка кечикини ёпилши керак (18.5-расм, e). Чиқариш клапани поршени п. т. н. га етиб келмасдан, яъни γ бурчакка ўзган ҳолда очилиб, φ бурчакка кечикканин ҳолда ёпилши лозим. Ўзиш ва кечикиш бурчакларнинг аниқ қийматлари двигателнинг марказисига бўғлиқ. Масалан, ВАЗ-2106 учун:  $\alpha = 12^\circ$ ;  $\delta = 40^\circ$ ;



18.7- расм

Күйдөсөн мақсадарға мүжжапланып меканизм	Циклнұм	Ижерені бүрекшілар ҳаракатының асаскі фазалари
Күркесөн асбобларни айлантырыши	-	Асбобнинг айланышы
Паралалаш каллаганын олдиге жағдайы	1	Иш жорыши Олдиге же жорыши $a_1'$ $a_1$ Төз орталға қайтим Даңытмаға холем
Планшайбалы сикіб куйни	2	Сикіб бұшатым $a_2$ $a_3$ $a_4$ $a_5$
Планшайбалы қотырыб куйни	3	Котырыб күйни Алғашқы жорыши $a_6$ $a_7$ $a_8$ $a_9$ Финальды жорыши
Планшайбалы бүрши	4	Планшайбалы $a_{10}$
Планшайбалы бүрши механикалық рөлдегі секкеттеші	4	Рейкевинес әлдеңгі нұрнасы $a_{11}$ Рейкевинес орталға нұрнасы $a_{12}$

18.8- расм

малаш учун узатилади ( $a'_1$ ,  $a'_2$  чизик) ва каллак дастлабки ҳолатига тез қайтарилади ( $a''_1$ ,  $a''_2$  чизик). Пармалаш каллаги  $K1$  ва  $K3$  алмашлаб улагичлар билан четки ҳолатларга келтирилади,  $K2$  билан эса иш тезлигига ўтказилади. Тешик ишлаш вақтида планшайба  $\mathcal{C}3$  цилиндр ёрдамида ҳаракатланувчи 9 фиксатор воситасида муайян ҳолатда қотириб қўйилади. Фиксаторнинг ҳолати  $K4$  ва  $K5$  алмашлаб улагичлар орқали назорат қилинади. Керакли ҳолатда ўрнатиган планшайба цилиндр  $\mathcal{C}2$  ҳаракатга келтирадиган 4 тормоз билан пухта маҳкамлаб қўйилади.  $\mathcal{C}2$  цилиндр штогининг ҳолати  $K6$  ва  $K7$  алмашлаб улагичлар орқали назорат қилинади.

Тешик ишланиб бўлингандан сўнг планшайба  $\mathcal{C}3$  тишли узатма, бу тишрейкали узатма ва  $\mathcal{C}4$  цилиндр ёрдамида ўз ўқи атрофида бурилади. Планшайба бурилиб ва ўрнашиб бўлганидан сўнг  $\mathcal{C}4$  цилиндрнинг штоги рейкани дастлабки ҳолатига қайтаради. Шток  $K8$  ва  $K9$  алмашлаб улагичлар ёрдамида керакли ҳолатда маҳкамлаб қўйилади. Планшайбанинг сиқилган ҳолати  $a_1$  орқали, бўшаган ҳолати эса  $a_2$  орқали белгиланади. Фиксаторнинг бўшатишдаги ҳолати  $a_3$  билан, қотириб қўйишдаги ҳолати эса  $a_4$  билан белгиланади. Планшайбанинг [бурилгандаги ҳолати ҳамда планшайбанинг рейка орқага қайтганда тўхтагандаги ҳолати мос тарзда  $a_5$  ва  $a_6$  орқали белгиланади.

Дастгоҳдаги маълум мақсадга мўлжалланган механизмларнинг ишлаш циклограммаси 18.8-расмда келтирилган. Циклограммада қия чизиклар билан ижрочи бўғинларнинг ҳамда уларга тегишли куч цилиндрлар штокларининг силжиш оралиқлари кўрсатилган. Циклограммани ишлаб чиқишида қўйидаги зарур блокировкалар назарда тутилади: цикл қирқувчи асбоблар айланиб ишга тушиб кетганидан сўнг бошланиши мумкин; ишлов берниш планшайба керакли ҳолатда қотириб қўйилганидан сўнг амалга оширилиши мумкин; асбоб ишланаётгган тешикдан чиқариб олинганидан сўнггина планшайба бўшатишни ҳамда фиксатор орқага қайтарилиши мумкин; асбоб синганда куч узатиш каллаги айланма ҳамда илгарилама ҳаракатдан тўхгайди; операция тугаганидан сўнг ҳамма механизмлар (кўрсатилган йўналишда айланувчи планшайбадан ташқари) дастлабки ҳолатни эгаллайди.

Баъзан механизлар системаси ишининг кўрининши ўзgartирилган циклограммаларидан ҳам фойдаланилади; уларда вақт масштаби ҳисобга олинмайди. Бундай циклограммаларда факат у ёки бу механизмлар ва бошқарувчи қурилмаларни ишга тушириш кетма-кетлиги кўрсатилади. Улар ишга тушириш тактограммаси ёки жадвали деб аталади.

Механизмлар ва қурилмалар системаларнинг ишлаш такти деб шундай вақт оралиғига айтиладики, бу вақт ичидаги иккита кетма-кет ҳолат ўзгариши содир бўлади. Тактлар 1, 2, 3, 4 ва ҳоказо рақамлар билан белгиланади.

Механизм ва қурилмалар ижрочи бўғинларнинг муайян ҳолатлари танлаб олинади. Одатда бундай ҳолатдан иккитаси таъланади: уланган — узилган, ҳаракатланаяпти — тўхтаб турибди, магнитланган — магнитсиёланган ва ҳоказо.

Бир ҳолатдан иккинчи бир ҳолатга ўтиш жуда қисқа вақт оралиғига содир бўлади. Тактограммаларда (18.9-расмга қаранг) бундай ўтиш

Күйнідесви мәңседаударға нұжамланыган механизм	Іжрочи бүгіннине харакаты	Ақтөрнің ұзақартируыш														
		Такттының номерін														
		Сандар шарты	Номер такта													
Параламаш келләгінен олдинген юргизиш	1 Олдинген тез жорым $J=2^0$ Иш юриши $J=2^1$ Орқага тез қайта $J=2^2$															
Пләншайттани сүкіп күйніш	2 Сықып түрши $J=2^3$ Бұшаташ															
Пләншайттани өтпірілдеш	3 Пләншайттани өтпірілдеш															
Пләншайттани бүршиш	4 Пләншайттани бүршиш															
Оғырлеклар (ақтөрні) әнгелдеш			61	33	59	17	1	9	8	10	10	8	12	12	44	40
П 1 хотира	Уланған	65	X													
	Үчирилған		X													
Хәттердекі ҳисобдаға оғанға дәлдес болып шығады			61	33	59	17	1	9	8	18	74	72	78	12	44	49

18.9- расм

бір сатр доирасыда йүғон вертикал чизік билан тасвирланади. Бу чизік-лар тактлар орасында чегараны билдиради. Ижрочи бүгінларнинг қайд қилингандың қолатларига тегишли сатрлардаги горизонтал чизік-лар түгри келади: йүғон чизік бүгіннинг бир қолатинін (битта кириш сигналы), штрих чизік (ёки ингичка чизік) унинг бошқа бир қолатини (нолинчи кириш сигналы) билдиради.

Баъзың қолларда битта іжрочи бүгін учун бир қаича қолатни, масалан, олдинга тез суримишга уланған, олдинга иш тезлігі билан юриш-га уланған, орқага тез қайтишга уланған, узилтган каби қолатларни фарқ қылта билиш лозим.

Иккита қолатта эга қурилмалар релели қурилмалар син-фига мансуб-дир. Уларда  $a_1$ ,  $a_2$ ,  $a_3$  кириш каналлари ҳамда  $f_1$ ,  $f_2$ ,  $f_3$  чиқиши каналлари бұлады. Ҳар бир канал орқалы 0 ва 1 қийматларға эга бўлган узлукли (дискрет) сигналлар берилishi мумкин. Айни вақтдаги сигналлар қийматларининг релели қурилманинг кириш каналларидаги мажмуй кириш деб, чиқиши каналларидаги мажмуй эса чиқиши деб аталади. Үз-лукли сигналлар устидаги амаллар алгебраик мантиқ қоидаларига кўра баъжарилади.

Кўп тактли дискрет системанин тұла тасвифлаш учун хотира элементі (масалан, триггерлар) ҳам киритилади.

Ҳар бир такт учун киришнинг түрли қийматларига эга бўлиш зарур. Улар ўнли эквивалентларга эга бўлади. Шу сабабли ҳар бир кириш каналы  $2^0$ ,  $2^1$ ,  $2^2$ ,  $2^3$  каби муайян оғырлеккі эга бўлади. Такт оғырлек-и-аниқлаш учун кириш каналининг оғырлиги сигнал қийматига (ёки 1 га) купайтирилади ва олдинган қийматлар йигиндиси ҳисоблаб чиқылади.

Масалан. 18.9-расмда махсус механизмларнинг турли ҳолатларига 1, 2, 4, 8, 16, 32 оғирликлар берилган ҳамда 1 дан 14 гача бўлган тактлар ҳамма ҳолатларининг оғирликлари йигиндиси аниқланган: 41, 33, 59, 17,1 ва ҳоказо. 7 ва 10-тактлар 8 ва 9, 11 ва 12-тактлар оғирликларининг эквивалент йигиндиси баробар (мос равишда 8, 10 ва 12) бўлиб чиқди. Бундай ҳолларда бошқариш системасини амалга ошириш учун қўшимча кириш канали — П/ хотира элементини киритилади ва унга тегишлича оғирлик берилади (18.9-расмда хотира элементининг оғирлиги 64 га тенг). Ҳар бир кириш сигналига олдингиларидан фарқ қиласидан йигинди оғирлик тўғри келмагунча ана шундай хотира элементлари киритилаверади. «Хотирани ҳисобга олтганда оғирликлар йигиндиси» ёзуви сатрда барча 14 та такт учун ўнли эквивалентнинг турли қийматлари пайдо бўлиши учун жадвалга (18.9-расм) битта хотира элементини киритишнинг ўзи кифоя қиласиди.

---

#### АДАБИЕТЛАР РУЙХАТИ

1. Артоболевский И. И. Теория механизмов и машин. М., 1975.
2. Гавриленко В. А. ва бошқалар. Теория механизмов. М., 1973.
3. Юдин В. А., Петрокас Л. В. Теория механизмов и машин. М., 1977.
4. Кожевников С. Н. Теория механизмов и машин. М., 1973.
5. Левитский Н. И. Теория механизмов и машин. М., 1979.
6. Фролов К. В. Методы совершенствования машин и современные задачи машиноведения. М., 1984.
7. Решетов Л. Н. Самоустановливающиеся механизмы: Справочник. М., 1979.
8. Вибрации в технике: Справочник. 6 жилдан иборат М., 1979—1981.
9. Основы балансировочной техники. 2 жилдан иборат (Шепетильников В. А. таҳририда). М., Машиностроение, 1975.
10. Роников А. С. Надежность машин. М., 1978.
11. Трение, изнашивание и смазка: Справочник. 2 жилдан иборат (Крагельский И. В. ва Алисин В. В. таҳририда). М., 1979.
12. Попов С. А. Курсовое проектирование по теории механизмов и машине машин. М., 1986.
13. Гавриленко В. А. Основы теории эвольвентной зубчатой передачи, М., 1969.

## МУНДАРІЖА

<b>Сүз боши . . . . .</b>	<b>3</b>
<b>Кириш . . . . .</b>	<b>4</b>
<b>1- бөб. Механизм ва машиналар назариясіннің мұыммолари . . . . .</b>	<b>9</b>
<b>Биринчи бүлім. Механизмлар, машиналарнинг ва машиналар системасыннің кинематик ва динамик хусусиятларини анықлашыннан умумий усуллари . . . . .</b>	<b>15</b>
<b>2- бөб. Механизмларнинг түзіліши . . . . .</b>	<b>18</b>
2.1- §. Асосий тәрілілар . . . . .	18
2.2- §. Кинематик жүфтіліклар тасиғи (класификациясы) . . . . .	21
2.3- §. Механизмларнинг түрлери ва уларнинг түзіліш схемалари . . . . .	23
2.4- §. Механизмларнинг түзіліш формулалари . . . . .	31
2.5- §. Механизмларнинг түзілішінің тақдил ва синтез қылыши. Машиналарнинг ишге яроқдилігінде және ишончтылығында ортіқча болгамалардың таъсіры . . . . .	33
2.6- §. Кинематик жүфтіліктердегі маҳаллій күштің мағниттік және магниттік күштің таңымаудағы роль . . . . .	40
2.7- §. Ортіқча контур болгамаларындағы қылыш . . . . .	48
<b>3- бөб. Механизмларнинг кинематик хусусиятлары . . . . .</b>	<b>57</b>
3.1- §. Кириш ва чиқиш бүгінларнинг кинематикасы ва механизмыннің узатыш вазифалари . . . . .	58
3.2- §. Планшеттердегі текис механизмларнинг қолданылышы . . . . .	63
3.3- §. Планшеттердегі текис механизмларнинг кинематик узатыш функциялары . . . . .	88
3.4- §. Дифференциаллаштыру . . . . .	109
3.5- §. Олий жүфтіліктердегі текис механизмларнинг кинематик хусусиятлары . . . . .	117
3.6- §. Фазовий механизмларнинг кинематик хусусиятлары . . . . .	123
<b>4- бөб. Бикр бүгінлардан ташкил топған машиналы агрегаттардың қарқындықты . . . . .</b>	<b>139</b>
4.1- §. Машиналардегі тұтынушылардың күчлары . . . . .	139
4.2- §. Машиналы агрегаттарнинг динамик нұсқасы (модели) . . . . .	143
4.3- §. Күчларның көлемдері . . . . .	145
4.4- §. Массаларның көлемдері . . . . .	150
4.5- §. Механизмнің қарқындықтары . . . . .	153
4.6- §. Барқарорлашмаган тартиб. Фақат қолдаттағандағы күч . . . . .	156
4.7- §. Барқарорлашмаган тартиб. Фақат тезлікке бағытталғандағы күч . . . . .	158
4.8- §. Барқарорлашмаган тартиб. Қамтамасыз . . . . .	161
4.9- §. Барқарорлашмаган тартиб. Механизмнің қарқындықтары . . . . .	164
4.10- §. Барқарорлашмаган тартиб. Мерцалов үсүлінде . . . . .	167
4.11- §. Барқарорлашмаган тартиб. Тағындағы күчларға тезлік . . . . .	173
<b>5- бөб. Механизмларның күчтегі . . . . .</b>	<b>181</b>
5.1- §. Күчтегі . . . . .	181

5.2- §. Пишангли механизмни кучга ҳисоблашнинг график усули . . . . .	187
5.3- §. Пишангли механизмни кучга ҳисоблашнинг аналитиқ усули . . . . .	192
<b>6- боб. Механизмларни мувозанатлаш . . . . .</b>	<b>203</b>
6.1- §. Механизмларнинг мувозанатланмаганинг турлари. Статик мувозанатлаш . . . . .	204
6.2- §. Момент жиҳатидан мувозанатлаш . . . . .	211
6.3- §. Роторнинг мувозанатланмаганинг ва унинг турлари . . . . .	213
6.4- §. Лойиҳалашда роторларни динамик мувозанатлаш . . . . .	217
6.5- §. Тайёрланган роторларни статик ва динамик мувозанатлаш . . . . .	219
<b>7- боб. Механизм ва машиналарда ишқаланиш . . . . .</b>	<b>227</b>
7.1- §. Ташиқни ишқаланишининг турлари ва үсусиятлари . . . . .	228
7.2- §. Ишқаланишини ҳисобга олган ҳолда кинематик жуфтликлардаги кучлар таъсирини ҳисоблаш . . . . .	232
7.3- §. Ишқаланишини ҳисобга олган ҳолда механизмни кучга ҳисоблаш . . . . .	237
7.4- §. Ишқаланишдаги энергия ироғи. Механик фойдали иш коэффициенти . . . . .	241
<b>8- боб. Кинематик жуфтликлар элементларининг ейилишини ҳисоблаш . . . . .</b>	<b>245</b>
8.1- §. Ейилишни баҳолаш мезонлари . . . . .	246
8.2- §. Қўйи ва олий кинематик жуфтликлар элементларининг ейилишини ҳисоблаш . . . . .	250
<b>9- боб. Машинали агрегатнинг ҳаракатини бўғинлар властиклигини ҳисобга олган ҳолда тадқиқ этиш . . . . .</b>	<b>255</b>
9.1- §. Машинали агрегатнинг динамик нусхаси . . . . .	255
9.2- §. Машинали агрегатнинг барқарор ҳаракати . . . . .	261
9.3- §. Бўғинларнинг властиклиги таъсирини текшириш . . . . .	266
<b>10- боб. Титраш активлиги ва машиналарни титрашдан муҳофазалаш . . . . .</b>	<b>270</b>
10.1- §. Тебраниш манబалари ва титрашдан муҳофазалаш обьектлари . . . . .	270
10.2- §. Механик таъсирларнинг техник объектга ва инсонга таъсири . . . . .	275
10.3- §. Титраш таъсирларини таҳлил қилиш . . . . .	276
10.4- §. Титрашдан муҳофазалашнинг асосий усуслари . . . . .	280
10.5- §. Тебранишларни сўндириш (демпферлаш). Механик системанинг дисиплатив ҳусусиятлари . . . . .	281
10.6- §. Титрашдан изолияцияллаш асослари. Эркичлик даражаси битта бўлган титрашдан муҳофазалаш системалари . . . . .	285
10.7- §. Тебранишларни динамик сўндириш . . . . .	289
10.8- §. Қовушоқ ва қуруқлайнинг ишқаланишини тебранишини ютиклир . . . . .	301
10.9- §. Тебранишларни зарб орқали (урюлма) сўндиригичлар . . . . .	303
10.10- §. Титрашдан актив муҳофазалаш системаларининг асосий схемалари . . . . .	305
<b>Иккинчи бўлим. Механизмларнинг асосий турлари схемаларини лойиҳалаш усуслари . . . . .</b>	<b>310</b>
<b>11- боб. Қўйи жуфтликли механизмлар схемаларини кинематик синтезлаш. Робот-манипулятор механизмлари . . . . .</b>	<b>310</b>
11.1- §. Тўрт бўғинли текни механизмларда кривошишинг мавжудлиги шарти . . . . .	310
11.2- §. Тўрт бўғинли механизмларни бўғинларининг иккى ҳолатига кўра синтезлаш . . . . .	312
11.3- §. Бўғинларнинг уч ҳолатига кўра тўрт бўғинли механизмларни синтезлаш . . . . .	317
11.4- §. Механизмларни бўғиннинг ўртача тезлигига ва чиқиш бўғини ўртача тезлигининг ўзгариш коэффициентига кўра синтезлаш . . . . .	321
11.5- §. Манипуляторлар, уларнинг тузилиши ва ишлатилиш соҳаси . . . . .	325
11.6- §. Манипуляторларнинг техник кўрсаткичлари . . . . .	328

11.7- §. Манипуляторларни бошқариш системалари ҳақида . . . . .	335
11.8- §. Манипуляторлар динамикасининг бөзүн масалалари . . . . .	340
<b>12- боб. Олий жүфтликли механизмларни синтезлаш усуллари . . . . .</b>	<b>343</b>
12.1- §. Илашманинг асосий теоремаси . . . . .	344
12.2- §. Үзаро уринувчи юзаларнинг сирпаниш тезлиги . . . . .	349
12.3- §. Олий жүфтлик орқали ҳаракат узатылишида босым бурчаги . . . . .	352
12.4- §. Туташ юзаларни синтезлашнинг график усуллари . . . . .	353
12.5- §. Юзалар илашмасининг асосий дифференциал төңгламаси . . . . .	355
12.6- §. Ясовчи сиртлар . . . . .	357
<b>13- боб. Цилиндрсімон тишли узатмалар . . . . .</b>	<b>360</b>
13.1- §. Тишли гилдірек элементлари . . . . .	360
13.2- §. Эвольвенталы илашманинг элементлари ва хоссалари . . . . .	367
13.3- §. Дастиғ илашмасининг асосий қондалари. Рейкали дастиғ илашмаси . . . . .	369
13.4- §. Тиш асосининг қирқиңиб үйнеліши ва тишининг үткірлашы . . . . .	374
13.5- §. Эвольвенталы тишли узатма . . . . .	376
13.6- §. Тишли узатманинг сифат күрсаткычлари. Сиљиншиң ҳисоблаш коэффициентларни танлаш . . . . .	379
<b>14- боб. Фазовий тишли узатмалар . . . . .</b>	<b>385</b>
14.1- §. Конуссімон тишли узатма . . . . .	385
14.2- §. Гиперболоид тишли узатма . . . . .	396
<b>15- боб. Күп бүгінли тишли механизмлар . . . . .</b>	<b>404</b>
15.1- §. Гилдиракларининг үйларк құзғалмас бүлган күп бүгінли тишли механизмлар . . . . .	404
15.2- §. Планетар тишли механизмлар . . . . .	408
15.3- §. Планетар механизмлар схемалариниң танлаш ва уларнинг кинематик хасусиятлари . . . . .	415
15.4- §. Планетар механизмлар гилдиракларининг тишилари сонини анықлаш . . . . .	424
15.5- §. Тұлқинсімон тишли узатмалар . . . . .	430
<b>16- боб. Чиқиши бүгінни үзлүкли ҳаракатлануучы механизмлар . . . . .</b>	<b>437</b>
16.1- §. Тишли ва түсікұлақ механизмлар . . . . .	437
16.2- §. Мальта механизмлари . . . . .	439
16.3- §. Туюлма тұхтаб-тұхтаб ҳаракатлануучы пишанғлы механизмлар . . . . .	444
<b>17- боб. Муштли механизмлар . . . . .</b>	<b>446</b>
17.1- §. Муштли механизмларнинг түрлери ва уларнинг ғана тоғонлары . . . . .	447
17.2- §. Итаргичнинг ҳаракат қонуны ва уни танлаш . . . . .	449
17.3- §. Кинематик жүфтликларда босым бурчаги ва күчларнинг ошиб бориши коэффициенттері . . . . .	452
17.4- §. Берилған босым бурчагига күра муштли механизм үлчамларини анықлаш . . . . .	455
17.5- §. Мушткіншің ташиқи үлчамларини профіліннің қабарықлиғы шартыга күра анықлаш . . . . .	464
17.6- §. Дисксімон муштлар профіліннің координаталарини анықлаш . . . . .	466
17.7- §. Цилиндрсімон муштли механизмлар . . . . .	473
17.8- §. Муштли механизм бүгінліктері эластиклігіннің итаргичнинг ҳаракат қонуғына қамда мушт профіліннің шаклига тәсіри . . . . .	474
<b>18- боб. Механизмлар системасининг ҳаракатиниң бошқариш . . . . .</b>	<b>477</b>
18.1- §. Механизмлар ҳаракатиниң программа билан бошқариш системаси . . . . .	477
18.2- §. Механизмлар системасининг циклограммаси . . . . .	485
<b>Адабиётлар рұйхаты . . . . .</b>	<b>492</b>

*На узбекском языке*

КОНСТАНТИН ВАСИЛЬЕВИЧ ФРСЛОВ,  
СЕРГЕЙ АЛЕКСАНДРОВИЧ ПОПОВ,  
АЛЕКСАНДР КОНСТАНТИНОВИЧ МУСАТОВ и др.

**ТЕОРИЯ МЕХАНИЗМОВ И МАШИН**

**Учебник для ВУЗов**

Перевод с издания «Высшая школа»,  
М., 1987.

*Ташкент «Ўқитувчи» 1991*

Муҳаррир Шарипов С.  
Бадийи муҳаррир Некқадамбоев Ф.  
Техн. муҳаррирлар: Салахутдинова А., Золотилова Т.,  
Мусаҳид Абдуллаева М.

**ИБ № 4990**

Теришга берилди 18.04.90. Босишига рухсат этилди 02.10.90. Формати 60×90<sup>1/16</sup>. Тиши  
когони М 2. Литературная гарн. Юқори босма усулида босилди. Шартли б. т. 31,0.  
Шартли кр-отт. 31,0. Нашр т. 30,41. Тиражи 8000. Буюртма № 2316. Баҳоси б. с. 50 т.

«Ўқитувчи» нашриёти, 700129, Тошкент, Навоий кӯчаси, 30. Шартнома 11—274—89.

ЎзССР Матбуот давлат комитетининг Тошкент полиграфия комбинатида терилиш.  
Янгийўл китоб фабрикасида босилди. Янгийўл, Самарқанд кӯчаси, 44. 1991.

Набрано на Ташполиграфкомбинате, отпечатано на Янгиюльской книжной фабрике  
Государственного комитета УзССР по печати. Янгиюль, ул. Самаркандская, 44.

6450c

-007600-